

T.C.
PAMUKKALE ÜNİVERSİTESİ
FEN BİLİMLERİ ENSTİTÜSÜ
İNŞAAT MÜHENDİSLİĞİ ANABİLİM DALI

MEVCUT BETONARME BİNALARDA SİSMİK HASAR
RİSKİNİN VE DEPREM SİGORTASI RİSK PRİMLERİNİN
OLASILIKSAL YÖNTEMLER İLE TAHMİNİ

DOKTORA TEZİ

ALİ KALKAN

DENİZLİ, TEMMUZ - 2019

**T.C.
PAMUKKALE ÜNİVERSİTESİ
FEN BİLİMLERİ ENSTİTÜSÜ
İNŞAAT MÜHENDİSLİĞİ ANABİLİM DALI**



**MEVCUT BETONARME BİNALARDA SİSMİK HASAR
RİSKİNİN VE DEPREM SİGORTASI RİSK PRİMLERİNİN
OLASILIKSAL YÖNTEMLER İLE TAHMİNİ**

DOKTORA TEZİ

ALİ KALKAN

DENİZLİ, TEMMUZ - 2019

KABUL VE ONAY SAYFASI

ALİ KALKAN tarafından hazırlanan “**MEVCUT BETONARME BİNALARDA SİSMİK HASAR RİSKİNİN VE DEPREM SİGORTASI RİSK PRİMLERİNİN OLASILIKSAL YÖNTEMLER İLE TAHMİNİ**” adlı tez çalışmasının savunma sınavı 25.07.2019 tarihinde yapılmış olup aşağıda verilen jüri tarafından oy birliği ile Pamukkale Üniversitesi Fen Bilimleri Enstitüsü İnşaat Mühendisliği Anabilim Dalı Doktora Tezi olarak kabul edilmiştir.

Jüri Üyeleri

Danışman
Prof. Dr. Şevket Murat ŞENEL

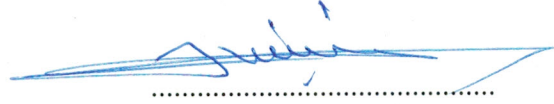
İmza



Üye
Prof. Dr. Mehmet İNEL
Pamukkale Üniversitesi



Üye
Doç. Dr. Fatih CETİŞLİ
Pamukkale Üniversitesi



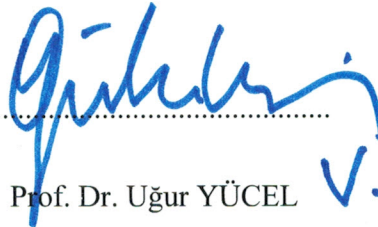
Üye
Prof. Dr. Fuat DEMİR
Süleyman Demirel Üniversitesi



Üye
Dr. Öğr. Üyesi Mehmet PALANCI
İstanbul Arel Üniversitesi



Pamukkale Üniversitesi Fen Bilimleri Enstitüsü Yönetim Kurulu'nun
31/07/2019 tarih ve ...31/11..... sayılı kararıyla onaylanmıştır.



Prof. Dr. Uğur YÜCEL

Fen Bilimleri Enstitüsü Müdürü

**Bu tez çalışması Pamukkale Üniversitesi Bilimsel Araştırma Projeleri
Koordinasyon Birimi tarafından 2016FEBE012 nolu proje ile desteklenmiştir.**

Bu tezin tasarımı, hazırlanması, yürütülmesi, arařtırmalarının yapılması ve bulgularının analizlerinde bilimsel etięe ve akademik kurallara özenle riayet edildiđini; bu alıřmanın dođrudan birincil ürünü olmayan bulguların, verilerin ve materyallerin bilimsel etięe uygun olarak kaynak gösterildiđini ve alıntı yapılan alıřmalara atfedildiđine beyan ederim.



ALİ KALKAN

ÖZET

**MEVCUT BETONARME BİNALARDA
SİSMİK HASAR RİSKİNİN VE DEPREM SİGORTASI RİSK
PRİMLERİNİN OLASILIKSAL YÖNTEMLER İLE TAHMİNİ
DOKTORA TEZİ
ALİ KALKAN
PAMUKKALE ÜNİVERSİTESİ FEN BİLİMLERİ ENSTİTÜSÜ
İNŞAAT MÜHENDİSLİĞİ ANABİLİM DALI**

**(TEZ DANIŞMANI: PROF. DR. ŞEVKET MURAT ŞENEL)
DENİZLİ, TEMMUZ-2019**

Son yıllarda meydana gelen şiddetli depremler mevcut yapı stokunda ağır ekonomik hasarlara neden olmuştur. Yaşanılan bu deprem hasarlarının tahmin edilebilmesi, sigorta firmaları ve kamu kuruluşları açısından önem taşımaktadır. Günümüzde betonarme binalar için kullanılan zorunlu deprem sigortası primlerinin, bölgesel hasar tahminleri ile uyumlu olup olmadığını sorgulamak amacıyla Denizli’de bulunan mevcut yapı stoku ele alınmıştır. Envanter çalışmaları ile bölgeye özgü nitelik taşıyan, farklı kat sayılarına ve yapım yıllarına ait 40 adet mevcut betonarme binanın bilgilerine ulaşılmıştır. Yapısal özellikleri belirlenen binaların dayanım ve deplasman kapasiteleri doğrusal olmayan analizler ile elde edilmiştir. Doğrusal olmayan dinamik analizlerde kullanılmak üzere farklı maksimum yer hızlarına (MYH) sahip 364 adet ivme kaydı seçilerek 12 adet MYH grubuna ayrılmış ve binalara ait deplasman talepleri hesaplanmıştır.

Binaların kapasite ve talep deplasman değerlerinin hesaplanmasının ardından bölgesel hasar görebilirlik eğrileri elde edilmiştir. Hasar görebilirlik eğrileri kullanılarak binalar kalite sınıfına göre (iyi/orta/kötü) sınıflandırılmıştır. Deprem sigorta primlerinin hesabı için yapıların değişik MYH gruplarına sahip ivmeler altında uğrayacağı hasar dağılımını gösteren hasar olasılık matrisleri hesaplanmıştır. Hasar olasılık matrislerinin hesabı sırasında üç farklı analitik yaklaşım ve merkezi hasar oranı kullanılarak belirsizlikler en aza indirgenmiştir.

Deprem tehlikesinin nicel hesabı için öncelikle bölgede geçmiş yıllarda yaşanan depremleri kapsayan deprem kataloğu oluşturulmuştur. Olasılıksal sismik tehlike analizi ile bölgeye ait farklı MYH değerlerindeki yıllık aşılma olasılıklarını gösteren sismik tehlike eğrisi elde edilmiştir. Olasılıksal sismik tehlike analizinde depremin doğası gereği meydana gelen belirsizlikleri sismik tehlike eğrilerinin hesabına dahil etmek için mantık ağacı yöntemi kullanılmıştır.

Hasar olasılık dağılımlarının ve sismik tehlikenin belirlenmesinin ardından mevcut yapı stokuna ait ticari deprem sigorta primleri her bir kalite sınıfı için ayrı ayrı hesaplanmıştır. Çalışmanın sonunda bölgeyi gerçek anlamda temsil eden prim değerleri elde edilmiştir. Yapılan tez çalışması, hesaplanan prim oranları ile yürürlükte olan zorunlu deprem sigortası primleri arasında büyük farklılıklar olduğunu ve deprem sigortası prim oranlarının yapıların sismik performansından önemli derecede etkilendiğini göstermiştir.

ANAHTAR KELİMELEER: Mevcut Betonarme Binalar, Hasar Görebilirlik Eğrileri, Hasar Olasılık Matrisleri, Olasılıksal Sismik Tehlike Analizi, Deprem Sigortası Risk Primleri

ABSTRACT

ESTIMATION OF PROBABILISTIC SEISMIC HAZARD RISK AND EARTHQUAKE INSURANCE RATES IN EXISTING REINFORCED CONCRETE BUILDINGS

PH. D THESIS

ALI KALKAN

**PAMUKKALE UNIVERSITY INSTITUTE OF SCIENCE
DEPARTMENT OF CIVIL ENGINEERING**

(SUPERVISOR: PROF. DR. SEVKET MURAT SENEL)

DENIZLI, JULY-2019

Recent major earthquakes occurred in urban areas caused heavy economic losses. The estimation of these earthquake damages and losses is important for insurance companies and public institutions. In this study, sample buildings which represent the general building stock of Turkey were collected from Denizli. By this method it is aimed to investigate the relationships between earthquake losses and the insurance risk premiums. 40 existing reinforced concrete buildings having different story numbers and design codes were selected during the inventory studies. Structural properties of selected buildings were obtained by project investigations. Nonlinear analyses were performed to obtain strength and displacement capacities. 364 records were considered and non-linear time history analyses were performed to calculate inelastic deformation demands of buildings. Selected records were divided into 12 groups according to peak ground velocities (PGV) and inelastic displacement demands were computed.

Fragility curves representing the probability of exceeding predefined structural damage levels were obtained for all buildings and constructed according to peak ground velocities. The building fragility curves were classified into various quality classes (high/average/low) according to damage probabilities which are controlled by seismic performances of buildings. Regional Damage Probability Matrices (DPM) were derived for each quality classes in order to identify potential earthquake damage. The uncertainties in the calculations of DPMs were minimized by using three analytical approaches and three central damage ratios.

The seismic sources of earthquakes occurred in past years were investigated for determining earthquake risk at the site. Hazard curve which shows the annual probability of exceeding corresponding PGV values were estimated by using probabilistic seismic hazard analyses. An alternative approach known as logic tree method were used in order to consider uncertainties in the probability computations.

Total insurance rates were computed separately for each quality class of buildings by considering seismic risk and damage probabilities. Finally, total earthquake insurance premium rates, which are obtained from region-specific damage probabilities, were compared to the rates currently used by government. It was concluded that calculated insurance rates were significantly higher than that of used by the “Turkish Catastrophe Insurance Pool” and the determined insurance rates are significantly affected from the seismic quality level of the buildings.

KEYWORDS: Existing RC Buildings, Fragility Curves, Damage Probability Matrices, Probabilistic Seismic Hazard Analysis, Earthquake Insurance Rates

İÇİNDEKİLER

Sayfa

ÖZET	i
ABSTRACT	ii
İÇİNDEKİLER	iii
ŞEKİL LİSTESİ	v
TABLO LİSTESİ	ix
KISALTMALAR	xiii
ÖNSÖZ	xv
1. GİRİŞ	1
1.1 Problemin Tanımı.....	1
1.2 Amaç ve Kapsam.....	2
1.3 Tezin Düzeni.....	4
2. ÖNCEKİ ÇALIŞMALAR	6
2.1 Mevcut Binaların Deprem Performansı Tahmini ile İlgili Yapılan Çalışmalar.....	6
2.2 Hasar Olasılık Matrisleri ile İlgili Yapılan Çalışmalar.....	10
2.3 Deprem Sigorta Prim Hesabı ile İlgili Yapılan Çalışmalar.....	12
3. MEVCUT BİNALARIN DAYANIM VE DEPLASMAN KAPASİTESİNİN HESABI	16
3.1 Mevcut Binaların Doğrusal Analiz Modellerinin Oluşturulması.....	18
3.2 Mevcut Binaların Doğrusal Olmayan Analiz Modellerinin Oluşturulması.....	19
3.2.1 Plastik Mafsal Kavramı ve Moment-Eğrilik İlişkisi.....	21
3.2.2 Kesit Hasar Sınırları ve Bölgeleri.....	24
3.3 Doğrusal Olmayan Statik İtme (Pushover) Analizi.....	27
3.4 Mevcut Binaların Deprem Performans Sınırları.....	29
3.5 Mevcut Binaların Kapasite Eğrilerinin ve DBYBHY2007 Performans Sınırlarının Hesabı.....	31
3.6 Mevcut Binaların Kapasite Parametrelerinin Değerlendirilmesi.....	34
4. İVME KAYITLARININ SEÇİMİ	42
5. MEVCUT BİNALARIN SİSMİK YERDEĞİŞTİRME TALEPLERİNİN BELİRLENMESİ	46
5.1 Doğrusal Olmayan Dinamik Analiz.....	46
5.2 Mevcut Binaların Doğrusal Olmayan Dinamik Analizi.....	48
5.3 Mevcut Binaların Yerdeğiştirme Taleplerinin Değerlendirilmesi.....	52
6. MEVCUT BİNALARIN HASAR GÖREBİLİRLİK EĞRİLERİNİN HESABI	55
6.1 Hasar Görebilirlik Eğrileri.....	55
6.2 Mevcut Betonarme Binaların Hasar Görebilirlik Eğrileri.....	58
6.3 Mevcut Binaların Hasar Görebilirlik Eğrilerinin Değerlendirilmesi.....	65
6.4 Mevcut Binaların Kapasite Parametrelerine göre Sınıflandırılması.....	67
7. HASAR OLASILIK MATRİSLERİNİN HESABI	72
7.1 Hasar Olasılık Matrislerinin Genel Yapısı.....	73
7.2 Hasar Durumlarının ve Hasar Oranlarının Belirlenmesi.....	74
7.3 Ortalama Hasar Oranı.....	78
7.4 Hasar Olasılık Matrisi Hesap Yöntemleri.....	79

7.4.1	Olası En Büyük Hasar Yöntemi.....	80
7.4.2	Lognormal Dağılım Yöntemi.....	86
7.4.3	Doğrudan Olasılıklar Yöntemi.....	90
7.5	Mevcut Binaların Hasar Olasılık Matrislerinin Değerlendirilmesi	94
8.	BÖLGENİN DEPREM TEHLİKESİNİN BELİRLENMESİ.....	99
8.1	Sismik Tehlike Analizi.....	99
8.2	Sismik Tehlike Analizi Yöntemleri.....	100
8.2.1	Deterministik Sismik Tehlike Analizi.....	100
8.2.2	Olasılıksal Sismik Tehlike Analizi	101
8.2.2.1	Deprem Kaynağının Özelliklerinin Belirlenmesi.....	104
8.2.2.2	Deprem Boyutunun Değerlendirilmesi	104
8.2.2.3	Zamansal Belirsizlik.....	108
8.2.2.4	Yer Hareketi Tahmin Modeli	109
8.2.2.5	Sismik Tehlike Eğrileri.....	111
8.2.2.6	Mantık Ağacı Yöntemi.....	112
8.3	Denizli için OSTA ile Sismik Tehlike Eğrisinin Hesabı.....	114
8.3.1	Bölgeye ait Deprem Kataloğunun Derlenmesi	114
8.3.2	Bölgenin Deprem Yineleme Modeli	120
8.3.3	Bölge için Kullanılan Yer Hareketi Tahmin Denklemleri	122
8.3.3.1	Chiou ve Youngs (2008) Azalım İlişkisi.....	122
8.3.3.2	Akkar, Sandıkkaya ve Bommer (2014) Azalım İlişkisi	125
8.3.3.3	Kale, Akkar, Ansari ve Hamzehloo (2015) Azalım İlişkisi	127
8.3.4	Bölge için Oluşturulan Mantık Ağacı	129
8.3.5	Bölgenin Sismik Tehlike Eğrisinin Hesaplanması.....	131
8.3.6	Sismik Tehlike Eğrisinin Belirsizlik Parametrelerine Duyarlılığı	132
9.	MEVCUT BETONARME BİNALARIN SİGORTA RİSK PRİMLERİNİN HESABI	136
9.1	Deprem Sigortası Prim Hesap Modeli.....	136
9.2	Mevcut Binaların Sigorta Primlerinin Hesabı	139
9.3	Zorunlu Deprem Sigortası Tarife ve Talimatları.....	142
9.4	Mevcut Binaların Sigorta Primlerinin Değerlendirilmesi	143
9.5	Deprem Sigortası Prim Değerlerinin Hasar Olasılığı ve Sismik Tehlike Parametrelerine Karşı Duyarlılığı	146
10.	SONUÇLAR ve ÖNERİLER	151
10.1	Özet.....	151
10.2	Sonuçlar.....	152
10.3	Gelecek Çalışmalar için Öneriler	156
11.	KAYNAKLAR.....	160
12.	EKLER.....	180
EK A	Mevcut Binaların Yapısal Özellikleri ve Analiz Sonuçları.....	180
EK B	Kuvvetli Yer Hareketi Kayıtlarına ait Bilgiler	184
EK C	Mevcut Binaların Doğrusal Olmayan Dinamik Analiz Sonuçları.....	194
EK D	Mevcut Binaların Hasar Görebilirlik Eğrilerinin Hesabı	195
EK E	Mevcut Binaların Hasar Olasılık Matrislerinin Hesabı	202
EK F	Denizli'nin Deprem Tehlikesinin Belirlenmesi	229
13.	ÖZGEÇMİŞ.....	246

ŞEKİL LİSTESİ

Sayfa

Şekil 3.1: Proje incelemeleri sırasında çekilen örnek fotoğraflarlar	17
Şekil 3.2: SAP2000 programında oluşturulan doğrusal analiz modeli	18
Şekil 3.3: Tipik mafsal tanımları.....	19
Şekil 3.4: DBYBHY2007’de etkin eğilme rijitliklerinin eksenel yük seviyesine göre değişimi.....	20
Şekil 3.5: Çift eğrilikli bir kolonda plastik mafsal oluşumu	21
Şekil 3.6: Kolon kesitine ait tipik moment-eğrilik grafiği	22
Şekil 3.7: Moment-dönme ilişkisinin elde edilmesi.....	23
Şekil 3.8: Betonarme elemanlarda tipik moment-dönme ilişkisi	25
Şekil 3.9: DBYBHY2007 Bölüm 7’de tanımlanan kesit hasar sınırları ve bölgeleri	25
Şekil 3.10: Monotonik kuvvet vektörü (1. Mod) altında statik itme analizi (Sucuoğlu ve Akkar 2014)	28
Şekil 3.11: Statik itme analizi sonucu elde edilen kapasite eğrisi ve iki doğrulu hâle getirme işlemi.....	29
Şekil 3.12: BO7SN4 binasının statik itme analizi sonucu elde edilen kapasite eğrileri	31
Şekil 3.13: BO7SN4 binasının XZ yönünde oluşan hasar dağılımı.....	32
Şekil 3.14: BO7SN4 binasının kapasite eğrilerinin iki doğrulu hâle getirme işlemi	33
Şekil 3.15: TDY1975’e göre projelendirilen mevcut binalar için elde edilen kapasite eğrileri	35
Şekil 3.16: TDY1998’e göre projelendirilen mevcut binalar için elde edilen kapasite eğrileri	35
Şekil 3.17: Mevcut binaların elastik ve elastik olmayan titreşim periyotlarının kat sayısı ile değişimi	36
Şekil 3.18: Mevcut binaların yatay dayanım oranlarının kat sayısına göre değişimi	36
Şekil 3.19: Mevcut binaların yatay dayanım oranlarının elastik olmayan bina periyoduna göre değişimi	37
Şekil 3.20: Mevcut binaların süneklik kapasitelerinin kat sayısına göre değişimi	37
Şekil 3.21: Mevcut binaların süneklik kapasitelerinin elastik olmayan bina periyoduna göre değişimi	38
Şekil 3.22: Mevcut binalar için elde edilen ortalama dayanım ve süneklik grafikleri.....	38
Şekil 3.23: Mevcut binaların akma anında yatay ötelenme değerlerinin dağılımı	39
Şekil 3.24: Mevcut binaların yatay ötelenme kapasitelerinin dağılımı.....	39
Şekil 3.25: Mevcut binaların Göçme Öncesi performans düzeyini belirleyen kriterin bina yapım yılına ve kat sayısına göre dağılımı	40
Şekil 4.1: Kullanılan ivme kayıtlarının NEHRP kriterlerine göre zemin sınıfı dağılımı (Palanci 2014)	44
Şekil 4.2: MYH grupları için elde edilen ortalama spektral ivme ve spektral deplasman grafiği	44

Şekil 5.1: ÇSD bina çerçevesi ve etkin deprem yükleri (Chopra 2013)	46
Şekil 5.2: CHY046N istasyonundan alınan ivme kaydının etkili deprem süresi	49
Şekil 5.3: BO7SN4 binasının MUL009-XZ deplasman-zaman grafiği	50
Şekil 5.4: BO7SN4 binasının MUL009-XZ kuvvet-zaman grafiği	50
Şekil 5.5: BO7SN4 binasının MUL009-YZ deplasman-zaman grafiği	50
Şekil 5.6: BO7SN4 binasının MUL009-YZ kuvvet-zaman grafiği	50
Şekil 5.7: BO7SN4 binasının MUL009-XZ çevrim eğrisi.....	51
Şekil 5.8: BO7SN4 binasının MUL009-YZ çevrim eğrisi.....	51
Şekil 5.9: TDY1975 binalarının bina performanslarının MYH gruplarına göre dağılımı	52
Şekil 5.10: TDY1998 binalarının bina performanslarının MYH gruplarına göre dağılımı	52
Şekil 5.11: TDY1975 binalarının yatay ötelenme taleplerinin dağılımı	53
Şekil 5.12: TDY1998 binalarının yatay ötelenme taleplerinin dağılımı	53
Şekil 5.13: Mevcut binaların yatay ötelenme taleplerinin yapım yılı ve MYH gruplarına göre dağılımı	54
Şekil 6.1: BO7SN4 binası ağır hasar aşılma olasılıkları ve hasar görebilirlik eğrisi	59
Şekil 6.2: BO7SN4 binası YZ yönüne ait hasar görebilirlik eğrileri	60
Şekil 6.3: TDY1975 binalarında hafif hasar görülme olasılığı	61
Şekil 6.4: TDY1975 binalarında orta hasar görülme olasılığı	61
Şekil 6.5: TDY1975 binalarında ağır hasar görülme olasılığı	62
Şekil 6.6: TDY1975 binalarında göçme olasılığı.....	62
Şekil 6.7: TDY1998 binalarında hafif hasar görülme olasılığı.....	63
Şekil 6.8: TDY1998 binalarında orta hasar görülme olasılığı	63
Şekil 6.9: TDY1998 binalarında ağır hasar görülme olasılığı	64
Şekil 6.10: TDY1998 binalarında göçme olasılığı.....	64
Şekil 6.11: TDY1975 ve TDY1998 binalarında hafif hasar olasılıkları	65
Şekil 6.12: TDY1975 ve TDY1998 binalarında orta hasar olasılıkları	65
Şekil 6.13: TDY1975 ve TDY1998 binalarında ağır hasar olasılıkları	66
Şekil 6.14: TDY1975 ve TDY1998 binalarında göçme olasılıkları	66
Şekil 6.15: İyi kalitedeki TDY1975 binalarının göçme olasılıkları.....	68
Şekil 6.16: Orta kalitedeki TDY1975 binalarının göçme olasılıkları	69
Şekil 6.17: Kötü kalitedeki TDY1975 binalarının göçme olasılıkları	69
Şekil 6.18: İyi kalitedeki TDY1975 binalarının hasar görebilirlik eğrileri.....	70
Şekil 6.19: Orta kalitedeki TDY1975 binalarının hasar görebilirlik eğrileri....	70
Şekil 6.20: Kötü kalitedeki TDY1975 binalarının hasar görebilirlik eğrileri ...	71
Şekil 6.21: TDY1998 binalarının hasar görebilirlik eğrileri.....	71
Şekil 7.1: HOM'de kullanılan hasar durumları.....	75
Şekil 7.2: İyi kalitedeki TDY1975 binalarının hasar görebilirlik eğrilerinin HOM'ne dönüştürülmesi	86
Şekil 7.3: İyi kalitedeki TDY1975 binalarının hasar olasılıklarının HOM'ne dönüştürülmesi.....	90
Şekil 7.4: Mevcut binaların Olası En Büyük Hasar Yöntemi sonucu elde edilen OHO değerleri.....	94
Şekil 7.5: Mevcut binaların Lognormal Dağılım Yöntemi sonucu elde edilen OHO değerleri	95
Şekil 7.6: Mevcut binaların Doğrudan Olasılıklar Yöntemi sonucu elde edilen OHO değerleri	95

Şekil 7.7: Bina kalite sınıflara ait OHO hesaplarındaki belirsizlikler için kullanılan mantık ağacı.....	96
Şekil 7.8: Mevcut binaların mantık ağacı sonucu elde edilen Ortalama Hasar Oranı (OHO) değerleri.....	97
Şekil 8.1: Tipik DSTA işlem adımları (Kramer 1996)	101
Şekil 8.2: Tipik OSTA işlem adımları (Öztürk 2008).....	103
Şekil 8.3: Gözlemlenen depremlerin Gutenberg-Richter doğrusu üzerinde dağılımı.....	105
Şekil 8.4: Tipik sınırlandırılmış Gutenberg-Richter eğrisi	107
Şekil 8.5: Yer hareketi parametresinin aşılma olasılığı (Kramer 1996).....	110
Şekil 8.6: OSTA için oluşturulan örnek mantık ağacı	113
Şekil 8.7: OSTA için seçilen Denizli/Merkez noktası ve R=200 km alanda bulunan diri faylar	115
Şekil 8.8: Deprem kataloğundaki depremlerin deprem büyüklüğüne göre dağılımı.....	117
Şekil 8.9: Deprem kataloğundaki depremlerin bölgedeki dağılımı	117
Şekil 8.10: Pencere yöntemi ile kümesizleştirme işlemi.....	118
Şekil 8.11: Deprem kataloğundaki anaşok ve öncü+artçı şokların dağılımı... ..	119
Şekil 8.12: Anaşoklara ait Sınırlanmış Gutenberg-Richter fonksiyonları	120
Şekil 8.13: Deprem kataloğunda bulunan anaşoklar için elde edilen yineleme ilişkisi	120
Şekil 8.14: Deprem kataloğundaki tüm depremlere ait Sınırlanmış Gutenberg-Richter fonksiyonları	121
Şekil 8.15: Tüm depremler için elde edilen yineleme ilişkisi.....	121
Şekil 8.16: Uzunluk tanımlamaları için kullanılan notasyon.....	123
Şekil 8.17: Denizli'nin OSTA için oluşturulan mantık ağacı	130
Şekil 8.18: Denizli için OSTA sonucu elde edilen sismik tehlike eğrisi	131
Şekil 8.19: Tez çalışması ve Türkiye Sismik Tehlike Haritası ile elde edilen STE'lerinin karşılaştırılması	132
Şekil 8.20: Deprem kataloğunun Denizli'nin STE üzerindeki etkisi.....	133
Şekil 8.21: Kullanılan azalım ilişkisinin Denizli'nin STE üzerindeki etkisi ..	133
Şekil 8.22: Azalım ilişkisi tahminlerinin Denizli'nin STE üzerindeki etkisi..	134
Şekil 8.23: Deprem boyutunun Denizli'nin STE üzerindeki etkisi	135
Şekil 9.1: Sigorta risk primleri hesabı akış diyagramı (Yüçemen 2005).....	137
Şekil 9.2: MYH gruplarının deprem sigortası primlerine katkısı	145
Şekil D.1: İyi kalitedeki TDY1975 binalarının ağır hasar olasılıklarını gösteren hasar görebilirlik eğrileri.....	197
Şekil D.2: Orta kalitedeki TDY1975 binalarının ağır hasar olasılıklarını gösteren hasar görebilirlik eğrileri.....	197
Şekil D.3: Kötü kalitedeki TDY1975 binalarının ağır hasar olasılıklarını gösteren hasar görebilirlik eğrileri.....	198
Şekil D.4: İyi kalitedeki TDY1975 binalarının orta hasar olasılıklarını gösteren hasar görebilirlik eğrileri.....	198
Şekil D.5: Orta kalitedeki TDY1975 binalarının orta hasar olasılıklarını gösteren hasar görebilirlik eğrileri.....	199
Şekil D.6: Kötü kalitedeki TDY1975 binalarının orta hasar olasılıklarını gösteren hasar görebilirlik eğrileri.....	199
Şekil D.7: İyi kalitedeki TDY1975 binalarının hafif hasar olasılıklarını gösteren hasar görebilirlik eğrileri.....	200

Şekil D.8: Orta kalitedeki TDY1975 binalarının hafif hasar olasılıklarını gösteren hasar görebilirlik eğrileri.....	200
Şekil D.9: Kötü kalitedeki TDY1975 binalarının hafif hasar olasılıklarını gösteren hasar görebilirlik eğrileri.....	201
Şekil F.1: Tez kapsamında ele alınan mevcut binaların bölgedeki konumu...	245

TABLO LİSTESİ

Sayfa

Tablo 3.1: Mevcut binaların yapım yılına ve kat sayılarına göre dağılımı	16
Tablo 3.2: Kesit hasar sınırları için izin verilen şekildeğiştirme değerleri	26
Tablo 3.3: Farklı ulusal yönetmeliklerdeki bina performans sınırları ve DBYBHY2007’de karşılığı	30
Tablo 3.4: DBYBHY2007’de tanımlanan performans düzeyi şartları.....	30
Tablo 3.5: Örnek BO7SN4 binasının performans düzeyi sınır değerleri.....	32
Tablo 3.6: Örnek BO7SN4 binasının kapasite eğrisi parametreleri.....	34
Tablo 3.7: Mevcut binaların kapasite parametrelerine ait merkezî eğilim ölçütleri.....	40
Tablo 4.1: İvme kayıtlarının ait oldukları depremler (Palanci 2014).....	42
Tablo 4.2: İvme gruplarının MYH bilgileri ve kayıt sayıları (Palanci 2014) ...	43
Tablo 4.3: NEHRP zemin sınıfları ve zemin sınıflandırma kriterleri	43
Tablo 6.1: HOM hesap yöntemlerinin avantaj ve dezavantajları.....	56
Tablo 6.2: BO7SN4 binasının YZ analiz yönündeki yatay ötelenme kapasiteleri.....	58
Tablo 6.3: BO7SN4 binası için elde edilen aşılma sayıları ve olasılıkları.....	59
Tablo 6.4: BO7SN4 binasının hasar seviyeleri için elde edilen ortalama ve standart sapma değerleri	60
Tablo 7.1: Hasar olasılık matrislerinin genel yapısı (Bilal ve diğ. 2013)	74
Tablo 7.2: Whitman ve diğ. (1973) tarafından önerilen MHO değerleri.....	75
Tablo 7.3: ATC-13’te yer alan MHO değerleri	76
Tablo 7.4: Gürpınar ve diğ. (1978) tarafından kullanılan MHO değerleri.....	76
Tablo 7.5: Bilal ve diğ. (2013) tarafından kullanılan MHO değerleri	77
Tablo 7.6: Hancılar ve diğ. (2019) tarafından kullanılan MHO değerleri	77
Tablo 7.7: Tez çalışmasında kullanılan MHO değerleri	78
Tablo 7.8: Hasar olasılık matrisinde OHO’nın belirlenmesi (Palanci 2014)....	79
Tablo 7.9: Çalışmada kullanılan örnek HOM	79
Tablo 7.10: Doğrusal olmayan analiz modeli sayılarının yapı ve kalite sınıfına göre dağılımı	80
Tablo 7.11: İyi kalitedeki BO7SN4-YZ modelinde hasar oluşma sayıları	81
Tablo 7.12: BO7SN4-YZ modelinin MYH gruplarındaki hasar durumları.....	82
Tablo 7.13: İyi kalitedeki TDY1975 binaları için Olası En Büyük Hasar Yöntemi ile elde edilen HOM (MHO-Gürpınar ve diğ. (1978))....	83
Tablo 7.14: İyi kalitedeki TDY1975 binaları için Olası En Büyük Hasar Yöntemi ile elde edilen HOM (MHO-Kalkan (2019))	84
Tablo 7.15: İyi kalitedeki TDY1975 binaları için Olası En Büyük Hasar Yöntemi ile elde edilen HOM (MHO-Hancılar ve diğ. (2019))	85
Tablo 7.16: İyi kalitedeki TDY1975 binaları için Lognormal Dağılım Yöntemi ile elde edilen HOM (MHO-Gürpınar ve diğ. (1978))....	87
Tablo 7.17: İyi kalitedeki TDY1975 binaları için Lognormal Dağılım Yöntemi ile elde edilen HOM (MHO-Kalkan (2019))	88
Tablo 7.18: İyi kalitedeki TDY1975 binaları için Lognormal Dağılım Yöntemi ile elde edilen HOM (MHO-Hancılar ve diğ. (2019))	89
Tablo 7.19: İyi kalitedeki TDY1975 binaları Doğrudan Hesap Yöntemi ile elde edilen HOM (MHO-Gürpınar ve diğ. (1978)).....	91

Tablo 7.20: İyi kalitedeki TDY1975 binaları için Doğrudan Hesap Yöntemi ile elde edilen HOM (MHO-Kalkan (2019))	92
Tablo 7.21: İyi kalitedeki TDY1975 binaları için Doğrudan Hesap Yöntemi ile elde edilen HOM (MHO-Hancılar ve diğ. (2019))	93
Tablo 8.1: UDAP (2014) kapsamında kullanılan yer hareketi tahmin denklemleri	111
Tablo 8.2: CY08 azalım ilişkisinde periyottan bağımsız model katsayıları ...	124
Tablo 8.3: CY08 azalım ilişkisinde periyota bağımlı model katsayıları.....	124
Tablo 8.4: CY08 azalım ilişkisinde zemin davranışı model katsayıları.....	124
Tablo 8.5: CY08 azalım ilişkisinde varyans modeline ait model katsayıları..	125
Tablo 8.6: ASB14 azalım ilişkisinde periyottan bağımsız model katsayıları .	126
Tablo 8.7: ASB14 azalım ilişkisinde periyota bağımlı model katsayıları	126
Tablo 8.8: KAAH15 azalım ilişkisinde periyottan bağımsız regresyon katsayıları	128
Tablo 8.9: KAAH15 azalım ilişkisinde periyota bağımlı standart sapma katsayıları	128
Tablo 8.10: KAAH15 azalım ilişkisinde periyota bağımlı f_{site} katsayıları.....	128
Tablo 8.11: KAAH15 azalım ilişkisinde periyota bağımlı regresyon katsayıları	128
Tablo 9.1: MYH gruplarına karşılık gelen yıllık aşılma olasılıkları.....	139
Tablo 9.2: İyi kalitedeki TDY1975 binaları için elde edilen deprem sigortası primleri	140
Tablo 9.3: Orta kalitedeki TDY1975 binaları için elde edilen deprem sigortası primleri.....	140
Tablo 9.4: Kötü kalitedeki TDY1975 binaları için elde edilen deprem sigortası primleri.....	141
Tablo 9.5: TDY1998 binaları için elde edilen deprem sigortası primleri	141
Tablo 9.6: Zorunlu deprem sigortası primleri (DASK 2018)	143
Tablo 9.7: Mevcut binalar için hesaplanan ve DASK tarafından uygulanan deprem sigorta primleri	144
Tablo 9.8: MYH gruplarının deprem sigortası primlerine katkısı	144
Tablo 9.9: Tenzili muafiyet oranının %25 olması durumunda hesaplanan deprem sigorta primleri	146
Tablo 9.10: Mevcut binaların OHO'ları için kullanılan merkezi hasar oranları	147
Tablo 9.11: MHO'larının ticari deprem sigortası primi üzerindeki etkisi	147
Tablo 9.12: HOM hesap yönteminin ticari deprem sigortası primi üzerindeki etkisi	149
Tablo 9.13: OSTA'nde deprem kataloğunun ticari deprem sigortası primi üzerindeki etkisi	150
Tablo A.1: Mevcut binaların yapısal özellikleri	180
Tablo A.2: Mevcut binaların doğrusal analiz sonuçları	181
Tablo A.3: Mevcut binaların DBYBHY2007 performans düzeyi sınırları.....	182
Tablo A.4: TDY1975 binalarına ait kapasite parametreleri.....	183
Tablo B.1: Doğrusal olmayan dinamik analizlerde kullanılan ivme kayıtları	184
Tablo C.1: Mevcut binalara ait yerdeğiştirme talepleri	194
Tablo D.1: TDY1975 binalarının hasar görebilirlik eğrilerine ait parametre değerleri.....	195
Tablo D.2: TDY1998 binalarının hasar görebilirlik eğrilerine ait parametre değerleri.....	196

Tablo E.1: Orta kalitedeki TDY1975 binaları için Olası En Büyük Hasar Yöntemi ile elde edilen HOM (MHO-Gürpınar ve diğ. (1978))..	202
Tablo E.2: Orta kalitedeki TDY1975 binaları için Olası En Büyük Hasar Yöntemi ile elde edilen HOM (MHO-Kalkan (2019))	203
Tablo E.3: Orta kalitedeki TDY1975 binaları için Olası En Büyük Hasar Yöntemi ile elde edilen HOM (MHO-Hancılar ve diğ. (2019)) ..	204
Tablo E.4: Kötü kalitedeki TDY1975 binaları için Olası En Büyük Hasar Yöntemi ile elde edilen HOM (MHO-Gürpınar ve diğ. (1978))..	205
Tablo E.5: Kötü kalitedeki TDY1975 binaları için Olası En Büyük Hasar Yöntemi ile elde edilen HOM (MHO-Kalkan (2019))	206
Tablo E.6: Kötü kalitedeki TDY1975 binaları için Olası En Büyük Hasar Yöntemi ile elde edilen HOM (MHO-Hancılar ve diğ. (2019)) ..	207
Tablo E.7: TDY1998 binaları için Olası En Büyük Hasar Yöntemi ile elde edilen HOM (MHO-Gürpınar ve diğ. (1978))	208
Tablo E.8: TDY1998 binaları için Olası En Büyük Hasar Yöntemi ile elde edilen HOM (MHO-Kalkan (2019))	209
Tablo E.9: TDY1998 binaları için Olası En Büyük Hasar Yöntemi ile elde edilen HOM (MHO-Hancılar ve diğ. (2019))	210
Tablo E.10: Orta kalitedeki TDY1975 binaları için Lognormal Dağılım Yöntemi ile elde edilen HOM (MHO-Gürpınar ve diğ. (1978)).	211
Tablo E.11: Orta kalitedeki TDY1975 binaları için Lognormal Dağılım Yöntemi ile elde edilen HOM (MHO-Kalkan (2019))	212
Tablo E.12: Orta kalitedeki TDY1975 binaları için Lognormal Dağılım Yöntemi ile elde edilen HOM (MHO-Hancılar ve diğ. (2019)) .	213
Tablo E.13: Kötü kalitedeki TDY1975 binaları için Lognormal Dağılım Yöntemi ile elde edilen HOM (MHO-Gürpınar ve diğ. (1978)).	214
Tablo E.14: Kötü kalitedeki TDY1975 binaları için Lognormal Dağılım Yöntemi ile elde edilen HOM (MHO-Kalkan (2019))	215
Tablo E.15: Kötü kalitedeki TDY1975 binaları için Lognormal Dağılım Yöntemi ile elde edilen HOM (MHO-Hancılar ve diğ. (2019)) .	216
Tablo E.16: TDY1998 binaları için Lognormal Dağılım Yöntemi ile elde edilen HOM (MHO-Gürpınar ve diğ. (1978))	217
Tablo E.17: TDY1998 binaları için Lognormal Dağılım Yöntemi ile elde edilen HOM (MHO-Kalkan (2019))	218
Tablo E.18: TDY1998 binaları için Lognormal Dağılım Yöntemi ile elde edilen HOM (MHO-Hancılar ve diğ. (2019))	219
Tablo E.19: Orta kalitedeki TDY1975 binaları için Doğrudan Olasılıklar Yöntemi ile elde edilen HOM (MHO-Gürpınar ve diğ. (1978)).	220
Tablo E.20: Orta kalitedeki TDY1975 binaları için Doğrudan Olasılıklar Yöntemi ile elde edilen HOM (MHO-Kalkan (2019))	221
Tablo E.21: Orta kalitedeki TDY1975 binaları için Doğrudan Olasılıklar Yöntemi ile elde edilen HOM (MHO-Hancılar ve diğ. (2019)) .	222
Tablo E.22: Kötü kalitedeki TDY1975 binaları için Doğrudan Olasılıklar Yöntemi ile elde edilen HOM (MHO-Gürpınar ve diğ. (1978)).	223
Tablo E.23: Kötü kalitedeki TDY1975 binaları için Doğrudan Olasılıklar Yöntemi ile elde edilen HOM (MHO-Kalkan (2019))	224
Tablo E.24: Kötü kalitedeki TDY1975 binaları için Doğrudan Olasılıklar Yöntemi ile elde edilen HOM (MHO-Hancılar ve diğ. (2019)) .	225
Tablo E.25: TDY1998 binaları için Doğrudan Olasılıklar Yöntemi ile elde edilen HOM (MHO-Gürpınar ve diğ. (1978))	226

Tablo E.26: TDY1998 binaları için Doğrudan Olasılıklar Yöntemi ile elde edilen HOM (MHO-Kalkan (2019))	227
Tablo E.27: TDY1998 binaları için Doğrudan Olasılıklar Yöntemi ile elde edilen HOM (MHO-Hancılar ve diğ. (2019))	228
Tablo F.1: Denizli için oluşturulan deprem katalođu	229

KISALTMALAR

AFAD	: Afet ve Acil Durum Yönetimi Başkanlığı
ASB14	: Akkar, Sandikkaya ve Bommer (2014) azalım ilişkisi
ATC	: Applied Technology Council
BYHO	: Beklenen yıllık hasar oranı
CDI	: Kaliforniya Sigorta Departmanı
CG	: Can güvenliği (DBYBHY2007)
CP	: Collapse prevention (NEHRP/FEMA-356)
CY08	: Chiou ve Youngs (2008) azalım ilişkisi
ÇP	: Çıplak (Safi) sigorta primi
ÇSD	: Çok serbestlik dereceli sistem
DASK	: Doğal Afet Sigortaları Kurumu
DBYBHY2007	: 2007 tarihli Deprem Bölgelerine Yapılacak Binalar Hakkında Yönetmelik
DL	: Damage limitation (EC8-3)
DOSB	: Denizli Organize Sanayi Bölgesi
DSTA	: Deterministik sismik tehlike analizi
EC8-3	: Eurocode 8 Bölüm 3
FEMA	: Ulusal Acil Durum Yönetim Ajansı
GÇ	: Göçme sınırı (DBYBHY2007)
GÖ	: Göçmenin önlenmesi (DBYBHY2007)
GV	: Güvenlik sınırı (DBYBHY2007)
HD	: Hasar durumu
HK	: Hemen kullanım (DBYBHY2007)
HOM	: Hasar olasılık matrisi
IO	: Immediate occupancy (NEHRP/FEMA-356)
İMO	: İnşaat Mühendisleri Odası
KA AH15	: Kale, Akkar, Ansari ve Hamzehloo (2015) azalım ilişkisi
KRDAE	: Kandilli Rasathanesi ve Deprem Araştırma Enstitüsü
LS	: Life safety (NEHRP/FEMA-356)
MHO	: Merkezi hasar oranı
MIT	: Massachusetts Teknoloji Enstitüsü
MMI	: Değişkenmiş Mercalli Ölçeği
MN	: Minimum hasar sınırı (DBYBHY2007)
MYD	: Maksimum yerdeğiştirme
MYH	: Maksimum yer hızı
MYİ	: Maksimum yer ivmesi
NC	: Near collapse (EC8-3)
NEHRP	: National Earthquake Hazards Reduction Program
NIBS	: Ulusal Bina Standartları Enstitüsü
OHO	: Ortalama hasar oranı
OP	: Operational (NEHRP/FEMA-356)
OSTA	: Olasılıksal sismik tehlike analizi
RYTEİE	: Riskli Yapıların Tespit Edilmesine İlişkin Esaslar
SB	: Sigorta bedeli
SD	: Slight damage (EC8-3)
STA	: Sismik tehlike analizi
TBDY2018	: Türkiye Bina Deprem Yönetmeliği

TDY1975	: 1975 tarihli Afet Bölgelerine Yapılacak Yapılar Hakkında Yönetmelik
TDY1998	: 1998 tarihli Afet Bölgelerine Yapılacak Yapılar Hakkında Yönetmelik
TMMOB	: Türk Mühendis ve Mimar Odaları Birliđi
TP	: Ticari sigorta primi
YF	: Yük faktörü

ÖNSÖZ

Öncelikle bu çalışmayı bana önererek, değerli katkılarını ve emeğini hiçbir zaman esirgemeyen, insani ve ahlaki değerleri ile örnek edindiğim, yanında çalışmaktan her zaman onur duyduğum, hayatımın en zor zamanlarında yanımda olan çok değerli danışman hocam Prof. Dr. Şevket Murat Şenel'e sonsuz teşekkür ederim. İyi ki varsınız hocam.

Bir ekip olmaktan zevk duyduğum, çalışma hayatım boyunca yardım ve desteklerini hiçbir zaman esirgemeyen değerli hocam ve ekip arkadaşım Dr. Öğr. Üyesi Mehmet Palancı'ya ve sabrından dolayı çok değerli eşi Züleyha Palancı'ya teşekkür ederim.

Yaşadığım tüm zorluklarda bir ağabey gibi yanımda olan, görüşlerine ve deneyimlerine büyük saygı duyduğum sayın hocam Doç. Dr. Özgür Başkan'a ve saygıdeğer eşi Doç. Dr. Meltem Bilici Başkan'a verdikleri destek için çok teşekkür ederim.

Tanıştığım günden itibaren tüm üzüntü ve sevinçlerimi paylaştığım, zor günlerimizde birlikte olduğumuz, dünyada gördüğüm en uyumlu iki insan olan sayın Dr. Öğr. Üyesi Engin Nacaroğlu'na ve güzel eşi Damla Nacaroğlu'na yaptıkları kardeşlik ve dostluk için minnetlerimi sunarım.

Kendisiyle kahve saatlerinde muhabbet etmekten keyif aldığım, Dr. Öğr. Üyesi Bayram Tanık Çaycı'ya ve eşi Sibel Çaycı'ya teşekkürlerimi sunuyorum. Benimle yaptıkları akşam yürüyüşlerini asla unutmayacağım.

Tanıştığım andan itibaren kendisine hayran olduğum ve birlikte olmaktan keyif aldığım Bahar Toprakçı'ya sabır ve desteği sebebiyle sonsuz teşekkür ederim. İyi ki tanıdım ve iyi ki hayatımdasın.

Son olarak hayatım boyunca her türlü fedakârlığı gösteren, maddi ve manevi desteklerini hiçbir zaman esirgemeyen, iyiliğim için gerektiğinde kendilerinden ödün veren babam Hüseyin'e, sevgili annem Hatice'ye, kardeşim Aykan'a ve eşi Tuğçe'ye sonsuz teşekkür ederim. Hayattaki en büyük şansınızdır...

1. GİRİŞ

Ülkemiz mevcut yapı stokunun büyük bölümü sismik tehlike riski yüksek olan bölgelerde bulunmaktadır. Ülke yüzölçümünün yaklaşık %96'sının, nüfusunun ise %99'unun deprem riski altında olduğu yapılan çalışmalarla ortaya konulmuştur (Türkoğlu 2001). Son yıllarda meydana gelen yıkıcı depremlerin neden olduğu can kayıpları ve ağır hasarlar bu durumun bir göstergesi niteliğindedir. Deprem riskinin ekonomik açıdan gelişmişlik düzeyi yüksek kentlerimizde fazla olması (Avcı 2011) mevcut yapı stokumuzun deprem performansı açısından değerlendirilmesi ve riskli yapıların sebep olacağı kayıpların gerçekçi bir şekilde tahminini zorunlu hâle getirmektedir.

Olası bir deprem sonrası oluşacak hasarların telafisi/yeniden inşası için gerekli olan bütçe, ülke ekonomisini etkileyecek kadar büyüktür. 1999 Marmara Depremi'nin etkilediği 7 ilde (Kocaeli, Sakarya, Yalova, Bolu, Bursa, Eskişehir ve İstanbul) deprem sonrasında bölgeye yapılan harcamaların toplamının 2 katrilyon 511 trilyon 454 milyar TL olduğu bilinmektedir (Şahin ve Kılınç 2016). Ülkemizde meydana gelen depremler sonucunda yapılacak bu gibi harcamalara kaynak yaratılması amacıyla 2000 yılında 587 sayılı Kanun Hükmünde Kararname ile Doğal Afet Sigortaları Kurumu (DASK) kurularak zorunlu deprem sigortası sistemi uygulamaya konulmuştur. Zorunlu deprem sigortası, her yıl DASK tarafından belirlenen tarife ve talimatlar ile uygulanmakta, en basit hâli ile yapının brüt yüzölçümü ile yapıya ait sigorta bedeli tespit edilerek, yapı taşıyıcı sistem türüne ve deprem bölgesine göre belirlenen tarife ile prim değeri hesaplanmaktadır. Bu nedenle standart hâle getirilen tarife fiyatlarının deprem sonrasında yapılardaki bölgesel hasar durumunu yansıtması gereklidir.

1.1 Problemin Tanımı

17 Ağustos ve 12 Kasım 1999 tarihinde yaşanan iki büyük depremin neden olduğu ekonomik kayıplar zorunlu deprem sigortası fikrini ortaya çıkarmıştır. Zorunlu deprem sigortasına ivedilikle hayata geçirilmesine ihtiyaç duyulmuş, DASK denetiminde ve koordinasyonluğu altında Başbakanlık, Hazine Müsteşarlığı ve sigorta

şirketleri tarafından sigorta primleri belirlenmiştir. Konunun aciliyeti sebebiyle çok kapsamlı ve detaylı çalışma imkânı bulunmadan belirlenen prim değerleri, yapı tarzına (çelik, betonarme, yığma, diğer yapı türleri) ve Türkiye Deprem Bölgeleri Haritası esas alınarak belirlenen beş farklı deprem bölgesine göre farklılık göstermektedir. Prim değerlerinin hesaplanması sırasında binanın yapım yılı için sadece 2007 yılı esas alınarak tarife fiyatı üzerinden indirim yapılmakta, bu tarihten önce yapılan yapılar için yapım yılı göz önüne alınmamaktadır. Ayrıca prim hesabında yapının projelerine uygunluğu, taşıyıcı sistem kalitesi gibi deprem performansını etkileyen parametrelerin bulunmaması, önerilen prim değerlerinin gerçekliğinin sorgulanmasına neden olmaktadır.

1.2 Amaç ve Kapsam

Çalışmanın öncelikli amacı, sigorta primlerinin hesabında kullanılan tarife fiyatların bölgenin sismik riskini ne oranda temsil ettiğini sorgulamak ve bölgedeki yapı stokuna uygun gerçekçi prim oranları elde etmektir. Bu nedenle yapılan çalışmada önemli bir sanayi ve ihracat merkezi olan Denizli’de bulunan farklı yapım yıllarına ve kat sayılarına sahip mevcut betonarme binalar kullanılmıştır. Envanter çalışmaları ile binalara ait yapım projeleri elde edilmiştir. Proje incelemeleri sonucunda yapısal özellikler (kesit boyutları, donatı açılımları, malzeme bilgileri, vb.) belirlenerek bölgesel yapı stokunu temsil eden yapı kataloğu oluşturulmuştur.

Depremlerde meydana gelen hasar dağılımının tahmin edilebilmesi için yapılara ait dayanım ve deplasman kapasiteleri ile deprem nedeniyle oluşan deplasman taleplerinin gerçekçi bir şekilde belirlenmesi gerekmektedir. Bu amaçla yapılara ait üç boyutlu analiz modelleri hazırlanarak doğrusal olmayan statik itme analizleri ile dayanım ve deplasman kapasiteleri elde edilmiştir. Deplasman talebinin hesabı için seçilen 364 adet ivme kaydı, maksimum yer hızlarına (MYH) göre 12 gruba ayrılmıştır. Zaman tanım alanında doğrusal olmayan dinamik analizler ile yapıların sismik deplasman talepleri hesaplanmış ve farklı hasar seviyeleri için her bir yapıya ait hasar görülebilirlik eğrileri elde edilmiştir. Çalışmanın bir diğer önemli amacı da mevcut yapı stokunu yapısal parametrelere göre kalite açısından sınıflandırabilmektir.

Bu nedenle hesaplanan hasar görebilirlik eğrilerini kullanılarak mevcut yapılar 3 farklı kalite sınıfına (iyi, orta ve kötü) ayrılmıştır.

Bölgeye uygun prim katsayılarının hesabı için iki bileşene ihtiyaç duyulmaktadır. Bunlardan birincisi bölgede depremlerde yapıların uğrayacağı hasar dağılımlarını gösteren hasar olasılık matrisleri, diğeri ise bölgenin sismik tehlike analizidir. Hasar olasılık matrislerinin (HOM) hesabı sırasında gözlemsel çalışma yapılmamış, doğrusal olmayan analizlerle elde edilen kapasite ve talep deplasman değerleri 3 farklı analitik yaklaşım kullanılarak hesaplamalar yapılmıştır. Mevcut yapılarda her bir kalite sınıfını temsil eden HOM'leri belirlenirken, hesaplamalardaki belirsizlikler göz önüne alınmıştır. Bölgeye ait güncel hasar dağılımlarının elde edilmesi çalışmanın hedefleri arasındadır.

Bölgede farklı MYH'da deprem tehlikesinin nicel hesabı için bölgeye ait sismik tehlike eğrisi olasılıksal sismik tehlike analizi (OSTA) ile elde edilmiştir. OSTA'nde öncelikle bölgede hasar yaratabilecek deprem kaynakları belirlenmiştir. Belirlenen kaynaklarda son 118 yılda meydana gelen depremler ayrıştırılarak (anaşok/öncü+artçı şok) deprem kataloğu oluşturulmuştur. Değişik ölçeklerde elde edilen deprem magnitüdüleri literatürde yer alan dönüşüm bağıntıları kullanılarak tek bir ölçeğe çevrilmiştir. Geçmiş depremlerin büyüklük-sıklık ilişkisi kullanılarak farklı yer hareketi değerlerinin aşılma olasılıkları hesaplanmıştır. Deprem kaynaklarında meydana gelen farklı büyüklükteki depremlerin bölgede belirlenen MYH değerini aşma olasılığı üç farklı yer hareketi tahmin denklemi ile belirlenmiştir. Hesaplamalardaki belirsizlikleri sistematik bir şekilde ele almak için sismik tehlike eğrisinin hesabı sırasında mantık ağacı yöntemi kullanılmıştır. Elde edilen veriler ışığında Denizli için sismik tehlike eğrisi oluşturulmuştur. Denizli için elde edilen sismik tehlike eğrisi ile Mart 2018'de 30364 sayılı resmî gazetede yayınlanan Türkiye Bina Deprem Yönetmeliği'nden (TBDY2018) elde edilen veriler kıyaslanmıştır. Yapılan değerlendirmeler neticesinde, çalışma kapsamında elde edilen sismik tehlike eğrisi ile TBDY2018 ile elde edilen eğrinin oldukça yaklaşık sonuçlar verdiği gözlenmiştir.

Bölge için ortalama hasar oranının (OHO) ve sismik tehlike eğrisinin hesabının ardından farklı bina kalite sınıfları için güncel deprem sigortası risk primleri hesaplanmıştır. Tez çalışmasının sonunda bina deprem performansları göz önüne

alınarak elde edilen sigorta prim oranları ile DASK tarafından belirlenen zorunlu deprem sigortası prim oranları kıyaslanmıştır.

1.3 Tezin Düzeni

Yapılan tez çalışması toplam on bölümden oluşmaktadır. Bu bölümlerin içeriği aşağıdaki gibi özetlenebilir:

İkinci bölümde yapılan tez çalışması ile ilgili önceden yapılan çalışmalar hakkında bilgi verilmektedir. Bu bölüm mevcut binaların deprem performansı ile ilgili yapılan çalışmalar, HOM ile ilgili yapılan çalışmalar ve sigorta risk prim hesabı ile ilgili yapılan çalışmalar olmak üzere üç başlık hâlinde değerlendirilmiştir.

Üçüncü bölümde tez çalışması kapsamında envanter çalışmaları ile oluşturulan yapı kataloğuna ait yapısal özellikler yer almaktadır. Aynı zamanda bu bölümde binalara ait doğrusal olmayan analizler ve binalara ait kapasite eğrileri de yer almaktadır.

Dördüncü bölümde yapıların doğrusal olmayan dinamik analizlerinde kullanılmak üzere seçilen ve MYH değerlerine göre 12 gruba ayrılan ivme kayıtlarına ait parametreler ve tepki spektrumları yer almaktadır.

Beşinci bölümde yapıların doğrusal olmayan dinamik analizleri ile elde edilen talep deplasmanları ve bu değerlerin istatistiksel değerlendirmesi yer almaktadır.

Altıncı bölümde hasar görülebilirlik eğrileri ile ilgili genel bilgiler ve her hasar seviyesi için tahmin edilen hasar görülebilirlik eğrileri yer almaktadır. Yine bu bölümde bölgedeki yapı stoku hasar görülebilirlik eğrileri kullanılarak kapasite parametrelerine göre üç farklı kalite sınıfına (iyi, orta ve kötü) ayrılmıştır.

Yedinci bölümde HOM ile ilgili genel bilgiler ve tez kapsamında yapılan hesaplarda kullanılan üç farklı analitik yaklaşım yer almaktadır. Yapılan hesaplar sonrasında üç farklı kalite sınıfı için ayrı ayrı elde edilen güncel HOM'lerine bu bölümde yer verilmiştir.

Sekizinci bölümde literatürde yer alan sismik tehlike analizi yöntemleri hakkında bilgi verilmiştir. Ayrıca bu bölümde OSTA'nın hesap adımları ayrıntıları ile açıklanmış ve Denizli için elde edilen sismik tehlike eğrisinin hesaplarına yer verilmiştir. Mantık ağacı yönteminde dikkate alınan belirsizliklerin sonuçlara etkileri duyarlılık analizleri ile araştırılmıştır. Denizli için elde edilen sismik tehlike eğrisinin TBDY2018'den elde edilen eğri ile kıyaslanması da yine bu bölümde gösterilmiştir.

Dokuzuncu bölümde mevcut yapıların sigorta prim hesabında kullanılan olasılıksal deprem sigortası primi hesap modeli hakkında bilgiler yer almaktadır. Bu bölümde binaların deprem performansı göz önüne alınarak hesaplanan deprem sigortası primleri ile ülkemizde kullanılmakta olan zorunlu deprem sigortası prim değerlerinin kıyaslanmasına yer verilmiştir. Bu bölümde ayrıca duyarlılık analizleri ile ticari deprem sigortası primlerine etki eden parametreler ve etki yüzdeleri belirlenmiştir.

Son bölümde ise tez çalışmasında yapılan hesaplar ve bölümlerden elde edilen veriler ışığında mevcut yapı stoku ve olasılıksal deprem sigortası prim hesabı ile ilgili değerlendirmeler yapılmıştır. Yine bu bölümde tez çalışması kapsamında gelecekte yapılabilecek araştırmalar hakkında öneriler yer almaktadır.

2. ÖNCEKİ ÇALIŞMALAR

Tez çalışması kapsamında incelenen önceki çalışmalar bu bölümde üç başlık altında toplanmıştır. Bunlardan ilki uluslararası literatüre giren ve ülkemizde mevcut binaların deprem performansı ile ilgili yapılan çalışmaları kapsamaktadır. İkinci başlıkta deprem sigorta prim hesabı için ihtiyaç duyulan HOM hesabı ve bu konuda ulusal ve uluslararası literatürde yer alan çalışmalar ele alınmaktadır. Üçüncü ve son başlıkta ise deprem sigorta risk primi hesabı için özellikle ülkemizde yapılmış olan çalışmalara yer verilmiştir.

2.1 Mevcut Binaların Deprem Performansı Tahmini ile İlgili Yapılan Çalışmalar

Mevcut yapı stokumuzun büyük çoğunluğunu 1998 öncesi projelendirilen binaların oluşturduğu bilinmektedir (TMMOB-İMO 2011). Yaşanılan depremler sonrası gözlenen kayıplar, yeterli kalite ve işçilikten yoksun olarak inşa edilen bu tip binaların deprem performansının bir an önce belirlenmesi gerektiğini göstermektedir. Detaylı analizler sırasında yaşanan süre kaybını azaltmak ve deprem performansı hesabını basitleştirmek için ulusal ve uluslararası literatürde birçok hasar tahmin yönteminin olduğu bilinmektedir.

Uluslararası literatürde farklı taşıyıcı sisteme sahip mevcut binaların deprem performansının araştırıldığı birçok çalışma bulunmaktadır. Özellikle deprem sonrasında hasar tahmininin yapısal parametrelere bağlı hesabı için devlet kurumları ve araştırma enstitüleri tarafından çeşitli yöntemler önerilmiştir. Bu yöntemlerin türetilmesi sırasında bazı çalışmalarda (Spence ve diğ. 1992, Orsini 1999, Yamazaki ve Muraio 2000, Miyakoshi ve diğ. 1997) ampirik verilere, bazı çalışmalarda (Onose 1982, Singhal ve Kiremidjian 1997, Mosalam ve diğ. 1997) analitik verilerden hesaplanan hasar olasılıklarına, bazı çalışmalarda ise (ATC-13 1985) tecrübeli kişilerin bilgisine başvurulmaktadır. Rossetto ve Elnashai (2003) tarafından yapılan çalışmada ise bahsedilen yöntemlerin birlikte kullanılmasıyla hasar tahmini yapmaya imkân veren hibrit bir yaklaşım önerilmiştir. Bu çalışmada geçmişte yaşanan 19

depremden elde edilen hasar dağılımları ile hesaplanan hasar görebilirlik eğrileri kullanılmıştır. Çalışmada ayrıca maksimum görelî ötelenmeler kullanılarak geliştirilen hasar ölçęđi sunulmuştur.

Amerika’da Ulusal Acil Durum Yönetim Ajansı (FEMA) ve Ulusal Bina Standartları Enstitüsü (NIBS) tarafından bölgesel deprem kayıplarının tahmini için bir HAZUS yazılımı (NIBS 1997) geliştirilmiştir (Whitman ve dię. 1997). FEMA/NIBS kayıp tahmin yönteminin bir bölümü olarak geliştirilen kayıp fonksiyonlarının anlatıldığı çalışmada (Kircher ve dię. 2003), depremin neden olduęu ekonomik kayıplar yapısal sistem, yapısal olmayan sistem ve yapıda bulunanlar nedeniyle oluşan ekonomik kayıplar olmak üzere üç bölümde incelemiştir. Bulduęu ekonomik kayıpları mantık ağacı yöntemiyle birleştirerek toplam ekonomik kayıpları her bir hasar seviyesi için hesaplamaya imkân veren ekonomik kayıp fonksiyonunu önermiştir. Kircher ve dię. (2003), 1994 Northridge depremi için gözlenen kayıp oranlarını ekonomik kayıp fonksiyonu, ATC-13 hasar olasılık matrisleri (ATC 1985) ve Steinbrugge (1982) kayıp oranları ile kıyaslamıştır. Çalışmada ekonomik kayıp fonksiyonunun deprem ölçüsü olarak gözlemsel deęerlendirmelere dayanan Deęişkenmiş Mercalli Ölçeđi (MMI) kullanmak yerine, maksimum yer ivmesi (MYİ) veya maksimum yerdeęiştirme (MYD) kullanılmanın gelecekteki hasar kayıp tahminlerinin nicel hesabına imkân vereceđi sonucuna varılmıştır.

Ülkemizde mevcut yapıların sismik hasar tahmini için Özcebe ve dię. (2003) ve Yüçemen ve dię. (2004), 12 Kasım 1999 Düzce depremine ait hasar verilerinin diskriminant analizine baęlı deęerlendirilmesine imkân saęlayan bir yöntem önermiştir. Yapılan çalışmalarda, binaların hasar skorları yapısal parametreler kullanılarak hesaplanmış ve binalar üç farklı risk sınıfına (yüksek, orta ve düşük) ayrılmıştır. Çalışmalarda geliştirilen denklemler 1992 Erzincan ve 2002 Afyon depremlerinden elde edilen sonuçlarla kıyaslanmıştır. Ayrıca bu çalışmalarda önerilen yöntem örnek bir betonarme binaya Özcebe ve dię. (2004) tarafından uygulanmıştır. Yakut ve dię. (2003), Özcebe ve dię. (2003) tarafından önerilen baęıntılarda kullanılan limit deęerleri, zemin özellikleri ve deprem kaynağına uzaklıkları göz önüne alarak güncellemiştir. Yapılan bu çalışmada zeminler 1997 Türk Deprem Yönetmeliđi’ne göre kayma dalgası hızları göz önüne alınarak sınıflandırılmıştır. Çalışmada önerilen limit deęerler Yakut ve dię. (2006) tarafından 1999 Kocaeli ve Düzce depreminde

hasar gören yaklaşık 500 binadan alınan verilerle güncellenerek deprem büyüklüğünün etkisi göz önüne alınmıştır. Güncellenen yöntem, İstanbul'da bir pilot bölgede senaryo deprem sonrasında oluşacak hasar dağılımlarının bulunması için kullanılmıştır. Bu çalışmaların yanında Yakut (2004) yaptığı çalışmada binaların sismik performansını güvenli ya da güvensiz olarak tahmin edilmesine olanak veren hızlı değerlendirme yöntemi önermiştir. Mevcut bir binanın değerlendirilmesini binanın geometrik özelliklerine (kısa kolon, plan düzensizlikleri, vs.) ve malzeme özelliklerine bağlı olarak hesapladığı kapasite indeksleri ile yapmıştır. Yakut (2004), kullandığı katsayılar ile yapıya ait mimari özellikleri ve işçilik kalitesi gibi belirsizlikleri göz önüne almış ve ülkemizde meydana gelen büyük depremlerden elde edilen anketler ile çalışmasını kalibre etmiştir.

Sucuoğlu ve diğ. (2007) ülkemizde bulunan üç ve altı kat arasındaki betonarme binaların anket çalışması ile değerlendirilmesine olanak sağlayan tarama yöntemi önermiştir. Çalışma 1999 Düzce depreminden elde edilen saha verileri ile kalibre edilmiştir. Geliştirilen yöntem İstanbul Deprem Master Planı (2003) çalışması dâhilinde Zeytinburnu'nda bulunan 15000'den fazla betonarme binaya uygulanmıştır. Çalışma yığma yapıların deprem performansının tahmini için de önem taşımaktadır. Anket çalışmaları sonucunda mevcut yığma yapılar basit yapısal özelliklerine göre 120 farklı sınıfa ayrılmıştır. Her bir yığma bina sınıfı için hasar görebilirlik eğrileri elde edilmiş ve hesaplanan hasar görebilirlik eğrileri göz önüne alınarak yığma yapılar alt sınıflara ayrılmıştır. Yığma yapıların performans tahmini deprem ölçeği olarak MYİ'nin kullanıldığı sismik tehlike parametresi ve hasar görebilirlik eğrilerine göre hesaplanan performans indeksi ile yapılmaktadır. Önerilen yöntemin detayları Erberik (2010) tarafından yapılan çalışmada bulunabilir. Bu çalışmaların devamı niteliğinde yapılan tez çalışmasında, Demirci (2014) sismik hasar tahmininde bulunmak için alternatif bir yöntem önermiştir. Sokak taramalarından elde edilen istatistiksel bilgilerle bölgesel yapı stokunu sınıflandırmış ve tek serbestlik dereceli sistem modelleri oluşturmuştur. Dinamik analizlerle elde edilen deplasman taleplerini, deplasman kapasiteleri ile kıyaslayarak yapıların sismik performansını elde etmiştir. Demirci (2014) tarafından önerilen yöntem birinci derece deprem bölgesinde bulunan Erzincan şehrine uygulanmış ve şehrin deprem açısından yüksek risk taşıdığı gösterilmiştir.

Tüzün ve Aydınöđlu (2007), Bolu ilinde farklı kat sayılarına sahip 120 adet mevcut binanın doğrusal olmayan analizlerini Artımsal Dinamik Analiz yöntemi ile (Vamvatsikos ve Cornell 2002) gerçekleştirmiş ve hasar seviyelerinin belirlenmesi için Park&Ang hasar indisi (Park ve Ang 1985) yöntemini kullanmıştır. Çalışmanın sonunda ülkemizdeki bina stokuna uygulanabilecek hasar görebilirlik eğrileri sunulmuştur. Yapılan çalışmaya benzer olarak Tuğsal (2016) seçtiđi 50 mevcut betonarme yapı için yaptığı doğrusal olmayan analizlerle talep/kapasite oranlarını belirlemiştir. Talep/kapasite oranı ve kat ötelemesi parametresine bađlı olarak hasar sınırlarını tanımlamış ve geliştirdiđi yazılımı kullanarak hasar görebilirlik eğrilerini elde etmiştir. Bahsedilen çalışmalarla ampirik ya da analitik olarak elde edilen hasar görebilirlik eğrilerinin mevcut yapı stokuna uygulanabilirliđi Öcalan (2013) tarafından yapılan tez çalışmasında sorgulanmıştır. Çalışma kapsamında 11 adet mevcut betonarme bina seçilerek binalara ait zaman tanım alanında doğrusal olmayan analizler ile taban kesme kuvvetleri, toplam ve görelî yer deđiştirme deđerleri hesaplanmıştır. Elde edilen deđerler literatürde bulunan üç hasar tahmin yöntemi (Rossetto ve Elnashai 2003, Ramamoorty 2006, Kırçıl ve Polat 2006) ile karşılaştırılmıştır.

Ülkemizde yapı stokunun deprem performansının belli basitleştirmeler ve kabuller ile hızlı deđerlendirilmesine imkân sađlayan yöntemlere örnek olarak PERA Yöntemi gösterilebilir. İstanbul Teknik Üniversitesi, Bođaziçi Üniversitesi ve Van Yüzüncü Yıl Üniversitesi'nden katılan araştırmacılar tarafından önerilen yöntem, çerçeve taşıyıcı sistemden oluşun mevcut binaların zemin katını kritik kat kabul ederek ayrıntılı modellemeye gerek kalmadan deđerlendirmeye olanak sađlamaktadır. PERA Yöntemi genel itibariyle bazı basit kabuller eşliđinde Muto Yöntemi (Muto 1956) ve yapı mekaniđi temel ilkelerinin kullanılmasıyla geliştirilmiştir. Önerilen prosedür perde etkinliđi ve kat düzensizlikleri fazla olan yapılarda uygulanamamaktadır. Yöntemin detayları İlki ve diđ. (2014) tarafından yapılan çalışma bulunmaktadır. Bu çalışma ile geliştirilen yöntem Vulaş (2014), Karayıđit (2014) ve Gündođan (2014) tarafından yapılan tez çalışmalarında kullanılmıştır. Vulaş (2014), 1999 Kocaeli Depremi'nden önce inşa edilen 6 bina ve depremden sonra inşa edilen 3 binanın PERA Yöntemi ile elde ettiđi performans sonuçlarını, 2007 tarihli Deprem Bölgelerine Yapılacak Binalar Hakkında Yönetmelik (DBYBHY2007) ve Riskli Binaların Tespit Yönetmeliđi (RYTEİE) ile karşılaştırmıştır. Yapılan çalışma ile PERA Yönteminin performans sonuçlarının DBYBHY2007 ile uyumlu olduđu sonucuna varılmıştır.

Karayiğit (2014) yaptığı çalışmada 1998 yılından önce projelendirilen 6 betonarme binanın deprem performanslarını PERA Yöntemi, DBYBHY2007 ve RYTEİE ile hesaplamıştır. Gündoğan (2014), 9 adet mevcut betonarme bina için aynı yöntemlerle performans hesabı yapmıştır. Ülkemiz için geliştirilen bir diğer hızlı değerlendirme yöntemi de Gülay ve diğ. (2008) tarafından önerilen P25 Yöntemidir. Çırak (2016) yaptığı tez çalışmasında Denizli’de bulunan farklı kat sayılarında 95 adet mevcut betonarme binanın deprem performansını DBYBHY2007, P25 Yöntemi (Gülay ve diğ. 2008) ve RYTEİE’da yer alan Birinci Derece Değerlendirme Yöntemini kullanarak belirlemiştir. Çırak (2016) ayrıca binalara ait Park&Ang hasar indisleri ve yerdeğiştirme taleplerinin kapasiteye oranlarını hesaplamıştır. Çalışmanın sonunda, detaylı analiz yöntemleri ve hızlı değerlendirme yöntemleri ile elde edilen sonuçlar arasında tam bir uyum olmadığını sonucuna varmıştır.

Mevcut binaların güçlendirme maliyetlerinin tahmini için yöntem önerdiği çalışmada Doğan (2013), 48 adet mevcut betonarme binanın mevcut ve güçlendirilmiş durumlarını kapsayan veriler kullanmıştır. Çalışmada DBYBHY2007 ile yapılan performans analizi sonucunun tahmini için diskriminant analizine bağlı sınıflandırma yöntemi geliştirmiştir. Aynı çalışmada, DBYBHY2007 hükümlerine göre deprem performansının artırılmasına yönelik asgari güçlendirme maliyeti tahmin yöntemi önerilmiştir.

2.2 Hasar Olasılık Matrisleri ile İlgili Yapılan Çalışmalar

Bir bölgede belirli bir deprem şiddetinin aşılma olasılığını gösteren hasar olasılık matrisleri ile ilgili çalışmalar 1971 San Fernando depreminden sonra başlamıştır. Massachusetts Teknoloji Enstitüsü’nden (MIT) Robert Whitman yürütücülüğünde yapılan çalışmada (Whitman ve diğ. 1974) farklı bina türlerine ait hasarlar istatistiksel olarak değerlendirmiştir. Yapılan çalışma ile oluşturulan HOM’leri (Whitman ve diğ. 1973), deprem sonrasında meydana gelen kayıpların nicel olarak tanımlanabilmesine imkân vererek sonraki hasar tahmin yöntemleri için kaynak oluşturmuştur. Bu çalışmaların ardından ATC-13 çalışmasında, Whitman ve diğ. (1973) tarafından geliştirilen HOM kullanılmış ve büyük ölçekli hasar tahmini konusunda ilerlemeler kaydedilmiştir. ATC-13, Whitman ve diğ. (1973) tarafından

önerilen HOM'a ek olarak uzman görüşlerini ilave ederek çok sayıda bina ve yapı tipi için deprem hasarı-olasılık ilişkisi geliştirmiştir.

Uluslararası literatürde Whitman ve diğ. (1973) tarafından oluşturulan HOM dışında, Kappos ve diğ. (1998) tarafından yapılan çalışmaların sonucunda önerilen HOM'leri de bulunmaktadır. Kappos ve diğ. (1998) oluşturduğu analitik modelleri 1978 Selanik depreminden elde edilen sonuçlar ile karşılaştırmış ve elde ettiği HOM'lerinin istatistiksel verilerle uyum içinde olduğu sonucuna varmıştır. Dolce ve diğ. (2003) ise İtalya için hibrit HOM'leri oluşturmuştur. Söz konusu çalışmada 1990 Potenza depreminden sonra yapılan araştırmalar ile elde edilen istatistiksel bilgiler kullanılmıştır. HOM'leri analizlerin ve uzman kararlarının birlikte kullanılmasıyla oluşturulmuştur. Eleftheriadou ve Athanasios (2013) diğer çalışmalardan farklı olarak, hibrit modeller yerine, 1999 Atina depreminden sonra 73468 betonarme bina için elde edilen gözlemsel verinin istatistiksel değerlendirmesini yapmıştır. Çalışmada binaları yapı tipi, hasar seviyesi ve deprem büyüklüğüne göre alt sınıflara ayırarak bölge için ampirik HOM'lerini elde etmiştir.

Ülkemizde HOM ile ilgili ilk çalışmalar Gürpınar ve diğ. (1978) ve Gürpınar ve Yüçemen (1980) tarafından yapılmıştır. Bu çalışmalarda 1971 Bingöl ve 1976 Denizli depremine ait veriler kullanılarak MMI şiddeti 6 ve 8 olan depremlerdeki HOM olasılık değerleri elde edilmiş, diğer şiddet ölçeğindeki olasılık değerleri için uzman görüşüne başvurulmuştur. Çalışma kapsamında incelenen binalar, 1975 tarihli Afet Bölgelerine Yapılacak Yapılar Hakkında Yönetmelik (TDY1975) hükümlerine göre projesi olan ve olmayan binalar olmak üzere iki sınıfa ayrılmış ve HOM elde edilmiştir. Bu çalışmada kullanılan veri sayısı genişletilerek Yüçemen ve Bulak (1997, 2000^a, 2000^b) yaptıkları çalışmalarda Afet İşleri Genel Müdürlüğü'nden aldıkları 1971 Bingöl, 1976 Denizli, 1983 ve 1992 Erzincan, 1986 Malatya depremlerine ait verilerle ampirik HOM'lerini elde etmiştir. Sonraki çalışmalarda (Yüçemen 2002, Yüçemen ve Askan 2003) kullanılan veri sayısı artırılarak HOM güncellenmiştir. Bu çalışmalardan farklı olarak Askan ve Yüçemen (2010) tarafından yapılan çalışmada sismik hasarın tahmini için üç farklı stokastik yöntem sunulmuştur. Uzman görüşleri ve istatistiksel çalışmaların birlikte değerlendirilmesiyle elde edilen HOM'leri, güvenilirliğe dayalı model ve diskriminant analizi ile geliştirilen üç yöntem çalışmanın sonunda karşılaştırılmıştır. Her yöntemin de hasar tahmini için yaklaşık sonuçlar verdiği

belirtilerek deprem sonrasında elde edilen verilerin öznellikten uzak ve eksiksiz olması gerektiği vurgulanmıştır.

17 Ağustos 1999 Kocaeli depreminde oluşan hasar verilerinin kullanıldığı çalışmada Bilal (2013), Sakarya, Bolu ve Kocaeli’nde betonarme ve yığma yapılar için bölgesel HOM’leri çıkarılmıştır. Çalışmada ayrıca hissedilen deprem şiddeti (MMI) ile yer hareketi parametreleri (MYİ, MYH) arasında bağıntılar elde edilmiştir. Tez çalışmasının devamı niteliğindeki çalışmada Bilal ve diğ. (2013) HOM’lerini farklı yaklaşımlarla (analitik ve ampirik) elde ederek sonuçları kıyaslamıştır. Ampirik hesap yönteminde 17 Ağustos 1999 Kocaeli depreminin hasar verileri, analitik yaklaşımda ise hasar görülebilirlik eğrilerinden faydalanılmıştır. Tek serbestlik dereceli sistemler kullanılarak temsil edilen binalardan elde edilen sonuçlar, analitik yöntemler ile elde edilen HOM’lerinin ampirik yaklaşımla elde edilenlerden farklı olduğunu göstermiştir. Bunun nedeninin ise her iki yaklaşımın içerdiği varsayımlardan ve belirsizliklerden kaynaklandığı vurgulanmış, hibrit HOM’lerinin kullanılmasının gerekliliği ifade edilmiştir.

2.3 Deprem Sigorta Prim Hesabı ile İlgili Yapılan Çalışmalar

Deprem sigortası prim hesabının olasılıksal yöntemler ile hesabı için deprem riskinin ve hasarın tahminine ihtiyaç duyulmaktadır. Hasar tahmini için Freeman (1932) tarafından yapılan çalışma deprem riski kavramının geliştirildiği ilk çalışma olarak gösterilebilir. Deprem riskinin istatistiksel yöntemler kullanılarak tahmini için yapılan bir diğer çalışmada Vere Jones (1973), deprem riskini farklı açılardan (jeofizik, mühendislik ve sigorta) ele alarak değerlendirmiştir. Lockett (1980) tarafından yapılan çalışmada ise afetler sınıflandırılarak sigorta prim hesabı için bir denklem önerilmiştir. Sigorta prim hesabı için denklem önerilen bir diğer çalışmada ise Degg (1988), 1985 Meksika depreminin neden olduğu hasar dağılımlarını, bina tipi ve yüksekliğe bağlı olarak incelenmiştir. Çalışmada bölgede yaşanan geçmiş depremler kullanılarak deprem kataloğu oluşturulmuştur. Sismik tehlike analizleri ile bölgenin sismik tehlike değeri elde edilmiş ve prim hesabı için denklem önerilmiştir. Smolka ve Berz tarafından yapılan çalışmalarda (1989, 1991) deprem primi hesabı için sismik tehlike ve potansiyel kayıp tahminine dayalı yöntem geliştirilmiştir. Brillinger

(1993) yaptığı çalışmada 1989 Loma Prieta depreminden elde ettiği verileri değerlendirerek sigorta primi hesap yöntemi önermiştir. Aynı çalışmada deprem büyüklüğü-sıklık ilişkisi, depremin neden olduğu yer hareketi ve azalım ilişkisi incelenmiştir. Konut sahiplerinin deprem sigortasına olan ilgisinin sorgulandığı çalışmada Kunreuther (1993), zorunlu doğal afet sigortalarının afet sonrası kayıplara fon sağlamak için önemli bir araç olduğunu vurgulayarak, sigorta etkinliğinin artırılması için finans sektörü ve devlet kurumlarının aktif katılımlarının gerektiğini belirtmiştir. Deprem sigortası prim hesabı için önerilen diğer denklemlerden farklı olarak Amendola ve diğ. (2000), hızlı Monte Carlo (Ermoliev ve Wets 1988, Ermoliev ve diğ. 2000) ve stokastik optimizasyon tekniği kullanarak hasar tahmini yapmaya yarayan yeni bir yaklaşım geliştirmiştir.

Walker (2000) sigorta prim hesabının tarihsel gelişimini inceleyerek deprem sigorta prim hesaplarındaki kısıtlamalardan bahsetmiştir. Olasılıksal deprem sigortası prim hesabı yöntemi ile ilgili değerlendirmelerin yapıldığı çalışmada (Scawthorn ve diğ. 2003) diğer ülkelerde uygulanan deprem sigortaları ile ilgili bilgilere yer verilmiştir. Goda ve Yoshikawa (2012) sigorta şirketleri için stokastik ödeme gücü modelini geliştirmiştir. Önerilen yöntem Kanada'da bulunan 4000 ahşap binaya uygulanarak kalibre edilmiştir. Bahsedilen çalışmalara ek olarak Mulyani (2013) yaptığı tez çalışması ile tsunami ve deprem sigortası için prim oranlarını ayrı ayrı elde etmiştir. Aynı çalışmada geçmiş depremlerde meydana gelen tsunamileri değerlendirerek, deprem büyüklüğü ile tsunami yüksekliğinin tahminine imkân veren bağıntı önermiştir.

Ülkemizde deprem sigortası ile ilgili yapılan ilk çalışmalara Gürpınar ve diğ. (1978) ve Gürpınar ve Yüçemen (1980) tarafından yapılan çalışmalar örnek gösterilebilir. Bu çalışmalarda zorunlu deprem sigortasına ilişkin sorunlar değerlendirilmiş ve Denizli ili pilot bölge seçilerek deprem hasarı ile ilgili çalışmalar yapılmıştır. Bu çalışmaların ardından yapılan çalışmada Bulak ve Yüçemen (1997), farklı deprem bölgelerinde deprem sigorta primi hesabı için istatistiksel model geliştirmiştir. Yüçemen (2005) tarafından geliştirilen denklem, olasılıksal deprem sigortası prim hesabı için yapılan çalışmalara rehber niteliğindedir. Söz konusu çalışmada Türkiye'de farklı deprem bölgelerinde bulunan betonarme yapılar için prim değerleri hesaplanarak, ülkemizde yürürlükte olan zorunlu deprem sigortası primleri

ile kıyaslanmıştır. Bu çalışmanın ardından yapılan çalışmada Deniz ve Yücemem (2009), Yücemem (2005) tarafından önerilen denklemi farklı bölge ve sayıda betonarme yapıya uygulanarak deprem sigortası prim değerleri hesaplamıştır. Deniz (2006) yaptığı tez çalışmasında diğer çalışmalardan farklı olarak deprem dalga özelliklerini ve yayılım belirsizliğini yansıtan yerel azalım ilişkileri geliştirilmiştir. Yücemem (2005) tarafından önerilen denklem ayrıca Yücemem ve diğ. (2008) tarafından yapılan çalışmada Bolu-Gerede Otoyolu Bolu geçişindeki yapılara uygulanmıştır. Karaca (2014) yaptığı tez çalışmasında güncel verileri kullanarak sismik tehlike modeli oluşturmuştur. Çalışmada ayrıca betonarme binaların deprem performansının tahmini için yöntem geliştirilmiştir. Doğrusal olmayan analizlerle elde edilen deplasman kapasiteleri Kapasite Spektrumu Yöntemi (Freeman 1975), Deplasman Katsayıları Yöntemi (FEMA-273 1997, FEMA-356 2000), Geliştirilmiş Deplasman Katsayıları Yöntemi (FEMA-440 2005) ve zaman tanım alanında doğrusal olmayan analizler ile elde edilen talep deplasmanları ile karşılaştırılarak önerilen yöntemin geçerliliğini sınamıştır. Çalışmanın sonunda elde edilen prim oranları, yürürlükte olan zorunlu deprem sigortası prim değerleri ile kıyaslanmıştır. Palanci (2014) yaptığı tez çalışması kapsamında Denizli Organize Sanayi Bölgesi'nde (DOSB) bulunan mevcut tek ve çok katlı prefabrik sanayi yapılarını incelemiştir. DOSB'de bulunan yapıların hasar tahmini için 3 farklı analitik yöntem ile elde ettiği HOM'lerini kullanmış ve OSTA ile bölgeye ait sismik tehlike eğrisini elde etmiştir. Çalışmada ayrıca doğrusal olmayan analizlerle elde ettiği hasar görebilirlik eğrilerini kullanarak tek ve çok katlı sanayi yapılarını kalite sınıflarına göre ayırmıştır. Çalışmanın sonunda Yücemem (2005) tarafından önerilen denklemi kullanarak her bir kalite sınıfı için deprem sigorta primlerini hesaplamış, elde ettiği deprem sigortası prim değerleri ile zorunlu deprem sigortası prim değerlerini kıyaslamıştır. Bahsedilen çalışmalarda kullanılan prim hesap denkleminde farklı olarak Ekici (2015) yaptığı tez çalışmasında Kanda ve Nishijima (2004) tarafından önerilen standart logaritmik toplam fonksiyon yöntemi ile prim oranlarını hesaplamıştır. Çalışmada beş farklı hasar görebilirlik eğrisi tahmin yöntemini (Akkar ve diğ. 2005, Erberik 2008, Ay ve diğ. 2006, Özmen ve diğ. 2010, Erdik ve diğ. 2003) kullanarak Türkiye'deki betonarme ve yığma yapılar için genel hasar görebilirlik eğrileri önermiştir. Hasar görebilirlik eğrilerinin hesabı sırasında betonarme binalar için MYH, yığma yapılar için ise MYİ deprem parametresi olarak seçilmiştir. Eren ve Luş (2015) ise yaptıkları çalışmada

bina bazlı sigorta prim oranı hesabı ile bölgesel hasarı yansıtan hasar görübilirlik eğrilerini kullanarak hesaplanan deprem sigortası prim oranlarını kıyaslamıştır.

3. MEVCUT BİNALARIN DAYANIM VE DEPLASMAN KAPASİTESİNİN HESABI

Ülkemizde özellikle 1980’li yıllarda kentleşme hızında görülen büyük artışlar mevcut bina stokunun önemli bir kısmının TDY1975 hükümleri esas alınarak projelendirilmesine neden olmuştur. Söz konusu yönetmeliğin en büyük eksikliği ise kapasite tasarımı ilkelerinin bina tasarımında göz önüne alınmamasıdır. Paulay ve Priestley (1992) tarafından sünek bina tasarımı için önerilen bu ilkeler, ülkemize ancak 1998 tarihli Afet Bölgelerine Yapılacak Binalar Hakkındaki Yönetmelik (TDY1998) ile girmiştir. TDY1998 ile “Can Güvenliği” kavramı yerini almış ve bina tasarımında hedef performans seviyeleri tanımlanmıştır (Aydinoğlu 2007). Bahsedilen bu iki önemli değişiklik nedeniyle TDY1998 ülkemizdeki betonarme yapı stoku için dönüm noktası niteliğindedir. 2007 yılında yürürlüğe giren DBYBHY2007 ile kapasite tasarımı ilkelerinden yoksun projelendirilen mevcut binaların deprem performanslarını belirlenmesi ve/veya bu yapıların performanslarını yükseltilmesi amaçlanmıştır.

Tez çalışması kapsamında Denizli Büyükşehir Belediyesi proje arşivinde envanter çalışmaları yapılmış ve neticesinde farklı kat sayılarına sahip 20 adet TDY1975 (eski bina) ve 20 adet TDY1998’e göre projelendirilmiş (yeni bina) toplam 40 adet mevcut betonarme yapıya ait mimari ve betonarme projeler elde edilmiştir. Tablo 3.1’de tez çalışması kapsamında elde edilen mevcut yapıların proje yıllarına ve kat sayılarına göre dağılımı görülmektedir.

Tablo 3.1: Mevcut binaların yapım yılına ve kat sayılarına göre dağılımı

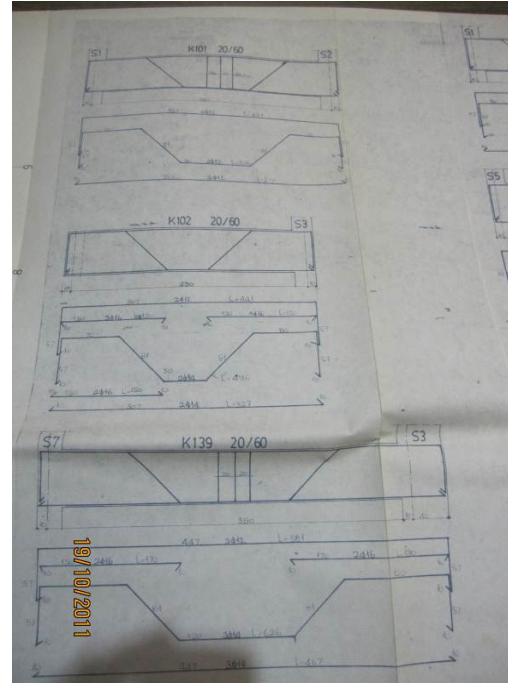
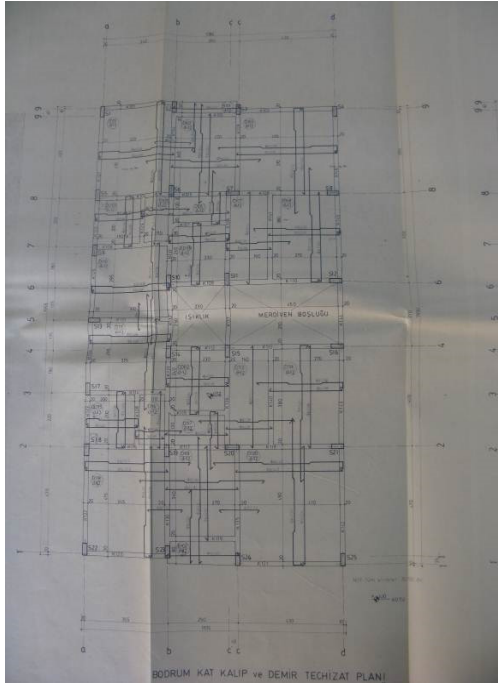
Proje Yılı	3 Katlı	4 Katlı	5 Katlı	6 Katlı	Toplam
<1998 (TDY1975)	5	5	5	5	20
>1998 (TDY1998)	5	5	5	5	20
Toplam	10	10	10	10	40

Envanter çalışmaları ile seçilen mevcut betonarme binalar sadece çerçeve taşıyıcı sistemden oluşmaktadır. Seçilen yapıların tümü Z3 sınıfı zemin üzerinde yer almaktadır. Tez çalışmasında kullanılmak üzere seçilen binalar için yerinde herhangi bir röleve çalışması yapılmamış, yapıların inşası sırasında statik ve mimari projelerin tam anlamıyla uygulandığı kabul edilmiştir. Şekil 3.1’de 1998 yılından önce

(TDY1975 hükümlerine göre) projelendirilen 5 katlı BO15SN5 binasına ait proje incelemeleri sırasında çekilen fotoğraflar görülmektedir.



CIVAN							
MİMARLIK İNŞAAT BÜROSU							
mimar ali civan							
YAPININ		SINIFI		ALISTARA OLGA			
KULLANIM İMCI		KODU					
ARSA ÖZELLİKLERİ							
BİTLİŞİMİ	İLÇESİ	MARFALLESİ	SOKAĞI	PAFTA NO	ADA NO	TARİHİNİN	BAŞ DURUMUNUN
Değirli	Merkez	Kuşçular	-	84	91	8	17.3.1983
YAPI ÖZELLİKLERİ							
MİMARİ	STATİK	BALEKET	KAT	ALANI	İNŞAAT	TASIVYO	EN BÜYÜK
NO	NO	NO	NO	NO	NO	NO	NO
-	-	6+4	1152 M	24 M	E.A.Lat.	S.10	2.80
PROJE ÖZELLİKLERİ							
İLÇE	MİMARİ	PROJE	YAS. VZÜD	İNŞAAT	TARİHİ	ÇİZİM	DEĞERİ
-	-	-	-	-	-	-	-
PROJE MÜELLİFLERİ							
PROJE	ADİ	SO	YAKI	UNVANI	ODA	SÖZL.	SORUMLULUK
MİMARİ	PROJE	ALI	CIVAN	MİMAR	1930	481	ALI CIVAN
STATİK	PROJE	-	-	-	-	-	-
ADRESİ: ALI CIVAN SEÇUK CAD. 3512 ESKİ DEVLET HASTANESİ KARŞISI TEL: 14316							
PROJE TASDİĞİ							
İMZA ÖZELİ				BELEDİYE ÖZELİ			
30/9/1983				17.11.1983			



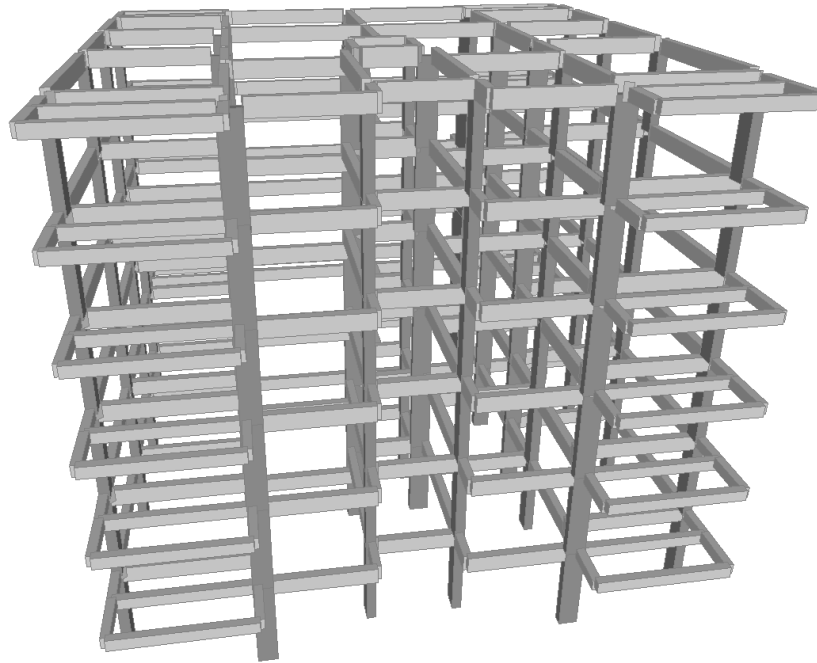
Şekil 3.1: Proje incelemeleri sırasında çekilen örnek fotoğraflar

Proje incelemeleri ile yapılara ait aks açıklıkları, malzeme dayanımları, plan yerleşimleri, kesit özellikleri, kolon ve kirişlere ait donatı açılımları elde edilmiştir. Yapılan incelemeler neticesinde, TDY1975'e göre projelendirilen yapıların donatı sınıfının S220, beton sınıfının ise C16 olduğu görülmüştür. Bu yapılarda aynı zamanda

alt kattan üst kata çıkıldıkça kolon boyutlarında daralma olduğu, kolonlarda çiroz kullanılmadığı ve kolon-kiriş birleşim bölgelerinde etriye sıklaştırmasının olmadığı sonucuna varılmıştır. TDY1998'e göre projelendirilen yapılarda ise beton sınıfının C20 ile C30 arasında değiştiği, donatı sınıfının ise S420 olarak projelendirildiği, üst katlara çıkıldıkça kolon boyutlarında herhangi bir değişiklik olmadığı ve kolon-kiriş birleşim bölgelerinde ise etriye sıklaştırması yapıldığı görülmüştür. Tez kapsamında kullanılan yeni ve eski mevcut binalara ait yapısal özelliklerin detayları Tablo A.1'de verilmiştir.

3.1 Mevcut Binaların Doğrusal Analiz Modellerinin Oluşturulması

Yapısal parametrelerin proje incelemeleri ile belirlenmesinin ardından kiriş elemanlara döşemelerden aktarılan düşey yükler hesaplanmış ve yapılara ait doğrusal analiz modelleri SAP2000 (CSI 2000) programı kullanılarak oluşturulmuştur. Şekil 3.2'de TDY1998'e göre projelendirilen 6 katlı BN18SN6 binası için SAP2000 programında hazırlanan doğrusal analiz modeli görülmektedir.



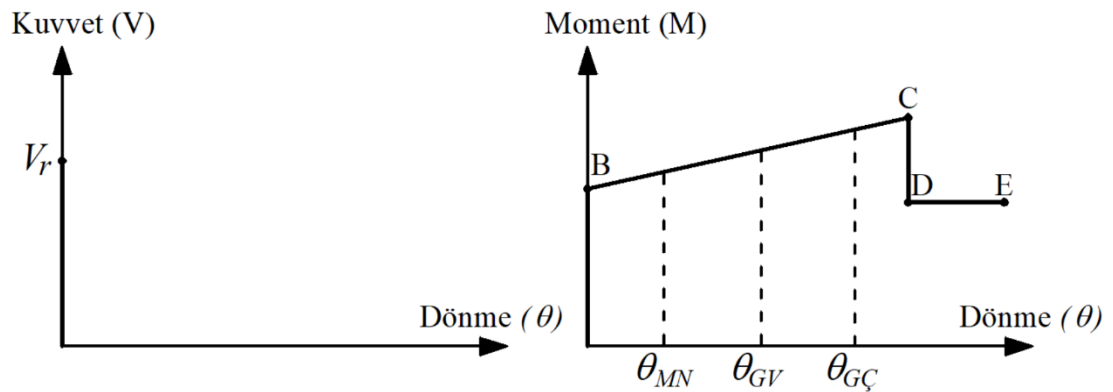
Şekil 3.2: SAP2000 programında oluşturulan doğrusal analiz modeli

Yapılan doğrusal analizler ile yapı sismik ağırlıkları (W_i) ve her iki deprem doğrultusundaki (X ve Y) birinci doğal titreşim periyotları (T_{1-el}) hesaplanmıştır. Tez

kapsamında kullanılan yeni ve eski mevcut yapıların doğrusal analiz sonuçlarına ait bilgiler Tablo A.2’de verilmiştir.

3.2 Mevcut Binaların Doğrusal Olmayan Analiz Modellerinin Oluşturulması

Betonarme binanın doğrusal olmayan davranışını temsil etmek için yapıyı meydana getiren kolon ve kiriş elemanların kritik bölgelerinde iki farklı mafsalsal tanımlanmaktadır. Bunlardan birincisi elemanda oluşan kesme kuvvetlerinin kontrol edildiği kesme mafsallarıdır. Kesme mafsalları kuvvet tanımlıdır ve betonarme elemanda oluşan gevrek kesme hasarını kontrol etmek için kullanılmaktadır. Doğrusal olmayan davranış için gereken diğer mafsalsal türü ise sünek eğilme etkilerinin kontrol edildiği eğilme mafsallarıdır. Tezin sonraki bölümlerinde plastik mafsalsal ile ifade edilen de eğilme mafsallarıdır ve kesitte eğilme etkileriyle oluşan deformasyonun ve hasarın seviyesini tarif etmek için kullanılmıştır. Plastik mafsalsal tanımını yapabilmek için kesitin dayanım ve farklı hasar seviyelerindeki şekil değiştirme kapasitelerine (θ_{MN} , θ_{GV} ve $\theta_{GÇ}$) ihtiyaç duyulmaktadır. Şekil 3.3’te soldaki şekilde tipik gevrek kesme mafsalsalının tanımı, sağdaki şekilde ise sünek eğilme mafsalsalının tanımı temsil edilmektedir.

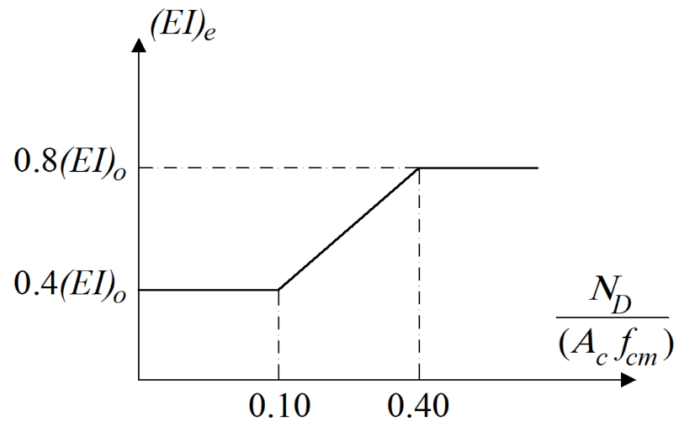


Şekil 3.3: Tipik mafsalsal tanımları (solda: kesme mafsalsal (gevrek), sağda: eğilme mafsalsal (sünek))

Palanci ve diğ. (2016) yaptıkları çalışmada TDY1975 ve TDY1998 yönetmeliklerine göre projelendirilen, farklı kat sayılarına sahip 8 adet mevcut betonarme binada, kesme etkilerinin kapasite parametreleri üzerindeki etkisini araştırmıştır. Çalışmada doğrusal olmayan mevcut betonarme bina modelleri üç farklı

yöntem ile oluşturulmuştur. Kullanılan ilk modelleme yönteminde tüm kolon ve kirişlere eğilme ve kesme mafsalı atanmıştır. İkinci modelleme tekniğinde ise eğilme mafsalları tüm kolon ve kirişlerde, kesme mafsalları ise sadece kolonlarda kullanılmıştır. Üçüncü ve son modelleme tekniğinde ise modeller üzerindeki kesme etkileri ihmal edilerek modellemede sadece eğilme mafsalları kullanılmıştır. Yapılan statik itme analizleri sonunda, kesme mafsalları tanımlamanın TDY1998'e göre projelendirilen binaların kapasite eğrileri üzerinde etkili olmadığı, TDY1975'e göre projelendirilen bina elemanlarına ait düşük kesme kapasitelerinin (yetersiz sargılama, düşük malzeme kalitesi ve kesit boyutları), bina dayanımı ve deplasman kapasitesini azalttığı görülmüştür.

Yapılan tez çalışmasında mevcut binalara ait doğrusal olmayan modeller hazırlanırken DBYBHY2007, Bölüm 7'de belirtildiği şekilde betonarme elemanlara ait etkin eğilme rijitlikleri $(EI)_e$ kullanılmıştır. Yönetmelikte kirişler için etkin eğilme rijitlikleri $0.4(EI)_o$ olarak tarif edilirken, kolonlar için bu değer eksenel yük seviyesine göre $(N_D/(A_c f_{cm}))$ değişmektedir. Şekil 3.4'te kolonlar için belirtilen etkin eğilme rijitliklerinin eksenel yük seviyesine göre değişimi görülmektedir. Grafikte görülen $(EI)_o$ ifadesi elemanlara ait başlangıç rijitliğini ifade etmektedir. Ara değerler için doğrusal enterpolasyon yapılmıştır.



Şekil 3.4: DBYBHY2007'de etkin eğilme rijitliklerinin eksenel yük seviyesine göre değişimi

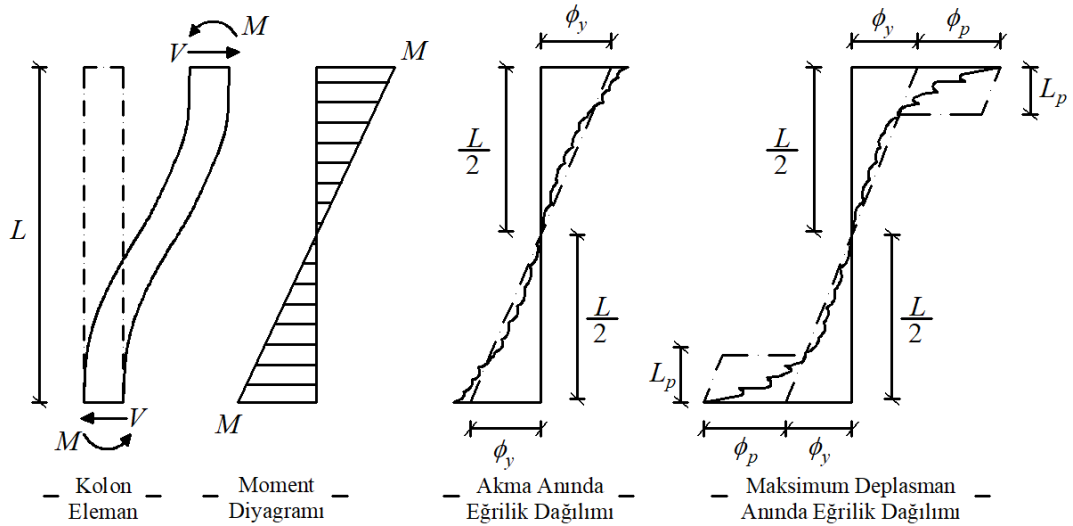
Mevcut yapılara ait doğrusal olmayan analiz modellerinde gevrek hasar gören elemanların güçlendirildiği varsayılarak yığılı plastik davranış modeli ile sadece eğilme mafsalları (plastik mafsalları) kullanılmıştır. Bu nedenle tezin sonraki bölümlerinde kullanılan doğrusal olmayan analiz modelleri için plastik mafsalları kavramı ve kesit hasar bölgelerinin açıklanması gerekmektedir.

3.2.1 Plastik Mafsal Kavramı ve Moment-Eğrilik İlişkisi

Plastik mafsallar genel itibari ile monotonik yükler altında sistemin doğrusal olmayan davranışını temsil etmek için kullanılmaktadır. Deprem etkisi altındaki çerçeve sistemlerin doğrusal olmayan davranışında plastik mafsalların elemanlardaki dağılımı sünek sistem tasarımı için önem taşımaktadır. Kapasite tasarımı ilkeleri gereği plastik mafsalların önce kirişlerde oluşması ve sistemin enerji sönmlemeye devam etmesi gerekmektedir. Bu sünek davranış yeni binalarda DBYBHY2007 Bölüm 3'te düğüm noktasına bağlanan kolonların moment taşıma kapasitesinin $(M_{ra}+M_{rü})$ kirişlerin moment kapasiteleri toplamından $(M_{ri}+M_{rj})$ fazla olması koşulu (3.1) ile tanımlanmaktadır.

$$(M_{ra}+M_{rü}) \geq 1.2(M_{ri}+M_{rj}) \quad (3.1)$$

Bir kesitte plastik mafsal davranışının başlaması için kesitte oluşan momentin, kesitin moment taşıma kapasitesine (M_r) ulaşması gerekmektedir. Bu seviyeye ulaşılmasının ardından plastik mafsal davranışı gösteren kesitlerde sabit moment altında şekildeğişirmeler hızla artmaktadır. Şekil 3.5'te çift eğrilikli bir kolonda plastik mafsal oluşumu görülmektedir.

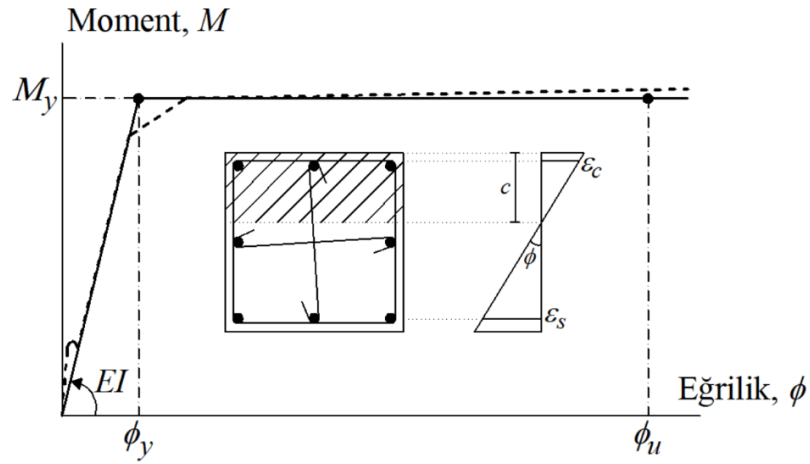


Şekil 3.5: Çift eğrilikli bir kolonda plastik mafsal oluşumu

Kolon elemanda meydana gelen deplasman artışı ile oluşan moment değeri kolon kesitinin moment taşıma kapasitesine ulaştığı anda plastik davranış başlamakta ve çatlakların olduğu bölgelerdeki eğrilik değerlerinde ciddi artışlar görülmektedir.

Elemana ait deplasman kapasitesini elde etmek için kritik kesite ait moment-eğrilik ilişkisine ihtiyaç duyulmaktadır.

Moment-eğrilik ilişkisinin hesabında kullanılabilecek ve literatürde de yer alan çok sayıda sargılı beton davranış modeli (Kent ve Park 1971, Sheikh ve Uzumeri 1982, Park ve diğ. 1982, Mander ve diğ. 1988, Hoshikuma ve diğ. 1997, Razvi ve Saatcioglu 1999, Legeron ve Paultre 2003, Akiyama ve diğ. 2010) bulunmaktadır. Tez çalışması kapsamında yapılan moment-eğrilik analizlerinde sargılı beton davranışı için Geliştirilmiş Kent-Park Modeli (1982) kullanılmıştır. Şekil 3.6’da tipik bir kolon kesitine ait moment-eğrilik grafiği görülmektedir. Kolon kesiti için hesaplanan moment-eğrilik grafiği sonraki bölümlerde yapılacak işlemlerde kolaylık sağlaması ve kesite ait akma anındaki eğrilik değerini (ϕ_y) elde etmek amacıyla iki doğrulu temsil edilmiştir. Şekil 3.6’da M_y ile kesitin moment taşıma kapasitesi, ϕ_u ile maksimum eğrilik değeri, ε_c ile sargılı alan içindeki en dış beton lifinde meydana gelen şekildeğiştirme değeri, ε_s ile çekme donatısının şekil değiştirme değeri ve c ile tarafsız eksen değeri ifade edilmektedir. İdealize edilen moment-eğrilik grafiğinde yükselen kolun eğimi ise kesitin rijitliğini (EI) temsil etmektedir.



Şekil 3.6: Kolon kesitine ait tipik moment-eğrilik grafiği

Moment-eğrilik ilişkisinin belirlenmesinin ardından kesite ait dönme kapasitesi (θ), I. Moment Alan Teoremi ile elde edilmiştir. Bu teoreme göre iki nokta arasında dönme değerindeki değişim, iki nokta arasında eğrilik diyagramının altında kalan alana eşittir. Kesitin akma anından önceki elastik (θ_y) ve akmadan sonraki plastik dönme kapasitesi (θ_p) değeri (3.2) ve (3.3) denklemleriyle hesaplanabilir.

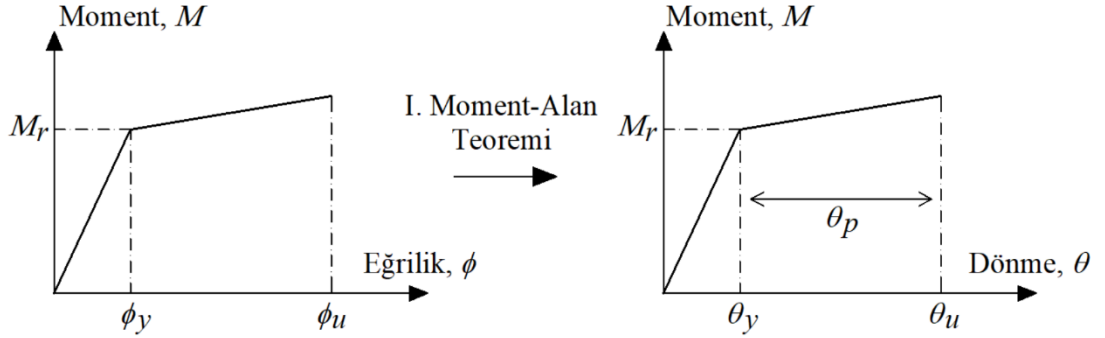
$$\theta_y = \phi_y \left(\frac{L}{4} \right) \quad (3.2)$$

$$\theta_p = (\phi_u - \phi_y) L_p \quad (3.3)$$

Denklemlerde yer alan L ifadesi elemanın net boyunu, L_p ifadesi ise plastik mafsalsal boyunu ifade etmektedir. Elemanlarda plastik mafsalsal bölgelerinin uzunluğu (L_p) hesap doğrultusundaki kesit boyutunun yarısı ($L_p = 0.5h$) olarak alınmıştır. Elastik ve plastik dönme kapasitesi değerlerinin elde edilmesinin ardından kesitin toplam dönme kapasitesi (θ_u) aşağıdaki gibi ifade edilebilir: Şekil 3.7’de moment-dönme kapasitesinin belirlenmesi için moment-eğrilik grafiğine uygulanan dönüşüm işlemi görülmektedir.

$$\theta_u = \theta_y + \theta_p \quad (3.4)$$

$$\theta_u = \phi_y \left(\frac{L}{4} \right) + (\phi_u - \phi_y) L_p \quad (3.5)$$



Şekil 3.7: Moment-dönme ilişkisinin elde edilmesi

Deplasman kapasitesinin hesabı için II. Moment-Alan Teoreminden faydalanılmıştır. Bu teoreme göre; iki nokta arasında meydana gelen deplasmandaki değişim, bu iki nokta arasında eğrilik diyagramının altında kalan alanın momentine eşittir. Diğer bir ifade ile deplasman kapasitesi, eğriliğin altına kalan alanın eğriliğin sıfır olduğu noktaya göre momenti alınarak hesaplanmaktadır. Kesitin elastik ve plastik deplasman kapasitesi (3.6) ve (3.7) denklemleri ile hesaplanabilir.

$$\Delta_y = \phi_y \left(\frac{L^2}{12} \right) \quad (3.6)$$

$$\Delta_p = (\phi_u - \phi_y) L_p \left(\frac{L}{2} - \frac{L_p}{2} \right) \quad (3.7)$$

Kesitin yaptığı toplam deplasman kapasitesi (Δ_u) ise elde edilen elastik (Δ_y) ve plastik deplasman (Δ_p) kapasitesi toplamına eşittir:

$$\Delta_u = \Delta_y + \Delta_p \quad (3.8)$$

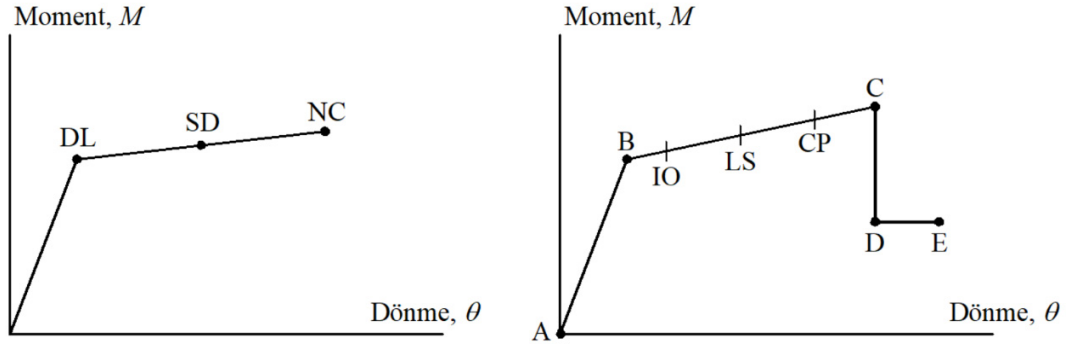
$$\Delta_u = \phi_y \left(\frac{L^2}{12} \right) + (\phi_u - \phi_y) L_p \left(\frac{L}{2} - \frac{L_p}{2} \right) \quad (3.9)$$

Tez kapsamında kullanılan 40 adet mevcut yapıyı meydana getiren tüm kolon ve kirişlerin kritik kesitlerine ait mafsal hesapları yapılırken (3.2)-(3.5) denklemleri kullanılmış ve her bir mafsal için Şekil 3.7’de gösterilen moment-dönme ilişkisi belirlenmiştir.

3.2.2 Kesit Hasar Sınırları ve Bölgeleri

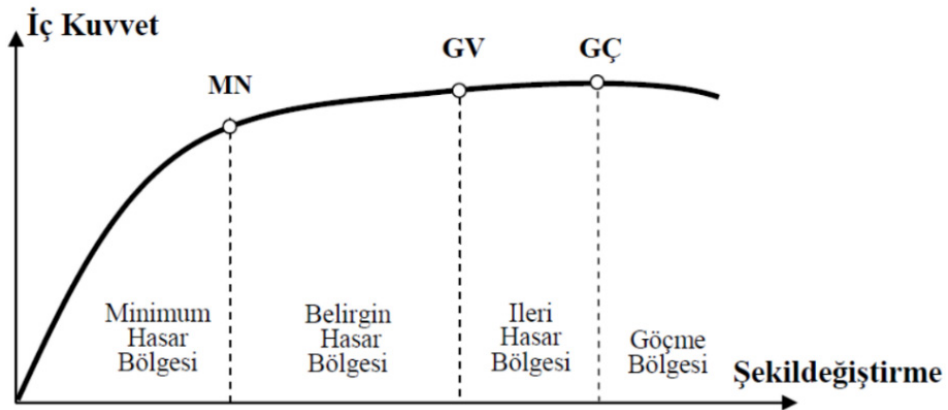
Kesitte meydana gelen kalıcı hasarın ölçüsü ulusal yönetmeliklerde farklı şekillerde tarif edilmektedir. Mevcut yapıların değerlendirilmesi ve güçlendirilmesi hususunun ele alındığı Eurocode 8-3 (EC8-3) yönetmeliğinde kesit hasarı, dönme kapasitesinin oranına göre belirlenen 3 farklı sınır değer (NC, SD, DL) ile tarif edilmektedir. Söz konusu yönetmelikte Göçme Seviyesi sınır değerine (NC) karşılık gelen dönme değerinin (θ_{NC}) hesabı için iki farklı bağıntı bulunmaktadır. Belirgin Hasar Seviyesi (SD) için tarif edilen dönme değeri (θ_{SD}), Göçme Seviyesi için tanımlanan dönme değerinin 3/4’ü ($\theta_{SD} = 0.75 \theta_{NC}$) ile tanımlanmaktadır. Sınırlı Hasar Seviyesine (DL) karşılık gelen dönme değeri (θ_{DL}) için ayrı tarif yapılmamış ve akma anına karşılık gelen dönme değerine eşit olduğu ($\theta_{DL} = \theta_y$) kabul edilmiştir. EC8-3’te akma anına karşılık gelen dönme değerini kesit özelliklerine göre hesaplamaya imkân veren bir bağıntı verilmektedir. FEMA tarafından hazırlanan 356 numaralı raporda (FEMA-356) kesitte meydana gelen kalıcı hasar için Hemen Kullanım (IO), Can Güvenliği (LS) ve Göçmenin Önlenmesi (CP) olmak üzere 3 adet sınır değer (IO, LS, CP) tanımlanmıştır. Kiriş kesitlerinde bu sınır değerlere karşılık gelen dönme değerleri (θ_{IO} , θ_{LS} , θ_{CP}) boyuna ve enine donatı koşulları ile kesme etkisinin değerlendirilmesi

sonucu belirlenmektedir. Kolon kesitlerinde bu dönme değerlerinin belirlenmesinde aksinel yük seviyeleri de etkili olmaktadır. Şekil 3.8’de EC8-3 ve FEMA-356 dokümanlarında kesit hasar sınırlarının tipik moment-dönme grafiği üzerinde nasıl tanımlandığı gösterilmektedir.



Şekil 3.8: Betonarme elemanlarda tipik moment-dönme ilişkisi (solda: EC8-3, sağda: FEMA-356)

Ülkemizde DBYBHY2007 Bölüm 7.3.2’de sünek elemanlar için Minimum Hasar Sınırı (MN), Güvenlik Sınırı (GV) ve Göçme Sınırı (GÇ) olmak üzere 3 farklı kesit hasar sınırı tanımlanmıştır (Şekil 3.9). MN sınırı elastik ötesi hasarın başlangıcını, GV sınırı kesitin güvenli olabileceği doğrusal olmayan davranış sınırını ve GÇ sınırı ise kesitin göçme sınırını tanımlamaktadır.



Şekil 3.9: DBYBHY2007 Bölüm 7’de tanımlanan kesit hasar sınırları ve bölgeleri

DBYBHY2007’de kesit hasar sınırlarının tanımı diğer ulusal yönetmeliklerin aksine beton ve donatının şekildeğiştirme değerleri üzerinden yapılmaktadır. Tablo 3.2’de DBYBHY2007’de kesit hasar sınırları için beton ve donatıda izin verilen şekildeğiştirme değerleri görülmektedir.

Tablo 3.2: Kesit hasar sınırları için izin verilen şekildeğiştirme değerleri

Kesit Hasar Sınırı	Beton	Donatı Çeliği
Minimum Hasar Sınırı (MN)	$(\varepsilon_c)_{MN}=0.0035$	$(\varepsilon_s)_{MN}=0.01$
Güvenlik Sınırı (GV)	$(\varepsilon_c)_{GV}=0.0035+0.01 \frac{\rho_s}{\rho_{sm}} \leq 0.0135$	$(\varepsilon_s)_{GV}=0.04$
Göçme Sınırı (GÇ)	$(\varepsilon_c)_{GÇ}=0.0035+0.014 \frac{\rho_s}{\rho_{sm}} \leq 0.018$	$(\varepsilon_s)_{GÇ}=0.06$

Tablo 3.2’de Minimum Hasar Sınırı kabuk betondaki birim şekildeğiştirme değerini, diğer hasar sınırları ise (GV, GÇ) çekirdek betondaki basınç şekildeğiştirmelerini göstermektedir. Güvenlik ve Göçme Sınırı için izin verilen beton birim şekildeğiştirme bağıntısında yer alan ρ_s ifadesi kesitte bulunan hacimsel enine donatı oranını, ρ_{sm} ifadesi ise kesitte bulunması gereken hacimsel enine donatı oranını temsil etmektedir. Kesitte bulunan hacimsel enine donatı oranı, ρ_s (3.10) denklemi ile elde edilebilir.

$$\rho_s = \frac{(\Sigma L)A_0}{sb_k h_k} \quad (3.10)$$

(3.10)’da yer alan ΣL kesitte bulunan toplam yanal donatı uzunluğunu, A_0 yanal donatının kesit alanını, s etriye aralığını, b_k ve h_k ise her iki yönde en dıştaki enine donatı eksenleri arasındaki uzaklığı ifade etmektedir.

DBYBHY2007 Bölüm 3’e göre kesitte bulunması gereken hacimsel enine donatı oranı (3.11) ve (3.12) bağıntılarından en kritik olan sonucun elde edilmesi ile hesaplanmıştır. Söz konusu bu bağıntılar, yönetmelikte verilen ve minimum enine donatı miktarı için önerilen ifadelerden türetilmiştir.

$$\rho_{sm} \geq 0.6 \left[\left(\frac{A_c}{A_{ck}} \right) - 1 \right] \left(\frac{f_{ck}}{f_{ywk}} \right) \quad (3.11)$$

$$\rho_{sm} \geq 0.15 \left(\frac{f_{ck}}{f_{ywk}} \right) \quad (3.12)$$

(3.11) ve (3.12) bağıntılarında A_c brüt kesit alanını, A_{ck} sargı donatısının dışından dışına alınan ölçü içinde kalan çekirdek beton alanını, f_{ck} betonun

karakteristik silindir basınç dayanımını ve f_{ywk} enine donatının karakteristik akma dayanımını ifade etmektedir.

Tez kapsamında kullanılan mevcut binalar ülkemizdeki yapı stokunu temsil ettiği için moment-eğrilik analizleri sonucunda elde edilen beton ve donatı şekildeğiştirme değerleri, DBYBHY2007 Bölüm 7’de verilen sınır değerlerle karşılaştırılmış ve kesit hasar sınırlarına karşılık gelen eğrilik değerleri (ϕ_{MN} , ϕ_{GV} , ϕ_{GC}) elde edilmiştir. Kesit hasar sınırlarındaki dönme kapasiteleri (θ_{MN} , θ_{GV} , θ_{GC}) I. Moment-Alan Teoremi kullanılarak belirlenmiştir.

$$\theta_p^{MN} = (\phi_{MN} - \phi_y) L_p \quad (3.13)$$

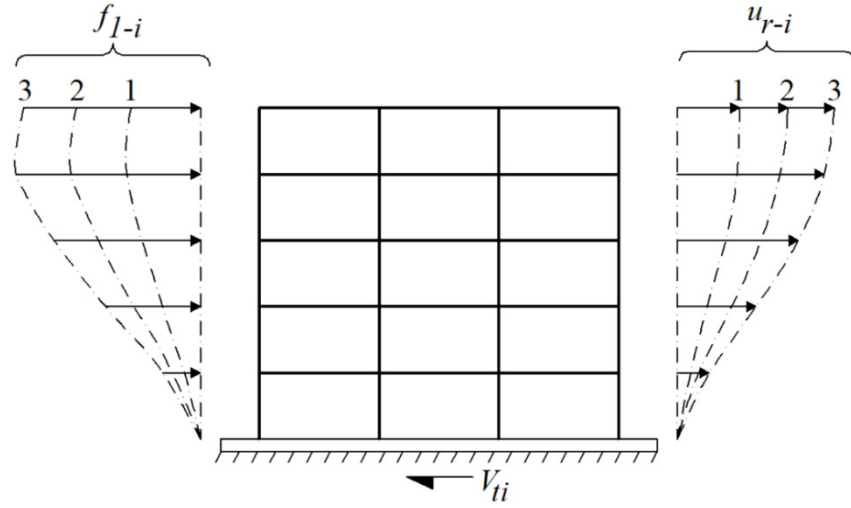
$$\theta_p^{GV} = (\phi_{GV} - \phi_y) L_p \quad (3.14)$$

$$\theta_p^{GC} = (\phi_{GC} - \phi_y) L_p \quad (3.15)$$

3.3 Doğrusal Olmayan Statik İtme (Pushover) Analizi

Doğrusal olmayan statik itme analizi, deprem kuvvetine maruz kalan bir yapıda monotonik yatay kuvvetlerin meydana getirdiği atalet kuvvetlerini temsil etmektedir. Statik itme analizi ile yapı, deprem etkisi altında adım adım sınır duruma ulaşmakta, muhtemel kritik kesitlerde mafsallar oluşurken binanın deformasyon kapasitesine ilişkin makul tahmin yapılabilmektedir (Chopra ve Goel 2000, Huang ve diğ. 2006).

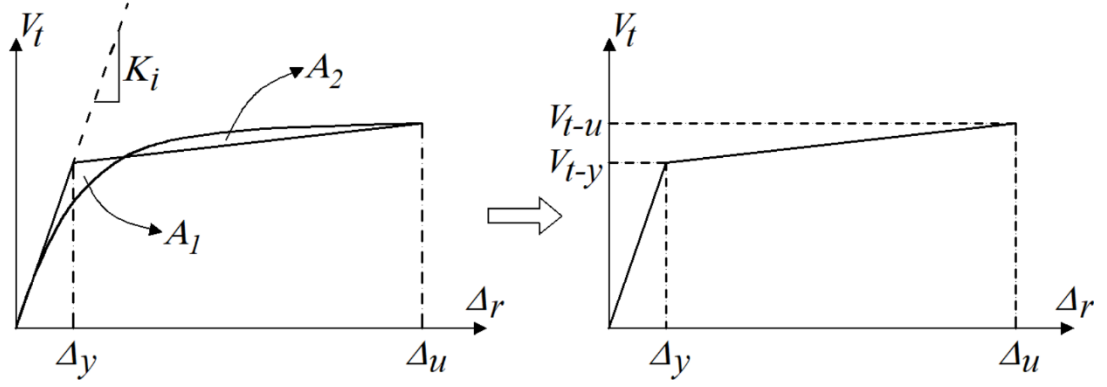
Statik itme analizinde monotonik yüklemeye önce sabit düşey yüklemeye altında ($G+nQ$) analiz gerçekleştirilir. Analizlerde uygulanacak yükün katlara dağılımı (yük deseni) analiz sonuçları açısından önem taşımaktadır. Şekil 3.10’da tipik bir çerçeve sistemde 1. Mod yük vektörü (f_{l-i}) altında meydana gelen deplasmanlar (u_{r-i}) görülmektedir.



Şekil 3.10: Monotonik kuvvet vektörü (1. Mod) altında statik itme analizi (Sucuoğlu ve Akkar 2014)

Doğrusal olmayan statik itme analizinde aşamalı olarak artan yanal yükler altında, yapısal elemanlarda sırayla kapasite değerleri aşılarak mafsal oluşumu (kalıcı hasar) gözlenmektedir. Yapıda meydana gelen bu hasarlar her adımda yapıda rijitlik kaybına yol açmaktadır. Yanal yükler altında yapısal sistemin elastik deplasman sınırı aşıldığında, sistemin taban kesme kuvveti (V_t) ve çatı deplasmanı (Δ_r) grafiği Şekil 3.11’de görülen şekli almaktadır. Şekil 3.11’de (solda) Δ_y ile sistemin akma anında yaptığı çatı deplasmanı, Δ_u ile ise sistemin nihai çatı deplasmanı ifade edilmektedir.

Statik itme analizi ile elde edilen kapasite eğrileri, yapıyı tanımlamada kullanılacak kapasite parametrelerini (Δ_y , V_{t-y}) elde etmek ve yapılan işlemlerde kolaylık sağlamak amacıyla iki doğrulu hale getirilmektedir. Kapasite eğrilerinde yapılan bu basitleştirme işlemi için literatürde çok sayıda yöntem önerilmektedir. Bu yöntemlerden en çok kullanılanları Park (1988), Paulay ve Priestley (1992), ATC-19 (1995), ATC-40 (1996), FEMA-273 (1997), FEMA-356 (2000) tarafından önerilen yöntemlerdir. Yapılan tez çalışmasında kapasite eğrilerini iki doğrulu hale getirmek için başlangıç rijitliğinin (K_i) sabit olması ve enerjinin korunumu gereği altta/üstte kalan alanların yaklaşık eşitliği ($A_1 \cong A_2$) ilkesine dayanan ATC-40 yaklaşımı kullanılmıştır. Yapılan işlemin ardından elde edilen kapasite eğrisi Şekil 3.11’de (sağda) görülmektedir. Elde edilen iki doğrulu kapasite eğrisinde V_{t-y} akma anında taban kesme kuvveti değerini, V_{t-u} nihai taban kesme kuvveti değerini ifade etmektedir.



Şekil 3.11: Statik itme analizi sonucu elde edilen kapasite eğrisi ve iki doğrusu hâle getirme işlemi

Betonarme bir yapıda deprem güvenliği yeterli dayanım (V_t), yeterli rijitlik (K_i) ve yeterli süneklik (μ) ile sağlanmaktadır. Yapı servis ömrü boyunca hafif şiddetli depremlere rijitliği, orta şiddetli depremlere dayanımı ve şiddetli depremlere ise sünekliği ile karşılık vermektedir. Şekil 3.11’de görülen iki doğrusu kapasite eğrisinde başlangıç doğrusunun eğimi rijitliği ve plastik davranışın başladığı ilk nokta dayanımı ifade etmektedir. Süneklik ise dış yükte önemli bir değişme olmaksızın, elastik sınırın ötesinde şekildeğiştirme, dolayısıyla yerdeğiştirme yapma özelliğinin ölçüsü olarak tanımlanmaktadır (Celep 2015). Süneklik kavramını iki doğrusu kapasite eğrisinde (3.16) ile ifade edilmektedir.

$$\mu = \frac{\Delta_u}{\Delta_y} \quad (3.16)$$

3.4 Mevcut Binaların Deprem Performans Sınırları

Mevcut yapıların deprem performansı ulusal yönetmeliklerde farklı şekilde isimlendirilerek farklı şekilde tarif edilmektedir. DBYBHY-2007’de bina performans sınırları, taşıyıcı sistem elemanlarında (kolon/perde ve kiriş) oluşan hasar seviyelerine ve hasar gören perde ve kolonların taşıdığı kesme kuvveti oranına bağlı olarak ifade edilmektedir. EC8-3 ve FEMA-356’da ise bina performansı taşıyıcı sistemde meydana gelen en ileri seviyedeki eleman hasarı göz önüne alınarak tarif edilmektedir. Tablo 3.3’te EC8-3 ve FEMA-356’da tanımlanan bina performans sınırları ve bu performans sınırlarının DBYBHY2007’deki karşılığı görülmektedir.

Tablo 3.3: Farklı ulusal yönetmeliklerdeki bina performans sınırları ve DBYBHY2007’de karşılığı

Yönetmelik	EC8-3	NEHRP/FEMA-356	DBYBHY2007
Performans Sınırları	Damage Limited "DL"	Operational "OP"	Hemen Kullanım "HK"
		Immediate Occupancy "IO"	
	Severe Damage "SD"	Life Safety "LS"	Can Güvenliği "CG"
	Near Collapse "NC"	Collapse Prevention "CP"	Göçme Öncesi "GÖ"

DBYBHY-2007 Bölüm 7’de Hemen Kullanım (HK), Can Güvenliği (CG) ve Göçme Öncesi (GÖ) olmak üzere üç farklı bina performans seviyesi tanımlanmaktadır. Yönetmelikte yer alan bu performans seviyeleri doğrusal olmayan statik itme analizi sonucunda sünek elemanlarda oluşan hasar dağılımı ile belirlenmektedir. Gevrek hasar durumundaki elemanların ise doğrudan Göçme Sınırına ulaştığı kabul edilmekte, binanın yukarıda bahsedilen performans düzeyinde olması için gevrek hasar gören elemanların güçlendirilmesi koşulu yer almaktadır. Tablo 3.4’te DBYBHY2007’de yer alan bina performans düzeyi şartları görülmektedir. Tablo 3.4’ten anlaşılacağı gibi kiriş şartlarında konsol ve saplama kirişler değerlendirme dışı bırakılmakta, iki kolonu birbirine bağlayan birincil kirişler göz önüne alınmaktadır. Kirişlerdeki performans düzeyi hasar gören kirişlerin oranı üzerinden, kolonlarda ise hasar alan kolonların taşıdığı kesme kuvvetinin kat kesme kuvvetine oranı üzerinden tarif edilmektedir.

Tablo 3.4: DBYBHY2007’de tanımlanan performans düzeyi şartları

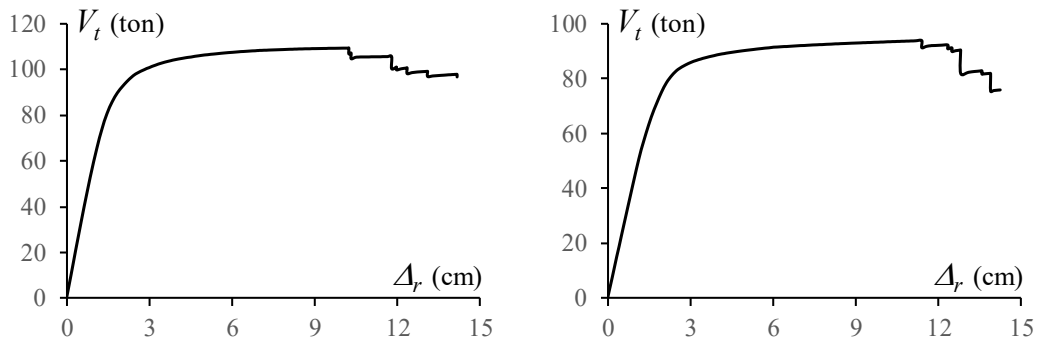
Performans Düzeyi	Taşıyıcı Eleman	Şart No	DBYBHY2007 Bölüm-7 Performans Şartı
Hemen Kullanım (HK)	Kiriş	HK1	Birincil kirişlerin en fazla %10’u Belirgin Hasar Bölgesi’ne geçebilir.
	Kolon/Perde	HK2	Taşıyıcı elemanlarının tümü Minimum Hasar Bölgesi’ndedir.
Can Güvenliği (CG)	Kiriş	CG1	Birincil kirişlerin en fazla %30’u İleri Hasar Bölgesi’ne geçebilir.
	Kolon/Perde	CG2	İleri Hasar Bölgesi’ndeki kolonların, her bir katta kolonlar tarafından taşınan kesme kuvvetine toplam katkısı %20’nin altında olmalıdır (En üst katta bu değer %40).
		CG3	Alt ve üst kesitlerinin ikisinde birden Minimum Hasar Sınırı aşılmış olan kolonlar tarafından taşınan kesme kuvvetlerinin, o kattaki tüm kolonlar tarafından taşınan kesme kuvvetine oranının %30’u aşmaması gerekir.
Göçme Öncesi (GÖ)	Kiriş	GÖ1	Birincil kirişlerin en fazla %20’si Göçme Bölgesi’ne geçebilir.
	Kolon/Perde	GÖ2	Göçme Bölgesi’nde hiçbir kolon/perde eleman bulunamaz.
		GÖ3	Alt ve üst kesitlerinin ikisinde birden Minimum Hasar Sınırı aşılmış kolonlar tarafından taşınan kesme kuvvetlerinin, o kattaki tüm kolonlar tarafından taşınan kesme kuvvetine oranının %30’u aşmaması gerekir.

Tezin sonraki bölümlerinde detaylı olarak açıklanan hasar görebilirlik eğrilerinin hesabı için Hemen Kullanım (HK), Can Güvenliği (CG) ve Göçme Öncesi (GÖ) performans düzeylerine karşılık gelen deplasman değerleri (Δ_{HK} , Δ_{CG} ve $\Delta_{GÖ}$), Tablo 3.4'te yer alan kolon ve kiriş şartlarına göre belirlenmiştir. Binaların süneklik kapasiteleri hesabı sırasında nihaî deplasman değeri ile Göçme Öncesi performans sınırı için hesaplanan deplasman değeri eşit kabul edilmiştir ($\Delta_u = \Delta_{GÖ}$). Yapılan kabul ile yapılara ait süneklik kapasiteleri (3.17) ifadesi ile hesaplanmıştır.

$$\mu = \frac{\Delta_{GÖ}}{\Delta_y} \quad (3.17)$$

3.5 Mevcut Binaların Kapasite Eğrilerinin ve DBYBHY2007 Performans Sınırlarının Hesabı

Tez kapsamında seçilen binaların kapasite eğrilerini elde etmek için doğrusal olmayan statik itme analizleri SAP2000 (CSI 2000) programı kullanılarak gerçekleştirilmiştir. Doğrusal olmayan analiz modelleri hazırlanırken plastik mafsallarda kullanılan kesit hasar bölgeleri için önceki bölümlerde anlatılan donatı ve betona ait izin verilen şekil değiştirme değerleri kullanılmıştır. Mevcut elemanlara ait etkin eğilme rijitlikleri ($(EI)_e$) kolonlar için aksel yük düzeyine göre Şekil 3.4'te belirtildiği şekilde hesaplanmıştır. Yapılan analizler sonucunda yapılara ait birbirine dik doğrultudaki kapasite eğrileri elde edilmiştir. Şekil 3.12'de örnek 4 katlı BO7SN4 yapısının statik itme analizi sonucu elde edilen kapasite eğrileri görülmektedir.

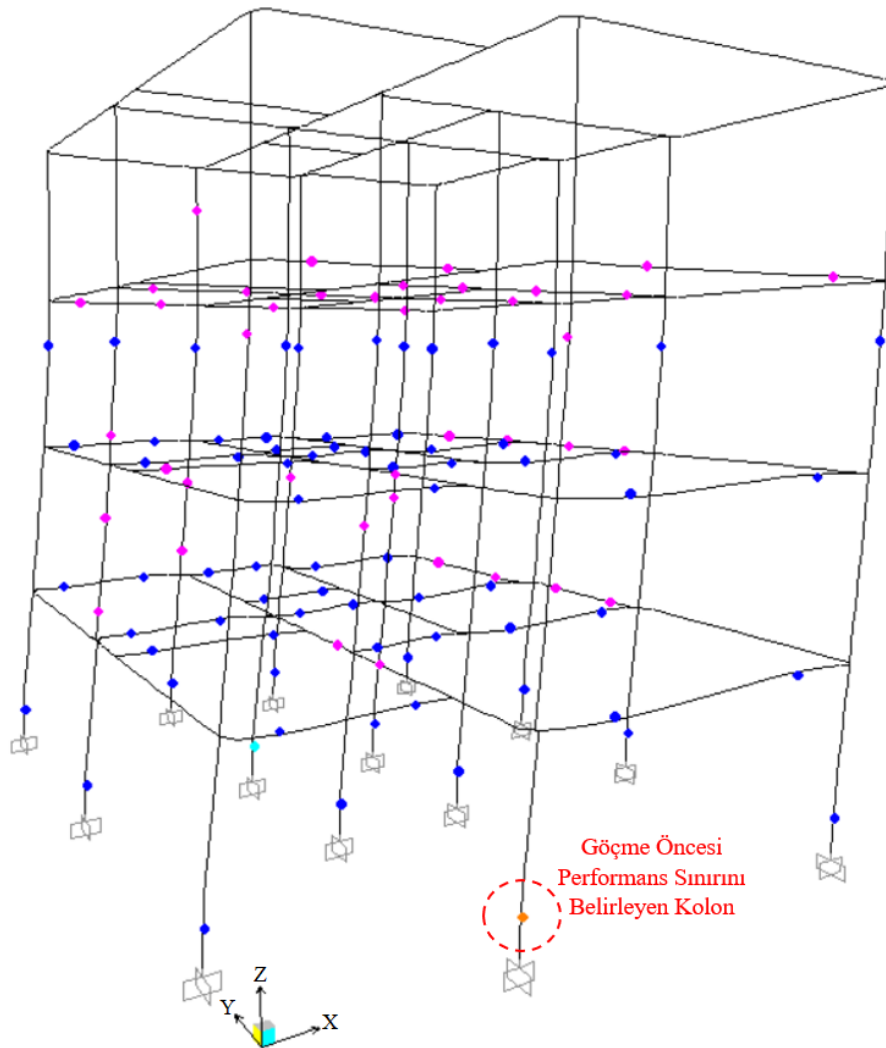


Şekil 3.12: BO7SN4 binasının statik itme analizi sonucu elde edilen kapasite eğrileri (solda: XZ analiz yönü, sağda: YZ analiz yönü)

Yapıların DBYBHY2007 Bölüm 7’de belirtilen (bkz. Tablo 3.4) performans düzeylerine karşılık gelen deplasman değerleri, statik itme analizi sonucu kolon ve kirişlerde oluşan hasar dağılımlarının değerlendirilmesiyle elde edilmiştir. Tablo 3.5’te 4 katlı BO7SN4 binası için yapılan değerlendirmeler sonucunda elde edilen performans sınırları görülmektedir. Şekil 3.13’te ise XZ yönünde yapılan statik itme analizi sonucunda yapının Göçme Öncesi (GÖ) performans düzeyine ulaştığında kolon ve kirişlerinde meydana gelen hasarların dağılımı görülmektedir.

Tablo 3.5: Örnek BO7SN4 binasının performans düzeyi sınır değerleri

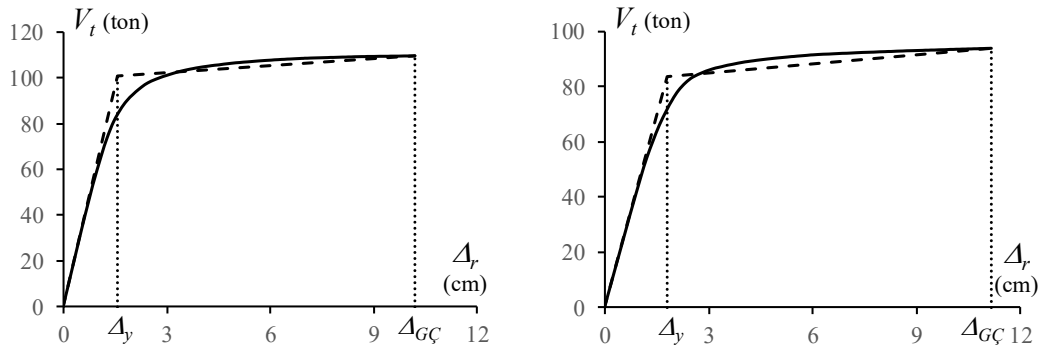
Bina No	Analiz Yönü	Hemen Kullanım (HK)		Can Güvenliği (CG)		Göçme Öncesi (GÖ)	
		Δ_r (cm)	V_t (ton)	Δ_r (cm)	V_t (ton)	Δ_r (cm)	V_t (ton)
BO7SN4	XZ	2.82	99.97	10.20	109.36	10.20	109.36
	YZ	3.38	87.10	10.99	93.67	11.16	93.73



Şekil 3.13: BO7SN4 binasının XZ yönünde oluşan hasar dağılımı

Şekil 3.13'te örnek BO7SN4 binasının XZ analiz yönündeki GÖ performans düzeyini belirleyen kolon eleman görülmektedir. Söz konusu yapı TDY1975 yönetmeliğine göre tasarlanmış bir yapıdır ve bu yüzden de beton ve donatı dayanımı düşük projelendirilmiştir. Ayrıca binanın kapasite tasarımı ilkelerinden (yeterli sargılama, güçlü kolon-zayıf kiriş vb.) de yoksun projelendirilmesi nedeniyle alt kattaki kolon Göçme Sınırına (GÇ) ulaşarak yapının ulaşabileceği nihaî deplasman değerini ($\Delta_{GÇ} = 10.20$ cm) belirlemiştir. Diğer bir ifade ile yapının Göçme Sınırını Tablo 3.4'te belirtilen GÖ2 şartı kontrol etmektedir. Tez kapsamında kullanılan yeni ve eski binaların Tablo 3.4'te yer alan performans sınır değerleri Tablo A.3'te verilmektedir. Mevcut yeni ve eski binaların hesaplanan performans sınırları ile ilgili değerlendirmeler bir sonraki bölümde detayları ile açıklanmıştır.

Göçme Öncesi performans sınırı belirlenen yapıların kapasite eğrileri, yapıyı tanımlamada kullanılacak kapasite parametrelerini (Δ_y, V_{t-y}) elde etmek için iki doğrulu hâle getirilmiştir. İki doğrulu hâle getirme işlemi sırasında önceki bölümde bahsedilen ATC-40 (1996) yaklaşımı esas alınmıştır. Şekil 3.14'te örnek 4 katlı BO7SN4 binasının her iki yönde elde edilen kapasite eğrilerinin iki doğrulu hâle getirilmiş şekli görülmektedir.



Şekil 3.14: BO7SN4 binasının kapasite eğrilerinin iki doğrulu hâle getirme işlemi (solda: XZ analiz yönü, sağda: YZ analiz yönü)

İki doğrulu hâle getirme işlemi sayesinde yapıların akma anındaki taban kesme kuvveti (akma dayanımı, V_{t-y}) ile akma anındaki çatı deplasmanı (akma deplasmanı, Δ_y) elde edilmiştir. Örnek olarak gösterilen 4 katlı BO7SN4 binası için akma dayanımı değerleri XZ ve YZ yönleri için sırası ile 100.78 ton ve 89.47 ton olarak elde edilmiştir. Aynı yapıda akma deplasmanları ise yine sırası ile 1.58 cm ve 1.93 cm olarak hesaplanmıştır. Tablo 3.6'da binanın iki doğrulu kapasite eğrisine ait yapısal

parametreler görülmektedir. Tablo 3.6’da yer alan K_1 ve K_2 ifadeleri sırası ile iki doğrulu kapasite eğrisinin akma öncesi ve sonrası rijitlik değerlerini ifade etmektedir.

Tablo 3.6: Örnek BO7SN4 binasının kapasite eğrisi parametreleri

Bina No	W (ton)	Analiz Yönü	T_{1-inel}	V_{t-y}	Δ_y	V_{t-u}	Δ_u	K_1	K_2	K_2/K_1
			(sn)	(ton)	(cm)	(ton)	(cm)	-	-	-
BO7SN4	463.18	XZ	0.435	100.78	1.58	109.36	10.20	0.213	0.003	0.016
		YZ	0.513	89.47	1.93	93.73	11.16	0.153	0.002	0.010

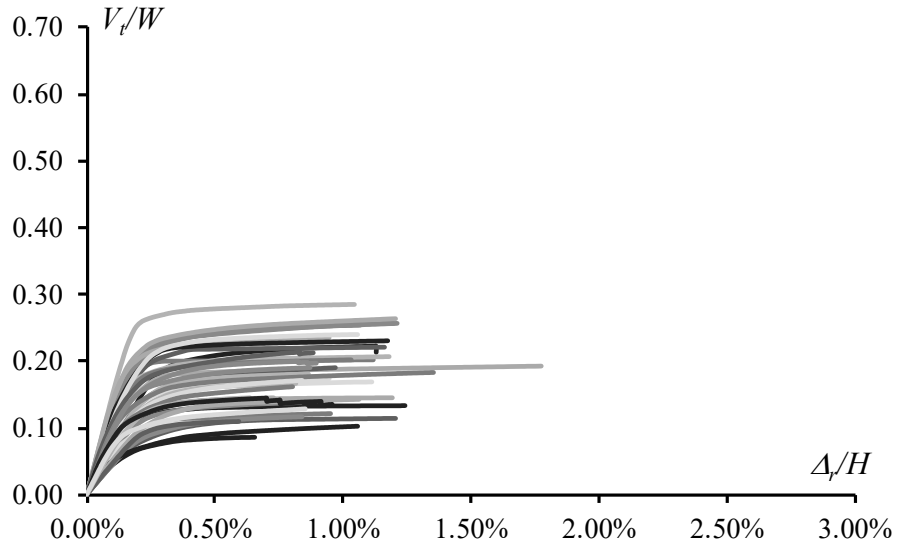
Tablo 3.6’da akma deplasmanı ve nihaî deplasman kapasitesi belirlenen yapının her iki yöndeki süneklik kapasitesi (3.17) bağıntısı kullanılarak belirlenmiştir. Hesaplanan süneklik kapasiteleri XZ yönünde 6.47, YZ yönünde ise 5.78 olarak bulunmuştur. Tez kapsamında incelenen TDY1975 ve TDY1998 binalarının doğrusal olmayan statik itme analizi sonucu elde edilen kapasite parametreleri sırası ile Tablo A.4 ve Tablo A.5’te verilmiştir.

3.6 Mevcut Binaların Kapasite Parametrelerinin Değerlendirilmesi

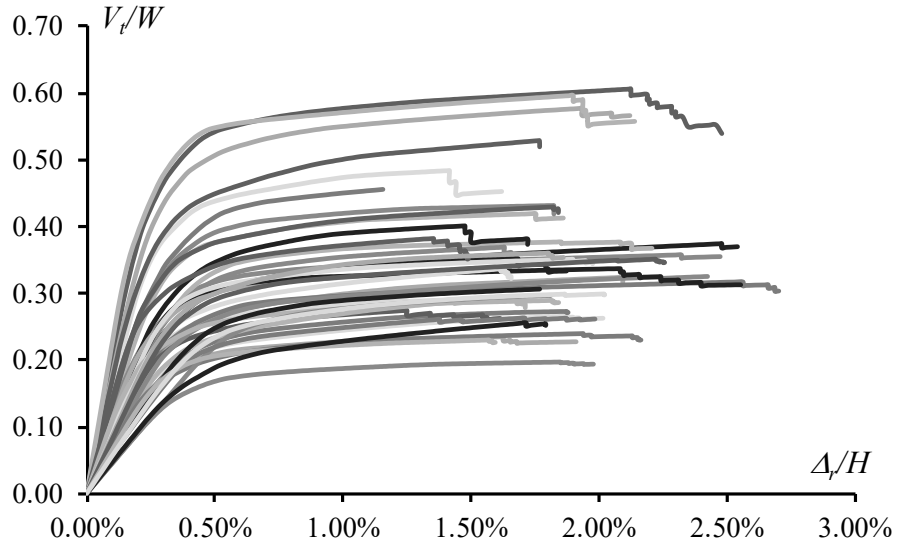
TDY1975 ve TDY1998’e göre projelendirilen mevcut yapılar için hesaplanan kapasite parametreleri bu bölümde değerlendirilmiştir. Mevcut binaların doğrusal olmayan statik itme analizlerinin tamamlanmasının ardından, farklı ağırlıktaki ve yükseklikteki yapıları karşılaştırabilmek amacıyla hesaplanan dayanım değerleri (V_{t-y}) yapı ağırlığına, çatı deplasmanları (Δ_r) ise yapı yüksekliğine bölünerek yatay dayanım oranları (V_t/W) ve deplasman kapasiteleri (Δ_r/H) elde edilmiştir.

Şekil 3.15’te TDY1975, Şekil 3.16’da ise TDY1998’e göre projelendirilen mevcut yapıların XZ ve YZ yönünde analizlerinden elde edilen kapasite eğrileri görülmektedir. Hesaplanan kapasite eğrilerine bakıldığında TDY1998’e göre projelendirilen yapıların yatay dayanım oranlarının ve deplasman kapasitelerinin, TDY1975’e göre projelendirilen mevcut binalardan daha yüksek olduğu görülmektedir. TDY1975 binalarının malzeme dayanımlarının düşük olması ve kapasite tasarımı ilkelerinden yoksun projelendirilmesinin yanı sıra kat rijitliklerinin kolon kesitlerinde yapılan küçültmeler nedeniyle üst katlarda düşüşler göstermesi, yatay dayanım ve deplasman kapasitelerini olumsuz yönde etkilemiştir. TDY1975 binalarının yatay dayanım kapasiteleri ortalama 0.10-0.25, deplasman kapasiteleri

%0.80-%1.20 civarında hesaplanırken TDY1998 binalarında bu değerlerin yaklaşık 2 katına çıkması bu duruma işaret etmektedir.

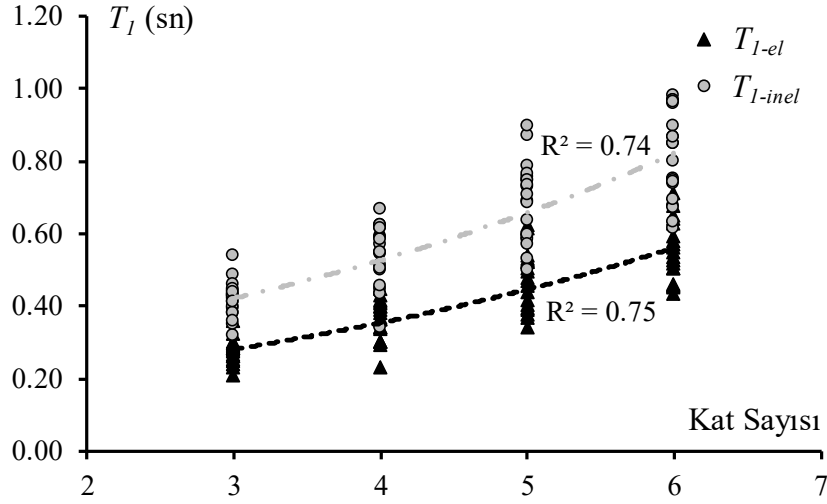


Şekil 3.15: TDY1975'e göre projelendirilen mevcut binalar için elde edilen kapasite eğrileri



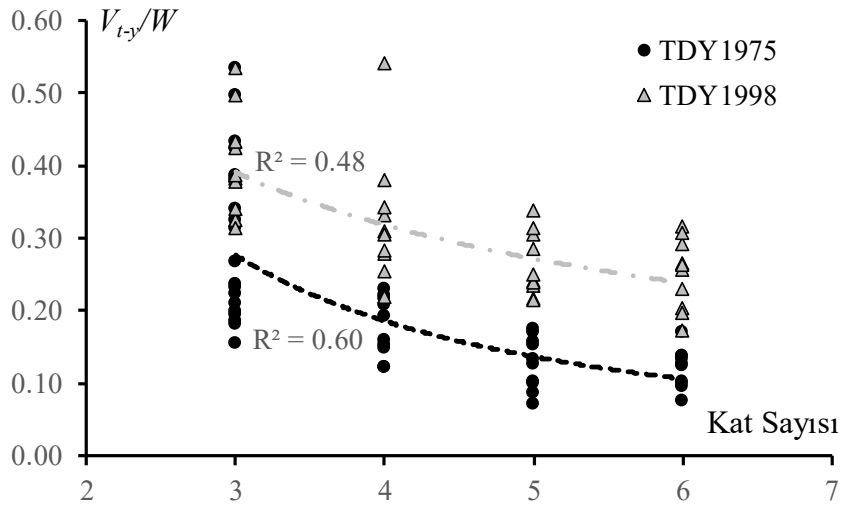
Şekil 3.16: TDY1998'e göre projelendirilen mevcut binalar için elde edilen kapasite eğrileri

Tez kapsamında kullanılan mevcut yapılar için hesaplanan elastik (T_{1-el}) ve elastik olmayan titreşim periyotlarının (T_{1-inel}) katlara göre dağılımı Şekil 3.17'de görülmektedir. Her iki birinci doğal titreşim periyodu da artan kat sayısı ile artmaktadır. Yüksek katlı yapıların ağırlıklarında meydana gelen artış ve yanal rijitliklerinin göreceli olarak düşük olması, yüksek katlı yapıların periyot değerlerinin büyümesine neden olmaktadır.

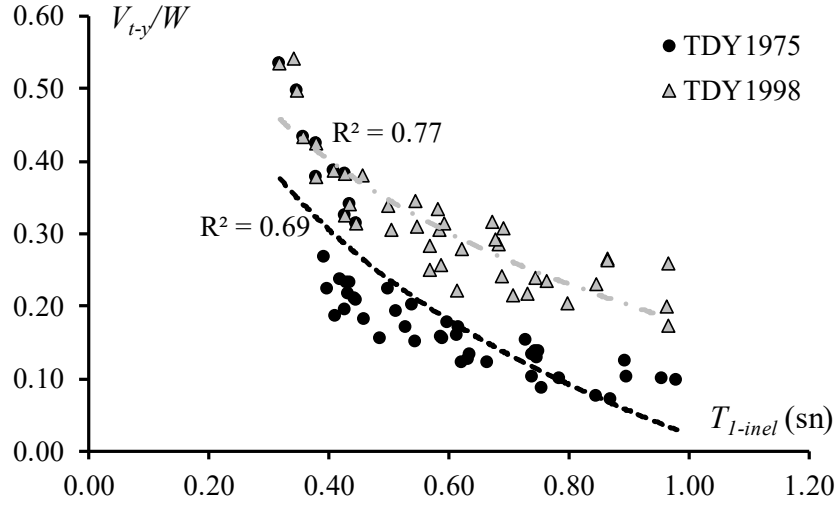


Şekil 3.17: Mevcut binaların elastik ve elastik olmayan titreşim periyotlarının kat sayısı ile değişimi

Şekil 3.18’de tez kapsamında kullanılan TDY1975 ve TDY1998 yapılarının yatay dayanım oranlarının kat sayısına, Şekil 3.19’da ise elastik olmayan bina periyoduna göre değişimi görülmektedir. Daha önce de belirtildiği şekilde TDY1998 binaları için hesaplanan yatay dayanım oranları, TDY1975 binaları için hesaplanan değerlerden yüksektir. Artan kat sayısı ve bina periyodu ile yatay dayanım oranlarında azalma meydana gelmektedir. Düşük katlı yapıların kesit boyutu ve donatı miktarını, hesaplanan dayanım talebinden ziyade yönetmeliklerde de yer alan minimum kesit ve donatı koşulları kontrol etmektedir. Bu durum düşük katlı yapılarda dayanım fazlalığının artmasına, gerekenden daha fazla yatay dayanım kapasitesinin oluşmasına ve yatay rijitlik kapasitelerinin artmasına neden olmaktadır.

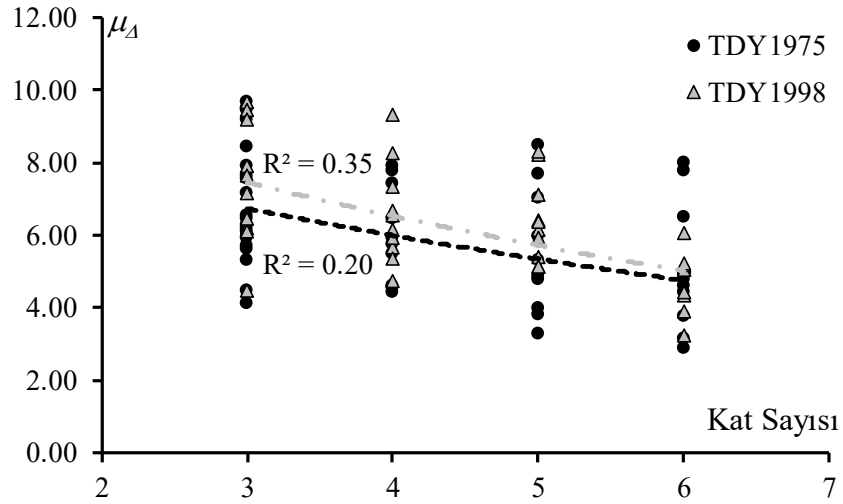


Şekil 3.18: Mevcut binaların yatay dayanım oranlarının kat sayısına göre değişimi

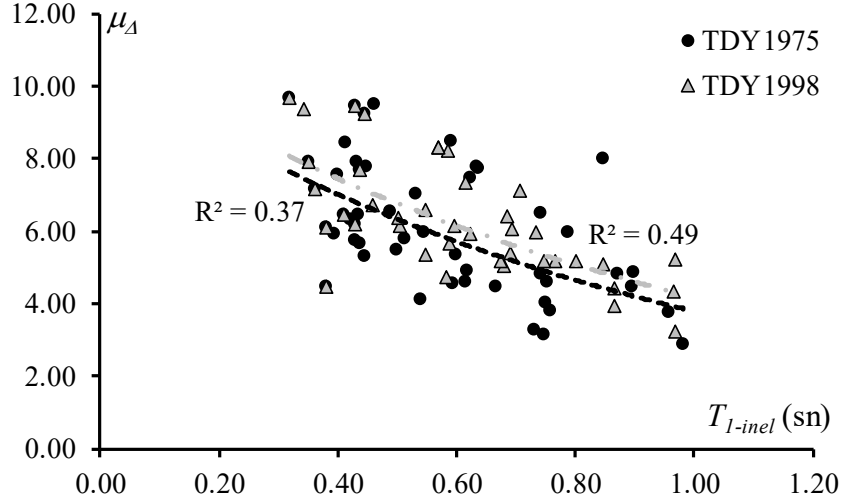


Şekil 3.19: Mevcut binaların yatay dayanım oranlarının elastik olmayan bina periyoduna göre değişimi

Şekil 3.20’de TDY1975 ve TDY1998 binaları için hesaplanan süneklik kapasitesi değerlerinin kat sayısına, Şekil 3.21’de ise elastik olmayan bina periyoduna göre değişimi görülmektedir. Eski ve yeni binalar için kat sayısının ve yapı periyodunun artması ile deplasman süneklikleri de azaltmaktadır. Literatürde bu durumu destekler nitelikte birçok çalışma bulunmaktadır (Newmark ve Hall 1973, Elghadamsi ve Mohraz 1987, Nassar ve Krawinkler 1991, Vidic ve diğ. 1992, Miranda 1993, Miranda ve Bertero 1994).

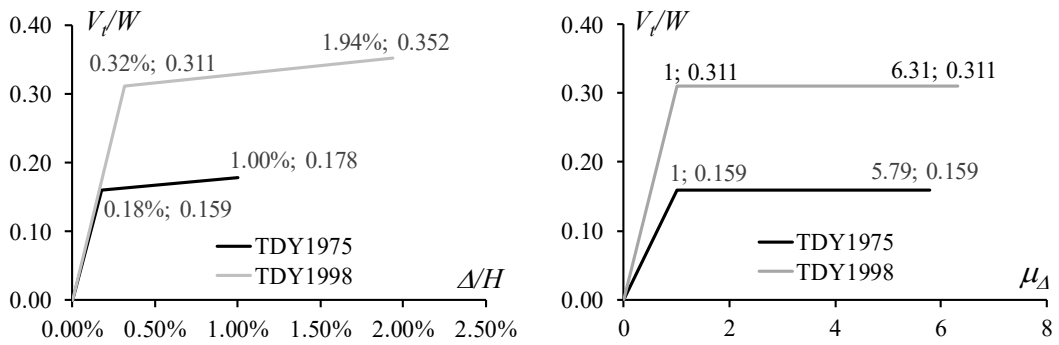


Şekil 3.20: Mevcut binaların süneklik kapasitelerinin kat sayısına göre değişimi



Şekil 3.21: Mevcut binaların süneklik kapasitelerinin elastik olmayan bina periyoduna göre değişimi

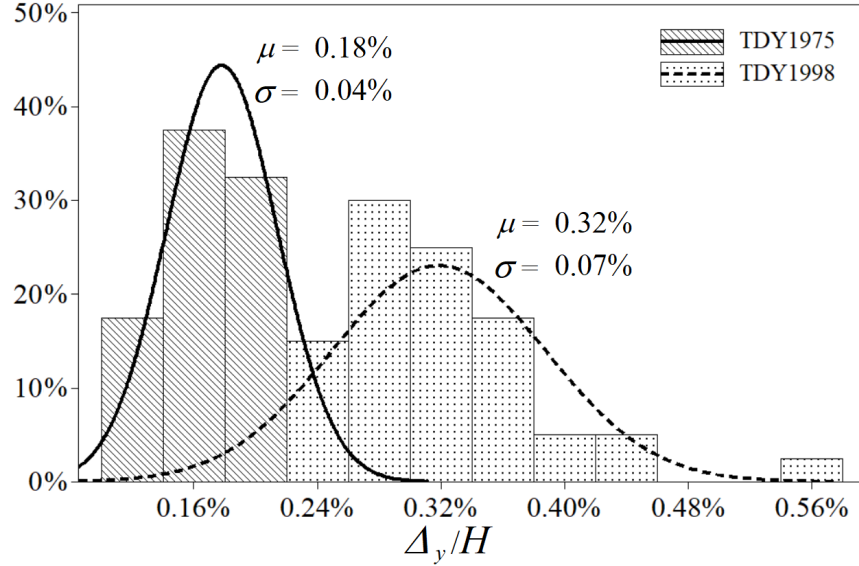
Her ne kadar Şekil 3.20 ve Şekil 3.21'e bakıldığında TDY1975 ve TDY1998 binalarının süneklik kapasiteleri (μ_d) arasında önemli farklılıklar olmadığı görülse de eski ve yeni yapıların deplasman kapasiteleri (Δ_u/H) arasında önemli derecede fark olduğu bilinmektedir (bkz. Şekil 3.15 ve Şekil 3.16). TDY1975 binalarının kapasite eğrilerini iki doğrulu hâle getirme işlemi sonucunda edilen deplasman değerlerinin, TDY1998 binaları için elde edilen akma deplasmanı değerlerinden düşük olması bu durumun sebebini açıklamaktadır. Şekil 3.22'de bu durumu daha iyi özetlemek için elde edilen TDY1975 ve TDY1998 binalarına ait ortalama dayanım ve süneklik grafikleri görülmektedir.



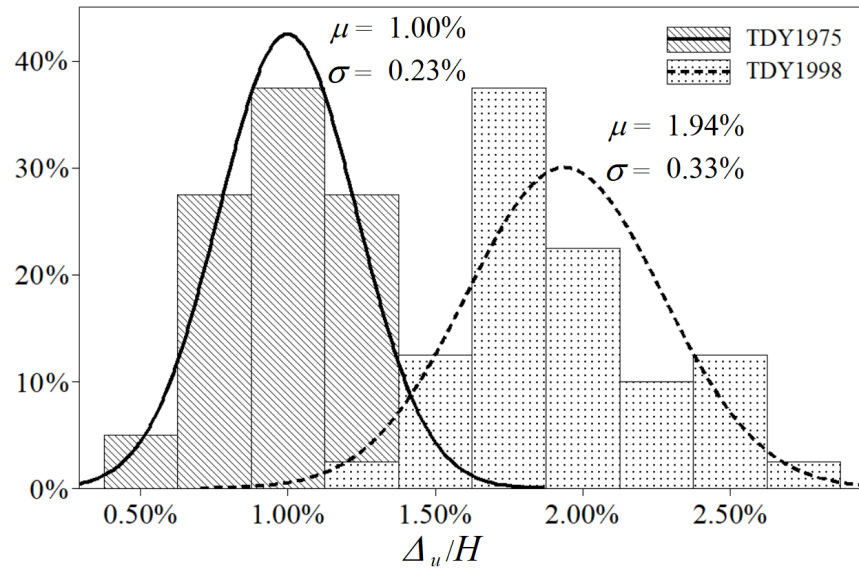
Şekil 3.22: Mevcut binalar için elde edilen ortalama dayanım ve süneklik grafikleri

Şekil 3.22'den anlaşılacağı üzere, TDY1975 binaları için ortalama yatay dayanım oranı 0.159 olarak elde edilirken, TDY1998 binaları için bu değer 0.311 olarak hesaplanmıştır. Mevcut binalar süneklik kapasiteleri yerine deplasman kapasiteleri açısından değerlendirildiğinde, TDY1975 binaları için ortalama %1.00

değeri elde edilirken TDY1998 binaları için %1.94 değeri elde edilmiştir. Şekil 3.23'te mevcut binaların akma anına, Şekil 3.24'te ise yatay ötelenme kapasitelerine karşılık gelen deplasmanların dağılımı görülmektedir.



Şekil 3.23: Mevcut binaların akma anında yatay ötelenme değerlerinin dağılımı



Şekil 3.24: Mevcut binaların yatay ötelenme kapasitelerinin dağılımı

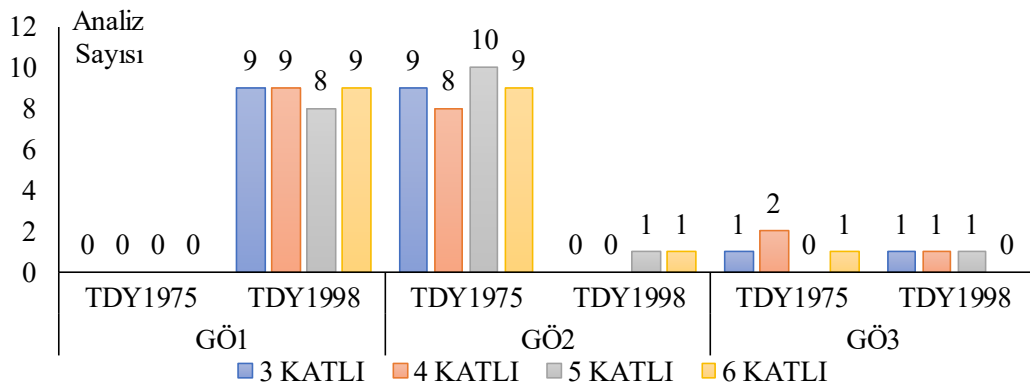
Şekil 3.23 ve Şekil 3.24, TDY1975 binaları için elde edilen hem akma hem de maksimum ötelenme kapasitesine karşılık gelen yatay ötelenme oranlarının, TDY1998 binalarına göre daha düşük olduğunu göstermektedir. Her iki şekilde de TDY1975 binaları için elde edilen yatay ötelenme değerlerinin standart sapmasının daha düşük olması, TDY1975 binaları için elde edilen değerlerin saçılımının daha düşük

olduğunun göstergesidir. Elde edilen sonuçları özetlemek gerekirse, TDY1975 binaları için akma anındaki yatay ötelenme değeri ortalama %0.18, ötelenme kapasitesi %1.00 olarak hesaplanırken, TDY1998 binaları için bu değerler sırası ile %0.32 ve %1.94 olarak hesaplanmıştır. Tablo 3.7’de mevcut binaların için elde edilen kapasite parametrelerinin merkezî eğilim ölçüleri görülmektedir.

Tablo 3.7: Mevcut binaların kapasite parametrelerine ait merkezî eğilim ölçütleri

Proje Yönetmeliği	Parametre	T_{1-el} (sn)	T_{1-inel} (sn)	Δ_y/H (-)	Δ_w/H (-)	V_{t-y}/W (-)	μ_{Δ} (-)
TDY1975	Maksimum	0.714	0.982	0.27%	1.78%	0.267	9.49
	Ortalama	0.428	0.621	0.18%	1.00%	0.159	5.79
	Minimum	0.264	0.393	0.12%	0.48%	0.071	2.88
	Std. Sapma	0.124	0.168	0.04%	0.23%	0.049	1.63
TDY1998	Maksimum	0.652	0.969	0.56%	2.70%	0.542	9.67
	Ortalama	0.402	0.606	0.32%	1.94%	0.311	6.31
	Minimum	0.207	0.319	0.22%	1.15%	0.173	3.25
	Std. Sapma	0.119	0.181	0.07%	0.33%	0.086	1.56

Çalışma kapsamında ele alınan binaların doğrusal olmayan statik itme analizi sonucu yapıların performans seviyesi belirlenirken, DBYBHY2007 Bölüm 7’de belirtilen “Göçme Öncesi” performans düzeyini tarif eden kolon (GÖ2 ve GÖ3) ve kiriş şartları (GÖ1) incelenmiştir (Tablo 3.4). Şekil 3.25’te Göçme Öncesi performans seviyesini belirleyen şartların, mevcut binaların tasarımında göz önüne alınan yönetmeliğe ve kat sayısına göre dağılımı görülmektedir.



Şekil 3.25: Mevcut binaların Göçme Öncesi performans düzeyini belirleyen kriterin bina yapım yılına ve kat sayısına göre dağılımı

Şekil 3.25 kapasite tasarımı ilkelerinden yoksun projelendirilen TDY1975 binalarının neredeyse tamamının Göçme Öncesi performans düzeyini GÖ2 ile

belirtilen koşulun kontrol ettiğini göstermektedir. Yapılan incelemeler, TDY1975 binalarında malzeme kalitesinin düşük, sargı donatısı miktarının yetersiz ve yanal rijitliklerin de göreceli olarak daha küçük olmasının yanı sıra üst katlarda kolon boyutlarının küçülmesiyle oluşan rijitlik kayıplarının bu duruma sebep olduğunu göstermektedir. Söz konusu şekillerden de görüldüğü gibi TDY1998 binalarında ise Göçme Öncesi performans düzeyini GÖ1 ile tarif edilen ve “birincil kirişlerin %20’den fazlasının göçme bölgesine geçme” şartı kontrol etmektedir. TDY1998 koşullarına göre tasarlanan binaların malzeme dayanımlarının daha yüksek oluşu, kapasite tasarımı ilkelerinin göz önüne alınması, kolonların kirişlerden daha güçlü olması, daha yüksek sargı donatısı oranları ve göreceli olarak daha büyük kolon boyutları, bina performansının kolonlardan ziyade kirişlerde meydana gelen hasarlar tarafından kontrol edilmesine sebep olmaktadır.

4. İVME KAYITLARININ SEÇİMİ

Bu bölümde tez çalışması kapsamında seçilen ve mevcut binaların zaman tanım alanında doğrusal olmayan analizlerinde kullanılan ivme kayıtları ile ilgili bilgiler yer almaktadır. Doğrusal olmayan dinamik analizlerde “Pasific Earthquake Engineering Reseach Center” veri tabanında bulunan (<https://ngawest2.berkeley.edu/>) ve 28 farklı depremden alınan, 72’si ölçekli toplam 364 adet ivme kaydı kullanılmıştır. Seçilen ivme kayıtlarının moment magnitüdleri (M_w) 5.7 ile 7.5 arasında değişmektedir. Tablo 4.1’de analizlerde kullanılan ivme kayıtlarının ait oldukları depremler ve depremlerin büyüklükleri (M_w) görülmektedir.

Tablo 4.1: İvme kayıtlarının ait oldukları depremler (Palanci 2014)

No	Tarih	Deprem	M_w	No	Tarih	Deprem	M_w
1	25.04.1992	Cape Mendocino, California	6.2	15	18.10.1989	Loma Prieta, California	6.9
2	20.09.1999	Chi-Chi, Taiwan	7.6	16	27.05.1980	Mammoth Lakes, California	5.9
3	02.05.1983	Coalinga, California	6.4	17	24.04.1984	Morgan Hill, California	6.2
4	06.08.1979	Coyote Lake, California	5.7	18	08.07.1986	North Palm Springs, California	6.8
5	12.11.1999	Duzce, Turkey	7.1	19	23.12.1985	Nahanni, Canada	6.7
6	13.03.1992	Erzincan, Turkey	6.7	20	17.01.1994	Northridge, California	6.1
7	06.05.1976	Friuli, Italy	6.5	21	28.06.1966	Parkfield, California	6.2
8	17.05.1976	Gazli, USSR	6.8	22	09.02.1971	San Fernando, California	6.6
9	15.10.1979	Imperial Valley, California	6.5	23	07.12.1988	Spitak, Armenia	6.8
10	23.11.1980	Irpinia, Italy	6.9	24	24.11.1987	Superstition Hills, California	6.5
11	16.01.1995	Kobe, Japan	6.9	25	16.09.1978	Tabas, Iran	7.4
12	17.08.1999	Kocaeli, Turkey	7.5	26	09.06.1980	Victoria, Mexico	6.3
13	28.06.1992	Landers, California	7.3	27	26.04.1981	Westmorland, California	5.9
14	24.01.1980	Livermore, California	5.8	28	01.10.1987	Whittier Narrows, California	6.0

Literatürde betonarme yapıların deprem davranışı ile farklı yer hareketi şiddet ölçüleri (Maksimum Yer Hızı, Maksimum Yer İvmesi, Spektral İvme, vb.) arasındaki ilişkinin araştırıldığı çok sayıda çalışma bulunmaktadır. Bu çalışmalardan elde edilen sonuçlar MYH’nın, sismik deplasman talebi ve MMI ile diğer deprem parametrelerine kıyasla daha yüksek korelasyona sahip olduğunu göstermektedir (Fajfar ve diğ. 1990, Wald ve diğ. 1999, Wu ve diğ. 2003, Akkar ve Özen 2005, Bommer ve Alarcón 2006, Yang ve diğ. 2009, Yaghmaei-Sabegh ve diğ. 2011). Bu nedenle sigorta risk prim hesabında önemli bir aşamayı temsil eden hasar görülebilirlik eğrilerinin yatay eksenini MYH ile temsil edilmiştir. Küçükten büyüğe çok sayıda ivme kaydının göz önüne alınmasının altındaki temel gerekçe, MYH ile temsil edilen ve depremin artan şiddetini ifade eden bu eksenini, mümkün olan en ayrıntılı şekilde tarif edebilmektir. Kullanılan

ivme kayıtları MYH göz önüne alınarak 12 farklı gruba ayrılmıştır. Tablo 4.2’de doğrusal olmayan dinamik analizlerde kullanılan MYH gruplarında yer alan ivme kaydı sayıları ve bu gruplara ait ortalama MYH değerleri görülmektedir.

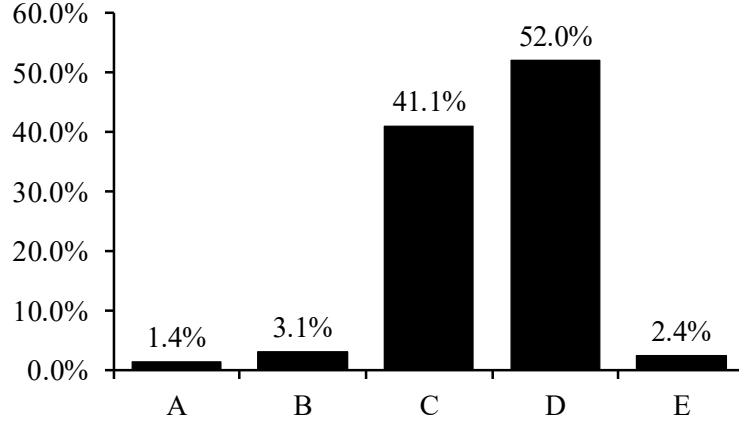
Tablo 4.2: İvme gruplarının MYH bilgileri ve kayıt sayıları (Palanci 2014)

MYH Grup Adı	MYH Grup No	Kayıt Sayısı	MYH Aralığı (cm/s)	MYH _{ort} (cm/s)	Std. Sapma (cm/s)
MYH-I	1	29	20-25	23.20	1.71
	2	31	25-30	27.28	2.18
	3	34	30-35	33.66	2.63
	4	30	35-40	38.81	2.91
MYH-II	5	30	40-45	42.82	3.48
	6	30	45-50	50.11	3.24
	7	30	50-55	52.96	4.83
	8	30	55-60	57.49	3.65
MYH-III	9	30	60-65	63.02	4.93
	10	30	65-70	68.37	5.27
	11	30	70-75	73.52	5.68
	12	30	75-80	79.01	5.79

Tablo 4.2’ye bakıldığında kullanılan ivme kayıtlarının MYH değerlerinin 20-80 cm/s aralığında değiştiği görülmektedir. 5 cm/s aralıkla oluşturulan gruplarda yaklaşık 30 adet ivme kaydı bulunmaktadır. Tablo 4.2’de her bir grupta yer alan ivme kayıtlarının ortalama MYH ve standart sapma değeri görülmektedir. Artan grup numarası ile ortalama MYH değerlerinde artış görülmektedir. Seçilen ivme kayıtlarının zemin sınıfları “National Earthquake Hazards Reduction Program” (NEHRP) kriterleri esas alınarak belirlenmiştir. 30 m derinlikteki ortalama kayma dalgası hızına (V_{s30}) göre yapılan bu sınıflamada, 6 farklı zemin sınıfı bulunmaktadır. Tablo 4.3’te NEHRP’de yer alan zemin sınıfları ve sınıflandırma kriterleri, Şekil 4.1’de ivme kayıtlarının zemin sınıflarına göre dağılımı görülmektedir.

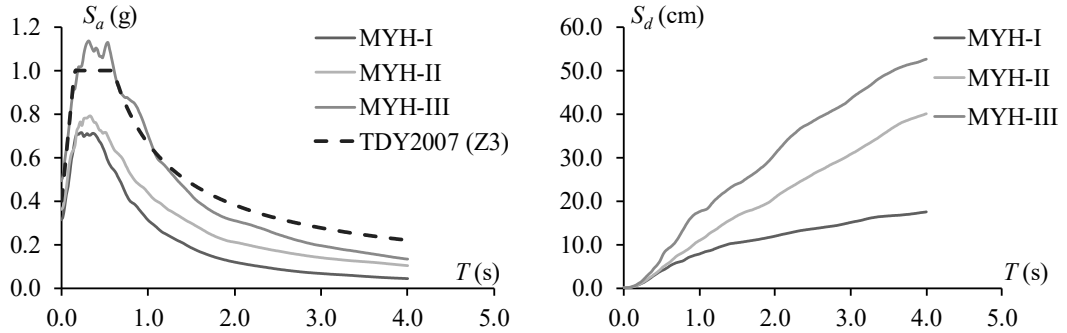
Tablo 4.3: NEHRP zemin sınıfları ve zemin sınıflandırma kriterleri

Zemin Sınıfı	Tanım	V_{s30} (m/s)
A	Sert kaya	$V_{s30} > 1500$
B	Kaya	$760 < V_{s30} \leq 1500$
C	Çok sıkı kum ve yumuşak kaya	$360 < V_{s30} \leq 760$
D	Sert zemin (sıkı kum, çakıl veya çok katı kil)	$180 \leq V_{s30} \leq 360$
E	Yumuşak zemin (gevşek kum, katı kil tabakaları)	$V_{s30} < 180$
F	Sahaya özel değerlendirme gerektiren zeminler	-



Şekil 4.1: Kullanılan ivme kayıtlarının NEHRP kriterlerine göre zemin sınıfı dağılımı (Palanci 2014)

Şekil 4.1 kullanılan ivme kayıtlarının büyük çoğunluğunun (%93.1) C ve D grubu zeminlere ait olduğunu göstermektedir. Bu nedenle seçilen kayıtların büyük çoğunluğunun, yaklaşık olarak DBYBHY2007 Bölüm 6’da yer alan Z3 zemin sınıfına karşılık geldiğini söylemek mümkündür. Seçilen ivme kayıtlarının %5 sönüm esas alınarak hesaplanan elastik ivme ve deplasman mukabele spektrumları SeismoSpect (2015) yazılımı kullanılarak elde edilmiştir. Şekil 4.2’de, kullanılan ivme kayıtlarının MYH gruplarına (MYH-I, MYH-II ve MYH-III) göre elde edilen ortalama ivme-mukabele (S_a-T) ve deplasman-mukabele (S_d-T) spektrumları gösterilmiştir.



Şekil 4.2: MYH grupları için elde edilen ortalama spektral ivme (solda) ve spektral deplasman (sağda) grafiği

Şekil 4.2’de MYH-III grubundaki ivme kayıtları için elde edilen ortalama spektral ivme değerleri ile DBYBHY2007’de Z3 zemin sınıfı için tanımlanan elastik tasarım ivme spektrumunun oldukça yakın olduğu görülmektedir. MYH-I ve MYH-II grupları için elde edilen spektral ivme değerleri, elastik tasarım ivme spektrumuna göre nispeten düşük kalmaktadır.

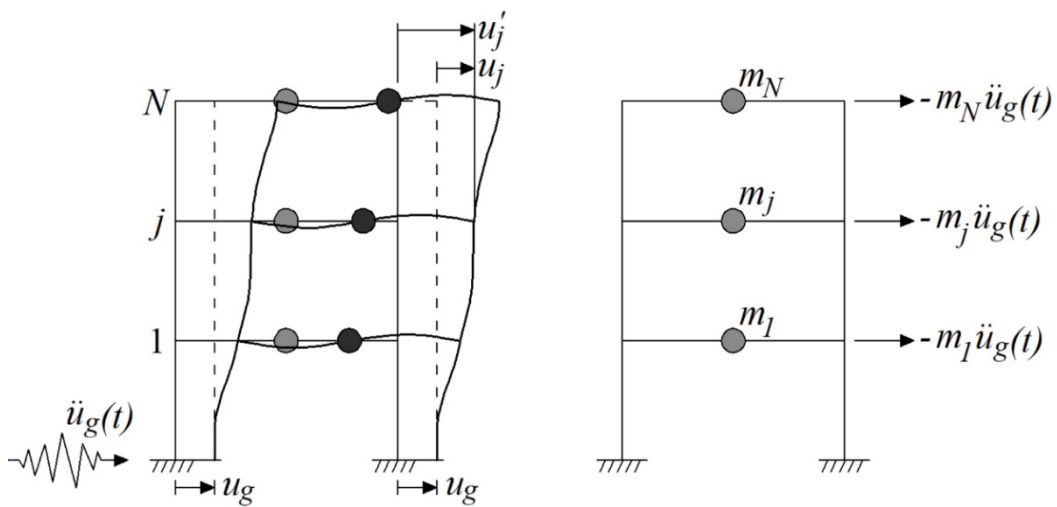
Tez çalışması kapsamında kullanılan ivme kayıtları seçilirken büyük yer hızlarının yer aldığı MYH-III grubu için yeterli sayıda ivme kaydı bulunamamıştır. Bu yüzden 72 adet ivme kaydının ölçekleme yapılarak büyütülmesi yoluna gidilmiştir. 72 ivme kaydında kullanılan ölçekleme katsayıları 1.05-1.54 arasında değişmektedir. Tez kapsamında seçilen ivme kayıtlarının detayları ve kullanılan ölçeklendirme değerleri Tablo B.1’de verilmiştir. İvme kayıtlarının seçim işleminin ardından mevcut binaların zaman tanım alanında doğrusal olmayan analizi ile deplasman taleplerinin hesabına geçilmiştir.

5. MEVCUT BİNALARIN SİSMİK YERDEĞİŞTİRME TALEPLERİNİN BELİRLENMESİ

Mevcut binaların dayanım (V) ve yerdeğiştirme kapasitelerinin (Δ_{HK} , Δ_{CG} ve $\Delta_{G\ddot{O}}$) belirlenmesinin ardından Bölüm 4’te açıklandığı şekilde ivme kayıtları seçilmiş ve binaların yerdeğiştirme taleplerinin hesabına geçilmiştir. Bu amaçla yapılan tez kapsamında 20 adet TDY1975 ve 20 adet TDY1998 yapısı toplam 40 mevcut bina, 2 deprem yönü ve 364 ivme kaydı olmak üzere toplamda 29120 adet ÇSD sisteme ait doğrusal olmayan dinamik analiz işlemi gerçekleştirilmiştir. Tezin bu bölümünde, ÇSD sistemlerin doğrusal olmayan dinamik analizi hakkında bilgilere yer verilmiş ve mevcut binalara ait yerdeğiştirme talepleri elde edilerek değerlendirilmiştir.

5.1 Doğrusal Olmayan Dinamik Analiz

Dinamik analiz yöntemi, diğer bir ifade ile zaman tanım alanında analiz yöntemi, bir yapının tepkisinin zamana bağlı değişen yükler altında adım adım elde edilmesi işlemidir. Malzeme ve kesit tanımlamalarındaki farklılıklar nedeniyle doğrusal ve doğrusal olmayan dinamik analiz olmak üzere iki farklı şekilde gerçekleştirilebilmektedir. Şekil 5.1’de tipik ÇSD bina çerçevesine etkiyen yükler altında meydana gelen yerdeğiştirmeler ve etkin deprem yükleri görülmektedir.



Şekil 5.1: ÇSD bina çerçevesi (solda) ve etkin deprem yükleri (sağda) (Chopra 2013)

Şekil 5.1’de m_1 , m_j ve m_N ile kat kütleleri, $\ddot{u}_g(t)$ ile yer ivmesi, $u_g(t)$ ile “ t ” anında zeminde meydana gelen yerdeğiştirme, $u_j'(t)$ ile j ’nci katta meydana gelen mutlak yerdeğiştirme ve $u_j(t)$ ile görelî yerdeğiştirme ifade edilmektedir. Çerçeve sistemde j ’inci katta meydana gelen toplam yerdeğiştirme (5.1)’de yer alan bileşenlerden meydana gelmektedir.

$$u_j'(t) = u_g(t) + u_j(t) \quad (5.1)$$

ÇSD sistemde $p(t)$ dış kuvveti, sistemi meydana getiren $f_s(t)$ rijitlik bileşeni, $f_D(t)$ sönüm bileşeni ve $f_I(t)$ eylemsizlik bileşeni tarafından karşılanmaktadır. Bu durum (5.2) dinamik denklemi ile ifade edilebilir.

$$f_s(t) + f_D(t) + f_I(t) = p(t) \quad (5.2)$$

Şekil 5.1’de verilen sistemde dış yük bulunmadığı için $p(t) = 0$ olur ve dinamik denge denklemi (5.3) hâlini alır.

$$f_s(t) + f_D(t) + f_I(t) = 0 \quad (5.3)$$

ÇSD sistemde meydana gelen $u_j(t)$ yerdeğiştirmesi nedeniyle yapıda meydana gelen rijitlik bileşeni (5.4), sönüm bileşeni (5.5) ve eylemsizlik bileşeni (5.6) ile ifade edilmektedir. Denklemlerde k ve c sırasıyla ÇSD sisteme ait rijitlik ve sönüm matrisini ifade etmektedir.

$$f_s(t) = ku(t) \quad (5.4)$$

$$f_D(t) = c\dot{u}(t) \quad (5.5)$$

$$f_I(t) = m\ddot{u}(t) \quad (5.6)$$

Yukarıda ifade edilen bağıntılar kullanılarak ÇSD sistemin elastik ötesi genel hareket denklemi (5.7) ile ifade edilebilir. (5.7)’de yer alan $f_s(u)$ ifadesi, rijitlik vektörünün $u_j(t)$ yerdeğiştirme vektörünün bir fonksiyonu olduğunu göstermektedir.

$$m\ddot{u} + c\dot{u} + f_s(u) = -m\ddot{u}_g(t) \quad (5.7)$$

Deprem sırasında yapıların elastik ötesi davranışlarını daha iyi temsil edebilmek için sönüm matrisi c , tüm enerji tüketim mekanizmalarını hesaba katan mod

sönüm oranlarına bağlı olarak belirlenmelidir (Chopra 2013). Literatürde yapıda meydana gelen bu sönüm mekanizmalarının yapıya düzgün dağıldığı varsayımına dayanan hesap yöntemleri bulunmaktadır. Yapılan tez çalışmasında literatürde sıkça kullanılan (Pant ve diğ. 2013, Wang 2015, Spears ve Jensen 2012) klasik sönüm yöntemlerinden Rayleigh sönümü (Rayleigh 1877) kullanılmıştır:

$$c=a_0m+a_1k \quad (5.8)$$

(5.8) ifadesinde kullanılmak üzere seçilen modların sönüm oranlarının aynı ve ξ olduğu kabul edilirse, Rayleigh sönümünde yer alan a_0 ve a_1 katsayıları (5.9) kullanılarak elde edilebilir. (5.9) ifadesinde ω_i ve ω_j yapının i 'nci ve j 'nci moddaki doğal frekansını temsil etmektedir.

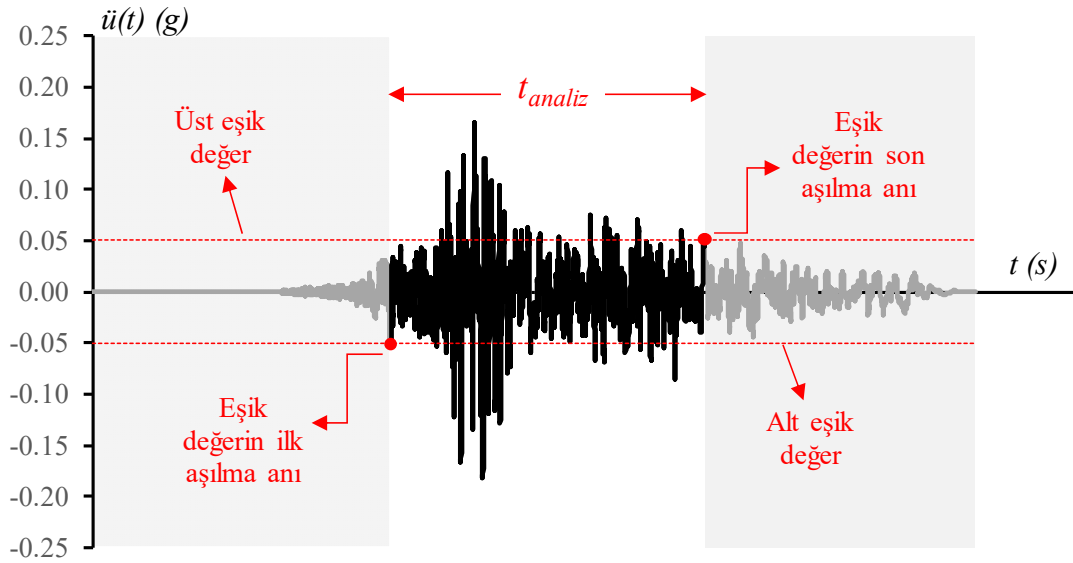
$$a_0=\xi \frac{2\omega_i\omega_j}{\omega_i+\omega_j} \quad \& \quad a_1=\xi \frac{2}{\omega_i+\omega_j} \quad (5.9)$$

Doğrusal sistemlerde dinamik denge denklemlerinin çözümü için kullanılan modal analiz ve Duhamel integrasyonu yöntemi sönüm seviyeleri farklı sistemlerden oluşan yapılar için uygun değildir. Bu nedenle doğrusal olmayan ÇSD sistemlerin sayısal çözümlemesi için doğrudan sayısal çözüm yöntemi kullanılmaktadır. Literatürde sayısal çözümleme için çoğunlukla Newmark (1959), Hilbert ve diğ. (1977), Wilson ve diğ. (1972) ve Chung ve Hulbert (1993) tarafından önerilen algoritmalar kullanılmaktadır. Yapılan tez çalışmasında Newmark (1959) tarafından önerilen sayısal çözüm algoritması kullanılmıştır. Önerilen bu algorithmada ivmenin bir adımdaki değişimi β ve γ katsayıları ile tanımlanmaktadır. Chopra (2013) literatürde sıkça kullanılan $\gamma=1/2$ ve $1/6 \leq \beta \leq 1/4$ değerlerinin iyi sonuçlar verdiğini belirtmiştir. Bu nedenle tez çalışmasındaki binaların doğrusal olmayan dinamik analizleri sırasında $\gamma=1/2$ ve $\beta=1/4$ alınmıştır.

5.2 Mevcut Binaların Doğrusal Olmayan Dinamik Analizi

Literatürde doğrusal olmayan dinamik analiz sürelerinden zaman kazanmak için yer hareketinin yapıda etkili olduğu süreyi ifade eden birçok tanımlama bulunmaktadır. Bu sürelerden en çok kullanılanları ilk kez Ambraseys ve Sarma

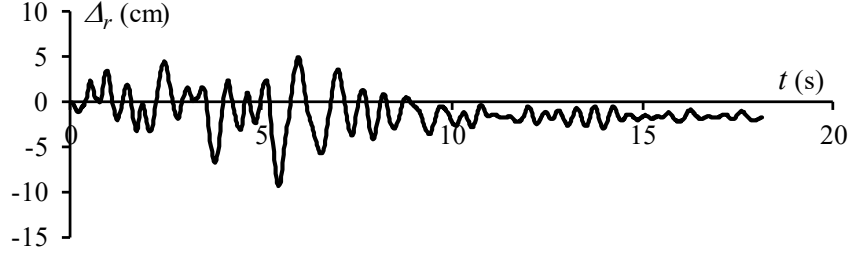
(1967) tarafından kullanılan “Zarf Süre (Bracketed Duration)”, 0.05g ve 0.1g eşik ivme değeri için Bolt (1973) tarafından önerilen “Düzenli Süre (Uniform Duration)” ve ivme kaydının enerjisine bağlı olarak ifade edilen “Anlamlı Süre (Significant Duration)” (Trifunac ve Brady 1975) tanımlamalardır. Bu sürelerden “Zarf Süre” seçilen eşik ivme değerinin ilk ve en son aşıldığı zaman aralığı olarak tanımlanmaktadır. Birçok çalışmada (Bolt 1973, Hays 1975, Page ve diğ. 1972) eşik ivme değeri olarak $\pm 0.05g$ değeri kullanılmaktadır. Bu nedenle doğrusal olmayan dinamik analizler için seçilen ivme kayıtlarının etkili analiz süreleri (t_{analiz}) $\pm 0.05g$ eşik ivme değeri göz önüne alınarak hesaplanmıştır. Şekil 5.2’de 1999 Chi-Chi, Taiwan Depremi CHY046N istasyonundan alınan ivme kaydının etkili deprem süresinin belirlenmesi işlemi görülmektedir. Yapılan bu hesaplama ile CHY046N istasyonundan alınan 90 s kaydın analiz süresi 31.99 saniyeye düşürülmüştür. Bahsedilen bu işlem seçilen 364 kaydın tümü için uygulanmıştır.



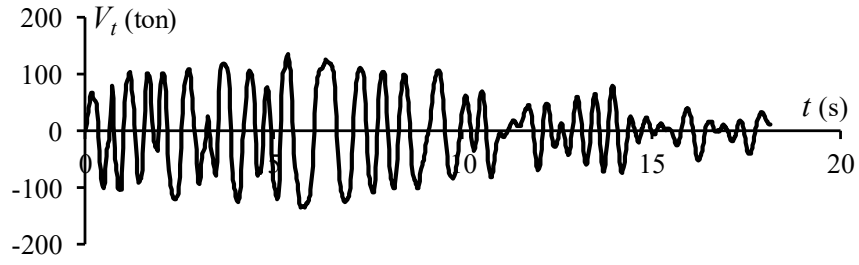
Şekil 5.2: CHY046N istasyonundan alınan ivme kaydının etkili deprem süresi

İvme kayıtlarının etkili sürelerinin hesabının ardından mevcut binaların doğrusal olmayan dinamik analizleri SAP2000 (CSI 2000) programı kullanılarak gerçekleştirilmiştir. Yapılan analizler sonucunda, her binanın 364 adet XZ ve 364 adet YZ yönünde olmak üzere toplam 728 adet taban kesme kuvveti (V_i) ve çatı deplasmanının (Δ_r) zamana bağlı değişimi elde edilmiştir. BO7SN4 binasının 1994 Northridge depremi MUL009 kaydı için XZ yönünde elde edilen deplasman-zaman grafiği Şekil 5.3’te, taban kesme kuvveti-zaman grafiği ise Şekil 5.4’te görülmektedir.

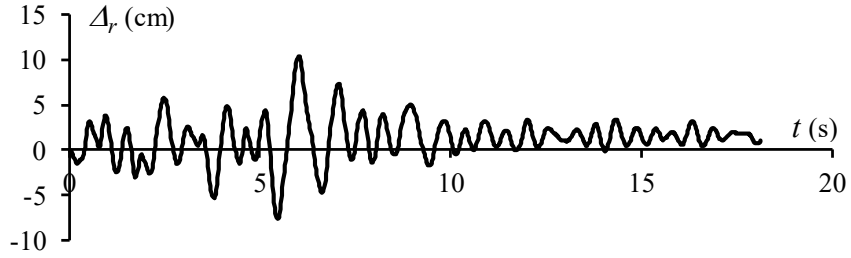
Şekil 5.5 ve Şekil 5.6’da ise YZ analiz yönü için elde edilen deplasman ve taban kesme kuvveti sonuçları görülmektedir.



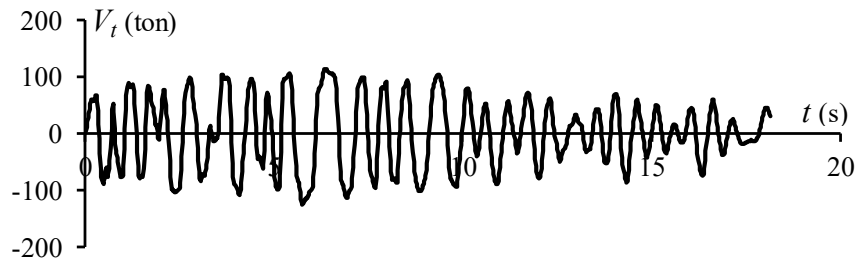
Şekil 5.3: BO7SN4 binasının MUL009-XZ deplasman-zaman grafiği



Şekil 5.4: BO7SN4 binasının MUL009-XZ kuvvet-zaman grafiği



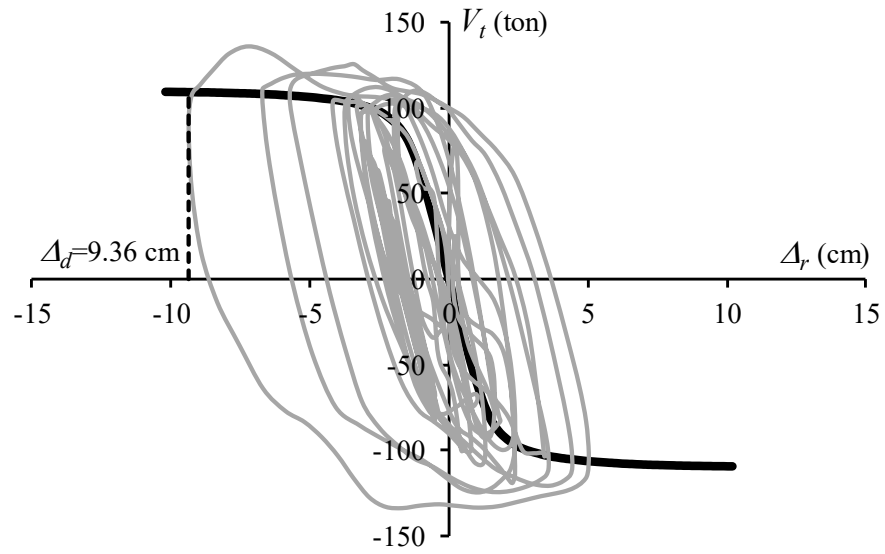
Şekil 5.5: BO7SN4 binasının MUL009-YZ deplasman-zaman grafiği



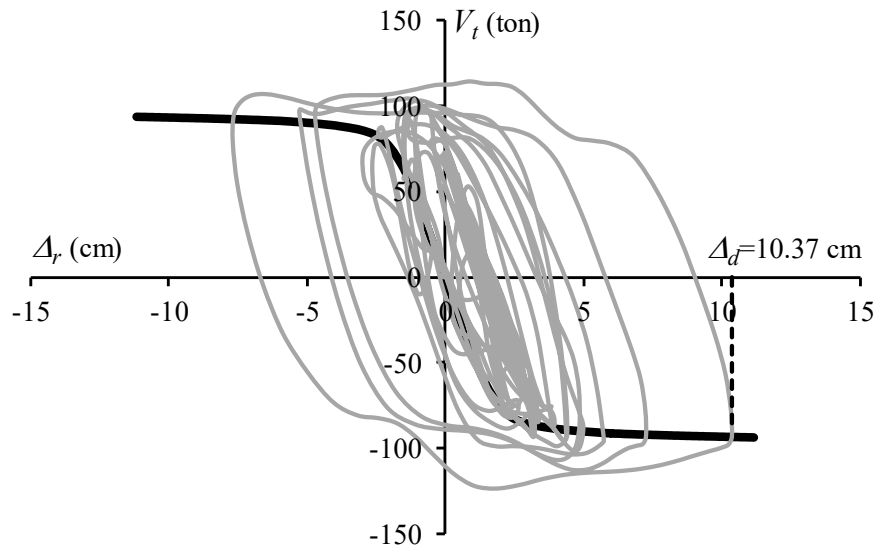
Şekil 5.6: BO7SN4 binasının MUL009-YZ kuvvet-zaman grafiği

Doğrusal olmayan dinamik analizin her bir “t” anında elde edilen çatı deplasmanı ve taban kesme kuvvetinin birleştirilmesiyle çevrim eğrileri elde

edilmiştir. Şekil 5.7 ve Şekil 5.8’de BO7SN4 binasının 1994 Northridge depremi MUL009 kaydı için sırasıyla XZ ve YZ analiz yönünde elde edilen çevrim eğrileri ve yapı için Bölüm 3.5’te elde edilen kapasite eğrileri görülmektedir. Şekil 5.7 ve Şekil 5.8’e bakıldığında MUL009 kaydı için yapıda XZ analiz yönünde 9.36 cm, YZ analiz yönünde ise 10.37 cm çatı deplasman talebi (Δ_d) meydana geldiği görülmektedir. Tez kapsamında seçilen mevcut binaların doğrusal olmayan dinamik analizi sonucu elde edilen talep deplasman değerleri Tablo C.1’de verilmiştir.



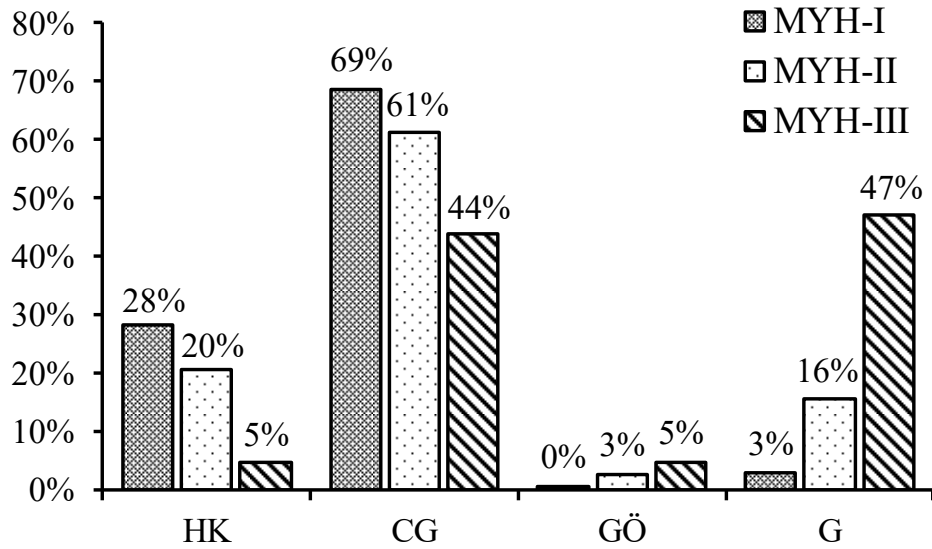
Şekil 5.7: BO7SN4 binasının MUL009-XZ çevrim eğrisi



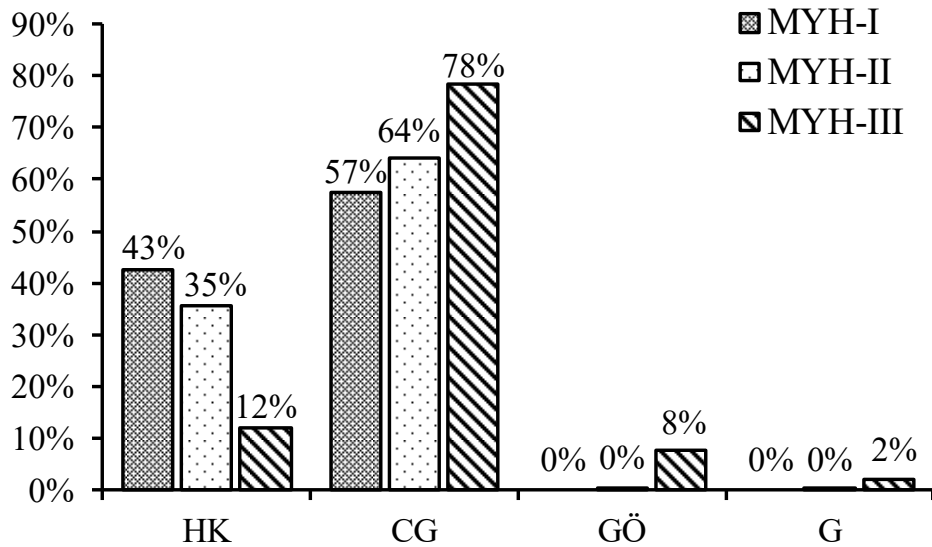
Şekil 5.8: BO7SN4 binasının MUL009-YZ çevrim eğrisi

5.3 Mevcut Binaların Yerdeğiřtirme Taleplerinin Deęerlendirilmesi

Tez kapsamında belirlenen mevcut binaların doęrusal olmayan dinamik analizlerinin ardından elde edilen çatı deplasman talepleri, performans düzeyi sınır deęerleri (Δ_{HK} , Δ_{CG} ve $\Delta_{GÖ}$) ile karşılařtırılarak binaların deprem performansları belirlenmiřtir. Őekil 5.9’da TDY1975 binalarının, Őekil 5.10’da TDY1998 binalarının performans sonuçlarının Bölüm 4’te detaylı olarak açıklanan MYH gruplarına göre daęılımı görölmektedir.



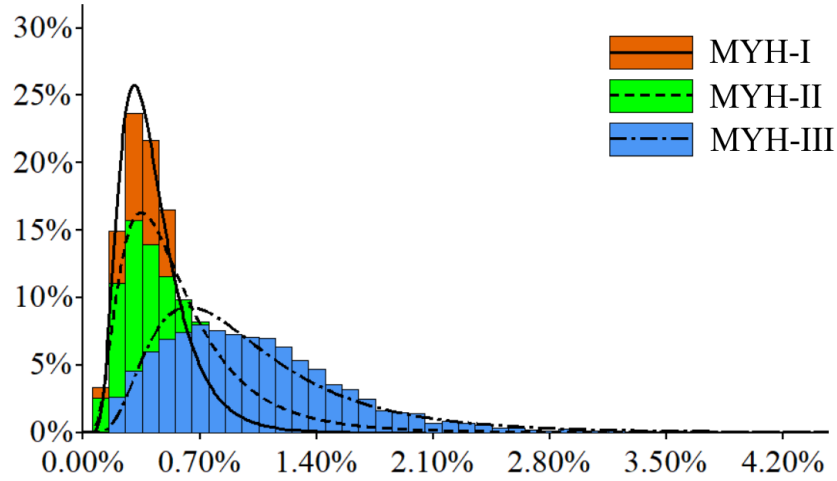
Őekil 5.9: TDY1975 binalarının bina performanslarının MYH gruplarına göre daęılımı



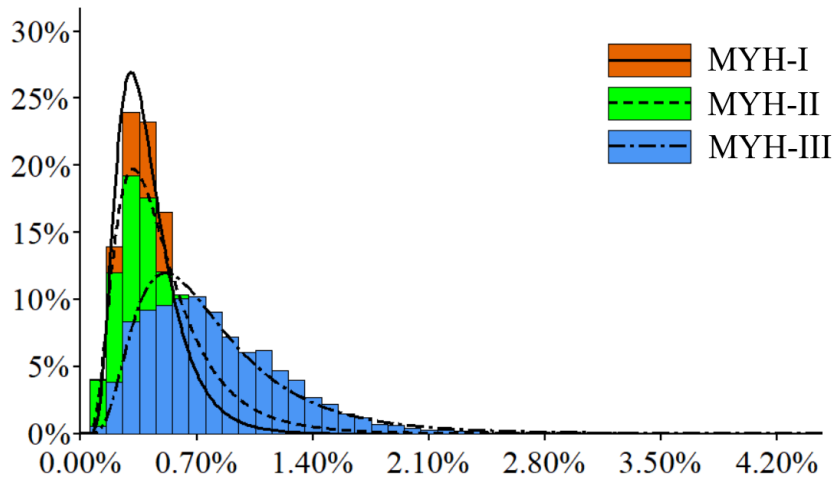
Őekil 5.10: TDY1998 binalarının bina performanslarının MYH gruplarına göre daęılımı

Şekil 5.9 ve Şekil 5.10'a bakıldığında TDY1975 binalarının MYH-II grubundaki ivme kayıtları için yapılan analizlerin %19'unun, MYH-III grubundaki ivme kayıtları için yapılan analizlerin ise %52'sinin "CG" performans düzeyini sağlamadığı görülmektedir. TDY1998 binaları için MYH-I ve MYH-II grubundaki ivme kayıtları için yapılan analizlerin tamamı "CG" performans şartını sağlarken MYH-III grubundaki analizlerin %10'u bu şartı sağlamamıştır.

Doğrusal olmayan dinamik analizler sonunda farklı kat sayılarındaki binaları karşılaştırmak için elde edilen talep çatı deplasmanları (Δ_d) bina yüksekliğine (H) bölünerek yapılara ait yatay ötelenme talepleri (Δ_d/H) elde edilmiştir. Şekil 5.11'de TDY1975 binalarının, Şekil 5.12'de ise TDY1998 binalarının yatay ötelenme taleplerinin her bir MYH grubu için elde edilen dağılımları görülmektedir.

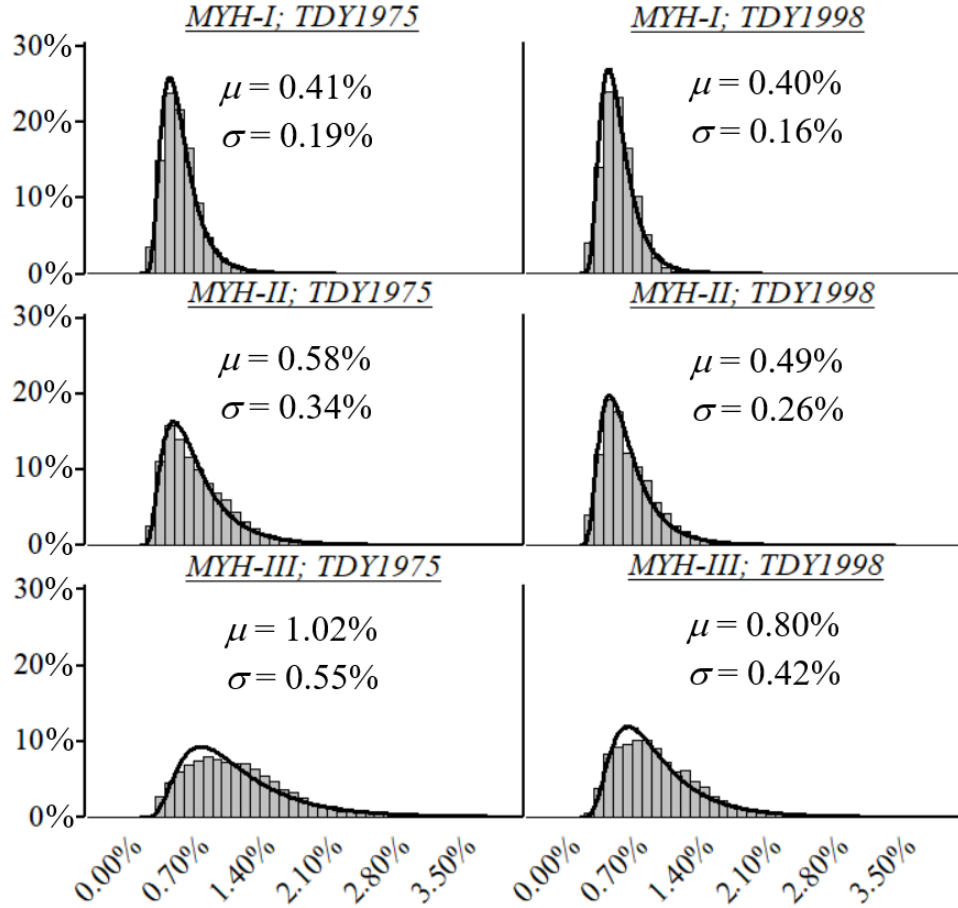


Şekil 5.11: TDY1975 binalarının yatay ötelenme taleplerinin dağılımı



Şekil 5.12: TDY1998 binalarının yatay ötelenme taleplerinin dağılımı

Şekil 5.11 ve Şekil 5.12'ye bakıldığında TDY1975 ve TDY1998 binalarında artan MYH değerleri ile binaların yatay ötelenme taleplerinin arttığı görülmektedir. Her iki grafikte de en düşük yatay ötelenme değerleri MYH-I grubundaki ivme kayıtları için elde edilirken, en yüksek yatay ötelenme değerlerine ise MYH-III grubundaki ivme kayıtları ile ulaşılmıştır.



Şekil 5.13: Mevcut binaların yatay ötelenme taleplerinin yapım yılı ve MYH gruplarına göre dağılımı

Şekil 5.13'te TDY1975 ve TDY1998 binaları için elde edilen yatay ötelenme taleplerinin dağılımı her bir MYH grubu için aynı eksen takımında gösterilmiştir. Şekil 5.13 TDY1975 ve TDY1998 binaları için elde edilen ortalama yatay ötelenme taleplerinin MYH-I grubunda birbirine oldukça yakın olduğunu, MYH-II ve MYH-III grubundaki ivme kayıtlarında ise TDY1975 binalarında daha fazla yatay ötelenme talebi meydana geldiğini göstermektedir. MYH grubundaki artış ile TDY1975 ve TDY1998 binalarının yatay ötelenme taleplerindeki saçılım artmıştır.

6. MEVCUT BİNALARIN HASAR GÖREBİLİRLİK EĞRİLERİNİN HESABI

Farklı yapısal özellikten oluşan yapı stokunda meydana gelen hasarın mühendislik açısından değerlendirilmesi hasar görebilirlik eğrilerinin yardımı ile yapılmaktadır. Hasar görebilirlik eğrileri, deprem öncesi ve sonrasında bir yapının potansiyel hasar tahmini için kullanılmaktadır. Bu nedenle tezin bu bölümünde DBYBHY2007’de tanımlanan performans düzeyi sınırları ve yerdeğiştirme talepleri ile belirlenen mevcut binaların hasar görebilirlik eğrilerinin hesabına yer verilmiştir. Hasar görebilirlik eğrileri hesaplanan TDY1975 binalarının kapasite parametrelerinin değerlendirilmesiyle iyi/orta/kötü olmak üzere üç farklı kalite sınıfına ayrılmıştır.

6.1 Hasar Görebilirlik Eğrileri

Hasar görebilirlik eğrileri farklı seviyelerdeki deprem etkisi altında yapıda belirli bir hasar seviyesinin aşılma olasılığını ifade etmektedir. Hasar görebilirlik eğrilerini elde etmek için kullanılan farklı büyüklükteki yer hareketi parametresinin aşılma olasılıkları uzman görüşünden yararlanılarak, ampirik, analitik ve hibrit olmak üzere 4 farklı şekilde elde edilebilmektedir.

Uzman görüşü ile elde edilen hasar görebilirlik eğrilerinde farklı deprem yoğunluğuna sahip bir binanın hasar dağılımı deprem mühendisliği alanında uzman inşaat mühendisleri tarafından tahmin edilmektedir. ATC-13 (1985) ve ATC-40 (1996) raporlarında uzman görüşü ile hasar dağılımının tespiti hakkında ayrıntılı bilgiler yer almaktadır. Ampirik tabanlı hasar görebilirlik eğrileri geçmişte yaşanan depremlerin neden olduğu hasar dağılımlarının istatistiksel değerlendirilmesi ile elde edilmektedir. Ampirik yoldan elde edilen hasar görebilirlik eğrilerinde hasar değerlendirmesi yapan kişinin tecrübesi ve bilgisi nedeniyle öznel yaklaşım mevcuttur. Bu dezavantajın yanında elde edilen hasar görebilirlik eğrilerini farklı tip binalar için de genişletebilmek oldukça zordur. Hasar görebilirlik eğrilerinin elde edilmesi işleminde en güvenilir yöntem olan analitik hesap yönteminde, hasar dağılımları gerçek ya da yapay ivme kayıtlarının kullanılması ile gerçekleştirilen

dinamik analizler yardımı ile elde edilmektedir. Yöntemin sık kullanılmasının nedeni olarak öznel değerlendirmelerden uzak olması gösterilebilir (Farsangi ve diğ. 2014). Hibrit hasar görebilirlik eğrileri ise analitik ve ampirik yoldan elde edilen hasar görebilirlik eğrilerinin birlikte değerlendirilmesi ile elde edilmektedir. Hibrit hasar görebilirlik eğrileri ile ampirik ve analitik hesap yönteminin içerdiği varsayımlar ve belirsizlikler en aza indirilebilmektedir. Tablo 6.1’de hasar görebilirlik eğrilerindeki aşılma olasılıklarının belirlenmesi için kullanılan yöntemlerinin avantaj ve dezavantajları görülmektedir (Billah ve Alam 2015)

Tablo 6.1: HOM hesap yöntemlerinin avantaj ve dezavantajları

Hesap Yöntemi	Avantaj	Dezavantaj
Uzman Görüşü	-Kullanılabilecek en basit yöntemdir -Hasarı oluşturan tüm bileşenler göz önüne alınabilir	-Tamamen öznel görüşe dayalıdır -Gerçek hasar dağılımı tam anlamıyla yansıtmaz
Ampirik	-Gerçek hasar dağılımını temsil eder	-Veri ihtiyacı fazladır -Hasar gözleminde tutarsızlıklar mevcuttur
Analitik	-Tüm belirsizlikler göz önüne alınır -Öznel yaklaşımdan en uzak hesap yöntemidir	-Çok fazla iş yükü gerektirir -Hasar dağılımını elde etmek fazla zaman alır
Hibrit	-Geçmiş depremlerdeki hasar dağılımını içerir -Az miktarda hesap yükü gerekir	-Ampirik ve analitik hesabın ikisini birden içeren veri gerekir

Analitik hasar görebilirlik eğrilerinin hesabı için literatürde birçok bağıntı bulunmasına rağmen (Singhal ve Kiremidjian 1996, Kirçil ve Polat 2006, Frankie ve diğ. 2012, Hancılar ve diğ. 2014, Pejovic ve Jankovic 2016) önerilen denklemler genel itibari ile (6.1) ifadesine dayandırılmaktadır (Palanci 2014).

$$\text{Hasar Görebilirlik} = P[y \geq HS | I] \quad (6.1)$$

(6.1) bağıntısında yer alan HS ile öngörülen hasar seviyesindeki sınır durumu, I ile yer hareketinin ölçüsü, y ile dikkate alınan yer hareketi için elde edilen durumu ifade etmektedir.

Hasar görebilirlik eğrileri ve risk analizi çalışmaları için rasgele değişkenlerin dağılımına ihtiyaç duyulmaktadır. Bu çalışmalarda da sıklıkla normal (Gauss), lognormal ve üniform dağılım kullanılmaktadır. Yapılan tez çalışmasında deprem

mühendisliğinde sıkça kullanılan ve geçmişte yaşanan depremlerden elde edilen verilerin dağılımına genellikle uyan lognormal dağılım tercih edilmiştir. Lognormal olasılık-yoğunluk fonksiyonu, normal olasılık-yoğunluk fonksiyonlarına uygulanan “ $y=\ln x$ ” dönüşümü ile elde edilmektedir. Normal dağılıma sahip veriler için kullanılan olasılık-yoğunluk fonksiyonu (6.2) ile temsil edilmektedir.

$$f_x(x) = \frac{1}{\sigma_x \sqrt{2\pi}} e^{-\frac{(x-\mu_x)^2}{2\sigma_x^2}} \quad (6.2)$$

Lognormal dağılıma sahip bir değişkenin doğal logaritması normal dağılıma uymaktadır. Bu durum değişkenin sıfır ya da negatif olma olasılığının sıfır olduğu ve pozitif reel bir değer olduğu anlamına gelmektedir. (6.2)’de görülen ifadeye “ $y=\ln x$ ” dönüşümü uygulandığında (6.3) ile gösterilen lognormal olasılık-yoğunluk fonksiyonu elde edilmektedir.

$$f_x(x) = \frac{1}{x\sigma_y \sqrt{2\pi}} e^{-\frac{(\ln x - \mu_y)^2}{2\sigma_y^2}} \quad (6.3)$$

(6.2) ve (6.3)’de görülen x ve y değişkenlerinin ortalama (μ) ve standart sapma (σ) değeri arasında (6.4) ve (6.5) ilişkisi bulunmaktadır.

$$\mu_y = \ln \left[\mu_x / \left(\frac{\sigma_x^2}{\mu_x^2} + 1 \right)^{0.5} \right] \quad (6.4)$$

$$\sigma_y = \left[\ln \left(\frac{\sigma_x^2}{\mu_x^2} + 1 \right) \right]^{0.5} \quad (6.5)$$

Literatürde yer alan hasar görebilirlik denklemleri içinde basit olması nedeniyle en çok (6.6) bağıntısı kullanılmaktadır. Yamaguchi ve Yamazaki (2000) bu bağıntıyı birçok binaya uygulanarak farklı tipteki taşıyıcı sisteme sahip binalar için uygun olduğu sonucuna varmıştır.

$$P(x) = \Phi \left(\frac{\ln x - \mu_y}{\sigma_y} \right) \quad (6.6)$$

(6.6) bağıntısında yer alan Φ ifadesi standart normal dağılım fonksiyonunu, μ_y “ $\ln x$ ” değerinin ortalamasını, σ_y ise “ $\ln x$ ” değerinin standart sapmasını ifade etmektedir.

Yapılan tez çalışmasında yer hareketi parametresi olarak MYH seçilmiştir. Bu nedenle (6.6) ile gösterilen ifadede x değişkeni yerine MYH yazılarak mevcut binalarda herhangi bir MYH değerinin aşılma olasılığı (6.7) bağıntısı ile elde edilmiştir.

$$P(x)=\Phi\left(\frac{\ln MYH -\mu_y}{\sigma_y}\right) \quad (6.7)$$

(6.7) ifadesinde yer alan “ $\ln MYH$ ” değerinin ortalaması (μ_y) ve standart sapması (σ_y), binaların hasar sınırlarının aşılma olasılıkları kullanılarak en küçük kareler yöntemi ile hesaplanmıştır.

6.2 Mevcut Betonarme Binaların Hasar Görebilirlik Eğrileri

Bu bölümde hasar görebilirlik eğrilerinin hesap adımları, örnek olarak seçilen BO7SN4 binasının YZ analiz yönü kullanılarak açıklanmıştır. Mevcut binaların hasar görebilirlik eğrilerinin hesabı için öncelikle her bir MYH grubunda hesaplanan yatay ötelenme talepleri (Δ_d/H) ile bina performans sınırlarını temsil eden yatay ötelenme kapasiteleri (Δ_y/H , Δ_{HK}/H , Δ_{CG}/H ve $\Delta_{G\ddot{o}}/H$) kıyaslanmıştır. Yapılan değerlendirmeler neticesinde 12 adet MYH grubunda meydana gelen aşılma sayıları ve olasılıkları belirlenmiştir.

Örnek olarak seçilen BO7SN4 binasının DBYBHY-2007’de belirtilen performans sınırları, taşıyıcı sistem elemanlarında meydana gelen hasar dağılımlarının değerlendirilmesi neticesinde elde edilmiştir (bkz. Bölüm 3.4). Tablo 6.2’de seçilen binanın performans sınırlarını temsil eden yatay ötelenme kapasiteleri görülmektedir.

Tablo 6.2: BO7SN4 binasının YZ analiz yönündeki yatay ötelenme kapasiteleri

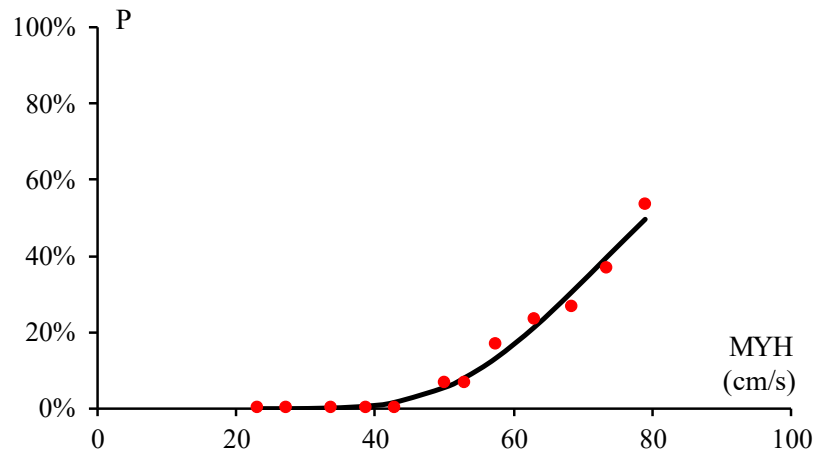
Δ_y/H	Δ_{HK}/H	Δ_{CG}/H	$\Delta_{G\ddot{o}}/H$
0.179%	0.313%	1.018%	1.033%

BO7SN4 binası için YZ analiz yönünde elde edilen yatay ötelenme talepleri ile Tablo 6.2’de görülen yatay ötelenme kapasiteleri kıyaslanarak, 12 farklı MYH grubundaki ivme kayıtlarının aşılma sayıları hafif hasar ($\geq \Delta_y$), orta hasar ($\geq \Delta_{HK}$), ağır hasar ($\geq \Delta_{CG}$) ve göçme ($\geq \Delta_{G\ddot{o}}$) bölgesi için elde edilmiştir. Tablo 6.3’te örnek bina için yapılan kıyaslamalar sonucunda elde edilen aşılma sayıları ve aşılma olasılıkları görülmektedir.

Tablo 6.3: BO7SN4 binası için elde edilen aşılma sayıları ve olasılıkları

MYH Grup No	İvme Kaydı Sayısı	Aşılma Sayıları				Aşılma Olasılıkları			
		$\geq \Delta_y$	$\geq \Delta_{HK}$	$\geq \Delta_{CG}$	$\geq \Delta_{G\ddot{o}}$	$\geq \Delta_y$	$\geq \Delta_{HK}$	$\geq \Delta_{CG}$	$\geq \Delta_{G\ddot{o}}$
1	29	27	6	0	0	0.931	0.207	0.000	0.000
2	31	30	20	0	0	0.968	0.645	0.000	0.000
3	34	33	20	0	0	0.971	0.588	0.000	0.000
4	30	28	26	0	0	0.933	0.867	0.000	0.000
5	30	28	23	0	0	0.933	0.767	0.000	0.000
6	30	29	21	2	2	0.967	0.700	0.067	0.067
7	30	27	17	2	2	0.900	0.567	0.067	0.067
8	30	29	22	5	5	0.967	0.733	0.167	0.167
9	30	30	28	7	7	1.000	0.933	0.233	0.233
10	30	30	29	8	8	1.000	0.967	0.267	0.267
11	30	30	28	11	11	1.000	0.933	0.367	0.367
12	30	30	30	16	16	1.000	1.000	0.533	0.533

Tablo 6.3’teki aşılma olasılıkları, MYH grubu için elde edilen aşılma sayılarının MYH grubundaki ivme kaydı sayısına bölünmesi ile belirlenmiştir. BO7SN4 binasının YZ analiz yönünde 12 adet MYH grubunda ağır hasar durumu için hesaplanan aşılma olasılıkları Şekil 6.1’de görülmektedir.

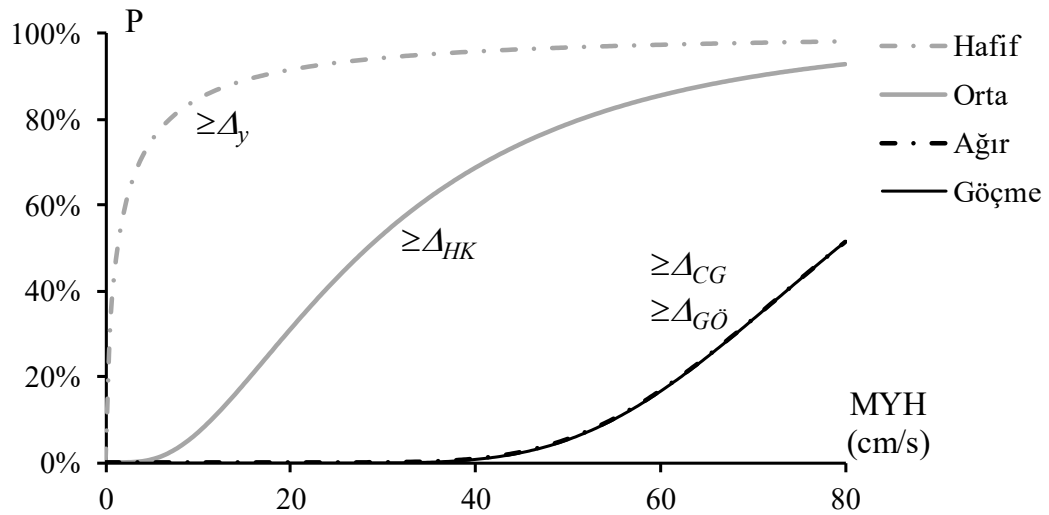


Şekil 6.1: BO7SN4 binası ağır hasar aşılma olasılıkları ve hasar görebilirlik eğrisi

Binaların farklı hasar seviyesindeki hasar görebilirlik eğrilerini elde edebilmek amacıyla (6.7) ifadesinde yer alan ortalama (μ_y) ve standart sapma (σ_y) değerleri, en küçük kareler yöntemiyle tahmin edilerek aşılma olasılıklarına en yakın lognormal eğriler hesaplanmıştır. Örnek olarak seçilen BO7SN4 binasının YZ yönünde ağır hasar seviyesi için bu değerler sırasıyla 4.372 ve 0.287 olarak belirlenmiştir. Yapılan işlemlerin ardından elde edilen ve binanın farklı MYH değerlerinde ağır hasar görme olasılığını gösteren hasar görebilirlik eğrisi Şekil 6.1’de görülmektedir. Söz konusu binanın tüm hasar seviyeleri için en küçük kareler yöntemi ile elde edilen ortalama ve standart sapma değerleri Tablo 6.4’te görülmektedir. Hesaplanan ortalama (μ_y) ve standart sapma (σ_y) değerleri kullanılarak BO7SN4 binasının YZ yönünde tüm hasar seviyeleri için elde edilen hasar görebilirlik eğrileri Şekil 6.2’de görülmektedir.

Tablo 6.4: BO7SN4 binasının hasar seviyeleri için elde edilen ortalama ve standart sapma değerleri

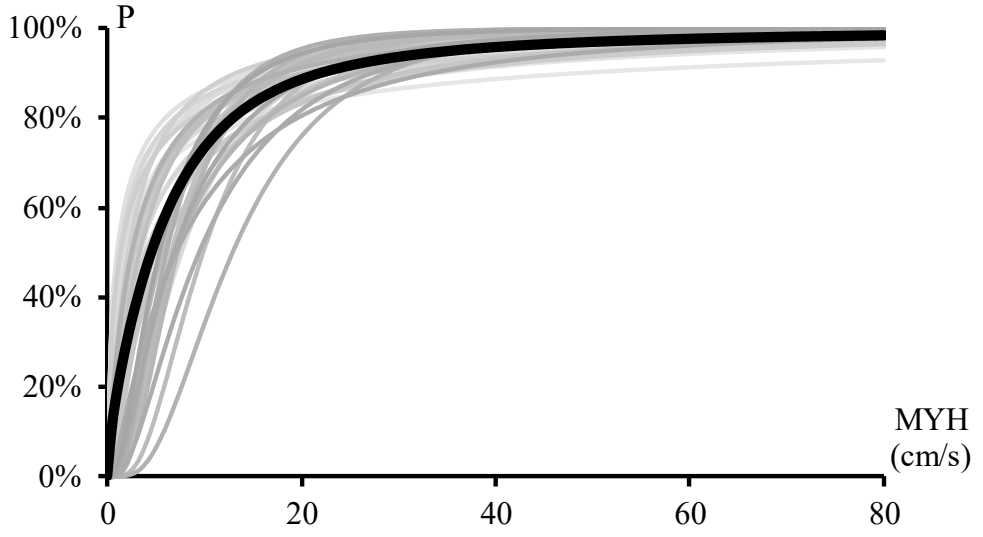
Hasar Seviyesi		Ortalama (μ_y)	Standart Sapma (σ_y)
Hafif	$\geq \Delta_y$	0.264	1.995
Orta	$\geq \Delta_{HK}$	3.344	0.705
Ağır	$\geq \Delta_{CG}$	4.372	0.287
Göçme	$\geq \Delta_{GÖ}$	4.372	0.287



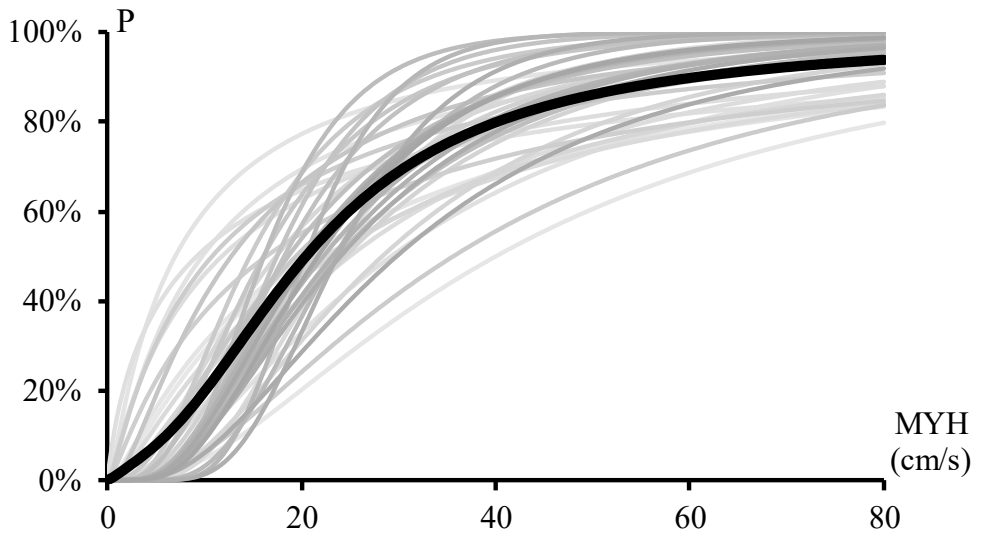
Şekil 6.2: BO7SN4 binası YZ yönüne ait hasar görebilirlik eğrileri

Tablo 6.4’e bakıldığında BO7SN4 binasının YZ yönünde ağır hasar ve göçme seviyesinde tahmin edilen ortalama ve standart sapma değerlerinin aynı olduğu görülmektedir. Söz konusu binanın “Can Güvenliği” ve “Göçme” performans

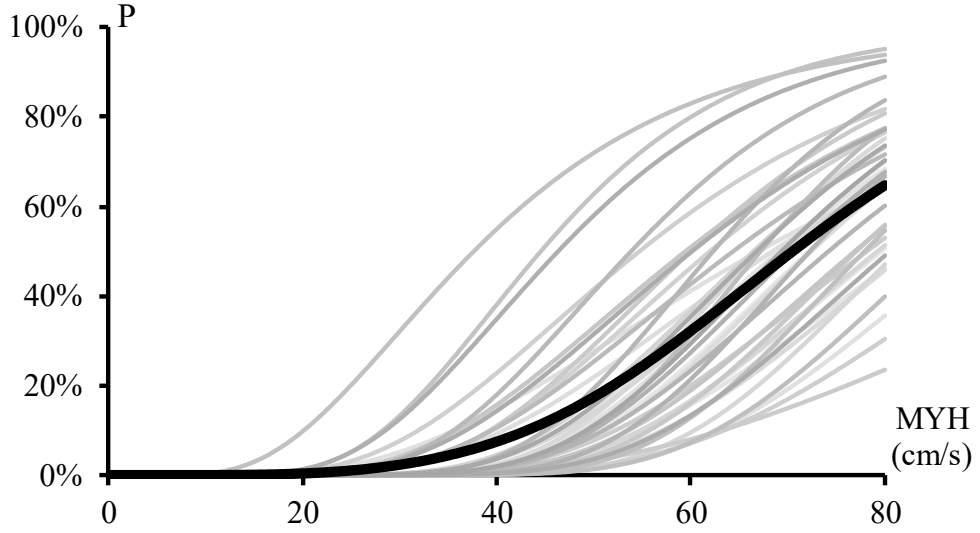
seviyesindeki ötelenme kapasitelerinin birbirine oldukça yakın olması (bkz. Tablo 6.2), ağır hasar ve göçme durumundaki aşılma sayılarının dolayısıyla da aşılma olasılıklarının aynı olmasına neden olmuştur. BO7SN4 binasının YZ yönü için yapılan işlemler envanterde bulunan bütün TDY1975 binalarının XZ ve YZ yönleri için gerçekleştirilmiştir. Şekil 6.3-Şekil 6.6'da TDY1975 binalarının farklı hasar seviyelerinin aşılma olasılığını gösteren hasar görebilirlik eğrileri görülmektedir. Tez kapsamında seçilen TDY1975 binalarının hasar görebilirlik eğrilerine ait ortalama ve standart sapma değerleri Tablo D.1'de görülmektedir.



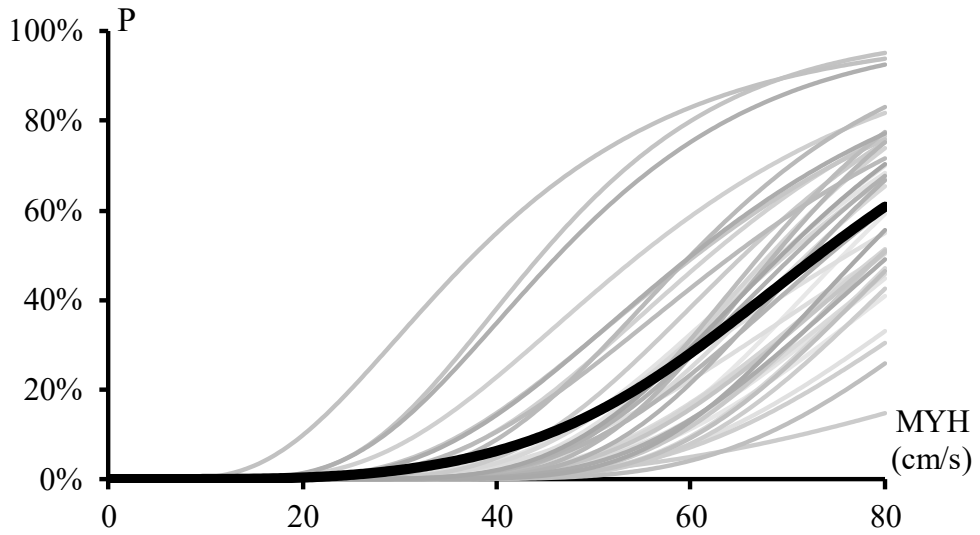
Şekil 6.3: TDY1975 binalarında hafif hasar görülme olasılığı



Şekil 6.4: TDY1975 binalarında orta hasar görülme olasılığı



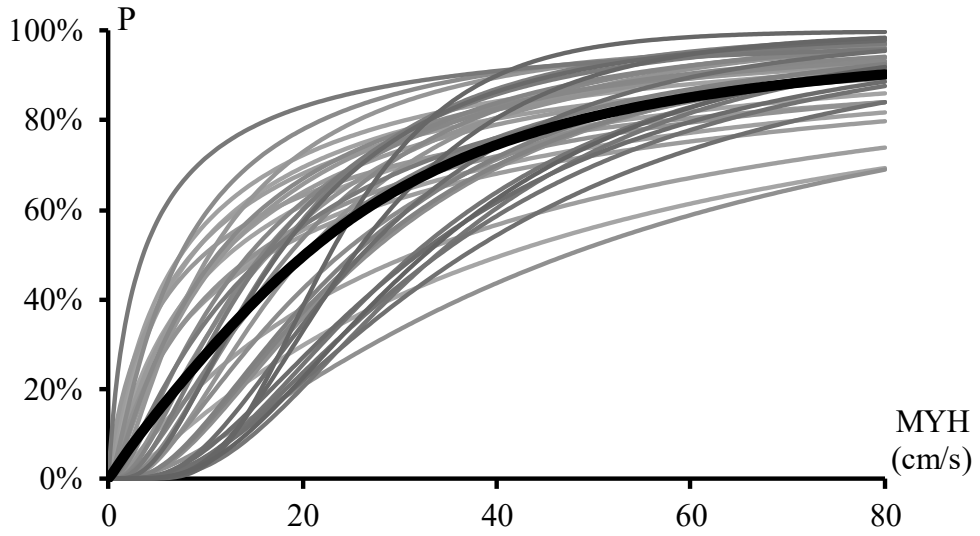
Şekil 6.5: TDY1975 binalarında ağır hasar görülme olasılığı



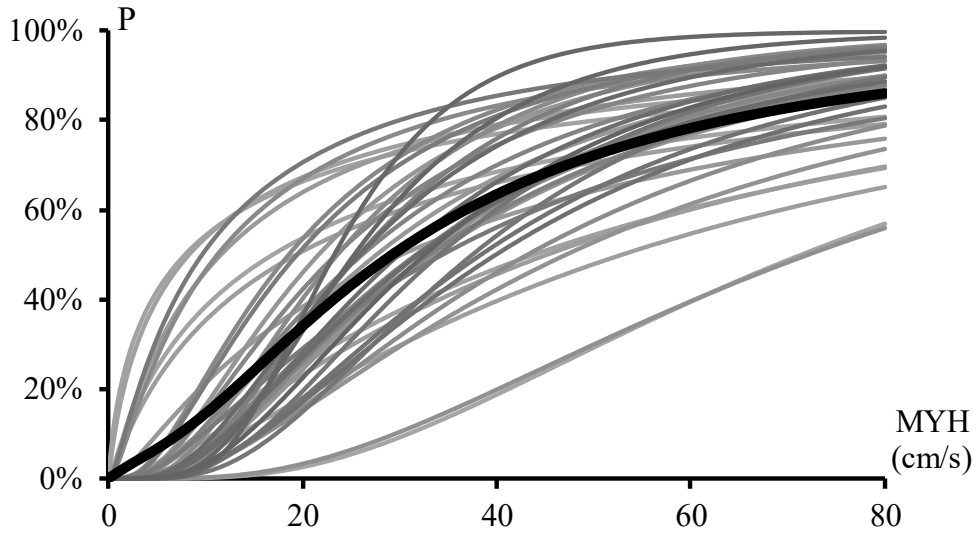
Şekil 6.6: TDY1975 binalarında göçme olasılığı

Şekil 6.3'e bakıldığında TDY1975 binalarının akma anındaki deplasman kapasitelerinin düşük olması nedeniyle hesaplanan hafif hasar olasılıklarının tüm binalar için yaklaşık değerler aldığı görülmektedir. Orta hasar olasılıklarına bakıldığında ise orta şiddetteki MYH değerlerinde binaların dayanımlarındaki ve deplasman kapasitelerindeki farklılıklar nedeniyle saçılımın arttığı görülmektedir. Benzer şekilde ağır hasar ve göçme seviyeleri için özellikle yüksek MYH değerlerinde saçılımın arttığı görülmektedir.

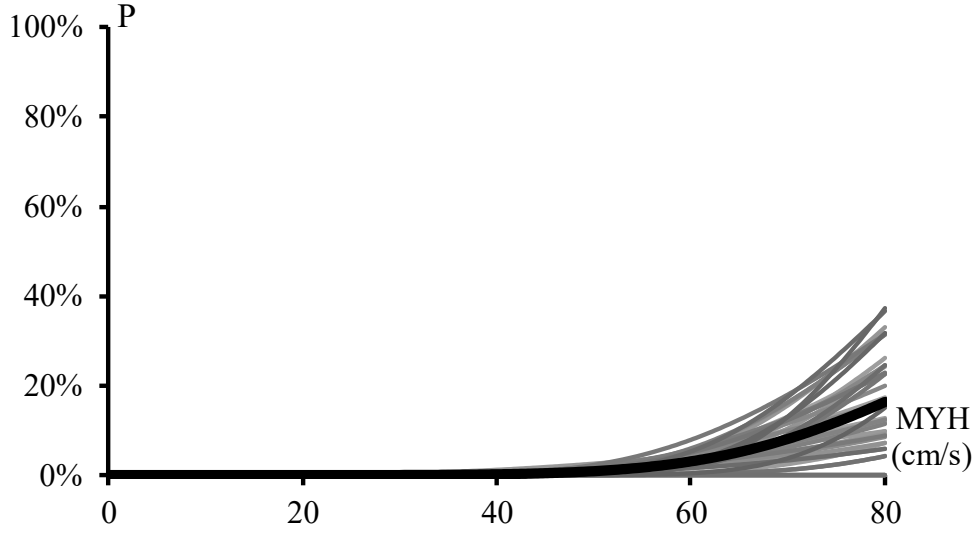
TDY1975 binaları için yapılan işlemler TDY1998 binaları için yapılarak hafif, orta, ağır hasar ve göçme seviyeleri için hasar görebilirlik eğrileri elde edilmiştir. TDY1998 binaları için hesaplanan hasar görebilirlik eğrileri Şekil 6.7-Şekil 6.10'da görülmektedir. Tez kapsamında seçilen TDY1998 binalarının hasar görebilirlik eğrilerine ait ortalama ve standart sapma değerleri Tablo D.2'de görülmektedir.



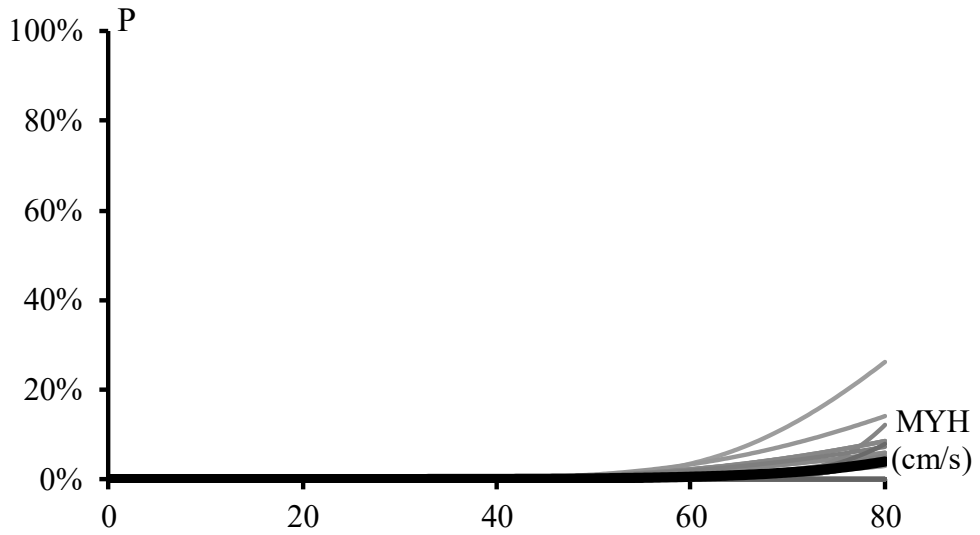
Şekil 6.7: TDY1998 binalarında hafif hasar görülme olasılığı



Şekil 6.8: TDY1998 binalarında orta hasar görülme olasılığı



Şekil 6.9: TDY1998 binalarında ağır hasar görülme olasılığı

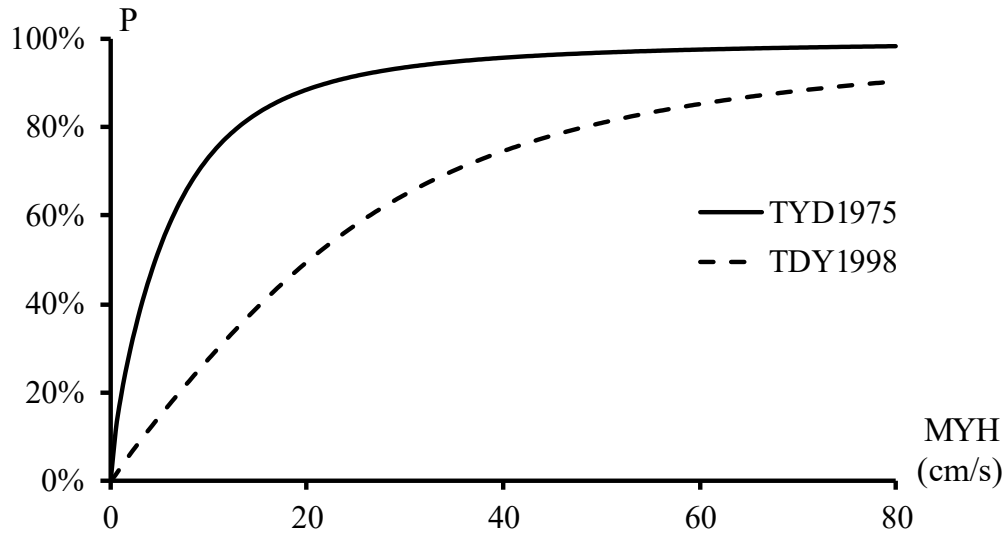


Şekil 6.10: TDY1998 binalarında göçme olasılığı

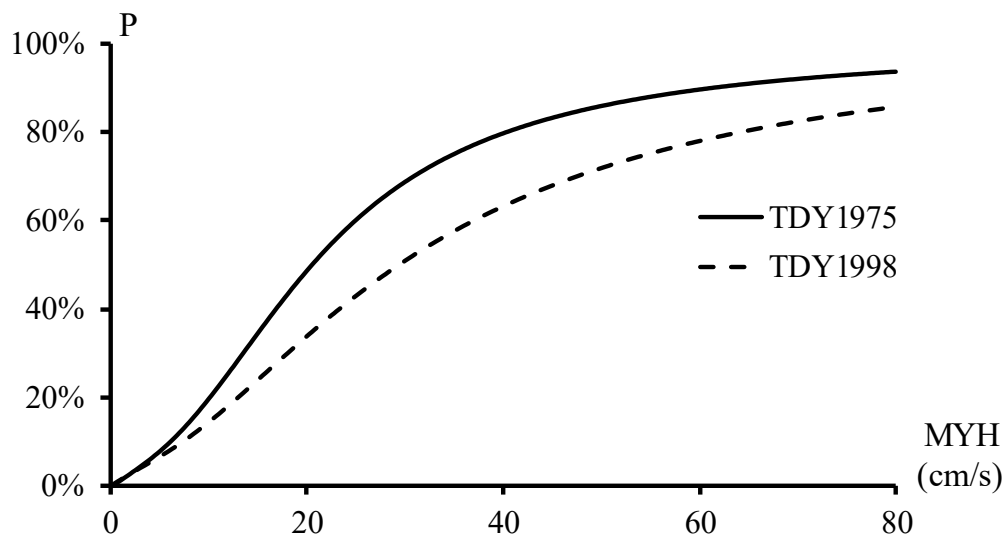
TDY1998 binaları için elde edilen hasar görülebilirlik eğrilerine bakıldığında hafif ve orta hasar seviyeleri için elde edilen hasar olasılıklarındaki saçılımın diğer hasar seviyelerine göre oldukça fazla olduğu görülmektedir. TDY1998 binalarının “Can Güvenliği” ve “Göçme” performans sınırı için belirlenen göreceli ötelenme kapasitelerinin yüksek olması binaların ağır hasar ve göçme olasılıklarını düşürmüştür. Bu nedenle Şekil 6.8-Şekil 6.10 TDY1998 binalarında orta ve ağır hasar olasılıkları arasındaki farkın oldukça büyük, ağır hasar ve göçme olasılıkları arasında ise küçük olduğunu göstermektedir.

6.3 Mevcut Binaların Hasar Görebilirlik Eğrilerinin Değerlendirilmesi

Bu bölümde TDY1975 ve TDY1998 binaları için elde edilen ortalama hasar görebilirlik eğrileri her bir hasar seviyesi için ayrı ayrı karşılaştırılmıştır. TDY1975 ve TDY1998 binaları için elde edilen ortalama hasar görebilirlik eğrilerinden hafif hasar ($\geq \Delta_y$) olasılığını gösteren eğriler Şekil 6.11’de, orta hasar ($\geq \Delta_{HK}$) olasılığını gösteren eğriler ise Şekil 6.12’de görülmektedir.

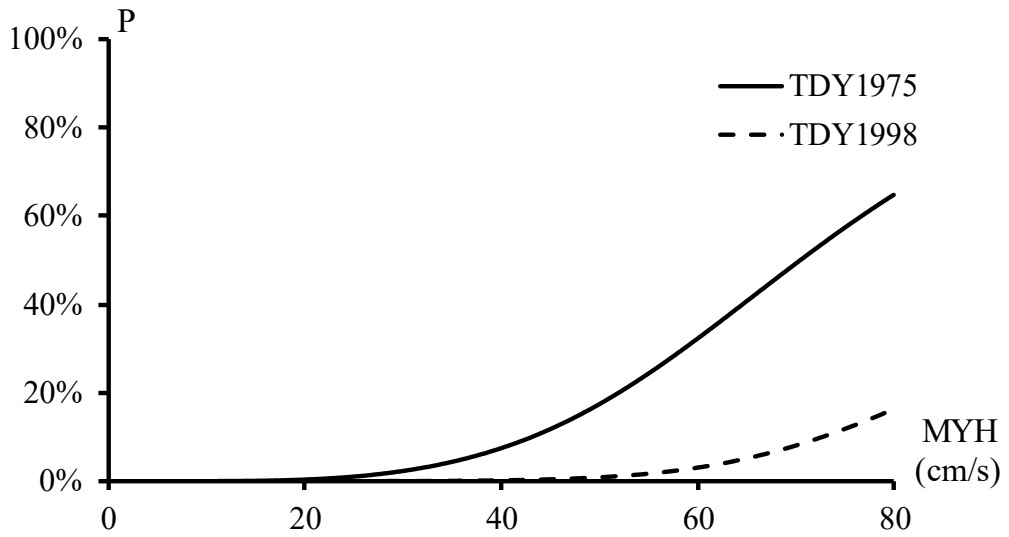


Şekil 6.11: TDY1975 ve TDY1998 binalarında hafif hasar olasılıkları

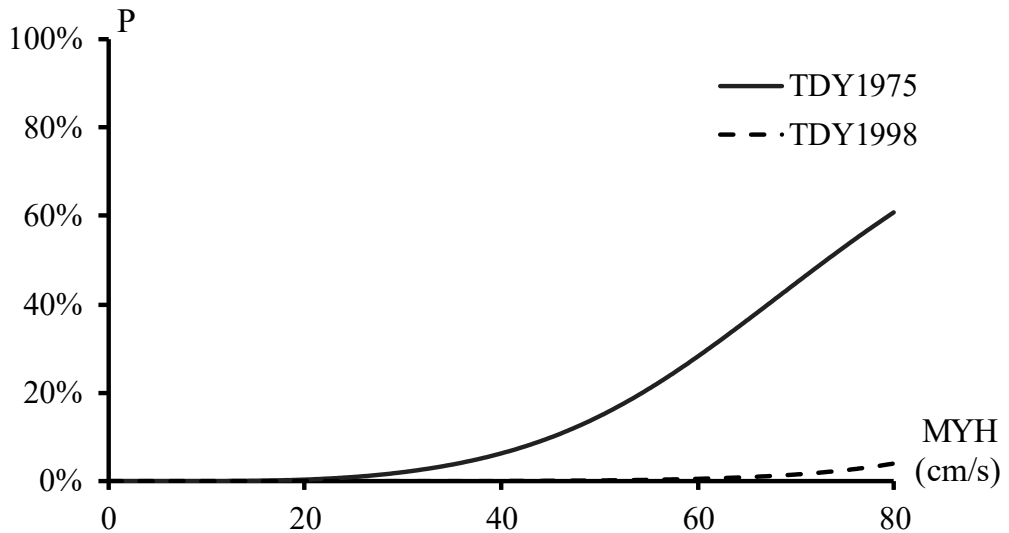


Şekil 6.12: TDY1975 ve TDY1998 binalarında orta hasar olasılıkları

Şekil 6.11 ve Şekil 6.12’de TDY1975 binalarının hafif ve orta hasar görme olasılığının TDY1998 binalarına göre yüksek olduğu görülmektedir. TDY1975 binalarının düşük MYH değerlerinde hesaplanan hafif hasar görme olasılığı bile yüksek değerlere ulaşmaktadır. TDY1998 binaları ise orta ve büyük ölçekteki MYH değerlerinde bile bu olasılık değerlerine ulaşmamaktadır. Her iki bina türü için hesaplanan ortalama ağır hasar olasılığı Şekil 6.13’te, göçme olasılığını gösteren ortalama hasar görebilirlik eğrileri ise Şekil 6.14’te görülmektedir.



Şekil 6.13: TDY1975 ve TDY1998 binalarında ağır hasar olasılıkları



Şekil 6.14: TDY1975 ve TDY1998 binalarında göçme olasılıkları

TDY1975 ve TDY1998 binalarının ağır hasar ve göçme olasılıklarına bakıldığında diğer hasar seviyelerine göre aralarında büyük farklar olduğu görülmektedir. Düşük MYH değerlerinde (20-40 cm/s) her iki bina türünde de ağır hasar ve göçme olasılıkları her ne kadar küçük değerler olsa da özellikle yüksek MYH değerlerinde (60-80 cm/s) TDY1975 binalarının ağır hasar alma ve göçme olasılıkları artmaktadır. TDY1998 binalarında ise ağır hasar ve göçme olasılıkları oldukça düşük değerler almaktadır. TDY1975 binaları ise tüm hasar seviyelerinde yüksek olasılık değerlerine ulaşmaktadır.

Sonuç olarak TDY1998 binaları için elde edilen hasar görebilirlik eğrileri yüksek malzeme dayanımları ve kapasite tasarımı ilkeleri gözetilerek projelene binaların, yüksek MYH değerlerinde hafif ve orta hasar olsa bile ağır hasar ve göçme olasılıklarının oldukça düşük olduğunu göstermektedir.

6.4 Mevcut Binaların Kapasite Parametrelerine göre Sınıflandırılması

Mevcut binaları sınıflandırmadan önce, kapasite parametresi ifadesi ile kapasite eğrisini tarif etmek için kullanılan rijitlik, yatay dayanım (V_{t-y}/W) ve süneklik (μ_A) değerleri kastedilmiştir. Yapı rijitliği doğrudan yapının elastik olmayan titreşim periyodu (T_{1-inel}) ile ilişkili olduğu için değerlendirmeler sırasında bu periyot değerleri göz önüne alınmıştır. Bahsedilen kapasite parametrelerin hesabı Bölüm 3'te ayrıntılı olarak yer almaktadır.

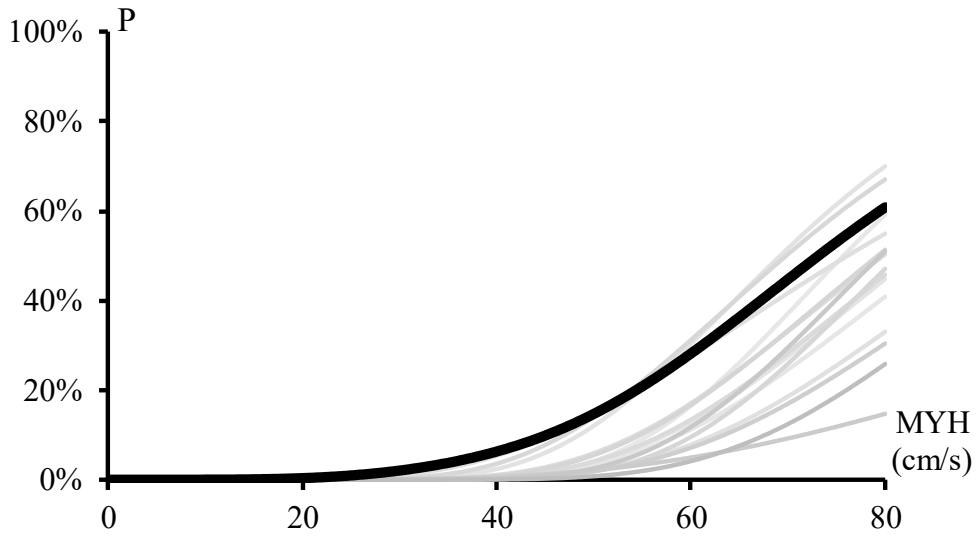
Yapılan değerlendirmeler neticesinde elastik olmayan titreşim periyotlarının (T_{1-inel}) binaların hasar görebilirlik eğrilerinin ayrıştırılması konusunda yatay dayanım oranı (V_{t-y}/W) ve süneklik (μ_A) kadar önemli bir etkiye sahip olmadığı sonucuna varılmıştır. Literatürde bulunan sonuçları destekleyen çalışmalar bulunmaktadır. Palanci ve diğ. (2017) yaptıkları çalışmada bina rijitliğinin tek katlı prefabrik binaların hasar görebilirlik eğrileri üzerinde sanıldığı kadar etkili olmadığı sonucuna varmıştır.

TDY1975 binaları sınıflandırılırken öncelikle her bir hasar seviyesindeki ortalama hasar görebilirlik eğrilerinin üzerinde ve/veya altında bulunan hasar görebilirlik eğrileri, yatay dayanım ve süneklik değerlerine göre kümelenmeye

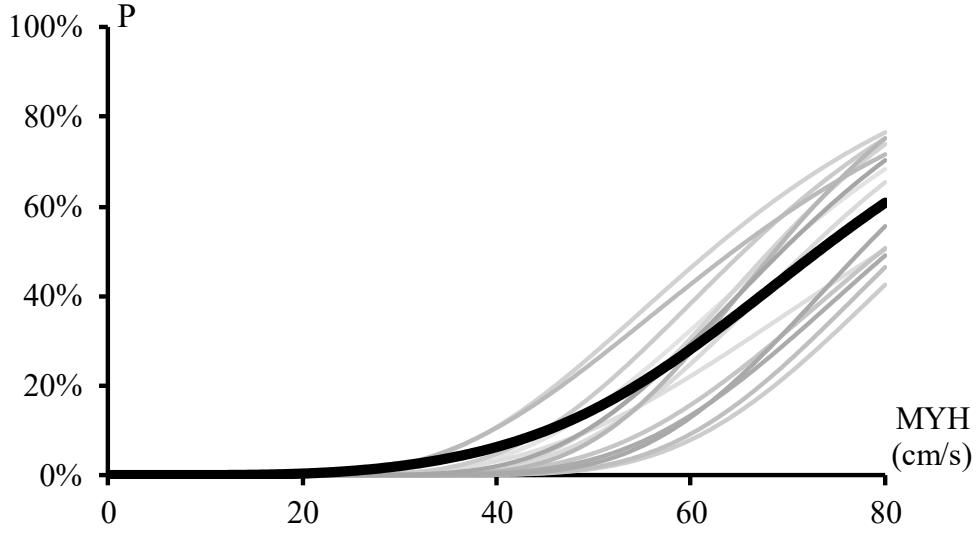
çalışılmıştır. Ortalama hasar görebilirlik eğrisinin altında kalan bina türleri iyi, üstünde kalan bina türleri kötü ve her iki sınıflandırmaya da uymayan bina türleri ise orta kalite bina türü olarak kabul edilmiştir. (6.8)'de TDY1975 binalarının kalite sınıfları ve kapasite parametresi şartları görülmektedir.

$$\text{Bina Kalite Sınıfı} = \begin{cases} V_{t-y}/W \geq 0.15 & \& \mu_{\Delta} \geq 5.5 & ; \text{İyi Kalite} \\ \text{Diğer} & & & ; \text{Orta Kalite} \\ V_{t-y}/W \leq 0.15 & \& \mu_{\Delta} \leq 5.5 & ; \text{Kötü Kalite} \end{cases} \quad (6.8)$$

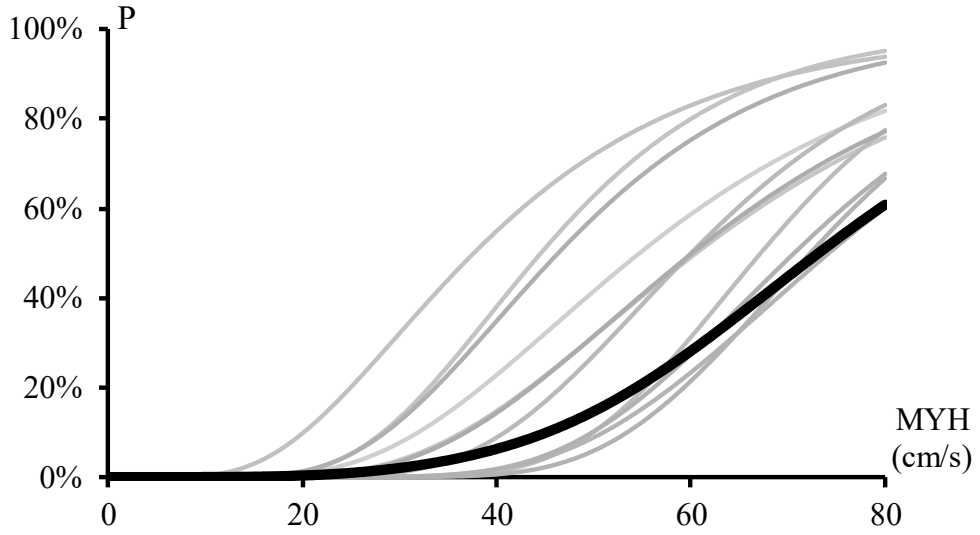
Şekil 6.15-Şekil 6.17'de binaların kalite sınıflarının belirlenmesi aşamasına örnek olması açısından, TDY1975 binalarının göçme olasılığı için hesaplanan ortalama hasar görebilirlik eğrisi ve (6.8)'de yer alan kapasite parametre şartları ile belirlenen iyi, orta ve kötü kalitedeki binaların hasar görebilirlik eğrileri görülmektedir. Şekil 6.15-Şekil 6.17'de kalın çizgi ile gösterilen TDY1975 binalarının tamamında göçme olasılığı için elde edilen hasar görebilirlik eğrilerinin ortalamasını temsil etmektedir. Diğer hasar seviyeleri için elde edilen ortalama hasar görebilirlik eğrisi ve iyi/orta/kötü kalite bina sınıflarının hasar görebilirlik eğrileri Şekil D.1-Şekil D.9'da verilmiştir.



Şekil 6.15: İyi kalitedeki TDY1975 binalarının göçme olasılıkları



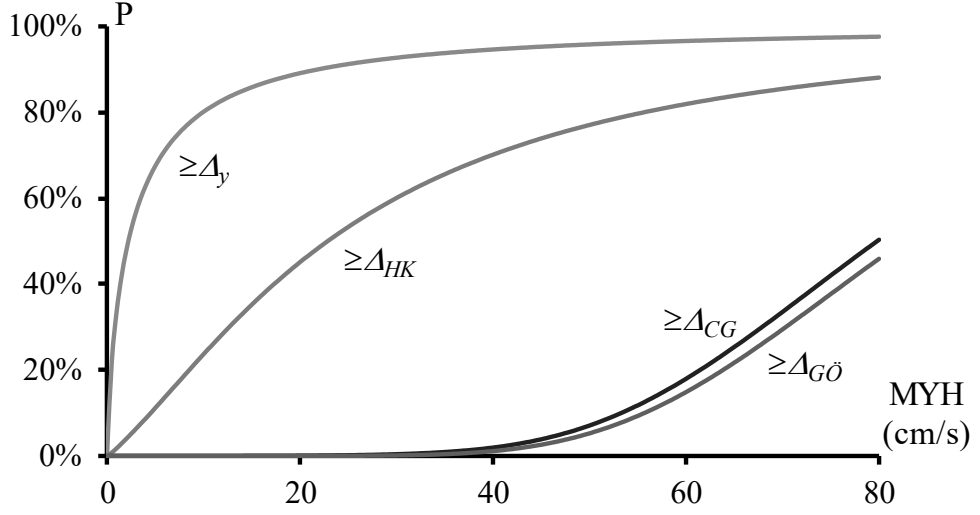
Şekil 6.16: Orta kalitedeki TDY1975 binalarının göçme olasılıkları



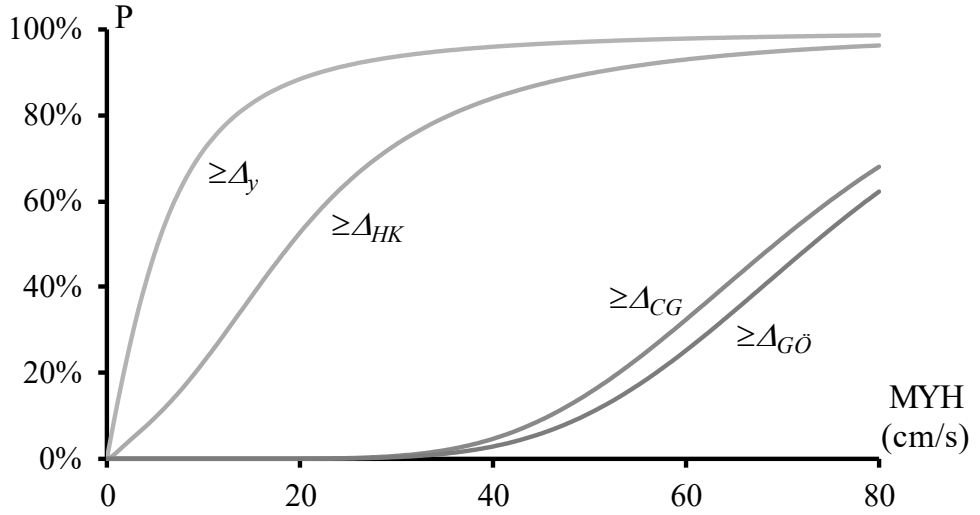
Şekil 6.17: Kötü kalitedeki TDY1975 binalarının göçme olasılıkları

Hasar görülebilirlik eğrileri üzerinde yapılan değerlendirmelerin ardından TDY1975 binaları kapasite parametrelerine göre iyi, orta ve kötü olmak üzere toplam 3 farklı kalite sınıfına ayrılmıştır. TDY1998 binalarının ağır hasar ve göçme olasılıkları yüksek MYH değerlerinde dahi çok düşük değerler aldığı için (bkz. Şekil 6.13 ve Şekil 6.14) TDY1998 binalarında herhangi bir sınıflandırma yapılamamıştır. Yapılan tez kapsamında iyi, orta ve kötü kalitede 3 adet TDY1975 bina sınıfı ve TDY1998 binaları için toplamda 4 adet bina sınıfı kullanılmıştır.

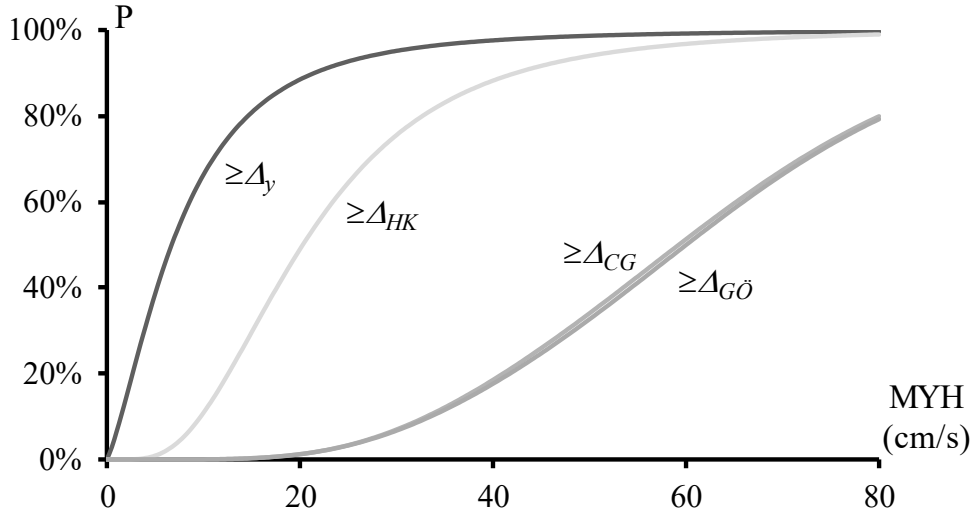
Sonuç olarak tezin sonraki bölümlerinde kullanılacak yapı sınıfları için elde edilen hasar görebilirlik eğrileri bina sınıfları için ayrı ayrı gösterilmiştir. Şekil 6.18’de iyi kalitedeki, Şekil 6.19’da orta kalitedeki, Şekil 6.20’de kötü kalitedeki TDY1975 binaları ve Şekil 6.21’de TDY1998 binaları için elde edilen hasar görebilirlik eğrileri görülmektedir.



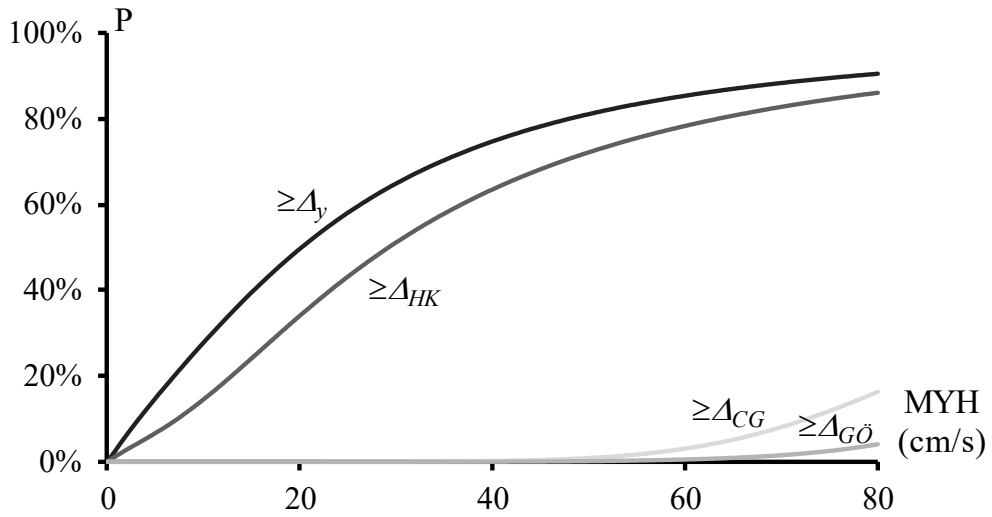
Şekil 6.18: İyi kalitedeki TDY1975 binalarının hasar görebilirlik eğrileri



Şekil 6.19: Orta kalitedeki TDY1975 binalarının hasar görebilirlik eğrileri



Şekil 6.20: Kötü kalitedeki TDY1975 binalarının hasar görebilirlik eğrileri



Şekil 6.21: TDY1998 binalarının hasar görebilirlik eğrileri

Şekil 6.18-Şekil 6.21’de görülen hasar görebilirlik eğrileri kullanılarak 4 farklı bina sınıfına ait HOM’leri elde edilmiştir. OSTA ile Denizli için elde edilen sismik tehlike eğrisi ile HOM’leri kullanılarak sigorta risk primleri tüm yapı sınıfı için ayrı ayrı elde edilmiştir.

7. HASAR OLASILIK MATRİSLERİNİN HESABI

Depremlerin sebep olacağı olumsuzlukların, can kayıplarının, hasarın ve yıkımın tanımlanması ve tahmin edilmesi işlemi kayıp tahmini olarak adlandırılmaktadır. Kayıplar genellikle insan ölümlerini, doğrudan onarım maliyetlerini, iletişim, ulaşım vb. sistemlerde meydana gelen hasarları ve bu hasarların bölgenin ekonomik refahı üzerindeki etkilerini kapsamaktadır. Deprem kayıp tahmini çalışmaları deprem açısından riskli bölgelerin belirlenmesi, acil müdahale planlarının oluşturulması ve geliştirilmesi, depremlerin ekonomik etkilerinin belirlenmesi ve beklenen bir depremin neden olacağı sonuçları öngörmek için yapılmaktadır. Kayıp tahmini ile her ne kadar depremlerin ne zaman ve nerede gerçekleşeceğini, farklı bina türlerinde meydana getireceği zararın ne olacağını tam olarak belirlemek mümkün olmasa da bir şehir veya bölgede meydana gelen hasarı gösterecek yaklaşık tahminler yapmak mümkündür (FEMA-177 1983).

Depremin meydana getirdiği yer hareketi sebebiyle farklı binalarda farklı seviyelerde hasar oluşmasının pek çok nedeni vardır. Aynı taşıyıcı sistem türüne sahip binaların farklı tasarım kurallarına ve yönetmeliklerine, farklı malzeme ve işçilik kalitelerine sahip olmaları, bu binaların dayanım ve süneklik kapasitelerini önemli ölçüde etkilemektedir. Hasarın seviyesini değiştiren bir diğer önemli etken ise çok büyük bir değişkenliğe sahip olan deprem talebi ile ilgilidir. Gerek bölgenin depremselliği gerekse de zemin koşulları sebebiyle ortaya çıkan büyütme etkileri, binalarda deprem sebebiyle oluşacak dayanım ve deplasman taleplerini önemli ölçüde arttırabilmekte ve hasarın büyümesine sebep olabilmektedir. Sigorta şirketleri ve finans kuruluşları açısından bakıldığında deprem sigortası prim hesabı için yapıların deprem sonrasında göreceği olası maksimum hasarın hızlı ve ucuz yollu tahmini önem taşımaktadır. Depremler sebebiyle mevcut yapı stokunda meydana gelecek olası maksimum hasar seviyelerinin tahmini için hasar olasılık matrisleri (HOM) kullanılmaktadır. Gerçekçi, uygulanabilir ve sürdürülebilir bir tahmin yapılabilmesi için olasılıksal hesap yaklaşımlarının kullanılması gerekmektedir.

Kayıp tahmini işlemi için iki ayrı bileşene ihtiyaç duyulmaktadır. Bunlardan ilki belirli bir yer hareketi büyüklüğünün aşılma olasılığını gösteren sismik tehlike

analizi, diğeri ise depremler nedeniyle yapılarda oluşması beklenen muhtemel hasar olasılığıdır. Deprem sebebiyle oluşacak kayıpların tahmini için seçilen yer hareketi şiddet parametresine karşılık gelen hasar görme olasılığının (hasar görebilirliğinin) belirlenmesi ve ardından da bu hasar sebebiyle oluşacak zararların analizinin yapılabilmesi gerekmektedir. Kayıp tahminleri için bölgesel yapı stokunu temsil etmesi açısından Denizli ve çevresinden seçilen örnek binalar kullanılmıştır. Yapılan tez çalışması kapsamında seçilen bölgenin sismik tehlikesinin belirlenmesi tez çalışmasının önemli aşamalarından birini oluşturmaktadır. Bu konu ile ilgili detaylar bir sonraki bölümde verilmiştir.

Tezin bu bölümünde HOM için literatürde bulunan hesap yöntemlerinden bahsedilmiş ve tezde kullanılan analitik hesap yöntemleri örnek model üzerinden açıklanmıştır. Bölümün sonunda 1998'den önce (TDY1975) ve sonra (TDY1998) inşa edilen farklı kalite sınıflarına (iyi/orta/kötü) sahip binalara ait hasar olasılıklarının dağılımları OHO ile temsil edilmiştir.

7.1 Hasar Olasılık Matrislerinin Genel Yapısı

Hasar olasılık matrisleri, bir yapının ya da yapı sınıfının farklı yer hareketi seviyelerinde farklı hasar seviyelerine ulaşma olasılıklarını ifade etmektedir. HOM'ndeki her bir kolon seçilen yer hareketi şiddet parametresini, her bir satır ise göz önüne alınan hasar seviyelerini göstermektedir. Matrisin hücrelerinde yer alan değerler ise matrisin ait olduğu binanın/bina grubunun göz önüne alınan yer hareketi düzeyinde, söz konusu hasar seviyesine ulaşmasının ayrık olasılığını ifade etmektedir. Whitman (1986) HOM tanımını hasar görebilirlik eğrilerinin tablo halinde sunulması olarak da ifade etmiştir.

HOM ile ilgili ilk çalışmalar Whitman ve diğ. (1973) ve Martel (1964) tarafından gerçekleştirilmiştir. Yapılan bu çalışmalarda HOM oluşturulması sırasında 1971 San Fernando ve 1933 Long Beach depremlerinden elde edilen hasarlar verileri göz önüne alınmıştır. HOM ile ilgili Amerika Birleşik Devletleri'nde yapılan çalışmalara Ulusal Acil Durum Yönetim Ajansı (FEMA) tarafından yayınlanan ATC-13 (1985) raporundan ulaşılabilmektedir. Yayınlanan rapor deprem hasar tahmini üzerine yapılan ilk kapsamlı çalışma olmanın yanı sıra birçok hasar tahmini yöntemi

için de referans niteliği taşımaktadır. Söz konusu raporda 40 adet farklı bina sınıfı ve 78 adet mühendislik yapısı için oluşturulan HOM verilmektedir. Raporda yer alan HOM'leri 58 adet uzman kişinin yapmış olduğu çalışmaların bir araya getirilmesi ile oluşturulmuştur. Tablo 7.1'de HOM'lerinin genel yapısı görülmektedir.

Tablo 7.1: Hasar olasılık matrislerinin genel yapısı (Bilal ve diğ. 2013)

Hasar Durumu (HD)	Merkezi Hasar Oranı (%)	Değişkenmiş Mercalli Şiddeti (MMI)				
		VI	VII	VIII	IX	X
Hasarsız	0	Hasar Olasılıkları Pr(HD, I)				
Az Hasarlı	5					
Orta Hasarlı	30					
Ağır Hasarlı	70					
Yıkık	100					

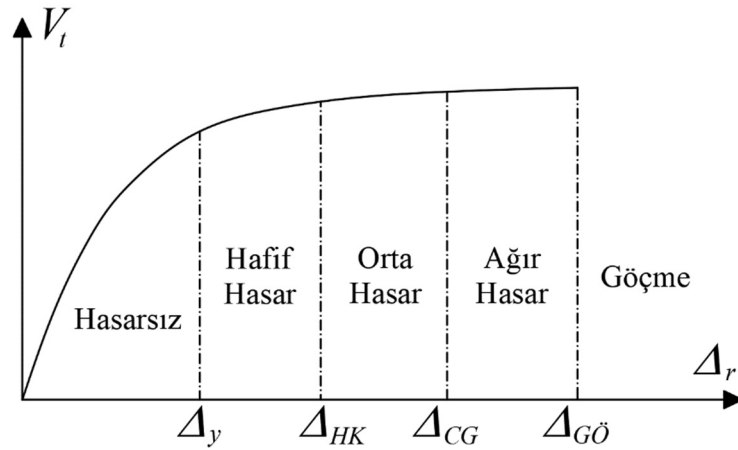
Tablo 7.1'de gösterilen örnek HOM, 5 farklı hasar durumu (HD) için Değişkenmiş Mercalli Şiddeti'nin (MMI) bir fonksiyonu olarak tarif edilmiştir. Belli bir MMI şiddetindeki matrisin her bir elemanı, Pr(HD, I) belli bir hasar durumunun oluşma olasılığını ifade etmektedir. Her bir MMI kolonundaki hasar olasılıklarının toplamı %100'dür.

7.2 Hasar Durumlarının ve Hasar Oranlarının Belirlenmesi

Hasar durumlarının tanımlanması işlemi iki farklı şekilde yapılabilmektedir. Bu tanımlamalardan ilkinde yapısal ve yapısal olmayan elemanlarda meydana gelen hasarın gözlemsel olarak tarifi esas alınmaktadır. Diğer yaklaşımda ise daha nicel bir değerlendirme yöntemi takip edilmekte, deprem sonrası onarım maliyetinin yeniden yapım maliyetine oranı (Merkezi Hasar Oranı) üzerinden hasar durumu tarif edilmektedir. Yapının deprem sonrasında meydana gelen gerçek hasar maliyetinin bilinmesi durumunda hasar oranı üzerinden yapılan tarif, hasar durumunu (HD) belirlemenin en güvenilir yoludur. Bunun yanında deprem sonrasında elde edilen verilerde onarım maliyetleri hakkında yeterli bilgi olmaması, nitel tanımlamaya ihtiyaç duyulmasının sebebidir (Whitman 1973).

Yapılan çalışmada hasar durumlarının nitel tanımlanması için Çevre ve Şehircilik Bakanlığı'nın 1994 yılından önce kullandığı hasar tespit formlarında yer

alan tanımlamalardan (Hasarsız, Hafif Hasar, Orta Hasar, Ağır Hasar, Göçme) faydalanılmıştır. Bir binanın hasar durumlarının gözlemsel veriler kullanılarak belirlenmesi için deprem sonrasında saha tespit çalışmaları ile istatistiksel çalışma yapılması gerekmektedir. Yapılan tez çalışmasının analitik verilere dayanması nedeniyle hasar durumlarını tanımlamak için DBYBHY2007 Bölüm 7’de yer alan ve Bölüm 3.5’te ayrıntılarına yer verilen bina performans sınırları kullanılmıştır. Hasar görülebilirlik eğrilerinin oluşturulmasında da kullanılan bu tanımlamalar Şekil 7.1’de görülmektedir.



Şekil 7.1: HOM’de kullanılan hasar durumları

Hesaplamalarda kolaylık olması açısından yapıların farklı hasar oranlarına karşılık gelen tek bir Merkezi Hasar Oranı (MHO) değeri kullanılmaktadır. Ulusal ve uluslararası literatüre bakıldığında araştırmacılar tarafından önerilen farklı MHO değerleri görülmektedir. Whitman ve diğ. (1973) 1971 San Fernando depreminden elde ettiği hasar durumlarını ve hasar oranlarını kıyaslayarak Tablo 7.2’de görülen MHO değerlerini önermiştir.

Tablo 7.2: Whitman ve diğ. (1973) tarafından önerilen MHO değerleri

Hasar Durumu	Merkezi Hasar Oranı (%)
Hasarsız	0.0
Hafif Hasar	0.3
Orta Hasar	5.0
Ağır Hasar	30.0
Göçme	100.0
Yıkık	100.0

ATC-13'te Whitman ve diğ. (1973) tarafından önerilen MHO değerlerine başka çalışmalardan elde edilen sonuçlar göz önüne alınarak ilaveler yapılmış ve 7 farklı hasar durumuna karşılık gelen hasar oranı aralıkları belirlenmiştir. Tablo 7.3'te ATC-13'te yer alan güncellenmiş MHO değerleri görülmektedir.

Tablo 7.3: ATC-13'te yer alan MHO değerleri

Hasar Durumu	Hasar Oranı Aralığı (%)	Merkezi Hasar Oranı (%)
Hasarsız	0.0	0.0
Minimum Hasar	0.0-1.0	0.5
Belirgin Hasar	1.0-10.0	5.0
Orta Hasar	10.0-30.0	20.0
Ağır Hasar	30.0-60.0	45.0
Göçme	60.0-100.0	80.0
Yıkık	100.0	100.0

Ülkemizde HOM ile ilgili yapılan ilk çalışmalar Gürpınar ve diğ. (1978) ve Gürpınar ve Yüçemen (1980) tarafından yapılmıştır. Bu çalışmalarda 1976 Denizli ve 1971 Bingöl depremlerinden elde edilen verilerin değerlendirilmesiyle MMI=VI ve MMI=VIII için hasar olasılıkları elde edilmiştir. HOM tamamlamak için gereken diğer hasar olasılıkları için uzman görüşünden faydalanılmıştır. Gürpınar ve diğ. (1978) tarafından kullanılan MHO değerleri Tablo 7.4'te görülmektedir.

Tablo 7.4: Gürpınar ve diğ. (1978) tarafından kullanılan MHO değerleri

Hasar Durumu	Hasar Oranı Aralığı (%)	Merkezi Hasar Oranı (%)
Hasarsız	0.0-1.0	0.0
Hafif Hasar	1.0-10.0	5.0
Orta Hasar	10.0-50.0	30.0
Ağır Hasar	50.0-90.0	70.0
Göçme	90.0-100.0	100.0

Bilal ve diğ. (2013) yaptıkları çalışmada 1999 Kocaeli depreminin Kocaeli, Sakarya ve Bolu'da neden olduğu hasarları değerlendirerek betonarme, yığma ve karma yapılar için ampirik hasar olasılık matrisleri oluşturmuştur. Yapılan bu çalışmada dört farklı HD kullanılarak ağır hasarlı ve yıkık yapılar birlikte değerlendirilmiştir. Tablo 7.5'te çalışmada kullanılan MHO değerleri görülmektedir.

Tablo 7.5: Bilal ve diğ. (2013) tarafından kullanılan MHO değerleri

Hasar Durumu	Merkezi Hasar Oranı (%)
Hasarsız	0.0
Az Hasarlı	5.0
Orta Hasarlı	30.0
Ağır Hasarlı + Yıkık	85.0

İstanbul Büyükşehir Belediyesi ve Boğaziçi Üniversitesi iş birliği ile İstanbul'da kentsel dönüşümde öncelikli bölgelerin belirlenmesi amacıyla yapılan çalışmada (İBB-2009), 2000 yılından sonra inşa edilen beş ve üzeri katlı betonarme binalarda yapısal hasar kaynaklı malî kayıp tahmini yapılmıştır (Hancılar ve diğ. 2019). Söz konusu çalışmada Tablo 7.6'da yer alan MHO değerleri kullanılmıştır.

Tablo 7.6: Hancılar ve diğ. (2019) tarafından kullanılan MHO değerleri

Hasar Durumu	Merkezi Hasar Oranı (%)
Hasarsız	0.0
Hafif Hasarlı	10.0
Orta Hasarlı	40.0
Ağır Hasarlı	80.0
Çok Ağır Hasarlı	100.0

Deniz (2006) yaptığı tez çalışmasında 1999 Marmara ve Düzce depremlerinin ardından farklı hasar seviyelerine göre hükümet tarafından ödenen tazminat tutarlarına karşılık gelen MHO değerlerini araştırmıştır. Yaptığı hesaplamalar neticesinde hasarsız, hafif ve orta hasar için sırasıyla %0, %6 ve %30 değerlerini elde etmiştir. Ağır hasar ve göçme hasarında ise hükümet tarafından yeniden yapım kararı alındığı için tazminat tutarına karşılık gelen MHO değerini %100 olarak kabul etmiştir. Yapılan tez çalışmasında ise Gürpınar ve diğ. (1978) tarafından önerilen %50-%90 hasar oranı aralığı ve Deniz (2006) tarafından elde edilen MHO referans alınarak Tablo 7.7'de Kalkan (2019) ile temsil edilen MHO'ları önerilmiştir.

Tablo 7.7'de tez çalışmasında kullanılan MHO değerleri görülmektedir. Yapılan tez çalışmasında her bir bina grubu için hesaplanan OHO'ları Tablo 7.7'de görülen MHO değerlerinin ayrı ayrı kullanılmasıyla elde edilmiştir.

Tablo 7.7: Tez çalışmasında kullanılan MHO değerleri

Hasar Durumu	Merkezi Hasar Oranı-MHO (%)		
	Gürpınar ve diğ. (1978)	Hancılar ve diğ. (2019)	Kalkan (2019)
Hasarsız	0.0	0.0	0.0
Hafif Hasarlı	5.0	10.0	5.0
Orta Hasarlı	30.0	40.0	30.0
Ağır Hasarlı	70.0	80.0	85.0
Göçme	100.0	100.0	100.0

7.3 Ortalama Hasar Oranı

Hasar olasılık matrisleri belli bina sınıflarında, belirli bir şiddet parametresi altında belli bir hasar seviyesine ulaşmanın ayrık olasılığını temsil etmektedir. Her bir hasar durumuna ulaşma olasılığının, ilgili MHO ile çarpılması sonucunda elde edilen hasar oranına “Ortalama Hasar Oranı” (OHO) denilmektedir.

Merkezi hasar oranları bir ağırlık çarpanı gibi kullanılmakta ve hesaplanan hasar oranlarını ($\Pr(HD, I)$) bu ağırlık çarpanları ile çarpılarak bir bakıma hasar durumunun ağırlıklı ortalaması hesaplanmaktadır. Bu yaklaşım sayesinde bütün bir hasar olasılık matrisini tek bir satır ile veya başka bir ifade ile tek bir vektör ile temsil edebilmek, sadeleştirebilmek mümkün olmaktadır. Bu yaklaşım özellikle farklı bina sınıfları için hesaplanan HOM’lerinin birbiri ile karşılaştırılmasında önemli kolaylıklar sağlamaktadır. Bu nedenle farklı özellikteki HOM hakkında genel bir yargıya varmak ve işlem yükünü hafifletmek için her bir bina sınıfını temsil eden OHO’larına ihtiyaç duyulmaktadır. OHO hesabı için literatürde farklı yaklaşımlar bulunsa da yapılan tez çalışmasında, Whitman (1973) tarafından önerilen ve (7.1) ifadesi ile temsil edilen bağıntı ile OHO’ları elde edilmiştir.

$$OHO(I) = \sum_{HD} \Pr(HD, I) \cdot MHO(HD) \quad (7.1)$$

(7.1) ifadesinde $MHO(HD)$ ile HD hasar durumundaki MHO değeri, $\Pr(HD, I)$ ile I büyüklüğündeki MYH’da yapının HD hasar durumunda bulunma olasılığı, ifade

edilmektedir. (7.1) ile yapılan işlemler sonunda elde edilen HOM Tablo 7.8’de görülmektedir.

Tablo 7.8: Hasar olasılık matrisinde OHO’nun belirlenmesi (Palanci 2014)

Hasar Durumu-HD	MHO (%)	Değişkenmiş Mercalli Şiddeti (MMI)				
		V	VI	VII	VIII	IX
Hasarsız	0.0	Pr(HD, I)				
Az Hasarlı	5.0					
Orta Hasarlı	30.0					
Ağır Hasarlı	70.0					
Yıkık	100.0					
Ortalama Hasar Oranı-OHO (%)		OHO(V)	OHO(VI)	OHO(VII)	OHO(VIII)	OHO(IX)

Tablo 7.8’de örnek olarak verilen HOM’ni meydana getiren hasar olasılıkları, Değişkenmiş Mercalli Şiddeti’nin (MMI) bir fonksiyonu olarak hesaplanmıştır. Yapılan çalışmada ise hasar olasılıkları, detayları Bölüm 4’te yer alan MYH gruplarına göre hesaplanmıştır. Tablo 7.9’da yapılan tez çalışmasında Hancılar ve diğ. (2019) tarafından önerilen MHO’larının kullanıldığı örnek HOM görülmektedir.

Tablo 7.9: Çalışmada kullanılan örnek HOM

Hasar Durumu	MHO (%)	MYH Grup No											
		1	2	3	4	5	6	7	8	9	10	11	12
Hasarsız	0.0	Pr(HD, I)											
Hafif Hasarlı	10.0												
Orta Hasarlı	40.0												
Ağır Hasarlı	80.0												
Göçme	100.0												

7.4 Hasar Olasılık Matrisi Hesap Yöntemleri

Yapı sınıflarını temsil eden HOM hesabı için I seviyesindeki yer hareketinde HD hasar durumuna ulaşma olasılığını ifade eden değerlerin (Pr(HD,I)) belirlenmesi gerekmektedir. Bu olasılık değerlerinin ya da başka bir ifade ile önceden tarif edilmiş sınır değerlerin aşılma olasılıkları, hasar görebilirlik eğrilerinin hesabında olduğu gibi 4 farklı hesap yöntemi (uzman görüşlerinden yararlanılarak, ampirik, analitik ve hibrit yöntem) ile yapılabilmektedir. Bu hesap yöntemleri Bölüm 6.1’de detaylı olarak açıklanmıştır.

Yapılan tez çalışmasında geçmiş depremlere ait öznel yargılardan uzak güvenilir veriler olmaması ve hasar tahmininde birçok belirsizliği göz önüne almak amacıyla HOM'ni oluşturan hasar olasılığı değerleri 3 farklı analitik yöntem kullanılarak (Olası En Büyük Hasar Yöntemi, Lognormal Dağılım Yöntemi ve Doğrudan Olasılıklar Yöntemi) belirlenmiştir. Kullanılan her üç yöntem de esas itibari ile mevcut binaların farklı performans seviyelerindeki deplasman kapasitelerine (Δ_{HK} , Δ_{CG} ve $\Delta_{G\ddot{O}}$) ve doğrusal olmayan dinamik analizlerle elde edilen deplasman taleplerine (Δ_d) dayanmaktadır. Tez kapsamında ele alınan 20 adet TDY1975 ve 20 adet de TDY1998 binaları için her iki yönde olmak üzere (XZ&YZ) toplam 80 adet doğrusal olmayan analiz modeli hazırlanmıştır. Binalara ait hasar görülebilirlik eğrileri Bölüm 6.4'te anlatıldığı şekilde değerlendirilmiş ve 20 adet TDY1975 binasına ait 40 doğrusal olmayan analiz modeli iyi/orta/kötü kalite sınıflarına ayrılmıştır. Tablo 7.10'da TDY1975 ve TDY1998 binalarının kalite sınıflarına ayrılması ile elde edilen analiz modeli sayıları görülmektedir.

Tablo 7.10: Doğrusal olmayan analiz modeli sayılarının yapı ve kalite sınıfına göre dağılımı

Yapı Sınıfı	Kalite Sınıfı		Analiz Modeli Sayısı
TDY1975	İyi	$V_{t,y}/W \geq 0.15 \ \& \ \mu_{\Delta} \geq 5.5$	15
	Orta	Diğer	14
	Kötü	$V_{t,y}/W \leq 0.15 \ \& \ \mu_{\Delta} \leq 5.5$	11
TDY1998	-	-	40

Tablo 7.10'dan da anlaşılacağı üzere TDY1975 binaları 3 kalite sınıfına ve TDY1998 binaları tek kalite sınıfına sahiptir. Bu yüzden çalışma kapsamında ele alınan binalar toplam 4 ayrı grupta toplanmıştır. Tez çalışması kapsamında bu yapı gruplarının ya da sınıflarının her birini temsil eden HOM'leri hesaplanmıştır.

7.4.1 Olası En Büyük Hasar Yöntemi

Bu hesap yönteminde I büyüklüğündeki yer hareketinde HD hasarının oluşma olasılığı, ilk kez Whitman (1973) tarafından ampirik hesap yönteminde de kullanılan (7.2) ifadesi ile elde edilmektedir.

$$\Pr(\text{HD}, I) = \frac{N(\text{HD}, I)}{N(I)} \quad (7.2)$$

(7.2) bağıntısında yer alan $N(I)$ analitik hesap yönteminde ilgili yapı grubunda analizi yapılan toplam yapı sayısını, $N(\text{HD}, I)$ ise yapılan analizler sonucunda I büyüklüğündeki yer hareketi grubunda HD hasar durumunda bulunan yapı sayısını ifade etmektedir. Olası En Büyük Hasar Yönteminde $N(\text{HD}, I)$ değeri için her bir MYH grubunda yapılan analizlerin sonunda meydana gelen en büyük hasar seviyesi göz önüne alınmaktadır.

Tez kapsamında iyi kalitedeki TDY1975 binalarının Olası En Büyük Hasar Yöntemi ile hesabında (7.2) bağıntısındaki $N(I)$ ifadesi 15 değerini almaktadır. Bağıntıda yer alan $N(\text{HD}, I)$ değerinin belirlenmesi işlemi iyi kalite sınıfında yer alan örnek BO7SN4-YZ modeli üzerinde anlatılmıştır. BO7SN4-YZ modelinin her bir MYH grubundaki hasar oluşma sayılarını elde etmek için deplasman talepleri ile yapının hasar sınırlarına karşılık gelen deplasman kapasiteleri karşılaştırılmış ve Tablo 7.11’de görülen aşılma sayıları elde edilmiştir.

Tablo 7.11: İyi kalitedeki BO7SN4-YZ modelinde hasar oluşma sayıları

MYH Grup No	İvme Kaydı Sayısı	Hasar Durumu (HD)				
		Hasarsız	Hafif Hasarlı	Orta Hasarlı	Ağır Hasarlı	Göçme
1	29	2	27	6	0	0
2	31	1	30	20	0	0
3	34	1	33	20	0	0
4	30	2	28	26	0	0
5	30	2	28	23	0	0
6	30	1	29	21	2	2
7	30	3	27	17	2	2
8	30	1	29	22	5	5
9	30	0	30	28	7	7
10	30	0	30	29	8	8
11	30	0	30	28	11	11
12	30	0	30	30	16	16

Tablo 7.11’e bakıldığında BO7SN4-YZ modelinin MYH1 grubunda yapılan 29 adet doğrusal olmayan dinamik analizi neticesinde 21 ivme kaydında yapıda hafif hasar, 6 ivme kaydında orta hasar gözlemlenmiş, 2 ivme kaydında ise yapıda herhangi

bir hasar gözlemlenmemiştir. Bu sonuçlar BO7SN4-YZ modelinin MYH1 grubunda ulaştığı en büyük hasar seviyesinin “orta hasar” olduğunu göstermektedir. MYH1 için belirlenen hasar durumu diğer MYH grupları için yapılarak yapının hasar durumunun MYH gruplarına dağılımı elde edilmiştir. Tablo 7.12’de BO7SN4-YZ modelinin MYH gruplarındaki hasar durumları görülmektedir. Tablo 7.12’de “1” ile verilen değerler yapının ulaştığı en büyük hasar durumunu belirtmektedir.

Tablo 7.12: BO7SN4-YZ modelinin MYH gruplarındaki hasar durumları

MYH Grup No	İvme Kaydı Sayısı	Hasar Durumu (HD)				
		Hasarsız	Hafif Hasarlı	Orta Hasarlı	Ağır Hasarlı	Göçme
1	29	0	0	1	0	0
2	31	0	0	1	0	0
3	34	0	0	1	0	0
4	30	0	0	1	0	0
5	30	0	0	1	0	0
6	30	0	0	0	0	1
7	30	0	0	0	0	1
8	30	0	0	0	0	1
9	30	0	0	0	0	1
10	30	0	0	0	0	1
11	30	0	0	0	0	1
12	30	0	0	0	0	1

BO7SN4-YZ modeli için anlatılan işlemler diğer iyi kalitedeki TDY1975 binaları için de gerçekleştirilerek toplam 15 analiz modeli için Tablo 7.12’de gösterilen hasar durumu tabloları oluşturulmuştur. Elde edilen hasar durumu tabloları toplanarak bir araya getirilmiş ve $N(HD, I)$ değeri her bir MYH grubu için belirlenmiştir. İyi kalitedeki TDY1975 binalarının $Pr(HD, I)$ değerleri (7.2) ifadesi ile elde edilmiştir. Tablo 7.13-Tablo 7.15’te iyi kalitedeki TDY1975 binaları için Olası En Büyük Hasar Yöntemi ile elde edilen HOM görülmektedir. Tablolarda HOM’ni oluşturan OHO değerleri Gürpınar ve diğ. (1978), Hancılar ve diğ. (2019) ve yapılan tez çalışmasında önerilen Kalkan (2019) MHO değerleri için elde edilmiştir. Tez kapsamında belirlenen diğer orta kalitedeki TDY1975 binaları için Olası En Büyük Hasar Yöntemi ile elde edilen HOM’leri Tablo E.1-Tablo E.3’te, kötü kalitedeki TDY1975 binaları için elde edilen HOM’leri Tablo E.4-Tablo E.6’da, TDY1998 binaları için elde edilen HOM’leri ise Tablo E.7-Tablo E.9’da yer almaktadır.

Tablo 7.13: İyi kalitedeki TDY1975 binaları için Olası En Büyük Hasar Yöntemi ile elde edilen HOM (MHO-Gürpınar ve diğ. (1978))

Hasar Durumu	Merkezi Hasar Oranı (%)	MYH Grup No													
		1	2	3	4	5	6	7	8	9	10	11	12		
Hasarsız	0.0	0.000	0.000	0.000	0.000	0.000	0.000	0.000	0.000	0.000	0.000	0.000	0.000	0.000	0.000
Hafif Hasarlı	5.0	0.000	0.000	0.000	0.000	0.000	0.000	0.000	0.000	0.000	0.000	0.000	0.000	0.000	0.000
Orta Hasarlı	30.0	1.000	0.933	0.933	0.733	0.333	0.400	0.000	0.000	0.000	0.000	0.000	0.000	0.000	0.000
Ağır Hasarlı	70.0	0.000	0.067	0.000	0.067	0.000	0.133	0.067	0.133	0.000	0.000	0.067	0.133	0.000	0.000
Göçme	100.0	0.000	0.000	0.067	0.200	0.667	0.467	0.933	0.867	1.000	1.000	1.000	1.000	1.000	1.000
Ortalama Hasar Oranı (OHO)		0.300	0.327	0.347	0.467	0.767	0.680	0.980	0.960	1.000	1.000	1.000	1.000	1.000	1.000

Tablo 7.14: İyi kalitedeki TDY1975 binaları için Olası En Büyük Hasar Yöntemi ile elde edilen HOM (MHO-Kalkan (2019))

Hasar Durumu	Merkezi Hasar Oranı (%)	MYH Grup No													
		1	2	3	4	5	6	7	8	9	10	11	12		
Hasarsız	0.0	0.000	0.000	0.000	0.000	0.000	0.000	0.000	0.000	0.000	0.000	0.000	0.000	0.000	0.000
Hafif Hasarlı	5.0	0.000	0.000	0.000	0.000	0.000	0.000	0.000	0.000	0.000	0.000	0.000	0.000	0.000	0.000
Orta Hasarlı	30.0	1.000	0.933	0.933	0.733	0.333	0.400	0.000	0.000	0.000	0.000	0.000	0.000	0.000	0.000
Ağır Hasarlı	85.0	0.000	0.067	0.000	0.067	0.000	0.133	0.067	0.133	0.000	0.000	0.067	0.133	0.000	0.000
Göçme	100.0	0.000	0.000	0.067	0.200	0.667	0.467	0.933	0.867	1.000	1.000	1.000	1.000	1.000	1.000
Ortalama Hasar Oranı (OHO)		0.300	0.337	0.347	0.477	0.767	0.700	0.990	0.980	1.000	1.000	1.000	1.000	1.000	1.000

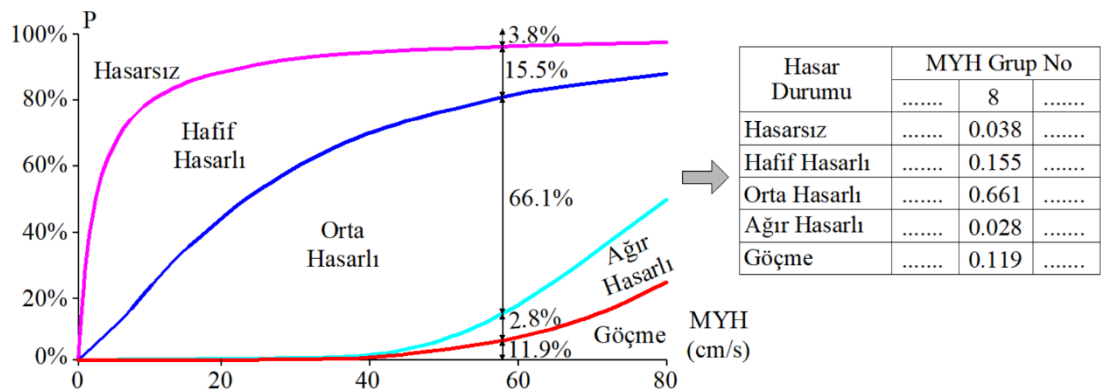
Tablo 7.15: İyi kalitedeki TDY1975 binaları için Olası En Büyük Hasar Yöntemi ile elde edilen HOM (MHO-Hancılar ve diğ. (2019))

Hasar Durumu	Merkezi Hasar Oranı (%)	MYH Grup No													
		1	2	3	4	5	6	7	8	9	10	11	12		
Hasarsız	0.0	0.000	0.000	0.000	0.000	0.000	0.000	0.000	0.000	0.000	0.000	0.000	0.000	0.000	0.000
Hafif Hasarlı	10.0	0.000	0.000	0.000	0.000	0.000	0.000	0.000	0.000	0.000	0.000	0.000	0.000	0.000	0.000
Orta Hasarlı	40.0	1.000	0.933	0.933	0.733	0.333	0.400	0.000	0.000	0.000	0.000	0.000	0.000	0.000	0.000
Ağır Hasarlı	80.0	0.000	0.067	0.000	0.067	0.000	0.133	0.067	0.133	0.000	0.000	0.067	0.133	0.000	0.000
Göçme	100.0	0.000	0.000	0.067	0.200	0.667	0.467	0.933	0.867	1.000	1.000	0.933	0.867	1.000	1.000
Ortalama Hasar Oranı (OHO)		0.400	0.427	0.440	0.547	0.800	0.733	0.987	0.973	1.000	1.000	0.987	0.973	1.000	1.000

7.4.2 Lognormal Dağılım Yöntemi

HOM yer alan hasar olasılıklarının Lognormal Dağılım Yöntemi ile elde etmek için öncelikle hesabı yapılmak istenilen yapı grubuna ait hasar görebilirlik eğrilerine ihtiyaç duyulmaktadır. Lognormal Dağılım Yönteminde yapılan işlem, hasar görebilirlik eğrilerinden elde edilen aşılma olasılıklarının her bir hasar durumu için hasar olasılığına dönüştürülmesidir. Bilal ve diğ. (2013) yöntemin güvenilirliğini sınamak için yaptıkları çalışmada 1999 Kocaeli depreminden elde ettikleri verileri kullanarak oluşturdukları HOM ile hasar görebilirlik eğrilerinden elde ettikleri matrisleri kıyaslamıştır. Yapılan çalışma sonunda birçok bölge ve yapı türü için ampirik ve analitik yoldan elde edilen HOM birbirine oldukça yakın olduğu sonucuna varmıştır.

Tez kapsamında Lognormal Dağılım Yöntemi ile HOM elde edilirken Bölüm 6'da belirlenen hasar görebilirlik eğrilerinden faydalanılmıştır. Hasar görebilirlik eğrisinde herhangi bir MYH değeri için elde edilen olasılık değeri ilgili MYH değerinin aşılma olasılığını göstermektedir. HOM'de ise herhangi bir MYH sütununda 5 farklı hasar durumunda bulunma olasılığı ayrı ayrı ifade edilmektedir. Bu nedenle Lognormal Dağılım Yöntemi ile hesap sırasında farklı seviyelerdeki eğrilerin arasındaki fark hesaplanarak her bir hasar durumu için olasılık değerleri elde edilmiştir. Şekil 7.2'de iyi kalitedeki TDY1975 binalarını temsil eden hasar görebilirlik eğrisini kullanarak HOM'nde yer alan ve MYH8 grubuna karşılık gelen sütunun nasıl elde edildiği gösterilmektedir. Tek bir MYH grubu için yapılan işlemler diğer MYH grupları için tekrarlanmış ve 3 farklı MHO değeri için Tablo 7.16-Tablo 7.18'de görülen HOM elde edilmiştir. Orta ve kötü kalitedeki TDY1975 ve TDY1998 binaları için hesaplanan HOM'leri sırası ile Tablo E.10-Tablo E.18'de yer almaktadır.



Şekil 7.2: İyi kalitedeki TDY1975 binalarının hasar görebilirlik eğrilerinin HOM'ne dönüştürülmesi

Tablo 7.16: İyi kalitedeki TDY1975 binaları için Lognormal Dağılım Yöntemi ile elde edilen HOM (MHO-Gürpınar ve diğ. (1978))

Hasar Durumu	Merkezi Hasar Oranı (%)	MYH Grup No											
		1	2	3	4	5	6	7	8	9	10	11	12
Hasarsız	0.0	0.096	0.082	0.066	0.057	0.052	0.044	0.041	0.038	0.034	0.031	0.028	0.026
Hafif Hasarlı	5.0	0.399	0.353	0.292	0.252	0.225	0.186	0.173	0.155	0.136	0.120	0.108	0.096
Orta Hasarlı	30.0	0.504	0.563	0.634	0.674	0.694	0.699	0.689	0.661	0.607	0.540	0.468	0.390
Ağır Hasarlı	70.0	0.001	0.002	0.004	0.007	0.011	0.019	0.022	0.028	0.035	0.041	0.044	0.046
Göçme	100.0	0.000	0.001	0.003	0.009	0.018	0.053	0.075	0.119	0.188	0.268	0.352	0.442
Ortalama Hasar Oranı (OHO)		0.172	0.188	0.211	0.229	0.245	0.285	0.306	0.345	0.402	0.465	0.528	0.596

Tablo 7.17: İyi kalitedeki TDY1975 binaları için Lognormal Dağılım Yöntemi ile elde edilen HOM (MHO-Kalkan (2019))

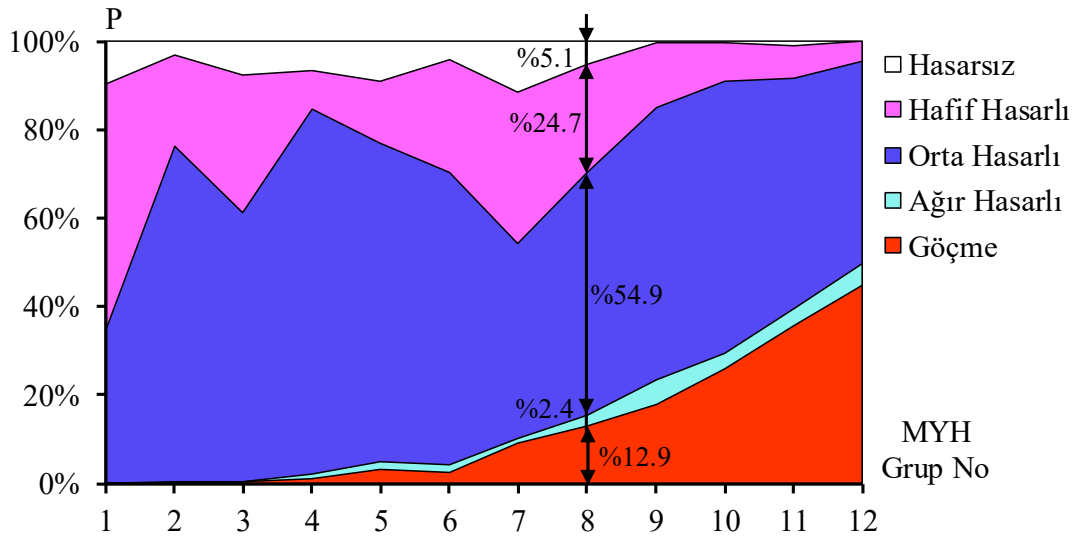
Hasar Durumu	Merkezi Hasar Oranı (%)	MYH Grup No											
		1	2	3	4	5	6	7	8	9	10	11	12
Hasarsız	0.0	0.096	0.082	0.066	0.057	0.052	0.044	0.041	0.038	0.034	0.031	0.028	0.026
Hafif Hasarlı	5.0	0.399	0.353	0.292	0.252	0.225	0.186	0.173	0.155	0.136	0.120	0.108	0.096
Orta Hasarlı	30.0	0.504	0.563	0.634	0.674	0.694	0.699	0.689	0.661	0.607	0.540	0.468	0.390
Ağır Hasarlı	85.0	0.001	0.002	0.004	0.007	0.011	0.019	0.022	0.028	0.035	0.041	0.044	0.046
Göçme	100.0	0.000	0.001	0.003	0.009	0.018	0.053	0.075	0.119	0.188	0.268	0.352	0.442
Ortalama Hasar Oranı (OHO)		0.172	0.189	0.212	0.230	0.247	0.288	0.309	0.349	0.407	0.471	0.535	0.603

Tablo 7.18: İyi kalitedeki TDY1975 binaları için Lognormal Dağılım Yöntemi ile elde edilen HOM (MHO-Hancılar ve diğ. (2019))

Hasar Durumu	Merkezi Hasar Oranı (%)	MYH Grup No											
		1	2	3	4	5	6	7	8	9	10	11	12
Hasarsız	0.0	0.096	0.082	0.066	0.057	0.052	0.044	0.041	0.038	0.034	0.031	0.028	0.026
Hafif Hasarlı	10.0	0.399	0.353	0.292	0.252	0.225	0.186	0.173	0.155	0.136	0.120	0.108	0.096
Orta Hasarlı	40.0	0.504	0.563	0.634	0.674	0.694	0.699	0.689	0.661	0.607	0.540	0.468	0.390
Ağır Hasarlı	80.0	0.001	0.002	0.004	0.007	0.011	0.019	0.022	0.028	0.035	0.041	0.044	0.046
Göçme	100.0	0.000	0.001	0.003	0.009	0.018	0.053	0.075	0.119	0.188	0.268	0.352	0.442
Ortalama Hasar Oranı (OHO)		0.242	0.262	0.289	0.310	0.327	0.366	0.385	0.421	0.473	0.529	0.585	0.644

7.4.3 Doğrudan Olasılıklar Yöntemi

HOM hesabı için kullanılan Doğrudan Olasılıklar Yöntemi yaklaşım olarak Lognormal Dağılım Yöntemine oldukça benzerdir. İki yöntem arasındaki en önemli fark; hasar durumunda bulunma olasılıklarının en küçük kareler yöntemi ile tahmin edilen lognormal eğriler yerine gerçek aşılma olasılıkları ile elde edilmesidir. Şekil 7.3'te iyi kalitedeki TDY1975 binalarının hasar olasılıklarının MYH gruplarına göre dağılımı görülmektedir. Grafikte yer alan olasılık değerleri, iyi kalitedeki TDY1975 binaları için belirlenen hasar seviyelerinin aşılma sayıları toplanarak elde edilmiştir. Yapılan işlemin detaylarına Bölüm 6.2'de değinilmiştir.



Şekil 7.3: İyi kalitedeki TDY1975 binalarının hasar olasılıklarının HOM'ne dönüştürülmesi

HOM'lerinin Şekil 7.3'te görüldüğü gibi doğrudan aşılma olasılıklarının kullanılarak elde edilmesi ile ilgili literatürde az sayıda çalışma bulunmaktadır. Palanci (2014) yaptığı tez çalışmasında, hasar dağılımlarını herhangi bir istatistiksel modele uydurmaya çalışmak yerine analizlerden elde ettiği aşılma olasılıklarını doğrudan kullanmış ve farklı kalite sınıflarına ayırdığı prefabrik binalar için HOM'lerini elde etmiştir. Şekil 7.3'te MYH8 ile tarif edilen deprem seviyesine karşılık gelen HOM sütununda iyi kalitedeki TDY1975 binalarına ait olasılık değerlerinin hesabı gösterilmiştir. Aynı işlemler HOM'nin diğer MYH grupları için yapıldığında HOM'ni oluşturan bütün $Pr(HD, I)$ değerleri elde edilecektir. Tez kapsamında incelenen iyi kalitedeki TDY1975 binalarının 3 farklı MHO değeri için elde edilen HOM'leri Tablo 7.19-Tablo 7.21'de görülmektedir.

Tablo 7.19: İyi kalitedeki TDY1975 binaları Doğrudan Hesap Yöntemi ile elde edilen HOM (MHO-Gürpınar ve diğ. (1978))

Hasar Durumu	Merkezi Hasar Oranı (%)	MYH Grup No												
		1	2	3	4	5	6	7	8	9	10	11	12	
Hasarsız	0.0	0.097	0.032	0.076	0.064	0.089	0.040	0.113	0.051	0.004	0.004	0.004	0.011	0.000
Hafif Hasarlı	5.0	0.561	0.206	0.310	0.089	0.142	0.258	0.344	0.247	0.144	0.087	0.073	0.044	0.044
Orta Hasarlı	30.0	0.343	0.757	0.610	0.827	0.718	0.660	0.440	0.549	0.618	0.616	0.520	0.458	0.458
Ağır Hasarlı	70.0	0.000	0.004	0.000	0.009	0.018	0.016	0.011	0.024	0.056	0.036	0.040	0.049	0.049
Göçme	100.0	0.000	0.000	0.004	0.011	0.033	0.027	0.091	0.129	0.178	0.258	0.356	0.449	0.449
Ortalama Hasar Oranı (OHO)		0.131	0.240	0.202	0.270	0.268	0.248	0.248	0.323	0.409	0.472	0.543	0.623	0.623

Tablo 7.20: İyi kalitedeki TDY1975 binaları için Doğrudan Hesap Yöntemi ile elde edilen HOM (MHO-Kalkan (2019))

Hasar Durumu	Merkezi Hasar Oranı (%)	MYH Grup No												
		1	2	3	4	5	6	7	8	9	10	11	12	
Hasarsız	0.0	0.097	0.032	0.076	0.064	0.089	0.040	0.113	0.051	0.004	0.004	0.004	0.011	0.000
Hafif Hasarlı	5.0	0.561	0.206	0.310	0.089	0.142	0.258	0.344	0.247	0.144	0.087	0.073	0.044	
Orta Hasarlı	30.0	0.343	0.757	0.610	0.827	0.718	0.660	0.440	0.549	0.618	0.616	0.520	0.458	
Ağır Hasarlı	85.0	0.000	0.004	0.000	0.009	0.018	0.016	0.011	0.024	0.056	0.036	0.040	0.049	
Göçme	100.0	0.000	0.000	0.004	0.011	0.033	0.027	0.091	0.129	0.178	0.258	0.356	0.449	
Ortalama Hasar Oranı (OHO)		0.131	0.241	0.202	0.271	0.271	0.251	0.250	0.327	0.418	0.477	0.549	0.630	

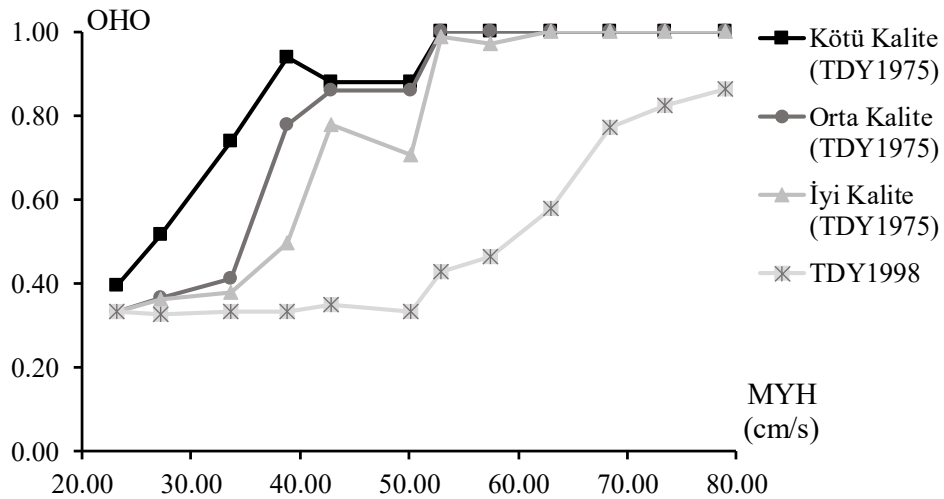
Tablo 7.21: İyi kalitedeki TDY1975 binaları için Doğrudan Hesap Yöntemi ile elde edilen HOM (MHO-Hancılar ve diğ. (2019))

Hasar Durumu	Merkezi Hasar Oranı (%)	MYH Grup No												
		1	2	3	4	5	6	7	8	9	10	11	12	
Hasarsız	0.0	0.097	0.032	0.076	0.064	0.089	0.040	0.113	0.051	0.004	0.004	0.004	0.011	0.000
Hafif Hasarlı	10.0	0.561	0.206	0.310	0.089	0.142	0.258	0.344	0.247	0.144	0.087	0.073	0.044	0.044
Orta Hasarlı	40.0	0.343	0.757	0.610	0.827	0.718	0.660	0.440	0.549	0.618	0.616	0.520	0.458	0.458
Ağır Hasarlı	80.0	0.000	0.004	0.000	0.009	0.018	0.016	0.011	0.024	0.056	0.036	0.040	0.049	0.049
Göçme	100.0	0.000	0.000	0.004	0.011	0.033	0.027	0.091	0.129	0.178	0.258	0.356	0.449	0.449
Ortalama Hasar Oranı (OHO)		0.193	0.327	0.279	0.358	0.349	0.329	0.310	0.393	0.484	0.541	0.603	0.676	0.676

Tez kapsamında ele alınan orta ve kötü kalitedeki TDY1975 ve TDY1998 binaları için hesaplanan HOM'leri sırası ile Tablo E.19-Tablo E.27'de yer almaktadır.

7.5 Mevcut Binaların Hasar Olasılık Matrislerinin Değerlendirilmesi

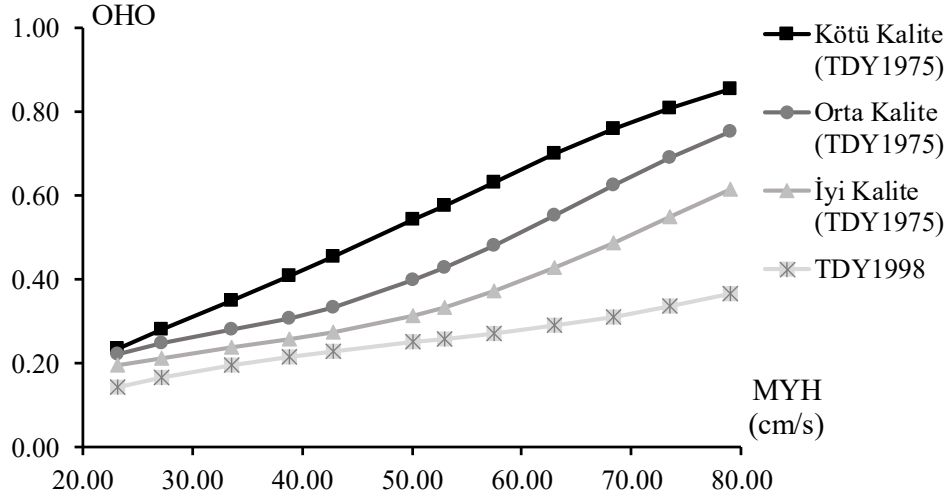
Mevcut binaların hasar olasılık matrislerinin elde edilmesi için önceki bölümlerde de bahsedilen 3 farklı hesap yöntemi kullanılmıştır. Bu bölümde farklı bina kalite sınıfları için elde edilen HOM hesabında kullanılan hesap yöntemleri karşılaştırılmıştır. Farklı yöntemlerle elde edilen matrisleri karşılaştırmak için farklı yer hareketindeki hasar olasılıklarını tek bir satırda temsil eden OHO'ları kullanılmıştır. Tez kapsamında ele alınan mevcut binaların Olası En Büyük Hasar Yöntemi kullanılarak hesaplanan OHO değerleri Şekil 7.4'te verilmiştir. Bu şekilden de görüldüğü üzere, düşük MYH değerlerinde farklı kalite sınıflarına sahip TDY1975 binaları için hesaplanan OHO değerleri arasında farklılıklar bulunmaktadır. Şiddetli depremler söz konusu olduğunda eski binalar için hesaplanan hasar oranı maksimum seviyeye ulaşmakta ve bu yüzden de kalite sınıflarının hasar oranları üzerindeki etkisi ortadan kalmaktadır.



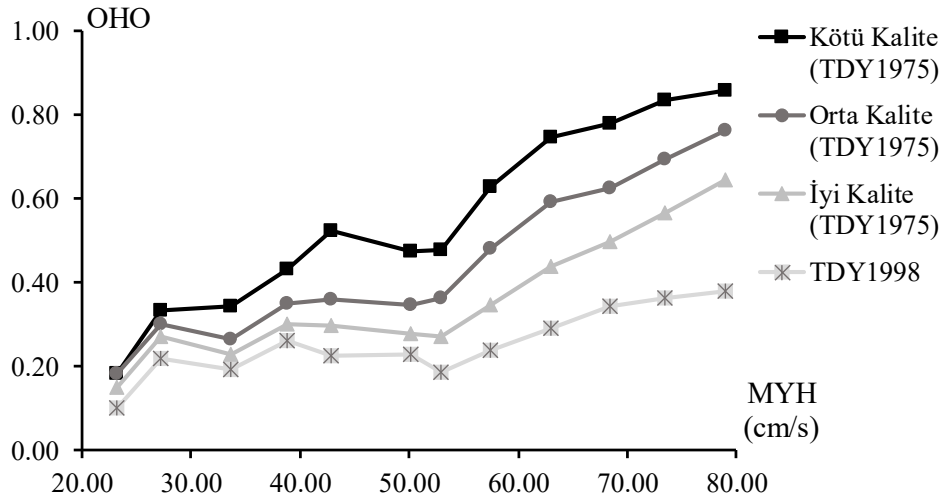
Şekil 7.4: Mevcut binaların Olası En Büyük Hasar Yöntemi sonucu elde edilen OHO değerleri

Şekil 7.4, TDY1998 binaları için hesaplanan ortalama hasar oranlarının, özellikle büyük depremler söz konusu olduğunda önemli ölçüde artma eğilimi gösterdiğini net bir şekilde göstermektedir. Söz konusu yöntem ile yüksek MYH

altında iyi/orta/kötü kalitedeki TDY1975 binaları için yüksek hasar olasılıkları elde edilirken, TDY1998 binaları için çok daha düşük hasar olasılıkları elde edilmiştir. Elde edilen bu sonuç TDY1998 binaları için elde edilen yüksek deplasman kapasitelerinin sonucu olarak değerlendirilmiştir. Tez kapsamında hasar olasılık matrislerinin hesabı için kullanılan Lognormal Dağılım Yöntemi ile elde edilen OHO'ları Şekil 7.5'te, Doğrudan Olasılıklar Yöntemi ile elde edilen hasar oranları ise Şekil 7.6'da verilmiştir.



Şekil 7.5: Mevcut binaların Lognormal Dağılım Yöntemi sonucu elde edilen OHO değerleri

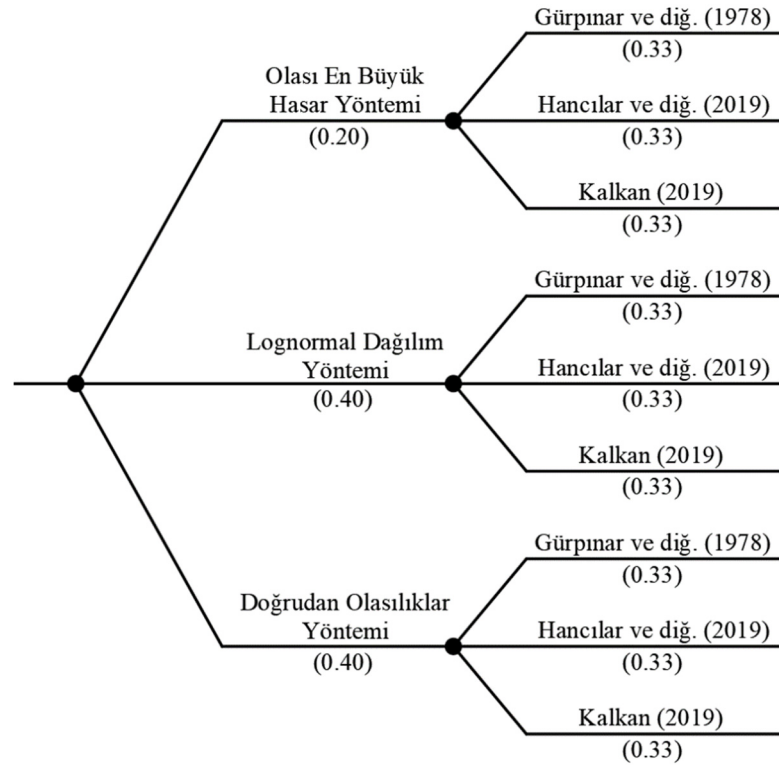


Şekil 7.6: Mevcut binaların Doğrudan Olasılıklar Yöntemi sonucu elde edilen OHO değerleri

Şekil 7.5'te yer alan OHO bakıldığında, Olası En Büyük Hasar Yönteminin aksine, hasar olasılıklarının MYH değerlerine göre daha düzenli dağıldığı görülmektedir. Bu durumun sebebi olarak hasar oranlarının, aşılma olasılıklarına en

yakın lognormal eğriler ile temsil edilen hasar görebilirlik eğrilerinden elde edilmiş olmasıdır. Doğrudan Olasılıklar Yöntemi ile elde edilen HOM'ne bakıldığında Olası En Büyük Hasar Yöntemine göre Lognormal Dağılım Yöntemi kadar olmasa da daha düzgün eğriler elde edilmiştir. Bu durumun nedeni Olası En Büyük Hasar Yönteminin ilgili MYH grubundaki en büyük hasar seviyesini göz önüne almasıdır. Benzer hesap yaklaşımı içeren Lognormal Dağılım ve Doğrudan Olasılıklar Yöntemleri ile elde edilen hasar olasılıkları ise Olası En Büyük Hasar Yöntemine göre orta büyüklükteki MYH (40-60 cm/s) değerlerinde (özellikle iyi/orta/kötü kalitedeki TDY1975 binaları için) daha düşük olasılık değerleri almaktadır.

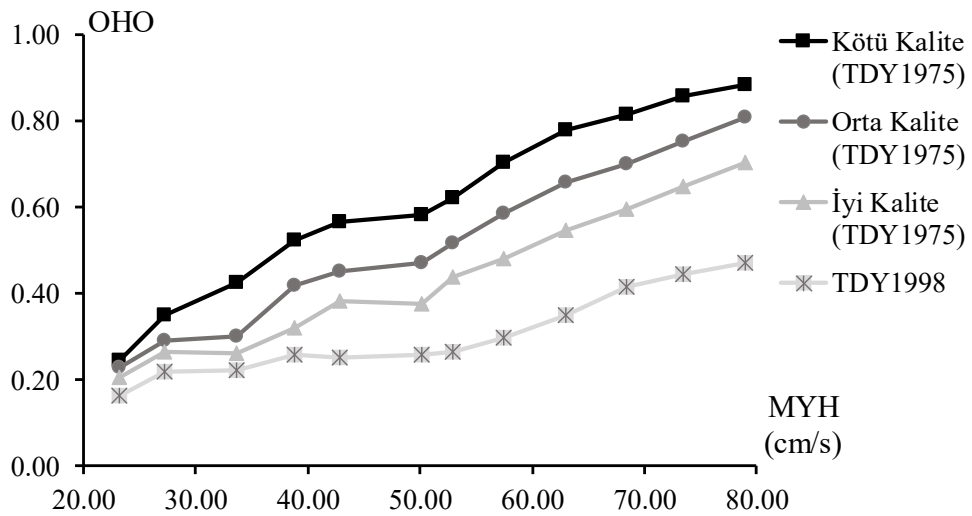
Şekil 7.4-Şekil 7.6'dan da anlaşılacağı gibi HOM hesabı sırasında kullanılan 3 farklı yöntem ile hesaplanan hasar olasılıkları arasında farklılıklar bulunmaktadır. HOM hesabında kullanılan bu yöntemler kendi içinde kullanılan basitleştirmeler ve kabuller nedeniyle çeşitli belirsizlikler içermektedir. Hesaplamalarda meydana gelen bu belirsizlikleri hesaplara dâhil etmek için iyi/orta/kötü kalite sınıfındaki TDY1975 ve TDY1998 binalarını temsil eden OHO'larının hesabı sırasında mantık ağacı yaklaşımı kullanılmıştır. Şekil 7.7'de her bir kalite sınıfını temsil eden OHO'larının hesabı için oluşturulan mantık ağacı ve modellerin ağırlık faktörleri görülmektedir.



Şekil 7.7: Bina kalite sınıflara ait OHO hesaplarındaki belirsizlikler için kullanılan mantık ağacı

Şekil 7.7’de yer alan mantık ağacında HOM hesap yöntemindeki belirsizlikleri göz önüne alabilmek için ağırlık faktörleri kullanılmıştır. En kötümser durumu temsil eden Olası En Büyük Hasar Yönteminin ağırlık faktörü 0.20, Lognormal Dağılım Yönteminin ve Doğrudan Olasılıklar Yönteminin ağırlık faktörü ise 0.40 olarak seçilmiştir. Bir diğer belirsizlik olan MHO değerlerinde ise Gürpınar ve diğ. (1978), Hancılar ve diğ. (2019) ve tez çalışmasında Kalkan (2019) olarak önerilen değerlerin ağırlık faktörleri birbirine eşit (1/3) alınmıştır.

Mantık ağacı yöntemi ile hesabı yapılan her bir yapı grubu için toplam $3 \times 3 = 9$ adet model oluşturulmuştur. Sonraki aşamada her bir dalın/modelin göreceli ağırlığı belirlenmiştir. Bir dalın/modelin göreceli olasılığının hesaplanması için son daldaki belirsizliğin ağırlık faktörü ile önünde yer alan dalın ağırlık faktörü çarpılmıştır. Örneğin Şekil 7.7’de görülen ilk modelin (Olası En Büyük Hasar Yöntemi ve Gürpınar ve diğ. (1978) tarafından önerilen MHO değerinin kullanıldığı model) göreceli ağırlığı $0.20 \times 0.33 = 0.066$ olarak hesaplanmıştır. Burada tüm modeller için kullanılan göreceli ağırlıkların toplamının 1 olduğu unutulmamalıdır. Kullanılan her model için göreceli ağırlıkların belirlenmesinin ardından mantık ağacının her bir dalı ile temsil edilen model için OHO değerleri ayrı ayrı hesaplanmış ve o modelin göreceli olasılık değeri ile çarpılmıştır. Yapılan işlemlerin ardından 9 model için elde edilen olasılık değerinin toplanması ile ilgili yapı türünü temsil eden OHO değerleri hesaplanmıştır. Şekil 7.8’de iyi/orta/kötü kalitede TDY1975 binaları ve TDY1998 binaları için mantık ağacı yöntemi ile hesaplanan OHO değerleri görülmektedir.



Şekil 7.8: Mevcut binaların mantık ağacı sonucu elde edilen Ortalama Hasar Oranı (OHO) değerleri

Şekil 7.8'e bakıldığında en yüksek hasar olasılıkları kötü kalitedeki TDY1975 yapı grubu için hesaplanırken, en düşük hasar olasılıkları ise TDY1998 yapı grubu için hesaplanmıştır. Özellikle düşük MYH değerleri için tüm gruplarda düşük hasar olasılıkları görülmesine karşın, artan MYH değerleri ile tüm yapı grupları için hesaplanan hasar olasılıkları artmaktadır. Orta büyüklükteki MYH değerleri altında TDY1998 binaları için hesaplanan hasar olasılıkları %20-25 seviyesinde değişirken, kötü kalitedeki TDY1975 binalarında aynı MYH değerleri için hesaplanan hasar olasılıkları ~%60 seviyelerine çıkmaktadır.

Şekil 7.8 esas itibari ile deprem sigorta prim hesabının iki önemli bileşeninden biri olan olası en büyük hasarın yapının yapım yılına ve yapısal özelliklerine ne derece bağlı olduğunu göstermektedir. Binaların tasarımında esas alınan deprem yönetmeliği ile kalite sınıflarını temsil eden OHO arasında gözlenen bu ciddi farklılıklar, ülkemizde DASK denetimi ve koordinasyonu altında Başbakanlık, Hazine Müsteşarlığı ve sigorta şirketleri tarafından belirlenen zorunlu deprem sigortası primlerinin sorgulanmasına neden olmaktadır.

8. BÖLGENİN DEPREM TEHLİKESİNİN BELİRLENMESİ

Depremler insan hayatı ve mühendislik yapıları için ciddi tehdit oluşturmaktadır. Sismik tehlike analizi (STA) ise bir yapının servis ömrü boyunca karşılaşacağı yer hareketi tehlikesinin değerlendirilmesi olarak tanımlanmaktadır. Bu nedenle sigorta endüstrisi tarafından bakıldığında depreme dayanıklı yapı tasarımı, deprem zararı tahmini ve sigorta prim hesapları açısından büyük önem arz etmektedir. Özellikle kritik yapılarda belli büyüklükteki yer hareketinde meydana gelecek kabul edilebilir hasarın planlanması için STA büyük önem taşımaktadır. Örneğin; yapı çok düşük hasar seviyeleri için planlanırsa, tasarımda çok yüksek yer hareketini göz önüne almak gerekir. Bu yer hareketi için tasarımılanacak yapı için yüksek maliyet gerekebilir. Aynı yapıda daha fazla hasara izin verilirse, daha düşük yer hareketi için tasarım yapılabilir. Bu nedenle STA tasarım yer hareketi parametrelerinin geliştirilmesi işleminin de önemli bir parçasını oluşturmaktadır (Kramer 1996).

Tezin bu bölümünde STA hesabı için literatürde kullanılan yöntemler hakkında bilgiler verilmiştir. STA sırasında kullanılan yöntem olan olasılıksal sismik tehlike analizinin (OSTA) tercih edilmesinin nedeni açıklanmıştır. OSTA hesaplamalarında depremin doğası gereği oluşan belirsizlikleri sismik tehlike eğrisi hesabına dahil edebilmek için kullanılan mantık ağacı yaklaşımından bahsedilmiştir. Tez kapsamında yapılan STA'de önceki bölümlerde olduğu gibi, yer hareketi parametresi olarak MYH seçilmiş ve belirli bir zaman aralığında MYH değerinin aşılma olasılığını gösteren sismik tehlike eğrisi OSTA ile elde edilmiştir.

8.1 Sismik Tehlike Analizi

Belli bir yer hareketi parametresinin farklı değerleri için, belirli bir zaman aralığındaki aşılma olasılığını gösteren sismik tehlike eğrileri olasılıksal olarak elde edilmektedir. Sismik tehlike eğrilerinde bir yer hareketi parametresinin (Y), belli büyüklükteki eşik yer hareketi parametresi değerini (y^*) aşma olasılığı $P[Y > y^*]$ ile ifade edilmektedir. $P[Y > y^*]$ ifadesi yıllık aşılma olasılığı olarak ele alınırsa, y^* yer hareketinin ortalama tekrarlanma periyodu $1/P[Y > y^*]$ olarak ifade edilmektedir.

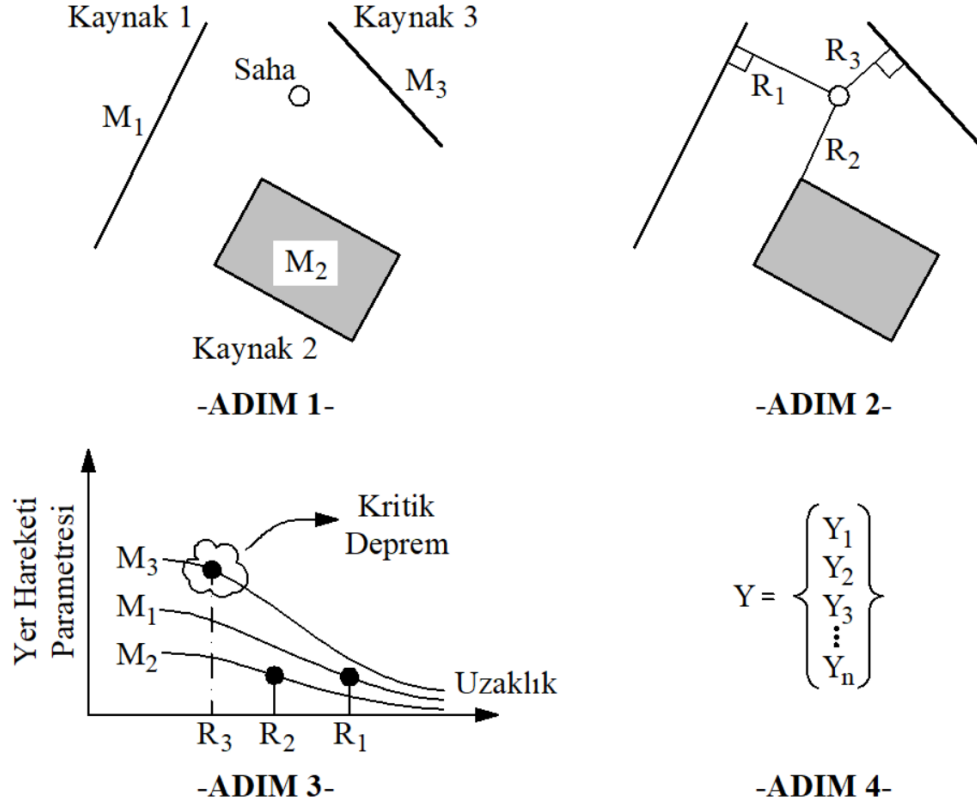
8.2 Sismik Tehlike Analizi Yöntemleri

Bir bölgede gelecekte meydana gelecek belli büyüklükteki deprem olasılığı deterministik sismik tehlike analizi (DSTA) ve olasılıksal sismik tehlike analizi (OSTA) ile elde edilebilmektedir. Bu yaklaşımlardan ilki olan DSTA’nde meydana gelen her bir deprem birbirinden bağımsız olaylar olarak göz önüne alınmaktadır. Bir diğer hesap yöntemi olan OSTA’de ise depremlerin meydana gelme sıklığı ve birbirlerine olan etkileri gibi belirsizlikler hesap modeline dahil edilmektedir. Literatürde yer alan çalışmalarda kullanılan model ve parametre belirsizliklerinin (alansal, boyutsal, zamansal ve diğer belirsizlikler) hesaplarda göz önüne alınmasına nedeniyle OSTA modellerinin DSTA modellerine göre daha uygun olduğu sonucu yer almaktadır (Atkinson ve Goda 2013).

8.2.1 Deterministik Sismik Tehlike Analizi

DSTA ekonomik tasarım açısından yüksek yer hareketini tahmini sağlayan oldukça basit bir STA yöntemidir. Bu nedenle nükleer santral ve baraj yapıları gibi ekonomi gözetilmeyen özel yapıların tasarımı için oldukça güvenli sonuçlar vermektedir. DSTA’nin amacı, bir yapının belli bir zaman aralığında belli bir yer hareketinin aşılma olasılığından ziyade belli bir ya da birkaç senaryo depremin oluşturabileceği en büyük yer hareketi değerini elde edilebilmektedir. Bu nedenle DSTA özellikle OSTA için gerekli yeterli veri olmaması durumunda ve karar aşamalarında daha çok tercih edilmektedir (Babayev ve diğ. 2010). Tipik bir DSTA dört adımdan (Şekil 8.1) meydana gelmektedir (Kramer 1996):

- 1- STA yapılacak bölgede ve çevresinde tehlike oluşturabilecek tüm deprem kaynaklarının geometrileri ile belirlenmesi.
- 2- Bölge ile her bir deprem kaynağı arasındaki mesafenin belirlenmesi (Deprem kaynağı çizgisel ya da alansal kaynak ise en yakın içmerkez ya da dışmerkez uzaklığı).
- 3- Her bir deprem kaynağında meydana gelebilecek olası yer hareketi büyüklüğünün belirlenmesi ve deprem kaynaklarının bölgede oluşturacağı yer hareketlerinin bölge için en uygun azalım ilişkisiyle tahmin edilmesi.
- 4- Bölgede meydana gelen en büyük yer hareketinin belirlenmesi.



Şekil 8.1: Tipik DSTA işlem adımları (Kramer 1996)

Şekil 8.1’de yer alan işlem adımlarından en önemlisi, birinci adımı oluşturan deprem kaynaklarının geometrileri ile belirlenmesi işlemidir. Deprem kaynakları noktasal, iki boyutlu alansal ya da üç boyutlu hacimsel kaynak şeklinde tanımlanabilmektedir. Şekil 8.1’de yer alan 1 ve 3 numaralı kaynak çizgisel kaynağı, 2 numaralı kaynak ise hacimsel kaynağı temsil etmektedir. Gösterilen şekilde DSTA sonucunda bölgede oluşacak en büyük yer hareketini 3 numaralı kaynak oluşturmuştur.

8.2.2 Olasılıksal Sismik Tehlike Analizi

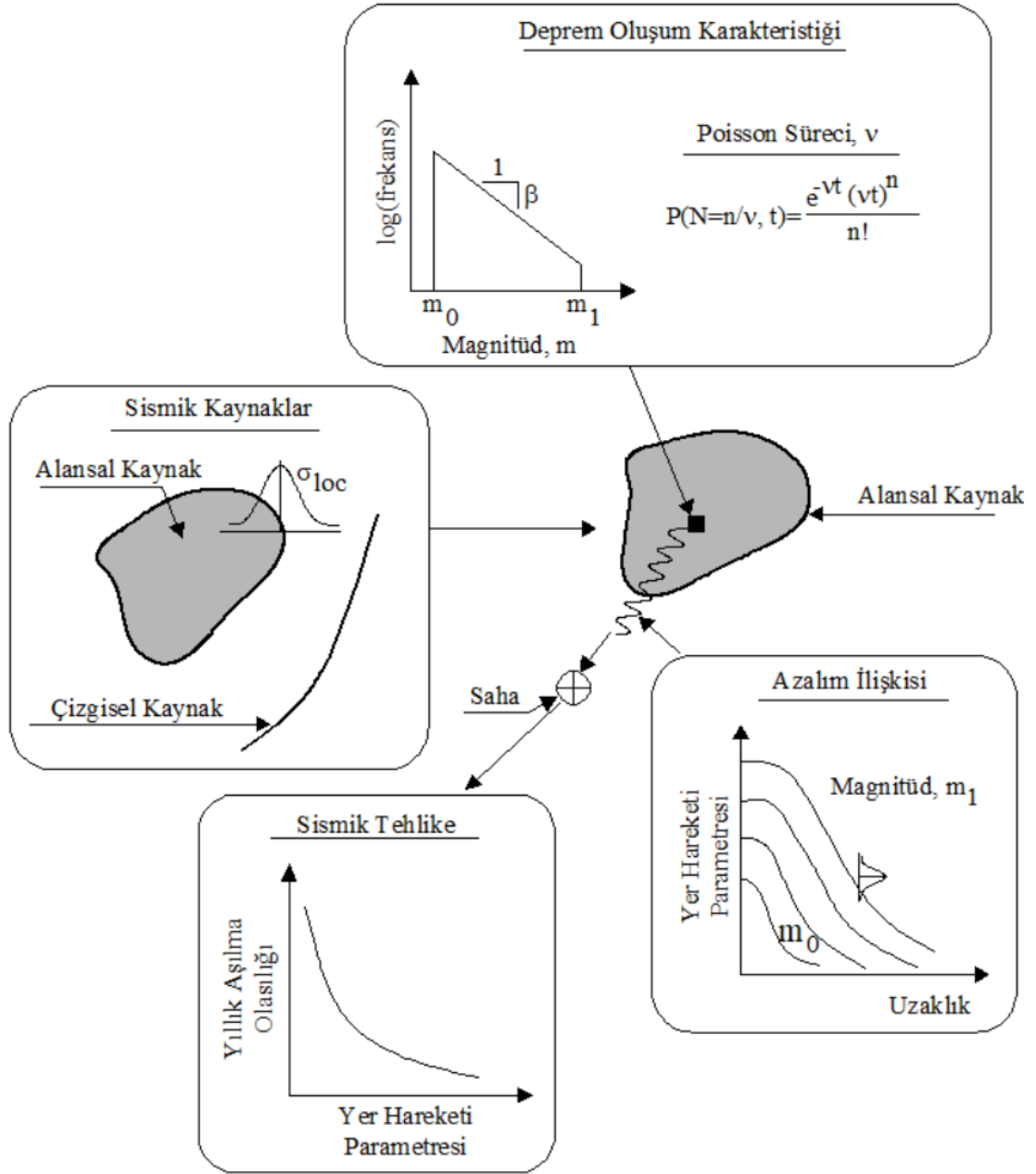
OSTA ilk defa Cornell (1968) tarafından bir bölgenin sismik tehlikesini olasılık dağılımlarına uygun olarak ölçmek için uygulanmıştır. Sismik tehlikenin birkaç sismik senaryoya dayandığı DSTA’nin aksine, OSTA ile gerçekleşmesi muhtemel birçok yer hareketi ve mesafe için olasılık değerleri elde edilebilmektedir.

OSTA ile depremlerin yer, zaman ve büyüklüğündeki rassallık ve kullanılan azalım ilişkilerindeki belirsizlik, sismik tehlike eğrilerinin hesabında göz önüne

alınmaktadır. OSTA ile depremin doğası gereği karşılaşılan birçok belirsizlik de sismik tehlikeyi belirlemede değerlendirilebilmektedir. Tipik bir OSTA işlemi aşağıda görülen aşamalardan meydana gelmektedir (Yüçemen ve Öztürk 2008):

- 1- Bölgeye yakın sismik kaynakların ve özelliklerinin belirlenerek geçmişte meydana gelen yer hareketlerini içeren deprem kataloğunun oluşturulması (Deprem kataloğunda farklı deprem magnitüdü ölçeği cinsinden elde edilen kayıtlar tek bir deprem ölçeğine (genellikle moment magnitüdü- M_w) dönüştürülmelidir).
- 2- Bölgeye ait aktif fay haritasının çıkarılması işlemi (Bölgede yer alan aktif fayların başlangıç ve bitiş koordinatlarının, uzunluğunun, yaşının ve meydana gelen depremlerin geri dönüş periyodunun belirlenmesi vb.).
- 3- Deprem merkez üslerinin dağılımını ve bu noktaların aktif faylara uzaklığını temsil eden sismotektonik haritaların çıkarılması (Noktasal, alansal ya da hacimsel kaynak olarak modellemek).
- 4- Deprem büyüklüğü-sıklık ilişkisi için uygun stokastik modelin seçimi (Genellikle depremlerin zamansal oluşum sürecinde rassallığa dayanan Poisson Modeli ve deprem magnitüdülerinin üssel dağıldığı kabul edilmektedir).
- 5- Bölge için en uygun azalım ilişkilerinin belirlenmesi.
- 6- Farklı deprem kaynaklarının neden olduğu sismik tehlikeyi toplayan hesap algoritmasının belirlenmesi.
- 7- Mantık ağacı ya da istatistiksel testler ile duyarlılık analizleri yapılarak, alternatif varsayımlar ve hesaba katılan belirsizliklerin birleştirilmesi.
- 8- Farklı yer hareketi seviyeleri için aşılma olasılıkları hesaplanarak sismik tehlike eğrilerinin elde edilmesi.

Yukarıda maddeler halinde sıralanan işlemler Şekil 8.2’de şematik olarak gösterilmektedir.



Şekil 8.2: Tipik OSTA işlem adımları (Öztürk 2008)

Tez kapsamında yapılan OSTA’nde deprem kaynaklarındaki alansal belirsizlikler, boyut belirsizliği, kullanılan azalım ilişkilerindeki belirsizlikler, zamansal belirsizlikler göz önüne alınmıştır. Mantık ağacı yöntemi kullanılarak bu belirsizlikler sistematik şekilde değerlendirilmiş ve Denizli için sismik tehlike eğrileri elde edilmiştir. Şekil 8.2’de yer alan OSTA adımları başlıklar halinde sunulmuştur.

8.2.2.1 Deprem Kaynağının Özelliklerinin Belirlenmesi

OSTA'nin ilk adımını oluşturan deprem kaynaklarının belirlenmesi işlemi, DSTA'nde olduğu gibi sahada en büyük yer hareketini oluşturabilecek deprem kaynağı yerine yer hareketi üretebilecek tüm kaynakların belirlenmesi işlemi kapsamaktadır. Bu kaynaklar jeolojik kanıtların değerlendirilmesi ile elde edilebileceği gibi, fay aktiviteleri ve tektonik bulgularla da teşhis edilebilmektedir. Bahsi geçen yöntemlerle de tanımlanamayan deprem kaynakları tarihsel kayıtlar ile elde edilebilmektedir. Deprem kaynaklarının belirlenmesi ve değerlendirilmesinin en güvenilir yolu aletsel kayıtlar ile mümkün olabilmektedir.

Çeşitli yöntemlerle belirlenen deprem kaynakları, elde edilen bilgilerin yeterliliğine bağlı olarak noktasal, çizgisel ya da üç boyutlu kaynak olarak modellenebilmektedir. Başlangıç ve bitiş noktaları birbirine yakın olan ve sahaya olan uzaklığın fay üzerindeki herhangi bir nokta için yaklaşık olarak aynı olduğu kaynaklar, nokta kaynak modeli olarak ele alınmaktadır. Fay üzerindeki noktaların sahaya olan uzaklığının farklılık gösterdiği sığ faylar ise çizgisel kaynak olarak modellenmektedir. Yapılan araştırmalar sonucunda yeterli geometrik bilgiye ulaşılamayan kaynaklar ise hacimsel kaynak olarak modellenmektedir.

Bölge ve çevresinde yer hareketi oluşturma ihtimal olan tüm kaynak modellerinin oluşturulmasının ardından, kaynaklarda geçmişte meydana gelen deprem magnitüdülerinin ve kaynak-saha uzaklıklarının belirlenmesi işlemine geçilmiştir.

8.2.2.2 Deprem Boyutunun Değerlendirilmesi

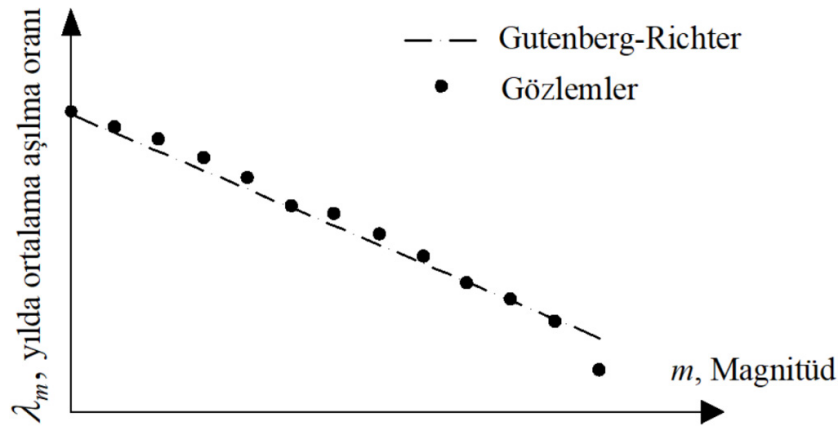
OSTA'nde deprem büyüklüklerinin dönüş periyotlarının hesabı için literatürde farklı stokastik yaklaşımlar mevcuttur (Ellsworth ve diğ. 1999, Schwartz ve Coppersmith 1984). Literatürde bulunan bu yaklaşımlara rağmen depremlerin magnitüdülerinin zamanla dağılımı sıklıkla Gutenberg-Richter tekrarlanma yasası ile tanımlanmaktadır.

Tektonik fayların elastik geri tepme teorisiyle farklı miktarda enerji depolayarak farklı büyüklükte depremler oluşturacağı bilinmektedir (Kramer 1996).

Gutenberg ve Richter (1944) yaptığı çalışmalar sonunda, bir bölgede meydana gelen depremlerin (8.1) ifadesi ile dağılım gösterdiğini belirtmiştir.

$$\log \lambda_m = a - bm \quad (8.1)$$

Denklemden görülen m deprem magnitudünü, λ_m ise m deprem magnitudünün yılda ortalama aşılma oranını temsil etmektedir. Bağlantıda yer alan a ve b sabit olmakla birlikte, 10^a büyüklüğü sıfır ya da sıfırdan büyük depremlerin yıllık ortalama sayısını, b büyük ve küçük depremlerin görece meydana gelme olasılığını ifade etmektedir. Şekil 8.3'te her bir m magnitudü için elde edilen yıllık ortalama aşılma oranlarının Gutenberg-Richter doğrusu üzerindeki dağılımı görülmektedir.



Şekil 8.3: Gözlemlenen depremlerin Gutenberg-Richter doğrusu üzerinde dağılımı

(8.1) ifadesinde yer alan a ve b parametreleri istatistiksel nokta tahmin yöntemleri ile elde edilebilmektedir. Literatürde a ve b parametreleri için en fazla En Küçük Kareler Yöntemi ve En Büyük Olabilirlik Yöntemi kullanılmaktadır. Yüçemen ve Akkaya (2012) standart hata dağılımlarının normal dağılıma uymadığı durumlarda En Büyük Olabilirlik Yönteminin kullanılmasını önermiştir. Yapılan tez çalışmasında ise Gutenberg-Richter parametreleri En Küçük Kareler Yöntemi ile elde edilmiştir.

Standart Gutenberg-Richter bağıntısı (8.2) ile ifade edilebilir:

$$\lambda_m = 10^{a-bm} = e^{[\alpha-\beta m]} \quad (8.2)$$

(8.2)'de yer alan $\alpha = 2.303a$ ve $\beta = 2.303b$ 'dir. Gutenberg-Richter grafiğinde (Şekil 8.3) yer alan yatay magnitud eksenini $-\infty$ ve $+\infty$ arasındaki tüm değerleri

kapsamaktadır. Mühendislik hesaplarında magnitudü küçük depremler çoğunlukla dikkate alınmamaktadır. Bu nedenle (8.2) ifadesinde m_0 magnitudünden küçük depremler göz önüne alınmadığı takdirde, deprem magnitudünün yılda ortalama aşılma oranı (8.3) şeklini almaktadır (McGuire ve Arabasz 1990).

$$\lambda_m = \nu \cdot e^{-\beta(m-m_0)} \quad m > m_0 \quad (8.3)$$

(8.3) bağıntısında m_0 ile alt eşik değeri ifade edilmektedir. Çoğu OSTA'nda alt eşik değeri olarak 4.0 magnitudü alınmaktadır (Kramer 1996). Denklemden yer alan $\nu = e^{(\alpha-\beta m_0)}$ değerini almaktadır. m_0 alt moment eşliğinden büyük depremlere ait kümülatif dağılım fonksiyonu (8.4), olasılık-yoğunluk fonksiyonu ise (8.5) ile ifade edilmektedir.

$$F_M(m) = P[M < m | M > m_0] = 1 - e^{-\beta(m-m_0)} \quad (8.4)$$

$$f_m(m) = \beta \cdot e^{-\beta(m-m_0)} \quad (8.5)$$

Daha önce de belirtildiği gibi, her ne kadar Gutenberg-Richter grafiği için geçerli bir üst magnitud sınırı olmasa da fiziksel kısıtlamalar bu durumu geçersiz kılmaktadır. Bu nedenle m_{mak} üst magnitudü sınırı tanımlanması halinde, yılda ortalama aşılma oranı (8.6) ile ifade edilebilmektedir (McGuire ve Arabasz 1990).

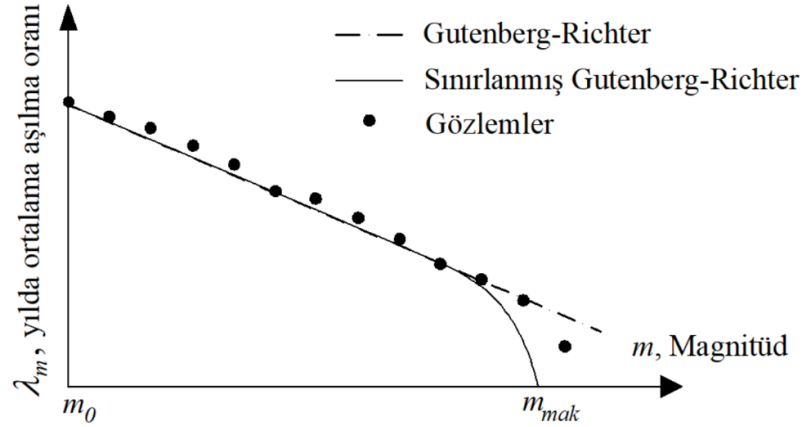
$$\lambda_m = \nu \frac{e^{-\beta(m-m_0)} - e^{-\beta(m_{mak}-m_0)}}{1 - e^{-\beta(m_{mak}-m_0)}} \quad m_0 \leq m \leq m_{mak} \quad (8.6)$$

Üst ve alt magnitudü değerinin (8.4) ve (8.5)'te tanımlanmasıyla kümülatif dağılım fonksiyonu (8.7) bağıntısı, olasılık yoğunluk fonksiyonu ise (8.8) ile elde edilmektedir.

$$F_M(m) = P[M < m | m_0 \leq m \leq m_{mak}] = \frac{1 - e^{-\beta(m-m_0)}}{1 - e^{-\beta(m_{mak}-m_0)}} \quad (8.7)$$

$$f_M(m) = \frac{\beta e^{-\beta(m-m_0)}}{1 - e^{-\beta(m_{mak}-m_0)}} \quad (8.8)$$

(8.6), (8.7) ve (8.8) ifadelerinde yer alan m_{mak} değerinin belirlenmesi için literatürde çok sayıda çalışma bulunmaktadır. Bu bağıntılardan en çok kullanılan Wells ve Coppersmith (1994) tarafından magnitüd büyüklüğünün fay geometrisi ile elde edildiği bağıntılardır. Gutenberg-Richter tekrarlanma yasasında alt ve üst eşik değerlerin tanımlanması ile elde edilen sınırlandırılmış Gutenberg-Richter eğrisi Şekil 8.4'te görülmektedir.



Şekil 8.4: Tipik sınırlandırılmış Gutenberg-Richter eğrisi

Tez kapsamında yapılan OSTA'nde alt eşik değer için moment magnitüdü değeri (M_w) 4.0 olarak belirlenmiştir. Palanci (2014) Denizli Organize Sanayi Bölgesi için yaptığı OSTA'nde, üst eşik için 6.0 ve 7.2 moment magnitüdünü kullanmıştır. Bu çalışmanın yanında Aydan ve diğ. (2001^a, 2001^b) yaptığı çalışmada Denizli havzasında oluşabilecek en büyük moment magnitüdü değerinin 6.0-7.2 olacağını belirtmiştir. Bu nedenle mantık ağacı ile sismik tehlike eğrilerinin hesabında, 3 farklı moment magnitüdü değeri 6.5, 6.8 ve 7.2 ile model oluşturularak deprem büyüklüğündeki belirsizliğin göz önüne alınması amaçlanmıştır.

Gutenberg-Richter parametreleri a ve b OSTA için oluşturulan deprem kataloğundan oldukça etkilenmektedir. Özellikle aletsel kayıtlar ile farklı ölçekte veriler (Richter yerel magnitüdü, yüzey dalgası magnitüdü, cisim dalgası magnitüdü, moment magnitüdü) elde edilmektedir. Bu nedenle elde edilen farklı ölçekteki deprem büyüklükleri tek bir ölçeğe dönüştürülmelidir. Oluşturulan deprem kataloğunda bulunan artçı ve öncü şoklar gibi bağımlı olaylar a ve b parametrelerinde sapma meydana getirmektedir (Merz ve Cornell 1973). Bu nedenle a ve b parametrelerinin

hesabı sırasında yalnızca bağımsız olaylar diğer bir ifade ile anaşoklar dikkate alınmalıdır.

8.2.2.3 Zamansal Belirsizlik

Depremlerin zamansal oluşumunda kullanılan modelleri tarif etmek için öncelikle elastik tepme teorisinin tanımına ihtiyaç duyulmaktadır. Elastik geri tepme teorisi gereğince bir fayda meydana gelen levha hareketleri fay düzlemi boyunca kayma gerilmelerinin birikmesine neden olur. Fay düzleminde bulunan kayaların kayma dayanımına erişmesiyle birlikte biriken enerji boşalır. Elastik tepme teorisi (Reid 1911) komşu faylarda meydana gelen birikme ve boşalma sürecini tanımlamaktadır. Bu nedenle depremlerin zamansal oluşumu için önerilen birçok model elastik tepme teorisi ile uyumluluk göstermektedir. Depremlerin zamansal oluşumunda geçmiş depremlerin hesaba dahil edildiği modellere Markov modelleri (Anagnos ve Kiremidjian 1984), yarı-Markov modelleri (Vere-Jones 1966), yenileme modelleri (Kiremidjian ve Anagnos 1984, Cornell ve Winterstein 1986) ve homojen olmayan Poisson modelleri (Vere-Jones ve Ozaki 1982) örnek gösterilebilir.

Bir bölgenin sismik tehlike hesabında olasılık teorilerini kullanmak için deprem oluşumunun zaman içinde rasgele oldukları varsayımına ihtiyaç duyulmaktadır. Zamanda yapılan bu kabul, STA hesaplarında olasılık teorilerinin kullanımına imkân verirken elastik geri tepme teorisi ile tutarsızlık sergilemektedir (Kramer 1996). Bu nedenle OSTA'nde depremlerin zamandaki oluşumları için Poisson modeli ile tanımlanmaktadır. Poisson modelinin özellikleri aşağıda yer almaktadır (Kramer 1996):

- 1- Bir zaman aralığında meydana gelen depremlerin sayısı, diğer herhangi bir zaman aralığında meydana gelen depremlerin sayısından bağımsızdır.
- 2- Yer hareketinin kısa bir zaman aralığında meydana gelme olasılığı, zaman aralığının uzunluğu ile doğru orantılıdır.
- 3- Belli bir zaman aralığında birden fazla depremin oluşma olasılığı ihmal edilebilir.

Poisson modelinin sıralanan özelliklerine bakıldığında, meydana gelen herhangi bir deprem ile geçmişte yaşanan bir depremin zaman, boyut ve konum açısından ilişkisi yoktur. OSTA'nda belli bir depremin oluş sayısını temsil eden N değişkeninin Poisson olasılığı (8.9) ile ifade edilmektedir.

$$P[N=n] = \frac{(\lambda t)^n e^{-\lambda t}}{n!} \quad (8.9)$$

(8.9)'da yer alan λ ortalama oluş oranını ve t zaman aralığını temsil etmektedir. Poisson modeline göre t zaman aralığında en az bir olayın gözlemlenme olasılığı (8.10) ile ifade edilmektedir.

$$P[N \geq 1] = 1 - e^{-\lambda t} \quad (8.10)$$

Cornell ve Winterstein (1986) yaptıkları çalışmada, belli bir zaman aralığında tek kaynağın baskın olduğu sismik tehlike durumu dışında Poisson modelinin STA'nde oldukça basit ve kullanışlı olduğunu belirtmiştir. Bu nedenle yapılan tez çalışmasında depremlerin zamanda oluşumunu tarif etmek için Poisson modeli kullanılmıştır.

8.2.2.4 Yer Hareketi Tahmin Modeli

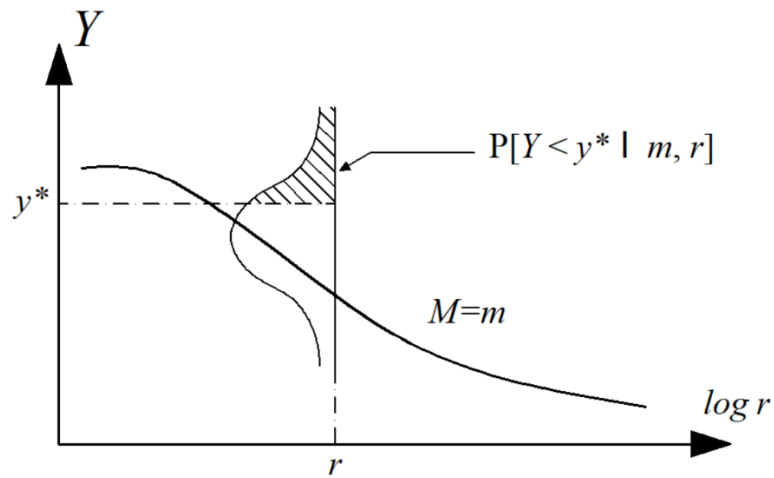
STA'nde deprem kaynağından belli bir uzaklıkta bulunan sahadaki yer hareketi seviyesini tahmin etmek için yer hareketi azalım bağıntıları kullanılmaktadır. Bir kaynakta biriken elastik deformasyon enerjisi boşaldığında sismik dalgalar zemin şartlarına göre azalarak yayılmaktadır. Azalım ilişkileri ise meydana gelen depremin büyüklüğünü (M), depremin derinliğine, deprem oluşum özelliklerine (P_i) ve sahanın deprem kaynağına olan uzaklığını (R) göz önüne alarak sahada meydana gelecek yer hareketi hakkında bilgi vermektedir. (8.11)'de azalım ilişkilerinin genel yapısı görülmektedir.

$$Y = f(M, R, P_i) \quad (8.11)$$

Yer hareketi tahmini için kullanılan birçok ampirik denklem bir bölge için oluşturulan veri setlerinin istatistiksel olarak değerlendirilmesi sonucu elde

edilmektedir. Bu nedenle STA için kullanılacak yer hareketi azalım modelinin sismik tehlikesi hesaplanacak bölgeden elde edilen veri setleri ile çıkarılmış ampirik bağıntılar olmasına dikkat edilmelidir.

Literatürde yer alan azalım ilişkilerinde, kullanılan parametrelerin doğal logaritması olan standart sapma değeri hesaplanmaktadır. Azalım ilişkilerinde yer alan bu belirsizlik OSTA'nda göz önüne alınmaktadır. Şekil 8.5'te belli bir yer hareketi parametresinin r uzaklığında ve m büyüklüğündeki y^* parametresinin aşılma olasılığı görülmektedir.



Şekil 8.5: Yer hareketi parametresinin aşılma olasılığı (Kramer 1996)

Şekil 8.5'te görülen olasılık değeri $P[Y > y^* | m, r]$ değeri (8.12) ile ifade edilmektedir.

$$P[Y > y^* | m, r] = 1 - F_Y(y^*) \quad (8.12)$$

(8.12)'de yer alan $F_Y(y^*)$ değeri m büyüklüğü ve r uzaklığındaki Y değerinin kümülatif yoğunluk fonksiyonu değeridir. Azalım ilişkilerinde genellikle yer hareketi parametrelerinin lognormal dağıldığı varsayılmaktadır.

Literatürde farklı bölgeler için çok sayıda azalım ilişkileri geliştirilmiştir. 2014 yılında DASK ve UDAP tarafından desteklenen “Türkiye Sismik Tehlike Haritasının Güncellenmesi Projesi” kapsamında (UDAP 2014), OSTA yöntemi ile ülke sınırları içinde yer alan alansal ve mekânsal sismik kaynak modelleri ile aşılma olasılıkları elde edilmiş ve sismik tehlike haritaları oluşturulmuştur. Yapılan çalışmalarda ülkenin

sismotektonik yapısı göz önünde bulundurularak kullanılması uygun olan denklemlerden aktif sığ kabuk içi depremler ve dalma-batma bölgelerinde oluşan depremler için uygun yer hareketi tahmin denklemleri belirlenmiştir. Değerlendirmeler sırasında Cotton ve diğ. (2006) ve Bommer ve diğ. (2010) tarafından önerilen ön seçim yöntemleri göz önüne alınmıştır. Yapılan değerlendirmeler sonucunda, sığ kabuk içi depremler ve dalma-batma zonu bölgeleri için 4'er adet olmak üzere toplam 8 adet yer hareketi tahmin denklemi kullanılmıştır. Çalışmada ayrıca Kale ve diğ. (2015) tarafından önerilen denklemin Türkiye için iyi performans göstermesine rağmen raporun hazırlandığı tarih olan 2014 yılında yetişmediği için çalışma kapsamında kullanılmadığı belirtilmiştir. Tablo 8.1'de "Türkiye Sismik Tehlike Haritasının Güncellenmesi Projesi" kapsamında kullanılan tahmin yöntemleri görülmektedir.

Tablo 8.1: UDAP (2014) kapsamında kullanılan yer hareketi tahmin denklemleri

Aktif Sığ Kabuk İçi Bölgeler		Dalma-Batma Zonu Bölgeler	
1	Akkar ve Çağnan (2010)	1	Zhao ve diğ. (2006)
2	Akkar ve diğ. (2014)	2	Atkinson ve Boore (2003)
3	Chiou ve Youngs (2008)	3	Youngs ve diğ. (1997)
4	Zhao ve diğ. (2006)	4	Lin ve Lee (2008)

Yapılan tez çalışmasında UDAP (2014) tarafından yapılan kapsamlı değerlendirmeler de göz önüne alınarak Chiou ve Youngs (2008), Akkar ve diğ. (2014) ve Kale ve diğ. (2015) tarafından önerilen yer hareketi tahmin denklemleri mantık ağacında göz önüne alınmıştır. Denizli'nin OSTA için hazırlanan mantık ağacında azalım denklemleri için ele alınan ağırlık faktörlerine tezin ilerleyen bölümlerinde değinilmiştir.

8.2.2.5 Sismik Tehlike Eğrileri

Sismik tehlike eğrilerinin hesabı için öncelikle OSTA için belirlenen her bir kaynakta yer hareketi parametresinin (Y) belli bir eşik değeri (y^*) aşma olasılığı hesaplanır. Elde edilen aşılma olasılığı kaynakta muhtemel büyüklükteki deprem oluşma ihtimali ile çarpılır. Yapılan işlem tüm kaynaklar ve hesap yapılmak istenen tüm deprem büyüklükleri için tekrarlanarak elde edilen olasılık değerleri toplanır.

Yukarıda anlatılan işlemler sıralanırsa öncelikle belli bir kaynaktaki y^* yer hareketi parametresinin aşılma olasılığı (8.13) ile ifade edilmelidir.

$$P[Y > y^*] = \iint P[Y > y^* | m, r] f_M(m) f_R(r) dm dr \quad (8.13)$$

Bağıntıda yer alan $P[Y > y^* | m, r]$ seçilen yer hareketi tahmin bağıntısından elde edilmektedir. $f_M(m)$ ve $f_R(r)$ sırasıyla deprem büyüklüğünün ve deprem uzaklığının olasılık yoğunluk fonksiyonunu ifade etmektedir.

Tek bir kaynak için ortalama aşılma oranı, (8.13) ile elde edilen aşılma olasılığının, o kaynakta muhtemel deprem büyüklüğünün meydana gelme olasılığı ile çarpılması ile elde edilmektedir. Tek bir kaynak için yapılan işlemlerin KS kaynak için tekrarlanması ve elde edilen değerlerin toplanması durumunda OSTA yapılan bölge için toplam ortalama aşılma oranı elde edilmektedir.

$$\lambda_{y^*} = \sum_{i=1}^{KS} v_i \iint P[Y > y^* | m, r] f_M(m) f_R(r) dm dr \quad (8.14)$$

(8.14)'de yer alan integrallerin analitik hesabının oldukça zor olması nedeniyle ortalama aşılma oranını elde etmek için sayısal integrasyona ihtiyaç duyulmaktadır. Bu nedenle deprem magnitudü N_M ve uzaklık N_R dilimlere bölünürse ortalama aşılma oranı (8.15) ifadesine eşit olmaktadır.

$$\lambda_{y^*} = \sum_{i=1}^{KS} \sum_{j=1}^{N_M} \sum_{k=1}^{N_R} v_i P[Y > y^* | m_j, r_k] P[M=m_j] P[R=r_k] \quad (8.15)$$

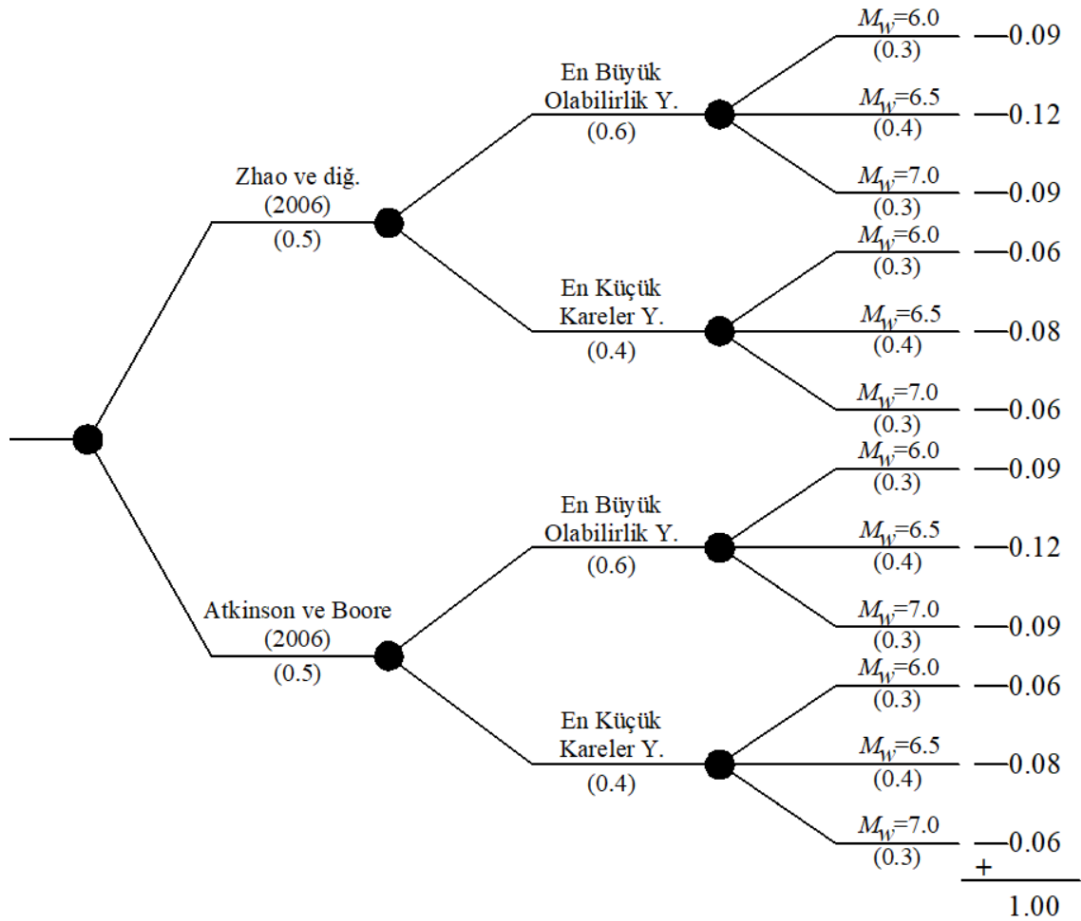
(8.15)'de görülen sayısal integrasyon işlemi N_M ve N_R değerlerinin büyümesiyle birlikte yapılan işlemin doğruluk derecesi ve hesaplamalardaki hassasiyet artmaktadır.

8.2.2.6 Mantık Ağacı Yöntemi

Deprem oluşumundaki belirsizliklerin haricinde yer hareketi tahmin denklemlerindeki rassal değişkenliğin de OSTA'nde hesaba katılması güvenilir

uygulamalar için zorunluluktur (Scherbaum ve diğ. 2005). Bu nedenle OSTA’nda yer hareketi modeli mantık ağacının kullanılmasının amacı epistemik (oluşumu hakkında bilgi eksiliği olan olaylar) belirsizlikleri sismik tehlike hesabında dikkate almaktır (Bommer ve Scherbaum 2008).

Mantık ağacı genel itibari ile farklı belirsizliklerin, farklı ağırlık faktörü değerleriyle hesaba dahil edildiği alternatif hesap modellerini temsil etmektedir. Hesap modelleri farklı ağırlık faktörünün tanımlandığı dallardan ve belirsizlikleri birleştiren düğümlerden meydana gelmektedir. Şekil 8.6’da OSTA için oluşturulan örnek mantık ağacı ve mantık ağacını oluşturan hesap modellerinin göreceli olasılık değerleri görülmektedir.



Şekil 8.6: OSTA için oluşturulan örnek mantık ağacı

Mantık ağacında bir ucun/hesap modelinin göreceli olasılığı, o ucun ve ön dallara tanımlanan ağırlık faktörlerinin çarpımına eşittir. Bir düğüme bağlanan dalların göreceli olasılık değerlerinin toplamının 1 olması gerekir. Şekil 8.6’da görülen mantık

ağacı ile OSTA’nde sırası ile yer hareketi tahmin denklemleri, Gutenberg-Richter parametrelerini (a ve b) ve muhtemel deprem büyüklüğü için 3 farklı model belirsizliği göz önüne alınmıştır. İlk hesap modelinin (Zhao ve diğ. 2006 & En Büyük Olabilirlik Yöntemi & $M_w=6.0$) göreceli olasılığı önceki dalların ağırlık faktörlerinin çarpımı ile ($0.5 \times 0.6 \times 0.3 = 0.09$) elde edilmiştir. Oluşturulan mantık ağacında tüm göreceli olasılık değerlerinin toplamının 1 olduğu Şekil 8.6’da görülmektedir. Şekildeki mantık ağacı ile toplam $2 \times 2 \times 3 = 12$ adet OSTA gerçekleştirilmiştir. Mantık ağacının 12 adet hesap modelinin her biri için OSTA ile elde edilen sismik tehlike değerleri, o dalın göreceli olasılık değeri ile çarpılmış ve tüm hesap modeli elde edilen değerler toplanarak mantık ağacının temsil ettiği bölge için sismik tehlike eğrisi hesaplanmıştır.

Tez kapsamında bölgenin OSTA için oluşturulan mantık ağacı ilerleyen bölümlerde kapsamlı şekilde ele alınacaktır.

8.3 Denizli için OSTA ile Sismik Tehlike Eğrisinin Hesabı

OSTA için anlatılan işlem adımları Denizli/Merkez için tekrarlanmış ve bölgeye ait sismik tehlike eğrisi elde edilmiştir.

8.3.1 Bölgeye ait Deprem Kataloğunun Derlenmesi

OSTA’nin en önemli adımı, bölge için tehdit oluşturabilecek sismik kaynakların belirlenmesi ve bu kaynaklarda meydana gelen deprem özelliklerinin belirlenmesidir. Bu amaçla geçmiş depremlerden alınan aletsel deprem kayıtlarına başvurulmuştur. Bilindiği gibi ülkemizde Afet ve Acil Durum Yönetimi Başkanlığı (AFAD) ve Boğaziçi Üniversitesi Kandilli Rasathanesi ve Deprem Araştırma Enstitüsü (KRDAE) ülke genelinde kendi ölçüm ağı ile geçmiş depremleri sistematik bir şekilde kayıt altında tutmaktadır. Yapılan tez çalışmasında bölgeye ait deprem kataloğu AFAD veri tabanından (<https://deprem.afad.gov.tr/depremkatalogu>) elde edilen depremlerle oluşturulmuştur.

Bölgeye ait deprem kataloğunun derlenmesi için öncelikle yapılan değerlendirmelerle 37.78° N enlemi ve 29.08° E boylamı merkez seçilerek $R=200$ km

yarıçapında dairesel alan belirlenmiştir. AFAD veri tabanı kullanılarak 01/01/1900-18/07/2018 tarihleri arasında meydana gelen farklı magnitüd ölçeğindeki deprem kayıtlarının lokasyonu belirlenmiştir. Şekil 8.7’de Denizli/Merkez noktası ve seçilen dairesel alanda yer alan diri faylar görülmektedir.



Şekil 8.7: OSTA için seçilen Denizli/Merkez noktası ve R=200 km alanda bulunan diri faylar

Bölge için oluşturulan deprem kataloğunda cisim dalgası (M_b), süre magnitüdü (M_d), Richter yerel magnitüdü (M_l), yüzey dalgası magnitüdü (M_s) ve moment magnitüdü (M_w) olmak üzere 5 farklı deprem büyüklüğü cinsinden ifade edilen depremler yer almaktadır. OSTA’nde depremlerin dönüş periyodunun hesabı için moment büyüklüğü alt eşik değerine ihtiyaç duyulmaktadır. Bu durumda da deprem kataloğunda yer alan farklı ölçekteki deprem büyüklüklerinin her biri için farklı alt eşik değer tanımlanması gerekmektedir. Deprem büyüklüğü için kullanılan diğer ölçeklerin aksine moment magnitüdü ölçeğinin (M_w) deprem kaynağında meydana gelen sismik momenti temel alması ve doygunluk problemi olmayan (Hanks ve Kanamori 1979) tek magnitüd ölçeği olması nedeniyle farklı ölçeklerde elde edilen deprem büyüklüklerinin ampirik denklemler ile M_w ’ye dönüştürülmesi gerekmektedir. Literatürde farklı deprem ölçeklerinin dönüşümü için birçok ampirik bağıntı önerilmiştir. Bu bağıntılara Popescu ve diğ. (2003), Ulusay ve diğ. (2004), Castellaro

ve diğ. (2006) ve Deniz ve Yüçemen (2010) tarafından yapılan çalışmalarda ulaşılabilir.

Denizli için oluşturulan deprem kataloğunda farklı ölçekte yer alan aletsel kayıtlar için UDAP (2014) raporunda önerilen dönüşüm bağıntıları kullanılmıştır. UDAP (2014) çalışması kapsamında, Harvard deprem kataloğu M_w ölçeği için referans alınarak diğer kataloglarda farklı ölçeklerde (M_b , M_d , M_l , M_s) yer alan depremler eşleştirilmiştir. Ortogonal Regresyon ve En Küçük Kareler yöntemleri ile ampirik dönüşüm bağıntıları elde edilmiş ve iki yöntem arasında karşılaştırılmalar yapılmıştır. Yapılan değerlendirmeler sonucunda M_s - M_w dönüşümleri için Ortogonal Regresyon, diğer dönüşümler (M_b - M_w , M_l - M_w , M_d - M_w) için En Küçük Kareler yöntemi ile elde edilen ampirik dönüşüm bağıntıları önerilmiştir. Deprem kataloğunda M_s - M_w dönüşümü için kullanılan dönüşüm bağıntısı (8.16) ile ifade edilmektedir.

$$M_w=0.5716(\pm 0.025)M_s+2.4980(\pm 0.117) \quad 3.4 \leq M_s \leq 5.4 \quad (8.16)$$

$$M_w=0.8126(\pm 0.035)M_s+1.1723(\pm 0.208) \quad M_s \geq 5.5$$

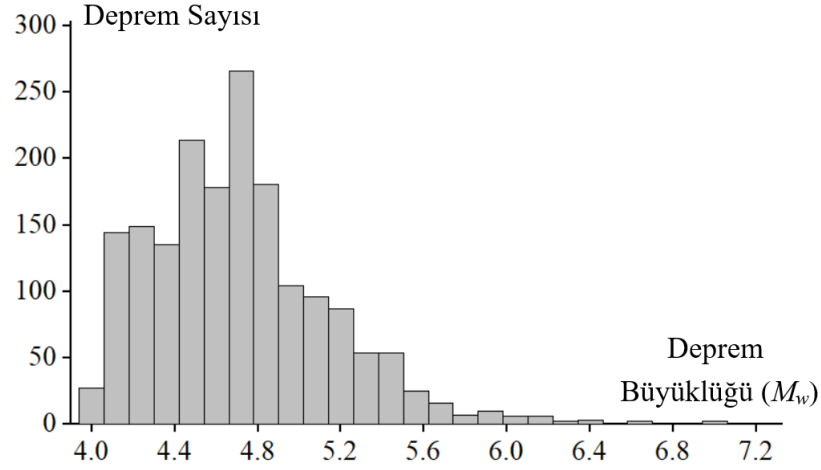
Deprem kataloğunda yer alan diğer ölçekler için kullanılan dönüşüm bağıntıları (8.17), (8.18) ve (8.19)'da görülmektedir.

$$M_w=1.0319(\pm 0.025)M_b+0.0223(\pm 0.130) \quad 3.9 \leq M_b \leq 5.8 \quad (8.17)$$

$$M_w=0.7947(\pm 0.033)M_d+1.3420(\pm 0.163) \quad 3.5 \leq M_d \leq 5.0 \quad (8.18)$$

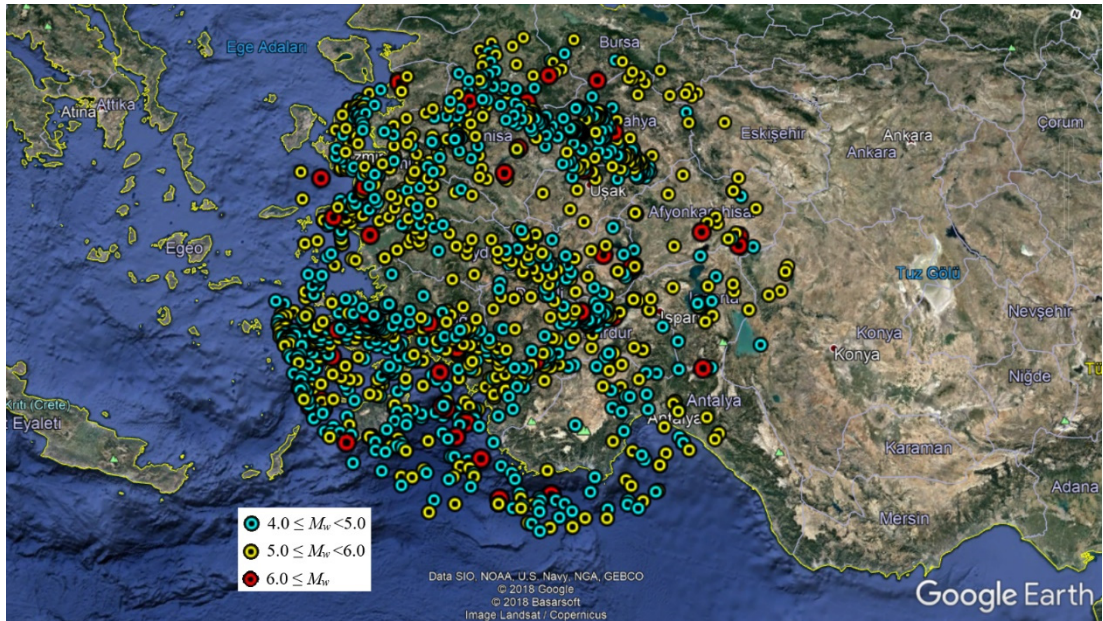
$$M_w=0.8095(\pm 0.031)M_l+1.3003(\pm 0.154) \quad 3.3 \leq M_l \leq 5.3 \quad (8.19)$$

Denizli için oluşturulan deprem kataloğundaki farklı ölçeklerin M_w ölçeğine dönüştürülmesinin ardından deprem kataloğunda $M_w < 4.0$ olan depremler elenmiştir. Şekil 8.8'de Denizli'nin OSTA için oluşturulan deprem kataloğundaki depremlerin deprem büyüklüğüne (M_w) göre sayısal dağılımı görülmektedir.



Şekil 8.8: Deprem kataloğundaki depremlerin deprem büyüklüğüne göre dağılımı

Şekil 8.8’de Denizli için oluşturulan deprem kataloğunda farklı ölçeklerin M_w ’ye dönüştürülmesiyle elde edilen toplam 1769 adet depremin deprem büyüklüğüne göre dağılımı görülmektedir. Önceki bölümlerde de bahsedildiği üzere deprem büyüklükleri üssel dağılım göstermektedir. OSTA için oluşturulan deprem kataloğu Tablo F.1’de, tez kapsamında ele alınan TDY1975 ve TDY1998 binalarının OSTA bölgesindeki konumu Şekil F.1’de verilmiştir. Şekil 8.9’da deprem kataloğunda yer alan $M_w \geq 4.0$ depremlerin OSTA bölgesindeki konumu görülmektedir.



Şekil 8.9: Deprem kataloğundaki depremlerin bölgedeki dağılımı

Şekil 8.9’da görülen depremler öncü, artçı ve anaşokların tamamını kapsamaktadır. OSTA’nde öncü ve artçı şoklar gibi bağımlı olayların Gutenberg-

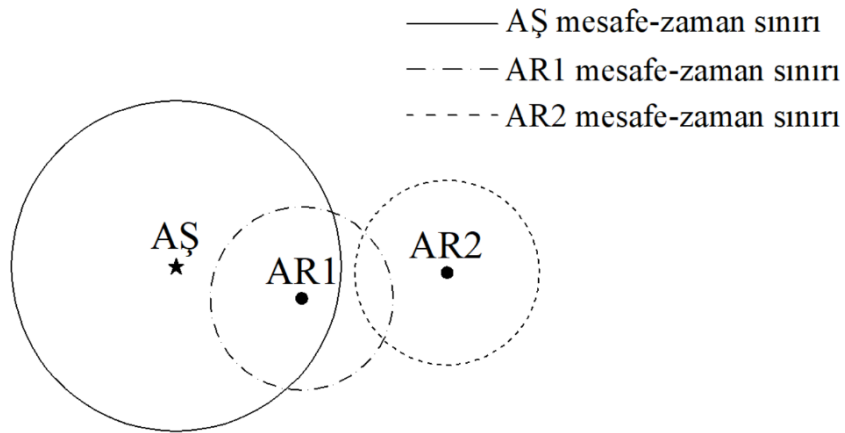
Richter parametrelerinde sapmalar meydana getirdiğine daha önce değinilmiştir. Bu nedenle oluşturulan deprem kataloğundan öncü ve artçı şokların belirlenmesi (kümesizleştirme işlemi) gerekmektedir. Literatürde öncü ve artçı şokların belirlenmesi için birçok hesap yöntemi bulunmaktadır. Pencere yönteminde (uzaklık-zaman) anaşok büyüklüğüne bağlı olarak hesaplanan mesafe ve zaman sınırları içinde kalan ve en büyük depremden önce meydana gelen depremler öncü, sonra meydana gelen depremler ise artçı şok olarak tanımlanmaktadır (Deniz 2006). Pencere yaklaşımının en olumsuz yanı sadece öncü ve artçı şokların anaşoka sadece zamansal ve uzaklık açısından bağlı olmasıdır (UDAP 2014). Gardner ve Knopoff (1974) tarafından önerilen yöntem de bir çeşit pencere yöntemidir. Önerilen yöntemde uzaklık bağıntısı (8.20)'de, zaman bağıntısı ise (8.21)'de yer almaktadır.

$$R=10^{(0.1238M_w+0.983)} \quad (8.20)$$

$$\tau=10^{(0.032M_w+2.7389)} \quad M_w \geq 6.50 \quad (8.21)$$

$$\tau=10^{(0.5409M_w-0.547)} \quad M_w < 6.50$$

Pencere yönteminden farklı olarak küme-link yönteminde (Reasenberg 1985) öncü ve artçı şokların etki alanları içerisindeki depremleri de göz önüne alarak onları da artçı şok olarak tanımlamaktadır. Bu yöntemin en olumsuz yanı, yöntem Poisson modeline dayalı olması nedeniyle bazı artçı şokları tespit edememektedir (Shlien ve Toksöz 1970). Kümesizleştirme yönteminde yapılan işlemler Şekil 8.10 ile gösterilmiştir.

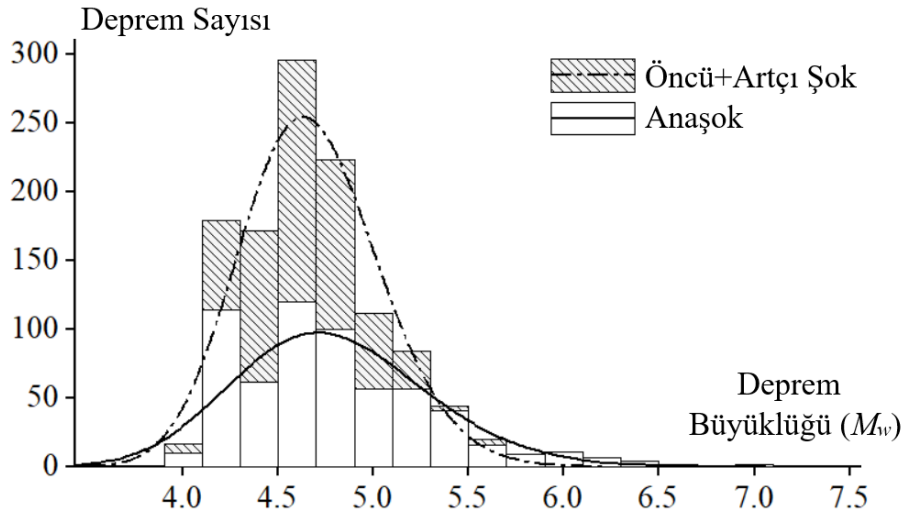


Şekil 8.10: Pencere yöntemi ile kümesizleştirme işlemi

Pencere yöntemi ile küme-link yöntemi karşılaştırılırsa; pencere yönteminde AŞ anaşokunun tetiklediği AR1 artçı depremi tespit edilebilirken, AR1 artçı şokunun tetiklediği AR2 artçı depremi tespit edilememektedir. Küme-link yönteminde ise AR1'in sebep olduğu AR2 artçı depremi göz önüne alınmaktadır.

Yapılan tez çalışmasında UDAP (2014) raporları göz önüne alınmıştır. Söz konusu raporda Gardner-Knopoff (1974) yöntemi ile hesaplanan öncü ve artçıların deprem yüzey kırığı ile daha iyi örtüştüğü, belirlenen öncü ve artçı depremlerin ana depremle ilişkilendirilmesinin doğru olduğu sonucuna varılmıştır. Bu nedenle Denizli deprem kataloğundaki kümesizleştirme çalışması için (8.20) ve (8.21) bağıntılarının önerildiği Gardner-Knopoff (1974) yöntemi kullanılmıştır.

Bölge için yapılan kümesizleştirme işlemi ile deprem kataloğunda bulunan 1769 adet depremden 613 adet anaşok ve 1156 adet öncü+artçı şok tespit edilmiştir. Şekil 8.11'de bölge için oluşturulan deprem kataloğundaki anaşok ve öncü+artçı şokların M_w 'ye göre dağılımı görülmektedir.



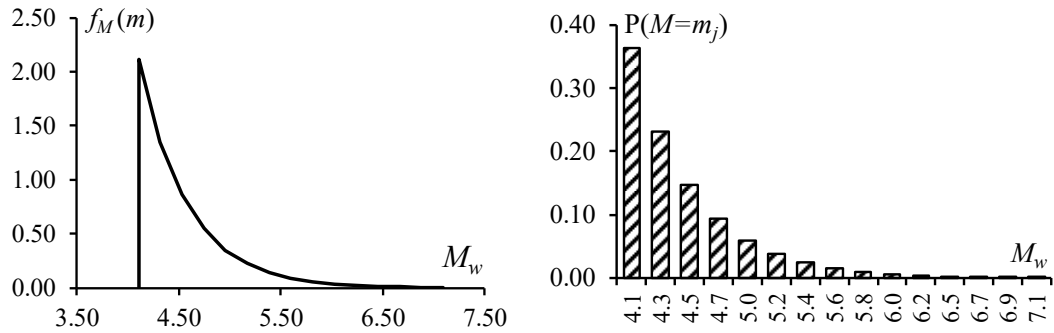
Şekil 8.11: Deprem kataloğundaki anaşok ve öncü+artçı şokların dağılımı

Şekil 8.11'e bakıldığında deprem kataloğunu oluşturan anaşok ve öncü+artçı şokların üssel dağılım gösterdiği ve deprem kataloğundaki öncü+artçı şokların orta büyüklükteki depremlerdeki frekansının yüksek olduğu görülmektedir. Katalogda yer alan anaşokların saçılımı öncü+artçı şoklara göre nispeten daha fazladır.

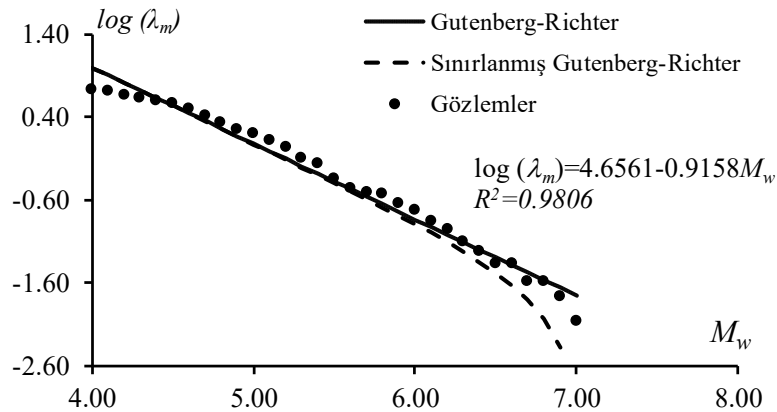
8.3.2 Bölgenin Deprem Yineleme Modeli

Denizli'nin OSTA için mantık ağacında kullanılmak üzere iki farklı deprem yineleme ilişkisi elde edilmiştir. İlk yineleme modelinde Gutenberg-Richter parametreleri deprem kataloğundaki 613 adet anaşok için elde edilirken diğer yineleme modelinde aynı parametreler tüm depremler için elde edilmiştir.

Yineleme modeli hesabında öncelikle 01/01/1900-18/07/2018 tarihleri arasında (118 yıllık periyot) meydana gelen depremlerin kümülatif aşılma sayıları elde edilmiştir. Sınırlanmış Gutenberg-Richter parametrelerinin magnitüd alt eşik değeri (m_0) $M_w=4.0$, magnitüd üst eşik değeri (m_{mak}) ise $M_w=7.0$ olarak belirlenmiştir. Bu iki değer 0.1 aralıklarla bölünerek toplam 31 magnitüd değeri için yılda aşılma oranları (λ_m) belirlenmiştir. Elde edilen aşılma oranları kullanılarak En Küçük Kareler Yöntemi ile Gutenberg-Richter parametreleri (a ve b) elde edilmiştir. Anaşokların yineleme ilişkileri için elde edilen grafikler Şekil 8.12 ve Şekil 8.13'te görülmektedir.

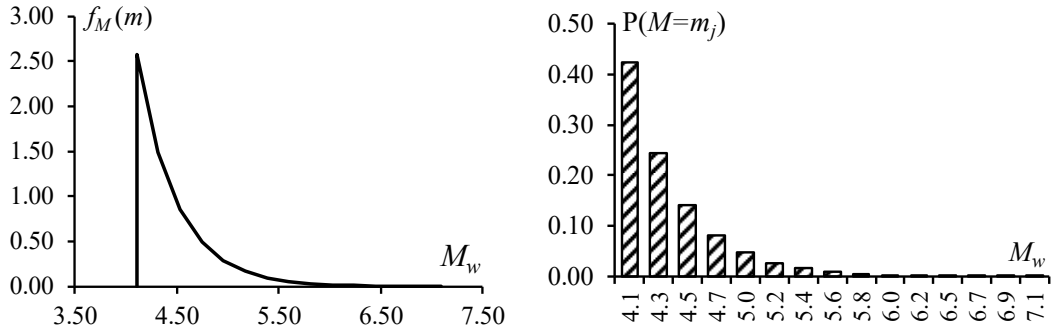


Şekil 8.12: Anaşoklara ait Sınırlanmış Gutenberg-Richter fonksiyonları (solda: sürekli olasılık yoğunluk fonksiyonu, sağda: kesikli olasılık değerleri)

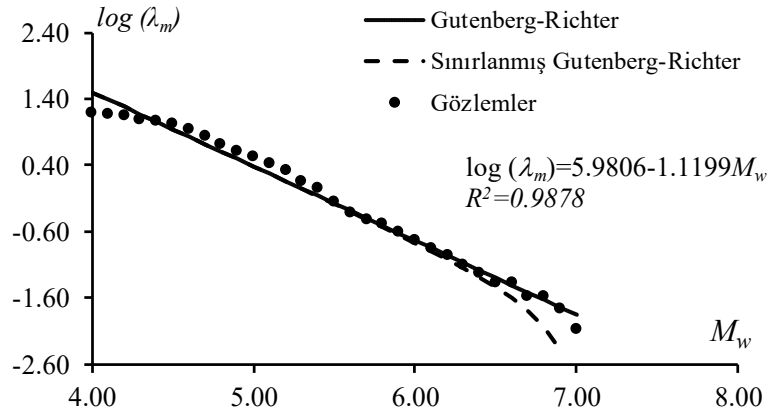


Şekil 8.13: Deprem kataloğunda bulunan anaşoklar için elde edilen yineleme ilişkisi

Şekil 8.13'e bakıldığında deprem kataloğundaki anaşokların Gutenberg-Richter parametreleri regresyon analizi ile $a=4.6541$ ve $b=-0.9158$ olarak elde edilmiştir. Anaşoklar için yapılan işlemler deprem kataloğunun tümü için tekrarlanarak Gutenberg-Richter parametreleri yeniden elde edilmiştir. Deprem kataloğundaki depremlerin tümü için yapılan işlemler sonucu elde edilen grafikler Şekil 8.14 ve Şekil 8.15'te görülmektedir.



Şekil 8.14: Deprem kataloğundaki tüm depremlere ait Sınırlanmış Gutenberg-Richter fonksiyonları (solda: sürekli olasılık-yoğunluk fonksiyonu, sağda: kesikli olasılık değerleri)



Şekil 8.15: Tüm depremler için elde edilen yineleme ilişkisi

Şekil 8.15'te deprem kataloğundaki tüm depremler için elde edilen Gutenberg-Richter parametrelerinden $a=5.9806$ ve $b=-1.1199$ olarak elde edildiği görülmektedir. Tüm depremler için elde edilen a ve b parametrelerinin sadece anaşoklar için elde edilen değerlerden yüksek olduğu görülmektedir. Tezin önceki bölümlerinde de bahsedildiği gibi 10^a parametresi Denizli'de sıfırdan büyük depremlerin yıllık ortalama sayısını, b değeri küçük ve büyük depremlerin göreceli meydana gelme olasılıklarını ifade etmektedir.

8.3.3 Bölge için Kullanılan Yer Hareketi Tahmin Denklemleri

Tezin bu bölümünde Denizli'nin OSTA için oluşturulan mantık ağacında kullanılmak üzere seçilen yer hareketi tahmin denklemlerine yer verilmiştir. Daha önceki bölümlerde de açıklandığı üzere bölgede oluşacak MYH hesabında aktif sığ kabuk içi tektonik bölgeleri temsilen Chiou ve Youngs (2008), Akkar ve diğ. (2014) ve Kale ve diğ. (2015) tarafından önerilen denklemler kullanılmıştır.

Demirtaş ve diğ. (2000) yaptığı çalışmada Denizli ve çevresinde deprem üreten fayların eğim atımlı normal faylar olduğunu belirtmiştir. Bu nedenle yer hareketi tahmin denklemlerinde normal faylanmanın özellikleri dikkate alınarak faylanmanın eğim açısı (δ) 55° , faylanmanın kayma açısı (λ) -90° , kaynak-saha açısı 50° olarak göz önüne alınmıştır. Zeminin kayma dalgası hızı (V_{s30}) 760 m/s olarak belirlenmiştir.

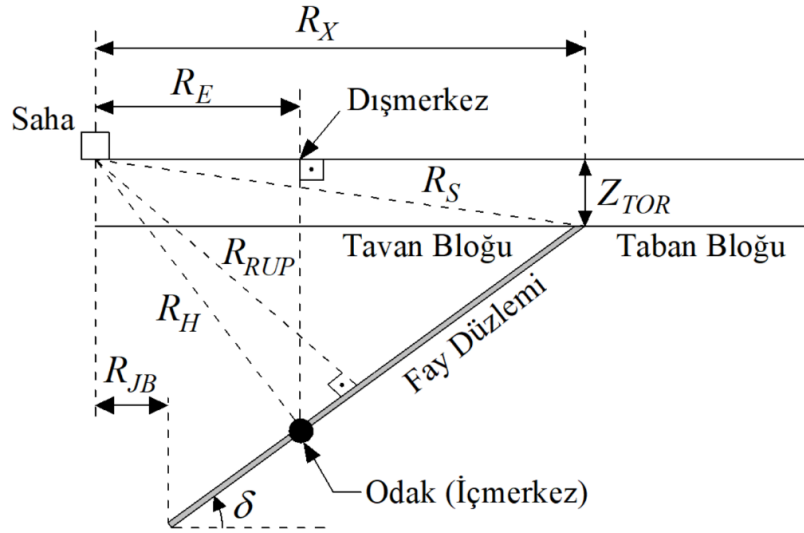
8.3.3.1 Chiou ve Youngs (2008) Azalım İlişkisi

Chiou ve Youngs (2008) tarafından önerilen yer hareketi tahmin denklemleri (CY08) PEER "Pasific Earthquake Engineering Reseach Center" kuvvetli yer hareketi veri tabanından elde edilen 173 depreme ait 3551 kayıttan türetilmiştir. Çalışmada önerilen fonksiyonlar (8.22) ve (8.23)'te görülmektedir.

$$\begin{aligned} \ln(y_{ref_{ij}}) = & c_1 + [c_{1a}F_{Rvi} + c_{1b}F_{NMi} + c_7(Z_{TORi} - 4)](1 - AS_i) \\ & + [c_{10} + c_{7a}(Z_{TORi} - 4)]AS_i + c_2(M_i - 6) + \frac{c_2 - c_3}{c_n} \ln(1 + e^{c_n(c_M - M_i)}) \\ & + c_4 \ln[R_{RUPij} + c_5 \cosh\{c_6 \max(M_i - c_{HM}, 0)\}] \\ & + (c_{4a} - c_4) \ln\left(\sqrt{R_{RUPij}^2 + c_{RB}^2}\right) \\ & + \left\{c_{71} + \frac{c_{72}}{\cosh[\max(M_i - c_{73}, 0)]}\right\} R_{RUPij} \\ & + c_9 F_{HWij} \tanh\left(\frac{R_{Xij} \cos^2 \delta_i}{c_{9a}}\right) \left\{1 - \frac{\sqrt{R_{JBij}^2 + Z_{TORi}^2}}{R_{RUPij} + 0.001}\right\} \end{aligned} \quad (8.22)$$

$$\begin{aligned}
\ln(y_{ij}) = & \ln(y_{ref_{ij}}) + \phi_1 \min\left(\ln\left(\frac{V_{s30j}}{1130}\right), 0\right) \\
& + \phi_2 \left\{ e^{\phi_3(\min(V_{s30j}, 1130) - 360)} - e^{\phi_3(1130 - 360)} \right\} \ln\left(\frac{y_{ref_{ij}} e^{\eta_i + \phi_4}}{\phi_4}\right) \\
& + \phi_5 \left(1 - \frac{1}{\cosh[\phi_6 \max(0, Z_{1.0} - \phi_7)]} \right) + \frac{\phi_8}{\cosh[0.15 \max(0, Z_{1.0} - 15)]} \\
& + \eta_i + \varepsilon_{ij}
\end{aligned} \tag{8.23}$$

(8.22) ve (8.23) ifadesinde M_i moment magnitudünü, V_{s30j} 30 m derinlikteki kayma dalgası hızını, F_{RVi} ve F_{NMI} sırası ile ters ve normal faylanma parametresini, F_{HW} aslı tavan bloğu parametresini, AS_i anaşok ve öncü+artçı şoklar için tanımlanan katsayıyı ifade etmektedir. Bağlantılarda yer alan uzunluk tanımlamalarını daha iyi açıklayabilmek için deprem kaynağında kullanılan notasyonlar Şekil 8.16'da gösterilmiştir (FHWA 1998).



Şekil 8.16: Uzunluk tanımlamaları için kullanılan notasyon

Şekil 8.16'da görüldüğü gibi R_{Xij} kopma düzleminin üst kenarı ile saha arasındaki yatay mesafeyi, R_{RUPij} fay düzlemine olan en yakın mesafeyi, R_{JBij} Joyner-Boore uzunluğu olarak da bilinen kopma düzleminin dikey izdüşümüne en yakın yatay mesafeyi, δ_i faylanmanın eğim açısını, Z_{TORi} kopma düzleminin üst kenarının derinliğini ve $Z_{1.0}$ ise fay düzleminde kayma dalgası hızının 1.0 km/s olduğu derinliği ifade etmektedir. Bağlantılarda yer alan MYH için periyottan bağımsız ve bağımlı

model katsayıları Tablo 8.2 ve Tablo 8.3'te, zemin davranışı için model katsayıları ise Tablo 8.4'te görülmektedir.

Tablo 8.2: CY08 azalım ilişkisinde periyottan bağımsız model katsayıları

c_2	c_3	c_4	c_{4a}	c_{RB}	c_{HM}	$c_{\gamma 3}$
1.06	3.45	-2.1	-0.5	50	3	4

Tablo 8.3: CY08 azalım ilişkisinde periyota bağımlı model katsayıları

c_1	c_{1a}	c_{1b}	c_n	c_M	c_5	c_6
2.2884	0.1094	-0.0626	1.648	4.2979	5.17	0.4407
c_7	c_{7a}	c_9	c_{9a}	c_{10}	$c_{\gamma 1}$	$c_{\gamma 2}$
0.0207	0.0437	0.3079	2.669	-0.1166	-0.00275	-0.00625

Tablo 8.4: CY08 azalım ilişkisinde zemin davranışı model katsayıları

ϕ_1	ϕ_2	ϕ_3	ϕ_4	ϕ_5	ϕ_6	ϕ_7	ϕ_8
-0.7861	-0.0699	-0.0084	5.41	0.2899	0.0067	459	0.1138

CY08 modelindeki rastgele hatalar kaynak (η_i), uzaklık (ε_{Pij}), zemin (ε_{Sj}) ve diğer model hataları (ε_{Xij}) olmak üzere 4 farklı bağımsız bileşenden meydana gelmektedir. Bu hataların birinci bileşeni olan η_i , rastgele deprem etkisini temsil etmektedir (Brillinger ve Preisler 1984; Abrahamson ve Youngs 1992). Rasgele deprem etkisi katsayısının sıfır ortalama ve τ standart sapma ile normal dağıldığı varsayılmaktadır. Diğer üç hata birleştirilip ε_{ij} ile temsil edilerek, yine sıfır ortalama ve σ standart sapma ile normal dağıldığı varsayılmaktadır. Rastgele hata bileşenlerine ait standart sapma bağıntıları (8.24), (8.25) ve (8.26) ile elde edilmektedir.

$$\sigma = \left[\sigma_1 + \frac{\sigma_2 - \sigma_1}{2} (\min\{\max(M_i, 5), 7\} - 5) + \sigma_4 AS \right] \quad (8.24)$$

$$\times \sqrt{(\sigma_3 F_{Inferred} + 0.7 F_{Measured} + (1 + NL)^2)}$$

$$NL = \left(b \frac{y_{ref} e^{\eta}}{y_{ref} e^{\eta + c}} \right) \quad (8.25)$$

$$\tau = \tau_1 + \frac{\tau_2 - \tau_1}{2} \times [\min\{\max(M_i, 5), 7\} - 5] \quad (8.26)$$

Bağıntılarda yer alan varyans modeline ait katsayılar Tablo 8.5'te görülmektedir. (8.24)'de yer alan $F_{Inferred}$ ve $F_{Measured}$ V_{s30} kayma dalgası hızının belirlenmesine ait katsayılardır.

Tablo 8.5: CY08 azalım ilişkisinde varyans modeline ait model katsayıları

τ_1	τ_2	σ_1	σ_2	σ_3	σ_4
0.2539	0.2381	0.4496	0.3554	0.7504	0.0133

Chiou ve Youngs (2008) tarafından önerilen yer hareketi tahmin denklemlerini kullanabilmek için zemin ve fay özelliklerini tanımlayan birçok parametreye ihtiyaç duyulmaktadır. Bu durum oldukça karmaşık yapıya sahip denklemlerin kullanımını zorlaştırmaktadır. Kaklamanos ve diğ. (2011) yaptıkları çalışma ile yer hareketi azalım denklemlerinde yer alan parametrelerin tahmini için birçok bağıntı önermiştir. Yapılan tez çalışmasında Chiou ve Youngs (2008) denklemlerinde yer alan parametreleri kullanabilmek için Kaklamanos ve diğ. (2011) tarafından önerilen bağıntılardan yararlanılmıştır.

8.3.3.2 Akkar, Sandıkkaya ve Bommer (2014) Azalım İlişkisi

Akkar ve diğ. (2014) Avrupa ve Orta Doğu'dan elde ettiği 221 depreme ait 1041 aletsel veriyi kullanarak bu yer hareketi tahmin denklemini (ASB14) elde etmiştir. Önerilen denklemde doğrusal olmayan zemin büyütme etkileri de göz önüne alınmıştır. Çalışmada önerilen bağıntılar (8.27), (8.28) ve (8.29)'da görülmektedir.

$$\ln(Y) = \ln[Y_{REF}(M_w, R, SoF)] + \ln[S(V_{s30}, PGA_{REF})] + \varepsilon\sigma \quad (8.27)$$

$$\ln(Y_{REF}) = \begin{cases} a_1 + a_2(M_w - c_1) + a_3(8.5 - M_w)^2 + [a_4 + a_5(M_w - c_1)] \ln\left(\sqrt{R^2 + a_6^2}\right) \\ + a_8 F_N + a_9 F_R & ; & M_w \leq c_1 \\ a_1 + a_7(M_w - c_1) + a_3(8.5 - M_w)^2 + [a_4 + a_5(M_w - c_1)] \ln\left(\sqrt{R^2 + a_6^2}\right) \\ + a_8 F_N + a_9 F_R & ; & M_w > c_1 \end{cases} \quad (8.28)$$

$$\ln(S)= \begin{cases} b_1 \ln(V_{s30}/V_{REF}) + b_2 \ln \left[\frac{PGA_{REF} + c(V_{s30}/V_{REF})^n}{(PGA_{REF} + c)(V_{s30}/V_{REF})^n} \right] & ; V_{s30} \leq V_{REF} \\ b_1 \ln \left[\frac{\min(V_{s30}, V_{CON})}{V_{REF}} \right] & ; V_{s30} > V_{REF} \end{cases} \quad (8.29)$$

ASB14 yer hareketi tahmin fonksiyonunda σ ile standart sapma, ε ile medyan değerinin altındaki veya üstündeki standart sapma sayısı ifade edilmektedir. (8.27) ile ifade edilen yer hareketi tahmin denkleminde doğrusal olmayan zemin büyütme etkileri $\ln(S)$ ile göz önüne alınmaktadır. (8.28)'da yer alan F_N ve F_R sırasıyla normal ve ters fayları tanımlamak için kullanılmakla birlikte “1” ya da “0” değerini almaktadır. Çalışmada doğrusal olmayan zemin modeli için referans V_{s30} kayma dalgası hızı $V_{REF}=750$ m/s ve V_{s30} kayma dalgası hızını sınırlandıran üst limit $V_{CON}=1000$ m/s olarak önerilmiştir. (8.29)'da yer alan referans MYİ (PGA_{REF}) ve MYH (PGV_{REF}) değerleri (8.28) bağıntısı ile elde edilmektedir. ASB14 modelinde periyota bağımlı ve periyottan bağımsız MYH model katsayıları Sandıkkaya ve diğ. (2013) tarafından yapılan çalışmadan uyarlanmıştır.

Tablo 8.6: ASB14 azalım ilişkisinde periyottan bağımsız model katsayıları

a_2	a_5	a_6	a_7	c_1	c	n
0.0029	0.2529	7.5	-0.5096	6.75	2.5	3.2

Tablo 8.7: ASB14 azalım ilişkisinde periyota bağımlı model katsayıları

a_1	a_3	a_4	a_8	a_9
5.61201	-0.0998	-0.98388	-0.0616	0.063
b_1	b_2	ϕ	τ	σ
-0.72057	-0.19688	0.6014	0.3311	0.6865

ASB14 yer hareketi tahmin denklemleri deprem kaynağı için yapılabilecek 3 farklı uzaklık tanımı için kullanılabilir. Bu nedenle çalışmada periyota bağımlı MYH model katsayıları (Tablo 8.7) 3 farklı uzaklık tanımı (R_E , R_H ve R_{JB}) için yer almaktadır. Yapılan tez çalışmasında uzaklık tanımı için R_{JB} (bkz. Şekil 8.16) kullanılmıştır. Bu nedenle Tablo 8.7'de yer alan katsayılar R_{JB} için verilmiştir.

8.3.3.3 Kale, Akkar, Ansari ve Hamzehloo (2015) Azalım İlişkisi

Kale ve diğ. (2015) tarafından önerilen yer hareketi tahmin denklemi, (KAAH15) “Orta Doğu Bölgesi Deprem Modeli Projesi” kapsamında oluşturulan deprem kataloğunun (Akkar ve diğ. 2014) bir bölümü olan İran ve Türkiye yer hareketi veri tabanı kullanılarak geliştirilmiştir. (8.30)’da KAAH15 modelinde yer hareketinin geometrik ortalaması için önerilen tahmin denklemi görülmektedir.

$$\ln(\bar{Y}) = f_{mag} + f_{dis} + f_{sof} + f_{aat} + f_{site} \quad (8.30)$$

(8.30)’da görülen fonksiyon deprem büyüklüğü (f_{mag}), uzaklık (f_{dis}), faylanma türü (f_{sof}), doğrusal olmayan azalım (f_{aat}) ve zemin (f_{site}) bileşenlerinden meydana gelmektedir. Bahsedilen bileşenlerin hesabı için (8.31)-(8.35) bağıntıları önerilmiştir.

$$f_{mag} = \begin{cases} (b_1 + \Delta b_1) + (b_2 + \Delta b_2)(M_w - (c_1 + \Delta c_1)) + (b_3 + \Delta b_3)(8.5 - M_w)^2, & M_w \leq (c_1 + \Delta c_1) \\ (b_1 + \Delta b_1) + (b_7 + \Delta b_7)(M_w - (c_1 + \Delta c_1)) + (b_3 + \Delta b_3)(8.5 - M_w)^2, & M_w > (c_1 + \Delta c_1) \end{cases} \quad (8.31)$$

$$f_{dis} = [(b_4 + \Delta b_4) + (b_5 + \Delta b_5)(M_w - (c_1 - \Delta c_1))] \ln \left(\sqrt{R_{JB}^2 + (b_6 + \Delta b_6)^2} \right) \quad (8.32)$$

$$f_{sof} = (b_8 + \Delta b_8)F_{NM} + (b_9 + \Delta b_9)F_{RV} \quad (8.33)$$

$$f_{aat} = \begin{cases} 0, & R_{JB} \leq 80 \text{ km} \\ (b_{10} + \Delta b_{10})(R_{JB} - 80), & R_{JB} > 80 \text{ km} \end{cases} \quad (8.34)$$

$$f_{site} = \begin{cases} sb_1 \ln(V_{s30}/V_{REF}) + sb_2 \ln \left[\frac{PGA_{REF} + c(V_{s30}/V_{REF})^n}{(PGA_{REF} + c)(V_{s30}/V_{REF})^n} \right], & V_{s30} \leq V_{REF} \\ sb_1 \ln \left[\frac{\min(V_{s30}, V_{CON})}{V_{REF}} \right], & V_{s30} > V_{REF} \end{cases} \quad (8.35)$$

Bağıntılarda yer alan F_{NM} ve F_{RV} faylanmanın türünü tanımlayan katsayılardır. Her iki katsayı da normal ve ters faylanma için “1” değerini alırken, doğrultu atımlı faylar için “0” değerini almaktadır. KAAH15 modelindeki zemin bileşeni (f_{site}) ile ASB14 tarafından önerilen doğrusal olmayan zemin büyütme etkileri ($\ln(S)$) aynı bağıntı ile hesaplanmaktadır. Bu nedenle f_{site} hesabında V_{CON} ve V_{REF} değerleri için

ASB14 modelindeki deęerler kullanılmıřtır. alıřmada (8.35) baęıntısındaki dūřuk ve yūksek yer hareketi genlikleri arasındaki geiři temsil eden c katsayısı iin 2.5, doęrusal olmayan zemin etkilerini temsil eden n parametresi iin 3.2 deęerini önermektedir. KAAH15 modelinde toplam rassal deęiřkenlięin hesabı iin (8.36)-(8.39) baęıntıları kullanılmaktadır.

$$\sigma = \sqrt{\tau^2 + \phi^2} \quad (8.36)$$

$$\phi = w \times sd_1 \quad (8.37)$$

$$\tau = w \times sd_2 \quad (8.38)$$

$$w = \begin{cases} (a_1 + \Delta a_1) & , M_w < 6.0 \\ (a_1 + \Delta a_1) + ((a_2 + \Delta a_2) - (a_1 + \Delta a_1)) \left(\frac{M_w - 6}{0.5} \right) & , 6.0 \leq M_w < 6.5 \\ (a_2 + \Delta a_2) & , M_w \geq 6.5 \end{cases} \quad (8.39)$$

Yukarıdaki baęıntılarda τ ve ϕ rasgele deprem etkisini temsil eden bileřenlerdir. sd_1 ve sd_2 regresyon analizlerinden elde edilen aęırlıklı standart sapma katsayılarıdır. w deprem būyūklūęünün fonksiyonu olarak (8.39) ile hesaplanmaktadır. KAAH15 modelindeki katsayılar Tablo 8.8-Tablo 8.11'de gōrūlmektedir.

Tablo 8.8: KAAH15 azalım iliřkisinde periyottan baęımsız regresyon katsayıları

c_1	b_2	b_5	b_6	b_7
6.75	0.193	0.17	8	-0.354

Tablo 8.9: KAAH15 azalım iliřkisinde periyota baęımlı standart sapma katsayıları

a_1	a_2	sd_1	sd_2
0.56	0.46	1.0449	0.6452

Tablo 8.10: KAAH15 azalım iliřkisinde periyota baęımlı f_{site} katsayıları

sb_1	sb_2	c	n
-0.72057	-0.19688	2.5	3.2

Tablo 8.11: KAAH15 azalım iliřkisinde periyota baęımlı regresyon katsayıları

b_1	b_3	b_4	b_8	b_9	b_{10}
5.58266	-0.13822	-0.94043	-0.17037	-0.08609	-0.00052

Kale ve diğ. (2015) yaptıkları bu çalışmada yer hareketi tahmin denkleminin yanında İran ve Türkiye’de aktif sığ kabuk içi tektonik bölgelerin azalım ilişkisi üzerindeki etkisini araştırmıştır. Bu nedenle önerilen denklemlerde yer alan (Δ) indisli Türkiye ve İran arasında katsayılar arasındaki farkı göstermektedir. Yapılan tez çalışmasında Δ indisli değerler göz önüne alınmamıştır.

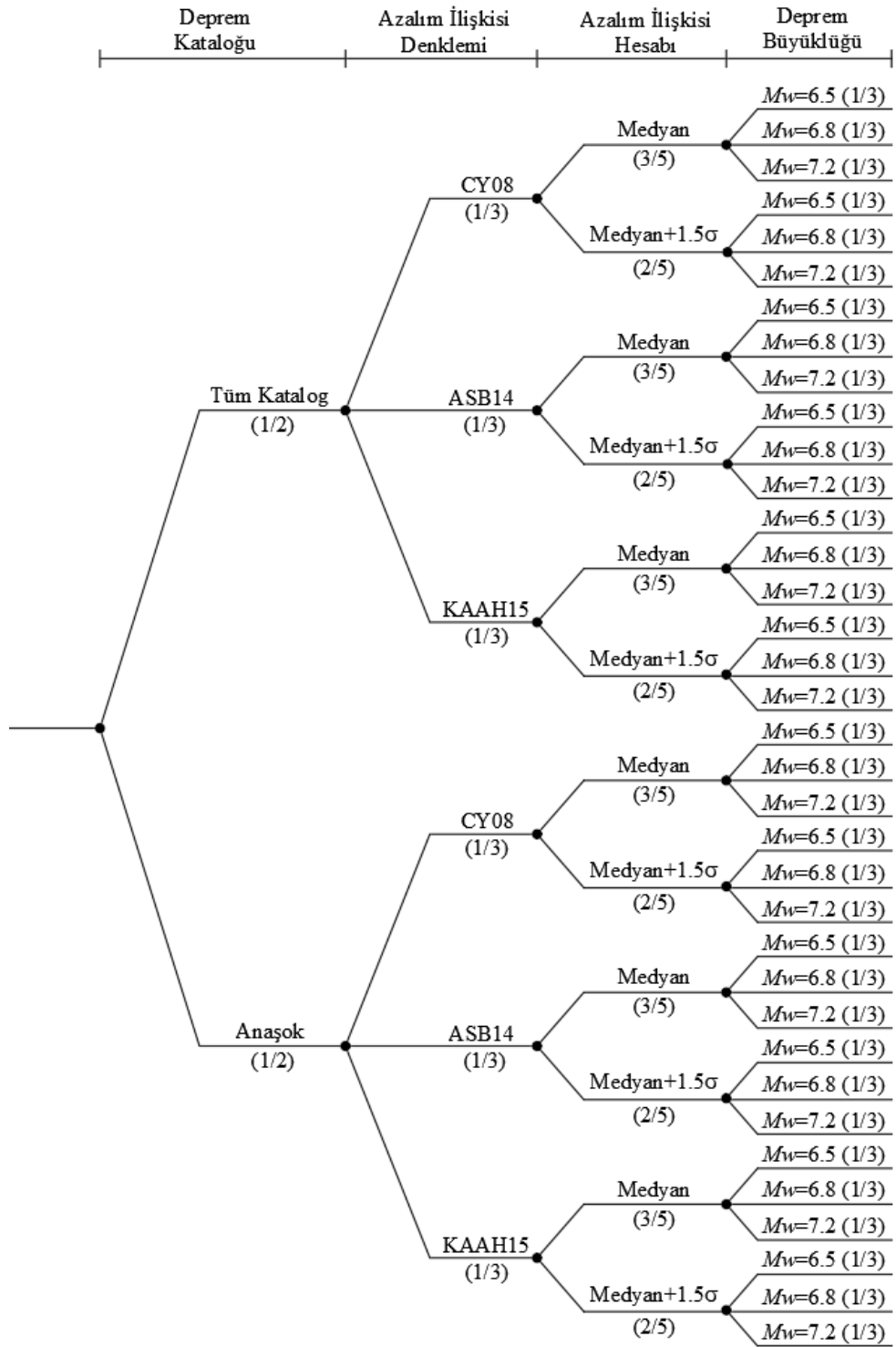
8.3.4 Bölge için Oluşturulan Mantık Ağacı

Sismik tehlike eğrilerinin hesabında depremin oluşumundaki epistemik belirsizliklerin ve yer hareketi tahmin denklemlerindeki rassal belirsizliklerin göz önüne alınması gerekmektedir. Bu amaçla, Denizli’nin OSTA sırasında oluşturulan mantık ağacında bahsedilen belirsizliklerin her biri için ağırlık faktörü tanımlanmıştır. Şekil 8.17’de Denizli’nin OSTA için oluşturulan mantık ağacı görülmektedir. Mantık ağacındaki her bir belirsizlik için tanımlanan ağırlık faktörleri parantez içinde gösterilmiştir.

OSTA’nde Poisson modelini kullanabilmek için deprem kataloğunun sadece anaşoktan oluşması ve öncü+artçı şokların elenmesi gerekmektedir. Deprem kataloğundaki anaşokların belirlenmesi sürecindeki belirsizlikleri de OSTA göz önüne almak için mantık ağacında iki farklı hesap modeli kullanılmıştır.

Önceki bölümde de detaylarına değinildiği gibi Denizli’nin OSTA için Chiou ve Young (2008)-CY08, Akkar ve diğ. (2014)-ASB14 ve Kale ve diğ. (2015)-KAAH15 tarafından önerilen yer hareketi tahmin denklemleri kullanılmıştır. Azalım modellerindeki belirsizlikler için mantık ağacında eşit ağırlık faktörü (1/3) kullanılmıştır. Önerilen azalım ilişkilerinde ayrıca medyan ve medyan+1.5 σ değeri için yapılan hesaplamalar da ayrı bir belirsizlik olarak mantık ağacında tanımlanmıştır.

Depremin oluşumu sırasında depremin boyut belirsizliği için Palanci (2014) ve Aydan ve diğ. (2001^a, 2001^b) yaptığı çalışmalar göz önüne alınarak 3 farklı senaryo oluşturulmuştur. Mantık ağacında bölgede meydana gelmesi muhtemel deprem magnitudü için 6.5 (1/3), 6.8 (1/3) ve 7.2 (1/3) değerleri kullanılmıştır.

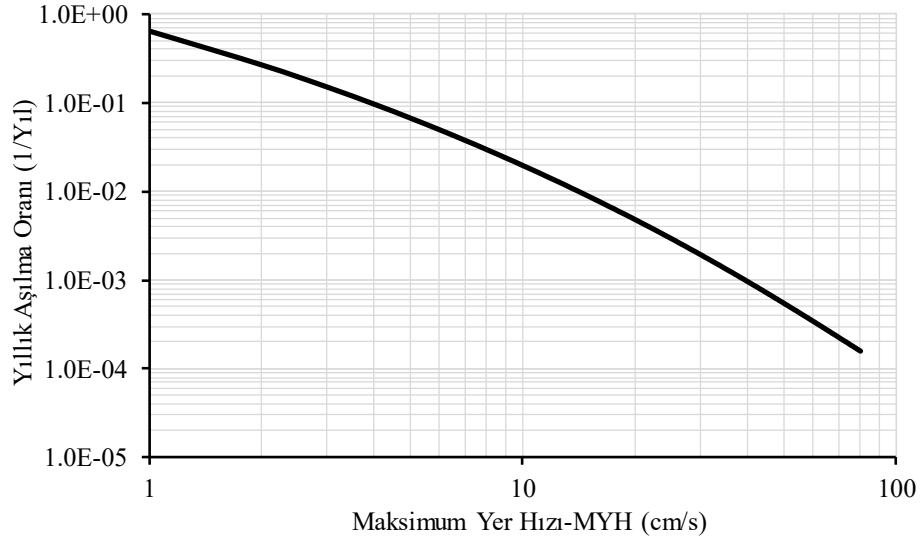


Şekil 8.17: Denizli'nin OSTA için oluşturulan mantık ağacı

Denizli'nin OSTA için toplam 4 adet belirsizlik tanımlanmıştır. Şekil 8.17'de görülen mantık ağacında $2 \times 3 \times 2 \times 3 = 36$ adet farklı hesap modeli bulunmaktadır. Her bir hesap modeli için belirlenen olasılık değerleri o modelin göreceli olasılık değerleri ile çarpılmış ve her bir model için elde edilen bu değerler toplanarak Denizli'nin sismik tehlike eğrisi elde edilmiştir.

8.3.5 Bölgenin Sismik Tehlike Eğrisinin Hesaplanması

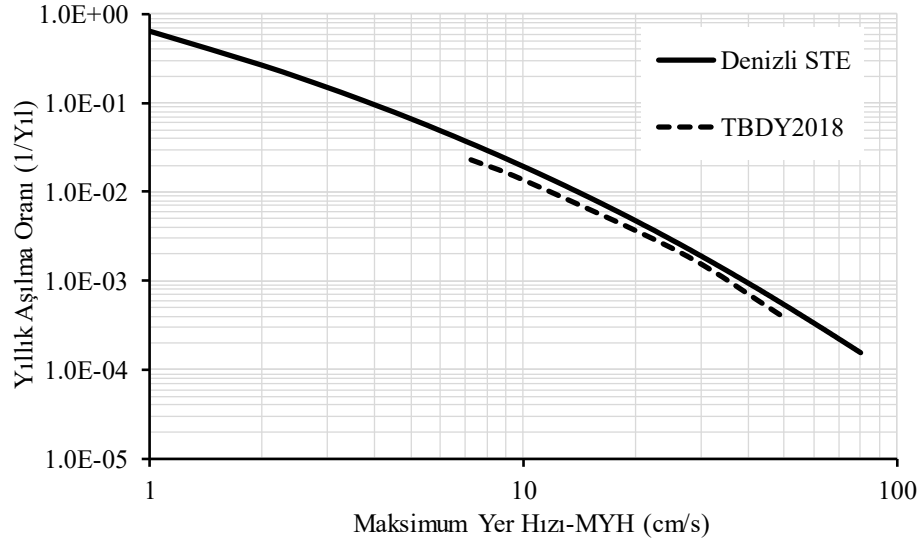
OSTA parametrelerinin değerlerindeki belirsizliklerin mantık ağacı ile ele alınması sonucu Denizli için elde edilen sismik tehlike eğrisi Şekil 8.18'de görülmektedir.



Şekil 8.18: Denizli için OSTA sonucu elde edilen sismik tehlike eğrisi

2014 yılında Ulusal Deprem Stratejisi ve Ulusal Deprem Stratejisi ve Eylem Planı (UDSEP-2023) kapsamında hazırlanan UDAP raporunda, olasılıksal sismik tehlike analizi ile farklı yıllık aşılma olasılıkları için MYİ, MYH ve %5 sönüm oranına sahip elastik spektral ivme değerlerinin dağılımı gösteren sismik tehlike haritaları elde edilmiştir. Güncellenen Türkiye Sismik Tehlike Haritası 1 Ocak 2019 tarihinde yürürlüğe giren Türkiye Bina Deprem Yönetmeliği (TBDY2018) ile kullanılmaya başlanmıştır.

DASK tarafından da desteklenen UDAP (2014) raporu ülkemizde kullanılan tasarım spektrumlarının güncellenmesinin yanında sigorta primlerinin daha sağlıklı hesaplanması açısından da önem taşımaktadır. Bu nedenle tez kapsamında Denizli için elde edilen sismik tehlike eğrisi ile Türkiye Sismik Tehlike Haritası'ndan elde edilen sismik tehlike eğrisi karşılaştırılmıştır. Şekil 8.19'da Denizli için OSTA ile elde edilen sismik tehlike eğrisi ile Türkiye Sismik Tehlike Haritası'ndan elde edilen sismik tehlike eğrisi görülmektedir.

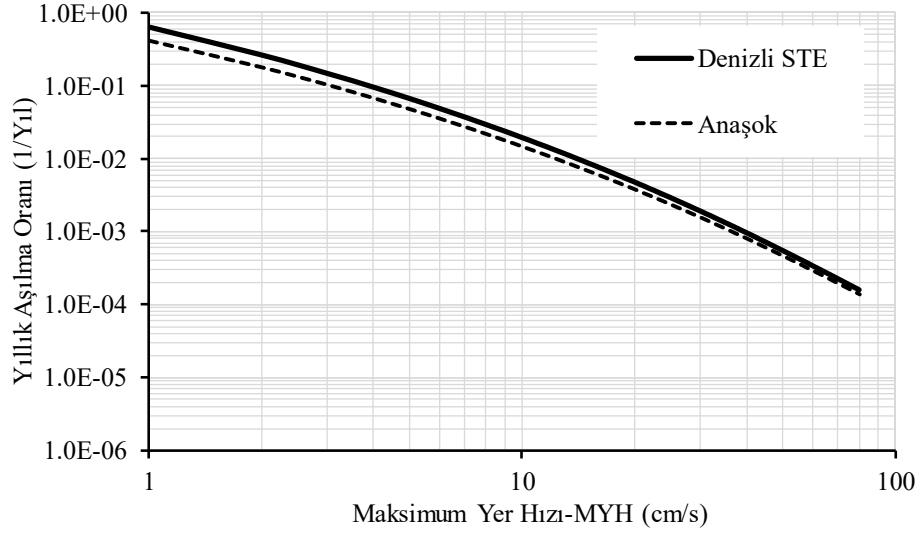


Şekil 8.19: Tez çalışması ve Türkiye Sismik Tehlike Haritası ile elde edilen STE'lerinin karşılaştırılması

Şekil 8.19'da bölge için hesaplanan sismik tehlike eğrisi ile UDAP (2014) çalışması sonucunda güncellenen Türkiye Sismik Tehlike Haritasından elde edilen sismik tehlike eğrilerinin (TBDY2018) birbirleriyle oldukça uyumlu olduğu görülmektedir. Bu durum olasılıksal sigorta risk prim hesaplarının önemli bir bileşeni olan sismik tehlike olasılıklarının ve dolayısıyla sigorta primlerinin daha sağlıklı elde edilebileceğine işaret etmektedir.

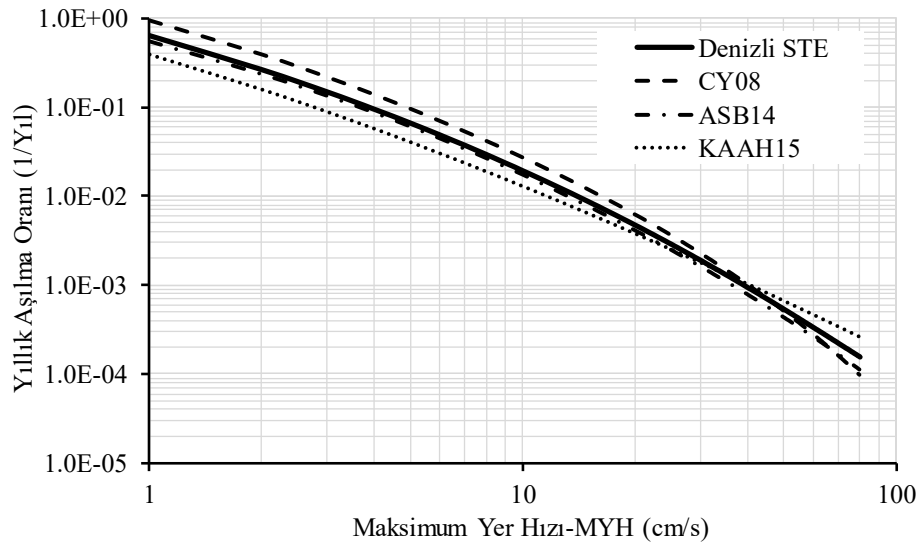
8.3.6 Sismik Tehlike Eğrisinin Belirsizlik Parametrelerine Duyarlılığı

Denizli'nin OSTA için dört farklı belirsizlik göz önüne alınmıştır. Bölüm 8.3.4'te farklı ağırlık faktörleri ile tanımlanan bu belirsizlikler mantık ağacında görülmektedir. OSTA hesabındaki tüm belirsizlikler her ne kadar hesaplamalarda göz önüne alınsa da, bu belirsizliklerin Denizli'nin sismik tehlike eğrisi üzerindeki etkisinin belirlenmesi gerekmektedir. Bu amaçla Şekil 8.17'de görülen mantık ağacı ile hesaplanan sismik tehlike eğrisi referans eğri kabul edilmiştir. Etkisi incelenmek istenen belirsizlik mantık ağacında değiştirilerek OSTA tekrarlanmış ve hesaplanan sismik tehlike eğrileri kıyaslanmıştır. Mantık ağacındaki ilk belirsizlik olan deprem kataloğunun sismik tehlike eğrilerinin üzerindeki etkisi sadece anaşoklar göz önüne alınarak tekrarlanan OSTA ile belirlenmiştir. Yapılan analizler sonucu elde edilen sismik tehlike eğrisi ve referans eğri Şekil 8.20'de görülmektedir.



Şekil 8.20: Deprem kataloğunun Denizli'nin STE üzerindeki etkisi

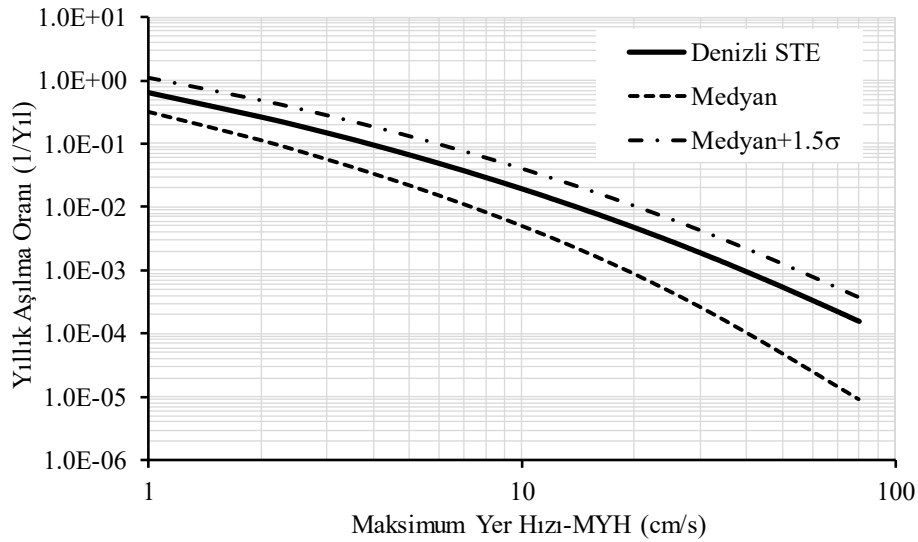
Şekil 8.20'den anlaşılacağı üzere deprem kataloğunun değişimi yüksek MYH değerlerinde büyük farklılıklar meydana getirmese de özellikle düşük MYH değerlerinde olasılık değerlerinde belirgin etkiye sahiptir. Denizli'nin OSTA için CY08, ASB14 ve KAAH14 yer hareketi tahmin denklemlerinin sismik tehlike eğrileri üzerindeki etkilerini belirlemek amacıyla, her üç tahmin modeli göz önüne alınarak analizler tekrarlanmıştır. Her bir azalım modeli için hesaplanan sismik tehlike eğrisi ve referans eğri Şekil 8.21'de görülmektedir.



Şekil 8.21: Kullanılan azalım ilişkisinin Denizli'nin STE üzerindeki etkisi

Kullanılan yer hareketi tahmin denkleminin önemli etkileri Şekil 8.21’de görülmektedir. CY08 modelinde düşük MYH değerlerinde yüksek olasılık değerleri gözlemlenirken, KAAH15 modeli daha düşük olasılık değerleri almaktadır. ASB14 modeli ile hesaplanan eğri genel itibari ile referans modele yakın olasılık değerleri almaktadır.

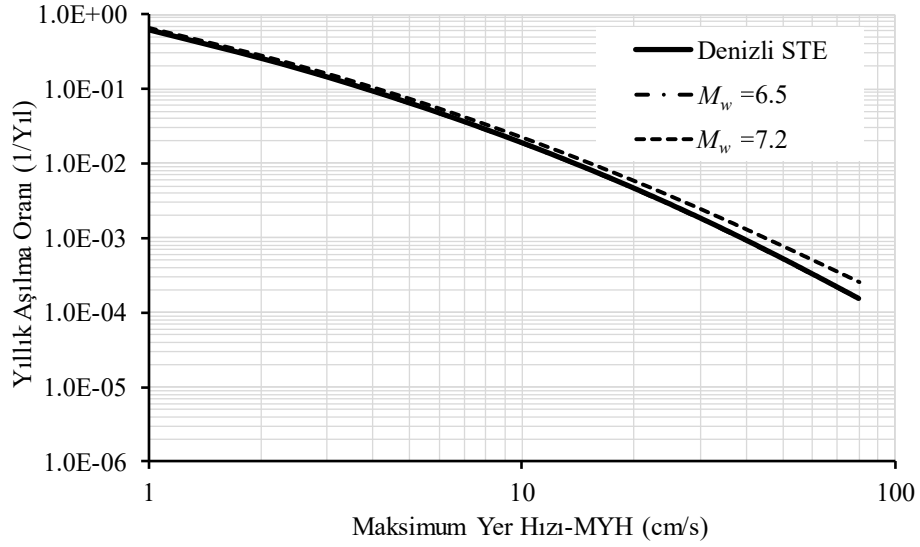
Yer hareketi tahmin denklemlerinin kendi içindeki belirsizliklerin sismik tehlike eğrisi üzerindeki etkisini araştırmak için standart sapma değeri (σ) sıfır ve 1.5 alınarak OSTA tekrarlanmıştır. Şekil 8.22’de yer hareketi tahmin denklemlerinin hesabındaki belirsizliklerin sismik tehlike üzerindeki etkisi görülmektedir.



Şekil 8.22: Azalım ilişkisi tahminlerinin Denizli'nin STE üzerindeki etkisi

Denizli için elde edilen sismik tehlike eğrileri üzerindeki en önemli etkiyi Şekil 8.22’de görüldüğü gibi önerilen azalım denklemlerinin içerdiği belirsizlikler oluşturmuştur. Tez kapsamında kullanılan yer hareketi tahmin denklemlerinde standart sapma değeri sıfır alındığında (medyan), elde edilen olasılık değerlerinin referans eğriye göre oldukça düşük kaldığı gözlemlenmiştir. Standart sapma değeri 1.5 alındığı ise, hesaplanan olasılık değerleri referans eğriye göre oldukça yüksek değerler almıştır.

Depremin boyut belirsizliğinin etkisini araştırmak için $M_w=6.5$ ve $M_w=7.2$ alınarak iki ayrı sismik tehlike eğrisi elde edilmiştir. Şekil 8.23’te elde edilen eğriler görülmektedir.



Şekil 8.23: Deprem boyutunun Denizli'nin STE üzerindeki etkisi

Şekil 8.23'e bakıldığında düşük MYH değerlerindeki olasılıkların birbirine oldukça yakın çıktığı görülmüştür. Olası deprem magnitudünün 7.2 olduğu durumda gözlemlenen olasılık değerleri, yüksek MYH değerlerinde referans eğriye göre daha yüksek olasılık değerleri almaktadır.

9. MEVCUT BETONARME BİNALARIN SİGORTA RİSK PRİMLERİNİN HESABI

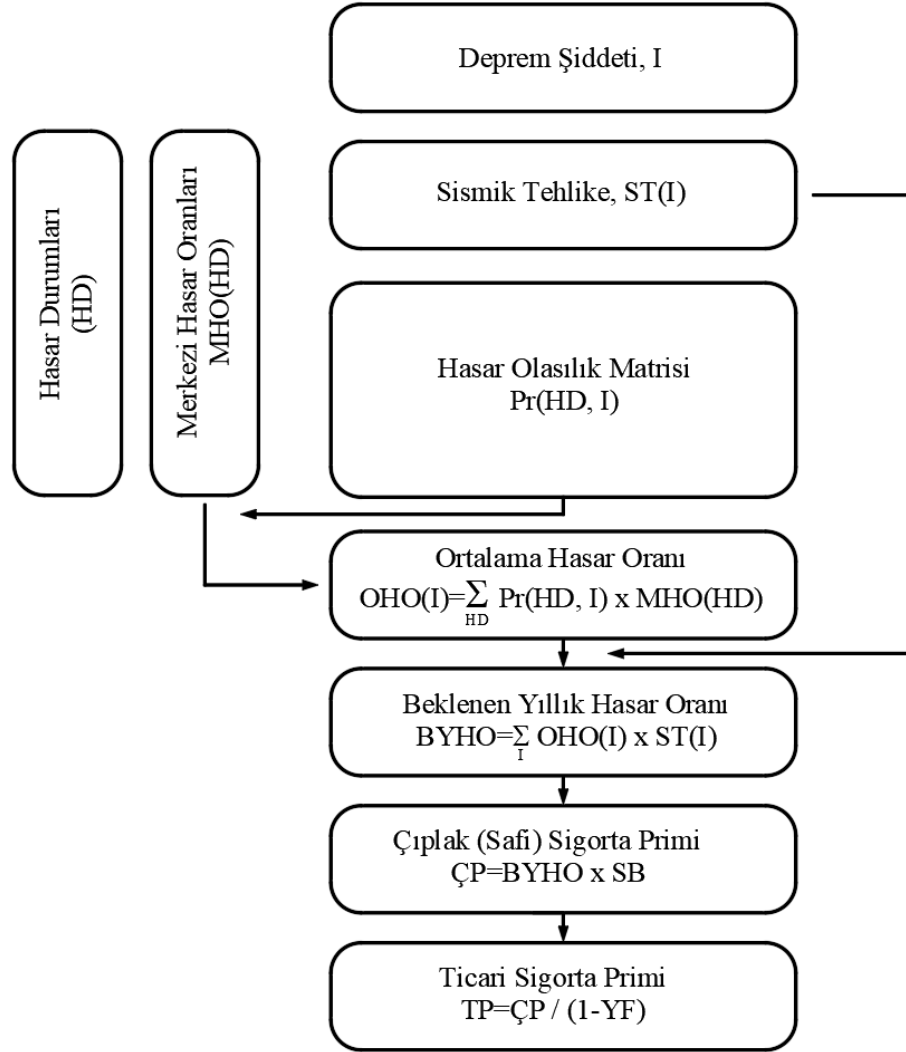
Sigorta risk primlerinin olasılıksal yöntemler ile hesaplanması için iki bileşene ihtiyaç duyulmaktadır. Bu bileşenlerden ilki, bir yapının ya da yapı türünün farklı büyüklükteki yer hareketleri altında göreceği olası hasarın tahmin edilmesi işlemidir. Yapılan tez çalışmasında Denizli’de bulunan mevcut binaların hasar tahminleri HOM ile yapılmıştır. Bölüm 7’de detayları yer alan OHO değerleri, iyi/orta/kötü kalitedeki TDY1975 binaları ve TDY1998 binaları için elde edilmiştir. Sigorta risk prim hesabı için gereken ikinci bileşen ise yapının ya da yapı türünün yer aldığı bölgenin sismik tehlikesinin belirlenmesidir. Denizli’nin OSTA ile sismik tehlike eğrisinin hesabına ilişkin hesaplamalar Bölüm 8’de yer almaktadır.

Tezin bu bölümünde olası hasar seviyesi ve sismik tehlikesi belirlenen iyi/orta/kötü kalitedeki TDY1975 binalarının ve TDY1998 binalarının sigorta risk prim hesaplarına yer verilmiştir. Olasılıksal yöntemler ile elde edilen prim oranları değerlendirilmiş, ülkemizde DASK tarafından belirlenen zorunlu deprem sigortası prim oranları ile karşılaştırılmıştır.

9.1 Deprem Sigortası Prim Hesap Modeli

Literatürde deprem sigortası prim hesabı için birçok yaklaşım bulunmaktadır. 1971 San Fernando depreminin ardından Kaliforniya Sigorta Departmanı (CDI) tarafından geliştirilen yöntemde (Steinbrugge 1982, CDI 2001) bina türü yapılar için deprem bölgelerine göre olası maksimum hasar tahminleri yapılmaktadır. Hasar tahminleri için CDI tarafından belirlenen tablolar kullanılmaktadır. Bir başka hesap yöntemi olan dinamik finansal analiz yönteminde ise geçmişte yaşanan veriler değerlendirilerek Monte Carlo simülasyon tekniği ile yıllık hasar oranları tahmin edilmektedir. Bahsedilen yaklaşımların haricinde olasılıksal deprem sigortası prim hesabı, sismik tehlike analizi ve olası maksimum hasarın tahminine dayanmaktadır.

Tez kapsamında kullanılan olasılıksal deprem sigortası prim hesap modeli basit hâliyle bir yapı ya da yapı grubunun sismik tehlike olasılıklarının (ST(I)), hasar olasılıkları (OHO(I)) ile matris çarpımına dayanmaktadır. Yüçemen (2005) olasılıksal deprem sigortası prim hesabı için Şekil 9.1’de görülen akış diyagramını tanımlamıştır.



Şekil 9.1: Sigorta risk primleri hesabı akış diyagramı (Yüçemen 2005)

Şekil 9.1’de deprem şiddeti (I) ile tarif edilen, hesaplarda kullanılan yer hareketi parametresidir. Denizli için oluşturulan HOM’lerinde ve bölge için gerçekleştirilen OSTA’nde yer hareketi parametresi olarak MYH seçilmiştir. Sigorta primlerinin hesabı için öncelikle sismik tehlikenin (ST(I)) belirlenmesi gerekmektedir. Tez çalışmasında Denizli’nin sismik tehlikesi OSTA ile belirlenmiştir. Yapıların hasar tahmini için HOM’lerinin oluşturulması gerekmektedir. Denizli’de bulunan iyi/orta/kötü kalitedeki TDY1975 ve TDY1998 binalarına ilişkin HOM’leri 3 farklı analitik hesap yöntemi kullanılarak belirlenmiştir. Oluşturulan HOM’lerinde HD hasar

durumundaki bir yapının onarım maliyetinin yeniden yapım maliyetine oranı olarak bilinen MHO'ları tarif edilmiş, yapı ya da yapı grubu için OHO'ları hesaplanmıştır.

Ortalama hasar oranının (OHO) ve sismik tehlikenin belirlenmesinin ardından beklenen yıllık hasar oranı (BYHO) (9.1) ifadesi ile elde edilmiştir.

$$BYHO = \sum_I OHO(I) \times ST(I) \quad (9.1)$$

(9.1) ile ifade edilen BYHO, bir bölgede yer alan yapı ya da yapı grubunun deprem sırasında alacağı hasarın büyüklüğünü tanımlamaktadır. Elde edilen BYHO birimsiz bir değer olduğu için prim değeri yapının sigorta bedeli (SB) ile ilişkilendirilerek (9.2) ifadesi elde edilmektedir.

$$\mathcal{C}P = BYHO \times SB \quad (9.2)$$

(9.2) bağıntısı ile elde edilen değer, deprem sigortası için kullanılacak çıplak (saf) prim değeridir. Bir sigorta şirketinin bir yapı grubu için talep edeceği ticari deprem sigortası primi (TP), (9.2) ile hesaplanan çıplak primin ($\mathcal{C}P$) belli bir kâr oranıyla arttırılmasıyla elde edilmektedir. Ticari sigorta primi (9.3) ile ifade edilmektedir.

$$TP = \frac{\mathcal{C}P}{(1-YF)} \quad (9.3)$$

Ticari sigorta prim hesabında yer alan yük faktörü (YF), sigorta şirketinin yönetim harcamalarını, vergi giderini ve makul miktardaki kârını sigorta primlerine yansıtmaktadır. Deprem sigortası prim hesabı için Gürpınar ve Yücemem (1980), Yücemem (2005), Deniz (2006), Palanci (2014) tarafından yapılan çalışmalarda Türkiye için bu değer 0.4 olarak alınmış ve kullanılmıştır. Bu nedenle yapılan tez çalışmasında da yük faktörü 0.4 kabul edilmiştir. Yük faktörünün 0.4 kabul edilmesi ile ticari sigorta prim değeri (9.4) hâlini almaktadır.

$$TP = 1.67 \times \mathcal{C}P \quad (9.4)$$

Deniz ve Yüçemen (2009) ticari prim oranlarının sigorta şirketlerinin sermayesinin ve kamu talebinin bir fonksiyonu olduğunu belirtmiştir. Yüçemen (2013) yaptığı çalışmada ise yabancı sigorta şirketlerinin ve piyasa koşullarının sigorta primlerinin yenilenmesindeki etkisini vurgulamaktadır.

9.2 Mevcut Binaların Sigorta Primlerinin Hesabı

Tez kapsamında seçilen iyi/orta/kötü kalitedeki TDY1975 binaları ve TDY1998 binalarının ticari sigorta primlerinin hesabı için öncelikle, OSTA ile Denizli için elde edilen sismik tehlike eğrisi kullanılarak her bir MYH grubuna karşılık gelen yıllık aşılma olasılıkları elde edilmiştir. Denizli için elde edilen sismik tehlike eğrisinden (bkz. Şekil 8.18) belirlenen ve MYH gruplarına karşılık gelen yıllık aşılma olasılıkları Tablo 9.1’de görülmektedir.

Tablo 9.1: MYH gruplarına karşılık gelen yıllık aşılma olasılıkları

MYH Grup No	MYH _{ort}	ST(I)
	(cm/s)	(1/yıl)
1	23.20	3.41E-03
2	27.28	2.36E-03
3	33.66	1.44E-03
4	38.81	1.02E-03
5	42.82	7.99E-04
6	50.11	5.36E-04
7	52.96	4.65E-04
8	57.49	3.76E-04
9	63.02	2.95E-04
10	68.37	2.38E-04
11	73.52	1.96E-04
12	79.01	1.62E-04

Tablo 9.1’de görülen sismik tehlike olasılıkları Denizli’de farklı MYH’daki yer hareketinin yıllık aşılma olasılıklarını temsil etmektedir. Dolayısıyla Tablo 9.1’de görülen olasılık değerleri iyi/orta/kötü kalite sınıfındaki TDY1975 ve TDY1998 binaları için kullanılacaktır. Ticari sigorta prim hesabı için bir diğer bileşen olan ve farklı kalite sınıflarındaki TDY1975 ve TDY1998 binalarının hasar olasılıklarını temsil eden ortalama hasar oranlarına da ihtiyaç duyulmaktadır.

Ortalama hasar oranlarının hesabı için oluşturulan mantık ağacına ilişkin detaylar Bölüm 7.5’te verilmiştir. Her bir MYH grubuna ait yıllık aşılma ve hasar olasılıklarının elde edilmesinin ardından, iyi/orta/kötü kalitedeki TDY1975 ve TDY1998 binaları için beklenen yıllık hasar oranları (BYHO), çıplak sigorta primleri (ÇP) ve ticari sigorta primleri (TP) belirlenmiştir. Hesaplanan prim değerleri Tablo 9.2-Tablo 9.5’te görülmektedir.

Tablo 9.2: İyi kalitedeki TDY1975 binaları için elde edilen deprem sigortası primleri

MYH Grup No	MYH _{ort} (cm/s)	ST(I)	OHO(I)	BYHO (%)	ÇP (1/1000)	TP (1/1000)
1	23.20	3.41E-03	0.205	7.01E-02	3.47	5.78
2	27.28	2.36E-03	0.266	6.28E-02		
3	33.66	1.44E-03	0.262	3.77E-02		
4	38.81	1.02E-03	0.322	3.28E-02		
5	42.82	7.99E-04	0.383	3.06E-02		
6	50.11	5.36E-04	0.377	2.02E-02		
7	52.96	4.65E-04	0.438	2.04E-02		
8	57.49	3.76E-04	0.482	1.81E-02		
9	63.02	2.95E-04	0.546	1.61E-02		
10	68.37	2.38E-04	0.594	1.41E-02		
11	73.52	1.96E-04	0.646	1.27E-02		
12	79.01	1.62E-04	0.703	1.14E-02		
Σ	-	-	-	3.47E-01		

Tablo 9.3: Orta kalitedeki TDY1975 binaları için elde edilen deprem sigortası primleri

MYH Grup No	MYH _{ort} (cm/s)	ST(I)	OHO(I)	BYHO (%)	ÇP (1/1000)	TP (1/1000)
1	23.20	3.41E-03	0.229	7.82E-02	4.04	6.73
2	27.28	2.36E-03	0.292	6.90E-02		
3	33.66	1.44E-03	0.301	4.34E-02		
4	38.81	1.02E-03	0.418	4.26E-02		
5	42.82	7.99E-04	0.450	3.59E-02		
6	50.11	5.36E-04	0.469	2.51E-02		
7	52.96	4.65E-04	0.517	2.40E-02		
8	57.49	3.76E-04	0.584	2.20E-02		
9	63.02	2.95E-04	0.658	1.94E-02		
10	68.37	2.38E-04	0.699	1.66E-02		
11	73.52	1.96E-04	0.752	1.48E-02		
12	79.01	1.62E-04	0.806	1.30E-02		
Σ	-	-	-	4.04E-01		

Tablo 9.4: Kötü kalitedeki TDY1975 binaları için elde edilen deprem sigortası primleri

MYH Grup No	MYH _{ort} (cm/s)	ST(I)	OHO(I)	BYHO (%)	ÇP (1/1000)	TP (1/1000)
1	23.20	3.41E-03	0.246	8.41E-02	4.86	8.10
2	27.28	2.36E-03	0.348	8.22E-02		
3	33.66	1.44E-03	0.424	6.12E-02		
4	38.81	1.02E-03	0.523	5.33E-02		
5	42.82	7.99E-04	0.566	4.52E-02		
6	50.11	5.36E-04	0.581	3.12E-02		
7	52.96	4.65E-04	0.622	2.89E-02		
8	57.49	3.76E-04	0.704	2.65E-02		
9	63.02	2.95E-04	0.778	2.30E-02		
10	68.37	2.38E-04	0.814	1.94E-02		
11	73.52	1.96E-04	0.856	1.68E-02		
12	79.01	1.62E-04	0.883	1.43E-02		
Σ	-	-	-	4.86E-01		

Tablo 9.5: TDY1998 binaları için elde edilen deprem sigortası primleri

MYH Grup No	MYH _{ort} (cm/s)	ST(I)	OHO(I)	BYHO (%)	ÇP (1/1000)	TP (1/1000)
1	23.20	3.41E-03	0.164	5.61E-02	2.60	4.33
2	27.28	2.36E-03	0.218	5.16E-02		
3	33.66	1.44E-03	0.222	3.21E-02		
4	38.81	1.02E-03	0.257	2.62E-02		
5	42.82	7.99E-04	0.251	2.01E-02		
6	50.11	5.36E-04	0.258	1.39E-02		
7	52.96	4.65E-04	0.264	1.23E-02		
8	57.49	3.76E-04	0.296	1.11E-02		
9	63.02	2.95E-04	0.349	1.03E-02		
10	68.37	2.38E-04	0.416	9.90E-03		
11	73.52	1.96E-04	0.445	8.72E-03		
12	79.01	1.62E-04	0.470	7.61E-03		
Σ	-	-	-	2.60E-01		

Tablo 9.2-Tablo 9.5'e bakıldığında düşük MYH değerlerindeki yer hareketleri, yüksek yıllık aşılma olasılıklarına rağmen yapılarda daha az hasara yol açmaktadır. Yüksek MYH'na sahip yer hareketleri ise daha düşük aşılma olasılıkları gösterirken, özellikle TDY1975 binalarında oldukça fazla hasara yol açmaktadır.

Tez kapsamında olasılıksal yaklaşımlar ile belirlenen sigorta primlerinin ardından, ülkemizde DASK ve sigorta şirketleri tarafından belirlenen zorunlu deprem sigortası prim değerleri de incelenmiş ve hesaplanan değerler ile karşılaştırılmıştır.

9.3 Zorunlu Deprem Sigortası Tarife ve Talimatları

Ülkemizde 17 Ağustos ve 12 Kasım 1999'da iki önemli yıkıcı deprem meydana gelmiştir. Yaşanılan bu depremler yapı stokumuzda ağır ekonomik kayıplar meydana getirmiştir. Yaşanılan doğal afetlere ekonomik kaynak yaratmak amacıyla 587 sayılı Kanun Hükmünde Kararname ile 27 Aralık 1999 tarihinde Doğal Afet Sigortaları Kurumu (DASK) kurulmuştur (Akın 2008).

DASK tarafından uygulanmaya başlayan zorunlu deprem sigortası ile belediye sınırları içindeki tüm kayıtlı konut binaları için deprem sigortası zorunlu hâle getirilmiştir. Kamu kurum ve kuruluşlarına ait binalar, köy yerleşim alanlarındaki binalar, tamamı endüstriyel ve iş hanı olarak kullanılan binalar ve inşaatı henüz tamamlanmamış binalar zorunlu deprem sigortası kapsamı dışındadır. Ülkemizde zorunlu deprem sigortasının geçerlilik süresi 1 yıldır ve her yıl sigorta poliçelerinin yenilenmesi gerekmektedir.

Zorunlu deprem sigortası prim hesabı için öncelikle yapının sigorta bedelinin belirlenmesi gerekmektedir. Sigorta bedeli yapının brüt yüzölçümünün, her yıl DASK tarafından belirlenen metrekare bedeli (TL/m²) ile çarpılması ile elde edilmektedir. Zorunlu deprem sigortası kapsamında verilebilecek azami teminat tutarı yine DASK tarafından belirlenmektedir. 2018 yılı itibari ile betonarme binalar için sigorta bedeline esas metrekare bedeli 890 TL/m², azami teminat tutarı ise 190000 TL'dir. Betonarme taşıyıcı sisteme sahip bir konut binasının sigorta bedeli (9.5) ile hesaplanmaktadır.

$$\text{Sigorta Bedeli} = (890 \text{ TL/m}^2) \times (\text{Yapı brüt alanı}) \leq 190000 \text{ TL} \quad (9.5)$$

Zorunlu deprem sigortası kapsamında ödenecek prim tutarı ise (9.5) ile belirlenen sigorta bedelinin, DASK tarafından belirlenen prim değeri ile çarpılması ile elde edilen tutara 10 TL ilave edilerek hesaplanmaktadır. İstanbul'da yer alan

yapılarda ilave edilen tutar 15 TL olarak belirlenmiştir (DASK 2018). DASK tarafından belirlenen prim değerleri yapının taşıyıcı sistem türüne ve yapının bulunduğu deprem bölgesine göre değişmektedir. Tablo 9.6’da DASK tarafından belirlenen prim değerleri görülmektedir. Bir yapı için ödenecek asgari prim tutarı birinci bölgeden beşinci bölgeye sırasıyla 95 TL, 70 TL, 55 TL, 45 TL ve 35 TL’dir.

Tablo 9.6: Zorunlu deprem sigortası primleri (DASK 2018)

Yapı Tarzı	Deprem Bölgesi				
	I. Bölge	II. Bölge	III. Bölge	IV. Bölge	V. Bölge
	(%)	(%)	(%)	(%)	(%)
a) Çelik, betonarme, karkas yapılar	2.20	1.55	0.83	0.55	0.44
b) Yığma Kagir Yapılar	3.85	2.75	1.43	0.60	0.50
c) Diğer Yapılar	5.50	3.53	1.76	0.78	0.58

2019 yılı itibari ile Denizli’de bulunan bir konut binasının yapım yılından (2007 yılı ve sonrası hariç) ve kalite sınıfından bağımsız olarak ödemesi gereken zorunlu deprem sigortası prim tutarı (9.6) ile elde edilmektedir.

$$\text{Sigorta Prim Tutarı} = \left(\frac{2.2}{1000} \right) \times (\text{Sigorta Bedeli}) + 10 \text{ TL} \geq 95 \text{ TL} \quad (9.6)$$

(9.6) ile ifade edilen sigorta prim tutarı 2007 yılı öncesi yapılar için geçerlidir. 2007 yılı ve sonrası yapıların sigorta prim tutarında %10 indirim uygulanmaktadır. DASK ayrıca sigorta bedelinin %2’si oranında tenzili muafiyet oranı uygulamaktadır. Diğer bir deyişle, DASK deprem nedeniyle yapıda oluşan hasarın sigorta bedelinin %2’sini aşan kısmından sorumludur. Bu uygulama ile deprem nedeniyle oluşacak hasar riski, poliçe sahibi ile DASK tarafından paylaşılmaktadır. DASK tarafından belirlenen bu değer diğer ülkelere nazaran (%5-%25) oldukça düşük kalmaktadır. Yücemem (2013) diğer ülkelerdeki tenzili muafiyet oranlarının uygulanması hâlinde sigorta prim oranlarının çok daha düşük değerler (<%2.2) alacağını belirtmektedir.

9.4 Mevcut Binaların Sigorta Primlerinin Değerlendirilmesi

Yapılan tez çalışması kapsamında Denizli’de bulunan iyi/orta/kötü kalitedeki TDY1975 ve TDY1998 binaları için olasılıksal deprem sigortası prim modeli

kullanılarak prim oranları elde edilmiştir. Bu bölümde elde edilen sigorta prim değerleri, ülkemizde DASK tarafından uygulanan zorunlu deprem sigortası prim değerleriyle karşılaştırılmıştır. Tablo 9.7’de mevcut binalar için elde edilen ticari deprem sigortası ve DASK tarafından uygulanan zorunlu deprem sigortası prim değerleri görülmektedir.

Tablo 9.7: Mevcut binalar için hesaplanan ve DASK tarafından uygulanan deprem sigorta primleri

Bina Proje Yılı	Bina Kalite Sınıfı		Ticari Deprem Sigorta Primi (1/1000)	Ortalama Ticari Deprem Sigorta Primi (1/1000)	Zorunlu Deprem Sigortası Primi (1/1000)
< 1998	İyi	$V_{t,y}/W \geq 0.15$ & $\mu_{\Delta} \geq 5.5$	5.78	6.87	2.20
	Orta	Diğer	6.73		
	Kötü	$V_{t,y}/W \leq 0.15$ & $\mu_{\Delta} \leq 5.5$	8.10		
≥ 1998	-	-	4.33	4.33	

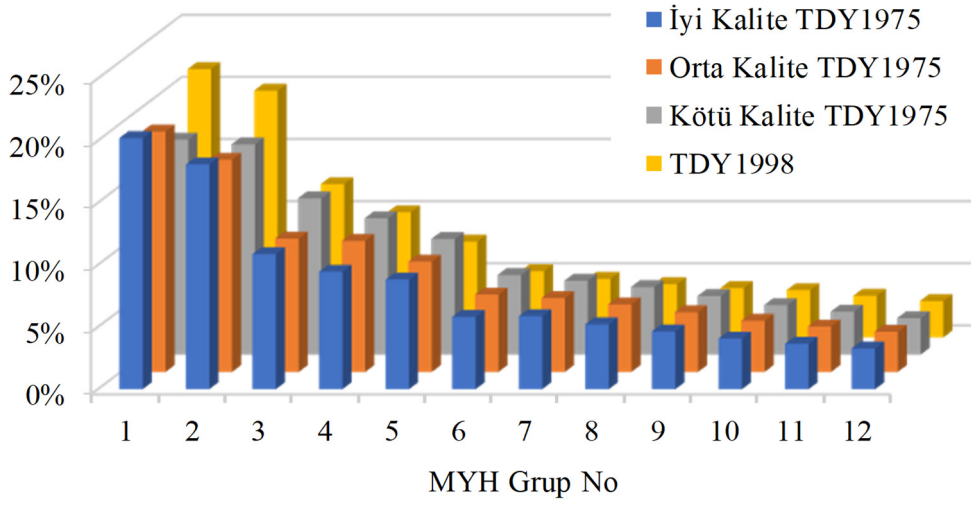
Tablo 9.7’de görülen ticari deprem sigorta primleri, hesaplanan çıplak sigorta primlerine sigorta şirketlerinin kârının yansıtılması ile elde edilmektedir. Mevcut binalarda MYH gruplarının her biri için hesaplanan beklenen yıllık hasar oranları Tablo 9.2-Tablo 9.5’te görülmektedir. Elde edilen beklenen yıllık hasar oranlarının mevcut binaların çıplak primlerine katkıları Tablo 9.8’de gösterilmiştir.

Tablo 9.8: MYH gruplarının deprem sigortası primlerine katkısı

Bina Proje Yılı	Kalite Sınıfı	MYH Grup No											
		1	2	3	4	5	6	7	8	9	10	11	12
TDY1975	İyi	20.2%	18.1%	10.9%	9.5%	8.8%	5.8%	5.9%	5.2%	4.6%	4.1%	3.7%	3.3%
	Orta	19.4%	17.1%	10.7%	10.5%	8.9%	6.2%	5.9%	5.4%	4.8%	4.1%	3.7%	3.2%
	Kötü	17.3%	16.9%	12.6%	11.0%	9.3%	6.4%	5.9%	5.4%	4.7%	4.0%	3.5%	2.9%
TDY1998	-	21.6%	19.9%	12.3%	10.1%	7.7%	5.3%	4.7%	4.3%	4.0%	3.8%	3.4%	2.9%

Tablo 9.8’de görüldüğü gibi, mevcut binalar için elde edilen sigorta primlerinin büyük kısmını düşük ve orta MYH değerleri meydana getirmektedir. Bu durum OSTA’nde bölgeye ait deprem yinleme ilişkilerinde özellikle düşük ve orta şiddetteki depremlere dikkat edilmesi gerektiğine işaret etmektedir. Yüçemen (2013) yaptığı çalışmada, sismik tehlike analizi için yapılan OSTA’lerinde bu durumun aksine küçük ve orta büyüklükteki depremler yerine büyük depremlere odaklanıldığını ifade etmektedir. Tablo 9.8’de rakamsal olarak verilen ve farklı MYH gruplarının sigorta

prim oranlarına katkılarını ifade eden değerler, Şekil 9.2’de görsel olarak ifade edilmiştir.



Şekil 9.2: MYH gruplarının deprem sigortası primlerine katkısı

Denizli’de bulunan mevcut bir betonarme yapı için DASK tarafından belirlenen zorunlu deprem sigortası prim değeri, tez kapsamında olasılıksal yöntemlerle elde edilen prim değerlerinden oldukça düşüktür. Bu farkın oluşmasının ilk nedeni DASK’ın kâr amacı olmayan bir kurum olmasıdır. Başka bir ifade ile DASK tarafından hesaplanan deprem sigortası prim hesabında kullanılan yük faktörü (YF) 0.4 değil, sıfırdır. Dolayısı ile DASK’ın belirlediği prim değerleri ile tez kapsamında hesaplanan çıplak sigorta primleri kıyaslanmalıdır. Bu farkın meydana gelmesinin ikinci nedeni de DASK tarafından uygulanan tenzili muafiyet oranı (%2) değeridir. Diğer ülkelerdeki deprem sigortası uygulamalarına bakıldığında, örneğin Kaliforniya’da uygulanan tenzili muafiyet oranı %5-%25 arasında değişmektedir. Bizim ülkemizde tenzili muafiyet oranının %25 olarak belirlenmesi durumunda hesaplanan ticari deprem sigortası prim değerleri %2'lere kadar gerilemektedir. Özellikle kötü kalitedeki TDY1975 binaları için %4.86 olarak hesaplanan çıplak sigorta prim değeri %2.77 değerini almaktadır. Literatürde bu bilgileri destekleyen birçok çalışma bulunmaktadır (Deniz 2006, Yüçemen 2013). Tez çalışmasında tenzili muafiyet oranının %25 olması durumunda, iyi/orta ve kötü kalitedeki TDY1975 ve TDY1998 binalarının hesaplanan ticari ve çıplak deprem sigortası prim değerleri Tablo 9.9’da görülmektedir.

Tablo 9.9: Tenzili muafiyet oranının %25 olması durumunda hesaplanan deprem sigorta primleri

Bina Proje Yılı	Bina Kalite Sınıfı		Ticari Deprem Sigorta Primi (1/1000)	Çıplak Deprem Sigorta Primi (1/1000)	Ortalama Ticari Deprem Sigorta Primi (1/1000)
< 1998	İyi	$V_{t-y}/W \geq 0.15$ & $\mu_{\Delta} \geq 5.5$	4.61	2.77	5.58
	Orta	Diğer	5.43	3.26	
	Kötü	$V_{t-y}/W \leq 0.15$ & $\mu_{\Delta} \leq 5.5$	6.70	4.02	
≥ 1998	-	-	2.00	1.20	2.00

Tablo 9.7’den de anlaşılacağı gibi, binaların tasarımları için kullanılan standart ve yönetmelikler ile binaları temsil eden kapasite parametreleri (V_{t-y}/W , μ), deprem sigortası prim oranlarının hesabında büyük değişiklikler meydana getirmektedir. Örneğin; TDY1975 yönetmeliğine göre tasarlanan kötü kalitedeki binalar için hesaplanan sigorta prim değerleri, iyi kalitedeki binalar için hesaplanan prim değerlerinden ~1.4 kat daha fazladır. Aynı şekilde kötü kalitedeki TDY1975 binaları için hesaplanan sigorta primleri, TDY1998 binaları için hesaplanan sigorta primlerinden ~1.9 kat daha fazladır. Bu durum zorunlu deprem sigortası primlerinin hesabında değişen ve gelişen yönetmelik koşullarına ve kalite standartlarına uygun olarak inşa edilen binaların, diğer binalara kıyasla çok ciddi şekilde prim avantajına sahip olacağını ve tarifelerin hesabında bina kapasitelerini göz önüne alınmanın ne denli önemli olacağını göstermektedir. Yüçemen (2013) yaptığı çalışmada, zorunlu deprem sigorta primlerinin gelecekte binaların “deprem dayanım kalitesine” göre çeşitlendirilmesi gerektiğini ve böyle bir uygulamanın bina tasarımları için bir kontrol mekanizması görevini göreceğini ifade etmektedir.

9.5 Deprem Sigortası Prim Değerlerinin Hasar Olasılığı ve Sismik Tehlike Parametrelerine Karşı Duyarlılığı

Deprem sigortası prim değeri iki bileşenden meydana gelmektedir. Bu bileşenlerden ilki, bina grubu için hasar olasılığını ifade eden ortalama hasar olasılığı, diğer bileşeni ise bölgenin sismik tehlikesidir. Bu bölümde tez kapsamında hesaplanan ticari deprem sigortası primlerini etkileyen parametreler ve etki oranları araştırılmıştır. Bu nedenle Tablo 9.7’de her bir bina grubu için hesaplanan değerler referans ticari deprem sigorta primi olarak kabul edilmiş ve sadece duyarlılığı araştırılmak istenen

parametre göz önüne alınarak ticari sigorta primleri yeniden elde edilmiştir. Güncellenen prim oranlarının referans değere göre artış yüzdeleri “+” işareti, azalım yüzdeleri ise “-” işareti ile parantez içinde gösterilmiştir.

Deprem sigortası prim oranlarını etkileyebilecek ilk bileşen, ortalama hasar oranlarının hesabı sırasında göz önüne alınan ve yapının onarım/yeniden yapım maliyetini temsil eden merkezi hasar oranı değeridir. Daha önce de bahsedildiği üzere referans prim değerlerin hesabı sırasında literatürde yer alan ve bu çalışmada önerilen merkezi hasar oranları için mantık ağacında eşit ağırlık faktörleri (1/3) tanımlanmıştır. Tez çalışmasında kullanılan MHO değerleri Tablo 9.10’da görülmektedir.

Tablo 9.10: Mevcut binaların OHO’ları için kullanılan merkezi hasar oranları

Hasar Durumu	Merkezi Hasar Oranı-MHO (%)		
	Gürpınar ve diğ. (1978)	Hancılar ve diğ. (2019)	Kalkan (2019)
Hasarsız	0.0	0.0	0.0
Hafif Hasarlı	5.0	10.0	5.0
Orta Hasarlı	30.0	40.0	30.0
Ağır Hasarlı	70.0	80.0	85.0
Göçme	100.0	100.0	100.0

Merkezi hasar oranlarının ticari deprem sigorta primleri üzerindeki etkisini araştırmak amacıyla kullanılan her bir merkezi hasar oranı değeri tek başına göz önüne alınmış ve hesaplanan prim değerleri güncellenmiştir. Tablo 9.11’de merkezi hasar oranlarının ticari deprem sigortası primleri üzerindeki etkisi görülmektedir.

Tablo 9.11: MHO’larının ticari deprem sigortası primi üzerindeki etkisi

Bina Yapım Yılı	Bina Kalite Sınıfı	Ticari Deprem Sigortası Primi (1/1000)			
		Referans Model	Gürpınar ve diğ. (1978)	Hancılar ve diğ. (2019)	Kalkan (2019)
<1998	İyi	5.78	5.30 (-%8.30)	6.71 (+%16.09)	5.34 (-%7.61)
	Orta	6.73	6.23 (-%7.43)	7.67 (+%13.97)	6.30 (-%6.39)
	Kötü	8.10	7.68 (-%5.19)	8.93 (+%10.25)	7.69 (-%5.06)
≥1998	-	4.33	3.89 (-%10.16)	5.17 (+%19.40)	3.93 (-%9.24)

Tablo 9.11’de görüldüğü gibi Gürpınar ve diğ. (1978) ve Kalkan (2019) tarafından önerilen MHO kullanılması durumunda prim oranlarında düşüş meydana gelirken Hancılar ve diğ. (2019) tarafından önerilen MHO kullanılması durumunda

ticari deprem sigortası prim değerleri yükselmektedir. Yapılan incelemeler, en büyük hasar olasılıklarına, düşük ve orta MYH seviyelerinde hasarsız, hafif ve orta hasar durumlarında ulaşıldığını göstermektedir. Tablo 9.8 ve Şekil 9.2 ile de açıklandığı üzere, düşük ve orta MYH'larının sigorta primlerine katkısının yüksek olduğu görülmüştür. Bu nedenle hasarsız, hafif ve orta hasara karşılık gelen MHO'larının artması, sigorta prim oranlarının artmasına neden olmaktadır. Gürpınar ve diğ. (1978) ve Kalkan (2019) tarafından önerilen MHO'larının bu üç hasar durumuna katkısı, referans modele kıyasla daha azdır. Bu durum, bu iki çalışmada önerilen MHO ile belirlenen prim oranlarının, referans modele göre hesaplanan prim oranlarından daha düşük (~%10) olmasına sebep olmaktadır. Hancılar ve diğ. (2019) tarafından önerilen MHO'larının kullanılması durumunda ise hasarsız, hafif ve orta hasarın ortalama hasar oranına katkısı artmakta, bu durum da sigorta prim değerlerinde %19.4'lük bir artış meydana getirmektedir.

Ortalama hasar oranlarının hesabında kullanılan MHO değerleri en fazla deprem performansı iyi yapıların ticari deprem sigortası primini etkilemektedir. Tablo 9.11'de görüldüğü gibi en büyük değişiklik TDY1998 ve iyi kalitedeki TDY1975 binalarında meydana gelmektedir. Bu duruma düşük MYH değerlerinde hasarsız, hafif ve orta hasar olasılıklarının yüksek olmasının yanında ağır hasar ve göçme olasılıkların sifıra yakın olması neden olmaktadır.

Yapılan değerlendirmeler neticesinde, sigorta prim oranları üzerindeki en büyük etkiyi HOM hesap yönteminin gösterdiği sonucuna varılmıştır. Daha önce de bahsedildiği üzere yapılan tez çalışmasında HOM'de yer alan hasar olasılıklarını elde etmek için 3 farklı analitik hesap yöntemi kullanılmıştır. Hesaplamalar sırasında kullanılan yaklaşımların her biri kendi içinde çeşitli varsayımlar barındırmaktadır. Olası En Büyük Hasar Yöntemi ile yapılan hesapta MYH grubunda yapının en yüksek hasar seviyesi göz önüne alınmıştır. Bu durum şu örnekle özetlenebilir: MYH grubunda yer alan tek bir ivme kaydında bile yapı göçme durumuna ulaşmışsa, yapının o MYH grubunda göçme durumunda olduğu kabul edilmiştir. Bu durum yapı grupları için elde edilen hasar olasılıklarının oldukça yüksek olmasına neden olmaktadır. Bölüm 7.5'te yer alan sonuçlar bu duruma işaret etmektedir. Diğer bir analitik hesap yöntemi olan Lognormal Dağılım Yönteminde her bir MYH grubundaki hasar olasılıkları, Bölüm 6.2'de gerçekte aşılma olasılıklarına en yakın lognormal eğriler ile

temsil edilen hasar görebilirlik eğrilerinden elde edilmiştir. Bu nedenle hasar görebilirlik eğrileri de kendi içinde bir belirsizlik taşımaktadır.

HOM hesap yöntemlerindeki bahsedilen belirsizliklerin sigorta primleri üzerindeki etkisini araştırmak amacıyla, her bir yöntem tek başına değerlendirilmiş ve her biri için deprem sigortası prim değerleri elde edilmiştir. Tablo 9.12’de HOM hesap yöntemlerinin ticari deprem sigortası primleri üzerindeki etkisi görülmektedir.

Tablo 9.12: HOM hesap yönteminin ticari deprem sigortası primi üzerindeki etkisi

Bina Yapım Yılı	Bina Kalite Sınıfı	Ticari Deprem Sigortası Primi (1/1000)			
		Referans Model	Olası En Büyük Hasar Yöntemi	Lognormal Dağılım Yöntemi	Doğrudan Olasılıklar Yöntemi
<1998	İyi	5.78	9.60 (+%66.09)	4.84 (-%16.26)	4.82 (-%16.61)
	Orta	6.73	10.45 (+%55.27)	5.82 (-%13.52)	5.80 (-%13.82)
	Kötü	8.10	12.48 (+%54.07)	7.04 (-%13.09)	6.97 (-%13.95)
≥1998	-	4.33	7.03 (+%62.36)	3.68 (-%15.01)	3.63 (-%16.17)

Tablo 9.12’ye bakıldığında elde edilen en yüksek (~%55-%65 artış) prim farkları Olası En Büyük Hasar Yöntemi ile elde edilmiştir. HOM yöntemi ile elde edilen hasar olasılıklarının artması hesaplanan sigorta primlerinin yükselmesine neden olmaktadır. Denizli’de yer alan yapı gruplarının HOM hesabındaki bu belirsizlikleri hasar olasılıklarına dâhil etmek için yapı gruplarına ait ortalama hasar oranları mantık ağacı ile elde edilmiştir. Tablo 9.12’de yer alan değerlerdeki bu büyük farklılıklar kullanılan mantık ağacını destekler niteliktedir.

Bölüm 8’de görüldüğü üzere OSTA kendi içinde birçok belirsizlik barındırmaktadır. Denizli’nin sismik tehlike eğrisine bu belirsizlikleri yansıtmak için mantık ağacı yöntemi kullanılmıştır. Bölge için oluşturulan mantık ağacında deprem kataloğunda sadece anaşokların bulunduğu ve anaşoklar ile öncü+artçı şokların da hesaba dâhil edildiği iki farklı senaryo kullanılmıştır. Deprem kataloğundaki bu belirsizliğin sigorta primleri üzerindeki etkisini araştırmak için sadece anaşoklar kullanılarak OSTA yeniden yapılmıştır. Bölge için tekrar hesaplanan sismik tehlikenin ardından elde edilen sigorta prim değerleri Tablo 9.13’te görülmektedir.

Tablo 9.13: OSTA’nde deprem kataloğunun ticari deprem sigortası primi üzerindeki etkisi

Bina Yapım Yılı	Bina Kalite Sınıfı	Ticari Deprem Sigortası Primi (1/1000)	
		Referans Model	Anaşok Deprem Kataloğu
<1998	İyi	5.78	4.77 (-%17.47)
	Orta	6.73	5.56 (-%17.38)
	Kötü	8.10	6.69 (-%17.41)
≥1998	-	4.33	3.56 (-%17.78)

Tablo 9.13’te görüldüğü gibi sadece anaşokların kullanılması durumunda MYH’larına karşılık gelen aşılma olasılıklarının düşmesi, ticari deprem sigorta primlerinde ~%18’lik bir azalma meydana getirmiştir. Deprem kataloğunda sadece anaşokların kullanılması yüksek MYH değerlerinden ziyade düşük ve orta MYH’ndaki olasılık değerlerinde belirgin etkiye sahiptir (bkz. Şekil 8.20). Bu durum sigorta prim hesabında yüksek MYH’na sahip depremlerden ziyade düşük ve orta MYH’na sahip depremlerin etkisini bir kez daha ortaya koymaktadır.

10. SONUÇLAR ve ÖNERİLER

10.1 Özet

Yapılan tez çalışması kapsamında, Denizli’den seçilen çok sayıda mevcut betonarme bina, deprem performanslarına ve yapım yıllarına bağlı olarak kalite sınıflarına ayrılmıştır. Benzer yönetmelik koşullarına göre tasarlanmış farklı performans sınıflarına ait binaların deprem sigortası primleri, olasılıksal hesap modelleri kullanılarak çeşitlendirilmiştir. Bu amaçla, olasılıksal sismik tehlike analizi ile bölgede farklı MYH seviyelerinin aşılma olasılıkları hesaplanmış ve yapılardaki muhtemel hasar olasılıkları ile birleştirilmiştir.

Denizli’deki betonarme yapılarda olası hasar dağılımını gerçekçi bir şekilde tahmin etmek için belediyelere ait proje arşivlerinde envanter çalışmaları yapılmıştır. Yapılan değerlendirmeler neticesinde mevcut bina stokunun çok büyük bir kısmını temsil eden 3, 4, 5 ve 6 katlı 40 adet bina seçilmiştir. 20 tanesi TDY1975 ve 20 tanesi de TDY1998’e göre projelendirilen bu binalara ait uygulama projeleri elde edilmiştir. Yapılara ait doğrusal olmayan analiz modelleri hazırlanarak bölgeyi temsil eden yapı stoku oluşturulmuştur.

Yapı stokundaki binaların yük ve deplasman kapasiteleri doğrusal olmayan statik itme analizleri ile belirlenmiştir. Yük ve deplasman kapasiteleri belirlenen yapıların kapasite parametreleri (V_{t-y}/W , μ) elde edilmiştir. Binaların deplasman talebini belirlemek için 12 adet MYH grubunda yer alacak şekilde toplam 364 adet ivme kaydı seçilmiş ve 80 adet mevcut ÇSD betonarme bina modeli için 29120 adet doğrusal olmayan dinamik analiz gerçekleştirilmiştir.

Doğrusal olmayan analizler ile elde edilen kapasite ve talep deplasman değerleri karşılaştırılarak hasar sınırlarının aşılma olasılıkları hesaplanmıştır. Elde edilen aşılma olasılıklarına en yakın lognormal eğriler kullanılarak görebilirlik eğrileri elde edilmiştir. Hasar görebilirlik eğrilerinin değerlendirilmesi ve sınıflandırılması ile TDY1975 binaları kapasite parametrelerine göre üç farklı kalite sınıfına (iyi/orta/kötü)

ayrılmıştır. TDY1998 binalarında hasar olasılıkları oldukça düşük olduğu için kalite açısından herhangi bir sınıflandırmaya ihtiyaç duyulmamıştır.

Denizli'deki yapıların hasar olasılıklarını temsil eden hasar olasılık matrisleri, aşılma olasılıklarının analitik yoldan hesabına dayanan üç farklı hesap yöntemi ile elde edilmiştir. Farklı kalite sınıfına ayrılan binaların 12 farklı MYH grubundaki hasar dağılımını temsil eden ortalama hasar oranlarının hesabı için mantık ağacı yaklaşımı kullanılmıştır. Ortalama hasar oranları için oluşturulan mantık ağacında 3 farklı merkezi hasar oranı ve 3 farklı analitik hesap yöntemi için 9 farklı alternatif hesap modeli oluşturulmuştur. Mantık ağacı yaklaşımı sonucunda 4 farklı yapı grubunu (iyi/orta/kötü kalitedeki TDY1975 ve TDY1998 binaları) temsil eden olası hasar dağılımları elde edilmiştir.

Bölgenin deprenselliğini belirlemek için OSTA gerçekleştirilmiştir. Bunun için öncelikle bölgeye ait deprem kataloğu oluşturulmuş ve deprem büyüklük-sıklık ilişkisi belirlenmiştir. Deprem oluşumundaki epistemik ve kullanılan yer hareketi tahmin denklemlerindeki belirsizlikler, oluşturulan mantık ağacı ile sismik tehlike eğrilerinin hesabında göz önüne alınmıştır. OSTA sonucu Denizli'de farklı MYH büyüklüklerinin aşılma olasılığını gösteren sismik tehlike eğrisi elde edilmiştir.

Denizli'de bulunan mevcut yapıların olası hasar dağılımları ve bölgenin sismik tehlikesinin belirlenmesi ile iyi/orta/kötü kalitedeki TDY1975 ve TDY1998 binalarına ait deprem sigortası risk primleri olasılıksal hesap modeli ile hesaplanmıştır. Tez kapsamında elde edilen prim değerleri ile ülkemizde uygulanan zorunlu deprem sigortası prim değerleri ile karşılaştırılmıştır.

10.2 Sonuçlar

Yapılan tez çalışması sonucu elde edilen bulgular aşağıda özetlenmiştir:

- (i) Mevcut binalar dayanım kapasiteleri açısından değerlendirildiğinde, TDY1998 ve TDY1975 binaları için elde edilen ortalama yatay dayanım oranları (V_{t-y}/W) arasında yaklaşık iki kat fark bulunmuştur. TDY1998 binaları için 0.311 olarak elde edilen bu ortalama değer,

TDY1975 binalarında gerek düşük malzeme kalitesi gerek kolon boyutlarında üst katlara doğru meydana gelen küçülmeler nedeniyle 0.159 değerine inmektedir. Bu durum TDY1975 binalarının hem dayanım hem de rijitlik kapasitelerinin daha az hesaplanmasına sebep olmaktadır.

- (ii) TDY1975 ve TDY1998 binaları süneklik kapasiteleri (μ_{Δ}) açısından kıyaslandığında önemli miktarda fark görülmesi de yapıların yatay ötelenme kapasiteleri arasında ciddi farklılıklar (~2 kat) bulunduğu belirlenmiştir. TDY1975 binalarına ait hem akma deplasmanlarının hem de maksimum ötelenme kapasitelerinin küçük olması, TDY1998 binaları ile benzer süneklik katsayılarının hesaplanmasına sebep olmaktadır. Hâlbuki TDY1998 binaları için hesaplanan ortalama yatay ötelenme kapasitesi %1.94 iken bu değer TDY1975 binaları için ancak %1.00 olarak elde edilmiştir.
- (iii) TDY1975 binalarının akma anındaki yatay ötelenme kapasitelerinin ortalamasının (%0.18), TDY1998 binalarına göre (%0.32) daha düşük olduğu belirlenmiştir. Ayrıca TDY1975 binalarında standart sapma değerinin düşük olması, akma anında hesaplanan ötelenme değerlerinin ortalamaya oldukça yakın olduğunu göstermiştir.
- (iv) Literatürde yer alan pek çok çalışmada da tespit edildiği gibi, yapılan bu çalışma sonucunda da artan periyot değerlerinin deplasman sünekliklerinin azalmasına neden olduğu belirlenmiştir.
- (v) TDY1975 ve TDY1998 binalarında kat sayıları arttıkça yatay dayanım oranlarında önemli ölçüde azalma meydana gelmektedir. Çok katlı yapıların özellikle üst katlarında yer alan elemanların tasarımını belirleyen minimum yönetmelik koşulları, bu durumun ortaya çıkmasının sebeplerinden birisidir.
- (vi) Binaların hasar dağılımları incelendiğinde TDY1975 binalarının “Göçme Öncesi” performans düzeyini DBYBHY2007’de yer alan kolon şartının, TDY1998 binalarında ise kiriş şartının kontrol ettiği belirlenmiştir. TDY1975 binalarında kolonlarda kirişlerden önce hasar meydana gelmesinin nedeni olarak düğüm noktalarına bağlanan kolonların moment taşıma kapasitelerinin düşük olması gösterilebilir.

- (vii) TDY1975 ve TDY1998 binalarının doğrusal olmayan dinamik analizleri neticesinde elde edilen yatay ötelenme taleplerinin artan MYH değerleriyle birlikte arttığı görülmüştür. TDY1975 ve TDY1998 binalarında düşük MYH grubundaki ortalama yatay ötelenme talepleri aynı olsa da yüksek MYH değerlerinde TDY1975 binalarında daha fazla yatay ötelenme talepleri elde edilmiştir.
- (viii) Hasar görebilirlik eğrilerine bakıldığında, TDY1975 binalarının hafif ve orta hasar görme olasılıklarının TDY1998 binalarına göre oldukça yüksek olduğu görülmüştür. TDY1975 binalarında düşük MYH değerlerinde bile hafif hasar görme olasılıkları yüksek değerler almaktadır.
- (ix) TDY1975 ve TDY1998 binalarının ağır hasar ve göçme olasılıkları ile diğer hasar seviyelerini görme olasılıkları arasında büyük farklar bulunmaktadır. TDY1975 binalarında düşük MYH değerlerinde bile yüksek ağır hasar görme ve göçme olasılığı oluşmaktadır. TDY1998 binalarında ise hafif ve orta hasar oluşsa bile ağır hasar ve göçme olasılıkları oldukça düşük seviyelerde kalmaktadır.
- (x) Mevcut binaların hasar görebilirlik eğrileri üzerinde yapılan değerlendirmeler neticesinde, bina periyotlarının hasar görebilirlik eğrilerinin sınıflandırılması konusunda yatay dayanım oranı ve süneklik kapasitesi kadar önemli ve etkili bir parametre olmadığı sonucuna varılmıştır.
- (xi) Yapılan değerlendirmeler neticesinde TDY1998 binaları çok düşük ağır hasar ve göçme olasılıkları aldığı için kalite sınıflarına ayrılamamıştır. Buna karşın her hasar seviyesinde yüksek olasılık değerleri alan TDY1975 binaları, yatay dayanım kapasitesi ve süneklik kapasitesine göre iyi/orta/kötü olmak üzere 3 farklı kalite sınıfına ayrılmıştır.
- (xii) Denizli’de mevcut yapılardaki olası hasar dağılımlarını elde etmek için HOM’leri 3 farklı analitik yöntem ile elde edilmiştir. Hasar dağılımı hesapları birçok belirsizliği olasılık değerlerine yansıtılabilen hasar görebilirlik eğrileri kullanılarak yapılmıştır. Yapılan tez çalışmasında kullanılan Lognormal Dağılım Yöntemi ve Doğrudan Olasılıklar

Yöntemi ile hesap sırasında kullanılan aşılma olasılıkları hasar görülebilirlik eğrilerinden elde edilmiştir.

- (xiii) HOM'lerinin hesabı sırasında, oluşabilecek en büyük hasarı göz önüne alabilmek için Olası En Büyük Hasar Yöntemi de ayrıca kullanılmıştır. Böylelikle analizler sırasında kullanılan kayıtların herhangi birinde oluşabilecek en büyük hasar durumunun ne olacağı, en kötü senaryonun gerçekleşip gerçekleşmeyeceği göz önüne alınmıştır. Elde edilen HOM sonuçları, Olası En Büyük Hasar Yöntemi için bulunan oranların beklendiği gibi yüksek değerler verdiğini, Lognormal Dağılım Yöntemi ve Doğrudan Olasılıklar Yöntemi ile elde edilen hasar olasılıklarının ise nispeten birbirine yakın olduğunu göstermiştir.
- (xiv) HOM için kullanılan her üç yöntemde de en yüksek hasar olasılıklarına kötü kalitedeki TDY1975 binaları, en düşük hasar olasılıkları ise TDY1998 binaları için elde edilmiştir. TDY1998 binaları için elde edilen yüksek deplasman kapasiteleri bu sonucu doğrular niteliktedir.
- (xv) Denizli için tez çalışmasında elde edilen sismik tehlike eğrisi ile Türkiye Sismik Tehlike Haritası kullanılarak belirlenen sismik tehlike olasılıkları karşılaştırılmıştır. Yapılan değerlendirmeler neticesinde, özellikle orta ve yüksek MYH için her iki eğriden elde edilen olasılık değerlerinin birbirine oldukça yakın olduğu görülmüştür. Bu durum tez kapsamında göz önüne alınan sismik tehlike hesaplarının, TBDY2018 çalışmaları ile güncellenen "Türkiye Deprem Tehlike Haritası" ile uyumlu olduğunu göstermektedir.
- (xvi) Elde edilen sismik tehlike eğrisinin belirsizlik parametrelerine duyarlılığı için yapılan değerlendirmelerde, en önemli etkiyi yer hareketi tahmin denklemlerindeki belirsizliklerin meydana getirdiği belirlenmiştir.
- (xvii) Yapılan incelemeler neticesinde, düşük MYH değerlerindeki yer hareketlerinin yıllık aşılma olasılıkları yüksek olmasına rağmen yapılarda daha az hasara yol açtığı görülmüştür. Yüksek MYH değerleri ise bu durumun tam tersi olarak daha düşük aşılma olasılıkları gösterirken özellikle TDY1975 binalarında daha fazla hasara yol açmıştır.

- (xviii) Denizli’de bulunan iyi/orta/kötü kalitedeki TDY1975 ve TDY1998 binaları için elde edilen sigorta prim değerleri sırasıyla 5.78, 6.73, 8.10 ve 4.33 olarak elde edilmiştir.
- (xix) Depremın şiddeti arttıkça olasılığının düşmesi, mevcut binaların deprem sigortası primlerinin büyük bir kısmını (~%75) düşük ve orta büyüklükteki MYH gruplarının oluşturmasına sebep olmaktadır. Bu durum, bölge için yapılan OSTA’nde düşük ve orta şiddetli depremlerin deprem büyüklüğü-sıklık ilişkilerine dikkat edilmesi gerektiğini işaret etmektedir.
- (xx) Yapılan değerlendirmeler sonucunda, Denizli’de bulunan mevcut betonarme binalar için DASK tarafından belirlenen zorunlu deprem sigortası prim değerinin (%2.2) tez kapsamında hesaplanan prim değerlerinden oldukça düşük olduğu görülmüştür. Bu durumun ilk nedeni, DASK’nun kâr amacı olmayan bir kurum olması nedeniyle hesaplarda kullanılan ve sigorta şirketlerinin kârını temsil eden YF katsayısının 0.4 yerine sıfır değerini almasıdır. İkinci önemli neden ise DASK tarafından uygulanan %2’lik tenzili muafiyet oranıdır.
- (xxi) Tez kapsamında farklı kalitedeki TDY1975 binalarının deprem sigorta primleri arasında ~%40 fark bulunmaktadır. Bu fark kötü kalite TDY1975 binaları ile TDY1998 binaları arasında neredeyse 2 katına çıkmaktadır. Bu durum yapılan tez çalışmasının da işaret ettiği üzere, DASK tarafından uygulanan deprem sigorta primlerinin sadece yapıların yapım yılı ve bulunduğu deprem bölgesinden ziyade yapıların sismik performansına/kapasite parametrelerine göre çeşitlendirilmesi gerektiğini vurgulamaktadır.

10.3 Gelecek Çalışmalar için Öneriler

Yapılan tez çalışmasından edinilen deneyimlere göre mevcut binaların deprem sigortası prim hesabına yönelik öneriler 3 konu başlığı altında toplanmıştır. Bu başlıklardan ilki hasar oranlarının hesabı ile ilgilidir.

Tez çalışması kapsamında Denizli Belediye arşivlerinde yapılan envanter çalışmaları sonucu bölgeyi temsil eden yapı stoku belirlenmiştir. Yapılara ilişkin hesaplar sırasında yapıların uygulama projelerine tam anlamıyla uygun olarak yapıldığı kabul edilmiştir. Yapılarda deprem sırasında meydana gelen hasarların büyük kısmının düşük malzeme dayanımı ve uygulama hatalarından kaynaklandığı bilinmektedir. Dolayısıyla yapı kataloğundaki binaların malzeme kaliteleri ve deprem performansına etki edebilecek yapısal bilgilerin saha çalışmaları ile belirlenmesi, olası hasar dağılımlarını daha gerçekçi şekilde tahmine imkân verebilir. Saha çalışmalarına ek olarak bölgedeki yapı stokunun tamamını temsil etmesi için 7 ve daha yüksek katlı yapılar yapı kataloğuna ilave edilebilir.

Bu çalışmada yapılarda olası hasar tahmini için her bir kalite sınıfını temsil eden ortalama hasar oranları elde edilmiştir. Ortalama hasar oranları, belli bir yer hareketi değerinde ve belli bir hasar durumuna karşılık gelen hasar olasılığı ile yapının onarım/yeniden yapım maliyetini temsil eden ilgili Merkezi Hasar Oranının (MHO) çarpılması ile elde edilmektedir. Tez çalışmasında MHO değerlerindeki belirsizliği en aza indirmek için üç farklı MHO değeri mantık ağacında tanımlanmıştır. Buna rağmen, hasar tahmini için kullanılan MHO değerlerinin günümüz şartları için analiz edilerek yenilenmesi gerçekçi hasar tahminleri için önem taşımaktadır.

Tez çalışmasında kullanılan doğrusal olmayan analiz modellerinde kolon ve kiriş elemanların doğrusal olmayan davranışlarını temsil etmek için DBYBHY2007 Bölüm 7’de yer alan donatı ve betona ait şekildeğiştirme sınırları kullanılmıştır. Elemanların rijitliğini temsil etmek için yine aynı yönetmelikte yer alan etkin eğilme rijitlikleri kullanılmıştır. 1 Ocak 2019 tarihinde yürürlüğe giren Türkiye Bina Deprem Yönetmeliği ile (TBDY2018) etkin eğilme rijitlikleri ve kesit dönme kapasiteleri güncellenmiştir. Bu nedenle deprem kataloğunda yer alan binaların doğrusal olmayan analiz modelleri TBDY2018 hükümleri çerçevesinde yenilenerek binalara ait kapasite parametreleri ve yer değiştirme talepleri yenilenebilir.

Yapılan çalışmada mevcut binaları kalite açısından sınıflandırmak için kapasite parametrelerine (V_{t-y}/W , μ_{Δ}) ihtiyaç duyulmuştur. Binaların kapasite parametrelerini elde edebilmek için yapıların analiz modellerinin oluşturulması ve statik itme analizleri ile kapasite parametrelerinin belirlenmesi gerekmektedir. Binaların kapasite parametrelerinin yanı sıra yapısal özelliklerine göre sınıflandırabilmek, gelecekte

mevcut binaların deprem performansını dolayısıyla da deprem sigortası primlerini hesaplamada büyük kolaylık sağlayacaktır.

Çalışmadan edinilen bilgiler ışığında, gelecekteki çalışmalara yönelik ikinci öneri bölgeye ait sismik tehlike eğrilerinin hesabına yöneliktir.

Denizli için oluşturulan deprem kataloğunda farklı magnitüd ölçeğinde birçok aletsel kayıt bulunmaktadır. Deprem büyüklüğü-sıklık ilişkisi için bu farklı ölçekteki kayıtların tek cins magnitüd ölçeğine dönüştürülmesi gerekmektedir. Literatürde bu amaçla önerilen birçok bağıntı yer almaktadır. Yapılan tez çalışmasında UDAP (2014) tarafından öneriler bağıntılar referans alınmıştır. Deprem kataloğunda yer alan bu belirsizlik mantık ağacında tanımlanarak sismik tehlike eğrilerinin hesabına dâhil edilebilir.

Bölge için oluşturulan deprem kataloğunda yer alan öncü+artçı şokların belirlenmesi için literatürde çok fazla çalışma yer almaktadır. Yapılan tez çalışmasında yine UDAP (2014) raporları referans alınarak literatürde bulunan zaman ve uzaklık bağıntılarından faydalanılmıştır. Gelecekte yapılacak çalışmalarda yapılan tezden farklı olarak küme-link yöntemleri ile öncü ve artçı şokların etki alanları içerisindeki depremler de göz önüne alınabilir.

Denizli için yapılan OSTA'nde depremlerin oluşumunda zaman ve mesafe açısından birbirinden bağımsız olduklarını kabul eden bir yaklaşım göz önüne alınmıştır. Literatürde kullanılan modele alternatif olarak, depremlerin zaman açısından bağımlı olduğu kabulüne dayanan sismik tehlike analizi modelleri de bulunmaktadır. Gelecekte yapılacak çalışmalarda bahsedilen modeller ile bölgenin sismik tehlike eğrisi güncellenebilir.

Yapılan bu çalışmada deprem büyüklüklerinin dönüş periyotlarının hesabı sırasında Gutenberg-Richter tekrarlanma yasası parametreleri en küçük kareler yöntemi ile belirlenmiştir. Literatürde bu parametrelerin elde edilmesi için farklı yaklaşımlar da mevcuttur. OSTA'nde bu belirsizlik mantık ağacında farklı modeller oluşturularak temsil edilebilir ve sismik tehlike eğrisi hesabında göz önüne alınabilir.

Gelecek çalışmalar için yapılacak son öneriler tez çalışmasının amacını oluşturan deprem sigortası prim hesabına ilişkin konu başlığını kapsamaktadır.

Tez çalışması sonunda hesaplanan deprem sigortası prim oranları yapıların projesine tam anlamıyla uygun olarak yapıldığı varsayımı üzerine elde edilmiştir. Yapının sismik performansını etkileyen olumsuz durumların (yumuşak kat, kısa kolon, kapalı çıkma, kötü beton ve işçilik kalitesi vb.) deprem sigortası prim hesabına etkilerini göz önüne alan yeni çalışmalar yapılabilir.

Ticari prim oranlarının hesabında kullanılan ve sigorta şirketlerinin vergi, harcama ve makul miktardaki kârını yansıtan yük faktörü için literatürde yer alan çalışmalarda 0.4 değeri alınmıştır. Ticari prim oranlarının tam olarak belirlenebilmesi için yük faktörü piyasa koşulları göz önüne alınarak güncellenmelidir.

Zorunlu deprem sigortası prim değerlerinin yapıların sismik performansını yansıtan parametrelere göre çeşitlendirilmeli, deprem performansı yüksek yapılar ödüllendirilirken, deprem performansı açısından sorunlu binalar cezalandırılmalıdır. Bunun için de mevcut binaların deprem performanslarını yapısal parametrelere göre sınıflandırmaya imkân veren çalışmaların artırılması gerekmektedir. Bu türden çalışmalardan elde edilen sonuçların kentsel dönüşüm çalışmalarına da katkı sağlayacağı düşünülmektedir.

11. KAYNAKLAR

Abrahamson, N. A. and Youngs, R. R., “A stable algorithm for regression analyses using the random effects model”, *Bull. Seismol. Soc. Am.*, 82(1), 505-510, (1992).

ABYYHY, “*Afet Bölgelerinde Yapılarında Yapılacak Yapılar Hakkında Yönetmelik*”, Ankara: Bayındırlık ve İskân Bakanlığı, (1975).

ABYYHY, “*Afet Bölgelerinde Yapılarında Yapılacak Yapılar Hakkında Yönetmelik*”, Ankara: Bayındırlık ve İskân Bakanlığı, (1998).

Akın, B., “A case study of public/private partnership: the Turkish Catastrophe Insurance Pool”, *Middle East Insurance Review*, 52-54, (2008).

Akiyama, M., Suzuki, M. and Frangopol, D. M., “Stress-averaged strain model for confined high-strength concrete”, *ACI Struct. J.*, 107(2), (2010).

Akkar, S. and Çağnan, Z., “A local ground-motion predictive model for Turkey, and its comparison with other regional and global ground-motion models”, *Bull. Seismol. Soc. Am.*, 100(6), 2978-2995, (2010).

Akkar, S., Sandıkkaya, M. A. and Bommer, J. J., “Empirical ground-motion models for point-and extended-source crustal earthquake scenarios in Europe and the Middle East”, *Bull. Earthquake Eng.*, 12(1), 359-387, (2014).

Akkar, S., Sucuoğlu, H. and Yakut, A., “Displacement-based fragility functions for low-and mid-rise ordinary concrete buildings”, *Earthq. Spectra*, 21(4), 901-927, (2005).

Akkar, S., and Özen, Ö., “Effect of peak ground velocity on deformation demands for SDOF systems”, *Earthquake Eng. Struct. Dyn.*, 34(13), 1551-1571, (2005).

Ambraseys, N. N. and Sarma, S. K., “The response of earth dams to strong earthquakes”, *Geotechnique*, 17(3), 181-213, (1967).

Amendola, A., Ermoliev, Y., Ermolieva, T. Y., Gitis, V., Koff, G. and Linnerooth-Bayer, J., “A systems approach to modeling catastrophic risk and insurability”, *Nat. Hazards*, 21(2-3), 381-393, (2000).

Anagnos, T. and Kiremidjian, A. S., “Stochastic time-predictable model for earthquake occurrences”, *Bull. Seismol. Soc. Am.*, 74(6), 2593-2611, (1984).

Arima, A., *Progress in particle and nuclear physics*, (4), New York: Pergamon, 45-52, (1978).

Askan, A. and Yüçemen, M. S., “Probabilistic methods for the estimation of potential seismic damage: Application to reinforced concrete buildings in Turkey”, *Struct. Saf.*, 32(4), 262-271, (2010).

ATC-13, “*Earthquake damage evaluation data for California*”, Applied Technology Council, Redwood City, (1985).

ATC-19, “*Structural Response Modification Factors*”, California: Applied Technology Council, (1995).

ATC-40, “*Seismic Evaluation and Retrofit of Concrete Buildings*”, (1-2), California: Applied Technology Council, (1996).

Atkinson, G. M. and Boore, D. M., “Empirical ground-motion relations for subduction-zone earthquakes and their application to Cascadia and other regions”, *Bull. Seismol. Soc. Am.*, 93(4), 1703-1729, (2003).

Atkinson, G. M. and Goda, K., “Probabilistic seismic hazard analysis of civil infrastructure”, (eds: S. Tesfamariam and K. Goda), *Handbook of Seismic Risk Analysis and Management of Civil Infrastructure Systems*, (1), Cambridge: Woodhead Publishing, 3-28, (2013).

Avcı, S., "Türkiye’de nüfusun deprem bölgelerine göre dağılışı (1935-2010)", (ed: Deniz Ekinci), *Fiziki Coğrafya Araştırmaları: Sistemik ve Bölgesel*, (6), İstanbul: Türk Coğrafya Kurumu Yayınları, 301-326, (2011).

Ay, B. Ö., Erberik, A. and Akkar, S., “Fragility based assessment of the structural deficiencies in Turkish RC frame structures”, In: *Proceedings of the First European Conference on Earthquake Engineering and Seismology*, (593), Geneva, Switzerland, (2006).

Aydan, O., Kumsar, H., Ulusay, R. and Tano, H. “Is there a relation between the temperature changes of thermal waters in Denizli region and the earth crust at the Denizli fault zone”, *3rd Earthquake and Geotechnical Conference on Izmir and its Surroundings*, İzmir, (2001^a).

Aydan, Ö., Kumsar, H. and Ulusay, R., “How to infer the possible mechanism and characteristics of earthquakes from striations and ground surface traces of existing faults”, *Seismic Fault Induced Failures*, Tokyo, 153-162, (2001^b).

Aydinođlu, M. N., “Deprem katsayısından performansa göre tasarıma: Bir mühendisin bakış açısından deprem mühendisliğinin 40 yılı”, *Altıncı Ulusal Deprem Mühendisliği Konferansı*, İstanbul, (2007).

Babayev, G., Ismail-Zadeh, A. and Mouël, J. L. L., “Scenario-based earthquake hazard and risk assessment for Baku (Azerbaijan)”, *Nat. Hazards Earth Syst. Sci.*, 10(12), 2697-2712, (2010).

Bilal, M., “Relationships between felt intensity and recorded ground motion parameters for Turkey”, M. S. Thesis, *Middle East Technical University*, Ankara, (2013).

Bilal, M., Erberik, M. A. ve Askan, A., “Sismik hasar olasılıklarının alternatif yöntemlerle belirlenmesi: Marmara Bölgesi için bir uygulama”, *2. Türkiye Deprem Mühendisliği ve Sismoloji Konferansı*, Hatay, (2013).

Billah, A. H. M. and Shahria Alam, M., “Seismic fragility assessment of highway bridges: a state-of-the-art review”, *Struct. Infrastruct. Eng.*, 11(6), 804-832, (2015).

Bolt, B. A., “Duration of strong ground motion”, In: *Proceedings of the 5th World Conference on Earthquake Engineering*, (1), 1304-1313, (1973).

Bommer, J. J. and Alarcon, J. E., “The prediction and use of peak ground velocity”, *J. Earthquake Eng.*, 10(01), 1-31, (2006).

Bommer, J. J. and Scherbaum, F., “The use and misuse of logic trees in probabilistic seismic hazard analysis”, *Earthq. Spectra*, 24(4), 997-1009, (2008).

Bommer, J. J., Douglas, J., Scherbaum, F., Cotton, F., Bungum, H. and Fäh, D., “On the selection of ground-motion prediction equations for seismic hazard analysis”, *Seismol. Res. Lett.*, 81(5), 783-793, (2010).

Brillinger, D. R. and Preisler, H. K., “An exploratory analysis of the Joyner-Boore attenuation data”, *Bull. Seismol. Soc. Am.*, 74(4), 1441-1450, (1984).

Brillinger, D. R., “Earthquake risk and insurance”, *Environmetrics*, 4(1), 1-21, (1993).

Castellaro, S., Mulargia, F. and Kagan, Y. Y., “Regression problems for magnitudes”, *Geophys. J. Int.*, 165(3), 913-930, (2006).

CDI, *California Earthquake Liability Questionnaire*, California Department of Insurance, (2001).

Celep, Z., *Deprem mühendisliğine giriş ve depreme dayanıklı yapı tasarımı*, İstanbul: Beta Basım Yayın, (2017).

Chiou, B. J. and Youngs, R. R., “An NGA model for the average horizontal component of peak ground motion and response spectra”, *Earthq. Spectra*, 24(1), 173-215, (2008).

Chopra, A. K. and Goel, R. K., “Evaluation of NSP to estimate seismic deformation: SDF systems”, *J. Struct. Eng.*, 126(4), 482-490, (2000).

Chopra, A. K., *Dynamics of structures: theory and applications to earthquake engineering*, Upper Saddle River (NJ): Pearson Education, Inc, (2013).

Cornell, C. A., “Engineering seismic risk analysis”, *Bull. Seismol. Soc. Am.*, 58(5), 1583-1606, (1968).

Cornell, C.A. and Winterstein, S.R., “Applicability of the Poisson earthquake-occurrence model”, Seismic Hazard Methodology for the Central and Eastern United States, *EPRI Research Report NP-4726*, Electric Power Research Institute, Palo Alto, California, (1986).

Cotton, F., Scherbaum, F., Bommer, J. J. and Bungum, H., “Criteria for selecting and adjusting ground-motion models for specific target regions: Application to central Europe and rock sites”, *J. Seismolog.*, 10(2), 137, (2006).

Çırak, Ç., “Mevcut Binalarda Hızlı Değerlendirme ve Ayrıntılı İnceleme Yöntemleri ile Belirlenen Deprem Performanslarının Değerlendirilmesi”, Yüksek Lisans Tezi, *Pamukkale Üniversitesi Fen Bilimleri Enstitüsü, İnşaat Mühendisliği Anabilim Dalı*, Denizli, (2016).

DASK, “*Tarife ve primler, Doğal Afet Sigortaları Kurumu*”, <https://www.dask.gov.tr/zorunlu-deprem-sigortasi-tarife-ve-primler.html>, (2018).

DBYBHY, “*Deprem Bölgelerine Yapılacak Binalar Hakkında Yönetmelik*”, Ankara: Bayındırlık ve İskân Bakanlığı, (2007).

Degg, M. R., “Earthquake hazard in the Middle East: An evaluation for insurance and reinsurance purposes”, Ph. D. Thesis, *University of Nottingham*, Nottingham, (1988).

Demirci, C., “An Approach for seismic damage assessment of residential buildings”, M. S. Thesis, *Middle East Technical University*, Ankara, (2014).

Demirtaş, R., Erkmén, C. ve Yaman, M., “Denizli ve yakın civarında deprem üreten diri faylar ve Gökpınar Sulama Barajı’nın depremsellik açısından irdelenmesi”, Afet İşleri Genel Müdürlüğü Deprem Araştırma Dairesi, *Rapor No:011*, (2000).

Deniz, A. and Yüçemen, M. S., “Assessment of earthquake insurance rates for the Turkish Catastrophe Insurance Pool”, *Georisk*, 3(2), 67-74, (2009).

Deniz, A. and Yüçemen, M. S., “Magnitude conversion problem for the Turkish earthquake data”, *Nat. Hazards*, 55(2), 333-352, (2010).

Deniz, A., “Estimation of earthquake insurance premium rates based on stochastic methods”, Ph. D. Thesis, *Middle East Technical University*, Ankara, (2006).

Denizli/Merkez ve çevresi, Enlem 37.78° N ve Boylam 29.08°, Google Earth, 04/10/2018, 01 Ocak 2018, (2018).

Deprem Dairesi Başkanlığı (DDB), 1900-20xx Deprem Kataloğu ($M \geq 4.0$) [online], T.C. Başbakanlık Afet ve Acil Durum Yönetimi Başkanlığı, <https://deprem.afad.gov.tr/depremkatalogu>, (01 Ocak 2018), (2018).

Doğan, O., “Multistage seismic assessment methods for existing reinforced concrete buildings and their applicability for retrofitting cost estimation”, M. S. Thesis, *Middle East Technical University*, Ankara, (2013).

Dolce, M., Masi, A., Marino, M. and Vona, M., “Earthquake damage scenarios of the building stock of Potenza (Southern Italy) including site effects”, *Bull. Earthquake Eng.*, 1(1), 115-140, (2003).

Ekici, M. A., “Generalized fragility curves for earthquake insurance premiums”, M. S. Thesis, *Middle East Technical University*, Ankara, (2015).

Eleftheriadou, A. K. and Karabinis, A. I., “Evaluation of damage probability matrices from observational seismic damage data”, *Earthq. Struct.*, 4(3), (2013).

Elghadamsi, F. E. and Mohraz, B., “Inelastic earthquake spectra”, *Earthquake Eng. Struct. Dyn.*, 15(1), 91-104, (1987).

Ellsworth, W. L., Matthews, M. V., Nadeau, R. M., Nishenko, S. P., Reasenberg, P. A., and Simpson, R. W., “A physically-based earthquake recurrence model for estimation of long-term earthquake probabilities”, *US Geol. Surv. Open-File Rept. 99-522*, (1999).

Erberik, M. A., “Fragility-based assessment of typical mid-rise and low-rise RC buildings in Turkey”, *Eng. Struct.*, 30(5), 1360-1374, (2008).

Erberik, M. A., “Seismic risk assessment of masonry buildings in Istanbul for effective risk mitigation”, *Earthq. Spectra*, 26(4), 967-982, (2010).

Erdik, M., Aydinoglu, N., Fahjan, Y., Sesetyan, K., Demircioglu, M., Siyahi, B., Durukal, E., Ozbey, C., Biro, Y., Akman, H. and Yuzugullu, O., “Earthquake risk assessment for Istanbul metropolitan area”, *Earthq. Eng. Eng. Vib.*, 2(1), 1-23, (2003).

Eren, C. ve Luş, H., “Deprem sigortası prim hesabında yapısal performans analizinin etkisi”, *Sekizinci Ulusal Deprem Mühendisliği Konferansı*, 1273-1322, İstanbul, (2015).

Ermoliev, Y. M. and Wets, R. B., *Numerical techniques for stochastic optimization*, Berlin: Springer-Verlag, (1988).

Ermoliev, Y. M., Ermolieva, T. Y., MacDonald, G. J., Norkin, V. I. and Amendola, A., “A system approach to management of catastrophic risks”, *Eur. J. Oper. Res.*, 122(2), 452-460, (2000).

Eurocode 8-3, “*Design of Structures for Earthquake Resistance-Part 3: Assessment and retrofitting of buildings*”, Brussels: CEN, (2005).

Fajfar, P., Vidic, T. and Fischinger, M., “A measure of earthquake motion capacity to damage medium-period structures”, *Soil Dyn. Earthquake Eng.*, 9(5), 236-242, (1990).

Farsangi, E. N., Rezvani, F. H., Talebi, M. and Hashemi, S. A. H., “Seismic risk analysis of steel-MRFs by means of fragility curves in high seismic zones”, *Adv. Struct. Eng.*, 17(9), 1227-1240, (2014).

FEMA-177, “*Estimating Losses From Future Earthquakes*”, Washington D.C.: Federal Emergency Management Agency, (1989).

FEMA-273, “*NEHRP Guidelines for Seismic Rehabilitation of Buildings*”, Washington D.C.: Federal Emergency Management Agency, (1997).

FEMA-356, “*Prestandard and Commentary for the Seismic Rehabilitation of Buildings*”, Washington D.C.: Federal Emergency Management Agency, (2000).

FEMA-440, “*Improvement of Nonlinear Static Seismic Analysis Procedures*”, Washington D.C.: Federal Emergency Management Agency, (2005).

FHWA HI-99-012. “Earthquake Engineering Training Course in Geotechnical and Foundation Engineering”, *NHI Course No. 1998: 13239-Module 9 Publication*, (1998).

Frankie, T. M., Gencturk, B. and Elnashai, A. S., “Simulation-based fragility relationships for unreinforced masonry buildings”, *J. Struct. Eng.*, 139(3), 400-410, (2012).

Freeman, J.H., *Earthquake damage and earthquake insurance*, New York: McGraw-Hill, (1932).

Freeman, S. A., “Evaluations of existing buildings for seismic risk-A case study of Puget Sound Naval Shipyard”, In: *Proceedings of 1st US National Conference on Earthquake Engineering*, Washington, 113-122, (1975).

Gardner, J. K. and Knopoff, L., “Is the sequence of earthquakes in Southern California, with aftershocks removed, Poissonian?”, *Bull. Seismol. Soc. Am.*, 64(5), 1363-1367, (1974).

Goda, K. and Yoshikawa, H., “Earthquake insurance portfolio analysis of wood-frame houses in south-western British Columbia, Canada”, *Bull. Earthquake Eng.*, 10(2), 615-643, (2012).

Gutenberg, B. and Richter, C. F., “Frequency of earthquakes in California”, *Bull. Seismol. Soc. Am.*, 34(4), 185-188, (1944).

Gülay, F. G., Tezcan, S., Bal, İ. E., “Binaların Deprem Güvenliği Konusunda Geliştirilen P25 Puanlama Yönteminin Kalibrasyonu ve Pilot Bölge Uygulaması”, TÜBİTAK MAG Araştırma Projesi, *Türkiye Bilimsel ve Teknolojik Araştırma Kurumu, Proje No: 106M278*, (2008).

Gündođan, S., “1975 Türk Deprem Yönetmeliđine Göre Projelendirilen Mevcut Betonarme Binaların Deprem Performanslarının İncelenmesi”, Yüksek Lisans Tezi, *İstanbul Teknik Üniversitesi Fen Bilimleri Enstitüsü, İnşaat Mühendisliđi Anabilim Dalı*, İstanbul, (2014).

Gürpınar, A., Abalı, M., Yüçemen, M. S. ve Yeşilçay, Y., “Zorunlu Deprem Sigortası Uygunluđu”, *DMAE*, 78(5), Ortadođu Teknik Üniversitesi, Ankara, (1978).

Gürpınar, A. and Yüçemen, M. S., “An obligatory earthquake insurance model for Turkey”, In: *Proceedings of the International Conference on Engineering for Protection from Natural Disasters*, Asian Institute of Technology, Bangkok, Thailand, pp. 895-906, (1980).

Hancılar, U., Şeşetyan, K. ve Çaktı, E., “İstanbul’daki 2000 yılı sonrası binalar için tasarım depremi altında karşılaştırmalı yapısal hasar ve mali kayıp tahminleri”, *Tek. Dergi*, 30(3), 9107-9123, (2019).

Hancılar, U., Çaktı, E., Erdik, M., Franco, G. E. and Deodatis, G., “Earthquake vulnerability of school buildings: Probabilistic structural fragility analyses”, *Soil Dyn. Earthquake Eng.*, 67, 169-178, (2014).

Hanks, T. C. and Kanamori, H., “A moment magnitude scale”, *J. Geophys. Res. Solid Earth*, 84(B5), 2348-2350, (1979).

Hays, W. W., “A note on the duration of earthquake and nuclear-explosion ground motions”, *Bull. Seismol. Soc. Am.*, 65(4), 875-883, (1975).

Hilber, H. M., Hughes, T. J. and Taylor, R. L., “Improved numerical dissipation for time integration algorithms in structural dynamics”, *Earthquake Eng. Struct. Dyn.*, 5(3), 283-292, (1977).

Hoshikuma, J., Kawashima, K., Nagaya, K. and Taylor, A. W., “Stress-strain model for confined reinforced concrete in bridge piers”, *J. Struct. Eng.*, 123(5), 624-633, (1997).

Huang, C. H., Tuan, Y. A. and Hsu, R. Y., “Nonlinear pushover analysis of infilled concrete frames”, *Earthq. Eng. Eng. Vib.*, 5(2), 245-255, (2006).

İlki, A., Comert, M., Demir, C., Orakcal, K., Ulugtekin, D., Tapan, M. and Kumbasar, N., “Performance based rapid seismic assessment method (PERA) for reinforced concrete frame buildings”, *Adv. Struct. Eng.*, 17(3), 439-459, (2014).

Istanbul Metropolitan Municipality Construction Directorate Geotechnical and Earthquake Investigations Department, “*Earthquake Master Plan for Istanbul*”, IMMCDGEID, Istanbul, (2003).

İstanbul Büyükşehir Belediyesi (İBB), “*İstanbul olası deprem kayıp tahminleri*”, Deprem Risk Yönetimi ve Kentsel İyileştirme Daire Başkanlığı Deprem ve Zemin İnceleme Müdürlüğü, (2009).

Kaklamanos, J., Baise, L. G. and Boore, D. M. “Estimating unknown input parameters when implementing the NGA ground-motion prediction equations in engineering practice”, *Earthq. Spectra*, 27(4), 1219-1235, (2011).

Kale, Ö., Akkar, S., Ansari, A. and Hamzehloo, H., “A ground-motion predictive model for Iran and Turkey for horizontal PGA, PGV, and 5% damped response spectrum: Investigation of possible regional effects”, *Bull. Seismol. Soc. Am.*, 105(2A), 963-980, (2015).

Kanda, J. ve Nishijima, K., “Scope of insurance premium for residential houses against seismic risk in Japan”, In: *IFED forum*, 5-9, (2004).

Kappos, A. J., Stylianidis, K. C. and Pitilakis, K., “Development of seismic risk scenarios based on a hybrid method of vulnerability assessment”, *Nat. Hazards*, 17(2), 177-192, (1998).

Karaca, H., “Estimation of potential earthquake losses for the evaluation of earthquake insurance risks”, Ph. D. Thesis, *Middle East Technical University*, Ankara, (2014).

Karayiğit, H., “Taşıyıcı Sistemi Betonarme Çerçevelerden Oluşan Mevcut Binaların Deprem Performanslarının Değerlendirilmesi”, Yüksek Lisans Tezi, *İstanbul Teknik Üniversitesi Fen Bilimleri Enstitüsü, İnşaat Mühendisliği Anabilim Dalı*, İstanbul, (2014).

Kent, D. C. and Park, R., “Flexural members with confined concrete”, *J. Struct. Div.-ASCE*, 97(7), 1969-1990, (1971).

Kircher, C. A., Reitherman, R. K., Whitman, R. V. and Arnold, C. “Estimation of earthquake losses to buildings”, *Earthq. Spectra*, 13(4), 703-720, (2003).

Kirçil, M. S. and Polat, Z., “Fragility analysis of mid-rise R/C frame buildings”, *Eng. Struct.*, 28(9), 1335-1345, (2006).

Kiremidjian, A. S. and Anagnos, T., “Stochastic slip-predictable model for earthquake occurrences”, *Bull. Seismol. Soc. Am.*, 74(2), 739-755, (1984).

Kramer, S. L., *Geotechnical earthquake engineering*, New Jersey: Prentice Hall, 1-653, (1996).

Kunreuther, H., “Mitigating disaster losses through insurance”, *J. Risk Uncertain. Eng. Syst. A Civ. Eng.*, 12(2-3), 171-187, (1996).

Légeron, F. and Paultre, P., “Uniaxial confinement model for normal-and high-strength concrete columns”, *J. Struct. Eng.*, 129(2), 241-252, (2003).

Lin, P. S. and Lee, C. T., “Ground-motion attenuation relationships for subduction-zone earthquakes in northeastern Taiwan”, *Bull. Seismol. Soc. Am.*, 98(1), 220-240, (2008).

Lockett, J. E., “Catastrophes and catastrophe insurances”, *Journal of the Staple Inn Actuarial Society*, 24, 91-134, (1980).

Mander, J. B., Priestley, M. J. and Park, R., “Theoretical stress-strain model for confined concrete”, *J. Struct. Eng.*, 114(8), 1804-1826, (1988).

Martel, R. R., “Earthquake damage to Type III buildings in Long Beach, 1933”, *Earthquake Investigations in the Western United States*, Washington, D.C.: U.S. Coast and Geodetic Survey, 1931-1964, (1964).

McGuire, R. K. and Arabasz, W. J., “An introduction to probabilistic seismic hazard analysis”, *J. Geotech. Geoenviron.*, (1), 333-353, (1990).

Merz, H. A. and Cornell, C. A., “Seismic risk analysis based on a quadratic magnitude-frequency law”, *Bull. Seismol. Soc. Am.*, 63(6-1), 1999-2006, (1973).

Miranda, E. and Bertero, V. V., “Evaluation of strength reduction factors for earthquake-resistant design”, *Earthq. Spectra*, (10), 357-357, (1994).

Miranda, E., “Site-dependent strength-reduction factors”, *J. Struct. Eng.*, 119(12), 3503-3519, (1993).

Miyakoshi, J., Hayashi, Y., Tamura, K. and Fukuwa, N. “Damage ratio functions of buildings using damage data of the 1995 Hyogo-Ken Nanbu earthquake”, In *Proceedings of the 7th International Conference on Structural Safety and Reliability*, (7), Kyoto, Rotterdam, 349-354, (1997).

Mosalam, K. M., Ayala, G., White, R. N. and Roth, C., “Seismic fragility of LRC frames with and without masonry infill walls”, *J. Earthquake Eng.*, 1(4), 693-720, (1997).

Mulyani, R., “Extended framework for earthquake and tsunami risk assessment: Padang City a case study”, Ph. D. Thesis, *University of Sheffield*, Sheffield, (2013).

Muto, K. “Seismic analysis of reinforced concrete buildings”, *Design of Earthquake Resistant Structures*, Shokoku-sha, (1965).

Nassar, A. A. and Krawinkler, H., “Seismic demands for SDOF and MDOF systems”, *Report No. 95*, The John A. Blume Earthquake Engineering Center, Stanford University, Stanford, (1991).

National Earthquake Hazards Reduction Program (NEHRP), “*Recommended provisions for seismic regulations for new buildings and other structures, Part I: Provisions*”, Washington D.C.: Building Seismic Safety Council of the National Institute of Building Sciences, (2003).

Newmark, N. M., “A method of computation for structural dynamics”, *American Society of Civil Engineers*, (1959).

Newmark, N.M. and Hall, W.J., "Seismic Design Criteria for Nuclear Reactor Facilities", (46), *Building Practices for Disaster Mitigation, U.S. Department of Commerce*, 209-236, (1973).

NIBS-National Institute of Building Science, “Earthquake Loss Estimation Methodology”, *HAZUS97: Technical Manual*, Report prepared for the Federal Emergency Management Agency, Washington D.C.: NIBS, (1997).

Onose, J. I., “Prediction of damage ratio of reinforced concrete buildings due to earthquakes and comparison with actual damage ratio”, In: *Proceedings of the 6th Japan Earthquake Engineering Symposium: Japan Society of Civil Engineers*, Tokyo, 2081-8, (1982).

Orsini, G., “A model for buildings' vulnerability assessment using the parameterless scale of seismic intensity (PSI)”, *Earthq. Spectra*, 15(3), 463-483 (1999).

Öcalan, B., “Mevcut Hasargörebilirlik İlişkilerinin Betonarme Bir Bina Stoğunda Uygulanabilirliğinin İncelenmesi”, Yüksek Lisans Tezi, *İstanbul Teknik Üniversitesi Deprem Mühendisliği ve Afet Yönetimi Enstitüsü, Deprem Mühendisliği Anabilim Dalı*, İstanbul, (2013).

Özcebe, G., Yüccemen, M. S. and Aydoğan, V. “Statistical seismic vulnerability assessment of existing reinforced concrete buildings in Turkey on a regional scale”, *J. Earthquake Eng.*, 8(5), 749-773, (2004).

Özcebe, G., Yüçemen, M. S., Aydoğan, V. ve A. Yakut., “Preliminary Seismic Vulnerability Assessment of Existing Reinforced Concrete Buildings in Turkey-Part I: Statistical Model Based on Structural Characteristics”, (eds: S. T. Wasti and G. Özcebe), *Seismic Assessment and Rehabilitation of Existing Buildings*, Dordrecht: Springer, 29-42, (2003).

Özmen, H. B., İnel, M., Meral, E. and Bucakli, M., “Vulnerability of low and mid-rise reinforced concrete buildings in Turkey”, In: *Proceedings of the 14th European Conference on Earthquake Engineering*, Ohrid, Macedonia, (2010).

Öztürk, N., “Probabilistic seismic hazard analysis: a sensitivity study with respect to different models”, Ph. D. Thesis, *Middle East Technical University*, Ankara, (2008).

Pacific Earthquake Engineering Research Center (PEER), PEER NGA Database [online], (25 Eylül 2018), <https://ngawest2.berkeley.edu/>, (2010).

Page, R.A., Boore, D.M., Joyner, W.B. and Coulter, H.W., “Ground motion values for use in seismic design of the trans-Alaska pipeline system”, *US Geological Survey Circular 672*, (1972).

Palanci, M., “Mevcut Prefabrik Sanayi Yapılarında Deprem Sigortası Risk Primlerinin Olasılıksal Yöntemler ile Tahmini”, Doktora Tezi, *Pamukkale Üniversitesi Fen Bilimleri Enstitüsü, İnşaat Mühendisliği Anabilim Dalı*, Denizli, (2014).

Palanci, M., Kalkan, A. and Senel, S. M., “Investigation of shear effects on the capacity and demand estimation of RC buildings”, *Struct. Eng. Mech.*, 60(6), 1021-1038, (2016).

Palanci, M., Senel, S. M. and Kalkan, A., “Assessment of one story existing precast industrial buildings in Turkey based on fragility curves”, *Bull. Earthquake Eng.*, 15(1), 271-289, (2017).

Pant, D. R., Wijeyewickrema, A. C. and ElGawady, M. A., “Appropriate viscous damping for nonlinear time-history analysis of base-isolated reinforced concrete buildings”, *Earthquake Eng. Struct. Dyn.*, 42(15), 2321-2339, (2013).

Park, R., “Ductility evaluation from laboratory and analytical testing”, In: *Proceedings of the 9th World Conference on Earthquake Engineering*, (8), Tokyo, Japan, 605-616, (1988).

Park, R., Priestley, M. J. and Gill, W. D., “Ductility of square-confined concrete columns”, *J. Struct. Div.-ASCE*, 108(4), 929-950, (1982).

Park, Y. J. and Ang, A. H. S., “Mechanistic seismic damage model for reinforced concrete”, *J. Struct. Eng.*, 111(4), 722-739, (1985).

Paulay, T. and Priestley, M. J. N., *Seismic design of reinforced concrete and masonry buildings*, Canada: John Wiley&Sons, (1992).

Pejovic, J. and Jankovic, S., “Seismic fragility assessment for reinforced concrete high-rise buildings in Southern Euro-Mediterranean zone”, *Bull. Earthquake Eng.*, 14(1), 185-212, (2016).

Popescu, E., Grecu, B., Popa, M., Rizescu, M. and Radulian, M., “Seismic source properties: indications of lithosphere irregular structure on depth beneath the Vrancea region”, *Romanian Reports in Physics*, 55(3), 485-510, (2003).

Ramamoorthy, S. K., “Seismic Fragility Estimates for Reinforced Concrete Framed Buildings”, Ph.D Thesis, *Texas A&M University*, (2006).

Rayleigh, J. W. S., *The theory of sound: in two volumes*, (2), Macmillan, (1877).

Razvi, S. and Saatcioglu, M., “Confinement model for high-strength concrete”, *J. Struct. Eng.*, 125(3), 281-289, (1999).

Reasenbergs, P., “Second-order moment of central California seismicity, 1969-1982”, *J. Geophys. Res. Solid Earth*, 90(B7), 5479-5495, (1985).

Reid, H. F., “The elastic-rebound theory of earthquakes”, *Bull. Dept. Geol.*, 6(19), 413-444, (1911).

Rossetto, T. and Elnashai, A., “Derivation of vulnerability functions for European-type RC structures based on observational data”, *Eng. Struct.*, 25(10), 1241-1263, (2003).

RYTEİE, “*Riskli Yapıların Tespit Edilmesine İlişkin Esaslar*”, Ankara: T.C. Çevre ve Şehircilik Bakanlığı, (2013).

Sandıkkaya, M. A., Akkar, S. and Bard, P. Y., “A nonlinear site-amplification model for the next pan-European ground-motion prediction equations”, *Bull. Seismol. Soc. Am.*, 103(1), 19-32, (2013).

SAP2000, Structural Analysis Program v19.2, Computers and Structures, Berkeley, CA, (2000).

Scawthorn, C., Kunreuther, H. and Roth, R., “Insurance and financial risk transfer”, (eds: W. F. Chen and C. Scawthorn), *Earthquake Engineering Handbook*, (3), Washington DC.: CRC Press, 1-34, (2003).

Scherbaum, F., Bommer, J. J., Bungum, H., Cotton, F. and Abrahamson, N. A., “Composite ground-motion models and logic trees: methodology, sensitivities, and uncertainties”, *Bull. Seismol. Soc. Am.*, 95(5), 1575-1593, (2005).

Schwartz, D. P. and Coppersmith, K. J. “Fault behavior and characteristic earthquakes: Examples from the Wasatch and San Andreas fault zones”, *J. Geophys. Res. Solid Earth*, 89(B7), 5681-5698, (1984).

SeismoSpect, SeismoSpect v2.1.2, Seismosoft Ltd, İtalya, (2015).

Sheikh, S. A. and Uzumeri, S. M., “Analytical model for concrete confinement in tied columns”, *J. Struct. Div.-ASCE*, 108(12), 2703-2722, (1982).

Shlien, S. and Nafi Toksöz, M., “A clustering model for earthquake occurrences”, *Bull. Seismol. Soc. Am.*, 60(6), 1765-1787, (1970).

Singhal A. and Kiremidjian A. S., “A method for earthquake motion damage relationships with application to reinforced concrete frames”, State University of New York at Buffalo: *National Center for Earthquake Engineering Research Report NCEER-97-0008*, (1997).

Singhal, A. and Kiremidjian, A. S., “Method for probabilistic evaluation of seismic structural damage”, *J. Struct. Eng.*, 122(12), 1459-1467, (1996).

Smolka, A. and Berz, G., “Seismic zoning in earthquake insurance: past and future”, In: *Proceedings of the Fourth International Conference on Seismic Zonation*, (4), 245-252, (1991).

Smolka, A. and Berz, G., “The Mexico Earthquake of September 19, 1985-An analysis of the insured loss and implications for risk assessment”, *Earthq. Spectra*, 5(1), 223-248, (1989).

Spears, R. E. and Jensen, S. R., “Approach for selection of Rayleigh damping parameters used for time history analysis”, *J. Pressure Vessel Technol.*, 134(6), (2012).

Spence, R. J. S., Coburn, A. W., Pomonis, A. and Sakai, S., “Correlation of ground motion with building damage: the definition of a new damage-based seismic intensity scale”, In: *Proceedings of the Tenth World Conference on Earthquake Engineering*, 1, Madrid, Rotterdam, 551-56, (1992).

Steinbrugge, K. V., *Earthquakes, volcanoes and tsunamis: an anatomy of hazards*, New York: Skandia America Group, (1982).

Sucuođlu, H. and Akkar, S., *Basic earthquake engineering: From seismology to analysis and design*, (4), Switzerland: Springer, 138-139, (2014).

Sucuođlu, H., Yazgan, U. and Yakut, A., "A screening procedure for seismic risk assessment in urban building stocks", *Earthq. Spectra*, 23(2), 441-458, (2007).

Şahin, İ. ve Tuđba Kılınç., "Türkiye’de 1980-2014 Yılları Arasında Görülen Depremlerin Ekonomik Etkileri.", *İktisadi Yenilik Dergisi*, 4(1), 33-42, (2016).

TBDY, "Türkiye Bina Deprem Yönetmeliđi", Ankara: T.C. İçişleri Bakanlığı Afet ve Acil Durum Yönetimi Başkanlığı, (2018).

TMMOB-İMO, Türkiye’de Konut Sorunu ve Konut İhtiyacı Raporu [online], http://www.imo.org.tr/genel/bizden_detay.php?kod=628&tipi=4&sube=0, (2011).

Trifunac, M. D. and Brady, A. G., "A study on the duration of strong earthquake ground motion", *Bull. Seismol. Soc. Am.*, 65(3), 581-626, (1975).

Tuđsal, Ü., "Türkiye’deki Mevcut Betonarme Binaların Depremlerde Hasargörebilirliğinin İstatistiksel Kestirimi", Yüksek Lisans Tezi, *İstanbul Teknik Üniversitesi Fen Bilimleri Enstitüsü, İnşaat Mühendisliği Anabilim Dalı*, İstanbul, (2016).

Türkođlu, N., "Türkiye'nin yüzölçümü ve nüfusunun deprem bölgelerine dağılışı", *Ankara Üniversitesi Türkiye Coğrafyası Araştırma ve Uygulama Merkezi Dergisi*, (8), 133-148, (2001).

Tüzün, C. ve Aydınođlu, M. N., "Gerçek binaların doğrusal olmayan analizlerinden hasargörebilirlik ilişkilerinin elde edilmesi", 6. *Ulusal Deprem Mühendisliği Konferansı*, (1), İstanbul, 399-409, (2007).

Ulusal Deprem Araştırma Programı (UDAP), "Türkiye Sismik Tehlike Haritasının Güncellenmesi", T.C. Başbakanlık Afet ve Acil Durum Yönetimi Başkanlığı, Ankara, (2014).

Ulusal Deprem İzleme Merkezi (UDİM)., Boğaziçi Üniversitesi Kandilli Rasathanesi ve Deprem Araştırma Enstitüsü, UDİM [online], (01 Ocak 2018), <http://www.koeri.boun.edu.tr/sismo/zeqdb/>, (2018).

Ulusay, R., Tuncay, E., Sonmez, H. and Gokceoglu, C., “An attenuation relationship based on Turkish strong motion data and iso-acceleration map of Turkey”, *Eng. Geol.*, 74(3-4), 265-291, (2004).

Vamvatsikos, D. and Cornell, C. A., “Incremental dynamic analysis”, *Earthquake Eng. Struct. Dyn.*, 31(3), 491-514, (2002).

Vere-Jones, D. “A Markov model for aftershock occurrence”, *Pure Appl. Geophys.*, 64(1), 31-42, (1966).

Vere-Jones, D. and Ozaki, T., “Some examples of statistical estimation applied to earthquake data”, *Ann. Inst. Stat. Math.*, 34(1), 189-207, (1982).

Vere-Jones, D., “The statistical estimation of earthquake risk”, *Bull. N.Z. Natl. Soc. Earthqu. Eng.*, 6(3), 122-127, (1973).

Vidic, T., Fajfar, P. and Fischinger, M., "A procedure for determining consistent inelastic design spectra", In: *Proceedings of Workshop on Nonlinear Seismic Analysis of RC Structures*, Bled, Slovenia, (1992).

Vulaş, Y., “Mevcut Betonarme Binaların Pera (Hızlı Performans Değerlendirme Yöntemi) ile Performans Analizinin Yapılması”, Yüksek Lisans Tezi, *İstanbul Teknik Üniversitesi Fen Bilimleri Enstitüsü, İnşaat Mühendisliği Anabilim Dalı*, İstanbul, (2014).

Wald, D. J., Quitoriano, V., Heaton, T. H. and Kanamori, H., “Relationships between peak ground acceleration, peak ground velocity, and modified Mercalli intensity in California”, *Earthq. Spectra*, 15(3), 557-564, (1999).

Walker, G. R., “Earthquake engineering and insurance: past, present and future”, In: *Proceedings of 12th World Conference on Earthquake Engineering*, (1472), Auckland, (2000).

Wang, J., “Rayleigh coefficients for series infrastructure systems with multiple damping properties”, *J. Vib. Control*, 21(6), 1234-1248, (2015).

Wells, D. L. and Coppersmith, K. J., “New empirical relationships among magnitude, rupture length, rupture width, rupture area, and surface displacement”, *Bull. Seismol. Soc. Am.*, 84(4), 974-1002, (1994).

Whitman, R. V., *Damage probability matrices for prototype buildings*, Structures Publication, 380, (1973).

Whitman, R. V., “Earthquake Loss Estimation Methodology”, (eds: A. Vogel and K. Brandes), *Earthquake Prognostics, Hazard Assessment, Risk Evaluation and Damage Prevention, Proceedings from the 2nd International Seminar Held in Berlin, Wiesbaden*, 259-278, (1986).

Whitman, R. V., Anagnos, T., Kircher, C. A., Lagorio, H. J., Lawson, R. S. and Schneider, P., “Development of a national earthquake loss estimation methodology”, *Earthq. Spectra*, 13(4), 643-661, (1997).

Whitman, R. V., Biggs, J. M., Brennan III, J., Cornell, C. A., De Neufville, R. and Vanmarcke, E. H., “*Methodology and pilot application*”, Cambridge, MA: Department of Civil Engineering, Massachusetts Institute of Technology, (1974).

Whitman, R. V., Reed, J. W. and Hong, S. T., “Earthquake damage probability matrices”, In: *Proceedings of the Fifth World Conference on Earthquake Engineering*, (2), Rome, 2531-2540, (1973).

Wilson, E. L., Farhoomand, I. and Bathe, K. J., “Nonlinear dynamic analysis of complex structures”, *Earthquake Eng. Struct. Dyn.*, 1(3), 241-252, (1972).

Wu, Y. M., Teng, T. L., Shin, T. C. and Hsiao, N. C., “Relationship between peak ground acceleration, peak ground velocity, and intensity in Taiwan”, *Bull. Seismol. Soc. Am.*, 93(1), 386-396, (2003).

Yaghmaei-Sabegh, S., Tsang, H. H. and Lam, N. T., “Conversion between peak ground motion parameters and modified Mercalli intensity values”, *J. Earthquake Eng.*, 15(7), 1138-1155, (2011).

Yakut, A., “Preliminary seismic performance assessment procedure for existing RC buildings”, *Eng. Struct.*, 26(10), 1447-1461, (2004).

Yakut, A., Aydogan, V., Özcebe, G. and Yüçemen, M. S., “Preliminary Seismic Vulnerability Assessment of Existing Reinforced Concrete Buildings in Turkey-Part II: Inclusion of Site Characteristics”, (eds: S. T. Wasti and G. Özcebe), *Seismic Assessment and Rehabilitation of Existing Buildings*, Dordrecht: Springer, 43-58, (2003).

Yakut, A., Özcebe, G. and Yüçemen, M. S., “Seismic vulnerability assessment using regional empirical data”, *Earthquake Eng. Struct. Dyn.*, 35(10), 1187-1202, (2006).

Yamaguchi, N. and Yamazaki, F., “Fragility curves for buildings in Japan based on damage surveys after the 1995 Kobe earthquake”, In: *12th World Conference on Earthquake Engineering*, Auckland, New Zeland, (2000).

Yamazaki F and Murao O. “Vulnerability functions for Japanese buildings based on damage data from the 1995 Kobe earthquake. Implication of Recent Earthquakes on Seismic Risk”, *Series on Innovation and Construction*, 2, Londra: Imperial College Press ,91-102, (2000).

Yang, D., Pan, J., and Li, G., “Non-structure-specific intensity measure parameters and characteristic period of near-fault ground motions”, *Earthquake Eng. Struct. Dyn.*, 38(11), 1257-1280, (2009).

Youngs, R. R., Chiou, S. J., Silva, W. J. and Humphrey, J. R., “Strong ground motion attenuation relationships for subduction zone earthquakes”, *Seismol. Res. Lett.*, 68(1), 58-73, (1997).

Yüçemen (2013), M. S., “Probabilistic assessment of earthquake insurance rates for buildings”, (eds: S. Tesfamariam and K. Goda), *Handbook of Seismic Risk Analysis and Management of Civil Infrastructure Systems*, Cambridge: Woodhead Publishing Limited, 787-814, (2013).

Yüçemen, M. S. and Akkaya, A. D., “Robust estimation of magnitude–frequency relationship parameters”, *Struct. Saf.*, (38), 32-39, (2012).

Yüçemen, M. S. and Askan, A., “Estimation of earthquake damage probabilities for reinforced concrete buildings”, (eds: S. T. Wasti ve G. Özcebe), *Seismic Assessment and Rehabilitation of Existing Buildings*, (29), Netherlands: Kluwer Academic Publishers, 149-164, (2003).

Yüçemen, M. S. and Bulak, S., “Assessment of earthquake insurance premiums based on statistical methods”, In: *Proceedings of the Fourth National Earthquake Engineering Conference*, Ankara, 699-707, (1997).

Yüçemen, M. S. and Bulak, S., “Estimation of earthquake damage on structures: damage probability matrices”, *Bull. Chamb. Civil Eng.*, (3), 15-22, (2000^b).

Yüçemen, M. S. ve Bulak, S., “Yapılarda Deprem Hasarının Tahmini: Hasar Olasılık Matrisleri”, *KTMMOB*, (3), 15-22, Lefkoşa, (2000^a).

Yüçemen, M. S. and Öztürk, N. Y., “Assessment of seismic hazard due to active faults”, *Proceedings of Structural Reliability and Its Applications*, (8), Hong Kong, 253-258, (2008).

Yüccemen, M. S., “Prediction of potential seismic damage to reinforced concrete buildings based on damage probability matrices”, In: *Proceedings of the 6th International Conference on Concrete Technology for Developing Countries*, Amman, (3), 951-960, (2002).

Yüccemen, M. S., “Probabilistic assessment of earthquake insurance rates for Turkey”. *Nat. Hazards*, 35(2), 291-313, (2005).

Yüccemen, M. S., Özcebe, G. and Pay, A. C., “Prediction of potential damage due to severe earthquakes”, *Struct. Saf.*, 26(3), 349-366, (2004).

Yüccemen, M. S., Yılmaz, C. and Erdik, M., “Probabilistic assessment of earthquake insurance rates for important structures: application to Gumusova–Gerede motorway”, *Struct. Saf.*, 30(5), 420-435, (2008).

Yüccemen, M.S. ve Bulak, S., “Deprem Sigorta Primlerinin İstatistiksel Yöntemlerle Belirlenmesi”, *4. Ulusal Deprem Mühendisliği Konferansı*, (1), İstanbul, 699-707, (1997).

Zhao, J.X., Zhang, J., Asano, A., Ohno, Y., Oouchi, T., Takahashi, T., Ogawa, H., Irikura, K. Thio, H.K., Somerville, P.G. and Fukushima, Y., “Attenuation relations of strong ground motion in Japan using site classification based on predominant period”, *Bull. Seismol. Soc. Am.*, 96(3), 898-913, (2006).

EKLER

12. EKLER

EK A Mevcut Binaların Yapısal Özellikleri ve Analiz Sonuçları

Tablo A.1: Mevcut binaların yapısal özellikleri

Bina Adı	Kat Sayısı	Proje Yılı	f_{ck}	f_{yk}	$\varnothing_{e-kolon}$	S_{kolon}	$\varnothing_{e-kiriş}$	$S_{kiriş}$
			(MPa)	(MPa)	(mm)	(mm)	(mm)	(cm)
BO1SN3	3	1996	16	220	8	170	8	200
BO2SN3	3	1997	16	220	8	170	8	200
BO3SN3	3	1993	16	220	6	200	6	180
BO4SN3	3	1977	16	220	8	200	8	200
BO5SN3	3	1992	16	220	8	170	8	200
BO6SN4	4	1986	25	220	8	200	8	200
BO7SN4	4	1996	16	220	8	200	8	200
BO8SN4	4	1985	16	220	8	200	8	200
BO9SN4	4	1980	16	220	8	200	8	200
BO10SN4	4	1985	16	220	8	200	8	200
BO11SN5	5	1987	16	220	8	200	8	200
BO12SN5	5	1990	16	220	8	170	8	200
BO13SN5	5	1992	16	220	8	200	8	200
BO14SN5	5	1990	16	220	8	200	8	200
BO15SN5	5	1983	16	220	8	200	8	200
BO16SN6	6	1995	16	220	8	100	8	110
BO17SN6	6	1993	16	220	8	170	8	200
BO18SN6	6	1991	16	220	8	170	8	200
BO19SN6	6	1988	16	220	8	190	8	200
BO20SN6	6	1985	16	220	8	200	8	200
BN1SN3	3	2008	25	420	8	90	8	90
BN2SN3	3	2007	25	420	8	100	8	90
BN3SN3	3	2010	20	420	8	80	8	100
BN4SN3	3	2012	20	420	8	80	8	90
BN5SN3	3	2013	25	420	8	80	8	90
BN6SN4	4	2007	25	420	8	100	8	90
BN7SN4	4	2011	25	420	8	100	8	90
BN8SN4	4	2008	25	420	8	80	8	90
BN9SN4	4	2008	30	420	8	100	8	90
BN10SN4	4	2009	20	420	8	80	8	100
BN11SN5	5	2010	25	420	8	100	10	120
BN12SN5	5	2010	25	420	8	100	8	100
BN13SN5	5	2010	25	420	8	100	8	100
BN14SN5	5	2007	30	420	8	100	8	100
BN15SN5	5	2013	30	420	8	100	8	80
BN16SN6	6	2013	30	420	8	100	10	100
BN17SN6	6	2011	30	420	8	100	10	120
BN18SN6	6	2008	30	420	8	80	8	110
BN19SN6	6	2008	30	420	8	100	8	70
BN20SN6	6	2009	25	420	8	100	8	90

Tablo A.2: Mevcut binaların doğrusal analiz sonuçları

Bina No	H (cm)	W (ton)	Analiz Yönü	T_{1-el} (s)	Bina No	H (cm)	W (ton)	Analiz Yönü	T_{1-el} (s)
BO1SN3	840	322.87	XZ	0.292	BN1SN3	840	537.31	XZ	0.207
			YZ	0.264				YZ	0.275
BO2SN3	820	463.88	XZ	0.286	BN2SN3	840	458.17	XZ	0.286
			YZ	0.361				YZ	0.296
BO3SN3	870	351.18	XZ	0.324	BN3SN3	840	373.95	XZ	0.255
			YZ	0.303				YZ	0.230
BO4SN3	810	627.30	XZ	0.285	BN4SN3	840	334.97	XZ	0.249
			YZ	0.297				YZ	0.239
BO5SN3	820	317.51	XZ	0.280	BN5SN3	840	446.38	XZ	0.290
			YZ	0.264				YZ	0.267
BO6SN4	1120	634.44	XZ	0.430	BN6SN4	1170	621.77	XZ	0.363
			YZ	0.368				YZ	0.397
BO7SN4	1080	463.18	XZ	0.300	BN7SN4	1120	491.33	XZ	0.413
			YZ	0.343				YZ	0.381
BO8SN4	1120	653.71	XZ	0.416	BN8SN4	1106	533.01	XZ	0.301
			YZ	0.398				YZ	0.229
BO9SN4	1120	490.85	XZ	0.448	BN9SN4	1210	600.11	XZ	0.391
			YZ	0.300				YZ	0.365
BO10SN4	1120	422.95	XZ	0.340	BN10SN4	1140	883.01	XZ	0.409
			YZ	0.294				YZ	0.336
BO11SN5	1450	1347.58	XZ	0.541	BN11SN5	1430	1188.81	XZ	0.522
			YZ	0.369				YZ	0.470
BO12SN5	1490	1756.99	XZ	0.530	BN12SN5	1450	777.56	XZ	0.505
			YZ	0.416				YZ	0.455
BO13SN5	1480	716.15	XZ	0.624	BN13SN5	1375	798.38	XZ	0.390
			YZ	0.528				YZ	0.395
BO14SN5	1400	702.65	XZ	0.439	BN14SN5	1400	1201.83	XZ	0.521
			YZ	0.404				YZ	0.478
BO15SN5	1400	1170.13	XZ	0.617	BN15SN5	1400	725.68	XZ	0.342
			YZ	0.496				YZ	0.379
BO16SN6	1680	1352.93	XZ	0.675	BN16SN6	1700	493.17	XZ	0.569
			YZ	0.593				YZ	0.504
BO17SN6	1750	1011.13	XZ	0.535	BN17SN6	1620	1587.89	XZ	0.457
			YZ	0.627				YZ	0.451
BO18SN6	1750	952.91	XZ	0.525	BN18SN6	1680	1813.67	XZ	0.581
			YZ	0.714				YZ	0.462
BO19SN6	1640	767.26	XZ	0.517	BN19SN6	1680	1383.05	XZ	0.550
			YZ	0.432				YZ	0.641
BO20SN6	1680	794.50	XZ	0.458	BN20SN6	1750	888.23	XZ	0.652
			YZ	0.504				YZ	0.561

Tablo A.3: Mevcut binaların DBYBHY2007 performans düzeyi sınırları

Bina Adı	Analiz Yönü	Δ_{HK} (cm)	Δ_{CG} (cm)	$\Delta_{GÖ}$ (cm)	Bina Adı	Analiz Yönü	Δ_{HK} (cm)	Δ_{CG} (cm)	$\Delta_{GÖ}$ (cm)
BO1SN3	XZ	2.76	8.21	9.01	BN1SN3	XZ	3.16	14.72	20.81
	YZ	2.74	7.97	8.77		YZ	2.76	11.29	15.61
BO2SN3	XZ	2.71	9.57	9.82	BN2SN3	XZ	2.44	13.42	20.79
	YZ	2.76	9.20	9.27		YZ	2.55	13.72	21.37
BO3SN3	XZ	2.79	9.66	9.66	BN3SN3	XZ	2.89	10.38	13.63
	YZ	3.57	14.77	15.46		YZ	2.67	12.34	17.82
BO4SN3	XZ	2.68	6.77	9.07	BN4SN3	XZ	2.59	9.72	9.72
	YZ	2.85	7.24	9.42		YZ	2.68	10.23	14.85
BO5SN3	XZ	2.59	8.70	9.68	BN5SN3	XZ	1.81	13.29	18.52
	YZ	2.51	9.95	9.95		YZ	2.86	10.59	15.31
BO6SN4	XZ	3.74	12.40	13.91	BN6SN4	XZ	3.93	15.81	21.89
	YZ	3.11	10.56	10.56		YZ	3.58	14.97	17.74
BO7SN4	XZ	2.82	10.20	10.20	BN7SN4	XZ	4.98	16.64	23.43
	YZ	3.38	10.99	11.16		YZ	4.94	19.98	30.27
BO8SN4	XZ	4.20	10.42	10.89	BN8SN4	XZ	4.00	13.92	20.36
	YZ	3.69	9.70	9.70		YZ	3.49	15.68	23.65
BO9SN4	XZ	3.96	9.33	9.33	BN9SN4	XZ	4.62	14.83	20.08
	YZ	2.86	13.13	13.13		YZ	4.94	16.12	20.81
BO10SN4	XZ	2.95	10.11	11.87	BN10SN4	XZ	3.93	15.78	22.96
	YZ	3.28	11.56	13.48		YZ	2.86	18.79	18.79
BO11SN5	XZ	3.70	12.30	13.85	BN11SN5	XZ	3.95	19.79	26.84
	YZ	3.13	11.90	12.77		YZ	5.46	17.76	23.08
BO12SN5	XZ	3.79	10.47	10.85	BN12SN5	XZ	5.42	20.04	24.80
	YZ	3.36	12.30	13.37		YZ	5.17	23.85	35.17
BO13SN5	XZ	3.81	9.68	9.68	BN13SN5	XZ	4.98	23.89	35.09
	YZ	3.85	7.15	7.15		YZ	5.06	18.56	27.19
BO14SN5	XZ	3.62	15.25	16.72	BN14SN5	XZ	5.18	20.06	26.74
	YZ	3.84	16.58	18.98		YZ	4.60	20.59	30.28
BO15SN5	XZ	3.83	16.84	16.84	BN15SN5	XZ	3.90	14.68	20.83
	YZ	4.41	11.41	11.41		YZ	3.55	16.36	25.77
BO16SN6	XZ	5.65	12.28	14.12	BN16SN6	XZ	9.96	25.07	30.82
	YZ	4.11	15.97	17.73		YZ	7.96	21.56	30.05
BO17SN6	XZ	4.85	14.68	14.68	BN17SN6	XZ	5.75	19.53	26.82
	YZ	5.76	18.57	18.57		YZ	6.18	21.37	30.17
BO18SN6	XZ	4.79	14.03	14.03	BN18SN6	XZ	7.25	22.79	33.38
	YZ	5.92	10.43	10.43		YZ	6.28	25.98	37.95
BO19SN6	XZ	5.10	10.46	10.46	BN19SN6	XZ	5.76	19.25	26.79
	YZ	4.60	14.33	14.33		YZ	6.43	23.11	33.26
BO20SN6	XZ	3.59	11.75	16.09	BN20SN6	XZ	7.20	23.00	31.37
	YZ	4.42	14.32	14.32		YZ	5.72	26.17	35.43

Tablo A.4: TDY1975 binalarına ait kapasite parametreleri

Bina No	Analiz Yönü	T_{1-inel}	Δ_y/H	Δ_u/H	V_{t-y}/W	μ_Δ
		(s)	(%)	(%)	-	-
BO1SN3	XZ	0.436	0.19%	1.07%	0.233	5.65
	YZ	0.393	0.18%	1.04%	0.267	5.92
BO2SN3	XZ	0.420	0.19%	1.20%	0.237	6.31
	YZ	0.540	0.27%	1.13%	0.201	4.14
BO3SN3	XZ	0.488	0.17%	1.11%	0.156	6.55
	YZ	0.461	0.19%	1.78%	0.181	9.49
BO4SN3	XZ	0.430	0.20%	1.12%	0.195	5.73
	YZ	0.445	0.22%	1.16%	0.210	5.32
BO5SN3	XZ	0.413	0.14%	1.18%	0.187	8.43
	YZ	0.400	0.16%	1.21%	0.223	7.57
BO6SN4	XZ	0.623	0.17%	1.24%	0.123	7.45
	YZ	0.546	0.16%	0.94%	0.150	5.96
BO7SN4	XZ	0.435	0.15%	0.94%	0.218	6.47
	YZ	0.513	0.18%	1.03%	0.193	5.78
BO8SN4	XZ	0.616	0.21%	0.97%	0.159	4.61
	YZ	0.592	0.19%	0.87%	0.155	4.55
BO9SN4	XZ	0.667	0.19%	0.83%	0.122	4.45
	YZ	0.446	0.15%	1.17%	0.209	7.78
BO10SN4	XZ	0.500	0.19%	1.06%	0.223	5.48
	YZ	0.433	0.15%	1.20%	0.232	7.91
BO11SN5	XZ	0.788	0.16%	0.96%	0.100	5.99
	YZ	0.530	0.12%	0.88%	0.170	7.05
BO12SN5	XZ	0.749	0.18%	0.73%	0.128	4.02
	YZ	0.599	0.17%	0.90%	0.176	5.34
BO13SN5	XZ	0.871	0.14%	0.65%	0.071	4.80
	YZ	0.757	0.13%	0.48%	0.088	3.82
BO14SN5	XZ	0.637	0.15%	1.19%	0.134	7.72
	YZ	0.590	0.16%	1.36%	0.158	8.48
BO15SN5	XZ	0.897	0.25%	1.20%	0.102	4.88
	YZ	0.729	0.25%	0.82%	0.153	3.30
BO16SN6	XZ	0.957	0.22%	0.84%	0.101	3.77
	YZ	0.847	0.13%	1.06%	0.077	8.00
BO17SN6	XZ	0.752	0.18%	0.84%	0.139	4.61
	YZ	0.896	0.24%	1.06%	0.125	4.46
BO18SN6	XZ	0.741	0.17%	0.80%	0.134	4.81
	YZ	0.982	0.21%	0.60%	0.097	2.88
BO19SN6	XZ	0.747	0.20%	0.64%	0.138	3.14
	YZ	0.617	0.18%	0.87%	0.170	4.90
BO20SN6	XZ	0.634	0.12%	0.96%	0.128	7.78
	YZ	0.741	0.13%	0.85%	0.103	6.50

EK B Kuvvetli Yer Hareketi Kayıtlarına ait Bilgiler

Tablo B.1: Doğrusal olmayan dinamik analizlerde kullanılan ivme kayıtları

Deprem Adı	Kayıt/Bileşen	Ölçek	MYH Grup No	MYH (cm/s)	M_w
Cape Mendocino 1992/04/25 18:06	CAPEMEND/FOR090	1.00	MYH1	19.73	6.19
Chi-Chi, Taiwan 1999/09/20	CHICHI/CHY010-N	1.00	MYH1	21.31	7.62
Chi-Chi, Taiwan 1999/09/20	CHICHI/CHY041-W	1.00	MYH1	19.77	7.62
Chi-Chi, Taiwan 1999/09/20	CHICHI/CHY046-N	1.00	MYH1	22.45	7.62
Chi-Chi, Taiwan 1999/09/20	CHICHI/CHY047-E	1.00	MYH1	23.75	7.62
Coalinga 1983/05/02 23:42	COALINGA/H-CAK270	1.00	MYH1	32.54	6.36
Coyote Lake 1979/08/06 17:05	COYOTELK/G06320	1.00	MYH1	24.05	5.74
Friuli, Italy 1976/05/06 20:00	FRIULI/A-TMZ000	1.00	MYH1	23.59	6.50
Imperial Valley 1979/10/15 23:16	IMPVALL/H-E12230	1.00	MYH1	27.44	6.53
Imperial Valley 1979/10/15 23:16	IMPVALL/H-SHP000	1.00	MYH1	18.74	6.53
Irpinia, Italy 1980/11/23 19:34	ITALY/A-BIS000	1.00	MYH1	18.91	6.90
Kocaeli, Turkey 1999/08/17	KOCAELI/IZT180	1.00	MYH1	24.66	7.51
Landers 1992/06/28 11:58	LANDERS/ABY090	1.00	MYH1	23.44	7.25
Landers 1992/06/28 11:58	LANDERS/DSP000	1.00	MYH1	26.01	7.25
Livermore 1980/01/24 19:00	LIVERMOR/A-DVD246	1.00	MYH1	21.80	5.80
Loma Prieta 1989/10/18 00:05	LOMAP/BRK090	1.00	MYH1	21.60	6.93
Loma Prieta 1989/10/18 00:05	LOMAP/CLD285	1.00	MYH1	22.45	6.93
Loma Prieta 1989/10/18 00:05	LOMAP/GIL337	1.00	MYH1	25.82	6.93
Northridge 1994/01/17 12:31	NORTHR/CWC270	1.00	MYH1	25.50	6.06
Northridge 1994/01/17 12:31	NORTHR/UCL090	1.00	MYH1	22.29	6.06
Northridge 1994/01/17 12:31	NORTHR/UCL360	1.00	MYH1	22.55	6.06
Parkfield 1966/06/28 04:26	PARKF/C05355	1.00	MYH1	26.41	7.25
Parkfield 1966/06/28 04:26	PARKF/TMB205	1.00	MYH1	24.59	7.25
Superstitt Hills(B) 1987/11/24 13:16	SUPERST/B-PLS135	1.00	MYH1	20.81	6.54
Tabas, Iran 1978/09/16	TABAS/DAY-LN	1.00	MYH1	22.66	7.35
Victoria, Mexico 1980/06/09 03:28	VICT/CPE315	1.00	MYH1	20.58	6.33
Whittier Narrows 1987/10/01 14:42	WHITTIER/A-ALH180	1.00	MYH1	21.35	5.99
Whittier Narrows 1987/10/01 14:42	WHITTIER/A-GRN180	1.00	MYH1	24.37	5.99
Whittier Narrows 1987/10/01 14:42	WHITTIER/A-OBR360	1.00	MYH1	23.57	5.99
Chi-Chi, Taiwan 1999/09/20	CHICHI/TCU141-N	1.00	MYH2	28.01	7.62
Coalinga 1983/05/02 23:42	COALINGA/H-PV1090	1.00	MYH2	28.68	6.36
Coalinga 1983/05/02 23:42	COALINGA/H-Z14090	1.00	MYH2	30.43	6.36
Coyote Lake 1979/08/06 17:05	COYOTELK/G02140	1.00	MYH2	24.68	5.74
Coyote Lake 1979/08/06 17:05	COYOTELK/G03140	1.00	MYH2	30.37	5.74
Imperial Valley 1979/10/15 23:16	IMPVALL/H-AEP315	1.00	MYH2	25.47	6.53
Imperial Valley 1979/10/15 23:16	IMPVALL/H-DLT262	1.00	MYH2	26.53	6.53
Kobe 1995/01/16 20:46	KOBE/KAK090	1.00	MYH2	29.86	6.90
Kobe 1995/01/16 20:46	KOBE/SHI090	1.00	MYH2	25.48	6.90

Tablo B.1 (devam): Doğrusal olmayan dinamik analizlerde kullanılan ivme kayıtları

Deprem Adı	Kayıt/Bileşen	Ölçek	MYH Grup No	MYH (cm/s)	M_w
Landers 1992/06/28 11:58	LANDERS/CLW-LN	1.00	MYH2	24.90	7.25
Landers 1992/06/28 11:58	LANDERS/JOS000	1.00	MYH2	3.17	7.25
Loma Prieta 1989/10/18 00:05	LOMAP/CAP090	1.00	MYH2	30.68	6.93
Loma Prieta 1989/10/18 00:05	LOMAP/GIL067	1.00	MYH2	31.21	6.93
Loma Prieta 1989/10/18 00:05	LOMAP/HSP090	1.00	MYH2	30.44	6.93
Loma Prieta 1989/10/18 00:05	LOMAP/SFO000	1.00	MYH2	24.63	6.93
Loma Prieta 1989/10/18 00:05	LOMAP/SFO090	1.00	MYH2	31.04	6.93
Loma Prieta 1989/10/18 00:05	LOMAP/WAH000	1.00	MYH2	25.60	6.93
Mammoth Lakes 1980/05/27 14:51	MAMMOTH/L-LUL000	1.00	MYH2	29.85	5.94
Morgan Hill 1984/04/24 21:15	MORGAN/AND250	1.00	MYH2	23.44	6.19
Morgan Hill 1984/04/24 21:15	MORGAN/AND340	1.00	MYH2	25.80	6.19
Northridge 1994/01/17 12:31	NORTHR/CHL160	1.00	MYH2	28.87	6.06
Northridge 1994/01/17 12:31	NORTHR/CWC180	1.00	MYH2	23.64	6.06
Northridge 1994/01/17 12:31	NORTHR/STC090	1.00	MYH2	29.73	6.06
N. Palm Springs 1986/07/08 09:20	PALMSPR/DSP000	1.00	MYH2	28.89	6.76
Parkfield 1966/06/28 04:26	PARKF/C05085	1.00	MYH2	25.90	7.25
San Fernando 1971/02/09 14:00	SFERN/ORR291	1.00	MYH2	34.40	6.61
Spitak, Armenia 1988/12/07	SPITAK/GUK000	1.00	MYH2	23.39	6.77
Tabas, Iran 1978/09/16	TABAS/DAY-TR	1.00	MYH2	25.40	7.35
Westmorland 1981/04/26 12:09	WESTMORL/PTS315	1.00	MYH2	26.90	5.90
Whittier Narrows 1987/10/01 14:42	WHITTIER/A-DEL000	1.00	MYH2	36.05	5.99
Whittier Narrows 1987/10/01 14:42	WHITTIER/A-DWN180	1.00	MYH2	32.27	5.99
Cape Mendocino 1992/04/25 18:06	CAPEMEND/FOR000	1.00	MYH3	33.73	6.19
Chi-Chi, Taiwan 1999/09/20	CHICHI/CHY029-W	1.00	MYH3	29.23	7.62
Chi-Chi, Taiwan 1999/09/20	CHICHI/TCU046-N	1.00	MYH3	37.28	7.62
Chi-Chi, Taiwan 1999/09/20	CHICHI/TCU112-N	1.00	MYH3	22.89	7.62
Chi-Chi, Taiwan 1999/09/20	CHICHI/TCU118-N	1.00	MYH3	35.56	7.62
Friuli, Italy 1976/05/06 20:00	FRIULI/A-TMZ270	1.00	MYH3	28.55	6.50
Imperial Valley 1979/10/15 23:16	IMPVALL/H-E02140	1.00	MYH3	32.60	6.53
Imperial Valley 1979/10/15 23:16	IMPVALL/H-E11140	1.00	MYH3	33.54	6.53
Imperial Valley 1979/10/15 23:16	IMPVALL/H-SHP270	1.00	MYH3	30.85	6.53
Kocaeli, Turkey 1999/08/17	KOCAELI/ATS090	1.00	MYH3	45.62	7.51
Kocaeli, Turkey 1999/08/17	KOCAELI/GBZ270	1.00	MYH3	51.63	7.51
Kocaeli, Turkey 1999/08/17	KOCAELI/IZT090	1.00	MYH3	32.88	7.51
Landers 1992/06/28 11:58	LANDERS/LCN000	1.00	MYH3	32.25	7.25
Landers 1992/06/28 11:58	LANDERS/YER360	1.00	MYH3	26.54	7.25
Loma Prieta 1989/10/18 00:05	LOMAP/A02133	1.00	MYH3	36.66	6.93
Loma Prieta 1989/10/18 00:05	LOMAP/G01000	1.00	MYH3	33.96	6.93
Loma Prieta 1989/10/18 00:05	LOMAP/G01090	1.00	MYH3	34.24	6.93
Loma Prieta 1989/10/18 00:05	LOMAP/G02000	1.00	MYH3	36.13	6.93

Tablo B.1 (devam): Doğrusal olmayan dinamik analizlerde kullanılan ivme kayıtları

Deprem Adı	Kayıt/Bileşen	Ölçek	MYH Grup No	MYH (cm/s)	M_w
Loma Prieta 1989/10/18 00:05	LOMAP/TRI090	1.00	MYH3	33.36	6.93
Mammoth Lakes 1980/05/27 14:51	MAMMOTH/L-LUL090	1.00	MYH3	34.81	5.94
Northridge 1994/01/17 12:31	NORTHR/CNP106	1.00	MYH3	31.35	6.06
Northridge 1994/01/17 12:31	NORTHR/PAC265	1.00	MYH3	36.78	6.06
Northridge 1994/01/17 12:31	NORTHR/PKC090	1.00	MYH3	33.94	6.06
Northridge 1994/01/17 12:31	NORTHR/WIL180	1.00	MYH3	36.47	6.06
N. Palm Springs 1986/07/08 09:20	PALMSPR/MVH045	1.00	MYH3	31.91	6.76
N. Palm Springs 1986/07/08 09:20	PALMSPR/NPS300	1.00	MYH3	34.10	6.76
N. Palm Springs 1986/07/08 09:20	PALMSPR/WWT270	1.00	MYH3	31.01	6.76
Superstitt Hills(B) 1987/11/24 13:16	SUPERST/B-IVW090	1.00	MYH3	27.59	6.54
Superstitt Hills(B) 1987/11/24 13:16	SUPERST/B-IVW360	1.00	MYH3	35.80	6.54
Superstitt Hills(B) 1987/11/24 13:16	SUPERST/B-KRN360	1.00	MYH3	29.68	6.54
Superstitt Hills(B) 1987/11/24 13:16	SUPERST/B-POE360	1.00	MYH3	34.73	6.54
Superstitt Hills(B) 1987/11/24 13:16	SUPERST/B-SUP045	1.00	MYH3	32.84	6.54
Victoria, Mexico 1980/06/09 03:28	VICT/CPE045	1.00	MYH3	31.29	6.33
Whittier Narrows 1987/10/01 14:42	WHITTIER/A-OR2010	1.00	MYH3	34.57	5.99
Chi-Chi, Taiwan 1999/09/20	CHICHI/CHY029-N	1.00	MYH4	42.07	7.62
Chi-Chi, Taiwan 1999/09/20	CHICHI/CHY036-W	1.00	MYH4	36.19	7.62
Chi-Chi, Taiwan 1999/09/20	CHICHI/CHY041-N	1.00	MYH4	38.32	7.62
Chi-Chi, Taiwan 1999/09/20	CHICHI/TCU045-N	1.00	MYH4	38.91	7.62
Chi-Chi, Taiwan 1999/09/20	CHICHI/TCU045-W	1.00	MYH4	35.76	7.62
Chi-Chi, Taiwan 1999/09/20	CHICHI/TCU051-N	1.00	MYH4	35.95	7.62
Coalinga 1983/05/02 23:42	COALINGA/H-PVY135	1.00	MYH4	35.59	6.36
Imperial Valley 1979/10/15 23:16	IMPVALL/H-BRA225	1.00	MYH4	38.30	6.53
Imperial Valley 1979/10/15 23:16	IMPVALL/H-BRA315	1.00	MYH4	43.85	6.53
Imperial Valley 1979/10/15 23:16	IMPVALL/H-ECC002	1.00	MYH4	43.19	6.53
Imperial Valley 1979/10/15 23:16	IMPVALL/H-E04140	1.00	MYH4	37.38	6.53
Irpina, Italy 1980/11/23 19:34	ITALY/A-STU000	1.00	MYH4	34.53	6.90
Kobe 1995/01/16 20:46	KOBE/NIS000	1.00	MYH4	39.39	6.90
Kobe 1995/01/16 20:46	KOBE/NIS090	1.00	MYH4	37.74	6.90
Kobe 1995/01/16 20:46	KOBE/SHI000	1.00	MYH4	45.64	6.90
Kocaeli, Turkey 1999/08/17	KOCAELI/ARC090	1.00	MYH4	51.30	7.51
Loma Prieta 1989/10/18 00:05	LOMAP/G02090	1.00	MYH4	38.56	6.93
Loma Prieta 1989/10/18 00:05	LOMAP/G03000	1.00	MYH4	39.76	6.93
Loma Prieta 1989/10/18 00:05	LOMAP/HDA255	1.00	MYH4	38.04	6.93
Loma Prieta 1989/10/18 00:05	LOMAP/SVL360	1.00	MYH4	37.43	6.93
Morgan Hill 1984/04/24 21:15	MORGAN/G06090	1.00	MYH4	36.14	6.19
Morgan Hill 1984/04/24 21:15	MORGAN/HVR240	1.00	MYH4	41.47	6.19
Northridge 1994/01/17 12:31	NORTHR/KAT090	1.00	MYH4	37.32	6.06
Northridge 1994/01/17 12:31	NORTHR/SCR090	1.00	MYH4	38.16	6.06

Tablo B.1 (devam): Doğrusal olmayan dinamik analizlerde kullanılan ivme kayıtları

Deprem Adı	Kayıt/Bileşen	Ölçek	MYH Grup No	MYH (cm/s)	M_w
Northridge 1994/01/17 12:31	NORTHR/STN020	1.00	MYH4	37.36	6.06
N. Palm Springs 1986/07/08 09:20	PALMSPR/WWT180	1.00	MYH4	34.06	6.76
Superstitt Hills(B) 1987/11/24 13:16	SUPERST/B-POE270	1.00	MYH4	35.19	6.54
Westmorland 1981/04/26 12:09	WESTMORL/PTS225	1.00	MYH4	38.61	5.90
Whittier Narrows 1987/10/01 14:42	WHITTIER/A-BIR180	1.00	MYH4	38.02	5.99
Whittier Narrows 1987/10/01 14:42	WHITTIER/A-EJS048	1.00	MYH4	40.05	5.99
Cape Mendocino 1992/04/25 18:06	CAPEMEND/RIO270	1.00	MYH5	40.58	6.19
Cape Mendocino 1992/04/25 18:06	CAPEMEND/RIO360	1.00	MYH5	37.60	6.19
Chi-Chi, Taiwan 1999/09/20	CHICHI/TCU046-W	1.00	MYH5	38.86	7.62
Chi-Chi, Taiwan 1999/09/20	CHICHI/TCU061-N	1.00	MYH5	44.06	7.62
Chi-Chi, Taiwan 1999/09/20	CHICHI/TCU074-N	1.00	MYH5	39.54	7.62
Chi-Chi, Taiwan 1999/09/20	CHICHI/TCU112-W	1.00	MYH5	39.86	7.62
Chi-Chi, Taiwan 1999/09/20	CHICHI/TCU123-W	1.00	MYH5	40.37	7.62
Chi-Chi, Taiwan 1999/09/20	CHICHI/TCU141-E	1.00	MYH5	43.64	7.62
Chi-Chi, Taiwan 1999/09/20	CHICHI/WNT-N	1.00	MYH5	42.01	7.62
Coalinga 1983/05/02 23:42	COALINGA/H-Z14000	1.00	MYH5	42.40	6.36
Imperial Valley 1979/10/15 23:16	IMPVALL/H-AEP045	1.00	MYH5	45.44	6.53
Imperial Valley 1979/10/15 23:16	IMPVALL/H-E03230	1.00	MYH5	45.84	6.53
Imperial Valley 1979/10/15 23:16	IMPVALL/H-E11230	1.00	MYH5	49.47	6.53
Imperial Valley 1979/10/15 23:16	IMPVALL/H-EDA360	1.00	MYH5	44.82	6.53
Kocaeli, Turkey 1999/08/17	KOCAELI/ATS000	1.00	MYH5	51.80	7.51
Landers 1992/06/28 11:58	LANDERS/CLW-TR	1.00	MYH5	41.40	7.25
Landers 1992/06/28 11:58	LANDERS/JOS090	1.00	MYH5	40.66	7.25
Loma Prieta 1989/10/18 00:05	LOMAP/CYC285	1.00	MYH5	43.91	6.93
Loma Prieta 1989/10/18 00:05	LOMAP/GOF090	1.00	MYH5	40.58	6.93
Loma Prieta 1989/10/18 00:05	LOMAP/HDA165	1.00	MYH5	43.30	6.93
Loma Prieta 1989/10/18 00:05	LOMAP/STG000	1.00	MYH5	41.26	6.93
Loma Prieta 1989/10/18 00:05	LOMAP/STG090	1.00	MYH5	52.27	6.93
Northridge 1994/01/17 12:31	NORTHR/KAT000	1.00	MYH5	41.03	6.06
Northridge 1994/01/17 12:31	NORTHR/LOS000	1.00	MYH5	44.84	6.06
Northridge 1994/01/17 12:31	NORTHR/MU2035	1.00	MYH5	41.93	6.06
Northridge 1994/01/17 12:31	NORTHR/STM090	1.00	MYH5	39.76	6.06
N. Palm Springs 1986/07/08 09:20	PALMSPR/MVH135	1.00	MYH5	43.16	6.76
Superstitt Hills(B) 1987/11/24 13:16	SUPERST/B-ICC090	1.00	MYH5	39.02	6.54
Superstitt Hills(B) 1987/11/24 13:16	SUPERST/B-PTS315	1.00	MYH5	43.55	6.54
Superstitt Hills(B) 1987/11/24 13:16	SUPERST/B-SUP135	1.00	MYH5	41.62	6.54
Cape Mendocino 1992/04/25 18:06	CAPEMEND/PET000	1.00	MYH6	58.28	6.19
Chi-Chi, Taiwan 1999/09/20	CHICHI/CHY025-W	1.00	MYH6	47.23	7.62
Chi-Chi, Taiwan 1999/09/20	CHICHI/CHY034-N	1.00	MYH6	47.69	7.62
Chi-Chi, Taiwan 1999/09/20	CHICHI/TCU038-N	1.00	MYH6	43.72	7.62

Tablo B.1 (devam): Doğrusal olmayan dinamik analizlerde kullanılan ivme kayıtları

Deprem Adı	Kayıt/Bileşen	Ölçek	MYH Grup No	MYH (cm/s)	M_w
Chi-Chi, Taiwan 1999/09/20	CHICHI/TCU038-W	1.00	MYH6	48.55	7.62
Chi-Chi, Taiwan 1999/09/20	CHICHI/TCU048-N	1.00	MYH6	50.49	7.62
Chi-Chi, Taiwan 1999/09/20	CHICHI/TCU049-W	1.00	MYH6	46.78	7.62
Chi-Chi, Taiwan 1999/09/20	CHICHI/TCU051-W	1.00	MYH6	47.94	7.62
Chi-Chi, Taiwan 1999/09/20	CHICHI/TCU095-N	1.00	MYH6	48.64	7.62
Chi-Chi, Taiwan 1999/09/20	CHICHI/TCU104-N	1.00	MYH6	63.36	7.62
Chi-Chi, Taiwan 1999/09/20	CHICHI/TCU106-W	1.00	MYH6	47.99	7.62
Chi-Chi, Taiwan 1999/09/20	CHICHI/TCU107-N	1.00	MYH6	51.31	7.62
Coyote Lake 1979/08/06 17:05	COYOTELK/G06230	1.00	MYH6	51.72	5.74
Imperial Valley 1979/10/15 23:16	IMPVALL/H-E10050	1.00	MYH6	55.55	6.53
Imperial Valley 1979/10/15 23:16	IMPVALL/H-E03140	1.00	MYH6	47.33	6.53
Imperial Valley 1979/10/15 23:16	IMPVALL/H-E05140	1.00	MYH6	49.14	6.53
Imperial Valley 1979/10/15 23:16	IMPVALL/H-E07140	1.00	MYH6	52.38	6.53
Imperial Valley 1979/10/15 23:16	IMPVALL/H-E08230	1.00	MYH6	50.50	6.53
Imperial Valley 1979/10/15 23:16	IMPVALL/H-HVP225	1.00	MYH6	57.87	6.53
Kocaeli, Turkey 1999/08/17	KOCAELI/DZC270	1.00	MYH6	61.02	7.51
Loma Prieta 1989/10/18 00:05	LOMAP/BRN090	1.00	MYH6	43.79	6.93
Loma Prieta 1989/10/18 00:05	LOMAP/CLS090	1.00	MYH6	47.78	6.93
Loma Prieta 1989/10/18 00:05	LOMAP/G03090	1.00	MYH6	43.08	6.93
Loma Prieta 1989/10/18 00:05	LOMAP/HCH180	1.00	MYH6	46.87	6.93
Nahanni, Canada 1985/12/23	NAHANNI/S1010	1.00	MYH6	47.16	6.69
Nahanni, Canada 1985/12/23	NAHANNI/S1280	1.00	MYH6	59.23	6.69
Northridge 1994/01/17 12:31	NORTHR/LOS270	1.00	MYH6	44.52	6.06
Northridge 1994/01/17 12:31	NORTHR/PAC175	1.00	MYH6	46.18	6.06
Superstitt Hills(B) 1987/11/24 13:16	SUPERST/B-ICC000	1.00	MYH6	48.62	6.54
Westmorland 1981/04/26 12:09	WESTMORL/WSM090	1.00	MYH6	48.49	5.90
Chi-Chi, Taiwan 1999/09/20	CHICHI/CHY002-N	1.00	MYH7	52.10	7.62
Chi-Chi, Taiwan 1999/09/20	CHICHI/CHY024-W	1.00	MYH7	57.81	7.62
Chi-Chi, Taiwan 1999/09/20	CHICHI/CHY104-E	1.00	MYH7	51.32	7.62
Chi-Chi, Taiwan 1999/09/20	CHICHI/TCU029-N	1.00	MYH7	58.15	7.62
Chi-Chi, Taiwan 1999/09/20	CHICHI/TCU036-N	1.00	MYH7	56.04	7.62
Chi-Chi, Taiwan 1999/09/20	CHICHI/TCU039-N	1.00	MYH7	57.82	7.62
Chi-Chi, Taiwan 1999/09/20	CHICHI/TCU039-W	1.00	MYH7	52.32	7.62
Chi-Chi, Taiwan 1999/09/20	CHICHI/TCU040-N	1.00	MYH7	50.70	7.62
Chi-Chi, Taiwan 1999/09/20	CHICHI/TCU040-W	1.00	MYH7	52.74	7.62
Chi-Chi, Taiwan 1999/09/20	CHICHI/TCU055-N	1.00	MYH7	57.87	7.62
Chi-Chi, Taiwan 1999/09/20	CHICHI/TCU064-N	1.00	MYH7	51.81	7.62
Chi-Chi, Taiwan 1999/09/20	CHICHI/TCU070-W	1.00	MYH7	52.15	7.62
Chi-Chi, Taiwan 1999/09/20	CHICHI/TCU109-N	1.00	MYH7	55.42	7.62
Chi-Chi, Taiwan 1999/09/20	CHICHI/TCU109-W	1.00	MYH7	47.73	7.62

Tablo B.1 (devam): Doğrusal olmayan dinamik analizlerde kullanılan ivme kayıtları

Deprem Adı	Kayıt/Bileşen	Ölçek	MYH Grup No	MYH (cm/s)	M_w
Chi-Chi, Taiwan 1999/09/20	CHICHI/TCU115-W	1.00	MYH7	56.37	7.62
Chi-Chi, Taiwan 1999/09/20	CHICHI/TCU117-N	1.00	MYH7	45.78	7.62
Imperial Valley 1979/10/15 23:16	IMPVALL/H-E08140	1.00	MYH7	54.07	6.53
Imperial Valley 1979/10/15 23:16	IMPVALL/H-HVP315	1.00	MYH7	47.20	6.53
Irpinia, Italy 1980/11/23 19:34	ITALY/A-STU270	1.00	MYH7	53.72	6.90
Kocaeli, Turkey 1999/08/17	KOCAELI/GBZ000	1.00	MYH7	54.68	7.51
Landers 1992/06/28 11:58	LANDERS/YER270	1.00	MYH7	47.86	7.25
Loma Prieta 1989/10/18 00:05	LOMAP/A02043	1.00	MYH7	57.66	6.93
Loma Prieta 1989/10/18 00:05	LOMAP/BRN000	1.00	MYH7	50.43	6.93
Loma Prieta 1989/10/18 00:05	LOMAP/LGP090	1.00	MYH7	50.87	6.93
Morgan Hill 1984/04/24 21:15	MORGAN/CYC195	1.00	MYH7	51.51	6.19
Northridge 1994/01/17 12:31	NORTHR/LDM334	1.00	MYH7	55.08	6.06
Northridge 1994/01/17 12:31	NORTHR/ORR090	1.00	MYH7	53.72	6.06
Northridge 1994/01/17 12:31	NORTHR/ORR360	1.00	MYH7	51.32	6.06
Northridge 1994/01/17 12:31	NORTHR/PKC360	1.00	MYH7	52.49	6.06
San Fernando 1971/02/09 14:00	SFERN/PCD254	1.00	MYH7	52.07	6.61
Cape Mendocino 1992/04/25 18:06	CAPEMEND/RIO270	1.31	MYH8	59.52	6.19
Cape Mendocino 1992/04/25 18:06	CAPEMEND/RIO360	1.37	MYH8	53.78	6.19
Chi-Chi, Taiwan 1999/09/20	CHICHI/CHY006-E	1.00	MYH8	60.71	7.62
Chi-Chi, Taiwan 1999/09/20	CHICHI/CHY092-E	1.00	MYH8	54.06	7.62
Chi-Chi, Taiwan 1999/09/20	CHICHI/CHY104-N	1.00	MYH8	55.49	7.62
Chi-Chi, Taiwan 1999/09/20	CHICHI/TCU054-W	1.00	MYH8	60.68	7.62
Chi-Chi, Taiwan 1999/09/20	CHICHI/TCU059-N	1.00	MYH8	57.30	7.62
Chi-Chi, Taiwan 1999/09/20	CHICHI/TCU059-W	1.00	MYH8	61.32	7.62
Chi-Chi, Taiwan 1999/09/20	CHICHI/TCU063-W	1.00	MYH8	60.00	7.62
Chi-Chi, Taiwan 1999/09/20	CHICHI/TCU072-N	1.00	MYH8	57.51	7.62
Chi-Chi, Taiwan 1999/09/20	CHICHI/TCU082-W	1.00	MYH8	49.07	7.62
Chi-Chi, Taiwan 1999/09/20	CHICHI/TCU110-N	1.00	MYH8	61.38	7.62
Chi-Chi, Taiwan 1999/09/20	CHICHI/TCU111-W	1.00	MYH8	60.61	7.62
Chi-Chi, Taiwan 1999/09/20	CHICHI/TCU117-W	1.00	MYH8	60.71	7.62
Chi-Chi, Taiwan 1999/09/20	CHICHI/TCU136-E	1.00	MYH8	47.12	7.62
Duzce, Turkey 1999/11/12	DUZCE/BOL000	1.00	MYH8	54.95	7.14
Imperial Valley 1979/10/15 23:16	IMPVALL/H-E03140	1.23	MYH8	57.62	6.53
Imperial Valley 1979/10/15 23:16	IMPVALL/H-E03230	1.44	MYH8	65.18	6.53
Irpinia, Italy 1980/11/23 19:34	ITALY/A-STU270	1.09	MYH8	58.73	6.90
Kocaeli, Turkey 1999/08/17	KOCAELI/DZC180	1.00	MYH8	53.24	7.51
Kocaeli, Turkey 1999/08/17	KOCAELI/DZC270	1.24	MYH8	55.30	7.51
Kocaeli, Turkey 1999/08/17	KOCAELI/GBZ000	1.14	MYH8	59.49	7.51
Landers 1992/06/28 11:58	LANDERS/CLW-TR	1.36	MYH8	56.32	7.25
Landers 1992/06/28 11:58	LANDERS/YER270	1.12	MYH8	55.71	7.25

Tablo B.1 (devam): Doğrusal olmayan dinamik analizlerde kullanılan ivme kayıtları

Deprem Adı	Kayıt/Bileşen	Ölçek	MYH Grup No	MYH (cm/s)	M_w
Loma Prieta 1989/10/18 00:05	LOMAP/CLS000	1.00	MYH8	59.45	6.93
Northridge 1994/01/17 12:31	NORTHR/MUL009	1.00	MYH8	55.74	6.06
Northridge 1994/01/17 12:31	NORTHR/PUL104	1.00	MYH8	55.69	6.06
N. Palm Springs 1986/07/08 09:20	PALMSPR/MVH135	1.41	MYH8	57.38	6.76
Superstitt Hills(B) 1987/11/24 13:16	SUPERST/B-ICC000	1.24	MYH8	60.79	6.54
Superstitt Hills(B) 1987/11/24 13:16	SUPERST/B-ICC090	1.41	MYH8	59.72	6.54
Chi-Chi, Taiwan 1999/09/20	CHICHI/TCU036-W	1.00	MYH9	56.99	7.62
Chi-Chi, Taiwan 1999/09/20	CHICHI/TCU049-N	1.00	MYH9	62.33	7.62
Chi-Chi, Taiwan 1999/09/20	CHICHI/TCU070-N	1.00	MYH9	57.98	7.62
Chi-Chi, Taiwan 1999/09/20	CHICHI/TCU076-N	1.00	MYH9	64.98	7.62
Chi-Chi, Taiwan 1999/09/20	CHICHI/TCU076-W	1.00	MYH9	63.14	7.62
Chi-Chi, Taiwan 1999/09/20	CHICHI/TCU079-W	1.00	MYH9	60.38	7.62
Chi-Chi, Taiwan 1999/09/20	CHICHI/TCU095-W	1.00	MYH9	59.39	7.62
Chi-Chi, Taiwan 1999/09/20	CHICHI/TCU103-W	1.00	MYH9	69.89	7.62
Chi-Chi, Taiwan 1999/09/20	CHICHI/TCU120-W	1.00	MYH9	64.68	7.62
Chi-Chi, Taiwan 1999/09/20	CHICHI/TCU129-W	1.00	MYH9	60.92	7.62
Coalinga 1983/05/02 23:42	COALINGA/H-PVY045	1.00	MYH9	59.38	6.36
Duzce, Turkey 1999/11/12	DUZCE/BOL000	1.11	MYH9	60.89	7.14
Duzce, Turkey 1999/11/12	DUZCE/BOL090	1.00	MYH9	67.73	7.14
Duzce, Turkey 1999/11/12	DUZCE/DZC180	1.00	MYH9	73.06	7.14
Erzincan, Turkey 1992/03/13	ERZIKAN/ERZ-EW	1.00	MYH9	66.95	6.69
Imperial Valley 1979/10/15 23:16	IMPVALL/H-E03140	1.34	MYH9	62.59	6.53
Imperial Valley 1979/10/15 23:16	IMPVALL/H-HVP315	1.26	MYH9	59.44	6.53
Irpina, Italy 1980/11/23 19:34	ITALY/A-STU270	1.19	MYH9	63.62	6.90
Kocaeli, Turkey 1999/08/17	KOCAELI/DZC180	1.06	MYH9	56.85	7.51
Kocaeli, Turkey 1999/08/17	KOCAELI/GBZ000	1.24	MYH9	63.92	7.51
Kocaeli, Turkey 1999/08/17	KOCAELI/YPT330	1.00	MYH9	68.26	7.51
Landers 1992/06/28 11:58	LANDERS/YER270	1.21	MYH9	60.54	7.25
Loma Prieta 1989/10/18 00:05	LOMAP/BRN000	1.22	MYH9	61.16	6.93
Loma Prieta 1989/10/18 00:05	LOMAP/HSP000	1.00	MYH9	65.48	6.93
Loma Prieta 1989/10/18 00:05	LOMAP/WVC270	1.00	MYH9	68.25	6.93
Northridge 1994/01/17 12:31	NORTHR/CNP196	1.00	MYH9	57.01	6.06
Northridge 1994/01/17 12:31	NORTHR/LDM064	1.00	MYH9	64.49	6.06
Northridge 1994/01/17 12:31	NORTHR/MUL279	1.00	MYH9	62.72	6.06
Northridge 1994/01/17 12:31	NORTHR/STC180	1.00	MYH9	65.88	6.06
Superstitt Hills(B) 1987/11/24 13:16	SUPERST/B-ICC000	1.35	MYH9	61.80	6.54
Chi-Chi, Taiwan 1999/09/20	CHICHI/CHY028-N	1.00	MYH10	66.62	7.62
Chi-Chi, Taiwan 1999/09/20	CHICHI/TCU067-N	1.00	MYH10	66.91	7.62
Chi-Chi, Taiwan 1999/09/20	CHICHI/TCU071-N	1.00	MYH10	77.75	7.62
Chi-Chi, Taiwan 1999/09/20	CHICHI/TCU101-W	1.00	MYH10	71.40	7.62

Tablo B.1 (devam): Doğrusal olmayan dinamik analizlerde kullanılan ivme kayıtları

Deprem Adı	Kayıt/Bileşen	Ölçek	MYH Grup No	MYH (cm/s)	M_w
Chi-Chi, Taiwan 1999/09/20	CHICHI/TCU110-W	1.00	MYH10	65.49	7.62
Chi-Chi, Taiwan 1999/09/20	CHICHI/TCU128-N	1.00	MYH10	65.20	7.62
Chi-Chi, Taiwan 1999/09/20	CHICHI/WGK-E	1.00	MYH10	70.20	7.62
Chi-Chi, Taiwan 1999/09/20	CHICHI/WNT-E	1.00	MYH10	69.90	7.62
Duzce, Turkey 1999/11/12	DUZCE/BOL000	1.20	MYH10	65.78	7.14
Duzce, Turkey 1999/11/12	DUZCE/BOL090	1.09	MYH10	73.63	7.14
Gazli, USSR 1976/05/17	GAZLI/GAZ000	1.00	MYH10	66.15	6.80
Imperial Valley 1979/10/15 23:16	IMPVALL/H-ECC092	1.00	MYH10	83.63	6.53
Imperial Valley 1979/10/15 23:16	IMPVALL/H-E03140	1.44	MYH10	67.35	6.53
Imperial Valley 1979/10/15 23:16	IMPVALL/H-E06140	1.00	MYH10	67.10	6.53
Irpinia, Italy 1980/11/23 19:34	ITALY/A-STU270	1.28	MYH10	68.60	6.90
Kobe 1995/01/16 20:46	KOBE/TAZ000	1.00	MYH10	67.24	6.90
Kocaeli, Turkey 1999/08/17	KOCAELI/DZC180	1.15	MYH10	61.66	7.51
Kocaeli, Turkey 1999/08/17	KOCAELI/GBZ000	1.34	MYH10	68.51	7.51
Kocaeli, Turkey 1999/08/17	KOCAELI/YPT060	1.00	MYH10	67.36	7.51
Landers 1992/06/28 11:58	LANDERS/YER270	1.31	MYH10	65.88	7.25
Loma Prieta 1989/10/18 00:05	LOMAP/BRN000	1.32	MYH10	66.86	6.93
Loma Prieta 1989/10/18 00:05	LOMAP/G03090	1.51	MYH10	69.29	6.93
Loma Prieta 1989/10/18 00:05	LOMAP/HSP000	1.08	MYH10	70.03	6.93
Northridge 1994/01/17 12:31	NORTHR/CNP196	1.11	MYH10	62.79	6.06
Northridge 1994/01/17 12:31	NORTHR/MUL009	1.14	MYH10	63.77	6.06
Northridge 1994/01/17 12:31	NORTHR/MUL279	1.07	MYH10	67.42	6.06
Northridge 1994/01/17 12:31	NORTHR/ORR090	1.30	MYH10	70.61	6.06
Northridge 1994/01/17 12:31	NORTHR/ORR360	1.29	MYH10	66.47	6.06
Northridge 1994/01/17 12:31	NORTHR/STC180	1.10	MYH10	72.33	6.06
Northridge 1994/01/17 12:31	NORTHR/WPI316	1.00	MYH10	65.07	6.06
Chi-Chi, Taiwan 1999/09/20	CHICHI/CHY028-W	1.00	MYH11	71.66	7.62
Chi-Chi, Taiwan 1999/09/20	CHICHI/CHY101-W	1.00	MYH11	68.88	7.62
Chi-Chi, Taiwan 1999/09/20	CHICHI/TCU063-N	1.00	MYH11	69.28	7.62
Chi-Chi, Taiwan 1999/09/20	CHICHI/TCU072-W	1.00	MYH11	72.99	7.62
Chi-Chi, Taiwan 1999/09/20	CHICHI/TCU074-W	1.00	MYH11	71.09	7.62
Chi-Chi, Taiwan 1999/09/20	CHICHI/TCU128-W	1.00	MYH11	63.94	7.62
Chi-Chi, Taiwan 1999/09/20	CHICHI/WGK-N	1.00	MYH11	74.19	7.62
Coalinga 1983/05/02 23:42	COALINGA/H-PVY045	1.20	MYH11	72.43	6.36
Duzce, Turkey 1999/11/12	DUZCE/BOL000	1.29	MYH11	71.26	7.14
Duzce, Turkey 1999/11/12	DUZCE/BOL090	1.17	MYH11	75.06	7.14
Duzce, Turkey 1999/11/12	DUZCE/DZC180	1.21	MYH11	88.51	7.14
Gazli, USSR 1976/05/17	GAZLI/GAZ000	1.11	MYH11	73.62	6.80
Gazli, USSR 1976/05/17	GAZLI/GAZ090	1.00	MYH11	72.36	6.80
Imperial Valley 1979/10/15 23:16	IMPVALL/H-ECC092	1.05	MYH11	86.00	6.53

Tablo B.1 (devam): Doğrusal olmayan dinamik analizlerde kullanılan ivme kayıtları

Deprem Adı	Kayıt/Bileşen	Ölçek	MYH Grup No	MYH (cm/s)	M_w
Imperial Valley 1979/10/15 23:16	IMPVALL/H-EMO000	1.00	MYH11	85.12	6.53
Imperial Valley 1979/10/15 23:16	IMPVALL/H-EDA270	1.00	MYH11	73.32	6.53
Irpinia, Italy 1980/11/23 19:34	ITALY/A-STU270	1.38	MYH11	73.69	6.90
Kobe 1995/01/16 20:46	KOBE/KJM090	1.00	MYH11	73.19	6.90
Kocaeli, Turkey 1999/08/17	KOCAELI/DZC180	1.23	MYH11	66.48	7.51
Kocaeli, Turkey 1999/08/17	KOCAELI/GBZ000	1.44	MYH11	72.79	7.51
Kocaeli, Turkey 1999/08/17	KOCAELI/YPT060	1.10	MYH11	74.37	7.51
Loma Prieta 1989/10/18 00:05	LOMAP/HSP000	1.16	MYH11	75.46	6.93
Loma Prieta 1989/10/18 00:05	LOMAP/WVC270	1.18	MYH11	81.57	6.93
Northridge 1994/01/17 12:31	NORTHR/CNP196	1.19	MYH11	67.43	6.06
Northridge 1994/01/17 12:31	NORTHR/MUL009	1.23	MYH11	68.50	6.06
Northridge 1994/01/17 12:31	NORTHR/MUL279	1.15	MYH11	72.37	6.06
Northridge 1994/01/17 12:31	NORTHR/ORR360	1.39	MYH11	71.40	6.06
Northridge 1994/01/17 12:31	NORTHR/RRS318	1.00	MYH11	68.45	6.06
Northridge 1994/01/17 12:31	NORTHR/STC180	1.18	MYH11	78.17	6.06
N. Palm Springs 1986/07/08 09:20	PALMSPR/NPS210	1.00	MYH11	72.12	6.76
Chi-Chi, Taiwan 1999/09/20	CHICHI/TCU065-N	1.00	MYH12	78.03	7.62
Chi-Chi, Taiwan 1999/09/20	CHICHI/TCU067-W	1.00	MYH12	88.02	7.62
Chi-Chi, Taiwan 1999/09/20	CHICHI/TCU102-N	1.00	MYH12	85.74	7.62
Duzce, Turkey 1999/11/12	DUZCE/BOL000	1.37	MYH12	75.63	7.14
Duzce, Turkey 1999/11/12	DUZCE/BOL090	1.25	MYH12	80.27	7.14
Duzce, Turkey 1999/11/12	DUZCE/DZC180	1.29	MYH12	94.66	7.14
Gazli, USSR 1976/05/17	GAZLI/GAZ090	1.08	MYH12	75.26	6.80
Imperial Valley 1979/10/15 23:16	IMPVALL/H-ECC092	1.13	MYH12	90.09	6.53
Imperial Valley 1979/10/15 23:16	IMPVALL/H-E04230	1.00	MYH12	82.68	6.53
Imperial Valley 1979/10/15 23:16	IMPVALL/H-EDA270	1.09	MYH12	79.41	6.53
Irpinia, Italy 1980/11/23 19:34	ITALY/A-STU270	1.47	MYH12	78.65	6.90
Kocaeli, Turkey 1999/08/17	KOCAELI/DZC180	1.32	MYH12	71.31	7.51
Kocaeli, Turkey 1999/08/17	KOCAELI/GBZ000	1.54	MYH12	77.34	7.51
Kocaeli, Turkey 1999/08/17	KOCAELI/SKR090	1.00	MYH12	81.37	7.51
Landers 1992/06/28 11:58	LANDERS/YER270	1.50	MYH12	74.06	7.25
Loma Prieta 1989/10/18 00:05	LOMAP/BRN000	1.51	MYH12	77.03	6.93
Loma Prieta 1989/10/18 00:05	LOMAP/WVC270	1.26	MYH12	87.42	6.93
Northridge 1994/01/17 12:31	NORTHR/CNP196	1.27	MYH12	71.34	6.06
Northridge 1994/01/17 12:31	NORTHR/MUL009	1.31	MYH12	73.24	6.06
Northridge 1994/01/17 12:31	NORTHR/MUL279	1.23	MYH12	77.39	6.06
Northridge 1994/01/17 12:31	NORTHR/NWH090	1.00	MYH12	77.55	6.06
Northridge 1994/01/17 12:31	NORTHR/PAR--L	1.00	MYH12	74.78	6.06
Northridge 1994/01/17 12:31	NORTHR/RRS318	1.06	MYH12	72.44	6.06
Northridge 1994/01/17 12:31	NORTHR/STC180	1.26	MYH12	83.53	6.06

Tablo B.1 (devam): Doğrusal olmayan dinamik analizlerde kullanılan ivme kayıtları

Deprem Adı	Kayıt/Bileşen	Ölçek	MYH Grup No	MYH (cm/s)	M_w
Northridge 1994/01/17 12:31	NORTHR/SCE288	1.00	MYH12	78.44	6.06
Northridge 1994/01/17 12:31	NORTHR/SPV360	1.00	MYH12	74.57	6.06
Northridge 1994/01/17 12:31	NORTHR/SYL090	1.00	MYH12	78.78	6.06
Northridge 1994/01/17 12:31	NORTHR/TAR360	1.00	MYH12	75.67	6.06
Northridge 1994/01/17 12:31	NORTHR/WPI316	1.15	MYH12	78.50	6.06
Parkfield 1966/06/28 04:26	PARKF/C02065	1.00	MYH12	77.10	7.25

EK C Mevcut Binaların Doğrusal Olmayan Dinamik Analiz Sonuçları

Tablo C.1: Mevcut binalara ait yerdeğiřtirme talepleri

(Lütfen ekteki CD'ye bakınız)

EK D Mevcut Binaların Hasar Görebilirlik Eğrilerinin Hesabı

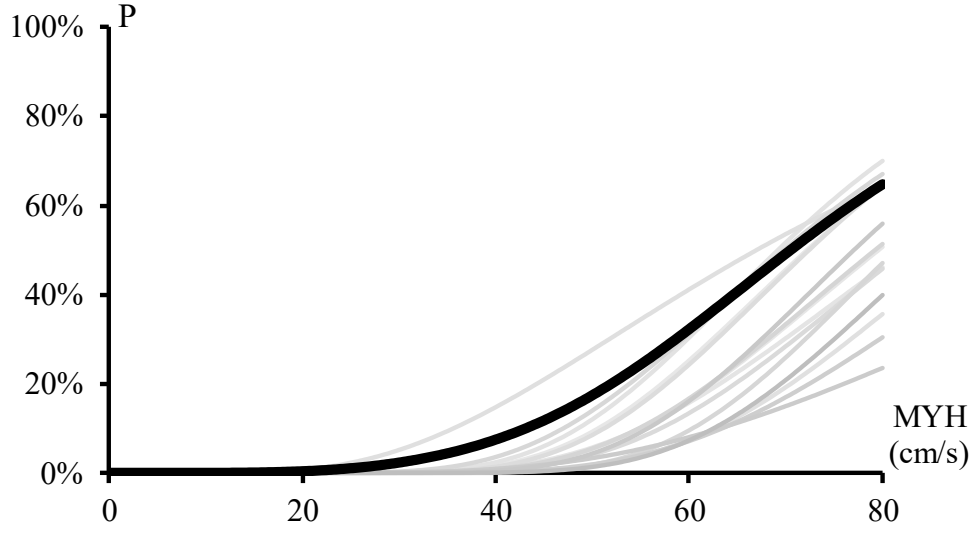
Tablo D.1: TDY1975 binalarının hasar görebilirlik eğrilerine ait parametre değerleri

Bina Adı	Yön	Hafif Hasar ($\geq \Delta_y$)		Orta Hasar ($\geq \Delta_{HK}$)		Ağır Hasar ($\geq \Delta_{CG}$)		Göçme ($\geq \Delta_{GÖ}$)	
		Ortalama (μ)	Std. Sap. (σ)	Ortalama (μ)	Std. Sap. (σ)	Ortalama (μ)	Std. Sap. (σ)	Ortalama (μ)	Std. Sap. (σ)
BO1SN3	XZ	0.107	2.345	3.041	1.326	4.279	0.277	4.327	0.239
BO1SN3	YZ	0.396	2.738	3.690	0.830	4.377	0.289	4.449	0.292
BO2SN3	XZ	1.106	1.877	3.016	1.410	4.412	0.317	4.420	0.287
BO2SN3	YZ	0.717	1.878	1.947	1.400	4.235	0.309	4.235	0.309
BO3SN3	XZ	1.276	1.077	2.282	1.405	4.236	0.276	4.236	0.276
BO3SN3	YZ	0.025	2.100	3.378	0.861	4.480	0.266	4.511	0.294
BO4SN3	XZ	0.149	2.153	2.218	2.044	4.205	0.493	4.331	0.398
BO4SN3	YZ	0.382	2.116	2.472	1.631	4.227	0.405	4.379	0.370
BO5SN3	XZ	0.588	1.752	3.220	0.952	4.283	0.270	4.378	0.299
BO5SN3	YZ	0.800	1.950	3.113	1.276	4.413	0.288	4.413	0.288
BO6SN4	XZ	2.035	0.820	3.151	0.525	4.203	0.261	4.276	0.268
BO6SN4	YZ	1.057	1.392	2.859	0.847	4.246	0.309	4.246	0.309
BO7SN4	XZ	1.200	1.650	3.142	1.148	4.399	0.233	4.399	0.233
BO7SN4	YZ	0.264	1.995	3.344	0.705	4.372	0.287	4.372	0.287
BO8SN4	XZ	1.489	1.244	3.203	0.716	4.196	0.299	4.221	0.251
BO8SN4	YZ	1.487	1.218	3.025	0.723	4.127	0.353	4.127	0.353
BO9SN4	XZ	0.777	1.407	3.054	0.584	4.003	0.420	4.003	0.420
BO9SN4	YZ	0.323	2.192	2.794	1.542	4.535	0.301	4.535	0.301
BO10SN4	XZ	1.381	1.657	2.382	1.498	4.359	0.314	4.426	0.235
BO10SN4	YZ	1.516	1.493	3.575	0.823	4.683	0.420	4.880	0.478
BO11SN5	XZ	1.546	1.200	2.690	0.641	4.095	0.330	4.181	0.295
BO11SN5	YZ	1.037	1.532	2.968	0.916	4.345	0.253	4.376	0.237
BO12SN5	XZ	1.585	1.036	2.778	0.627	4.086	0.394	4.102	0.395
BO12SN5	YZ	1.730	1.305	2.549	1.057	4.342	0.282	4.376	0.281
BO13SN5	XZ	1.954	0.985	2.864	0.474	3.798	0.355	3.798	0.355
BO13SN5	YZ	1.884	0.755	2.904	0.535	3.628	0.488	3.628	0.488
BO14SN5	XZ	1.208	1.309	2.926	0.722	4.355	0.230	4.402	0.232
BO14SN5	YZ	0.917	1.635	3.165	0.719	4.443	0.240	4.554	0.264
BO15SN5	XZ	2.292	0.619	2.784	0.441	4.208	0.232	4.208	0.232
BO15SN5	YZ	1.945	0.745	3.007	0.650	4.165	0.381	4.165	0.381
BO16SN6	XZ	1.738	0.890	3.156	0.456	3.987	0.324	4.095	0.300
BO16SN6	YZ	1.984	0.654	3.018	0.340	4.132	0.255	4.228	0.224
BO17SN6	XZ	1.938	1.023	3.102	0.671	4.307	0.292	4.307	0.292
BO17SN6	YZ	2.559	0.619	3.015	0.629	4.281	0.235	4.281	0.235
BO18SN6	XZ	0.931	1.523	3.146	0.660	4.257	0.272	4.257	0.272
BO18SN6	YZ	1.808	0.706	3.168	0.387	3.836	0.378	3.836	0.378
BO19SN6	XZ	2.248	0.823	3.180	0.666	4.096	0.382	4.096	0.382
BO19SN6	YZ	1.963	1.205	3.395	0.703	4.388	0.265	4.388	0.265
BO20SN6	XZ	1.927	0.912	3.037	0.613	4.201	0.286	4.349	0.226
BO20SN6	YZ	1.684	0.831	3.078	0.574	4.239	0.267	4.239	0.267

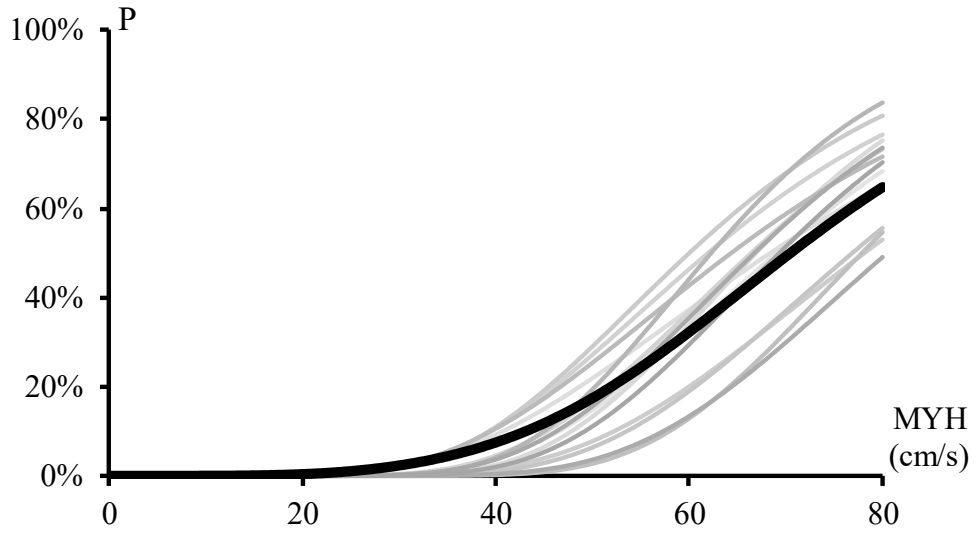
Tablo D.2: TDY1998 binalarının hasar görebilirlik eğrilerine ait parametre değerleri

Bina Adı	Yön	Hafif Hasar ($\geq \Delta_y$)		Orta Hasar ($\geq \Delta_{HK}$)		Ağır Hasar ($\geq \Delta_{CG}$)		Göçme ($\geq \Delta_{GO}$)	
		Ortalama (μ)	Std. Sap. (σ)	Ortalama (μ)	Std. Sap. (σ)	Ortalama (μ)	Std. Sap. (σ)	Ortalama (μ)	Std. Sap. (σ)
BN1SN3	XZ	3.707	1.332	4.267	0.651	***	***	***	***
BN1SN3	YZ	2.515	1.728	2.835	1.786	4.604	0.316	4.991	0.448
BN2SN3	XZ	2.164	1.644	2.073	2.203	4.984	0.534	4.655	0.162
BN2SN3	YZ	2.017	1.673	2.124	1.960	4.763	0.406	4.803	0.247
BN3SN3	XZ	2.752	1.799	3.783	1.192	4.858	0.369	5.074	0.371
BN3SN3	YZ	3.447	1.467	3.968	1.064	***	***	***	***
BN4SN3	XZ	2.154	1.803	2.969	1.752	4.537	0.244	4.537	0.244
BN4SN3	YZ	2.793	1.894	3.814	1.111	4.766	0.264	***	***
BN5SN3	XZ	2.452	1.527	2.452	1.527	5.298	0.713	4.803	0.247
BN5SN3	YZ	2.294	2.102	3.407	1.384	5.054	0.577	5.074	0.371
BN6SN4	XZ	2.471	1.313	3.319	0.829	4.908	0.443	4.803	0.247
BN6SN4	YZ	2.347	1.065	3.077	0.785	4.483	0.233	4.788	0.377
BN7SN4	XZ	3.007	0.792	3.491	0.710	4.544	0.235	5.137	0.488
BN7SN4	YZ	2.807	1.025	3.512	0.795	5.011	0.477	***	***
BN8SN4	XZ	2.717	1.682	3.853	0.836	5.057	0.466	***	***
BN8SN4	YZ	3.859	1.057	4.278	0.695	***	***	***	***
BN9SN4	XZ	3.287	0.798	3.464	0.797	4.660	0.288	4.803	0.247
BN9SN4	YZ	3.175	0.916	3.764	0.767	4.991	0.448	4.655	0.162
BN10SN4	XZ	2.009	1.285	3.163	0.661	4.506	0.260	4.993	0.445
BN10SN4	YZ	2.422	1.317	2.422	1.317	5.137	0.488	5.137	0.488
BN11SN5	XZ	2.924	0.826	2.924	0.826	4.700	0.378	4.608	0.160
BN11SN5	YZ	2.673	1.084	3.464	0.719	4.569	0.273	4.993	0.445
BN12SN5	XZ	2.763	0.935	3.158	0.812	4.809	0.438	4.522	0.119
BN12SN5	YZ	3.265	0.811	3.265	0.811	4.885	0.435	4.908	0.323
BN13SN5	XZ	2.994	0.984	3.457	0.786	4.803	0.247	***	***
BN13SN5	YZ	3.229	0.800	3.500	0.798	4.855	0.397	***	***
BN14SN5	XZ	2.853	0.745	3.251	0.622	4.513	0.268	5.057	0.466
BN14SN5	YZ	2.785	0.847	2.971	0.825	4.641	0.347	***	***
BN15SN5	XZ	2.796	1.264	3.538	0.979	5.066	0.508	4.655	0.162
BN15SN5	YZ	1.285	1.797	2.270	1.342	4.531	0.309	***	***
BN16SN6	XZ	3.522	0.633	3.626	0.604	4.547	0.218	***	***
BN16SN6	YZ	3.447	0.679	3.530	0.620	4.617	0.320	***	***
BN17SN6	XZ	3.529	0.738	3.649	0.708	4.803	0.247	***	***
BN17SN6	YZ	3.605	0.780	3.687	0.724	***	***	***	***
BN18SN6	XZ	3.263	0.660	3.400	0.693	4.525	0.206	***	***
BN18SN6	YZ	3.463	0.760	3.463	0.760	5.137	0.488	***	***
BN19SN6	XZ	2.863	0.750	3.256	0.670	4.458	0.225	4.608	0.160
BN19SN6	YZ	3.127	0.438	3.148	0.427	4.436	0.167	4.655	0.162
BN20SN6	XZ	3.233	0.531	3.233	0.531	4.479	0.206	***	***
BN20SN6	YZ	3.485	0.644	3.485	0.644	4.569	0.180	***	***

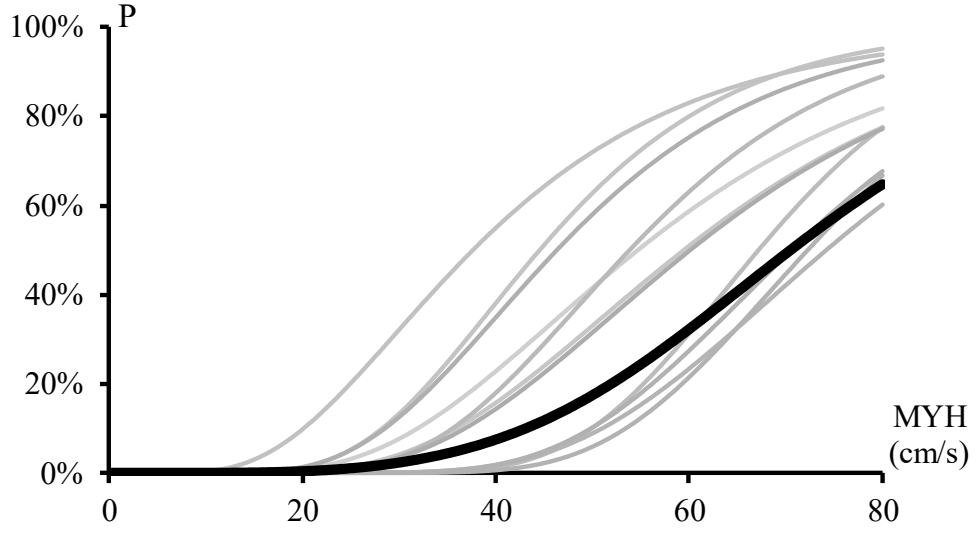
***Hasar sınırı aşılmadığı için hesaplanamamıştır



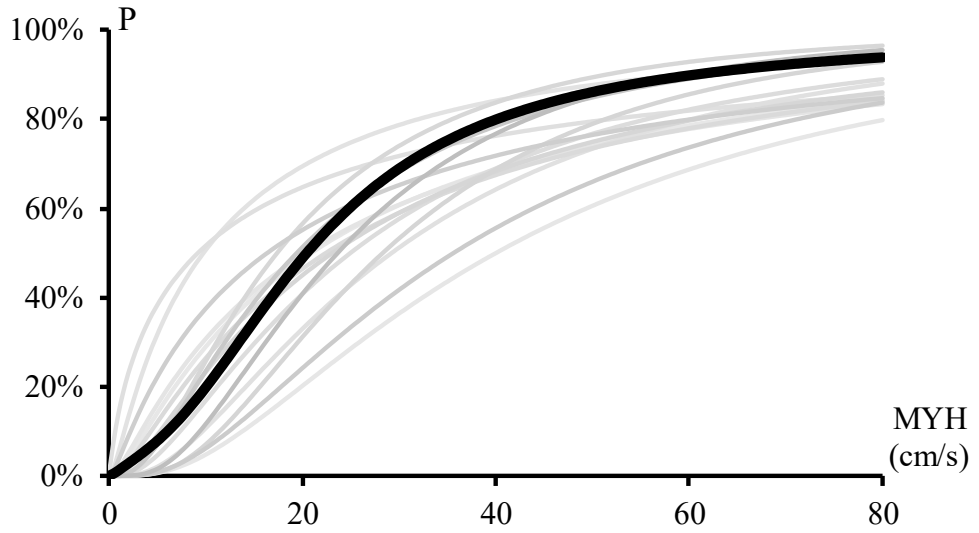
Şekil D.1: İyi kalitedeki TDY1975 binalarının ağır hasar olasılıklarını gösteren hasar görebilirlik eğrileri



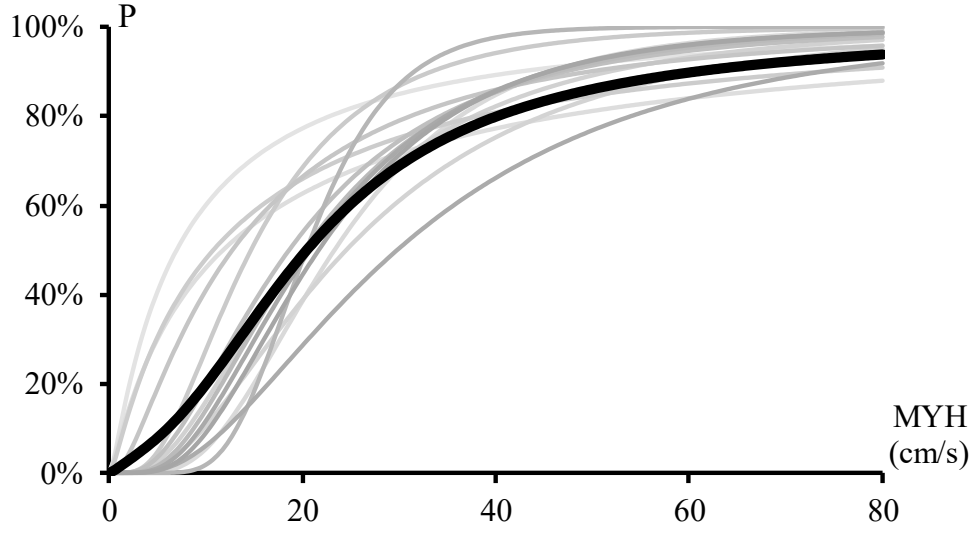
Şekil D.2: Orta kalitedeki TDY1975 binalarının ağır hasar olasılıklarını gösteren hasar görebilirlik eğrileri



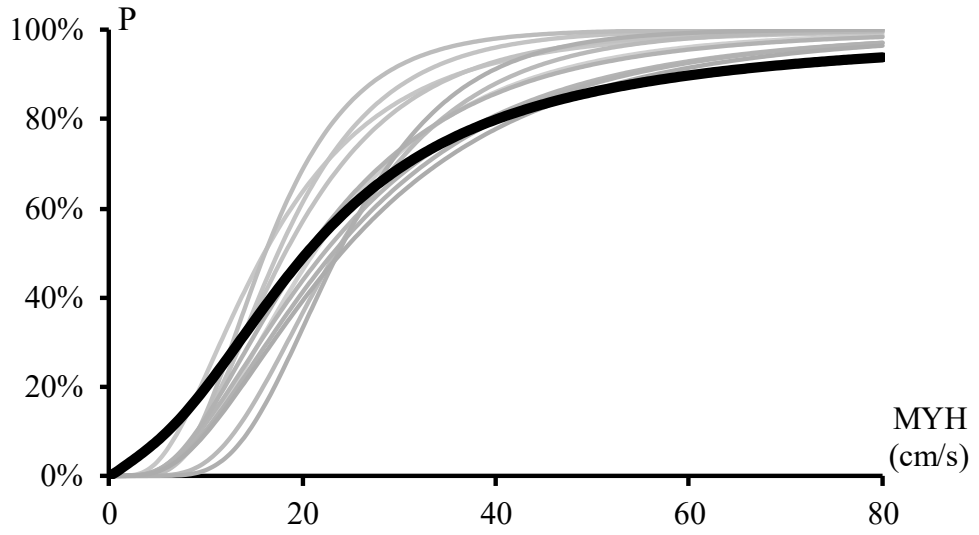
Şekil D.3: Kötü kalitedeki TDY1975 binalarının ağır hasar olasılıklarını gösteren hasar görebilirlik eğrileri



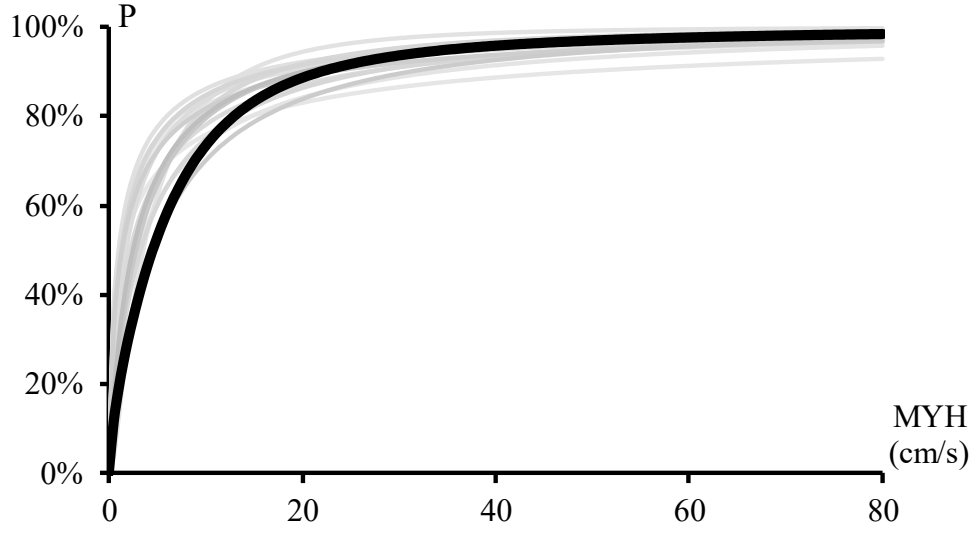
Şekil D.4: İyi kalitedeki TDY1975 binalarının orta hasar olasılıklarını gösteren hasar görebilirlik eğrileri



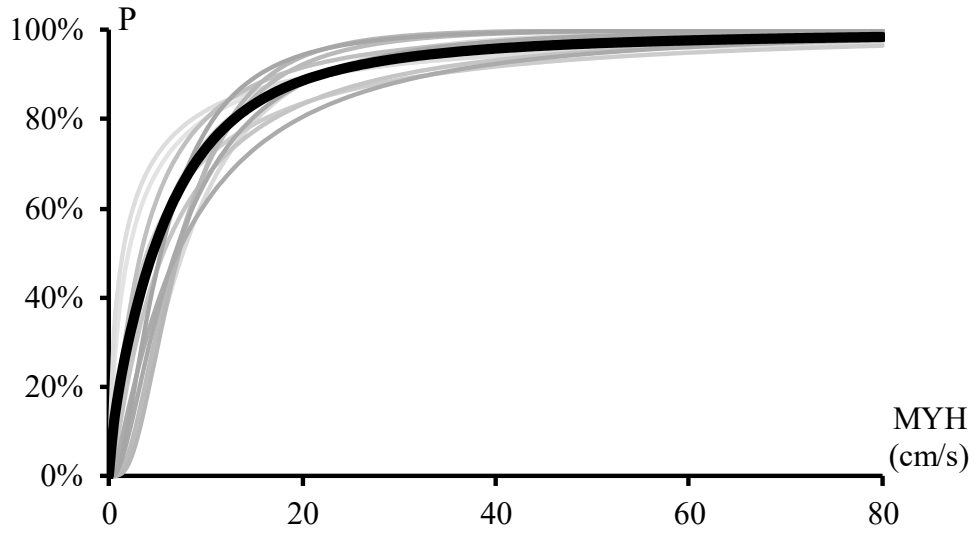
Şekil D.5: Orta kalitedeki TDY1975 binalarının orta hasar olasılıklarını gösteren hasar görülebilirlik eğrileri



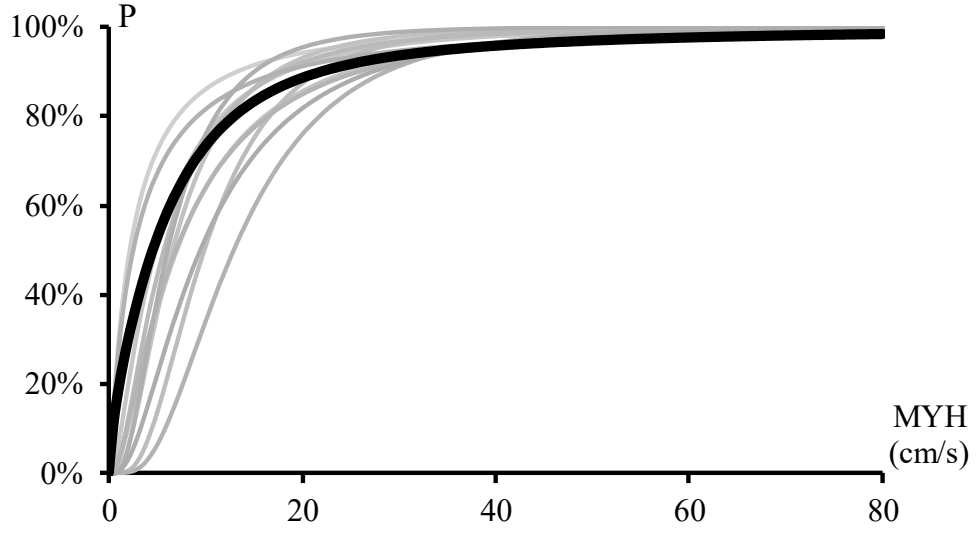
Şekil D.6: Kötü kalitedeki TDY1975 binalarının orta hasar olasılıklarını gösteren hasar görülebilirlik eğrileri



Şekil D.7: İyi kalitedeki TDY1975 binalarının hafif hasar olasılıklarını gösteren hasar görebilirlik eğrileri



Şekil D.8: Orta kalitedeki TDY1975 binalarının hafif hasar olasılıklarını gösteren hasar görebilirlik eğrileri



Şekil D.9: Kötü kalitedeki TDY1975 binalarının hafif hasar olasılıklarını gösteren hasar görülebilirlik eğrileri

EK E Mevcut Binaların Hasar Olasılık Matrislerinin Hesabı

Tablo E.1: Orta kalitedeki TDY1975 binaları için Olası En Büyük Hasar Yöntemi ile elde edilen HOM (MHO-Gürpınar ve diğ. (1978))

Hasar Durumu	Merkezi Hasar Oranı (%)	MYH Grup No																
		1	2	3	4	5	6	7	8	9	10	11	12					
Hasarsız	0.0	0.000	0.000	0.000	0.000	0.000	0.000	0.000	0.000	0.000	0.000	0.000	0.000	0.000	0.000	0.000	0.000	0.000
Hafif Hasarlı	5.0	0.000	0.000	0.000	0.000	0.000	0.000	0.000	0.000	0.000	0.000	0.000	0.000	0.000	0.000	0.000	0.000	0.000
Orta Hasarlı	30.0	1.000	0.929	0.857	0.286	0.143	0.143	0.143	0.000	0.000	0.143	0.000	0.000	0.000	0.000	0.000	0.000	0.000
Ağır Hasarlı	70.0	0.000	0.071	0.071	0.143	0.214	0.143	0.143	0.000	0.000	0.214	0.000	0.000	0.000	0.000	0.000	0.000	0.000
Göçme	100.0	0.000	0.000	0.071	0.571	0.643	0.571	0.571	0.000	0.000	0.643	1.000	1.000	1.000	1.000	1.000	1.000	1.000
Ortalama Hasar Oranı (OHO)		0.300	0.329	0.379	0.757	0.836	0.757	0.757	0.379	0.379	0.836	1.000	1.000	1.000	1.000	1.000	1.000	1.000

Tablo E.2: Orta kalitedeki TDY1975 binaları için Olası En Büyük Hasar Yöntemi ile elde edilen HOM (MHO-Kalkan (2019))

Hasar Durumu	Merkezi Hasar Oranı (%)	MYH Grup No														
		1	2	3	4	5	6	7	8	9	10	11	12			
Hasarsız	0.0	0.000	0.000	0.000	0.000	0.000	0.000	0.000	0.000	0.000	0.000	0.000	0.000	0.000	0.000	0.000
Hafif Hasarlı	5.0	0.000	0.000	0.000	0.000	0.000	0.000	0.000	0.000	0.000	0.000	0.000	0.000	0.000	0.000	0.000
Orta Hasarlı	30.0	1.000	0.929	0.857	0.286	0.143	0.143	0.143	0.000	0.000	0.000	0.000	0.000	0.000	0.000	0.000
Ağır Hasarlı	85.0	0.000	0.071	0.071	0.143	0.214	0.214	0.214	0.000	0.000	0.000	0.000	0.000	0.000	0.000	0.000
Göçme	100.0	0.000	0.000	0.071	0.571	0.643	0.643	0.643	1.000	1.000	1.000	1.000	1.000	1.000	1.000	1.000
Ortalama Hasar Oranı (OHO)		0.300	0.339	0.389	0.779	0.868	0.868	0.868	1.000	1.000	1.000	1.000	1.000	1.000	1.000	1.000

Tablo E.3: Orta kalitedeki TDY1975 binaları için Olası En Büyük Hasar Yöntemi ile elde edilen HOM (MHO-Hancılar ve diğ. (2019))

Hasar Durumu	Merkezi Hasar Oranı (%)	MYH Grup No														
		1	2	3	4	5	6	7	8	9	10	11	12			
Hasarsız	0.0	0.000	0.000	0.000	0.000	0.000	0.000	0.000	0.000	0.000	0.000	0.000	0.000	0.000	0.000	0.000
Hafif Hasarlı	10.0	0.000	0.000	0.000	0.000	0.000	0.000	0.000	0.000	0.000	0.000	0.000	0.000	0.000	0.000	0.000
Orta Hasarlı	40.0	1.000	0.929	0.857	0.286	0.143	0.143	0.143	0.000	0.000	0.000	0.000	0.000	0.000	0.000	0.000
Ağır Hasarlı	80.0	0.000	0.071	0.071	0.143	0.214	0.214	0.214	0.000	0.000	0.000	0.000	0.000	0.000	0.000	0.000
Göçme	100.0	0.000	0.000	0.071	0.571	0.643	0.643	0.643	1.000	1.000	1.000	1.000	1.000	1.000	1.000	1.000
Ortalama Hasar Oranı (OHO)		0.400	0.429	0.471	0.800	0.871	0.871	0.871	1.000	1.000	1.000	1.000	1.000	1.000	1.000	1.000

Tablo E.4: Kötü kalitedeki TDY1975 binaları için Olası En Büyük Hasar Yöntemi ile elde edilen HOM (MHO-Gürpınar ve diğ. (1978))

Hasar Durumu	Merkezi Hasar Oranı (%)	MYH Grup No														
		1	2	3	4	5	6	7	8	9	10	11	12			
Hasarsız	0.0	0.000	0.000	0.000	0.000	0.000	0.000	0.000	0.000	0.000	0.000	0.000	0.000	0.000	0.000	0.000
Hafif Hasarlı	5.0	0.000	0.000	0.000	0.000	0.000	0.000	0.000	0.000	0.000	0.000	0.000	0.000	0.000	0.000	0.000
Orta Hasarlı	30.0	0.909	0.727	0.364	0.091	0.182	0.182	0.182	0.000	0.000	0.000	0.000	0.000	0.000	0.000	0.000
Ağır Hasarlı	70.0	0.000	0.000	0.091	0.000	0.000	0.000	0.000	0.000	0.000	0.000	0.000	0.000	0.000	0.000	0.000
Göçme	100.0	0.091	0.273	0.545	0.909	0.818	0.818	0.818	1.000	1.000	1.000	1.000	1.000	1.000	1.000	1.000
Ortalama Hasar Oranı (OHO)		0.364	0.491	0.718	0.936	0.873	0.873	0.873	1.000	1.000	1.000	1.000	1.000	1.000	1.000	1.000

Tablo E.5: Kötü kalitedeki TDY1975 binaları için Olası En Büyük Hasar Yöntemi ile elde edilen HOM (MHO-Kalkan (2019))

Hasar Durumu	Merkezi Hasar Oranı (%)	MYH Grup No														
		1	2	3	4	5	6	7	8	9	10	11	12			
Hasarsız	0.0	0.000	0.000	0.000	0.000	0.000	0.000	0.000	0.000	0.000	0.000	0.000	0.000	0.000	0.000	0.000
Hafif Hasarlı	5.0	0.000	0.000	0.000	0.000	0.000	0.000	0.000	0.000	0.000	0.000	0.000	0.000	0.000	0.000	0.000
Orta Hasarlı	30.0	0.909	0.727	0.364	0.091	0.182	0.182	0.000	0.000	0.000	0.182	0.000	0.000	0.000	0.000	0.000
Ağır Hasarlı	85.0	0.000	0.000	0.091	0.000	0.000	0.000	0.000	0.000	0.000	0.000	0.000	0.000	0.000	0.000	0.000
Göçme	100.0	0.091	0.273	0.545	0.909	0.818	0.818	1.000	1.000	1.000	0.818	1.000	1.000	1.000	1.000	1.000
Ortalama Hasar Oranı (OHO)		0.364	0.491	0.732	0.936	0.873	0.873	1.000	1.000	1.000	0.873	1.000	1.000	1.000	1.000	1.000

Tablo E.6: Kötü kalitedeki TDY1975 binaları için Olası En Büyük Hasar Yöntemi ile elde edilen HOM (MHO-Hancılar ve diğ. (2019))

Hasar Durumu	Merkezi Hasar Oranı (%)	MYH Grup No														
		1	2	3	4	5	6	7	8	9	10	11	12			
Hasarsız	0.0	0.000	0.000	0.000	0.000	0.000	0.000	0.000	0.000	0.000	0.000	0.000	0.000	0.000	0.000	0.000
Hafif Hasarlı	10.0	0.000	0.000	0.000	0.000	0.000	0.000	0.000	0.000	0.000	0.000	0.000	0.000	0.000	0.000	0.000
Orta Hasarlı	40.0	0.909	0.727	0.364	0.091	0.182	0.182	0.000	0.000	0.000	0.182	0.000	0.000	0.000	0.000	0.000
Ağır Hasarlı	80.0	0.000	0.000	0.091	0.000	0.000	0.000	0.000	0.000	0.000	0.000	0.000	0.000	0.000	0.000	0.000
Göçme	100.0	0.091	0.273	0.545	0.909	0.818	0.818	1.000	1.000	1.000	0.818	1.000	1.000	1.000	1.000	1.000
Ortalama Hasar Oranı (OHO)		0.455	0.564	0.764	0.945	0.891	0.891	1.000	1.000	1.000	0.891	1.000	1.000	1.000	1.000	1.000

Tablo E.7: TDY1998 binaları için Olası En Büyük Hasar Yöntemi ile elde edilen HOM (MHO-Gürpınar ve diğ. (1978))

Hasar Durumu	Merkezi Hasar Oranı (%)	MYH Grup No														
		1	2	3	4	5	6	7	8	9	10	11	12			
Hasarsız	0.0	0.000	0.000	0.000	0.000	0.000	0.000	0.000	0.000	0.000	0.000	0.000	0.000	0.000	0.000	0.000
Hafif Hasarlı	5.0	0.000	0.025	0.000	0.000	0.000	0.000	0.000	0.000	0.000	0.000	0.000	0.000	0.000	0.000	0.000
Orta Hasarlı	30.0	1.000	0.975	1.000	1.000	0.975	1.000	0.800	0.725	0.500	0.150	0.100	0.100	0.100	0.100	0.100
Ağır Hasarlı	70.0	0.000	0.000	0.000	0.000	0.000	0.000	0.175	0.250	0.400	0.600	0.500	0.325	0.325	0.325	0.325
Göçme	100.0	0.000	0.000	0.000	0.000	0.025	0.000	0.025	0.025	0.100	0.250	0.400	0.575	0.575	0.575	0.575
Ortalama Hasar Oranı (OHO)		0.300	0.294	0.300	0.300	0.318	0.300	0.388	0.418	0.530	0.715	0.780	0.833	0.833	0.833	0.833

Tablo E.8: TDY1998 binaları için Olası En Büyük Hasar Yöntemi ile elde edilen HOM (MHO-Kalkan (2019))

Hasar Durumu	Merkezi Hasar Oranı (%)	MYH Grup No															
		1	2	3	4	5	6	7	8	9	10	11	12				
Hasarsız	0.0	0.000	0.000	0.000	0.000	0.000	0.000	0.000	0.000	0.000	0.000	0.000	0.000	0.000	0.000	0.000	
Hafif Hasarlı	5.0	0.000	0.025	0.000	0.000	0.000	0.000	0.000	0.000	0.000	0.000	0.000	0.000	0.000	0.000	0.000	
Orta Hasarlı	30.0	1.000	0.975	1.000	1.000	0.975	1.000	0.800	0.725	0.500	1.000	0.800	0.725	0.500	0.150	0.100	
Ağır Hasarlı	85.0	0.000	0.000	0.000	0.000	0.000	0.000	0.175	0.250	0.400	0.000	0.175	0.250	0.400	0.600	0.325	
Göçme	100.0	0.000	0.000	0.000	0.000	0.025	0.000	0.025	0.025	0.100	0.000	0.025	0.025	0.100	0.250	0.575	
Ortalama Hasar Oranı (OHO)		0.300	0.294	0.300	0.300	0.318	0.300	0.414	0.455	0.590	0.300	0.414	0.455	0.590	0.805	0.855	0.881

Tablo E.9: TDY1998 binaları için Olası En Büyük Hasar Yöntemi ile elde edilen HOM (MHO-Hancılar ve diğ. (2019))

Hasar Durumu	Merkezi Hasar Oranı (%)	MYH Grup No														
		1	2	3	4	5	6	7	8	9	10	11	12			
Hasarsız	0.0	0.000	0.000	0.000	0.000	0.000	0.000	0.000	0.000	0.000	0.000	0.000	0.000	0.000	0.000	0.000
Hafif Hasarlı	10.0	0.000	0.025	0.000	0.000	0.000	0.000	0.000	0.000	0.000	0.000	0.000	0.000	0.000	0.000	0.000
Orta Hasarlı	40.0	1.000	0.975	1.000	1.000	0.975	1.000	0.800	0.725	0.500	1.000	0.800	0.725	0.500	0.150	0.100
Ağır Hasarlı	80.0	0.000	0.000	0.000	0.000	0.000	0.000	0.175	0.250	0.400	0.000	0.175	0.250	0.400	0.600	0.325
Göçme	100.0	0.000	0.000	0.000	0.000	0.025	0.000	0.025	0.025	0.100	0.000	0.025	0.025	0.100	0.250	0.575
Ortalama Hasar Oranı (OHO)		0.400	0.393	0.400	0.400	0.415	0.400	0.485	0.515	0.620	0.400	0.485	0.515	0.620	0.790	0.875

Tablo E.10: Orta kalitedeki TDY1975 binaları için Lognormal Dağılım Yöntemi ile elde edilen HOM (MHO-Gürpınar ve diğ. (1978))

Hasar Durumu	Merkezi Hasar Oranı (%)	MYH Grup No											
		1	2	3	4	5	6	7	8	9	10	11	12
Hasarsız	0.0	0.092	0.072	0.052	0.041	0.035	0.027	0.025	0.022	0.019	0.016	0.014	0.013
Hafif Hasarlı	5.0	0.302	0.240	0.168	0.129	0.106	0.076	0.067	0.056	0.045	0.037	0.031	0.026
Orta Hasarlı	30.0	0.605	0.685	0.764	0.791	0.790	0.742	0.709	0.646	0.555	0.463	0.378	0.296
Ağır Hasarlı	70.0	0.000	0.001	0.006	0.015	0.025	0.048	0.056	0.067	0.074	0.074	0.068	0.058
Göçme	100.0	0.001	0.002	0.009	0.024	0.044	0.107	0.143	0.210	0.307	0.410	0.508	0.606
Ortalama Hasar Oranı (OHO)		0.197	0.220	0.251	0.278	0.304	0.367	0.398	0.453	0.528	0.602	0.671	0.737

Tablo E.11: Orta kalitedeki TDY1975 binaları için Lognormal Dağılım Yöntemi ile elde edilen HOM (MHO-Kalkan (2019))

Hasar Durumu	Merkezi Hasar Oranı (%)	MYH Grup No											
		1	2	3	4	5	6	7	8	9	10	11	12
Hasarsız	0.0	0.092	0.072	0.052	0.041	0.035	0.027	0.025	0.022	0.019	0.016	0.014	0.013
Hafif Hasarlı	5.0	0.302	0.240	0.168	0.129	0.106	0.076	0.067	0.056	0.045	0.037	0.031	0.026
Orta Hasarlı	30.0	0.605	0.685	0.764	0.791	0.790	0.742	0.709	0.646	0.555	0.463	0.378	0.296
Ağır Hasarlı	85.0	0.000	0.001	0.006	0.015	0.025	0.048	0.056	0.067	0.074	0.074	0.068	0.058
Göçme	100.0	0.001	0.002	0.009	0.024	0.044	0.107	0.143	0.210	0.307	0.410	0.508	0.606
Ortalama Hasar Oranı (OHO)		0.197	0.221	0.252	0.280	0.308	0.374	0.407	0.463	0.539	0.613	0.681	0.746

Tablo E.12: Orta kalitedeki TDY1975 binaları için Lognormal Dağılım Yöntemi ile elde edilen HOM (MHO-Hancılar ve diğ. (2019))

Hasar Durumu	Merkezi Hasar Oranı (%)	MYH Grup No											
		1	2	3	4	5	6	7	8	9	10	11	12
Hasarsız	0.0	0.092	0.072	0.052	0.041	0.035	0.027	0.025	0.022	0.019	0.016	0.014	0.013
Hafif Hasarlı	10.0	0.302	0.240	0.168	0.129	0.106	0.076	0.067	0.056	0.045	0.037	0.031	0.026
Orta Hasarlı	40.0	0.605	0.685	0.764	0.791	0.790	0.742	0.709	0.646	0.555	0.463	0.378	0.296
Ağır Hasarlı	80.0	0.000	0.001	0.006	0.015	0.025	0.048	0.056	0.067	0.074	0.074	0.068	0.058
Göçme	100.0	0.001	0.002	0.009	0.024	0.044	0.107	0.143	0.210	0.307	0.410	0.508	0.606
Ortalama Hasar Oranı (OHO)		0.273	0.301	0.337	0.365	0.391	0.450	0.478	0.527	0.593	0.658	0.717	0.774

Tablo E.13: Kötü kalitedeki TDY1975 binaları için Lognormal Dağılım Yöntemi ile elde edilen HOM (MHO-Gürpınar ve diğ. (1978))

Hasar Durumu	Merkezi Hasar Oranı (%)	MYH Grup No											
		1	2	3	4	5	6	7	8	9	10	11	12
Hasarsız	0.0	0.086	0.061	0.037	0.027	0.021	0.014	0.012	0.010	0.008	0.006	0.005	0.004
Hafif Hasarlı	5.0	0.321	0.241	0.150	0.103	0.078	0.048	0.039	0.030	0.021	0.016	0.012	0.009
Orta Hasarlı	30.0	0.568	0.651	0.706	0.701	0.676	0.597	0.558	0.491	0.407	0.329	0.261	0.199
Ağır Hasarlı	70.0	0.000	0.001	0.005	0.008	0.011	0.014	0.014	0.014	0.012	0.011	0.009	0.007
Göçme	100.0	0.024	0.047	0.101	0.161	0.215	0.328	0.377	0.455	0.551	0.639	0.714	0.781
Ortalama Hasar Oranı (OHO)		0.211	0.255	0.324	0.382	0.429	0.519	0.556	0.614	0.683	0.745	0.799	0.846

Tablo E.14: Kötü kalitedeki TDY1975 binaları için Lognormal Dağılım Yöntemi ile elde edilen HOM (MHO-Kalkan (2019))

Hasar Durumu	Merkezi Hasar Oranı (%)	MYH Grup No											
		1	2	3	4	5	6	7	8	9	10	11	12
Hasarsız	0.0	0.086	0.061	0.037	0.027	0.021	0.014	0.012	0.010	0.008	0.006	0.005	0.004
Hafif Hasarlı	5.0	0.321	0.241	0.150	0.103	0.078	0.048	0.039	0.030	0.021	0.016	0.012	0.009
Orta Hasarlı	30.0	0.568	0.651	0.706	0.701	0.676	0.597	0.558	0.491	0.407	0.329	0.261	0.199
Ağır Hasarlı	85.0	0.000	0.001	0.005	0.008	0.011	0.014	0.014	0.014	0.012	0.011	0.009	0.007
Göçme	100.0	0.024	0.047	0.101	0.161	0.215	0.328	0.377	0.455	0.551	0.639	0.714	0.781
Ortalama Hasar Oranı (OHO)		0.211	0.255	0.325	0.383	0.431	0.521	0.558	0.616	0.685	0.747	0.800	0.847

Tablo E.15: Kötü kalitedeki TDY1975 binaları için Lognormal Dağılım Yöntemi ile elde edilen HOM (MHO-Hancılar ve diğ. (2019))

Hasar Durumu	Merkezi Hasar Oranı (%)	MYH Grup No											
		1	2	3	4	5	6	7	8	9	10	11	12
Hasarsız	0.0	0.086	0.061	0.037	0.027	0.021	0.014	0.012	0.010	0.008	0.006	0.005	0.004
Hafif Hasarlı	10.0	0.321	0.241	0.150	0.103	0.078	0.048	0.039	0.030	0.021	0.016	0.012	0.009
Orta Hasarlı	40.0	0.568	0.651	0.706	0.701	0.676	0.597	0.558	0.491	0.407	0.329	0.261	0.199
Ağır Hasarlı	80.0	0.000	0.001	0.005	0.008	0.011	0.014	0.014	0.014	0.012	0.011	0.009	0.007
Göçme	100.0	0.024	0.047	0.101	0.161	0.215	0.328	0.377	0.455	0.551	0.639	0.714	0.781
Ortalama Hasar Oranı (OHO)		0.284	0.332	0.403	0.458	0.502	0.583	0.615	0.666	0.726	0.780	0.826	0.867

Tablo E.16: TDY1998 binaları için Lognormal Dağılım Yöntemi ile elde edilen HOM (MHO-Gürpınar ve diğ. (1978))

Hasar Durumu	Merkezi Hasar Oranı (%)	MYH Grup No											
		1	2	3	4	5	6	7	8	9	10	11	12
Hasarsız	0.0	0.449	0.388	0.312	0.264	0.234	0.191	0.177	0.158	0.138	0.123	0.110	0.099
Hafif Hasarlı	5.0	0.152	0.144	0.128	0.115	0.105	0.089	0.083	0.075	0.065	0.058	0.051	0.045
Orta Hasarlı	30.0	0.399	0.468	0.560	0.619	0.658	0.712	0.727	0.745	0.754	0.749	0.732	0.701
Ağır Hasarlı	70.0	0.000	0.000	0.001	0.001	0.003	0.007	0.011	0.019	0.035	0.058	0.085	0.118
Göçme	100.0	0.000	0.000	0.000	0.000	0.001	0.002	0.002	0.004	0.007	0.013	0.022	0.037
Ortalama Hasar Oranı (OHO)		0.127	0.148	0.175	0.193	0.205	0.225	0.232	0.244	0.261	0.281	0.303	0.332

Tablo E.17: TDY1998 binaları için Lognormal Dağılım Yöntemi ile elde edilen HOM (MHO-Kalkan (2019))

Hasar Durumu	Merkezi Hasar Oranı (%)	MYH Grup No											
		1	2	3	4	5	6	7	8	9	10	11	12
Hasarsız	0.0	0.449	0.388	0.312	0.264	0.234	0.191	0.177	0.158	0.138	0.123	0.110	0.099
Hafif Hasarlı	5.0	0.152	0.144	0.128	0.115	0.105	0.089	0.083	0.075	0.065	0.058	0.051	0.045
Orta Hasarlı	30.0	0.399	0.468	0.560	0.619	0.658	0.712	0.727	0.745	0.754	0.749	0.732	0.701
Ağır Hasarlı	85.0	0.000	0.000	0.001	0.001	0.003	0.007	0.011	0.019	0.035	0.058	0.085	0.118
Göçme	100.0	0.000	0.000	0.000	0.000	0.001	0.002	0.002	0.004	0.007	0.013	0.022	0.037
Ortalama Hasar Oranı (OHO)		0.127	0.148	0.175	0.193	0.205	0.226	0.234	0.247	0.267	0.289	0.316	0.349

Tablo E.18: TDY1998 binaları için Lognormal Dağılım Yöntemi ile elde edilen HOM (MHO-Hancılar ve diğ. (2019))

Hasar Durumu	Merkezi Hasar Oranı (%)	MYH Grup No											
		1	2	3	4	5	6	7	8	9	10	11	12
Hasarsız	0.0	0.449	0.388	0.312	0.264	0.234	0.191	0.177	0.158	0.138	0.123	0.110	0.099
Hafif Hasarlı	10.0	0.152	0.144	0.128	0.115	0.105	0.089	0.083	0.075	0.065	0.058	0.051	0.045
Orta Hasarlı	40.0	0.399	0.468	0.560	0.619	0.658	0.712	0.727	0.745	0.754	0.749	0.732	0.701
Ağır Hasarlı	80.0	0.000	0.000	0.001	0.001	0.003	0.007	0.011	0.019	0.035	0.058	0.085	0.118
Göçme	100.0	0.000	0.000	0.000	0.000	0.001	0.002	0.002	0.004	0.007	0.013	0.022	0.037
Ortalama Hasar Oranı (OHO)		0.175	0.202	0.237	0.260	0.276	0.301	0.310	0.325	0.343	0.364	0.388	0.416

Tablo E.19: Orta kalitedeki TDY1975 binaları için Doğrudan Olasılıklar Yöntemi ile elde edilen HOM (MHO-Gürpınar ve diğ. (1978))

Hasar Durumu	Merkezi Hasar Oranı (%)	MYH Grup No											
		1	2	3	4	5	6	7	8	9	10	11	12
Hasarsız	0.0	0.106	0.025	0.067	0.045	0.057	0.029	0.052	0.019	0.000	0.000	0.010	0.000
Hafif Hasarlı	5.0	0.429	0.097	0.179	0.036	0.117	0.110	0.186	0.079	0.052	0.010	0.036	0.012
Orta Hasarlı	30.0	0.466	0.876	0.750	0.852	0.695	0.774	0.600	0.624	0.512	0.526	0.379	0.319
Ağır Hasarlı	70.0	0.000	0.002	0.002	0.024	0.045	0.033	0.048	0.057	0.086	0.079	0.062	0.064
Göçme	100.0	0.000	0.000	0.002	0.043	0.086	0.055	0.114	0.221	0.350	0.386	0.514	0.605
Ortalama Hasar Oranı (OHO)	0.161	0.269	0.238	0.317	0.332	0.316	0.337	0.453	0.566	0.599	0.673	0.746	0.746

Tablo E.20: Orta kalitedeki TDY1975 binaları için Doğrudan Olasılıklar Yöntemi ile elde edilen HOM (MHO-Kalkan (2019))

Hasar Durumu	Merkezi Hasar Oranı (%)	MYH Grup No												
		1	2	3	4	5	6	7	8	9	10	11	12	
Hasarsız	0.0	0.106	0.025	0.067	0.045	0.057	0.029	0.052	0.019	0.000	0.000	0.000	0.010	0.000
Hafif Hasarlı	5.0	0.429	0.097	0.179	0.036	0.117	0.110	0.186	0.079	0.052	0.010	0.036	0.012	0.012
Orta Hasarlı	30.0	0.466	0.876	0.750	0.852	0.695	0.774	0.600	0.624	0.512	0.526	0.379	0.319	0.319
Ağır Hasarlı	85.0	0.000	0.002	0.002	0.024	0.045	0.033	0.048	0.057	0.086	0.079	0.062	0.064	0.064
Göçme	100.0	0.000	0.000	0.002	0.043	0.086	0.055	0.114	0.221	0.350	0.386	0.514	0.605	0.605
Ortalama Hasar Oranı (OHO)		0.161	0.269	0.238	0.321	0.339	0.321	0.344	0.461	0.579	0.611	0.682	0.756	0.756

Tablo E.21: Orta kalitedeki TDY1975 binaları için Doğrudan Olasılıklar Yöntemi ile elde edilen HOM (MHO-Hancılar ve diğ. (2019))

Hasar Durumu	Merkezi Hasar Oranı (%)	MYH Grup No											
		1	2	3	4	5	6	7	8	9	10	11	12
Hasarsız	0.0	0.106	0.025	0.067	0.045	0.057	0.029	0.052	0.019	0.000	0.000	0.010	0.000
Hafif Hasarlı	10.0	0.429	0.097	0.179	0.036	0.117	0.110	0.186	0.079	0.052	0.010	0.036	0.012
Orta Hasarlı	40.0	0.466	0.876	0.750	0.852	0.695	0.774	0.600	0.624	0.512	0.526	0.379	0.319
Ağır Hasarlı	80.0	0.000	0.002	0.002	0.024	0.045	0.033	0.048	0.057	0.086	0.079	0.062	0.064
Göçme	100.0	0.000	0.000	0.002	0.043	0.086	0.055	0.114	0.221	0.350	0.386	0.514	0.605
Ortalama Hasar Oranı (OHO)		0.229	0.362	0.322	0.406	0.412	0.402	0.411	0.525	0.629	0.660	0.719	0.785

Tablo E.22: Kötü kalitedeki TDY1975 binaları için Doğrudan Olasılıklar Yöntemi ile elde edilen HOM (MHO-Gürpınar ve diğ. (1978))

Hasar Durumu	Merkezi Hasar Oranı (%)	MYH Grup No													
		1	2	3	4	5	6	7	8	9	10	11	12		
Hasarsız	0.0	0.082	0.018	0.061	0.021	0.015	0.027	0.009	0.000	0.000	0.000	0.000	0.000	0.000	0.000
Hafif Hasarlı	5.0	0.473	0.070	0.160	0.055	0.124	0.067	0.130	0.027	0.012	0.000	0.012	0.000	0.012	0.003
Orta Hasarlı	30.0	0.439	0.877	0.668	0.745	0.515	0.652	0.585	0.515	0.361	0.515	0.330	0.330	0.230	0.212
Ağır Hasarlı	70.0	0.000	0.000	0.008	0.003	0.015	0.015	0.006	0.012	0.012	0.012	0.015	0.015	0.015	0.003
Göçme	100.0	0.006	0.035	0.102	0.176	0.330	0.239	0.270	0.445	0.615	0.445	0.655	0.655	0.742	0.782
Ortalama Hasar Oranı (OHO)		0.162	0.302	0.316	0.404	0.502	0.449	0.456	0.610	0.732	0.610	0.764	0.764	0.823	0.848

Tablo E.23: Kötü kalitedeki TDY1975 binaları için Doğrudan Olasılıklar Yöntemi ile elde edilen HOM (MHO-Kalkan (2019))

Hasar Durumu	Merkezi Hasar Oranı (%)	MYH Grup No												
		1	2	3	4	5	6	7	8	9	10	11	12	
Hasarsız	0.0	0.082	0.018	0.061	0.021	0.015	0.027	0.009	0.000	0.000	0.000	0.000	0.000	0.000
Hafif Hasarlı	5.0	0.473	0.070	0.160	0.055	0.124	0.067	0.130	0.027	0.012	0.000	0.012	0.012	0.003
Orta Hasarlı	30.0	0.439	0.877	0.668	0.745	0.515	0.652	0.585	0.515	0.361	0.330	0.230	0.212	0.212
Ağır Hasarlı	85.0	0.000	0.000	0.008	0.003	0.015	0.015	0.006	0.012	0.012	0.015	0.015	0.003	0.003
Göçme	100.0	0.006	0.035	0.102	0.176	0.330	0.239	0.270	0.445	0.615	0.655	0.742	0.782	0.782
Ortalama Hasar Oranı (OHO)		0.162	0.302	0.317	0.405	0.504	0.451	0.457	0.612	0.734	0.767	0.825	0.848	0.848

Tablo E.24: Kötü kalitedeki TDY1975 binaları için Doğrudan Olasılıklar Yöntemi ile elde edilen HOM (MHO-Hancılar ve diğ. (2019))

Hasar Durumu	Merkezi Hasar Oranı (%)	MYH Grup No													
		1	2	3	4	5	6	7	8	9	10	11	12		
Hasarsız	0.0	0.082	0.018	0.061	0.021	0.015	0.027	0.009	0.000	0.000	0.000	0.000	0.000	0.000	0.000
Hafif Hasarlı	10.0	0.473	0.070	0.160	0.055	0.124	0.067	0.130	0.027	0.012	0.000	0.012	0.012	0.012	0.003
Orta Hasarlı	40.0	0.439	0.877	0.668	0.745	0.515	0.652	0.585	0.515	0.361	0.330	0.330	0.230	0.212	0.212
Ağır Hasarlı	80.0	0.000	0.000	0.008	0.003	0.015	0.015	0.006	0.012	0.012	0.015	0.015	0.015	0.003	0.003
Göçme	100.0	0.006	0.035	0.102	0.176	0.330	0.239	0.270	0.445	0.615	0.655	0.655	0.742	0.782	0.782
Ortalama Hasar Oranı (OHO)		0.229	0.393	0.391	0.482	0.561	0.519	0.522	0.664	0.770	0.799	0.799	0.848	0.869	0.869

Tablo E.25: TDY1998 binaları için Doğrudan Olasılıklar Yöntemi ile elde edilen HOM (MHO-Gürpınar ve diğ. (1978))

Hasar Durumu	Merkezi Hasar Oranı (%)	MYH Grup No											
		1	2	3	4	5	6	7	8	9	10	11	12
Hasarsız	0.0	0.553	0.234	0.332	0.163	0.253	0.240	0.364	0.218	0.106	0.065	0.073	0.035
Hafif Hasarlı	5.0	0.178	0.144	0.107	0.072	0.097	0.093	0.109	0.104	0.083	0.059	0.028	0.038
Orta Hasarlı	30.0	0.268	0.623	0.560	0.765	0.650	0.668	0.520	0.668	0.778	0.779	0.773	0.795
Ağır Hasarlı	70.0	0.000	0.000	0.000	0.000	0.000	0.000	0.006	0.008	0.031	0.080	0.099	0.100
Göçme	100.0	0.000	0.000	0.000	0.000	0.001	0.000	0.001	0.002	0.003	0.017	0.027	0.033
Ortalama Hasar Oranı (OHO)		0.089	0.194	0.173	0.233	0.201	0.205	0.166	0.213	0.262	0.309	0.329	0.343

Tablo E.26: TDY1998 binaları için Doğrudan Olasılıklar Yöntemi ile elde edilen HOM (MHO-Kalkan (2019))

Hasar Durumu	Merkezi Hasar Oranı (%)	MYH Grup No											
		1	2	3	4	5	6	7	8	9	10	11	12
Hasarsız	0.0	0.553	0.234	0.332	0.163	0.253	0.240	0.364	0.218	0.106	0.065	0.073	0.035
Hafif Hasarlı	5.0	0.178	0.144	0.107	0.072	0.097	0.093	0.109	0.104	0.083	0.059	0.028	0.038
Orta Hasarlı	30.0	0.268	0.623	0.560	0.765	0.650	0.668	0.520	0.668	0.778	0.779	0.773	0.795
Ağır Hasarlı	85.0	0.000	0.000	0.000	0.000	0.000	0.000	0.006	0.008	0.031	0.080	0.099	0.100
Göçme	100.0	0.000	0.000	0.000	0.000	0.001	0.000	0.001	0.002	0.003	0.017	0.027	0.033
Ortalama Hasar Oranı (OHO)		0.089	0.194	0.173	0.233	0.201	0.205	0.167	0.214	0.267	0.321	0.344	0.358

Tablo E.27: TDY1998 binaları için Doğrudan Olasılıklar Yöntemi ile elde edilen HOM (MHO-Hancılar ve diğ. (2019))

Hasar Durumu	Merkezi Hasar Oranı (%)	MYH Grup No											
		1	2	3	4	5	6	7	8	9	10	11	12
Hasarsız	0.0	0.553	0.234	0.332	0.163	0.253	0.240	0.364	0.218	0.106	0.065	0.073	0.035
Hafif Hasarlı	10.0	0.178	0.144	0.107	0.072	0.097	0.109	0.104	0.083	0.059	0.028	0.038	0.038
Orta Hasarlı	40.0	0.268	0.623	0.560	0.765	0.650	0.668	0.520	0.668	0.778	0.779	0.773	0.795
Ağır Hasarlı	80.0	0.000	0.000	0.000	0.000	0.000	0.006	0.008	0.031	0.080	0.099	0.100	0.100
Göçme	100.0	0.000	0.000	0.000	0.000	0.001	0.000	0.001	0.002	0.003	0.017	0.027	0.033
Ortalama Hasar Oranı (OHO)		0.125	0.263	0.235	0.313	0.271	0.276	0.224	0.286	0.347	0.398	0.418	0.434

EK F Denizli'nin Deprem Tehlikesinin Belirlenmesi

Tablo F.1: Denizli için oluşturulan deprem kataloğu

Sıra	Tarih	Saat	Enlem	Boylam	Ölçek	Büy.	Sıra	Tarih	Saat	Enlem	Boylam	Ölçek	Büy.
1	18/01/1900	15:30	37.79	28.21	<i>M_s</i>	4.40	54	15/04/1907	00:30	38.25	27.47	<i>M_s</i>	4.60
2	30/01/1900	01:00	37.83	27.71	<i>M_s</i>	4.40	55	21/06/1907	22:47	38.45	27.60	<i>M_s</i>	4.70
3	06/02/1900	15:09	38.12	31.29	<i>M_s</i>	5.70	56	22/06/1907	16:00	38.60	27.90	<i>M_s</i>	4.50
4	10/02/1900	05:00	37.88	27.75	<i>M_s</i>	4.00	57	31/10/1907	03:50	38.50	28.50	<i>M_s</i>	4.50
5	18/04/1900	00:00	37.85	29.50	<i>M_s</i>	4.40	58	15/11/1907	21:14	37.83	29.00	<i>M_s</i>	5.10
6	22/05/1900	21:00	38.30	27.65	<i>M_s</i>	4.10	59	04/01/1908	00:00	38.87	27.36	<i>M_s</i>	4.70
7	24/05/1900	23:15	37.86	28.66	<i>M_s</i>	4.10	60	28/01/1908	16:59	37.80	27.10	<i>M_s</i>	4.60
8	01/06/1900	16:00	37.90	28.74	<i>M_s</i>	4.00	61	16/02/1908	21:57	38.08	27.41	<i>M_s</i>	4.00
9	18/08/1900	00:00	37.75	28.35	<i>M_s</i>	4.20	62	08/03/1908	02:00	37.80	27.80	<i>M_s</i>	5.00
10	10/10/1900	08:41	38.80	29.40	<i>M_s</i>	5.60	63	08/03/1908	20:00	37.88	28.09	<i>M_s</i>	4.40
11	16/10/1900	17:30	38.80	29.40	<i>M_s</i>	4.80	64	12/03/1908	02:15	37.83	27.61	<i>M_s</i>	4.20
12	30/10/1900	00:00	38.05	27.55	<i>M_s</i>	4.80	65	08/04/1908	03:00	38.14	27.43	<i>M_s</i>	4.30
13	30/12/1900	19:00	37.95	27.41	<i>M_s</i>	4.20	66	12/04/1908	00:00	38.20	27.70	<i>M_s</i>	5.30
14	23/02/1901	00:00	37.86	27.69	<i>M_s</i>	4.00	67	28/04/1908	17:17	38.10	27.78	<i>M_s</i>	4.80
15	22/04/1901	00:00	37.81	28.85	<i>M_s</i>	4.40	68	28/06/1908	13:12	38.41	29.29	<i>M_s</i>	4.80
16	05/11/1901	18:00	38.55	30.00	<i>M_s</i>	5.00	69	03/07/1908	01:42	38.25	28.00	<i>M_s</i>	4.50
17	06/11/1901	17:49	38.54	30.02	<i>M_s</i>	5.40	70	16/02/1909	02:55	38.60	27.05	<i>M_s</i>	4.80
18	17/11/1901	00:00	38.55	30.00	<i>M_s</i>	4.40	71	29/10/1909	16:04	38.00	27.00	<i>M_s</i>	5.30
19	10/01/1902	18:50	38.41	27.51	<i>M_s</i>	4.70	72	22/01/1910	16:00	38.77	27.17	<i>M_s</i>	4.10
20	11/03/1902	18:00	38.93	29.38	<i>M_s</i>	4.40	73	14/07/1910	02:35	38.86	27.84	<i>M_s</i>	4.40
21	26/05/1902	04:21	37.79	31.07	<i>M_s</i>	5.70	74	27/07/1910	14:51	38.88	27.87	<i>M_s</i>	4.90
22	29/05/1902	00:00	38.37	27.68	<i>M_s</i>	4.00	75	07/08/1910	20:46	37.66	30.01	<i>M_s</i>	5.30
23	20/06/1902	03:30	37.71	27.83	<i>M_s</i>	4.80	76	07/08/1910	21:45	37.80	28.70	<i>M_s</i>	5.30
24	12/07/1902	00:00	38.80	29.30	<i>M_s</i>	4.00	77	17/03/1912	23:30	38.30	27.48	<i>M_s</i>	4.80
25	18/09/1902	19:03	38.00	30.63	<i>M_s</i>	5.50	78	25/08/1912	04:30	38.65	30.81	<i>M_s</i>	4.90
26	23/11/1902	20:14	38.28	27.20	<i>M_s</i>	5.50	79	02/02/1913	06:30	38.79	27.87	<i>M_s</i>	4.60
27	13/01/1903	23:00	38.45	28.20	<i>M_s</i>	4.80	80	03/10/1914	22:06	37.60	30.10	<i>M_s</i>	7.00
28	19/01/1903	18:00	37.85	30.43	<i>M_s</i>	4.60	81	03/10/1914	23:23	37.80	30.25	<i>M_s</i>	4.80
29	08/02/1903	21:40	38.48	27.43	<i>M_s</i>	4.40	82	04/10/1914	00:22	37.80	30.25	<i>M_s</i>	4.70
30	02/04/1903	00:00	38.62	27.30	<i>M_s</i>	4.50	83	04/10/1914	02:07	37.80	30.25	<i>M_s</i>	4.60
31	04/04/1903	00:00	39.00	28.00	<i>M_s</i>	5.50	84	04/10/1914	15:50	37.80	30.25	<i>M_s</i>	5.00
32	06/07/1903	22:00	38.18	31.26	<i>M_s</i>	4.60	85	04/10/1914	16:20	37.80	30.25	<i>M_s</i>	4.60
33	24/09/1903	02:25	38.49	27.15	<i>M_s</i>	4.60	86	04/10/1914	17:50	37.80	30.25	<i>M_s</i>	4.40
34	01/01/1904	11:38	37.80	29.10	<i>M_s</i>	4.80	87	04/10/1914	18:10	37.80	30.25	<i>M_s</i>	4.80
35	19/05/1904	10:02	38.40	27.20	<i>M_s</i>	5.40	88	04/10/1914	18:48	37.75	30.45	<i>M_s</i>	5.20
36	19/05/1904	20:27	38.25	27.74	<i>M_s</i>	4.00	89	04/10/1914	20:28	37.80	30.25	<i>M_s</i>	4.50
37	19/05/1904	22:20	38.25	27.74	<i>M_s</i>	4.50	90	05/10/1914	12:09	38.00	30.00	<i>M_s</i>	4.60
38	11/08/1904	06:08	37.70	26.90	<i>M_s</i>	6.20	91	05/10/1914	12:11	37.75	30.45	<i>M_s</i>	4.70
39	15/08/1904	12:30	38.10	27.10	<i>M_s</i>	4.60	92	06/10/1914	12:30	37.75	30.45	<i>M_s</i>	4.80
40	18/08/1904	20:04	37.73	26.93	<i>M_s</i>	5.80	93	08/10/1914	16:14	37.80	30.25	<i>M_s</i>	4.90
41	20/08/1904	10:45	37.70	26.90	<i>M_s</i>	4.80	94	10/10/1914	13:12	37.60	30.06	<i>M_s</i>	5.00
42	05/09/1904	06:35	37.75	26.98	<i>M_s</i>	4.80	95	11/10/1914	09:45	37.60	30.06	<i>M_s</i>	5.10
43	22/10/1904	00:00	38.00	27.00	<i>M_s</i>	4.60	96	13/10/1914	20:38	38.80	30.30	<i>M_s</i>	4.50
44	01/12/1904	00:00	38.70	27.70	<i>M_s</i>	4.80	97	17/10/1914	00:13	37.80	30.30	<i>M_s</i>	4.80
45	06/12/1904	14:00	36.80	27.96	<i>M_s</i>	4.00	98	16/01/1918	07:13	38.34	29.48	<i>M_s</i>	5.70
46	15/12/1904	00:10	38.40	27.75	<i>M_s</i>	4.50	99	13/11/1918	10:13	37.80	27.30	<i>M_s</i>	5.20
47	30/04/1905	16:01	38.81	28.52	<i>M_s</i>	6.10	100	01/05/1920	06:34	37.00	28.70	<i>M_s</i>	5.00
48	02/05/1905	00:00	38.80	28.50	<i>M_s</i>	5.40	101	04/07/1920	12:17	37.50	29.00	<i>M_s</i>	5.00
49	04/06/1905	16:00	38.95	28.67	<i>M_s</i>	4.80	102	04/07/1920	20:45	37.50	29.00	<i>M_s</i>	5.20
50	30/07/1905	23:16	38.95	28.67	<i>M_s</i>	4.80	103	28/09/1920	15:17	37.89	28.35	<i>M_s</i>	5.70
51	05/12/1905	17:13	36.50	28.90	<i>M_s</i>	5.20	104	22/05/1921	21:23	37.00	28.70	<i>M_s</i>	5.10
52	25/11/1906	00:00	36.90	28.47	<i>M_s</i>	4.60	105	03/06/1922	04:14	36.49	28.65	<i>M_s</i>	4.90
53	10/03/1907	16:52	37.81	28.33	<i>M_s</i>	4.40	106	20/11/1922	04:24	37.50	29.00	<i>M_s</i>	4.90

Tablo F.1 (devam): Denizli için oluşturulan deprem kataloğu

Sıra	Tarih	Saat	Enlem	Boylam	Ölçek	Büy.	Sıra	Tarih	Saat	Enlem	Boylam	Ölçek	Büy.
107	06/12/1922	14:01	37.50	29.00	<i>M_s</i>	5.20	164	20/11/1943	10:01	36.55	28.36	<i>M_s</i>	5.50
108	11/09/1923	10:14	38.00	29.50	<i>M_s</i>	4.60	165	05/01/1944	07:44	36.42	27.67	<i>M_s</i>	5.60
109	14/04/1924	00:00	39.00	27.80	<i>M_s</i>	4.70	166	25/06/1944	04:16	38.79	29.31	<i>M_s</i>	6.00
110	20/11/1924	20:27	38.55	30.78	<i>M_s</i>	5.90	167	25/06/1944	06:57	38.97	29.87	<i>M_s</i>	5.50
111	08/07/1925	19:42	37.40	30.50	<i>M_s</i>	4.90	168	21/12/1945	18:35	37.90	29.00	<i>M_s</i>	4.70
112	09/07/1925	07:22	37.40	30.50	<i>M_s</i>	4.80	169	13/01/1948	14:30	38.10	28.80	<i>M_s</i>	4.80
113	09/07/1925	08:27	37.40	30.50	<i>M_s</i>	4.70	170	10/08/1948	13:27	38.48	28.94	<i>M_s</i>	4.90
114	15/07/1925	10:05	37.40	30.50	<i>M_s</i>	4.50	171	04/01/1949	20:30	38.90	27.90	<i>M_s</i>	4.50
115	29/07/1925	19:08	37.50	27.50	<i>M_s</i>	4.50	172	04/06/1950	14:11	36.53	28.84	<i>M_s</i>	4.80
116	05/08/1925	05:01	38.10	29.80	<i>M_s</i>	5.00	173	05/11/1951	13:43	36.00	29.00	<i>M_s</i>	5.20
117	07/08/1925	06:46	38.10	29.80	<i>M_s</i>	5.90	174	09/04/1952	08:34	37.80	26.90	<i>M_s</i>	4.50
118	07/08/1925	16:12	38.00	30.00	<i>M_s</i>	4.50	175	09/06/1952	14:48	36.83	27.64	<i>M_s</i>	4.90
119	08/08/1925	03:04	38.00	30.00	<i>M_s</i>	4.80	176	15/09/1952	19:29	37.60	27.60	<i>M_s</i>	4.60
120	09/08/1925	17:16	38.00	30.00	<i>M_s</i>	4.80	177	23/09/1952	20:30	36.90	29.58	<i>M_s</i>	4.80
121	16/08/1925	20:58	38.00	30.00	<i>M_s</i>	5.10	178	22/10/1952	04:15	36.83	27.60	<i>M_s</i>	5.20
122	01/09/1925	08:16	37.56	29.17	<i>M_s</i>	5.40	179	13/04/1953	23:15	38.00	27.00	<i>M_s</i>	4.70
123	03/09/1925	09:52	38.00	29.00	<i>M_s</i>	4.50	180	17/04/1953	21:50	37.60	27.60	<i>M_s</i>	4.50
124	18/12/1925	02:28	37.40	30.40	<i>M_s</i>	5.10	181	22/07/1953	15:09	39.24	28.43	<i>M_s</i>	5.20
125	13/01/1926	01:47	38.64	28.11	<i>M_s</i>	5.80	182	02/01/1954	01:13	36.98	27.12	<i>M_s</i>	5.40
126	13/01/1926	08:08	38.53	28.19	<i>M_s</i>	5.70	183	08/04/1954	04:18	37.27	29.53	<i>M_s</i>	4.80
127	01/03/1926	20:02	37.03	29.43	<i>M_s</i>	6.10	184	01/05/1954	14:58	37.70	27.00	<i>M_s</i>	4.80
128	03/03/1926	06:58	37.00	29.40	<i>M_s</i>	5.00	185	01/05/1954	15:24	37.79	27.07	<i>M_s</i>	5.00
129	18/03/1926	23:28	36.00	29.00	<i>M_s</i>	4.70	186	01/05/1954	20:53	37.81	26.95	<i>M_s</i>	5.50
130	26/06/1926	21:19	36.50	27.50	<i>M_s</i>	5.30	187	01/05/1954	23:31	37.80	27.00	<i>M_s</i>	4.80
131	20/05/1927	13:59	37.50	27.50	<i>M_s</i>	4.50	188	20/08/1954	22:50	37.50	27.00	<i>M_s</i>	4.50
132	31/03/1928	00:29	38.00	27.00	<i>M_s</i>	6.20	189	25/08/1954	02:01	37.29	29.96	<i>M_s</i>	4.90
133	31/03/1928	05:12	38.10	27.40	<i>M_s</i>	5.20	190	16/07/1955	07:07	37.65	27.26	<i>M_s</i>	6.80
134	15/07/1928	09:33	38.05	27.32	<i>M_s</i>	5.50	191	28/08/1955	13:39	37.40	27.16	<i>M_s</i>	5.30
135	08/05/1929	12:27	38.00	29.50	<i>M_s</i>	4.50	192	10/11/1955	08:42	37.40	27.20	<i>M_s</i>	4.50
136	11/09/1930	12:36	37.39	31.18	<i>M_s</i>	5.90	193	11/11/1955	18:27	37.54	26.97	<i>M_s</i>	4.70
137	07/12/1932	07:55	36.71	27.33	<i>M_s</i>	5.00	194	05/05/1956	20:42	36.99	28.63	<i>M_s</i>	4.70
138	23/04/1933	05:57	36.77	27.29	<i>M_s</i>	6.40	195	05/02/1957	17:20	36.37	28.88	<i>M_s</i>	5.20
139	19/07/1933	20:07	38.19	29.79	<i>M_s</i>	5.70	196	24/04/1957	19:10	36.43	28.63	<i>M_s</i>	6.80
140	17/08/1933	06:24	37.36	28.82	<i>M_s</i>	4.50	197	25/04/1957	02:25	36.42	28.68	<i>M_s</i>	7.10
141	19/06/1934	18:43	37.86	31.13	<i>M_s</i>	5.30	198	25/04/1957	07:52	36.12	28.60	<i>M_s</i>	5.00
142	02/08/1936	18:21	37.88	29.70	<i>M_s</i>	4.80	199	26/04/1957	06:33	36.22	28.87	<i>M_s</i>	5.90
143	02/08/1936	22:41	38.11	29.65	<i>M_s</i>	4.80	200	26/04/1957	16:09	36.41	28.80	<i>M_s</i>	4.70
144	12/08/1936	22:24	37.44	29.44	<i>M_s</i>	5.00	201	11/10/1957	07:33	39.32	28.19	<i>M_s</i>	4.90
145	23/05/1937	10:57	38.69	27.78	<i>M_s</i>	5.40	202	04/03/1958	11:32	36.34	27.85	<i>M_s</i>	5.20
146	13/03/1939	03:36	36.00	29.00	<i>M_s</i>	5.00	203	22/04/1958	10:02	36.58	30.46	<i>M_s</i>	4.80
147	24/07/1939	22:05	37.20	28.30	<i>M_s</i>	4.80	204	09/05/1958	02:40	36.61	27.60	<i>M_s</i>	5.20
148	09/01/1941	18:13	38.03	27.40	<i>M_s</i>	5.20	205	03/09/1958	02:58	38.27	28.19	<i>M_s</i>	4.60
149	23/05/1941	19:51	37.07	28.21	<i>M_s</i>	6.00	206	09/12/1958	08:54	36.56	28.16	<i>M_s</i>	4.50
150	23/05/1941	20:25	37.20	28.40	<i>M_s</i>	4.50	207	19/12/1958	03:27	37.81	29.52	<i>M_s</i>	4.50
151	23/05/1941	22:34	37.13	28.38	<i>M_s</i>	5.30	208	06/01/1959	04:06	36.85	29.16	<i>M_s</i>	4.50
152	23/05/1941	23:00	37.22	28.35	<i>M_s</i>	5.20	209	06/01/1959	14:28	36.66	29.11	<i>M_s</i>	4.80
153	23/06/1941	08:00	37.95	27.81	<i>M_s</i>	4.90	210	07/01/1959	22:22	36.71	29.21	<i>M_s</i>	4.80
154	21/09/1941	22:40	37.50	28.29	<i>M_s</i>	5.30	211	11/01/1959	04:27	36.64	29.12	<i>M_s</i>	4.70
155	14/10/1941	00:00	37.20	28.40	<i>M_s</i>	4.60	212	20/01/1959	20:40	36.70	28.70	<i>M_s</i>	4.80
156	13/12/1941	06:16	37.00	28.00	<i>M_s</i>	6.00	213	26/01/1959	11:38	36.78	29.02	<i>M_s</i>	5.00
157	05/02/1942	01:15	38.84	27.74	<i>M_s</i>	5.40	214	26/01/1959	16:15	36.70	29.00	<i>M_s</i>	4.50
158	12/08/1942	20:38	39.13	27.64	<i>M_s</i>	4.80	215	25/04/1959	00:26	36.94	28.58	<i>M_s</i>	5.90
159	12/08/1942	21:52	39.10	27.70	<i>M_s</i>	4.80	216	25/04/1959	01:05	36.92	28.60	<i>M_s</i>	5.30
160	28/10/1942	00:31	39.27	28.19	<i>M_s</i>	5.40	217	09/06/1959	11:21	36.81	29.08	<i>M_s</i>	4.70
161	28/10/1942	02:22	39.10	27.80	<i>M_s</i>	6.00	218	08/12/1959	09:35	36.91	29.07	<i>M_s</i>	5.00
162	16/10/1943	13:08	36.45	27.94	<i>M_s</i>	5.80	219	09/01/1960	03:58	37.07	28.90	<i>M_s</i>	4.90
163	15/11/1943	11:43	36.81	28.84	<i>M_s</i>	5.20	220	26/01/1960	13:05	37.00	28.93	<i>M_s</i>	5.20

Tablo F.1 (devam): Denizli için oluşturulan deprem kataloğu

Sıra	Tarih	Saat	Enlem	Boylam	Ölçek	Büy.	Sıra	Tarih	Saat	Enlem	Boylam	Ölçek	Büy.
221	26/01/1960	13:13	36.89	28.61	<i>M_s</i>	4.60	278	21/11/1966	03:46	36.20	29.30	<i>M_b</i>	4.50
222	10/04/1960	22:05	37.73	27.80	<i>M_s</i>	4.80	279	29/01/1967	19:47	38.99	27.60	<i>M_s</i>	4.50
223	12/04/1960	04:22	37.69	27.70	<i>M_s</i>	4.60	280	04/04/1967	04:39	36.68	29.27	<i>M_b</i>	4.90
224	30/04/1960	10:12	36.80	27.50	<i>M_s</i>	4.70	281	22/05/1967	19:46	36.59	29.35	<i>M_b</i>	4.60
225	01/12/1960	04:02	38.36	30.52	<i>M_s</i>	4.80	282	01/06/1967	10:39	36.83	29.33	<i>M_b</i>	5.00
226	23/05/1961	02:45	36.70	28.49	<i>M_s</i>	6.30	283	02/06/1967	00:50	36.89	29.30	<i>M_b</i>	4.30
227	21/06/1961	16:04	37.87	28.77	<i>M_s</i>	5.00	284	18/06/1967	05:28	36.78	29.32	<i>M_b</i>	4.90
228	11/03/1963	07:27	37.96	29.14	<i>M_s</i>	5.50	285	30/06/1967	04:24	37.79	30.54	<i>M_b</i>	4.40
229	23/05/1963	10:14	36.01	29.10	<i>M_s</i>	4.20	286	19/07/1967	09:06	38.05	28.90	<i>M_b</i>	4.80
230	08/07/1963	16:02	36.48	27.88	<i>M_s</i>	4.70	287	25/07/1967	11:03	37.80	28.60	<i>M_b</i>	4.40
231	26/07/1963	19:46	36.84	28.76	<i>M_s</i>	5.10	288	25/07/1967	12:39	37.90	28.70	<i>M_b</i>	4.50
232	29/09/1963	13:35	36.50	29.00	<i>M_s</i>	4.50	289	09/08/1967	00:33	36.98	28.40	<i>M_b</i>	4.80
233	22/11/1963	20:26	37.07	29.68	<i>M_s</i>	4.70	290	26/08/1967	14:18	37.59	30.44	<i>M_b</i>	4.50
234	29/01/1964	22:28	36.40	28.90	<i>M_b</i>	4.70	291	05/09/1967	08:31	36.72	29.33	<i>M_b</i>	4.50
235	30/01/1964	17:45	37.40	29.93	<i>M_b</i>	5.30	292	26/10/1967	04:55	37.25	29.11	<i>M_b</i>	5.00
236	30/01/1964	17:52	37.40	29.70	<i>M_b</i>	4.40	293	13/11/1967	06:50	37.78	28.83	<i>M_b</i>	4.60
237	31/03/1964	09:33	36.43	28.78	<i>M_b</i>	4.80	294	13/01/1968	22:46	36.30	27.90	<i>M_b</i>	4.40
238	25/04/1964	01:11	37.80	29.80	<i>M_b</i>	4.60	295	23/02/1968	02:41	36.99	30.55	<i>M_b</i>	4.30
239	13/05/1964	17:06	36.28	28.21	<i>M_b</i>	4.50	296	09/03/1968	02:59	38.20	31.10	<i>M_b</i>	4.50
240	08/06/1964	16:49	36.26	28.26	<i>M_b</i>	4.60	297	13/03/1968	02:26	37.27	29.67	<i>M_b</i>	4.40
241	12/06/1964	07:46	37.34	29.93	<i>M_b</i>	4.50	298	21/03/1968	09:42	38.80	27.60	<i>M_b</i>	4.40
242	28/09/1964	21:00	36.70	29.20	<i>M_b</i>	4.40	299	28/03/1968	00:57	38.10	31.00	<i>M_b</i>	5.00
243	13/10/1964	10:30	36.94	28.29	<i>M_b</i>	4.50	300	30/03/1968	11:24	36.70	27.70	<i>M_b</i>	4.30
244	02/03/1965	22:00	38.45	28.29	<i>M_b</i>	5.00	301	04/07/1968	02:27	36.77	29.03	<i>M_b</i>	4.40
245	03/03/1965	01:37	38.27	28.47	<i>M_b</i>	4.50	302	10/10/1968	05:16	36.50	29.20	<i>M_b</i>	4.50
246	17/03/1965	14:05	38.10	28.10	<i>M_b</i>	4.40	303	16/10/1968	14:47	36.60	28.20	<i>M_b</i>	4.00
247	26/03/1965	20:29	36.82	30.94	<i>M_s</i>	5.20	304	28/10/1968	13:57	36.75	27.75	<i>M_s</i>	4.00
248	07/04/1965	23:33	38.10	27.70	<i>M_b</i>	4.30	305	31/10/1968	07:51	36.50	27.50	<i>M_s</i>	4.10
249	13/06/1965	20:01	37.78	29.31	<i>M_b</i>	5.10	306	31/10/1968	11:08	36.50	27.50	<i>M_s</i>	4.10
250	17/06/1965	00:19	37.60	28.80	<i>M_b</i>	4.70	307	31/10/1968	20:40	36.75	27.50	<i>M_s</i>	4.10
251	17/06/1965	02:58	37.74	29.35	<i>M_b</i>	4.70	308	03/11/1968	18:40	38.82	29.09	<i>M_b</i>	4.80
252	12/07/1965	09:51	37.62	29.35	<i>M_b</i>	4.60	309	03/11/1968	18:44	38.60	28.70	<i>M_b</i>	4.50
253	13/07/1965	14:19	37.50	27.80	<i>M_b</i>	4.40	310	12/11/1968	09:28	37.60	28.50	<i>M_s</i>	4.20
254	19/09/1965	14:03	38.90	27.95	<i>M_b</i>	4.30	311	16/11/1968	23:25	36.69	29.22	<i>M_b</i>	4.00
255	30/09/1965	19:36	38.80	28.00	<i>M_s</i>	4.30	312	08/01/1969	03:04	37.80	31.10	<i>M_b</i>	4.40
256	04/10/1965	01:50	37.75	29.00	<i>M_s</i>	4.20	313	14/01/1969	23:12	36.11	29.19	<i>M_s</i>	6.20
257	18/10/1965	14:32	38.83	27.83	<i>M_b</i>	4.00	314	26/01/1969	06:56	37.30	29.50	<i>M_b</i>	4.30
258	22/11/1965	05:23	37.30	27.00	<i>M_s</i>	4.20	315	17/02/1969	22:49	38.90	27.60	<i>M_s</i>	4.00
259	02/12/1965	06:45	37.61	29.32	<i>M_b</i>	4.70	316	19/02/1969	03:30	37.79	28.20	<i>M_b</i>	4.20
260	08/12/1965	11:22	37.30	28.50	<i>M_s</i>	4.50	317	04/03/1969	01:47	36.98	31.04	<i>M_s</i>	5.20
261	22/12/1965	08:43	37.10	28.10	<i>M_s</i>	4.50	318	22/03/1969	18:00	39.10	28.67	<i>M_b</i>	4.70
262	13/01/1966	01:44	38.30	28.50	<i>M_b</i>	4.40	319	23/03/1969	00:15	39.17	28.32	<i>M_b</i>	4.40
263	22/01/1966	00:23	37.62	29.98	<i>M_b</i>	4.70	320	23/03/1969	03:50	39.30	28.00	<i>M_b</i>	4.60
264	08/02/1966	13:16	36.30	28.08	<i>M_b</i>	4.50	321	23/03/1969	21:08	39.12	28.49	<i>M_s</i>	5.60
265	25/03/1966	23:17	38.96	29.29	<i>M_b</i>	4.40	322	23/03/1969	21:11	37.90	27.60	<i>M_s</i>	5.00
266	04/05/1966	21:49	37.74	27.71	<i>M_s</i>	5.20	323	24/03/1969	01:59	39.09	28.50	<i>M_s</i>	5.00
267	07/05/1966	13:08	37.79	27.75	<i>M_b</i>	5.00	324	24/03/1969	02:58	39.15	28.60	<i>M_b</i>	4.50
268	09/05/1966	03:51	37.05	30.98	<i>M_s</i>	5.00	325	24/03/1969	08:13	39.02	28.41	<i>M_b</i>	4.70
269	22/05/1966	07:37	38.70	27.92	<i>M_b</i>	4.40	326	24/03/1969	11:23	38.90	28.60	<i>M_b</i>	4.50
270	02/06/1966	22:51	38.50	27.23	<i>M_b</i>	4.50	327	24/03/1969	11:34	39.17	28.70	<i>M_b</i>	4.60
271	05/06/1966	09:14	39.07	29.34	<i>M_b</i>	4.40	328	24/03/1969	12:13	39.08	28.65	<i>M_b</i>	4.70
272	19/06/1966	17:55	38.54	27.34	<i>M_b</i>	4.60	329	24/03/1969	12:44	36.60	28.60	<i>M_b</i>	4.60
273	17/07/1966	19:39	37.05	27.25	<i>M_s</i>	4.00	330	25/03/1969	10:05	38.75	27.81	<i>M_b</i>	4.30
274	19/07/1966	02:33	38.40	27.00	<i>M_b</i>	4.30	331	25/03/1969	13:21	39.03	28.35	<i>M_b</i>	4.90
275	19/07/1966	02:52	38.30	27.10	<i>M_s</i>	4.50	332	25/03/1969	13:21	39.25	28.44	<i>M_s</i>	6.00
276	16/08/1966	21:01	37.47	29.28	<i>M_b</i>	4.40	333	25/03/1969	13:28	38.78	28.51	<i>M_b</i>	4.80
277	25/09/1966	03:10	37.77	29.97	<i>M_s</i>	5.20	334	25/03/1969	13:37	39.00	28.00	<i>M_s</i>	4.00

Tablo F.1 (devam): Denizli için oluşturulan deprem katalođu

Sıra	Tarih	Saat	Enlem	Boylam	Ölçek	Büy.	Sıra	Tarih	Saat	Enlem	Boylam	Ölçek	Büy.
335	25/03/1969	14:18	39.15	28.48	<i>Mb</i>	4.80	392	28/03/1970	23:11	39.15	29.56	<i>Ms</i>	5.20
336	25/03/1969	14:40	39.02	28.90	<i>Mb</i>	4.60	393	28/03/1970	23:28	39.30	29.52	<i>Mb</i>	4.40
337	25/03/1969	16:13	39.08	28.44	<i>Mb</i>	4.70	394	28/03/1970	23:30	38.90	29.90	<i>Mb</i>	4.30
338	25/03/1969	17:51	39.16	28.00	<i>Mb</i>	4.40	395	28/03/1970	23:44	39.05	29.76	<i>Ms</i>	5.10
339	26/03/1969	03:31	39.03	28.27	<i>Mb</i>	4.60	396	29/03/1970	01:28	38.80	29.50	<i>Mb</i>	4.10
340	26/03/1969	09:00	39.30	28.10	<i>Mb</i>	4.70	397	29/03/1970	01:47	39.00	29.40	<i>Ms</i>	4.00
341	26/03/1969	13:50	39.30	28.20	<i>Mb</i>	4.30	398	29/03/1970	01:51	39.26	28.50	<i>Mb</i>	4.30
342	27/03/1969	18:07	39.12	28.20	<i>Mb</i>	4.50	399	29/03/1970	02:05	39.29	29.18	<i>Mb</i>	4.50
343	28/03/1969	01:48	38.55	28.46	<i>Ms</i>	6.50	400	29/03/1970	02:37	39.01	30.40	<i>Ms</i>	4.60
344	28/03/1969	05:40	38.09	29.02	<i>Mb</i>	4.70	401	29/03/1970	02:40	38.92	29.70	<i>Mb</i>	4.20
345	28/03/1969	10:02	39.13	28.50	<i>Mb</i>	4.90	402	29/03/1970	02:45	39.35	30.00	<i>Mb</i>	4.30
346	12/04/1969	15:33	39.33	28.10	<i>Mb</i>	4.30	403	29/03/1970	02:54	39.12	29.53	<i>Mb</i>	4.20
347	17/04/1969	12:23	39.11	28.62	<i>Mb</i>	4.60	404	29/03/1970	03:10	39.06	29.68	<i>Mb</i>	4.40
348	20/04/1969	04:59	39.20	28.00	<i>Mb</i>	4.10	405	29/03/1970	03:34	39.00	29.10	<i>Mb</i>	4.20
349	21/04/1969	20:57	36.22	28.27	<i>Mb</i>	4.60	406	29/03/1970	03:55	39.36	29.51	<i>Mb</i>	4.40
350	24/04/1969	14:45	36.36	28.67	<i>Mb</i>	4.70	407	29/03/1970	06:56	39.05	29.74	<i>Ms</i>	5.10
351	26/04/1969	08:25	36.71	28.50	<i>Mb</i>	4.30	408	29/03/1970	07:58	39.29	29.20	<i>Mb</i>	4.30
352	27/04/1969	10:58	36.51	28.18	<i>Mb</i>	4.70	409	29/03/1970	09:00	39.08	29.50	<i>Mb</i>	4.30
353	30/04/1969	20:20	39.14	28.55	<i>Ms</i>	5.20	410	29/03/1970	09:40	39.01	30.00	<i>Mb</i>	4.20
354	30/04/1969	23:08	39.21	28.31	<i>Mb</i>	4.60	411	29/03/1970	09:52	39.16	29.41	<i>Mb</i>	4.30
355	01/05/1969	01:14	39.10	28.00	<i>Ms</i>	4.10	412	29/03/1970	14:37	38.81	27.85	<i>Mb</i>	4.50
356	03/05/1969	16:07	39.00	28.60	<i>Mb</i>	4.70	413	29/03/1970	14:40	38.82	27.95	<i>Mb</i>	4.50
357	06/05/1969	06:36	39.30	28.10	<i>Ms</i>	4.00	414	29/03/1970	19:11	39.14	29.42	<i>Mb</i>	4.70
358	13/05/1969	17:48	39.03	28.57	<i>Mb</i>	4.60	415	29/03/1970	22:12	39.20	29.20	<i>Mb</i>	4.40
359	14/05/1969	23:57	39.15	28.49	<i>Mb</i>	4.60	416	30/03/1970	00:15	38.96	29.73	<i>Mb</i>	4.50
360	19/05/1969	15:27	39.12	28.58	<i>Ms</i>	4.00	417	30/03/1970	01:23	39.18	29.60	<i>Mb</i>	4.10
361	22/06/1969	17:27	39.12	28.60	<i>Mb</i>	4.50	418	30/03/1970	02:22	39.14	29.80	<i>Mb</i>	4.30
362	27/06/1969	10:40	39.30	28.70	<i>Mb</i>	4.30	419	30/03/1970	05:06	39.20	29.50	<i>Mb</i>	4.30
363	03/08/1969	08:28	37.00	29.00	<i>Mb</i>	4.10	420	30/03/1970	06:46	39.09	29.03	<i>Mb</i>	4.50
364	06/09/1969	20:30	36.75	28.27	<i>Mb</i>	5.00	421	30/03/1970	06:49	39.43	29.40	<i>Mb</i>	4.60
365	22/09/1969	08:17	36.57	28.01	<i>Mb</i>	4.60	422	30/03/1970	07:59	39.30	29.27	<i>Ms</i>	5.00
366	07/10/1969	05:09	39.20	28.40	<i>Ms</i>	5.10	423	30/03/1970	08:08	39.40	30.00	<i>Mb</i>	4.20
367	07/10/1969	18:49	39.16	28.54	<i>Mb</i>	4.90	424	30/03/1970	08:35	39.29	29.24	<i>Ms</i>	4.70
368	13/10/1969	03:24	39.17	28.38	<i>Mb</i>	4.90	425	30/03/1970	09:26	39.01	29.40	<i>Mb</i>	4.30
369	16/10/1969	06:58	36.90	27.40	<i>Ms</i>	4.50	426	30/03/1970	11:27	39.20	30.30	<i>Mb</i>	4.20
370	23/10/1969	13:37	38.20	27.60	<i>Ms</i>	4.00	427	30/03/1970	13:48	39.34	29.13	<i>Mb</i>	4.30
371	24/10/1969	23:00	38.40	27.60	<i>Ms</i>	4.00	428	30/03/1970	16:32	39.12	29.59	<i>Mb</i>	4.70
372	15/11/1969	02:54	37.78	29.91	<i>Mb</i>	4.70	429	30/03/1970	20:38	39.06	29.64	<i>Mb</i>	4.50
373	15/11/1969	05:50	37.27	29.44	<i>Mb</i>	4.80	430	30/03/1970	20:59	39.30	29.29	<i>Mb</i>	4.60
374	21/12/1969	22:01	36.66	28.42	<i>Mb</i>	4.60	431	30/03/1970	21:42	39.03	29.90	<i>Mb</i>	4.30
375	02/01/1970	21:43	36.90	27.60	<i>Ms</i>	4.10	432	31/03/1970	00:51	39.35	29.34	<i>Mb</i>	4.60
376	26/01/1970	05:29	37.00	28.50	<i>Mb</i>	5.10	433	31/03/1970	01:07	39.41	29.32	<i>Mb</i>	4.00
377	24/02/1970	01:44	36.37	27.94	<i>Mb</i>	4.20	434	31/03/1970	03:38	39.10	30.00	<i>Ms</i>	4.30
378	01/03/1970	12:54	36.90	29.10	<i>Mb</i>	4.50	435	31/03/1970	03:46	39.06	29.80	<i>Mb</i>	4.70
379	02/03/1970	06:57	36.80	28.80	<i>Mb</i>	4.60	436	31/03/1970	04:10	39.01	29.20	<i>Mb</i>	4.20
380	09/03/1970	17:28	38.43	27.27	<i>Mb</i>	4.20	437	31/03/1970	04:45	39.11	29.90	<i>Mb</i>	4.40
381	23/03/1970	07:56	39.20	28.20	<i>Mb</i>	4.10	438	31/03/1970	05:40	39.11	29.77	<i>Mb</i>	4.60
382	28/03/1970	21:02	39.21	29.51	<i>Ms</i>	7.20	439	31/03/1970	07:30	39.12	29.16	<i>Mb</i>	5.00
383	28/03/1970	21:10	38.90	29.70	<i>Ms</i>	5.10	440	31/03/1970	08:30	38.93	29.30	<i>Mb</i>	4.00
384	28/03/1970	21:23	38.10	29.20	<i>Mb</i>	4.70	441	31/03/1970	11:57	38.89	29.73	<i>Mb</i>	4.60
385	28/03/1970	21:32	38.80	30.00	<i>Mb</i>	4.30	442	31/03/1970	16:08	39.03	29.49	<i>Mb</i>	4.40
386	28/03/1970	21:41	39.12	29.40	<i>Mb</i>	4.50	443	31/03/1970	21:20	39.12	29.51	<i>Mb</i>	4.20
387	28/03/1970	21:55	38.70	30.60	<i>Mb</i>	4.00	444	01/04/1970	03:46	39.30	28.70	<i>Mb</i>	4.40
388	28/03/1970	21:59	39.24	29.44	<i>Mb</i>	4.80	445	01/04/1970	08:02	38.90	28.80	<i>Mb</i>	4.90
389	28/03/1970	22:05	38.81	29.71	<i>Mb</i>	4.40	446	01/04/1970	15:56	39.36	29.25	<i>Mb</i>	4.80
390	28/03/1970	22:40	39.10	29.37	<i>Mb</i>	4.20	447	01/04/1970	17:55	39.01	29.69	<i>Mb</i>	4.40
391	28/03/1970	22:59	39.13	29.00	<i>Mb</i>	4.10	448	02/04/1970	00:28	39.13	29.51	<i>Mb</i>	4.40

Tablo F.1 (devam): Denizli için oluşturulan deprem kataloğu

Sıra	Tarih	Saat	Enlem	Boylam	Ölçek	Büy.	Sıra	Tarih	Saat	Enlem	Boylam	Ölçek	Büy.
449	02/04/1970	02:45	38.96	29.44	<i>Mb</i>	4.30	506	24/04/1970	02:40	39.06	28.60	<i>Mb</i>	4.20
450	02/04/1970	05:08	38.90	29.60	<i>Mb</i>	5.10	507	24/04/1970	03:33	39.01	29.70	<i>Mb</i>	5.30
451	02/04/1970	13:05	39.04	29.20	<i>Mb</i>	4.20	508	24/04/1970	05:49	38.99	29.20	<i>Mb</i>	4.20
452	02/04/1970	20:35	39.08	29.72	<i>Mb</i>	4.40	509	24/04/1970	05:52	39.01	29.72	<i>Mb</i>	4.40
453	03/04/1970	12:16	38.95	29.50	<i>Mb</i>	4.20	510	24/04/1970	14:37	36.78	28.66	<i>Mb</i>	4.60
454	03/04/1970	23:19	38.90	29.70	<i>Mb</i>	4.10	511	24/04/1970	16:54	39.12	28.74	<i>Mb</i>	4.20
455	04/04/1970	16:48	38.90	29.90	<i>Mb</i>	4.60	512	24/04/1970	22:52	39.12	29.68	<i>Mb</i>	4.10
456	05/04/1970	05:47	38.88	29.89	<i>Mb</i>	4.60	513	26/04/1970	17:26	39.30	30.20	<i>Mb</i>	4.20
457	05/04/1970	12:29	39.31	29.18	<i>Mb</i>	4.30	514	26/04/1970	18:24	39.37	28.79	<i>Mb</i>	4.10
458	06/04/1970	08:12	39.19	28.54	<i>Mb</i>	5.10	515	26/04/1970	23:15	38.86	29.94	<i>Mb</i>	4.50
459	07/04/1970	04:12	39.32	29.09	<i>Mb</i>	4.40	516	27/04/1970	01:54	38.94	29.81	<i>Mb</i>	4.30
460	07/04/1970	10:55	39.00	27.80	<i>Mb</i>	4.20	517	27/04/1970	09:34	38.98	30.02	<i>Mb</i>	4.30
461	07/04/1970	17:05	39.34	29.27	<i>Ms</i>	5.10	518	27/04/1970	09:35	39.01	29.64	<i>Mb</i>	4.80
462	07/04/1970	22:58	39.01	30.11	<i>Mb</i>	4.50	519	27/04/1970	10:39	38.97	29.33	<i>Mb</i>	4.00
463	09/04/1970	10:12	39.14	29.41	<i>Mb</i>	4.70	520	27/04/1970	22:24	39.04	29.53	<i>Mb</i>	4.70
464	09/04/1970	20:43	39.21	29.35	<i>Mb</i>	4.20	521	30/04/1970	00:22	38.80	30.00	<i>Mb</i>	4.40
465	10/04/1970	01:14	39.13	29.31	<i>Mb</i>	4.20	522	30/04/1970	02:11	38.90	29.70	<i>Mb</i>	4.20
466	10/04/1970	23:13	39.13	29.31	<i>Mb</i>	4.30	523	30/04/1970	14:58	39.31	29.28	<i>Mb</i>	4.60
467	11/04/1970	08:36	39.10	28.80	<i>Mb</i>	4.70	524	30/04/1970	16:44	39.32	29.23	<i>Mb</i>	4.70
468	11/04/1970	17:24	39.09	29.76	<i>Mb</i>	4.60	525	30/04/1970	23:59	39.04	29.54	<i>Mb</i>	4.50
469	13/04/1970	05:16	39.37	29.01	<i>Mb</i>	4.40	526	06/05/1970	21:02	38.93	29.94	<i>Mb</i>	4.20
470	15/04/1970	00:36	39.01	29.77	<i>Mb</i>	4.30	527	08/05/1970	02:49	38.93	29.96	<i>Mb</i>	4.60
471	15/04/1970	16:27	39.27	29.70	<i>Mb</i>	4.10	528	08/05/1970	02:58	38.75	30.45	<i>Mb</i>	4.30
472	15/04/1970	16:29	39.34	29.29	<i>Mb</i>	4.60	529	08/05/1970	06:58	38.91	30.01	<i>Mb</i>	4.30
473	16/04/1970	01:07	39.21	29.13	<i>Mb</i>	4.20	530	08/05/1970	10:06	38.99	29.50	<i>Mb</i>	4.20
474	16/04/1970	10:42	39.00	29.91	<i>Ms</i>	5.20	531	08/05/1970	10:10	38.93	29.99	<i>Mb</i>	4.50
475	16/04/1970	11:43	39.02	29.92	<i>Mb</i>	4.80	532	09/05/1970	03:36	38.95	29.96	<i>Mb</i>	4.00
476	16/04/1970	12:59	38.99	29.50	<i>Mb</i>	4.30	533	10/05/1970	16:07	39.00	29.10	<i>Mb</i>	4.70
477	17/04/1970	20:27	38.92	29.71	<i>Mb</i>	4.40	534	11/05/1970	09:58	39.36	29.32	<i>Mb</i>	4.50
478	18/04/1970	01:54	38.80	29.70	<i>Mb</i>	4.20	535	11/05/1970	16:28	38.95	29.90	<i>Mb</i>	4.20
479	18/04/1970	05:37	39.22	29.38	<i>Mb</i>	4.30	536	12/05/1970	07:41	38.60	29.30	<i>Mb</i>	5.00
480	18/04/1970	05:52	39.37	29.30	<i>Mb</i>	4.40	537	12/05/1970	08:33	38.97	28.99	<i>Mb</i>	4.50
481	18/04/1970	12:31	38.80	29.70	<i>Mb</i>	4.60	538	14/05/1970	07:56	39.02	29.10	<i>Mb</i>	5.10
482	18/04/1970	23:06	38.80	29.90	<i>Mb</i>	4.00	539	14/05/1970	21:34	38.84	30.00	<i>Mb</i>	4.20
483	19/04/1970	13:29	38.98	29.77	<i>Ms</i>	5.60	540	16/05/1970	22:27	39.05	30.06	<i>Mb</i>	4.00
484	19/04/1970	13:47	38.99	29.83	<i>Ms</i>	5.50	541	17/05/1970	04:33	38.13	28.10	<i>Mb</i>	4.00
485	19/04/1970	22:05	38.87	30.20	<i>Mb</i>	4.50	542	20/05/1970	12:37	38.99	30.00	<i>Mb</i>	4.60
486	19/04/1970	22:09	38.90	29.30	<i>Mb</i>	4.50	543	24/05/1970	08:24	39.25	28.90	<i>Mb</i>	4.30
487	20/04/1970	02:23	38.98	30.09	<i>Mb</i>	4.50	544	26/05/1970	05:51	38.92	29.44	<i>Mb</i>	4.40
488	20/04/1970	03:47	38.86	29.40	<i>Mb</i>	4.50	545	28/05/1970	02:52	38.95	30.03	<i>Mb</i>	4.60
489	20/04/1970	07:19	38.98	29.60	<i>Mb</i>	4.40	546	29/05/1970	08:46	39.23	29.60	<i>Mb</i>	4.10
490	20/04/1970	18:00	38.84	29.92	<i>Mb</i>	4.30	547	29/05/1970	23:38	39.11	29.68	<i>Mb</i>	4.50
491	20/04/1970	18:33	38.89	30.30	<i>Mb</i>	4.20	548	30/05/1970	06:43	39.23	29.42	<i>Mb</i>	4.30
492	20/04/1970	18:36	38.70	29.20	<i>Mb</i>	4.60	549	30/05/1970	19:49	39.40	28.80	<i>Mb</i>	4.30
493	21/04/1970	01:33	38.89	30.18	<i>Mb</i>	4.40	550	01/06/1970	06:43	39.00	29.70	<i>Mb</i>	4.30
494	21/04/1970	01:53	38.99	29.85	<i>Mb</i>	4.60	551	09/06/1970	14:40	38.80	30.00	<i>Mb</i>	4.20
495	21/04/1970	07:36	39.08	29.90	<i>Mb</i>	4.50	552	10/06/1970	05:17	39.15	29.46	<i>Mb</i>	4.40
496	21/04/1970	08:29	39.00	29.50	<i>Mb</i>	4.60	553	10/06/1970	17:44	39.07	30.20	<i>Mb</i>	4.10
497	21/04/1970	17:12	38.90	29.70	<i>Mb</i>	4.50	554	14/06/1970	00:58	39.25	29.17	<i>Mb</i>	4.40
498	21/04/1970	18:04	38.91	29.91	<i>Mb</i>	4.30	555	16/06/1970	09:46	36.27	28.19	<i>Ms</i>	4.00
499	22/04/1970	02:13	38.97	29.70	<i>Mb</i>	4.20	556	20/06/1970	06:04	38.85	29.87	<i>Mb</i>	4.20
500	22/04/1970	04:51	38.87	29.98	<i>Mb</i>	4.50	557	22/06/1970	23:46	39.20	29.70	<i>Ms</i>	4.40
501	22/04/1970	05:24	39.05	29.77	<i>Ms</i>	4.70	558	10/07/1970	05:36	39.16	28.60	<i>Mb</i>	4.20
502	22/04/1970	18:38	39.11	29.36	<i>Mb</i>	4.60	559	07/08/1970	04:53	39.08	30.01	<i>Mb</i>	4.50
503	23/04/1970	07:18	38.94	30.00	<i>Mb</i>	4.90	560	29/08/1970	18:03	39.01	29.36	<i>Mb</i>	4.30
504	23/04/1970	09:01	39.12	28.67	<i>Ms</i>	5.30	561	01/09/1970	02:19	38.97	29.24	<i>Mb</i>	4.70
505	24/04/1970	00:40	39.02	29.82	<i>Mb</i>	4.80	562	09/09/1970	05:25	38.97	29.52	<i>Mb</i>	4.80

Tablo F.1 (devam): Denizli için oluşturulan deprem kataloğu

Sıra	Tarih	Saat	Enlem	Boylam	Ölçek	Büy.	Sıra	Tarih	Saat	Enlem	Boylam	Ölçek	Büy.
563	14/09/1970	07:10	39.24	29.32	Mb	4.20	620	15/05/1971	07:36	37.61	29.96	Mb	4.50
564	21/09/1970	19:08	38.80	30.00	Mb	4.20	621	15/05/1971	08:11	37.42	30.05	Mb	4.20
565	28/09/1970	19:54	37.09	28.59	Mb	4.60	622	15/05/1971	12:19	37.57	30.06	Mb	4.30
566	19/10/1970	01:32	37.01	29.01	Mb	4.60	623	15/05/1971	14:34	37.54	29.77	Mb	4.50
567	24/10/1970	19:34	36.86	28.80	Mb	4.10	624	15/05/1971	21:30	37.62	29.88	Mb	4.50
568	09/11/1970	06:42	39.00	28.90	Mb	4.10	625	15/05/1971	21:47	37.64	29.91	Mb	4.60
569	15/11/1970	03:14	39.32	29.28	Ms	4.00	626	16/05/1971	05:27	37.54	29.95	Mb	4.70
570	17/11/1970	00:24	36.74	29.55	Mb	4.50	627	16/05/1971	08:39	37.52	29.91	Mb	4.40
571	21/11/1970	02:13	36.88	28.92	Mb	4.50	628	16/05/1971	09:25	37.52	29.78	Mb	4.80
572	13/12/1970	20:18	39.10	29.60	Ms	4.00	629	16/05/1971	12:05	37.44	29.58	Mb	4.20
573	17/12/1970	02:17	39.27	29.40	Mb	4.70	630	16/05/1971	20:29	37.54	29.62	Mb	4.20
574	20/12/1970	11:01	39.36	29.26	Ms	4.80	631	16/05/1971	23:28	37.57	30.03	Mb	4.40
575	21/12/1970	00:22	39.09	29.41	Mb	4.50	632	17/05/1971	14:16	37.68	29.87	Mb	4.80
576	28/12/1970	03:42	37.06	29.02	Mb	4.40	633	20/05/1971	01:14	37.56	30.00	Mb	4.40
577	28/12/1970	12:43	37.09	28.91	Mb	4.40	634	20/05/1971	03:06	37.60	29.99	Mb	4.80
578	30/12/1970	18:54	36.96	28.94	Mb	5.10	635	21/05/1971	09:41	37.46	29.70	Mb	4.80
579	31/12/1970	10:29	37.11	29.00	Mb	4.40	636	23/05/1971	00:27	37.69	30.14	Mb	4.40
580	02/01/1971	03:25	37.07	29.04	Mb	4.40	637	23/05/1971	01:02	37.58	30.12	Mb	4.40
581	03/01/1971	12:46	37.08	28.99	Mb	4.40	638	23/05/1971	02:36	37.56	29.67	Ms	4.20
582	31/01/1971	05:37	37.04	30.38	Ms	4.60	639	23/05/1971	04:26	37.60	30.02	Ms	4.40
583	01/02/1971	01:12	37.13	30.28	Mb	4.50	640	23/05/1971	05:19	37.61	30.12	Mb	4.50
584	15/02/1971	08:19	39.19	29.36	Mb	4.90	641	23/05/1971	20:11	37.48	29.95	Mb	4.70
585	20/02/1971	07:15	37.82	29.42	Mb	4.50	642	24/05/1971	11:17	37.48	29.89	Mb	4.50
586	22/02/1971	14:27	37.23	30.32	Ms	4.50	643	25/05/1971	05:43	39.03	29.73	Ms	5.50
587	24/02/1971	02:14	37.05	29.00	Ms	4.50	644	25/05/1971	05:53	39.05	29.69	Ms	4.80
588	25/02/1971	04:46	37.06	29.09	Ms	4.40	645	25/05/1971	06:18	38.89	29.74	Mb	4.60
589	26/02/1971	11:54	37.49	29.83	Mb	4.80	646	30/05/1971	10:50	37.55	29.78	Mb	4.50
590	28/02/1971	23:11	37.37	29.75	Mb	4.20	647	04/06/1971	15:06	37.56	29.82	Mb	4.60
591	08/03/1971	22:44	37.51	29.80	Mb	4.80	648	08/06/1971	16:59	37.47	29.84	Mb	4.80
592	10/04/1971	13:21	38.84	29.12	Mb	4.60	649	08/06/1971	23:42	37.52	29.85	Mb	4.80
593	13/04/1971	12:52	39.03	29.80	Ms	4.50	650	09/06/1971	02:57	37.46	29.85	Ms	4.30
594	27/04/1971	17:19	38.91	29.06	Ms	4.40	651	10/06/1971	09:31	39.01	29.66	Ms	4.90
595	30/04/1971	16:44	39.19	28.52	Ms	4.30	652	15/06/1971	22:55	37.03	29.04	Mb	4.70
596	06/05/1971	04:24	39.06	29.74	Mb	4.70	653	19/06/1971	00:27	37.16	29.64	Mb	4.70
597	12/05/1971	06:25	37.56	29.75	Ms	5.90	654	28/06/1971	23:37	37.61	29.89	Mb	4.80
598	12/05/1971	06:44	37.56	30.09	Mb	4.50	655	29/06/1971	04:26	37.46	29.87	Mb	4.70
599	12/05/1971	08:26	37.66	30.14	Ms	4.50	656	08/07/1971	06:35	36.79	29.39	Ms	4.00
600	12/05/1971	10:10	37.53	29.75	Mb	5.30	657	30/07/1971	13:07	36.87	28.90	Mb	4.20
601	12/05/1971	12:57	37.52	29.67	Ms	5.20	658	07/08/1971	17:07	38.87	29.91	Mb	4.60
602	12/05/1971	14:23	37.51	29.62	Mb	4.40	659	09/08/1971	04:40	37.51	29.71	Mb	4.80
603	12/05/1971	15:11	37.63	30.10	Mb	4.50	660	09/08/1971	11:32	37.58	30.17	Mb	4.40
604	12/05/1971	17:12	37.58	29.96	Mb	4.60	661	03/09/1971	13:17	36.81	28.79	Mb	4.60
605	12/05/1971	17:48	37.50	29.57	Ms	4.40	662	05/09/1971	11:46	37.20	30.15	Mb	4.40
606	12/05/1971	19:02	37.49	29.70	Mb	4.50	663	05/09/1971	12:19	37.24	30.19	Mb	4.50
607	12/05/1971	20:13	37.50	29.86	Mb	4.70	664	08/09/1971	17:01	37.29	30.16	Mb	4.90
608	13/05/1971	04:07	37.56	29.91	Mb	4.40	665	09/09/1971	15:10	37.30	30.21	Mb	5.20
609	13/05/1971	04:45	37.49	29.76	Mb	4.80	666	21/09/1971	16:48	37.29	30.16	Mb	4.80
610	13/05/1971	08:14	37.59	29.94	Mb	4.60	667	28/09/1971	05:10	37.24	30.13	Mb	4.70
611	13/05/1971	08:30	37.59	30.06	Mb	4.50	668	30/09/1971	08:45	37.64	30.13	Mb	4.40
612	13/05/1971	11:04	37.51	29.83	Mb	4.50	669	03/10/1971	07:44	38.94	29.92	Mb	4.70
613	13/05/1971	13:28	37.63	30.01	Mb	4.70	670	03/10/1971	17:18	36.77	30.12	Mb	4.40
614	13/05/1971	22:47	37.62	29.91	Mb	4.40	671	05/10/1971	18:53	38.93	29.61	Mb	4.50
615	13/05/1971	23:32	37.56	29.93	Mb	4.60	672	06/10/1971	01:46	38.32	30.14	Mb	4.40
616	14/05/1971	03:51	37.57	29.73	Mb	4.20	673	09/10/1971	22:29	37.24	30.33	Mb	4.40
617	14/05/1971	04:18	37.51	29.90	Mb	4.40	674	10/10/1971	02:10	37.16	30.16	Mb	4.20
618	14/05/1971	22:18	37.65	30.00	Mb	4.60	675	16/10/1971	09:45	36.63	28.47	Mb	4.80
619	14/05/1971	22:51	37.46	29.61	Mb	4.60	676	21/10/1971	07:11	37.92	30.28	Mb	4.50

Tablo F.1 (devam): Denizli için oluşturulan deprem kataloğu

Sıra	Tarih	Saat	Enlem	Boylam	Ölçek	Büy.	Sıra	Tarih	Saat	Enlem	Boylam	Ölçek	Büy.
677	06/11/1971	19:43	39.05	29.74	Mb	5.00	734	24/12/1974	10:27	37.54	29.91	Mb	4.60
678	07/12/1971	00:51	37.62	29.87	Mb	4.20	735	29/12/1974	18:45	37.75	29.18	Ms	4.10
679	22/01/1972	17:17	37.41	29.65	Mb	4.40	736	21/01/1975	17:50	39.07	30.67	Mb	4.50
680	14/03/1972	14:05	39.33	29.50	Ms	5.50	737	12/02/1975	01:48	39.14	29.00	Mb	4.20
681	25/03/1972	06:16	36.67	27.51	Mb	4.40	738	31/05/1975	05:36	36.20	28.92	Mb	4.00
682	30/03/1972	17:44	36.80	27.52	Ms	4.10	739	31/05/1975	12:41	36.74	28.23	Mb	4.10
683	31/03/1972	20:04	36.68	27.36	Mb	4.10	740	30/08/1975	17:05	38.60	30.18	Mb	4.00
684	28/05/1972	03:14	38.95	30.00	Mb	4.80	741	15/09/1975	18:40	38.40	27.40	Mb	4.30
685	31/05/1972	18:00	38.94	29.84	Ms	4.30	742	28/10/1975	23:41	38.71	31.01	Mb	4.30
686	18/06/1972	22:32	39.02	29.88	Ms	4.40	743	12/11/1975	09:03	36.32	28.14	Ms	4.80
687	23/06/1972	17:16	39.16	29.17	Ml	4.20	744	08/12/1975	23:03	36.43	27.86	Mb	4.30
688	27/07/1972	12:08	38.97	29.95	Mb	4.20	745	10/01/1976	07:11	36.80	27.92	Mb	4.60
689	30/07/1972	20:08	36.87	28.78	Ms	4.10	746	21/01/1976	18:15	39.11	29.61	Ms	4.10
690	29/08/1972	02:48	37.00	29.14	Mb	4.40	747	08/02/1976	20:06	36.79	27.75	Mb	4.00
691	01/09/1972	05:49	37.72	29.62	Ms	4.10	748	10/02/1976	09:52	36.82	27.93	Mb	4.70
692	03/09/1972	08:38	39.16	27.98	Mb	4.60	749	11/02/1976	09:01	36.67	27.84	Ml	4.00
693	25/09/1972	22:34	39.11	29.21	Mb	4.00	750	15/02/1976	23:36	36.01	28.86	Mb	4.40
694	04/10/1972	06:14	39.15	29.38	Mb	4.60	751	23/02/1976	10:13	39.10	28.67	Ml	4.30
695	24/12/1972	05:43	37.61	27.08	Ml	4.00	752	01/05/1976	07:26	36.95	27.94	Mb	4.30
696	07/02/1973	20:08	37.58	29.76	Ml	4.30	753	08/05/1976	23:25	39.32	29.08	Mb	4.80
697	08/02/1973	14:33	39.25	28.73	Ml	4.20	754	09/05/1976	02:55	39.26	28.76	Ml	4.20
698	25/02/1973	14:55	38.92	29.39	Mb	4.00	755	09/05/1976	11:19	39.00	28.77	Ml	4.30
699	27/02/1973	17:10	38.83	29.87	Mb	4.00	756	09/05/1976	15:01	39.31	29.12	Mb	4.20
700	12/03/1973	08:31	37.44	29.79	Mb	4.20	757	10/05/1976	12:01	39.26	29.18	Mb	4.40
701	18/03/1973	18:08	39.25	29.14	Ms	4.10	758	10/05/1976	15:20	39.20	29.11	Mb	4.20
702	21/03/1973	08:16	37.15	30.21	Ms	4.20	759	10/05/1976	23:54	39.26	29.17	Mb	4.40
703	08/04/1973	09:52	39.17	28.39	Ml	4.20	760	11/05/1976	03:31	39.19	29.20	Mb	4.30
704	19/04/1973	22:13	38.29	26.94	Mb	4.40	761	12/05/1976	05:11	39.33	29.16	Mb	4.30
705	22/04/1973	22:20	37.15	30.55	Ms	4.30	762	14/05/1976	01:23	37.75	29.47	Mb	4.00
706	12/05/1973	09:31	38.89	29.21	Mb	4.50	763	14/05/1976	11:06	39.26	29.22	Mb	4.00
707	09/06/1973	19:09	36.20	28.42	Mb	4.00	764	21/05/1976	09:37	39.28	29.16	Mb	4.50
708	24/06/1973	00:15	38.78	29.25	Ms	4.10	765	22/05/1976	18:01	39.25	29.18	Mb	4.10
709	05/07/1973	21:12	38.80	29.22	Ms	4.50	766	25/05/1976	18:43	39.30	29.22	Mb	4.60
710	29/07/1973	15:01	37.12	28.56	Mb	4.00	767	28/05/1976	23:02	39.26	29.17	Mb	4.50
711	18/09/1973	08:47	36.85	30.36	Mb	4.50	768	28/05/1976	23:09	39.35	29.36	Mb	4.20
712	21/09/1973	05:20	37.58	29.43	Ms	4.30	769	29/05/1976	03:45	39.37	29.34	Mb	4.20
713	30/10/1973	19:40	37.37	29.05	Mb	4.30	770	31/05/1976	05:10	39.48	29.14	Mb	4.90
714	10/11/1973	18:26	37.89	31.06	Mb	4.40	771	09/06/1976	10:02	39.27	29.17	Mb	4.70
715	30/11/1973	06:47	36.30	28.67	Mb	4.50	772	11/06/1976	00:52	39.18	29.00	Ml	4.10
716	08/12/1973	19:40	37.32	29.75	Ms	4.40	773	11/06/1976	09:55	39.32	29.23	Mb	4.20
717	26/01/1974	05:19	37.41	29.74	Mb	4.40	774	14/06/1976	06:52	39.36	29.29	Mb	4.70
718	26/01/1974	05:49	37.25	29.60	Ml	4.00	775	15/07/1976	12:06	39.37	29.06	Mb	4.10
719	01/02/1974	00:01	38.55	27.28	Mb	5.20	776	15/08/1976	18:56	37.84	28.77	Mb	5.30
720	02/02/1974	01:37	38.65	27.31	Ms	4.10	777	18/08/1976	17:06	36.73	27.42	Mb	4.70
721	05/02/1974	18:23	37.33	29.68	Mb	4.50	778	19/08/1976	01:12	37.74	29.01	Ms	5.10
722	10/02/1974	04:11	37.46	29.68	Mb	4.60	779	22/08/1976	13:28	39.33	29.05	Mb	4.80
723	14/02/1974	09:17	38.54	27.19	Mb	4.30	780	24/08/1976	18:44	39.34	29.14	Mb	4.90
724	26/02/1974	07:32	38.32	27.48	Ms	4.10	781	25/01/1977	23:54	39.41	28.30	Mb	4.20
725	27/02/1974	00:18	38.86	30.82	Mb	4.10	782	24/02/1977	16:12	37.82	26.88	Mb	4.00
726	24/03/1974	07:09	37.27	29.58	Ms	4.10	783	24/02/1977	20:47	38.55	27.66	Mb	5.00
727	24/05/1974	21:27	36.73	29.22	Ms	4.40	784	08/03/1977	03:01	36.54	28.54	Mb	4.10
728	09/07/1974	02:32	36.63	28.48	Mb	4.90	785	28/03/1977	10:50	36.85	27.50	Mb	4.80
729	25/08/1974	13:52	37.00	30.19	Ms	4.20	786	11/04/1977	16:23	36.92	30.73	Mb	4.70
730	25/08/1974	16:10	37.22	30.25	Ms	4.20	787	08/06/1977	04:49	36.23	28.84	Mb	4.00
731	29/08/1974	08:02	38.84	29.28	Ms	4.20	788	13/06/1977	08:59	36.99	28.91	Mb	4.00
732	29/09/1974	03:55	38.74	29.46	Ms	4.10	789	25/08/1977	01:52	37.97	27.73	Mb	4.20
733	05/11/1974	07:00	39.16	29.30	Ms	4.10	790	10/09/1977	06:56	37.99	28.75	Ml	4.00

Tablo F.1 (devam): Denizli için oluşturulan deprem kataloğu

Sıra	Tarih	Saat	Enlem	Boylam	Ölçek	Büy.	Sıra	Tarih	Saat	Enlem	Boylam	Ölçek	Büy.
791	25/09/1977	19:56	38.64	31.08	Mb	4.40	848	11/05/1981	19:15	36.72	28.15	Mb	4.70
792	19/10/1977	14:14	39.01	29.62	Mb	4.80	849	28/05/1981	21:04	37.50	29.01	Mb	4.20
793	27/10/1977	22:43	37.89	27.90	Mb	4.70	850	08/06/1981	21:06	36.22	28.87	Mb	4.10
794	28/10/1977	00:31	38.00	28.03	Ml	4.00	851	10/07/1981	21:39	37.10	31.16	Mb	4.00
795	28/10/1977	00:41	37.97	28.01	Ml	4.20	852	28/07/1981	13:28	37.42	30.30	Mb	4.10
796	10/11/1977	04:12	37.94	27.93	Ml	4.00	853	15/08/1981	05:46	37.30	29.54	Mb	4.20
797	23/11/1977	09:08	37.92	27.92	Ml	4.00	854	18/09/1981	16:35	36.63	27.85	Ml	4.10
798	26/11/1977	00:12	37.94	27.99	Ml	4.30	855	23/11/1981	10:56	37.07	29.78	Mb	4.60
799	09/12/1977	15:53	38.36	27.21	Mb	4.80	856	28/12/1981	14:52	39.33	29.12	Mb	4.30
800	09/12/1977	20:36	39.36	29.13	Mb	4.30	857	28/12/1981	14:53	39.39	29.06	Mb	4.50
801	16/12/1977	07:37	38.37	27.21	Mb	5.30	858	09/01/1982	18:46	37.92	28.87	Mb	4.60
802	16/12/1977	07:44	38.47	27.28	Ml	4.00	859	24/01/1982	05:37	36.61	27.52	Mb	4.50
803	11/01/1978	03:57	37.48	28.86	Ms	5.00	860	08/02/1982	11:20	39.33	29.05	Mb	4.00
804	19/01/1978	12:08	38.93	27.90	Ml	4.10	861	14/03/1982	14:14	39.27	29.06	Ml	4.20
805	13/03/1978	13:06	37.81	26.88	Mb	4.70	862	14/03/1982	15:09	38.64	31.06	Mb	4.20
806	03/04/1978	15:44	37.22	28.99	Mb	4.90	863	31/03/1982	01:15	38.59	28.18	Ml	4.10
807	09/04/1978	06:53	38.20	27.10	Mb	4.70	864	18/04/1982	23:56	38.89	28.15	Ml	4.00
808	17/06/1978	20:40	37.54	28.81	Mb	4.80	865	21/04/1982	04:57	37.51	26.85	Mb	4.10
809	29/07/1978	04:34	37.56	30.04	Mb	4.60	866	11/05/1982	10:25	36.93	28.86	Mb	4.20
810	22/08/1978	09:29	36.39	27.67	Mb	4.00	867	25/05/1982	14:45	36.87	27.83	Mb	4.40
811	18/09/1978	17:34	36.91	29.28	Mb	4.00	868	07/06/1982	00:31	36.98	27.92	Mb	4.70
812	04/10/1978	09:04	39.30	29.33	Ml	4.60	869	07/06/1982	16:48	36.91	27.90	Ml	4.00
813	22/12/1978	03:53	36.60	28.38	Mb	4.20	870	11/06/1982	10:44	36.96	27.81	Ml	4.10
814	22/06/1979	10:34	36.80	29.03	Mb	4.10	871	12/06/1982	03:16	36.98	27.87	Mb	4.10
815	22/08/1979	11:47	38.04	28.95	Mb	4.00	872	12/06/1982	07:08	36.92	27.89	Mb	4.30
816	23/08/1979	17:35	37.99	28.91	Mb	4.20	873	12/06/1982	07:19	36.92	27.89	Mb	4.10
817	09/09/1979	16:10	39.32	28.83	Mb	4.00	874	12/06/1982	10:37	36.89	27.78	Mb	4.40
818	14/09/1979	17:26	36.99	30.29	Mb	4.60	875	28/06/1982	09:29	37.00	27.98	Mb	4.30
819	21/10/1979	13:53	36.80	27.77	Mb	4.40	876	29/06/1982	06:57	37.00	28.03	Mb	4.50
820	26/10/1979	14:11	36.91	27.76	Mb	4.60	877	08/09/1982	17:55	37.80	26.81	Mb	4.10
821	06/11/1979	23:07	36.83	27.99	Mb	4.60	878	17/09/1982	06:03	37.90	26.85	Mb	4.10
822	09/11/1979	05:42	36.89	27.93	Mb	4.40	879	19/09/1982	08:39	37.81	26.81	Mb	4.10
823	14/02/1980	20:14	39.10	29.35	Mb	4.40	880	02/11/1982	05:58	38.52	28.46	Mb	4.60
824	18/02/1980	02:10	36.98	27.92	Mb	4.60	881	23/11/1982	11:49	37.45	29.53	Mb	4.50
825	19/02/1980	14:16	36.95	27.89	Mb	4.40	882	26/12/1982	17:48	39.32	28.26	Mb	4.90
826	02/03/1980	05:32	39.26	29.39	Mb	4.60	883	27/12/1982	11:02	39.34	28.27	Mb	4.80
827	11/04/1980	18:56	36.96	27.84	Mb	4.60	884	27/12/1982	19:55	39.01	27.83	Ml	4.10
828	15/04/1980	22:25	36.68	27.34	Mb	4.20	885	12/02/1983	19:27	36.78	27.52	Mb	4.50
829	27/04/1980	09:54	39.07	28.86	Mb	4.30	886	15/02/1983	02:21	39.07	28.71	Mb	4.60
830	29/04/1980	21:19	37.07	28.73	Mb	4.40	887	23/02/1983	16:53	39.17	29.29	Mb	4.10
831	03/05/1980	04:26	39.14	28.98	Mb	4.10	888	06/03/1983	09:53	39.10	28.68	Ml	4.30
832	04/05/1980	09:22	39.25	29.04	Mb	4.50	889	22/03/1983	11:19	37.01	29.24	Mb	4.40
833	08/05/1980	22:06	39.20	28.90	Ml	4.50	890	24/03/1983	10:55	37.11	29.35	Mb	4.60
834	11/07/1980	12:24	38.80	29.17	Ml	4.30	891	06/04/1983	14:48	38.11	27.16	Ml	4.10
835	02/08/1980	00:52	38.93	27.42	Mb	5.30	892	14/04/1983	05:59	37.10	30.95	Mb	4.40
836	07/08/1980	22:54	39.37	28.12	Ml	4.10	893	24/05/1983	07:39	36.89	28.19	Mb	4.10
837	02/10/1980	23:08	38.05	30.87	Mb	4.40	894	28/05/1983	15:27	37.11	28.79	Mb	4.10
838	02/10/1980	23:21	38.12	30.90	Mb	4.50	895	14/06/1983	03:55	36.44	28.44	Mb	4.10
839	04/10/1980	15:12	37.00	28.80	Ms	5.10	896	24/06/1983	14:47	37.84	29.50	Mb	4.40
840	11/11/1980	01:22	36.90	28.82	Mb	4.90	897	25/06/1983	05:33	37.79	29.35	Mb	4.10
841	11/11/1980	01:45	36.90	28.75	Mb	4.10	898	07/07/1983	21:31	36.69	30.54	Mb	4.70
842	15/11/1980	16:11	39.20	28.90	Ml	4.30	899	04/08/1983	20:39	37.84	27.59	Mb	4.70
843	19/12/1980	07:49	38.02	27.65	Mb	4.70	900	03/09/1983	12:45	39.11	27.57	Ml	4.00
844	03/01/1981	06:01	36.90	28.60	Mb	4.80	901	28/09/1983	07:17	37.01	28.09	Mb	4.10
845	26/04/1981	14:13	36.55	30.69	Mw	5.60	902	11/10/1983	12:08	38.85	29.21	Mb	4.20
846	27/04/1981	16:23	36.05	28.88	Mb	4.60	903	22/10/1983	19:50	38.22	30.93	Mb	4.00
847	05/05/1981	00:40	38.89	29.93	Ml	4.90	904	06/11/1983	05:17	39.32	29.35	Mb	4.60

Tablo F.1 (devam): Denizli için oluşturulan deprem kataloğu

Sıra	Tarih	Saat	Enlem	Boylam	Ölçek	Büy.	Sıra	Tarih	Saat	Enlem	Boylam	Ölçek	Büy.
905	18/11/1983	07:13	36.87	28.82	<i>Mb</i>	4.50	962	01/06/1986	06:43	37.96	27.39	<i>Mb</i>	4.00
906	09/12/1983	00:40	37.83	29.42	<i>Mb</i>	4.40	963	03/06/1986	19:35	39.46	28.36	<i>Mb</i>	4.30
907	16/12/1983	05:34	36.58	27.73	<i>Mb</i>	4.00	964	12/06/1986	06:42	39.09	28.70	<i>Mb</i>	4.10
908	31/01/1984	15:51	37.03	28.00	<i>Mb</i>	4.90	965	25/06/1986	11:48	39.46	28.36	<i>Ml</i>	4.20
909	05/02/1984	00:20	37.23	28.68	<i>Mb</i>	5.00	966	27/06/1986	06:54	37.85	27.40	<i>Ml</i>	4.20
910	05/02/1984	21:07	37.23	28.46	<i>Ml</i>	4.20	967	29/07/1986	17:40	36.69	27.94	<i>Mb</i>	4.10
911	06/02/1984	04:03	37.09	28.15	<i>Mb</i>	4.90	968	18/08/1986	08:11	38.59	27.10	<i>Mb</i>	4.60
912	11/02/1984	08:12	36.85	30.35	<i>Mb</i>	4.80	969	19/08/1986	06:03	39.04	28.79	<i>Mb</i>	4.70
913	11/02/1984	16:15	36.09	28.35	<i>Mb</i>	4.00	970	30/08/1986	04:47	39.11	27.84	<i>Ml</i>	4.10
914	22/02/1984	07:52	36.06	28.58	<i>Mb</i>	4.10	971	23/09/1986	08:41	39.09	27.75	<i>Ml</i>	4.20
915	29/02/1984	14:07	36.44	28.64	<i>Ml</i>	4.30	972	29/09/1986	17:38	39.07	27.79	<i>Ml</i>	4.10
916	01/03/1984	06:39	39.25	27.98	<i>Mb</i>	4.10	973	11/10/1986	09:00	37.94	28.56	<i>Mw</i>	5.60
917	14/03/1984	18:43	37.13	27.96	<i>Mb</i>	4.60	974	20/10/1986	10:43	37.79	27.38	<i>Mb</i>	4.50
918	21/03/1984	23:15	37.79	28.42	<i>Mb</i>	4.20	975	14/11/1986	03:38	39.36	29.06	<i>Mb</i>	4.50
919	25/03/1984	14:48	37.74	28.68	<i>Mb</i>	4.50	976	15/11/1986	21:52	39.37	28.91	<i>Mb</i>	4.50
920	31/03/1984	02:05	38.04	30.70	<i>Mb</i>	4.10	977	30/11/1986	05:29	38.75	27.74	<i>Mb</i>	4.30
921	01/04/1984	17:17	39.56	28.76	<i>Mb</i>	4.10	978	01/01/1987	22:36	36.25	27.99	<i>Mb</i>	4.10
922	23/04/1984	10:31	37.87	26.90	<i>Mb</i>	4.60	979	06/01/1987	06:55	36.19	28.03	<i>Mb</i>	4.30
923	23/04/1984	12:11	37.82	26.89	<i>Mb</i>	4.80	980	07/01/1987	20:30	36.17	28.11	<i>Mb</i>	4.20
924	23/04/1984	16:50	37.83	26.84	<i>Mb</i>	4.10	981	31/01/1987	16:06	36.16	28.14	<i>Mb</i>	4.30
925	26/04/1984	00:28	37.22	28.42	<i>Mb</i>	4.30	982	01/02/1987	01:43	36.24	28.01	<i>Mb</i>	4.00
926	04/05/1984	21:35	37.89	29.28	<i>Mb</i>	4.70	983	01/02/1987	04:27	36.26	28.02	<i>Mb</i>	4.10
927	23/05/1984	08:06	36.81	27.77	<i>Mb</i>	4.10	984	01/02/1987	16:48	36.31	27.89	<i>Mb</i>	4.10
928	07/06/1984	23:37	37.23	28.72	<i>Mb</i>	4.30	985	01/02/1987	18:02	36.22	28.02	<i>Mb</i>	4.10
929	16/06/1984	03:48	38.40	30.55	<i>Mb</i>	4.30	986	04/04/1987	15:59	36.90	28.37	<i>Mb</i>	4.60
930	27/06/1984	18:16	39.25	28.79	<i>Mb</i>	4.10	987	25/04/1987	22:10	39.30	27.92	<i>Mb</i>	4.20
931	15/07/1984	17:47	39.22	27.72	<i>Ml</i>	4.10	988	19/06/1987	11:14	38.58	30.62	<i>Mb</i>	4.00
932	31/07/1984	12:44	36.47	28.83	<i>Mb</i>	4.10	989	19/06/1987	18:45	36.78	28.16	<i>Mw</i>	5.30
933	24/08/1984	22:28	37.63	30.14	<i>Mb</i>	4.10	990	18/07/1987	14:30	36.15	28.24	<i>Mb</i>	4.20
934	01/09/1984	21:50	37.83	29.49	<i>Mb</i>	4.00	991	23/07/1987	07:07	38.73	27.82	<i>Ml</i>	4.00
935	08/09/1984	20:22	38.12	30.89	<i>Mb</i>	4.30	992	31/08/1987	23:20	36.58	27.71	<i>Mb</i>	4.10
936	07/11/1984	11:39	38.91	27.80	<i>Mb</i>	4.00	993	15/09/1987	16:02	37.85	26.96	<i>Mb</i>	4.60
937	18/11/1984	13:48	37.95	28.95	<i>Mb</i>	4.10	994	05/10/1987	09:27	36.31	28.27	<i>Mb</i>	5.10
938	29/11/1984	15:28	37.88	26.98	<i>Mb</i>	4.70	995	06/10/1987	11:28	36.26	28.32	<i>Mb</i>	4.60
939	25/01/1985	02:42	38.53	27.36	<i>Ml</i>	4.10	996	06/10/1987	11:31	36.44	28.12	<i>Ml</i>	4.40
940	31/01/1985	01:21	37.45	30.63	<i>Mb</i>	4.50	997	06/10/1987	12:07	36.25	28.26	<i>Mb</i>	4.50
941	31/01/1985	01:25	37.40	30.86	<i>Mb</i>	4.50	998	06/10/1987	20:45	36.28	28.24	<i>Mb</i>	4.50
942	31/01/1985	02:03	37.56	30.84	<i>Mb</i>	4.70	999	06/10/1987	21:25	36.28	28.33	<i>Mb</i>	4.70
943	07/02/1985	13:18	39.02	29.88	<i>Mb</i>	4.60	1000	09/10/1987	11:22	36.28	28.35	<i>Mb</i>	4.40
944	17/02/1985	10:45	36.61	27.67	<i>Mb</i>	4.70	1001	09/10/1987	12:09	36.24	28.31	<i>Mb</i>	4.60
945	14/03/1985	11:35	38.51	27.69	<i>Mb</i>	4.70	1002	12/10/1987	02:44	36.26	28.30	<i>Mb</i>	4.60
946	10/04/1985	03:56	36.77	27.46	<i>Mb</i>	4.50	1003	25/10/1987	13:02	36.33	28.34	<i>Mb</i>	4.60
947	10/04/1985	08:35	36.80	27.54	<i>Mb</i>	5.00	1004	25/10/1987	14:40	36.28	28.17	<i>Mb</i>	4.20
948	29/04/1985	11:38	38.37	29.81	<i>Mb</i>	4.60	1005	25/10/1987	16:19	36.38	28.21	<i>Mb</i>	4.50
949	20/05/1985	10:33	36.19	28.79	<i>Mb</i>	4.80	1006	27/10/1987	14:48	36.19	28.33	<i>Mb</i>	4.60
950	23/08/1985	20:38	37.23	28.79	<i>Mb</i>	4.50	1007	28/10/1987	19:09	37.87	30.27	<i>Mb</i>	4.20
951	11/09/1985	11:08	36.38	28.83	<i>Mb</i>	4.60	1008	25/11/1987	00:11	37.95	31.01	<i>Mb</i>	4.60
952	17/10/1985	19:15	38.77	27.83	<i>Mb</i>	4.10	1009	26/11/1987	00:28	36.06	29.15	<i>Mb</i>	4.50
953	23/10/1985	06:14	38.80	27.83	<i>Mb</i>	4.30	1010	26/11/1987	23:00	37.93	31.10	<i>Mb</i>	4.50
954	24/11/1985	01:19	37.65	27.57	<i>Mb</i>	4.50	1011	27/11/1987	05:44	37.98	31.08	<i>Mb</i>	4.60
955	06/12/1985	22:35	36.99	28.90	<i>Mb</i>	4.60	1012	12/12/1987	18:24	36.78	28.28	<i>Mb</i>	4.30
956	19/03/1986	15:29	37.53	26.98	<i>Mb</i>	4.70	1013	16/12/1987	00:34	37.91	30.99	<i>Mb</i>	4.20
957	19/03/1986	16:47	37.61	26.94	<i>Mb</i>	4.60	1014	17/12/1987	19:14	37.93	30.94	<i>Mb</i>	4.60
958	03/05/1986	10:42	36.93	28.00	<i>Ml</i>	4.10	1015	26/12/1987	07:45	36.80	27.72	<i>Mb</i>	4.70
959	14/05/1986	03:01	39.49	28.42	<i>Mb</i>	4.50	1016	26/12/1987	10:28	36.87	27.79	<i>Ml</i>	4.10
960	27/05/1986	04:44	38.88	27.53	<i>Ml</i>	4.00	1017	30/12/1987	16:17	36.88	27.73	<i>Mb</i>	4.80
961	27/05/1986	08:54	39.46	28.44	<i>Mb</i>	4.40	1018	13/01/1988	07:58	38.34	30.83	<i>Mb</i>	4.70

Tablo F.1 (devam): Denizli için oluşturulan deprem kataloğu

Sıra	Tarih	Saat	Enlem	Boylam	Ölçek	Büy.	Sıra	Tarih	Saat	Enlem	Boylam	Ölçek	Büy.
1019	23/01/1988	08:18	37.22	30.60	<i>Mb</i>	4.60	1076	04/10/1990	16:00	37.03	29.47	<i>Md</i>	4.00
1020	30/01/1988	19:10	36.29	28.22	<i>Mb</i>	4.50	1077	07/10/1990	00:12	37.52	29.58	<i>Mb</i>	4.30
1021	17/03/1988	21:48	37.60	30.02	<i>Mb</i>	4.00	1078	18/10/1990	16:55	38.25	30.91	<i>Md</i>	4.00
1022	23/04/1988	17:54	39.10	28.10	<i>Mb</i>	4.00	1079	28/10/1990	17:12	37.10	29.83	<i>Md</i>	4.40
1023	06/05/1988	12:18	36.92	29.64	<i>Mb</i>	4.40	1080	31/10/1990	04:15	36.30	29.47	<i>Md</i>	4.00
1024	10/06/1988	02:13	37.47	27.15	<i>Ml</i>	4.00	1081	19/11/1990	09:36	36.79	29.05	<i>Md</i>	4.20
1025	14/06/1988	08:46	36.84	27.61	<i>Md</i>	4.00	1082	21/11/1990	14:02	37.03	29.60	<i>Mb</i>	5.00
1026	23/06/1988	15:39	39.08	30.18	<i>Mb</i>	4.00	1083	21/11/1990	23:34	37.58	26.94	<i>Md</i>	4.40
1027	24/06/1988	15:06	37.21	29.95	<i>Mb</i>	4.00	1084	19/12/1990	09:46	38.59	28.04	<i>Mb</i>	4.70
1028	15/08/1988	07:47	37.89	29.24	<i>Mb</i>	4.70	1085	29/12/1990	13:33	37.85	27.98	<i>Ml</i>	4.10
1029	23/10/1988	17:21	36.72	28.35	<i>Ml</i>	4.20	1086	10/01/1991	22:55	37.05	29.51	<i>Md</i>	4.10
1030	26/10/1988	10:10	37.96	27.69	<i>Mb</i>	4.80	1087	13/01/1991	05:11	37.12	29.55	<i>Mb</i>	4.90
1031	18/11/1988	20:04	38.45	30.08	<i>Mb</i>	4.50	1088	15/01/1991	21:01	37.12	29.48	<i>Mb</i>	5.30
1032	07/12/1988	13:19	39.16	30.34	<i>Mb</i>	4.10	1089	16/01/1991	17:08	37.10	29.49	<i>Md</i>	4.00
1033	08/12/1988	13:33	36.62	30.03	<i>Mb</i>	4.90	1090	25/01/1991	09:03	36.98	28.84	<i>Mb</i>	4.30
1034	27/12/1988	15:19	37.38	27.64	<i>Md</i>	4.10	1091	04/03/1991	08:41	38.26	30.27	<i>Mb</i>	4.00
1035	05/01/1989	07:57	37.09	27.69	<i>Mb</i>	4.60	1092	11/03/1991	18:33	37.03	30.97	<i>Mw</i>	5.10
1036	08/01/1989	03:01	37.00	27.60	<i>Mb</i>	4.40	1093	02/06/1991	03:11	36.41	28.47	<i>Mb</i>	4.20
1037	16/01/1989	05:33	37.17	30.95	<i>Mb</i>	4.10	1094	15/06/1991	21:33	38.45	27.12	<i>Mb</i>	4.10
1038	15/02/1989	04:01	39.05	29.71	<i>Mb</i>	4.40	1095	15/06/1991	22:08	38.52	27.13	<i>Mb</i>	4.10
1039	19/02/1989	14:28	37.01	28.16	<i>Mw</i>	5.40	1096	22/07/1991	00:49	39.31	27.92	<i>Mb</i>	4.00
1040	24/02/1989	00:40	37.71	29.31	<i>Mw</i>	5.30	1097	27/07/1991	11:38	37.27	29.73	<i>Mb</i>	4.60
1041	24/02/1989	01:17	37.72	29.26	<i>Mb</i>	4.40	1098	27/07/1991	14:43	37.30	29.74	<i>Mb</i>	4.20
1042	24/02/1989	12:30	37.73	29.24	<i>Mb</i>	4.50	1099	27/07/1991	15:04	37.29	29.72	<i>Mb</i>	4.00
1043	27/04/1989	23:06	37.02	28.15	<i>Mw</i>	5.50	1100	29/07/1991	17:01	36.94	29.23	<i>Mb</i>	4.00
1044	28/04/1989	01:18	37.01	28.03	<i>Mb</i>	4.30	1101	30/07/1991	04:50	36.32	28.21	<i>Mb</i>	4.30
1045	28/04/1989	13:30	37.00	28.10	<i>Mw</i>	5.50	1102	13/08/1991	10:10	36.55	28.03	<i>Mb</i>	4.10
1046	28/04/1989	13:44	37.03	27.99	<i>Mb</i>	4.00	1103	04/10/1991	21:09	36.77	30.52	<i>Mb</i>	4.00
1047	28/04/1989	14:52	37.05	28.03	<i>Mb</i>	4.10	1104	18/11/1991	13:35	37.05	29.56	<i>Md</i>	4.20
1048	29/04/1989	22:19	37.04	27.93	<i>Mb</i>	4.10	1105	30/11/1991	15:57	39.33	28.12	<i>Md</i>	4.30
1049	08/05/1989	17:54	36.22	28.09	<i>Mb</i>	4.00	1106	06/12/1991	10:03	37.42	31.26	<i>Md</i>	4.10
1050	04/06/1989	04:49	37.79	29.29	<i>Md</i>	4.10	1107	05/01/1992	05:31	37.91	29.83	<i>Mb</i>	4.10
1051	24/06/1989	15:01	37.02	28.06	<i>Mb</i>	4.30	1108	13/02/1992	23:58	38.38	31.11	<i>Ml</i>	4.00
1052	08/07/1989	05:45	36.72	28.01	<i>Md</i>	4.10	1109	26/03/1992	16:16	37.33	30.93	<i>Mb</i>	4.60
1053	12/07/1989	13:42	37.16	31.09	<i>Mb</i>	4.20	1110	01/04/1992	12:23	39.40	28.68	<i>Mb</i>	4.00
1054	25/07/1989	15:40	36.11	29.41	<i>Md</i>	4.10	1111	05/04/1992	03:38	36.06	29.04	<i>Md</i>	4.00
1055	16/08/1989	11:22	36.08	28.85	<i>Mb</i>	4.20	1112	06/04/1992	19:15	38.97	29.21	<i>Md</i>	4.30
1056	13/09/1989	09:36	37.70	30.25	<i>Mb</i>	4.30	1113	19/04/1992	22:12	36.29	28.77	<i>Md</i>	4.00
1057	17/12/1989	21:22	39.30	28.27	<i>Ml</i>	4.20	1114	23/04/1992	23:11	37.33	28.14	<i>Mb</i>	4.10
1058	18/12/1989	13:58	37.87	29.22	<i>Mb</i>	4.50	1115	15/05/1992	06:49	37.71	27.62	<i>Mb</i>	4.30
1059	18/12/1989	14:03	37.94	29.19	<i>Mb</i>	4.70	1116	23/05/1992	22:53	36.84	30.46	<i>Mb</i>	4.70
1060	25/05/1990	22:22	36.89	28.64	<i>Mb</i>	4.20	1117	28/05/1992	09:52	37.53	29.81	<i>Mb</i>	4.00
1061	26/06/1990	04:48	37.33	29.23	<i>Mb</i>	4.20	1118	09/06/1992	20:06	36.61	28.01	<i>Md</i>	4.00
1062	18/07/1990	11:29	37.03	29.53	<i>Mw</i>	5.50	1119	29/06/1992	19:43	36.70	28.31	<i>Mb</i>	4.00
1063	18/07/1990	14:56	37.06	29.54	<i>Md</i>	4.20	1120	30/06/1992	20:22	38.23	30.10	<i>Md</i>	4.10
1064	01/08/1990	07:17	37.08	29.48	<i>Md</i>	4.10	1121	12/07/1992	14:49	36.48	30.15	<i>Md</i>	4.00
1065	02/08/1990	19:12	37.00	29.53	<i>Mb</i>	4.00	1122	29/07/1992	21:59	36.97	28.81	<i>Md</i>	4.00
1066	07/08/1990	13:09	37.03	29.56	<i>Md</i>	4.00	1123	29/07/1992	22:50	37.16	28.91	<i>Md</i>	4.00
1067	17/08/1990	23:49	37.06	29.61	<i>Md</i>	4.00	1124	05/08/1992	14:20	36.63	28.02	<i>Md</i>	4.30
1068	20/08/1990	22:55	37.00	29.59	<i>Mb</i>	4.40	1125	05/09/1992	01:50	36.63	30.42	<i>Ml</i>	4.10
1069	01/09/1990	17:24	37.02	27.98	<i>Mb</i>	4.50	1126	30/09/1992	00:01	37.25	29.37	<i>Mb</i>	4.10
1070	02/09/1990	04:02	37.08	29.43	<i>Md</i>	4.00	1127	20/10/1992	00:26	37.19	31.16	<i>Mb</i>	4.10
1071	03/09/1990	00:04	37.04	29.53	<i>Mb</i>	4.20	1128	06/11/1992	19:08	38.05	27.00	<i>Mw</i>	6.00
1072	03/09/1990	07:56	37.08	29.61	<i>Mb</i>	4.10	1129	06/11/1992	20:06	38.07	27.05	<i>Mb</i>	4.60
1073	08/09/1990	21:01	37.14	29.52	<i>Mb</i>	4.70	1130	06/11/1992	22:03	38.31	27.12	<i>Mb</i>	4.60
1074	24/09/1990	21:45	37.41	30.55	<i>Mb</i>	4.20	1131	07/11/1992	03:25	38.20	27.01	<i>Mb</i>	4.80
1075	29/09/1990	16:28	36.45	28.22	<i>Ml</i>	4.10	1132	07/11/1992	04:36	38.13	27.04	<i>Mb</i>	4.40

Tablo F.1 (devam): Denizli için oluşturulan deprem kataloğu

Sıra	Tarih	Saat	Enlem	Boylam	Ölçek	Büy.	Sıra	Tarih	Saat	Enlem	Boylam	Ölçek	Büy.
1133	08/11/1992	14:26	38.16	27.06	<i>Ml</i>	4.00	1190	30/06/1995	05:34	36.40	28.62	<i>Mb</i>	4.10
1134	08/11/1992	18:21	38.18	26.90	<i>Mb</i>	4.20	1191	04/07/1995	18:21	36.87	28.06	<i>Mb</i>	4.10
1135	08/11/1992	19:28	38.15	26.93	<i>Mb</i>	4.70	1192	18/08/1995	00:52	37.80	29.48	<i>Mb</i>	4.80
1136	10/11/1992	02:30	37.03	27.85	<i>Mb</i>	4.70	1193	18/08/1995	05:44	37.84	29.51	<i>Mb</i>	4.20
1137	19/11/1992	18:07	38.13	26.93	<i>Md</i>	4.00	1194	26/09/1995	14:58	38.04	30.13	<i>Mb</i>	4.80
1138	05/12/1992	06:26	38.04	26.98	<i>Mb</i>	4.40	1195	26/09/1995	15:18	38.07	30.15	<i>Mb</i>	4.30
1139	22/12/1992	22:15	39.29	28.80	<i>Md</i>	4.00	1196	26/09/1995	16:39	38.04	30.19	<i>Mb</i>	4.30
1140	25/12/1992	02:25	37.21	28.15	<i>Mb</i>	4.50	1197	27/09/1995	14:15	38.07	30.16	<i>Mb</i>	4.80
1141	30/12/1992	18:10	36.59	30.19	<i>Mb</i>	4.00	1198	28/09/1995	01:16	36.63	29.38	<i>Mb</i>	4.40
1142	14/01/1993	15:24	37.20	28.30	<i>Mb</i>	4.60	1199	28/09/1995	13:26	38.63	30.57	<i>Mb</i>	4.10
1143	20/01/1993	04:01	38.11	26.96	<i>Mb</i>	4.10	1200	01/10/1995	03:01	38.16	30.01	<i>Md</i>	4.10
1144	05/03/1993	06:44	36.84	27.29	<i>Mb</i>	4.30	1201	01/10/1995	15:57	38.08	30.14	<i>Mw</i>	6.40
1145	09/03/1993	09:41	39.16	28.80	<i>Ml</i>	4.10	1202	01/10/1995	18:03	38.08	30.16	<i>Mb</i>	5.00
1146	31/03/1993	18:20	39.15	28.09	<i>Mb</i>	4.50	1203	01/10/1995	18:23	38.14	30.11	<i>Mb</i>	4.20
1147	07/04/1993	03:22	36.51	27.93	<i>Md</i>	4.20	1204	01/10/1995	20:51	38.05	30.11	<i>Mb</i>	4.00
1148	19/04/1993	04:58	36.36	27.94	<i>Mb</i>	4.30	1205	01/10/1995	21:14	38.00	30.08	<i>Mb</i>	4.20
1149	09/05/1993	23:14	37.24	30.71	<i>Md</i>	4.30	1206	01/10/1995	22:21	38.09	30.08	<i>Mb</i>	4.50
1150	30/05/1993	15:42	39.29	29.12	<i>Mb</i>	4.10	1207	01/10/1995	22:37	38.06	30.19	<i>Mb</i>	4.00
1151	06/06/1993	18:16	39.42	28.35	<i>Mb</i>	4.00	1208	02/10/1995	14:58	38.12	30.13	<i>Mb</i>	4.40
1152	26/08/1993	10:03	36.72	28.06	<i>Mb</i>	5.20	1209	02/10/1995	19:53	38.09	29.95	<i>Mb</i>	4.10
1153	26/08/1993	19:50	39.10	27.83	<i>Mb</i>	4.00	1210	03/10/1995	07:38	37.97	30.10	<i>Mb</i>	4.80
1154	05/10/1993	18:35	36.83	29.66	<i>Mb</i>	4.10	1211	05/10/1995	16:15	38.03	30.16	<i>Mb</i>	4.80
1155	30/10/1993	09:39	38.34	30.45	<i>Mb</i>	4.20	1212	06/10/1995	16:16	38.06	30.18	<i>Mb</i>	4.50
1156	01/11/1993	18:17	38.89	30.00	<i>Mb</i>	4.80	1213	11/10/1995	04:44	38.10	30.16	<i>Mb</i>	4.20
1157	02/11/1993	02:44	38.96	29.87	<i>Ml</i>	4.00	1214	13/10/1995	03:46	38.09	30.05	<i>Mb</i>	4.20
1158	06/12/1993	14:25	39.22	30.19	<i>Mb</i>	4.10	1215	30/10/1995	15:45	36.51	28.15	<i>Ml</i>	4.10
1159	06/12/1993	16:25	39.23	29.94	<i>Ml</i>	4.10	1216	14/12/1995	22:53	38.11	30.09	<i>Md</i>	4.00
1160	25/01/1994	06:47	36.07	29.03	<i>Mb</i>	4.00	1217	02/02/1996	23:30	36.42	28.32	<i>Md</i>	4.00
1161	28/01/1994	15:45	38.68	27.53	<i>Mw</i>	5.40	1218	03/02/1996	19:48	37.50	26.84	<i>Mb</i>	4.50
1162	06/02/1994	01:15	38.74	27.46	<i>Mb</i>	4.10	1219	20/02/1996	02:53	38.11	27.25	<i>Mb</i>	4.00
1163	13/02/1994	03:31	37.11	28.23	<i>Mb</i>	4.10	1220	20/02/1996	03:33	38.12	27.24	<i>Mb</i>	4.10
1164	03/04/1994	06:56	37.22	28.96	<i>Md</i>	4.10	1221	14/03/1996	09:28	39.05	27.58	<i>Ml</i>	4.30
1165	15/06/1994	16:53	37.61	30.09	<i>Mb</i>	4.40	1222	16/03/1996	14:36	36.96	30.33	<i>Mb</i>	4.50
1166	15/06/1994	19:54	37.88	29.73	<i>Ml</i>	4.20	1223	18/03/1996	07:30	38.19	30.13	<i>Mb</i>	4.30
1167	25/06/1994	18:45	39.30	29.18	<i>Md</i>	4.00	1224	02/04/1996	07:59	37.86	26.96	<i>Mw</i>	5.40
1168	08/07/1994	23:08	39.32	29.14	<i>Mb</i>	4.00	1225	04/04/1996	09:27	37.89	26.88	<i>Mb</i>	4.10
1169	15/07/1994	23:54	39.33	29.20	<i>Md</i>	4.00	1226	26/04/1996	07:01	36.42	27.91	<i>Mw</i>	5.40
1170	08/08/1994	05:28	38.98	29.15	<i>Mb</i>	4.00	1227	29/04/1996	16:02	39.05	29.71	<i>Mb</i>	4.10
1171	04/11/1994	21:18	36.60	30.00	<i>Mb</i>	4.30	1228	29/04/1996	23:42	37.01	27.60	<i>Mb</i>	4.30
1172	05/11/1994	19:50	38.19	28.80	<i>Mb</i>	4.50	1229	01/05/1996	07:33	38.22	30.14	<i>Mb</i>	4.10
1173	09/11/1994	05:09	37.01	29.13	<i>Mb</i>	4.30	1230	20/05/1996	09:09	38.29	27.23	<i>Mb</i>	4.10
1174	13/11/1994	06:56	36.96	29.05	<i>Mw</i>	5.30	1231	22/06/1996	16:05	37.87	29.36	<i>Mb</i>	4.00
1175	13/11/1994	07:13	36.89	29.04	<i>Mb</i>	4.50	1232	29/06/1996	08:14	38.00	30.07	<i>Mb</i>	4.70
1176	13/11/1994	07:58	37.00	29.03	<i>Mb</i>	4.90	1233	29/06/1996	08:28	38.09	30.19	<i>Mb</i>	4.00
1177	13/11/1994	08:15	36.99	29.10	<i>Mb</i>	4.80	1234	21/09/1996	03:34	38.84	27.89	<i>Mb</i>	4.10
1178	13/11/1994	11:38	36.95	28.97	<i>Mb</i>	4.10	1235	27/09/1996	22:10	37.55	30.02	<i>Mb</i>	4.10
1179	06/01/1995	02:44	37.16	28.18	<i>Mb</i>	4.00	1236	10/12/1996	13:25	36.69	27.56	<i>Mb</i>	4.20
1180	12/01/1995	00:21	38.51	27.09	<i>Mb</i>	4.20	1237	12/01/1997	10:48	36.00	28.79	<i>Mb</i>	4.10
1181	22/01/1995	19:46	36.90	29.02	<i>Mb</i>	4.30	1238	21/01/1997	20:47	38.11	29.01	<i>Mw</i>	5.20
1182	23/01/1995	08:37	36.87	28.97	<i>Md</i>	4.00	1239	14/03/1997	11:45	38.11	28.96	<i>Mb</i>	4.00
1183	25/01/1995	12:16	36.26	29.34	<i>Mb</i>	4.40	1240	01/04/1997	11:25	38.34	31.13	<i>Mb</i>	4.00
1184	27/02/1995	04:12	36.90	28.96	<i>Mb</i>	4.00	1241	12/04/1997	17:40	37.92	27.64	<i>Mb</i>	4.00
1185	28/02/1995	12:56	36.35	29.16	<i>Mb</i>	4.20	1242	06/12/1997	00:12	36.92	30.88	<i>Mb</i>	4.40
1186	07/03/1995	03:58	36.81	27.79	<i>Mb</i>	4.70	1243	13/02/1998	07:18	36.29	28.45	<i>Mb</i>	4.80
1187	02/04/1995	18:35	36.40	27.90	<i>Mb</i>	4.40	1244	24/02/1998	15:11	36.33	28.22	<i>Mb</i>	4.50
1188	02/06/1995	23:53	37.51	29.73	<i>Mb</i>	4.00	1245	25/02/1998	06:58	37.80	29.65	<i>Mb</i>	4.50
1189	27/06/1995	05:50	36.04	29.59	<i>Md</i>	4.20	1246	20/03/1998	11:02	38.16	30.14	<i>Mb</i>	4.10

Tablo F.1 (devam): Denizli için oluşturulan deprem kataloğu

Sıra	Tarih	Saat	Enlem	Boylam	Ölçek	Büy.	Sıra	Tarih	Saat	Enlem	Boylam	Ölçek	Büy.
1247	04/04/1998	16:16	38.10	30.17	<i>M_w</i>	5.20	1304	03/04/2002	22:57	37.73	30.32	<i>M_b</i>	4.40
1248	07/06/1998	09:12	37.09	30.50	<i>M_b</i>	4.00	1305	05/04/2002	07:38	37.74	30.23	<i>M_b</i>	4.10
1249	03/03/1999	04:28	37.31	27.07	<i>M_b</i>	4.10	1306	01/05/2002	20:51	36.49	30.48	<i>M_b</i>	4.10
1250	26/03/1999	09:18	37.09	27.87	<i>M_b</i>	4.00	1307	17/05/2002	15:56	36.95	27.23	<i>M_d</i>	4.00
1251	29/03/1999	04:05	37.12	28.79	<i>M_b</i>	4.20	1308	06/06/2002	05:09	39.06	28.01	<i>M_b</i>	4.20
1252	17/06/1999	04:24	38.55	28.45	<i>M_b</i>	4.10	1309	08/07/2002	09:42	37.18	30.93	<i>M_b</i>	4.50
1253	29/06/1999	00:54	37.71	30.89	<i>M_b</i>	4.30	1310	30/07/2002	12:20	37.67	29.29	<i>M_b</i>	4.70
1254	25/07/1999	06:56	39.32	27.98	<i>M_w</i>	5.20	1311	04/09/2002	13:35	38.30	27.41	<i>M_b</i>	4.00
1255	02/08/1999	16:58	36.50	29.23	<i>M_l</i>	4.30	1312	26/09/2002	20:44	36.58	27.97	<i>M_b</i>	4.60
1256	26/08/1999	05:37	37.94	30.90	<i>M_b</i>	4.20	1313	02/11/2002	23:47	36.79	27.57	<i>M_l</i>	4.10
1257	26/08/1999	06:35	37.95	30.87	<i>M_b</i>	4.10	1314	06/12/2002	11:49	36.88	27.43	<i>M_d</i>	4.00
1258	26/09/1999	06:38	39.09	27.91	<i>M_b</i>	4.10	1315	06/12/2002	12:23	36.91	27.49	<i>M_d</i>	4.00
1259	29/09/1999	16:46	39.10	29.00	<i>M_b</i>	4.10	1316	06/12/2002	19:42	36.88	27.50	<i>M_d</i>	4.00
1260	05/10/1999	00:53	36.74	28.23	<i>M_w</i>	5.20	1317	11/12/2002	15:52	38.28	27.14	<i>M_l</i>	4.00
1261	05/10/1999	01:04	36.78	28.13	<i>M_b</i>	4.20	1318	16/01/2003	02:17	38.28	27.17	<i>M_l</i>	4.00
1262	06/12/1999	22:29	37.10	27.56	<i>M_b</i>	4.00	1319	10/04/2003	00:40	38.23	26.92	<i>M_w</i>	5.70
1263	26/12/1999	03:37	36.55	28.03	<i>M_b</i>	4.10	1320	17/04/2003	22:34	38.18	26.96	<i>M_w</i>	5.20
1264	28/02/2000	07:45	37.09	27.54	<i>M_b</i>	4.30	1321	03/05/2003	15:10	37.13	31.04	<i>M_b</i>	4.00
1265	21/04/2000	12:23	37.86	29.36	<i>M_w</i>	5.40	1322	04/05/2003	11:00	38.18	26.93	<i>M_b</i>	4.00
1266	21/04/2000	12:29	37.78	29.29	<i>M_b</i>	4.00	1323	13/06/2003	10:28	39.31	28.23	<i>M_b</i>	4.10
1267	23/04/2000	13:53	38.03	27.80	<i>M_b</i>	4.10	1324	22/06/2003	23:46	39.00	28.03	<i>M_b</i>	4.50
1268	27/04/2000	12:13	37.90	29.28	<i>M_b</i>	4.10	1325	23/07/2003	04:56	38.07	28.89	<i>M_w</i>	5.30
1269	16/09/2000	04:41	36.75	27.50	<i>M_b</i>	4.20	1326	26/07/2003	01:00	38.08	28.90	<i>M_b</i>	4.50
1270	04/10/2000	02:34	37.87	29.03	<i>M_b</i>	4.70	1327	26/07/2003	08:36	38.05	28.90	<i>M_w</i>	5.40
1271	04/10/2000	07:58	37.92	28.87	<i>M_b</i>	4.30	1328	26/07/2003	13:31	38.10	28.84	<i>M_b</i>	4.60
1272	18/10/2000	22:55	36.19	28.74	<i>M_b</i>	4.40	1329	31/08/2003	13:38	37.68	27.54	<i>M_l</i>	4.00
1273	30/10/2000	19:37	36.94	28.41	<i>M_b</i>	4.10	1330	27/10/2003	03:05	37.24	28.20	<i>M_b</i>	4.10
1274	26/11/2000	17:08	37.97	28.99	<i>M_b</i>	4.10	1331	05/11/2003	07:56	37.29	28.05	<i>M_d</i>	4.10
1275	26/11/2000	17:20	37.95	29.01	<i>M_b</i>	4.00	1332	19/02/2004	04:09	36.96	28.69	<i>M_b</i>	4.10
1276	19/01/2001	04:38	39.16	27.93	<i>M_d</i>	4.10	1333	14/05/2004	16:34	37.51	29.71	<i>M_b</i>	4.30
1277	02/02/2001	09:51	37.74	30.18	<i>M_b</i>	4.30	1334	20/05/2004	11:26	36.12	28.27	<i>M_b</i>	4.00
1278	22/03/2001	06:21	38.77	30.93	<i>M_b</i>	4.40	1335	09/06/2004	03:15	38.39	30.25	<i>M_b</i>	4.10
1279	30/03/2001	15:30	38.72	30.87	<i>M_b</i>	4.20	1336	26/06/2004	18:24	37.23	28.28	<i>M_b</i>	4.10
1280	09/04/2001	20:05	36.51	28.67	<i>M_d</i>	4.00	1337	03/07/2004	18:36	36.90	27.74	<i>M_b</i>	4.10
1281	11/05/2001	19:06	37.35	30.29	<i>M_b</i>	4.00	1338	06/07/2004	17:57	36.06	29.06	<i>M_b</i>	4.10
1282	24/05/2001	03:18	39.32	27.90	<i>M_b</i>	4.00	1339	29/07/2004	05:35	36.52	27.97	<i>M_b</i>	4.20
1283	22/06/2001	19:56	39.30	27.86	<i>M_d</i>	4.10	1340	03/08/2004	05:33	36.86	27.73	<i>M_b</i>	4.50
1284	25/07/2001	16:52	36.35	27.91	<i>M_b</i>	4.00	1341	03/08/2004	09:41	36.87	27.79	<i>M_b</i>	4.10
1285	08/10/2001	11:38	36.73	28.17	<i>M_b</i>	4.00	1342	03/08/2004	13:11	36.89	27.78	<i>M_w</i>	5.20
1286	04/12/2001	22:35	37.17	27.76	<i>M_l</i>	4.00	1343	03/08/2004	13:13	36.87	27.65	<i>M_b</i>	4.20
1287	29/12/2001	23:12	36.51	28.12	<i>M_b</i>	4.00	1344	03/08/2004	14:17	36.94	27.73	<i>M_b</i>	4.00
1288	31/12/2001	13:32	36.29	28.07	<i>M_b</i>	4.00	1345	03/08/2004	14:58	36.90	27.70	<i>M_b</i>	4.00
1289	21/01/2002	14:34	38.63	27.88	<i>M_b</i>	4.80	1346	04/08/2004	03:01	36.86	27.75	<i>M_w</i>	5.50
1290	03/02/2002	07:14	38.72	30.89	<i>M_b</i>	5.10	1347	04/08/2004	03:49	36.88	27.79	<i>M_b</i>	4.50
1291	03/02/2002	09:26	38.67	30.92	<i>M_w</i>	5.80	1348	04/08/2004	03:57	36.82	27.77	<i>M_b</i>	4.20
1292	03/02/2002	09:55	38.62	30.82	<i>M_b</i>	4.00	1349	04/08/2004	04:19	36.88	27.80	<i>M_w</i>	5.20
1293	03/02/2002	10:15	38.71	30.81	<i>M_b</i>	4.00	1350	04/08/2004	04:26	36.88	27.78	<i>M_b</i>	4.30
1294	03/02/2002	11:39	38.56	31.08	<i>M_w</i>	5.30	1351	04/08/2004	05:46	36.92	27.83	<i>M_b</i>	4.20
1295	03/02/2002	11:54	38.57	31.12	<i>M_b</i>	4.80	1352	04/08/2004	14:18	36.89	27.78	<i>M_w</i>	5.30
1296	17/02/2002	06:23	38.55	30.88	<i>M_b</i>	4.10	1353	04/08/2004	15:59	36.91	27.81	<i>M_b</i>	4.00
1297	17/02/2002	12:23	36.35	27.92	<i>M_d</i>	5.00	1354	05/08/2004	07:13	36.90	27.75	<i>M_b</i>	4.00
1298	21/02/2002	18:04	38.66	30.89	<i>M_b</i>	4.30	1355	05/08/2004	10:30	36.93	27.80	<i>M_b</i>	4.10
1299	26/02/2002	16:30	38.66	30.87	<i>M_b</i>	4.30	1356	20/08/2004	11:12	36.35	27.96	<i>M_b</i>	4.60
1300	01/03/2002	11:47	38.66	30.94	<i>M_b</i>	4.00	1357	03/09/2004	11:21	36.96	27.82	<i>M_b</i>	4.10
1301	01/03/2002	12:01	38.36	28.04	<i>M_d</i>	4.00	1358	05/09/2004	11:18	36.91	27.73	<i>M_b</i>	4.00
1302	01/03/2002	15:48	38.29	28.05	<i>M_d</i>	4.10	1359	16/09/2004	01:40	37.70	29.21	<i>M_b</i>	4.30
1303	01/03/2002	21:09	37.00	27.82	<i>M_b</i>	4.10	1360	04/10/2004	16:52	36.96	30.32	<i>M_b</i>	4.20

Tablo F.1 (devam): Denizli için oluşturulan deprem kataloğu

Sıra	Tarih	Saat	Enlem	Boylam	Ölçek	Büy.	Sıra	Tarih	Saat	Enlem	Boylam	Ölçek	Büy.
1361	05/11/2004	17:30	39.21	27.77	<i>Mb</i>	4.50	1418	10/10/2007	21:27	36.63	27.98	<i>Mb</i>	4.40
1362	02/12/2004	15:51	39.26	27.97	<i>Mb</i>	4.40	1419	29/10/2007	09:23	36.91	29.34	<i>Mw</i>	5.30
1363	20/12/2004	23:02	36.95	28.35	<i>Mw</i>	5.30	1420	29/10/2007	19:41	36.87	29.37	<i>Mb</i>	4.50
1364	21/12/2004	00:23	36.96	28.28	<i>Mb</i>	4.10	1421	31/10/2007	17:58	36.90	29.39	<i>Mb</i>	4.40
1365	28/12/2004	15:37	37.03	28.24	<i>Mb</i>	4.20	1422	12/11/2007	15:02	36.97	29.27	<i>Mb</i>	4.50
1366	28/12/2004	20:34	37.01	28.30	<i>Mb</i>	4.50	1423	15/11/2007	23:26	36.36	29.57	<i>Mb</i>	4.10
1367	10/01/2005	23:48	36.87	27.89	<i>Mw</i>	5.40	1424	16/11/2007	09:08	36.91	29.38	<i>Mw</i>	5.10
1368	10/01/2005	23:50	36.76	27.86	<i>Mb</i>	4.80	1425	18/11/2007	10:48	38.96	29.84	<i>Ml</i>	4.10
1369	11/01/2005	00:02	36.89	27.88	<i>Mb</i>	4.00	1426	02/12/2007	20:21	36.95	29.32	<i>Mb</i>	4.60
1370	11/01/2005	04:36	36.91	27.85	<i>Mw</i>	5.00	1427	07/12/2007	12:57	36.31	27.91	<i>Mb</i>	4.10
1371	11/01/2005	09:18	36.92	27.78	<i>Mb</i>	4.00	1428	09/12/2007	20:29	36.96	29.29	<i>Mb</i>	4.30
1372	12/01/2005	11:25	39.20	27.74	<i>Mb</i>	4.00	1429	10/12/2007	21:50	38.78	27.74	<i>Md</i>	4.00
1373	13/01/2005	11:00	39.19	27.73	<i>Ml</i>	4.30	1430	28/12/2007	10:34	36.91	29.24	<i>Mb</i>	4.00
1374	14/01/2005	19:08	36.93	28.35	<i>Mb</i>	4.20	1431	08/01/2008	15:57	36.93	29.24	<i>Ml</i>	4.30
1375	18/01/2005	17:27	36.90	27.71	<i>Mb</i>	4.10	1432	10/01/2008	17:52	37.90	28.80	<i>Mb</i>	4.20
1376	20/01/2005	23:27	38.66	27.17	<i>Ml</i>	4.00	1433	17/01/2008	08:39	36.39	29.10	<i>Mb</i>	4.10
1377	23/01/2005	20:54	36.91	27.85	<i>Mb</i>	4.10	1434	01/03/2008	07:01	37.87	26.81	<i>Mb</i>	4.00
1378	29/01/2005	14:48	38.22	29.69	<i>Mb</i>	4.00	1435	15/03/2008	11:52	39.05	27.85	<i>Mb</i>	4.20
1379	29/01/2005	18:52	38.09	26.84	<i>Mb</i>	4.30	1436	15/03/2008	15:34	39.04	27.86	<i>Ml</i>	4.00
1380	17/03/2005	05:01	37.77	26.81	<i>Mb</i>	4.20	1437	11/04/2008	08:01	37.68	26.89	<i>Mb</i>	4.20
1381	13/05/2005	22:30	37.92	27.07	<i>Ml</i>	4.00	1438	18/04/2008	13:49	37.93	26.90	<i>Ml</i>	4.10
1382	15/05/2005	10:54	38.59	30.87	<i>Mb</i>	4.40	1439	25/04/2008	04:48	37.80	29.32	<i>Mw</i>	5.00
1383	11/07/2005	17:20	36.42	28.10	<i>Mb</i>	4.00	1440	28/05/2008	22:35	36.92	29.27	<i>Mb</i>	4.00
1384	31/07/2005	15:54	36.05	29.12	<i>Mb</i>	4.00	1441	30/05/2008	05:34	36.94	29.20	<i>Mb</i>	4.00
1385	19/08/2005	01:08	36.72	27.36	<i>Mb</i>	4.00	1442	03/07/2008	17:37	37.02	29.23	<i>Mb</i>	4.50
1386	19/10/2005	22:38	37.83	27.16	<i>Mb</i>	4.20	1443	11/07/2008	14:11	37.04	29.16	<i>Mb</i>	4.30
1387	06/11/2005	12:21	37.01	30.37	<i>Mb</i>	4.40	1444	13/07/2008	14:30	38.92	27.85	<i>Ml</i>	4.00
1388	24/12/2005	03:56	38.78	27.82	<i>Mb</i>	4.30	1445	14/07/2008	10:32	37.98	30.93	<i>Mb</i>	4.00
1389	20/01/2006	10:40	36.86	28.27	<i>Mb</i>	4.00	1446	24/08/2008	22:52	36.96	29.20	<i>Ml</i>	4.00
1390	24/01/2006	17:00	36.60	30.58	<i>Mb</i>	4.20	1447	25/08/2008	02:57	36.98	29.21	<i>Mb</i>	4.30
1391	15/03/2006	03:17	36.39	28.28	<i>Mb</i>	4.00	1448	28/09/2008	11:32	36.55	30.25	<i>Ml</i>	4.00
1392	17/04/2006	11:53	36.92	28.28	<i>Mb</i>	4.10	1449	30/09/2008	07:30	38.97	29.93	<i>Mb</i>	4.60
1393	17/04/2006	20:18	36.90	28.25	<i>Mb</i>	4.20	1450	01/10/2008	03:53	36.97	29.17	<i>Mb</i>	4.10
1394	18/04/2006	01:21	36.88	28.18	<i>Mb</i>	4.00	1451	06/10/2008	05:19	36.08	28.42	<i>Mb</i>	4.10
1395	05/06/2006	04:23	37.89	28.75	<i>Mw</i>	4.80	1452	19/10/2008	10:54	39.13	29.43	<i>Mb</i>	4.00
1396	05/06/2006	04:38	37.88	28.71	<i>Mb</i>	4.00	1453	19/10/2008	22:20	37.00	30.40	<i>Mb</i>	4.20
1397	09/08/2006	09:18	37.01	27.94	<i>Mb</i>	4.00	1454	09/11/2008	13:20	36.87	28.17	<i>Ml</i>	4.00
1398	24/08/2006	04:30	36.39	28.81	<i>Mb</i>	4.20	1455	24/11/2008	11:34	36.63	28.22	<i>Mb</i>	4.00
1399	12/10/2006	03:20	37.83	29.23	<i>Mb</i>	4.10	1456	24/12/2008	05:55	37.86	29.24	<i>Ml</i>	4.50
1400	18/12/2006	03:09	36.91	30.35	<i>Mb</i>	4.40	1457	01/01/2009	19:01	37.02	29.15	<i>Ml</i>	4.10
1401	18/01/2007	13:06	37.89	30.64	<i>Mb</i>	4.40	1458	08/01/2009	15:43	37.81	27.58	<i>Mb</i>	4.20
1402	23/01/2007	21:22	38.09	28.83	<i>Mw</i>	4.90	1459	28/01/2009	09:17	37.83	27.55	<i>Ml</i>	4.40
1403	31/01/2007	23:13	36.94	27.78	<i>Ml</i>	4.20	1460	28/01/2009	09:45	37.83	27.56	<i>Ml</i>	4.10
1404	07/02/2007	05:25	36.42	29.96	<i>Mb</i>	4.50	1461	06/02/2009	23:51	36.62	27.60	<i>Mb</i>	4.30
1405	06/03/2007	03:34	37.10	28.55	<i>Ml</i>	4.40	1462	17/02/2009	05:28	39.15	29.04	<i>Mw</i>	5.20
1406	30/03/2007	16:56	37.90	30.97	<i>Mb</i>	4.60	1463	19/02/2009	22:25	39.12	29.03	<i>Ml</i>	4.00
1407	30/03/2007	17:29	37.96	30.92	<i>Ml</i>	4.10	1464	22/03/2009	00:53	37.92	29.11	<i>Ml</i>	4.00
1408	30/03/2007	19:23	37.94	30.96	<i>Mw</i>	4.90	1465	12/04/2009	17:34	37.70	28.04	<i>Ml</i>	4.50
1409	30/03/2007	20:10	37.97	30.91	<i>Mb</i>	4.10	1466	03/05/2009	02:34	37.86	27.54	<i>Ml</i>	4.10
1410	31/03/2007	01:21	37.99	30.90	<i>Mb</i>	4.00	1467	07/05/2009	23:46	39.28	27.94	<i>Ml</i>	4.00
1411	02/04/2007	12:38	36.49	28.75	<i>Mb</i>	4.00	1468	09/06/2009	05:26	35.98	29.16	<i>Mb</i>	4.30
1412	10/04/2007	21:39	37.96	30.93	<i>Mb</i>	4.40	1469	20/06/2009	08:28	37.61	26.93	<i>Mw</i>	5.10
1413	10/04/2007	22:00	37.91	30.96	<i>Mw</i>	5.10	1470	12/07/2009	23:32	37.95	29.39	<i>Ml</i>	4.00
1414	11/04/2007	08:59	38.02	30.94	<i>Mb</i>	4.20	1471	28/07/2009	17:38	36.06	29.72	<i>Mb</i>	4.50
1415	11/04/2007	09:58	38.01	30.95	<i>Mb</i>	4.00	1472	11/09/2009	22:14	37.53	27.01	<i>Ml</i>	4.00
1416	11/04/2007	10:06	37.97	30.96	<i>Mb</i>	4.10	1473	12/09/2009	00:50	37.52	27.06	<i>Mb</i>	4.00
1417	20/09/2007	06:18	39.22	29.42	<i>Mb</i>	4.00	1474	15/09/2009	09:23	39.09	29.05	<i>Ml</i>	4.00

Tablo F.1 (devam): Denizli için oluşturulan deprem kataloğu

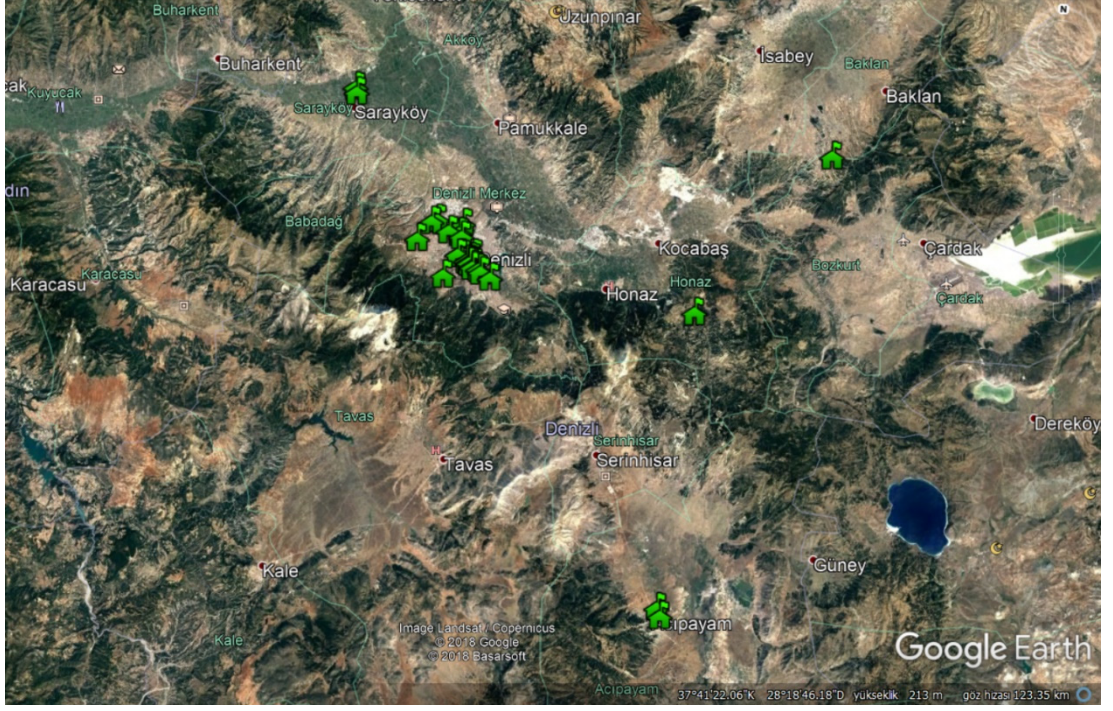
Sıra	Tarih	Saat	Enlem	Boylam	Ölçek	Büy.	Sıra	Tarih	Saat	Enlem	Boylam	Ölçek	Büy.
1475	25/11/2009	10:53	37.95	28.86	<i>Mb</i>	4.50	1532	10/06/2011	22:47	39.10	28.34	<i>MI</i>	4.70
1476	04/12/2009	06:02	37.93	28.87	<i>Mw</i>	4.90	1533	15/06/2011	18:23	36.60	28.77	<i>MI</i>	4.00
1477	04/12/2009	17:19	37.41	29.57	<i>Mb</i>	4.70	1534	27/06/2011	21:13	39.12	29.02	<i>Mw</i>	5.00
1478	12/12/2009	15:23	36.48	28.62	<i>Mb</i>	4.40	1535	27/06/2011	21:28	39.12	29.04	<i>MI</i>	4.40
1479	31/01/2010	04:18	36.92	29.34	<i>MI</i>	4.00	1536	27/06/2011	23:41	39.07	29.00	<i>MI</i>	4.00
1480	02/03/2010	00:43	39.13	29.07	<i>Mb</i>	4.20	1537	29/06/2011	11:40	39.12	29.00	<i>MI</i>	4.00
1481	02/03/2010	00:59	39.14	29.10	<i>MI</i>	4.30	1538	03/07/2011	14:16	39.10	29.01	<i>MI</i>	4.10
1482	26/05/2010	14:22	36.63	29.85	<i>Mb</i>	4.50	1539	13/07/2011	01:31	39.12	29.03	<i>MI</i>	4.30
1483	15/07/2010	05:35	36.80	27.40	<i>MI</i>	4.30	1540	17/07/2011	19:51	39.06	29.12	<i>MI</i>	4.00
1484	25/07/2010	17:06	36.95	30.39	<i>Mb</i>	4.10	1541	19/07/2011	21:16	39.10	29.09	<i>MI</i>	4.10
1485	04/08/2010	20:38	37.49	27.04	<i>MI</i>	4.20	1542	25/08/2011	04:19	39.14	29.10	<i>MI</i>	4.30
1486	08/08/2010	00:24	36.57	27.97	<i>Mb</i>	4.30	1543	05/09/2011	11:42	36.20	28.80	<i>MI</i>	4.30
1487	20/08/2010	06:45	37.10	31.14	<i>Mb</i>	4.10	1544	08/10/2011	22:10	39.01	28.06	<i>MI</i>	4.00
1488	07/09/2010	14:17	37.02	27.62	<i>Mb</i>	4.20	1545	24/10/2011	10:06	36.53	28.67	<i>MI</i>	4.00
1489	05/10/2010	23:43	38.00	27.95	<i>MI</i>	4.10	1546	24/10/2011	10:14	36.52	28.71	<i>MI</i>	4.20
1490	11/10/2010	18:03	37.89	27.29	<i>MI</i>	4.10	1547	14/11/2011	09:46	36.06	28.92	<i>MI</i>	4.40
1491	14/10/2010	09:08	36.16	29.59	<i>Mb</i>	4.30	1548	10/12/2011	05:15	38.84	30.21	<i>MI</i>	4.10
1492	29/10/2010	13:46	37.12	30.75	<i>Mb</i>	4.20	1549	15/12/2011	06:37	36.98	30.32	<i>MI</i>	4.00
1493	11/11/2010	20:08	37.86	27.39	<i>Mw</i>	5.00	1550	27/12/2011	05:59	37.99	27.17	<i>MI</i>	4.10
1494	14/11/2010	05:21	37.86	27.34	<i>MI</i>	4.10	1551	27/12/2011	07:51	37.98	27.16	<i>MI</i>	4.40
1495	08/12/2010	21:50	37.88	27.34	<i>MI</i>	4.00	1552	06/01/2012	20:35	36.18	29.02	<i>MI</i>	4.20
1496	14/12/2010	23:01	36.60	28.05	<i>Mb</i>	4.10	1553	20/01/2012	01:36	36.16	28.44	<i>MI</i>	4.10
1497	05/02/2011	02:37	37.83	27.34	<i>MI</i>	4.10	1554	23/01/2012	18:23	36.14	28.48	<i>MI</i>	4.00
1498	05/02/2011	07:17	37.90	29.05	<i>MI</i>	4.00	1555	27/01/2012	17:43	37.48	27.15	<i>MI</i>	4.20
1499	06/02/2011	02:09	37.80	27.21	<i>MI</i>	4.20	1556	27/01/2012	19:06	37.51	27.18	<i>MI</i>	4.00
1500	16/03/2011	11:18	37.31	30.48	<i>MI</i>	4.10	1557	08/02/2012	19:57	39.21	27.87	<i>MI</i>	4.20
1501	29/03/2011	00:53	39.16	29.07	<i>MI</i>	4.30	1558	12/02/2012	19:17	36.80	27.33	<i>MI</i>	4.20
1502	03/04/2011	23:42	36.49	28.77	<i>MI</i>	4.00	1559	15/02/2012	02:34	36.22	28.72	<i>MI</i>	4.50
1503	10/04/2011	11:11	36.45	28.82	<i>MI</i>	4.00	1560	20/02/2012	06:34	38.14	27.48	<i>MI</i>	4.40
1504	22/04/2011	05:43	38.98	29.83	<i>MI</i>	4.00	1561	29/03/2012	10:13	38.60	30.00	<i>MI</i>	4.20
1505	27/04/2011	02:04	36.34	28.69	<i>MI</i>	4.00	1562	04/04/2012	00:33	37.92	29.45	<i>MI</i>	4.30
1506	01/05/2011	15:04	39.06	28.02	<i>MI</i>	4.10	1563	10/04/2012	06:01	36.77	28.17	<i>MI</i>	4.00
1507	07/05/2011	18:00	37.02	28.17	<i>MI</i>	4.00	1564	16/04/2012	10:10	39.12	29.12	<i>MI</i>	4.70
1508	19/05/2011	20:15	39.13	29.08	<i>Mw</i>	5.90	1565	16/04/2012	10:11	39.11	29.14	<i>MI</i>	4.60
1509	19/05/2011	20:25	39.14	29.11	<i>MI</i>	4.60	1566	17/04/2012	20:45	39.15	29.11	<i>MI</i>	4.50
1510	19/05/2011	20:41	39.10	29.13	<i>MI</i>	4.00	1567	19/04/2012	19:52	39.11	29.14	<i>MI</i>	4.50
1511	19/05/2011	20:43	39.12	29.09	<i>MI</i>	4.00	1568	20/04/2012	16:39	39.15	29.10	<i>MI</i>	4.40
1512	19/05/2011	21:08	39.11	29.03	<i>MI</i>	4.20	1569	23/04/2012	16:14	39.12	29.14	<i>MI</i>	4.30
1513	19/05/2011	21:12	39.11	29.04	<i>MI</i>	4.80	1570	23/04/2012	16:14	39.05	29.15	<i>MI</i>	4.00
1514	19/05/2011	21:21	39.11	29.03	<i>MI</i>	4.30	1571	26/04/2012	22:05	39.13	29.11	<i>Mw</i>	4.80
1515	19/05/2011	21:33	39.13	29.12	<i>MI</i>	4.30	1572	03/05/2012	15:20	39.12	29.11	<i>Mw</i>	5.20
1516	19/05/2011	22:19	39.12	28.99	<i>MI</i>	4.00	1573	03/05/2012	15:25	39.12	29.13	<i>MI</i>	4.00
1517	20/05/2011	00:13	39.14	29.11	<i>MI</i>	4.10	1574	03/05/2012	16:16	39.10	29.04	<i>MI</i>	4.60
1518	20/05/2011	00:58	39.11	29.08	<i>MI</i>	4.30	1575	03/05/2012	17:10	39.14	29.10	<i>MI</i>	4.40
1519	20/05/2011	04:00	39.14	29.00	<i>MI</i>	4.00	1576	03/05/2012	21:45	39.14	29.11	<i>MI</i>	4.70
1520	20/05/2011	05:00	39.12	29.09	<i>MI</i>	4.20	1577	04/05/2012	02:00	39.12	29.10	<i>MI</i>	4.50
1521	20/05/2011	11:30	39.12	29.00	<i>MI</i>	4.00	1578	08/05/2012	07:31	37.04	28.53	<i>MI</i>	4.30
1522	21/05/2011	21:43	39.10	29.05	<i>MI</i>	4.00	1579	09/05/2012	17:49	39.10	29.16	<i>MI</i>	4.30
1523	24/05/2011	02:55	39.10	29.02	<i>MI</i>	4.20	1580	19/05/2012	12:21	36.93	27.57	<i>MI</i>	4.20
1524	27/05/2011	07:43	39.14	29.12	<i>MI</i>	4.40	1581	04/06/2012	14:19	36.92	28.20	<i>MI</i>	4.60
1525	28/05/2011	05:47	39.12	29.04	<i>Mw</i>	5.10	1582	09/06/2012	14:33	37.04	28.48	<i>MI</i>	4.20
1526	28/05/2011	07:35	39.11	29.13	<i>MI</i>	4.00	1583	10/06/2012	12:44	36.36	28.93	<i>Mw</i>	6.10
1527	28/05/2011	18:06	39.11	29.03	<i>MI</i>	4.00	1584	10/06/2012	12:49	36.48	28.93	<i>MI</i>	5.00
1528	29/05/2011	01:31	39.14	29.09	<i>MI</i>	4.50	1585	10/06/2012	12:50	36.49	28.96	<i>MI</i>	4.40
1529	30/05/2011	22:03	39.16	29.01	<i>MI</i>	4.00	1586	10/06/2012	13:01	36.48	29.22	<i>MI</i>	4.00
1530	04/06/2011	13:51	39.11	29.10	<i>MI</i>	4.10	1587	10/06/2012	18:28	36.47	28.96	<i>MI</i>	4.50
1531	05/06/2011	21:29	39.14	29.10	<i>MI</i>	4.00	1588	10/06/2012	22:31	36.42	28.94	<i>MI</i>	4.00

Tablo F.1 (devam): Denizli için oluşturulan deprem kataloğu

Sıra	Tarih	Saat	Enlem	Boylam	Ölçek	Büy.	Sıra	Tarih	Saat	Enlem	Boylam	Ölçek	Büy.
1589	11/06/2012	02:06	36.43	28.98	<i>MI</i>	4.40	1646	11/10/2014	06:42	38.19	27.06	<i>M_w</i>	4.00
1590	11/06/2012	14:00	36.43	29.01	<i>MI</i>	4.00	1647	21/10/2014	03:03	38.17	27.10	<i>M_w</i>	4.10
1591	11/06/2012	17:35	36.41	28.99	<i>MI</i>	4.40	1648	10/11/2014	06:16	37.12	28.73	<i>M_w</i>	4.80
1592	11/06/2012	19:51	36.46	28.98	<i>MI</i>	4.30	1649	10/11/2014	09:20	37.15	28.76	<i>M_w</i>	4.30
1593	12/06/2012	21:58	36.46	28.93	<i>MI</i>	4.50	1650	15/11/2014	07:30	39.33	29.00	<i>M_w</i>	4.00
1594	13/06/2012	06:40	39.11	29.15	<i>MI</i>	4.30	1651	15/11/2014	20:23	36.43	28.82	<i>MI</i>	4.20
1595	13/06/2012	08:59	36.48	28.90	<i>MI</i>	4.50	1652	26/11/2014	00:04	39.34	29.00	<i>M_w</i>	4.00
1596	14/06/2012	16:46	36.37	29.06	<i>MI</i>	4.80	1653	26/11/2014	05:05	36.91	27.71	<i>M_w</i>	4.20
1597	19/06/2012	01:46	39.12	29.16	<i>MI</i>	4.90	1654	28/11/2014	02:30	39.33	29.01	<i>M_w</i>	4.30
1598	25/06/2012	13:05	36.44	28.94	<i>M_w</i>	5.00	1655	30/11/2014	06:38	39.35	29.01	<i>M_w</i>	4.00
1599	18/07/2012	17:46	37.17	28.29	<i>MI</i>	4.00	1656	30/11/2014	16:01	37.39	26.92	<i>M_w</i>	4.10
1600	03/08/2012	10:18	38.72	28.07	<i>MI</i>	4.60	1657	10/01/2015	04:32	38.20	27.07	<i>M_w</i>	4.30
1601	04/08/2012	02:23	38.72	28.07	<i>MI</i>	4.20	1658	10/02/2015	08:56	37.15	30.07	<i>M_w</i>	4.50
1602	07/08/2012	23:17	38.73	28.05	<i>MI</i>	4.00	1659	16/02/2015	11:52	37.15	30.09	<i>M_w</i>	4.70
1603	07/08/2012	23:57	38.72	28.05	<i>MI</i>	4.20	1660	16/03/2015	20:09	36.52	27.90	<i>M_w</i>	4.00
1604	25/08/2012	07:24	38.71	28.03	<i>MI</i>	4.10	1661	27/03/2015	01:42	37.95	27.20	<i>M_w</i>	4.10
1605	05/09/2012	15:49	38.97	27.62	<i>MI</i>	4.10	1662	28/04/2015	07:59	37.06	28.54	<i>MI</i>	4.00
1606	20/10/2012	01:09	36.55	28.24	<i>MI</i>	4.10	1663	29/05/2015	08:02	36.87	27.59	<i>M_w</i>	4.10
1607	30/10/2012	00:12	39.14	29.18	<i>MI</i>	4.10	1664	08/07/2015	22:14	37.56	29.54	<i>M_w</i>	4.20
1608	09/11/2012	04:46	36.68	27.96	<i>MI</i>	4.00	1665	25/07/2015	18:35	37.14	28.69	<i>M_w</i>	4.20
1609	13/11/2012	18:25	36.53	28.24	<i>MI</i>	4.00	1666	03/09/2015	08:23	39.12	29.12	<i>M_w</i>	4.10
1610	24/11/2012	21:04	36.60	27.94	<i>MI</i>	4.30	1667	13/09/2015	02:57	37.10	28.88	<i>M_w</i>	4.40
1611	24/11/2012	21:31	36.59	27.93	<i>MI</i>	4.20	1668	22/09/2015	06:25	39.13	29.12	<i>M_w</i>	4.30
1612	24/11/2012	21:35	36.62	27.94	<i>MI</i>	4.10	1669	22/09/2015	07:11	39.13	29.11	<i>M_w</i>	4.30
1613	25/11/2012	08:51	36.60	27.92	<i>MI</i>	4.00	1670	28/09/2015	03:34	36.08	29.54	<i>M_w</i>	4.00
1614	26/11/2012	17:35	36.62	27.95	<i>M_w</i>	4.80	1671	06/10/2015	21:27	36.18	29.89	<i>M_w</i>	5.20
1615	30/11/2012	02:32	37.21	28.64	<i>MI</i>	4.20	1672	13/10/2015	23:18	39.11	29.03	<i>M_w</i>	4.20
1616	02/12/2012	19:02	36.63	27.95	<i>MI</i>	4.00	1673	18/11/2015	10:35	37.83	29.30	<i>M_w</i>	4.10
1617	27/12/2012	16:09	36.19	28.86	<i>MI</i>	4.00	1674	18/11/2015	14:55	37.80	29.32	<i>M_w</i>	4.10
1618	20/02/2013	06:59	37.91	29.32	<i>MI</i>	4.10	1675	02/12/2015	15:52	39.15	28.15	<i>M_w</i>	4.00
1619	21/02/2013	10:18	37.35	26.89	<i>MI</i>	4.60	1676	05/02/2016	13:25	36.95	29.37	<i>M_w</i>	4.00
1620	12/03/2013	20:47	39.12	29.06	<i>MI</i>	4.10	1677	12/03/2016	15:44	36.59	27.98	<i>M_w</i>	4.20
1621	21/04/2013	01:45	36.19	28.19	<i>MI</i>	4.40	1678	03/07/2016	18:05	38.76	27.81	<i>M_w</i>	4.00
1622	28/04/2013	16:30	36.94	27.77	<i>MI</i>	4.20	1679	09/07/2016	07:15	36.97	30.46	<i>M_w</i>	4.30
1623	15/05/2013	16:52	36.98	30.50	<i>MI</i>	4.30	1680	17/07/2016	20:58	38.00	29.40	<i>M_w</i>	4.00
1624	16/05/2013	03:02	36.98	28.42	<i>MI</i>	4.60	1681	06/09/2016	05:27	36.29	28.16	<i>M_w</i>	4.20
1625	16/05/2013	21:21	37.01	28.41	<i>MI</i>	4.40	1682	12/09/2016	08:26	38.91	27.75	<i>M_w</i>	4.60
1626	16/05/2013	21:26	37.02	28.37	<i>MI</i>	4.20	1683	12/09/2016	09:29	38.90	27.74	<i>M_w</i>	4.50
1627	29/05/2013	14:43	39.14	29.10	<i>MI</i>	4.00	1684	27/09/2016	18:11	37.93	29.12	<i>M_w</i>	4.00
1628	09/06/2013	14:18	39.14	29.02	<i>MI</i>	4.10	1685	28/09/2016	09:10	37.93	29.13	<i>M_w</i>	4.00
1629	21/06/2013	18:26	36.62	27.93	<i>MI</i>	4.20	1686	09/10/2016	06:21	39.01	27.73	<i>M_w</i>	4.00
1630	07/08/2013	05:20	39.21	29.42	<i>MI</i>	4.40	1687	15/10/2016	02:49	38.93	27.72	<i>M_w</i>	4.10
1631	18/10/2013	01:26	36.75	27.40	<i>MI</i>	4.30	1688	15/10/2016	02:51	38.93	27.72	<i>M_w</i>	4.20
1632	30/10/2013	03:17	36.91	27.54	<i>MI</i>	4.00	1689	17/10/2016	01:30	37.93	26.93	<i>M_w</i>	4.40
1633	25/12/2013	18:11	36.99	31.04	<i>M_w</i>	4.10	1690	15/12/2016	16:43	37.10	28.64	<i>M_w</i>	4.20
1634	29/01/2014	10:02	36.07	29.06	<i>M_w</i>	4.10	1691	04/01/2017	00:08	36.28	29.26	<i>M_w</i>	4.10
1635	19/04/2014	23:39	37.03	28.88	<i>M_w</i>	4.00	1692	25/01/2017	01:19	36.75	27.66	<i>M_w</i>	4.30
1636	01/05/2014	14:16	38.02	27.05	<i>M_w</i>	4.10	1693	29/03/2017	18:10	38.20	31.06	<i>M_w</i>	4.00
1637	01/05/2014	17:33	37.03	27.46	<i>M_w</i>	4.10	1694	02/04/2017	05:32	38.63	27.57	<i>M_w</i>	4.30
1638	03/05/2014	04:46	36.33	28.86	<i>M_w</i>	4.10	1695	04/04/2017	13:00	38.63	27.58	<i>M_w</i>	4.00
1639	20/06/2014	13:59	36.36	28.58	<i>M_w</i>	4.30	1696	13/04/2017	16:22	37.15	28.65	<i>M_w</i>	5.00
1640	15/07/2014	12:25	39.13	29.00	<i>M_w</i>	4.10	1697	19/04/2017	11:23	38.64	27.63	<i>M_w</i>	4.20
1641	20/07/2014	02:46	36.74	28.11	<i>M_w</i>	4.00	1698	20/04/2017	14:11	39.40	28.46	<i>M_w</i>	4.20
1642	13/08/2014	09:42	36.93	27.65	<i>M_w</i>	4.10	1699	21/04/2017	13:09	38.79	29.05	<i>M_w</i>	4.90
1643	15/08/2014	04:00	37.02	27.39	<i>MI</i>	4.00	1700	21/04/2017	14:12	38.63	27.59	<i>M_w</i>	4.90
1644	24/08/2014	19:43	37.64	30.64	<i>M_w</i>	4.80	1701	08/05/2017	08:47	37.87	27.14	<i>M_w</i>	4.20
1645	01/10/2014	07:16	36.96	29.37	<i>M_w</i>	4.20	1702	12/05/2017	05:55	37.87	27.14	<i>M_w</i>	4.20

Tablo F.1 (devam): Denizli için oluşturulan deprem kataloğu

Sıra	Tarih	Saat	Enlem	Boylam	Ölçek	Büy.	Sıra	Tarih	Saat	Enlem	Boylam	Ölçek	Büy.
1703	27/05/2017	15:53	38.74	27.82	<i>M_w</i>	5.10	1737	22/07/2017	00:34	36.92	27.55	<i>M_w</i>	4.00
1704	28/05/2017	02:14	38.74	27.80	<i>M_w</i>	4.40	1738	22/07/2017	04:53	36.90	27.58	<i>M_w</i>	4.00
1705	28/05/2017	02:16	38.74	27.85	<i>M_w</i>	4.00	1739	22/07/2017	17:09	36.91	27.31	<i>M_w</i>	4.60
1706	28/05/2017	02:50	38.72	27.78	<i>M_w</i>	4.60	1740	30/07/2017	07:02	37.00	27.59	<i>M_w</i>	4.30
1707	28/05/2017	02:52	38.71	27.80	<i>M_w</i>	4.80	1741	30/07/2017	10:56	36.99	27.60	<i>M_w</i>	4.00
1708	28/05/2017	04:38	38.74	27.81	<i>M_w</i>	4.50	1742	30/07/2017	17:51	36.96	27.63	<i>M_w</i>	4.40
1709	28/05/2017	07:34	38.78	27.78	<i>M_w</i>	4.10	1743	07/08/2017	05:18	37.00	27.61	<i>M_w</i>	4.60
1710	28/05/2017	08:49	38.73	27.80	<i>M_w</i>	4.10	1744	07/08/2017	05:44	36.96	27.62	<i>M_w</i>	4.10
1711	28/05/2017	11:04	38.74	27.80	<i>M_w</i>	4.80	1745	07/08/2017	18:25	36.99	27.63	<i>M_w</i>	4.10
1712	22/06/2017	08:56	38.63	27.54	<i>M_w</i>	4.00	1746	08/08/2017	01:46	36.97	27.65	<i>M_w</i>	4.30
1713	05/07/2017	07:26	38.62	27.62	<i>M_w</i>	4.10	1747	08/08/2017	07:42	36.96	27.62	<i>M_w</i>	5.10
1714	19/07/2017	04:42	38.76	27.82	<i>M_w</i>	4.00	1748	09/08/2017	20:14	39.30	27.89	<i>M_w</i>	4.00
1715	20/07/2017	22:31	36.97	27.52	<i>M_w</i>	6.30	1749	09/08/2017	22:56	36.98	27.66	<i>M_w</i>	4.10
1716	20/07/2017	22:37	36.86	27.66	<i>M_l</i>	4.00	1750	13/08/2017	11:16	37.11	27.69	<i>M_w</i>	4.80
1717	20/07/2017	22:48	36.91	27.38	<i>M_w</i>	4.40	1751	13/08/2017	12:28	37.12	27.69	<i>M_w</i>	4.10
1718	20/07/2017	22:52	36.88	27.37	<i>M_w</i>	4.60	1752	13/08/2017	16:35	37.11	27.73	<i>M_w</i>	4.30
1719	20/07/2017	22:54	36.93	27.58	<i>M_w</i>	4.50	1753	14/08/2017	02:43	37.12	27.70	<i>M_w</i>	4.70
1720	20/07/2017	23:00	36.94	27.41	<i>M_w</i>	4.20	1754	18/08/2017	12:47	36.91	27.65	<i>M_w</i>	4.20
1721	20/07/2017	23:23	36.92	27.27	<i>M_l</i>	4.50	1755	18/08/2017	14:10	36.91	27.62	<i>M_w</i>	4.50
1722	21/07/2017	00:16	37.06	27.32	<i>M_w</i>	4.10	1756	08/09/2017	23:23	37.12	27.73	<i>M_w</i>	4.00
1723	21/07/2017	00:53	36.79	27.31	<i>M_w</i>	4.20	1757	16/09/2017	08:33	37.13	27.72	<i>M_w</i>	4.20
1724	21/07/2017	00:57	36.85	27.57	<i>M_w</i>	4.30	1758	24/09/2017	16:57	36.92	27.23	<i>M_w</i>	4.50
1725	21/07/2017	01:25	36.95	27.39	<i>M_w</i>	4.10	1759	29/09/2017	16:08	37.04	30.67	<i>M_w</i>	4.40
1726	21/07/2017	01:35	36.91	27.58	<i>M_w</i>	4.30	1760	05/10/2017	13:43	37.87	29.51	<i>M_w</i>	4.00
1727	21/07/2017	01:38	36.91	27.57	<i>M_l</i>	4.40	1761	10/10/2017	19:59	36.92	27.30	<i>M_w</i>	4.20
1728	21/07/2017	01:50	36.97	27.41	<i>M_w</i>	4.20	1762	24/10/2017	09:36	36.95	27.39	<i>M_w</i>	4.60
1729	21/07/2017	02:12	36.87	27.43	<i>M_w</i>	4.50	1763	04/11/2017	21:54	36.73	28.19	<i>M_w</i>	4.20
1730	21/07/2017	03:59	36.91	27.55	<i>M_l</i>	4.10	1764	07/11/2017	02:40	36.32	28.44	<i>M_w</i>	4.40
1731	21/07/2017	05:03	36.92	27.61	<i>M_w</i>	4.50	1765	11/11/2017	08:56	38.86	27.47	<i>M_w</i>	4.40
1732	21/07/2017	05:05	36.88	27.65	<i>M_w</i>	4.10	1766	22/11/2017	20:22	37.12	28.59	<i>M_w</i>	5.00
1733	21/07/2017	05:13	36.90	27.65	<i>M_w</i>	4.20	1767	24/11/2017	21:49	37.11	28.60	<i>M_w</i>	5.10
1734	21/07/2017	05:52	36.96	27.38	<i>M_w</i>	4.10	1768	04/01/2018	04:53	39.34	27.98	<i>M_w</i>	4.00
1735	21/07/2017	09:55	36.91	27.68	<i>M_w</i>	4.20	1769	05/01/2018	04:33	37.11	28.61	<i>M_w</i>	4.20
1736	21/07/2017	17:09	36.94	27.33	<i>M_w</i>	5.00							



Şekil F.1: Tez kapsamında ele alınan mevcut binaların bölgedeki konumu
(20 adet TDY1975&20 adet TDY1998)

13. ÖZGEÇMİŞ

Adı Soyadı : Ali Kalkan

Doğum Yeri ve Tarihi : Sarıgöl/Manisa 22/09/1989

Lisans Üniversite : Pamukkale Üniversitesi

Y. Lisans Üniversite : Pamukkale Üniversitesi

Elektronik posta : akalkan@pau.edu.tr

İletişim Adresi : Pamukkale Üniversitesi İnşaat Mühendisliği
Bölümü Pamukkale/Denizli

Yayın Listesi :

• Palanci, M., Senel, S. M. and Kalkan, A., “Assessment of one story existing precast industrial buildings in Turkey based on fragility curves”, *Bull. Earthquake Eng.*, 15(1), 271-289, (2017).

• Palanci, M., Kalkan, A. and Senel, S. M., “Investigation of shear effects on the capacity and demand estimation of RC buildings”, *Struct. Eng. Mech.*, 60(6), 1021-1038, (2016).

• Şenel, Ş. M., Palanci, M., Kalkan, A. ve Yılmaz, Y., “Mevcut prefabrik binaların mafsallı birleşimlerinin kesme ve devrilme güvenliğinin araştırılması”, *Tek. Dergi*, 24(4), 6505-6528, (2013).

Konferans listesi :

• Palanci, M., Kalkan A. and Senel, S.M., “investigation of seismic fragilities of precast industrial buildings in Turkey”, In: *Proceedings of 16th European Conference on Earthquake Engineering*, Thessaloniki, (2018).

• Palanci, M., Kalkan A. and Senel, S.M., “A rapid approach for performance screening of 1-story hinge connected precast buildings”, In: *Proceedings of 16th European Conference on Earthquake Engineering*, Thessaloniki, (2018).

• Cirak, C., Kalkan, A., Palanci, M. and Senel, S.M., “Comparison of the methods approved for the seismic performance assessment of existing buildings”, In: *Proceedings of 16th European Conference on Earthquake Engineering*, Thessaloniki, (2018).

• Palanci, M., Senel, S.M. and Kalkan, A., “Derivation of damage probability matrices for hinge connected precast buildings”, *International Conference on Advances and Innovations in Engineering*, Elazığ, (2017).

• Cirak, C., Kalkan, A., Palanci, M. and Senel, S.M., “Evaluation of existing buildings seismic performance with detailed assessment methods”, In: *Proceedings of 4rd International Conference on Earthquake Engineering and Seismology*, Eskişehir, (2017).

• Kalkan, A., Palanci, M. ve Şenel, Ş. M., “İki katlı ve mafsallı prefabrik yapıların kapasite eğrilerinin yapısal parametrelere bağlı tahmini”, *8. Ulusal Deprem Mühendisliği Konferansı*, İstanbul, (2015).

• Palanci, M., Kalkan, A. ve Şenel, Ş. M., “Kesme etkileri gözönünde alınarak modellenen mevcut betonarme binalarda deprem talebinin değerlendirilmesi”, *8. Ulusal Deprem Mühendisliği Konferansı*, İstanbul, (2015).

• Palanci, M., Kalkan, A. and Senel, S. M., “Sensitivity of various parameters on recent ground motion predictions”, *11th International Congress on Advances in Civil Engineering*, Istanbul, (2014).

• Palanci, M., Kalkan, A., Senel, S.M. and Yilmaz, Y., “Investigation of effect of different modeling techniques on existing buildings performance”, *11th International Congress on Advances in Civil Engineering*, Istanbul, (2014).

- Palanci, M., Kalkan, A., Yılmaz, Y. and Senel, S.M., “Effect of various hysteretic models on seismic fragilities of precast industrial buildings”, *2. European Conference on Earthquake Engineering and Seismology*, Istanbul, (2014).
- Senel, S.M., Palanci, M., Kalkan, A. and Yılmaz, Y., “Investigation of member damage limits and building performance states in existing RC buildings”, *2. European Conference on Earthquake Engineering and Seismology*, Istanbul, (2014).
- Şenel, Ş. M., Palanci, M. ve Kalkan, A. ve Yılmaz, Y., “2007 yönetmeliğinde tarif edilen hasar sınırlarının bina performans düzeyleri ile ilişkisi”, *2. Türkiye Deprem Mühendisliği ve Sismoloji Konferansı*, Hatay, (2013).
- Şenel, Ş. M., Palanci, M., Yılmaz, Y. ve Kalkan, A., “Yapısal parametrelerin tek katlı mafsallı prefabrik binaların hasar görebilirlik eğrileri üzerindeki etkisi”, *2. Türkiye Deprem Mühendisliği ve Sismoloji Konferansı*, Hatay, (2013).
- Şenel, Ş. M., Palanci, M., Kalkan, A. ve Yılmaz, Y., “Modelleme tekniklerinin mevcut binaların deprem performansı üzerine etkilerinin araştırılması”, *2. Türkiye Deprem Mühendisliği ve Sismoloji Konferansı*, Hatay, (2013).
- Palanci, M., Senel, S. M., Kalkan A. and Yılmaz Y., “Investigation of safety of connection region in hinge jointed precast buildings”, *10th International Congress on Advances in Civil Engineering*, Ankara, (2012).

Tablo C.1: Mevcut binalara ait yerdeğiştirme talepleri

Bina Adı	Analiz Yönü	İvme Kaydı	MYH Grup No	Δ_d (cm)	Bina Adı	Analiz Yönü	İvme Kaydı	MYH Grup No	Δ_d (cm)
BN1SN3	XZ	CAP-FOR090	MYH1	0.60	BO1SN3	XZ	CAP-FOR090	MYH1	1.64
BN1SN3	XZ	CHI-CHY010-N	MYH1	1.81	BO1SN3	XZ	CHI-CHY010-N	MYH1	2.47
BN1SN3	XZ	CHI-CHY41W	MYH1	2.20	BO1SN3	XZ	CHI-CHY41W	MYH1	2.74
BN1SN3	XZ	CHI-CHY046N	MYH1	1.54	BO1SN3	XZ	CHI-CHY046N	MYH1	1.85
BN1SN3	XZ	CHI-CHY047-E	MYH1	1.67	BO1SN3	XZ	CHI-CHY047-E	MYH1	2.40
BN1SN3	XZ	COA-CAK270	MYH1	1.86	BO1SN3	XZ	COA-CAK270	MYH1	2.96
BN1SN3	XZ	COY-G06320	MYH1	3.37	BO1SN3	XZ	COY-G06320	MYH1	3.73
BN1SN3	XZ	FRI-TMZ000	MYH1	2.37	BO1SN3	XZ	FRI-TMZ000	MYH1	2.63
BN1SN3	XZ	IMP-E12230	MYH1	1.01	BO1SN3	XZ	IMP-E12230	MYH1	1.28
BN1SN3	XZ	IMP-SAH000	MYH1	1.47	BO1SN3	XZ	IMP-SAH000	MYH1	2.58
BN1SN3	XZ	IRP-BIS000	MYH1	0.88	BO1SN3	XZ	IRP-BIS000	MYH1	1.28
BN1SN3	XZ	KOC-IZM180	MYH1	1.35	BO1SN3	XZ	KOC-IZM180	MYH1	1.97
BN1SN3	XZ	LAN-ABY090	MYH1	1.24	BO1SN3	XZ	LAN-ABY090	MYH1	1.70
BN1SN3	XZ	LAN-DSP000	MYH1	1.49	BO1SN3	XZ	LAN-DSP000	MYH1	2.18
BN1SN3	XZ	LIV-DVD246	MYH1	1.31	BO1SN3	XZ	LIV-DVD246	MYH1	1.64
BN1SN3	XZ	LOM-BRK090	MYH1	0.81	BO1SN3	XZ	LOM-BRK090	MYH1	1.74
BN1SN3	XZ	LOM-CLD285	MYH1	1.36	BO1SN3	XZ	LOM-CLD285	MYH1	2.69
BN1SN3	XZ	LOM-GGV337	MYH1	2.12	BO1SN3	XZ	LOM-GGV337	MYH1	2.53
BN1SN3	XZ	NOR-CWC270	MYH1	1.84	BO1SN3	XZ	NOR-CWC270	MYH1	3.32
BN1SN3	XZ	NOR-LOS090	MYH1	1.89	BO1SN3	XZ	NOR-LOS090	MYH1	1.95
BN1SN3	XZ	NOR-LOS360	MYH1	1.71	BO1SN3	XZ	NOR-LOS360	MYH1	2.83
BN1SN3	XZ	PRK-CHO355	MYH1	2.85	BO1SN3	XZ	PRK-CHO355	MYH1	3.60
BN1SN3	XZ	PRK-TMB205	MYH1	2.64	BO1SN3	XZ	PRK-TMB205	MYH1	3.19
BN1SN3	XZ	SUP-PLS135	MYH1	1.66	BO1SN3	XZ	SUP-PLS135	MYH1	2.67
BN1SN3	XZ	TAB-DAY-LN	MYH1	2.08	BO1SN3	XZ	TAB-DAY-LN	MYH1	2.23
BN1SN3	XZ	VIC-CPE315	MYH1	1.79	BO1SN3	XZ	VIC-CPE315	MYH1	2.88
BN1SN3	XZ	WHI-ALH180	MYH1	2.22	BO1SN3	XZ	WHI-ALH180	MYH1	2.87
BN1SN3	XZ	WHI-GRN180	MYH1	1.72	BO1SN3	XZ	WHI-GRN180	MYH1	3.30
BN1SN3	XZ	WHI-OBR360	MYH1	1.65	BO1SN3	XZ	WHI-OBR360	MYH1	3.11
BN1SN3	YZ	CAP-FOR090	MYH1	1.64	BO1SN3	YZ	CAP-FOR090	MYH1	1.29
BN1SN3	YZ	CHI-CHY010-N	MYH1	3.40	BO1SN3	YZ	CHI-CHY010-N	MYH1	2.50
BN1SN3	YZ	CHI-CHY41W	MYH1	3.05	BO1SN3	YZ	CHI-CHY41W	MYH1	2.24
BN1SN3	YZ	CHI-CHY046N	MYH1	1.94	BO1SN3	YZ	CHI-CHY046N	MYH1	1.75
BN1SN3	YZ	CHI-CHY047-E	MYH1	2.24	BO1SN3	YZ	CHI-CHY047-E	MYH1	2.24
BN1SN3	YZ	COA-CAK270	MYH1	2.97	BO1SN3	YZ	COA-CAK270	MYH1	2.28
BN1SN3	YZ	COY-G06320	MYH1	3.21	BO1SN3	YZ	COY-G06320	MYH1	4.01
BN1SN3	YZ	FRI-TMZ000	MYH1	2.91	BO1SN3	YZ	FRI-TMZ000	MYH1	2.55
BN1SN3	YZ	IMP-E12230	MYH1	1.41	BO1SN3	YZ	IMP-E12230	MYH1	1.17
BN1SN3	YZ	IMP-SAH000	MYH1	3.24	BO1SN3	YZ	IMP-SAH000	MYH1	1.99
BN1SN3	YZ	IRP-BIS000	MYH1	1.36	BO1SN3	YZ	IRP-BIS000	MYH1	0.83
BN1SN3	YZ	KOC-IZM180	MYH1	1.87	BO1SN3	YZ	KOC-IZM180	MYH1	1.41
BN1SN3	YZ	LAN-ABY090	MYH1	1.84	BO1SN3	YZ	LAN-ABY090	MYH1	1.12
BN1SN3	YZ	LAN-DSP000	MYH1	2.26	BO1SN3	YZ	LAN-DSP000	MYH1	2.18
BN1SN3	YZ	LIV-DVD246	MYH1	1.62	BO1SN3	YZ	LIV-DVD246	MYH1	1.50
BN1SN3	YZ	LOM-BRK090	MYH1	1.59	BO1SN3	YZ	LOM-BRK090	MYH1	1.38
BN1SN3	YZ	LOM-CLD285	MYH1	3.03	BO1SN3	YZ	LOM-CLD285	MYH1	2.13
BN1SN3	YZ	LOM-GGV337	MYH1	2.71	BO1SN3	YZ	LOM-GGV337	MYH1	2.14
BN1SN3	YZ	NOR-CWC270	MYH1	2.85	BO1SN3	YZ	NOR-CWC270	MYH1	2.71
BN1SN3	YZ	NOR-LOS090	MYH1	2.17	BO1SN3	YZ	NOR-LOS090	MYH1	1.53
BN1SN3	YZ	NOR-LOS360	MYH1	2.42	BO1SN3	YZ	NOR-LOS360	MYH1	3.28
BN1SN3	YZ	PRK-CHO355	MYH1	3.37	BO1SN3	YZ	PRK-CHO355	MYH1	2.95
BN1SN3	YZ	PRK-TMB205	MYH1	3.08	BO1SN3	YZ	PRK-TMB205	MYH1	3.34
BN1SN3	YZ	SUP-PLS135	MYH1	3.04	BO1SN3	YZ	SUP-PLS135	MYH1	2.23
BN1SN3	YZ	TAB-DAY-LN	MYH1	2.44	BO1SN3	YZ	TAB-DAY-LN	MYH1	2.49
BN1SN3	YZ	VIC-CPE315	MYH1	3.31	BO1SN3	YZ	VIC-CPE315	MYH1	2.42
BN1SN3	YZ	WHI-ALH180	MYH1	3.67	BO1SN3	YZ	WHI-ALH180	MYH1	2.27
BN1SN3	YZ	WHI-GRN180	MYH1	4.00	BO1SN3	YZ	WHI-GRN180	MYH1	2.68
BN1SN3	YZ	WHI-OBR360	MYH1	3.24	BO1SN3	YZ	WHI-OBR360	MYH1	2.35
BN1SN3	XZ	CHI-TCU141-N	MYH2	0.58	BO1SN3	XZ	CHI-TCU141-N	MYH2	0.97

Tablo C.1 (devam): Mevcut binalara ait yerdeğiştirme talepleri

Bina Adı	Analiz Yönü	İvme Kaydı	MYH Grup No	Δ_d (cm)	Bina Adı	Analiz Yönü	İvme Kaydı	MYH Grup No	Δ_d (cm)
BN1SN3	XZ	COA-PV1090	MYH2	1.43	BO1SN3	XZ	COA-PV1090	MYH2	3.09
BN1SN3	XZ	COA-Z14090	MYH2	2.17	BO1SN3	XZ	COA-Z14090	MYH2	2.89
BN1SN3	XZ	COY-G02140	MYH2	2.90	BO1SN3	XZ	COY-G02140	MYH2	3.00
BN1SN3	XZ	COY-G03140	MYH2	1.89	BO1SN3	XZ	COY-G03140	MYH2	2.72
BN1SN3	XZ	IMP-AER315	MYH2	1.78	BO1SN3	XZ	IMP-AER315	MYH2	3.41
BN1SN3	XZ	IMP-DLT262	MYH2	1.74	BO1SN3	XZ	IMP-DLT262	MYH2	3.55
BN1SN3	XZ	KOB-KAK090	MYH2	2.40	BO1SN3	XZ	KOB-KAK090	MYH2	4.91
BN1SN3	XZ	KOB-SHI090	MYH2	1.55	BO1SN3	XZ	KOB-SHI090	MYH2	3.75
BN1SN3	XZ	LAN-CLVLN	MYH2	2.90	BO1SN3	XZ	LAN-CLVLN	MYH2	2.91
BN1SN3	XZ	LAN-JOS000	MYH2	2.23	BO1SN3	XZ	LAN-JOS000	MYH2	4.24
BN1SN3	XZ	LOM-CAP090	MYH2	3.09	BO1SN3	XZ	LOM-CAP090	MYH2	8.00
BN1SN3	XZ	LOM-GGV067	MYH2	2.42	BO1SN3	XZ	LOM-GGV067	MYH2	2.80
BN1SN3	XZ	LOM-HSP090	MYH2	1.39	BO1SN3	XZ	LOM-HSP090	MYH2	3.39
BN1SN3	XZ	LOM-SFO000	MYH2	2.62	BO1SN3	XZ	LOM-SFO000	MYH2	2.89
BN1SN3	XZ	LOM-SFO090	MYH2	2.80	BO1SN3	XZ	LOM-SFO090	MYH2	3.28
BN1SN3	XZ	LOM-WAH000	MYH2	2.36	BO1SN3	XZ	LOM-WAH000	MYH2	3.09
BN1SN3	XZ	MAM-LUL000	MYH2	2.81	BO1SN3	XZ	MAM-LUL000	MYH2	4.58
BN1SN3	XZ	MOR-AND250	MYH2	2.80	BO1SN3	XZ	MOR-AND250	MYH2	3.42
BN1SN3	XZ	MOR-AND340	MYH2	2.52	BO1SN3	XZ	MOR-AND340	MYH2	3.82
BN1SN3	XZ	NOR-CHL160	MYH2	1.58	BO1SN3	XZ	NOR-CHL160	MYH2	2.92
BN1SN3	XZ	NOR-CWC180	MYH2	2.05	BO1SN3	XZ	NOR-CWC180	MYH2	1.66
BN1SN3	XZ	NOR-SAT090	MYH2	3.04	BO1SN3	XZ	NOR-SAT090	MYH2	3.62
BN1SN3	XZ	NPAL-DSP000	MYH2	2.30	BO1SN3	XZ	NPAL-DSP000	MYH2	2.89
BN1SN3	XZ	PRK-CHO085	MYH2	2.69	BO1SN3	XZ	PRK-CHO085	MYH2	2.93
BN1SN3	XZ	SFD-ORR291	MYH2	1.45	BO1SN3	XZ	SFD-ORR291	MYH2	2.93
BN1SN3	XZ	SPI-GUK000	MYH2	1.34	BO1SN3	XZ	SPI-GUK000	MYH2	2.20
BN1SN3	XZ	TAB-DAY-TR	MYH2	2.38	BO1SN3	XZ	TAB-DAY-TR	MYH2	4.87
BN1SN3	XZ	WES-PTS315	MYH2	1.32	BO1SN3	XZ	WES-PTS315	MYH2	2.99
BN1SN3	XZ	WHI-DEL000	MYH2	1.74	BO1SN3	XZ	WHI-DEL000	MYH2	3.89
BN1SN3	XZ	WHI-DWN180	MYH2	1.55	BO1SN3	XZ	WHI-DWN180	MYH2	2.84
BN1SN3	YZ	CHI-TCU141-N	MYH2	0.93	BO1SN3	YZ	CHI-TCU141-N	MYH2	0.79
BN1SN3	YZ	COA-PV1090	MYH2	3.18	BO1SN3	YZ	COA-PV1090	MYH2	2.34
BN1SN3	YZ	COA-Z14090	MYH2	3.77	BO1SN3	YZ	COA-Z14090	MYH2	2.94
BN1SN3	YZ	COY-G02140	MYH2	3.07	BO1SN3	YZ	COY-G02140	MYH2	2.69
BN1SN3	YZ	COY-G03140	MYH2	2.66	BO1SN3	YZ	COY-G03140	MYH2	2.45
BN1SN3	YZ	IMP-AER315	MYH2	2.81	BO1SN3	YZ	IMP-AER315	MYH2	2.64
BN1SN3	YZ	IMP-DLT262	MYH2	3.66	BO1SN3	YZ	IMP-DLT262	MYH2	2.54
BN1SN3	YZ	KOB-KAK090	MYH2	3.81	BO1SN3	YZ	KOB-KAK090	MYH2	3.95
BN1SN3	YZ	KOB-SHI090	MYH2	3.70	BO1SN3	YZ	KOB-SHI090	MYH2	2.50
BN1SN3	YZ	LAN-CLVLN	MYH2	3.93	BO1SN3	YZ	LAN-CLVLN	MYH2	3.23
BN1SN3	YZ	LAN-JOS000	MYH2	5.01	BO1SN3	YZ	LAN-JOS000	MYH2	3.42
BN1SN3	YZ	LOM-CAP090	MYH2	4.53	BO1SN3	YZ	LOM-CAP090	MYH2	4.17
BN1SN3	YZ	LOM-GGV067	MYH2	4.18	BO1SN3	YZ	LOM-GGV067	MYH2	2.37
BN1SN3	YZ	LOM-HSP090	MYH2	2.34	BO1SN3	YZ	LOM-HSP090	MYH2	2.50
BN1SN3	YZ	LOM-SFO000	MYH2	3.45	BO1SN3	YZ	LOM-SFO000	MYH2	3.15
BN1SN3	YZ	LOM-SFO090	MYH2	2.42	BO1SN3	YZ	LOM-SFO090	MYH2	2.55
BN1SN3	YZ	LOM-WAH000	MYH2	2.96	BO1SN3	YZ	LOM-WAH000	MYH2	2.50
BN1SN3	YZ	MAM-LUL000	MYH2	5.12	BO1SN3	YZ	MAM-LUL000	MYH2	5.84
BN1SN3	YZ	MOR-AND250	MYH2	5.34	BO1SN3	YZ	MOR-AND250	MYH2	3.76
BN1SN3	YZ	MOR-AND340	MYH2	4.77	BO1SN3	YZ	MOR-AND340	MYH2	3.16
BN1SN3	YZ	NOR-CHL160	MYH2	3.17	BO1SN3	YZ	NOR-CHL160	MYH2	2.06
BN1SN3	YZ	NOR-CWC180	MYH2	1.70	BO1SN3	YZ	NOR-CWC180	MYH2	1.86
BN1SN3	YZ	NOR-SAT090	MYH2	3.62	BO1SN3	YZ	NOR-SAT090	MYH2	3.28
BN1SN3	YZ	NPAL-DSP000	MYH2	3.25	BO1SN3	YZ	NPAL-DSP000	MYH2	2.04
BN1SN3	YZ	PRK-CHO085	MYH2	4.36	BO1SN3	YZ	PRK-CHO085	MYH2	2.58
BN1SN3	YZ	SFD-ORR291	MYH2	2.70	BO1SN3	YZ	SFD-ORR291	MYH2	2.35
BN1SN3	YZ	SPI-GUK000	MYH2	1.92	BO1SN3	YZ	SPI-GUK000	MYH2	1.84
BN1SN3	YZ	TAB-DAY-TR	MYH2	4.85	BO1SN3	YZ	TAB-DAY-TR	MYH2	3.53
BN1SN3	YZ	WES-PTS315	MYH2	2.59	BO1SN3	YZ	WES-PTS315	MYH2	1.86

Tablo C.1 (devam): Mevcut binalara ait yerdeğiştirme talepleri

Bina Adı	Analiz Yönü	İvme Kaydı	MYH Grup No	Δ_d (cm)	Bina Adı	Analiz Yönü	İvme Kaydı	MYH Grup No	Δ_d (cm)
BN1SN3	YZ	WHI-DEL000	MYH2	3.40	BO1SN3	YZ	WHI-DEL000	MYH2	2.72
BN1SN3	YZ	WHI-DWN180	MYH2	2.54	BO1SN3	YZ	WHI-DWN180	MYH2	2.18
BN1SN3	XZ	CAP-FOR000	MYH3	0.82	BO1SN3	XZ	CAP-FOR000	MYH3	1.64
BN1SN3	XZ	CHI-CHY29W	MYH3	1.46	BO1SN3	XZ	CHI-CHY29W	MYH3	4.28
BN1SN3	XZ	CHI-TCU046N	MYH3	1.15	BO1SN3	XZ	CHI-TCU046N	MYH3	1.19
BN1SN3	XZ	CHI-TCU112-N	MYH3	0.54	BO1SN3	XZ	CHI-TCU112-N	MYH3	1.35
BN1SN3	XZ	CHI-TCU118-N	MYH3	0.96	BO1SN3	XZ	CHI-TCU118-N	MYH3	1.38
BN1SN3	XZ	FRI-TMZ270	MYH3	2.58	BO1SN3	XZ	FRI-TMZ270	MYH3	4.79
BN1SN3	XZ	IMP-ELC2-140	MYH3	2.14	BO1SN3	XZ	IMP-ELC2-140	MYH3	3.84
BN1SN3	XZ	IMP-ELC11-140	MYH3	2.44	BO1SN3	XZ	IMP-ELC11-140	MYH3	3.05
BN1SN3	XZ	IMP-SAH270	MYH3	3.52	BO1SN3	XZ	IMP-SAH270	MYH3	3.99
BN1SN3	XZ	KOC-AMB090	MYH3	1.59	BO1SN3	XZ	KOC-AMB090	MYH3	2.62
BN1SN3	XZ	KOC-GBZ270	MYH3	1.14	BO1SN3	XZ	KOC-GBZ270	MYH3	2.36
BN1SN3	XZ	KOC-IZM090	MYH3	2.01	BO1SN3	XZ	KOC-IZM090	MYH3	1.61
BN1SN3	XZ	LAN-LUC000	MYH3	2.84	BO1SN3	XZ	LAN-LUC000	MYH3	2.99
BN1SN3	XZ	LAN-YER360	MYH3	1.36	BO1SN3	XZ	LAN-YER360	MYH3	2.00
BN1SN3	XZ	LOM-A02133	MYH3	0.93	BO1SN3	XZ	LOM-A02133	MYH3	2.13
BN1SN3	XZ	LOM-G01000	MYH3	3.55	BO1SN3	XZ	LOM-G01000	MYH3	3.03
BN1SN3	XZ	LOM-G01090	MYH3	4.49	BO1SN3	XZ	LOM-G01090	MYH3	4.08
BN1SN3	XZ	LOM-G02000	MYH3	2.83	BO1SN3	XZ	LOM-G02000	MYH3	4.65
BN1SN3	XZ	LOM-TRI090	MYH3	1.49	BO1SN3	XZ	LOM-TRI090	MYH3	2.16
BN1SN3	XZ	MAM-LUL090	MYH3	2.75	BO1SN3	XZ	MAM-LUL090	MYH3	3.64
BN1SN3	XZ	NOR-CNP106	MYH3	2.43	BO1SN3	XZ	NOR-CNP106	MYH3	4.97
BN1SN3	XZ	NOR-PAC265	MYH3	2.58	BO1SN3	XZ	NOR-PAC265	MYH3	3.55
BN1SN3	XZ	NOR-PKC090	MYH3	2.45	BO1SN3	XZ	NOR-PKC090	MYH3	4.93
BN1SN3	XZ	NOR-WIL180	MYH3	1.24	BO1SN3	XZ	NOR-WIL180	MYH3	3.58
BN1SN3	XZ	NPAL-MVH045	MYH3	1.73	BO1SN3	XZ	NPAL-MVH045	MYH3	1.91
BN1SN3	XZ	NPAL-NPS300	MYH3	4.19	BO1SN3	XZ	NPAL-NPS300	MYH3	5.06
BN1SN3	XZ	NPAL-WWT270	MYH3	3.98	BO1SN3	XZ	NPAL-WWT270	MYH3	7.22
BN1SN3	XZ	SUP-IVW090	MYH3	1.21	BO1SN3	XZ	SUP-IVW090	MYH3	1.85
BN1SN3	XZ	SUP-IVW360	MYH3	2.18	BO1SN3	XZ	SUP-IVW360	MYH3	2.39
BN1SN3	XZ	SUP-KRN360	MYH3	0.94	BO1SN3	XZ	SUP-KRN360	MYH3	2.10
BN1SN3	XZ	SUP-POE360	MYH3	2.40	BO1SN3	XZ	SUP-POE360	MYH3	2.42
BN1SN3	XZ	SUP-SUP045	MYH3	2.78	BO1SN3	XZ	SUP-SUP045	MYH3	4.29
BN1SN3	XZ	VIC-CPE045	MYH3	3.08	BO1SN3	XZ	VIC-CPE045	MYH3	6.59
BN1SN3	XZ	WHI-OR2010	MYH3	2.05	BO1SN3	XZ	WHI-OR2010	MYH3	3.67
BN1SN3	YZ	CAP-FOR000	MYH3	1.56	BO1SN3	YZ	CAP-FOR000	MYH3	1.14
BN1SN3	YZ	CHI-CHY29W	MYH3	3.80	BO1SN3	YZ	CHI-CHY29W	MYH3	3.10
BN1SN3	YZ	CHI-TCU046N	MYH3	1.34	BO1SN3	YZ	CHI-TCU046N	MYH3	1.16
BN1SN3	YZ	CHI-TCU112-N	MYH3	1.18	BO1SN3	YZ	CHI-TCU112-N	MYH3	0.98
BN1SN3	YZ	CHI-TCU118-N	MYH3	1.34	BO1SN3	YZ	CHI-TCU118-N	MYH3	1.24
BN1SN3	YZ	FRI-TMZ270	MYH3	5.27	BO1SN3	YZ	FRI-TMZ270	MYH3	3.74
BN1SN3	YZ	IMP-ELC2-140	MYH3	3.92	BO1SN3	YZ	IMP-ELC2-140	MYH3	2.56
BN1SN3	YZ	IMP-ELC11-140	MYH3	3.85	BO1SN3	YZ	IMP-ELC11-140	MYH3	2.42
BN1SN3	YZ	IMP-SAH270	MYH3	4.56	BO1SN3	YZ	IMP-SAH270	MYH3	4.61
BN1SN3	YZ	KOC-AMB090	MYH3	2.77	BO1SN3	YZ	KOC-AMB090	MYH3	2.71
BN1SN3	YZ	KOC-GBZ270	MYH3	2.55	BO1SN3	YZ	KOC-GBZ270	MYH3	1.69
BN1SN3	YZ	KOC-IZM090	MYH3	1.66	BO1SN3	YZ	KOC-IZM090	MYH3	1.68
BN1SN3	YZ	LAN-LUC000	MYH3	2.99	BO1SN3	YZ	LAN-LUC000	MYH3	2.57
BN1SN3	YZ	LAN-YER360	MYH3	1.95	BO1SN3	YZ	LAN-YER360	MYH3	2.34
BN1SN3	YZ	LOM-A02133	MYH3	1.94	BO1SN3	YZ	LOM-A02133	MYH3	2.18
BN1SN3	YZ	LOM-G01000	MYH3	3.49	BO1SN3	YZ	LOM-G01000	MYH3	2.88
BN1SN3	YZ	LOM-G01090	MYH3	5.95	BO1SN3	YZ	LOM-G01090	MYH3	3.72
BN1SN3	YZ	LOM-G02000	MYH3	4.13	BO1SN3	YZ	LOM-G02000	MYH3	4.46
BN1SN3	YZ	LOM-TRI090	MYH3	2.01	BO1SN3	YZ	LOM-TRI090	MYH3	1.89
BN1SN3	YZ	MAM-LUL090	MYH3	3.72	BO1SN3	YZ	MAM-LUL090	MYH3	3.02
BN1SN3	YZ	NOR-CNP106	MYH3	3.49	BO1SN3	YZ	NOR-CNP106	MYH3	3.88
BN1SN3	YZ	NOR-PAC265	MYH3	5.23	BO1SN3	YZ	NOR-PAC265	MYH3	3.10
BN1SN3	YZ	NOR-PKC090	MYH3	4.87	BO1SN3	YZ	NOR-PKC090	MYH3	3.66

Tablo C.1 (devam): Mevcut binalara ait yerdeğiştirme talepleri

Bina Adı	Analiz Yönü	İvme Kaydı	MYH Grup No	Δ_d (cm)	Bina Adı	Analiz Yönü	İvme Kaydı	MYH Grup No	Δ_d (cm)
BN1SN3	YZ	NOR-WIL180	MYH3	2.82	BO1SN3	YZ	NOR-WIL180	MYH3	2.47
BN1SN3	YZ	NPAL-MVH045	MYH3	2.12	BO1SN3	YZ	NPAL-MVH045	MYH3	1.99
BN1SN3	YZ	NPAL-NPS300	MYH3	5.32	BO1SN3	YZ	NPAL-NPS300	MYH3	4.59
BN1SN3	YZ	NPAL-WWT270	MYH3	6.58	BO1SN3	YZ	NPAL-WWT270	MYH3	5.52
BN1SN3	YZ	SUP-IVW090	MYH3	1.70	BO1SN3	YZ	SUP-IVW090	MYH3	1.76
BN1SN3	YZ	SUP-IVW360	MYH3	2.83	BO1SN3	YZ	SUP-IVW360	MYH3	2.26
BN1SN3	YZ	SUP-KRN360	MYH3	1.98	BO1SN3	YZ	SUP-KRN360	MYH3	1.34
BN1SN3	YZ	SUP-POE360	MYH3	3.40	BO1SN3	YZ	SUP-POE360	MYH3	3.03
BN1SN3	YZ	SUP-SUP045	MYH3	4.43	BO1SN3	YZ	SUP-SUP045	MYH3	4.48
BN1SN3	YZ	VIC-CPE045	MYH3	5.79	BO1SN3	YZ	VIC-CPE045	MYH3	6.85
BN1SN3	YZ	WHI-OR2010	MYH3	2.78	BO1SN3	YZ	WHI-OR2010	MYH3	2.71
BN1SN3	XZ	CHI-CHY29N	MYH4	1.41	BO1SN3	XZ	CHI-CHY29N	MYH4	4.67
BN1SN3	XZ	CHI-CHY036W	MYH4	1.74	BO1SN3	XZ	CHI-CHY036W	MYH4	4.62
BN1SN3	XZ	CHI-CHY41N	MYH4	5.16	BO1SN3	XZ	CHI-CHY41N	MYH4	8.63
BN1SN3	XZ	CHI-TCU45N	MYH4	2.94	BO1SN3	XZ	CHI-TCU45N	MYH4	8.04
BN1SN3	XZ	CHI-TCU45W	MYH4	4.24	BO1SN3	XZ	CHI-TCU45W	MYH4	4.25
BN1SN3	XZ	CHI-TCU51N	MYH4	1.30	BO1SN3	XZ	CHI-TCU51N	MYH4	2.44
BN1SN3	XZ	COA-PLE135	MYH4	4.75	BO1SN3	XZ	COA-PLE135	MYH4	6.87
BN1SN3	XZ	IMP-BRA225	MYH4	1.11	BO1SN3	XZ	IMP-BRA225	MYH4	0.97
BN1SN3	XZ	IMP-BRA315	MYH4	2.02	BO1SN3	XZ	IMP-BRA315	MYH4	3.29
BN1SN3	XZ	IMP-ECC002	MYH4	1.18	BO1SN3	XZ	IMP-ECC002	MYH4	2.66
BN1SN3	XZ	IMP-ELC4-140	MYH4	4.19	BO1SN3	XZ	IMP-ELC4-140	MYH4	5.42
BN1SN3	XZ	IRP-STU000	MYH4	2.35	BO1SN3	XZ	IRP-STU000	MYH4	3.14
BN1SN3	XZ	KOB-NIS000	MYH4	3.47	BO1SN3	XZ	KOB-NIS000	MYH4	5.75
BN1SN3	XZ	KOB-NIS090	MYH4	2.88	BO1SN3	XZ	KOB-NIS090	MYH4	5.51
BN1SN3	XZ	KOB-SHI000	MYH4	1.59	BO1SN3	XZ	KOB-SHI000	MYH4	4.11
BN1SN3	XZ	KOC-ARC090	MYH4	0.78	BO1SN3	XZ	KOC-ARC090	MYH4	1.12
BN1SN3	XZ	LOM-G02090	MYH4	3.21	BO1SN3	XZ	LOM-G02090	MYH4	3.80
BN1SN3	XZ	LOM-G03000	MYH4	4.14	BO1SN3	XZ	LOM-G03000	MYH4	4.04
BN1SN3	XZ	LOM-HDA255	MYH4	2.25	BO1SN3	XZ	LOM-HDA255	MYH4	4.43
BN1SN3	XZ	LOM-SVL360	MYH4	1.99	BO1SN3	XZ	LOM-SVL360	MYH4	2.15
BN1SN3	XZ	MOR-G06090	MYH4	2.16	BO1SN3	XZ	MOR-G06090	MYH4	4.28
BN1SN3	XZ	MOR-HAL240	MYH4	1.84	BO1SN3	XZ	MOR-HAL240	MYH4	3.85
BN1SN3	XZ	NOR-KAT090	MYH4	4.73	BO1SN3	XZ	NOR-KAT090	MYH4	6.88
BN1SN3	XZ	NOR-SCR090	MYH4	3.86	BO1SN3	XZ	NOR-SCR090	MYH4	3.11
BN1SN3	XZ	NOR-STN020	MYH4	2.59	BO1SN3	XZ	NOR-STN020	MYH4	5.22
BN1SN3	XZ	NPAL-WWT180	MYH4	3.16	BO1SN3	XZ	NPAL-WWT180	MYH4	3.97
BN1SN3	XZ	SUP-POE270	MYH4	2.09	BO1SN3	XZ	SUP-POE270	MYH4	5.57
BN1SN3	XZ	WES-PTS225	MYH4	1.57	BO1SN3	XZ	WES-PTS225	MYH4	3.38
BN1SN3	XZ	WHI-BIR180	MYH4	3.18	BO1SN3	XZ	WHI-BIR180	MYH4	4.10
BN1SN3	XZ	WHI-EJS048	MYH4	2.22	BO1SN3	XZ	WHI-EJS048	MYH4	4.77
BN1SN3	YZ	CHI-CHY29N	MYH4	3.37	BO1SN3	YZ	CHI-CHY29N	MYH4	3.22
BN1SN3	YZ	CHI-CHY036W	MYH4	3.12	BO1SN3	YZ	CHI-CHY036W	MYH4	3.35
BN1SN3	YZ	CHI-CHY41N	MYH4	9.20	BO1SN3	YZ	CHI-CHY41N	MYH4	6.98
BN1SN3	YZ	CHI-TCU45N	MYH4	7.44	BO1SN3	YZ	CHI-TCU45N	MYH4	6.30
BN1SN3	YZ	CHI-TCU45W	MYH4	5.16	BO1SN3	YZ	CHI-TCU45W	MYH4	4.50
BN1SN3	YZ	CHI-TCU51N	MYH4	2.33	BO1SN3	YZ	CHI-TCU51N	MYH4	1.60
BN1SN3	YZ	COA-PLE135	MYH4	5.90	BO1SN3	YZ	COA-PLE135	MYH4	6.29
BN1SN3	YZ	IMP-BRA225	MYH4	1.04	BO1SN3	YZ	IMP-BRA225	MYH4	0.90
BN1SN3	YZ	IMP-BRA315	MYH4	3.14	BO1SN3	YZ	IMP-BRA315	MYH4	2.35
BN1SN3	YZ	IMP-ECC002	MYH4	3.10	BO1SN3	YZ	IMP-ECC002	MYH4	2.00
BN1SN3	YZ	IMP-ELC4-140	MYH4	3.65	BO1SN3	YZ	IMP-ELC4-140	MYH4	3.37
BN1SN3	YZ	IRP-STU000	MYH4	3.35	BO1SN3	YZ	IRP-STU000	MYH4	3.55
BN1SN3	YZ	KOB-NIS000	MYH4	8.20	BO1SN3	YZ	KOB-NIS000	MYH4	6.57
BN1SN3	YZ	KOB-NIS090	MYH4	5.19	BO1SN3	YZ	KOB-NIS090	MYH4	4.98
BN1SN3	YZ	KOB-SHI000	MYH4	3.03	BO1SN3	YZ	KOB-SHI000	MYH4	3.00
BN1SN3	YZ	KOC-ARC090	MYH4	1.18	BO1SN3	YZ	KOC-ARC090	MYH4	1.28
BN1SN3	YZ	LOM-G02090	MYH4	3.58	BO1SN3	YZ	LOM-G02090	MYH4	3.19
BN1SN3	YZ	LOM-G03000	MYH4	4.76	BO1SN3	YZ	LOM-G03000	MYH4	4.44

Tablo C.1 (devam): Mevcut binalara ait yerdeğiştirme talepleri

Bina Adı	Analiz Yönü	İvme Kaydı	MYH Grup No	Δ_d (cm)	Bina Adı	Analiz Yönü	İvme Kaydı	MYH Grup No	Δ_d (cm)
BN1SN3	YZ	LOM-HDA255	MYH4	3.40	BO1SN3	YZ	LOM-HDA255	MYH4	3.92
BN1SN3	YZ	LOM-SVL360	MYH4	2.48	BO1SN3	YZ	LOM-SVL360	MYH4	1.81
BN1SN3	YZ	MOR-G06090	MYH4	3.48	BO1SN3	YZ	MOR-G06090	MYH4	3.00
BN1SN3	YZ	MOR-HAL240	MYH4	4.32	BO1SN3	YZ	MOR-HAL240	MYH4	2.88
BN1SN3	YZ	NOR-KAT090	MYH4	5.86	BO1SN3	YZ	NOR-KAT090	MYH4	7.54
BN1SN3	YZ	NOR-SCR090	MYH4	4.39	BO1SN3	YZ	NOR-SCR090	MYH4	2.94
BN1SN3	YZ	NOR-STN020	MYH4	6.44	BO1SN3	YZ	NOR-STN020	MYH4	4.09
BN1SN3	YZ	NPAL-WWT180	MYH4	6.23	BO1SN3	YZ	NPAL-WWT180	MYH4	4.47
BN1SN3	YZ	SUP-POE270	MYH4	5.29	BO1SN3	YZ	SUP-POE270	MYH4	4.74
BN1SN3	YZ	WES-PTS225	MYH4	2.50	BO1SN3	YZ	WES-PTS225	MYH4	2.54
BN1SN3	YZ	WHI-BIR180	MYH4	4.09	BO1SN3	YZ	WHI-BIR180	MYH4	3.50
BN1SN3	YZ	WHI-EJS048	MYH4	4.97	BO1SN3	YZ	WHI-EJS048	MYH4	4.07
BN1SN3	XZ	CAP-RIO270	MYH5	2.65	BO1SN3	XZ	CAP-RIO270	MYH5	4.31
BN1SN3	XZ	CAP-RIO360	MYH5	6.02	BO1SN3	XZ	CAP-RIO360	MYH5	7.37
BN1SN3	XZ	CHI-TCU046W	MYH5	1.19	BO1SN3	XZ	CHI-TCU046W	MYH5	1.08
BN1SN3	XZ	CHI-TCU061N	MYH5	1.66	BO1SN3	XZ	CHI-TCU061N	MYH5	2.12
BN1SN3	XZ	CHI-TCU74N	MYH5	1.91	BO1SN3	XZ	CHI-TCU74N	MYH5	6.22
BN1SN3	XZ	CHI-TCU112-W	MYH5	0.51	BO1SN3	XZ	CHI-TCU112-W	MYH5	1.32
BN1SN3	XZ	CHI-TCU123-W	MYH5	0.95	BO1SN3	XZ	CHI-TCU123-W	MYH5	1.97
BN1SN3	XZ	CHI-TCU141-E	MYH5	0.64	BO1SN3	XZ	CHI-TCU141-E	MYH5	1.20
BN1SN3	XZ	CHI-WNTN	MYH5	2.45	BO1SN3	XZ	CHI-WNTN	MYH5	2.43
BN1SN3	XZ	COA-Z14000	MYH5	1.58	BO1SN3	XZ	COA-Z14000	MYH5	5.05
BN1SN3	XZ	IMP-AER045	MYH5	1.99	BO1SN3	XZ	IMP-AER045	MYH5	2.92
BN1SN3	XZ	IMP-ELC3-230	MYH5	1.22	BO1SN3	XZ	IMP-ELC3-230	MYH5	1.68
BN1SN3	XZ	IMP-ELC11-230	MYH5	3.40	BO1SN3	XZ	IMP-ELC11-230	MYH5	3.33
BN1SN3	XZ	IMP-ELCD-360	MYH5	3.30	BO1SN3	XZ	IMP-ELCD-360	MYH5	5.80
BN1SN3	XZ	KOC-AMB000	MYH5	1.99	BO1SN3	XZ	KOC-AMB000	MYH5	3.35
BN1SN3	XZ	LAN-CLVTR	MYH5	3.02	BO1SN3	XZ	LAN-CLVTR	MYH5	8.28
BN1SN3	XZ	LAN-JOS090	MYH5	2.58	BO1SN3	XZ	LAN-JOS090	MYH5	4.49
BN1SN3	XZ	LOM-CYC285	MYH5	2.68	BO1SN3	XZ	LOM-CYC285	MYH5	4.32
BN1SN3	XZ	LOM-GOF090	MYH5	2.05	BO1SN3	XZ	LOM-GOF090	MYH5	4.32
BN1SN3	XZ	LOM-HDA165	MYH5	1.72	BO1SN3	XZ	LOM-HDA165	MYH5	4.15
BN1SN3	XZ	LOM-SAR000	MYH5	2.25	BO1SN3	XZ	LOM-SAR000	MYH5	4.20
BN1SN3	XZ	LOM-SAR090	MYH5	2.12	BO1SN3	XZ	LOM-SAR090	MYH5	3.64
BN1SN3	XZ	NOR-KAT000	MYH5	7.16	BO1SN3	XZ	NOR-KAT000	MYH5	11.73
BN1SN3	XZ	NOR-LOS000	MYH5	3.65	BO1SN3	XZ	NOR-LOS000	MYH5	6.67
BN1SN3	XZ	NOR-MU2035	MYH5	3.48	BO1SN3	XZ	NOR-MU2035	MYH5	4.78
BN1SN3	XZ	NOR-STM090	MYH5	3.77	BO1SN3	XZ	NOR-STM090	MYH5	4.07
BN1SN3	XZ	NPAL-MVH135	MYH5	1.20	BO1SN3	XZ	NPAL-MVH135	MYH5	2.06
BN1SN3	XZ	SUP-ELC090	MYH5	1.22	BO1SN3	XZ	SUP-ELC090	MYH5	3.89
BN1SN3	XZ	SUP-PTS315	MYH5	2.72	BO1SN3	XZ	SUP-PTS315	MYH5	3.00
BN1SN3	XZ	SUP-SUP135	MYH5	5.25	BO1SN3	XZ	SUP-SUP135	MYH5	4.64
BN1SN3	YZ	CAP-RIO270	MYH5	4.62	BO1SN3	YZ	CAP-RIO270	MYH5	3.16
BN1SN3	YZ	CAP-RIO360	MYH5	6.79	BO1SN3	YZ	CAP-RIO360	MYH5	7.29
BN1SN3	YZ	CHI-TCU046W	MYH5	1.19	BO1SN3	YZ	CHI-TCU046W	MYH5	1.28
BN1SN3	YZ	CHI-TCU061N	MYH5	2.74	BO1SN3	YZ	CHI-TCU061N	MYH5	2.00
BN1SN3	YZ	CHI-TCU74N	MYH5	4.28	BO1SN3	YZ	CHI-TCU74N	MYH5	4.12
BN1SN3	YZ	CHI-TCU112-W	MYH5	1.51	BO1SN3	YZ	CHI-TCU112-W	MYH5	1.17
BN1SN3	YZ	CHI-TCU123-W	MYH5	1.80	BO1SN3	YZ	CHI-TCU123-W	MYH5	1.57
BN1SN3	YZ	CHI-TCU141-E	MYH5	1.09	BO1SN3	YZ	CHI-TCU141-E	MYH5	0.79
BN1SN3	YZ	CHI-WNTN	MYH5	2.75	BO1SN3	YZ	CHI-WNTN	MYH5	2.84
BN1SN3	YZ	COA-Z14000	MYH5	3.10	BO1SN3	YZ	COA-Z14000	MYH5	4.09
BN1SN3	YZ	IMP-AER045	MYH5	3.27	BO1SN3	YZ	IMP-AER045	MYH5	2.65
BN1SN3	YZ	IMP-ELC3-230	MYH5	1.66	BO1SN3	YZ	IMP-ELC3-230	MYH5	1.45
BN1SN3	YZ	IMP-ELC11-230	MYH5	4.38	BO1SN3	YZ	IMP-ELC11-230	MYH5	2.98
BN1SN3	YZ	IMP-ELCD-360	MYH5	5.20	BO1SN3	YZ	IMP-ELCD-360	MYH5	4.53
BN1SN3	YZ	KOC-AMB000	MYH5	3.75	BO1SN3	YZ	KOC-AMB000	MYH5	2.45
BN1SN3	YZ	LAN-CLVTR	MYH5	6.39	BO1SN3	YZ	LAN-CLVTR	MYH5	7.63
BN1SN3	YZ	LAN-JOS090	MYH5	3.17	BO1SN3	YZ	LAN-JOS090	MYH5	2.66

Tablo C.1 (devam): Mevcut binalara ait yerdeğiştirme talepleri

Bina Adı	Analiz Yönü	İvme Kaydı	MYH Grup No	Δ_d (cm)	Bina Adı	Analiz Yönü	İvme Kaydı	MYH Grup No	Δ_d (cm)
BN1SN3	YZ	LOM-CYC285	MYH5	3.95	BO1SN3	YZ	LOM-CYC285	MYH5	4.50
BN1SN3	YZ	LOM-GOF090	MYH5	5.35	BO1SN3	YZ	LOM-GOF090	MYH5	3.63
BN1SN3	YZ	LOM-HDA165	MYH5	3.43	BO1SN3	YZ	LOM-HDA165	MYH5	3.94
BN1SN3	YZ	LOM-SAR000	MYH5	2.69	BO1SN3	YZ	LOM-SAR000	MYH5	2.08
BN1SN3	YZ	LOM-SAR090	MYH5	3.87	BO1SN3	YZ	LOM-SAR090	MYH5	3.26
BN1SN3	YZ	NOR-KAT000	MYH5	8.72	BO1SN3	YZ	NOR-KAT000	MYH5	14.76
BN1SN3	YZ	NOR-LOS000	MYH5	7.39	BO1SN3	YZ	NOR-LOS000	MYH5	5.34
BN1SN3	YZ	NOR-MU2035	MYH5	4.37	BO1SN3	YZ	NOR-MU2035	MYH5	4.85
BN1SN3	YZ	NOR-STM090	MYH5	3.80	BO1SN3	YZ	NOR-STM090	MYH5	3.90
BN1SN3	YZ	NPAL-MVH135	MYH5	2.04	BO1SN3	YZ	NPAL-MVH135	MYH5	1.70
BN1SN3	YZ	SUP-ELC090	MYH5	2.65	BO1SN3	YZ	SUP-ELC090	MYH5	3.02
BN1SN3	YZ	SUP-PTS315	MYH5	4.48	BO1SN3	YZ	SUP-PTS315	MYH5	3.27
BN1SN3	YZ	SUP-SUP135	MYH5	7.98	BO1SN3	YZ	SUP-SUP135	MYH5	6.14
BN1SN3	XZ	CAP-PET000	MYH6	3.60	BO1SN3	XZ	CAP-PET000	MYH6	9.90
BN1SN3	XZ	CHI-CHY025W	MYH6	0.94	BO1SN3	XZ	CHI-CHY025W	MYH6	2.03
BN1SN3	XZ	CHI-CHY034-N	MYH6	1.85	BO1SN3	XZ	CHI-CHY034-N	MYH6	4.48
BN1SN3	XZ	CHI-TCU038N	MYH6	1.56	BO1SN3	XZ	CHI-TCU038N	MYH6	2.45
BN1SN3	XZ	CHI-TCU038W	MYH6	1.37	BO1SN3	XZ	CHI-TCU038W	MYH6	2.02
BN1SN3	XZ	CHI-TCU048N	MYH6	1.14	BO1SN3	XZ	CHI-TCU048N	MYH6	1.74
BN1SN3	XZ	CHI-TCU49W	MYH6	1.57	BO1SN3	XZ	CHI-TCU49W	MYH6	2.85
BN1SN3	XZ	CHI-TCU51W	MYH6	1.52	BO1SN3	XZ	CHI-TCU51W	MYH6	3.18
BN1SN3	XZ	CHI-TCU95N	MYH6	6.03	BO1SN3	XZ	CHI-TCU95N	MYH6	3.87
BN1SN3	XZ	CHI-TCU104-N	MYH6	0.75	BO1SN3	XZ	CHI-TCU104-N	MYH6	1.05
BN1SN3	XZ	CHI-TCU106-W	MYH6	1.25	BO1SN3	XZ	CHI-TCU106-W	MYH6	2.64
BN1SN3	XZ	CHI-TCU107-N	MYH6	1.00	BO1SN3	XZ	CHI-TCU107-N	MYH6	2.02
BN1SN3	XZ	COY-G06230	MYH6	2.19	BO1SN3	XZ	COY-G06230	MYH6	6.28
BN1SN3	XZ	IMP-E10050	MYH6	1.74	BO1SN3	XZ	IMP-E10050	MYH6	2.74
BN1SN3	XZ	IMP-ELC3-140	MYH6	1.96	BO1SN3	XZ	IMP-ELC3-140	MYH6	2.66
BN1SN3	XZ	IMP-ELC5-140	MYH6	2.95	BO1SN3	XZ	IMP-ELC5-140	MYH6	4.68
BN1SN3	XZ	IMP-ELC7-140	MYH6	2.20	BO1SN3	XZ	IMP-ELC7-140	MYH6	3.56
BN1SN3	XZ	IMP-ELC8-230	MYH6	1.99	BO1SN3	XZ	IMP-ELC8-230	MYH6	3.24
BN1SN3	XZ	IMP-HVP225	MYH6	2.39	BO1SN3	XZ	IMP-HVP225	MYH6	4.00
BN1SN3	XZ	KOC-DZC270	MYH6	3.87	BO1SN3	XZ	KOC-DZC270	MYH6	5.18
BN1SN3	XZ	LOM-BRN090	MYH6	3.56	BO1SN3	XZ	LOM-BRN090	MYH6	8.44
BN1SN3	XZ	LOM-COR090	MYH6	2.48	BO1SN3	XZ	LOM-COR090	MYH6	7.58
BN1SN3	XZ	LOM-G03090	MYH6	2.30	BO1SN3	XZ	LOM-G03090	MYH6	3.90
BN1SN3	XZ	LOM-HCH180	MYH6	1.56	BO1SN3	XZ	LOM-HCH180	MYH6	2.74
BN1SN3	XZ	NAH-S1010	MYH6	4.45	BO1SN3	XZ	NAH-S1010	MYH6	6.17
BN1SN3	XZ	NAH-S1280	MYH6	3.82	BO1SN3	XZ	NAH-S1280	MYH6	4.23
BN1SN3	XZ	NOR-LOS270	MYH6	4.76	BO1SN3	XZ	NOR-LOS270	MYH6	5.97
BN1SN3	XZ	NOR-PAC175	MYH6	3.93	BO1SN3	XZ	NOR-PAC175	MYH6	4.71
BN1SN3	XZ	SUP-ELC000	MYH6	1.96	BO1SN3	XZ	SUP-ELC000	MYH6	3.94
BN1SN3	XZ	WES-WSM090	MYH6	2.41	BO1SN3	XZ	WES-WSM090	MYH6	6.32
BN1SN3	YZ	CAP-PET000	MYH6	7.56	BO1SN3	YZ	CAP-PET000	MYH6	7.69
BN1SN3	YZ	CHI-CHY025W	MYH6	1.86	BO1SN3	YZ	CHI-CHY025W	MYH6	1.41
BN1SN3	YZ	CHI-CHY034-N	MYH6	3.20	BO1SN3	YZ	CHI-CHY034-N	MYH6	3.89
BN1SN3	YZ	CHI-TCU038N	MYH6	2.93	BO1SN3	YZ	CHI-TCU038N	MYH6	2.16
BN1SN3	YZ	CHI-TCU038W	MYH6	2.29	BO1SN3	YZ	CHI-TCU038W	MYH6	1.50
BN1SN3	YZ	CHI-TCU048N	MYH6	1.71	BO1SN3	YZ	CHI-TCU048N	MYH6	1.21
BN1SN3	YZ	CHI-TCU49W	MYH6	2.49	BO1SN3	YZ	CHI-TCU49W	MYH6	1.88
BN1SN3	YZ	CHI-TCU51W	MYH6	2.82	BO1SN3	YZ	CHI-TCU51W	MYH6	1.85
BN1SN3	YZ	CHI-TCU95N	MYH6	4.52	BO1SN3	YZ	CHI-TCU95N	MYH6	3.31
BN1SN3	YZ	CHI-TCU104-N	MYH6	0.96	BO1SN3	YZ	CHI-TCU104-N	MYH6	0.92
BN1SN3	YZ	CHI-TCU106-W	MYH6	2.19	BO1SN3	YZ	CHI-TCU106-W	MYH6	1.96
BN1SN3	YZ	CHI-TCU107-N	MYH6	2.52	BO1SN3	YZ	CHI-TCU107-N	MYH6	1.69
BN1SN3	YZ	COY-G06230	MYH6	4.89	BO1SN3	YZ	COY-G06230	MYH6	5.00
BN1SN3	YZ	IMP-E10050	MYH6	2.61	BO1SN3	YZ	IMP-E10050	MYH6	2.17
BN1SN3	YZ	IMP-ELC3-140	MYH6	2.90	BO1SN3	YZ	IMP-ELC3-140	MYH6	2.12
BN1SN3	YZ	IMP-ELC5-140	MYH6	3.45	BO1SN3	YZ	IMP-ELC5-140	MYH6	3.57

Tablo C.1 (devam): Mevcut binalara ait yerdeğiştirme talepleri

Bina Adı	Analiz Yönü	İvme Kaydı	MYH Grup No	Δ_d (cm)	Bina Adı	Analiz Yönü	İvme Kaydı	MYH Grup No	Δ_d (cm)
BN1SN3	YZ	IMP-ELC7-140	MYH6	2.73	BO1SN3	YZ	IMP-ELC7-140	MYH6	1.89
BN1SN3	YZ	IMP-ELC8-230	MYH6	2.99	BO1SN3	YZ	IMP-ELC8-230	MYH6	2.56
BN1SN3	YZ	IMP-HVP225	MYH6	2.50	BO1SN3	YZ	IMP-HVP225	MYH6	3.67
BN1SN3	YZ	KOC-DZC270	MYH6	4.41	BO1SN3	YZ	KOC-DZC270	MYH6	4.92
BN1SN3	YZ	LOM-BRN090	MYH6	5.58	BO1SN3	YZ	LOM-BRN090	MYH6	8.08
BN1SN3	YZ	LOM-COR090	MYH6	7.46	BO1SN3	YZ	LOM-COR090	MYH6	6.15
BN1SN3	YZ	LOM-G03090	MYH6	3.10	BO1SN3	YZ	LOM-G03090	MYH6	1.92
BN1SN3	YZ	LOM-HCH180	MYH6	2.93	BO1SN3	YZ	LOM-HCH180	MYH6	2.11
BN1SN3	YZ	NAH-S1010	MYH6	5.50	BO1SN3	YZ	NAH-S1010	MYH6	4.47
BN1SN3	YZ	NAH-S1280	MYH6	4.32	BO1SN3	YZ	NAH-S1280	MYH6	3.66
BN1SN3	YZ	NOR-LOS270	MYH6	5.69	BO1SN3	YZ	NOR-LOS270	MYH6	4.91
BN1SN3	YZ	NOR-PAC175	MYH6	4.97	BO1SN3	YZ	NOR-PAC175	MYH6	3.79
BN1SN3	YZ	SUP-ELC000	MYH6	3.05	BO1SN3	YZ	SUP-ELC000	MYH6	2.24
BN1SN3	YZ	WES-WSM090	MYH6	5.02	BO1SN3	YZ	WES-WSM090	MYH6	3.83
BN1SN3	XZ	CHI-CHY002-N	MYH7	0.82	BO1SN3	XZ	CHI-CHY002-N	MYH7	1.40
BN1SN3	XZ	CHI-CHY024W	MYH7	1.91	BO1SN3	XZ	CHI-CHY024W	MYH7	3.77
BN1SN3	XZ	CHI-CHY104-E	MYH7	1.18	BO1SN3	XZ	CHI-CHY104-E	MYH7	2.99
BN1SN3	XZ	CHI-TCU029N	MYH7	1.15	BO1SN3	XZ	CHI-TCU029N	MYH7	1.85
BN1SN3	XZ	CHI-TCU036N	MYH7	1.27	BO1SN3	XZ	CHI-TCU036N	MYH7	2.15
BN1SN3	XZ	CHI-TCU039N	MYH7	1.26	BO1SN3	XZ	CHI-TCU039N	MYH7	1.49
BN1SN3	XZ	CHI-TCU039W	MYH7	1.29	BO1SN3	XZ	CHI-TCU039W	MYH7	1.57
BN1SN3	XZ	CHI-TCU040N	MYH7	0.92	BO1SN3	XZ	CHI-TCU040N	MYH7	1.67
BN1SN3	XZ	CHI-TCU040W	MYH7	1.19	BO1SN3	XZ	CHI-TCU040W	MYH7	1.97
BN1SN3	XZ	CHI-TCU055N	MYH7	1.53	BO1SN3	XZ	CHI-TCU055N	MYH7	2.31
BN1SN3	XZ	CHI-TCU064N	MYH7	0.73	BO1SN3	XZ	CHI-TCU064N	MYH7	1.41
BN1SN3	XZ	CHI-TCU70W	MYH7	1.44	BO1SN3	XZ	CHI-TCU70W	MYH7	4.64
BN1SN3	XZ	CHI-TCU109-N	MYH7	1.02	BO1SN3	XZ	CHI-TCU109-N	MYH7	2.65
BN1SN3	XZ	CHI-TCU109-W	MYH7	1.49	BO1SN3	XZ	CHI-TCU109-W	MYH7	2.36
BN1SN3	XZ	CHI-TCU115-W	MYH7	0.67	BO1SN3	XZ	CHI-TCU115-W	MYH7	1.53
BN1SN3	XZ	CHI-TCU117-N	MYH7	0.93	BO1SN3	XZ	CHI-TCU117-N	MYH7	1.46
BN1SN3	XZ	IMP-ELC8-140	MYH7	3.74	BO1SN3	XZ	IMP-ELC8-140	MYH7	7.08
BN1SN3	XZ	IMP-HVP315	MYH7	1.77	BO1SN3	XZ	IMP-HVP315	MYH7	2.09
BN1SN3	XZ	IRP-STU270	MYH7	2.24	BO1SN3	XZ	IRP-STU270	MYH7	2.30
BN1SN3	XZ	KOC-GBZ000	MYH7	1.43	BO1SN3	XZ	KOC-GBZ000	MYH7	3.17
BN1SN3	XZ	LAN-YER270	MYH7	1.33	BO1SN3	XZ	LAN-YER270	MYH7	3.68
BN1SN3	XZ	LOM-A02043	MYH7	1.23	BO1SN3	XZ	LOM-A02043	MYH7	5.04
BN1SN3	XZ	LOM-BRN000	MYH7	4.87	BO1SN3	XZ	LOM-BRN000	MYH7	7.49
BN1SN3	XZ	LOM-LGP090	MYH7	2.83	BO1SN3	XZ	LOM-LGP090	MYH7	7.14
BN1SN3	XZ	MOR-CYC195	MYH7	5.24	BO1SN3	XZ	MOR-CYC195	MYH7	9.02
BN1SN3	XZ	NOR-LDM334	MYH7	2.32	BO1SN3	XZ	NOR-LDM334	MYH7	5.63
BN1SN3	XZ	NOR-ORR090	MYH7	5.42	BO1SN3	XZ	NOR-ORR090	MYH7	7.47
BN1SN3	XZ	NOR-ORR360	MYH7	4.20	BO1SN3	XZ	NOR-ORR360	MYH7	10.32
BN1SN3	XZ	NOR-PKC360	MYH7	3.14	BO1SN3	XZ	NOR-PKC360	MYH7	8.75
BN1SN3	XZ	SFD-PCD254	MYH7	7.31	BO1SN3	XZ	SFD-PCD254	MYH7	10.85
BN1SN3	YZ	CHI-CHY002-N	MYH7	1.32	BO1SN3	YZ	CHI-CHY002-N	MYH7	1.37
BN1SN3	YZ	CHI-CHY024W	MYH7	3.32	BO1SN3	YZ	CHI-CHY024W	MYH7	2.93
BN1SN3	YZ	CHI-CHY104-E	MYH7	2.70	BO1SN3	YZ	CHI-CHY104-E	MYH7	2.57
BN1SN3	YZ	CHI-TCU029N	MYH7	1.92	BO1SN3	YZ	CHI-TCU029N	MYH7	1.14
BN1SN3	YZ	CHI-TCU036N	MYH7	2.04	BO1SN3	YZ	CHI-TCU036N	MYH7	1.45
BN1SN3	YZ	CHI-TCU039N	MYH7	1.71	BO1SN3	YZ	CHI-TCU039N	MYH7	1.34
BN1SN3	YZ	CHI-TCU039W	MYH7	1.76	BO1SN3	YZ	CHI-TCU039W	MYH7	1.44
BN1SN3	YZ	CHI-TCU040N	MYH7	1.75	BO1SN3	YZ	CHI-TCU040N	MYH7	1.44
BN1SN3	YZ	CHI-TCU040W	MYH7	2.48	BO1SN3	YZ	CHI-TCU040W	MYH7	1.89
BN1SN3	YZ	CHI-TCU055N	MYH7	2.54	BO1SN3	YZ	CHI-TCU055N	MYH7	1.89
BN1SN3	YZ	CHI-TCU064N	MYH7	1.42	BO1SN3	YZ	CHI-TCU064N	MYH7	0.97
BN1SN3	YZ	CHI-TCU70W	MYH7	4.81	BO1SN3	YZ	CHI-TCU70W	MYH7	2.58
BN1SN3	YZ	CHI-TCU109-N	MYH7	2.44	BO1SN3	YZ	CHI-TCU109-N	MYH7	2.21
BN1SN3	YZ	CHI-TCU109-W	MYH7	3.15	BO1SN3	YZ	CHI-TCU109-W	MYH7	2.04
BN1SN3	YZ	CHI-TCU115-W	MYH7	1.45	BO1SN3	YZ	CHI-TCU115-W	MYH7	1.11

Tablo C.1 (devam): Mevcut binalara ait yerdeğiştirme talepleri

Bina Adı	Analiz Yönü	İvme Kaydı	MYH Grup No	Δ_d (cm)	Bina Adı	Analiz Yönü	İvme Kaydı	MYH Grup No	Δ_d (cm)
BN1SN3	YZ	CHI-TCU117-N	MYH7	1.42	BO1SN3	YZ	CHI-TCU117-N	MYH7	1.07
BN1SN3	YZ	IMP-ELC8-140	MYH7	6.55	BO1SN3	YZ	IMP-ELC8-140	MYH7	6.07
BN1SN3	YZ	IMP-HVP315	MYH7	2.39	BO1SN3	YZ	IMP-HVP315	MYH7	2.01
BN1SN3	YZ	IRP-STU270	MYH7	3.19	BO1SN3	YZ	IRP-STU270	MYH7	2.15
BN1SN3	YZ	KOC-GBZ000	MYH7	2.78	BO1SN3	YZ	KOC-GBZ000	MYH7	2.21
BN1SN3	YZ	LAN-YER270	MYH7	2.30	BO1SN3	YZ	LAN-YER270	MYH7	2.42
BN1SN3	YZ	LOM-A02043	MYH7	2.73	BO1SN3	YZ	LOM-A02043	MYH7	2.45
BN1SN3	YZ	LOM-BRN000	MYH7	9.18	BO1SN3	YZ	LOM-BRN000	MYH7	5.07
BN1SN3	YZ	LOM-LGP090	MYH7	4.78	BO1SN3	YZ	LOM-LGP090	MYH7	6.85
BN1SN3	YZ	MOR-CYC195	MYH7	7.35	BO1SN3	YZ	MOR-CYC195	MYH7	8.32
BN1SN3	YZ	NOR-LDM334	MYH7	5.32	BO1SN3	YZ	NOR-LDM334	MYH7	3.98
BN1SN3	YZ	NOR-ORR090	MYH7	5.75	BO1SN3	YZ	NOR-ORR090	MYH7	6.48
BN1SN3	YZ	NOR-ORR360	MYH7	9.29	BO1SN3	YZ	NOR-ORR360	MYH7	7.60
BN1SN3	YZ	NOR-PKC360	MYH7	8.52	BO1SN3	YZ	NOR-PKC360	MYH7	7.97
BN1SN3	YZ	SFD-PCD254	MYH7	9.11	BO1SN3	YZ	SFD-PCD254	MYH7	12.65
BN1SN3	XZ	CAP-RIO270	MYH8	3.05	BO1SN3	XZ	CAP-RIO270	MYH8	7.20
BN1SN3	XZ	CAP-RIO360	MYH8	7.31	BO1SN3	XZ	CAP-RIO360	MYH8	9.88
BN1SN3	XZ	CHI-CHY006-E	MYH8	2.56	BO1SN3	XZ	CHI-CHY006-E	MYH8	10.80
BN1SN3	XZ	CHI-CHY092-E	MYH8	0.68	BO1SN3	XZ	CHI-CHY092-E	MYH8	1.17
BN1SN3	XZ	CHI-CHY104-N	MYH8	1.01	BO1SN3	XZ	CHI-CHY104-N	MYH8	1.85
BN1SN3	XZ	CHI-TCU054W	MYH8	1.10	BO1SN3	XZ	CHI-TCU054W	MYH8	2.11
BN1SN3	XZ	CHI-TCU059N	MYH8	1.46	BO1SN3	XZ	CHI-TCU059N	MYH8	3.07
BN1SN3	XZ	CHI-TCU059W	MYH8	1.55	BO1SN3	XZ	CHI-TCU059W	MYH8	2.25
BN1SN3	XZ	CHI-TCU063W	MYH8	1.27	BO1SN3	XZ	CHI-TCU063W	MYH8	2.44
BN1SN3	XZ	CHI-TCU072N	MYH8	3.22	BO1SN3	XZ	CHI-TCU072N	MYH8	5.40
BN1SN3	XZ	CHI-TCU82W	MYH8	1.88	BO1SN3	XZ	CHI-TCU82W	MYH8	3.29
BN1SN3	XZ	CHI-TCU110-N	MYH8	0.82	BO1SN3	XZ	CHI-TCU110-N	MYH8	2.47
BN1SN3	XZ	CHI-TCU111-W	MYH8	0.83	BO1SN3	XZ	CHI-TCU111-W	MYH8	1.56
BN1SN3	XZ	CHI-TCU117-W	MYH8	0.79	BO1SN3	XZ	CHI-TCU117-W	MYH8	1.55
BN1SN3	XZ	CHI-TCU136-E	MYH8	1.17	BO1SN3	XZ	CHI-TCU136-E	MYH8	1.69
BN1SN3	XZ	DZC-BOL000	MYH8	5.00	BO1SN3	XZ	DZC-BOL000	MYH8	8.83
BN1SN3	XZ	IMP-ELC3-140	MYH8	2.32	BO1SN3	XZ	IMP-ELC3-140	MYH8	3.32
BN1SN3	XZ	IMP-ELC3-230	MYH8	1.77	BO1SN3	XZ	IMP-ELC3-230	MYH8	2.90
BN1SN3	XZ	IRP-STU270	MYH8	2.29	BO1SN3	XZ	IRP-STU270	MYH8	2.41
BN1SN3	XZ	KOC-DZC180	MYH8	2.49	BO1SN3	XZ	KOC-DZC180	MYH8	3.57
BN1SN3	XZ	KOC-DZC270	MYH8	4.75	BO1SN3	XZ	KOC-DZC270	MYH8	5.80
BN1SN3	XZ	KOC-GBZ000	MYH8	1.65	BO1SN3	XZ	KOC-GBZ000	MYH8	3.97
BN1SN3	XZ	LAN-CLVTR	MYH8	5.74	BO1SN3	XZ	LAN-CLVTR	MYH8	11.78
BN1SN3	XZ	LAN-YER270	MYH8	1.47	BO1SN3	XZ	LAN-YER270	MYH8	4.68
BN1SN3	XZ	LOM-COR000	MYH8	6.04	BO1SN3	XZ	LOM-COR000	MYH8	9.94
BN1SN3	XZ	NOR-MUL009	MYH8	2.53	BO1SN3	XZ	NOR-MUL009	MYH8	7.43
BN1SN3	XZ	NOR-PUL104	MYH8	5.99	BO1SN3	XZ	NOR-PUL104	MYH8	10.61
BN1SN3	XZ	NPAL-MVH135	MYH8	1.73	BO1SN3	XZ	NPAL-MVH135	MYH8	2.82
BN1SN3	XZ	SUP-ELC000	MYH8	2.23	BO1SN3	XZ	SUP-ELC000	MYH8	5.89
BN1SN3	XZ	SUP-ELC090	MYH8	1.66	BO1SN3	XZ	SUP-ELC090	MYH8	5.97
BN1SN3	YZ	CAP-RIO270	MYH8	6.20	BO1SN3	YZ	CAP-RIO270	MYH8	4.53
BN1SN3	YZ	CAP-RIO360	MYH8	9.09	BO1SN3	YZ	CAP-RIO360	MYH8	9.84
BN1SN3	YZ	CHI-CHY006-E	MYH8	5.45	BO1SN3	YZ	CHI-CHY006-E	MYH8	6.73
BN1SN3	YZ	CHI-CHY092-E	MYH8	1.21	BO1SN3	YZ	CHI-CHY092-E	MYH8	0.85
BN1SN3	YZ	CHI-CHY104-N	MYH8	1.70	BO1SN3	YZ	CHI-CHY104-N	MYH8	1.54
BN1SN3	YZ	CHI-TCU054W	MYH8	2.55	BO1SN3	YZ	CHI-TCU054W	MYH8	1.69
BN1SN3	YZ	CHI-TCU059N	MYH8	2.84	BO1SN3	YZ	CHI-TCU059N	MYH8	2.05
BN1SN3	YZ	CHI-TCU059W	MYH8	2.42	BO1SN3	YZ	CHI-TCU059W	MYH8	2.21
BN1SN3	YZ	CHI-TCU063W	MYH8	2.55	BO1SN3	YZ	CHI-TCU063W	MYH8	2.13
BN1SN3	YZ	CHI-TCU072N	MYH8	4.40	BO1SN3	YZ	CHI-TCU072N	MYH8	4.79
BN1SN3	YZ	CHI-TCU82W	MYH8	2.90	BO1SN3	YZ	CHI-TCU82W	MYH8	2.80
BN1SN3	YZ	CHI-TCU110-N	MYH8	2.32	BO1SN3	YZ	CHI-TCU110-N	MYH8	1.40
BN1SN3	YZ	CHI-TCU111-W	MYH8	1.43	BO1SN3	YZ	CHI-TCU111-W	MYH8	1.11
BN1SN3	YZ	CHI-TCU117-W	MYH8	1.51	BO1SN3	YZ	CHI-TCU117-W	MYH8	1.33

Tablo C.1 (devam): Mevcut binalara ait yerdeğiştirme talepleri

Bina Adı	Analiz Yönü	İvme Kaydı	MYH Grup No	Δ_d (cm)	Bina Adı	Analiz Yönü	İvme Kaydı	MYH Grup No	Δ_d (cm)
BN1SN3	YZ	CHI-TCU136-E	MYH8	1.82	BO1SN3	YZ	CHI-TCU136-E	MYH8	1.86
BN1SN3	YZ	DZC-BOL000	MYH8	7.63	BO1SN3	YZ	DZC-BOL000	MYH8	5.99
BN1SN3	YZ	IMP-ELC3-140	MYH8	3.17	BO1SN3	YZ	IMP-ELC3-140	MYH8	2.53
BN1SN3	YZ	IMP-ELC3-230	MYH8	2.40	BO1SN3	YZ	IMP-ELC3-230	MYH8	2.07
BN1SN3	YZ	IRP-STU270	MYH8	3.33	BO1SN3	YZ	IRP-STU270	MYH8	2.30
BN1SN3	YZ	KOC-DZC180	MYH8	5.00	BO1SN3	YZ	KOC-DZC180	MYH8	2.97
BN1SN3	YZ	KOC-DZC270	MYH8	6.14	BO1SN3	YZ	KOC-DZC270	MYH8	5.17
BN1SN3	YZ	KOC-GBZ000	MYH8	3.37	BO1SN3	YZ	KOC-GBZ000	MYH8	2.68
BN1SN3	YZ	LAN-CLVTR	MYH8	9.85	BO1SN3	YZ	LAN-CLVTR	MYH8	10.30
BN1SN3	YZ	LAN-YER270	MYH8	2.57	BO1SN3	YZ	LAN-YER270	MYH8	2.76
BN1SN3	YZ	LOM-COR000	MYH8	7.71	BO1SN3	YZ	LOM-COR000	MYH8	8.86
BN1SN3	YZ	NOR-MUL009	MYH8	7.63	BO1SN3	YZ	NOR-MUL009	MYH8	5.39
BN1SN3	YZ	NOR-PUL104	MYH8	12.17	BO1SN3	YZ	NOR-PUL104	MYH8	8.44
BN1SN3	YZ	NPAL-MVH135	MYH8	2.63	BO1SN3	YZ	NPAL-MVH135	MYH8	2.43
BN1SN3	YZ	SUP-ELC000	MYH8	3.89	BO1SN3	YZ	SUP-ELC000	MYH8	3.32
BN1SN3	YZ	SUP-ELC090	MYH8	4.22	BO1SN3	YZ	SUP-ELC090	MYH8	5.48
BN1SN3	XZ	CHI-TCU036W	MYH9	1.33	BO1SN3	XZ	CHI-TCU036W	MYH9	1.78
BN1SN3	XZ	CHI-TCU49N	MYH9	1.79	BO1SN3	XZ	CHI-TCU49N	MYH9	2.26
BN1SN3	XZ	CHI-TCU70N	MYH9	1.27	BO1SN3	XZ	CHI-TCU70N	MYH9	2.55
BN1SN3	XZ	CHI-TCU76N	MYH9	2.26	BO1SN3	XZ	CHI-TCU76N	MYH9	8.82
BN1SN3	XZ	CHI-TCU76W	MYH9	2.66	BO1SN3	XZ	CHI-TCU76W	MYH9	3.80
BN1SN3	XZ	CHI-TCU079-W	MYH9	8.25	BO1SN3	XZ	CHI-TCU079-W	MYH9	9.56
BN1SN3	XZ	CHI-TCU95W	MYH9	2.78	BO1SN3	XZ	CHI-TCU95W	MYH9	5.20
BN1SN3	XZ	CHI-TCU103-W	MYH9	1.07	BO1SN3	XZ	CHI-TCU103-W	MYH9	2.05
BN1SN3	XZ	CHI-TCU120-W	MYH9	1.63	BO1SN3	XZ	CHI-TCU120-W	MYH9	2.34
BN1SN3	XZ	CHI-TCU129-W	MYH9	7.59	BO1SN3	XZ	CHI-TCU129-W	MYH9	6.83
BN1SN3	XZ	COA-PLE045	MYH9	3.81	BO1SN3	XZ	COA-PLE045	MYH9	13.44
BN1SN3	XZ	DZC-BOL000	MYH9	5.62	BO1SN3	XZ	DZC-BOL000	MYH9	10.08
BN1SN3	XZ	DZC-BOL090	MYH9	6.36	BO1SN3	XZ	DZC-BOL090	MYH9	17.16
BN1SN3	XZ	DZC-DZC180	MYH9	3.65	BO1SN3	XZ	DZC-DZC180	MYH9	7.38
BN1SN3	XZ	ERZ-ERZEW	MYH9	3.55	BO1SN3	XZ	ERZ-ERZEW	MYH9	9.26
BN1SN3	XZ	IMP-ELC3-140	MYH9	2.49	BO1SN3	XZ	IMP-ELC3-140	MYH9	3.67
BN1SN3	XZ	IMP-HVP315	MYH9	2.04	BO1SN3	XZ	IMP-HVP315	MYH9	2.92
BN1SN3	XZ	IRP-STU270	MYH9	2.39	BO1SN3	XZ	IRP-STU270	MYH9	2.51
BN1SN3	XZ	KOC-DZC180	MYH9	2.62	BO1SN3	XZ	KOC-DZC180	MYH9	3.76
BN1SN3	XZ	KOC-GBZ000	MYH9	1.80	BO1SN3	XZ	KOC-GBZ000	MYH9	4.56
BN1SN3	XZ	KOC-YAR330	MYH9	1.96	BO1SN3	XZ	KOC-YAR330	MYH9	3.60
BN1SN3	XZ	LAN-YER270	MYH9	1.60	BO1SN3	XZ	LAN-YER270	MYH9	5.50
BN1SN3	XZ	LOM-BRN000	MYH9	6.05	BO1SN3	XZ	LOM-BRN000	MYH9	7.97
BN1SN3	XZ	LOM-HSP000	MYH9	2.99	BO1SN3	XZ	LOM-HSP000	MYH9	8.89
BN1SN3	XZ	LOM-WVC270	MYH9	2.03	BO1SN3	XZ	LOM-WVC270	MYH9	3.89
BN1SN3	XZ	NOR-CNP196	MYH9	3.76	BO1SN3	XZ	NOR-CNP196	MYH9	8.52
BN1SN3	XZ	NOR-LDM064	MYH9	3.81	BO1SN3	XZ	NOR-LDM064	MYH9	8.34
BN1SN3	XZ	NOR-MUL279	MYH9	4.30	BO1SN3	XZ	NOR-MUL279	MYH9	9.09
BN1SN3	XZ	NOR-SAT180	MYH9	3.63	BO1SN3	XZ	NOR-SAT180	MYH9	8.80
BN1SN3	XZ	SUP-ELC000	MYH9	2.32	BO1SN3	XZ	SUP-ELC000	MYH9	6.94
BN1SN3	YZ	CHI-TCU036W	MYH9	1.67	BO1SN3	YZ	CHI-TCU036W	MYH9	1.21
BN1SN3	YZ	CHI-TCU49N	MYH9	2.67	BO1SN3	YZ	CHI-TCU49N	MYH9	2.08
BN1SN3	YZ	CHI-TCU70N	MYH9	2.56	BO1SN3	YZ	CHI-TCU70N	MYH9	2.07
BN1SN3	YZ	CHI-TCU76N	MYH9	6.20	BO1SN3	YZ	CHI-TCU76N	MYH9	5.29
BN1SN3	YZ	CHI-TCU76W	MYH9	4.01	BO1SN3	YZ	CHI-TCU76W	MYH9	3.81
BN1SN3	YZ	CHI-TCU079-W	MYH9	10.67	BO1SN3	YZ	CHI-TCU079-W	MYH9	13.24
BN1SN3	YZ	CHI-TCU95W	MYH9	5.19	BO1SN3	YZ	CHI-TCU95W	MYH9	5.17
BN1SN3	YZ	CHI-TCU103-W	MYH9	1.95	BO1SN3	YZ	CHI-TCU103-W	MYH9	1.82
BN1SN3	YZ	CHI-TCU120-W	MYH9	2.49	BO1SN3	YZ	CHI-TCU120-W	MYH9	1.90
BN1SN3	YZ	CHI-TCU129-W	MYH9	7.90	BO1SN3	YZ	CHI-TCU129-W	MYH9	6.06
BN1SN3	YZ	COA-PLE045	MYH9	13.51	BO1SN3	YZ	COA-PLE045	MYH9	12.82
BN1SN3	YZ	DZC-BOL000	MYH9	9.56	BO1SN3	YZ	DZC-BOL000	MYH9	7.48
BN1SN3	YZ	DZC-BOL090	MYH9	14.46	BO1SN3	YZ	DZC-BOL090	MYH9	13.94

Tablo C.1 (devam): Mevcut binalara ait yerdeğiştirme talepleri

Bina Adı	Analiz Yönü	İvme Kaydı	MYH Grup No	Δ_d (cm)	Bina Adı	Analiz Yönü	İvme Kaydı	MYH Grup No	Δ_d (cm)
BN1SN3	YZ	DZC-DZC180	MYH9	5.47	BO1SN3	YZ	DZC-DZC180	MYH9	5.45
BN1SN3	YZ	ERZ-ERZEW	MYH9	6.20	BO1SN3	YZ	ERZ-ERZEW	MYH9	7.00
BN1SN3	YZ	IMP-ELC3-140	MYH9	3.36	BO1SN3	YZ	IMP-ELC3-140	MYH9	2.88
BN1SN3	YZ	IMP-HVP315	MYH9	3.07	BO1SN3	YZ	IMP-HVP315	MYH9	2.68
BN1SN3	YZ	IRP-STU270	MYH9	3.45	BO1SN3	YZ	IRP-STU270	MYH9	2.42
BN1SN3	YZ	KOC-DZC180	MYH9	5.36	BO1SN3	YZ	KOC-DZC180	MYH9	3.23
BN1SN3	YZ	KOC-GBZ000	MYH9	3.80	BO1SN3	YZ	KOC-GBZ000	MYH9	2.98
BN1SN3	YZ	KOC-YAR330	MYH9	3.17	BO1SN3	YZ	KOC-YAR330	MYH9	3.34
BN1SN3	YZ	LAN-YER270	MYH9	2.78	BO1SN3	YZ	LAN-YER270	MYH9	3.01
BN1SN3	YZ	LOM-BRN000	MYH9	11.16	BO1SN3	YZ	LOM-BRN000	MYH9	5.93
BN1SN3	YZ	LOM-HSP000	MYH9	5.58	BO1SN3	YZ	LOM-HSP000	MYH9	8.05
BN1SN3	YZ	LOM-WVC270	MYH9	2.42	BO1SN3	YZ	LOM-WVC270	MYH9	3.20
BN1SN3	YZ	NOR-CNP196	MYH9	6.75	BO1SN3	YZ	NOR-CNP196	MYH9	8.00
BN1SN3	YZ	NOR-LDM064	MYH9	4.82	BO1SN3	YZ	NOR-LDM064	MYH9	5.39
BN1SN3	YZ	NOR-MUL279	MYH9	6.84	BO1SN3	YZ	NOR-MUL279	MYH9	8.22
BN1SN3	YZ	NOR-SAT180	MYH9	7.15	BO1SN3	YZ	NOR-SAT180	MYH9	7.84
BN1SN3	YZ	SUP-ELC000	MYH9	4.01	BO1SN3	YZ	SUP-ELC000	MYH9	4.23
BN1SN3	XZ	CHI-CHY28N	MYH10	10.09	BO1SN3	XZ	CHI-CHY28N	MYH10	20.57
BN1SN3	XZ	CHI-TCU067N	MYH10	3.14	BO1SN3	XZ	CHI-TCU067N	MYH10	6.14
BN1SN3	XZ	CHI-TCU071N	MYH10	4.28	BO1SN3	XZ	CHI-TCU071N	MYH10	4.32
BN1SN3	XZ	CHI-TCU101-W	MYH10	1.50	BO1SN3	XZ	CHI-TCU101-W	MYH10	3.61
BN1SN3	XZ	CHI-TCU110-W	MYH10	0.76	BO1SN3	XZ	CHI-TCU110-W	MYH10	1.83
BN1SN3	XZ	CHI-TCU128-N	MYH10	0.98	BO1SN3	XZ	CHI-TCU128-N	MYH10	1.84
BN1SN3	XZ	CHI-WGK-E	MYH10	1.88	BO1SN3	XZ	CHI-WGK-E	MYH10	2.91
BN1SN3	XZ	CHI-WNTE	MYH10	7.02	BO1SN3	XZ	CHI-WNTE	MYH10	6.56
BN1SN3	XZ	DZC-BOL000	MYH10	6.12	BO1SN3	XZ	DZC-BOL000	MYH10	10.98
BN1SN3	XZ	DZC-BOL090	MYH10	7.39	BO1SN3	XZ	DZC-BOL090	MYH10	19.46
BN1SN3	XZ	GAZ-KAR000	MYH10	4.48	BO1SN3	XZ	GAZ-KAR000	MYH10	6.49
BN1SN3	XZ	IMP-ECC092	MYH10	1.45	BO1SN3	XZ	IMP-ECC092	MYH10	2.72
BN1SN3	XZ	IMP-ELC3-140	MYH10	2.60	BO1SN3	XZ	IMP-ELC3-140	MYH10	4.09
BN1SN3	XZ	IMP-ELC6-140	MYH10	2.74	BO1SN3	XZ	IMP-ELC6-140	MYH10	3.60
BN1SN3	XZ	IRP-STU270	MYH10	2.46	BO1SN3	XZ	IRP-STU270	MYH10	2.72
BN1SN3	XZ	KOB-TAK000	MYH10	3.72	BO1SN3	XZ	KOB-TAK000	MYH10	14.67
BN1SN3	XZ	KOC-DZC180	MYH10	2.83	BO1SN3	XZ	KOC-DZC180	MYH10	4.02
BN1SN3	XZ	KOC-GBZ000	MYH10	2.01	BO1SN3	XZ	KOC-GBZ000	MYH10	5.19
BN1SN3	XZ	KOC-YAR060	MYH10	1.86	BO1SN3	XZ	KOC-YAR060	MYH10	4.00
BN1SN3	XZ	LAN-YER270	MYH10	1.70	BO1SN3	XZ	LAN-YER270	MYH10	6.44
BN1SN3	XZ	LOM-BRN000	MYH10	6.53	BO1SN3	XZ	LOM-BRN000	MYH10	7.78
BN1SN3	XZ	LOM-G03090	MYH10	3.00	BO1SN3	XZ	LOM-G03090	MYH10	6.31
BN1SN3	XZ	LOM-HSP000	MYH10	3.26	BO1SN3	XZ	LOM-HSP000	MYH10	9.94
BN1SN3	XZ	NOR-CNP196	MYH10	4.44	BO1SN3	XZ	NOR-CNP196	MYH10	8.90
BN1SN3	XZ	NOR-MUL009	MYH10	2.95	BO1SN3	XZ	NOR-MUL009	MYH10	8.79
BN1SN3	XZ	NOR-MUL279	MYH10	4.87	BO1SN3	XZ	NOR-MUL279	MYH10	10.73
BN1SN3	XZ	NOR-ORR090	MYH10	7.04	BO1SN3	XZ	NOR-ORR090	MYH10	6.97
BN1SN3	XZ	NOR-ORR360	MYH10	5.40	BO1SN3	XZ	NOR-ORR360	MYH10	17.54
BN1SN3	XZ	NOR-SAT180	MYH10	4.07	BO1SN3	XZ	NOR-SAT180	MYH10	9.51
BN1SN3	XZ	NOR-WPI316	MYH10	1.73	BO1SN3	XZ	NOR-WPI316	MYH10	7.24
BN1SN3	YZ	CHI-CHY28N	MYH10	18.40	BO1SN3	YZ	CHI-CHY28N	MYH10	17.46
BN1SN3	YZ	CHI-TCU067N	MYH10	5.80	BO1SN3	YZ	CHI-TCU067N	MYH10	6.55
BN1SN3	YZ	CHI-TCU071N	MYH10	4.16	BO1SN3	YZ	CHI-TCU071N	MYH10	3.78
BN1SN3	YZ	CHI-TCU101-W	MYH10	3.71	BO1SN3	YZ	CHI-TCU101-W	MYH10	2.82
BN1SN3	YZ	CHI-TCU110-W	MYH10	1.74	BO1SN3	YZ	CHI-TCU110-W	MYH10	1.27
BN1SN3	YZ	CHI-TCU128-N	MYH10	1.90	BO1SN3	YZ	CHI-TCU128-N	MYH10	1.80
BN1SN3	YZ	CHI-WGK-E	MYH10	2.89	BO1SN3	YZ	CHI-WGK-E	MYH10	2.56
BN1SN3	YZ	CHI-WNTE	MYH10	8.94	BO1SN3	YZ	CHI-WNTE	MYH10	5.62
BN1SN3	YZ	DZC-BOL000	MYH10	11.02	BO1SN3	YZ	DZC-BOL000	MYH10	8.64
BN1SN3	YZ	DZC-BOL090	MYH10	16.58	BO1SN3	YZ	DZC-BOL090	MYH10	15.92
BN1SN3	YZ	GAZ-KAR000	MYH10	5.42	BO1SN3	YZ	GAZ-KAR000	MYH10	5.55
BN1SN3	YZ	IMP-ECC092	MYH10	2.28	BO1SN3	YZ	IMP-ECC092	MYH10	1.91

Tablo C.1 (devam): Mevcut binalara ait yerdeğiştirme talepleri

Bina Adı	Analiz Yönü	İvme Kaydı	MYH Grup No	Δ_d (cm)	Bina Adı	Analiz Yönü	İvme Kaydı	MYH Grup No	Δ_d (cm)
BN1SN3	YZ	IMP-ELC3-140	MYH10	3.62	BO1SN3	YZ	IMP-ELC3-140	MYH10	3.28
BN1SN3	YZ	IMP-ELC6-140	MYH10	2.77	BO1SN3	YZ	IMP-ELC6-140	MYH10	2.28
BN1SN3	YZ	IRP-STU270	MYH10	3.56	BO1SN3	YZ	IRP-STU270	MYH10	2.50
BN1SN3	YZ	KOB-TAK000	MYH10	10.57	BO1SN3	YZ	KOB-TAK000	MYH10	16.13
BN1SN3	YZ	KOC-DZC180	MYH10	5.84	BO1SN3	YZ	KOC-DZC180	MYH10	3.56
BN1SN3	YZ	KOC-GBZ000	MYH10	4.27	BO1SN3	YZ	KOC-GBZ000	MYH10	3.24
BN1SN3	YZ	KOC-YAR060	MYH10	2.92	BO1SN3	YZ	KOC-YAR060	MYH10	3.31
BN1SN3	YZ	LAN-YER270	MYH10	3.03	BO1SN3	YZ	LAN-YER270	MYH10	3.40
BN1SN3	YZ	LOM-BRN000	MYH10	12.14	BO1SN3	YZ	LOM-BRN000	MYH10	6.53
BN1SN3	YZ	LOM-G03090	MYH10	6.29	BO1SN3	YZ	LOM-G03090	MYH10	4.59
BN1SN3	YZ	LOM-HSP000	MYH10	6.66	BO1SN3	YZ	LOM-HSP000	MYH10	9.35
BN1SN3	YZ	NOR-CNP196	MYH10	7.77	BO1SN3	YZ	NOR-CNP196	MYH10	9.15
BN1SN3	YZ	NOR-MUL009	MYH10	9.55	BO1SN3	YZ	NOR-MUL009	MYH10	6.82
BN1SN3	YZ	NOR-MUL279	MYH10	7.14	BO1SN3	YZ	NOR-MUL279	MYH10	9.61
BN1SN3	YZ	NOR-ORR090	MYH10	8.71	BO1SN3	YZ	NOR-ORR090	MYH10	9.90
BN1SN3	YZ	NOR-ORR360	MYH10	14.94	BO1SN3	YZ	NOR-ORR360	MYH10	12.92
BN1SN3	YZ	NOR-SAT180	MYH10	8.07	BO1SN3	YZ	NOR-SAT180	MYH10	8.81
BN1SN3	YZ	NOR-WPI316	MYH10	5.31	BO1SN3	YZ	NOR-WPI316	MYH10	4.45
BN1SN3	XZ	CHI-CHY28W	MYH11	5.49	BO1SN3	XZ	CHI-CHY28W	MYH11	8.78
BN1SN3	XZ	CHI-CHY101W	MYH11	1.87	BO1SN3	XZ	CHI-CHY101W	MYH11	3.04
BN1SN3	XZ	CHI-TCU063N	MYH11	0.86	BO1SN3	XZ	CHI-TCU063N	MYH11	1.94
BN1SN3	XZ	CHI-TCU072W	MYH11	3.55	BO1SN3	XZ	CHI-TCU072W	MYH11	9.96
BN1SN3	XZ	CHI-TCU74W	MYH11	3.85	BO1SN3	XZ	CHI-TCU74W	MYH11	12.38
BN1SN3	XZ	CHI-TCU128-W	MYH11	1.21	BO1SN3	XZ	CHI-TCU128-W	MYH11	1.76
BN1SN3	XZ	CHI-WGK-N	MYH11	3.39	BO1SN3	XZ	CHI-WGK-N	MYH11	9.66
BN1SN3	XZ	COA-PLE045	MYH11	5.60	BO1SN3	XZ	COA-PLE045	MYH11	16.51
BN1SN3	XZ	DZC-BOL000	MYH11	6.62	BO1SN3	XZ	DZC-BOL000	MYH11	11.62
BN1SN3	XZ	DZC-BOL090	MYH11	8.42	BO1SN3	XZ	DZC-BOL090	MYH11	21.64
BN1SN3	XZ	DZC-DZC180	MYH11	4.71	BO1SN3	XZ	DZC-DZC180	MYH11	9.47
BN1SN3	XZ	GAZ-KAR000	MYH11	5.17	BO1SN3	XZ	GAZ-KAR000	MYH11	7.94
BN1SN3	XZ	GAZ-KAR090	MYH11	4.48	BO1SN3	XZ	GAZ-KAR090	MYH11	8.37
BN1SN3	XZ	IMP-ECC092	MYH11	1.56	BO1SN3	XZ	IMP-ECC092	MYH11	3.17
BN1SN3	XZ	IMP-ECM000	MYH11	1.93	BO1SN3	XZ	IMP-ECM000	MYH11	5.80
BN1SN3	XZ	IMP-ELCD-270	MYH11	1.85	BO1SN3	XZ	IMP-ELCD-270	MYH11	5.06
BN1SN3	XZ	IRP-STU270	MYH11	2.65	BO1SN3	XZ	IRP-STU270	MYH11	3.01
BN1SN3	XZ	KOB-KJM090	MYH11	6.49	BO1SN3	XZ	KOB-KJM090	MYH11	19.26
BN1SN3	XZ	KOC-DZC180	MYH11	3.17	BO1SN3	XZ	KOC-DZC180	MYH11	4.29
BN1SN3	XZ	KOC-GBZ000	MYH11	2.17	BO1SN3	XZ	KOC-GBZ000	MYH11	5.83
BN1SN3	XZ	KOC-YAR060	MYH11	2.05	BO1SN3	XZ	KOC-YAR060	MYH11	4.86
BN1SN3	XZ	LOM-HSP000	MYH11	3.47	BO1SN3	XZ	LOM-HSP000	MYH11	11.00
BN1SN3	XZ	LOM-WVC270	MYH11	2.48	BO1SN3	XZ	LOM-WVC270	MYH11	5.84
BN1SN3	XZ	NOR-CNP196	MYH11	5.00	BO1SN3	XZ	NOR-CNP196	MYH11	9.14
BN1SN3	XZ	NOR-MUL009	MYH11	3.18	BO1SN3	XZ	NOR-MUL009	MYH11	9.55
BN1SN3	XZ	NOR-MUL279	MYH11	5.65	BO1SN3	XZ	NOR-MUL279	MYH11	12.56
BN1SN3	XZ	NOR-ORR360	MYH11	5.88	BO1SN3	XZ	NOR-ORR360	MYH11	21.72
BN1SN3	XZ	NOR-RRS318	MYH11	3.64	BO1SN3	XZ	NOR-RRS318	MYH11	8.31
BN1SN3	XZ	NOR-SAT180	MYH11	4.55	BO1SN3	XZ	NOR-SAT180	MYH11	10.56
BN1SN3	XZ	NPAL-NPS210	MYH11	3.62	BO1SN3	XZ	NPAL-NPS210	MYH11	6.05
BN1SN3	YZ	CHI-CHY28W	MYH11	10.03	BO1SN3	YZ	CHI-CHY28W	MYH11	8.17
BN1SN3	YZ	CHI-CHY101W	MYH11	2.59	BO1SN3	YZ	CHI-CHY101W	MYH11	2.78
BN1SN3	YZ	CHI-TCU063N	MYH11	1.95	BO1SN3	YZ	CHI-TCU063N	MYH11	1.17
BN1SN3	YZ	CHI-TCU072W	MYH11	7.42	BO1SN3	YZ	CHI-TCU072W	MYH11	7.82
BN1SN3	YZ	CHI-TCU74W	MYH11	13.30	BO1SN3	YZ	CHI-TCU74W	MYH11	8.02
BN1SN3	YZ	CHI-TCU128-W	MYH11	1.76	BO1SN3	YZ	CHI-TCU128-W	MYH11	1.28
BN1SN3	YZ	CHI-WGK-N	MYH11	6.68	BO1SN3	YZ	CHI-WGK-N	MYH11	6.69
BN1SN3	YZ	COA-PLE045	MYH11	17.47	BO1SN3	YZ	COA-PLE045	MYH11	16.16
BN1SN3	YZ	DZC-BOL000	MYH11	12.49	BO1SN3	YZ	DZC-BOL000	MYH11	9.74
BN1SN3	YZ	DZC-BOL090	MYH11	18.50	BO1SN3	YZ	DZC-BOL090	MYH11	17.77
BN1SN3	YZ	DZC-DZC180	MYH11	6.78	BO1SN3	YZ	DZC-DZC180	MYH11	7.20

Tablo C.1 (devam): Mevcut binalara ait yerdeğiştirme talepleri

Bina Adı	Analiz Yönü	İvme Kaydı	MYH Grup No	Δ_d (cm)	Bina Adı	Analiz Yönü	İvme Kaydı	MYH Grup No	Δ_d (cm)
BN1SN3	YZ	GAZ-KAR000	MYH11	6.27	BO1SN3	YZ	GAZ-KAR000	MYH11	6.21
BN1SN3	YZ	GAZ-KAR090	MYH11	10.16	BO1SN3	YZ	GAZ-KAR090	MYH11	6.20
BN1SN3	YZ	IMP-ECC092	MYH11	2.45	BO1SN3	YZ	IMP-ECC092	MYH11	2.06
BN1SN3	YZ	IMP-ECM000	MYH11	3.57	BO1SN3	YZ	IMP-ECM000	MYH11	3.08
BN1SN3	YZ	IMP-ELCD-270	MYH11	3.45	BO1SN3	YZ	IMP-ELCD-270	MYH11	3.77
BN1SN3	YZ	IRP-STU270	MYH11	3.64	BO1SN3	YZ	IRP-STU270	MYH11	2.56
BN1SN3	YZ	KOB-KJM090	MYH11	16.78	BO1SN3	YZ	KOB-KJM090	MYH11	14.14
BN1SN3	YZ	KOC-DZC180	MYH11	6.18	BO1SN3	YZ	KOC-DZC180	MYH11	3.88
BN1SN3	YZ	KOC-GBZ000	MYH11	4.75	BO1SN3	YZ	KOC-GBZ000	MYH11	3.51
BN1SN3	YZ	KOC-YAR060	MYH11	3.31	BO1SN3	YZ	KOC-YAR060	MYH11	3.92
BN1SN3	YZ	LOM-HSP000	MYH11	7.76	BO1SN3	YZ	LOM-HSP000	MYH11	10.52
BN1SN3	YZ	LOM-WVC270	MYH11	2.93	BO1SN3	YZ	LOM-WVC270	MYH11	4.28
BN1SN3	YZ	NOR-CNP196	MYH11	8.55	BO1SN3	YZ	NOR-CNP196	MYH11	9.89
BN1SN3	YZ	NOR-MUL009	MYH11	10.48	BO1SN3	YZ	NOR-MUL009	MYH11	7.65
BN1SN3	YZ	NOR-MUL279	MYH11	7.52	BO1SN3	YZ	NOR-MUL279	MYH11	11.29
BN1SN3	YZ	NOR-ORR360	MYH11	17.19	BO1SN3	YZ	NOR-ORR360	MYH11	14.56
BN1SN3	YZ	NOR-RRS318	MYH11	5.72	BO1SN3	YZ	NOR-RRS318	MYH11	8.16
BN1SN3	YZ	NOR-SAT180	MYH11	8.72	BO1SN3	YZ	NOR-SAT180	MYH11	9.43
BN1SN3	YZ	NPAL-NPS210	MYH11	4.62	BO1SN3	YZ	NPAL-NPS210	MYH11	4.42
BN1SN3	XZ	CHI-TCU065N	MYH12	2.91	BO1SN3	XZ	CHI-TCU065N	MYH12	13.25
BN1SN3	XZ	CHI-TCU067W	MYH12	3.33	BO1SN3	XZ	CHI-TCU067W	MYH12	9.30
BN1SN3	XZ	CHI-TCU102-N	MYH12	0.91	BO1SN3	XZ	CHI-TCU102-N	MYH12	2.60
BN1SN3	XZ	DZC-BOL000	MYH12	6.99	BO1SN3	XZ	DZC-BOL000	MYH12	12.18
BN1SN3	XZ	DZC-BOL090	MYH12	9.50	BO1SN3	XZ	DZC-BOL090	MYH12	23.99
BN1SN3	XZ	DZC-DZC180	MYH12	5.04	BO1SN3	XZ	DZC-DZC180	MYH12	10.32
BN1SN3	XZ	GAZ-KAR090	MYH12	5.16	BO1SN3	XZ	GAZ-KAR090	MYH12	9.39
BN1SN3	XZ	IMP-ECC092	MYH12	1.66	BO1SN3	XZ	IMP-ECC092	MYH12	3.76
BN1SN3	XZ	IMP-ELC4-230	MYH12	1.81	BO1SN3	XZ	IMP-ELC4-230	MYH12	4.70
BN1SN3	XZ	IMP-ELCD-270	MYH12	2.07	BO1SN3	XZ	IMP-ELCD-270	MYH12	5.84
BN1SN3	XZ	IRP-STU270	MYH12	2.81	BO1SN3	XZ	IRP-STU270	MYH12	3.55
BN1SN3	XZ	KOC-DZC180	MYH12	3.51	BO1SN3	XZ	KOC-DZC180	MYH12	4.60
BN1SN3	XZ	KOC-GBZ000	MYH12	2.34	BO1SN3	XZ	KOC-GBZ000	MYH12	6.45
BN1SN3	XZ	KOC-SKR090	MYH12	2.09	BO1SN3	XZ	KOC-SKR090	MYH12	2.39
BN1SN3	XZ	LAN-YER270	MYH12	1.85	BO1SN3	XZ	LAN-YER270	MYH12	8.54
BN1SN3	XZ	LOM-BRN000	MYH12	7.56	BO1SN3	XZ	LOM-BRN000	MYH12	8.14
BN1SN3	XZ	LOM-WVC270	MYH12	2.74	BO1SN3	XZ	LOM-WVC270	MYH12	7.02
BN1SN3	XZ	NOR-CNP196	MYH12	5.64	BO1SN3	XZ	NOR-CNP196	MYH12	9.20
BN1SN3	XZ	NOR-MUL009	MYH12	3.42	BO1SN3	XZ	NOR-MUL009	MYH12	10.31
BN1SN3	XZ	NOR-MUL279	MYH12	6.44	BO1SN3	XZ	NOR-MUL279	MYH12	14.58
BN1SN3	XZ	NOR-NEW090	MYH12	5.93	BO1SN3	XZ	NOR-NEW090	MYH12	11.90
BN1SN3	XZ	NOR-PAR-L	MYH12	4.18	BO1SN3	XZ	NOR-PAR-L	MYH12	12.24
BN1SN3	XZ	NOR-RRS318	MYH12	3.79	BO1SN3	XZ	NOR-RRS318	MYH12	9.06
BN1SN3	XZ	NOR-SAT180	MYH12	5.17	BO1SN3	XZ	NOR-SAT180	MYH12	11.45
BN1SN3	XZ	NOR-SCE288	MYH12	2.60	BO1SN3	XZ	NOR-SCE288	MYH12	5.03
BN1SN3	XZ	NOR-SEP360	MYH12	5.65	BO1SN3	XZ	NOR-SEP360	MYH12	10.30
BN1SN3	XZ	NOR-SYL090	MYH12	3.05	BO1SN3	XZ	NOR-SYL090	MYH12	13.41
BN1SN3	XZ	NOR-TAR360	MYH12	9.60	BO1SN3	XZ	NOR-TAR360	MYH12	12.35
BN1SN3	XZ	NOR-WPI316	MYH12	1.97	BO1SN3	XZ	NOR-WPI316	MYH12	9.11
BN1SN3	XZ	PRK-C02065	MYH12	4.26	BO1SN3	XZ	PRK-C02065	MYH12	13.14
BN1SN3	YZ	CHI-TCU065N	MYH12	6.51	BO1SN3	YZ	CHI-TCU065N	MYH12	6.29
BN1SN3	YZ	CHI-TCU067W	MYH12	4.98	BO1SN3	YZ	CHI-TCU067W	MYH12	8.53
BN1SN3	YZ	CHI-TCU102-N	MYH12	1.94	BO1SN3	YZ	CHI-TCU102-N	MYH12	1.79
BN1SN3	YZ	DZC-BOL000	MYH12	13.86	BO1SN3	YZ	DZC-BOL000	MYH12	10.67
BN1SN3	YZ	DZC-BOL090	MYH12	20.55	BO1SN3	YZ	DZC-BOL090	MYH12	19.65
BN1SN3	YZ	DZC-DZC180	MYH12	7.39	BO1SN3	YZ	DZC-DZC180	MYH12	7.96
BN1SN3	YZ	GAZ-KAR090	MYH12	11.01	BO1SN3	YZ	GAZ-KAR090	MYH12	6.95
BN1SN3	YZ	IMP-ECC092	MYH12	2.66	BO1SN3	YZ	IMP-ECC092	MYH12	2.23
BN1SN3	YZ	IMP-ELC4-230	MYH12	3.18	BO1SN3	YZ	IMP-ELC4-230	MYH12	3.01
BN1SN3	YZ	IMP-ELCD-270	MYH12	3.94	BO1SN3	YZ	IMP-ELCD-270	MYH12	4.48

Tablo C.1 (devam): Mevcut binalara ait yerdeğiştirme talepleri

Bina Adı	Analiz Yönü	İvme Kaydı	MYH Grup No	Δ_d (cm)	Bina Adı	Analiz Yönü	İvme Kaydı	MYH Grup No	Δ_d (cm)
BN1SN3	YZ	IRP-STU270	MYH12	3.78	BO1SN3	YZ	IRP-STU270	MYH12	2.59
BN1SN3	YZ	KOC-DZC180	MYH12	6.47	BO1SN3	YZ	KOC-DZC180	MYH12	4.19
BN1SN3	YZ	KOC-GBZ000	MYH12	5.26	BO1SN3	YZ	KOC-GBZ000	MYH12	4.04
BN1SN3	YZ	KOC-SKR090	MYH12	2.47	BO1SN3	YZ	KOC-SKR090	MYH12	2.53
BN1SN3	YZ	LAN-YER270	MYH12	4.16	BO1SN3	YZ	LAN-YER270	MYH12	4.78
BN1SN3	YZ	LOM-BRN000	MYH12	14.05	BO1SN3	YZ	LOM-BRN000	MYH12	7.89
BN1SN3	YZ	LOM-WVC270	MYH12	3.25	BO1SN3	YZ	LOM-WVC270	MYH12	4.98
BN1SN3	YZ	NOR-CNP196	MYH12	9.30	BO1SN3	YZ	NOR-CNP196	MYH12	10.87
BN1SN3	YZ	NOR-MUL009	MYH12	11.37	BO1SN3	YZ	NOR-MUL009	MYH12	8.54
BN1SN3	YZ	NOR-MUL279	MYH12	7.90	BO1SN3	YZ	NOR-MUL279	MYH12	13.13
BN1SN3	YZ	NOR-NEW090	MYH12	9.95	BO1SN3	YZ	NOR-NEW090	MYH12	9.02
BN1SN3	YZ	NOR-PAR-L	MYH12	10.02	BO1SN3	YZ	NOR-PAR-L	MYH12	9.89
BN1SN3	YZ	NOR-RRS318	MYH12	6.33	BO1SN3	YZ	NOR-RRS318	MYH12	8.86
BN1SN3	YZ	NOR-SAT180	MYH12	9.36	BO1SN3	YZ	NOR-SAT180	MYH12	9.75
BN1SN3	YZ	NOR-SCE288	MYH12	5.72	BO1SN3	YZ	NOR-SCE288	MYH12	3.55
BN1SN3	YZ	NOR-SEP360	MYH12	11.28	BO1SN3	YZ	NOR-SEP360	MYH12	8.68
BN1SN3	YZ	NOR-SYL090	MYH12	12.22	BO1SN3	YZ	NOR-SYL090	MYH12	11.53
BN1SN3	YZ	NOR-TAR360	MYH12	12.28	BO1SN3	YZ	NOR-TAR360	MYH12	16.45
BN1SN3	YZ	NOR-WPI316	MYH12	6.65	BO1SN3	YZ	NOR-WPI316	MYH12	6.23
BN1SN3	YZ	PRK-C02065	MYH12	10.46	BO1SN3	YZ	PRK-C02065	MYH12	11.37
BN2SN3	XZ	CAP-FOR090	MYH1	1.66	BO2SN3	XZ	CAP-FOR090	MYH1	1.53
BN2SN3	XZ	CHI-CHY010-N	MYH1	3.04	BO2SN3	XZ	CHI-CHY010-N	MYH1	2.45
BN2SN3	XZ	CHI-CHY41W	MYH1	2.84	BO2SN3	XZ	CHI-CHY41W	MYH1	2.72
BN2SN3	XZ	CHI-CHY046N	MYH1	1.75	BO2SN3	XZ	CHI-CHY046N	MYH1	1.64
BN2SN3	XZ	CHI-CHY047-E	MYH1	2.45	BO2SN3	XZ	CHI-CHY047-E	MYH1	2.43
BN2SN3	XZ	COA-CAK270	MYH1	2.81	BO2SN3	XZ	COA-CAK270	MYH1	2.68
BN2SN3	XZ	COY-G06320	MYH1	3.53	BO2SN3	XZ	COY-G06320	MYH1	3.73
BN2SN3	XZ	FRI-TMZ000	MYH1	2.81	BO2SN3	XZ	FRI-TMZ000	MYH1	2.64
BN2SN3	XZ	IMP-E12230	MYH1	1.36	BO2SN3	XZ	IMP-E12230	MYH1	1.27
BN2SN3	XZ	IMP-SAH000	MYH1	2.94	BO2SN3	XZ	IMP-SAH000	MYH1	2.51
BN2SN3	XZ	IRP-BIS000	MYH1	1.33	BO2SN3	XZ	IRP-BIS000	MYH1	1.10
BN2SN3	XZ	KOC-IZM180	MYH1	1.95	BO2SN3	XZ	KOC-IZM180	MYH1	1.79
BN2SN3	XZ	LAN-ABY090	MYH1	1.79	BO2SN3	XZ	LAN-ABY090	MYH1	1.54
BN2SN3	XZ	LAN-DSP000	MYH1	2.22	BO2SN3	XZ	LAN-DSP000	MYH1	2.17
BN2SN3	XZ	LIV-DVD246	MYH1	1.64	BO2SN3	XZ	LIV-DVD246	MYH1	1.55
BN2SN3	XZ	LOM-BRK090	MYH1	1.70	BO2SN3	XZ	LOM-BRK090	MYH1	1.70
BN2SN3	XZ	LOM-CLD285	MYH1	2.64	BO2SN3	XZ	LOM-CLD285	MYH1	2.58
BN2SN3	XZ	LOM-GGV337	MYH1	2.61	BO2SN3	XZ	LOM-GGV337	MYH1	2.49
BN2SN3	XZ	NOR-CWC270	MYH1	3.32	BO2SN3	XZ	NOR-CWC270	MYH1	3.10
BN2SN3	XZ	NOR-LOS090	MYH1	2.09	BO2SN3	XZ	NOR-LOS090	MYH1	2.03
BN2SN3	XZ	NOR-LOS360	MYH1	2.66	BO2SN3	XZ	NOR-LOS360	MYH1	3.15
BN2SN3	XZ	PRK-CHO355	MYH1	3.60	BO2SN3	XZ	PRK-CHO355	MYH1	3.63
BN2SN3	XZ	PRK-TMB205	MYH1	3.42	BO2SN3	XZ	PRK-TMB205	MYH1	3.20
BN2SN3	XZ	SUP-PLS135	MYH1	2.76	BO2SN3	XZ	SUP-PLS135	MYH1	2.61
BN2SN3	XZ	TAB-DAY-LN	MYH1	2.21	BO2SN3	XZ	TAB-DAY-LN	MYH1	2.34
BN2SN3	XZ	VIC-CPE315	MYH1	3.07	BO2SN3	XZ	VIC-CPE315	MYH1	2.79
BN2SN3	XZ	WHI-ALH180	MYH1	3.22	BO2SN3	XZ	WHI-ALH180	MYH1	2.79
BN2SN3	XZ	WHI-GRN180	MYH1	4.06	BO2SN3	XZ	WHI-GRN180	MYH1	3.28
BN2SN3	XZ	WHI-OBR360	MYH1	3.11	BO2SN3	XZ	WHI-OBR360	MYH1	2.90
BN2SN3	YZ	CAP-FOR090	MYH1	1.73	BO2SN3	YZ	CAP-FOR090	MYH1	2.28
BN2SN3	YZ	CHI-CHY010-N	MYH1	3.37	BO2SN3	YZ	CHI-CHY010-N	MYH1	3.78
BN2SN3	YZ	CHI-CHY41W	MYH1	2.94	BO2SN3	YZ	CHI-CHY41W	MYH1	3.46
BN2SN3	YZ	CHI-CHY046N	MYH1	2.11	BO2SN3	YZ	CHI-CHY046N	MYH1	3.48
BN2SN3	YZ	CHI-CHY047-E	MYH1	2.26	BO2SN3	YZ	CHI-CHY047-E	MYH1	2.57
BN2SN3	YZ	COA-CAK270	MYH1	3.37	BO2SN3	YZ	COA-CAK270	MYH1	4.30
BN2SN3	YZ	COY-G06320	MYH1	3.27	BO2SN3	YZ	COY-G06320	MYH1	3.79
BN2SN3	YZ	FRI-TMZ000	MYH1	2.83	BO2SN3	YZ	FRI-TMZ000	MYH1	3.76
BN2SN3	YZ	IMP-E12230	MYH1	1.17	BO2SN3	YZ	IMP-E12230	MYH1	1.86
BN2SN3	YZ	IMP-SAH000	MYH1	3.19	BO2SN3	YZ	IMP-SAH000	MYH1	3.52

Tablo C.1 (devam): Mevcut binalara ait yerdeğiştirme talepleri

Bina Adı	Analiz Yönü	İvme Kaydı	MYH Grup No	Δ_d (cm)	Bina Adı	Analiz Yönü	İvme Kaydı	MYH Grup No	Δ_d (cm)
BN2SN3	YZ	IRP-BIS000	MYH1	1.52	BO2SN3	YZ	IRP-BIS000	MYH1	1.69
BN2SN3	YZ	KOC-IZM180	MYH1	2.32	BO2SN3	YZ	KOC-IZM180	MYH1	3.34
BN2SN3	YZ	LAN-ABY090	MYH1	1.84	BO2SN3	YZ	LAN-ABY090	MYH1	1.96
BN2SN3	YZ	LAN-DSP000	MYH1	2.14	BO2SN3	YZ	LAN-DSP000	MYH1	2.76
BN2SN3	YZ	LIV-DVD246	MYH1	1.78	BO2SN3	YZ	LIV-DVD246	MYH1	2.44
BN2SN3	YZ	LOM-BRK090	MYH1	1.86	BO2SN3	YZ	LOM-BRK090	MYH1	2.93
BN2SN3	YZ	LOM-CLD285	MYH1	2.95	BO2SN3	YZ	LOM-CLD285	MYH1	2.68
BN2SN3	YZ	LOM-GGV337	MYH1	2.72	BO2SN3	YZ	LOM-GGV337	MYH1	3.60
BN2SN3	YZ	NOR-CWC270	MYH1	3.33	BO2SN3	YZ	NOR-CWC270	MYH1	2.94
BN2SN3	YZ	NOR-LOS090	MYH1	2.06	BO2SN3	YZ	NOR-LOS090	MYH1	3.25
BN2SN3	YZ	NOR-LOS360	MYH1	2.71	BO2SN3	YZ	NOR-LOS360	MYH1	5.04
BN2SN3	YZ	PRK-CHO355	MYH1	4.13	BO2SN3	YZ	PRK-CHO355	MYH1	4.47
BN2SN3	YZ	PRK-TMB205	MYH1	3.20	BO2SN3	YZ	PRK-TMB205	MYH1	3.43
BN2SN3	YZ	SUP-PLS135	MYH1	2.87	BO2SN3	YZ	SUP-PLS135	MYH1	3.43
BN2SN3	YZ	TAB-DAY-LN	MYH1	2.70	BO2SN3	YZ	TAB-DAY-LN	MYH1	3.77
BN2SN3	YZ	VIC-CPE315	MYH1	3.24	BO2SN3	YZ	VIC-CPE315	MYH1	3.91
BN2SN3	YZ	WHI-ALH180	MYH1	3.61	BO2SN3	YZ	WHI-ALH180	MYH1	3.40
BN2SN3	YZ	WHI-GRN180	MYH1	4.19	BO2SN3	YZ	WHI-GRN180	MYH1	4.55
BN2SN3	YZ	WHI-OBR360	MYH1	3.12	BO2SN3	YZ	WHI-OBR360	MYH1	3.06
BN2SN3	XZ	CHI-TCU141-N	MYH2	0.91	BO2SN3	XZ	CHI-TCU141-N	MYH2	0.89
BN2SN3	XZ	COA-PV1090	MYH2	2.93	BO2SN3	XZ	COA-PV1090	MYH2	2.90
BN2SN3	XZ	COA-Z14090	MYH2	3.59	BO2SN3	XZ	COA-Z14090	MYH2	3.01
BN2SN3	XZ	COY-G02140	MYH2	3.04	BO2SN3	XZ	COY-G02140	MYH2	3.02
BN2SN3	XZ	COY-G03140	MYH2	2.78	BO2SN3	XZ	COY-G03140	MYH2	2.77
BN2SN3	XZ	IMP-AER315	MYH2	3.18	BO2SN3	XZ	IMP-AER315	MYH2	3.28
BN2SN3	XZ	IMP-DLT262	MYH2	3.51	BO2SN3	XZ	IMP-DLT262	MYH2	3.42
BN2SN3	XZ	KOB-KAK090	MYH2	3.93	BO2SN3	XZ	KOB-KAK090	MYH2	4.67
BN2SN3	XZ	KOB-SHI090	MYH2	3.47	BO2SN3	XZ	KOB-SHI090	MYH2	3.81
BN2SN3	XZ	LAN-CLVLN	MYH2	3.48	BO2SN3	XZ	LAN-CLVLN	MYH2	3.11
BN2SN3	XZ	LAN-JOS000	MYH2	4.66	BO2SN3	XZ	LAN-JOS000	MYH2	4.22
BN2SN3	XZ	LOM-CAP090	MYH2	4.51	BO2SN3	XZ	LOM-CAP090	MYH2	7.51
BN2SN3	XZ	LOM-GGV067	MYH2	3.70	BO2SN3	XZ	LOM-GGV067	MYH2	2.80
BN2SN3	XZ	LOM-HSP090	MYH2	2.96	BO2SN3	XZ	LOM-HSP090	MYH2	3.11
BN2SN3	XZ	LOM-SFO000	MYH2	3.92	BO2SN3	XZ	LOM-SFO000	MYH2	3.26
BN2SN3	XZ	LOM-SFO090	MYH2	2.61	BO2SN3	XZ	LOM-SFO090	MYH2	2.83
BN2SN3	XZ	LOM-WAH000	MYH2	3.01	BO2SN3	XZ	LOM-WAH000	MYH2	3.08
BN2SN3	XZ	MAM-LUL000	MYH2	6.26	BO2SN3	XZ	MAM-LUL000	MYH2	4.88
BN2SN3	XZ	MOR-AND250	MYH2	5.06	BO2SN3	XZ	MOR-AND250	MYH2	3.94
BN2SN3	XZ	MOR-AND340	MYH2	4.49	BO2SN3	XZ	MOR-AND340	MYH2	3.70
BN2SN3	XZ	NOR-CHL160	MYH2	3.01	BO2SN3	XZ	NOR-CHL160	MYH2	2.82
BN2SN3	XZ	NOR-CWC180	MYH2	1.69	BO2SN3	XZ	NOR-CWC180	MYH2	1.69
BN2SN3	XZ	NOR-SAT090	MYH2	3.58	BO2SN3	XZ	NOR-SAT090	MYH2	3.67
BN2SN3	XZ	NPAL-DSP000	MYH2	2.59	BO2SN3	XZ	NPAL-DSP000	MYH2	2.60
BN2SN3	XZ	PRK-CHO085	MYH2	3.84	BO2SN3	XZ	PRK-CHO085	MYH2	2.94
BN2SN3	XZ	SFD-ORR291	MYH2	3.06	BO2SN3	XZ	SFD-ORR291	MYH2	2.72
BN2SN3	XZ	SPI-GUK000	MYH2	2.17	BO2SN3	XZ	SPI-GUK000	MYH2	2.11
BN2SN3	XZ	TAB-DAY-TR	MYH2	4.49	BO2SN3	XZ	TAB-DAY-TR	MYH2	4.82
BN2SN3	XZ	WES-PTS315	MYH2	2.95	BO2SN3	XZ	WES-PTS315	MYH2	2.73
BN2SN3	XZ	WHI-DEL000	MYH2	3.72	BO2SN3	XZ	WHI-DEL000	MYH2	3.80
BN2SN3	XZ	WHI-DWN180	MYH2	2.76	BO2SN3	XZ	WHI-DWN180	MYH2	2.79
BN2SN3	YZ	CHI-TCU141-N	MYH2	1.13	BO2SN3	YZ	CHI-TCU141-N	MYH2	1.43
BN2SN3	YZ	COA-PV1090	MYH2	3.22	BO2SN3	YZ	COA-PV1090	MYH2	3.20
BN2SN3	YZ	COA-Z14090	MYH2	4.16	BO2SN3	YZ	COA-Z14090	MYH2	5.00
BN2SN3	YZ	COY-G02140	MYH2	3.09	BO2SN3	YZ	COY-G02140	MYH2	3.08
BN2SN3	YZ	COY-G03140	MYH2	2.90	BO2SN3	YZ	COY-G03140	MYH2	3.11
BN2SN3	YZ	IMP-AER315	MYH2	3.66	BO2SN3	YZ	IMP-AER315	MYH2	3.73
BN2SN3	YZ	IMP-DLT262	MYH2	4.12	BO2SN3	YZ	IMP-DLT262	MYH2	3.99
BN2SN3	YZ	KOB-KAK090	MYH2	4.32	BO2SN3	YZ	KOB-KAK090	MYH2	4.34
BN2SN3	YZ	KOB-SHI090	MYH2	3.82	BO2SN3	YZ	KOB-SHI090	MYH2	4.57

Tablo C.1 (devam): Mevcut binalara ait yerdeğiştirme talepleri

Bina Adı	Analiz Yönü	İvme Kaydı	MYH Grup No	Δ_d (cm)	Bina Adı	Analiz Yönü	İvme Kaydı	MYH Grup No	Δ_d (cm)
BN2SN3	YZ	LAN-CLVLN	MYH2	3.35	BO2SN3	YZ	LAN-CLVLN	MYH2	4.25
BN2SN3	YZ	LAN-JOS000	MYH2	5.09	BO2SN3	YZ	LAN-JOS000	MYH2	4.36
BN2SN3	YZ	LOM-CAP090	MYH2	6.37	BO2SN3	YZ	LOM-CAP090	MYH2	7.21
BN2SN3	YZ	LOM-GGV067	MYH2	3.92	BO2SN3	YZ	LOM-GGV067	MYH2	3.37
BN2SN3	YZ	LOM-HSP090	MYH2	3.30	BO2SN3	YZ	LOM-HSP090	MYH2	4.65
BN2SN3	YZ	LOM-SFO000	MYH2	3.59	BO2SN3	YZ	LOM-SFO000	MYH2	4.03
BN2SN3	YZ	LOM-SFO090	MYH2	3.83	BO2SN3	YZ	LOM-SFO090	MYH2	5.91
BN2SN3	YZ	LOM-WAH000	MYH2	3.61	BO2SN3	YZ	LOM-WAH000	MYH2	4.72
BN2SN3	YZ	MAM-LUL000	MYH2	6.10	BO2SN3	YZ	MAM-LUL000	MYH2	5.53
BN2SN3	YZ	MOR-AND250	MYH2	4.98	BO2SN3	YZ	MOR-AND250	MYH2	3.63
BN2SN3	YZ	MOR-AND340	MYH2	4.79	BO2SN3	YZ	MOR-AND340	MYH2	4.44
BN2SN3	YZ	NOR-CHL160	MYH2	3.43	BO2SN3	YZ	NOR-CHL160	MYH2	4.63
BN2SN3	YZ	NOR-CWC180	MYH2	1.78	BO2SN3	YZ	NOR-CWC180	MYH2	3.08
BN2SN3	YZ	NOR-SAT090	MYH2	3.68	BO2SN3	YZ	NOR-SAT090	MYH2	3.70
BN2SN3	YZ	NPAL-DSP000	MYH2	2.78	BO2SN3	YZ	NPAL-DSP000	MYH2	3.90
BN2SN3	YZ	PRK-CHO085	MYH2	4.26	BO2SN3	YZ	PRK-CHO085	MYH2	3.54
BN2SN3	YZ	SFD-ORR291	MYH2	3.18	BO2SN3	YZ	SFD-ORR291	MYH2	4.76
BN2SN3	YZ	SPI-GUK000	MYH2	2.52	BO2SN3	YZ	SPI-GUK000	MYH2	3.47
BN2SN3	YZ	TAB-DAY-TR	MYH2	4.67	BO2SN3	YZ	TAB-DAY-TR	MYH2	7.35
BN2SN3	YZ	WES-PTS315	MYH2	3.08	BO2SN3	YZ	WES-PTS315	MYH2	3.52
BN2SN3	YZ	WHI-DEL000	MYH2	4.21	BO2SN3	YZ	WHI-DEL000	MYH2	6.10
BN2SN3	YZ	WHI-DWN180	MYH2	3.11	BO2SN3	YZ	WHI-DWN180	MYH2	4.10
BN2SN3	XZ	CAP-FOR000	MYH3	1.57	BO2SN3	XZ	CAP-FOR000	MYH3	1.52
BN2SN3	XZ	CHI-CHY29W	MYH3	4.58	BO2SN3	XZ	CHI-CHY29W	MYH3	4.19
BN2SN3	XZ	CHI-TCU046N	MYH3	1.30	BO2SN3	XZ	CHI-TCU046N	MYH3	1.31
BN2SN3	XZ	CHI-TCU112-N	MYH3	1.28	BO2SN3	XZ	CHI-TCU112-N	MYH3	1.18
BN2SN3	XZ	CHI-TCU118-N	MYH3	1.34	BO2SN3	XZ	CHI-TCU118-N	MYH3	1.27
BN2SN3	XZ	FRI-TMZ270	MYH3	4.52	BO2SN3	XZ	FRI-TMZ270	MYH3	4.70
BN2SN3	XZ	IMP-ELC2-140	MYH3	3.66	BO2SN3	XZ	IMP-ELC2-140	MYH3	3.88
BN2SN3	XZ	IMP-ELC11-140	MYH3	3.35	BO2SN3	XZ	IMP-ELC11-140	MYH3	3.11
BN2SN3	XZ	IMP-SAH270	MYH3	5.10	BO2SN3	XZ	IMP-SAH270	MYH3	4.51
BN2SN3	XZ	KOC-AMB090	MYH3	2.65	BO2SN3	XZ	KOC-AMB090	MYH3	2.64
BN2SN3	XZ	KOC-GBZ270	MYH3	2.40	BO2SN3	XZ	KOC-GBZ270	MYH3	2.31
BN2SN3	XZ	KOC-IZM090	MYH3	1.65	BO2SN3	XZ	KOC-IZM090	MYH3	1.56
BN2SN3	XZ	LAN-LUC000	MYH3	3.03	BO2SN3	XZ	LAN-LUC000	MYH3	2.94
BN2SN3	XZ	LAN-YER360	MYH3	1.98	BO2SN3	XZ	LAN-YER360	MYH3	1.87
BN2SN3	XZ	LOM-A02133	MYH3	2.14	BO2SN3	XZ	LOM-A02133	MYH3	2.17
BN2SN3	XZ	LOM-G01000	MYH3	3.45	BO2SN3	XZ	LOM-G01000	MYH3	3.04
BN2SN3	XZ	LOM-G01090	MYH3	5.01	BO2SN3	XZ	LOM-G01090	MYH3	4.05
BN2SN3	XZ	LOM-G02000	MYH3	4.49	BO2SN3	XZ	LOM-G02000	MYH3	4.63
BN2SN3	XZ	LOM-TRI090	MYH3	2.12	BO2SN3	XZ	LOM-TRI090	MYH3	2.08
BN2SN3	XZ	MAM-LUL090	MYH3	3.76	BO2SN3	XZ	MAM-LUL090	MYH3	3.71
BN2SN3	XZ	NOR-CNP106	MYH3	3.95	BO2SN3	XZ	NOR-CNP106	MYH3	5.22
BN2SN3	XZ	NOR-PAC265	MYH3	4.63	BO2SN3	XZ	NOR-PAC265	MYH3	3.61
BN2SN3	XZ	NOR-PKC090	MYH3	5.04	BO2SN3	XZ	NOR-PKC090	MYH3	5.00
BN2SN3	XZ	NOR-WIL180	MYH3	2.91	BO2SN3	XZ	NOR-WIL180	MYH3	2.93
BN2SN3	XZ	NPAL-MVH045	MYH3	2.01	BO2SN3	XZ	NPAL-MVH045	MYH3	1.88
BN2SN3	XZ	NPAL-NPS300	MYH3	5.39	BO2SN3	XZ	NPAL-NPS300	MYH3	5.14
BN2SN3	XZ	NPAL-WWT270	MYH3	6.89	BO2SN3	XZ	NPAL-WWT270	MYH3	7.21
BN2SN3	XZ	SUP-IVW090	MYH3	1.80	BO2SN3	XZ	SUP-IVW090	MYH3	1.71
BN2SN3	XZ	SUP-IVW360	MYH3	2.52	BO2SN3	XZ	SUP-IVW360	MYH3	2.29
BN2SN3	XZ	SUP-KRN360	MYH3	2.08	BO2SN3	XZ	SUP-KRN360	MYH3	1.93
BN2SN3	XZ	SUP-POE360	MYH3	3.14	BO2SN3	XZ	SUP-POE360	MYH3	2.41
BN2SN3	XZ	SUP-SUP045	MYH3	3.99	BO2SN3	XZ	SUP-SUP045	MYH3	3.52
BN2SN3	XZ	VIC-CPE045	MYH3	6.88	BO2SN3	XZ	VIC-CPE045	MYH3	7.06
BN2SN3	XZ	WHI-OR2010	MYH3	3.22	BO2SN3	XZ	WHI-OR2010	MYH3	3.66
BN2SN3	YZ	CAP-FOR000	MYH3	1.73	BO2SN3	YZ	CAP-FOR000	MYH3	2.05
BN2SN3	YZ	CHI-CHY29W	MYH3	4.67	BO2SN3	YZ	CHI-CHY29W	MYH3	5.27
BN2SN3	YZ	CHI-TCU046N	MYH3	1.30	BO2SN3	YZ	CHI-TCU046N	MYH3	2.62

Tablo C.1 (devam): Mevcut binalara ait yerdeğiştirme talepleri

Bina Adı	Analiz Yönü	İvme Kaydı	MYH Grup No	Δ_d (cm)	Bina Adı	Analiz Yönü	İvme Kaydı	MYH Grup No	Δ_d (cm)
BN2SN3	YZ	CHI-TCU112-N	MYH3	1.34	BO2SN3	YZ	CHI-TCU112-N	MYH3	1.39
BN2SN3	YZ	CHI-TCU118-N	MYH3	1.55	BO2SN3	YZ	CHI-TCU118-N	MYH3	2.29
BN2SN3	YZ	FRI-TMZ270	MYH3	5.01	BO2SN3	YZ	FRI-TMZ270	MYH3	6.48
BN2SN3	YZ	IMP-ELC2-140	MYH3	4.10	BO2SN3	YZ	IMP-ELC2-140	MYH3	4.39
BN2SN3	YZ	IMP-ELC11-140	MYH3	3.64	BO2SN3	YZ	IMP-ELC11-140	MYH3	3.14
BN2SN3	YZ	IMP-SAH270	MYH3	4.63	BO2SN3	YZ	IMP-SAH270	MYH3	4.18
BN2SN3	YZ	KOC-AMB090	MYH3	3.05	BO2SN3	YZ	KOC-AMB090	MYH3	3.85
BN2SN3	YZ	KOC-GBZ270	MYH3	2.50	BO2SN3	YZ	KOC-GBZ270	MYH3	2.88
BN2SN3	YZ	KOC-IZM090	MYH3	1.79	BO2SN3	YZ	KOC-IZM090	MYH3	3.33
BN2SN3	YZ	LAN-LUC000	MYH3	3.04	BO2SN3	YZ	LAN-LUC000	MYH3	3.61
BN2SN3	YZ	LAN-YER360	MYH3	2.38	BO2SN3	YZ	LAN-YER360	MYH3	3.00
BN2SN3	YZ	LOM-A02133	MYH3	2.05	BO2SN3	YZ	LOM-A02133	MYH3	5.17
BN2SN3	YZ	LOM-G01000	MYH3	3.25	BO2SN3	YZ	LOM-G01000	MYH3	3.22
BN2SN3	YZ	LOM-G01090	MYH3	5.22	BO2SN3	YZ	LOM-G01090	MYH3	5.10
BN2SN3	YZ	LOM-G02000	MYH3	4.50	BO2SN3	YZ	LOM-G02000	MYH3	6.58
BN2SN3	YZ	LOM-TRI090	MYH3	2.38	BO2SN3	YZ	LOM-TRI090	MYH3	4.17
BN2SN3	YZ	MAM-LUL090	MYH3	4.08	BO2SN3	YZ	MAM-LUL090	MYH3	5.96
BN2SN3	YZ	NOR-CNP106	MYH3	4.06	BO2SN3	YZ	NOR-CNP106	MYH3	5.48
BN2SN3	YZ	NOR-PAC265	MYH3	4.92	BO2SN3	YZ	NOR-PAC265	MYH3	4.38
BN2SN3	YZ	NOR-PKC090	MYH3	5.67	BO2SN3	YZ	NOR-PKC090	MYH3	6.59
BN2SN3	YZ	NOR-WIL180	MYH3	3.04	BO2SN3	YZ	NOR-WIL180	MYH3	4.23
BN2SN3	YZ	NPAL-MVH045	MYH3	2.39	BO2SN3	YZ	NPAL-MVH045	MYH3	2.94
BN2SN3	YZ	NPAL-NPS300	MYH3	5.51	BO2SN3	YZ	NPAL-NPS300	MYH3	6.27
BN2SN3	YZ	NPAL-WWT270	MYH3	7.41	BO2SN3	YZ	NPAL-WWT270	MYH3	8.25
BN2SN3	YZ	SUP-IVW090	MYH3	1.99	BO2SN3	YZ	SUP-IVW090	MYH3	2.09
BN2SN3	YZ	SUP-IVW360	MYH3	2.69	BO2SN3	YZ	SUP-IVW360	MYH3	3.39
BN2SN3	YZ	SUP-KRN360	MYH3	2.32	BO2SN3	YZ	SUP-KRN360	MYH3	2.66
BN2SN3	YZ	SUP-POE360	MYH3	3.67	BO2SN3	YZ	SUP-POE360	MYH3	4.60
BN2SN3	YZ	SUP-SUP045	MYH3	5.12	BO2SN3	YZ	SUP-SUP045	MYH3	5.88
BN2SN3	YZ	VIC-CPE045	MYH3	6.79	BO2SN3	YZ	VIC-CPE045	MYH3	8.05
BN2SN3	YZ	WHI-OR2010	MYH3	3.64	BO2SN3	YZ	WHI-OR2010	MYH3	6.49
BN2SN3	XZ	CHI-CHY29N	MYH4	3.99	BO2SN3	XZ	CHI-CHY29N	MYH4	4.46
BN2SN3	XZ	CHI-CHY036W	MYH4	4.11	BO2SN3	XZ	CHI-CHY036W	MYH4	4.58
BN2SN3	XZ	CHI-CHY41N	MYH4	8.71	BO2SN3	XZ	CHI-CHY41N	MYH4	8.76
BN2SN3	XZ	CHI-TCU45N	MYH4	7.60	BO2SN3	XZ	CHI-TCU45N	MYH4	7.87
BN2SN3	XZ	CHI-TCU45W	MYH4	5.69	BO2SN3	XZ	CHI-TCU45W	MYH4	4.22
BN2SN3	XZ	CHI-TCU51N	MYH4	2.27	BO2SN3	XZ	CHI-TCU51N	MYH4	2.20
BN2SN3	XZ	COA-PLE135	MYH4	6.20	BO2SN3	XZ	COA-PLE135	MYH4	6.86
BN2SN3	XZ	IMP-BRA225	MYH4	0.98	BO2SN3	XZ	IMP-BRA225	MYH4	1.02
BN2SN3	XZ	IMP-BRA315	MYH4	3.16	BO2SN3	XZ	IMP-BRA315	MYH4	3.10
BN2SN3	XZ	IMP-ECC002	MYH4	3.22	BO2SN3	XZ	IMP-ECC002	MYH4	2.67
BN2SN3	XZ	IMP-ELC4-140	MYH4	4.24	BO2SN3	XZ	IMP-ELC4-140	MYH4	5.08
BN2SN3	XZ	IRP-STU000	MYH4	3.14	BO2SN3	XZ	IRP-STU000	MYH4	3.12
BN2SN3	XZ	KOB-NIS000	MYH4	6.51	BO2SN3	XZ	KOB-NIS000	MYH4	6.05
BN2SN3	XZ	KOB-NIS090	MYH4	5.36	BO2SN3	XZ	KOB-NIS090	MYH4	5.32
BN2SN3	XZ	KOB-SHI000	MYH4	3.03	BO2SN3	XZ	KOB-SHI000	MYH4	3.92
BN2SN3	XZ	KOC-ARC090	MYH4	1.14	BO2SN3	XZ	KOC-ARC090	MYH4	1.15
BN2SN3	XZ	LOM-G02090	MYH4	3.71	BO2SN3	XZ	LOM-G02090	MYH4	3.71
BN2SN3	XZ	LOM-G03000	MYH4	5.03	BO2SN3	XZ	LOM-G03000	MYH4	4.25
BN2SN3	XZ	LOM-HDA255	MYH4	4.58	BO2SN3	XZ	LOM-HDA255	MYH4	3.84
BN2SN3	XZ	LOM-SVL360	MYH4	2.13	BO2SN3	XZ	LOM-SVL360	MYH4	2.04
BN2SN3	XZ	MOR-G06090	MYH4	3.60	BO2SN3	XZ	MOR-G06090	MYH4	4.35
BN2SN3	XZ	MOR-HAL240	MYH4	4.40	BO2SN3	XZ	MOR-HAL240	MYH4	3.59
BN2SN3	XZ	NOR-KAT090	MYH4	7.27	BO2SN3	XZ	NOR-KAT090	MYH4	7.20
BN2SN3	XZ	NOR-SCR090	MYH4	4.03	BO2SN3	XZ	NOR-SCR090	MYH4	3.46
BN2SN3	XZ	NOR-STN020	MYH4	5.93	BO2SN3	XZ	NOR-STN020	MYH4	5.46
BN2SN3	XZ	NPAL-WWT180	MYH4	5.46	BO2SN3	XZ	NPAL-WWT180	MYH4	4.23
BN2SN3	XZ	SUP-POE270	MYH4	5.57	BO2SN3	XZ	SUP-POE270	MYH4	5.69
BN2SN3	XZ	WES-PTS225	MYH4	3.06	BO2SN3	XZ	WES-PTS225	MYH4	3.11

Tablo C.1 (devam): Mevcut binalara ait yerdeğiştirme talepleri

Bina Adı	Analiz Yönü	İvme Kaydı	MYH Grup No	Δ_d (cm)	Bina Adı	Analiz Yönü	İvme Kaydı	MYH Grup No	Δ_d (cm)
BN2SN3	XZ	WHI-BIR180	MYH4	4.84	BO2SN3	XZ	WHI-BIR180	MYH4	3.93
BN2SN3	XZ	WHI-EJS048	MYH4	5.28	BO2SN3	XZ	WHI-EJS048	MYH4	4.83
BN2SN3	YZ	CHI-CHY29N	MYH4	4.34	BO2SN3	YZ	CHI-CHY29N	MYH4	6.72
BN2SN3	YZ	CHI-CHY036W	MYH4	4.98	BO2SN3	YZ	CHI-CHY036W	MYH4	7.02
BN2SN3	YZ	CHI-CHY41N	MYH4	9.42	BO2SN3	YZ	CHI-CHY41N	MYH4	7.11
BN2SN3	YZ	CHI-TCU45N	MYH4	8.17	BO2SN3	YZ	CHI-TCU45N	MYH4	9.16
BN2SN3	YZ	CHI-TCU45W	MYH4	5.29	BO2SN3	YZ	CHI-TCU45W	MYH4	5.87
BN2SN3	YZ	CHI-TCU51N	MYH4	2.73	BO2SN3	YZ	CHI-TCU51N	MYH4	3.46
BN2SN3	YZ	COA-PLE135	MYH4	6.58	BO2SN3	YZ	COA-PLE135	MYH4	7.14
BN2SN3	YZ	IMP-BRA225	MYH4	1.01	BO2SN3	YZ	IMP-BRA225	MYH4	1.36
BN2SN3	YZ	IMP-BRA315	MYH4	3.48	BO2SN3	YZ	IMP-BRA315	MYH4	4.28
BN2SN3	YZ	IMP-ECC002	MYH4	4.00	BO2SN3	YZ	IMP-ECC002	MYH4	4.08
BN2SN3	YZ	IMP-ELC4-140	MYH4	5.42	BO2SN3	YZ	IMP-ELC4-140	MYH4	10.23
BN2SN3	YZ	IRP-STU000	MYH4	3.39	BO2SN3	YZ	IRP-STU000	MYH4	4.91
BN2SN3	YZ	KOB-NIS000	MYH4	7.15	BO2SN3	YZ	KOB-NIS000	MYH4	6.15
BN2SN3	YZ	KOB-NIS090	MYH4	5.60	BO2SN3	YZ	KOB-NIS090	MYH4	6.36
BN2SN3	YZ	KOB-SHI000	MYH4	4.12	BO2SN3	YZ	KOB-SHI000	MYH4	6.15
BN2SN3	YZ	KOC-ARC090	MYH4	1.19	BO2SN3	YZ	KOC-ARC090	MYH4	1.65
BN2SN3	YZ	LOM-G02090	MYH4	4.05	BO2SN3	YZ	LOM-G02090	MYH4	5.75
BN2SN3	YZ	LOM-G03000	MYH4	4.58	BO2SN3	YZ	LOM-G03000	MYH4	4.71
BN2SN3	YZ	LOM-HDA255	MYH4	4.73	BO2SN3	YZ	LOM-HDA255	MYH4	7.55
BN2SN3	YZ	LOM-SVL360	MYH4	2.41	BO2SN3	YZ	LOM-SVL360	MYH4	2.98
BN2SN3	YZ	MOR-G06090	MYH4	3.74	BO2SN3	YZ	MOR-G06090	MYH4	7.34
BN2SN3	YZ	MOR-HAL240	MYH4	5.28	BO2SN3	YZ	MOR-HAL240	MYH4	8.17
BN2SN3	YZ	NOR-KAT090	MYH4	6.54	BO2SN3	YZ	NOR-KAT090	MYH4	10.07
BN2SN3	YZ	NOR-SCR090	MYH4	3.95	BO2SN3	YZ	NOR-SCR090	MYH4	5.45
BN2SN3	YZ	NOR-STN020	MYH4	6.54	BO2SN3	YZ	NOR-STN020	MYH4	7.92
BN2SN3	YZ	NPAL-WWT180	MYH4	5.79	BO2SN3	YZ	NPAL-WWT180	MYH4	5.16
BN2SN3	YZ	SUP-POE270	MYH4	6.08	BO2SN3	YZ	SUP-POE270	MYH4	4.77
BN2SN3	YZ	WES-PTS225	MYH4	3.19	BO2SN3	YZ	WES-PTS225	MYH4	5.69
BN2SN3	YZ	WHI-BIR180	MYH4	4.88	BO2SN3	YZ	WHI-BIR180	MYH4	8.40
BN2SN3	YZ	WHI-EJS048	MYH4	5.54	BO2SN3	YZ	WHI-EJS048	MYH4	5.98
BN2SN3	XZ	CAP-RIO270	MYH5	4.30	BO2SN3	XZ	CAP-RIO270	MYH5	4.22
BN2SN3	XZ	CAP-RIO360	MYH5	8.08	BO2SN3	XZ	CAP-RIO360	MYH5	7.58
BN2SN3	XZ	CHI-TCU046W	MYH5	1.13	BO2SN3	XZ	CHI-TCU046W	MYH5	1.23
BN2SN3	XZ	CHI-TCU061N	MYH5	2.38	BO2SN3	XZ	CHI-TCU061N	MYH5	2.06
BN2SN3	XZ	CHI-TCU74N	MYH5	5.72	BO2SN3	XZ	CHI-TCU74N	MYH5	5.59
BN2SN3	XZ	CHI-TCU112-W	MYH5	1.40	BO2SN3	XZ	CHI-TCU112-W	MYH5	1.26
BN2SN3	XZ	CHI-TCU123-W	MYH5	1.87	BO2SN3	XZ	CHI-TCU123-W	MYH5	1.79
BN2SN3	XZ	CHI-TCU141-E	MYH5	1.10	BO2SN3	XZ	CHI-TCU141-E	MYH5	0.92
BN2SN3	XZ	CHI-WNTN	MYH5	2.45	BO2SN3	XZ	CHI-WNTN	MYH5	2.57
BN2SN3	XZ	COA-Z14000	MYH5	4.00	BO2SN3	XZ	COA-Z14000	MYH5	5.05
BN2SN3	XZ	IMP-AER045	MYH5	3.22	BO2SN3	XZ	IMP-AER045	MYH5	2.90
BN2SN3	XZ	IMP-ELC3-230	MYH5	1.65	BO2SN3	XZ	IMP-ELC3-230	MYH5	1.52
BN2SN3	XZ	IMP-ELC11-230	MYH5	4.15	BO2SN3	XZ	IMP-ELC11-230	MYH5	3.37
BN2SN3	XZ	IMP-ELCD-360	MYH5	5.41	BO2SN3	XZ	IMP-ELCD-360	MYH5	5.50
BN2SN3	XZ	KOC-AMB000	MYH5	3.24	BO2SN3	XZ	KOC-AMB000	MYH5	3.30
BN2SN3	XZ	LAN-CLVTR	MYH5	8.56	BO2SN3	XZ	LAN-CLVTR	MYH5	8.51
BN2SN3	XZ	LAN-JOS090	MYH5	3.25	BO2SN3	XZ	LAN-JOS090	MYH5	4.33
BN2SN3	XZ	LOM-CYC285	MYH5	4.59	BO2SN3	XZ	LOM-CYC285	MYH5	4.22
BN2SN3	XZ	LOM-GOF090	MYH5	5.06	BO2SN3	XZ	LOM-GOF090	MYH5	4.33
BN2SN3	XZ	LOM-HDA165	MYH5	3.97	BO2SN3	XZ	LOM-HDA165	MYH5	4.38
BN2SN3	XZ	LOM-SAR000	MYH5	2.77	BO2SN3	XZ	LOM-SAR000	MYH5	3.75
BN2SN3	XZ	LOM-SAR090	MYH5	3.41	BO2SN3	XZ	LOM-SAR090	MYH5	3.49
BN2SN3	XZ	NOR-KAT000	MYH5	11.98	BO2SN3	XZ	NOR-KAT000	MYH5	12.83
BN2SN3	XZ	NOR-LOS000	MYH5	6.71	BO2SN3	XZ	NOR-LOS000	MYH5	6.70
BN2SN3	XZ	NOR-MU2035	MYH5	5.44	BO2SN3	XZ	NOR-MU2035	MYH5	5.14
BN2SN3	XZ	NOR-STM090	MYH5	4.14	BO2SN3	XZ	NOR-STM090	MYH5	4.23
BN2SN3	XZ	NPAL-MVH135	MYH5	2.15	BO2SN3	XZ	NPAL-MVH135	MYH5	2.05

Tablo C.1 (devam): Mevcut binalara ait yerdeğiştirme talepleri

Bina Adı	Analiz Yönü	İvme Kaydı	MYH Grup No	Δ_d (cm)	Bina Adı	Analiz Yönü	İvme Kaydı	MYH Grup No	Δ_d (cm)
BN2SN3	XZ	SUP-ELC090	MYH5	3.16	BO2SN3	XZ	SUP-ELC090	MYH5	3.48
BN2SN3	XZ	SUP-PTS315	MYH5	3.80	BO2SN3	XZ	SUP-PTS315	MYH5	3.05
BN2SN3	XZ	SUP-SUP135	MYH5	7.21	BO2SN3	XZ	SUP-SUP135	MYH5	4.89
BN2SN3	YZ	CAP-RIO270	MYH5	4.78	BO2SN3	YZ	CAP-RIO270	MYH5	7.80
BN2SN3	YZ	CAP-RIO360	MYH5	7.90	BO2SN3	YZ	CAP-RIO360	MYH5	8.15
BN2SN3	YZ	CHI-TCU046W	MYH5	1.17	BO2SN3	YZ	CHI-TCU046W	MYH5	2.14
BN2SN3	YZ	CHI-TCU061N	MYH5	2.56	BO2SN3	YZ	CHI-TCU061N	MYH5	3.07
BN2SN3	YZ	CHI-TCU74N	MYH5	5.46	BO2SN3	YZ	CHI-TCU74N	MYH5	7.87
BN2SN3	YZ	CHI-TCU112-W	MYH5	1.46	BO2SN3	YZ	CHI-TCU112-W	MYH5	1.43
BN2SN3	YZ	CHI-TCU123-W	MYH5	2.10	BO2SN3	YZ	CHI-TCU123-W	MYH5	3.36
BN2SN3	YZ	CHI-TCU141-E	MYH5	1.39	BO2SN3	YZ	CHI-TCU141-E	MYH5	1.78
BN2SN3	YZ	CHI-WNTN	MYH5	2.81	BO2SN3	YZ	CHI-WNTN	MYH5	5.00
BN2SN3	YZ	COA-Z14000	MYH5	4.31	BO2SN3	YZ	COA-Z14000	MYH5	6.93
BN2SN3	YZ	IMP-AER045	MYH5	3.81	BO2SN3	YZ	IMP-AER045	MYH5	5.17
BN2SN3	YZ	IMP-ELC3-230	MYH5	2.16	BO2SN3	YZ	IMP-ELC3-230	MYH5	3.63
BN2SN3	YZ	IMP-ELC11-230	MYH5	4.64	BO2SN3	YZ	IMP-ELC11-230	MYH5	3.90
BN2SN3	YZ	IMP-ELCD-360	MYH5	6.24	BO2SN3	YZ	IMP-ELCD-360	MYH5	9.85
BN2SN3	YZ	KOC-AMB000	MYH5	3.57	BO2SN3	YZ	KOC-AMB000	MYH5	3.94
BN2SN3	YZ	LAN-CLVTR	MYH5	9.06	BO2SN3	YZ	LAN-CLVTR	MYH5	10.62
BN2SN3	YZ	LAN-JOS090	MYH5	3.80	BO2SN3	YZ	LAN-JOS090	MYH5	5.89
BN2SN3	YZ	LOM-CYC285	MYH5	4.66	BO2SN3	YZ	LOM-CYC285	MYH5	6.96
BN2SN3	YZ	LOM-GOF090	MYH5	5.23	BO2SN3	YZ	LOM-GOF090	MYH5	5.28
BN2SN3	YZ	LOM-HDA165	MYH5	3.74	BO2SN3	YZ	LOM-HDA165	MYH5	6.63
BN2SN3	YZ	LOM-SAR000	MYH5	3.46	BO2SN3	YZ	LOM-SAR000	MYH5	9.59
BN2SN3	YZ	LOM-SAR090	MYH5	3.64	BO2SN3	YZ	LOM-SAR090	MYH5	4.54
BN2SN3	YZ	NOR-KAT000	MYH5	11.02	BO2SN3	YZ	NOR-KAT000	MYH5	10.03
BN2SN3	YZ	NOR-LOS000	MYH5	7.09	BO2SN3	YZ	NOR-LOS000	MYH5	11.34
BN2SN3	YZ	NOR-MU2035	MYH5	5.10	BO2SN3	YZ	NOR-MU2035	MYH5	4.86
BN2SN3	YZ	NOR-STM090	MYH5	3.78	BO2SN3	YZ	NOR-STM090	MYH5	4.09
BN2SN3	YZ	NPAL-MVH135	MYH5	2.30	BO2SN3	YZ	NPAL-MVH135	MYH5	3.93
BN2SN3	YZ	SUP-ELC090	MYH5	3.60	BO2SN3	YZ	SUP-ELC090	MYH5	4.82
BN2SN3	YZ	SUP-PTS315	MYH5	3.58	BO2SN3	YZ	SUP-PTS315	MYH5	5.44
BN2SN3	YZ	SUP-SUP135	MYH5	8.47	BO2SN3	YZ	SUP-SUP135	MYH5	7.22
BN2SN3	XZ	CAP-PET000	MYH6	7.80	BO2SN3	XZ	CAP-PET000	MYH6	9.59
BN2SN3	XZ	CHI-CHY025W	MYH6	2.04	BO2SN3	XZ	CHI-CHY025W	MYH6	1.87
BN2SN3	XZ	CHI-CHY034-N	MYH6	3.43	BO2SN3	XZ	CHI-CHY034-N	MYH6	4.32
BN2SN3	XZ	CHI-TCU038N	MYH6	2.53	BO2SN3	XZ	CHI-TCU038N	MYH6	2.31
BN2SN3	XZ	CHI-TCU038W	MYH6	2.13	BO2SN3	XZ	CHI-TCU038W	MYH6	1.89
BN2SN3	XZ	CHI-TCU048N	MYH6	1.70	BO2SN3	XZ	CHI-TCU048N	MYH6	1.49
BN2SN3	XZ	CHI-TCU49W	MYH6	2.42	BO2SN3	XZ	CHI-TCU49W	MYH6	2.70
BN2SN3	XZ	CHI-TCU51W	MYH6	2.87	BO2SN3	XZ	CHI-TCU51W	MYH6	2.90
BN2SN3	XZ	CHI-TCU95N	MYH6	4.80	BO2SN3	XZ	CHI-TCU95N	MYH6	3.78
BN2SN3	XZ	CHI-TCU104-N	MYH6	0.98	BO2SN3	XZ	CHI-TCU104-N	MYH6	1.03
BN2SN3	XZ	CHI-TCU106-W	MYH6	2.08	BO2SN3	XZ	CHI-TCU106-W	MYH6	2.11
BN2SN3	XZ	CHI-TCU107-N	MYH6	2.28	BO2SN3	XZ	CHI-TCU107-N	MYH6	1.95
BN2SN3	XZ	COY-G06230	MYH6	5.87	BO2SN3	XZ	COY-G06230	MYH6	6.28
BN2SN3	XZ	IMP-E10050	MYH6	2.80	BO2SN3	XZ	IMP-E10050	MYH6	2.76
BN2SN3	XZ	IMP-ELC3-140	MYH6	2.77	BO2SN3	XZ	IMP-ELC3-140	MYH6	2.81
BN2SN3	XZ	IMP-ELC5-140	MYH6	3.63	BO2SN3	XZ	IMP-ELC5-140	MYH6	4.21
BN2SN3	XZ	IMP-ELC7-140	MYH6	2.83	BO2SN3	XZ	IMP-ELC7-140	MYH6	3.08
BN2SN3	XZ	IMP-ELC8-230	MYH6	2.74	BO2SN3	XZ	IMP-ELC8-230	MYH6	2.82
BN2SN3	XZ	IMP-HVP225	MYH6	3.37	BO2SN3	XZ	IMP-HVP225	MYH6	3.76
BN2SN3	XZ	KOC-DZC270	MYH6	4.65	BO2SN3	XZ	KOC-DZC270	MYH6	5.22
BN2SN3	XZ	LOM-BRN090	MYH6	7.90	BO2SN3	XZ	LOM-BRN090	MYH6	8.50
BN2SN3	XZ	LOM-COR090	MYH6	7.40	BO2SN3	XZ	LOM-COR090	MYH6	7.61
BN2SN3	XZ	LOM-G03090	MYH6	3.08	BO2SN3	XZ	LOM-G03090	MYH6	3.51
BN2SN3	XZ	LOM-HCH180	MYH6	2.85	BO2SN3	XZ	LOM-HCH180	MYH6	2.62
BN2SN3	XZ	NAH-S1010	MYH6	5.94	BO2SN3	XZ	NAH-S1010	MYH6	6.12
BN2SN3	XZ	NAH-S1280	MYH6	3.82	BO2SN3	XZ	NAH-S1280	MYH6	4.14

Tablo C.1 (devam): Mevcut binalara ait yerdeğiştirme talepleri

Bina Adı	Analiz Yönü	İvme Kaydı	MYH Grup No	Δ_d (cm)	Bina Adı	Analiz Yönü	İvme Kaydı	MYH Grup No	Δ_d (cm)
BN2SN3	XZ	NOR-LOS270	MYH6	4.63	BO2SN3	XZ	NOR-LOS270	MYH6	5.67
BN2SN3	XZ	NOR-PAC175	MYH6	5.33	BO2SN3	XZ	NOR-PAC175	MYH6	4.75
BN2SN3	XZ	SUP-ELC000	MYH6	3.12	BO2SN3	XZ	SUP-ELC000	MYH6	3.63
BN2SN3	XZ	WES-WSM090	MYH6	4.87	BO2SN3	XZ	WES-WSM090	MYH6	5.85
BN2SN3	YZ	CAP-PET000	MYH6	8.68	BO2SN3	YZ	CAP-PET000	MYH6	12.28
BN2SN3	YZ	CHI-CHY025W	MYH6	2.12	BO2SN3	YZ	CHI-CHY025W	MYH6	3.62
BN2SN3	YZ	CHI-CHY034-N	MYH6	3.79	BO2SN3	YZ	CHI-CHY034-N	MYH6	6.69
BN2SN3	YZ	CHI-TCU038N	MYH6	2.63	BO2SN3	YZ	CHI-TCU038N	MYH6	3.15
BN2SN3	YZ	CHI-TCU038W	MYH6	2.14	BO2SN3	YZ	CHI-TCU038W	MYH6	3.40
BN2SN3	YZ	CHI-TCU048N	MYH6	1.76	BO2SN3	YZ	CHI-TCU048N	MYH6	3.36
BN2SN3	YZ	CHI-TCU49W	MYH6	2.95	BO2SN3	YZ	CHI-TCU49W	MYH6	3.64
BN2SN3	YZ	CHI-TCU51W	MYH6	3.21	BO2SN3	YZ	CHI-TCU51W	MYH6	2.82
BN2SN3	YZ	CHI-TCU95N	MYH6	4.45	BO2SN3	YZ	CHI-TCU95N	MYH6	4.21
BN2SN3	YZ	CHI-TCU104-N	MYH6	1.15	BO2SN3	YZ	CHI-TCU104-N	MYH6	1.83
BN2SN3	YZ	CHI-TCU106-W	MYH6	2.77	BO2SN3	YZ	CHI-TCU106-W	MYH6	3.87
BN2SN3	YZ	CHI-TCU107-N	MYH6	2.34	BO2SN3	YZ	CHI-TCU107-N	MYH6	3.67
BN2SN3	YZ	COY-G06230	MYH6	6.21	BO2SN3	YZ	COY-G06230	MYH6	7.28
BN2SN3	YZ	IMP-E10050	MYH6	2.84	BO2SN3	YZ	IMP-E10050	MYH6	3.18
BN2SN3	YZ	IMP-ELC3-140	MYH6	2.52	BO2SN3	YZ	IMP-ELC3-140	MYH6	4.35
BN2SN3	YZ	IMP-ELC5-140	MYH6	3.99	BO2SN3	YZ	IMP-ELC5-140	MYH6	8.61
BN2SN3	YZ	IMP-ELC7-140	MYH6	3.45	BO2SN3	YZ	IMP-ELC7-140	MYH6	6.67
BN2SN3	YZ	IMP-ELC8-230	MYH6	3.28	BO2SN3	YZ	IMP-ELC8-230	MYH6	4.75
BN2SN3	YZ	IMP-HVP225	MYH6	3.65	BO2SN3	YZ	IMP-HVP225	MYH6	5.60
BN2SN3	YZ	KOC-DZC270	MYH6	5.39	BO2SN3	YZ	KOC-DZC270	MYH6	6.11
BN2SN3	YZ	LOM-BRN090	MYH6	7.69	BO2SN3	YZ	LOM-BRN090	MYH6	12.72
BN2SN3	YZ	LOM-COR090	MYH6	8.66	BO2SN3	YZ	LOM-COR090	MYH6	7.60
BN2SN3	YZ	LOM-G03090	MYH6	3.92	BO2SN3	YZ	LOM-G03090	MYH6	3.87
BN2SN3	YZ	LOM-HCH180	MYH6	3.49	BO2SN3	YZ	LOM-HCH180	MYH6	5.25
BN2SN3	YZ	NAH-S1010	MYH6	6.53	BO2SN3	YZ	NAH-S1010	MYH6	5.43
BN2SN3	YZ	NAH-S1280	MYH6	4.11	BO2SN3	YZ	NAH-S1280	MYH6	4.36
BN2SN3	YZ	NOR-LOS270	MYH6	5.36	BO2SN3	YZ	NOR-LOS270	MYH6	7.80
BN2SN3	YZ	NOR-PAC175	MYH6	5.00	BO2SN3	YZ	NOR-PAC175	MYH6	5.44
BN2SN3	YZ	SUP-ELC000	MYH6	3.59	BO2SN3	YZ	SUP-ELC000	MYH6	7.29
BN2SN3	YZ	WES-WSM090	MYH6	5.40	BO2SN3	YZ	WES-WSM090	MYH6	8.23
BN2SN3	XZ	CHI-CHY002-N	MYH7	1.33	BO2SN3	XZ	CHI-CHY002-N	MYH7	1.25
BN2SN3	XZ	CHI-CHY024W	MYH7	2.73	BO2SN3	XZ	CHI-CHY024W	MYH7	3.25
BN2SN3	XZ	CHI-CHY104-E	MYH7	2.97	BO2SN3	XZ	CHI-CHY104-E	MYH7	2.91
BN2SN3	XZ	CHI-TCU029N	MYH7	1.94	BO2SN3	XZ	CHI-TCU029N	MYH7	1.74
BN2SN3	XZ	CHI-TCU036N	MYH7	2.25	BO2SN3	XZ	CHI-TCU036N	MYH7	2.05
BN2SN3	XZ	CHI-TCU039N	MYH7	1.69	BO2SN3	XZ	CHI-TCU039N	MYH7	1.70
BN2SN3	XZ	CHI-TCU039W	MYH7	1.64	BO2SN3	XZ	CHI-TCU039W	MYH7	1.46
BN2SN3	XZ	CHI-TCU040N	MYH7	1.80	BO2SN3	XZ	CHI-TCU040N	MYH7	1.75
BN2SN3	XZ	CHI-TCU040W	MYH7	2.19	BO2SN3	XZ	CHI-TCU040W	MYH7	1.89
BN2SN3	XZ	CHI-TCU055N	MYH7	2.24	BO2SN3	XZ	CHI-TCU055N	MYH7	2.36
BN2SN3	XZ	CHI-TCU064N	MYH7	1.43	BO2SN3	XZ	CHI-TCU064N	MYH7	1.31
BN2SN3	XZ	CHI-TCU70W	MYH7	4.87	BO2SN3	XZ	CHI-TCU70W	MYH7	4.89
BN2SN3	XZ	CHI-TCU109-N	MYH7	2.35	BO2SN3	XZ	CHI-TCU109-N	MYH7	2.33
BN2SN3	XZ	CHI-TCU109-W	MYH7	2.75	BO2SN3	XZ	CHI-TCU109-W	MYH7	2.25
BN2SN3	XZ	CHI-TCU115-W	MYH7	1.48	BO2SN3	XZ	CHI-TCU115-W	MYH7	1.42
BN2SN3	XZ	CHI-TCU117-N	MYH7	1.41	BO2SN3	XZ	CHI-TCU117-N	MYH7	1.17
BN2SN3	XZ	IMP-ELC8-140	MYH7	6.39	BO2SN3	XZ	IMP-ELC8-140	MYH7	7.26
BN2SN3	XZ	IMP-HVP315	MYH7	2.27	BO2SN3	XZ	IMP-HVP315	MYH7	2.27
BN2SN3	XZ	IRP-STU270	MYH7	2.66	BO2SN3	XZ	IRP-STU270	MYH7	2.21
BN2SN3	XZ	KOC-GBZ000	MYH7	3.04	BO2SN3	XZ	KOC-GBZ000	MYH7	2.96
BN2SN3	XZ	LAN-YER270	MYH7	2.47	BO2SN3	XZ	LAN-YER270	MYH7	2.92
BN2SN3	XZ	LOM-A02043	MYH7	2.97	BO2SN3	XZ	LOM-A02043	MYH7	4.31
BN2SN3	XZ	LOM-BRN000	MYH7	7.46	BO2SN3	XZ	LOM-BRN000	MYH7	6.93
BN2SN3	XZ	LOM-LGP090	MYH7	6.20	BO2SN3	XZ	LOM-LGP090	MYH7	7.24
BN2SN3	XZ	MOR-CYC195	MYH7	7.41	BO2SN3	XZ	MOR-CYC195	MYH7	9.07

Tablo C.1 (devam): Mevcut binalara ait yerdeğiştirme talepleri

Bina Adı	Analiz Yönü	İvme Kaydı	MYH Grup No	Δ_d (cm)	Bina Adı	Analiz Yönü	İvme Kaydı	MYH Grup No	Δ_d (cm)
BN2SN3	XZ	NOR-LDM334	MYH7	5.38	BO2SN3	XZ	NOR-LDM334	MYH7	5.72
BN2SN3	XZ	NOR-ORR090	MYH7	5.40	BO2SN3	XZ	NOR-ORR090	MYH7	7.57
BN2SN3	XZ	NOR-ORR360	MYH7	9.73	BO2SN3	XZ	NOR-ORR360	MYH7	10.67
BN2SN3	XZ	NOR-PKC360	MYH7	9.30	BO2SN3	XZ	NOR-PKC360	MYH7	9.00
BN2SN3	XZ	SFD-PCD254	MYH7	13.26	BO2SN3	XZ	SFD-PCD254	MYH7	13.02
BN2SN3	YZ	CHI-CHY002-N	MYH7	1.73	BO2SN3	YZ	CHI-CHY002-N	MYH7	2.71
BN2SN3	YZ	CHI-CHY024W	MYH7	3.47	BO2SN3	YZ	CHI-CHY024W	MYH7	5.20
BN2SN3	YZ	CHI-CHY104-E	MYH7	2.87	BO2SN3	YZ	CHI-CHY104-E	MYH7	3.59
BN2SN3	YZ	CHI-TCU029N	MYH7	1.87	BO2SN3	YZ	CHI-TCU029N	MYH7	2.61
BN2SN3	YZ	CHI-TCU036N	MYH7	2.09	BO2SN3	YZ	CHI-TCU036N	MYH7	2.69
BN2SN3	YZ	CHI-TCU039N	MYH7	1.59	BO2SN3	YZ	CHI-TCU039N	MYH7	2.82
BN2SN3	YZ	CHI-TCU039W	MYH7	2.09	BO2SN3	YZ	CHI-TCU039W	MYH7	5.21
BN2SN3	YZ	CHI-TCU040N	MYH7	1.58	BO2SN3	YZ	CHI-TCU040N	MYH7	2.47
BN2SN3	YZ	CHI-TCU040W	MYH7	2.33	BO2SN3	YZ	CHI-TCU040W	MYH7	2.86
BN2SN3	YZ	CHI-TCU055N	MYH7	2.55	BO2SN3	YZ	CHI-TCU055N	MYH7	3.99
BN2SN3	YZ	CHI-TCU064N	MYH7	1.38	BO2SN3	YZ	CHI-TCU064N	MYH7	2.02
BN2SN3	YZ	CHI-TCU70W	MYH7	5.75	BO2SN3	YZ	CHI-TCU70W	MYH7	7.26
BN2SN3	YZ	CHI-TCU109-N	MYH7	3.18	BO2SN3	YZ	CHI-TCU109-N	MYH7	3.59
BN2SN3	YZ	CHI-TCU109-W	MYH7	3.03	BO2SN3	YZ	CHI-TCU109-W	MYH7	3.25
BN2SN3	YZ	CHI-TCU115-W	MYH7	1.68	BO2SN3	YZ	CHI-TCU115-W	MYH7	1.74
BN2SN3	YZ	CHI-TCU117-N	MYH7	1.61	BO2SN3	YZ	CHI-TCU117-N	MYH7	2.09
BN2SN3	YZ	IMP-ELC8-140	MYH7	6.85	BO2SN3	YZ	IMP-ELC8-140	MYH7	7.22
BN2SN3	YZ	IMP-HVP315	MYH7	2.28	BO2SN3	YZ	IMP-HVP315	MYH7	3.60
BN2SN3	YZ	IRP-STU270	MYH7	2.72	BO2SN3	YZ	IRP-STU270	MYH7	3.45
BN2SN3	YZ	KOC-GBZ000	MYH7	3.54	BO2SN3	YZ	KOC-GBZ000	MYH7	3.83
BN2SN3	YZ	LAN-YER270	MYH7	3.21	BO2SN3	YZ	LAN-YER270	MYH7	4.18
BN2SN3	YZ	LOM-A02043	MYH7	4.05	BO2SN3	YZ	LOM-A02043	MYH7	8.65
BN2SN3	YZ	LOM-BRN000	MYH7	9.02	BO2SN3	YZ	LOM-BRN000	MYH7	6.03
BN2SN3	YZ	LOM-LGP090	MYH7	6.03	BO2SN3	YZ	LOM-LGP090	MYH7	8.48
BN2SN3	YZ	MOR-CYC195	MYH7	7.64	BO2SN3	YZ	MOR-CYC195	MYH7	14.72
BN2SN3	YZ	NOR-LDM334	MYH7	6.02	BO2SN3	YZ	NOR-LDM334	MYH7	9.88
BN2SN3	YZ	NOR-ORR090	MYH7	5.94	BO2SN3	YZ	NOR-ORR090	MYH7	8.69
BN2SN3	YZ	NOR-ORR360	MYH7	11.20	BO2SN3	YZ	NOR-ORR360	MYH7	17.26
BN2SN3	YZ	NOR-PKC360	MYH7	10.35	BO2SN3	YZ	NOR-PKC360	MYH7	10.15
BN2SN3	YZ	SFD-PCD254	MYH7	11.12	BO2SN3	YZ	SFD-PCD254	MYH7	10.82
BN2SN3	XZ	CAP-RIO270	MYH8	5.66	BO2SN3	XZ	CAP-RIO270	MYH8	7.02
BN2SN3	XZ	CAP-RIO360	MYH8	11.20	BO2SN3	XZ	CAP-RIO360	MYH8	10.18
BN2SN3	XZ	CHI-CHY006-E	MYH8	7.40	BO2SN3	XZ	CHI-CHY006-E	MYH8	10.48
BN2SN3	XZ	CHI-CHY092-E	MYH8	1.20	BO2SN3	XZ	CHI-CHY092-E	MYH8	1.12
BN2SN3	XZ	CHI-CHY104-N	MYH8	1.83	BO2SN3	XZ	CHI-CHY104-N	MYH8	1.73
BN2SN3	XZ	CHI-TCU054W	MYH8	2.36	BO2SN3	XZ	CHI-TCU054W	MYH8	2.11
BN2SN3	XZ	CHI-TCU059N	MYH8	2.70	BO2SN3	XZ	CHI-TCU059N	MYH8	2.59
BN2SN3	XZ	CHI-TCU059W	MYH8	2.23	BO2SN3	XZ	CHI-TCU059W	MYH8	2.09
BN2SN3	XZ	CHI-TCU063W	MYH8	2.34	BO2SN3	XZ	CHI-TCU063W	MYH8	2.36
BN2SN3	XZ	CHI-TCU072N	MYH8	5.54	BO2SN3	XZ	CHI-TCU072N	MYH8	5.00
BN2SN3	XZ	CHI-TCU82W	MYH8	3.20	BO2SN3	XZ	CHI-TCU82W	MYH8	3.16
BN2SN3	XZ	CHI-TCU110-N	MYH8	2.26	BO2SN3	XZ	CHI-TCU110-N	MYH8	2.20
BN2SN3	XZ	CHI-TCU111-W	MYH8	1.47	BO2SN3	XZ	CHI-TCU111-W	MYH8	1.46
BN2SN3	XZ	CHI-TCU117-W	MYH8	1.58	BO2SN3	XZ	CHI-TCU117-W	MYH8	1.66
BN2SN3	XZ	CHI-TCU136-E	MYH8	1.90	BO2SN3	XZ	CHI-TCU136-E	MYH8	2.01
BN2SN3	XZ	DZC-BOL000	MYH8	7.67	BO2SN3	XZ	DZC-BOL000	MYH8	8.67
BN2SN3	XZ	IMP-ELC3-140	MYH8	3.49	BO2SN3	XZ	IMP-ELC3-140	MYH8	3.57
BN2SN3	XZ	IMP-ELC3-230	MYH8	2.57	BO2SN3	XZ	IMP-ELC3-230	MYH8	2.46
BN2SN3	XZ	IRP-STU270	MYH8	2.79	BO2SN3	XZ	IRP-STU270	MYH8	2.31
BN2SN3	XZ	KOC-DZC180	MYH8	4.29	BO2SN3	XZ	KOC-DZC180	MYH8	3.64
BN2SN3	XZ	KOC-DZC270	MYH8	6.41	BO2SN3	XZ	KOC-DZC270	MYH8	6.34
BN2SN3	XZ	KOC-GBZ000	MYH8	3.70	BO2SN3	XZ	KOC-GBZ000	MYH8	3.77
BN2SN3	XZ	LAN-CLVTR	MYH8	13.07	BO2SN3	XZ	LAN-CLVTR	MYH8	12.04
BN2SN3	XZ	LAN-YER270	MYH8	3.05	BO2SN3	XZ	LAN-YER270	MYH8	3.85

Tablo C.1 (devam): Mevcut binalara ait yerdeğiştirme talepleri

Bina Adı	Analiz Yönü	İvme Kaydı	MYH Grup No	Δ_d (cm)	Bina Adı	Analiz Yönü	İvme Kaydı	MYH Grup No	Δ_d (cm)
BN2SN3	XZ	LOM-COR000	MYH8	9.16	BO2SN3	XZ	LOM-COR000	MYH8	9.88
BN2SN3	XZ	NOR-MUL009	MYH8	7.53	BO2SN3	XZ	NOR-MUL009	MYH8	7.19
BN2SN3	XZ	NOR-PUL104	MYH8	9.02	BO2SN3	XZ	NOR-PUL104	MYH8	10.52
BN2SN3	XZ	NPAL-MVH135	MYH8	3.02	BO2SN3	XZ	NPAL-MVH135	MYH8	2.83
BN2SN3	XZ	SUP-ELC000	MYH8	4.55	BO2SN3	XZ	SUP-ELC000	MYH8	5.74
BN2SN3	XZ	SUP-ELC090	MYH8	5.22	BO2SN3	XZ	SUP-ELC090	MYH8	5.95
BN2SN3	YZ	CAP-RIO270	MYH8	6.12	BO2SN3	YZ	CAP-RIO270	MYH8	10.56
BN2SN3	YZ	CAP-RIO360	MYH8	10.75	BO2SN3	YZ	CAP-RIO360	MYH8	11.60
BN2SN3	YZ	CHI-CHY006-E	MYH8	7.67	BO2SN3	YZ	CHI-CHY006-E	MYH8	11.88
BN2SN3	YZ	CHI-CHY092-E	MYH8	1.24	BO2SN3	YZ	CHI-CHY092-E	MYH8	1.88
BN2SN3	YZ	CHI-CHY104-N	MYH8	2.09	BO2SN3	YZ	CHI-CHY104-N	MYH8	3.55
BN2SN3	YZ	CHI-TCU054W	MYH8	2.54	BO2SN3	YZ	CHI-TCU054W	MYH8	3.34
BN2SN3	YZ	CHI-TCU059N	MYH8	3.49	BO2SN3	YZ	CHI-TCU059N	MYH8	3.35
BN2SN3	YZ	CHI-TCU059W	MYH8	2.86	BO2SN3	YZ	CHI-TCU059W	MYH8	4.52
BN2SN3	YZ	CHI-TCU063W	MYH8	2.59	BO2SN3	YZ	CHI-TCU063W	MYH8	4.91
BN2SN3	YZ	CHI-TCU072N	MYH8	5.91	BO2SN3	YZ	CHI-TCU072N	MYH8	13.99
BN2SN3	YZ	CHI-TCU82W	MYH8	3.09	BO2SN3	YZ	CHI-TCU82W	MYH8	4.53
BN2SN3	YZ	CHI-TCU110-N	MYH8	2.65	BO2SN3	YZ	CHI-TCU110-N	MYH8	4.78
BN2SN3	YZ	CHI-TCU111-W	MYH8	1.65	BO2SN3	YZ	CHI-TCU111-W	MYH8	2.63
BN2SN3	YZ	CHI-TCU117-W	MYH8	1.51	BO2SN3	YZ	CHI-TCU117-W	MYH8	2.20
BN2SN3	YZ	CHI-TCU136-E	MYH8	1.79	BO2SN3	YZ	CHI-TCU136-E	MYH8	3.42
BN2SN3	YZ	DZC-BOL000	MYH8	9.84	BO2SN3	YZ	DZC-BOL000	MYH8	9.95
BN2SN3	YZ	IMP-ELC3-140	MYH8	3.07	BO2SN3	YZ	IMP-ELC3-140	MYH8	6.47
BN2SN3	YZ	IMP-ELC3-230	MYH8	3.51	BO2SN3	YZ	IMP-ELC3-230	MYH8	5.54
BN2SN3	YZ	IRP-STU270	MYH8	2.82	BO2SN3	YZ	IRP-STU270	MYH8	3.82
BN2SN3	YZ	KOC-DZC180	MYH8	4.61	BO2SN3	YZ	KOC-DZC180	MYH8	5.44
BN2SN3	YZ	KOC-DZC270	MYH8	6.84	BO2SN3	YZ	KOC-DZC270	MYH8	8.57
BN2SN3	YZ	KOC-GBZ000	MYH8	4.21	BO2SN3	YZ	KOC-GBZ000	MYH8	4.61
BN2SN3	YZ	LAN-CLVTR	MYH8	13.37	BO2SN3	YZ	LAN-CLVTR	MYH8	16.14
BN2SN3	YZ	LAN-YER270	MYH8	3.83	BO2SN3	YZ	LAN-YER270	MYH8	5.23
BN2SN3	YZ	LOM-COR000	MYH8	9.60	BO2SN3	YZ	LOM-COR000	MYH8	12.17
BN2SN3	YZ	NOR-MUL009	MYH8	8.75	BO2SN3	YZ	NOR-MUL009	MYH8	8.22
BN2SN3	YZ	NOR-PUL104	MYH8	9.81	BO2SN3	YZ	NOR-PUL104	MYH8	13.12
BN2SN3	YZ	NPAL-MVH135	MYH8	3.02	BO2SN3	YZ	NPAL-MVH135	MYH8	7.86
BN2SN3	YZ	SUP-ELC000	MYH8	4.83	BO2SN3	YZ	SUP-ELC000	MYH8	10.17
BN2SN3	YZ	SUP-ELC090	MYH8	5.52	BO2SN3	YZ	SUP-ELC090	MYH8	6.71
BN2SN3	XZ	CHI-TCU036W	MYH9	1.73	BO2SN3	XZ	CHI-TCU036W	MYH9	1.48
BN2SN3	XZ	CHI-TCU49N	MYH9	2.22	BO2SN3	XZ	CHI-TCU49N	MYH9	2.20
BN2SN3	XZ	CHI-TCU70N	MYH9	2.63	BO2SN3	XZ	CHI-TCU70N	MYH9	2.42
BN2SN3	XZ	CHI-TCU76N	MYH9	6.49	BO2SN3	XZ	CHI-TCU76N	MYH9	8.34
BN2SN3	XZ	CHI-TCU76W	MYH9	3.23	BO2SN3	XZ	CHI-TCU76W	MYH9	3.88
BN2SN3	XZ	CHI-TCU079-W	MYH9	13.83	BO2SN3	XZ	CHI-TCU079-W	MYH9	10.77
BN2SN3	XZ	CHI-TCU95W	MYH9	5.88	BO2SN3	XZ	CHI-TCU95W	MYH9	5.18
BN2SN3	XZ	CHI-TCU103-W	MYH9	2.15	BO2SN3	XZ	CHI-TCU103-W	MYH9	2.03
BN2SN3	XZ	CHI-TCU120-W	MYH9	2.37	BO2SN3	XZ	CHI-TCU120-W	MYH9	2.43
BN2SN3	XZ	CHI-TCU129-W	MYH9	6.51	BO2SN3	XZ	CHI-TCU129-W	MYH9	6.83
BN2SN3	XZ	COA-PLE045	MYH9	14.04	BO2SN3	XZ	COA-PLE045	MYH9	13.81
BN2SN3	XZ	DZC-BOL000	MYH9	9.51	BO2SN3	XZ	DZC-BOL000	MYH9	9.82
BN2SN3	XZ	DZC-BOL090	MYH9	15.67	BO2SN3	XZ	DZC-BOL090	MYH9	17.20
BN2SN3	XZ	DZC-DZC180	MYH9	7.43	BO2SN3	XZ	DZC-DZC180	MYH9	7.17
BN2SN3	XZ	ERZ-ERZEW	MYH9	6.93	BO2SN3	XZ	ERZ-ERZEW	MYH9	8.93
BN2SN3	XZ	IMP-ELC3-140	MYH9	3.86	BO2SN3	XZ	IMP-ELC3-140	MYH9	3.99
BN2SN3	XZ	IMP-HVP315	MYH9	2.74	BO2SN3	XZ	IMP-HVP315	MYH9	2.84
BN2SN3	XZ	IRP-STU270	MYH9	2.88	BO2SN3	XZ	IRP-STU270	MYH9	2.41
BN2SN3	XZ	KOC-DZC180	MYH9	4.57	BO2SN3	XZ	KOC-DZC180	MYH9	3.79
BN2SN3	XZ	KOC-GBZ000	MYH9	4.16	BO2SN3	XZ	KOC-GBZ000	MYH9	4.36
BN2SN3	XZ	KOC-YAR330	MYH9	3.59	BO2SN3	XZ	KOC-YAR330	MYH9	3.87
BN2SN3	XZ	LAN-YER270	MYH9	3.59	BO2SN3	XZ	LAN-YER270	MYH9	4.77
BN2SN3	XZ	LOM-BRN000	MYH9	8.88	BO2SN3	XZ	LOM-BRN000	MYH9	7.46

Tablo C.1 (devam): Mevcut binalara ait yerdeğiştirme talepleri

Bina Adı	Analiz Yönü	İvme Kaydı	MYH Grup No	Δ_d (cm)	Bina Adı	Analiz Yönü	İvme Kaydı	MYH Grup No	Δ_d (cm)
BN2SN3	XZ	LOM-HSP000	MYH9	8.12	BO2SN3	XZ	LOM-HSP000	MYH9	9.06
BN2SN3	XZ	LOM-WVC270	MYH9	2.87	BO2SN3	XZ	LOM-WVC270	MYH9	3.76
BN2SN3	XZ	NOR-CNP196	MYH9	8.38	BO2SN3	XZ	NOR-CNP196	MYH9	8.91
BN2SN3	XZ	NOR-LDM064	MYH9	5.56	BO2SN3	XZ	NOR-LDM064	MYH9	7.93
BN2SN3	XZ	NOR-MUL279	MYH9	8.16	BO2SN3	XZ	NOR-MUL279	MYH9	9.74
BN2SN3	XZ	NOR-SAT180	MYH9	8.34	BO2SN3	XZ	NOR-SAT180	MYH9	9.09
BN2SN3	XZ	SUP-ELC000	MYH9	5.33	BO2SN3	XZ	SUP-ELC000	MYH9	6.82
BN2SN3	YZ	CHI-TCU036W	MYH9	1.97	BO2SN3	YZ	CHI-TCU036W	MYH9	2.54
BN2SN3	YZ	CHI-TCU49N	MYH9	2.53	BO2SN3	YZ	CHI-TCU49N	MYH9	3.58
BN2SN3	YZ	CHI-TCU70N	MYH9	3.24	BO2SN3	YZ	CHI-TCU70N	MYH9	5.15
BN2SN3	YZ	CHI-TCU76N	MYH9	8.14	BO2SN3	YZ	CHI-TCU76N	MYH9	11.66
BN2SN3	YZ	CHI-TCU76W	MYH9	3.27	BO2SN3	YZ	CHI-TCU76W	MYH9	3.26
BN2SN3	YZ	CHI-TCU079-W	MYH9	12.06	BO2SN3	YZ	CHI-TCU079-W	MYH9	9.51
BN2SN3	YZ	CHI-TCU95W	MYH9	5.83	BO2SN3	YZ	CHI-TCU95W	MYH9	7.66
BN2SN3	YZ	CHI-TCU103-W	MYH9	2.33	BO2SN3	YZ	CHI-TCU103-W	MYH9	3.08
BN2SN3	YZ	CHI-TCU120-W	MYH9	2.62	BO2SN3	YZ	CHI-TCU120-W	MYH9	4.06
BN2SN3	YZ	CHI-TCU129-W	MYH9	6.92	BO2SN3	YZ	CHI-TCU129-W	MYH9	10.17
BN2SN3	YZ	COA-PLE045	MYH9	15.42	BO2SN3	YZ	COA-PLE045	MYH9	16.73
BN2SN3	YZ	DZC-BOL000	MYH9	11.59	BO2SN3	YZ	DZC-BOL000	MYH9	10.71
BN2SN3	YZ	DZC-BOL090	MYH9	16.89	BO2SN3	YZ	DZC-BOL090	MYH9	23.15
BN2SN3	YZ	DZC-DZC180	MYH9	7.57	BO2SN3	YZ	DZC-DZC180	MYH9	12.95
BN2SN3	YZ	ERZ-ERZEW	MYH9	7.88	BO2SN3	YZ	ERZ-ERZEW	MYH9	12.45
BN2SN3	YZ	IMP-ELC3-140	MYH9	3.38	BO2SN3	YZ	IMP-ELC3-140	MYH9	7.72
BN2SN3	YZ	IMP-HVP315	MYH9	2.93	BO2SN3	YZ	IMP-HVP315	MYH9	4.23
BN2SN3	YZ	IRP-STU270	MYH9	2.97	BO2SN3	YZ	IRP-STU270	MYH9	4.18
BN2SN3	YZ	KOC-DZC180	MYH9	4.80	BO2SN3	YZ	KOC-DZC180	MYH9	5.94
BN2SN3	YZ	KOC-GBZ000	MYH9	4.71	BO2SN3	YZ	KOC-GBZ000	MYH9	5.23
BN2SN3	YZ	KOC-YAR330	MYH9	3.58	BO2SN3	YZ	KOC-YAR330	MYH9	4.46
BN2SN3	YZ	LAN-YER270	MYH9	4.48	BO2SN3	YZ	LAN-YER270	MYH9	6.25
BN2SN3	YZ	LOM-BRN000	MYH9	10.93	BO2SN3	YZ	LOM-BRN000	MYH9	8.97
BN2SN3	YZ	LOM-HSP000	MYH9	9.07	BO2SN3	YZ	LOM-HSP000	MYH9	10.45
BN2SN3	YZ	LOM-WVC270	MYH9	3.55	BO2SN3	YZ	LOM-WVC270	MYH9	7.21
BN2SN3	YZ	NOR-CNP196	MYH9	8.40	BO2SN3	YZ	NOR-CNP196	MYH9	8.24
BN2SN3	YZ	NOR-LDM064	MYH9	6.92	BO2SN3	YZ	NOR-LDM064	MYH9	13.76
BN2SN3	YZ	NOR-MUL279	MYH9	7.79	BO2SN3	YZ	NOR-MUL279	MYH9	16.35
BN2SN3	YZ	NOR-SAT180	MYH9	7.98	BO2SN3	YZ	NOR-SAT180	MYH9	11.60
BN2SN3	YZ	SUP-ELC000	MYH9	5.60	BO2SN3	YZ	SUP-ELC000	MYH9	11.56
BN2SN3	XZ	CHI-CHY28N	MYH10	19.52	BO2SN3	XZ	CHI-CHY28N	MYH10	20.39
BN2SN3	XZ	CHI-TCU067N	MYH10	5.68	BO2SN3	XZ	CHI-TCU067N	MYH10	6.45
BN2SN3	XZ	CHI-TCU071N	MYH10	4.09	BO2SN3	XZ	CHI-TCU071N	MYH10	4.30
BN2SN3	XZ	CHI-TCU101-W	MYH10	3.36	BO2SN3	XZ	CHI-TCU101-W	MYH10	3.78
BN2SN3	XZ	CHI-TCU110-W	MYH10	1.75	BO2SN3	XZ	CHI-TCU110-W	MYH10	1.54
BN2SN3	XZ	CHI-TCU128-N	MYH10	1.86	BO2SN3	XZ	CHI-TCU128-N	MYH10	1.99
BN2SN3	XZ	CHI-WGK-E	MYH10	2.65	BO2SN3	XZ	CHI-WGK-E	MYH10	2.96
BN2SN3	XZ	CHI-WNTE	MYH10	8.03	BO2SN3	XZ	CHI-WNTE	MYH10	5.98
BN2SN3	XZ	DZC-BOL000	MYH10	10.94	BO2SN3	XZ	DZC-BOL000	MYH10	10.79
BN2SN3	XZ	DZC-BOL090	MYH10	18.08	BO2SN3	XZ	DZC-BOL090	MYH10	19.44
BN2SN3	XZ	GAZ-KAR000	MYH10	5.97	BO2SN3	XZ	GAZ-KAR000	MYH10	6.41
BN2SN3	XZ	IMP-ECC092	MYH10	2.29	BO2SN3	XZ	IMP-ECC092	MYH10	2.30
BN2SN3	XZ	IMP-ELC3-140	MYH10	4.23	BO2SN3	XZ	IMP-ELC3-140	MYH10	4.44
BN2SN3	XZ	IMP-ELC6-140	MYH10	3.41	BO2SN3	XZ	IMP-ELC6-140	MYH10	3.43
BN2SN3	XZ	IRP-STU270	MYH10	2.96	BO2SN3	XZ	IRP-STU270	MYH10	2.54
BN2SN3	XZ	KOB-TAK000	MYH10	15.09	BO2SN3	XZ	KOB-TAK000	MYH10	16.49
BN2SN3	XZ	KOC-DZC180	MYH10	4.87	BO2SN3	XZ	KOC-DZC180	MYH10	4.05
BN2SN3	XZ	KOC-GBZ000	MYH10	4.63	BO2SN3	XZ	KOC-GBZ000	MYH10	4.96
BN2SN3	XZ	KOC-YAR060	MYH10	3.73	BO2SN3	XZ	KOC-YAR060	MYH10	3.95
BN2SN3	XZ	LAN-YER270	MYH10	4.28	BO2SN3	XZ	LAN-YER270	MYH10	5.77
BN2SN3	XZ	LOM-BRN000	MYH10	9.40	BO2SN3	XZ	LOM-BRN000	MYH10	7.82
BN2SN3	XZ	LOM-G03090	MYH10	6.07	BO2SN3	XZ	LOM-G03090	MYH10	6.41

Tablo C.1 (devam): Mevcut binalara ait yerdeğiştirme talepleri

Bina Adı	Analiz Yönü	İvme Kaydı	MYH Grup No	Δ_d (cm)	Bina Adı	Analiz Yönü	İvme Kaydı	MYH Grup No	Δ_d (cm)
BN2SN3	XZ	LOM-HSP000	MYH10	9.60	BO2SN3	XZ	LOM-HSP000	MYH10	10.15
BN2SN3	XZ	NOR-CNP196	MYH10	9.94	BO2SN3	XZ	NOR-CNP196	MYH10	9.89
BN2SN3	XZ	NOR-MUL009	MYH10	9.16	BO2SN3	XZ	NOR-MUL009	MYH10	8.54
BN2SN3	XZ	NOR-MUL279	MYH10	9.11	BO2SN3	XZ	NOR-MUL279	MYH10	11.52
BN2SN3	XZ	NOR-ORR090	MYH10	8.49	BO2SN3	XZ	NOR-ORR090	MYH10	7.51
BN2SN3	XZ	NOR-ORR360	MYH10	15.02	BO2SN3	XZ	NOR-ORR360	MYH10	16.87
BN2SN3	XZ	NOR-SAT180	MYH10	9.98	BO2SN3	XZ	NOR-SAT180	MYH10	9.73
BN2SN3	XZ	NOR-WPI316	MYH10	5.53	BO2SN3	XZ	NOR-WPI316	MYH10	6.76
BN2SN3	YZ	CHI-CHY28N	MYH10	21.34	BO2SN3	YZ	CHI-CHY28N	MYH10	23.51
BN2SN3	YZ	CHI-TCU067N	MYH10	6.04	BO2SN3	YZ	CHI-TCU067N	MYH10	7.60
BN2SN3	YZ	CHI-TCU071N	MYH10	5.10	BO2SN3	YZ	CHI-TCU071N	MYH10	7.36
BN2SN3	YZ	CHI-TCU101-W	MYH10	3.62	BO2SN3	YZ	CHI-TCU101-W	MYH10	4.77
BN2SN3	YZ	CHI-TCU110-W	MYH10	2.23	BO2SN3	YZ	CHI-TCU110-W	MYH10	3.91
BN2SN3	YZ	CHI-TCU128-N	MYH10	2.11	BO2SN3	YZ	CHI-TCU128-N	MYH10	3.44
BN2SN3	YZ	CHI-WGK-E	MYH10	2.74	BO2SN3	YZ	CHI-WGK-E	MYH10	4.03
BN2SN3	YZ	CHI-WNTE	MYH10	8.52	BO2SN3	YZ	CHI-WNTE	MYH10	8.37
BN2SN3	YZ	DZC-BOL000	MYH10	13.00	BO2SN3	YZ	DZC-BOL000	MYH10	11.67
BN2SN3	YZ	DZC-BOL090	MYH10	19.36	BO2SN3	YZ	DZC-BOL090	MYH10	25.62
BN2SN3	YZ	GAZ-KAR000	MYH10	6.73	BO2SN3	YZ	GAZ-KAR000	MYH10	9.17
BN2SN3	YZ	IMP-ECC092	MYH10	2.51	BO2SN3	YZ	IMP-ECC092	MYH10	6.02
BN2SN3	YZ	IMP-ELC3-140	MYH10	3.74	BO2SN3	YZ	IMP-ELC3-140	MYH10	9.13
BN2SN3	YZ	IMP-ELC6-140	MYH10	3.59	BO2SN3	YZ	IMP-ELC6-140	MYH10	8.30
BN2SN3	YZ	IRP-STU270	MYH10	3.05	BO2SN3	YZ	IRP-STU270	MYH10	4.61
BN2SN3	YZ	KOB-TAK000	MYH10	13.88	BO2SN3	YZ	KOB-TAK000	MYH10	13.22
BN2SN3	YZ	KOC-DZC180	MYH10	4.99	BO2SN3	YZ	KOC-DZC180	MYH10	6.64
BN2SN3	YZ	KOC-GBZ000	MYH10	5.24	BO2SN3	YZ	KOC-GBZ000	MYH10	5.86
BN2SN3	YZ	KOC-YAR060	MYH10	4.02	BO2SN3	YZ	KOC-YAR060	MYH10	4.45
BN2SN3	YZ	LAN-YER270	MYH10	5.23	BO2SN3	YZ	LAN-YER270	MYH10	7.49
BN2SN3	YZ	LOM-BRN000	MYH10	11.54	BO2SN3	YZ	LOM-BRN000	MYH10	11.19
BN2SN3	YZ	LOM-G03090	MYH10	6.52	BO2SN3	YZ	LOM-G03090	MYH10	7.42
BN2SN3	YZ	LOM-HSP000	MYH10	10.31	BO2SN3	YZ	LOM-HSP000	MYH10	11.69
BN2SN3	YZ	NOR-CNP196	MYH10	10.25	BO2SN3	YZ	NOR-CNP196	MYH10	9.54
BN2SN3	YZ	NOR-MUL009	MYH10	10.38	BO2SN3	YZ	NOR-MUL009	MYH10	10.28
BN2SN3	YZ	NOR-MUL279	MYH10	8.68	BO2SN3	YZ	NOR-MUL279	MYH10	18.86
BN2SN3	YZ	NOR-ORR090	MYH10	9.10	BO2SN3	YZ	NOR-ORR090	MYH10	12.67
BN2SN3	YZ	NOR-ORR360	MYH10	16.37	BO2SN3	YZ	NOR-ORR360	MYH10	28.54
BN2SN3	YZ	NOR-SAT180	MYH10	9.43	BO2SN3	YZ	NOR-SAT180	MYH10	12.29
BN2SN3	YZ	NOR-WPI316	MYH10	6.59	BO2SN3	YZ	NOR-WPI316	MYH10	6.77
BN2SN3	XZ	CHI-CHY28W	MYH11	9.37	BO2SN3	XZ	CHI-CHY28W	MYH11	9.12
BN2SN3	XZ	CHI-CHY101W	MYH11	2.66	BO2SN3	XZ	CHI-CHY101W	MYH11	2.83
BN2SN3	XZ	CHI-TCU063N	MYH11	1.96	BO2SN3	XZ	CHI-TCU063N	MYH11	1.67
BN2SN3	XZ	CHI-TCU072W	MYH11	7.33	BO2SN3	XZ	CHI-TCU072W	MYH11	9.69
BN2SN3	XZ	CHI-TCU74W	MYH11	11.53	BO2SN3	XZ	CHI-TCU74W	MYH11	11.88
BN2SN3	XZ	CHI-TCU128-W	MYH11	1.75	BO2SN3	XZ	CHI-TCU128-W	MYH11	1.62
BN2SN3	XZ	CHI-WGK-N	MYH11	7.51	BO2SN3	XZ	CHI-WGK-N	MYH11	8.99
BN2SN3	XZ	COA-PLE045	MYH11	18.43	BO2SN3	XZ	COA-PLE045	MYH11	17.42
BN2SN3	XZ	DZC-BOL000	MYH11	12.30	BO2SN3	XZ	DZC-BOL000	MYH11	11.65
BN2SN3	XZ	DZC-BOL090	MYH11	20.28	BO2SN3	XZ	DZC-BOL090	MYH11	21.53
BN2SN3	XZ	DZC-DZC180	MYH11	9.66	BO2SN3	XZ	DZC-DZC180	MYH11	9.33
BN2SN3	XZ	GAZ-KAR000	MYH11	7.02	BO2SN3	XZ	GAZ-KAR000	MYH11	7.82
BN2SN3	XZ	GAZ-KAR090	MYH11	9.24	BO2SN3	XZ	GAZ-KAR090	MYH11	8.14
BN2SN3	XZ	IMP-ECC092	MYH11	2.40	BO2SN3	XZ	IMP-ECC092	MYH11	2.55
BN2SN3	XZ	IMP-ECM000	MYH11	4.12	BO2SN3	XZ	IMP-ECM000	MYH11	4.79
BN2SN3	XZ	IMP-ELCD-270	MYH11	3.85	BO2SN3	XZ	IMP-ELCD-270	MYH11	4.94
BN2SN3	XZ	IRP-STU270	MYH11	3.02	BO2SN3	XZ	IRP-STU270	MYH11	2.81
BN2SN3	XZ	KOB-KJM090	MYH11	16.49	BO2SN3	XZ	KOB-KJM090	MYH11	18.57
BN2SN3	XZ	KOC-DZC180	MYH11	5.12	BO2SN3	XZ	KOC-DZC180	MYH11	4.33
BN2SN3	XZ	KOC-GBZ000	MYH11	5.14	BO2SN3	XZ	KOC-GBZ000	MYH11	5.58
BN2SN3	XZ	KOC-YAR060	MYH11	4.26	BO2SN3	XZ	KOC-YAR060	MYH11	4.80

Tablo C.1 (devam): Mevcut binalara ait yerdeğiştirme talepleri

Bina Adı	Analiz Yönü	İvme Kaydı	MYH Grup No	Δ_d (cm)	Bina Adı	Analiz Yönü	İvme Kaydı	MYH Grup No	Δ_d (cm)
BN2SN3	XZ	LOM-HSP000	MYH11	10.98	BO2SN3	XZ	LOM-HSP000	MYH11	11.22
BN2SN3	XZ	LOM-WVC270	MYH11	3.95	BO2SN3	XZ	LOM-WVC270	MYH11	5.44
BN2SN3	XZ	NOR-CNP196	MYH11	11.13	BO2SN3	XZ	NOR-CNP196	MYH11	10.52
BN2SN3	XZ	NOR-MUL009	MYH11	9.99	BO2SN3	XZ	NOR-MUL009	MYH11	9.50
BN2SN3	XZ	NOR-MUL279	MYH11	10.35	BO2SN3	XZ	NOR-MUL279	MYH11	13.50
BN2SN3	XZ	NOR-ORR360	MYH11	16.51	BO2SN3	XZ	NOR-ORR360	MYH11	21.84
BN2SN3	XZ	NOR-RRS318	MYH11	7.15	BO2SN3	XZ	NOR-RRS318	MYH11	8.11
BN2SN3	XZ	NOR-SAT180	MYH11	11.26	BO2SN3	XZ	NOR-SAT180	MYH11	10.85
BN2SN3	XZ	NPAL-NPS210	MYH11	5.66	BO2SN3	XZ	NPAL-NPS210	MYH11	6.07
BN2SN3	YZ	CHI-CHY28W	MYH11	10.22	BO2SN3	YZ	CHI-CHY28W	MYH11	10.89
BN2SN3	YZ	CHI-CHY101W	MYH11	2.38	BO2SN3	YZ	CHI-CHY101W	MYH11	4.64
BN2SN3	YZ	CHI-TCU063N	MYH11	2.21	BO2SN3	YZ	CHI-TCU063N	MYH11	2.64
BN2SN3	YZ	CHI-TCU072W	MYH11	8.70	BO2SN3	YZ	CHI-TCU072W	MYH11	10.61
BN2SN3	YZ	CHI-TCU74W	MYH11	14.46	BO2SN3	YZ	CHI-TCU74W	MYH11	18.59
BN2SN3	YZ	CHI-TCU128-W	MYH11	1.77	BO2SN3	YZ	CHI-TCU128-W	MYH11	2.59
BN2SN3	YZ	CHI-WGK-N	MYH11	9.55	BO2SN3	YZ	CHI-WGK-N	MYH11	11.10
BN2SN3	YZ	COA-PLE045	MYH11	19.77	BO2SN3	YZ	COA-PLE045	MYH11	18.31
BN2SN3	YZ	DZC-BOL000	MYH11	14.36	BO2SN3	YZ	DZC-BOL000	MYH11	13.33
BN2SN3	YZ	DZC-BOL090	MYH11	21.68	BO2SN3	YZ	DZC-BOL090	MYH11	27.25
BN2SN3	YZ	DZC-DZC180	MYH11	9.86	BO2SN3	YZ	DZC-DZC180	MYH11	15.78
BN2SN3	YZ	GAZ-KAR000	MYH11	7.79	BO2SN3	YZ	GAZ-KAR000	MYH11	10.06
BN2SN3	YZ	GAZ-KAR090	MYH11	10.56	BO2SN3	YZ	GAZ-KAR090	MYH11	11.03
BN2SN3	YZ	IMP-ECC092	MYH11	2.82	BO2SN3	YZ	IMP-ECC092	MYH11	6.54
BN2SN3	YZ	IMP-ECM000	MYH11	4.50	BO2SN3	YZ	IMP-ECM000	MYH11	11.01
BN2SN3	YZ	IMP-ELCD-270	MYH11	4.74	BO2SN3	YZ	IMP-ELCD-270	MYH11	6.23
BN2SN3	YZ	IRP-STU270	MYH11	3.11	BO2SN3	YZ	IRP-STU270	MYH11	5.03
BN2SN3	YZ	KOB-KJM090	MYH11	18.65	BO2SN3	YZ	KOB-KJM090	MYH11	25.87
BN2SN3	YZ	KOC-DZC180	MYH11	5.02	BO2SN3	YZ	KOC-DZC180	MYH11	7.44
BN2SN3	YZ	KOC-GBZ000	MYH11	5.77	BO2SN3	YZ	KOC-GBZ000	MYH11	6.54
BN2SN3	YZ	KOC-YAR060	MYH11	4.66	BO2SN3	YZ	KOC-YAR060	MYH11	4.73
BN2SN3	YZ	LOM-HSP000	MYH11	11.37	BO2SN3	YZ	LOM-HSP000	MYH11	13.11
BN2SN3	YZ	LOM-WVC270	MYH11	5.09	BO2SN3	YZ	LOM-WVC270	MYH11	8.39
BN2SN3	YZ	NOR-CNP196	MYH11	11.08	BO2SN3	YZ	NOR-CNP196	MYH11	10.49
BN2SN3	YZ	NOR-MUL009	MYH11	11.44	BO2SN3	YZ	NOR-MUL009	MYH11	11.56
BN2SN3	YZ	NOR-MUL279	MYH11	9.81	BO2SN3	YZ	NOR-MUL279	MYH11	21.58
BN2SN3	YZ	NOR-ORR360	MYH11	18.27	BO2SN3	YZ	NOR-ORR360	MYH11	32.80
BN2SN3	YZ	NOR-RRS318	MYH11	7.33	BO2SN3	YZ	NOR-RRS318	MYH11	8.78
BN2SN3	YZ	NOR-SAT180	MYH11	10.61	BO2SN3	YZ	NOR-SAT180	MYH11	13.13
BN2SN3	YZ	NPAL-NPS210	MYH11	5.85	BO2SN3	YZ	NPAL-NPS210	MYH11	8.41
BN2SN3	XZ	CHI-TCU065N	MYH12	6.75	BO2SN3	XZ	CHI-TCU065N	MYH12	11.66
BN2SN3	XZ	CHI-TCU067W	MYH12	6.62	BO2SN3	XZ	CHI-TCU067W	MYH12	9.11
BN2SN3	XZ	CHI-TCU102-N	MYH12	2.33	BO2SN3	XZ	CHI-TCU102-N	MYH12	2.42
BN2SN3	XZ	DZC-BOL000	MYH12	13.55	BO2SN3	XZ	DZC-BOL000	MYH12	12.46
BN2SN3	XZ	DZC-BOL090	MYH12	22.56	BO2SN3	XZ	DZC-BOL090	MYH12	23.78
BN2SN3	XZ	DZC-DZC180	MYH12	10.58	BO2SN3	XZ	DZC-DZC180	MYH12	10.22
BN2SN3	XZ	GAZ-KAR090	MYH12	10.00	BO2SN3	XZ	GAZ-KAR090	MYH12	8.98
BN2SN3	XZ	IMP-ECC092	MYH12	2.57	BO2SN3	XZ	IMP-ECC092	MYH12	3.12
BN2SN3	XZ	IMP-ELC4-230	MYH12	3.84	BO2SN3	XZ	IMP-ELC4-230	MYH12	4.15
BN2SN3	XZ	IMP-ELCD-270	MYH12	4.44	BO2SN3	XZ	IMP-ELCD-270	MYH12	5.62
BN2SN3	XZ	IRP-STU270	MYH12	3.13	BO2SN3	XZ	IRP-STU270	MYH12	3.23
BN2SN3	XZ	KOC-DZC180	MYH12	5.13	BO2SN3	XZ	KOC-DZC180	MYH12	4.64
BN2SN3	XZ	KOC-GBZ000	MYH12	5.69	BO2SN3	XZ	KOC-GBZ000	MYH12	6.20
BN2SN3	XZ	KOC-SKR090	MYH12	2.46	BO2SN3	XZ	KOC-SKR090	MYH12	2.45
BN2SN3	XZ	LAN-YER270	MYH12	5.98	BO2SN3	XZ	LAN-YER270	MYH12	7.99
BN2SN3	XZ	LOM-BRN000	MYH12	10.19	BO2SN3	XZ	LOM-BRN000	MYH12	8.23
BN2SN3	XZ	LOM-WVC270	MYH12	4.62	BO2SN3	XZ	LOM-WVC270	MYH12	6.49
BN2SN3	XZ	NOR-CNP196	MYH12	12.16	BO2SN3	XZ	NOR-CNP196	MYH12	10.89
BN2SN3	XZ	NOR-MUL009	MYH12	10.93	BO2SN3	XZ	NOR-MUL009	MYH12	10.44
BN2SN3	XZ	NOR-MUL279	MYH12	11.86	BO2SN3	XZ	NOR-MUL279	MYH12	15.62

Tablo C.1 (devam): Mevcut binalara ait yerdeğiştirme talepleri

Bina Adı	Analiz Yönü	İvme Kaydı	MYH Grup No	Δ_d (cm)	Bina Adı	Analiz Yönü	İvme Kaydı	MYH Grup No	Δ_d (cm)
BN2SN3	XZ	NOR-NEW090	MYH12	11.10	BO2SN3	XZ	NOR-NEW090	MYH12	12.06
BN2SN3	XZ	NOR-PAR-L	MYH12	10.62	BO2SN3	XZ	NOR-PAR-L	MYH12	11.91
BN2SN3	XZ	NOR-RRS318	MYH12	7.67	BO2SN3	XZ	NOR-RRS318	MYH12	8.96
BN2SN3	XZ	NOR-SAT180	MYH12	12.55	BO2SN3	XZ	NOR-SAT180	MYH12	11.78
BN2SN3	XZ	NOR-SCE288	MYH12	4.53	BO2SN3	XZ	NOR-SCE288	MYH12	5.21
BN2SN3	XZ	NOR-SEP360	MYH12	9.91	BO2SN3	XZ	NOR-SEP360	MYH12	9.32
BN2SN3	XZ	NOR-SYL090	MYH12	13.10	BO2SN3	XZ	NOR-SYL090	MYH12	13.35
BN2SN3	XZ	NOR-TAR360	MYH12	11.24	BO2SN3	XZ	NOR-TAR360	MYH12	12.84
BN2SN3	XZ	NOR-WPI316	MYH12	6.99	BO2SN3	XZ	NOR-WPI316	MYH12	8.67
BN2SN3	XZ	PRK-C02065	MYH12	10.58	BO2SN3	XZ	PRK-C02065	MYH12	13.16
BN2SN3	YZ	CHI-TCU065N	MYH12	9.69	BO2SN3	YZ	CHI-TCU065N	MYH12	18.56
BN2SN3	YZ	CHI-TCU067W	MYH12	7.89	BO2SN3	YZ	CHI-TCU067W	MYH12	12.31
BN2SN3	YZ	CHI-TCU102-N	MYH12	2.38	BO2SN3	YZ	CHI-TCU102-N	MYH12	5.16
BN2SN3	YZ	DZC-BOL000	MYH12	15.42	BO2SN3	YZ	DZC-BOL000	MYH12	15.05
BN2SN3	YZ	DZC-BOL090	MYH12	24.09	BO2SN3	YZ	DZC-BOL090	MYH12	28.56
BN2SN3	YZ	DZC-DZC180	MYH12	10.78	BO2SN3	YZ	DZC-DZC180	MYH12	16.76
BN2SN3	YZ	GAZ-KAR090	MYH12	11.37	BO2SN3	YZ	GAZ-KAR090	MYH12	12.17
BN2SN3	YZ	IMP-ECC092	MYH12	3.23	BO2SN3	YZ	IMP-ECC092	MYH12	7.21
BN2SN3	YZ	IMP-ELC4-230	MYH12	4.65	BO2SN3	YZ	IMP-ELC4-230	MYH12	6.17
BN2SN3	YZ	IMP-ELCD-270	MYH12	5.52	BO2SN3	YZ	IMP-ELCD-270	MYH12	7.02
BN2SN3	YZ	IRP-STU270	MYH12	3.17	BO2SN3	YZ	IRP-STU270	MYH12	5.44
BN2SN3	YZ	KOC-DZC180	MYH12	5.19	BO2SN3	YZ	KOC-DZC180	MYH12	8.04
BN2SN3	YZ	KOC-GBZ000	MYH12	6.32	BO2SN3	YZ	KOC-GBZ000	MYH12	7.28
BN2SN3	YZ	KOC-SKR090	MYH12	2.40	BO2SN3	YZ	KOC-SKR090	MYH12	3.34
BN2SN3	YZ	LAN-YER270	MYH12	6.88	BO2SN3	YZ	LAN-YER270	MYH12	10.48
BN2SN3	YZ	LOM-BRN000	MYH12	12.07	BO2SN3	YZ	LOM-BRN000	MYH12	15.94
BN2SN3	YZ	LOM-WVC270	MYH12	5.79	BO2SN3	YZ	LOM-WVC270	MYH12	9.54
BN2SN3	YZ	NOR-CNP196	MYH12	11.54	BO2SN3	YZ	NOR-CNP196	MYH12	11.42
BN2SN3	YZ	NOR-MUL009	MYH12	12.39	BO2SN3	YZ	NOR-MUL009	MYH12	12.79
BN2SN3	YZ	NOR-MUL279	MYH12	11.15	BO2SN3	YZ	NOR-MUL279	MYH12	24.33
BN2SN3	YZ	NOR-NEW090	MYH12	12.65	BO2SN3	YZ	NOR-NEW090	MYH12	15.92
BN2SN3	YZ	NOR-PAR-L	MYH12	12.82	BO2SN3	YZ	NOR-PAR-L	MYH12	19.16
BN2SN3	YZ	NOR-RRS318	MYH12	8.01	BO2SN3	YZ	NOR-RRS318	MYH12	9.59
BN2SN3	YZ	NOR-SAT180	MYH12	11.49	BO2SN3	YZ	NOR-SAT180	MYH12	15.50
BN2SN3	YZ	NOR-SCE288	MYH12	4.73	BO2SN3	YZ	NOR-SCE288	MYH12	10.46
BN2SN3	YZ	NOR-SEP360	MYH12	12.43	BO2SN3	YZ	NOR-SEP360	MYH12	13.86
BN2SN3	YZ	NOR-SYL090	MYH12	14.63	BO2SN3	YZ	NOR-SYL090	MYH12	18.05
BN2SN3	YZ	NOR-TAR360	MYH12	10.84	BO2SN3	YZ	NOR-TAR360	MYH12	18.42
BN2SN3	YZ	NOR-WPI316	MYH12	8.10	BO2SN3	YZ	NOR-WPI316	MYH12	8.09
BN2SN3	YZ	PRK-C02065	MYH12	11.58	BO2SN3	YZ	PRK-C02065	MYH12	19.35
BN3SN3	XZ	CAP-FOR090	MYH1	1.20	BO3SN3	XZ	CAP-FOR090	MYH1	1.98
BN3SN3	XZ	CHI-CHY010-N	MYH1	2.27	BO3SN3	XZ	CHI-CHY010-N	MYH1	2.89
BN3SN3	XZ	CHI-CHY41W	MYH1	2.32	BO3SN3	XZ	CHI-CHY41W	MYH1	2.92
BN3SN3	XZ	CHI-CHY046N	MYH1	2.17	BO3SN3	XZ	CHI-CHY046N	MYH1	2.87
BN3SN3	XZ	CHI-CHY047-E	MYH1	2.03	BO3SN3	XZ	CHI-CHY047-E	MYH1	2.27
BN3SN3	XZ	COA-CAK270	MYH1	2.30	BO3SN3	XZ	COA-CAK270	MYH1	3.55
BN3SN3	XZ	COY-G06320	MYH1	3.52	BO3SN3	XZ	COY-G06320	MYH1	4.21
BN3SN3	XZ	FRI-TMZ000	MYH1	3.06	BO3SN3	XZ	FRI-TMZ000	MYH1	2.93
BN3SN3	XZ	IMP-E12230	MYH1	1.10	BO3SN3	XZ	IMP-E12230	MYH1	1.34
BN3SN3	XZ	IMP-SAH000	MYH1	2.02	BO3SN3	XZ	IMP-SAH000	MYH1	3.05
BN3SN3	XZ	IRP-BIS000	MYH1	0.90	BO3SN3	XZ	IRP-BIS000	MYH1	1.93
BN3SN3	XZ	KOC-IZM180	MYH1	1.37	BO3SN3	XZ	KOC-IZM180	MYH1	2.42
BN3SN3	XZ	LAN-ABY090	MYH1	1.15	BO3SN3	XZ	LAN-ABY090	MYH1	1.89
BN3SN3	XZ	LAN-DSP000	MYH1	2.47	BO3SN3	XZ	LAN-DSP000	MYH1	2.09
BN3SN3	XZ	LIV-DVD246	MYH1	1.41	BO3SN3	XZ	LIV-DVD246	MYH1	2.02
BN3SN3	XZ	LOM-BRK090	MYH1	1.48	BO3SN3	XZ	LOM-BRK090	MYH1	2.41
BN3SN3	XZ	LOM-CLD285	MYH1	2.35	BO3SN3	XZ	LOM-CLD285	MYH1	2.36
BN3SN3	XZ	LOM-GGV337	MYH1	2.69	BO3SN3	XZ	LOM-GGV337	MYH1	2.95
BN3SN3	XZ	NOR-CWC270	MYH1	2.98	BO3SN3	XZ	NOR-CWC270	MYH1	3.00

Tablo C.1 (devam): Mevcut binalara ait yerdeğiştirme talepleri

Bina Adı	Analiz Yönü	İvme Kaydı	MYH Grup No	Δ_d (cm)	Bina Adı	Analiz Yönü	İvme Kaydı	MYH Grup No	Δ_d (cm)
BN3SN3	XZ	NOR-LOS090	MYH1	1.64	BO3SN3	XZ	NOR-LOS090	MYH1	3.20
BN3SN3	XZ	NOR-LOS360	MYH1	2.94	BO3SN3	XZ	NOR-LOS360	MYH1	4.68
BN3SN3	XZ	PRK-CHO355	MYH1	3.10	BO3SN3	XZ	PRK-CHO355	MYH1	4.60
BN3SN3	XZ	PRK-TMB205	MYH1	3.17	BO3SN3	XZ	PRK-TMB205	MYH1	3.20
BN3SN3	XZ	SUP-PLS135	MYH1	2.31	BO3SN3	XZ	SUP-PLS135	MYH1	2.98
BN3SN3	XZ	TAB-DAY-LN	MYH1	2.79	BO3SN3	XZ	TAB-DAY-LN	MYH1	3.16
BN3SN3	XZ	VIC-CPE315	MYH1	2.49	BO3SN3	XZ	VIC-CPE315	MYH1	3.36
BN3SN3	XZ	WHI-ALH180	MYH1	2.24	BO3SN3	XZ	WHI-ALH180	MYH1	3.22
BN3SN3	XZ	WHI-GRN180	MYH1	3.06	BO3SN3	XZ	WHI-GRN180	MYH1	5.14
BN3SN3	XZ	WHI-OBR360	MYH1	2.40	BO3SN3	XZ	WHI-OBR360	MYH1	3.28
BN3SN3	YZ	CAP-FOR090	MYH1	0.75	BO3SN3	YZ	CAP-FOR090	MYH1	1.74
BN3SN3	YZ	CHI-CHY010-N	MYH1	2.38	BO3SN3	YZ	CHI-CHY010-N	MYH1	2.66
BN3SN3	YZ	CHI-CHY41W	MYH1	2.28	BO3SN3	YZ	CHI-CHY41W	MYH1	4.30
BN3SN3	YZ	CHI-CHY046N	MYH1	1.78	BO3SN3	YZ	CHI-CHY046N	MYH1	2.38
BN3SN3	YZ	CHI-CHY047-E	MYH1	1.86	BO3SN3	YZ	CHI-CHY047-E	MYH1	2.49
BN3SN3	YZ	COA-CAK270	MYH1	2.36	BO3SN3	YZ	COA-CAK270	MYH1	3.39
BN3SN3	YZ	COY-G06320	MYH1	3.58	BO3SN3	YZ	COY-G06320	MYH1	4.88
BN3SN3	YZ	FRI-TMZ000	MYH1	2.88	BO3SN3	YZ	FRI-TMZ000	MYH1	2.65
BN3SN3	YZ	IMP-E12230	MYH1	0.83	BO3SN3	YZ	IMP-E12230	MYH1	1.37
BN3SN3	YZ	IMP-SAH000	MYH1	1.26	BO3SN3	YZ	IMP-SAH000	MYH1	2.79
BN3SN3	YZ	IRP-BIS000	MYH1	0.92	BO3SN3	YZ	IRP-BIS000	MYH1	1.98
BN3SN3	YZ	KOC-IZM180	MYH1	1.45	BO3SN3	YZ	KOC-IZM180	MYH1	2.71
BN3SN3	YZ	LAN-ABY090	MYH1	1.17	BO3SN3	YZ	LAN-ABY090	MYH1	1.87
BN3SN3	YZ	LAN-DSP000	MYH1	2.30	BO3SN3	YZ	LAN-DSP000	MYH1	1.83
BN3SN3	YZ	LIV-DVD246	MYH1	1.37	BO3SN3	YZ	LIV-DVD246	MYH1	1.84
BN3SN3	YZ	LOM-BRK090	MYH1	1.18	BO3SN3	YZ	LOM-BRK090	MYH1	2.31
BN3SN3	YZ	LOM-CLD285	MYH1	1.94	BO3SN3	YZ	LOM-CLD285	MYH1	2.27
BN3SN3	YZ	LOM-GGV337	MYH1	2.99	BO3SN3	YZ	LOM-GGV337	MYH1	3.18
BN3SN3	YZ	NOR-CWC270	MYH1	2.27	BO3SN3	YZ	NOR-CWC270	MYH1	3.71
BN3SN3	YZ	NOR-LOS090	MYH1	1.81	BO3SN3	YZ	NOR-LOS090	MYH1	2.81
BN3SN3	YZ	NOR-LOS360	MYH1	2.31	BO3SN3	YZ	NOR-LOS360	MYH1	4.72
BN3SN3	YZ	PRK-CHO355	MYH1	2.99	BO3SN3	YZ	PRK-CHO355	MYH1	5.11
BN3SN3	YZ	PRK-TMB205	MYH1	3.20	BO3SN3	YZ	PRK-TMB205	MYH1	3.65
BN3SN3	YZ	SUP-PLS135	MYH1	1.77	BO3SN3	YZ	SUP-PLS135	MYH1	2.76
BN3SN3	YZ	TAB-DAY-LN	MYH1	2.66	BO3SN3	YZ	TAB-DAY-LN	MYH1	2.88
BN3SN3	YZ	VIC-CPE315	MYH1	2.00	BO3SN3	YZ	VIC-CPE315	MYH1	3.37
BN3SN3	YZ	WHI-ALH180	MYH1	2.43	BO3SN3	YZ	WHI-ALH180	MYH1	2.96
BN3SN3	YZ	WHI-GRN180	MYH1	2.34	BO3SN3	YZ	WHI-GRN180	MYH1	3.57
BN3SN3	YZ	WHI-OBR360	MYH1	1.96	BO3SN3	YZ	WHI-OBR360	MYH1	3.24
BN3SN3	XZ	CHI-TCU141-N	MYH2	0.68	BO3SN3	XZ	CHI-TCU141-N	MYH2	1.28
BN3SN3	XZ	COA-PV1090	MYH2	2.85	BO3SN3	XZ	COA-PV1090	MYH2	3.55
BN3SN3	XZ	COA-Z14090	MYH2	3.04	BO3SN3	XZ	COA-Z14090	MYH2	4.78
BN3SN3	XZ	COY-G02140	MYH2	3.03	BO3SN3	XZ	COY-G02140	MYH2	3.20
BN3SN3	XZ	COY-G03140	MYH2	2.40	BO3SN3	XZ	COY-G03140	MYH2	3.58
BN3SN3	XZ	IMP-AER315	MYH2	1.88	BO3SN3	XZ	IMP-AER315	MYH2	3.56
BN3SN3	XZ	IMP-DLT262	MYH2	2.40	BO3SN3	XZ	IMP-DLT262	MYH2	4.52
BN3SN3	XZ	KOB-KAK090	MYH2	3.03	BO3SN3	XZ	KOB-KAK090	MYH2	5.51
BN3SN3	XZ	KOB-SHI090	MYH2	2.32	BO3SN3	XZ	KOB-SHI090	MYH2	4.49
BN3SN3	XZ	LAN-CLVLN	MYH2	2.66	BO3SN3	XZ	LAN-CLVLN	MYH2	3.49
BN3SN3	XZ	LAN-JOS000	MYH2	3.12	BO3SN3	XZ	LAN-JOS000	MYH2	4.24
BN3SN3	XZ	LOM-CAP090	MYH2	4.00	BO3SN3	XZ	LOM-CAP090	MYH2	8.72
BN3SN3	XZ	LOM-GGV067	MYH2	3.14	BO3SN3	XZ	LOM-GGV067	MYH2	3.20
BN3SN3	XZ	LOM-HSP090	MYH2	1.86	BO3SN3	XZ	LOM-HSP090	MYH2	4.40
BN3SN3	XZ	LOM-SFO000	MYH2	2.71	BO3SN3	XZ	LOM-SFO000	MYH2	3.52
BN3SN3	XZ	LOM-SFO090	MYH2	3.14	BO3SN3	XZ	LOM-SFO090	MYH2	5.13
BN3SN3	XZ	LOM-WAH000	MYH2	2.95	BO3SN3	XZ	LOM-WAH000	MYH2	4.73
BN3SN3	XZ	MAM-LUL000	MYH2	5.18	BO3SN3	XZ	MAM-LUL000	MYH2	5.08
BN3SN3	XZ	MOR-AND250	MYH2	3.45	BO3SN3	XZ	MOR-AND250	MYH2	3.38
BN3SN3	XZ	MOR-AND340	MYH2	3.21	BO3SN3	XZ	MOR-AND340	MYH2	4.99

Tablo C.1 (devam): Mevcut binalara ait yerdeğiştirme talepleri

Bina Adı	Analiz Yönü	İvme Kaydı	MYH Grup No	Δ_d (cm)	Bina Adı	Analiz Yönü	İvme Kaydı	MYH Grup No	Δ_d (cm)
BN3SN3	XZ	NOR-CHL160	MYH2	2.48	BO3SN3	XZ	NOR-CHL160	MYH2	4.67
BN3SN3	XZ	NOR-CWC180	MYH2	1.76	BO3SN3	XZ	NOR-CWC180	MYH2	2.49
BN3SN3	XZ	NOR-SAT090	MYH2	3.16	BO3SN3	XZ	NOR-SAT090	MYH2	4.07
BN3SN3	XZ	NPAL-DSP000	MYH2	3.16	BO3SN3	XZ	NPAL-DSP000	MYH2	3.12
BN3SN3	XZ	PRK-CHO085	MYH2	3.88	BO3SN3	XZ	PRK-CHO085	MYH2	2.68
BN3SN3	XZ	SFD-ORR291	MYH2	2.50	BO3SN3	XZ	SFD-ORR291	MYH2	3.47
BN3SN3	XZ	SPI-GUK000	MYH2	1.90	BO3SN3	XZ	SPI-GUK000	MYH2	3.25
BN3SN3	XZ	TAB-DAY-TR	MYH2	4.14	BO3SN3	XZ	TAB-DAY-TR	MYH2	7.29
BN3SN3	XZ	WES-PTS315	MYH2	1.69	BO3SN3	XZ	WES-PTS315	MYH2	3.89
BN3SN3	XZ	WHI-DEL000	MYH2	2.13	BO3SN3	XZ	WHI-DEL000	MYH2	5.36
BN3SN3	XZ	WHI-DWN180	MYH2	2.15	BO3SN3	XZ	WHI-DWN180	MYH2	4.64
BN3SN3	YZ	CHI-TCU141-N	MYH2	0.64	BO3SN3	YZ	CHI-TCU141-N	MYH2	1.18
BN3SN3	YZ	COA-PV1090	MYH2	2.07	BO3SN3	YZ	COA-PV1090	MYH2	3.97
BN3SN3	YZ	COA-Z14090	MYH2	3.06	BO3SN3	YZ	COA-Z14090	MYH2	4.06
BN3SN3	YZ	COY-G02140	MYH2	3.37	BO3SN3	YZ	COY-G02140	MYH2	3.07
BN3SN3	YZ	COY-G03140	MYH2	2.14	BO3SN3	YZ	COY-G03140	MYH2	3.08
BN3SN3	YZ	IMP-AER315	MYH2	1.58	BO3SN3	YZ	IMP-AER315	MYH2	3.98
BN3SN3	YZ	IMP-DLT262	MYH2	2.02	BO3SN3	YZ	IMP-DLT262	MYH2	4.03
BN3SN3	YZ	KOB-KAK090	MYH2	2.61	BO3SN3	YZ	KOB-KAK090	MYH2	4.20
BN3SN3	YZ	KOB-SHI090	MYH2	1.86	BO3SN3	YZ	KOB-SHI090	MYH2	3.88
BN3SN3	YZ	LAN-CLVLN	MYH2	2.92	BO3SN3	YZ	LAN-CLVLN	MYH2	3.98
BN3SN3	YZ	LAN-JOS000	MYH2	2.04	BO3SN3	YZ	LAN-JOS000	MYH2	3.74
BN3SN3	YZ	LOM-CAP090	MYH2	3.62	BO3SN3	YZ	LOM-CAP090	MYH2	7.74
BN3SN3	YZ	LOM-GGV067	MYH2	2.98	BO3SN3	YZ	LOM-GGV067	MYH2	3.15
BN3SN3	YZ	LOM-HSP090	MYH2	1.50	BO3SN3	YZ	LOM-HSP090	MYH2	5.02
BN3SN3	YZ	LOM-SFO000	MYH2	2.57	BO3SN3	YZ	LOM-SFO000	MYH2	3.41
BN3SN3	YZ	LOM-SFO090	MYH2	3.25	BO3SN3	YZ	LOM-SFO090	MYH2	4.65
BN3SN3	YZ	LOM-WAH000	MYH2	3.07	BO3SN3	YZ	LOM-WAH000	MYH2	5.53
BN3SN3	YZ	MAM-LUL000	MYH2	3.82	BO3SN3	YZ	MAM-LUL000	MYH2	5.90
BN3SN3	YZ	MOR-AND250	MYH2	2.85	BO3SN3	YZ	MOR-AND250	MYH2	3.44
BN3SN3	YZ	MOR-AND340	MYH2	2.87	BO3SN3	YZ	MOR-AND340	MYH2	4.66
BN3SN3	YZ	NOR-CHL160	MYH2	2.05	BO3SN3	YZ	NOR-CHL160	MYH2	3.28
BN3SN3	YZ	NOR-CWC180	MYH2	1.78	BO3SN3	YZ	NOR-CWC180	MYH2	2.27
BN3SN3	YZ	NOR-SAT090	MYH2	3.09	BO3SN3	YZ	NOR-SAT090	MYH2	3.84
BN3SN3	YZ	NPAL-DSP000	MYH2	2.51	BO3SN3	YZ	NPAL-DSP000	MYH2	2.96
BN3SN3	YZ	PRK-CHO085	MYH2	3.98	BO3SN3	YZ	PRK-CHO085	MYH2	3.17
BN3SN3	YZ	SFD-ORR291	MYH2	2.05	BO3SN3	YZ	SFD-ORR291	MYH2	4.23
BN3SN3	YZ	SPI-GUK000	MYH2	1.88	BO3SN3	YZ	SPI-GUK000	MYH2	3.25
BN3SN3	YZ	TAB-DAY-TR	MYH2	3.25	BO3SN3	YZ	TAB-DAY-TR	MYH2	5.09
BN3SN3	YZ	WES-PTS315	MYH2	1.48	BO3SN3	YZ	WES-PTS315	MYH2	3.86
BN3SN3	YZ	WHI-DEL000	MYH2	1.78	BO3SN3	YZ	WHI-DEL000	MYH2	4.77
BN3SN3	YZ	WHI-DWN180	MYH2	2.12	BO3SN3	YZ	WHI-DWN180	MYH2	3.59
BN3SN3	XZ	CAP-FOR000	MYH3	0.95	BO3SN3	XZ	CAP-FOR000	MYH3	2.00
BN3SN3	XZ	CHI-CHY29W	MYH3	2.19	BO3SN3	XZ	CHI-CHY29W	MYH3	5.60
BN3SN3	XZ	CHI-TCU046N	MYH3	1.06	BO3SN3	XZ	CHI-TCU046N	MYH3	1.73
BN3SN3	XZ	CHI-TCU112-N	MYH3	0.94	BO3SN3	XZ	CHI-TCU112-N	MYH3	1.22
BN3SN3	XZ	CHI-TCU118-N	MYH3	1.06	BO3SN3	XZ	CHI-TCU118-N	MYH3	1.60
BN3SN3	XZ	FRI-TMZ270	MYH3	3.90	BO3SN3	XZ	FRI-TMZ270	MYH3	6.17
BN3SN3	XZ	IMP-ELC2-140	MYH3	2.82	BO3SN3	XZ	IMP-ELC2-140	MYH3	5.01
BN3SN3	XZ	IMP-ELC11-140	MYH3	2.54	BO3SN3	XZ	IMP-ELC11-140	MYH3	2.90
BN3SN3	XZ	IMP-SAH270	MYH3	4.18	BO3SN3	XZ	IMP-SAH270	MYH3	3.76
BN3SN3	XZ	KOC-AMB090	MYH3	2.71	BO3SN3	XZ	KOC-AMB090	MYH3	3.53
BN3SN3	XZ	KOC-GBZ270	MYH3	1.37	BO3SN3	XZ	KOC-GBZ270	MYH3	2.35
BN3SN3	XZ	KOC-IZM090	MYH3	1.82	BO3SN3	XZ	KOC-IZM090	MYH3	2.80
BN3SN3	XZ	LAN-LUC000	MYH3	2.69	BO3SN3	XZ	LAN-LUC000	MYH3	3.80
BN3SN3	XZ	LAN-YER360	MYH3	2.10	BO3SN3	XZ	LAN-YER360	MYH3	2.81
BN3SN3	XZ	LOM-A02133	MYH3	1.76	BO3SN3	XZ	LOM-A02133	MYH3	5.09
BN3SN3	XZ	LOM-G01000	MYH3	4.09	BO3SN3	XZ	LOM-G01000	MYH3	3.42
BN3SN3	XZ	LOM-G01090	MYH3	4.97	BO3SN3	XZ	LOM-G01090	MYH3	4.80

Tablo C.1 (devam): Mevcut binalara ait yerdeğiştirme talepleri

Bina Adı	Analiz Yönü	İvme Kaydı	MYH Grup No	Δ_d (cm)	Bina Adı	Analiz Yönü	İvme Kaydı	MYH Grup No	Δ_d (cm)
BN3SN3	XZ	LOM-G02000	MYH3	4.06	BO3SN3	XZ	LOM-G02000	MYH3	7.39
BN3SN3	XZ	LOM-TRI090	MYH3	2.02	BO3SN3	XZ	LOM-TRI090	MYH3	3.90
BN3SN3	XZ	MAM-LUL090	MYH3	2.92	BO3SN3	XZ	MAM-LUL090	MYH3	5.26
BN3SN3	XZ	NOR-CNP106	MYH3	2.92	BO3SN3	XZ	NOR-CNP106	MYH3	5.13
BN3SN3	XZ	NOR-PAC265	MYH3	4.11	BO3SN3	XZ	NOR-PAC265	MYH3	3.91
BN3SN3	XZ	NOR-PKC090	MYH3	2.90	BO3SN3	XZ	NOR-PKC090	MYH3	6.71
BN3SN3	XZ	NOR-WIL180	MYH3	2.40	BO3SN3	XZ	NOR-WIL180	MYH3	4.59
BN3SN3	XZ	NPAL-MVH045	MYH3	2.12	BO3SN3	XZ	NPAL-MVH045	MYH3	3.10
BN3SN3	XZ	NPAL-NPS300	MYH3	5.10	BO3SN3	XZ	NPAL-NPS300	MYH3	5.11
BN3SN3	XZ	NPAL-WWT270	MYH3	4.95	BO3SN3	XZ	NPAL-WWT270	MYH3	8.34
BN3SN3	XZ	SUP-IVW090	MYH3	1.85	BO3SN3	XZ	SUP-IVW090	MYH3	2.04
BN3SN3	XZ	SUP-IVW360	MYH3	2.73	BO3SN3	XZ	SUP-IVW360	MYH3	2.88
BN3SN3	XZ	SUP-KRN360	MYH3	1.56	BO3SN3	XZ	SUP-KRN360	MYH3	2.63
BN3SN3	XZ	SUP-POE360	MYH3	2.55	BO3SN3	XZ	SUP-POE360	MYH3	3.90
BN3SN3	XZ	SUP-SUP045	MYH3	3.34	BO3SN3	XZ	SUP-SUP045	MYH3	5.47
BN3SN3	XZ	VIC-CPE045	MYH3	5.07	BO3SN3	XZ	VIC-CPE045	MYH3	9.63
BN3SN3	XZ	WHI-OR2010	MYH3	2.15	BO3SN3	XZ	WHI-OR2010	MYH3	7.00
BN3SN3	YZ	CAP-FOR000	MYH3	0.74	BO3SN3	YZ	CAP-FOR000	MYH3	2.08
BN3SN3	YZ	CHI-CHY29W	MYH3	1.68	BO3SN3	YZ	CHI-CHY29W	MYH3	6.03
BN3SN3	YZ	CHI-TCU046N	MYH3	0.92	BO3SN3	YZ	CHI-TCU046N	MYH3	1.23
BN3SN3	YZ	CHI-TCU112-N	MYH3	0.66	BO3SN3	YZ	CHI-TCU112-N	MYH3	1.39
BN3SN3	YZ	CHI-TCU118-N	MYH3	1.05	BO3SN3	YZ	CHI-TCU118-N	MYH3	1.53
BN3SN3	YZ	FRI-TMZ270	MYH3	3.31	BO3SN3	YZ	FRI-TMZ270	MYH3	6.30
BN3SN3	YZ	IMP-ELC2-140	MYH3	2.44	BO3SN3	YZ	IMP-ELC2-140	MYH3	4.35
BN3SN3	YZ	IMP-ELC11-140	MYH3	2.45	BO3SN3	YZ	IMP-ELC11-140	MYH3	2.95
BN3SN3	YZ	IMP-SAH270	MYH3	3.78	BO3SN3	YZ	IMP-SAH270	MYH3	4.66
BN3SN3	YZ	KOC-AMB090	MYH3	2.24	BO3SN3	YZ	KOC-AMB090	MYH3	4.43
BN3SN3	YZ	KOC-GBZ270	MYH3	1.14	BO3SN3	YZ	KOC-GBZ270	MYH3	2.73
BN3SN3	YZ	KOC-IZM090	MYH3	1.78	BO3SN3	YZ	KOC-IZM090	MYH3	2.36
BN3SN3	YZ	LAN-LUC000	MYH3	2.69	BO3SN3	YZ	LAN-LUC000	MYH3	2.66
BN3SN3	YZ	LAN-YER360	MYH3	1.55	BO3SN3	YZ	LAN-YER360	MYH3	2.50
BN3SN3	YZ	LOM-A02133	MYH3	1.08	BO3SN3	YZ	LOM-A02133	MYH3	4.35
BN3SN3	YZ	LOM-G01000	MYH3	4.01	BO3SN3	YZ	LOM-G01000	MYH3	3.46
BN3SN3	YZ	LOM-G01090	MYH3	4.36	BO3SN3	YZ	LOM-G01090	MYH3	4.82
BN3SN3	YZ	LOM-G02000	MYH3	3.58	BO3SN3	YZ	LOM-G02000	MYH3	7.56
BN3SN3	YZ	LOM-TRI090	MYH3	1.91	BO3SN3	YZ	LOM-TRI090	MYH3	3.39
BN3SN3	YZ	MAM-LUL090	MYH3	2.01	BO3SN3	YZ	MAM-LUL090	MYH3	5.25
BN3SN3	YZ	NOR-CNP106	MYH3	2.36	BO3SN3	YZ	NOR-CNP106	MYH3	5.56
BN3SN3	YZ	NOR-PAC265	MYH3	3.31	BO3SN3	YZ	NOR-PAC265	MYH3	4.42
BN3SN3	YZ	NOR-PKC090	MYH3	2.31	BO3SN3	YZ	NOR-PKC090	MYH3	5.24
BN3SN3	YZ	NOR-WIL180	MYH3	1.74	BO3SN3	YZ	NOR-WIL180	MYH3	5.92
BN3SN3	YZ	NPAL-MVH045	MYH3	1.88	BO3SN3	YZ	NPAL-MVH045	MYH3	2.49
BN3SN3	YZ	NPAL-NPS300	MYH3	4.76	BO3SN3	YZ	NPAL-NPS300	MYH3	5.22
BN3SN3	YZ	NPAL-WWT270	MYH3	3.85	BO3SN3	YZ	NPAL-WWT270	MYH3	7.25
BN3SN3	YZ	SUP-IVW090	MYH3	1.24	BO3SN3	YZ	SUP-IVW090	MYH3	1.87
BN3SN3	YZ	SUP-IVW360	MYH3	2.51	BO3SN3	YZ	SUP-IVW360	MYH3	2.86
BN3SN3	YZ	SUP-KRN360	MYH3	1.13	BO3SN3	YZ	SUP-KRN360	MYH3	2.45
BN3SN3	YZ	SUP-POE360	MYH3	2.75	BO3SN3	YZ	SUP-POE360	MYH3	3.76
BN3SN3	YZ	SUP-SUP045	MYH3	3.26	BO3SN3	YZ	SUP-SUP045	MYH3	4.52
BN3SN3	YZ	VIC-CPE045	MYH3	3.46	BO3SN3	YZ	VIC-CPE045	MYH3	11.63
BN3SN3	YZ	WHI-OR2010	MYH3	2.21	BO3SN3	YZ	WHI-OR2010	MYH3	5.73
BN3SN3	XZ	CHI-CHY29N	MYH4	2.22	BO3SN3	XZ	CHI-CHY29N	MYH4	5.40
BN3SN3	XZ	CHI-CHY036W	MYH4	2.29	BO3SN3	XZ	CHI-CHY036W	MYH4	6.79
BN3SN3	XZ	CHI-CHY41N	MYH4	7.15	BO3SN3	XZ	CHI-CHY41N	MYH4	6.35
BN3SN3	XZ	CHI-TCU45N	MYH4	5.69	BO3SN3	XZ	CHI-TCU45N	MYH4	8.22
BN3SN3	XZ	CHI-TCU45W	MYH4	5.18	BO3SN3	XZ	CHI-TCU45W	MYH4	7.21
BN3SN3	XZ	CHI-TCU51N	MYH4	1.69	BO3SN3	XZ	CHI-TCU51N	MYH4	3.30
BN3SN3	XZ	COA-PLE135	MYH4	4.35	BO3SN3	XZ	COA-PLE135	MYH4	8.76
BN3SN3	XZ	IMP-BRA225	MYH4	0.88	BO3SN3	XZ	IMP-BRA225	MYH4	1.19

Tablo C.1 (devam): Mevcut binalara ait yerdeğiştirme talepleri

Bina Adı	Analiz Yönü	İvme Kaydı	MYH Grup No	Δ_d (cm)	Bina Adı	Analiz Yönü	İvme Kaydı	MYH Grup No	Δ_d (cm)
BN3SN3	XZ	IMP-BRA315	MYH4	2.10	BO3SN3	XZ	IMP-BRA315	MYH4	4.54
BN3SN3	XZ	IMP-ECC002	MYH4	1.64	BO3SN3	XZ	IMP-ECC002	MYH4	3.57
BN3SN3	XZ	IMP-ELC4-140	MYH4	3.37	BO3SN3	XZ	IMP-ELC4-140	MYH4	10.02
BN3SN3	XZ	IRP-STU000	MYH4	3.23	BO3SN3	XZ	IRP-STU000	MYH4	4.18
BN3SN3	XZ	KOB-NIS000	MYH4	6.96	BO3SN3	XZ	KOB-NIS000	MYH4	6.93
BN3SN3	XZ	KOB-NIS090	MYH4	4.44	BO3SN3	XZ	KOB-NIS090	MYH4	7.78
BN3SN3	XZ	KOB-SHI000	MYH4	2.33	BO3SN3	XZ	KOB-SHI000	MYH4	7.41
BN3SN3	XZ	KOC-ARC090	MYH4	1.29	BO3SN3	XZ	KOC-ARC090	MYH4	1.58
BN3SN3	XZ	LOM-G02090	MYH4	3.06	BO3SN3	XZ	LOM-G02090	MYH4	4.60
BN3SN3	XZ	LOM-G03000	MYH4	4.97	BO3SN3	XZ	LOM-G03000	MYH4	4.10
BN3SN3	XZ	LOM-HDA255	MYH4	3.02	BO3SN3	XZ	LOM-HDA255	MYH4	8.46
BN3SN3	XZ	LOM-SVL360	MYH4	2.30	BO3SN3	XZ	LOM-SVL360	MYH4	2.47
BN3SN3	XZ	MOR-G06090	MYH4	2.02	BO3SN3	XZ	MOR-G06090	MYH4	6.93
BN3SN3	XZ	MOR-HAL240	MYH4	2.67	BO3SN3	XZ	MOR-HAL240	MYH4	8.66
BN3SN3	XZ	NOR-KAT090	MYH4	5.32	BO3SN3	XZ	NOR-KAT090	MYH4	9.05
BN3SN3	XZ	NOR-SCR090	MYH4	3.87	BO3SN3	XZ	NOR-SCR090	MYH4	5.20
BN3SN3	XZ	NOR-STN020	MYH4	4.68	BO3SN3	XZ	NOR-STN020	MYH4	6.86
BN3SN3	XZ	NPAL-WWT180	MYH4	3.40	BO3SN3	XZ	NPAL-WWT180	MYH4	5.49
BN3SN3	XZ	SUP-POE270	MYH4	4.49	BO3SN3	XZ	SUP-POE270	MYH4	5.65
BN3SN3	XZ	WES-PTS225	MYH4	2.20	BO3SN3	XZ	WES-PTS225	MYH4	5.83
BN3SN3	XZ	WHI-BIR180	MYH4	3.55	BO3SN3	XZ	WHI-BIR180	MYH4	9.38
BN3SN3	XZ	WHI-EJS048	MYH4	3.92	BO3SN3	XZ	WHI-EJS048	MYH4	5.24
BN3SN3	YZ	CHI-CHY29N	MYH4	1.77	BO3SN3	YZ	CHI-CHY29N	MYH4	6.57
BN3SN3	YZ	CHI-CHY036W	MYH4	1.61	BO3SN3	YZ	CHI-CHY036W	MYH4	7.80
BN3SN3	YZ	CHI-CHY41N	MYH4	6.24	BO3SN3	YZ	CHI-CHY41N	MYH4	6.37
BN3SN3	YZ	CHI-TCU45N	MYH4	3.76	BO3SN3	YZ	CHI-TCU45N	MYH4	8.64
BN3SN3	YZ	CHI-TCU45W	MYH4	4.68	BO3SN3	YZ	CHI-TCU45W	MYH4	5.54
BN3SN3	YZ	CHI-TCU51N	MYH4	1.29	BO3SN3	YZ	CHI-TCU51N	MYH4	2.85
BN3SN3	YZ	COA-PLE135	MYH4	4.43	BO3SN3	YZ	COA-PLE135	MYH4	7.66
BN3SN3	YZ	IMP-BRA225	MYH4	0.94	BO3SN3	YZ	IMP-BRA225	MYH4	1.11
BN3SN3	YZ	IMP-BRA315	MYH4	2.05	BO3SN3	YZ	IMP-BRA315	MYH4	3.75
BN3SN3	YZ	IMP-ECC002	MYH4	1.73	BO3SN3	YZ	IMP-ECC002	MYH4	3.62
BN3SN3	YZ	IMP-ELC4-140	MYH4	4.12	BO3SN3	YZ	IMP-ELC4-140	MYH4	8.27
BN3SN3	YZ	IRP-STU000	MYH4	3.03	BO3SN3	YZ	IRP-STU000	MYH4	3.53
BN3SN3	YZ	KOB-NIS000	MYH4	4.87	BO3SN3	YZ	KOB-NIS000	MYH4	8.90
BN3SN3	YZ	KOB-NIS090	MYH4	3.68	BO3SN3	YZ	KOB-NIS090	MYH4	7.88
BN3SN3	YZ	KOB-SHI000	MYH4	2.05	BO3SN3	YZ	KOB-SHI000	MYH4	5.39
BN3SN3	YZ	KOC-ARC090	MYH4	1.01	BO3SN3	YZ	KOC-ARC090	MYH4	1.24
BN3SN3	YZ	LOM-G02090	MYH4	2.80	BO3SN3	YZ	LOM-G02090	MYH4	4.38
BN3SN3	YZ	LOM-G03000	MYH4	4.72	BO3SN3	YZ	LOM-G03000	MYH4	4.76
BN3SN3	YZ	LOM-HDA255	MYH4	2.90	BO3SN3	YZ	LOM-HDA255	MYH4	7.12
BN3SN3	YZ	LOM-SVL360	MYH4	2.06	BO3SN3	YZ	LOM-SVL360	MYH4	2.86
BN3SN3	YZ	MOR-G06090	MYH4	2.06	BO3SN3	YZ	MOR-G06090	MYH4	5.49
BN3SN3	YZ	MOR-HAL240	MYH4	2.16	BO3SN3	YZ	MOR-HAL240	MYH4	7.47
BN3SN3	YZ	NOR-KAT090	MYH4	4.92	BO3SN3	YZ	NOR-KAT090	MYH4	13.74
BN3SN3	YZ	NOR-SCR090	MYH4	3.90	BO3SN3	YZ	NOR-SCR090	MYH4	3.43
BN3SN3	YZ	NOR-STN020	MYH4	3.55	BO3SN3	YZ	NOR-STN020	MYH4	5.39
BN3SN3	YZ	NPAL-WWT180	MYH4	3.26	BO3SN3	YZ	NPAL-WWT180	MYH4	6.04
BN3SN3	YZ	SUP-POE270	MYH4	3.22	BO3SN3	YZ	SUP-POE270	MYH4	5.79
BN3SN3	YZ	WES-PTS225	MYH4	1.79	BO3SN3	YZ	WES-PTS225	MYH4	5.45
BN3SN3	YZ	WHI-BIR180	MYH4	2.97	BO3SN3	YZ	WHI-BIR180	MYH4	6.83
BN3SN3	YZ	WHI-EJS048	MYH4	2.90	BO3SN3	YZ	WHI-EJS048	MYH4	6.07
BN3SN3	XZ	CAP-RIO270	MYH5	3.03	BO3SN3	XZ	CAP-RIO270	MYH5	7.28
BN3SN3	XZ	CAP-RIO360	MYH5	6.35	BO3SN3	XZ	CAP-RIO360	MYH5	7.76
BN3SN3	XZ	CHI-TCU046W	MYH5	1.10	BO3SN3	XZ	CHI-TCU046W	MYH5	1.53
BN3SN3	XZ	CHI-TCU061N	MYH5	2.18	BO3SN3	XZ	CHI-TCU061N	MYH5	2.44
BN3SN3	XZ	CHI-TCU74N	MYH5	3.21	BO3SN3	XZ	CHI-TCU74N	MYH5	7.72
BN3SN3	XZ	CHI-TCU112-W	MYH5	1.04	BO3SN3	XZ	CHI-TCU112-W	MYH5	1.58
BN3SN3	XZ	CHI-TCU123-W	MYH5	1.74	BO3SN3	XZ	CHI-TCU123-W	MYH5	2.69

Tablo C.1 (devam): Mevcut binalara ait yerdeğiştirme talepleri

Bina Adı	Analiz Yönü	İvme Kaydı	MYH Grup No	Δ_d (cm)	Bina Adı	Analiz Yönü	İvme Kaydı	MYH Grup No	Δ_d (cm)
BN3SN3	XZ	CHI-TCU141-E	MYH5	0.71	BO3SN3	XZ	CHI-TCU141-E	MYH5	1.77
BN3SN3	XZ	CHI-WNTN	MYH5	2.46	BO3SN3	XZ	CHI-WNTN	MYH5	6.66
BN3SN3	XZ	COA-Z14000	MYH5	3.12	BO3SN3	XZ	COA-Z14000	MYH5	8.45
BN3SN3	XZ	IMP-AER045	MYH5	2.69	BO3SN3	XZ	IMP-AER045	MYH5	4.68
BN3SN3	XZ	IMP-ELC3-230	MYH5	1.27	BO3SN3	XZ	IMP-ELC3-230	MYH5	3.43
BN3SN3	XZ	IMP-ELC11-230	MYH5	3.14	BO3SN3	XZ	IMP-ELC11-230	MYH5	4.12
BN3SN3	XZ	IMP-ELCD-360	MYH5	4.51	BO3SN3	XZ	IMP-ELCD-360	MYH5	11.78
BN3SN3	XZ	KOC-AMB000	MYH5	3.00	BO3SN3	XZ	KOC-AMB000	MYH5	4.11
BN3SN3	XZ	LAN-CLVTR	MYH5	5.93	BO3SN3	XZ	LAN-CLVTR	MYH5	10.55
BN3SN3	XZ	LAN-JOS090	MYH5	1.95	BO3SN3	XZ	LAN-JOS090	MYH5	8.36
BN3SN3	XZ	LOM-CYC285	MYH5	3.78	BO3SN3	XZ	LOM-CYC285	MYH5	6.58
BN3SN3	XZ	LOM-GOF090	MYH5	3.86	BO3SN3	XZ	LOM-GOF090	MYH5	5.32
BN3SN3	XZ	LOM-HDA165	MYH5	3.00	BO3SN3	XZ	LOM-HDA165	MYH5	6.16
BN3SN3	XZ	LOM-SAR000	MYH5	2.53	BO3SN3	XZ	LOM-SAR000	MYH5	9.44
BN3SN3	XZ	LOM-SAR090	MYH5	2.62	BO3SN3	XZ	LOM-SAR090	MYH5	4.96
BN3SN3	XZ	NOR-KAT000	MYH5	7.57	BO3SN3	XZ	NOR-KAT000	MYH5	8.48
BN3SN3	XZ	NOR-LOS000	MYH5	5.63	BO3SN3	XZ	NOR-LOS000	MYH5	13.49
BN3SN3	XZ	NOR-MU2035	MYH5	3.84	BO3SN3	XZ	NOR-MU2035	MYH5	3.77
BN3SN3	XZ	NOR-STM090	MYH5	3.32	BO3SN3	XZ	NOR-STM090	MYH5	4.18
BN3SN3	XZ	NPAL-MVH135	MYH5	1.63	BO3SN3	XZ	NPAL-MVH135	MYH5	4.03
BN3SN3	XZ	SUP-ELC090	MYH5	2.16	BO3SN3	XZ	SUP-ELC090	MYH5	4.78
BN3SN3	XZ	SUP-PTS315	MYH5	3.23	BO3SN3	XZ	SUP-PTS315	MYH5	5.72
BN3SN3	XZ	SUP-SUP135	MYH5	5.50	BO3SN3	XZ	SUP-SUP135	MYH5	8.58
BN3SN3	YZ	CAP-RIO270	MYH5	2.67	BO3SN3	YZ	CAP-RIO270	MYH5	7.56
BN3SN3	YZ	CAP-RIO360	MYH5	5.61	BO3SN3	YZ	CAP-RIO360	MYH5	9.84
BN3SN3	YZ	CHI-TCU046W	MYH5	0.96	BO3SN3	YZ	CHI-TCU046W	MYH5	1.36
BN3SN3	YZ	CHI-TCU061N	MYH5	1.96	BO3SN3	YZ	CHI-TCU061N	MYH5	2.45
BN3SN3	YZ	CHI-TCU74N	MYH5	2.54	BO3SN3	YZ	CHI-TCU74N	MYH5	7.44
BN3SN3	YZ	CHI-TCU112-W	MYH5	0.67	BO3SN3	YZ	CHI-TCU112-W	MYH5	1.47
BN3SN3	YZ	CHI-TCU123-W	MYH5	1.25	BO3SN3	YZ	CHI-TCU123-W	MYH5	2.34
BN3SN3	YZ	CHI-TCU141-E	MYH5	0.65	BO3SN3	YZ	CHI-TCU141-E	MYH5	1.43
BN3SN3	YZ	CHI-WNTN	MYH5	2.59	BO3SN3	YZ	CHI-WNTN	MYH5	4.51
BN3SN3	YZ	COA-Z14000	MYH5	2.00	BO3SN3	YZ	COA-Z14000	MYH5	8.33
BN3SN3	YZ	IMP-AER045	MYH5	2.42	BO3SN3	YZ	IMP-AER045	MYH5	4.03
BN3SN3	YZ	IMP-ELC3-230	MYH5	1.19	BO3SN3	YZ	IMP-ELC3-230	MYH5	2.43
BN3SN3	YZ	IMP-ELC11-230	MYH5	3.17	BO3SN3	YZ	IMP-ELC11-230	MYH5	3.87
BN3SN3	YZ	IMP-ELCD-360	MYH5	4.44	BO3SN3	YZ	IMP-ELCD-360	MYH5	8.72
BN3SN3	YZ	KOC-AMB000	MYH5	2.45	BO3SN3	YZ	KOC-AMB000	MYH5	4.64
BN3SN3	YZ	LAN-CLVTR	MYH5	4.67	BO3SN3	YZ	LAN-CLVTR	MYH5	12.09
BN3SN3	YZ	LAN-JOS090	MYH5	2.22	BO3SN3	YZ	LAN-JOS090	MYH5	5.29
BN3SN3	YZ	LOM-CYC285	MYH5	2.99	BO3SN3	YZ	LOM-CYC285	MYH5	7.36
BN3SN3	YZ	LOM-GOF090	MYH5	2.33	BO3SN3	YZ	LOM-GOF090	MYH5	4.53
BN3SN3	YZ	LOM-HDA165	MYH5	2.57	BO3SN3	YZ	LOM-HDA165	MYH5	6.41
BN3SN3	YZ	LOM-SAR000	MYH5	2.29	BO3SN3	YZ	LOM-SAR000	MYH5	8.12
BN3SN3	YZ	LOM-SAR090	MYH5	2.54	BO3SN3	YZ	LOM-SAR090	MYH5	3.64
BN3SN3	YZ	NOR-KAT000	MYH5	7.92	BO3SN3	YZ	NOR-KAT000	MYH5	15.81
BN3SN3	YZ	NOR-LOS000	MYH5	4.49	BO3SN3	YZ	NOR-LOS000	MYH5	8.65
BN3SN3	YZ	NOR-MU2035	MYH5	4.35	BO3SN3	YZ	NOR-MU2035	MYH5	5.07
BN3SN3	YZ	NOR-STM090	MYH5	3.80	BO3SN3	YZ	NOR-STM090	MYH5	5.50
BN3SN3	YZ	NPAL-MVH135	MYH5	1.32	BO3SN3	YZ	NPAL-MVH135	MYH5	2.62
BN3SN3	YZ	SUP-ELC090	MYH5	1.39	BO3SN3	YZ	SUP-ELC090	MYH5	5.28
BN3SN3	YZ	SUP-PTS315	MYH5	2.17	BO3SN3	YZ	SUP-PTS315	MYH5	4.79
BN3SN3	YZ	SUP-SUP135	MYH5	4.67	BO3SN3	YZ	SUP-SUP135	MYH5	6.58
BN3SN3	XZ	CAP-PET000	MYH6	5.14	BO3SN3	XZ	CAP-PET000	MYH6	12.72
BN3SN3	XZ	CHI-CHY025W	MYH6	1.43	BO3SN3	XZ	CHI-CHY025W	MYH6	2.70
BN3SN3	XZ	CHI-CHY034-N	MYH6	3.51	BO3SN3	XZ	CHI-CHY034-N	MYH6	6.93
BN3SN3	XZ	CHI-TCU038N	MYH6	2.35	BO3SN3	XZ	CHI-TCU038N	MYH6	2.49
BN3SN3	XZ	CHI-TCU038W	MYH6	1.82	BO3SN3	XZ	CHI-TCU038W	MYH6	3.29
BN3SN3	XZ	CHI-TCU048N	MYH6	1.27	BO3SN3	XZ	CHI-TCU048N	MYH6	2.61

Tablo C.1 (devam): Mevcut binalara ait yerdeğiştirme talepleri

Bina Adı	Analiz Yönü	İvme Kaydı	MYH Grup No	Δ_d (cm)	Bina Adı	Analiz Yönü	İvme Kaydı	MYH Grup No	Δ_d (cm)
BN3SN3	XZ	CHI-TCU49W	MYH6	1.94	BO3SN3	XZ	CHI-TCU49W	MYH6	3.32
BN3SN3	XZ	CHI-TCU51W	MYH6	1.77	BO3SN3	XZ	CHI-TCU51W	MYH6	3.43
BN3SN3	XZ	CHI-TCU95N	MYH6	4.77	BO3SN3	XZ	CHI-TCU95N	MYH6	3.40
BN3SN3	XZ	CHI-TCU104-N	MYH6	0.90	BO3SN3	XZ	CHI-TCU104-N	MYH6	1.63
BN3SN3	XZ	CHI-TCU106-W	MYH6	1.93	BO3SN3	XZ	CHI-TCU106-W	MYH6	3.03
BN3SN3	XZ	CHI-TCU107-N	MYH6	1.71	BO3SN3	XZ	CHI-TCU107-N	MYH6	3.14
BN3SN3	XZ	COY-G06230	MYH6	3.68	BO3SN3	XZ	COY-G06230	MYH6	6.17
BN3SN3	XZ	IMP-E10050	MYH6	1.88	BO3SN3	XZ	IMP-E10050	MYH6	2.75
BN3SN3	XZ	IMP-ELC3-140	MYH6	2.30	BO3SN3	XZ	IMP-ELC3-140	MYH6	3.44
BN3SN3	XZ	IMP-ELC5-140	MYH6	3.25	BO3SN3	XZ	IMP-ELC5-140	MYH6	7.22
BN3SN3	XZ	IMP-ELC7-140	MYH6	1.79	BO3SN3	XZ	IMP-ELC7-140	MYH6	5.72
BN3SN3	XZ	IMP-ELC8-230	MYH6	2.34	BO3SN3	XZ	IMP-ELC8-230	MYH6	4.49
BN3SN3	XZ	IMP-HVP225	MYH6	2.60	BO3SN3	XZ	IMP-HVP225	MYH6	5.35
BN3SN3	XZ	KOC-DZC270	MYH6	4.29	BO3SN3	XZ	KOC-DZC270	MYH6	5.45
BN3SN3	XZ	LOM-BRN090	MYH6	5.60	BO3SN3	XZ	LOM-BRN090	MYH6	12.53
BN3SN3	XZ	LOM-COR090	MYH6	3.74	BO3SN3	XZ	LOM-COR090	MYH6	9.26
BN3SN3	XZ	LOM-G03090	MYH6	2.09	BO3SN3	XZ	LOM-G03090	MYH6	3.62
BN3SN3	XZ	LOM-HCH180	MYH6	2.20	BO3SN3	XZ	LOM-HCH180	MYH6	4.70
BN3SN3	XZ	NAH-S1010	MYH6	4.50	BO3SN3	XZ	NAH-S1010	MYH6	5.31
BN3SN3	XZ	NAH-S1280	MYH6	4.02	BO3SN3	XZ	NAH-S1280	MYH6	5.19
BN3SN3	XZ	NOR-LOS270	MYH6	4.89	BO3SN3	XZ	NOR-LOS270	MYH6	7.85
BN3SN3	XZ	NOR-PAC175	MYH6	5.32	BO3SN3	XZ	NOR-PAC175	MYH6	5.62
BN3SN3	XZ	SUP-ELC000	MYH6	2.30	BO3SN3	XZ	SUP-ELC000	MYH6	7.04
BN3SN3	XZ	WES-WSM090	MYH6	4.02	BO3SN3	XZ	WES-WSM090	MYH6	9.23
BN3SN3	YZ	CAP-PET000	MYH6	4.24	BO3SN3	YZ	CAP-PET000	MYH6	11.83
BN3SN3	YZ	CHI-CHY025W	MYH6	1.30	BO3SN3	YZ	CHI-CHY025W	MYH6	2.41
BN3SN3	YZ	CHI-CHY034-N	MYH6	2.48	BO3SN3	YZ	CHI-CHY034-N	MYH6	8.60
BN3SN3	YZ	CHI-TCU038N	MYH6	2.00	BO3SN3	YZ	CHI-TCU038N	MYH6	1.99
BN3SN3	YZ	CHI-TCU038W	MYH6	1.70	BO3SN3	YZ	CHI-TCU038W	MYH6	3.34
BN3SN3	YZ	CHI-TCU048N	MYH6	1.28	BO3SN3	YZ	CHI-TCU048N	MYH6	1.96
BN3SN3	YZ	CHI-TCU49W	MYH6	2.00	BO3SN3	YZ	CHI-TCU49W	MYH6	2.75
BN3SN3	YZ	CHI-TCU51W	MYH6	1.55	BO3SN3	YZ	CHI-TCU51W	MYH6	3.05
BN3SN3	YZ	CHI-TCU95N	MYH6	4.80	BO3SN3	YZ	CHI-TCU95N	MYH6	3.52
BN3SN3	YZ	CHI-TCU104-N	MYH6	0.77	BO3SN3	YZ	CHI-TCU104-N	MYH6	1.44
BN3SN3	YZ	CHI-TCU106-W	MYH6	1.59	BO3SN3	YZ	CHI-TCU106-W	MYH6	4.49
BN3SN3	YZ	CHI-TCU107-N	MYH6	1.07	BO3SN3	YZ	CHI-TCU107-N	MYH6	3.00
BN3SN3	YZ	COY-G06230	MYH6	2.27	BO3SN3	YZ	COY-G06230	MYH6	7.54
BN3SN3	YZ	IMP-E10050	MYH6	1.87	BO3SN3	YZ	IMP-E10050	MYH6	3.37
BN3SN3	YZ	IMP-ELC3-140	MYH6	2.40	BO3SN3	YZ	IMP-ELC3-140	MYH6	3.10
BN3SN3	YZ	IMP-ELC5-140	MYH6	3.46	BO3SN3	YZ	IMP-ELC5-140	MYH6	8.45
BN3SN3	YZ	IMP-ELC7-140	MYH6	1.94	BO3SN3	YZ	IMP-ELC7-140	MYH6	5.26
BN3SN3	YZ	IMP-ELC8-230	MYH6	2.15	BO3SN3	YZ	IMP-ELC8-230	MYH6	3.94
BN3SN3	YZ	IMP-HVP225	MYH6	2.69	BO3SN3	YZ	IMP-HVP225	MYH6	5.50
BN3SN3	YZ	KOC-DZC270	MYH6	4.05	BO3SN3	YZ	KOC-DZC270	MYH6	5.58
BN3SN3	YZ	LOM-BRN090	MYH6	4.50	BO3SN3	YZ	LOM-BRN090	MYH6	15.48
BN3SN3	YZ	LOM-COR090	MYH6	2.55	BO3SN3	YZ	LOM-COR090	MYH6	6.92
BN3SN3	YZ	LOM-G03090	MYH6	2.13	BO3SN3	YZ	LOM-G03090	MYH6	3.70
BN3SN3	YZ	LOM-HCH180	MYH6	1.70	BO3SN3	YZ	LOM-HCH180	MYH6	4.61
BN3SN3	YZ	NAH-S1010	MYH6	4.02	BO3SN3	YZ	NAH-S1010	MYH6	5.86
BN3SN3	YZ	NAH-S1280	MYH6	4.11	BO3SN3	YZ	NAH-S1280	MYH6	7.24
BN3SN3	YZ	NOR-LOS270	MYH6	4.53	BO3SN3	YZ	NOR-LOS270	MYH6	9.66
BN3SN3	YZ	NOR-PAC175	MYH6	4.72	BO3SN3	YZ	NOR-PAC175	MYH6	5.49
BN3SN3	YZ	SUP-ELC000	MYH6	2.02	BO3SN3	YZ	SUP-ELC000	MYH6	5.72
BN3SN3	YZ	WES-WSM090	MYH6	3.29	BO3SN3	YZ	WES-WSM090	MYH6	6.75
BN3SN3	XZ	CHI-CHY002-N	MYH7	1.28	BO3SN3	XZ	CHI-CHY002-N	MYH7	1.97
BN3SN3	XZ	CHI-CHY024W	MYH7	2.68	BO3SN3	XZ	CHI-CHY024W	MYH7	4.68
BN3SN3	XZ	CHI-CHY104-E	MYH7	2.39	BO3SN3	XZ	CHI-CHY104-E	MYH7	3.59
BN3SN3	XZ	CHI-TCU029N	MYH7	1.08	BO3SN3	XZ	CHI-TCU029N	MYH7	1.99
BN3SN3	XZ	CHI-TCU036N	MYH7	1.54	BO3SN3	XZ	CHI-TCU036N	MYH7	2.42

Tablo C.1 (devam): Mevcut binalara ait yerdeğiştirme talepleri

Bina Adı	Analiz Yönü	İvme Kaydı	MYH Grup No	Δ_d (cm)	Bina Adı	Analiz Yönü	İvme Kaydı	MYH Grup No	Δ_d (cm)
BN3SN3	XZ	CHI-TCU039N	MYH7	1.31	BO3SN3	XZ	CHI-TCU039N	MYH7	2.32
BN3SN3	XZ	CHI-TCU039W	MYH7	1.57	BO3SN3	XZ	CHI-TCU039W	MYH7	4.56
BN3SN3	XZ	CHI-TCU040N	MYH7	1.42	BO3SN3	XZ	CHI-TCU040N	MYH7	1.78
BN3SN3	XZ	CHI-TCU040W	MYH7	2.13	BO3SN3	XZ	CHI-TCU040W	MYH7	2.53
BN3SN3	XZ	CHI-TCU055N	MYH7	1.99	BO3SN3	XZ	CHI-TCU055N	MYH7	3.38
BN3SN3	XZ	CHI-TCU064N	MYH7	0.90	BO3SN3	XZ	CHI-TCU064N	MYH7	1.66
BN3SN3	XZ	CHI-TCU70W	MYH7	2.26	BO3SN3	XZ	CHI-TCU70W	MYH7	6.02
BN3SN3	XZ	CHI-TCU109-N	MYH7	2.05	BO3SN3	XZ	CHI-TCU109-N	MYH7	3.69
BN3SN3	XZ	CHI-TCU109-W	MYH7	2.47	BO3SN3	XZ	CHI-TCU109-W	MYH7	2.98
BN3SN3	XZ	CHI-TCU115-W	MYH7	1.02	BO3SN3	XZ	CHI-TCU115-W	MYH7	1.55
BN3SN3	XZ	CHI-TCU117-N	MYH7	1.06	BO3SN3	XZ	CHI-TCU117-N	MYH7	1.74
BN3SN3	XZ	IMP-ELC8-140	MYH7	4.72	BO3SN3	XZ	IMP-ELC8-140	MYH7	6.84
BN3SN3	XZ	IMP-HVP315	MYH7	2.47	BO3SN3	XZ	IMP-HVP315	MYH7	3.05
BN3SN3	XZ	IRP-STU270	MYH7	2.80	BO3SN3	XZ	IRP-STU270	MYH7	2.79
BN3SN3	XZ	KOC-GBZ000	MYH7	2.18	BO3SN3	XZ	KOC-GBZ000	MYH7	3.87
BN3SN3	XZ	LAN-YER270	MYH7	2.08	BO3SN3	XZ	LAN-YER270	MYH7	5.40
BN3SN3	XZ	LOM-A02043	MYH7	1.86	BO3SN3	XZ	LOM-A02043	MYH7	11.37
BN3SN3	XZ	LOM-BRN000	MYH7	5.01	BO3SN3	XZ	LOM-BRN000	MYH7	5.63
BN3SN3	XZ	LOM-LGP090	MYH7	4.23	BO3SN3	XZ	LOM-LGP090	MYH7	7.50
BN3SN3	XZ	MOR-CYC195	MYH7	6.72	BO3SN3	XZ	MOR-CYC195	MYH7	15.91
BN3SN3	XZ	NOR-LDM334	MYH7	2.72	BO3SN3	XZ	NOR-LDM334	MYH7	11.63
BN3SN3	XZ	NOR-ORR090	MYH7	5.08	BO3SN3	XZ	NOR-ORR090	MYH7	8.33
BN3SN3	XZ	NOR-ORR360	MYH7	5.67	BO3SN3	XZ	NOR-ORR360	MYH7	18.93
BN3SN3	XZ	NOR-PKC360	MYH7	5.32	BO3SN3	XZ	NOR-PKC360	MYH7	8.01
BN3SN3	XZ	SFD-PCD254	MYH7	8.48	BO3SN3	XZ	SFD-PCD254	MYH7	10.99
BN3SN3	YZ	CHI-CHY002-N	MYH7	1.20	BO3SN3	YZ	CHI-CHY002-N	MYH7	2.06
BN3SN3	YZ	CHI-CHY024W	MYH7	2.12	BO3SN3	YZ	CHI-CHY024W	MYH7	5.78
BN3SN3	YZ	CHI-CHY104-E	MYH7	1.78	BO3SN3	YZ	CHI-CHY104-E	MYH7	3.65
BN3SN3	YZ	CHI-TCU029N	MYH7	1.15	BO3SN3	YZ	CHI-TCU029N	MYH7	1.83
BN3SN3	YZ	CHI-TCU036N	MYH7	1.42	BO3SN3	YZ	CHI-TCU036N	MYH7	2.47
BN3SN3	YZ	CHI-TCU039N	MYH7	1.48	BO3SN3	YZ	CHI-TCU039N	MYH7	1.67
BN3SN3	YZ	CHI-TCU039W	MYH7	1.23	BO3SN3	YZ	CHI-TCU039W	MYH7	2.78
BN3SN3	YZ	CHI-TCU040N	MYH7	0.98	BO3SN3	YZ	CHI-TCU040N	MYH7	1.75
BN3SN3	YZ	CHI-TCU040W	MYH7	1.40	BO3SN3	YZ	CHI-TCU040W	MYH7	2.82
BN3SN3	YZ	CHI-TCU055N	MYH7	1.82	BO3SN3	YZ	CHI-TCU055N	MYH7	3.43
BN3SN3	YZ	CHI-TCU064N	MYH7	0.87	BO3SN3	YZ	CHI-TCU064N	MYH7	1.51
BN3SN3	YZ	CHI-TCU70W	MYH7	1.73	BO3SN3	YZ	CHI-TCU70W	MYH7	6.01
BN3SN3	YZ	CHI-TCU109-N	MYH7	1.50	BO3SN3	YZ	CHI-TCU109-N	MYH7	2.95
BN3SN3	YZ	CHI-TCU109-W	MYH7	1.75	BO3SN3	YZ	CHI-TCU109-W	MYH7	3.20
BN3SN3	YZ	CHI-TCU115-W	MYH7	0.93	BO3SN3	YZ	CHI-TCU115-W	MYH7	1.93
BN3SN3	YZ	CHI-TCU117-N	MYH7	0.93	BO3SN3	YZ	CHI-TCU117-N	MYH7	1.63
BN3SN3	YZ	IMP-ELC8-140	MYH7	4.31	BO3SN3	YZ	IMP-ELC8-140	MYH7	5.85
BN3SN3	YZ	IMP-HVP315	MYH7	1.82	BO3SN3	YZ	IMP-HVP315	MYH7	2.74
BN3SN3	YZ	IRP-STU270	MYH7	2.39	BO3SN3	YZ	IRP-STU270	MYH7	2.80
BN3SN3	YZ	KOC-GBZ000	MYH7	2.02	BO3SN3	YZ	KOC-GBZ000	MYH7	3.89
BN3SN3	YZ	LAN-YER270	MYH7	1.68	BO3SN3	YZ	LAN-YER270	MYH7	6.13
BN3SN3	YZ	LOM-A02043	MYH7	1.44	BO3SN3	YZ	LOM-A02043	MYH7	9.46
BN3SN3	YZ	LOM-BRN000	MYH7	5.12	BO3SN3	YZ	LOM-BRN000	MYH7	6.66
BN3SN3	YZ	LOM-LGP090	MYH7	3.23	BO3SN3	YZ	LOM-LGP090	MYH7	13.21
BN3SN3	YZ	MOR-CYC195	MYH7	6.52	BO3SN3	YZ	MOR-CYC195	MYH7	13.50
BN3SN3	YZ	NOR-LDM334	MYH7	2.58	BO3SN3	YZ	NOR-LDM334	MYH7	8.57
BN3SN3	YZ	NOR-ORR090	MYH7	5.45	BO3SN3	YZ	NOR-ORR090	MYH7	8.67
BN3SN3	YZ	NOR-ORR360	MYH7	4.48	BO3SN3	YZ	NOR-ORR360	MYH7	11.96
BN3SN3	YZ	NOR-PKC360	MYH7	3.92	BO3SN3	YZ	NOR-PKC360	MYH7	8.29
BN3SN3	YZ	SFD-PCD254	MYH7	7.23	BO3SN3	YZ	SFD-PCD254	MYH7	17.27
BN3SN3	XZ	CAP-RIO270	MYH8	3.62	BO3SN3	XZ	CAP-RIO270	MYH8	9.50
BN3SN3	XZ	CAP-RIO360	MYH8	9.18	BO3SN3	XZ	CAP-RIO360	MYH8	10.50
BN3SN3	XZ	CHI-CHY006-E	MYH8	3.23	BO3SN3	XZ	CHI-CHY006-E	MYH8	10.50
BN3SN3	XZ	CHI-CHY092-E	MYH8	0.85	BO3SN3	XZ	CHI-CHY092-E	MYH8	1.75

Tablo C.1 (devam): Mevcut binalara ait yerdeğiştirme talepleri

Bina Adı	Analiz Yönü	İvme Kaydı	MYH Grup No	Δ_d (cm)	Bina Adı	Analiz Yönü	İvme Kaydı	MYH Grup No	Δ_d (cm)
BN3SN3	XZ	CHI-CHY104-N	MYH8	1.47	BO3SN3	XZ	CHI-CHY104-N	MYH8	3.93
BN3SN3	XZ	CHI-TCU054W	MYH8	1.78	BO3SN3	XZ	CHI-TCU054W	MYH8	2.49
BN3SN3	XZ	CHI-TCU059N	MYH8	2.30	BO3SN3	XZ	CHI-TCU059N	MYH8	3.89
BN3SN3	XZ	CHI-TCU059W	MYH8	2.28	BO3SN3	XZ	CHI-TCU059W	MYH8	4.00
BN3SN3	XZ	CHI-TCU063W	MYH8	2.23	BO3SN3	XZ	CHI-TCU063W	MYH8	4.07
BN3SN3	XZ	CHI-TCU072N	MYH8	3.44	BO3SN3	XZ	CHI-TCU072N	MYH8	15.01
BN3SN3	XZ	CHI-TCU82W	MYH8	3.09	BO3SN3	XZ	CHI-TCU82W	MYH8	3.78
BN3SN3	XZ	CHI-TCU110-N	MYH8	1.23	BO3SN3	XZ	CHI-TCU110-N	MYH8	4.96
BN3SN3	XZ	CHI-TCU111-W	MYH8	0.97	BO3SN3	XZ	CHI-TCU111-W	MYH8	2.70
BN3SN3	XZ	CHI-TCU117-W	MYH8	1.29	BO3SN3	XZ	CHI-TCU117-W	MYH8	2.06
BN3SN3	XZ	CHI-TCU136-E	MYH8	1.77	BO3SN3	XZ	CHI-TCU136-E	MYH8	3.12
BN3SN3	XZ	DZC-BOL000	MYH8	5.64	BO3SN3	XZ	DZC-BOL000	MYH8	10.14
BN3SN3	XZ	IMP-ELC3-140	MYH8	2.59	BO3SN3	XZ	IMP-ELC3-140	MYH8	5.78
BN3SN3	XZ	IMP-ELC3-230	MYH8	1.82	BO3SN3	XZ	IMP-ELC3-230	MYH8	5.02
BN3SN3	XZ	IRP-STU270	MYH8	3.01	BO3SN3	XZ	IRP-STU270	MYH8	3.15
BN3SN3	XZ	KOC-DZC180	MYH8	3.36	BO3SN3	XZ	KOC-DZC180	MYH8	4.87
BN3SN3	XZ	KOC-DZC270	MYH8	5.48	BO3SN3	XZ	KOC-DZC270	MYH8	7.10
BN3SN3	XZ	KOC-GBZ000	MYH8	2.44	BO3SN3	XZ	KOC-GBZ000	MYH8	4.67
BN3SN3	XZ	LAN-CLVTR	MYH8	9.16	BO3SN3	XZ	LAN-CLVTR	MYH8	15.69
BN3SN3	XZ	LAN-YER270	MYH8	2.25	BO3SN3	XZ	LAN-YER270	MYH8	6.62
BN3SN3	XZ	LOM-COR000	MYH8	6.05	BO3SN3	XZ	LOM-COR000	MYH8	11.66
BN3SN3	XZ	NOR-MUL009	MYH8	3.81	BO3SN3	XZ	NOR-MUL009	MYH8	8.04
BN3SN3	XZ	NOR-PUL104	MYH8	9.78	BO3SN3	XZ	NOR-PUL104	MYH8	13.48
BN3SN3	XZ	NPAL-MVH135	MYH8	2.14	BO3SN3	XZ	NPAL-MVH135	MYH8	6.57
BN3SN3	XZ	SUP-ELC000	MYH8	2.59	BO3SN3	XZ	SUP-ELC000	MYH8	10.20
BN3SN3	XZ	SUP-ELC090	MYH8	3.25	BO3SN3	XZ	SUP-ELC090	MYH8	6.54
BN3SN3	YZ	CAP-RIO270	MYH8	3.16	BO3SN3	YZ	CAP-RIO270	MYH8	12.26
BN3SN3	YZ	CAP-RIO360	MYH8	8.40	BO3SN3	YZ	CAP-RIO360	MYH8	13.37
BN3SN3	YZ	CHI-CHY006-E	MYH8	2.62	BO3SN3	YZ	CHI-CHY006-E	MYH8	16.34
BN3SN3	YZ	CHI-CHY092-E	MYH8	0.71	BO3SN3	YZ	CHI-CHY092-E	MYH8	1.45
BN3SN3	YZ	CHI-CHY104-N	MYH8	1.48	BO3SN3	YZ	CHI-CHY104-N	MYH8	2.50
BN3SN3	YZ	CHI-TCU054W	MYH8	1.63	BO3SN3	YZ	CHI-TCU054W	MYH8	2.24
BN3SN3	YZ	CHI-TCU059N	MYH8	1.83	BO3SN3	YZ	CHI-TCU059N	MYH8	3.49
BN3SN3	YZ	CHI-TCU059W	MYH8	1.79	BO3SN3	YZ	CHI-TCU059W	MYH8	2.76
BN3SN3	YZ	CHI-TCU063W	MYH8	1.69	BO3SN3	YZ	CHI-TCU063W	MYH8	3.24
BN3SN3	YZ	CHI-TCU072N	MYH8	3.23	BO3SN3	YZ	CHI-TCU072N	MYH8	8.47
BN3SN3	YZ	CHI-TCU82W	MYH8	2.63	BO3SN3	YZ	CHI-TCU82W	MYH8	4.18
BN3SN3	YZ	CHI-TCU110-N	MYH8	0.99	BO3SN3	YZ	CHI-TCU110-N	MYH8	4.35
BN3SN3	YZ	CHI-TCU111-W	MYH8	0.87	BO3SN3	YZ	CHI-TCU111-W	MYH8	2.22
BN3SN3	YZ	CHI-TCU117-W	MYH8	0.96	BO3SN3	YZ	CHI-TCU117-W	MYH8	1.88
BN3SN3	YZ	CHI-TCU136-E	MYH8	1.62	BO3SN3	YZ	CHI-TCU136-E	MYH8	2.29
BN3SN3	YZ	DZC-BOL000	MYH8	4.56	BO3SN3	YZ	DZC-BOL000	MYH8	8.21
BN3SN3	YZ	IMP-ELC3-140	MYH8	2.65	BO3SN3	YZ	IMP-ELC3-140	MYH8	4.89
BN3SN3	YZ	IMP-ELC3-230	MYH8	1.68	BO3SN3	YZ	IMP-ELC3-230	MYH8	3.85
BN3SN3	YZ	IRP-STU270	MYH8	2.53	BO3SN3	YZ	IRP-STU270	MYH8	3.33
BN3SN3	YZ	KOC-DZC180	MYH8	3.22	BO3SN3	YZ	KOC-DZC180	MYH8	4.39
BN3SN3	YZ	KOC-DZC270	MYH8	4.46	BO3SN3	YZ	KOC-DZC270	MYH8	9.63
BN3SN3	YZ	KOC-GBZ000	MYH8	2.31	BO3SN3	YZ	KOC-GBZ000	MYH8	4.68
BN3SN3	YZ	LAN-CLVTR	MYH8	7.51	BO3SN3	YZ	LAN-CLVTR	MYH8	18.32
BN3SN3	YZ	LAN-YER270	MYH8	1.83	BO3SN3	YZ	LAN-YER270	MYH8	7.56
BN3SN3	YZ	LOM-COR000	MYH8	5.33	BO3SN3	YZ	LOM-COR000	MYH8	14.47
BN3SN3	YZ	NOR-MUL009	MYH8	2.46	BO3SN3	YZ	NOR-MUL009	MYH8	9.36
BN3SN3	YZ	NOR-PUL104	MYH8	8.23	BO3SN3	YZ	NOR-PUL104	MYH8	10.86
BN3SN3	YZ	NPAL-MVH135	MYH8	1.89	BO3SN3	YZ	NPAL-MVH135	MYH8	4.93
BN3SN3	YZ	SUP-ELC000	MYH8	2.41	BO3SN3	YZ	SUP-ELC000	MYH8	9.30
BN3SN3	YZ	SUP-ELC090	MYH8	2.02	BO3SN3	YZ	SUP-ELC090	MYH8	7.62
BN3SN3	XZ	CHI-TCU036W	MYH9	1.11	BO3SN3	XZ	CHI-TCU036W	MYH9	2.90
BN3SN3	XZ	CHI-TCU49N	MYH9	2.20	BO3SN3	XZ	CHI-TCU49N	MYH9	3.49
BN3SN3	XZ	CHI-TCU70N	MYH9	1.84	BO3SN3	XZ	CHI-TCU70N	MYH9	5.95

Tablo C.1 (devam): Mevcut binalara ait yerdeğiştirme talepleri

Bina Adı	Analiz Yönü	İvme Kaydı	MYH Grup No	Δ_d (cm)	Bina Adı	Analiz Yönü	İvme Kaydı	MYH Grup No	Δ_d (cm)
BN3SN3	XZ	CHI-TCU76N	MYH9	2.53	BO3SN3	XZ	CHI-TCU76N	MYH9	14.33
BN3SN3	XZ	CHI-TCU76W	MYH9	3.49	BO3SN3	XZ	CHI-TCU76W	MYH9	3.28
BN3SN3	XZ	CHI-TCU079-W	MYH9	9.73	BO3SN3	XZ	CHI-TCU079-W	MYH9	9.84
BN3SN3	XZ	CHI-TCU95W	MYH9	4.78	BO3SN3	XZ	CHI-TCU95W	MYH9	6.78
BN3SN3	XZ	CHI-TCU103-W	MYH9	1.86	BO3SN3	XZ	CHI-TCU103-W	MYH9	2.37
BN3SN3	XZ	CHI-TCU120-W	MYH9	1.89	BO3SN3	XZ	CHI-TCU120-W	MYH9	3.24
BN3SN3	XZ	CHI-TCU129-W	MYH9	7.72	BO3SN3	XZ	CHI-TCU129-W	MYH9	9.80
BN3SN3	XZ	COA-PLE045	MYH9	8.52	BO3SN3	XZ	COA-PLE045	MYH9	14.78
BN3SN3	XZ	DZC-BOL000	MYH9	6.16	BO3SN3	XZ	DZC-BOL000	MYH9	11.34
BN3SN3	XZ	DZC-BOL090	MYH9	10.26	BO3SN3	XZ	DZC-BOL090	MYH9	22.19
BN3SN3	XZ	DZC-DZC180	MYH9	4.74	BO3SN3	XZ	DZC-DZC180	MYH9	11.29
BN3SN3	XZ	ERZ-ERZEW	MYH9	4.74	BO3SN3	XZ	ERZ-ERZEW	MYH9	14.78
BN3SN3	XZ	IMP-ELC3-140	MYH9	2.70	BO3SN3	XZ	IMP-ELC3-140	MYH9	7.17
BN3SN3	XZ	IMP-HVP315	MYH9	3.03	BO3SN3	XZ	IMP-HVP315	MYH9	3.68
BN3SN3	XZ	IRP-STU270	MYH9	3.17	BO3SN3	XZ	IRP-STU270	MYH9	4.13
BN3SN3	XZ	KOC-DZC180	MYH9	3.45	BO3SN3	XZ	KOC-DZC180	MYH9	4.94
BN3SN3	XZ	KOC-GBZ000	MYH9	2.60	BO3SN3	XZ	KOC-GBZ000	MYH9	5.34
BN3SN3	XZ	KOC-YAR330	MYH9	2.73	BO3SN3	XZ	KOC-YAR330	MYH9	3.87
BN3SN3	XZ	LAN-YER270	MYH9	2.52	BO3SN3	XZ	LAN-YER270	MYH9	7.75
BN3SN3	XZ	LOM-BRN000	MYH9	6.82	BO3SN3	XZ	LOM-BRN000	MYH9	8.95
BN3SN3	XZ	LOM-HSP000	MYH9	2.69	BO3SN3	XZ	LOM-HSP000	MYH9	10.94
BN3SN3	XZ	LOM-WVC270	MYH9	2.81	BO3SN3	XZ	LOM-WVC270	MYH9	7.69
BN3SN3	XZ	NOR-CNP196	MYH9	6.07	BO3SN3	XZ	NOR-CNP196	MYH9	6.97
BN3SN3	XZ	NOR-LDM064	MYH9	3.94	BO3SN3	XZ	NOR-LDM064	MYH9	13.04
BN3SN3	XZ	NOR-MUL279	MYH9	5.67	BO3SN3	XZ	NOR-MUL279	MYH9	15.92
BN3SN3	XZ	NOR-SAT180	MYH9	5.17	BO3SN3	XZ	NOR-SAT180	MYH9	11.27
BN3SN3	XZ	SUP-ELC000	MYH9	2.91	BO3SN3	XZ	SUP-ELC000	MYH9	11.51
BN3SN3	YZ	CHI-TCU036W	MYH9	1.23	BO3SN3	YZ	CHI-TCU036W	MYH9	2.73
BN3SN3	YZ	CHI-TCU49N	MYH9	2.10	BO3SN3	YZ	CHI-TCU49N	MYH9	3.42
BN3SN3	YZ	CHI-TCU70N	MYH9	1.39	BO3SN3	YZ	CHI-TCU70N	MYH9	3.44
BN3SN3	YZ	CHI-TCU76N	MYH9	2.47	BO3SN3	YZ	CHI-TCU76N	MYH9	11.92
BN3SN3	YZ	CHI-TCU76W	MYH9	3.20	BO3SN3	YZ	CHI-TCU76W	MYH9	3.65
BN3SN3	YZ	CHI-TCU079-W	MYH9	8.52	BO3SN3	YZ	CHI-TCU079-W	MYH9	14.50
BN3SN3	YZ	CHI-TCU95W	MYH9	3.20	BO3SN3	YZ	CHI-TCU95W	MYH9	8.40
BN3SN3	YZ	CHI-TCU103-W	MYH9	1.46	BO3SN3	YZ	CHI-TCU103-W	MYH9	2.54
BN3SN3	YZ	CHI-TCU120-W	MYH9	1.56	BO3SN3	YZ	CHI-TCU120-W	MYH9	3.14
BN3SN3	YZ	CHI-TCU129-W	MYH9	7.48	BO3SN3	YZ	CHI-TCU129-W	MYH9	10.07
BN3SN3	YZ	COA-PLE045	MYH9	4.76	BO3SN3	YZ	COA-PLE045	MYH9	14.40
BN3SN3	YZ	DZC-BOL000	MYH9	4.79	BO3SN3	YZ	DZC-BOL000	MYH9	8.63
BN3SN3	YZ	DZC-BOL090	MYH9	8.09	BO3SN3	YZ	DZC-BOL090	MYH9	21.19
BN3SN3	YZ	DZC-DZC180	MYH9	4.19	BO3SN3	YZ	DZC-DZC180	MYH9	12.70
BN3SN3	YZ	ERZ-ERZEW	MYH9	3.94	BO3SN3	YZ	ERZ-ERZEW	MYH9	12.63
BN3SN3	YZ	IMP-ELC3-140	MYH9	2.74	BO3SN3	YZ	IMP-ELC3-140	MYH9	5.90
BN3SN3	YZ	IMP-HVP315	MYH9	2.10	BO3SN3	YZ	IMP-HVP315	MYH9	3.92
BN3SN3	YZ	IRP-STU270	MYH9	2.66	BO3SN3	YZ	IRP-STU270	MYH9	3.96
BN3SN3	YZ	KOC-DZC180	MYH9	3.46	BO3SN3	YZ	KOC-DZC180	MYH9	5.01
BN3SN3	YZ	KOC-GBZ000	MYH9	2.50	BO3SN3	YZ	KOC-GBZ000	MYH9	5.29
BN3SN3	YZ	KOC-YAR330	MYH9	2.51	BO3SN3	YZ	KOC-YAR330	MYH9	4.47
BN3SN3	YZ	LAN-YER270	MYH9	1.94	BO3SN3	YZ	LAN-YER270	MYH9	8.78
BN3SN3	YZ	LOM-BRN000	MYH9	5.99	BO3SN3	YZ	LOM-BRN000	MYH9	10.83
BN3SN3	YZ	LOM-HSP000	MYH9	2.59	BO3SN3	YZ	LOM-HSP000	MYH9	12.42
BN3SN3	YZ	LOM-WVC270	MYH9	2.79	BO3SN3	YZ	LOM-WVC270	MYH9	8.27
BN3SN3	YZ	NOR-CNP196	MYH9	4.47	BO3SN3	YZ	NOR-CNP196	MYH9	10.97
BN3SN3	YZ	NOR-LDM064	MYH9	3.72	BO3SN3	YZ	NOR-LDM064	MYH9	12.36
BN3SN3	YZ	NOR-MUL279	MYH9	5.36	BO3SN3	YZ	NOR-MUL279	MYH9	19.35
BN3SN3	YZ	NOR-SAT180	MYH9	4.47	BO3SN3	YZ	NOR-SAT180	MYH9	13.45
BN3SN3	YZ	SUP-ELC000	MYH9	2.55	BO3SN3	YZ	SUP-ELC000	MYH9	11.11
BN3SN3	XZ	CHI-CHY28N	MYH10	14.99	BO3SN3	XZ	CHI-CHY28N	MYH10	20.12
BN3SN3	XZ	CHI-TCU067N	MYH10	5.15	BO3SN3	XZ	CHI-TCU067N	MYH10	7.63

Tablo C.1 (devam): Mevcut binalara ait yerdeğiştirme talepleri

Bina Adı	Analiz Yönü	İvme Kaydı	MYH Grup No	Δ_d (cm)	Bina Adı	Analiz Yönü	İvme Kaydı	MYH Grup No	Δ_d (cm)
BN3SN3	XZ	CHI-TCU071N	MYH10	3.65	BO3SN3	XZ	CHI-TCU071N	MYH10	6.45
BN3SN3	XZ	CHI-TCU101-W	MYH10	2.39	BO3SN3	XZ	CHI-TCU101-W	MYH10	4.36
BN3SN3	XZ	CHI-TCU110-W	MYH10	1.25	BO3SN3	XZ	CHI-TCU110-W	MYH10	4.55
BN3SN3	XZ	CHI-TCU128-N	MYH10	1.32	BO3SN3	XZ	CHI-TCU128-N	MYH10	2.81
BN3SN3	XZ	CHI-WGK-E	MYH10	2.60	BO3SN3	XZ	CHI-WGK-E	MYH10	4.53
BN3SN3	XZ	CHI-WNTE	MYH10	8.05	BO3SN3	XZ	CHI-WNTE	MYH10	6.85
BN3SN3	XZ	DZC-BOL000	MYH10	6.30	BO3SN3	XZ	DZC-BOL000	MYH10	12.64
BN3SN3	XZ	DZC-BOL090	MYH10	11.73	BO3SN3	XZ	DZC-BOL090	MYH10	23.46
BN3SN3	XZ	GAZ-KAR000	MYH10	5.30	BO3SN3	XZ	GAZ-KAR000	MYH10	9.05
BN3SN3	XZ	IMP-ECC092	MYH10	1.99	BO3SN3	XZ	IMP-ECC092	MYH10	5.76
BN3SN3	XZ	IMP-ELC3-140	MYH10	2.80	BO3SN3	XZ	IMP-ELC3-140	MYH10	8.60
BN3SN3	XZ	IMP-ELC6-140	MYH10	2.39	BO3SN3	XZ	IMP-ELC6-140	MYH10	8.04
BN3SN3	XZ	IRP-STU270	MYH10	3.35	BO3SN3	XZ	IRP-STU270	MYH10	5.42
BN3SN3	XZ	KOB-TAK000	MYH10	9.93	BO3SN3	XZ	KOB-TAK000	MYH10	12.40
BN3SN3	XZ	KOC-DZC180	MYH10	3.48	BO3SN3	XZ	KOC-DZC180	MYH10	4.94
BN3SN3	XZ	KOC-GBZ000	MYH10	2.78	BO3SN3	XZ	KOC-GBZ000	MYH10	6.07
BN3SN3	XZ	KOC-YAR060	MYH10	2.35	BO3SN3	XZ	KOC-YAR060	MYH10	3.67
BN3SN3	XZ	LAN-YER270	MYH10	2.80	BO3SN3	XZ	LAN-YER270	MYH10	8.98
BN3SN3	XZ	LOM-BRN000	MYH10	7.45	BO3SN3	XZ	LOM-BRN000	MYH10	10.81
BN3SN3	XZ	LOM-G03090	MYH10	2.94	BO3SN3	XZ	LOM-G03090	MYH10	8.29
BN3SN3	XZ	LOM-HSP000	MYH10	3.36	BO3SN3	XZ	LOM-HSP000	MYH10	12.53
BN3SN3	XZ	NOR-CNP196	MYH10	7.00	BO3SN3	XZ	NOR-CNP196	MYH10	7.83
BN3SN3	XZ	NOR-MUL009	MYH10	4.73	BO3SN3	XZ	NOR-MUL009	MYH10	10.27
BN3SN3	XZ	NOR-MUL279	MYH10	5.92	BO3SN3	XZ	NOR-MUL279	MYH10	17.89
BN3SN3	XZ	NOR-ORR090	MYH10	6.79	BO3SN3	XZ	NOR-ORR090	MYH10	11.33
BN3SN3	XZ	NOR-ORR360	MYH10	8.87	BO3SN3	XZ	NOR-ORR360	MYH10	30.69
BN3SN3	XZ	NOR-SAT180	MYH10	6.02	BO3SN3	XZ	NOR-SAT180	MYH10	14.16
BN3SN3	XZ	NOR-WPI316	MYH10	2.66	BO3SN3	XZ	NOR-WPI316	MYH10	8.12
BN3SN3	YZ	CHI-CHY28N	MYH10	11.97	BO3SN3	YZ	CHI-CHY28N	MYH10	21.73
BN3SN3	YZ	CHI-TCU067N	MYH10	3.87	BO3SN3	YZ	CHI-TCU067N	MYH10	6.82
BN3SN3	YZ	CHI-TCU071N	MYH10	4.03	BO3SN3	YZ	CHI-TCU071N	MYH10	7.01
BN3SN3	YZ	CHI-TCU101-W	MYH10	1.88	BO3SN3	YZ	CHI-TCU101-W	MYH10	3.48
BN3SN3	YZ	CHI-TCU110-W	MYH10	1.28	BO3SN3	YZ	CHI-TCU110-W	MYH10	3.34
BN3SN3	YZ	CHI-TCU128-N	MYH10	1.19	BO3SN3	YZ	CHI-TCU128-N	MYH10	2.75
BN3SN3	YZ	CHI-WGK-E	MYH10	2.10	BO3SN3	YZ	CHI-WGK-E	MYH10	2.98
BN3SN3	YZ	CHI-WNTE	MYH10	7.41	BO3SN3	YZ	CHI-WNTE	MYH10	7.88
BN3SN3	YZ	DZC-BOL000	MYH10	5.53	BO3SN3	YZ	DZC-BOL000	MYH10	10.03
BN3SN3	YZ	DZC-BOL090	MYH10	9.22	BO3SN3	YZ	DZC-BOL090	MYH10	23.60
BN3SN3	YZ	GAZ-KAR000	MYH10	5.07	BO3SN3	YZ	GAZ-KAR000	MYH10	8.55
BN3SN3	YZ	IMP-ECC092	MYH10	1.70	BO3SN3	YZ	IMP-ECC092	MYH10	5.34
BN3SN3	YZ	IMP-ELC3-140	MYH10	2.80	BO3SN3	YZ	IMP-ELC3-140	MYH10	7.17
BN3SN3	YZ	IMP-ELC6-140	MYH10	2.66	BO3SN3	YZ	IMP-ELC6-140	MYH10	5.73
BN3SN3	YZ	IRP-STU270	MYH10	2.81	BO3SN3	YZ	IRP-STU270	MYH10	4.84
BN3SN3	YZ	KOB-TAK000	MYH10	5.65	BO3SN3	YZ	KOB-TAK000	MYH10	19.23
BN3SN3	YZ	KOC-DZC180	MYH10	3.84	BO3SN3	YZ	KOC-DZC180	MYH10	5.85
BN3SN3	YZ	KOC-GBZ000	MYH10	2.67	BO3SN3	YZ	KOC-GBZ000	MYH10	5.92
BN3SN3	YZ	KOC-YAR060	MYH10	2.13	BO3SN3	YZ	KOC-YAR060	MYH10	6.30
BN3SN3	YZ	LAN-YER270	MYH10	2.04	BO3SN3	YZ	LAN-YER270	MYH10	10.02
BN3SN3	YZ	LOM-BRN000	MYH10	6.17	BO3SN3	YZ	LOM-BRN000	MYH10	13.36
BN3SN3	YZ	LOM-G03090	MYH10	3.05	BO3SN3	YZ	LOM-G03090	MYH10	7.01
BN3SN3	YZ	LOM-HSP000	MYH10	2.81	BO3SN3	YZ	LOM-HSP000	MYH10	14.19
BN3SN3	YZ	NOR-CNP196	MYH10	5.46	BO3SN3	YZ	NOR-CNP196	MYH10	12.01
BN3SN3	YZ	NOR-MUL009	MYH10	2.85	BO3SN3	YZ	NOR-MUL009	MYH10	11.82
BN3SN3	YZ	NOR-MUL279	MYH10	6.02	BO3SN3	YZ	NOR-MUL279	MYH10	21.78
BN3SN3	YZ	NOR-ORR090	MYH10	6.41	BO3SN3	YZ	NOR-ORR090	MYH10	13.58
BN3SN3	YZ	NOR-ORR360	MYH10	6.43	BO3SN3	YZ	NOR-ORR360	MYH10	20.15
BN3SN3	YZ	NOR-SAT180	MYH10	5.14	BO3SN3	YZ	NOR-SAT180	MYH10	14.62
BN3SN3	YZ	NOR-WPI316	MYH10	2.23	BO3SN3	YZ	NOR-WPI316	MYH10	7.91
BN3SN3	XZ	CHI-CHY28W	MYH11	8.35	BO3SN3	XZ	CHI-CHY28W	MYH11	13.12

Tablo C.1 (devam): Mevcut binalara ait yerdeğiştirme talepleri

Bina Adı	Analiz Yönü	İvme Kaydı	MYH Grup No	Δ_d (cm)	Bina Adı	Analiz Yönü	İvme Kaydı	MYH Grup No	Δ_d (cm)
BN3SN3	XZ	CHI-CHY101W	MYH11	2.40	BO3SN3	XZ	CHI-CHY101W	MYH11	4.31
BN3SN3	XZ	CHI-TCU063N	MYH11	1.08	BO3SN3	XZ	CHI-TCU063N	MYH11	2.21
BN3SN3	XZ	CHI-TCU072W	MYH11	5.24	BO3SN3	XZ	CHI-TCU072W	MYH11	10.65
BN3SN3	XZ	CHI-TCU74W	MYH11	9.31	BO3SN3	XZ	CHI-TCU74W	MYH11	27.85
BN3SN3	XZ	CHI-TCU128-W	MYH11	1.30	BO3SN3	XZ	CHI-TCU128-W	MYH11	2.05
BN3SN3	XZ	CHI-WGK-N	MYH11	5.82	BO3SN3	XZ	CHI-WGK-N	MYH11	13.58
BN3SN3	XZ	COA-PLE045	MYH11	12.45	BO3SN3	XZ	COA-PLE045	MYH11	16.59
BN3SN3	XZ	DZC-BOL000	MYH11	6.37	BO3SN3	XZ	DZC-BOL000	MYH11	14.16
BN3SN3	XZ	DZC-BOL090	MYH11	13.22	BO3SN3	XZ	DZC-BOL090	MYH11	24.45
BN3SN3	XZ	DZC-DZC180	MYH11	5.70	BO3SN3	XZ	DZC-DZC180	MYH11	13.52
BN3SN3	XZ	GAZ-KAR000	MYH11	6.04	BO3SN3	XZ	GAZ-KAR000	MYH11	10.07
BN3SN3	XZ	GAZ-KAR090	MYH11	8.49	BO3SN3	XZ	GAZ-KAR090	MYH11	11.89
BN3SN3	XZ	IMP-ECC092	MYH11	2.09	BO3SN3	XZ	IMP-ECC092	MYH11	6.15
BN3SN3	XZ	IMP-ECM000	MYH11	2.40	BO3SN3	XZ	IMP-ECM000	MYH11	11.44
BN3SN3	XZ	IMP-ELCD-270	MYH11	3.37	BO3SN3	XZ	IMP-ELCD-270	MYH11	6.27
BN3SN3	XZ	IRP-STU270	MYH11	3.50	BO3SN3	XZ	IRP-STU270	MYH11	6.90
BN3SN3	XZ	KOB-KJM090	MYH11	10.93	BO3SN3	XZ	KOB-KJM090	MYH11	32.80
BN3SN3	XZ	KOC-DZC180	MYH11	3.49	BO3SN3	XZ	KOC-DZC180	MYH11	4.91
BN3SN3	XZ	KOC-GBZ000	MYH11	2.94	BO3SN3	XZ	KOC-GBZ000	MYH11	6.87
BN3SN3	XZ	KOC-YAR060	MYH11	2.57	BO3SN3	XZ	KOC-YAR060	MYH11	4.26
BN3SN3	XZ	LOM-HSP000	MYH11	4.23	BO3SN3	XZ	LOM-HSP000	MYH11	14.18
BN3SN3	XZ	LOM-WVC270	MYH11	3.30	BO3SN3	XZ	LOM-WVC270	MYH11	10.75
BN3SN3	XZ	NOR-CNP196	MYH11	7.72	BO3SN3	XZ	NOR-CNP196	MYH11	8.40
BN3SN3	XZ	NOR-MUL009	MYH11	5.43	BO3SN3	XZ	NOR-MUL009	MYH11	11.44
BN3SN3	XZ	NOR-MUL279	MYH11	6.66	BO3SN3	XZ	NOR-MUL279	MYH11	19.95
BN3SN3	XZ	NOR-ORR360	MYH11	10.18	BO3SN3	XZ	NOR-ORR360	MYH11	34.83
BN3SN3	XZ	NOR-RRS318	MYH11	4.11	BO3SN3	XZ	NOR-RRS318	MYH11	9.41
BN3SN3	XZ	NOR-SAT180	MYH11	6.76	BO3SN3	XZ	NOR-SAT180	MYH11	16.64
BN3SN3	XZ	NPAL-NPS210	MYH11	3.95	BO3SN3	XZ	NPAL-NPS210	MYH11	11.78
BN3SN3	YZ	CHI-CHY28W	MYH11	7.22	BO3SN3	YZ	CHI-CHY28W	MYH11	12.67
BN3SN3	YZ	CHI-CHY101W	MYH11	2.13	BO3SN3	YZ	CHI-CHY101W	MYH11	4.71
BN3SN3	YZ	CHI-TCU063N	MYH11	1.01	BO3SN3	YZ	CHI-TCU063N	MYH11	2.00
BN3SN3	YZ	CHI-TCU072W	MYH11	3.85	BO3SN3	YZ	CHI-TCU072W	MYH11	13.33
BN3SN3	YZ	CHI-TCU74W	MYH11	5.51	BO3SN3	YZ	CHI-TCU74W	MYH11	12.21
BN3SN3	YZ	CHI-TCU128-W	MYH11	1.19	BO3SN3	YZ	CHI-TCU128-W	MYH11	1.91
BN3SN3	YZ	CHI-WGK-N	MYH11	4.94	BO3SN3	YZ	CHI-WGK-N	MYH11	11.65
BN3SN3	YZ	COA-PLE045	MYH11	7.71	BO3SN3	YZ	COA-PLE045	MYH11	15.65
BN3SN3	YZ	DZC-BOL000	MYH11	6.29	BO3SN3	YZ	DZC-BOL000	MYH11	11.47
BN3SN3	YZ	DZC-BOL090	MYH11	10.37	BO3SN3	YZ	DZC-BOL090	MYH11	25.39
BN3SN3	YZ	DZC-DZC180	MYH11	5.05	BO3SN3	YZ	DZC-DZC180	MYH11	15.62
BN3SN3	YZ	GAZ-KAR000	MYH11	5.79	BO3SN3	YZ	GAZ-KAR000	MYH11	9.46
BN3SN3	YZ	GAZ-KAR090	MYH11	6.09	BO3SN3	YZ	GAZ-KAR090	MYH11	8.17
BN3SN3	YZ	IMP-ECC092	MYH11	1.79	BO3SN3	YZ	IMP-ECC092	MYH11	5.91
BN3SN3	YZ	IMP-ECM000	MYH11	2.07	BO3SN3	YZ	IMP-ECM000	MYH11	11.19
BN3SN3	YZ	IMP-ELCD-270	MYH11	2.36	BO3SN3	YZ	IMP-ELCD-270	MYH11	6.11
BN3SN3	YZ	IRP-STU270	MYH11	2.97	BO3SN3	YZ	IRP-STU270	MYH11	6.03
BN3SN3	YZ	KOB-KJM090	MYH11	6.56	BO3SN3	YZ	KOB-KJM090	MYH11	20.02
BN3SN3	YZ	KOC-DZC180	MYH11	4.18	BO3SN3	YZ	KOC-DZC180	MYH11	6.56
BN3SN3	YZ	KOC-GBZ000	MYH11	2.83	BO3SN3	YZ	KOC-GBZ000	MYH11	6.58
BN3SN3	YZ	KOC-YAR060	MYH11	2.31	BO3SN3	YZ	KOC-YAR060	MYH11	6.82
BN3SN3	YZ	LOM-HSP000	MYH11	3.09	BO3SN3	YZ	LOM-HSP000	MYH11	16.08
BN3SN3	YZ	LOM-WVC270	MYH11	3.36	BO3SN3	YZ	LOM-WVC270	MYH11	11.91
BN3SN3	YZ	NOR-CNP196	MYH11	6.30	BO3SN3	YZ	NOR-CNP196	MYH11	12.74
BN3SN3	YZ	NOR-MUL009	MYH11	3.32	BO3SN3	YZ	NOR-MUL009	MYH11	13.24
BN3SN3	YZ	NOR-MUL279	MYH11	6.59	BO3SN3	YZ	NOR-MUL279	MYH11	24.34
BN3SN3	YZ	NOR-ORR360	MYH11	6.58	BO3SN3	YZ	NOR-ORR360	MYH11	22.60
BN3SN3	YZ	NOR-RRS318	MYH11	3.68	BO3SN3	YZ	NOR-RRS318	MYH11	11.55
BN3SN3	YZ	NOR-SAT180	MYH11	5.72	BO3SN3	YZ	NOR-SAT180	MYH11	15.51
BN3SN3	YZ	NPAL-NPS210	MYH11	3.48	BO3SN3	YZ	NPAL-NPS210	MYH11	8.47

Tablo C.1 (devam): Mevcut binalara ait yerdeğiştirme talepleri

Bina Adı	Analiz Yönü	İvme Kaydı	MYH Grup No	Δ_d (cm)	Bina Adı	Analiz Yönü	İvme Kaydı	MYH Grup No	Δ_d (cm)
BN3SN3	XZ	CHI-TCU065N	MYH12	3.85	BO3SN3	XZ	CHI-TCU065N	MYH12	97.27
BN3SN3	XZ	CHI-TCU067W	MYH12	5.00	BO3SN3	XZ	CHI-TCU067W	MYH12	13.38
BN3SN3	XZ	CHI-TCU102-N	MYH12	1.46	BO3SN3	XZ	CHI-TCU102-N	MYH12	5.17
BN3SN3	XZ	DZC-BOL000	MYH12	6.31	BO3SN3	XZ	DZC-BOL000	MYH12	15.68
BN3SN3	XZ	DZC-BOL090	MYH12	14.83	BO3SN3	XZ	DZC-BOL090	MYH12	25.45
BN3SN3	XZ	DZC-DZC180	MYH12	6.13	BO3SN3	XZ	DZC-DZC180	MYH12	14.34
BN3SN3	XZ	GAZ-KAR090	MYH12	9.13	BO3SN3	XZ	GAZ-KAR090	MYH12	13.39
BN3SN3	XZ	IMP-ECC092	MYH12	2.22	BO3SN3	XZ	IMP-ECC092	MYH12	6.65
BN3SN3	XZ	IMP-ELC4-230	MYH12	2.54	BO3SN3	XZ	IMP-ELC4-230	MYH12	9.97
BN3SN3	XZ	IMP-ELCD-270	MYH12	3.72	BO3SN3	XZ	IMP-ELCD-270	MYH12	6.21
BN3SN3	XZ	IRP-STU270	MYH12	3.63	BO3SN3	XZ	IRP-STU270	MYH12	8.55
BN3SN3	XZ	KOC-DZC180	MYH12	3.73	BO3SN3	XZ	KOC-DZC180	MYH12	5.64
BN3SN3	XZ	KOC-GBZ000	MYH12	3.10	BO3SN3	XZ	KOC-GBZ000	MYH12	7.74
BN3SN3	XZ	KOC-SKR090	MYH12	2.70	BO3SN3	XZ	KOC-SKR090	MYH12	3.12
BN3SN3	XZ	LAN-YER270	MYH12	3.33	BO3SN3	XZ	LAN-YER270	MYH12	12.09
BN3SN3	XZ	LOM-BRN000	MYH12	8.42	BO3SN3	XZ	LOM-BRN000	MYH12	14.67
BN3SN3	XZ	LOM-WVC270	MYH12	3.52	BO3SN3	XZ	LOM-WVC270	MYH12	12.02
BN3SN3	XZ	NOR-CNP196	MYH12	8.39	BO3SN3	XZ	NOR-CNP196	MYH12	9.13
BN3SN3	XZ	NOR-MUL009	MYH12	6.26	BO3SN3	XZ	NOR-MUL009	MYH12	12.46
BN3SN3	XZ	NOR-MUL279	MYH12	7.25	BO3SN3	XZ	NOR-MUL279	MYH12	22.03
BN3SN3	XZ	NOR-NEW090	MYH12	6.63	BO3SN3	XZ	NOR-NEW090	MYH12	13.66
BN3SN3	XZ	NOR-PAR-L	MYH12	4.31	BO3SN3	XZ	NOR-PAR-L	MYH12	19.82
BN3SN3	XZ	NOR-RRS318	MYH12	4.53	BO3SN3	XZ	NOR-RRS318	MYH12	10.20
BN3SN3	XZ	NOR-SAT180	MYH12	7.52	BO3SN3	XZ	NOR-SAT180	MYH12	19.16
BN3SN3	XZ	NOR-SCE288	MYH12	4.34	BO3SN3	XZ	NOR-SCE288	MYH12	11.31
BN3SN3	XZ	NOR-SEP360	MYH12	8.00	BO3SN3	XZ	NOR-SEP360	MYH12	11.49
BN3SN3	XZ	NOR-SYL090	MYH12	6.54	BO3SN3	XZ	NOR-SYL090	MYH12	18.85
BN3SN3	XZ	NOR-TAR360	MYH12	10.70	BO3SN3	XZ	NOR-TAR360	MYH12	17.41
BN3SN3	XZ	NOR-WPI316	MYH12	3.09	BO3SN3	XZ	NOR-WPI316	MYH12	9.52
BN3SN3	XZ	PRK-C02065	MYH12	7.36	BO3SN3	XZ	PRK-C02065	MYH12	20.95
BN3SN3	YZ	CHI-TCU065N	MYH12	3.04	BO3SN3	YZ	CHI-TCU065N	MYH12	18.98
BN3SN3	YZ	CHI-TCU067W	MYH12	4.09	BO3SN3	YZ	CHI-TCU067W	MYH12	14.87
BN3SN3	YZ	CHI-TCU102-N	MYH12	1.12	BO3SN3	YZ	CHI-TCU102-N	MYH12	4.22
BN3SN3	YZ	DZC-BOL000	MYH12	7.00	BO3SN3	YZ	DZC-BOL000	MYH12	12.93
BN3SN3	YZ	DZC-BOL090	MYH12	11.59	BO3SN3	YZ	DZC-BOL090	MYH12	26.51
BN3SN3	YZ	DZC-DZC180	MYH12	5.44	BO3SN3	YZ	DZC-DZC180	MYH12	16.65
BN3SN3	YZ	GAZ-KAR090	MYH12	7.02	BO3SN3	YZ	GAZ-KAR090	MYH12	9.41
BN3SN3	YZ	IMP-ECC092	MYH12	1.89	BO3SN3	YZ	IMP-ECC092	MYH12	6.60
BN3SN3	YZ	IMP-ELC4-230	MYH12	2.69	BO3SN3	YZ	IMP-ELC4-230	MYH12	9.15
BN3SN3	YZ	IMP-ELCD-270	MYH12	2.58	BO3SN3	YZ	IMP-ELCD-270	MYH12	6.66
BN3SN3	YZ	IRP-STU270	MYH12	3.11	BO3SN3	YZ	IRP-STU270	MYH12	7.64
BN3SN3	YZ	KOC-DZC180	MYH12	4.56	BO3SN3	YZ	KOC-DZC180	MYH12	6.89
BN3SN3	YZ	KOC-GBZ000	MYH12	2.99	BO3SN3	YZ	KOC-GBZ000	MYH12	7.26
BN3SN3	YZ	KOC-SKR090	MYH12	2.34	BO3SN3	YZ	KOC-SKR090	MYH12	3.35
BN3SN3	YZ	LAN-YER270	MYH12	2.23	BO3SN3	YZ	LAN-YER270	MYH12	12.66
BN3SN3	YZ	LOM-BRN000	MYH12	7.00	BO3SN3	YZ	LOM-BRN000	MYH12	19.31
BN3SN3	YZ	LOM-WVC270	MYH12	3.60	BO3SN3	YZ	LOM-WVC270	MYH12	13.85
BN3SN3	YZ	NOR-CNP196	MYH12	7.17	BO3SN3	YZ	NOR-CNP196	MYH12	13.46
BN3SN3	YZ	NOR-MUL009	MYH12	3.83	BO3SN3	YZ	NOR-MUL009	MYH12	14.62
BN3SN3	YZ	NOR-MUL279	MYH12	7.00	BO3SN3	YZ	NOR-MUL279	MYH12	26.93
BN3SN3	YZ	NOR-NEW090	MYH12	5.62	BO3SN3	YZ	NOR-NEW090	MYH12	12.45
BN3SN3	YZ	NOR-PAR-L	MYH12	3.95	BO3SN3	YZ	NOR-PAR-L	MYH12	20.34
BN3SN3	YZ	NOR-RRS318	MYH12	3.74	BO3SN3	YZ	NOR-RRS318	MYH12	12.65
BN3SN3	YZ	NOR-SAT180	MYH12	6.31	BO3SN3	YZ	NOR-SAT180	MYH12	16.18
BN3SN3	YZ	NOR-SCE288	MYH12	3.04	BO3SN3	YZ	NOR-SCE288	MYH12	10.83
BN3SN3	YZ	NOR-SEP360	MYH12	5.45	BO3SN3	YZ	NOR-SEP360	MYH12	10.16
BN3SN3	YZ	NOR-SYL090	MYH12	3.33	BO3SN3	YZ	NOR-SYL090	MYH12	14.26
BN3SN3	YZ	NOR-TAR360	MYH12	10.92	BO3SN3	YZ	NOR-TAR360	MYH12	26.84
BN3SN3	YZ	NOR-WPI316	MYH12	2.65	BO3SN3	YZ	NOR-WPI316	MYH12	9.50

Tablo C.1 (devam): Mevcut binalara ait yerdeğiştirme talepleri

Bina Adı	Analiz Yönü	İvme Kaydı	MYH Grup No	Δ_d (cm)	Bina Adı	Analiz Yönü	İvme Kaydı	MYH Grup No	Δ_d (cm)
BN3SN3	YZ	PRK-C02065	MYH12	5.55	BO3SN3	YZ	PRK-C02065	MYH12	17.30
BN4SN3	XZ	CAP-FOR090	MYH1	1.07	BO4SN3	XZ	CAP-FOR090	MYH1	1.71
BN4SN3	XZ	CHI-CHY010-N	MYH1	3.13	BO4SN3	XZ	CHI-CHY010-N	MYH1	3.03
BN4SN3	XZ	CHI-CHY41W	MYH1	3.07	BO4SN3	XZ	CHI-CHY41W	MYH1	3.22
BN4SN3	XZ	CHI-CHY046N	MYH1	1.85	BO4SN3	XZ	CHI-CHY046N	MYH1	1.83
BN4SN3	XZ	CHI-CHY047-E	MYH1	2.25	BO4SN3	XZ	CHI-CHY047-E	MYH1	3.36
BN4SN3	XZ	COA-CAK270	MYH1	2.78	BO4SN3	XZ	COA-CAK270	MYH1	2.71
BN4SN3	XZ	COY-G06320	MYH1	4.91	BO4SN3	XZ	COY-G06320	MYH1	3.71
BN4SN3	XZ	FRI-TMZ000	MYH1	3.83	BO4SN3	XZ	FRI-TMZ000	MYH1	3.10
BN4SN3	XZ	IMP-E12230	MYH1	1.08	BO4SN3	XZ	IMP-E12230	MYH1	1.40
BN4SN3	XZ	IMP-SAH000	MYH1	2.11	BO4SN3	XZ	IMP-SAH000	MYH1	2.76
BN4SN3	XZ	IRP-BIS000	MYH1	0.93	BO4SN3	XZ	IRP-BIS000	MYH1	1.31
BN4SN3	XZ	KOC-IZM180	MYH1	1.63	BO4SN3	XZ	KOC-IZM180	MYH1	2.30
BN4SN3	XZ	LAN-ABY090	MYH1	1.26	BO4SN3	XZ	LAN-ABY090	MYH1	1.84
BN4SN3	XZ	LAN-DSP000	MYH1	2.14	BO4SN3	XZ	LAN-DSP000	MYH1	2.35
BN4SN3	XZ	LIV-DVD246	MYH1	1.73	BO4SN3	XZ	LIV-DVD246	MYH1	1.71
BN4SN3	XZ	LOM-BRK090	MYH1	1.42	BO4SN3	XZ	LOM-BRK090	MYH1	1.84
BN4SN3	XZ	LOM-CLD285	MYH1	2.77	BO4SN3	XZ	LOM-CLD285	MYH1	3.44
BN4SN3	XZ	LOM-GGV337	MYH1	3.32	BO4SN3	XZ	LOM-GGV337	MYH1	2.64
BN4SN3	XZ	NOR-CWC270	MYH1	3.71	BO4SN3	XZ	NOR-CWC270	MYH1	4.61
BN4SN3	XZ	NOR-LOS090	MYH1	1.54	BO4SN3	XZ	NOR-LOS090	MYH1	2.05
BN4SN3	XZ	NOR-LOS360	MYH1	3.55	BO4SN3	XZ	NOR-LOS360	MYH1	3.24
BN4SN3	XZ	PRK-CHO355	MYH1	4.04	BO4SN3	XZ	PRK-CHO355	MYH1	4.09
BN4SN3	XZ	PRK-TMB205	MYH1	4.26	BO4SN3	XZ	PRK-TMB205	MYH1	3.89
BN4SN3	XZ	SUP-PLS135	MYH1	2.88	BO4SN3	XZ	SUP-PLS135	MYH1	3.36
BN4SN3	XZ	TAB-DAY-LN	MYH1	2.95	BO4SN3	XZ	TAB-DAY-LN	MYH1	2.35
BN4SN3	XZ	VIC-CPE315	MYH1	3.15	BO4SN3	XZ	VIC-CPE315	MYH1	3.58
BN4SN3	XZ	WHI-ALH180	MYH1	2.81	BO4SN3	XZ	WHI-ALH180	MYH1	2.89
BN4SN3	XZ	WHI-GRN180	MYH1	3.16	BO4SN3	XZ	WHI-GRN180	MYH1	4.19
BN4SN3	XZ	WHI-OBR360	MYH1	3.07	BO4SN3	XZ	WHI-OBR360	MYH1	3.32
BN4SN3	YZ	CAP-FOR090	MYH1	0.80	BO4SN3	YZ	CAP-FOR090	MYH1	1.84
BN4SN3	YZ	CHI-CHY010-N	MYH1	2.56	BO4SN3	YZ	CHI-CHY010-N	MYH1	3.17
BN4SN3	YZ	CHI-CHY41W	MYH1	2.52	BO4SN3	YZ	CHI-CHY41W	MYH1	3.02
BN4SN3	YZ	CHI-CHY046N	MYH1	1.85	BO4SN3	YZ	CHI-CHY046N	MYH1	2.05
BN4SN3	YZ	CHI-CHY047-E	MYH1	1.93	BO4SN3	YZ	CHI-CHY047-E	MYH1	3.15
BN4SN3	YZ	COA-CAK270	MYH1	2.54	BO4SN3	YZ	COA-CAK270	MYH1	3.07
BN4SN3	YZ	COY-G06320	MYH1	3.85	BO4SN3	YZ	COY-G06320	MYH1	3.85
BN4SN3	YZ	FRI-TMZ000	MYH1	3.10	BO4SN3	YZ	FRI-TMZ000	MYH1	3.19
BN4SN3	YZ	IMP-E12230	MYH1	1.01	BO4SN3	YZ	IMP-E12230	MYH1	1.35
BN4SN3	YZ	IMP-SAH000	MYH1	1.59	BO4SN3	YZ	IMP-SAH000	MYH1	3.12
BN4SN3	YZ	IRP-BIS000	MYH1	0.93	BO4SN3	YZ	IRP-BIS000	MYH1	1.63
BN4SN3	YZ	KOC-IZM180	MYH1	1.56	BO4SN3	YZ	KOC-IZM180	MYH1	2.70
BN4SN3	YZ	LAN-ABY090	MYH1	1.21	BO4SN3	YZ	LAN-ABY090	MYH1	2.11
BN4SN3	YZ	LAN-DSP000	MYH1	2.22	BO4SN3	YZ	LAN-DSP000	MYH1	2.21
BN4SN3	YZ	LIV-DVD246	MYH1	1.55	BO4SN3	YZ	LIV-DVD246	MYH1	1.76
BN4SN3	YZ	LOM-BRK090	MYH1	1.19	BO4SN3	YZ	LOM-BRK090	MYH1	2.02
BN4SN3	YZ	LOM-CLD285	MYH1	2.22	BO4SN3	YZ	LOM-CLD285	MYH1	3.44
BN4SN3	YZ	LOM-GGV337	MYH1	3.14	BO4SN3	YZ	LOM-GGV337	MYH1	2.76
BN4SN3	YZ	NOR-CWC270	MYH1	2.58	BO4SN3	YZ	NOR-CWC270	MYH1	4.65
BN4SN3	YZ	NOR-LOS090	MYH1	1.67	BO4SN3	YZ	NOR-LOS090	MYH1	2.05
BN4SN3	YZ	NOR-LOS360	MYH1	2.75	BO4SN3	YZ	NOR-LOS360	MYH1	3.31
BN4SN3	YZ	PRK-CHO355	MYH1	3.19	BO4SN3	YZ	PRK-CHO355	MYH1	4.24
BN4SN3	YZ	PRK-TMB205	MYH1	3.14	BO4SN3	YZ	PRK-TMB205	MYH1	3.93
BN4SN3	YZ	SUP-PLS135	MYH1	1.99	BO4SN3	YZ	SUP-PLS135	MYH1	2.97
BN4SN3	YZ	TAB-DAY-LN	MYH1	2.60	BO4SN3	YZ	TAB-DAY-LN	MYH1	2.47
BN4SN3	YZ	VIC-CPE315	MYH1	2.32	BO4SN3	YZ	VIC-CPE315	MYH1	3.43
BN4SN3	YZ	WHI-ALH180	MYH1	2.56	BO4SN3	YZ	WHI-ALH180	MYH1	3.25
BN4SN3	YZ	WHI-GRN180	MYH1	2.40	BO4SN3	YZ	WHI-GRN180	MYH1	3.99
BN4SN3	YZ	WHI-OBR360	MYH1	2.26	BO4SN3	YZ	WHI-OBR360	MYH1	3.51

Tablo C.1 (devam): Mevcut binalara ait yerdeğiştirme talepleri

Bina Adı	Analiz Yönü	İvme Kaydı	MYH Grup No	Δ_d (cm)	Bina Adı	Analiz Yönü	İvme Kaydı	MYH Grup No	Δ_d (cm)
BN4SN3	XZ	CHI-TCU141-N	MYH2	0.89	BO4SN3	XZ	CHI-TCU141-N	MYH2	0.95
BN4SN3	XZ	COA-PV1090	MYH2	2.61	BO4SN3	XZ	COA-PV1090	MYH2	3.37
BN4SN3	XZ	COA-Z14090	MYH2	3.68	BO4SN3	XZ	COA-Z14090	MYH2	3.62
BN4SN3	XZ	COY-G02140	MYH2	3.75	BO4SN3	XZ	COY-G02140	MYH2	3.37
BN4SN3	XZ	COY-G03140	MYH2	2.26	BO4SN3	XZ	COY-G03140	MYH2	2.98
BN4SN3	XZ	IMP-AER315	MYH2	2.26	BO4SN3	XZ	IMP-AER315	MYH2	3.68
BN4SN3	XZ	IMP-DLT262	MYH2	2.90	BO4SN3	XZ	IMP-DLT262	MYH2	3.83
BN4SN3	XZ	KOB-KAK090	MYH2	3.03	BO4SN3	XZ	KOB-KAK090	MYH2	6.36
BN4SN3	XZ	KOB-SHI090	MYH2	2.37	BO4SN3	XZ	KOB-SHI090	MYH2	4.20
BN4SN3	XZ	LAN-CLVLN	MYH2	3.47	BO4SN3	XZ	LAN-CLVLN	MYH2	3.80
BN4SN3	XZ	LAN-JOS000	MYH2	2.79	BO4SN3	XZ	LAN-JOS000	MYH2	5.41
BN4SN3	XZ	LOM-CAP090	MYH2	4.06	BO4SN3	XZ	LOM-CAP090	MYH2	7.75
BN4SN3	XZ	LOM-GGV067	MYH2	3.94	BO4SN3	XZ	LOM-GGV067	MYH2	3.36
BN4SN3	XZ	LOM-HSP090	MYH2	2.28	BO4SN3	XZ	LOM-HSP090	MYH2	3.24
BN4SN3	XZ	LOM-SFO000	MYH2	3.59	BO4SN3	XZ	LOM-SFO000	MYH2	4.40
BN4SN3	XZ	LOM-SFO090	MYH2	3.91	BO4SN3	XZ	LOM-SFO090	MYH2	2.70
BN4SN3	XZ	LOM-WAH000	MYH2	2.96	BO4SN3	XZ	LOM-WAH000	MYH2	4.54
BN4SN3	XZ	MAM-LUL000	MYH2	6.35	BO4SN3	XZ	MAM-LUL000	MYH2	8.36
BN4SN3	XZ	MOR-AND250	MYH2	3.99	BO4SN3	XZ	MOR-AND250	MYH2	4.20
BN4SN3	XZ	MOR-AND340	MYH2	4.52	BO4SN3	XZ	MOR-AND340	MYH2	4.18
BN4SN3	XZ	NOR-CHL160	MYH2	2.81	BO4SN3	XZ	NOR-CHL160	MYH2	3.23
BN4SN3	XZ	NOR-CWC180	MYH2	2.27	BO4SN3	XZ	NOR-CWC180	MYH2	1.87
BN4SN3	XZ	NOR-SAT090	MYH2	3.67	BO4SN3	XZ	NOR-SAT090	MYH2	3.83
BN4SN3	XZ	NPAL-DSP000	MYH2	2.89	BO4SN3	XZ	NPAL-DSP000	MYH2	5.37
BN4SN3	XZ	PRK-CHO085	MYH2	3.61	BO4SN3	XZ	PRK-CHO085	MYH2	4.54
BN4SN3	XZ	SFD-ORR291	MYH2	2.77	BO4SN3	XZ	SFD-ORR291	MYH2	3.36
BN4SN3	XZ	SPI-GUK000	MYH2	2.26	BO4SN3	XZ	SPI-GUK000	MYH2	2.30
BN4SN3	XZ	TAB-DAY-TR	MYH2	3.81	BO4SN3	XZ	TAB-DAY-TR	MYH2	5.47
BN4SN3	XZ	WES-PTS315	MYH2	2.08	BO4SN3	XZ	WES-PTS315	MYH2	3.45
BN4SN3	XZ	WHI-DEL000	MYH2	2.77	BO4SN3	XZ	WHI-DEL000	MYH2	3.90
BN4SN3	XZ	WHI-DWN180	MYH2	2.01	BO4SN3	XZ	WHI-DWN180	MYH2	2.78
BN4SN3	YZ	CHI-TCU141-N	MYH2	0.79	BO4SN3	YZ	CHI-TCU141-N	MYH2	1.06
BN4SN3	YZ	COA-PV1090	MYH2	2.23	BO4SN3	YZ	COA-PV1090	MYH2	3.75
BN4SN3	YZ	COA-Z14090	MYH2	3.35	BO4SN3	YZ	COA-Z14090	MYH2	3.54
BN4SN3	YZ	COY-G02140	MYH2	3.45	BO4SN3	YZ	COY-G02140	MYH2	3.33
BN4SN3	YZ	COY-G03140	MYH2	2.19	BO4SN3	YZ	COY-G03140	MYH2	3.03
BN4SN3	YZ	IMP-AER315	MYH2	1.62	BO4SN3	YZ	IMP-AER315	MYH2	4.06
BN4SN3	YZ	IMP-DLT262	MYH2	2.17	BO4SN3	YZ	IMP-DLT262	MYH2	3.68
BN4SN3	YZ	KOB-KAK090	MYH2	2.77	BO4SN3	YZ	KOB-KAK090	MYH2	6.46
BN4SN3	YZ	KOB-SHI090	MYH2	1.73	BO4SN3	YZ	KOB-SHI090	MYH2	3.67
BN4SN3	YZ	LAN-CLVLN	MYH2	2.84	BO4SN3	YZ	LAN-CLVLN	MYH2	2.81
BN4SN3	YZ	LAN-JOS000	MYH2	2.30	BO4SN3	YZ	LAN-JOS000	MYH2	5.00
BN4SN3	YZ	LOM-CAP090	MYH2	3.55	BO4SN3	YZ	LOM-CAP090	MYH2	8.32
BN4SN3	YZ	LOM-GGV067	MYH2	2.96	BO4SN3	YZ	LOM-GGV067	MYH2	3.52
BN4SN3	YZ	LOM-HSP090	MYH2	1.70	BO4SN3	YZ	LOM-HSP090	MYH2	3.81
BN4SN3	YZ	LOM-SFO000	MYH2	2.82	BO4SN3	YZ	LOM-SFO000	MYH2	3.96
BN4SN3	YZ	LOM-SFO090	MYH2	3.59	BO4SN3	YZ	LOM-SFO090	MYH2	3.47
BN4SN3	YZ	LOM-WAH000	MYH2	2.75	BO4SN3	YZ	LOM-WAH000	MYH2	4.20
BN4SN3	YZ	MAM-LUL000	MYH2	4.56	BO4SN3	YZ	MAM-LUL000	MYH2	6.95
BN4SN3	YZ	MOR-AND250	MYH2	3.09	BO4SN3	YZ	MOR-AND250	MYH2	4.25
BN4SN3	YZ	MOR-AND340	MYH2	3.43	BO4SN3	YZ	MOR-AND340	MYH2	4.02
BN4SN3	YZ	NOR-CHL160	MYH2	2.06	BO4SN3	YZ	NOR-CHL160	MYH2	3.29
BN4SN3	YZ	NOR-CWC180	MYH2	1.79	BO4SN3	YZ	NOR-CWC180	MYH2	1.83
BN4SN3	YZ	NOR-SAT090	MYH2	2.96	BO4SN3	YZ	NOR-SAT090	MYH2	4.10
BN4SN3	YZ	NPAL-DSP000	MYH2	2.66	BO4SN3	YZ	NPAL-DSP000	MYH2	4.92
BN4SN3	YZ	PRK-CHO085	MYH2	3.81	BO4SN3	YZ	PRK-CHO085	MYH2	4.30
BN4SN3	YZ	SFD-ORR291	MYH2	2.15	BO4SN3	YZ	SFD-ORR291	MYH2	3.79
BN4SN3	YZ	SPI-GUK000	MYH2	2.14	BO4SN3	YZ	SPI-GUK000	MYH2	2.68
BN4SN3	YZ	TAB-DAY-TR	MYH2	3.44	BO4SN3	YZ	TAB-DAY-TR	MYH2	5.25

Tablo C.1 (devam): Mevcut binalara ait yerdeğiştirme talepleri

Bina Adı	Analiz Yönü	İvme Kaydı	MYH Grup No	Δ_d (cm)	Bina Adı	Analiz Yönü	İvme Kaydı	MYH Grup No	Δ_d (cm)
BN4SN3	YZ	WES-PTS315	MYH2	1.45	BO4SN3	YZ	WES-PTS315	MYH2	3.67
BN4SN3	YZ	WHI-DEL000	MYH2	1.93	BO4SN3	YZ	WHI-DEL000	MYH2	4.16
BN4SN3	YZ	WHI-DWN180	MYH2	2.11	BO4SN3	YZ	WHI-DWN180	MYH2	3.24
BN4SN3	XZ	CAP-FOR000	MYH3	1.17	BO4SN3	XZ	CAP-FOR000	MYH3	1.77
BN4SN3	XZ	CHI-CHY29W	MYH3	2.32	BO4SN3	XZ	CHI-CHY29W	MYH3	4.47
BN4SN3	XZ	CHI-TCU046N	MYH3	1.14	BO4SN3	XZ	CHI-TCU046N	MYH3	1.27
BN4SN3	XZ	CHI-TCU112-N	MYH3	1.08	BO4SN3	XZ	CHI-TCU112-N	MYH3	1.42
BN4SN3	XZ	CHI-TCU118-N	MYH3	1.30	BO4SN3	XZ	CHI-TCU118-N	MYH3	1.38
BN4SN3	XZ	FRI-TMZ270	MYH3	3.49	BO4SN3	XZ	FRI-TMZ270	MYH3	4.86
BN4SN3	XZ	IMP-ELC2-140	MYH3	3.13	BO4SN3	XZ	IMP-ELC2-140	MYH3	4.52
BN4SN3	XZ	IMP-ELC11-140	MYH3	3.11	BO4SN3	XZ	IMP-ELC11-140	MYH3	4.10
BN4SN3	XZ	IMP-SAH270	MYH3	4.95	BO4SN3	XZ	IMP-SAH270	MYH3	5.86
BN4SN3	XZ	KOC-AMB090	MYH3	3.30	BO4SN3	XZ	KOC-AMB090	MYH3	2.99
BN4SN3	XZ	KOC-GBZ270	MYH3	1.64	BO4SN3	XZ	KOC-GBZ270	MYH3	2.61
BN4SN3	XZ	KOC-IZM090	MYH3	2.28	BO4SN3	XZ	KOC-IZM090	MYH3	2.05
BN4SN3	XZ	LAN-LUC000	MYH3	2.52	BO4SN3	XZ	LAN-LUC000	MYH3	3.38
BN4SN3	XZ	LAN-YER360	MYH3	2.60	BO4SN3	XZ	LAN-YER360	MYH3	2.03
BN4SN3	XZ	LOM-A02133	MYH3	2.18	BO4SN3	XZ	LOM-A02133	MYH3	2.35
BN4SN3	XZ	LOM-G01000	MYH3	5.02	BO4SN3	XZ	LOM-G01000	MYH3	4.96
BN4SN3	XZ	LOM-G01090	MYH3	5.23	BO4SN3	XZ	LOM-G01090	MYH3	4.73
BN4SN3	XZ	LOM-G02000	MYH3	4.81	BO4SN3	XZ	LOM-G02000	MYH3	5.47
BN4SN3	XZ	LOM-TRI090	MYH3	1.78	BO4SN3	XZ	LOM-TRI090	MYH3	2.12
BN4SN3	XZ	MAM-LUL090	MYH3	3.52	BO4SN3	XZ	MAM-LUL090	MYH3	4.25
BN4SN3	XZ	NOR-CNP106	MYH3	3.28	BO4SN3	XZ	NOR-CNP106	MYH3	5.78
BN4SN3	XZ	NOR-PAC265	MYH3	3.71	BO4SN3	XZ	NOR-PAC265	MYH3	4.29
BN4SN3	XZ	NOR-PKC090	MYH3	2.63	BO4SN3	XZ	NOR-PKC090	MYH3	5.84
BN4SN3	XZ	NOR-WIL180	MYH3	2.39	BO4SN3	XZ	NOR-WIL180	MYH3	3.34
BN4SN3	XZ	NPAL-MVH045	MYH3	2.53	BO4SN3	XZ	NPAL-MVH045	MYH3	2.31
BN4SN3	XZ	NPAL-NPS300	MYH3	4.81	BO4SN3	XZ	NPAL-NPS300	MYH3	5.40
BN4SN3	XZ	NPAL-WWT270	MYH3	4.91	BO4SN3	XZ	NPAL-WWT270	MYH3	5.75
BN4SN3	XZ	SUP-IVW090	MYH3	1.94	BO4SN3	XZ	SUP-IVW090	MYH3	1.87
BN4SN3	XZ	SUP-IVW360	MYH3	3.14	BO4SN3	XZ	SUP-IVW360	MYH3	2.77
BN4SN3	XZ	SUP-KRN360	MYH3	1.61	BO4SN3	XZ	SUP-KRN360	MYH3	2.12
BN4SN3	XZ	SUP-POE360	MYH3	3.14	BO4SN3	XZ	SUP-POE360	MYH3	3.38
BN4SN3	XZ	SUP-SUP045	MYH3	5.33	BO4SN3	XZ	SUP-SUP045	MYH3	12.93
BN4SN3	XZ	VIC-CPE045	MYH3	6.32	BO4SN3	XZ	VIC-CPE045	MYH3	10.55
BN4SN3	XZ	WHI-OR2010	MYH3	2.59	BO4SN3	XZ	WHI-OR2010	MYH3	3.69
BN4SN3	YZ	CAP-FOR000	MYH3	0.93	BO4SN3	YZ	CAP-FOR000	MYH3	1.97
BN4SN3	YZ	CHI-CHY29W	MYH3	1.74	BO4SN3	YZ	CHI-CHY29W	MYH3	4.96
BN4SN3	YZ	CHI-TCU046N	MYH3	1.02	BO4SN3	YZ	CHI-TCU046N	MYH3	1.27
BN4SN3	YZ	CHI-TCU112-N	MYH3	0.79	BO4SN3	YZ	CHI-TCU112-N	MYH3	1.58
BN4SN3	YZ	CHI-TCU118-N	MYH3	1.09	BO4SN3	YZ	CHI-TCU118-N	MYH3	1.55
BN4SN3	YZ	FRI-TMZ270	MYH3	3.19	BO4SN3	YZ	FRI-TMZ270	MYH3	5.36
BN4SN3	YZ	IMP-ELC2-140	MYH3	2.43	BO4SN3	YZ	IMP-ELC2-140	MYH3	5.02
BN4SN3	YZ	IMP-ELC11-140	MYH3	2.52	BO4SN3	YZ	IMP-ELC11-140	MYH3	3.89
BN4SN3	YZ	IMP-SAH270	MYH3	3.76	BO4SN3	YZ	IMP-SAH270	MYH3	5.36
BN4SN3	YZ	KOC-AMB090	MYH3	2.55	BO4SN3	YZ	KOC-AMB090	MYH3	2.97
BN4SN3	YZ	KOC-GBZ270	MYH3	1.31	BO4SN3	YZ	KOC-GBZ270	MYH3	2.84
BN4SN3	YZ	KOC-IZM090	MYH3	1.96	BO4SN3	YZ	KOC-IZM090	MYH3	2.10
BN4SN3	YZ	LAN-LUC000	MYH3	2.72	BO4SN3	YZ	LAN-LUC000	MYH3	3.43
BN4SN3	YZ	LAN-YER360	MYH3	1.70	BO4SN3	YZ	LAN-YER360	MYH3	2.35
BN4SN3	YZ	LOM-A02133	MYH3	1.37	BO4SN3	YZ	LOM-A02133	MYH3	2.45
BN4SN3	YZ	LOM-G01000	MYH3	4.26	BO4SN3	YZ	LOM-G01000	MYH3	4.11
BN4SN3	YZ	LOM-G01090	MYH3	4.26	BO4SN3	YZ	LOM-G01090	MYH3	4.99
BN4SN3	YZ	LOM-G02000	MYH3	3.98	BO4SN3	YZ	LOM-G02000	MYH3	5.22
BN4SN3	YZ	LOM-TRI090	MYH3	1.78	BO4SN3	YZ	LOM-TRI090	MYH3	2.37
BN4SN3	YZ	MAM-LUL090	MYH3	2.43	BO4SN3	YZ	MAM-LUL090	MYH3	3.92
BN4SN3	YZ	NOR-CNP106	MYH3	2.48	BO4SN3	YZ	NOR-CNP106	MYH3	5.97
BN4SN3	YZ	NOR-PAC265	MYH3	3.39	BO4SN3	YZ	NOR-PAC265	MYH3	4.51

Tablo C.1 (devam): Mevcut binalara ait yerdeğiştirme talepleri

Bina Adı	Analiz Yönü	İvme Kaydı	MYH Grup No	Δ_d (cm)	Bina Adı	Analiz Yönü	İvme Kaydı	MYH Grup No	Δ_d (cm)
BN4SN3	YZ	NOR-PKC090	MYH3	2.41	BO4SN3	YZ	NOR-PKC090	MYH3	5.94
BN4SN3	YZ	NOR-WIL180	MYH3	1.79	BO4SN3	YZ	NOR-WIL180	MYH3	4.21
BN4SN3	YZ	NPAL-MVH045	MYH3	2.23	BO4SN3	YZ	NPAL-MVH045	MYH3	2.21
BN4SN3	YZ	NPAL-NPS300	MYH3	4.78	BO4SN3	YZ	NPAL-NPS300	MYH3	5.63
BN4SN3	YZ	NPAL-WWT270	MYH3	4.04	BO4SN3	YZ	NPAL-WWT270	MYH3	6.32
BN4SN3	YZ	SUP-IVW090	MYH3	1.45	BO4SN3	YZ	SUP-IVW090	MYH3	2.08
BN4SN3	YZ	SUP-IVW360	MYH3	2.36	BO4SN3	YZ	SUP-IVW360	MYH3	2.82
BN4SN3	YZ	SUP-KRN360	MYH3	1.35	BO4SN3	YZ	SUP-KRN360	MYH3	2.25
BN4SN3	YZ	SUP-POE360	MYH3	2.75	BO4SN3	YZ	SUP-POE360	MYH3	2.97
BN4SN3	YZ	SUP-SUP045	MYH3	3.45	BO4SN3	YZ	SUP-SUP045	MYH3	6.31
BN4SN3	YZ	VIC-CPE045	MYH3	4.52	BO4SN3	YZ	VIC-CPE045	MYH3	8.91
BN4SN3	YZ	WHI-OR2010	MYH3	2.39	BO4SN3	YZ	WHI-OR2010	MYH3	3.85
BN4SN3	XZ	CHI-CHY29N	MYH4	2.68	BO4SN3	XZ	CHI-CHY29N	MYH4	4.66
BN4SN3	XZ	CHI-CHY036W	MYH4	2.80	BO4SN3	XZ	CHI-CHY036W	MYH4	4.92
BN4SN3	XZ	CHI-CHY41N	MYH4	7.00	BO4SN3	XZ	CHI-CHY41N	MYH4	11.80
BN4SN3	XZ	CHI-TCU45N	MYH4	5.28	BO4SN3	XZ	CHI-TCU45N	MYH4	10.39
BN4SN3	XZ	CHI-TCU45W	MYH4	6.36	BO4SN3	XZ	CHI-TCU45W	MYH4	6.04
BN4SN3	XZ	CHI-TCU51N	MYH4	2.03	BO4SN3	XZ	CHI-TCU51N	MYH4	2.21
BN4SN3	XZ	COA-PLE135	MYH4	4.86	BO4SN3	XZ	COA-PLE135	MYH4	10.94
BN4SN3	XZ	IMP-BRA225	MYH4	1.09	BO4SN3	XZ	IMP-BRA225	MYH4	1.12
BN4SN3	XZ	IMP-BRA315	MYH4	1.95	BO4SN3	XZ	IMP-BRA315	MYH4	3.72
BN4SN3	XZ	IMP-ECC002	MYH4	2.01	BO4SN3	XZ	IMP-ECC002	MYH4	3.37
BN4SN3	XZ	IMP-ELC4-140	MYH4	4.37	BO4SN3	XZ	IMP-ELC4-140	MYH4	5.21
BN4SN3	XZ	IRP-STU000	MYH4	2.77	BO4SN3	XZ	IRP-STU000	MYH4	5.44
BN4SN3	XZ	KOB-NIS000	MYH4	6.46	BO4SN3	XZ	KOB-NIS000	MYH4	8.75
BN4SN3	XZ	KOB-NIS090	MYH4	4.49	BO4SN3	XZ	KOB-NIS090	MYH4	7.73
BN4SN3	XZ	KOB-SHI000	MYH4	2.37	BO4SN3	XZ	KOB-SHI000	MYH4	3.34
BN4SN3	XZ	KOC-ARC090	MYH4	1.34	BO4SN3	XZ	KOC-ARC090	MYH4	1.16
BN4SN3	XZ	LOM-G02090	MYH4	4.07	BO4SN3	XZ	LOM-G02090	MYH4	3.62
BN4SN3	XZ	LOM-G03000	MYH4	6.00	BO4SN3	XZ	LOM-G03000	MYH4	5.82
BN4SN3	XZ	LOM-HDA255	MYH4	3.82	BO4SN3	XZ	LOM-HDA255	MYH4	4.17
BN4SN3	XZ	LOM-SVL360	MYH4	2.17	BO4SN3	XZ	LOM-SVL360	MYH4	2.57
BN4SN3	XZ	MOR-G06090	MYH4	2.23	BO4SN3	XZ	MOR-G06090	MYH4	3.48
BN4SN3	XZ	MOR-HAL240	MYH4	2.38	BO4SN3	XZ	MOR-HAL240	MYH4	4.40
BN4SN3	XZ	NOR-KAT090	MYH4	7.84	BO4SN3	XZ	NOR-KAT090	MYH4	8.56
BN4SN3	XZ	NOR-SCR090	MYH4	3.50	BO4SN3	XZ	NOR-SCR090	MYH4	5.15
BN4SN3	XZ	NOR-STN020	MYH4	4.09	BO4SN3	XZ	NOR-STN020	MYH4	5.66
BN4SN3	XZ	NPAL-WWT180	MYH4	4.69	BO4SN3	XZ	NPAL-WWT180	MYH4	6.21
BN4SN3	XZ	SUP-POE270	MYH4	4.23	BO4SN3	XZ	SUP-POE270	MYH4	6.70
BN4SN3	XZ	WES-PTS225	MYH4	2.74	BO4SN3	XZ	WES-PTS225	MYH4	4.15
BN4SN3	XZ	WHI-BIR180	MYH4	4.57	BO4SN3	XZ	WHI-BIR180	MYH4	4.70
BN4SN3	XZ	WHI-EJS048	MYH4	4.82	BO4SN3	XZ	WHI-EJS048	MYH4	6.22
BN4SN3	YZ	CHI-CHY29N	MYH4	2.07	BO4SN3	YZ	CHI-CHY29N	MYH4	5.09
BN4SN3	YZ	CHI-CHY036W	MYH4	1.90	BO4SN3	YZ	CHI-CHY036W	MYH4	5.49
BN4SN3	YZ	CHI-CHY41N	MYH4	5.79	BO4SN3	YZ	CHI-CHY41N	MYH4	11.04
BN4SN3	YZ	CHI-TCU45N	MYH4	4.47	BO4SN3	YZ	CHI-TCU45N	MYH4	9.29
BN4SN3	YZ	CHI-TCU45W	MYH4	5.08	BO4SN3	YZ	CHI-TCU45W	MYH4	4.91
BN4SN3	YZ	CHI-TCU51N	MYH4	1.49	BO4SN3	YZ	CHI-TCU51N	MYH4	2.43
BN4SN3	YZ	COA-PLE135	MYH4	4.20	BO4SN3	YZ	COA-PLE135	MYH4	10.26
BN4SN3	YZ	IMP-BRA225	MYH4	1.06	BO4SN3	YZ	IMP-BRA225	MYH4	1.13
BN4SN3	YZ	IMP-BRA315	MYH4	2.02	BO4SN3	YZ	IMP-BRA315	MYH4	3.94
BN4SN3	YZ	IMP-ECC002	MYH4	1.99	BO4SN3	YZ	IMP-ECC002	MYH4	3.34
BN4SN3	YZ	IMP-ELC4-140	MYH4	3.68	BO4SN3	YZ	IMP-ELC4-140	MYH4	5.97
BN4SN3	YZ	IRP-STU000	MYH4	2.90	BO4SN3	YZ	IRP-STU000	MYH4	3.86
BN4SN3	YZ	KOB-NIS000	MYH4	5.43	BO4SN3	YZ	KOB-NIS000	MYH4	8.30
BN4SN3	YZ	KOB-NIS090	MYH4	3.61	BO4SN3	YZ	KOB-NIS090	MYH4	7.51
BN4SN3	YZ	KOB-SHI000	MYH4	2.18	BO4SN3	YZ	KOB-SHI000	MYH4	3.56
BN4SN3	YZ	KOC-ARC090	MYH4	1.23	BO4SN3	YZ	KOC-ARC090	MYH4	1.11
BN4SN3	YZ	LOM-G02090	MYH4	3.17	BO4SN3	YZ	LOM-G02090	MYH4	3.79

Tablo C.1 (devam): Mevcut binalara ait yerdeğiştirme talepleri

Bina Adı	Analiz Yönü	İvme Kaydı	MYH Grup No	Δ_d (cm)	Bina Adı	Analiz Yönü	İvme Kaydı	MYH Grup No	Δ_d (cm)
BN4SN3	YZ	LOM-G03000	MYH4	4.99	BO4SN3	YZ	LOM-G03000	MYH4	5.44
BN4SN3	YZ	LOM-HDA255	MYH4	3.33	BO4SN3	YZ	LOM-HDA255	MYH4	4.31
BN4SN3	YZ	LOM-SVL360	MYH4	2.02	BO4SN3	YZ	LOM-SVL360	MYH4	2.91
BN4SN3	YZ	MOR-G06090	MYH4	2.08	BO4SN3	YZ	MOR-G06090	MYH4	3.59
BN4SN3	YZ	MOR-HAL240	MYH4	2.29	BO4SN3	YZ	MOR-HAL240	MYH4	4.18
BN4SN3	YZ	NOR-KAT090	MYH4	5.29	BO4SN3	YZ	NOR-KAT090	MYH4	8.89
BN4SN3	YZ	NOR-SCR090	MYH4	3.93	BO4SN3	YZ	NOR-SCR090	MYH4	4.09
BN4SN3	YZ	NOR-STN020	MYH4	3.68	BO4SN3	YZ	NOR-STN020	MYH4	5.42
BN4SN3	YZ	NPAL-WWT180	MYH4	3.60	BO4SN3	YZ	NPAL-WWT180	MYH4	5.31
BN4SN3	YZ	SUP-POE270	MYH4	3.67	BO4SN3	YZ	SUP-POE270	MYH4	6.85
BN4SN3	YZ	WES-PTS225	MYH4	2.02	BO4SN3	YZ	WES-PTS225	MYH4	4.51
BN4SN3	YZ	WHI-BIR180	MYH4	3.23	BO4SN3	YZ	WHI-BIR180	MYH4	3.99
BN4SN3	YZ	WHI-EJS048	MYH4	3.55	BO4SN3	YZ	WHI-EJS048	MYH4	6.18
BN4SN3	XZ	CAP-RIO270	MYH5	3.53	BO4SN3	XZ	CAP-RIO270	MYH5	5.83
BN4SN3	XZ	CAP-RIO360	MYH5	8.62	BO4SN3	XZ	CAP-RIO360	MYH5	8.95
BN4SN3	XZ	CHI-TCU046W	MYH5	1.36	BO4SN3	XZ	CHI-TCU046W	MYH5	1.28
BN4SN3	XZ	CHI-TCU061N	MYH5	2.28	BO4SN3	XZ	CHI-TCU061N	MYH5	2.43
BN4SN3	XZ	CHI-TCU74N	MYH5	3.79	BO4SN3	XZ	CHI-TCU74N	MYH5	5.35
BN4SN3	XZ	CHI-TCU112-W	MYH5	1.18	BO4SN3	XZ	CHI-TCU112-W	MYH5	1.42
BN4SN3	XZ	CHI-TCU123-W	MYH5	2.14	BO4SN3	XZ	CHI-TCU123-W	MYH5	2.18
BN4SN3	XZ	CHI-TCU141-E	MYH5	0.92	BO4SN3	XZ	CHI-TCU141-E	MYH5	1.12
BN4SN3	XZ	CHI-WNTN	MYH5	3.23	BO4SN3	XZ	CHI-WNTN	MYH5	5.07
BN4SN3	XZ	COA-Z14000	MYH5	3.78	BO4SN3	XZ	COA-Z14000	MYH5	5.87
BN4SN3	XZ	IMP-AER045	MYH5	3.32	BO4SN3	XZ	IMP-AER045	MYH5	3.19
BN4SN3	XZ	IMP-ELC3-230	MYH5	1.43	BO4SN3	XZ	IMP-ELC3-230	MYH5	2.12
BN4SN3	XZ	IMP-ELC11-230	MYH5	3.91	BO4SN3	XZ	IMP-ELC11-230	MYH5	4.58
BN4SN3	XZ	IMP-ELCD-360	MYH5	4.53	BO4SN3	XZ	IMP-ELCD-360	MYH5	7.68
BN4SN3	XZ	KOC-AMB000	MYH5	2.68	BO4SN3	XZ	KOC-AMB000	MYH5	3.54
BN4SN3	XZ	LAN-CLVTR	MYH5	7.30	BO4SN3	XZ	LAN-CLVTR	MYH5	8.39
BN4SN3	XZ	LAN-JOS090	MYH5	2.34	BO4SN3	XZ	LAN-JOS090	MYH5	4.41
BN4SN3	XZ	LOM-CYC285	MYH5	4.71	BO4SN3	XZ	LOM-CYC285	MYH5	7.23
BN4SN3	XZ	LOM-GOF090	MYH5	3.48	BO4SN3	XZ	LOM-GOF090	MYH5	4.78
BN4SN3	XZ	LOM-HDA165	MYH5	3.57	BO4SN3	XZ	LOM-HDA165	MYH5	4.33
BN4SN3	XZ	LOM-SAR000	MYH5	2.58	BO4SN3	XZ	LOM-SAR000	MYH5	3.17
BN4SN3	XZ	LOM-SAR090	MYH5	2.41	BO4SN3	XZ	LOM-SAR090	MYH5	3.18
BN4SN3	XZ	NOR-KAT000	MYH5	10.96	BO4SN3	XZ	NOR-KAT000	MYH5	24.83
BN4SN3	XZ	NOR-LOS000	MYH5	4.92	BO4SN3	XZ	NOR-LOS000	MYH5	8.73
BN4SN3	XZ	NOR-MU2035	MYH5	4.94	BO4SN3	XZ	NOR-MU2035	MYH5	6.39
BN4SN3	XZ	NOR-STM090	MYH5	4.32	BO4SN3	XZ	NOR-STM090	MYH5	6.87
BN4SN3	XZ	NPAL-MVH135	MYH5	1.74	BO4SN3	XZ	NPAL-MVH135	MYH5	2.35
BN4SN3	XZ	SUP-ELC090	MYH5	2.80	BO4SN3	XZ	SUP-ELC090	MYH5	4.02
BN4SN3	XZ	SUP-PTS315	MYH5	3.47	BO4SN3	XZ	SUP-PTS315	MYH5	4.88
BN4SN3	XZ	SUP-SUP135	MYH5	6.56	BO4SN3	XZ	SUP-SUP135	MYH5	13.90
BN4SN3	YZ	CAP-RIO270	MYH5	2.64	BO4SN3	YZ	CAP-RIO270	MYH5	5.27
BN4SN3	YZ	CAP-RIO360	MYH5	6.32	BO4SN3	YZ	CAP-RIO360	MYH5	9.60
BN4SN3	YZ	CHI-TCU046W	MYH5	1.07	BO4SN3	YZ	CHI-TCU046W	MYH5	1.31
BN4SN3	YZ	CHI-TCU061N	MYH5	1.78	BO4SN3	YZ	CHI-TCU061N	MYH5	2.37
BN4SN3	YZ	CHI-TCU74N	MYH5	2.87	BO4SN3	YZ	CHI-TCU74N	MYH5	5.55
BN4SN3	YZ	CHI-TCU112-W	MYH5	0.78	BO4SN3	YZ	CHI-TCU112-W	MYH5	1.41
BN4SN3	YZ	CHI-TCU123-W	MYH5	1.61	BO4SN3	YZ	CHI-TCU123-W	MYH5	2.46
BN4SN3	YZ	CHI-TCU141-E	MYH5	0.80	BO4SN3	YZ	CHI-TCU141-E	MYH5	1.34
BN4SN3	YZ	CHI-WNTN	MYH5	2.98	BO4SN3	YZ	CHI-WNTN	MYH5	3.73
BN4SN3	YZ	COA-Z14000	MYH5	2.76	BO4SN3	YZ	COA-Z14000	MYH5	6.39
BN4SN3	YZ	IMP-AER045	MYH5	2.70	BO4SN3	YZ	IMP-AER045	MYH5	3.26
BN4SN3	YZ	IMP-ELC3-230	MYH5	1.28	BO4SN3	YZ	IMP-ELC3-230	MYH5	1.96
BN4SN3	YZ	IMP-ELC11-230	MYH5	3.48	BO4SN3	YZ	IMP-ELC11-230	MYH5	4.49
BN4SN3	YZ	IMP-ELCD-360	MYH5	4.11	BO4SN3	YZ	IMP-ELCD-360	MYH5	7.33
BN4SN3	YZ	KOC-AMB000	MYH5	2.47	BO4SN3	YZ	KOC-AMB000	MYH5	3.85
BN4SN3	YZ	LAN-CLVTR	MYH5	5.77	BO4SN3	YZ	LAN-CLVTR	MYH5	9.00

Tablo C.1 (devam): Mevcut binalara ait yerdeğiştirme talepleri

Bina Adı	Analiz Yönü	İvme Kaydı	MYH Grup No	Δ_d (cm)	Bina Adı	Analiz Yönü	İvme Kaydı	MYH Grup No	Δ_d (cm)
BN4SN3	YZ	LAN-JOS090	MYH5	1.86	BO4SN3	YZ	LAN-JOS090	MYH5	4.43
BN4SN3	YZ	LOM-CYC285	MYH5	3.71	BO4SN3	YZ	LOM-CYC285	MYH5	5.45
BN4SN3	YZ	LOM-GOF090	MYH5	2.79	BO4SN3	YZ	LOM-GOF090	MYH5	5.12
BN4SN3	YZ	LOM-HDA165	MYH5	3.02	BO4SN3	YZ	LOM-HDA165	MYH5	4.51
BN4SN3	YZ	LOM-SAR000	MYH5	2.54	BO4SN3	YZ	LOM-SAR000	MYH5	4.38
BN4SN3	YZ	LOM-SAR090	MYH5	2.45	BO4SN3	YZ	LOM-SAR090	MYH5	3.05
BN4SN3	YZ	NOR-KAT000	MYH5	8.40	BO4SN3	YZ	NOR-KAT000	MYH5	17.55
BN4SN3	YZ	NOR-LOS000	MYH5	4.60	BO4SN3	YZ	NOR-LOS000	MYH5	7.43
BN4SN3	YZ	NOR-MU2035	MYH5	4.80	BO4SN3	YZ	NOR-MU2035	MYH5	6.30
BN4SN3	YZ	NOR-STM090	MYH5	3.09	BO4SN3	YZ	NOR-STM090	MYH5	6.25
BN4SN3	YZ	NPAL-MVH135	MYH5	1.23	BO4SN3	YZ	NPAL-MVH135	MYH5	2.54
BN4SN3	YZ	SUP-ELC090	MYH5	1.85	BO4SN3	YZ	SUP-ELC090	MYH5	4.90
BN4SN3	YZ	SUP-PTS315	MYH5	2.55	BO4SN3	YZ	SUP-PTS315	MYH5	3.79
BN4SN3	YZ	SUP-SUP135	MYH5	5.06	BO4SN3	YZ	SUP-SUP135	MYH5	10.24
BN4SN3	XZ	CAP-PET000	MYH6	4.42	BO4SN3	XZ	CAP-PET000	MYH6	10.50
BN4SN3	XZ	CHI-CHY025W	MYH6	1.70	BO4SN3	XZ	CHI-CHY025W	MYH6	2.27
BN4SN3	XZ	CHI-CHY034-N	MYH6	4.45	BO4SN3	XZ	CHI-CHY034-N	MYH6	5.30
BN4SN3	XZ	CHI-TCU038N	MYH6	2.58	BO4SN3	XZ	CHI-TCU038N	MYH6	3.13
BN4SN3	XZ	CHI-TCU038W	MYH6	1.72	BO4SN3	XZ	CHI-TCU038W	MYH6	2.23
BN4SN3	XZ	CHI-TCU048N	MYH6	1.54	BO4SN3	XZ	CHI-TCU048N	MYH6	1.70
BN4SN3	XZ	CHI-TCU49W	MYH6	2.32	BO4SN3	XZ	CHI-TCU49W	MYH6	2.77
BN4SN3	XZ	CHI-TCU51W	MYH6	2.11	BO4SN3	XZ	CHI-TCU51W	MYH6	3.37
BN4SN3	XZ	CHI-TCU95N	MYH6	6.05	BO4SN3	XZ	CHI-TCU95N	MYH6	4.74
BN4SN3	XZ	CHI-TCU104-N	MYH6	1.01	BO4SN3	XZ	CHI-TCU104-N	MYH6	1.11
BN4SN3	XZ	CHI-TCU106-W	MYH6	2.42	BO4SN3	XZ	CHI-TCU106-W	MYH6	2.45
BN4SN3	XZ	CHI-TCU107-N	MYH6	1.69	BO4SN3	XZ	CHI-TCU107-N	MYH6	2.40
BN4SN3	XZ	COY-G06230	MYH6	4.29	BO4SN3	XZ	COY-G06230	MYH6	6.21
BN4SN3	XZ	IMP-E10050	MYH6	2.26	BO4SN3	XZ	IMP-E10050	MYH6	3.42
BN4SN3	XZ	IMP-ELC3-140	MYH6	3.06	BO4SN3	XZ	IMP-ELC3-140	MYH6	3.63
BN4SN3	XZ	IMP-ELC5-140	MYH6	4.30	BO4SN3	XZ	IMP-ELC5-140	MYH6	3.44
BN4SN3	XZ	IMP-ELC7-140	MYH6	2.20	BO4SN3	XZ	IMP-ELC7-140	MYH6	2.94
BN4SN3	XZ	IMP-ELC8-230	MYH6	3.08	BO4SN3	XZ	IMP-ELC8-230	MYH6	3.29
BN4SN3	XZ	IMP-HVP225	MYH6	3.21	BO4SN3	XZ	IMP-HVP225	MYH6	4.57
BN4SN3	XZ	KOC-DZC270	MYH6	5.68	BO4SN3	XZ	KOC-DZC270	MYH6	5.10
BN4SN3	XZ	LOM-BRN090	MYH6	8.29	BO4SN3	XZ	LOM-BRN090	MYH6	12.18
BN4SN3	XZ	LOM-COR090	MYH6	3.77	BO4SN3	XZ	LOM-COR090	MYH6	8.62
BN4SN3	XZ	LOM-G03090	MYH6	2.57	BO4SN3	XZ	LOM-G03090	MYH6	3.68
BN4SN3	XZ	LOM-HCH180	MYH6	2.24	BO4SN3	XZ	LOM-HCH180	MYH6	2.82
BN4SN3	XZ	NAH-S1010	MYH6	3.97	BO4SN3	XZ	NAH-S1010	MYH6	8.27
BN4SN3	XZ	NAH-S1280	MYH6	4.84	BO4SN3	XZ	NAH-S1280	MYH6	4.86
BN4SN3	XZ	NOR-LOS270	MYH6	4.61	BO4SN3	XZ	NOR-LOS270	MYH6	8.05
BN4SN3	XZ	NOR-PAC175	MYH6	6.60	BO4SN3	XZ	NOR-PAC175	MYH6	4.88
BN4SN3	XZ	SUP-ELC000	MYH6	2.93	BO4SN3	XZ	SUP-ELC000	MYH6	2.98
BN4SN3	XZ	WES-WSM090	MYH6	3.56	BO4SN3	XZ	WES-WSM090	MYH6	7.11
BN4SN3	YZ	CAP-PET000	MYH6	4.07	BO4SN3	YZ	CAP-PET000	MYH6	10.81
BN4SN3	YZ	CHI-CHY025W	MYH6	1.53	BO4SN3	YZ	CHI-CHY025W	MYH6	2.58
BN4SN3	YZ	CHI-CHY034-N	MYH6	3.40	BO4SN3	YZ	CHI-CHY034-N	MYH6	5.34
BN4SN3	YZ	CHI-TCU038N	MYH6	1.98	BO4SN3	YZ	CHI-TCU038N	MYH6	2.98
BN4SN3	YZ	CHI-TCU038W	MYH6	1.66	BO4SN3	YZ	CHI-TCU038W	MYH6	2.61
BN4SN3	YZ	CHI-TCU048N	MYH6	1.29	BO4SN3	YZ	CHI-TCU048N	MYH6	1.83
BN4SN3	YZ	CHI-TCU49W	MYH6	2.06	BO4SN3	YZ	CHI-TCU49W	MYH6	2.86
BN4SN3	YZ	CHI-TCU51W	MYH6	1.42	BO4SN3	YZ	CHI-TCU51W	MYH6	3.74
BN4SN3	YZ	CHI-TCU95N	MYH6	4.77	BO4SN3	YZ	CHI-TCU95N	MYH6	4.46
BN4SN3	YZ	CHI-TCU104-N	MYH6	0.84	BO4SN3	YZ	CHI-TCU104-N	MYH6	1.29
BN4SN3	YZ	CHI-TCU106-W	MYH6	1.65	BO4SN3	YZ	CHI-TCU106-W	MYH6	3.31
BN4SN3	YZ	CHI-TCU107-N	MYH6	1.21	BO4SN3	YZ	CHI-TCU107-N	MYH6	2.59
BN4SN3	YZ	COY-G06230	MYH6	3.16	BO4SN3	YZ	COY-G06230	MYH6	6.91
BN4SN3	YZ	IMP-E10050	MYH6	1.95	BO4SN3	YZ	IMP-E10050	MYH6	3.83
BN4SN3	YZ	IMP-ELC3-140	MYH6	2.48	BO4SN3	YZ	IMP-ELC3-140	MYH6	3.06

Tablo C.1 (devam): Mevcut binalara ait yerdeğiştirme talepleri

Bina Adı	Analiz Yönü	İvme Kaydı	MYH Grup No	Δ_d (cm)	Bina Adı	Analiz Yönü	İvme Kaydı	MYH Grup No	Δ_d (cm)
BN4SN3	YZ	IMP-ELC5-140	MYH6	3.81	BO4SN3	YZ	IMP-ELC5-140	MYH6	3.48
BN4SN3	YZ	IMP-ELC7-140	MYH6	1.94	BO4SN3	YZ	IMP-ELC7-140	MYH6	3.67
BN4SN3	YZ	IMP-ELC8-230	MYH6	2.31	BO4SN3	YZ	IMP-ELC8-230	MYH6	2.85
BN4SN3	YZ	IMP-HVP225	MYH6	2.83	BO4SN3	YZ	IMP-HVP225	MYH6	4.80
BN4SN3	YZ	KOC-DZC270	MYH6	4.25	BO4SN3	YZ	KOC-DZC270	MYH6	5.45
BN4SN3	YZ	LOM-BRN090	MYH6	5.55	BO4SN3	YZ	LOM-BRN090	MYH6	10.54
BN4SN3	YZ	LOM-COR090	MYH6	2.72	BO4SN3	YZ	LOM-COR090	MYH6	7.35
BN4SN3	YZ	LOM-G03090	MYH6	2.16	BO4SN3	YZ	LOM-G03090	MYH6	3.73
BN4SN3	YZ	LOM-HCH180	MYH6	1.85	BO4SN3	YZ	LOM-HCH180	MYH6	3.10
BN4SN3	YZ	NAH-S1010	MYH6	3.69	BO4SN3	YZ	NAH-S1010	MYH6	8.37
BN4SN3	YZ	NAH-S1280	MYH6	4.22	BO4SN3	YZ	NAH-S1280	MYH6	5.55
BN4SN3	YZ	NOR-LOS270	MYH6	4.36	BO4SN3	YZ	NOR-LOS270	MYH6	7.85
BN4SN3	YZ	NOR-PAC175	MYH6	5.35	BO4SN3	YZ	NOR-PAC175	MYH6	5.07
BN4SN3	YZ	SUP-ELC000	MYH6	2.26	BO4SN3	YZ	SUP-ELC000	MYH6	3.74
BN4SN3	YZ	WES-WSM090	MYH6	3.32	BO4SN3	YZ	WES-WSM090	MYH6	7.00
BN4SN3	XZ	CHI-CHY002-N	MYH7	1.17	BO4SN3	XZ	CHI-CHY002-N	MYH7	1.35
BN4SN3	XZ	CHI-CHY024W	MYH7	3.28	BO4SN3	XZ	CHI-CHY024W	MYH7	3.84
BN4SN3	XZ	CHI-CHY104-E	MYH7	2.97	BO4SN3	XZ	CHI-CHY104-E	MYH7	3.32
BN4SN3	XZ	CHI-TCU029N	MYH7	1.12	BO4SN3	XZ	CHI-TCU029N	MYH7	2.05
BN4SN3	XZ	CHI-TCU036N	MYH7	1.69	BO4SN3	XZ	CHI-TCU036N	MYH7	2.36
BN4SN3	XZ	CHI-TCU039N	MYH7	1.60	BO4SN3	XZ	CHI-TCU039N	MYH7	1.62
BN4SN3	XZ	CHI-TCU039W	MYH7	1.59	BO4SN3	XZ	CHI-TCU039W	MYH7	1.78
BN4SN3	XZ	CHI-TCU040N	MYH7	1.46	BO4SN3	XZ	CHI-TCU040N	MYH7	1.99
BN4SN3	XZ	CHI-TCU040W	MYH7	2.43	BO4SN3	XZ	CHI-TCU040W	MYH7	2.36
BN4SN3	XZ	CHI-TCU055N	MYH7	2.32	BO4SN3	XZ	CHI-TCU055N	MYH7	2.87
BN4SN3	XZ	CHI-TCU064N	MYH7	0.95	BO4SN3	XZ	CHI-TCU064N	MYH7	1.43
BN4SN3	XZ	CHI-TCU70W	MYH7	2.56	BO4SN3	XZ	CHI-TCU70W	MYH7	4.76
BN4SN3	XZ	CHI-TCU109-N	MYH7	2.57	BO4SN3	XZ	CHI-TCU109-N	MYH7	2.63
BN4SN3	XZ	CHI-TCU109-W	MYH7	2.23	BO4SN3	XZ	CHI-TCU109-W	MYH7	2.68
BN4SN3	XZ	CHI-TCU115-W	MYH7	1.22	BO4SN3	XZ	CHI-TCU115-W	MYH7	1.67
BN4SN3	XZ	CHI-TCU117-N	MYH7	1.25	BO4SN3	XZ	CHI-TCU117-N	MYH7	1.42
BN4SN3	XZ	IMP-ELC8-140	MYH7	4.32	BO4SN3	XZ	IMP-ELC8-140	MYH7	9.73
BN4SN3	XZ	IMP-HVP315	MYH7	2.28	BO4SN3	XZ	IMP-HVP315	MYH7	2.67
BN4SN3	XZ	IRP-STU270	MYH7	2.51	BO4SN3	XZ	IRP-STU270	MYH7	3.30
BN4SN3	XZ	KOC-GBZ000	MYH7	2.44	BO4SN3	XZ	KOC-GBZ000	MYH7	3.11
BN4SN3	XZ	LAN-YER270	MYH7	2.48	BO4SN3	XZ	LAN-YER270	MYH7	3.39
BN4SN3	XZ	LOM-A02043	MYH7	2.31	BO4SN3	XZ	LOM-A02043	MYH7	3.26
BN4SN3	XZ	LOM-BRN000	MYH7	7.76	BO4SN3	XZ	LOM-BRN000	MYH7	9.14
BN4SN3	XZ	LOM-LGP090	MYH7	6.82	BO4SN3	XZ	LOM-LGP090	MYH7	11.98
BN4SN3	XZ	MOR-CYC195	MYH7	6.28	BO4SN3	XZ	MOR-CYC195	MYH7	9.09
BN4SN3	XZ	NOR-LDM334	MYH7	3.30	BO4SN3	XZ	NOR-LDM334	MYH7	5.81
BN4SN3	XZ	NOR-ORR090	MYH7	4.20	BO4SN3	XZ	NOR-ORR090	MYH7	10.99
BN4SN3	XZ	NOR-ORR360	MYH7	5.09	BO4SN3	XZ	NOR-ORR360	MYH7	12.55
BN4SN3	XZ	NOR-PKC360	MYH7	5.01	BO4SN3	XZ	NOR-PKC360	MYH7	11.05
BN4SN3	XZ	SFD-PCD254	MYH7	11.60	BO4SN3	XZ	SFD-PCD254	MYH7	18.66
BN4SN3	YZ	CHI-CHY002-N	MYH7	1.07	BO4SN3	YZ	CHI-CHY002-N	MYH7	1.67
BN4SN3	YZ	CHI-CHY024W	MYH7	2.66	BO4SN3	YZ	CHI-CHY024W	MYH7	4.31
BN4SN3	YZ	CHI-CHY104-E	MYH7	2.15	BO4SN3	YZ	CHI-CHY104-E	MYH7	3.56
BN4SN3	YZ	CHI-TCU029N	MYH7	1.03	BO4SN3	YZ	CHI-TCU029N	MYH7	2.03
BN4SN3	YZ	CHI-TCU036N	MYH7	1.45	BO4SN3	YZ	CHI-TCU036N	MYH7	2.50
BN4SN3	YZ	CHI-TCU039N	MYH7	1.62	BO4SN3	YZ	CHI-TCU039N	MYH7	1.80
BN4SN3	YZ	CHI-TCU039W	MYH7	1.30	BO4SN3	YZ	CHI-TCU039W	MYH7	2.04
BN4SN3	YZ	CHI-TCU040N	MYH7	1.00	BO4SN3	YZ	CHI-TCU040N	MYH7	1.87
BN4SN3	YZ	CHI-TCU040W	MYH7	1.68	BO4SN3	YZ	CHI-TCU040W	MYH7	2.26
BN4SN3	YZ	CHI-TCU055N	MYH7	1.89	BO4SN3	YZ	CHI-TCU055N	MYH7	3.23
BN4SN3	YZ	CHI-TCU064N	MYH7	0.87	BO4SN3	YZ	CHI-TCU064N	MYH7	1.47
BN4SN3	YZ	CHI-TCU70W	MYH7	1.78	BO4SN3	YZ	CHI-TCU70W	MYH7	4.72
BN4SN3	YZ	CHI-TCU109-N	MYH7	1.85	BO4SN3	YZ	CHI-TCU109-N	MYH7	2.92
BN4SN3	YZ	CHI-TCU109-W	MYH7	2.02	BO4SN3	YZ	CHI-TCU109-W	MYH7	3.02

Tablo C.1 (devam): Mevcut binalara ait yerdeğiştirme talepleri

Bina Adı	Analiz Yönü	İvme Kaydı	MYH Grup No	Δ_d (cm)	Bina Adı	Analiz Yönü	İvme Kaydı	MYH Grup No	Δ_d (cm)
BN4SN3	YZ	CHI-TCU115-W	MYH7	1.02	BO4SN3	YZ	CHI-TCU115-W	MYH7	1.97
BN4SN3	YZ	CHI-TCU117-N	MYH7	1.08	BO4SN3	YZ	CHI-TCU117-N	MYH7	1.63
BN4SN3	YZ	IMP-ELC8-140	MYH7	4.23	BO4SN3	YZ	IMP-ELC8-140	MYH7	8.42
BN4SN3	YZ	IMP-HVP315	MYH7	1.88	BO4SN3	YZ	IMP-HVP315	MYH7	2.91
BN4SN3	YZ	IRP-STU270	MYH7	2.24	BO4SN3	YZ	IRP-STU270	MYH7	3.04
BN4SN3	YZ	KOC-GBZ000	MYH7	1.85	BO4SN3	YZ	KOC-GBZ000	MYH7	3.44
BN4SN3	YZ	LAN-YER270	MYH7	1.90	BO4SN3	YZ	LAN-YER270	MYH7	4.09
BN4SN3	YZ	LOM-A02043	MYH7	1.70	BO4SN3	YZ	LOM-A02043	MYH7	4.22
BN4SN3	YZ	LOM-BRN000	MYH7	5.70	BO4SN3	YZ	LOM-BRN000	MYH7	6.93
BN4SN3	YZ	LOM-LGP090	MYH7	4.65	BO4SN3	YZ	LOM-LGP090	MYH7	10.33
BN4SN3	YZ	MOR-CYC195	MYH7	5.92	BO4SN3	YZ	MOR-CYC195	MYH7	9.00
BN4SN3	YZ	NOR-LDM334	MYH7	2.61	BO4SN3	YZ	NOR-LDM334	MYH7	6.39
BN4SN3	YZ	NOR-ORR090	MYH7	4.85	BO4SN3	YZ	NOR-ORR090	MYH7	9.91
BN4SN3	YZ	NOR-ORR360	MYH7	4.79	BO4SN3	YZ	NOR-ORR360	MYH7	12.65
BN4SN3	YZ	NOR-PKC360	MYH7	4.38	BO4SN3	YZ	NOR-PKC360	MYH7	10.24
BN4SN3	YZ	SFD-PCD254	MYH7	8.35	BO4SN3	YZ	SFD-PCD254	MYH7	16.22
BN4SN3	XZ	CAP-RIO270	MYH8	4.45	BO4SN3	XZ	CAP-RIO270	MYH8	7.03
BN4SN3	XZ	CAP-RIO360	MYH8	12.99	BO4SN3	XZ	CAP-RIO360	MYH8	11.42
BN4SN3	XZ	CHI-CHY006-E	MYH8	4.07	BO4SN3	XZ	CHI-CHY006-E	MYH8	11.21
BN4SN3	XZ	CHI-CHY092-E	MYH8	0.99	BO4SN3	XZ	CHI-CHY092-E	MYH8	1.17
BN4SN3	XZ	CHI-CHY104-N	MYH8	1.54	BO4SN3	XZ	CHI-CHY104-N	MYH8	1.77
BN4SN3	XZ	CHI-TCU054W	MYH8	2.24	BO4SN3	XZ	CHI-TCU054W	MYH8	2.63
BN4SN3	XZ	CHI-TCU059N	MYH8	2.68	BO4SN3	XZ	CHI-TCU059N	MYH8	2.68
BN4SN3	XZ	CHI-TCU059W	MYH8	2.43	BO4SN3	XZ	CHI-TCU059W	MYH8	2.27
BN4SN3	XZ	CHI-TCU063W	MYH8	2.03	BO4SN3	XZ	CHI-TCU063W	MYH8	2.43
BN4SN3	XZ	CHI-TCU072N	MYH8	4.32	BO4SN3	XZ	CHI-TCU072N	MYH8	9.45
BN4SN3	XZ	CHI-TCU82W	MYH8	3.94	BO4SN3	XZ	CHI-TCU82W	MYH8	4.15
BN4SN3	XZ	CHI-TCU110-N	MYH8	1.40	BO4SN3	XZ	CHI-TCU110-N	MYH8	2.35
BN4SN3	XZ	CHI-TCU111-W	MYH8	1.20	BO4SN3	XZ	CHI-TCU111-W	MYH8	1.67
BN4SN3	XZ	CHI-TCU117-W	MYH8	1.58	BO4SN3	XZ	CHI-TCU117-W	MYH8	1.71
BN4SN3	XZ	CHI-TCU136-E	MYH8	2.12	BO4SN3	XZ	CHI-TCU136-E	MYH8	2.14
BN4SN3	XZ	DZC-BOL000	MYH8	6.99	BO4SN3	XZ	DZC-BOL000	MYH8	9.50
BN4SN3	XZ	IMP-ELC3-140	MYH8	3.52	BO4SN3	XZ	IMP-ELC3-140	MYH8	4.08
BN4SN3	XZ	IMP-ELC3-230	MYH8	2.13	BO4SN3	XZ	IMP-ELC3-230	MYH8	2.65
BN4SN3	XZ	IRP-STU270	MYH8	2.73	BO4SN3	XZ	IRP-STU270	MYH8	3.62
BN4SN3	XZ	KOC-DZC180	MYH8	4.24	BO4SN3	XZ	KOC-DZC180	MYH8	5.67
BN4SN3	XZ	KOC-DZC270	MYH8	7.33	BO4SN3	XZ	KOC-DZC270	MYH8	6.07
BN4SN3	XZ	KOC-GBZ000	MYH8	2.61	BO4SN3	XZ	KOC-GBZ000	MYH8	3.88
BN4SN3	XZ	LAN-CLVTR	MYH8	12.27	BO4SN3	XZ	LAN-CLVTR	MYH8	11.78
BN4SN3	XZ	LAN-YER270	MYH8	2.77	BO4SN3	XZ	LAN-YER270	MYH8	4.48
BN4SN3	XZ	LOM-COR000	MYH8	7.05	BO4SN3	XZ	LOM-COR000	MYH8	10.76
BN4SN3	XZ	NOR-MUL009	MYH8	3.22	BO4SN3	XZ	NOR-MUL009	MYH8	7.09
BN4SN3	XZ	NOR-PUL104	MYH8	8.60	BO4SN3	XZ	NOR-PUL104	MYH8	12.71
BN4SN3	XZ	NPAL-MVH135	MYH8	2.52	BO4SN3	XZ	NPAL-MVH135	MYH8	3.53
BN4SN3	XZ	SUP-ELC000	MYH8	3.55	BO4SN3	XZ	SUP-ELC000	MYH8	4.76
BN4SN3	XZ	SUP-ELC090	MYH8	4.13	BO4SN3	XZ	SUP-ELC090	MYH8	6.29
BN4SN3	YZ	CAP-RIO270	MYH8	3.76	BO4SN3	YZ	CAP-RIO270	MYH8	7.22
BN4SN3	YZ	CAP-RIO360	MYH8	9.39	BO4SN3	YZ	CAP-RIO360	MYH8	12.23
BN4SN3	YZ	CHI-CHY006-E	MYH8	2.67	BO4SN3	YZ	CHI-CHY006-E	MYH8	11.54
BN4SN3	YZ	CHI-CHY092-E	MYH8	0.85	BO4SN3	YZ	CHI-CHY092-E	MYH8	1.16
BN4SN3	YZ	CHI-CHY104-N	MYH8	1.37	BO4SN3	YZ	CHI-CHY104-N	MYH8	1.97
BN4SN3	YZ	CHI-TCU054W	MYH8	1.95	BO4SN3	YZ	CHI-TCU054W	MYH8	2.39
BN4SN3	YZ	CHI-TCU059N	MYH8	2.16	BO4SN3	YZ	CHI-TCU059N	MYH8	3.30
BN4SN3	YZ	CHI-TCU059W	MYH8	1.86	BO4SN3	YZ	CHI-TCU059W	MYH8	2.71
BN4SN3	YZ	CHI-TCU063W	MYH8	1.78	BO4SN3	YZ	CHI-TCU063W	MYH8	2.66
BN4SN3	YZ	CHI-TCU072N	MYH8	3.88	BO4SN3	YZ	CHI-TCU072N	MYH8	7.28
BN4SN3	YZ	CHI-TCU82W	MYH8	2.98	BO4SN3	YZ	CHI-TCU82W	MYH8	4.20
BN4SN3	YZ	CHI-TCU110-N	MYH8	1.04	BO4SN3	YZ	CHI-TCU110-N	MYH8	2.57
BN4SN3	YZ	CHI-TCU111-W	MYH8	0.98	BO4SN3	YZ	CHI-TCU111-W	MYH8	1.82

Tablo C.1 (devam): Mevcut binalara ait yerdeğiştirme talepleri

Bina Adı	Analiz Yönü	İvme Kaydı	MYH Grup No	Δ_d (cm)	Bina Adı	Analiz Yönü	İvme Kaydı	MYH Grup No	Δ_d (cm)
BN4SN3	YZ	CHI-TCU117-W	MYH8	1.20	BO4SN3	YZ	CHI-TCU117-W	MYH8	1.64
BN4SN3	YZ	CHI-TCU136-E	MYH8	1.80	BO4SN3	YZ	CHI-TCU136-E	MYH8	1.95
BN4SN3	YZ	DZC-BOL000	MYH8	5.16	BO4SN3	YZ	DZC-BOL000	MYH8	9.45
BN4SN3	YZ	IMP-ELC3-140	MYH8	2.75	BO4SN3	YZ	IMP-ELC3-140	MYH8	3.18
BN4SN3	YZ	IMP-ELC3-230	MYH8	1.81	BO4SN3	YZ	IMP-ELC3-230	MYH8	2.82
BN4SN3	YZ	IRP-STU270	MYH8	2.37	BO4SN3	YZ	IRP-STU270	MYH8	3.18
BN4SN3	YZ	KOC-DZC180	MYH8	3.75	BO4SN3	YZ	KOC-DZC180	MYH8	4.51
BN4SN3	YZ	KOC-DZC270	MYH8	5.24	BO4SN3	YZ	KOC-DZC270	MYH8	6.36
BN4SN3	YZ	KOC-GBZ000	MYH8	2.05	BO4SN3	YZ	KOC-GBZ000	MYH8	4.22
BN4SN3	YZ	LAN-CLVTR	MYH8	9.18	BO4SN3	YZ	LAN-CLVTR	MYH8	13.57
BN4SN3	YZ	LAN-YER270	MYH8	2.01	BO4SN3	YZ	LAN-YER270	MYH8	5.15
BN4SN3	YZ	LOM-COR000	MYH8	5.68	BO4SN3	YZ	LOM-COR000	MYH8	11.28
BN4SN3	YZ	NOR-MUL009	MYH8	2.67	BO4SN3	YZ	NOR-MUL009	MYH8	6.76
BN4SN3	YZ	NOR-PUL104	MYH8	8.12	BO4SN3	YZ	NOR-PUL104	MYH8	12.22
BN4SN3	YZ	NPAL-MVH135	MYH8	1.77	BO4SN3	YZ	NPAL-MVH135	MYH8	3.80
BN4SN3	YZ	SUP-ELC000	MYH8	2.68	BO4SN3	YZ	SUP-ELC000	MYH8	5.74
BN4SN3	YZ	SUP-ELC090	MYH8	2.57	BO4SN3	YZ	SUP-ELC090	MYH8	6.98
BN4SN3	XZ	CHI-TCU036W	MYH9	1.36	BO4SN3	XZ	CHI-TCU036W	MYH9	1.77
BN4SN3	XZ	CHI-TCU49N	MYH9	2.51	BO4SN3	XZ	CHI-TCU49N	MYH9	2.57
BN4SN3	XZ	CHI-TCU70N	MYH9	1.82	BO4SN3	XZ	CHI-TCU70N	MYH9	2.71
BN4SN3	XZ	CHI-TCU76N	MYH9	3.25	BO4SN3	XZ	CHI-TCU76N	MYH9	7.53
BN4SN3	XZ	CHI-TCU76W	MYH9	3.08	BO4SN3	XZ	CHI-TCU76W	MYH9	5.13
BN4SN3	XZ	CHI-TCU079-W	MYH9	12.71	BO4SN3	XZ	CHI-TCU079-W	MYH9	38.05
BN4SN3	XZ	CHI-TCU95W	MYH9	5.82	BO4SN3	XZ	CHI-TCU95W	MYH9	7.24
BN4SN3	XZ	CHI-TCU103-W	MYH9	2.29	BO4SN3	XZ	CHI-TCU103-W	MYH9	2.37
BN4SN3	XZ	CHI-TCU120-W	MYH9	1.97	BO4SN3	XZ	CHI-TCU120-W	MYH9	2.63
BN4SN3	XZ	CHI-TCU129-W	MYH9	7.45	BO4SN3	XZ	CHI-TCU129-W	MYH9	9.42
BN4SN3	XZ	COA-PLE045	MYH9	7.28	BO4SN3	XZ	COA-PLE045	MYH9	16.29
BN4SN3	XZ	DZC-BOL000	MYH9	8.13	BO4SN3	XZ	DZC-BOL000	MYH9	11.40
BN4SN3	XZ	DZC-BOL090	MYH9	9.61	BO4SN3	XZ	DZC-BOL090	MYH9	17.65
BN4SN3	XZ	DZC-DZC180	MYH9	7.45	BO4SN3	XZ	DZC-DZC180	MYH9	6.94
BN4SN3	XZ	ERZ-ERZEW	MYH9	4.20	BO4SN3	XZ	ERZ-ERZEW	MYH9	9.20
BN4SN3	XZ	IMP-ELC3-140	MYH9	3.79	BO4SN3	XZ	IMP-ELC3-140	MYH9	4.32
BN4SN3	XZ	IMP-HVP315	MYH9	2.79	BO4SN3	XZ	IMP-HVP315	MYH9	4.14
BN4SN3	XZ	IRP-STU270	MYH9	2.94	BO4SN3	XZ	IRP-STU270	MYH9	4.16
BN4SN3	XZ	KOC-DZC180	MYH9	4.41	BO4SN3	XZ	KOC-DZC180	MYH9	5.78
BN4SN3	XZ	KOC-GBZ000	MYH9	2.75	BO4SN3	XZ	KOC-GBZ000	MYH9	4.44
BN4SN3	XZ	KOC-YAR330	MYH9	3.22	BO4SN3	XZ	KOC-YAR330	MYH9	5.16
BN4SN3	XZ	LAN-YER270	MYH9	3.05	BO4SN3	XZ	LAN-YER270	MYH9	5.43
BN4SN3	XZ	LOM-BRN000	MYH9	8.03	BO4SN3	XZ	LOM-BRN000	MYH9	8.35
BN4SN3	XZ	LOM-HSP000	MYH9	3.60	BO4SN3	XZ	LOM-HSP000	MYH9	9.86
BN4SN3	XZ	LOM-WVC270	MYH9	3.39	BO4SN3	XZ	LOM-WVC270	MYH9	4.08
BN4SN3	XZ	NOR-CNP196	MYH9	7.68	BO4SN3	XZ	NOR-CNP196	MYH9	9.95
BN4SN3	XZ	NOR-LDM064	MYH9	3.58	BO4SN3	XZ	NOR-LDM064	MYH9	6.90
BN4SN3	XZ	NOR-MUL279	MYH9	6.66	BO4SN3	XZ	NOR-MUL279	MYH9	9.33
BN4SN3	XZ	NOR-SAT180	MYH9	7.29	BO4SN3	XZ	NOR-SAT180	MYH9	8.90
BN4SN3	XZ	SUP-ELC000	MYH9	3.75	BO4SN3	XZ	SUP-ELC000	MYH9	5.74
BN4SN3	YZ	CHI-TCU036W	MYH9	1.12	BO4SN3	YZ	CHI-TCU036W	MYH9	1.99
BN4SN3	YZ	CHI-TCU49N	MYH9	2.15	BO4SN3	YZ	CHI-TCU49N	MYH9	2.93
BN4SN3	YZ	CHI-TCU70N	MYH9	1.64	BO4SN3	YZ	CHI-TCU70N	MYH9	3.17
BN4SN3	YZ	CHI-TCU76N	MYH9	2.75	BO4SN3	YZ	CHI-TCU76N	MYH9	8.76
BN4SN3	YZ	CHI-TCU76W	MYH9	3.04	BO4SN3	YZ	CHI-TCU76W	MYH9	4.28
BN4SN3	YZ	CHI-TCU079-W	MYH9	9.30	BO4SN3	YZ	CHI-TCU079-W	MYH9	14.92
BN4SN3	YZ	CHI-TCU95W	MYH9	4.32	BO4SN3	YZ	CHI-TCU95W	MYH9	6.71
BN4SN3	YZ	CHI-TCU103-W	MYH9	1.72	BO4SN3	YZ	CHI-TCU103-W	MYH9	2.65
BN4SN3	YZ	CHI-TCU120-W	MYH9	1.72	BO4SN3	YZ	CHI-TCU120-W	MYH9	2.75
BN4SN3	YZ	CHI-TCU129-W	MYH9	7.03	BO4SN3	YZ	CHI-TCU129-W	MYH9	7.26
BN4SN3	YZ	COA-PLE045	MYH9	5.80	BO4SN3	YZ	COA-PLE045	MYH9	15.44
BN4SN3	YZ	DZC-BOL000	MYH9	6.08	BO4SN3	YZ	DZC-BOL000	MYH9	10.54

Tablo C.1 (devam): Mevcut binalara ait yerdeğiştirme talepleri

Bina Adı	Analiz Yönü	İvme Kaydı	MYH Grup No	Δ_d (cm)	Bina Adı	Analiz Yönü	İvme Kaydı	MYH Grup No	Δ_d (cm)
BN4SN3	YZ	DZC-BOL090	MYH9	8.45	BO4SN3	YZ	DZC-BOL090	MYH9	18.33
BN4SN3	YZ	DZC-DZC180	MYH9	5.10	BO4SN3	YZ	DZC-DZC180	MYH9	7.72
BN4SN3	YZ	ERZ-ERZEWE	MYH9	4.06	BO4SN3	YZ	ERZ-ERZEWE	MYH9	9.61
BN4SN3	YZ	IMP-ELC3-140	MYH9	2.88	BO4SN3	YZ	IMP-ELC3-140	MYH9	3.52
BN4SN3	YZ	IMP-HVP315	MYH9	2.11	BO4SN3	YZ	IMP-HVP315	MYH9	4.06
BN4SN3	YZ	IRP-STU270	MYH9	2.58	BO4SN3	YZ	IRP-STU270	MYH9	3.40
BN4SN3	YZ	KOC-DZC180	MYH9	3.99	BO4SN3	YZ	KOC-DZC180	MYH9	4.42
BN4SN3	YZ	KOC-GBZ000	MYH9	2.24	BO4SN3	YZ	KOC-GBZ000	MYH9	4.81
BN4SN3	YZ	KOC-YAR330	MYH9	2.67	BO4SN3	YZ	KOC-YAR330	MYH9	4.23
BN4SN3	YZ	LAN-YER270	MYH9	2.23	BO4SN3	YZ	LAN-YER270	MYH9	6.10
BN4SN3	YZ	LOM-BRN000	MYH9	6.15	BO4SN3	YZ	LOM-BRN000	MYH9	6.32
BN4SN3	YZ	LOM-HSP000	MYH9	2.87	BO4SN3	YZ	LOM-HSP000	MYH9	10.58
BN4SN3	YZ	LOM-WVC270	MYH9	3.08	BO4SN3	YZ	LOM-WVC270	MYH9	4.16
BN4SN3	YZ	NOR-CNP196	MYH9	5.72	BO4SN3	YZ	NOR-CNP196	MYH9	9.37
BN4SN3	YZ	NOR-LDM064	MYH9	3.70	BO4SN3	YZ	NOR-LDM064	MYH9	8.42
BN4SN3	YZ	NOR-MUL279	MYH9	5.14	BO4SN3	YZ	NOR-MUL279	MYH9	8.96
BN4SN3	YZ	NOR-SAT180	MYH9	5.38	BO4SN3	YZ	NOR-SAT180	MYH9	9.30
BN4SN3	YZ	SUP-ELC000	MYH9	2.87	BO4SN3	YZ	SUP-ELC000	MYH9	6.87
BN4SN3	XZ	CHI-CHY28N	MYH10	14.28	BO4SN3	XZ	CHI-CHY28N	MYH10	23.52
BN4SN3	XZ	CHI-TCU067N	MYH10	4.20	BO4SN3	XZ	CHI-TCU067N	MYH10	8.09
BN4SN3	XZ	CHI-TCU071N	MYH10	4.80	BO4SN3	XZ	CHI-TCU071N	MYH10	5.16
BN4SN3	XZ	CHI-TCU101-W	MYH10	2.71	BO4SN3	XZ	CHI-TCU101-W	MYH10	4.39
BN4SN3	XZ	CHI-TCU110-W	MYH10	1.50	BO4SN3	XZ	CHI-TCU110-W	MYH10	1.77
BN4SN3	XZ	CHI-TCU128-N	MYH10	1.64	BO4SN3	XZ	CHI-TCU128-N	MYH10	1.98
BN4SN3	XZ	CHI-WGK-E	MYH10	2.33	BO4SN3	XZ	CHI-WGK-E	MYH10	3.29
BN4SN3	XZ	CHI-WNTE	MYH10	7.84	BO4SN3	XZ	CHI-WNTE	MYH10	11.10
BN4SN3	XZ	DZC-BOL000	MYH10	8.87	BO4SN3	XZ	DZC-BOL000	MYH10	13.12
BN4SN3	XZ	DZC-BOL090	MYH10	11.15	BO4SN3	XZ	DZC-BOL090	MYH10	19.99
BN4SN3	XZ	GAZ-KAR000	MYH10	5.06	BO4SN3	XZ	GAZ-KAR000	MYH10	5.28
BN4SN3	XZ	IMP-ECC092	MYH10	2.46	BO4SN3	XZ	IMP-ECC092	MYH10	2.24
BN4SN3	XZ	IMP-ELC3-140	MYH10	3.96	BO4SN3	XZ	IMP-ELC3-140	MYH10	4.69
BN4SN3	XZ	IMP-ELC6-140	MYH10	2.53	BO4SN3	XZ	IMP-ELC6-140	MYH10	4.02
BN4SN3	XZ	IRP-STU270	MYH10	3.16	BO4SN3	XZ	IRP-STU270	MYH10	4.88
BN4SN3	XZ	KOB-TAK000	MYH10	12.96	BO4SN3	XZ	KOB-TAK000	MYH10	21.60
BN4SN3	XZ	KOC-DZC180	MYH10	4.56	BO4SN3	XZ	KOC-DZC180	MYH10	5.66
BN4SN3	XZ	KOC-GBZ000	MYH10	2.90	BO4SN3	XZ	KOC-GBZ000	MYH10	5.04
BN4SN3	XZ	KOC-YAR060	MYH10	2.87	BO4SN3	XZ	KOC-YAR060	MYH10	5.61
BN4SN3	XZ	LAN-YER270	MYH10	3.36	BO4SN3	XZ	LAN-YER270	MYH10	6.40
BN4SN3	XZ	LOM-BRN000	MYH10	8.69	BO4SN3	XZ	LOM-BRN000	MYH10	7.59
BN4SN3	XZ	LOM-G03090	MYH10	3.26	BO4SN3	XZ	LOM-G03090	MYH10	7.80
BN4SN3	XZ	LOM-HSP000	MYH10	3.94	BO4SN3	XZ	LOM-HSP000	MYH10	11.60
BN4SN3	XZ	NOR-CNP196	MYH10	9.04	BO4SN3	XZ	NOR-CNP196	MYH10	12.13
BN4SN3	XZ	NOR-MUL009	MYH10	3.79	BO4SN3	XZ	NOR-MUL009	MYH10	8.26
BN4SN3	XZ	NOR-MUL279	MYH10	7.68	BO4SN3	XZ	NOR-MUL279	MYH10	11.36
BN4SN3	XZ	NOR-ORR090	MYH10	5.36	BO4SN3	XZ	NOR-ORR090	MYH10	16.55
BN4SN3	XZ	NOR-ORR360	MYH10	7.49	BO4SN3	XZ	NOR-ORR360	MYH10	17.73
BN4SN3	XZ	NOR-SAT180	MYH10	8.53	BO4SN3	XZ	NOR-SAT180	MYH10	10.29
BN4SN3	XZ	NOR-WPI316	MYH10	2.55	BO4SN3	XZ	NOR-WPI316	MYH10	7.31
BN4SN3	YZ	CHI-CHY28N	MYH10	12.39	BO4SN3	YZ	CHI-CHY28N	MYH10	23.23
BN4SN3	YZ	CHI-TCU067N	MYH10	4.27	BO4SN3	YZ	CHI-TCU067N	MYH10	7.16
BN4SN3	YZ	CHI-TCU071N	MYH10	4.12	BO4SN3	YZ	CHI-TCU071N	MYH10	4.76
BN4SN3	YZ	CHI-TCU101-W	MYH10	1.90	BO4SN3	YZ	CHI-TCU101-W	MYH10	3.90
BN4SN3	YZ	CHI-TCU110-W	MYH10	1.29	BO4SN3	YZ	CHI-TCU110-W	MYH10	2.06
BN4SN3	YZ	CHI-TCU128-N	MYH10	1.14	BO4SN3	YZ	CHI-TCU128-N	MYH10	2.20
BN4SN3	YZ	CHI-WGK-E	MYH10	2.29	BO4SN3	YZ	CHI-WGK-E	MYH10	3.06
BN4SN3	YZ	CHI-WNTE	MYH10	7.16	BO4SN3	YZ	CHI-WNTE	MYH10	9.17
BN4SN3	YZ	DZC-BOL000	MYH10	6.81	BO4SN3	YZ	DZC-BOL000	MYH10	11.47
BN4SN3	YZ	DZC-BOL090	MYH10	9.54	BO4SN3	YZ	DZC-BOL090	MYH10	20.82
BN4SN3	YZ	GAZ-KAR000	MYH10	5.10	BO4SN3	YZ	GAZ-KAR000	MYH10	5.92

Tablo C.1 (devam): Mevcut binalara ait yerdeğiştirme talepleri

Bina Adı	Analiz Yönü	İvme Kaydı	MYH Grup No	Δ_d (cm)	Bina Adı	Analiz Yönü	İvme Kaydı	MYH Grup No	Δ_d (cm)
BN4SN3	YZ	IMP-ECC092	MYH10	1.95	BO4SN3	YZ	IMP-ECC092	MYH10	2.93
BN4SN3	YZ	IMP-ELC3-140	MYH10	3.01	BO4SN3	YZ	IMP-ELC3-140	MYH10	3.78
BN4SN3	YZ	IMP-ELC6-140	MYH10	2.53	BO4SN3	YZ	IMP-ELC6-140	MYH10	4.54
BN4SN3	YZ	IRP-STU270	MYH10	2.74	BO4SN3	YZ	IRP-STU270	MYH10	4.01
BN4SN3	YZ	KOB-TAK000	MYH10	8.46	BO4SN3	YZ	KOB-TAK000	MYH10	21.03
BN4SN3	YZ	KOC-DZC180	MYH10	4.35	BO4SN3	YZ	KOC-DZC180	MYH10	4.62
BN4SN3	YZ	KOC-GBZ000	MYH10	2.40	BO4SN3	YZ	KOC-GBZ000	MYH10	5.43
BN4SN3	YZ	KOC-YAR060	MYH10	2.38	BO4SN3	YZ	KOC-YAR060	MYH10	4.68
BN4SN3	YZ	LAN-YER270	MYH10	2.49	BO4SN3	YZ	LAN-YER270	MYH10	7.05
BN4SN3	YZ	LOM-BRN000	MYH10	6.59	BO4SN3	YZ	LOM-BRN000	MYH10	8.10
BN4SN3	YZ	LOM-G03090	MYH10	2.95	BO4SN3	YZ	LOM-G03090	MYH10	6.78
BN4SN3	YZ	LOM-HSP000	MYH10	3.18	BO4SN3	YZ	LOM-HSP000	MYH10	11.83
BN4SN3	YZ	NOR-CNP196	MYH10	6.89	BO4SN3	YZ	NOR-CNP196	MYH10	10.99
BN4SN3	YZ	NOR-MUL009	MYH10	3.46	BO4SN3	YZ	NOR-MUL009	MYH10	7.46
BN4SN3	YZ	NOR-MUL279	MYH10	5.28	BO4SN3	YZ	NOR-MUL279	MYH10	10.68
BN4SN3	YZ	NOR-ORR090	MYH10	5.52	BO4SN3	YZ	NOR-ORR090	MYH10	13.39
BN4SN3	YZ	NOR-ORR360	MYH10	6.63	BO4SN3	YZ	NOR-ORR360	MYH10	19.00
BN4SN3	YZ	NOR-SAT180	MYH10	6.06	BO4SN3	YZ	NOR-SAT180	MYH10	10.08
BN4SN3	YZ	NOR-WPI316	MYH10	2.24	BO4SN3	YZ	NOR-WPI316	MYH10	7.98
BN4SN3	XZ	CHI-CHY28W	MYH11	12.29	BO4SN3	XZ	CHI-CHY28W	MYH11	11.18
BN4SN3	XZ	CHI-CHY101W	MYH11	3.00	BO4SN3	XZ	CHI-CHY101W	MYH11	3.02
BN4SN3	XZ	CHI-TCU063N	MYH11	1.25	BO4SN3	XZ	CHI-TCU063N	MYH11	2.02
BN4SN3	XZ	CHI-TCU072W	MYH11	5.11	BO4SN3	XZ	CHI-TCU072W	MYH11	11.81
BN4SN3	XZ	CHI-TCU74W	MYH11	8.23	BO4SN3	XZ	CHI-TCU74W	MYH11	13.69
BN4SN3	XZ	CHI-TCU128-W	MYH11	1.61	BO4SN3	XZ	CHI-TCU128-W	MYH11	1.80
BN4SN3	XZ	CHI-WGK-N	MYH11	5.23	BO4SN3	XZ	CHI-WGK-N	MYH11	8.69
BN4SN3	XZ	COA-PLE045	MYH11	10.82	BO4SN3	XZ	COA-PLE045	MYH11	20.51
BN4SN3	XZ	DZC-BOL000	MYH11	9.41	BO4SN3	XZ	DZC-BOL000	MYH11	15.17
BN4SN3	XZ	DZC-BOL090	MYH11	12.60	BO4SN3	XZ	DZC-BOL090	MYH11	22.08
BN4SN3	XZ	DZC-DZC180	MYH11	9.35	BO4SN3	XZ	DZC-DZC180	MYH11	8.34
BN4SN3	XZ	GAZ-KAR000	MYH11	5.82	BO4SN3	XZ	GAZ-KAR000	MYH11	6.25
BN4SN3	XZ	GAZ-KAR090	MYH11	6.99	BO4SN3	XZ	GAZ-KAR090	MYH11	8.77
BN4SN3	XZ	IMP-ECC092	MYH11	2.60	BO4SN3	XZ	IMP-ECC092	MYH11	2.37
BN4SN3	XZ	IMP-ECM000	MYH11	2.88	BO4SN3	XZ	IMP-ECM000	MYH11	5.25
BN4SN3	XZ	IMP-ELCD-270	MYH11	2.99	BO4SN3	XZ	IMP-ELCD-270	MYH11	4.68
BN4SN3	XZ	IRP-STU270	MYH11	3.39	BO4SN3	XZ	IRP-STU270	MYH11	5.64
BN4SN3	XZ	KOB-KJM090	MYH11	8.95	BO4SN3	XZ	KOB-KJM090	MYH11	20.13
BN4SN3	XZ	KOC-DZC180	MYH11	4.76	BO4SN3	XZ	KOC-DZC180	MYH11	5.30
BN4SN3	XZ	KOC-GBZ000	MYH11	3.01	BO4SN3	XZ	KOC-GBZ000	MYH11	5.65
BN4SN3	XZ	KOC-YAR060	MYH11	3.17	BO4SN3	XZ	KOC-YAR060	MYH11	6.44
BN4SN3	XZ	LOM-HSP000	MYH11	4.72	BO4SN3	XZ	LOM-HSP000	MYH11	13.01
BN4SN3	XZ	LOM-WVC270	MYH11	4.03	BO4SN3	XZ	LOM-WVC270	MYH11	4.98
BN4SN3	XZ	NOR-CNP196	MYH11	10.15	BO4SN3	XZ	NOR-CNP196	MYH11	13.60
BN4SN3	XZ	NOR-MUL009	MYH11	4.19	BO4SN3	XZ	NOR-MUL009	MYH11	9.04
BN4SN3	XZ	NOR-MUL279	MYH11	9.08	BO4SN3	XZ	NOR-MUL279	MYH11	13.73
BN4SN3	XZ	NOR-ORR360	MYH11	8.75	BO4SN3	XZ	NOR-ORR360	MYH11	19.99
BN4SN3	XZ	NOR-RRS318	MYH11	4.82	BO4SN3	XZ	NOR-RRS318	MYH11	9.34
BN4SN3	XZ	NOR-SAT180	MYH11	9.70	BO4SN3	XZ	NOR-SAT180	MYH11	11.09
BN4SN3	XZ	NPAL-NPS210	MYH11	5.05	BO4SN3	XZ	NPAL-NPS210	MYH11	5.84
BN4SN3	YZ	CHI-CHY28W	MYH11	8.77	BO4SN3	YZ	CHI-CHY28W	MYH11	10.46
BN4SN3	YZ	CHI-CHY101W	MYH11	2.15	BO4SN3	YZ	CHI-CHY101W	MYH11	3.07
BN4SN3	YZ	CHI-TCU063N	MYH11	1.12	BO4SN3	YZ	CHI-TCU063N	MYH11	2.15
BN4SN3	YZ	CHI-TCU072W	MYH11	3.96	BO4SN3	YZ	CHI-TCU072W	MYH11	9.04
BN4SN3	YZ	CHI-TCU74W	MYH11	6.88	BO4SN3	YZ	CHI-TCU74W	MYH11	13.04
BN4SN3	YZ	CHI-TCU128-W	MYH11	1.40	BO4SN3	YZ	CHI-TCU128-W	MYH11	1.76
BN4SN3	YZ	CHI-WGK-N	MYH11	5.52	BO4SN3	YZ	CHI-WGK-N	MYH11	10.07
BN4SN3	YZ	COA-PLE045	MYH11	9.04	BO4SN3	YZ	COA-PLE045	MYH11	19.67
BN4SN3	YZ	DZC-BOL000	MYH11	7.29	BO4SN3	YZ	DZC-BOL000	MYH11	12.44
BN4SN3	YZ	DZC-BOL090	MYH11	10.63	BO4SN3	YZ	DZC-BOL090	MYH11	23.20

Tablo C.1 (devam): Mevcut binalara ait yerdeğiştirme talepleri

Bina Adı	Analiz Yönü	İvme Kaydı	MYH Grup No	Δ_d (cm)	Bina Adı	Analiz Yönü	İvme Kaydı	MYH Grup No	Δ_d (cm)
BN4SN3	YZ	DZC-DZC180	MYH11	6.14	BO4SN3	YZ	DZC-DZC180	MYH11	9.42
BN4SN3	YZ	GAZ-KAR000	MYH11	5.80	BO4SN3	YZ	GAZ-KAR000	MYH11	7.30
BN4SN3	YZ	GAZ-KAR090	MYH11	6.44	BO4SN3	YZ	GAZ-KAR090	MYH11	8.67
BN4SN3	YZ	IMP-ECC092	MYH11	2.03	BO4SN3	YZ	IMP-ECC092	MYH11	3.46
BN4SN3	YZ	IMP-ECM000	MYH11	2.29	BO4SN3	YZ	IMP-ECM000	MYH11	6.41
BN4SN3	YZ	IMP-ELCD-270	MYH11	2.78	BO4SN3	YZ	IMP-ELCD-270	MYH11	5.17
BN4SN3	YZ	IRP-STU270	MYH11	2.89	BO4SN3	YZ	IRP-STU270	MYH11	4.61
BN4SN3	YZ	KOB-KJM090	MYH11	8.16	BO4SN3	YZ	KOB-KJM090	MYH11	20.08
BN4SN3	YZ	KOC-DZC180	MYH11	4.63	BO4SN3	YZ	KOC-DZC180	MYH11	4.86
BN4SN3	YZ	KOC-GBZ000	MYH11	2.58	BO4SN3	YZ	KOC-GBZ000	MYH11	6.08
BN4SN3	YZ	KOC-YAR060	MYH11	2.58	BO4SN3	YZ	KOC-YAR060	MYH11	5.42
BN4SN3	YZ	LOM-HSP000	MYH11	3.66	BO4SN3	YZ	LOM-HSP000	MYH11	13.04
BN4SN3	YZ	LOM-WVC270	MYH11	3.63	BO4SN3	YZ	LOM-WVC270	MYH11	6.32
BN4SN3	YZ	NOR-CNP196	MYH11	7.72	BO4SN3	YZ	NOR-CNP196	MYH11	11.79
BN4SN3	YZ	NOR-MUL009	MYH11	3.97	BO4SN3	YZ	NOR-MUL009	MYH11	8.01
BN4SN3	YZ	NOR-MUL279	MYH11	6.13	BO4SN3	YZ	NOR-MUL279	MYH11	12.66
BN4SN3	YZ	NOR-ORR360	MYH11	7.87	BO4SN3	YZ	NOR-ORR360	MYH11	22.52
BN4SN3	YZ	NOR-RRS318	MYH11	3.97	BO4SN3	YZ	NOR-RRS318	MYH11	8.27
BN4SN3	YZ	NOR-SAT180	MYH11	6.72	BO4SN3	YZ	NOR-SAT180	MYH11	10.97
BN4SN3	YZ	NPAL-NPS210	MYH11	3.72	BO4SN3	YZ	NPAL-NPS210	MYH11	5.57
BN4SN3	XZ	CHI-TCU065N	MYH12	5.06	BO4SN3	XZ	CHI-TCU065N	MYH12	9.37
BN4SN3	XZ	CHI-TCU067W	MYH12	5.98	BO4SN3	XZ	CHI-TCU067W	MYH12	9.86
BN4SN3	XZ	CHI-TCU102-N	MYH12	1.80	BO4SN3	XZ	CHI-TCU102-N	MYH12	2.54
BN4SN3	XZ	DZC-BOL000	MYH12	9.75	BO4SN3	XZ	DZC-BOL000	MYH12	18.02
BN4SN3	XZ	DZC-BOL090	MYH12	14.14	BO4SN3	XZ	DZC-BOL090	MYH12	24.22
BN4SN3	XZ	DZC-DZC180	MYH12	10.12	BO4SN3	XZ	DZC-DZC180	MYH12	8.97
BN4SN3	XZ	GAZ-KAR090	MYH12	7.65	BO4SN3	XZ	GAZ-KAR090	MYH12	10.03
BN4SN3	XZ	IMP-ECC092	MYH12	2.78	BO4SN3	XZ	IMP-ECC092	MYH12	2.88
BN4SN3	XZ	IMP-ELC4-230	MYH12	3.09	BO4SN3	XZ	IMP-ELC4-230	MYH12	4.73
BN4SN3	XZ	IMP-ELCD-270	MYH12	3.25	BO4SN3	XZ	IMP-ELCD-270	MYH12	5.69
BN4SN3	XZ	IRP-STU270	MYH12	3.60	BO4SN3	XZ	IRP-STU270	MYH12	6.36
BN4SN3	XZ	KOC-DZC180	MYH12	4.86	BO4SN3	XZ	KOC-DZC180	MYH12	5.29
BN4SN3	XZ	KOC-GBZ000	MYH12	3.09	BO4SN3	XZ	KOC-GBZ000	MYH12	6.29
BN4SN3	XZ	KOC-SKR090	MYH12	3.01	BO4SN3	XZ	KOC-SKR090	MYH12	2.99
BN4SN3	XZ	LAN-YER270	MYH12	4.00	BO4SN3	XZ	LAN-YER270	MYH12	8.47
BN4SN3	XZ	LOM-BRN000	MYH12	9.92	BO4SN3	XZ	LOM-BRN000	MYH12	9.31
BN4SN3	XZ	LOM-WVC270	MYH12	4.29	BO4SN3	XZ	LOM-WVC270	MYH12	5.55
BN4SN3	XZ	NOR-CNP196	MYH12	11.24	BO4SN3	XZ	NOR-CNP196	MYH12	14.99
BN4SN3	XZ	NOR-MUL009	MYH12	4.66	BO4SN3	XZ	NOR-MUL009	MYH12	9.91
BN4SN3	XZ	NOR-MUL279	MYH12	10.87	BO4SN3	XZ	NOR-MUL279	MYH12	16.40
BN4SN3	XZ	NOR-NEW090	MYH12	6.34	BO4SN3	XZ	NOR-NEW090	MYH12	13.35
BN4SN3	XZ	NOR-PAR-L	MYH12	4.29	BO4SN3	XZ	NOR-PAR-L	MYH12	11.13
BN4SN3	XZ	NOR-RRS318	MYH12	5.31	BO4SN3	XZ	NOR-RRS318	MYH12	9.77
BN4SN3	XZ	NOR-SAT180	MYH12	10.86	BO4SN3	XZ	NOR-SAT180	MYH12	12.07
BN4SN3	XZ	NOR-SCE288	MYH12	3.45	BO4SN3	XZ	NOR-SCE288	MYH12	5.19
BN4SN3	XZ	NOR-SEP360	MYH12	6.60	BO4SN3	XZ	NOR-SEP360	MYH12	9.73
BN4SN3	XZ	NOR-SYL090	MYH12	5.15	BO4SN3	XZ	NOR-SYL090	MYH12	14.31
BN4SN3	XZ	NOR-TAR360	MYH12	17.23	BO4SN3	XZ	NOR-TAR360	MYH12	19.55
BN4SN3	XZ	NOR-WPI316	MYH12	2.74	BO4SN3	XZ	NOR-WPI316	MYH12	9.27
BN4SN3	XZ	PRK-C02065	MYH12	5.99	BO4SN3	XZ	PRK-C02065	MYH12	11.70
BN4SN3	YZ	CHI-TCU065N	MYH12	3.59	BO4SN3	YZ	CHI-TCU065N	MYH12	12.31
BN4SN3	YZ	CHI-TCU067W	MYH12	4.94	BO4SN3	YZ	CHI-TCU067W	MYH12	10.63
BN4SN3	YZ	CHI-TCU102-N	MYH12	1.37	BO4SN3	YZ	CHI-TCU102-N	MYH12	2.80
BN4SN3	YZ	DZC-BOL000	MYH12	7.63	BO4SN3	YZ	DZC-BOL000	MYH12	13.45
BN4SN3	YZ	DZC-BOL090	MYH12	11.84	BO4SN3	YZ	DZC-BOL090	MYH12	25.62
BN4SN3	YZ	DZC-DZC180	MYH12	6.58	BO4SN3	YZ	DZC-DZC180	MYH12	10.11
BN4SN3	YZ	GAZ-KAR090	MYH12	7.21	BO4SN3	YZ	GAZ-KAR090	MYH12	9.28
BN4SN3	YZ	IMP-ECC092	MYH12	2.15	BO4SN3	YZ	IMP-ECC092	MYH12	4.19
BN4SN3	YZ	IMP-ELC4-230	MYH12	2.94	BO4SN3	YZ	IMP-ELC4-230	MYH12	5.61

Tablo C.1 (devam): Mevcut binalara ait yerdeğiştirme talepleri

Bina Adı	Analiz Yönü	İvme Kaydı	MYH Grup No	Δ_d (cm)	Bina Adı	Analiz Yönü	İvme Kaydı	MYH Grup No	Δ_d (cm)
BN4SN3	YZ	IMP-ELCD-270	MYH12	3.08	BO4SN3	YZ	IMP-ELCD-270	MYH12	6.02
BN4SN3	YZ	IRP-STU270	MYH12	3.05	BO4SN3	YZ	IRP-STU270	MYH12	5.05
BN4SN3	YZ	KOC-DZC180	MYH12	4.89	BO4SN3	YZ	KOC-DZC180	MYH12	5.12
BN4SN3	YZ	KOC-GBZ000	MYH12	2.75	BO4SN3	YZ	KOC-GBZ000	MYH12	6.75
BN4SN3	YZ	KOC-SKR090	MYH12	2.59	BO4SN3	YZ	KOC-SKR090	MYH12	2.83
BN4SN3	YZ	LAN-YER270	MYH12	3.09	BO4SN3	YZ	LAN-YER270	MYH12	9.02
BN4SN3	YZ	LOM-BRN000	MYH12	7.53	BO4SN3	YZ	LOM-BRN000	MYH12	12.98
BN4SN3	YZ	LOM-WVC270	MYH12	3.89	BO4SN3	YZ	LOM-WVC270	MYH12	7.60
BN4SN3	YZ	NOR-CNP196	MYH12	8.55	BO4SN3	YZ	NOR-CNP196	MYH12	12.30
BN4SN3	YZ	NOR-MUL009	MYH12	4.54	BO4SN3	YZ	NOR-MUL009	MYH12	8.66
BN4SN3	YZ	NOR-MUL279	MYH12	7.02	BO4SN3	YZ	NOR-MUL279	MYH12	14.85
BN4SN3	YZ	NOR-NEW090	MYH12	5.31	BO4SN3	YZ	NOR-NEW090	MYH12	14.00
BN4SN3	YZ	NOR-PAR-L	MYH12	3.54	BO4SN3	YZ	NOR-PAR-L	MYH12	12.59
BN4SN3	YZ	NOR-RRS318	MYH12	4.36	BO4SN3	YZ	NOR-RRS318	MYH12	8.98
BN4SN3	YZ	NOR-SAT180	MYH12	7.44	BO4SN3	YZ	NOR-SAT180	MYH12	12.24
BN4SN3	YZ	NOR-SCE288	MYH12	3.18	BO4SN3	YZ	NOR-SCE288	MYH12	5.42
BN4SN3	YZ	NOR-SEP360	MYH12	6.30	BO4SN3	YZ	NOR-SEP360	MYH12	10.24
BN4SN3	YZ	NOR-SYL090	MYH12	4.19	BO4SN3	YZ	NOR-SYL090	MYH12	14.79
BN4SN3	YZ	NOR-TAR360	MYH12	11.14	BO4SN3	YZ	NOR-TAR360	MYH12	18.36
BN4SN3	YZ	NOR-WPI316	MYH12	2.65	BO4SN3	YZ	NOR-WPI316	MYH12	10.00
BN4SN3	YZ	PRK-C02065	MYH12	5.76	BO4SN3	YZ	PRK-C02065	MYH12	12.11
BN5SN3	XZ	CAP-FOR090	MYH1	1.54	BO5SN3	XZ	CAP-FOR090	MYH1	1.34
BN5SN3	XZ	CHI-CHY010-N	MYH1	2.98	BO5SN3	XZ	CHI-CHY010-N	MYH1	2.64
BN5SN3	XZ	CHI-CHY41W	MYH1	3.23	BO5SN3	XZ	CHI-CHY41W	MYH1	2.66
BN5SN3	XZ	CHI-CHY046N	MYH1	1.68	BO5SN3	XZ	CHI-CHY046N	MYH1	1.63
BN5SN3	XZ	CHI-CHY047-E	MYH1	2.34	BO5SN3	XZ	CHI-CHY047-E	MYH1	2.50
BN5SN3	XZ	COA-CAK270	MYH1	2.89	BO5SN3	XZ	COA-CAK270	MYH1	2.22
BN5SN3	XZ	COY-G06320	MYH1	3.79	BO5SN3	XZ	COY-G06320	MYH1	3.89
BN5SN3	XZ	FRI-TMZ000	MYH1	3.20	BO5SN3	XZ	FRI-TMZ000	MYH1	2.54
BN5SN3	XZ	IMP-E12230	MYH1	1.24	BO5SN3	XZ	IMP-E12230	MYH1	1.07
BN5SN3	XZ	IMP-SAH000	MYH1	2.89	BO5SN3	XZ	IMP-SAH000	MYH1	2.13
BN5SN3	XZ	IRP-BIS000	MYH1	1.43	BO5SN3	XZ	IRP-BIS000	MYH1	0.90
BN5SN3	XZ	KOC-IZM180	MYH1	2.30	BO5SN3	XZ	KOC-IZM180	MYH1	1.79
BN5SN3	XZ	LAN-ABY090	MYH1	1.74	BO5SN3	XZ	LAN-ABY090	MYH1	1.31
BN5SN3	XZ	LAN-DSP000	MYH1	2.02	BO5SN3	XZ	LAN-DSP000	MYH1	1.88
BN5SN3	XZ	LIV-DVD246	MYH1	1.79	BO5SN3	XZ	LIV-DVD246	MYH1	1.51
BN5SN3	XZ	LOM-BRK090	MYH1	1.91	BO5SN3	XZ	LOM-BRK090	MYH1	1.66
BN5SN3	XZ	LOM-CLD285	MYH1	2.60	BO5SN3	XZ	LOM-CLD285	MYH1	1.93
BN5SN3	XZ	LOM-GGV337	MYH1	2.55	BO5SN3	XZ	LOM-GGV337	MYH1	2.26
BN5SN3	XZ	NOR-CWC270	MYH1	3.61	BO5SN3	XZ	NOR-CWC270	MYH1	2.77
BN5SN3	XZ	NOR-LOS090	MYH1	2.00	BO5SN3	XZ	NOR-LOS090	MYH1	1.64
BN5SN3	XZ	NOR-LOS360	MYH1	2.89	BO5SN3	XZ	NOR-LOS360	MYH1	3.67
BN5SN3	XZ	PRK-CHO355	MYH1	3.71	BO5SN3	XZ	PRK-CHO355	MYH1	3.68
BN5SN3	XZ	PRK-TMB205	MYH1	3.77	BO5SN3	XZ	PRK-TMB205	MYH1	3.14
BN5SN3	XZ	SUP-PLS135	MYH1	3.16	BO5SN3	XZ	SUP-PLS135	MYH1	2.24
BN5SN3	XZ	TAB-DAY-LN	MYH1	2.50	BO5SN3	XZ	TAB-DAY-LN	MYH1	2.27
BN5SN3	XZ	VIC-CPE315	MYH1	3.03	BO5SN3	XZ	VIC-CPE315	MYH1	2.28
BN5SN3	XZ	WHI-ALH180	MYH1	3.17	BO5SN3	XZ	WHI-ALH180	MYH1	2.42
BN5SN3	XZ	WHI-GRN180	MYH1	4.77	BO5SN3	XZ	WHI-GRN180	MYH1	2.88
BN5SN3	XZ	WHI-OBR360	MYH1	3.17	BO5SN3	XZ	WHI-OBR360	MYH1	2.46
BN5SN3	YZ	CAP-FOR090	MYH1	1.44	BO5SN3	YZ	CAP-FOR090	MYH1	1.35
BN5SN3	YZ	CHI-CHY010-N	MYH1	2.62	BO5SN3	YZ	CHI-CHY010-N	MYH1	2.58
BN5SN3	YZ	CHI-CHY41W	MYH1	2.55	BO5SN3	YZ	CHI-CHY41W	MYH1	2.51
BN5SN3	YZ	CHI-CHY046N	MYH1	1.95	BO5SN3	YZ	CHI-CHY046N	MYH1	1.71
BN5SN3	YZ	CHI-CHY047-E	MYH1	2.53	BO5SN3	YZ	CHI-CHY047-E	MYH1	2.27
BN5SN3	YZ	COA-CAK270	MYH1	2.60	BO5SN3	YZ	COA-CAK270	MYH1	2.20
BN5SN3	YZ	COY-G06320	MYH1	3.88	BO5SN3	YZ	COY-G06320	MYH1	3.84
BN5SN3	YZ	FRI-TMZ000	MYH1	2.94	BO5SN3	YZ	FRI-TMZ000	MYH1	2.59
BN5SN3	YZ	IMP-E12230	MYH1	1.25	BO5SN3	YZ	IMP-E12230	MYH1	1.03

Tablo C.1 (devam): Mevcut binalara ait yerdeğiştirme talepleri

Bina Adı	Analiz Yönü	İvme Kaydı	MYH Grup No	Δ_d (cm)	Bina Adı	Analiz Yönü	İvme Kaydı	MYH Grup No	Δ_d (cm)
BN5SN3	YZ	IMP-SAH000	MYH1	2.53	BO5SN3	YZ	IMP-SAH000	MYH1	2.32
BN5SN3	YZ	IRP-BIS000	MYH1	0.98	BO5SN3	YZ	IRP-BIS000	MYH1	0.87
BN5SN3	YZ	KOC-IZM180	MYH1	1.73	BO5SN3	YZ	KOC-IZM180	MYH1	1.64
BN5SN3	YZ	LAN-ABY090	MYH1	1.44	BO5SN3	YZ	LAN-ABY090	MYH1	1.13
BN5SN3	YZ	LAN-DSP000	MYH1	2.14	BO5SN3	YZ	LAN-DSP000	MYH1	2.04
BN5SN3	YZ	LIV-DVD246	MYH1	1.57	BO5SN3	YZ	LIV-DVD246	MYH1	1.46
BN5SN3	YZ	LOM-BRK090	MYH1	1.52	BO5SN3	YZ	LOM-BRK090	MYH1	1.50
BN5SN3	YZ	LOM-CLD285	MYH1	2.77	BO5SN3	YZ	LOM-CLD285	MYH1	2.19
BN5SN3	YZ	LOM-GGV337	MYH1	2.54	BO5SN3	YZ	LOM-GGV337	MYH1	2.37
BN5SN3	YZ	NOR-CWC270	MYH1	3.11	BO5SN3	YZ	NOR-CWC270	MYH1	2.93
BN5SN3	YZ	NOR-LOS090	MYH1	1.91	BO5SN3	YZ	NOR-LOS090	MYH1	1.71
BN5SN3	YZ	NOR-LOS360	MYH1	2.69	BO5SN3	YZ	NOR-LOS360	MYH1	3.46
BN5SN3	YZ	PRK-CHO355	MYH1	3.17	BO5SN3	YZ	PRK-CHO355	MYH1	3.66
BN5SN3	YZ	PRK-TMB205	MYH1	3.73	BO5SN3	YZ	PRK-TMB205	MYH1	3.23
BN5SN3	YZ	SUP-PLS135	MYH1	2.88	BO5SN3	YZ	SUP-PLS135	MYH1	2.35
BN5SN3	YZ	TAB-DAY-LN	MYH1	2.26	BO5SN3	YZ	TAB-DAY-LN	MYH1	2.41
BN5SN3	YZ	VIC-CPE315	MYH1	2.89	BO5SN3	YZ	VIC-CPE315	MYH1	2.67
BN5SN3	YZ	WHI-ALH180	MYH1	2.98	BO5SN3	YZ	WHI-ALH180	MYH1	2.48
BN5SN3	YZ	WHI-GRN180	MYH1	3.33	BO5SN3	YZ	WHI-GRN180	MYH1	3.19
BN5SN3	YZ	WHI-OBR360	MYH1	2.93	BO5SN3	YZ	WHI-OBR360	MYH1	2.39
BN5SN3	XZ	CHI-TCU141-N	MYH2	0.90	BO5SN3	XZ	CHI-TCU141-N	MYH2	0.88
BN5SN3	XZ	COA-PV1090	MYH2	3.23	BO5SN3	XZ	COA-PV1090	MYH2	3.09
BN5SN3	XZ	COA-Z14090	MYH2	3.61	BO5SN3	XZ	COA-Z14090	MYH2	3.81
BN5SN3	XZ	COY-G02140	MYH2	2.92	BO5SN3	XZ	COY-G02140	MYH2	2.68
BN5SN3	XZ	COY-G03140	MYH2	2.55	BO5SN3	XZ	COY-G03140	MYH2	2.63
BN5SN3	XZ	IMP-AER315	MYH2	3.60	BO5SN3	XZ	IMP-AER315	MYH2	3.34
BN5SN3	XZ	IMP-DLT262	MYH2	3.49	BO5SN3	XZ	IMP-DLT262	MYH2	3.09
BN5SN3	XZ	KOB-KAK090	MYH2	3.59	BO5SN3	XZ	KOB-KAK090	MYH2	4.33
BN5SN3	XZ	KOB-SHI090	MYH2	3.09	BO5SN3	XZ	KOB-SHI090	MYH2	3.45
BN5SN3	XZ	LAN-CLVLN	MYH2	3.25	BO5SN3	XZ	LAN-CLVLN	MYH2	2.48
BN5SN3	XZ	LAN-JOS000	MYH2	4.27	BO5SN3	XZ	LAN-JOS000	MYH2	3.51
BN5SN3	XZ	LOM-CAP090	MYH2	3.94	BO5SN3	XZ	LOM-CAP090	MYH2	8.04
BN5SN3	XZ	LOM-GGV067	MYH2	3.66	BO5SN3	XZ	LOM-GGV067	MYH2	2.53
BN5SN3	XZ	LOM-HSP090	MYH2	3.57	BO5SN3	XZ	LOM-HSP090	MYH2	3.62
BN5SN3	XZ	LOM-SFO000	MYH2	4.38	BO5SN3	XZ	LOM-SFO000	MYH2	3.30
BN5SN3	XZ	LOM-SFO090	MYH2	3.01	BO5SN3	XZ	LOM-SFO090	MYH2	3.48
BN5SN3	XZ	LOM-WAH000	MYH2	3.15	BO5SN3	XZ	LOM-WAH000	MYH2	3.27
BN5SN3	XZ	MAM-LUL000	MYH2	6.78	BO5SN3	XZ	MAM-LUL000	MYH2	4.78
BN5SN3	XZ	MOR-AND250	MYH2	4.68	BO5SN3	XZ	MOR-AND250	MYH2	3.02
BN5SN3	XZ	MOR-AND340	MYH2	4.52	BO5SN3	XZ	MOR-AND340	MYH2	4.44
BN5SN3	XZ	NOR-CHL160	MYH2	3.20	BO5SN3	XZ	NOR-CHL160	MYH2	2.29
BN5SN3	XZ	NOR-CWC180	MYH2	1.73	BO5SN3	XZ	NOR-CWC180	MYH2	1.66
BN5SN3	XZ	NOR-SAT090	MYH2	3.61	BO5SN3	XZ	NOR-SAT090	MYH2	3.37
BN5SN3	XZ	NPAL-DSP000	MYH2	2.36	BO5SN3	XZ	NPAL-DSP000	MYH2	2.07
BN5SN3	XZ	PRK-CHO085	MYH2	3.85	BO5SN3	XZ	PRK-CHO085	MYH2	2.65
BN5SN3	XZ	SFD-ORR291	MYH2	3.58	BO5SN3	XZ	SFD-ORR291	MYH2	2.73
BN5SN3	XZ	SPI-GUK000	MYH2	2.39	BO5SN3	XZ	SPI-GUK000	MYH2	2.26
BN5SN3	XZ	TAB-DAY-TR	MYH2	4.09	BO5SN3	XZ	TAB-DAY-TR	MYH2	4.51
BN5SN3	XZ	WES-PTS315	MYH2	3.21	BO5SN3	XZ	WES-PTS315	MYH2	3.04
BN5SN3	XZ	WHI-DEL000	MYH2	4.43	BO5SN3	XZ	WHI-DEL000	MYH2	3.71
BN5SN3	XZ	WHI-DWN180	MYH2	3.35	BO5SN3	XZ	WHI-DWN180	MYH2	3.00
BN5SN3	YZ	CHI-TCU141-N	MYH2	0.85	BO5SN3	YZ	CHI-TCU141-N	MYH2	0.82
BN5SN3	YZ	COA-PV1090	MYH2	3.04	BO5SN3	YZ	COA-PV1090	MYH2	2.49
BN5SN3	YZ	COA-Z14090	MYH2	3.12	BO5SN3	YZ	COA-Z14090	MYH2	3.23
BN5SN3	YZ	COY-G02140	MYH2	2.87	BO5SN3	YZ	COY-G02140	MYH2	2.88
BN5SN3	YZ	COY-G03140	MYH2	2.50	BO5SN3	YZ	COY-G03140	MYH2	2.73
BN5SN3	YZ	IMP-AER315	MYH2	2.90	BO5SN3	YZ	IMP-AER315	MYH2	3.07
BN5SN3	YZ	IMP-DLT262	MYH2	3.03	BO5SN3	YZ	IMP-DLT262	MYH2	3.07
BN5SN3	YZ	KOB-KAK090	MYH2	3.31	BO5SN3	YZ	KOB-KAK090	MYH2	4.06

Tablo C.1 (devam): Mevcut binalara ait yerdeğiştirme talepleri

Bina Adı	Analiz Yönü	İvme Kaydı	MYH Grup No	Δ_d (cm)	Bina Adı	Analiz Yönü	İvme Kaydı	MYH Grup No	Δ_d (cm)
BN5SN3	YZ	KOB-SHI090	MYH2	3.03	BO5SN3	YZ	KOB-SHI090	MYH2	3.45
BN5SN3	YZ	LAN-CLVLN	MYH2	3.23	BO5SN3	YZ	LAN-CLVLN	MYH2	2.96
BN5SN3	YZ	LAN-JOS000	MYH2	4.37	BO5SN3	YZ	LAN-JOS000	MYH2	4.16
BN5SN3	YZ	LOM-CAP090	MYH2	3.98	BO5SN3	YZ	LOM-CAP090	MYH2	6.83
BN5SN3	YZ	LOM-GGV067	MYH2	3.48	BO5SN3	YZ	LOM-GGV067	MYH2	2.84
BN5SN3	YZ	LOM-HSP090	MYH2	2.30	BO5SN3	YZ	LOM-HSP090	MYH2	2.81
BN5SN3	YZ	LOM-SFO000	MYH2	3.34	BO5SN3	YZ	LOM-SFO000	MYH2	3.60
BN5SN3	YZ	LOM-SFO090	MYH2	2.65	BO5SN3	YZ	LOM-SFO090	MYH2	2.72
BN5SN3	YZ	LOM-WAH000	MYH2	2.74	BO5SN3	YZ	LOM-WAH000	MYH2	3.17
BN5SN3	YZ	MAM-LUL000	MYH2	6.14	BO5SN3	YZ	MAM-LUL000	MYH2	5.82
BN5SN3	YZ	MOR-AND250	MYH2	4.37	BO5SN3	YZ	MOR-AND250	MYH2	4.29
BN5SN3	YZ	MOR-AND340	MYH2	3.82	BO5SN3	YZ	MOR-AND340	MYH2	3.72
BN5SN3	YZ	NOR-CHL160	MYH2	2.81	BO5SN3	YZ	NOR-CHL160	MYH2	2.49
BN5SN3	YZ	NOR-CWC180	MYH2	1.94	BO5SN3	YZ	NOR-CWC180	MYH2	1.67
BN5SN3	YZ	NOR-SAT090	MYH2	3.35	BO5SN3	YZ	NOR-SAT090	MYH2	3.49
BN5SN3	YZ	NPAL-DSP000	MYH2	2.95	BO5SN3	YZ	NPAL-DSP000	MYH2	2.15
BN5SN3	YZ	PRK-CHO085	MYH2	3.77	BO5SN3	YZ	PRK-CHO085	MYH2	2.88
BN5SN3	YZ	SFD-ORR291	MYH2	2.69	BO5SN3	YZ	SFD-ORR291	MYH2	2.83
BN5SN3	YZ	SPI-GUK000	MYH2	1.80	BO5SN3	YZ	SPI-GUK000	MYH2	2.05
BN5SN3	YZ	TAB-DAY-TR	MYH2	4.25	BO5SN3	YZ	TAB-DAY-TR	MYH2	4.27
BN5SN3	YZ	WES-PTS315	MYH2	2.51	BO5SN3	YZ	WES-PTS315	MYH2	2.48
BN5SN3	YZ	WHI-DEL000	MYH2	2.81	BO5SN3	YZ	WHI-DEL000	MYH2	3.49
BN5SN3	YZ	WHI-DWN180	MYH2	2.22	BO5SN3	YZ	WHI-DWN180	MYH2	2.64
BN5SN3	XZ	CAP-FOR000	MYH3	1.85	BO5SN3	XZ	CAP-FOR000	MYH3	1.37
BN5SN3	XZ	CHI-CHY29W	MYH3	5.05	BO5SN3	XZ	CHI-CHY29W	MYH3	4.56
BN5SN3	XZ	CHI-TCU046N	MYH3	1.18	BO5SN3	XZ	CHI-TCU046N	MYH3	1.09
BN5SN3	XZ	CHI-TCU112-N	MYH3	1.36	BO5SN3	XZ	CHI-TCU112-N	MYH3	1.10
BN5SN3	XZ	CHI-TCU118-N	MYH3	1.40	BO5SN3	XZ	CHI-TCU118-N	MYH3	1.22
BN5SN3	XZ	FRI-TMZ270	MYH3	4.69	BO5SN3	XZ	FRI-TMZ270	MYH3	5.12
BN5SN3	XZ	IMP-ELC2-140	MYH3	3.60	BO5SN3	XZ	IMP-ELC2-140	MYH3	3.35
BN5SN3	XZ	IMP-ELC11-140	MYH3	3.12	BO5SN3	XZ	IMP-ELC11-140	MYH3	2.40
BN5SN3	XZ	IMP-SAH270	MYH3	5.47	BO5SN3	XZ	IMP-SAH270	MYH3	4.21
BN5SN3	XZ	KOC-AMB090	MYH3	3.25	BO5SN3	XZ	KOC-AMB090	MYH3	3.12
BN5SN3	XZ	KOC-GBZ270	MYH3	2.46	BO5SN3	XZ	KOC-GBZ270	MYH3	2.19
BN5SN3	XZ	KOC-IZM090	MYH3	1.92	BO5SN3	XZ	KOC-IZM090	MYH3	1.46
BN5SN3	XZ	LAN-LUC000	MYH3	2.83	BO5SN3	XZ	LAN-LUC000	MYH3	2.57
BN5SN3	XZ	LAN-YER360	MYH3	2.03	BO5SN3	XZ	LAN-YER360	MYH3	2.12
BN5SN3	XZ	LOM-A02133	MYH3	2.27	BO5SN3	XZ	LOM-A02133	MYH3	2.78
BN5SN3	XZ	LOM-G01000	MYH3	4.18	BO5SN3	XZ	LOM-G01000	MYH3	2.90
BN5SN3	XZ	LOM-G01090	MYH3	5.25	BO5SN3	XZ	LOM-G01090	MYH3	4.02
BN5SN3	XZ	LOM-G02000	MYH3	4.72	BO5SN3	XZ	LOM-G02000	MYH3	4.91
BN5SN3	XZ	LOM-TRI090	MYH3	1.98	BO5SN3	XZ	LOM-TRI090	MYH3	1.86
BN5SN3	XZ	MAM-LUL090	MYH3	4.55	BO5SN3	XZ	MAM-LUL090	MYH3	4.27
BN5SN3	XZ	NOR-CNP106	MYH3	4.53	BO5SN3	XZ	NOR-CNP106	MYH3	4.25
BN5SN3	XZ	NOR-PAC265	MYH3	4.72	BO5SN3	XZ	NOR-PAC265	MYH3	3.60
BN5SN3	XZ	NOR-PKC090	MYH3	4.82	BO5SN3	XZ	NOR-PKC090	MYH3	4.87
BN5SN3	XZ	NOR-WIL180	MYH3	3.29	BO5SN3	XZ	NOR-WIL180	MYH3	4.07
BN5SN3	XZ	NPAL-MVH045	MYH3	2.22	BO5SN3	XZ	NPAL-MVH045	MYH3	1.68
BN5SN3	XZ	NPAL-NPS300	MYH3	5.10	BO5SN3	XZ	NPAL-NPS300	MYH3	4.06
BN5SN3	XZ	NPAL-WWT270	MYH3	6.42	BO5SN3	XZ	NPAL-WWT270	MYH3	7.03
BN5SN3	XZ	SUP-IVW090	MYH3	1.77	BO5SN3	XZ	SUP-IVW090	MYH3	1.63
BN5SN3	XZ	SUP-IVW360	MYH3	3.13	BO5SN3	XZ	SUP-IVW360	MYH3	2.22
BN5SN3	XZ	SUP-KRN360	MYH3	1.99	BO5SN3	XZ	SUP-KRN360	MYH3	1.85
BN5SN3	XZ	SUP-POE360	MYH3	3.39	BO5SN3	XZ	SUP-POE360	MYH3	2.88
BN5SN3	XZ	SUP-SUP045	MYH3	4.17	BO5SN3	XZ	SUP-SUP045	MYH3	3.35
BN5SN3	XZ	VIC-CPE045	MYH3	7.09	BO5SN3	XZ	VIC-CPE045	MYH3	8.22
BN5SN3	XZ	WHI-OR2010	MYH3	3.31	BO5SN3	XZ	WHI-OR2010	MYH3	4.54
BN5SN3	YZ	CAP-FOR000	MYH3	1.43	BO5SN3	YZ	CAP-FOR000	MYH3	1.26
BN5SN3	YZ	CHI-CHY29W	MYH3	3.47	BO5SN3	YZ	CHI-CHY29W	MYH3	4.24

Tablo C.1 (devam): Mevcut binalara ait yerdeğiştirme talepleri

Bina Adı	Analiz Yönü	İvme Kaydı	MYH Grup No	Δ_d (cm)	Bina Adı	Analiz Yönü	İvme Kaydı	MYH Grup No	Δ_d (cm)
BN5SN3	YZ	CHI-TCU046N	MYH3	1.34	BO5SN3	YZ	CHI-TCU046N	MYH3	1.16
BN5SN3	YZ	CHI-TCU112-N	MYH3	1.01	BO5SN3	YZ	CHI-TCU112-N	MYH3	0.96
BN5SN3	YZ	CHI-TCU118-N	MYH3	1.32	BO5SN3	YZ	CHI-TCU118-N	MYH3	1.22
BN5SN3	YZ	FRI-TMZ270	MYH3	4.09	BO5SN3	YZ	FRI-TMZ270	MYH3	4.57
BN5SN3	YZ	IMP-ELC2-140	MYH3	3.19	BO5SN3	YZ	IMP-ELC2-140	MYH3	3.29
BN5SN3	YZ	IMP-ELC11-140	MYH3	3.33	BO5SN3	YZ	IMP-ELC11-140	MYH3	2.95
BN5SN3	YZ	IMP-SAH270	MYH3	4.78	BO5SN3	YZ	IMP-SAH270	MYH3	4.85
BN5SN3	YZ	KOC-AMB090	MYH3	2.83	BO5SN3	YZ	KOC-AMB090	MYH3	2.73
BN5SN3	YZ	KOC-GBZ270	MYH3	2.03	BO5SN3	YZ	KOC-GBZ270	MYH3	1.98
BN5SN3	YZ	KOC-IZM090	MYH3	1.88	BO5SN3	YZ	KOC-IZM090	MYH3	1.40
BN5SN3	YZ	LAN-LUC000	MYH3	2.69	BO5SN3	YZ	LAN-LUC000	MYH3	2.77
BN5SN3	YZ	LAN-YER360	MYH3	2.36	BO5SN3	YZ	LAN-YER360	MYH3	2.29
BN5SN3	YZ	LOM-A02133	MYH3	2.09	BO5SN3	YZ	LOM-A02133	MYH3	2.30
BN5SN3	YZ	LOM-G01000	MYH3	3.95	BO5SN3	YZ	LOM-G01000	MYH3	2.95
BN5SN3	YZ	LOM-G01090	MYH3	5.06	BO5SN3	YZ	LOM-G01090	MYH3	3.96
BN5SN3	YZ	LOM-G02000	MYH3	4.38	BO5SN3	YZ	LOM-G02000	MYH3	4.78
BN5SN3	YZ	LOM-TRI090	MYH3	1.87	BO5SN3	YZ	LOM-TRI090	MYH3	1.83
BN5SN3	YZ	MAM-LUL090	MYH3	3.75	BO5SN3	YZ	MAM-LUL090	MYH3	3.72
BN5SN3	YZ	NOR-CNP106	MYH3	3.13	BO5SN3	YZ	NOR-CNP106	MYH3	4.89
BN5SN3	YZ	NOR-PAC265	MYH3	4.38	BO5SN3	YZ	NOR-PAC265	MYH3	3.58
BN5SN3	YZ	NOR-PKC090	MYH3	3.89	BO5SN3	YZ	NOR-PKC090	MYH3	4.85
BN5SN3	YZ	NOR-WIL180	MYH3	2.90	BO5SN3	YZ	NOR-WIL180	MYH3	2.62
BN5SN3	YZ	NPAL-MVH045	MYH3	2.26	BO5SN3	YZ	NPAL-MVH045	MYH3	1.72
BN5SN3	YZ	NPAL-NPS300	MYH3	4.98	BO5SN3	YZ	NPAL-NPS300	MYH3	4.92
BN5SN3	YZ	NPAL-WWT270	MYH3	5.52	BO5SN3	YZ	NPAL-WWT270	MYH3	7.38
BN5SN3	YZ	SUP-IVW090	MYH3	1.57	BO5SN3	YZ	SUP-IVW090	MYH3	1.68
BN5SN3	YZ	SUP-IVW360	MYH3	2.62	BO5SN3	YZ	SUP-IVW360	MYH3	2.11
BN5SN3	YZ	SUP-KRN360	MYH3	1.64	BO5SN3	YZ	SUP-KRN360	MYH3	1.58
BN5SN3	YZ	SUP-POE360	MYH3	3.19	BO5SN3	YZ	SUP-POE360	MYH3	2.74
BN5SN3	YZ	SUP-SUP045	MYH3	4.63	BO5SN3	YZ	SUP-SUP045	MYH3	4.18
BN5SN3	YZ	VIC-CPE045	MYH3	6.19	BO5SN3	YZ	VIC-CPE045	MYH3	7.88
BN5SN3	YZ	WHI-OR2010	MYH3	2.67	BO5SN3	YZ	WHI-OR2010	MYH3	3.51
BN5SN3	XZ	CHI-CHY29N	MYH4	4.31	BO5SN3	XZ	CHI-CHY29N	MYH4	5.06
BN5SN3	XZ	CHI-CHY036W	MYH4	5.01	BO5SN3	XZ	CHI-CHY036W	MYH4	5.32
BN5SN3	XZ	CHI-CHY41N	MYH4	8.03	BO5SN3	XZ	CHI-CHY41N	MYH4	6.80
BN5SN3	XZ	CHI-TCU45N	MYH4	6.90	BO5SN3	XZ	CHI-TCU45N	MYH4	6.91
BN5SN3	XZ	CHI-TCU45W	MYH4	6.40	BO5SN3	XZ	CHI-TCU45W	MYH4	4.14
BN5SN3	XZ	CHI-TCU51N	MYH4	2.17	BO5SN3	XZ	CHI-TCU51N	MYH4	2.06
BN5SN3	XZ	COA-PLE135	MYH4	5.64	BO5SN3	XZ	COA-PLE135	MYH4	6.24
BN5SN3	XZ	IMP-BRA225	MYH4	1.06	BO5SN3	XZ	IMP-BRA225	MYH4	0.86
BN5SN3	XZ	IMP-BRA315	MYH4	3.04	BO5SN3	XZ	IMP-BRA315	MYH4	3.04
BN5SN3	XZ	IMP-ECC002	MYH4	3.47	BO5SN3	XZ	IMP-ECC002	MYH4	2.76
BN5SN3	XZ	IMP-ELC4-140	MYH4	4.31	BO5SN3	XZ	IMP-ELC4-140	MYH4	5.98
BN5SN3	XZ	IRP-STU000	MYH4	3.09	BO5SN3	XZ	IRP-STU000	MYH4	2.38
BN5SN3	XZ	KOB-NIS000	MYH4	6.61	BO5SN3	XZ	KOB-NIS000	MYH4	6.27
BN5SN3	XZ	KOB-NIS090	MYH4	5.58	BO5SN3	XZ	KOB-NIS090	MYH4	5.50
BN5SN3	XZ	KOB-SHI000	MYH4	3.04	BO5SN3	XZ	KOB-SHI000	MYH4	4.43
BN5SN3	XZ	KOC-ARC090	MYH4	1.07	BO5SN3	XZ	KOC-ARC090	MYH4	1.13
BN5SN3	XZ	LOM-G02090	MYH4	4.31	BO5SN3	XZ	LOM-G02090	MYH4	3.60
BN5SN3	XZ	LOM-G03000	MYH4	5.52	BO5SN3	XZ	LOM-G03000	MYH4	3.76
BN5SN3	XZ	LOM-HDA255	MYH4	5.01	BO5SN3	XZ	LOM-HDA255	MYH4	4.64
BN5SN3	XZ	LOM-SVL360	MYH4	2.32	BO5SN3	XZ	LOM-SVL360	MYH4	2.04
BN5SN3	XZ	MOR-G06090	MYH4	3.08	BO5SN3	XZ	MOR-G06090	MYH4	4.70
BN5SN3	XZ	MOR-HAL240	MYH4	4.38	BO5SN3	XZ	MOR-HAL240	MYH4	5.34
BN5SN3	XZ	NOR-KAT090	MYH4	8.51	BO5SN3	XZ	NOR-KAT090	MYH4	8.50
BN5SN3	XZ	NOR-SCR090	MYH4	3.76	BO5SN3	XZ	NOR-SCR090	MYH4	2.77
BN5SN3	XZ	NOR-STN020	MYH4	6.01	BO5SN3	XZ	NOR-STN020	MYH4	4.65
BN5SN3	XZ	NPAL-WWT180	MYH4	5.31	BO5SN3	XZ	NPAL-WWT180	MYH4	5.38
BN5SN3	XZ	SUP-POE270	MYH4	5.09	BO5SN3	XZ	SUP-POE270	MYH4	5.05

Tablo C.1 (devam): Mevcut binalara ait yerdeğiştirme talepleri

Bina Adı	Analiz Yönü	İvme Kaydı	MYH Grup No	Δ_d (cm)	Bina Adı	Analiz Yönü	İvme Kaydı	MYH Grup No	Δ_d (cm)
BN5SN3	XZ	WES-PTS225	MYH4	3.64	BO5SN3	XZ	WES-PTS225	MYH4	3.44
BN5SN3	XZ	WHI-BIR180	MYH4	5.47	BO5SN3	XZ	WHI-BIR180	MYH4	5.68
BN5SN3	XZ	WHI-EJS048	MYH4	5.71	BO5SN3	XZ	WHI-EJS048	MYH4	4.94
BN5SN3	YZ	CHI-CHY29N	MYH4	3.04	BO5SN3	YZ	CHI-CHY29N	MYH4	4.31
BN5SN3	YZ	CHI-CHY036W	MYH4	3.10	BO5SN3	YZ	CHI-CHY036W	MYH4	4.61
BN5SN3	YZ	CHI-CHY41N	MYH4	7.39	BO5SN3	YZ	CHI-CHY41N	MYH4	8.38
BN5SN3	YZ	CHI-TCU45N	MYH4	6.57	BO5SN3	YZ	CHI-TCU45N	MYH4	7.62
BN5SN3	YZ	CHI-TCU45W	MYH4	5.46	BO5SN3	YZ	CHI-TCU45W	MYH4	4.41
BN5SN3	YZ	CHI-TCU51N	MYH4	1.82	BO5SN3	YZ	CHI-TCU51N	MYH4	1.92
BN5SN3	YZ	COA-PLE135	MYH4	4.53	BO5SN3	YZ	COA-PLE135	MYH4	7.26
BN5SN3	YZ	IMP-BRA225	MYH4	0.99	BO5SN3	YZ	IMP-BRA225	MYH4	0.89
BN5SN3	YZ	IMP-BRA315	MYH4	2.71	BO5SN3	YZ	IMP-BRA315	MYH4	2.80
BN5SN3	YZ	IMP-ECC002	MYH4	2.39	BO5SN3	YZ	IMP-ECC002	MYH4	2.56
BN5SN3	YZ	IMP-ELC4-140	MYH4	3.49	BO5SN3	YZ	IMP-ELC4-140	MYH4	4.72
BN5SN3	YZ	IRP-STU000	MYH4	3.28	BO5SN3	YZ	IRP-STU000	MYH4	2.88
BN5SN3	YZ	KOB-NIS000	MYH4	6.08	BO5SN3	YZ	KOB-NIS000	MYH4	7.32
BN5SN3	YZ	KOB-NIS090	MYH4	4.54	BO5SN3	YZ	KOB-NIS090	MYH4	5.33
BN5SN3	YZ	KOB-SHI000	MYH4	2.97	BO5SN3	YZ	KOB-SHI000	MYH4	3.61
BN5SN3	YZ	KOC-ARC090	MYH4	1.22	BO5SN3	YZ	KOC-ARC090	MYH4	1.20
BN5SN3	YZ	LOM-G02090	MYH4	3.33	BO5SN3	YZ	LOM-G02090	MYH4	3.33
BN5SN3	YZ	LOM-G03000	MYH4	5.16	BO5SN3	YZ	LOM-G03000	MYH4	4.57
BN5SN3	YZ	LOM-HDA255	MYH4	3.07	BO5SN3	YZ	LOM-HDA255	MYH4	4.32
BN5SN3	YZ	LOM-SVL360	MYH4	2.14	BO5SN3	YZ	LOM-SVL360	MYH4	1.90
BN5SN3	YZ	MOR-G06090	MYH4	2.93	BO5SN3	YZ	MOR-G06090	MYH4	3.97
BN5SN3	YZ	MOR-HAL240	MYH4	3.15	BO5SN3	YZ	MOR-HAL240	MYH4	3.71
BN5SN3	YZ	NOR-KAT090	MYH4	6.87	BO5SN3	YZ	NOR-KAT090	MYH4	7.55
BN5SN3	YZ	NOR-SCR090	MYH4	3.86	BO5SN3	YZ	NOR-SCR090	MYH4	2.87
BN5SN3	YZ	NOR-STN020	MYH4	5.26	BO5SN3	YZ	NOR-STN020	MYH4	5.11
BN5SN3	YZ	NPAL-WWT180	MYH4	3.80	BO5SN3	YZ	NPAL-WWT180	MYH4	4.66
BN5SN3	YZ	SUP-POE270	MYH4	4.12	BO5SN3	YZ	SUP-POE270	MYH4	5.44
BN5SN3	YZ	WES-PTS225	MYH4	2.48	BO5SN3	YZ	WES-PTS225	MYH4	2.78
BN5SN3	YZ	WHI-BIR180	MYH4	4.55	BO5SN3	YZ	WHI-BIR180	MYH4	3.59
BN5SN3	YZ	WHI-EJS048	MYH4	4.61	BO5SN3	YZ	WHI-EJS048	MYH4	5.06
BN5SN3	XZ	CAP-RIO270	MYH5	4.17	BO5SN3	XZ	CAP-RIO270	MYH5	4.81
BN5SN3	XZ	CAP-RIO360	MYH5	8.52	BO5SN3	XZ	CAP-RIO360	MYH5	7.42
BN5SN3	XZ	CHI-TCU046W	MYH5	1.18	BO5SN3	XZ	CHI-TCU046W	MYH5	1.19
BN5SN3	XZ	CHI-TCU061N	MYH5	2.35	BO5SN3	XZ	CHI-TCU061N	MYH5	2.03
BN5SN3	XZ	CHI-TCU74N	MYH5	6.36	BO5SN3	XZ	CHI-TCU74N	MYH5	6.15
BN5SN3	XZ	CHI-TCU112-W	MYH5	1.17	BO5SN3	XZ	CHI-TCU112-W	MYH5	1.11
BN5SN3	XZ	CHI-TCU123-W	MYH5	2.17	BO5SN3	XZ	CHI-TCU123-W	MYH5	1.80
BN5SN3	XZ	CHI-TCU141-E	MYH5	1.12	BO5SN3	XZ	CHI-TCU141-E	MYH5	0.85
BN5SN3	XZ	CHI-WNTN	MYH5	2.93	BO5SN3	XZ	CHI-WNTN	MYH5	3.54
BN5SN3	XZ	COA-Z14000	MYH5	4.17	BO5SN3	XZ	COA-Z14000	MYH5	5.87
BN5SN3	XZ	IMP-AER045	MYH5	3.25	BO5SN3	XZ	IMP-AER045	MYH5	2.86
BN5SN3	XZ	IMP-ELC3-230	MYH5	1.82	BO5SN3	XZ	IMP-ELC3-230	MYH5	1.52
BN5SN3	XZ	IMP-ELC11-230	MYH5	4.18	BO5SN3	XZ	IMP-ELC11-230	MYH5	3.42
BN5SN3	XZ	IMP-ELCD-360	MYH5	5.32	BO5SN3	XZ	IMP-ELCD-360	MYH5	7.06
BN5SN3	XZ	KOC-AMB000	MYH5	3.48	BO5SN3	XZ	KOC-AMB000	MYH5	3.52
BN5SN3	XZ	LAN-CLVTR	MYH5	8.73	BO5SN3	XZ	LAN-CLVTR	MYH5	9.03
BN5SN3	XZ	LAN-JOS090	MYH5	2.96	BO5SN3	XZ	LAN-JOS090	MYH5	5.29
BN5SN3	XZ	LOM-CYC285	MYH5	5.27	BO5SN3	XZ	LOM-CYC285	MYH5	4.88
BN5SN3	XZ	LOM-GOF090	MYH5	4.58	BO5SN3	XZ	LOM-GOF090	MYH5	3.67
BN5SN3	XZ	LOM-HDA165	MYH5	3.77	BO5SN3	XZ	LOM-HDA165	MYH5	4.92
BN5SN3	XZ	LOM-SAR000	MYH5	3.32	BO5SN3	XZ	LOM-SAR000	MYH5	5.75
BN5SN3	XZ	LOM-SAR090	MYH5	3.12	BO5SN3	XZ	LOM-SAR090	MYH5	3.05
BN5SN3	XZ	NOR-KAT000	MYH5	11.76	BO5SN3	XZ	NOR-KAT000	MYH5	12.28
BN5SN3	XZ	NOR-LOS000	MYH5	6.19	BO5SN3	XZ	NOR-LOS000	MYH5	6.75
BN5SN3	XZ	NOR-MU2035	MYH5	5.41	BO5SN3	XZ	NOR-MU2035	MYH5	5.55
BN5SN3	XZ	NOR-STM090	MYH5	4.46	BO5SN3	XZ	NOR-STM090	MYH5	4.41

Tablo C.1 (devam): Mevcut binalara ait yerdeğiştirme talepleri

Bina Adı	Analiz Yönü	İvme Kaydı	MYH Grup No	Δ_d (cm)	Bina Adı	Analiz Yönü	İvme Kaydı	MYH Grup No	Δ_d (cm)
BN5SN3	XZ	NPAL-MVH135	MYH5	2.39	BO5SN3	XZ	NPAL-MVH135	MYH5	2.04
BN5SN3	XZ	SUP-ELC090	MYH5	3.65	BO5SN3	XZ	SUP-ELC090	MYH5	3.89
BN5SN3	XZ	SUP-PTS315	MYH5	3.52	BO5SN3	XZ	SUP-PTS315	MYH5	2.80
BN5SN3	XZ	SUP-SUP135	MYH5	6.15	BO5SN3	XZ	SUP-SUP135	MYH5	4.37
BN5SN3	YZ	CAP-RIO270	MYH5	3.37	BO5SN3	YZ	CAP-RIO270	MYH5	3.90
BN5SN3	YZ	CAP-RIO360	MYH5	7.25	BO5SN3	YZ	CAP-RIO360	MYH5	8.26
BN5SN3	YZ	CHI-TCU046W	MYH5	1.38	BO5SN3	YZ	CHI-TCU046W	MYH5	1.22
BN5SN3	YZ	CHI-TCU061N	MYH5	2.32	BO5SN3	YZ	CHI-TCU061N	MYH5	1.86
BN5SN3	YZ	CHI-TCU74N	MYH5	4.30	BO5SN3	YZ	CHI-TCU74N	MYH5	4.42
BN5SN3	YZ	CHI-TCU112-W	MYH5	1.41	BO5SN3	YZ	CHI-TCU112-W	MYH5	1.21
BN5SN3	YZ	CHI-TCU123-W	MYH5	1.70	BO5SN3	YZ	CHI-TCU123-W	MYH5	1.63
BN5SN3	YZ	CHI-TCU141-E	MYH5	0.84	BO5SN3	YZ	CHI-TCU141-E	MYH5	0.82
BN5SN3	YZ	CHI-WNTN	MYH5	2.74	BO5SN3	YZ	CHI-WNTN	MYH5	2.82
BN5SN3	YZ	COA-Z14000	MYH5	3.70	BO5SN3	YZ	COA-Z14000	MYH5	5.06
BN5SN3	YZ	IMP-AER045	MYH5	2.75	BO5SN3	YZ	IMP-AER045	MYH5	2.52
BN5SN3	YZ	IMP-ELC3-230	MYH5	1.67	BO5SN3	YZ	IMP-ELC3-230	MYH5	1.46
BN5SN3	YZ	IMP-ELC11-230	MYH5	3.39	BO5SN3	YZ	IMP-ELC11-230	MYH5	3.28
BN5SN3	YZ	IMP-ELCD-360	MYH5	4.20	BO5SN3	YZ	IMP-ELCD-360	MYH5	5.73
BN5SN3	YZ	KOC-AMB000	MYH5	3.13	BO5SN3	YZ	KOC-AMB000	MYH5	3.07
BN5SN3	YZ	LAN-CLVTR	MYH5	6.90	BO5SN3	YZ	LAN-CLVTR	MYH5	8.95
BN5SN3	YZ	LAN-JOS090	MYH5	2.66	BO5SN3	YZ	LAN-JOS090	MYH5	3.73
BN5SN3	YZ	LOM-CYC285	MYH5	4.44	BO5SN3	YZ	LOM-CYC285	MYH5	4.28
BN5SN3	YZ	LOM-GOF090	MYH5	4.49	BO5SN3	YZ	LOM-GOF090	MYH5	4.13
BN5SN3	YZ	LOM-HDA165	MYH5	3.51	BO5SN3	YZ	LOM-HDA165	MYH5	4.28
BN5SN3	YZ	LOM-SAR000	MYH5	2.47	BO5SN3	YZ	LOM-SAR000	MYH5	3.72
BN5SN3	YZ	LOM-SAR090	MYH5	3.18	BO5SN3	YZ	LOM-SAR090	MYH5	3.17
BN5SN3	YZ	NOR-KAT000	MYH5	10.43	BO5SN3	YZ	NOR-KAT000	MYH5	14.22
BN5SN3	YZ	NOR-LOS000	MYH5	5.99	BO5SN3	YZ	NOR-LOS000	MYH5	6.61
BN5SN3	YZ	NOR-MU2035	MYH5	4.19	BO5SN3	YZ	NOR-MU2035	MYH5	5.55
BN5SN3	YZ	NOR-STM090	MYH5	4.15	BO5SN3	YZ	NOR-STM090	MYH5	4.35
BN5SN3	YZ	NPAL-MVH135	MYH5	1.98	BO5SN3	YZ	NPAL-MVH135	MYH5	1.87
BN5SN3	YZ	SUP-ELC090	MYH5	2.78	BO5SN3	YZ	SUP-ELC090	MYH5	3.24
BN5SN3	YZ	SUP-PTS315	MYH5	3.94	BO5SN3	YZ	SUP-PTS315	MYH5	3.14
BN5SN3	YZ	SUP-SUP135	MYH5	6.05	BO5SN3	YZ	SUP-SUP135	MYH5	5.49
BN5SN3	XZ	CAP-PET000	MYH6	7.03	BO5SN3	XZ	CAP-PET000	MYH6	10.13
BN5SN3	XZ	CHI-CHY025W	MYH6	2.36	BO5SN3	XZ	CHI-CHY025W	MYH6	1.95
BN5SN3	XZ	CHI-CHY034-N	MYH6	3.96	BO5SN3	XZ	CHI-CHY034-N	MYH6	5.27
BN5SN3	XZ	CHI-TCU038N	MYH6	2.13	BO5SN3	XZ	CHI-TCU038N	MYH6	1.96
BN5SN3	XZ	CHI-TCU038W	MYH6	2.42	BO5SN3	XZ	CHI-TCU038W	MYH6	1.86
BN5SN3	XZ	CHI-TCU048N	MYH6	1.63	BO5SN3	XZ	CHI-TCU048N	MYH6	1.25
BN5SN3	XZ	CHI-TCU49W	MYH6	2.41	BO5SN3	XZ	CHI-TCU49W	MYH6	2.41
BN5SN3	XZ	CHI-TCU51W	MYH6	2.54	BO5SN3	XZ	CHI-TCU51W	MYH6	2.76
BN5SN3	XZ	CHI-TCU95N	MYH6	5.56	BO5SN3	XZ	CHI-TCU95N	MYH6	3.25
BN5SN3	XZ	CHI-TCU104-N	MYH6	1.13	BO5SN3	XZ	CHI-TCU104-N	MYH6	1.00
BN5SN3	XZ	CHI-TCU106-W	MYH6	3.01	BO5SN3	XZ	CHI-TCU106-W	MYH6	2.95
BN5SN3	XZ	CHI-TCU107-N	MYH6	2.81	BO5SN3	XZ	CHI-TCU107-N	MYH6	1.95
BN5SN3	XZ	COY-G06230	MYH6	6.11	BO5SN3	XZ	COY-G06230	MYH6	6.26
BN5SN3	XZ	IMP-E10050	MYH6	3.19	BO5SN3	XZ	IMP-E10050	MYH6	2.82
BN5SN3	XZ	IMP-ELC3-140	MYH6	2.81	BO5SN3	XZ	IMP-ELC3-140	MYH6	3.18
BN5SN3	XZ	IMP-ELC5-140	MYH6	4.70	BO5SN3	XZ	IMP-ELC5-140	MYH6	5.85
BN5SN3	XZ	IMP-ELC7-140	MYH6	3.24	BO5SN3	XZ	IMP-ELC7-140	MYH6	3.85
BN5SN3	XZ	IMP-ELC8-230	MYH6	3.47	BO5SN3	XZ	IMP-ELC8-230	MYH6	2.51
BN5SN3	XZ	IMP-HVP225	MYH6	3.74	BO5SN3	XZ	IMP-HVP225	MYH6	4.29
BN5SN3	XZ	KOC-DZC270	MYH6	4.70	BO5SN3	XZ	KOC-DZC270	MYH6	5.10
BN5SN3	XZ	LOM-BRN090	MYH6	8.34	BO5SN3	XZ	LOM-BRN090	MYH6	10.84
BN5SN3	XZ	LOM-COR090	MYH6	6.64	BO5SN3	XZ	LOM-COR090	MYH6	7.62
BN5SN3	XZ	LOM-G03090	MYH6	3.09	BO5SN3	XZ	LOM-G03090	MYH6	3.25
BN5SN3	XZ	LOM-HCH180	MYH6	3.00	BO5SN3	XZ	LOM-HCH180	MYH6	3.28
BN5SN3	XZ	NAH-S1010	MYH6	5.14	BO5SN3	XZ	NAH-S1010	MYH6	4.18

Tablo C.1 (devam): Mevcut binalara ait yerdeğiştirme talepleri

Bina Adı	Analiz Yönü	İvme Kaydı	MYH Grup No	Δ_d (cm)	Bina Adı	Analiz Yönü	İvme Kaydı	MYH Grup No	Δ_d (cm)
BN5SN3	XZ	NAH-S1280	MYH6	4.07	BO5SN3	XZ	NAH-S1280	MYH6	5.22
BN5SN3	XZ	NOR-LOS270	MYH6	5.05	BO5SN3	XZ	NOR-LOS270	MYH6	6.91
BN5SN3	XZ	NOR-PAC175	MYH6	6.30	BO5SN3	XZ	NOR-PAC175	MYH6	4.85
BN5SN3	XZ	SUP-ELC000	MYH6	3.42	BO5SN3	XZ	SUP-ELC000	MYH6	4.67
BN5SN3	XZ	WES-WSM090	MYH6	4.48	BO5SN3	XZ	WES-WSM090	MYH6	5.84
BN5SN3	YZ	CAP-PET000	MYH6	5.98	BO5SN3	YZ	CAP-PET000	MYH6	9.44
BN5SN3	YZ	CHI-CHY025W	MYH6	1.73	BO5SN3	YZ	CHI-CHY025W	MYH6	1.65
BN5SN3	YZ	CHI-CHY034-N	MYH6	3.22	BO5SN3	YZ	CHI-CHY034-N	MYH6	4.43
BN5SN3	YZ	CHI-TCU038N	MYH6	2.63	BO5SN3	YZ	CHI-TCU038N	MYH6	1.97
BN5SN3	YZ	CHI-TCU038W	MYH6	1.90	BO5SN3	YZ	CHI-TCU038W	MYH6	1.61
BN5SN3	YZ	CHI-TCU048N	MYH6	1.36	BO5SN3	YZ	CHI-TCU048N	MYH6	1.20
BN5SN3	YZ	CHI-TCU49W	MYH6	2.28	BO5SN3	YZ	CHI-TCU49W	MYH6	2.05
BN5SN3	YZ	CHI-TCU51W	MYH6	2.30	BO5SN3	YZ	CHI-TCU51W	MYH6	2.34
BN5SN3	YZ	CHI-TCU95N	MYH6	5.07	BO5SN3	YZ	CHI-TCU95N	MYH6	3.45
BN5SN3	YZ	CHI-TCU104-N	MYH6	0.95	BO5SN3	YZ	CHI-TCU104-N	MYH6	1.00
BN5SN3	YZ	CHI-TCU106-W	MYH6	1.95	BO5SN3	YZ	CHI-TCU106-W	MYH6	1.92
BN5SN3	YZ	CHI-TCU107-N	MYH6	2.16	BO5SN3	YZ	CHI-TCU107-N	MYH6	1.73
BN5SN3	YZ	COY-G06230	MYH6	4.75	BO5SN3	YZ	COY-G06230	MYH6	6.26
BN5SN3	YZ	IMP-E10050	MYH6	2.03	BO5SN3	YZ	IMP-E10050	MYH6	2.52
BN5SN3	YZ	IMP-ELC3-140	MYH6	2.66	BO5SN3	YZ	IMP-ELC3-140	MYH6	2.76
BN5SN3	YZ	IMP-ELC5-140	MYH6	3.51	BO5SN3	YZ	IMP-ELC5-140	MYH6	4.14
BN5SN3	YZ	IMP-ELC7-140	MYH6	2.15	BO5SN3	YZ	IMP-ELC7-140	MYH6	2.56
BN5SN3	YZ	IMP-ELC8-230	MYH6	2.59	BO5SN3	YZ	IMP-ELC8-230	MYH6	2.32
BN5SN3	YZ	IMP-HVP225	MYH6	2.41	BO5SN3	YZ	IMP-HVP225	MYH6	3.54
BN5SN3	YZ	KOC-DZC270	MYH6	5.12	BO5SN3	YZ	KOC-DZC270	MYH6	4.86
BN5SN3	YZ	LOM-BRN090	MYH6	7.38	BO5SN3	YZ	LOM-BRN090	MYH6	8.58
BN5SN3	YZ	LOM-COR090	MYH6	5.32	BO5SN3	YZ	LOM-COR090	MYH6	7.06
BN5SN3	YZ	LOM-G03090	MYH6	2.14	BO5SN3	YZ	LOM-G03090	MYH6	2.75
BN5SN3	YZ	LOM-HCH180	MYH6	2.38	BO5SN3	YZ	LOM-HCH180	MYH6	2.61
BN5SN3	YZ	NAH-S1010	MYH6	4.60	BO5SN3	YZ	NAH-S1010	MYH6	5.54
BN5SN3	YZ	NAH-S1280	MYH6	3.71	BO5SN3	YZ	NAH-S1280	MYH6	4.57
BN5SN3	YZ	NOR-LOS270	MYH6	5.02	BO5SN3	YZ	NOR-LOS270	MYH6	5.60
BN5SN3	YZ	NOR-PAC175	MYH6	5.50	BO5SN3	YZ	NOR-PAC175	MYH6	4.50
BN5SN3	YZ	SUP-ELC000	MYH6	2.55	BO5SN3	YZ	SUP-ELC000	MYH6	2.97
BN5SN3	YZ	WES-WSM090	MYH6	4.35	BO5SN3	YZ	WES-WSM090	MYH6	5.17
BN5SN3	XZ	CHI-CHY002-N	MYH7	1.42	BO5SN3	XZ	CHI-CHY002-N	MYH7	1.26
BN5SN3	XZ	CHI-CHY024W	MYH7	3.48	BO5SN3	XZ	CHI-CHY024W	MYH7	4.33
BN5SN3	XZ	CHI-CHY104-E	MYH7	3.09	BO5SN3	XZ	CHI-CHY104-E	MYH7	2.81
BN5SN3	XZ	CHI-TCU029N	MYH7	1.88	BO5SN3	XZ	CHI-TCU029N	MYH7	1.48
BN5SN3	XZ	CHI-TCU036N	MYH7	2.39	BO5SN3	XZ	CHI-TCU036N	MYH7	2.04
BN5SN3	XZ	CHI-TCU039N	MYH7	1.57	BO5SN3	XZ	CHI-TCU039N	MYH7	1.46
BN5SN3	XZ	CHI-TCU039W	MYH7	2.06	BO5SN3	XZ	CHI-TCU039W	MYH7	1.46
BN5SN3	XZ	CHI-TCU040N	MYH7	1.65	BO5SN3	XZ	CHI-TCU040N	MYH7	1.71
BN5SN3	XZ	CHI-TCU040W	MYH7	2.15	BO5SN3	XZ	CHI-TCU040W	MYH7	2.05
BN5SN3	XZ	CHI-TCU055N	MYH7	2.74	BO5SN3	XZ	CHI-TCU055N	MYH7	2.24
BN5SN3	XZ	CHI-TCU064N	MYH7	1.34	BO5SN3	XZ	CHI-TCU064N	MYH7	1.17
BN5SN3	XZ	CHI-TCU70W	MYH7	4.80	BO5SN3	XZ	CHI-TCU70W	MYH7	3.94
BN5SN3	XZ	CHI-TCU109-N	MYH7	2.68	BO5SN3	XZ	CHI-TCU109-N	MYH7	2.51
BN5SN3	XZ	CHI-TCU109-W	MYH7	2.81	BO5SN3	XZ	CHI-TCU109-W	MYH7	2.46
BN5SN3	XZ	CHI-TCU115-W	MYH7	1.73	BO5SN3	XZ	CHI-TCU115-W	MYH7	1.24
BN5SN3	XZ	CHI-TCU117-N	MYH7	1.38	BO5SN3	XZ	CHI-TCU117-N	MYH7	1.06
BN5SN3	XZ	IMP-ELC8-140	MYH7	5.62	BO5SN3	XZ	IMP-ELC8-140	MYH7	6.40
BN5SN3	XZ	IMP-HVP315	MYH7	2.06	BO5SN3	XZ	IMP-HVP315	MYH7	2.19
BN5SN3	XZ	IRP-STU270	MYH7	2.69	BO5SN3	XZ	IRP-STU270	MYH7	2.25
BN5SN3	XZ	KOC-GBZ000	MYH7	2.90	BO5SN3	XZ	KOC-GBZ000	MYH7	3.04
BN5SN3	XZ	LAN-YER270	MYH7	3.08	BO5SN3	XZ	LAN-YER270	MYH7	4.15
BN5SN3	XZ	LOM-A02043	MYH7	2.98	BO5SN3	XZ	LOM-A02043	MYH7	7.15
BN5SN3	XZ	LOM-BRN000	MYH7	7.13	BO5SN3	XZ	LOM-BRN000	MYH7	5.41
BN5SN3	XZ	LOM-LGP090	MYH7	6.79	BO5SN3	XZ	LOM-LGP090	MYH7	9.09

Tablo C.1 (devam): Mevcut binalara ait yerdeğiştirme talepleri

Bina Adı	Analiz Yönü	İvme Kaydı	MYH Grup No	Δ_d (cm)	Bina Adı	Analiz Yönü	İvme Kaydı	MYH Grup No	Δ_d (cm)
BN5SN3	XZ	MOR-CYC195	MYH7	6.46	BO5SN3	XZ	MOR-CYC195	MYH7	11.16
BN5SN3	XZ	NOR-LDM334	MYH7	5.14	BO5SN3	XZ	NOR-LDM334	MYH7	6.32
BN5SN3	XZ	NOR-ORR090	MYH7	7.40	BO5SN3	XZ	NOR-ORR090	MYH7	5.92
BN5SN3	XZ	NOR-ORR360	MYH7	9.07	BO5SN3	XZ	NOR-ORR360	MYH7	11.67
BN5SN3	XZ	NOR-PKC360	MYH7	8.70	BO5SN3	XZ	NOR-PKC360	MYH7	7.66
BN5SN3	XZ	SFD-PCD254	MYH7	14.21	BO5SN3	XZ	SFD-PCD254	MYH7	13.70
BN5SN3	YZ	CHI-CHY002-N	MYH7	1.38	BO5SN3	YZ	CHI-CHY002-N	MYH7	1.45
BN5SN3	YZ	CHI-CHY024W	MYH7	2.86	BO5SN3	YZ	CHI-CHY024W	MYH7	3.10
BN5SN3	YZ	CHI-CHY104-E	MYH7	2.90	BO5SN3	YZ	CHI-CHY104-E	MYH7	2.60
BN5SN3	YZ	CHI-TCU029N	MYH7	1.56	BO5SN3	YZ	CHI-TCU029N	MYH7	1.31
BN5SN3	YZ	CHI-TCU036N	MYH7	1.87	BO5SN3	YZ	CHI-TCU036N	MYH7	1.78
BN5SN3	YZ	CHI-TCU039N	MYH7	1.47	BO5SN3	YZ	CHI-TCU039N	MYH7	1.31
BN5SN3	YZ	CHI-TCU039W	MYH7	1.50	BO5SN3	YZ	CHI-TCU039W	MYH7	1.34
BN5SN3	YZ	CHI-TCU040N	MYH7	1.70	BO5SN3	YZ	CHI-TCU040N	MYH7	1.51
BN5SN3	YZ	CHI-TCU040W	MYH7	2.19	BO5SN3	YZ	CHI-TCU040W	MYH7	1.94
BN5SN3	YZ	CHI-TCU055N	MYH7	1.98	BO5SN3	YZ	CHI-TCU055N	MYH7	2.11
BN5SN3	YZ	CHI-TCU064N	MYH7	1.20	BO5SN3	YZ	CHI-TCU064N	MYH7	1.06
BN5SN3	YZ	CHI-TCU70W	MYH7	3.39	BO5SN3	YZ	CHI-TCU70W	MYH7	3.83
BN5SN3	YZ	CHI-TCU109-N	MYH7	2.23	BO5SN3	YZ	CHI-TCU109-N	MYH7	2.17
BN5SN3	YZ	CHI-TCU109-W	MYH7	2.59	BO5SN3	YZ	CHI-TCU109-W	MYH7	2.19
BN5SN3	YZ	CHI-TCU115-W	MYH7	1.23	BO5SN3	YZ	CHI-TCU115-W	MYH7	1.09
BN5SN3	YZ	CHI-TCU117-N	MYH7	1.05	BO5SN3	YZ	CHI-TCU117-N	MYH7	1.04
BN5SN3	YZ	IMP-ELC8-140	MYH7	4.90	BO5SN3	YZ	IMP-ELC8-140	MYH7	7.07
BN5SN3	YZ	IMP-HVP315	MYH7	2.41	BO5SN3	YZ	IMP-HVP315	MYH7	2.10
BN5SN3	YZ	IRP-STU270	MYH7	3.01	BO5SN3	YZ	IRP-STU270	MYH7	2.15
BN5SN3	YZ	KOC-GBZ000	MYH7	2.39	BO5SN3	YZ	KOC-GBZ000	MYH7	2.46
BN5SN3	YZ	LAN-YER270	MYH7	2.34	BO5SN3	YZ	LAN-YER270	MYH7	2.56
BN5SN3	YZ	LOM-A02043	MYH7	2.25	BO5SN3	YZ	LOM-A02043	MYH7	3.66
BN5SN3	YZ	LOM-BRN000	MYH7	6.34	BO5SN3	YZ	LOM-BRN000	MYH7	5.28
BN5SN3	YZ	LOM-LGP090	MYH7	5.45	BO5SN3	YZ	LOM-LGP090	MYH7	7.83
BN5SN3	YZ	MOR-CYC195	MYH7	6.79	BO5SN3	YZ	MOR-CYC195	MYH7	9.66
BN5SN3	YZ	NOR-LDM334	MYH7	4.19	BO5SN3	YZ	NOR-LDM334	MYH7	5.66
BN5SN3	YZ	NOR-ORR090	MYH7	5.27	BO5SN3	YZ	NOR-ORR090	MYH7	7.64
BN5SN3	YZ	NOR-ORR360	MYH7	6.75	BO5SN3	YZ	NOR-ORR360	MYH7	10.45
BN5SN3	YZ	NOR-PKC360	MYH7	6.87	BO5SN3	YZ	NOR-PKC360	MYH7	9.05
BN5SN3	YZ	SFD-PCD254	MYH7	9.79	BO5SN3	YZ	SFD-PCD254	MYH7	14.03
BN5SN3	XZ	CAP-RIO270	MYH8	5.60	BO5SN3	XZ	CAP-RIO270	MYH8	8.98
BN5SN3	XZ	CAP-RIO360	MYH8	11.50	BO5SN3	XZ	CAP-RIO360	MYH8	9.82
BN5SN3	XZ	CHI-CHY006-E	MYH8	7.71	BO5SN3	XZ	CHI-CHY006-E	MYH8	12.31
BN5SN3	XZ	CHI-CHY092-E	MYH8	1.07	BO5SN3	XZ	CHI-CHY092-E	MYH8	1.05
BN5SN3	XZ	CHI-CHY104-N	MYH8	1.76	BO5SN3	XZ	CHI-CHY104-N	MYH8	1.79
BN5SN3	XZ	CHI-TCU054W	MYH8	2.22	BO5SN3	XZ	CHI-TCU054W	MYH8	1.73
BN5SN3	XZ	CHI-TCU059N	MYH8	2.61	BO5SN3	XZ	CHI-TCU059N	MYH8	2.46
BN5SN3	XZ	CHI-TCU059W	MYH8	2.27	BO5SN3	XZ	CHI-TCU059W	MYH8	2.03
BN5SN3	XZ	CHI-TCU063W	MYH8	2.58	BO5SN3	XZ	CHI-TCU063W	MYH8	2.29
BN5SN3	XZ	CHI-TCU072N	MYH8	5.95	BO5SN3	XZ	CHI-TCU072N	MYH8	7.10
BN5SN3	XZ	CHI-TCU82W	MYH8	3.64	BO5SN3	XZ	CHI-TCU82W	MYH8	3.40
BN5SN3	XZ	CHI-TCU110-N	MYH8	2.21	BO5SN3	XZ	CHI-TCU110-N	MYH8	2.13
BN5SN3	XZ	CHI-TCU111-W	MYH8	1.76	BO5SN3	XZ	CHI-TCU111-W	MYH8	1.46
BN5SN3	XZ	CHI-TCU117-W	MYH8	1.56	BO5SN3	XZ	CHI-TCU117-W	MYH8	1.60
BN5SN3	XZ	CHI-TCU136-E	MYH8	1.90	BO5SN3	XZ	CHI-TCU136-E	MYH8	2.04
BN5SN3	XZ	DZC-BOL000	MYH8	7.21	BO5SN3	XZ	DZC-BOL000	MYH8	8.36
BN5SN3	XZ	IMP-ELC3-140	MYH8	3.44	BO5SN3	XZ	IMP-ELC3-140	MYH8	4.14
BN5SN3	XZ	IMP-ELC3-230	MYH8	2.82	BO5SN3	XZ	IMP-ELC3-230	MYH8	2.65
BN5SN3	XZ	IRP-STU270	MYH8	2.94	BO5SN3	XZ	IRP-STU270	MYH8	2.62
BN5SN3	XZ	KOC-DZC180	MYH8	4.10	BO5SN3	XZ	KOC-DZC180	MYH8	3.02
BN5SN3	XZ	KOC-DZC270	MYH8	5.83	BO5SN3	XZ	KOC-DZC270	MYH8	6.05
BN5SN3	XZ	KOC-GBZ000	MYH8	3.44	BO5SN3	XZ	KOC-GBZ000	MYH8	3.87
BN5SN3	XZ	LAN-CLVTR	MYH8	13.42	BO5SN3	XZ	LAN-CLVTR	MYH8	12.58

Tablo C.1 (devam): Mevcut binalara ait yerdeğiştirme talepleri

Bina Adı	Analiz Yönü	İvme Kaydı	MYH Grup No	Δ_d (cm)	Bina Adı	Analiz Yönü	İvme Kaydı	MYH Grup No	Δ_d (cm)
BN5SN3	XZ	LAN-YER270	MYH8	3.65	BO5SN3	XZ	LAN-YER270	MYH8	5.48
BN5SN3	XZ	LOM-COR000	MYH8	9.10	BO5SN3	XZ	LOM-COR000	MYH8	11.30
BN5SN3	XZ	NOR-MUL009	MYH8	7.04	BO5SN3	XZ	NOR-MUL009	MYH8	7.23
BN5SN3	XZ	NOR-PUL104	MYH8	8.54	BO5SN3	XZ	NOR-PUL104	MYH8	10.37
BN5SN3	XZ	NPAL-MVH135	MYH8	3.41	BO5SN3	XZ	NPAL-MVH135	MYH8	3.95
BN5SN3	XZ	SUP-ELC000	MYH8	4.66	BO5SN3	XZ	SUP-ELC000	MYH8	7.28
BN5SN3	XZ	SUP-ELC090	MYH8	5.62	BO5SN3	XZ	SUP-ELC090	MYH8	6.25
BN5SN3	YZ	CAP-RIO270	MYH8	4.95	BO5SN3	YZ	CAP-RIO270	MYH8	6.76
BN5SN3	YZ	CAP-RIO360	MYH8	10.14	BO5SN3	YZ	CAP-RIO360	MYH8	10.80
BN5SN3	YZ	CHI-CHY006-E	MYH8	5.06	BO5SN3	YZ	CHI-CHY006-E	MYH8	10.21
BN5SN3	YZ	CHI-CHY092-E	MYH8	1.07	BO5SN3	YZ	CHI-CHY092-E	MYH8	0.97
BN5SN3	YZ	CHI-CHY104-N	MYH8	1.73	BO5SN3	YZ	CHI-CHY104-N	MYH8	1.46
BN5SN3	YZ	CHI-TCU054W	MYH8	2.08	BO5SN3	YZ	CHI-TCU054W	MYH8	1.80
BN5SN3	YZ	CHI-TCU059N	MYH8	2.25	BO5SN3	YZ	CHI-TCU059N	MYH8	1.84
BN5SN3	YZ	CHI-TCU059W	MYH8	2.25	BO5SN3	YZ	CHI-TCU059W	MYH8	1.99
BN5SN3	YZ	CHI-TCU063W	MYH8	2.51	BO5SN3	YZ	CHI-TCU063W	MYH8	2.22
BN5SN3	YZ	CHI-TCU072N	MYH8	3.96	BO5SN3	YZ	CHI-TCU072N	MYH8	5.09
BN5SN3	YZ	CHI-TCU82W	MYH8	3.43	BO5SN3	YZ	CHI-TCU82W	MYH8	3.05
BN5SN3	YZ	CHI-TCU110-N	MYH8	1.86	BO5SN3	YZ	CHI-TCU110-N	MYH8	1.62
BN5SN3	YZ	CHI-TCU111-W	MYH8	1.25	BO5SN3	YZ	CHI-TCU111-W	MYH8	1.19
BN5SN3	YZ	CHI-TCU117-W	MYH8	1.39	BO5SN3	YZ	CHI-TCU117-W	MYH8	1.35
BN5SN3	YZ	CHI-TCU136-E	MYH8	1.91	BO5SN3	YZ	CHI-TCU136-E	MYH8	2.06
BN5SN3	YZ	DZC-BOL000	MYH8	5.55	BO5SN3	YZ	DZC-BOL000	MYH8	8.22
BN5SN3	YZ	IMP-ELC3-140	MYH8	3.20	BO5SN3	YZ	IMP-ELC3-140	MYH8	3.63
BN5SN3	YZ	IMP-ELC3-230	MYH8	2.31	BO5SN3	YZ	IMP-ELC3-230	MYH8	2.09
BN5SN3	YZ	IRP-STU270	MYH8	3.15	BO5SN3	YZ	IRP-STU270	MYH8	2.23
BN5SN3	YZ	KOC-DZC180	MYH8	4.35	BO5SN3	YZ	KOC-DZC180	MYH8	3.48
BN5SN3	YZ	KOC-DZC270	MYH8	6.49	BO5SN3	YZ	KOC-DZC270	MYH8	6.33
BN5SN3	YZ	KOC-GBZ000	MYH8	2.76	BO5SN3	YZ	KOC-GBZ000	MYH8	3.10
BN5SN3	YZ	LAN-CLVTR	MYH8	10.92	BO5SN3	YZ	LAN-CLVTR	MYH8	12.72
BN5SN3	YZ	LAN-YER270	MYH8	2.62	BO5SN3	YZ	LAN-YER270	MYH8	3.30
BN5SN3	YZ	LOM-COR000	MYH8	7.48	BO5SN3	YZ	LOM-COR000	MYH8	10.11
BN5SN3	YZ	NOR-MUL009	MYH8	4.66	BO5SN3	YZ	NOR-MUL009	MYH8	7.03
BN5SN3	YZ	NOR-PUL104	MYH8	8.92	BO5SN3	YZ	NOR-PUL104	MYH8	9.25
BN5SN3	YZ	NPAL-MVH135	MYH8	2.77	BO5SN3	YZ	NPAL-MVH135	MYH8	2.62
BN5SN3	YZ	SUP-ELC000	MYH8	3.13	BO5SN3	YZ	SUP-ELC000	MYH8	5.30
BN5SN3	YZ	SUP-ELC090	MYH8	4.34	BO5SN3	YZ	SUP-ELC090	MYH8	5.81
BN5SN3	XZ	CHI-TCU036W	MYH9	1.79	BO5SN3	XZ	CHI-TCU036W	MYH9	1.57
BN5SN3	XZ	CHI-TCU49N	MYH9	2.57	BO5SN3	XZ	CHI-TCU49N	MYH9	2.23
BN5SN3	XZ	CHI-TCU70N	MYH9	2.97	BO5SN3	XZ	CHI-TCU70N	MYH9	2.25
BN5SN3	XZ	CHI-TCU76N	MYH9	6.18	BO5SN3	XZ	CHI-TCU76N	MYH9	9.09
BN5SN3	XZ	CHI-TCU76W	MYH9	3.31	BO5SN3	XZ	CHI-TCU76W	MYH9	3.04
BN5SN3	XZ	CHI-TCU079-W	MYH9	14.45	BO5SN3	XZ	CHI-TCU079-W	MYH9	9.32
BN5SN3	XZ	CHI-TCU95W	MYH9	6.13	BO5SN3	XZ	CHI-TCU95W	MYH9	5.32
BN5SN3	XZ	CHI-TCU103-W	MYH9	2.43	BO5SN3	XZ	CHI-TCU103-W	MYH9	2.00
BN5SN3	XZ	CHI-TCU120-W	MYH9	2.37	BO5SN3	XZ	CHI-TCU120-W	MYH9	2.47
BN5SN3	XZ	CHI-TCU129-W	MYH9	6.53	BO5SN3	XZ	CHI-TCU129-W	MYH9	7.82
BN5SN3	XZ	COA-PLE045	MYH9	13.24	BO5SN3	XZ	COA-PLE045	MYH9	13.48
BN5SN3	XZ	DZC-BOL000	MYH9	8.54	BO5SN3	XZ	DZC-BOL000	MYH9	9.00
BN5SN3	XZ	DZC-BOL090	MYH9	14.60	BO5SN3	XZ	DZC-BOL090	MYH9	17.42
BN5SN3	XZ	DZC-DZC180	MYH9	8.15	BO5SN3	XZ	DZC-DZC180	MYH9	8.32
BN5SN3	XZ	ERZ-ERZEW	MYH9	6.14	BO5SN3	XZ	ERZ-ERZEW	MYH9	10.60
BN5SN3	XZ	IMP-ELC3-140	MYH9	3.74	BO5SN3	XZ	IMP-ELC3-140	MYH9	4.62
BN5SN3	XZ	IMP-HVP315	MYH9	2.64	BO5SN3	XZ	IMP-HVP315	MYH9	3.05
BN5SN3	XZ	IRP-STU270	MYH9	3.18	BO5SN3	XZ	IRP-STU270	MYH9	3.11
BN5SN3	XZ	KOC-DZC180	MYH9	4.48	BO5SN3	XZ	KOC-DZC180	MYH9	3.26
BN5SN3	XZ	KOC-GBZ000	MYH9	3.83	BO5SN3	XZ	KOC-GBZ000	MYH9	4.42
BN5SN3	XZ	KOC-YAR330	MYH9	3.52	BO5SN3	XZ	KOC-YAR330	MYH9	4.23
BN5SN3	XZ	LAN-YER270	MYH9	4.21	BO5SN3	XZ	LAN-YER270	MYH9	6.70

Tablo C.1 (devam): Mevcut binalara ait yerdeğiştirme talepleri

Bina Adı	Analiz Yönü	İvme Kaydı	MYH Grup No	Δ_d (cm)	Bina Adı	Analiz Yönü	İvme Kaydı	MYH Grup No	Δ_d (cm)
BN5SN3	XZ	LOM-BRN000	MYH9	8.72	BO5SN3	XZ	LOM-BRN000	MYH9	5.83
BN5SN3	XZ	LOM-HSP000	MYH9	8.17	BO5SN3	XZ	LOM-HSP000	MYH9	9.61
BN5SN3	XZ	LOM-WVC270	MYH9	3.54	BO5SN3	XZ	LOM-WVC270	MYH9	5.16
BN5SN3	XZ	NOR-CNP196	MYH9	7.78	BO5SN3	XZ	NOR-CNP196	MYH9	8.97
BN5SN3	XZ	NOR-LDM064	MYH9	5.30	BO5SN3	XZ	NOR-LDM064	MYH9	9.97
BN5SN3	XZ	NOR-MUL279	MYH9	8.99	BO5SN3	XZ	NOR-MUL279	MYH9	12.78
BN5SN3	XZ	NOR-SAT180	MYH9	8.18	BO5SN3	XZ	NOR-SAT180	MYH9	9.71
BN5SN3	XZ	SUP-ELC000	MYH9	5.32	BO5SN3	XZ	SUP-ELC000	MYH9	8.69
BN5SN3	YZ	CHI-TCU036W	MYH9	1.44	BO5SN3	YZ	CHI-TCU036W	MYH9	1.38
BN5SN3	YZ	CHI-TCU49N	MYH9	2.41	BO5SN3	YZ	CHI-TCU49N	MYH9	2.07
BN5SN3	YZ	CHI-TCU70N	MYH9	2.40	BO5SN3	YZ	CHI-TCU70N	MYH9	2.06
BN5SN3	YZ	CHI-TCU76N	MYH9	4.45	BO5SN3	YZ	CHI-TCU76N	MYH9	7.61
BN5SN3	YZ	CHI-TCU76W	MYH9	3.74	BO5SN3	YZ	CHI-TCU76W	MYH9	3.37
BN5SN3	YZ	CHI-TCU079-W	MYH9	13.15	BO5SN3	YZ	CHI-TCU079-W	MYH9	11.61
BN5SN3	YZ	CHI-TCU95W	MYH9	5.49	BO5SN3	YZ	CHI-TCU95W	MYH9	5.44
BN5SN3	YZ	CHI-TCU103-W	MYH9	2.01	BO5SN3	YZ	CHI-TCU103-W	MYH9	1.82
BN5SN3	YZ	CHI-TCU120-W	MYH9	2.12	BO5SN3	YZ	CHI-TCU120-W	MYH9	2.22
BN5SN3	YZ	CHI-TCU129-W	MYH9	6.48	BO5SN3	YZ	CHI-TCU129-W	MYH9	6.86
BN5SN3	YZ	COA-PLE045	MYH9	10.64	BO5SN3	YZ	COA-PLE045	MYH9	14.16
BN5SN3	YZ	DZC-BOL000	MYH9	5.50	BO5SN3	YZ	DZC-BOL000	MYH9	9.57
BN5SN3	YZ	DZC-BOL090	MYH9	11.69	BO5SN3	YZ	DZC-BOL090	MYH9	16.97
BN5SN3	YZ	DZC-DZC180	MYH9	6.24	BO5SN3	YZ	DZC-DZC180	MYH9	7.53
BN5SN3	YZ	ERZ-ERZEW	MYH9	5.19	BO5SN3	YZ	ERZ-ERZEW	MYH9	8.95
BN5SN3	YZ	IMP-ELC3-140	MYH9	3.46	BO5SN3	YZ	IMP-ELC3-140	MYH9	4.09
BN5SN3	YZ	IMP-HVP315	MYH9	2.87	BO5SN3	YZ	IMP-HVP315	MYH9	2.74
BN5SN3	YZ	IRP-STU270	MYH9	3.31	BO5SN3	YZ	IRP-STU270	MYH9	2.35
BN5SN3	YZ	KOC-DZC180	MYH9	4.58	BO5SN3	YZ	KOC-DZC180	MYH9	3.61
BN5SN3	YZ	KOC-GBZ000	MYH9	3.03	BO5SN3	YZ	KOC-GBZ000	MYH9	3.60
BN5SN3	YZ	KOC-YAR330	MYH9	3.23	BO5SN3	YZ	KOC-YAR330	MYH9	3.97
BN5SN3	YZ	LAN-YER270	MYH9	2.79	BO5SN3	YZ	LAN-YER270	MYH9	4.16
BN5SN3	YZ	LOM-BRN000	MYH9	7.96	BO5SN3	YZ	LOM-BRN000	MYH9	6.71
BN5SN3	YZ	LOM-HSP000	MYH9	4.52	BO5SN3	YZ	LOM-HSP000	MYH9	9.30
BN5SN3	YZ	LOM-WVC270	MYH9	2.82	BO5SN3	YZ	LOM-WVC270	MYH9	3.95
BN5SN3	YZ	NOR-CNP196	MYH9	7.29	BO5SN3	YZ	NOR-CNP196	MYH9	8.97
BN5SN3	YZ	NOR-LDM064	MYH9	4.14	BO5SN3	YZ	NOR-LDM064	MYH9	7.66
BN5SN3	YZ	NOR-MUL279	MYH9	6.27	BO5SN3	YZ	NOR-MUL279	MYH9	10.24
BN5SN3	YZ	NOR-SAT180	MYH9	6.29	BO5SN3	YZ	NOR-SAT180	MYH9	9.65
BN5SN3	YZ	SUP-ELC000	MYH9	3.40	BO5SN3	YZ	SUP-ELC000	MYH9	6.54
BN5SN3	XZ	CHI-CHY28N	MYH10	18.33	BO5SN3	XZ	CHI-CHY28N	MYH10	20.75
BN5SN3	XZ	CHI-TCU067N	MYH10	5.00	BO5SN3	XZ	CHI-TCU067N	MYH10	5.17
BN5SN3	XZ	CHI-TCU071N	MYH10	4.26	BO5SN3	XZ	CHI-TCU071N	MYH10	5.28
BN5SN3	XZ	CHI-TCU101-W	MYH10	2.85	BO5SN3	XZ	CHI-TCU101-W	MYH10	3.38
BN5SN3	XZ	CHI-TCU110-W	MYH10	1.81	BO5SN3	XZ	CHI-TCU110-W	MYH10	1.74
BN5SN3	XZ	CHI-TCU128-N	MYH10	2.22	BO5SN3	XZ	CHI-TCU128-N	MYH10	2.32
BN5SN3	XZ	CHI-WGK-E	MYH10	2.64	BO5SN3	XZ	CHI-WGK-E	MYH10	2.66
BN5SN3	XZ	CHI-WNTE	MYH10	7.84	BO5SN3	XZ	CHI-WNTE	MYH10	5.96
BN5SN3	XZ	DZC-BOL000	MYH10	9.63	BO5SN3	XZ	DZC-BOL000	MYH10	9.32
BN5SN3	XZ	DZC-BOL090	MYH10	16.95	BO5SN3	XZ	DZC-BOL090	MYH10	19.57
BN5SN3	XZ	GAZ-KAR000	MYH10	5.65	BO5SN3	XZ	GAZ-KAR000	MYH10	6.59
BN5SN3	XZ	IMP-ECC092	MYH10	2.50	BO5SN3	XZ	IMP-ECC092	MYH10	3.38
BN5SN3	XZ	IMP-ELC3-140	MYH10	4.07	BO5SN3	XZ	IMP-ELC3-140	MYH10	5.41
BN5SN3	XZ	IMP-ELC6-140	MYH10	3.70	BO5SN3	XZ	IMP-ELC6-140	MYH10	4.06
BN5SN3	XZ	IRP-STU270	MYH10	3.40	BO5SN3	XZ	IRP-STU270	MYH10	3.88
BN5SN3	XZ	KOB-TAK000	MYH10	14.32	BO5SN3	XZ	KOB-TAK000	MYH10	15.20
BN5SN3	XZ	KOC-DZC180	MYH10	4.88	BO5SN3	XZ	KOC-DZC180	MYH10	4.00
BN5SN3	XZ	KOC-GBZ000	MYH10	4.23	BO5SN3	XZ	KOC-GBZ000	MYH10	5.01
BN5SN3	XZ	KOC-YAR060	MYH10	4.32	BO5SN3	XZ	KOC-YAR060	MYH10	5.07
BN5SN3	XZ	LAN-YER270	MYH10	4.83	BO5SN3	XZ	LAN-YER270	MYH10	8.00
BN5SN3	XZ	LOM-BRN000	MYH10	9.38	BO5SN3	XZ	LOM-BRN000	MYH10	6.28

Tablo C.1 (devam): Mevcut binalara ait yerdeğiştirme talepleri

Bina Adı	Analiz Yönü	İvme Kaydı	MYH Grup No	Δ_d (cm)	Bina Adı	Analiz Yönü	İvme Kaydı	MYH Grup No	Δ_d (cm)
BN5SN3	XZ	LOM-G03090	MYH10	5.42	BO5SN3	XZ	LOM-G03090	MYH10	5.01
BN5SN3	XZ	LOM-HSP000	MYH10	9.56	BO5SN3	XZ	LOM-HSP000	MYH10	10.92
BN5SN3	XZ	NOR-CNP196	MYH10	9.34	BO5SN3	XZ	NOR-CNP196	MYH10	9.16
BN5SN3	XZ	NOR-MUL009	MYH10	8.27	BO5SN3	XZ	NOR-MUL009	MYH10	8.60
BN5SN3	XZ	NOR-MUL279	MYH10	10.01	BO5SN3	XZ	NOR-MUL279	MYH10	14.53
BN5SN3	XZ	NOR-ORR090	MYH10	7.63	BO5SN3	XZ	NOR-ORR090	MYH10	8.40
BN5SN3	XZ	NOR-ORR360	MYH10	13.05	BO5SN3	XZ	NOR-ORR360	MYH10	21.42
BN5SN3	XZ	NOR-SAT180	MYH10	9.64	BO5SN3	XZ	NOR-SAT180	MYH10	10.52
BN5SN3	XZ	NOR-WPI316	MYH10	5.17	BO5SN3	XZ	NOR-WPI316	MYH10	6.93
BN5SN3	YZ	CHI-CHY28N	MYH10	15.86	BO5SN3	YZ	CHI-CHY28N	MYH10	19.88
BN5SN3	YZ	CHI-TCU067N	MYH10	4.92	BO5SN3	YZ	CHI-TCU067N	MYH10	6.63
BN5SN3	YZ	CHI-TCU071N	MYH10	3.44	BO5SN3	YZ	CHI-TCU071N	MYH10	4.26
BN5SN3	YZ	CHI-TCU101-W	MYH10	2.77	BO5SN3	YZ	CHI-TCU101-W	MYH10	3.34
BN5SN3	YZ	CHI-TCU110-W	MYH10	1.42	BO5SN3	YZ	CHI-TCU110-W	MYH10	1.42
BN5SN3	YZ	CHI-TCU128-N	MYH10	1.94	BO5SN3	YZ	CHI-TCU128-N	MYH10	2.02
BN5SN3	YZ	CHI-WGK-E	MYH10	2.45	BO5SN3	YZ	CHI-WGK-E	MYH10	2.62
BN5SN3	YZ	CHI-WNTE	MYH10	7.50	BO5SN3	YZ	CHI-WNTE	MYH10	6.03
BN5SN3	YZ	DZC-BOL000	MYH10	6.60	BO5SN3	YZ	DZC-BOL000	MYH10	10.50
BN5SN3	YZ	DZC-BOL090	MYH10	13.55	BO5SN3	YZ	DZC-BOL090	MYH10	19.03
BN5SN3	YZ	GAZ-KAR000	MYH10	5.17	BO5SN3	YZ	GAZ-KAR000	MYH10	6.46
BN5SN3	YZ	IMP-ECC092	MYH10	2.10	BO5SN3	YZ	IMP-ECC092	MYH10	2.22
BN5SN3	YZ	IMP-ELC3-140	MYH10	3.72	BO5SN3	YZ	IMP-ELC3-140	MYH10	4.54
BN5SN3	YZ	IMP-ELC6-140	MYH10	2.54	BO5SN3	YZ	IMP-ELC6-140	MYH10	3.15
BN5SN3	YZ	IRP-STU270	MYH10	3.42	BO5SN3	YZ	IRP-STU270	MYH10	2.47
BN5SN3	YZ	KOB-TAK000	MYH10	13.02	BO5SN3	YZ	KOB-TAK000	MYH10	17.13
BN5SN3	YZ	KOC-DZC180	MYH10	4.86	BO5SN3	YZ	KOC-DZC180	MYH10	3.87
BN5SN3	YZ	KOC-GBZ000	MYH10	3.39	BO5SN3	YZ	KOC-GBZ000	MYH10	4.17
BN5SN3	YZ	KOC-YAR060	MYH10	2.71	BO5SN3	YZ	KOC-YAR060	MYH10	3.93
BN5SN3	YZ	LAN-YER270	MYH10	2.99	BO5SN3	YZ	LAN-YER270	MYH10	5.23
BN5SN3	YZ	LOM-BRN000	MYH10	8.57	BO5SN3	YZ	LOM-BRN000	MYH10	7.37
BN5SN3	YZ	LOM-G03090	MYH10	4.07	BO5SN3	YZ	LOM-G03090	MYH10	6.15
BN5SN3	YZ	LOM-HSP000	MYH10	5.75	BO5SN3	YZ	LOM-HSP000	MYH10	10.31
BN5SN3	YZ	NOR-CNP196	MYH10	8.26	BO5SN3	YZ	NOR-CNP196	MYH10	10.54
BN5SN3	YZ	NOR-MUL009	MYH10	6.32	BO5SN3	YZ	NOR-MUL009	MYH10	8.38
BN5SN3	YZ	NOR-MUL279	MYH10	7.24	BO5SN3	YZ	NOR-MUL279	MYH10	11.82
BN5SN3	YZ	NOR-ORR090	MYH10	7.32	BO5SN3	YZ	NOR-ORR090	MYH10	8.51
BN5SN3	YZ	NOR-ORR360	MYH10	10.50	BO5SN3	YZ	NOR-ORR360	MYH10	15.99
BN5SN3	YZ	NOR-SAT180	MYH10	7.41	BO5SN3	YZ	NOR-SAT180	MYH10	10.13
BN5SN3	YZ	NOR-WPI316	MYH10	3.89	BO5SN3	YZ	NOR-WPI316	MYH10	6.03
BN5SN3	XZ	CHI-CHY28W	MYH11	8.77	BO5SN3	XZ	CHI-CHY28W	MYH11	8.83
BN5SN3	XZ	CHI-CHY101W	MYH11	2.82	BO5SN3	XZ	CHI-CHY101W	MYH11	3.33
BN5SN3	XZ	CHI-TCU063N	MYH11	1.84	BO5SN3	XZ	CHI-TCU063N	MYH11	1.59
BN5SN3	XZ	CHI-TCU072W	MYH11	7.57	BO5SN3	XZ	CHI-TCU072W	MYH11	11.17
BN5SN3	XZ	CHI-TCU74W	MYH11	11.03	BO5SN3	XZ	CHI-TCU74W	MYH11	14.47
BN5SN3	XZ	CHI-TCU128-W	MYH11	1.58	BO5SN3	XZ	CHI-TCU128-W	MYH11	1.45
BN5SN3	XZ	CHI-WGK-N	MYH11	7.43	BO5SN3	XZ	CHI-WGK-N	MYH11	10.63
BN5SN3	XZ	COA-PLE045	MYH11	16.75	BO5SN3	XZ	COA-PLE045	MYH11	15.53
BN5SN3	XZ	DZC-BOL000	MYH11	10.67	BO5SN3	XZ	DZC-BOL000	MYH11	9.71
BN5SN3	XZ	DZC-BOL090	MYH11	19.12	BO5SN3	XZ	DZC-BOL090	MYH11	21.55
BN5SN3	XZ	DZC-DZC180	MYH11	10.73	BO5SN3	XZ	DZC-DZC180	MYH11	10.71
BN5SN3	XZ	GAZ-KAR000	MYH11	6.57	BO5SN3	XZ	GAZ-KAR000	MYH11	7.67
BN5SN3	XZ	GAZ-KAR090	MYH11	8.55	BO5SN3	XZ	GAZ-KAR090	MYH11	7.58
BN5SN3	XZ	IMP-ECC092	MYH11	2.75	BO5SN3	XZ	IMP-ECC092	MYH11	3.87
BN5SN3	XZ	IMP-ECM000	MYH11	4.40	BO5SN3	XZ	IMP-ECM000	MYH11	7.42
BN5SN3	XZ	IMP-ELCD-270	MYH11	3.65	BO5SN3	XZ	IMP-ELCD-270	MYH11	4.88
BN5SN3	XZ	IRP-STU270	MYH11	3.62	BO5SN3	XZ	IRP-STU270	MYH11	4.91
BN5SN3	XZ	KOB-KJM090	MYH11	15.90	BO5SN3	XZ	KOB-KJM090	MYH11	24.04
BN5SN3	XZ	KOC-DZC180	MYH11	5.07	BO5SN3	XZ	KOC-DZC180	MYH11	4.53
BN5SN3	XZ	KOC-GBZ000	MYH11	4.67	BO5SN3	XZ	KOC-GBZ000	MYH11	5.61

Tablo C.1 (devam): Mevcut binalara ait yerdeğiştirme talepleri

Bina Adı	Analiz Yönü	İvme Kaydı	MYH Grup No	Δ_d (cm)	Bina Adı	Analiz Yönü	İvme Kaydı	MYH Grup No	Δ_d (cm)
BN5SN3	XZ	KOC-YAR060	MYH11	4.88	BO5SN3	XZ	KOC-YAR060	MYH11	5.69
BN5SN3	XZ	LOM-HSP000	MYH11	10.84	BO5SN3	XZ	LOM-HSP000	MYH11	12.36
BN5SN3	XZ	LOM-WVC270	MYH11	4.66	BO5SN3	XZ	LOM-WVC270	MYH11	7.41
BN5SN3	XZ	NOR-CNP196	MYH11	10.76	BO5SN3	XZ	NOR-CNP196	MYH11	9.15
BN5SN3	XZ	NOR-MUL009	MYH11	8.87	BO5SN3	XZ	NOR-MUL009	MYH11	9.32
BN5SN3	XZ	NOR-MUL279	MYH11	11.14	BO5SN3	XZ	NOR-MUL279	MYH11	16.52
BN5SN3	XZ	NOR-ORR360	MYH11	14.34	BO5SN3	XZ	NOR-ORR360	MYH11	25.07
BN5SN3	XZ	NOR-RRS318	MYH11	7.41	BO5SN3	XZ	NOR-RRS318	MYH11	9.88
BN5SN3	XZ	NOR-SAT180	MYH11	10.97	BO5SN3	XZ	NOR-SAT180	MYH11	11.17
BN5SN3	XZ	NPAL-NPS210	MYH11	5.84	BO5SN3	XZ	NPAL-NPS210	MYH11	6.82
BN5SN3	YZ	CHI-CHY28W	MYH11	7.86	BO5SN3	YZ	CHI-CHY28W	MYH11	8.18
BN5SN3	YZ	CHI-CHY101W	MYH11	2.37	BO5SN3	YZ	CHI-CHY101W	MYH11	2.83
BN5SN3	YZ	CHI-TCU063N	MYH11	1.45	BO5SN3	YZ	CHI-TCU063N	MYH11	1.28
BN5SN3	YZ	CHI-TCU072W	MYH11	5.26	BO5SN3	YZ	CHI-TCU072W	MYH11	9.47
BN5SN3	YZ	CHI-TCU74W	MYH11	10.27	BO5SN3	YZ	CHI-TCU74W	MYH11	10.70
BN5SN3	YZ	CHI-TCU128-W	MYH11	1.48	BO5SN3	YZ	CHI-TCU128-W	MYH11	1.30
BN5SN3	YZ	CHI-WGK-N	MYH11	4.67	BO5SN3	YZ	CHI-WGK-N	MYH11	8.56
BN5SN3	YZ	COA-PLE045	MYH11	14.10	BO5SN3	YZ	COA-PLE045	MYH11	17.45
BN5SN3	YZ	DZC-BOL000	MYH11	7.95	BO5SN3	YZ	DZC-BOL000	MYH11	11.39
BN5SN3	YZ	DZC-BOL090	MYH11	15.31	BO5SN3	YZ	DZC-BOL090	MYH11	20.92
BN5SN3	YZ	DZC-DZC180	MYH11	7.76	BO5SN3	YZ	DZC-DZC180	MYH11	9.50
BN5SN3	YZ	GAZ-KAR000	MYH11	5.86	BO5SN3	YZ	GAZ-KAR000	MYH11	7.68
BN5SN3	YZ	GAZ-KAR090	MYH11	8.29	BO5SN3	YZ	GAZ-KAR090	MYH11	7.59
BN5SN3	YZ	IMP-ECC092	MYH11	2.28	BO5SN3	YZ	IMP-ECC092	MYH11	2.38
BN5SN3	YZ	IMP-ECM000	MYH11	3.28	BO5SN3	YZ	IMP-ECM000	MYH11	4.13
BN5SN3	YZ	IMP-ELCD-270	MYH11	3.15	BO5SN3	YZ	IMP-ELCD-270	MYH11	4.59
BN5SN3	YZ	IRP-STU270	MYH11	3.48	BO5SN3	YZ	IRP-STU270	MYH11	2.61
BN5SN3	YZ	KOB-KJM090	MYH11	13.36	BO5SN3	YZ	KOB-KJM090	MYH11	16.06
BN5SN3	YZ	KOC-DZC180	MYH11	5.15	BO5SN3	YZ	KOC-DZC180	MYH11	4.14
BN5SN3	YZ	KOC-GBZ000	MYH11	3.71	BO5SN3	YZ	KOC-GBZ000	MYH11	4.76
BN5SN3	YZ	KOC-YAR060	MYH11	3.05	BO5SN3	YZ	KOC-YAR060	MYH11	4.91
BN5SN3	YZ	LOM-HSP000	MYH11	7.03	BO5SN3	YZ	LOM-HSP000	MYH11	11.31
BN5SN3	YZ	LOM-WVC270	MYH11	3.34	BO5SN3	YZ	LOM-WVC270	MYH11	5.88
BN5SN3	YZ	NOR-CNP196	MYH11	9.08	BO5SN3	YZ	NOR-CNP196	MYH11	11.36
BN5SN3	YZ	NOR-MUL009	MYH11	7.32	BO5SN3	YZ	NOR-MUL009	MYH11	9.27
BN5SN3	YZ	NOR-MUL279	MYH11	8.16	BO5SN3	YZ	NOR-MUL279	MYH11	13.59
BN5SN3	YZ	NOR-ORR360	MYH11	11.73	BO5SN3	YZ	NOR-ORR360	MYH11	18.74
BN5SN3	YZ	NOR-RRS318	MYH11	5.45	BO5SN3	YZ	NOR-RRS318	MYH11	8.38
BN5SN3	YZ	NOR-SAT180	MYH11	8.41	BO5SN3	YZ	NOR-SAT180	MYH11	10.96
BN5SN3	YZ	NPAL-NPS210	MYH11	4.59	BO5SN3	YZ	NPAL-NPS210	MYH11	5.90
BN5SN3	XZ	CHI-TCU065N	MYH12	6.71	BO5SN3	XZ	CHI-TCU065N	MYH12	16.65
BN5SN3	XZ	CHI-TCU067W	MYH12	7.14	BO5SN3	XZ	CHI-TCU067W	MYH12	13.08
BN5SN3	XZ	CHI-TCU102-N	MYH12	2.59	BO5SN3	XZ	CHI-TCU102-N	MYH12	3.01
BN5SN3	XZ	DZC-BOL000	MYH12	11.62	BO5SN3	XZ	DZC-BOL000	MYH12	11.00
BN5SN3	XZ	DZC-BOL090	MYH12	21.28	BO5SN3	XZ	DZC-BOL090	MYH12	23.53
BN5SN3	XZ	DZC-DZC180	MYH12	11.89	BO5SN3	XZ	DZC-DZC180	MYH12	11.68
BN5SN3	XZ	GAZ-KAR090	MYH12	9.22	BO5SN3	XZ	GAZ-KAR090	MYH12	8.66
BN5SN3	XZ	IMP-ECC092	MYH12	3.08	BO5SN3	XZ	IMP-ECC092	MYH12	4.48
BN5SN3	XZ	IMP-ELC4-230	MYH12	4.29	BO5SN3	XZ	IMP-ELC4-230	MYH12	5.41
BN5SN3	XZ	IMP-ELCD-270	MYH12	4.11	BO5SN3	XZ	IMP-ELCD-270	MYH12	5.64
BN5SN3	XZ	IRP-STU270	MYH12	3.80	BO5SN3	XZ	IRP-STU270	MYH12	6.09
BN5SN3	XZ	KOC-DZC180	MYH12	5.04	BO5SN3	XZ	KOC-DZC180	MYH12	4.66
BN5SN3	XZ	KOC-GBZ000	MYH12	5.13	BO5SN3	XZ	KOC-GBZ000	MYH12	6.26
BN5SN3	XZ	KOC-SKR090	MYH12	2.71	BO5SN3	XZ	KOC-SKR090	MYH12	2.78
BN5SN3	XZ	LAN-YER270	MYH12	6.34	BO5SN3	XZ	LAN-YER270	MYH12	10.86
BN5SN3	XZ	LOM-BRN000	MYH12	10.41	BO5SN3	XZ	LOM-BRN000	MYH12	8.82
BN5SN3	XZ	LOM-WVC270	MYH12	5.26	BO5SN3	XZ	LOM-WVC270	MYH12	8.73
BN5SN3	XZ	NOR-CNP196	MYH12	12.29	BO5SN3	XZ	NOR-CNP196	MYH12	9.41
BN5SN3	XZ	NOR-MUL009	MYH12	9.49	BO5SN3	XZ	NOR-MUL009	MYH12	10.05

Tablo C.1 (devam): Mevcut binalara ait yerdeğiştirme talepleri

Bina Adı	Analiz Yönü	İvme Kaydı	MYH Grup No	Δ_d (cm)	Bina Adı	Analiz Yönü	İvme Kaydı	MYH Grup No	Δ_d (cm)
BN5SN3	XZ	NOR-MUL279	MYH12	12.41	BO5SN3	XZ	NOR-MUL279	MYH12	18.59
BN5SN3	XZ	NOR-NEW090	MYH12	10.48	BO5SN3	XZ	NOR-NEW090	MYH12	11.52
BN5SN3	XZ	NOR-PAR-L	MYH12	9.45	BO5SN3	XZ	NOR-PAR-L	MYH12	15.23
BN5SN3	XZ	NOR-RRS318	MYH12	8.13	BO5SN3	XZ	NOR-RRS318	MYH12	10.86
BN5SN3	XZ	NOR-SAT180	MYH12	12.34	BO5SN3	XZ	NOR-SAT180	MYH12	11.77
BN5SN3	XZ	NOR-SCE288	MYH12	4.39	BO5SN3	XZ	NOR-SCE288	MYH12	8.15
BN5SN3	XZ	NOR-SEP360	MYH12	9.80	BO5SN3	XZ	NOR-SEP360	MYH12	8.96
BN5SN3	XZ	NOR-SYL090	MYH12	11.55	BO5SN3	XZ	NOR-SYL090	MYH12	12.83
BN5SN3	XZ	NOR-TAR360	MYH12	11.78	BO5SN3	XZ	NOR-TAR360	MYH12	18.10
BN5SN3	XZ	NOR-WPI316	MYH12	6.35	BO5SN3	XZ	NOR-WPI316	MYH12	9.01
BN5SN3	XZ	PRK-C02065	MYH12	9.63	BO5SN3	XZ	PRK-C02065	MYH12	15.27
BN5SN3	YZ	CHI-TCU065N	MYH12	4.90	BO5SN3	YZ	CHI-TCU065N	MYH12	10.63
BN5SN3	YZ	CHI-TCU067W	MYH12	5.21	BO5SN3	YZ	CHI-TCU067W	MYH12	9.62
BN5SN3	YZ	CHI-TCU102-N	MYH12	1.83	BO5SN3	YZ	CHI-TCU102-N	MYH12	2.12
BN5SN3	YZ	DZC-BOL000	MYH12	9.14	BO5SN3	YZ	DZC-BOL000	MYH12	12.24
BN5SN3	YZ	DZC-BOL090	MYH12	17.18	BO5SN3	YZ	DZC-BOL090	MYH12	22.89
BN5SN3	YZ	DZC-DZC180	MYH12	8.44	BO5SN3	YZ	DZC-DZC180	MYH12	10.32
BN5SN3	YZ	GAZ-KAR090	MYH12	8.76	BO5SN3	YZ	GAZ-KAR090	MYH12	8.14
BN5SN3	YZ	IMP-ECC092	MYH12	2.48	BO5SN3	YZ	IMP-ECC092	MYH12	2.80
BN5SN3	YZ	IMP-ELC4-230	MYH12	2.85	BO5SN3	YZ	IMP-ELC4-230	MYH12	3.95
BN5SN3	YZ	IMP-ELCD-270	MYH12	3.50	BO5SN3	YZ	IMP-ELCD-270	MYH12	5.25
BN5SN3	YZ	IRP-STU270	MYH12	3.53	BO5SN3	YZ	IRP-STU270	MYH12	3.00
BN5SN3	YZ	KOC-DZC180	MYH12	5.40	BO5SN3	YZ	KOC-DZC180	MYH12	4.44
BN5SN3	YZ	KOC-GBZ000	MYH12	4.11	BO5SN3	YZ	KOC-GBZ000	MYH12	5.41
BN5SN3	YZ	KOC-SKR090	MYH12	2.53	BO5SN3	YZ	KOC-SKR090	MYH12	2.49
BN5SN3	YZ	LAN-YER270	MYH12	3.45	BO5SN3	YZ	LAN-YER270	MYH12	7.77
BN5SN3	YZ	LOM-BRN000	MYH12	9.81	BO5SN3	YZ	LOM-BRN000	MYH12	8.08
BN5SN3	YZ	LOM-WVC270	MYH12	3.62	BO5SN3	YZ	LOM-WVC270	MYH12	6.80
BN5SN3	YZ	NOR-CNP196	MYH12	9.98	BO5SN3	YZ	NOR-CNP196	MYH12	11.87
BN5SN3	YZ	NOR-MUL009	MYH12	8.20	BO5SN3	YZ	NOR-MUL009	MYH12	10.20
BN5SN3	YZ	NOR-MUL279	MYH12	8.86	BO5SN3	YZ	NOR-MUL279	MYH12	15.59
BN5SN3	YZ	NOR-NEW090	MYH12	7.08	BO5SN3	YZ	NOR-NEW090	MYH12	12.08
BN5SN3	YZ	NOR-PAR-L	MYH12	6.78	BO5SN3	YZ	NOR-PAR-L	MYH12	12.03
BN5SN3	YZ	NOR-RRS318	MYH12	6.44	BO5SN3	YZ	NOR-RRS318	MYH12	9.32
BN5SN3	YZ	NOR-SAT180	MYH12	9.44	BO5SN3	YZ	NOR-SAT180	MYH12	11.93
BN5SN3	YZ	NOR-SCE288	MYH12	5.18	BO5SN3	YZ	NOR-SCE288	MYH12	5.89
BN5SN3	YZ	NOR-SEP360	MYH12	8.70	BO5SN3	YZ	NOR-SEP360	MYH12	9.92
BN5SN3	YZ	NOR-SYL090	MYH12	9.50	BO5SN3	YZ	NOR-SYL090	MYH12	13.17
BN5SN3	YZ	NOR-TAR360	MYH12	12.36	BO5SN3	YZ	NOR-TAR360	MYH12	15.44
BN5SN3	YZ	NOR-WPI316	MYH12	4.97	BO5SN3	YZ	NOR-WPI316	MYH12	8.01
BN5SN3	YZ	PRK-C02065	MYH12	8.26	BO5SN3	YZ	PRK-C02065	MYH12	13.93
BN10SN4	XZ	CAP-FOR090	MYH1	2.25	BO10SN4	XZ	CAP-FOR090	MYH1	2.00
BN10SN4	XZ	CHI-CHY010-N	MYH1	3.70	BO10SN4	XZ	CHI-CHY010-N	MYH1	3.26
BN10SN4	XZ	CHI-CHY41W	MYH1	5.25	BO10SN4	XZ	CHI-CHY41W	MYH1	3.06
BN10SN4	XZ	CHI-CHY046N	MYH1	3.66	BO10SN4	XZ	CHI-CHY046N	MYH1	3.11
BN10SN4	XZ	CHI-CHY047-E	MYH1	2.73	BO10SN4	XZ	CHI-CHY047-E	MYH1	2.61
BN10SN4	XZ	COA-CAK270	MYH1	3.73	BO10SN4	XZ	COA-CAK270	MYH1	4.24
BN10SN4	XZ	COY-G06320	MYH1	3.41	BO10SN4	XZ	COY-G06320	MYH1	3.71
BN10SN4	XZ	FRI-TMZ000	MYH1	3.69	BO10SN4	XZ	FRI-TMZ000	MYH1	3.08
BN10SN4	XZ	IMP-E12230	MYH1	2.13	BO10SN4	XZ	IMP-E12230	MYH1	1.54
BN10SN4	XZ	IMP-SAH000	MYH1	3.49	BO10SN4	XZ	IMP-SAH000	MYH1	3.19
BN10SN4	XZ	IRP-BIS000	MYH1	1.86	BO10SN4	XZ	IRP-BIS000	MYH1	2.00
BN10SN4	XZ	KOC-IZM180	MYH1	3.58	BO10SN4	XZ	KOC-IZM180	MYH1	2.65
BN10SN4	XZ	LAN-ABY090	MYH1	3.01	BO10SN4	XZ	LAN-ABY090	MYH1	2.09
BN10SN4	XZ	LAN-DSP000	MYH1	3.76	BO10SN4	XZ	LAN-DSP000	MYH1	2.39
BN10SN4	XZ	LIV-DVD246	MYH1	2.85	BO10SN4	XZ	LIV-DVD246	MYH1	1.95
BN10SN4	XZ	LOM-BRK090	MYH1	3.62	BO10SN4	XZ	LOM-BRK090	MYH1	2.48
BN10SN4	XZ	LOM-CLD285	MYH1	3.30	BO10SN4	XZ	LOM-CLD285	MYH1	2.69
BN10SN4	XZ	LOM-GGV337	MYH1	4.38	BO10SN4	XZ	LOM-GGV337	MYH1	3.03

Tablo C.1 (devam): Mevcut binalara ait yerdeğiştirme talepleri

Bina Adı	Analiz Yönü	İvme Kaydı	MYH Grup No	Δ_d (cm)	Bina Adı	Analiz Yönü	İvme Kaydı	MYH Grup No	Δ_d (cm)
BN10SN4	XZ	NOR-CWC270	MYH1	4.54	BO10SN4	XZ	NOR-CWC270	MYH1	3.10
BN10SN4	XZ	NOR-LOS090	MYH1	4.05	BO10SN4	XZ	NOR-LOS090	MYH1	3.22
BN10SN4	XZ	NOR-LOS360	MYH1	5.71	BO10SN4	XZ	NOR-LOS360	MYH1	4.54
BN10SN4	XZ	PRK-CHO355	MYH1	3.83	BO10SN4	XZ	PRK-CHO355	MYH1	5.29
BN10SN4	XZ	PRK-TMB205	MYH1	2.79	BO10SN4	XZ	PRK-TMB205	MYH1	3.43
BN10SN4	XZ	SUP-PLS135	MYH1	3.21	BO10SN4	XZ	SUP-PLS135	MYH1	3.31
BN10SN4	XZ	TAB-DAY-LN	MYH1	3.81	BO10SN4	XZ	TAB-DAY-LN	MYH1	3.43
BN10SN4	XZ	VIC-CPE315	MYH1	4.39	BO10SN4	XZ	VIC-CPE315	MYH1	3.52
BN10SN4	XZ	WHI-ALH180	MYH1	3.87	BO10SN4	XZ	WHI-ALH180	MYH1	3.49
BN10SN4	XZ	WHI-GRN180	MYH1	5.84	BO10SN4	XZ	WHI-GRN180	MYH1	4.09
BN10SN4	XZ	WHI-OBR360	MYH1	3.68	BO10SN4	XZ	WHI-OBR360	MYH1	3.33
BN10SN4	YZ	CAP-FOR090	MYH1	2.14	BO10SN4	YZ	CAP-FOR090	MYH1	1.62
BN10SN4	YZ	CHI-CHY010-N	MYH1	3.94	BO10SN4	YZ	CHI-CHY010-N	MYH1	2.56
BN10SN4	YZ	CHI-CHY41W	MYH1	3.98	BO10SN4	YZ	CHI-CHY41W	MYH1	3.07
BN10SN4	YZ	CHI-CHY046N	MYH1	3.13	BO10SN4	YZ	CHI-CHY046N	MYH1	1.63
BN10SN4	YZ	CHI-CHY047-E	MYH1	2.73	BO10SN4	YZ	CHI-CHY047-E	MYH1	2.91
BN10SN4	YZ	COA-CAK270	MYH1	4.29	BO10SN4	YZ	COA-CAK270	MYH1	2.44
BN10SN4	YZ	COY-G06320	MYH1	3.72	BO10SN4	YZ	COY-G06320	MYH1	4.06
BN10SN4	YZ	FRI-TMZ000	MYH1	3.45	BO10SN4	YZ	FRI-TMZ000	MYH1	3.10
BN10SN4	YZ	IMP-E12230	MYH1	1.65	BO10SN4	YZ	IMP-E12230	MYH1	1.25
BN10SN4	YZ	IMP-SAH000	MYH1	3.71	BO10SN4	YZ	IMP-SAH000	MYH1	2.49
BN10SN4	YZ	IRP-BIS000	MYH1	1.91	BO10SN4	YZ	IRP-BIS000	MYH1	1.40
BN10SN4	YZ	KOC-IZM180	MYH1	2.90	BO10SN4	YZ	KOC-IZM180	MYH1	2.35
BN10SN4	YZ	LAN-ABY090	MYH1	2.19	BO10SN4	YZ	LAN-ABY090	MYH1	1.87
BN10SN4	YZ	LAN-DSP000	MYH1	2.60	BO10SN4	YZ	LAN-DSP000	MYH1	2.04
BN10SN4	YZ	LIV-DVD246	MYH1	2.30	BO10SN4	YZ	LIV-DVD246	MYH1	1.67
BN10SN4	YZ	LOM-BRK090	MYH1	2.65	BO10SN4	YZ	LOM-BRK090	MYH1	1.78
BN10SN4	YZ	LOM-CLD285	MYH1	3.00	BO10SN4	YZ	LOM-CLD285	MYH1	2.58
BN10SN4	YZ	LOM-GGV337	MYH1	4.23	BO10SN4	YZ	LOM-GGV337	MYH1	2.47
BN10SN4	YZ	NOR-CWC270	MYH1	3.35	BO10SN4	YZ	NOR-CWC270	MYH1	4.12
BN10SN4	YZ	NOR-LOS090	MYH1	3.62	BO10SN4	YZ	NOR-LOS090	MYH1	2.07
BN10SN4	YZ	NOR-LOS360	MYH1	4.53	BO10SN4	YZ	NOR-LOS360	MYH1	3.20
BN10SN4	YZ	PRK-CHO355	MYH1	5.70	BO10SN4	YZ	PRK-CHO355	MYH1	3.63
BN10SN4	YZ	PRK-TMB205	MYH1	3.69	BO10SN4	YZ	PRK-TMB205	MYH1	3.58
BN10SN4	YZ	SUP-PLS135	MYH1	3.43	BO10SN4	YZ	SUP-PLS135	MYH1	2.45
BN10SN4	YZ	TAB-DAY-LN	MYH1	3.82	BO10SN4	YZ	TAB-DAY-LN	MYH1	2.23
BN10SN4	YZ	VIC-CPE315	MYH1	4.30	BO10SN4	YZ	VIC-CPE315	MYH1	2.58
BN10SN4	YZ	WHI-ALH180	MYH1	3.70	BO10SN4	YZ	WHI-ALH180	MYH1	2.81
BN10SN4	YZ	WHI-GRN180	MYH1	5.38	BO10SN4	YZ	WHI-GRN180	MYH1	3.45
BN10SN4	YZ	WHI-OBR360	MYH1	3.60	BO10SN4	YZ	WHI-OBR360	MYH1	3.28
BN10SN4	XZ	CHI-TCU141-N	MYH2	1.78	BO10SN4	XZ	CHI-TCU141-N	MYH2	1.25
BN10SN4	XZ	COA-PV1090	MYH2	3.26	BO10SN4	XZ	COA-PV1090	MYH2	3.25
BN10SN4	XZ	COA-Z14090	MYH2	5.83	BO10SN4	XZ	COA-Z14090	MYH2	3.78
BN10SN4	XZ	COY-G02140	MYH2	4.26	BO10SN4	XZ	COY-G02140	MYH2	2.94
BN10SN4	XZ	COY-G03140	MYH2	4.16	BO10SN4	XZ	COY-G03140	MYH2	2.93
BN10SN4	XZ	IMP-AER315	MYH2	4.42	BO10SN4	XZ	IMP-AER315	MYH2	4.00
BN10SN4	XZ	IMP-DLT262	MYH2	5.97	BO10SN4	XZ	IMP-DLT262	MYH2	4.37
BN10SN4	XZ	KOB-KAK090	MYH2	3.68	BO10SN4	XZ	KOB-KAK090	MYH2	4.55
BN10SN4	XZ	KOB-SHI090	MYH2	6.06	BO10SN4	XZ	KOB-SHI090	MYH2	4.02
BN10SN4	XZ	LAN-CLVLN	MYH2	4.27	BO10SN4	XZ	LAN-CLVLN	MYH2	4.04
BN10SN4	XZ	LAN-JOS000	MYH2	5.30	BO10SN4	XZ	LAN-JOS000	MYH2	4.16
BN10SN4	XZ	LOM-CAP090	MYH2	7.49	BO10SN4	XZ	LOM-CAP090	MYH2	7.64
BN10SN4	XZ	LOM-GGV067	MYH2	3.93	BO10SN4	XZ	LOM-GGV067	MYH2	3.31
BN10SN4	XZ	LOM-HSP090	MYH2	4.81	BO10SN4	XZ	LOM-HSP090	MYH2	4.36
BN10SN4	XZ	LOM-SFO000	MYH2	4.75	BO10SN4	XZ	LOM-SFO000	MYH2	3.49
BN10SN4	XZ	LOM-SFO090	MYH2	7.03	BO10SN4	XZ	LOM-SFO090	MYH2	5.10
BN10SN4	XZ	LOM-WAH000	MYH2	6.36	BO10SN4	XZ	LOM-WAH000	MYH2	4.34
BN10SN4	XZ	MAM-LUL000	MYH2	4.89	BO10SN4	XZ	MAM-LUL000	MYH2	5.03
BN10SN4	XZ	MOR-AND250	MYH2	3.21	BO10SN4	XZ	MOR-AND250	MYH2	3.81

Tablo C.1 (devam): Mevcut binalara ait yerdeğiştirme talepleri

Bina Adı	Analiz Yönü	İvme Kaydı	MYH Grup No	Δ_d (cm)	Bina Adı	Analiz Yönü	İvme Kaydı	MYH Grup No	Δ_d (cm)
BN10SN4	XZ	MOR-AND340	MYH2	7.63	BO10SN4	XZ	MOR-AND340	MYH2	4.11
BN10SN4	XZ	NOR-CHL160	MYH2	6.49	BO10SN4	XZ	NOR-CHL160	MYH2	3.68
BN10SN4	XZ	NOR-CWC180	MYH2	4.32	BO10SN4	XZ	NOR-CWC180	MYH2	2.36
BN10SN4	XZ	NOR-SAT090	MYH2	6.33	BO10SN4	XZ	NOR-SAT090	MYH2	3.30
BN10SN4	XZ	NPAL-DSP000	MYH2	5.74	BO10SN4	XZ	NPAL-DSP000	MYH2	3.20
BN10SN4	XZ	PRK-CHO085	MYH2	3.72	BO10SN4	XZ	PRK-CHO085	MYH2	3.26
BN10SN4	XZ	SFD-ORR291	MYH2	5.23	BO10SN4	XZ	SFD-ORR291	MYH2	3.99
BN10SN4	XZ	SPI-GUK000	MYH2	3.95	BO10SN4	XZ	SPI-GUK000	MYH2	3.09
BN10SN4	XZ	TAB-DAY-TR	MYH2	4.61	BO10SN4	XZ	TAB-DAY-TR	MYH2	5.46
BN10SN4	XZ	WES-PTS315	MYH2	4.72	BO10SN4	XZ	WES-PTS315	MYH2	3.28
BN10SN4	XZ	WHI-DEL000	MYH2	6.95	BO10SN4	XZ	WHI-DEL000	MYH2	5.11
BN10SN4	XZ	WHI-DWN180	MYH2	6.70	BO10SN4	XZ	WHI-DWN180	MYH2	3.94
BN10SN4	YZ	CHI-TCU141-N	MYH2	1.24	BO10SN4	YZ	CHI-TCU141-N	MYH2	0.93
BN10SN4	YZ	COA-PV1090	MYH2	3.21	BO10SN4	YZ	COA-PV1090	MYH2	3.16
BN10SN4	YZ	COA-Z14090	MYH2	4.85	BO10SN4	YZ	COA-Z14090	MYH2	3.11
BN10SN4	YZ	COY-G02140	MYH2	2.94	BO10SN4	YZ	COY-G02140	MYH2	2.70
BN10SN4	YZ	COY-G03140	MYH2	2.86	BO10SN4	YZ	COY-G03140	MYH2	2.69
BN10SN4	YZ	IMP-AER315	MYH2	4.11	BO10SN4	YZ	IMP-AER315	MYH2	3.46
BN10SN4	YZ	IMP-DLT262	MYH2	4.60	BO10SN4	YZ	IMP-DLT262	MYH2	3.11
BN10SN4	YZ	KOB-KAK090	MYH2	4.28	BO10SN4	YZ	KOB-KAK090	MYH2	4.30
BN10SN4	YZ	KOB-SHI090	MYH2	4.83	BO10SN4	YZ	KOB-SHI090	MYH2	3.13
BN10SN4	YZ	LAN-CLVLN	MYH2	4.82	BO10SN4	YZ	LAN-CLVLN	MYH2	2.56
BN10SN4	YZ	LAN-JOS000	MYH2	4.31	BO10SN4	YZ	LAN-JOS000	MYH2	3.66
BN10SN4	YZ	LOM-CAP090	MYH2	7.68	BO10SN4	YZ	LOM-CAP090	MYH2	5.89
BN10SN4	YZ	LOM-GGV067	MYH2	3.84	BO10SN4	YZ	LOM-GGV067	MYH2	2.93
BN10SN4	YZ	LOM-HSP090	MYH2	4.85	BO10SN4	YZ	LOM-HSP090	MYH2	3.38
BN10SN4	YZ	LOM-SFO000	MYH2	4.58	BO10SN4	YZ	LOM-SFO000	MYH2	3.72
BN10SN4	YZ	LOM-SFO090	MYH2	5.54	BO10SN4	YZ	LOM-SFO090	MYH2	2.84
BN10SN4	YZ	LOM-WAH000	MYH2	4.07	BO10SN4	YZ	LOM-WAH000	MYH2	3.33
BN10SN4	YZ	MAM-LUL000	MYH2	7.76	BO10SN4	YZ	MAM-LUL000	MYH2	6.02
BN10SN4	YZ	MOR-AND250	MYH2	4.87	BO10SN4	YZ	MOR-AND250	MYH2	3.54
BN10SN4	YZ	MOR-AND340	MYH2	5.36	BO10SN4	YZ	MOR-AND340	MYH2	3.82
BN10SN4	YZ	NOR-CHL160	MYH2	3.96	BO10SN4	YZ	NOR-CHL160	MYH2	2.69
BN10SN4	YZ	NOR-CWC180	MYH2	2.48	BO10SN4	YZ	NOR-CWC180	MYH2	2.06
BN10SN4	YZ	NOR-SAT090	MYH2	4.01	BO10SN4	YZ	NOR-SAT090	MYH2	3.35
BN10SN4	YZ	NPAL-DSP000	MYH2	3.37	BO10SN4	YZ	NPAL-DSP000	MYH2	2.71
BN10SN4	YZ	PRK-CHO085	MYH2	4.01	BO10SN4	YZ	PRK-CHO085	MYH2	2.93
BN10SN4	YZ	SFD-ORR291	MYH2	4.43	BO10SN4	YZ	SFD-ORR291	MYH2	3.14
BN10SN4	YZ	SPI-GUK000	MYH2	3.06	BO10SN4	YZ	SPI-GUK000	MYH2	2.33
BN10SN4	YZ	TAB-DAY-TR	MYH2	4.75	BO10SN4	YZ	TAB-DAY-TR	MYH2	3.92
BN10SN4	YZ	WES-PTS315	MYH2	3.06	BO10SN4	YZ	WES-PTS315	MYH2	3.21
BN10SN4	YZ	WHI-DEL000	MYH2	5.81	BO10SN4	YZ	WHI-DEL000	MYH2	3.78
BN10SN4	YZ	WHI-DWN180	MYH2	4.62	BO10SN4	YZ	WHI-DWN180	MYH2	2.71
BN10SN4	XZ	CAP-FOR000	MYH3	2.39	BO10SN4	XZ	CAP-FOR000	MYH3	2.14
BN10SN4	XZ	CHI-CHY29W	MYH3	6.29	BO10SN4	XZ	CHI-CHY29W	MYH3	5.42
BN10SN4	XZ	CHI-TCU046N	MYH3	2.29	BO10SN4	XZ	CHI-TCU046N	MYH3	1.79
BN10SN4	XZ	CHI-TCU112-N	MYH3	1.38	BO10SN4	XZ	CHI-TCU112-N	MYH3	1.33
BN10SN4	XZ	CHI-TCU118-N	MYH3	3.29	BO10SN4	XZ	CHI-TCU118-N	MYH3	1.80
BN10SN4	XZ	FRI-TMZ270	MYH3	7.14	BO10SN4	XZ	FRI-TMZ270	MYH3	5.74
BN10SN4	XZ	IMP-ELC2-140	MYH3	5.58	BO10SN4	XZ	IMP-ELC2-140	MYH3	4.36
BN10SN4	XZ	IMP-ELC11-140	MYH3	4.71	BO10SN4	XZ	IMP-ELC11-140	MYH3	3.04
BN10SN4	XZ	IMP-SAH270	MYH3	5.28	BO10SN4	XZ	IMP-SAH270	MYH3	3.57
BN10SN4	XZ	KOC-AMB090	MYH3	4.57	BO10SN4	XZ	KOC-AMB090	MYH3	3.26
BN10SN4	XZ	KOC-GBZ270	MYH3	2.78	BO10SN4	XZ	KOC-GBZ270	MYH3	2.52
BN10SN4	XZ	KOC-IZM090	MYH3	4.29	BO10SN4	XZ	KOC-IZM090	MYH3	2.59
BN10SN4	XZ	LAN-LUC000	MYH3	4.63	BO10SN4	XZ	LAN-LUC000	MYH3	3.04
BN10SN4	XZ	LAN-YER360	MYH3	2.67	BO10SN4	XZ	LAN-YER360	MYH3	2.93
BN10SN4	XZ	LOM-A02133	MYH3	7.60	BO10SN4	XZ	LOM-A02133	MYH3	3.70
BN10SN4	XZ	LOM-G01000	MYH3	3.05	BO10SN4	XZ	LOM-G01000	MYH3	3.20

Tablo C.1 (devam): Mevcut binalara ait yerdeğiştirme talepleri

Bina Adı	Analiz Yönü	İvme Kaydı	MYH Grup No	Δ_d (cm)	Bina Adı	Analiz Yönü	İvme Kaydı	MYH Grup No	Δ_d (cm)
BN10SN4	XZ	LOM-G01090	MYH3	4.85	BO10SN4	XZ	LOM-G01090	MYH3	5.02
BN10SN4	XZ	LOM-G02000	MYH3	8.07	BO10SN4	XZ	LOM-G02000	MYH3	5.41
BN10SN4	XZ	LOM-TRI090	MYH3	6.18	BO10SN4	XZ	LOM-TRI090	MYH3	3.17
BN10SN4	XZ	MAM-LUL090	MYH3	6.55	BO10SN4	XZ	MAM-LUL090	MYH3	5.04
BN10SN4	XZ	NOR-CNP106	MYH3	7.60	BO10SN4	XZ	NOR-CNP106	MYH3	4.25
BN10SN4	XZ	NOR-PAC265	MYH3	5.38	BO10SN4	XZ	NOR-PAC265	MYH3	4.10
BN10SN4	XZ	NOR-PKC090	MYH3	7.25	BO10SN4	XZ	NOR-PKC090	MYH3	5.94
BN10SN4	XZ	NOR-WIL180	MYH3	6.24	BO10SN4	XZ	NOR-WIL180	MYH3	4.49
BN10SN4	XZ	NPAL-MVH045	MYH3	4.59	BO10SN4	XZ	NPAL-MVH045	MYH3	2.68
BN10SN4	XZ	NPAL-NPS300	MYH3	5.23	BO10SN4	XZ	NPAL-NPS300	MYH3	5.64
BN10SN4	XZ	NPAL-WWT270	MYH3	6.85	BO10SN4	XZ	NPAL-WWT270	MYH3	7.31
BN10SN4	XZ	SUP-IVW090	MYH3	3.36	BO10SN4	XZ	SUP-IVW090	MYH3	2.14
BN10SN4	XZ	SUP-IVW360	MYH3	4.92	BO10SN4	XZ	SUP-IVW360	MYH3	3.24
BN10SN4	XZ	SUP-KRN360	MYH3	3.70	BO10SN4	XZ	SUP-KRN360	MYH3	2.55
BN10SN4	XZ	SUP-POE360	MYH3	5.70	BO10SN4	XZ	SUP-POE360	MYH3	3.17
BN10SN4	XZ	SUP-SUP045	MYH3	6.14	BO10SN4	XZ	SUP-SUP045	MYH3	4.84
BN10SN4	XZ	VIC-CPE045	MYH3	6.51	BO10SN4	XZ	VIC-CPE045	MYH3	7.34
BN10SN4	XZ	WHI-OR2010	MYH3	8.64	BO10SN4	XZ	WHI-OR2010	MYH3	4.69
BN10SN4	YZ	CAP-FOR000	MYH3	2.19	BO10SN4	YZ	CAP-FOR000	MYH3	1.68
BN10SN4	YZ	CHI-CHY29W	MYH3	5.18	BO10SN4	YZ	CHI-CHY29W	MYH3	4.65
BN10SN4	YZ	CHI-TCU046N	MYH3	1.91	BO10SN4	YZ	CHI-TCU046N	MYH3	1.23
BN10SN4	YZ	CHI-TCU112-N	MYH3	1.26	BO10SN4	YZ	CHI-TCU112-N	MYH3	1.51
BN10SN4	YZ	CHI-TCU118-N	MYH3	1.98	BO10SN4	YZ	CHI-TCU118-N	MYH3	1.42
BN10SN4	YZ	FRI-TMZ270	MYH3	5.80	BO10SN4	YZ	FRI-TMZ270	MYH3	4.77
BN10SN4	YZ	IMP-ELC2-140	MYH3	4.18	BO10SN4	YZ	IMP-ELC2-140	MYH3	3.39
BN10SN4	YZ	IMP-ELC11-140	MYH3	3.45	BO10SN4	YZ	IMP-ELC11-140	MYH3	2.97
BN10SN4	YZ	IMP-SAH270	MYH3	4.94	BO10SN4	YZ	IMP-SAH270	MYH3	4.67
BN10SN4	YZ	KOC-AMB090	MYH3	3.67	BO10SN4	YZ	KOC-AMB090	MYH3	2.83
BN10SN4	YZ	KOC-GBZ270	MYH3	2.84	BO10SN4	YZ	KOC-GBZ270	MYH3	2.63
BN10SN4	YZ	KOC-IZM090	MYH3	2.77	BO10SN4	YZ	KOC-IZM090	MYH3	2.07
BN10SN4	YZ	LAN-LUC000	MYH3	3.62	BO10SN4	YZ	LAN-LUC000	MYH3	2.78
BN10SN4	YZ	LAN-YER360	MYH3	3.19	BO10SN4	YZ	LAN-YER360	MYH3	1.95
BN10SN4	YZ	LOM-A02133	MYH3	3.51	BO10SN4	YZ	LOM-A02133	MYH3	2.40
BN10SN4	YZ	LOM-G01000	MYH3	3.77	BO10SN4	YZ	LOM-G01000	MYH3	3.03
BN10SN4	YZ	LOM-G01090	MYH3	5.38	BO10SN4	YZ	LOM-G01090	MYH3	4.27
BN10SN4	YZ	LOM-G02000	MYH3	4.72	BO10SN4	YZ	LOM-G02000	MYH3	4.87
BN10SN4	YZ	LOM-TRI090	MYH3	3.36	BO10SN4	YZ	LOM-TRI090	MYH3	2.03
BN10SN4	YZ	MAM-LUL090	MYH3	5.52	BO10SN4	YZ	MAM-LUL090	MYH3	3.91
BN10SN4	YZ	NOR-CNP106	MYH3	5.12	BO10SN4	YZ	NOR-CNP106	MYH3	5.76
BN10SN4	YZ	NOR-PAC265	MYH3	5.15	BO10SN4	YZ	NOR-PAC265	MYH3	3.67
BN10SN4	YZ	NOR-PKC090	MYH3	6.39	BO10SN4	YZ	NOR-PKC090	MYH3	4.71
BN10SN4	YZ	NOR-WIL180	MYH3	4.55	BO10SN4	YZ	NOR-WIL180	MYH3	3.69
BN10SN4	YZ	NPAL-MVH045	MYH3	2.79	BO10SN4	YZ	NPAL-MVH045	MYH3	2.28
BN10SN4	YZ	NPAL-NPS300	MYH3	5.66	BO10SN4	YZ	NPAL-NPS300	MYH3	4.85
BN10SN4	YZ	NPAL-WWT270	MYH3	7.01	BO10SN4	YZ	NPAL-WWT270	MYH3	5.67
BN10SN4	YZ	SUP-IVW090	MYH3	2.20	BO10SN4	YZ	SUP-IVW090	MYH3	1.72
BN10SN4	YZ	SUP-IVW360	MYH3	3.73	BO10SN4	YZ	SUP-IVW360	MYH3	2.33
BN10SN4	YZ	SUP-KRN360	MYH3	2.53	BO10SN4	YZ	SUP-KRN360	MYH3	2.07
BN10SN4	YZ	SUP-POE360	MYH3	3.79	BO10SN4	YZ	SUP-POE360	MYH3	3.00
BN10SN4	YZ	SUP-SUP045	MYH3	5.87	BO10SN4	YZ	SUP-SUP045	MYH3	4.36
BN10SN4	YZ	VIC-CPE045	MYH3	7.18	BO10SN4	YZ	VIC-CPE045	MYH3	7.11
BN10SN4	YZ	WHI-OR2010	MYH3	4.42	BO10SN4	YZ	WHI-OR2010	MYH3	3.63
BN10SN4	XZ	CHI-CHY29N	MYH4	7.44	BO10SN4	XZ	CHI-CHY29N	MYH4	5.81
BN10SN4	XZ	CHI-CHY036W	MYH4	8.20	BO10SN4	XZ	CHI-CHY036W	MYH4	6.25
BN10SN4	XZ	CHI-CHY41N	MYH4	7.32	BO10SN4	XZ	CHI-CHY41N	MYH4	8.77
BN10SN4	XZ	CHI-TCU45N	MYH4	7.94	BO10SN4	XZ	CHI-TCU45N	MYH4	8.97
BN10SN4	XZ	CHI-TCU45W	MYH4	6.19	BO10SN4	XZ	CHI-TCU45W	MYH4	5.45
BN10SN4	XZ	CHI-TCU51N	MYH4	5.57	BO10SN4	XZ	CHI-TCU51N	MYH4	2.82
BN10SN4	XZ	COA-PLE135	MYH4	8.58	BO10SN4	XZ	COA-PLE135	MYH4	6.90

Tablo C.1 (devam): Mevcut binalara ait yerdeğiştirme talepleri

Bina Adı	Analiz Yönü	İvme Kaydı	MYH Grup No	Δ_d (cm)	Bina Adı	Analiz Yönü	İvme Kaydı	MYH Grup No	Δ_d (cm)
BN10SN4	XZ	IMP-BRA225	MYH4	1.50	BO10SN4	XZ	IMP-BRA225	MYH4	1.26
BN10SN4	XZ	IMP-BRA315	MYH4	4.19	BO10SN4	XZ	IMP-BRA315	MYH4	3.74
BN10SN4	XZ	IMP-ECC002	MYH4	4.50	BO10SN4	XZ	IMP-ECC002	MYH4	3.39
BN10SN4	XZ	IMP-ELC4-140	MYH4	11.76	BO10SN4	XZ	IMP-ELC4-140	MYH4	7.96
BN10SN4	XZ	IRP-STU000	MYH4	5.98	BO10SN4	XZ	IRP-STU000	MYH4	3.69
BN10SN4	XZ	KOB-NIS000	MYH4	6.57	BO10SN4	XZ	KOB-NIS000	MYH4	6.39
BN10SN4	XZ	KOB-NIS090	MYH4	7.47	BO10SN4	XZ	KOB-NIS090	MYH4	6.34
BN10SN4	XZ	KOB-SHI000	MYH4	7.70	BO10SN4	XZ	KOB-SHI000	MYH4	5.17
BN10SN4	XZ	KOC-ARC090	MYH4	2.08	BO10SN4	XZ	KOC-ARC090	MYH4	1.53
BN10SN4	XZ	LOM-G02090	MYH4	7.49	BO10SN4	XZ	LOM-G02090	MYH4	4.12
BN10SN4	XZ	LOM-G03000	MYH4	5.30	BO10SN4	XZ	LOM-G03000	MYH4	4.43
BN10SN4	XZ	LOM-HDA255	MYH4	7.66	BO10SN4	XZ	LOM-HDA255	MYH4	6.42
BN10SN4	XZ	LOM-SVL360	MYH4	3.86	BO10SN4	XZ	LOM-SVL360	MYH4	2.82
BN10SN4	XZ	MOR-G06090	MYH4	8.75	BO10SN4	XZ	MOR-G06090	MYH4	5.42
BN10SN4	XZ	MOR-HAL240	MYH4	8.97	BO10SN4	XZ	MOR-HAL240	MYH4	5.93
BN10SN4	XZ	NOR-KAT090	MYH4	8.00	BO10SN4	XZ	NOR-KAT090	MYH4	9.25
BN10SN4	XZ	NOR-SCR090	MYH4	5.66	BO10SN4	XZ	NOR-SCR090	MYH4	4.35
BN10SN4	XZ	NOR-STN020	MYH4	7.97	BO10SN4	XZ	NOR-STN020	MYH4	6.77
BN10SN4	XZ	NPAL-WWT180	MYH4	6.42	BO10SN4	XZ	NPAL-WWT180	MYH4	4.67
BN10SN4	XZ	SUP-POE270	MYH4	7.20	BO10SN4	XZ	SUP-POE270	MYH4	4.89
BN10SN4	XZ	WES-PTS225	MYH4	5.63	BO10SN4	XZ	WES-PTS225	MYH4	4.37
BN10SN4	XZ	WHI-BIR180	MYH4	10.11	BO10SN4	XZ	WHI-BIR180	MYH4	6.37
BN10SN4	XZ	WHI-EJS048	MYH4	7.46	BO10SN4	XZ	WHI-EJS048	MYH4	5.61
BN10SN4	YZ	CHI-CHY29N	MYH4	6.22	BO10SN4	YZ	CHI-CHY29N	MYH4	4.63
BN10SN4	YZ	CHI-CHY036W	MYH4	6.91	BO10SN4	YZ	CHI-CHY036W	MYH4	4.84
BN10SN4	YZ	CHI-CHY41N	MYH4	9.99	BO10SN4	YZ	CHI-CHY41N	MYH4	7.73
BN10SN4	YZ	CHI-TCU45N	MYH4	9.36	BO10SN4	YZ	CHI-TCU45N	MYH4	7.52
BN10SN4	YZ	CHI-TCU45W	MYH4	5.98	BO10SN4	YZ	CHI-TCU45W	MYH4	4.86
BN10SN4	YZ	CHI-TCU51N	MYH4	2.84	BO10SN4	YZ	CHI-TCU51N	MYH4	2.27
BN10SN4	YZ	COA-PLE135	MYH4	6.74	BO10SN4	YZ	COA-PLE135	MYH4	6.60
BN10SN4	YZ	IMP-BRA225	MYH4	1.22	BO10SN4	YZ	IMP-BRA225	MYH4	1.04
BN10SN4	YZ	IMP-BRA315	MYH4	3.85	BO10SN4	YZ	IMP-BRA315	MYH4	2.87
BN10SN4	YZ	IMP-ECC002	MYH4	4.54	BO10SN4	YZ	IMP-ECC002	MYH4	2.91
BN10SN4	YZ	IMP-ELC4-140	MYH4	6.96	BO10SN4	YZ	IMP-ELC4-140	MYH4	4.79
BN10SN4	YZ	IRP-STU000	MYH4	4.02	BO10SN4	YZ	IRP-STU000	MYH4	2.82
BN10SN4	YZ	KOB-NIS000	MYH4	6.47	BO10SN4	YZ	KOB-NIS000	MYH4	7.05
BN10SN4	YZ	KOB-NIS090	MYH4	6.59	BO10SN4	YZ	KOB-NIS090	MYH4	6.06
BN10SN4	YZ	KOB-SHI000	MYH4	4.55	BO10SN4	YZ	KOB-SHI000	MYH4	3.08
BN10SN4	YZ	KOC-ARC090	MYH4	1.57	BO10SN4	YZ	KOC-ARC090	MYH4	1.14
BN10SN4	YZ	LOM-G02090	MYH4	4.82	BO10SN4	YZ	LOM-G02090	MYH4	3.43
BN10SN4	YZ	LOM-G03000	MYH4	5.26	BO10SN4	YZ	LOM-G03000	MYH4	4.57
BN10SN4	YZ	LOM-HDA255	MYH4	6.02	BO10SN4	YZ	LOM-HDA255	MYH4	4.24
BN10SN4	YZ	LOM-SVL360	MYH4	3.10	BO10SN4	YZ	LOM-SVL360	MYH4	2.42
BN10SN4	YZ	MOR-G06090	MYH4	4.64	BO10SN4	YZ	MOR-G06090	MYH4	3.67
BN10SN4	YZ	MOR-HAL240	MYH4	5.66	BO10SN4	YZ	MOR-HAL240	MYH4	3.68
BN10SN4	YZ	NOR-KAT090	MYH4	8.98	BO10SN4	YZ	NOR-KAT090	MYH4	8.15
BN10SN4	YZ	NOR-SCR090	MYH4	3.54	BO10SN4	YZ	NOR-SCR090	MYH4	3.29
BN10SN4	YZ	NOR-STN020	MYH4	6.99	BO10SN4	YZ	NOR-STN020	MYH4	4.48
BN10SN4	YZ	NPAL-WWT180	MYH4	5.26	BO10SN4	YZ	NPAL-WWT180	MYH4	4.28
BN10SN4	YZ	SUP-POE270	MYH4	4.49	BO10SN4	YZ	SUP-POE270	MYH4	5.36
BN10SN4	YZ	WES-PTS225	MYH4	4.39	BO10SN4	YZ	WES-PTS225	MYH4	3.66
BN10SN4	YZ	WHI-BIR180	MYH4	5.80	BO10SN4	YZ	WHI-BIR180	MYH4	4.20
BN10SN4	YZ	WHI-EJS048	MYH4	6.54	BO10SN4	YZ	WHI-EJS048	MYH4	5.34
BN10SN4	XZ	CAP-RIO270	MYH5	10.46	BO10SN4	XZ	CAP-RIO270	MYH5	5.88
BN10SN4	XZ	CAP-RIO360	MYH5	8.21	BO10SN4	XZ	CAP-RIO360	MYH5	8.30
BN10SN4	XZ	CHI-TCU046W	MYH5	2.63	BO10SN4	XZ	CHI-TCU046W	MYH5	1.79
BN10SN4	XZ	CHI-TCU061N	MYH5	3.01	BO10SN4	XZ	CHI-TCU061N	MYH5	2.65
BN10SN4	XZ	CHI-TCU74N	MYH5	8.23	BO10SN4	XZ	CHI-TCU74N	MYH5	6.53
BN10SN4	XZ	CHI-TCU112-W	MYH5	1.70	BO10SN4	XZ	CHI-TCU112-W	MYH5	1.57

Tablo C.1 (devam): Mevcut binalara ait yerdeğiştirme talepleri

Bina Adı	Analiz Yönü	İvme Kaydı	MYH Grup No	Δ_d (cm)	Bina Adı	Analiz Yönü	İvme Kaydı	MYH Grup No	Δ_d (cm)
BN10SN4	XZ	CHI-TCU123-W	MYH5	4.28	BO10SN4	XZ	CHI-TCU123-W	MYH5	2.55
BN10SN4	XZ	CHI-TCU141-E	MYH5	2.13	BO10SN4	XZ	CHI-TCU141-E	MYH5	1.84
BN10SN4	XZ	CHI-WNTN	MYH5	7.37	BO10SN4	XZ	CHI-WNTN	MYH5	3.90
BN10SN4	XZ	COA-Z14000	MYH5	7.48	BO10SN4	XZ	COA-Z14000	MYH5	5.41
BN10SN4	XZ	IMP-AER045	MYH5	3.96	BO10SN4	XZ	IMP-AER045	MYH5	3.89
BN10SN4	XZ	IMP-ELC3-230	MYH5	3.45	BO10SN4	XZ	IMP-ELC3-230	MYH5	3.44
BN10SN4	XZ	IMP-ELC11-230	MYH5	4.31	BO10SN4	XZ	IMP-ELC11-230	MYH5	3.86
BN10SN4	XZ	IMP-ELCD-360	MYH5	9.02	BO10SN4	XZ	IMP-ELCD-360	MYH5	8.00
BN10SN4	XZ	KOC-AMB000	MYH5	4.56	BO10SN4	XZ	KOC-AMB000	MYH5	4.52
BN10SN4	XZ	LAN-CLVTR	MYH5	12.85	BO10SN4	XZ	LAN-CLVTR	MYH5	9.69
BN10SN4	XZ	LAN-JOS090	MYH5	8.35	BO10SN4	XZ	LAN-JOS090	MYH5	3.63
BN10SN4	XZ	LOM-CYC285	MYH5	7.83	BO10SN4	XZ	LOM-CYC285	MYH5	5.91
BN10SN4	XZ	LOM-GOF090	MYH5	5.44	BO10SN4	XZ	LOM-GOF090	MYH5	4.84
BN10SN4	XZ	LOM-HDA165	MYH5	7.56	BO10SN4	XZ	LOM-HDA165	MYH5	5.31
BN10SN4	XZ	LOM-SAR000	MYH5	9.87	BO10SN4	XZ	LOM-SAR000	MYH5	7.00
BN10SN4	XZ	LOM-SAR090	MYH5	3.86	BO10SN4	XZ	LOM-SAR090	MYH5	4.11
BN10SN4	XZ	NOR-KAT000	MYH5	8.31	BO10SN4	XZ	NOR-KAT000	MYH5	10.25
BN10SN4	XZ	NOR-LOS000	MYH5	11.32	BO10SN4	XZ	NOR-LOS000	MYH5	7.88
BN10SN4	XZ	NOR-MU2035	MYH5	4.81	BO10SN4	XZ	NOR-MU2035	MYH5	4.27
BN10SN4	XZ	NOR-STM090	MYH5	6.13	BO10SN4	XZ	NOR-STM090	MYH5	3.73
BN10SN4	XZ	NPAL-MVH135	MYH5	5.73	BO10SN4	XZ	NPAL-MVH135	MYH5	2.82
BN10SN4	XZ	SUP-ELC090	MYH5	3.95	BO10SN4	XZ	SUP-ELC090	MYH5	4.79
BN10SN4	XZ	SUP-PTS315	MYH5	7.73	BO10SN4	XZ	SUP-PTS315	MYH5	3.89
BN10SN4	XZ	SUP-SUP135	MYH5	7.30	BO10SN4	XZ	SUP-SUP135	MYH5	5.73
BN10SN4	YZ	CAP-RIO270	MYH5	5.96	BO10SN4	YZ	CAP-RIO270	MYH5	3.77
BN10SN4	YZ	CAP-RIO360	MYH5	8.71	BO10SN4	YZ	CAP-RIO360	MYH5	8.56
BN10SN4	YZ	CHI-TCU046W	MYH5	1.92	BO10SN4	YZ	CHI-TCU046W	MYH5	1.24
BN10SN4	YZ	CHI-TCU061N	MYH5	2.81	BO10SN4	YZ	CHI-TCU061N	MYH5	2.39
BN10SN4	YZ	CHI-TCU74N	MYH5	7.24	BO10SN4	YZ	CHI-TCU74N	MYH5	4.59
BN10SN4	YZ	CHI-TCU112-W	MYH5	1.56	BO10SN4	YZ	CHI-TCU112-W	MYH5	1.35
BN10SN4	YZ	CHI-TCU123-W	MYH5	2.54	BO10SN4	YZ	CHI-TCU123-W	MYH5	2.02
BN10SN4	YZ	CHI-TCU141-E	MYH5	1.88	BO10SN4	YZ	CHI-TCU141-E	MYH5	1.14
BN10SN4	YZ	CHI-WNTN	MYH5	3.71	BO10SN4	YZ	CHI-WNTN	MYH5	3.32
BN10SN4	YZ	COA-Z14000	MYH5	5.16	BO10SN4	YZ	COA-Z14000	MYH5	5.47
BN10SN4	YZ	IMP-AER045	MYH5	3.76	BO10SN4	YZ	IMP-AER045	MYH5	2.90
BN10SN4	YZ	IMP-ELC3-230	MYH5	3.58	BO10SN4	YZ	IMP-ELC3-230	MYH5	1.82
BN10SN4	YZ	IMP-ELC11-230	MYH5	4.81	BO10SN4	YZ	IMP-ELC11-230	MYH5	3.72
BN10SN4	YZ	IMP-ELCD-360	MYH5	6.88	BO10SN4	YZ	IMP-ELCD-360	MYH5	5.10
BN10SN4	YZ	KOC-AMB000	MYH5	4.86	BO10SN4	YZ	KOC-AMB000	MYH5	3.46
BN10SN4	YZ	LAN-CLVTR	MYH5	11.01	BO10SN4	YZ	LAN-CLVTR	MYH5	9.10
BN10SN4	YZ	LAN-JOS090	MYH5	3.80	BO10SN4	YZ	LAN-JOS090	MYH5	3.42
BN10SN4	YZ	LOM-CYC285	MYH5	5.99	BO10SN4	YZ	LOM-CYC285	MYH5	4.63
BN10SN4	YZ	LOM-GOF090	MYH5	4.87	BO10SN4	YZ	LOM-GOF090	MYH5	4.13
BN10SN4	YZ	LOM-HDA165	MYH5	5.03	BO10SN4	YZ	LOM-HDA165	MYH5	4.41
BN10SN4	YZ	LOM-SAR000	MYH5	5.62	BO10SN4	YZ	LOM-SAR000	MYH5	3.83
BN10SN4	YZ	LOM-SAR090	MYH5	3.73	BO10SN4	YZ	LOM-SAR090	MYH5	2.62
BN10SN4	YZ	NOR-KAT000	MYH5	12.10	BO10SN4	YZ	NOR-KAT000	MYH5	13.71
BN10SN4	YZ	NOR-LOS000	MYH5	6.38	BO10SN4	YZ	NOR-LOS000	MYH5	5.94
BN10SN4	YZ	NOR-MU2035	MYH5	4.57	BO10SN4	YZ	NOR-MU2035	MYH5	6.27
BN10SN4	YZ	NOR-STM090	MYH5	4.11	BO10SN4	YZ	NOR-STM090	MYH5	5.37
BN10SN4	YZ	NPAL-MVH135	MYH5	3.19	BO10SN4	YZ	NPAL-MVH135	MYH5	2.49
BN10SN4	YZ	SUP-ELC090	MYH5	4.52	BO10SN4	YZ	SUP-ELC090	MYH5	4.02
BN10SN4	YZ	SUP-PTS315	MYH5	3.75	BO10SN4	YZ	SUP-PTS315	MYH5	3.41
BN10SN4	YZ	SUP-SUP135	MYH5	7.89	BO10SN4	YZ	SUP-SUP135	MYH5	5.39
BN10SN4	XZ	CAP-PET000	MYH6	12.21	BO10SN4	XZ	CAP-PET000	MYH6	10.44
BN10SN4	XZ	CHI-CHY025W	MYH6	4.37	BO10SN4	XZ	CHI-CHY025W	MYH6	2.91
BN10SN4	XZ	CHI-CHY034-N	MYH6	8.08	BO10SN4	XZ	CHI-CHY034-N	MYH6	6.20
BN10SN4	XZ	CHI-TCU038N	MYH6	4.00	BO10SN4	XZ	CHI-TCU038N	MYH6	2.59
BN10SN4	XZ	CHI-TCU038W	MYH6	3.44	BO10SN4	XZ	CHI-TCU038W	MYH6	3.22

Tablo C.1 (devam): Mevcut binalara ait yerdeğiştirme talepleri

Bina Adı	Analiz Yönü	İvme Kaydı	MYH Grup No	Δ_d (cm)	Bina Adı	Analiz Yönü	İvme Kaydı	MYH Grup No	Δ_d (cm)
BN10SN4	XZ	CHI-TCU048N	MYH6	3.86	BO10SN4	XZ	CHI-TCU048N	MYH6	2.57
BN10SN4	XZ	CHI-TCU49W	MYH6	4.67	BO10SN4	XZ	CHI-TCU49W	MYH6	3.56
BN10SN4	XZ	CHI-TCU51W	MYH6	4.20	BO10SN4	XZ	CHI-TCU51W	MYH6	2.91
BN10SN4	XZ	CHI-TCU95N	MYH6	5.16	BO10SN4	XZ	CHI-TCU95N	MYH6	3.65
BN10SN4	XZ	CHI-TCU104-N	MYH6	1.63	BO10SN4	XZ	CHI-TCU104-N	MYH6	1.80
BN10SN4	XZ	CHI-TCU106-W	MYH6	4.26	BO10SN4	XZ	CHI-TCU106-W	MYH6	3.56
BN10SN4	XZ	CHI-TCU107-N	MYH6	4.08	BO10SN4	XZ	CHI-TCU107-N	MYH6	3.04
BN10SN4	XZ	COY-G06230	MYH6	7.63	BO10SN4	XZ	COY-G06230	MYH6	7.31
BN10SN4	XZ	IMP-E10050	MYH6	3.03	BO10SN4	XZ	IMP-E10050	MYH6	3.16
BN10SN4	XZ	IMP-ELC3-140	MYH6	5.85	BO10SN4	XZ	IMP-ELC3-140	MYH6	2.87
BN10SN4	XZ	IMP-ELC5-140	MYH6	6.48	BO10SN4	XZ	IMP-ELC5-140	MYH6	7.10
BN10SN4	XZ	IMP-ELC7-140	MYH6	8.12	BO10SN4	XZ	IMP-ELC7-140	MYH6	5.31
BN10SN4	XZ	IMP-ELC8-230	MYH6	5.39	BO10SN4	XZ	IMP-ELC8-230	MYH6	3.86
BN10SN4	XZ	IMP-HVP225	MYH6	4.81	BO10SN4	XZ	IMP-HVP225	MYH6	4.71
BN10SN4	XZ	KOC-DZC270	MYH6	6.04	BO10SN4	XZ	KOC-DZC270	MYH6	5.05
BN10SN4	XZ	LOM-BRN090	MYH6	11.13	BO10SN4	XZ	LOM-BRN090	MYH6	10.48
BN10SN4	XZ	LOM-COR090	MYH6	8.72	BO10SN4	XZ	LOM-COR090	MYH6	6.75
BN10SN4	XZ	LOM-G03090	MYH6	4.99	BO10SN4	XZ	LOM-G03090	MYH6	4.19
BN10SN4	XZ	LOM-HCH180	MYH6	6.70	BO10SN4	XZ	LOM-HCH180	MYH6	4.43
BN10SN4	XZ	NAH-S1010	MYH6	6.10	BO10SN4	XZ	NAH-S1010	MYH6	5.57
BN10SN4	XZ	NAH-S1280	MYH6	5.67	BO10SN4	XZ	NAH-S1280	MYH6	4.90
BN10SN4	XZ	NOR-LOS270	MYH6	8.43	BO10SN4	XZ	NOR-LOS270	MYH6	7.40
BN10SN4	XZ	NOR-PAC175	MYH6	5.91	BO10SN4	XZ	NOR-PAC175	MYH6	4.93
BN10SN4	XZ	SUP-ELC000	MYH6	6.97	BO10SN4	XZ	SUP-ELC000	MYH6	5.00
BN10SN4	XZ	WES-WSM090	MYH6	7.48	BO10SN4	XZ	WES-WSM090	MYH6	7.14
BN10SN4	YZ	CAP-PET000	MYH6	9.14	BO10SN4	YZ	CAP-PET000	MYH6	8.59
BN10SN4	YZ	CHI-CHY025W	MYH6	3.37	BO10SN4	YZ	CHI-CHY025W	MYH6	2.34
BN10SN4	YZ	CHI-CHY034-N	MYH6	5.60	BO10SN4	YZ	CHI-CHY034-N	MYH6	4.90
BN10SN4	YZ	CHI-TCU038N	MYH6	2.94	BO10SN4	YZ	CHI-TCU038N	MYH6	2.29
BN10SN4	YZ	CHI-TCU038W	MYH6	3.17	BO10SN4	YZ	CHI-TCU038W	MYH6	2.41
BN10SN4	YZ	CHI-TCU048N	MYH6	2.90	BO10SN4	YZ	CHI-TCU048N	MYH6	1.63
BN10SN4	YZ	CHI-TCU49W	MYH6	4.02	BO10SN4	YZ	CHI-TCU49W	MYH6	2.12
BN10SN4	YZ	CHI-TCU51W	MYH6	3.05	BO10SN4	YZ	CHI-TCU51W	MYH6	2.98
BN10SN4	YZ	CHI-TCU95N	MYH6	4.94	BO10SN4	YZ	CHI-TCU95N	MYH6	3.83
BN10SN4	YZ	CHI-TCU104-N	MYH6	2.00	BO10SN4	YZ	CHI-TCU104-N	MYH6	1.13
BN10SN4	YZ	CHI-TCU106-W	MYH6	4.69	BO10SN4	YZ	CHI-TCU106-W	MYH6	2.57
BN10SN4	YZ	CHI-TCU107-N	MYH6	3.51	BO10SN4	YZ	CHI-TCU107-N	MYH6	2.34
BN10SN4	YZ	COY-G06230	MYH6	7.79	BO10SN4	YZ	COY-G06230	MYH6	6.47
BN10SN4	YZ	IMP-E10050	MYH6	3.38	BO10SN4	YZ	IMP-E10050	MYH6	3.09
BN10SN4	YZ	IMP-ELC3-140	MYH6	3.28	BO10SN4	YZ	IMP-ELC3-140	MYH6	2.86
BN10SN4	YZ	IMP-ELC5-140	MYH6	6.54	BO10SN4	YZ	IMP-ELC5-140	MYH6	4.50
BN10SN4	YZ	IMP-ELC7-140	MYH6	4.77	BO10SN4	YZ	IMP-ELC7-140	MYH6	3.41
BN10SN4	YZ	IMP-ELC8-230	MYH6	4.01	BO10SN4	YZ	IMP-ELC8-230	MYH6	2.88
BN10SN4	YZ	IMP-HVP225	MYH6	5.03	BO10SN4	YZ	IMP-HVP225	MYH6	4.06
BN10SN4	YZ	KOC-DZC270	MYH6	5.51	BO10SN4	YZ	KOC-DZC270	MYH6	4.80
BN10SN4	YZ	LOM-BRN090	MYH6	9.92	BO10SN4	YZ	LOM-BRN090	MYH6	9.77
BN10SN4	YZ	LOM-COR090	MYH6	8.35	BO10SN4	YZ	LOM-COR090	MYH6	5.91
BN10SN4	YZ	LOM-G03090	MYH6	4.45	BO10SN4	YZ	LOM-G03090	MYH6	2.62
BN10SN4	YZ	LOM-HCH180	MYH6	4.62	BO10SN4	YZ	LOM-HCH180	MYH6	2.82
BN10SN4	YZ	NAH-S1010	MYH6	6.30	BO10SN4	YZ	NAH-S1010	MYH6	5.63
BN10SN4	YZ	NAH-S1280	MYH6	4.97	BO10SN4	YZ	NAH-S1280	MYH6	5.48
BN10SN4	YZ	NOR-LOS270	MYH6	6.99	BO10SN4	YZ	NOR-LOS270	MYH6	6.84
BN10SN4	YZ	NOR-PAC175	MYH6	6.71	BO10SN4	YZ	NOR-PAC175	MYH6	4.58
BN10SN4	YZ	SUP-ELC000	MYH6	4.37	BO10SN4	YZ	SUP-ELC000	MYH6	3.91
BN10SN4	YZ	WES-WSM090	MYH6	6.27	BO10SN4	YZ	WES-WSM090	MYH6	4.82
BN10SN4	XZ	CHI-CHY002-N	MYH7	3.01	BO10SN4	XZ	CHI-CHY002-N	MYH7	1.74
BN10SN4	XZ	CHI-CHY024W	MYH7	6.67	BO10SN4	XZ	CHI-CHY024W	MYH7	3.46
BN10SN4	XZ	CHI-CHY104-E	MYH7	5.07	BO10SN4	XZ	CHI-CHY104-E	MYH7	3.18
BN10SN4	XZ	CHI-TCU029N	MYH7	2.94	BO10SN4	XZ	CHI-TCU029N	MYH7	2.04

Tablo C.1 (devam): Mevcut binalara ait yerdeğiştirme talepleri

Bina Adı	Analiz Yönü	İvme Kaydı	MYH Grup No	Δ_d (cm)	Bina Adı	Analiz Yönü	İvme Kaydı	MYH Grup No	Δ_d (cm)
BN10SN4	XZ	CHI-TCU036N	MYH7	3.81	BO10SN4	XZ	CHI-TCU036N	MYH7	2.30
BN10SN4	XZ	CHI-TCU039N	MYH7	4.18	BO10SN4	XZ	CHI-TCU039N	MYH7	2.09
BN10SN4	XZ	CHI-TCU039W	MYH7	6.13	BO10SN4	XZ	CHI-TCU039W	MYH7	3.51
BN10SN4	XZ	CHI-TCU040N	MYH7	3.17	BO10SN4	XZ	CHI-TCU040N	MYH7	2.13
BN10SN4	XZ	CHI-TCU040W	MYH7	2.89	BO10SN4	XZ	CHI-TCU040W	MYH7	2.74
BN10SN4	XZ	CHI-TCU055N	MYH7	4.30	BO10SN4	XZ	CHI-TCU055N	MYH7	3.10
BN10SN4	XZ	CHI-TCU064N	MYH7	2.31	BO10SN4	XZ	CHI-TCU064N	MYH7	1.62
BN10SN4	XZ	CHI-TCU70W	MYH7	6.44	BO10SN4	XZ	CHI-TCU70W	MYH7	5.82
BN10SN4	XZ	CHI-TCU109-N	MYH7	3.86	BO10SN4	XZ	CHI-TCU109-N	MYH7	3.68
BN10SN4	XZ	CHI-TCU109-W	MYH7	4.30	BO10SN4	XZ	CHI-TCU109-W	MYH7	3.03
BN10SN4	XZ	CHI-TCU115-W	MYH7	2.44	BO10SN4	XZ	CHI-TCU115-W	MYH7	1.92
BN10SN4	XZ	CHI-TCU117-N	MYH7	2.76	BO10SN4	XZ	CHI-TCU117-N	MYH7	1.94
BN10SN4	XZ	IMP-ELC8-140	MYH7	7.67	BO10SN4	XZ	IMP-ELC8-140	MYH7	6.67
BN10SN4	XZ	IMP-HVP315	MYH7	3.28	BO10SN4	XZ	IMP-HVP315	MYH7	3.25
BN10SN4	XZ	IRP-STU270	MYH7	4.61	BO10SN4	XZ	IRP-STU270	MYH7	2.55
BN10SN4	XZ	KOC-GBZ000	MYH7	4.59	BO10SN4	XZ	KOC-GBZ000	MYH7	3.34
BN10SN4	XZ	LAN-YER270	MYH7	7.23	BO10SN4	XZ	LAN-YER270	MYH7	4.28
BN10SN4	XZ	LOM-A02043	MYH7	9.41	BO10SN4	XZ	LOM-A02043	MYH7	7.80
BN10SN4	XZ	LOM-BRN000	MYH7	10.30	BO10SN4	XZ	LOM-BRN000	MYH7	7.29
BN10SN4	XZ	LOM-LGP090	MYH7	8.25	BO10SN4	XZ	LOM-LGP090	MYH7	7.81
BN10SN4	XZ	MOR-CYC195	MYH7	14.61	BO10SN4	XZ	MOR-CYC195	MYH7	10.52
BN10SN4	XZ	NOR-LDM334	MYH7	10.79	BO10SN4	XZ	NOR-LDM334	MYH7	7.76
BN10SN4	XZ	NOR-ORR090	MYH7	9.21	BO10SN4	XZ	NOR-ORR090	MYH7	6.51
BN10SN4	XZ	NOR-ORR360	MYH7	16.65	BO10SN4	XZ	NOR-ORR360	MYH7	12.02
BN10SN4	XZ	NOR-PKC360	MYH7	11.13	BO10SN4	XZ	NOR-PKC360	MYH7	9.58
BN10SN4	XZ	SFD-PCD254	MYH7	9.02	BO10SN4	XZ	SFD-PCD254	MYH7	11.30
BN10SN4	YZ	CHI-CHY002-N	MYH7	1.77	BO10SN4	YZ	CHI-CHY002-N	MYH7	1.26
BN10SN4	YZ	CHI-CHY024W	MYH7	3.86	BO10SN4	YZ	CHI-CHY024W	MYH7	3.58
BN10SN4	YZ	CHI-CHY104-E	MYH7	3.36	BO10SN4	YZ	CHI-CHY104-E	MYH7	3.47
BN10SN4	YZ	CHI-TCU029N	MYH7	2.19	BO10SN4	YZ	CHI-TCU029N	MYH7	1.85
BN10SN4	YZ	CHI-TCU036N	MYH7	2.31	BO10SN4	YZ	CHI-TCU036N	MYH7	2.69
BN10SN4	YZ	CHI-TCU039N	MYH7	2.23	BO10SN4	YZ	CHI-TCU039N	MYH7	1.78
BN10SN4	YZ	CHI-TCU039W	MYH7	3.56	BO10SN4	YZ	CHI-TCU039W	MYH7	1.73
BN10SN4	YZ	CHI-TCU040N	MYH7	2.34	BO10SN4	YZ	CHI-TCU040N	MYH7	2.04
BN10SN4	YZ	CHI-TCU040W	MYH7	2.87	BO10SN4	YZ	CHI-TCU040W	MYH7	2.02
BN10SN4	YZ	CHI-TCU055N	MYH7	3.58	BO10SN4	YZ	CHI-TCU055N	MYH7	2.50
BN10SN4	YZ	CHI-TCU064N	MYH7	1.69	BO10SN4	YZ	CHI-TCU064N	MYH7	1.31
BN10SN4	YZ	CHI-TCU70W	MYH7	5.29	BO10SN4	YZ	CHI-TCU70W	MYH7	3.97
BN10SN4	YZ	CHI-TCU109-N	MYH7	3.96	BO10SN4	YZ	CHI-TCU109-N	MYH7	2.78
BN10SN4	YZ	CHI-TCU109-W	MYH7	3.09	BO10SN4	YZ	CHI-TCU109-W	MYH7	2.93
BN10SN4	YZ	CHI-TCU115-W	MYH7	2.10	BO10SN4	YZ	CHI-TCU115-W	MYH7	1.73
BN10SN4	YZ	CHI-TCU117-N	MYH7	2.10	BO10SN4	YZ	CHI-TCU117-N	MYH7	1.34
BN10SN4	YZ	IMP-ELC8-140	MYH7	6.59	BO10SN4	YZ	IMP-ELC8-140	MYH7	6.80
BN10SN4	YZ	IMP-HVP315	MYH7	3.25	BO10SN4	YZ	IMP-HVP315	MYH7	2.65
BN10SN4	YZ	IRP-STU270	MYH7	3.26	BO10SN4	YZ	IRP-STU270	MYH7	2.41
BN10SN4	YZ	KOC-GBZ000	MYH7	3.17	BO10SN4	YZ	KOC-GBZ000	MYH7	3.10
BN10SN4	YZ	LAN-YER270	MYH7	4.08	BO10SN4	YZ	LAN-YER270	MYH7	3.32
BN10SN4	YZ	LOM-A02043	MYH7	5.25	BO10SN4	YZ	LOM-A02043	MYH7	3.67
BN10SN4	YZ	LOM-BRN000	MYH7	9.03	BO10SN4	YZ	LOM-BRN000	MYH7	5.42
BN10SN4	YZ	LOM-LGP090	MYH7	7.37	BO10SN4	YZ	LOM-LGP090	MYH7	8.43
BN10SN4	YZ	MOR-CYC195	MYH7	6.88	BO10SN4	YZ	MOR-CYC195	MYH7	7.64
BN10SN4	YZ	NOR-LDM334	MYH7	6.44	BO10SN4	YZ	NOR-LDM334	MYH7	5.01
BN10SN4	YZ	NOR-ORR090	MYH7	8.20	BO10SN4	YZ	NOR-ORR090	MYH7	5.93
BN10SN4	YZ	NOR-ORR360	MYH7	12.06	BO10SN4	YZ	NOR-ORR360	MYH7	8.74
BN10SN4	YZ	NOR-PKC360	MYH7	11.17	BO10SN4	YZ	NOR-PKC360	MYH7	8.41
BN10SN4	YZ	SFD-PCD254	MYH7	14.32	BO10SN4	YZ	SFD-PCD254	MYH7	13.69
BN10SN4	XZ	CAP-RIO270	MYH8	13.78	BO10SN4	XZ	CAP-RIO270	MYH8	9.95
BN10SN4	XZ	CAP-RIO360	MYH8	11.69	BO10SN4	XZ	CAP-RIO360	MYH8	11.36
BN10SN4	XZ	CHI-CHY006-E	MYH8	9.85	BO10SN4	XZ	CHI-CHY006-E	MYH8	12.47

Tablo C.1 (devam): Mevcut binalara ait yerdeğiştirme talepleri

Bina Adı	Analiz Yönü	İvme Kaydı	MYH Grup No	Δ_d (cm)	Bina Adı	Analiz Yönü	İvme Kaydı	MYH Grup No	Δ_d (cm)
BN10SN4	XZ	CHI-CHY092-E	MYH8	2.31	BO10SN4	XZ	CHI-CHY092-E	MYH8	1.65
BN10SN4	XZ	CHI-CHY104-N	MYH8	6.14	BO10SN4	XZ	CHI-CHY104-N	MYH8	2.50
BN10SN4	XZ	CHI-TCU054W	MYH8	3.51	BO10SN4	XZ	CHI-TCU054W	MYH8	2.64
BN10SN4	XZ	CHI-TCU059N	MYH8	3.96	BO10SN4	XZ	CHI-TCU059N	MYH8	3.19
BN10SN4	XZ	CHI-TCU059W	MYH8	4.97	BO10SN4	XZ	CHI-TCU059W	MYH8	3.42
BN10SN4	XZ	CHI-TCU063W	MYH8	5.72	BO10SN4	XZ	CHI-TCU063W	MYH8	3.72
BN10SN4	XZ	CHI-TCU072N	MYH8	13.82	BO10SN4	XZ	CHI-TCU072N	MYH8	9.24
BN10SN4	XZ	CHI-TCU82W	MYH8	4.24	BO10SN4	XZ	CHI-TCU82W	MYH8	3.92
BN10SN4	XZ	CHI-TCU110-N	MYH8	6.95	BO10SN4	XZ	CHI-TCU110-N	MYH8	3.87
BN10SN4	XZ	CHI-TCU111-W	MYH8	4.23	BO10SN4	XZ	CHI-TCU111-W	MYH8	2.64
BN10SN4	XZ	CHI-TCU117-W	MYH8	3.87	BO10SN4	XZ	CHI-TCU117-W	MYH8	2.32
BN10SN4	XZ	CHI-TCU136-E	MYH8	5.39	BO10SN4	XZ	CHI-TCU136-E	MYH8	2.49
BN10SN4	XZ	DZC-BOL000	MYH8	9.07	BO10SN4	XZ	DZC-BOL000	MYH8	9.49
BN10SN4	XZ	IMP-ELC3-140	MYH8	7.82	BO10SN4	XZ	IMP-ELC3-140	MYH8	3.07
BN10SN4	XZ	IMP-ELC3-230	MYH8	4.64	BO10SN4	XZ	IMP-ELC3-230	MYH8	4.99
BN10SN4	XZ	IRP-STU270	MYH8	5.02	BO10SN4	XZ	IRP-STU270	MYH8	2.83
BN10SN4	XZ	KOC-DZC180	MYH8	7.23	BO10SN4	XZ	KOC-DZC180	MYH8	4.03
BN10SN4	XZ	KOC-DZC270	MYH8	7.93	BO10SN4	XZ	KOC-DZC270	MYH8	7.88
BN10SN4	XZ	KOC-GBZ000	MYH8	5.19	BO10SN4	XZ	KOC-GBZ000	MYH8	3.95
BN10SN4	XZ	LAN-CLVTR	MYH8	17.09	BO10SN4	XZ	LAN-CLVTR	MYH8	14.68
BN10SN4	XZ	LAN-YER270	MYH8	8.60	BO10SN4	XZ	LAN-YER270	MYH8	4.93
BN10SN4	XZ	LOM-COR000	MYH8	11.81	BO10SN4	XZ	LOM-COR000	MYH8	10.82
BN10SN4	XZ	NOR-MUL009	MYH8	12.30	BO10SN4	XZ	NOR-MUL009	MYH8	7.43
BN10SN4	XZ	NOR-PUL104	MYH8	12.91	BO10SN4	XZ	NOR-PUL104	MYH8	10.18
BN10SN4	XZ	NPAL-MVH135	MYH8	7.80	BO10SN4	XZ	NPAL-MVH135	MYH8	5.68
BN10SN4	XZ	SUP-ELC000	MYH8	10.34	BO10SN4	XZ	SUP-ELC000	MYH8	7.63
BN10SN4	XZ	SUP-ELC090	MYH8	6.36	BO10SN4	XZ	SUP-ELC090	MYH8	6.82
BN10SN4	YZ	CAP-RIO270	MYH8	9.74	BO10SN4	YZ	CAP-RIO270	MYH8	7.41
BN10SN4	YZ	CAP-RIO360	MYH8	12.06	BO10SN4	YZ	CAP-RIO360	MYH8	11.69
BN10SN4	YZ	CHI-CHY006-E	MYH8	10.50	BO10SN4	YZ	CHI-CHY006-E	MYH8	10.80
BN10SN4	YZ	CHI-CHY092-E	MYH8	1.65	BO10SN4	YZ	CHI-CHY092-E	MYH8	1.15
BN10SN4	YZ	CHI-CHY104-N	MYH8	2.73	BO10SN4	YZ	CHI-CHY104-N	MYH8	1.80
BN10SN4	YZ	CHI-TCU054W	MYH8	2.70	BO10SN4	YZ	CHI-TCU054W	MYH8	2.28
BN10SN4	YZ	CHI-TCU059N	MYH8	3.11	BO10SN4	YZ	CHI-TCU059N	MYH8	2.43
BN10SN4	YZ	CHI-TCU059W	MYH8	3.44	BO10SN4	YZ	CHI-TCU059W	MYH8	2.43
BN10SN4	YZ	CHI-TCU063W	MYH8	4.33	BO10SN4	YZ	CHI-TCU063W	MYH8	2.30
BN10SN4	YZ	CHI-TCU072N	MYH8	7.35	BO10SN4	YZ	CHI-TCU072N	MYH8	5.59
BN10SN4	YZ	CHI-TCU82W	MYH8	4.02	BO10SN4	YZ	CHI-TCU82W	MYH8	3.76
BN10SN4	YZ	CHI-TCU110-N	MYH8	3.93	BO10SN4	YZ	CHI-TCU110-N	MYH8	2.11
BN10SN4	YZ	CHI-TCU111-W	MYH8	2.79	BO10SN4	YZ	CHI-TCU111-W	MYH8	1.58
BN10SN4	YZ	CHI-TCU117-W	MYH8	2.36	BO10SN4	YZ	CHI-TCU117-W	MYH8	1.86
BN10SN4	YZ	CHI-TCU136-E	MYH8	2.74	BO10SN4	YZ	CHI-TCU136-E	MYH8	2.12
BN10SN4	YZ	DZC-BOL000	MYH8	10.00	BO10SN4	YZ	DZC-BOL000	MYH8	7.39
BN10SN4	YZ	IMP-ELC3-140	MYH8	3.58	BO10SN4	YZ	IMP-ELC3-140	MYH8	3.67
BN10SN4	YZ	IMP-ELC3-230	MYH8	4.75	BO10SN4	YZ	IMP-ELC3-230	MYH8	2.59
BN10SN4	YZ	IRP-STU270	MYH8	3.43	BO10SN4	YZ	IRP-STU270	MYH8	2.59
BN10SN4	YZ	KOC-DZC180	MYH8	4.24	BO10SN4	YZ	KOC-DZC180	MYH8	3.58
BN10SN4	YZ	KOC-DZC270	MYH8	6.97	BO10SN4	YZ	KOC-DZC270	MYH8	5.70
BN10SN4	YZ	KOC-GBZ000	MYH8	3.75	BO10SN4	YZ	KOC-GBZ000	MYH8	3.79
BN10SN4	YZ	LAN-CLVTR	MYH8	15.60	BO10SN4	YZ	LAN-CLVTR	MYH8	12.97
BN10SN4	YZ	LAN-YER270	MYH8	4.61	BO10SN4	YZ	LAN-YER270	MYH8	4.31
BN10SN4	YZ	LOM-COR000	MYH8	10.77	BO10SN4	YZ	LOM-COR000	MYH8	9.81
BN10SN4	YZ	NOR-MUL009	MYH8	7.85	BO10SN4	YZ	NOR-MUL009	MYH8	5.94
BN10SN4	YZ	NOR-PUL104	MYH8	10.32	BO10SN4	YZ	NOR-PUL104	MYH8	8.26
BN10SN4	YZ	NPAL-MVH135	MYH8	4.19	BO10SN4	YZ	NPAL-MVH135	MYH8	3.47
BN10SN4	YZ	SUP-ELC000	MYH8	6.56	BO10SN4	YZ	SUP-ELC000	MYH8	5.82
BN10SN4	YZ	SUP-ELC090	MYH8	6.71	BO10SN4	YZ	SUP-ELC090	MYH8	6.46
BN10SN4	XZ	CHI-TCU036W	MYH9	3.86	BO10SN4	XZ	CHI-TCU036W	MYH9	2.61
BN10SN4	XZ	CHI-TCU49N	MYH9	4.75	BO10SN4	XZ	CHI-TCU49N	MYH9	3.19

Tablo C.1 (devam): Mevcut binalara ait yerdeğiştirme talepleri

Bina Adı	Analiz Yönü	İvme Kaydı	MYH Grup No	Δ_d (cm)	Bina Adı	Analiz Yönü	İvme Kaydı	MYH Grup No	Δ_d (cm)
BN10SN4	XZ	CHI-TCU70N	MYH9	5.16	BO10SN4	XZ	CHI-TCU70N	MYH9	4.29
BN10SN4	XZ	CHI-TCU76N	MYH9	11.65	BO10SN4	XZ	CHI-TCU76N	MYH9	10.75
BN10SN4	XZ	CHI-TCU76W	MYH9	3.61	BO10SN4	XZ	CHI-TCU76W	MYH9	3.43
BN10SN4	XZ	CHI-TCU079-W	MYH9	10.64	BO10SN4	XZ	CHI-TCU079-W	MYH9	9.34
BN10SN4	XZ	CHI-TCU95W	MYH9	7.64	BO10SN4	XZ	CHI-TCU95W	MYH9	6.98
BN10SN4	XZ	CHI-TCU103-W	MYH9	3.32	BO10SN4	XZ	CHI-TCU103-W	MYH9	2.84
BN10SN4	XZ	CHI-TCU120-W	MYH9	4.29	BO10SN4	XZ	CHI-TCU120-W	MYH9	3.20
BN10SN4	XZ	CHI-TCU129-W	MYH9	9.62	BO10SN4	XZ	CHI-TCU129-W	MYH9	9.50
BN10SN4	XZ	COA-PLE045	MYH9	15.14	BO10SN4	XZ	COA-PLE045	MYH9	15.13
BN10SN4	XZ	DZC-BOL000	MYH9	10.96	BO10SN4	XZ	DZC-BOL000	MYH9	10.40
BN10SN4	XZ	DZC-BOL090	MYH9	23.49	BO10SN4	XZ	DZC-BOL090	MYH9	19.67
BN10SN4	XZ	DZC-DZC180	MYH9	11.53	BO10SN4	XZ	DZC-DZC180	MYH9	10.57
BN10SN4	XZ	ERZ-ERZEW	MYH9	13.28	BO10SN4	XZ	ERZ-ERZEW	MYH9	10.41
BN10SN4	XZ	IMP-ELC3-140	MYH9	8.88	BO10SN4	XZ	IMP-ELC3-140	MYH9	3.75
BN10SN4	XZ	IMP-HVP315	MYH9	4.18	BO10SN4	XZ	IMP-HVP315	MYH9	3.96
BN10SN4	XZ	IRP-STU270	MYH9	5.48	BO10SN4	XZ	IRP-STU270	MYH9	3.12
BN10SN4	XZ	KOC-DZC180	MYH9	7.76	BO10SN4	XZ	KOC-DZC180	MYH9	4.51
BN10SN4	XZ	KOC-GBZ000	MYH9	5.61	BO10SN4	XZ	KOC-GBZ000	MYH9	4.40
BN10SN4	XZ	KOC-YAR330	MYH9	6.30	BO10SN4	XZ	KOC-YAR330	MYH9	3.37
BN10SN4	XZ	LAN-YER270	MYH9	9.84	BO10SN4	XZ	LAN-YER270	MYH9	5.59
BN10SN4	XZ	LOM-BRN000	MYH9	14.51	BO10SN4	XZ	LOM-BRN000	MYH9	6.47
BN10SN4	XZ	LOM-HSP000	MYH9	14.50	BO10SN4	XZ	LOM-HSP000	MYH9	10.00
BN10SN4	XZ	LOM-WVC270	MYH9	7.84	BO10SN4	XZ	LOM-WVC270	MYH9	6.65
BN10SN4	XZ	NOR-CNP196	MYH9	8.26	BO10SN4	XZ	NOR-CNP196	MYH9	7.18
BN10SN4	XZ	NOR-LDM064	MYH9	15.69	BO10SN4	XZ	NOR-LDM064	MYH9	10.90
BN10SN4	XZ	NOR-MUL279	MYH9	16.35	BO10SN4	XZ	NOR-MUL279	MYH9	13.05
BN10SN4	XZ	NOR-SAT180	MYH9	11.04	BO10SN4	XZ	NOR-SAT180	MYH9	11.05
BN10SN4	XZ	SUP-ELC000	MYH9	12.13	BO10SN4	XZ	SUP-ELC000	MYH9	8.98
BN10SN4	YZ	CHI-TCU036W	MYH9	2.80	BO10SN4	YZ	CHI-TCU036W	MYH9	1.73
BN10SN4	YZ	CHI-TCU49N	MYH9	3.40	BO10SN4	YZ	CHI-TCU49N	MYH9	2.30
BN10SN4	YZ	CHI-TCU70N	MYH9	4.33	BO10SN4	YZ	CHI-TCU70N	MYH9	2.83
BN10SN4	YZ	CHI-TCU76N	MYH9	9.10	BO10SN4	YZ	CHI-TCU76N	MYH9	7.44
BN10SN4	YZ	CHI-TCU76W	MYH9	3.63	BO10SN4	YZ	CHI-TCU76W	MYH9	3.56
BN10SN4	YZ	CHI-TCU079-W	MYH9	12.77	BO10SN4	YZ	CHI-TCU079-W	MYH9	13.61
BN10SN4	YZ	CHI-TCU95W	MYH9	7.09	BO10SN4	YZ	CHI-TCU95W	MYH9	5.82
BN10SN4	YZ	CHI-TCU103-W	MYH9	3.21	BO10SN4	YZ	CHI-TCU103-W	MYH9	2.50
BN10SN4	YZ	CHI-TCU120-W	MYH9	3.38	BO10SN4	YZ	CHI-TCU120-W	MYH9	2.44
BN10SN4	YZ	CHI-TCU129-W	MYH9	9.25	BO10SN4	YZ	CHI-TCU129-W	MYH9	6.73
BN10SN4	YZ	COA-PLE045	MYH9	15.39	BO10SN4	YZ	COA-PLE045	MYH9	11.84
BN10SN4	YZ	DZC-BOL000	MYH9	11.37	BO10SN4	YZ	DZC-BOL000	MYH9	8.20
BN10SN4	YZ	DZC-BOL090	MYH9	18.24	BO10SN4	YZ	DZC-BOL090	MYH9	15.52
BN10SN4	YZ	DZC-DZC180	MYH9	8.94	BO10SN4	YZ	DZC-DZC180	MYH9	7.83
BN10SN4	YZ	ERZ-ERZEW	MYH9	8.18	BO10SN4	YZ	ERZ-ERZEW	MYH9	8.02
BN10SN4	YZ	IMP-ELC3-140	MYH9	3.67	BO10SN4	YZ	IMP-ELC3-140	MYH9	4.06
BN10SN4	YZ	IMP-HVP315	MYH9	4.08	BO10SN4	YZ	IMP-HVP315	MYH9	3.36
BN10SN4	YZ	IRP-STU270	MYH9	3.58	BO10SN4	YZ	IRP-STU270	MYH9	2.76
BN10SN4	YZ	KOC-DZC180	MYH9	4.39	BO10SN4	YZ	KOC-DZC180	MYH9	3.73
BN10SN4	YZ	KOC-GBZ000	MYH9	4.17	BO10SN4	YZ	KOC-GBZ000	MYH9	4.31
BN10SN4	YZ	KOC-YAR330	MYH9	3.83	BO10SN4	YZ	KOC-YAR330	MYH9	3.83
BN10SN4	YZ	LAN-YER270	MYH9	5.11	BO10SN4	YZ	LAN-YER270	MYH9	5.19
BN10SN4	YZ	LOM-BRN000	MYH9	10.16	BO10SN4	YZ	LOM-BRN000	MYH9	5.43
BN10SN4	YZ	LOM-HSP000	MYH9	11.31	BO10SN4	YZ	LOM-HSP000	MYH9	9.40
BN10SN4	YZ	LOM-WVC270	MYH9	6.17	BO10SN4	YZ	LOM-WVC270	MYH9	3.87
BN10SN4	YZ	NOR-CNP196	MYH9	10.01	BO10SN4	YZ	NOR-CNP196	MYH9	9.44
BN10SN4	YZ	NOR-LDM064	MYH9	8.68	BO10SN4	YZ	NOR-LDM064	MYH9	7.09
BN10SN4	YZ	NOR-MUL279	MYH9	11.43	BO10SN4	YZ	NOR-MUL279	MYH9	10.39
BN10SN4	YZ	NOR-SAT180	MYH9	9.38	BO10SN4	YZ	NOR-SAT180	MYH9	9.52
BN10SN4	YZ	SUP-ELC000	MYH9	7.74	BO10SN4	YZ	SUP-ELC000	MYH9	6.82
BN10SN4	XZ	CHI-CHY28N	MYH10	21.78	BO10SN4	XZ	CHI-CHY28N	MYH10	23.03

Tablo C.1 (devam): Mevcut binalara ait yerdeğiştirme talepleri

Bina Adı	Analiz Yönü	İvme Kaydı	MYH Grup No	Δ_d (cm)	Bina Adı	Analiz Yönü	İvme Kaydı	MYH Grup No	Δ_d (cm)
BN10SN4	XZ	CHI-TCU067N	MYH10	7.83	BO10SN4	XZ	CHI-TCU067N	MYH10	4.77
BN10SN4	XZ	CHI-TCU071N	MYH10	8.28	BO10SN4	XZ	CHI-TCU071N	MYH10	5.34
BN10SN4	XZ	CHI-TCU101-W	MYH10	4.76	BO10SN4	XZ	CHI-TCU101-W	MYH10	3.82
BN10SN4	XZ	CHI-TCU110-W	MYH10	5.82	BO10SN4	XZ	CHI-TCU110-W	MYH10	3.36
BN10SN4	XZ	CHI-TCU128-N	MYH10	4.06	BO10SN4	XZ	CHI-TCU128-N	MYH10	3.10
BN10SN4	XZ	CHI-WGK-E	MYH10	6.33	BO10SN4	XZ	CHI-WGK-E	MYH10	3.86
BN10SN4	XZ	CHI-WNTE	MYH10	7.99	BO10SN4	XZ	CHI-WNTE	MYH10	7.79
BN10SN4	XZ	DZC-BOL000	MYH10	12.58	BO10SN4	XZ	DZC-BOL000	MYH10	10.98
BN10SN4	XZ	DZC-BOL090	MYH10	24.92	BO10SN4	XZ	DZC-BOL090	MYH10	22.28
BN10SN4	XZ	GAZ-KAR000	MYH10	8.70	BO10SN4	XZ	GAZ-KAR000	MYH10	8.34
BN10SN4	XZ	IMP-ECC092	MYH10	7.66	BO10SN4	XZ	IMP-ECC092	MYH10	4.76
BN10SN4	XZ	IMP-ELC3-140	MYH10	9.99	BO10SN4	XZ	IMP-ELC3-140	MYH10	4.59
BN10SN4	XZ	IMP-ELC6-140	MYH10	9.37	BO10SN4	XZ	IMP-ELC6-140	MYH10	6.08
BN10SN4	XZ	IRP-STU270	MYH10	6.35	BO10SN4	XZ	IRP-STU270	MYH10	3.41
BN10SN4	XZ	KOB-TAK000	MYH10	14.70	BO10SN4	XZ	KOB-TAK000	MYH10	14.18
BN10SN4	XZ	KOC-DZC180	MYH10	8.42	BO10SN4	XZ	KOC-DZC180	MYH10	5.20
BN10SN4	XZ	KOC-GBZ000	MYH10	6.04	BO10SN4	XZ	KOC-GBZ000	MYH10	4.88
BN10SN4	XZ	KOC-YAR060	MYH10	5.86	BO10SN4	XZ	KOC-YAR060	MYH10	4.47
BN10SN4	XZ	LAN-YER270	MYH10	11.20	BO10SN4	XZ	LAN-YER270	MYH10	6.29
BN10SN4	XZ	LOM-BRN000	MYH10	16.20	BO10SN4	XZ	LOM-BRN000	MYH10	7.25
BN10SN4	XZ	LOM-G03090	MYH10	9.44	BO10SN4	XZ	LOM-G03090	MYH10	5.74
BN10SN4	XZ	LOM-HSP000	MYH10	15.66	BO10SN4	XZ	LOM-HSP000	MYH10	10.96
BN10SN4	XZ	NOR-CNP196	MYH10	9.58	BO10SN4	XZ	NOR-CNP196	MYH10	7.52
BN10SN4	XZ	NOR-MUL009	MYH10	14.29	BO10SN4	XZ	NOR-MUL009	MYH10	8.81
BN10SN4	XZ	NOR-MUL279	MYH10	18.92	BO10SN4	XZ	NOR-MUL279	MYH10	15.10
BN10SN4	XZ	NOR-ORR090	MYH10	13.61	BO10SN4	XZ	NOR-ORR090	MYH10	10.49
BN10SN4	XZ	NOR-ORR360	MYH10	23.41	BO10SN4	XZ	NOR-ORR360	MYH10	21.63
BN10SN4	XZ	NOR-SAT180	MYH10	13.16	BO10SN4	XZ	NOR-SAT180	MYH10	11.97
BN10SN4	XZ	NOR-WPI316	MYH10	8.01	BO10SN4	XZ	NOR-WPI316	MYH10	7.10
BN10SN4	YZ	CHI-CHY28N	MYH10	22.47	BO10SN4	YZ	CHI-CHY28N	MYH10	18.40
BN10SN4	YZ	CHI-TCU067N	MYH10	6.29	BO10SN4	YZ	CHI-TCU067N	MYH10	5.48
BN10SN4	YZ	CHI-TCU071N	MYH10	5.75	BO10SN4	YZ	CHI-TCU071N	MYH10	5.24
BN10SN4	YZ	CHI-TCU101-W	MYH10	3.91	BO10SN4	YZ	CHI-TCU101-W	MYH10	3.13
BN10SN4	YZ	CHI-TCU110-W	MYH10	3.29	BO10SN4	YZ	CHI-TCU110-W	MYH10	1.72
BN10SN4	YZ	CHI-TCU128-N	MYH10	3.65	BO10SN4	YZ	CHI-TCU128-N	MYH10	2.10
BN10SN4	YZ	CHI-WGK-E	MYH10	3.33	BO10SN4	YZ	CHI-WGK-E	MYH10	2.77
BN10SN4	YZ	CHI-WNTE	MYH10	7.52	BO10SN4	YZ	CHI-WNTE	MYH10	6.29
BN10SN4	YZ	DZC-BOL000	MYH10	12.38	BO10SN4	YZ	DZC-BOL000	MYH10	8.80
BN10SN4	YZ	DZC-BOL090	MYH10	21.02	BO10SN4	YZ	DZC-BOL090	MYH10	17.56
BN10SN4	YZ	GAZ-KAR000	MYH10	8.10	BO10SN4	YZ	GAZ-KAR000	MYH10	6.10
BN10SN4	YZ	IMP-ECC092	MYH10	4.64	BO10SN4	YZ	IMP-ECC092	MYH10	2.61
BN10SN4	YZ	IMP-ELC3-140	MYH10	4.16	BO10SN4	YZ	IMP-ELC3-140	MYH10	4.45
BN10SN4	YZ	IMP-ELC6-140	MYH10	5.18	BO10SN4	YZ	IMP-ELC6-140	MYH10	3.77
BN10SN4	YZ	IRP-STU270	MYH10	3.73	BO10SN4	YZ	IRP-STU270	MYH10	2.87
BN10SN4	YZ	KOB-TAK000	MYH10	16.09	BO10SN4	YZ	KOB-TAK000	MYH10	16.54
BN10SN4	YZ	KOC-DZC180	MYH10	4.99	BO10SN4	YZ	KOC-DZC180	MYH10	3.97
BN10SN4	YZ	KOC-GBZ000	MYH10	4.60	BO10SN4	YZ	KOC-GBZ000	MYH10	4.85
BN10SN4	YZ	KOC-YAR060	MYH10	5.72	BO10SN4	YZ	KOC-YAR060	MYH10	4.49
BN10SN4	YZ	LAN-YER270	MYH10	5.66	BO10SN4	YZ	LAN-YER270	MYH10	6.12
BN10SN4	YZ	LOM-BRN000	MYH10	10.13	BO10SN4	YZ	LOM-BRN000	MYH10	6.15
BN10SN4	YZ	LOM-G03090	MYH10	5.71	BO10SN4	YZ	LOM-G03090	MYH10	4.98
BN10SN4	YZ	LOM-HSP000	MYH10	12.54	BO10SN4	YZ	LOM-HSP000	MYH10	10.53
BN10SN4	YZ	NOR-CNP196	MYH10	10.49	BO10SN4	YZ	NOR-CNP196	MYH10	10.42
BN10SN4	YZ	NOR-MUL009	MYH10	9.06	BO10SN4	YZ	NOR-MUL009	MYH10	7.05
BN10SN4	YZ	NOR-MUL279	MYH10	13.03	BO10SN4	YZ	NOR-MUL279	MYH10	12.07
BN10SN4	YZ	NOR-ORR090	MYH10	9.87	BO10SN4	YZ	NOR-ORR090	MYH10	7.06
BN10SN4	YZ	NOR-ORR360	MYH10	16.54	BO10SN4	YZ	NOR-ORR360	MYH10	12.55
BN10SN4	YZ	NOR-SAT180	MYH10	11.83	BO10SN4	YZ	NOR-SAT180	MYH10	10.33
BN10SN4	YZ	NOR-WPI316	MYH10	6.54	BO10SN4	YZ	NOR-WPI316	MYH10	6.25

Tablo C.1 (devam): Mevcut binalara ait yerdeğiştirme talepleri

Bina Adı	Analiz Yönü	İvme Kaydı	MYH Grup No	Δ_d (cm)	Bina Adı	Analiz Yönü	İvme Kaydı	MYH Grup No	Δ_d (cm)
BN10SN4	XZ	CHI-CHY28W	MYH11	14.01	BO10SN4	XZ	CHI-CHY28W	MYH11	8.50
BN10SN4	XZ	CHI-CHY101W	MYH11	6.25	BO10SN4	XZ	CHI-CHY101W	MYH11	3.49
BN10SN4	XZ	CHI-TCU063N	MYH11	3.21	BO10SN4	XZ	CHI-TCU063N	MYH11	2.00
BN10SN4	XZ	CHI-TCU072W	MYH11	9.99	BO10SN4	XZ	CHI-TCU072W	MYH11	9.43
BN10SN4	XZ	CHI-TCU74W	MYH11	14.46	BO10SN4	XZ	CHI-TCU74W	MYH11	13.90
BN10SN4	XZ	CHI-TCU128-W	MYH11	2.58	BO10SN4	XZ	CHI-TCU128-W	MYH11	2.56
BN10SN4	XZ	CHI-WGK-N	MYH11	12.91	BO10SN4	XZ	CHI-WGK-N	MYH11	10.42
BN10SN4	XZ	COA-PLE045	MYH11	17.32	BO10SN4	XZ	COA-PLE045	MYH11	18.21
BN10SN4	XZ	DZC-BOL000	MYH11	14.18	BO10SN4	XZ	DZC-BOL000	MYH11	11.43
BN10SN4	XZ	DZC-BOL090	MYH11	26.06	BO10SN4	XZ	DZC-BOL090	MYH11	24.60
BN10SN4	XZ	DZC-DZC180	MYH11	13.00	BO10SN4	XZ	DZC-DZC180	MYH11	13.43
BN10SN4	XZ	GAZ-KAR000	MYH11	9.66	BO10SN4	XZ	GAZ-KAR000	MYH11	9.37
BN10SN4	XZ	GAZ-KAR090	MYH11	10.96	BO10SN4	XZ	GAZ-KAR090	MYH11	10.07
BN10SN4	XZ	IMP-ECC092	MYH11	8.15	BO10SN4	XZ	IMP-ECC092	MYH11	5.14
BN10SN4	XZ	IMP-ECM000	MYH11	10.28	BO10SN4	XZ	IMP-ECM000	MYH11	8.73
BN10SN4	XZ	IMP-ELCD-270	MYH11	7.19	BO10SN4	XZ	IMP-ELCD-270	MYH11	5.53
BN10SN4	XZ	IRP-STU270	MYH11	7.67	BO10SN4	XZ	IRP-STU270	MYH11	3.70
BN10SN4	XZ	KOB-KJM090	MYH11	18.75	BO10SN4	XZ	KOB-KJM090	MYH11	20.23
BN10SN4	XZ	KOC-DZC180	MYH11	9.18	BO10SN4	XZ	KOC-DZC180	MYH11	5.95
BN10SN4	XZ	KOC-GBZ000	MYH11	6.48	BO10SN4	XZ	KOC-GBZ000	MYH11	5.39
BN10SN4	XZ	KOC-YAR060	MYH11	6.19	BO10SN4	XZ	KOC-YAR060	MYH11	4.88
BN10SN4	XZ	LOM-HSP000	MYH11	16.89	BO10SN4	XZ	LOM-HSP000	MYH11	12.04
BN10SN4	XZ	LOM-WVC270	MYH11	9.68	BO10SN4	XZ	LOM-WVC270	MYH11	8.70
BN10SN4	XZ	NOR-CNP196	MYH11	10.58	BO10SN4	XZ	NOR-CNP196	MYH11	7.92
BN10SN4	XZ	NOR-MUL009	MYH11	15.47	BO10SN4	XZ	NOR-MUL009	MYH11	10.16
BN10SN4	XZ	NOR-MUL279	MYH11	21.58	BO10SN4	XZ	NOR-MUL279	MYH11	17.35
BN10SN4	XZ	NOR-ORR360	MYH11	25.32	BO10SN4	XZ	NOR-ORR360	MYH11	24.64
BN10SN4	XZ	NOR-RRS318	MYH11	10.47	BO10SN4	XZ	NOR-RRS318	MYH11	8.05
BN10SN4	XZ	NOR-SAT180	MYH11	15.29	BO10SN4	XZ	NOR-SAT180	MYH11	12.60
BN10SN4	XZ	NPAL-NPS210	MYH11	10.40	BO10SN4	XZ	NPAL-NPS210	MYH11	7.93
BN10SN4	YZ	CHI-CHY28W	MYH11	11.19	BO10SN4	YZ	CHI-CHY28W	MYH11	8.24
BN10SN4	YZ	CHI-CHY101W	MYH11	3.61	BO10SN4	YZ	CHI-CHY101W	MYH11	3.50
BN10SN4	YZ	CHI-TCU063N	MYH11	2.09	BO10SN4	YZ	CHI-TCU063N	MYH11	1.79
BN10SN4	YZ	CHI-TCU072W	MYH11	9.31	BO10SN4	YZ	CHI-TCU072W	MYH11	10.31
BN10SN4	YZ	CHI-TCU74W	MYH11	13.58	BO10SN4	YZ	CHI-TCU74W	MYH11	9.11
BN10SN4	YZ	CHI-TCU128-W	MYH11	2.70	BO10SN4	YZ	CHI-TCU128-W	MYH11	1.64
BN10SN4	YZ	CHI-WGK-N	MYH11	9.62	BO10SN4	YZ	CHI-WGK-N	MYH11	8.25
BN10SN4	YZ	COA-PLE045	MYH11	19.98	BO10SN4	YZ	COA-PLE045	MYH11	14.74
BN10SN4	YZ	DZC-BOL000	MYH11	13.24	BO10SN4	YZ	DZC-BOL000	MYH11	9.32
BN10SN4	YZ	DZC-BOL090	MYH11	23.63	BO10SN4	YZ	DZC-BOL090	MYH11	19.48
BN10SN4	YZ	DZC-DZC180	MYH11	12.77	BO10SN4	YZ	DZC-DZC180	MYH11	10.06
BN10SN4	YZ	GAZ-KAR000	MYH11	9.47	BO10SN4	YZ	GAZ-KAR000	MYH11	7.12
BN10SN4	YZ	GAZ-KAR090	MYH11	9.76	BO10SN4	YZ	GAZ-KAR090	MYH11	7.20
BN10SN4	YZ	IMP-ECC092	MYH11	4.94	BO10SN4	YZ	IMP-ECC092	MYH11	3.05
BN10SN4	YZ	IMP-ECM000	MYH11	6.80	BO10SN4	YZ	IMP-ECM000	MYH11	5.15
BN10SN4	YZ	IMP-ELCD-270	MYH11	5.39	BO10SN4	YZ	IMP-ELCD-270	MYH11	4.43
BN10SN4	YZ	IRP-STU270	MYH11	3.81	BO10SN4	YZ	IRP-STU270	MYH11	3.02
BN10SN4	YZ	KOB-KJM090	MYH11	18.19	BO10SN4	YZ	KOB-KJM090	MYH11	14.63
BN10SN4	YZ	KOC-DZC180	MYH11	5.66	BO10SN4	YZ	KOC-DZC180	MYH11	4.20
BN10SN4	YZ	KOC-GBZ000	MYH11	5.07	BO10SN4	YZ	KOC-GBZ000	MYH11	5.42
BN10SN4	YZ	KOC-YAR060	MYH11	6.23	BO10SN4	YZ	KOC-YAR060	MYH11	5.18
BN10SN4	YZ	LOM-HSP000	MYH11	13.70	BO10SN4	YZ	LOM-HSP000	MYH11	11.62
BN10SN4	YZ	LOM-WVC270	MYH11	7.58	BO10SN4	YZ	LOM-WVC270	MYH11	5.65
BN10SN4	YZ	NOR-CNP196	MYH11	10.75	BO10SN4	YZ	NOR-CNP196	MYH11	11.05
BN10SN4	YZ	NOR-MUL009	MYH11	9.73	BO10SN4	YZ	NOR-MUL009	MYH11	7.67
BN10SN4	YZ	NOR-MUL279	MYH11	14.97	BO10SN4	YZ	NOR-MUL279	MYH11	13.90
BN10SN4	YZ	NOR-ORR360	MYH11	18.42	BO10SN4	YZ	NOR-ORR360	MYH11	15.30
BN10SN4	YZ	NOR-RRS318	MYH11	7.70	BO10SN4	YZ	NOR-RRS318	MYH11	8.58
BN10SN4	YZ	NOR-SAT180	MYH11	14.12	BO10SN4	YZ	NOR-SAT180	MYH11	11.53

Tablo C.1 (devam): Mevcut binalara ait yerdeğiştirme talepleri

Bina Adı	Analiz Yönü	İvme Kaydı	MYH Grup No	Δ_d (cm)	Bina Adı	Analiz Yönü	İvme Kaydı	MYH Grup No	Δ_d (cm)
BN10SN4	YZ	NPAL-NPS210	MYH11	6.84	BO10SN4	YZ	NPAL-NPS210	MYH11	6.28
BN10SN4	XZ	CHI-TCU065N	MYH12	15.05	BO10SN4	XZ	CHI-TCU065N	MYH12	16.73
BN10SN4	XZ	CHI-TCU067W	MYH12	13.44	BO10SN4	XZ	CHI-TCU067W	MYH12	10.35
BN10SN4	XZ	CHI-TCU102-N	MYH12	5.26	BO10SN4	XZ	CHI-TCU102-N	MYH12	3.49
BN10SN4	XZ	DZC-BOL000	MYH12	15.80	BO10SN4	XZ	DZC-BOL000	MYH12	11.89
BN10SN4	XZ	DZC-BOL090	MYH12	27.11	BO10SN4	XZ	DZC-BOL090	MYH12	26.85
BN10SN4	XZ	DZC-DZC180	MYH12	13.47	BO10SN4	XZ	DZC-DZC180	MYH12	14.55
BN10SN4	XZ	GAZ-KAR090	MYH12	11.85	BO10SN4	XZ	GAZ-KAR090	MYH12	11.23
BN10SN4	XZ	IMP-ECC092	MYH12	8.82	BO10SN4	XZ	IMP-ECC092	MYH12	5.70
BN10SN4	XZ	IMP-ELC4-230	MYH12	4.76	BO10SN4	XZ	IMP-ELC4-230	MYH12	6.26
BN10SN4	XZ	IMP-ELCD-270	MYH12	7.46	BO10SN4	XZ	IMP-ELCD-270	MYH12	6.29
BN10SN4	XZ	IRP-STU270	MYH12	9.20	BO10SN4	XZ	IRP-STU270	MYH12	4.02
BN10SN4	XZ	KOC-DZC180	MYH12	9.75	BO10SN4	XZ	KOC-DZC180	MYH12	6.58
BN10SN4	XZ	KOC-GBZ000	MYH12	6.90	BO10SN4	XZ	KOC-GBZ000	MYH12	5.95
BN10SN4	XZ	KOC-SKR090	MYH12	3.82	BO10SN4	XZ	KOC-SKR090	MYH12	3.47
BN10SN4	XZ	LAN-YER270	MYH12	14.10	BO10SN4	XZ	LAN-YER270	MYH12	8.10
BN10SN4	XZ	LOM-BRN000	MYH12	19.31	BO10SN4	XZ	LOM-BRN000	MYH12	10.18
BN10SN4	XZ	LOM-WVC270	MYH12	10.55	BO10SN4	XZ	LOM-WVC270	MYH12	9.53
BN10SN4	XZ	NOR-CNP196	MYH12	11.67	BO10SN4	XZ	NOR-CNP196	MYH12	8.66
BN10SN4	XZ	NOR-MUL009	MYH12	16.57	BO10SN4	XZ	NOR-MUL009	MYH12	11.61
BN10SN4	XZ	NOR-MUL279	MYH12	24.09	BO10SN4	XZ	NOR-MUL279	MYH12	19.66
BN10SN4	XZ	NOR-NEW090	MYH12	14.17	BO10SN4	XZ	NOR-NEW090	MYH12	13.14
BN10SN4	XZ	NOR-PAR-L	MYH12	22.50	BO10SN4	XZ	NOR-PAR-L	MYH12	15.81
BN10SN4	XZ	NOR-RRS318	MYH12	11.31	BO10SN4	XZ	NOR-RRS318	MYH12	8.80
BN10SN4	XZ	NOR-SAT180	MYH12	17.51	BO10SN4	XZ	NOR-SAT180	MYH12	13.16
BN10SN4	XZ	NOR-SCE288	MYH12	14.58	BO10SN4	XZ	NOR-SCE288	MYH12	7.08
BN10SN4	XZ	NOR-SEP360	MYH12	11.81	BO10SN4	XZ	NOR-SEP360	MYH12	13.36
BN10SN4	XZ	NOR-SYL090	MYH12	18.70	BO10SN4	XZ	NOR-SYL090	MYH12	14.89
BN10SN4	XZ	NOR-TAR360	MYH12	14.85	BO10SN4	XZ	NOR-TAR360	MYH12	17.61
BN10SN4	XZ	NOR-WPI316	MYH12	9.81	BO10SN4	XZ	NOR-WPI316	MYH12	8.43
BN10SN4	XZ	PRK-C02065	MYH12	18.18	BO10SN4	XZ	PRK-C02065	MYH12	15.15
BN10SN4	YZ	CHI-TCU065N	MYH12	11.43	BO10SN4	YZ	CHI-TCU065N	MYH12	10.11
BN10SN4	YZ	CHI-TCU067W	MYH12	9.22	BO10SN4	YZ	CHI-TCU067W	MYH12	9.15
BN10SN4	YZ	CHI-TCU102-N	MYH12	3.22	BO10SN4	YZ	CHI-TCU102-N	MYH12	2.83
BN10SN4	YZ	DZC-BOL000	MYH12	13.98	BO10SN4	YZ	DZC-BOL000	MYH12	9.70
BN10SN4	YZ	DZC-BOL090	MYH12	26.44	BO10SN4	YZ	DZC-BOL090	MYH12	21.51
BN10SN4	YZ	DZC-DZC180	MYH12	14.20	BO10SN4	YZ	DZC-DZC180	MYH12	10.99
BN10SN4	YZ	GAZ-KAR090	MYH12	10.53	BO10SN4	YZ	GAZ-KAR090	MYH12	7.65
BN10SN4	YZ	IMP-ECC092	MYH12	5.40	BO10SN4	YZ	IMP-ECC092	MYH12	3.67
BN10SN4	YZ	IMP-ELC4-230	MYH12	5.86	BO10SN4	YZ	IMP-ELC4-230	MYH12	4.49
BN10SN4	YZ	IMP-ELCD-270	MYH12	5.92	BO10SN4	YZ	IMP-ELCD-270	MYH12	4.96
BN10SN4	YZ	IRP-STU270	MYH12	4.02	BO10SN4	YZ	IRP-STU270	MYH12	3.29
BN10SN4	YZ	KOC-DZC180	MYH12	6.36	BO10SN4	YZ	KOC-DZC180	MYH12	4.39
BN10SN4	YZ	KOC-GBZ000	MYH12	5.56	BO10SN4	YZ	KOC-GBZ000	MYH12	6.04
BN10SN4	YZ	KOC-SKR090	MYH12	3.66	BO10SN4	YZ	KOC-SKR090	MYH12	2.37
BN10SN4	YZ	LAN-YER270	MYH12	6.84	BO10SN4	YZ	LAN-YER270	MYH12	8.28
BN10SN4	YZ	LOM-BRN000	MYH12	9.18	BO10SN4	YZ	LOM-BRN000	MYH12	8.45
BN10SN4	YZ	LOM-WVC270	MYH12	8.44	BO10SN4	YZ	LOM-WVC270	MYH12	6.74
BN10SN4	YZ	NOR-CNP196	MYH12	10.90	BO10SN4	YZ	NOR-CNP196	MYH12	11.48
BN10SN4	YZ	NOR-MUL009	MYH12	10.52	BO10SN4	YZ	NOR-MUL009	MYH12	8.49
BN10SN4	YZ	NOR-MUL279	MYH12	17.11	BO10SN4	YZ	NOR-MUL279	MYH12	15.84
BN10SN4	YZ	NOR-NEW090	MYH12	13.09	BO10SN4	YZ	NOR-NEW090	MYH12	9.76
BN10SN4	YZ	NOR-PAR-L	MYH12	14.10	BO10SN4	YZ	NOR-PAR-L	MYH12	11.83
BN10SN4	YZ	NOR-RRS318	MYH12	8.42	BO10SN4	YZ	NOR-RRS318	MYH12	9.33
BN10SN4	YZ	NOR-SAT180	MYH12	15.97	BO10SN4	YZ	NOR-SAT180	MYH12	12.75
BN10SN4	YZ	NOR-SCE288	MYH12	5.86	BO10SN4	YZ	NOR-SCE288	MYH12	5.38
BN10SN4	YZ	NOR-SEP360	MYH12	13.37	BO10SN4	YZ	NOR-SEP360	MYH12	9.08
BN10SN4	YZ	NOR-SYL090	MYH12	14.46	BO10SN4	YZ	NOR-SYL090	MYH12	11.58
BN10SN4	YZ	NOR-TAR360	MYH12	12.67	BO10SN4	YZ	NOR-TAR360	MYH12	14.84

Tablo C.1 (devam): Mevcut binalara ait yerdeğiştirme talepleri

Bina Adı	Analiz Yönü	İvme Kaydı	MYH Grup No	Δ_d (cm)	Bina Adı	Analiz Yönü	İvme Kaydı	MYH Grup No	Δ_d (cm)
BN10SN4	YZ	NOR-WPI316	MYH12	7.58	BO10SN4	YZ	NOR-WPI316	MYH12	7.99
BN10SN4	YZ	PRK-C02065	MYH12	12.07	BO10SN4	YZ	PRK-C02065	MYH12	11.27
BN6SN4	XZ	CAP-FOR090	MYH1	2.23	BO6SN4	XZ	CAP-FOR090	MYH1	1.86
BN6SN4	XZ	CHI-CHY010-N	MYH1	3.93	BO6SN4	XZ	CHI-CHY010-N	MYH1	3.18
BN6SN4	XZ	CHI-CHY41W	MYH1	4.26	BO6SN4	XZ	CHI-CHY41W	MYH1	5.24
BN6SN4	XZ	CHI-CHY046N	MYH1	3.53	BO6SN4	XZ	CHI-CHY046N	MYH1	3.75
BN6SN4	XZ	CHI-CHY047-E	MYH1	2.61	BO6SN4	XZ	CHI-CHY047-E	MYH1	2.31
BN6SN4	XZ	COA-CAK270	MYH1	4.55	BO6SN4	XZ	COA-CAK270	MYH1	6.35
BN6SN4	XZ	COY-G06320	MYH1	3.64	BO6SN4	XZ	COY-G06320	MYH1	3.50
BN6SN4	XZ	FRI-TMZ000	MYH1	3.49	BO6SN4	XZ	FRI-TMZ000	MYH1	3.44
BN6SN4	XZ	IMP-E12230	MYH1	1.78	BO6SN4	XZ	IMP-E12230	MYH1	1.79
BN6SN4	XZ	IMP-SAH000	MYH1	3.67	BO6SN4	XZ	IMP-SAH000	MYH1	3.48
BN6SN4	XZ	IRP-BIS000	MYH1	1.62	BO6SN4	XZ	IRP-BIS000	MYH1	1.80
BN6SN4	XZ	KOC-IZM180	MYH1	3.51	BO6SN4	XZ	KOC-IZM180	MYH1	2.82
BN6SN4	XZ	LAN-ABY090	MYH1	2.01	BO6SN4	XZ	LAN-ABY090	MYH1	2.48
BN6SN4	XZ	LAN-DSP000	MYH1	2.66	BO6SN4	XZ	LAN-DSP000	MYH1	3.48
BN6SN4	XZ	LIV-DVD246	MYH1	2.64	BO6SN4	XZ	LIV-DVD246	MYH1	2.45
BN6SN4	XZ	LOM-BRK090	MYH1	2.94	BO6SN4	XZ	LOM-BRK090	MYH1	3.63
BN6SN4	XZ	LOM-CLD285	MYH1	2.96	BO6SN4	XZ	LOM-CLD285	MYH1	2.90
BN6SN4	XZ	LOM-GGV337	MYH1	5.00	BO6SN4	XZ	LOM-GGV337	MYH1	3.32
BN6SN4	XZ	NOR-CWC270	MYH1	3.37	BO6SN4	XZ	NOR-CWC270	MYH1	3.66
BN6SN4	XZ	NOR-LOS090	MYH1	3.15	BO6SN4	XZ	NOR-LOS090	MYH1	4.56
BN6SN4	XZ	NOR-LOS360	MYH1	5.18	BO6SN4	XZ	NOR-LOS360	MYH1	5.83
BN6SN4	XZ	PRK-CHO355	MYH1	4.89	BO6SN4	XZ	PRK-CHO355	MYH1	3.16
BN6SN4	XZ	PRK-TMB205	MYH1	3.59	BO6SN4	XZ	PRK-TMB205	MYH1	2.80
BN6SN4	XZ	SUP-PLS135	MYH1	3.60	BO6SN4	XZ	SUP-PLS135	MYH1	2.95
BN6SN4	XZ	TAB-DAY-LN	MYH1	3.82	BO6SN4	XZ	TAB-DAY-LN	MYH1	3.21
BN6SN4	XZ	VIC-CPE315	MYH1	4.78	BO6SN4	XZ	VIC-CPE315	MYH1	3.25
BN6SN4	XZ	WHI-ALH180	MYH1	3.70	BO6SN4	XZ	WHI-ALH180	MYH1	4.77
BN6SN4	XZ	WHI-GRN180	MYH1	5.28	BO6SN4	XZ	WHI-GRN180	MYH1	6.61
BN6SN4	XZ	WHI-OBR360	MYH1	3.63	BO6SN4	XZ	WHI-OBR360	MYH1	3.50
BN6SN4	YZ	CAP-FOR090	MYH1	2.29	BO6SN4	YZ	CAP-FOR090	MYH1	2.01
BN6SN4	YZ	CHI-CHY010-N	MYH1	4.02	BO6SN4	YZ	CHI-CHY010-N	MYH1	4.09
BN6SN4	YZ	CHI-CHY41W	MYH1	4.51	BO6SN4	YZ	CHI-CHY41W	MYH1	3.92
BN6SN4	YZ	CHI-CHY046N	MYH1	3.34	BO6SN4	YZ	CHI-CHY046N	MYH1	2.85
BN6SN4	YZ	CHI-CHY047-E	MYH1	3.00	BO6SN4	YZ	CHI-CHY047-E	MYH1	2.42
BN6SN4	YZ	COA-CAK270	MYH1	3.63	BO6SN4	YZ	COA-CAK270	MYH1	3.04
BN6SN4	YZ	COY-G06320	MYH1	3.49	BO6SN4	YZ	COY-G06320	MYH1	4.01
BN6SN4	YZ	FRI-TMZ000	MYH1	3.40	BO6SN4	YZ	FRI-TMZ000	MYH1	3.05
BN6SN4	YZ	IMP-E12230	MYH1	2.14	BO6SN4	YZ	IMP-E12230	MYH1	1.60
BN6SN4	YZ	IMP-SAH000	MYH1	3.55	BO6SN4	YZ	IMP-SAH000	MYH1	3.04
BN6SN4	YZ	IRP-BIS000	MYH1	1.74	BO6SN4	YZ	IRP-BIS000	MYH1	1.73
BN6SN4	YZ	KOC-IZM180	MYH1	3.69	BO6SN4	YZ	KOC-IZM180	MYH1	2.95
BN6SN4	YZ	LAN-ABY090	MYH1	2.82	BO6SN4	YZ	LAN-ABY090	MYH1	1.95
BN6SN4	YZ	LAN-DSP000	MYH1	3.00	BO6SN4	YZ	LAN-DSP000	MYH1	2.46
BN6SN4	YZ	LIV-DVD246	MYH1	2.86	BO6SN4	YZ	LIV-DVD246	MYH1	2.14
BN6SN4	YZ	LOM-BRK090	MYH1	3.26	BO6SN4	YZ	LOM-BRK090	MYH1	3.06
BN6SN4	YZ	LOM-CLD285	MYH1	2.95	BO6SN4	YZ	LOM-CLD285	MYH1	2.83
BN6SN4	YZ	LOM-GGV337	MYH1	4.96	BO6SN4	YZ	LOM-GGV337	MYH1	3.78
BN6SN4	YZ	NOR-CWC270	MYH1	3.99	BO6SN4	YZ	NOR-CWC270	MYH1	3.84
BN6SN4	YZ	NOR-LOS090	MYH1	3.22	BO6SN4	YZ	NOR-LOS090	MYH1	4.04
BN6SN4	YZ	NOR-LOS360	MYH1	4.60	BO6SN4	YZ	NOR-LOS360	MYH1	5.18
BN6SN4	YZ	PRK-CHO355	MYH1	4.17	BO6SN4	YZ	PRK-CHO355	MYH1	3.40
BN6SN4	YZ	PRK-TMB205	MYH1	3.10	BO6SN4	YZ	PRK-TMB205	MYH1	3.21
BN6SN4	YZ	SUP-PLS135	MYH1	3.51	BO6SN4	YZ	SUP-PLS135	MYH1	2.81
BN6SN4	YZ	TAB-DAY-LN	MYH1	3.70	BO6SN4	YZ	TAB-DAY-LN	MYH1	2.92
BN6SN4	YZ	VIC-CPE315	MYH1	4.87	BO6SN4	YZ	VIC-CPE315	MYH1	4.05
BN6SN4	YZ	WHI-ALH180	MYH1	3.43	BO6SN4	YZ	WHI-ALH180	MYH1	3.30
BN6SN4	YZ	WHI-GRN180	MYH1	5.33	BO6SN4	YZ	WHI-GRN180	MYH1	5.29

Tablo C.1 (devam): Mevcut binalara ait yerdeğiştirme talepleri

Bina Adı	Analiz Yönü	İvme Kaydı	MYH Grup No	Δ_d (cm)	Bina Adı	Analiz Yönü	İvme Kaydı	MYH Grup No	Δ_d (cm)
BN6SN4	YZ	WHI-OBR360	MYH1	3.15	BO6SN4	YZ	WHI-OBR360	MYH1	2.85
BN6SN4	XZ	CHI-TCU141-N	MYH2	1.54	BO6SN4	XZ	CHI-TCU141-N	MYH2	1.82
BN6SN4	XZ	COA-PV1090	MYH2	3.10	BO6SN4	XZ	COA-PV1090	MYH2	4.19
BN6SN4	XZ	COA-Z14090	MYH2	5.00	BO6SN4	XZ	COA-Z14090	MYH2	8.08
BN6SN4	XZ	COY-G02140	MYH2	2.94	BO6SN4	XZ	COY-G02140	MYH2	5.27
BN6SN4	XZ	COY-G03140	MYH2	3.60	BO6SN4	XZ	COY-G03140	MYH2	5.45
BN6SN4	XZ	IMP-AER315	MYH2	3.56	BO6SN4	XZ	IMP-AER315	MYH2	3.90
BN6SN4	XZ	IMP-DLT262	MYH2	3.60	BO6SN4	XZ	IMP-DLT262	MYH2	4.34
BN6SN4	XZ	KOB-KAK090	MYH2	3.87	BO6SN4	XZ	KOB-KAK090	MYH2	4.90
BN6SN4	XZ	KOB-SHI090	MYH2	5.19	BO6SN4	XZ	KOB-SHI090	MYH2	5.60
BN6SN4	XZ	LAN-CLVLN	MYH2	4.49	BO6SN4	XZ	LAN-CLVLN	MYH2	4.91
BN6SN4	XZ	LAN-JOS000	MYH2	3.99	BO6SN4	XZ	LAN-JOS000	MYH2	5.01
BN6SN4	XZ	LOM-CAP090	MYH2	8.16	BO6SN4	XZ	LOM-CAP090	MYH2	8.18
BN6SN4	XZ	LOM-GGV067	MYH2	3.37	BO6SN4	XZ	LOM-GGV067	MYH2	3.84
BN6SN4	XZ	LOM-HSP090	MYH2	4.76	BO6SN4	XZ	LOM-HSP090	MYH2	3.97
BN6SN4	XZ	LOM-SFO000	MYH2	4.82	BO6SN4	XZ	LOM-SFO000	MYH2	4.74
BN6SN4	XZ	LOM-SFO090	MYH2	5.84	BO6SN4	XZ	LOM-SFO090	MYH2	5.95
BN6SN4	XZ	LOM-WAH000	MYH2	5.23	BO6SN4	XZ	LOM-WAH000	MYH2	4.92
BN6SN4	XZ	MAM-LUL000	MYH2	5.91	BO6SN4	XZ	MAM-LUL000	MYH2	4.52
BN6SN4	XZ	MOR-AND250	MYH2	4.09	BO6SN4	XZ	MOR-AND250	MYH2	3.58
BN6SN4	XZ	MOR-AND340	MYH2	5.71	BO6SN4	XZ	MOR-AND340	MYH2	7.12
BN6SN4	XZ	NOR-CHL160	MYH2	5.01	BO6SN4	XZ	NOR-CHL160	MYH2	7.53
BN6SN4	XZ	NOR-CWC180	MYH2	2.94	BO6SN4	XZ	NOR-CWC180	MYH2	5.08
BN6SN4	XZ	NOR-SAT090	MYH2	4.10	BO6SN4	XZ	NOR-SAT090	MYH2	6.38
BN6SN4	XZ	NPAL-DSP000	MYH2	4.03	BO6SN4	XZ	NPAL-DSP000	MYH2	6.23
BN6SN4	XZ	PRK-CHO085	MYH2	4.07	BO6SN4	XZ	PRK-CHO085	MYH2	3.75
BN6SN4	XZ	SFD-ORR291	MYH2	4.80	BO6SN4	XZ	SFD-ORR291	MYH2	4.22
BN6SN4	XZ	SPI-GUK000	MYH2	3.42	BO6SN4	XZ	SPI-GUK000	MYH2	3.97
BN6SN4	XZ	TAB-DAY-TR	MYH2	5.85	BO6SN4	XZ	TAB-DAY-TR	MYH2	7.62
BN6SN4	XZ	WES-PTS315	MYH2	3.15	BO6SN4	XZ	WES-PTS315	MYH2	6.16
BN6SN4	XZ	WHI-DEL000	MYH2	5.94	BO6SN4	XZ	WHI-DEL000	MYH2	6.03
BN6SN4	XZ	WHI-DWN180	MYH2	4.96	BO6SN4	XZ	WHI-DWN180	MYH2	8.31
BN6SN4	YZ	CHI-TCU141-N	MYH2	1.91	BO6SN4	YZ	CHI-TCU141-N	MYH2	1.56
BN6SN4	YZ	COA-PV1090	MYH2	3.32	BO6SN4	YZ	COA-PV1090	MYH2	3.76
BN6SN4	YZ	COA-Z14090	MYH2	5.43	BO6SN4	YZ	COA-Z14090	MYH2	5.42
BN6SN4	YZ	COY-G02140	MYH2	3.43	BO6SN4	YZ	COY-G02140	MYH2	3.94
BN6SN4	YZ	COY-G03140	MYH2	4.09	BO6SN4	YZ	COY-G03140	MYH2	3.72
BN6SN4	YZ	IMP-AER315	MYH2	3.28	BO6SN4	YZ	IMP-AER315	MYH2	3.79
BN6SN4	YZ	IMP-DLT262	MYH2	4.44	BO6SN4	YZ	IMP-DLT262	MYH2	4.88
BN6SN4	YZ	KOB-KAK090	MYH2	4.06	BO6SN4	YZ	KOB-KAK090	MYH2	4.10
BN6SN4	YZ	KOB-SHI090	MYH2	5.63	BO6SN4	YZ	KOB-SHI090	MYH2	5.73
BN6SN4	YZ	LAN-CLVLN	MYH2	4.22	BO6SN4	YZ	LAN-CLVLN	MYH2	4.60
BN6SN4	YZ	LAN-JOS000	MYH2	4.82	BO6SN4	YZ	LAN-JOS000	MYH2	4.62
BN6SN4	YZ	LOM-CAP090	MYH2	7.33	BO6SN4	YZ	LOM-CAP090	MYH2	6.75
BN6SN4	YZ	LOM-GGV067	MYH2	3.49	BO6SN4	YZ	LOM-GGV067	MYH2	3.64
BN6SN4	YZ	LOM-HSP090	MYH2	4.56	BO6SN4	YZ	LOM-HSP090	MYH2	4.39
BN6SN4	YZ	LOM-SFO000	MYH2	4.97	BO6SN4	YZ	LOM-SFO000	MYH2	3.86
BN6SN4	YZ	LOM-SFO090	MYH2	6.05	BO6SN4	YZ	LOM-SFO090	MYH2	5.90
BN6SN4	YZ	LOM-WAH000	MYH2	5.48	BO6SN4	YZ	LOM-WAH000	MYH2	6.08
BN6SN4	YZ	MAM-LUL000	MYH2	5.29	BO6SN4	YZ	MAM-LUL000	MYH2	4.26
BN6SN4	YZ	MOR-AND250	MYH2	3.57	BO6SN4	YZ	MOR-AND250	MYH2	3.18
BN6SN4	YZ	MOR-AND340	MYH2	5.05	BO6SN4	YZ	MOR-AND340	MYH2	7.45
BN6SN4	YZ	NOR-CHL160	MYH2	5.63	BO6SN4	YZ	NOR-CHL160	MYH2	5.62
BN6SN4	YZ	NOR-CWC180	MYH2	3.44	BO6SN4	YZ	NOR-CWC180	MYH2	3.11
BN6SN4	YZ	NOR-SAT090	MYH2	5.52	BO6SN4	YZ	NOR-SAT090	MYH2	5.54
BN6SN4	YZ	NPAL-DSP000	MYH2	5.23	BO6SN4	YZ	NPAL-DSP000	MYH2	5.10
BN6SN4	YZ	PRK-CHO085	MYH2	3.61	BO6SN4	YZ	PRK-CHO085	MYH2	3.14
BN6SN4	YZ	SFD-ORR291	MYH2	5.17	BO6SN4	YZ	SFD-ORR291	MYH2	4.30
BN6SN4	YZ	SPI-GUK000	MYH2	3.30	BO6SN4	YZ	SPI-GUK000	MYH2	3.89

Tablo C.1 (devam): Mevcut binalara ait yerdeğiştirme talepleri

Bina Adı	Analiz Yönü	İvme Kaydı	MYH Grup No	Δ_d (cm)	Bina Adı	Analiz Yönü	İvme Kaydı	MYH Grup No	Δ_d (cm)
BN6SN4	YZ	TAB-DAY-TR	MYH2	5.03	BO6SN4	YZ	TAB-DAY-TR	MYH2	6.46
BN6SN4	YZ	WES-PTS315	MYH2	3.72	BO6SN4	YZ	WES-PTS315	MYH2	4.48
BN6SN4	YZ	WHI-DEL000	MYH2	6.50	BO6SN4	YZ	WHI-DEL000	MYH2	6.04
BN6SN4	YZ	WHI-DWN180	MYH2	5.11	BO6SN4	YZ	WHI-DWN180	MYH2	5.94
BN6SN4	XZ	CAP-FOR000	MYH3	1.99	BO6SN4	XZ	CAP-FOR000	MYH3	2.87
BN6SN4	XZ	CHI-CHY29W	MYH3	4.93	BO6SN4	XZ	CHI-CHY29W	MYH3	6.49
BN6SN4	XZ	CHI-TCU046N	MYH3	2.66	BO6SN4	XZ	CHI-TCU046N	MYH3	2.05
BN6SN4	XZ	CHI-TCU112-N	MYH3	1.51	BO6SN4	XZ	CHI-TCU112-N	MYH3	1.51
BN6SN4	XZ	CHI-TCU118-N	MYH3	2.29	BO6SN4	XZ	CHI-TCU118-N	MYH3	2.54
BN6SN4	XZ	FRI-TMZ270	MYH3	6.02	BO6SN4	XZ	FRI-TMZ270	MYH3	6.84
BN6SN4	XZ	IMP-ELC2-140	MYH3	3.67	BO6SN4	XZ	IMP-ELC2-140	MYH3	4.89
BN6SN4	XZ	IMP-ELC11-140	MYH3	3.81	BO6SN4	XZ	IMP-ELC11-140	MYH3	3.81
BN6SN4	XZ	IMP-SAH270	MYH3	4.83	BO6SN4	XZ	IMP-SAH270	MYH3	5.61
BN6SN4	XZ	KOC-AMB090	MYH3	3.85	BO6SN4	XZ	KOC-AMB090	MYH3	8.01
BN6SN4	XZ	KOC-GBZ270	MYH3	2.79	BO6SN4	XZ	KOC-GBZ270	MYH3	2.31
BN6SN4	XZ	KOC-IZM090	MYH3	3.32	BO6SN4	XZ	KOC-IZM090	MYH3	5.16
BN6SN4	XZ	LAN-LUC000	MYH3	3.65	BO6SN4	XZ	LAN-LUC000	MYH3	5.13
BN6SN4	XZ	LAN-YER360	MYH3	2.97	BO6SN4	XZ	LAN-YER360	MYH3	3.13
BN6SN4	XZ	LOM-A02133	MYH3	4.77	BO6SN4	XZ	LOM-A02133	MYH3	9.02
BN6SN4	XZ	LOM-G01000	MYH3	3.50	BO6SN4	XZ	LOM-G01000	MYH3	3.15
BN6SN4	XZ	LOM-G01090	MYH3	5.13	BO6SN4	XZ	LOM-G01090	MYH3	5.24
BN6SN4	XZ	LOM-G02000	MYH3	5.40	BO6SN4	XZ	LOM-G02000	MYH3	8.85
BN6SN4	XZ	LOM-TRI090	MYH3	4.68	BO6SN4	XZ	LOM-TRI090	MYH3	6.12
BN6SN4	XZ	MAM-LUL090	MYH3	6.09	BO6SN4	XZ	MAM-LUL090	MYH3	8.21
BN6SN4	XZ	NOR-CNP106	MYH3	4.95	BO6SN4	XZ	NOR-CNP106	MYH3	9.27
BN6SN4	XZ	NOR-PAC265	MYH3	4.68	BO6SN4	XZ	NOR-PAC265	MYH3	5.32
BN6SN4	XZ	NOR-PKC090	MYH3	6.49	BO6SN4	XZ	NOR-PKC090	MYH3	10.73
BN6SN4	XZ	NOR-WIL180	MYH3	4.71	BO6SN4	XZ	NOR-WIL180	MYH3	8.21
BN6SN4	XZ	NPAL-MVH045	MYH3	3.02	BO6SN4	XZ	NPAL-MVH045	MYH3	5.91
BN6SN4	XZ	NPAL-NPS300	MYH3	6.11	BO6SN4	XZ	NPAL-NPS300	MYH3	5.30
BN6SN4	XZ	NPAL-WWT270	MYH3	6.30	BO6SN4	XZ	NPAL-WWT270	MYH3	8.87
BN6SN4	XZ	SUP-IVW090	MYH3	2.11	BO6SN4	XZ	SUP-IVW090	MYH3	3.65
BN6SN4	XZ	SUP-IVW360	MYH3	4.01	BO6SN4	XZ	SUP-IVW360	MYH3	4.65
BN6SN4	XZ	SUP-KRN360	MYH3	2.58	BO6SN4	XZ	SUP-KRN360	MYH3	3.50
BN6SN4	XZ	SUP-POE360	MYH3	4.65	BO6SN4	XZ	SUP-POE360	MYH3	4.45
BN6SN4	XZ	SUP-SUP045	MYH3	5.89	BO6SN4	XZ	SUP-SUP045	MYH3	5.55
BN6SN4	XZ	VIC-CPE045	MYH3	5.72	BO6SN4	XZ	VIC-CPE045	MYH3	10.72
BN6SN4	XZ	WHI-OR2010	MYH3	5.31	BO6SN4	XZ	WHI-OR2010	MYH3	6.68
BN6SN4	YZ	CAP-FOR000	MYH3	2.04	BO6SN4	YZ	CAP-FOR000	MYH3	2.16
BN6SN4	YZ	CHI-CHY29W	MYH3	5.38	BO6SN4	YZ	CHI-CHY29W	MYH3	6.30
BN6SN4	YZ	CHI-TCU046N	MYH3	2.78	BO6SN4	YZ	CHI-TCU046N	MYH3	1.94
BN6SN4	YZ	CHI-TCU112-N	MYH3	1.66	BO6SN4	YZ	CHI-TCU112-N	MYH3	1.43
BN6SN4	YZ	CHI-TCU118-N	MYH3	2.88	BO6SN4	YZ	CHI-TCU118-N	MYH3	2.35
BN6SN4	YZ	FRI-TMZ270	MYH3	6.49	BO6SN4	YZ	FRI-TMZ270	MYH3	6.91
BN6SN4	YZ	IMP-ELC2-140	MYH3	5.27	BO6SN4	YZ	IMP-ELC2-140	MYH3	4.78
BN6SN4	YZ	IMP-ELC11-140	MYH3	4.43	BO6SN4	YZ	IMP-ELC11-140	MYH3	3.55
BN6SN4	YZ	IMP-SAH270	MYH3	5.18	BO6SN4	YZ	IMP-SAH270	MYH3	4.42
BN6SN4	YZ	KOC-AMB090	MYH3	3.91	BO6SN4	YZ	KOC-AMB090	MYH3	4.68
BN6SN4	YZ	KOC-GBZ270	MYH3	2.80	BO6SN4	YZ	KOC-GBZ270	MYH3	2.30
BN6SN4	YZ	KOC-IZM090	MYH3	4.11	BO6SN4	YZ	KOC-IZM090	MYH3	3.96
BN6SN4	YZ	LAN-LUC000	MYH3	4.36	BO6SN4	YZ	LAN-LUC000	MYH3	3.78
BN6SN4	YZ	LAN-YER360	MYH3	2.66	BO6SN4	YZ	LAN-YER360	MYH3	3.21
BN6SN4	YZ	LOM-A02133	MYH3	6.12	BO6SN4	YZ	LOM-A02133	MYH3	6.37
BN6SN4	YZ	LOM-G01000	MYH3	3.30	BO6SN4	YZ	LOM-G01000	MYH3	3.23
BN6SN4	YZ	LOM-G01090	MYH3	4.96	BO6SN4	YZ	LOM-G01090	MYH3	5.18
BN6SN4	YZ	LOM-G02000	MYH3	6.71	BO6SN4	YZ	LOM-G02000	MYH3	8.40
BN6SN4	YZ	LOM-TRI090	MYH3	5.73	BO6SN4	YZ	LOM-TRI090	MYH3	5.79
BN6SN4	YZ	MAM-LUL090	MYH3	6.75	BO6SN4	YZ	MAM-LUL090	MYH3	7.29
BN6SN4	YZ	NOR-CNP106	MYH3	6.58	BO6SN4	YZ	NOR-CNP106	MYH3	6.56

Tablo C.1 (devam): Mevcut binalara ait yerdeğiştirme talepleri

Bina Adı	Analiz Yönü	İvme Kaydı	MYH Grup No	Δ_d (cm)	Bina Adı	Analiz Yönü	İvme Kaydı	MYH Grup No	Δ_d (cm)
BN6SN4	YZ	NOR-PAC265	MYH3	4.90	BO6SN4	YZ	NOR-PAC265	MYH3	4.58
BN6SN4	YZ	NOR-PKC090	MYH3	6.86	BO6SN4	YZ	NOR-PKC090	MYH3	6.37
BN6SN4	YZ	NOR-WIL180	MYH3	5.66	BO6SN4	YZ	NOR-WIL180	MYH3	6.11
BN6SN4	YZ	NPAL-MVH045	MYH3	4.26	BO6SN4	YZ	NPAL-MVH045	MYH3	3.97
BN6SN4	YZ	NPAL-NPS300	MYH3	6.27	BO6SN4	YZ	NPAL-NPS300	MYH3	4.29
BN6SN4	YZ	NPAL-WWT270	MYH3	6.41	BO6SN4	YZ	NPAL-WWT270	MYH3	7.53
BN6SN4	YZ	SUP-IVW090	MYH3	2.63	BO6SN4	YZ	SUP-IVW090	MYH3	2.61
BN6SN4	YZ	SUP-IVW360	MYH3	4.33	BO6SN4	YZ	SUP-IVW360	MYH3	4.02
BN6SN4	YZ	SUP-KRN360	MYH3	3.27	BO6SN4	YZ	SUP-KRN360	MYH3	3.01
BN6SN4	YZ	SUP-POE360	MYH3	5.68	BO6SN4	YZ	SUP-POE360	MYH3	5.25
BN6SN4	YZ	SUP-SUP045	MYH3	5.55	BO6SN4	YZ	SUP-SUP045	MYH3	4.60
BN6SN4	YZ	VIC-CPE045	MYH3	5.59	BO6SN4	YZ	VIC-CPE045	MYH3	8.82
BN6SN4	YZ	WHI-OR2010	MYH3	7.44	BO6SN4	YZ	WHI-OR2010	MYH3	8.51
BN6SN4	XZ	CHI-CHY29N	MYH4	6.73	BO6SN4	XZ	CHI-CHY29N	MYH4	6.99
BN6SN4	XZ	CHI-CHY036W	MYH4	7.21	BO6SN4	XZ	CHI-CHY036W	MYH4	10.00
BN6SN4	XZ	CHI-CHY41N	MYH4	9.19	BO6SN4	XZ	CHI-CHY41N	MYH4	6.85
BN6SN4	XZ	CHI-TCU45N	MYH4	9.57	BO6SN4	XZ	CHI-TCU45N	MYH4	6.50
BN6SN4	XZ	CHI-TCU45W	MYH4	5.90	BO6SN4	XZ	CHI-TCU45W	MYH4	9.44
BN6SN4	XZ	CHI-TCU51N	MYH4	3.41	BO6SN4	XZ	CHI-TCU51N	MYH4	6.42
BN6SN4	XZ	COA-PLE135	MYH4	7.68	BO6SN4	XZ	COA-PLE135	MYH4	9.87
BN6SN4	XZ	IMP-BRA225	MYH4	1.36	BO6SN4	XZ	IMP-BRA225	MYH4	1.64
BN6SN4	XZ	IMP-BRA315	MYH4	3.86	BO6SN4	XZ	IMP-BRA315	MYH4	5.65
BN6SN4	XZ	IMP-ECC002	MYH4	4.52	BO6SN4	XZ	IMP-ECC002	MYH4	6.59
BN6SN4	XZ	IMP-ELC4-140	MYH4	8.30	BO6SN4	XZ	IMP-ELC4-140	MYH4	14.54
BN6SN4	XZ	IRP-STU000	MYH4	4.74	BO6SN4	XZ	IRP-STU000	MYH4	5.37
BN6SN4	XZ	KOB-NIS000	MYH4	6.39	BO6SN4	XZ	KOB-NIS000	MYH4	7.33
BN6SN4	XZ	KOB-NIS090	MYH4	6.42	BO6SN4	XZ	KOB-NIS090	MYH4	10.02
BN6SN4	XZ	KOB-SHI000	MYH4	4.65	BO6SN4	XZ	KOB-SHI000	MYH4	6.42
BN6SN4	XZ	KOC-ARC090	MYH4	1.61	BO6SN4	XZ	KOC-ARC090	MYH4	2.41
BN6SN4	XZ	LOM-G02090	MYH4	4.31	BO6SN4	XZ	LOM-G02090	MYH4	7.90
BN6SN4	XZ	LOM-G03000	MYH4	4.93	BO6SN4	XZ	LOM-G03000	MYH4	5.23
BN6SN4	XZ	LOM-HDA255	MYH4	6.53	BO6SN4	XZ	LOM-HDA255	MYH4	10.42
BN6SN4	XZ	LOM-SVL360	MYH4	3.30	BO6SN4	XZ	LOM-SVL360	MYH4	4.01
BN6SN4	XZ	MOR-G06090	MYH4	6.33	BO6SN4	XZ	MOR-G06090	MYH4	7.94
BN6SN4	XZ	MOR-HAL240	MYH4	7.72	BO6SN4	XZ	MOR-HAL240	MYH4	10.52
BN6SN4	XZ	NOR-KAT090	MYH4	8.21	BO6SN4	XZ	NOR-KAT090	MYH4	7.72
BN6SN4	XZ	NOR-SCR090	MYH4	4.81	BO6SN4	XZ	NOR-SCR090	MYH4	4.03
BN6SN4	XZ	NOR-STN020	MYH4	6.94	BO6SN4	XZ	NOR-STN020	MYH4	8.72
BN6SN4	XZ	NPAL-WWT180	MYH4	4.81	BO6SN4	XZ	NPAL-WWT180	MYH4	7.26
BN6SN4	XZ	SUP-POE270	MYH4	4.43	BO6SN4	XZ	SUP-POE270	MYH4	7.68
BN6SN4	XZ	WES-PTS225	MYH4	4.81	BO6SN4	XZ	WES-PTS225	MYH4	5.06
BN6SN4	XZ	WHI-BIR180	MYH4	6.92	BO6SN4	XZ	WHI-BIR180	MYH4	10.05
BN6SN4	XZ	WHI-EJS048	MYH4	6.84	BO6SN4	XZ	WHI-EJS048	MYH4	5.73
BN6SN4	YZ	CHI-CHY29N	MYH4	7.55	BO6SN4	YZ	CHI-CHY29N	MYH4	6.99
BN6SN4	YZ	CHI-CHY036W	MYH4	7.78	BO6SN4	YZ	CHI-CHY036W	MYH4	8.08
BN6SN4	YZ	CHI-CHY41N	MYH4	6.54	BO6SN4	YZ	CHI-CHY41N	MYH4	7.37
BN6SN4	YZ	CHI-TCU45N	MYH4	8.57	BO6SN4	YZ	CHI-TCU45N	MYH4	7.40
BN6SN4	YZ	CHI-TCU45W	MYH4	5.69	BO6SN4	YZ	CHI-TCU45W	MYH4	6.58
BN6SN4	YZ	CHI-TCU51N	MYH4	4.97	BO6SN4	YZ	CHI-TCU51N	MYH4	4.45
BN6SN4	YZ	COA-PLE135	MYH4	8.59	BO6SN4	YZ	COA-PLE135	MYH4	6.85
BN6SN4	YZ	IMP-BRA225	MYH4	1.48	BO6SN4	YZ	IMP-BRA225	MYH4	1.34
BN6SN4	YZ	IMP-BRA315	MYH4	3.98	BO6SN4	YZ	IMP-BRA315	MYH4	4.42
BN6SN4	YZ	IMP-ECC002	MYH4	4.69	BO6SN4	YZ	IMP-ECC002	MYH4	4.06
BN6SN4	YZ	IMP-ELC4-140	MYH4	9.97	BO6SN4	YZ	IMP-ELC4-140	MYH4	11.34
BN6SN4	YZ	IRP-STU000	MYH4	5.56	BO6SN4	YZ	IRP-STU000	MYH4	5.32
BN6SN4	YZ	KOB-NIS000	MYH4	6.50	BO6SN4	YZ	KOB-NIS000	MYH4	6.57
BN6SN4	YZ	KOB-NIS090	MYH4	5.52	BO6SN4	YZ	KOB-NIS090	MYH4	6.78
BN6SN4	YZ	KOB-SHI000	MYH4	6.73	BO6SN4	YZ	KOB-SHI000	MYH4	6.93
BN6SN4	YZ	KOC-ARC090	MYH4	1.70	BO6SN4	YZ	KOC-ARC090	MYH4	1.62

Tablo C.1 (devam): Mevcut binalara ait yerdeğiştirme talepleri

Bina Adı	Analiz Yönü	İvme Kaydı	MYH Grup No	Δ_d (cm)	Bina Adı	Analiz Yönü	İvme Kaydı	MYH Grup No	Δ_d (cm)
BN6SN4	YZ	LOM-G02090	MYH4	5.64	BO6SN4	YZ	LOM-G02090	MYH4	7.30
BN6SN4	YZ	LOM-G03000	MYH4	4.88	BO6SN4	YZ	LOM-G03000	MYH4	4.85
BN6SN4	YZ	LOM-HDA255	MYH4	6.91	BO6SN4	YZ	LOM-HDA255	MYH4	8.08
BN6SN4	YZ	LOM-SVL360	MYH4	3.87	BO6SN4	YZ	LOM-SVL360	MYH4	2.94
BN6SN4	YZ	MOR-G06090	MYH4	7.33	BO6SN4	YZ	MOR-G06090	MYH4	8.18
BN6SN4	YZ	MOR-HAL240	MYH4	8.63	BO6SN4	YZ	MOR-HAL240	MYH4	10.02
BN6SN4	YZ	NOR-KAT090	MYH4	8.97	BO6SN4	YZ	NOR-KAT090	MYH4	8.86
BN6SN4	YZ	NOR-SCR090	MYH4	5.78	BO6SN4	YZ	NOR-SCR090	MYH4	4.45
BN6SN4	YZ	NOR-STN020	MYH4	7.99	BO6SN4	YZ	NOR-STN020	MYH4	7.43
BN6SN4	YZ	NPAL-WWT180	MYH4	5.36	BO6SN4	YZ	NPAL-WWT180	MYH4	6.10
BN6SN4	YZ	SUP-POE270	MYH4	5.97	BO6SN4	YZ	SUP-POE270	MYH4	5.86
BN6SN4	YZ	WES-PTS225	MYH4	5.39	BO6SN4	YZ	WES-PTS225	MYH4	5.65
BN6SN4	YZ	WHI-BIR180	MYH4	8.80	BO6SN4	YZ	WHI-BIR180	MYH4	9.42
BN6SN4	YZ	WHI-EJS048	MYH4	6.76	BO6SN4	YZ	WHI-EJS048	MYH4	5.62
BN6SN4	XZ	CAP-RIO270	MYH5	7.54	BO6SN4	XZ	CAP-RIO270	MYH5	10.29
BN6SN4	XZ	CAP-RIO360	MYH5	8.08	BO6SN4	XZ	CAP-RIO360	MYH5	7.35
BN6SN4	XZ	CHI-TCU046W	MYH5	2.29	BO6SN4	XZ	CHI-TCU046W	MYH5	2.02
BN6SN4	XZ	CHI-TCU061N	MYH5	3.02	BO6SN4	XZ	CHI-TCU061N	MYH5	3.14
BN6SN4	XZ	CHI-TCU74N	MYH5	7.07	BO6SN4	XZ	CHI-TCU74N	MYH5	7.67
BN6SN4	XZ	CHI-TCU112-W	MYH5	1.37	BO6SN4	XZ	CHI-TCU112-W	MYH5	1.86
BN6SN4	XZ	CHI-TCU123-W	MYH5	3.56	BO6SN4	XZ	CHI-TCU123-W	MYH5	6.08
BN6SN4	XZ	CHI-TCU141-E	MYH5	1.68	BO6SN4	XZ	CHI-TCU141-E	MYH5	2.20
BN6SN4	XZ	CHI-WNTN	MYH5	3.70	BO6SN4	XZ	CHI-WNTN	MYH5	12.06
BN6SN4	XZ	COA-Z14000	MYH5	5.30	BO6SN4	XZ	COA-Z14000	MYH5	9.10
BN6SN4	XZ	IMP-AER045	MYH5	4.85	BO6SN4	XZ	IMP-AER045	MYH5	5.11
BN6SN4	XZ	IMP-ELC3-230	MYH5	3.42	BO6SN4	XZ	IMP-ELC3-230	MYH5	3.16
BN6SN4	XZ	IMP-ELC11-230	MYH5	4.39	BO6SN4	XZ	IMP-ELC11-230	MYH5	6.82
BN6SN4	XZ	IMP-ELCD-360	MYH5	7.22	BO6SN4	XZ	IMP-ELCD-360	MYH5	15.76
BN6SN4	XZ	KOC-AMB000	MYH5	4.12	BO6SN4	XZ	KOC-AMB000	MYH5	6.80
BN6SN4	XZ	LAN-CLVTR	MYH5	10.31	BO6SN4	XZ	LAN-CLVTR	MYH5	13.24
BN6SN4	XZ	LAN-JOS090	MYH5	4.20	BO6SN4	XZ	LAN-JOS090	MYH5	12.03
BN6SN4	XZ	LOM-CYC285	MYH5	6.30	BO6SN4	XZ	LOM-CYC285	MYH5	10.19
BN6SN4	XZ	LOM-GOF090	MYH5	4.82	BO6SN4	XZ	LOM-GOF090	MYH5	7.09
BN6SN4	XZ	LOM-HDA165	MYH5	6.29	BO6SN4	XZ	LOM-HDA165	MYH5	8.86
BN6SN4	XZ	LOM-SAR000	MYH5	7.11	BO6SN4	XZ	LOM-SAR000	MYH5	12.03
BN6SN4	XZ	LOM-SAR090	MYH5	4.03	BO6SN4	XZ	LOM-SAR090	MYH5	4.35
BN6SN4	XZ	NOR-KAT000	MYH5	11.02	BO6SN4	XZ	NOR-KAT000	MYH5	10.89
BN6SN4	XZ	NOR-LOS000	MYH5	7.96	BO6SN4	XZ	NOR-LOS000	MYH5	14.26
BN6SN4	XZ	NOR-MU2035	MYH5	4.84	BO6SN4	XZ	NOR-MU2035	MYH5	4.77
BN6SN4	XZ	NOR-STM090	MYH5	4.18	BO6SN4	XZ	NOR-STM090	MYH5	6.72
BN6SN4	XZ	NPAL-MVH135	MYH5	3.49	BO6SN4	XZ	NPAL-MVH135	MYH5	5.95
BN6SN4	XZ	SUP-ELC090	MYH5	4.39	BO6SN4	XZ	SUP-ELC090	MYH5	4.44
BN6SN4	XZ	SUP-PTS315	MYH5	5.04	BO6SN4	XZ	SUP-PTS315	MYH5	11.28
BN6SN4	XZ	SUP-SUP135	MYH5	6.72	BO6SN4	XZ	SUP-SUP135	MYH5	9.23
BN6SN4	YZ	CAP-RIO270	MYH5	8.87	BO6SN4	YZ	CAP-RIO270	MYH5	9.66
BN6SN4	YZ	CAP-RIO360	MYH5	7.96	BO6SN4	YZ	CAP-RIO360	MYH5	8.76
BN6SN4	YZ	CHI-TCU046W	MYH5	2.59	BO6SN4	YZ	CHI-TCU046W	MYH5	2.08
BN6SN4	YZ	CHI-TCU061N	MYH5	3.21	BO6SN4	YZ	CHI-TCU061N	MYH5	2.62
BN6SN4	YZ	CHI-TCU74N	MYH5	7.54	BO6SN4	YZ	CHI-TCU74N	MYH5	7.33
BN6SN4	YZ	CHI-TCU112-W	MYH5	1.59	BO6SN4	YZ	CHI-TCU112-W	MYH5	1.31
BN6SN4	YZ	CHI-TCU123-W	MYH5	4.05	BO6SN4	YZ	CHI-TCU123-W	MYH5	4.48
BN6SN4	YZ	CHI-TCU141-E	MYH5	1.92	BO6SN4	YZ	CHI-TCU141-E	MYH5	1.77
BN6SN4	YZ	CHI-WNTN	MYH5	4.89	BO6SN4	YZ	CHI-WNTN	MYH5	6.85
BN6SN4	YZ	COA-Z14000	MYH5	5.52	BO6SN4	YZ	COA-Z14000	MYH5	9.84
BN6SN4	YZ	IMP-AER045	MYH5	4.46	BO6SN4	YZ	IMP-AER045	MYH5	4.83
BN6SN4	YZ	IMP-ELC3-230	MYH5	3.68	BO6SN4	YZ	IMP-ELC3-230	MYH5	3.18
BN6SN4	YZ	IMP-ELC11-230	MYH5	4.95	BO6SN4	YZ	IMP-ELC11-230	MYH5	4.25
BN6SN4	YZ	IMP-ELCD-360	MYH5	7.89	BO6SN4	YZ	IMP-ELCD-360	MYH5	10.40
BN6SN4	YZ	KOC-AMB000	MYH5	4.27	BO6SN4	YZ	KOC-AMB000	MYH5	3.29

Tablo C.1 (devam): Mevcut binalara ait yerdeğiştirme talepleri

Bina Adı	Analiz Yönü	İvme Kaydı	MYH Grup No	Δ_d (cm)	Bina Adı	Analiz Yönü	İvme Kaydı	MYH Grup No	Δ_d (cm)
BN6SN4	YZ	LAN-CLVTR	MYH5	11.47	BO6SN4	YZ	LAN-CLVTR	MYH5	12.64
BN6SN4	YZ	LAN-JOS090	MYH5	6.16	BO6SN4	YZ	LAN-JOS090	MYH5	7.03
BN6SN4	YZ	LOM-CYC285	MYH5	6.88	BO6SN4	YZ	LOM-CYC285	MYH5	6.32
BN6SN4	YZ	LOM-GOF090	MYH5	5.16	BO6SN4	YZ	LOM-GOF090	MYH5	5.64
BN6SN4	YZ	LOM-HDA165	MYH5	7.46	BO6SN4	YZ	LOM-HDA165	MYH5	7.12
BN6SN4	YZ	LOM-SAR000	MYH5	10.05	BO6SN4	YZ	LOM-SAR000	MYH5	11.17
BN6SN4	YZ	LOM-SAR090	MYH5	3.94	BO6SN4	YZ	LOM-SAR090	MYH5	3.36
BN6SN4	YZ	NOR-KAT000	MYH5	10.41	BO6SN4	YZ	NOR-KAT000	MYH5	7.97
BN6SN4	YZ	NOR-LOS000	MYH5	10.03	BO6SN4	YZ	NOR-LOS000	MYH5	11.84
BN6SN4	YZ	NOR-MU2035	MYH5	5.00	BO6SN4	YZ	NOR-MU2035	MYH5	4.31
BN6SN4	YZ	NOR-STM090	MYH5	4.78	BO6SN4	YZ	NOR-STM090	MYH5	6.61
BN6SN4	YZ	NPAL-MVH135	MYH5	4.51	BO6SN4	YZ	NPAL-MVH135	MYH5	4.95
BN6SN4	YZ	SUP-ELC090	MYH5	3.98	BO6SN4	YZ	SUP-ELC090	MYH5	4.60
BN6SN4	YZ	SUP-PTS315	MYH5	6.17	BO6SN4	YZ	SUP-PTS315	MYH5	6.56
BN6SN4	YZ	SUP-SUP135	MYH5	6.26	BO6SN4	YZ	SUP-SUP135	MYH5	7.04
BN6SN4	XZ	CAP-PET000	MYH6	9.42	BO6SN4	XZ	CAP-PET000	MYH6	15.03
BN6SN4	XZ	CHI-CHY025W	MYH6	3.59	BO6SN4	XZ	CHI-CHY025W	MYH6	5.71
BN6SN4	XZ	CHI-CHY034-N	MYH6	5.93	BO6SN4	XZ	CHI-CHY034-N	MYH6	10.03
BN6SN4	XZ	CHI-TCU038N	MYH6	3.37	BO6SN4	XZ	CHI-TCU038N	MYH6	3.47
BN6SN4	XZ	CHI-TCU038W	MYH6	3.25	BO6SN4	XZ	CHI-TCU038W	MYH6	4.02
BN6SN4	XZ	CHI-TCU048N	MYH6	3.20	BO6SN4	XZ	CHI-TCU048N	MYH6	4.06
BN6SN4	XZ	CHI-TCU49W	MYH6	4.40	BO6SN4	XZ	CHI-TCU49W	MYH6	4.10
BN6SN4	XZ	CHI-TCU51W	MYH6	2.69	BO6SN4	XZ	CHI-TCU51W	MYH6	3.85
BN6SN4	XZ	CHI-TCU95N	MYH6	5.00	BO6SN4	XZ	CHI-TCU95N	MYH6	4.70
BN6SN4	XZ	CHI-TCU104-N	MYH6	1.77	BO6SN4	XZ	CHI-TCU104-N	MYH6	1.76
BN6SN4	XZ	CHI-TCU106-W	MYH6	4.49	BO6SN4	XZ	CHI-TCU106-W	MYH6	3.94
BN6SN4	XZ	CHI-TCU107-N	MYH6	3.57	BO6SN4	XZ	CHI-TCU107-N	MYH6	6.40
BN6SN4	XZ	COY-G06230	MYH6	8.38	BO6SN4	XZ	COY-G06230	MYH6	11.55
BN6SN4	XZ	IMP-E10050	MYH6	3.50	BO6SN4	XZ	IMP-E10050	MYH6	2.29
BN6SN4	XZ	IMP-ELC3-140	MYH6	3.94	BO6SN4	XZ	IMP-ELC3-140	MYH6	7.61
BN6SN4	XZ	IMP-ELC5-140	MYH6	6.67	BO6SN4	XZ	IMP-ELC5-140	MYH6	5.55
BN6SN4	XZ	IMP-ELC7-140	MYH6	5.80	BO6SN4	XZ	IMP-ELC7-140	MYH6	8.67
BN6SN4	XZ	IMP-ELC8-230	MYH6	4.68	BO6SN4	XZ	IMP-ELC8-230	MYH6	6.51
BN6SN4	XZ	IMP-HVP225	MYH6	5.32	BO6SN4	XZ	IMP-HVP225	MYH6	6.71
BN6SN4	XZ	KOC-DZC270	MYH6	6.08	BO6SN4	XZ	KOC-DZC270	MYH6	9.93
BN6SN4	XZ	LOM-BRN090	MYH6	10.40	BO6SN4	XZ	LOM-BRN090	MYH6	8.78
BN6SN4	XZ	LOM-COR090	MYH6	9.34	BO6SN4	XZ	LOM-COR090	MYH6	14.55
BN6SN4	XZ	LOM-G03090	MYH6	4.46	BO6SN4	XZ	LOM-G03090	MYH6	6.89
BN6SN4	XZ	LOM-HCH180	MYH6	5.36	BO6SN4	XZ	LOM-HCH180	MYH6	10.30
BN6SN4	XZ	NAH-S1010	MYH6	6.16	BO6SN4	XZ	NAH-S1010	MYH6	8.78
BN6SN4	XZ	NAH-S1280	MYH6	4.74	BO6SN4	XZ	NAH-S1280	MYH6	4.91
BN6SN4	XZ	NOR-LOS270	MYH6	6.97	BO6SN4	XZ	NOR-LOS270	MYH6	8.68
BN6SN4	XZ	NOR-PAC175	MYH6	6.36	BO6SN4	XZ	NOR-PAC175	MYH6	6.68
BN6SN4	XZ	SUP-ELC000	MYH6	6.29	BO6SN4	XZ	SUP-ELC000	MYH6	10.36
BN6SN4	XZ	WES-WSM090	MYH6	6.64	BO6SN4	XZ	WES-WSM090	MYH6	9.95
BN6SN4	YZ	CAP-PET000	MYH6	10.87	BO6SN4	YZ	CAP-PET000	MYH6	12.54
BN6SN4	YZ	CHI-CHY025W	MYH6	3.40	BO6SN4	YZ	CHI-CHY025W	MYH6	3.26
BN6SN4	YZ	CHI-CHY034-N	MYH6	6.86	BO6SN4	YZ	CHI-CHY034-N	MYH6	7.76
BN6SN4	YZ	CHI-TCU038N	MYH6	3.72	BO6SN4	YZ	CHI-TCU038N	MYH6	3.06
BN6SN4	YZ	CHI-TCU038W	MYH6	3.26	BO6SN4	YZ	CHI-TCU038W	MYH6	3.10
BN6SN4	YZ	CHI-TCU048N	MYH6	3.46	BO6SN4	YZ	CHI-TCU048N	MYH6	3.25
BN6SN4	YZ	CHI-TCU49W	MYH6	4.48	BO6SN4	YZ	CHI-TCU49W	MYH6	4.02
BN6SN4	YZ	CHI-TCU51W	MYH6	3.24	BO6SN4	YZ	CHI-TCU51W	MYH6	3.38
BN6SN4	YZ	CHI-TCU95N	MYH6	5.09	BO6SN4	YZ	CHI-TCU95N	MYH6	4.07
BN6SN4	YZ	CHI-TCU104-N	MYH6	1.75	BO6SN4	YZ	CHI-TCU104-N	MYH6	1.88
BN6SN4	YZ	CHI-TCU106-W	MYH6	4.40	BO6SN4	YZ	CHI-TCU106-W	MYH6	4.15
BN6SN4	YZ	CHI-TCU107-N	MYH6	3.25	BO6SN4	YZ	CHI-TCU107-N	MYH6	3.70
BN6SN4	YZ	COY-G06230	MYH6	8.63	BO6SN4	YZ	COY-G06230	MYH6	7.48
BN6SN4	YZ	IMP-E10050	MYH6	3.23	BO6SN4	YZ	IMP-E10050	MYH6	2.65

Tablo C.1 (devam): Mevcut binalara ait yerdeğiştirme talepleri

Bina Adı	Analiz Yönü	İvme Kaydı	MYH Grup No	Δ_d (cm)	Bina Adı	Analiz Yönü	İvme Kaydı	MYH Grup No	Δ_d (cm)
BN6SN4	YZ	IMP-ELC3-140	MYH6	5.56	BO6SN4	YZ	IMP-ELC3-140	MYH6	5.69
BN6SN4	YZ	IMP-ELC5-140	MYH6	7.07	BO6SN4	YZ	IMP-ELC5-140	MYH6	7.53
BN6SN4	YZ	IMP-ELC7-140	MYH6	7.01	BO6SN4	YZ	IMP-ELC7-140	MYH6	6.37
BN6SN4	YZ	IMP-ELC8-230	MYH6	5.20	BO6SN4	YZ	IMP-ELC8-230	MYH6	5.17
BN6SN4	YZ	IMP-HVP225	MYH6	5.00	BO6SN4	YZ	IMP-HVP225	MYH6	5.86
BN6SN4	YZ	KOC-DZC270	MYH6	6.77	BO6SN4	YZ	KOC-DZC270	MYH6	6.08
BN6SN4	YZ	LOM-BRN090	MYH6	12.80	BO6SN4	YZ	LOM-BRN090	MYH6	13.32
BN6SN4	YZ	LOM-COR090	MYH6	10.33	BO6SN4	YZ	LOM-COR090	MYH6	8.16
BN6SN4	YZ	LOM-G03090	MYH6	3.89	BO6SN4	YZ	LOM-G03090	MYH6	4.67
BN6SN4	YZ	LOM-HCH180	MYH6	5.97	BO6SN4	YZ	LOM-HCH180	MYH6	5.80
BN6SN4	YZ	NAH-S1010	MYH6	5.83	BO6SN4	YZ	NAH-S1010	MYH6	6.22
BN6SN4	YZ	NAH-S1280	MYH6	4.47	BO6SN4	YZ	NAH-S1280	MYH6	4.97
BN6SN4	YZ	NOR-LOS270	MYH6	7.56	BO6SN4	YZ	NOR-LOS270	MYH6	8.52
BN6SN4	YZ	NOR-PAC175	MYH6	5.73	BO6SN4	YZ	NOR-PAC175	MYH6	5.96
BN6SN4	YZ	SUP-ELC000	MYH6	6.42	BO6SN4	YZ	SUP-ELC000	MYH6	8.72
BN6SN4	YZ	WES-WSM090	MYH6	6.87	BO6SN4	YZ	WES-WSM090	MYH6	7.05
BN6SN4	XZ	CHI-CHY002-N	MYH7	2.77	BO6SN4	XZ	CHI-CHY002-N	MYH7	3.43
BN6SN4	XZ	CHI-CHY024W	MYH7	4.53	BO6SN4	XZ	CHI-CHY024W	MYH7	9.61
BN6SN4	XZ	CHI-CHY104-E	MYH7	3.35	BO6SN4	XZ	CHI-CHY104-E	MYH7	5.80
BN6SN4	XZ	CHI-TCU029N	MYH7	2.50	BO6SN4	XZ	CHI-TCU029N	MYH7	4.01
BN6SN4	XZ	CHI-TCU036N	MYH7	2.64	BO6SN4	XZ	CHI-TCU036N	MYH7	3.65
BN6SN4	XZ	CHI-TCU039N	MYH7	2.66	BO6SN4	XZ	CHI-TCU039N	MYH7	4.83
BN6SN4	XZ	CHI-TCU039W	MYH7	4.74	BO6SN4	XZ	CHI-TCU039W	MYH7	8.39
BN6SN4	XZ	CHI-TCU040N	MYH7	2.57	BO6SN4	XZ	CHI-TCU040N	MYH7	3.20
BN6SN4	XZ	CHI-TCU040W	MYH7	3.08	BO6SN4	XZ	CHI-TCU040W	MYH7	2.64
BN6SN4	XZ	CHI-TCU055N	MYH7	4.18	BO6SN4	XZ	CHI-TCU055N	MYH7	4.94
BN6SN4	XZ	CHI-TCU064N	MYH7	2.22	BO6SN4	XZ	CHI-TCU064N	MYH7	2.43
BN6SN4	XZ	CHI-TCU70W	MYH7	6.94	BO6SN4	XZ	CHI-TCU70W	MYH7	6.41
BN6SN4	XZ	CHI-TCU109-N	MYH7	4.04	BO6SN4	XZ	CHI-TCU109-N	MYH7	6.18
BN6SN4	XZ	CHI-TCU109-W	MYH7	3.78	BO6SN4	XZ	CHI-TCU109-W	MYH7	4.67
BN6SN4	XZ	CHI-TCU115-W	MYH7	1.85	BO6SN4	XZ	CHI-TCU115-W	MYH7	2.04
BN6SN4	XZ	CHI-TCU117-N	MYH7	2.14	BO6SN4	XZ	CHI-TCU117-N	MYH7	2.95
BN6SN4	XZ	IMP-ELC8-140	MYH7	6.70	BO6SN4	XZ	IMP-ELC8-140	MYH7	9.03
BN6SN4	XZ	IMP-HVP315	MYH7	3.78	BO6SN4	XZ	IMP-HVP315	MYH7	3.39
BN6SN4	XZ	IRP-STU270	MYH7	3.37	BO6SN4	XZ	IRP-STU270	MYH7	8.28
BN6SN4	XZ	KOC-GBZ000	MYH7	3.64	BO6SN4	XZ	KOC-GBZ000	MYH7	4.59
BN6SN4	XZ	LAN-YER270	MYH7	4.45	BO6SN4	XZ	LAN-YER270	MYH7	10.19
BN6SN4	XZ	LOM-A02043	MYH7	6.86	BO6SN4	XZ	LOM-A02043	MYH7	17.97
BN6SN4	XZ	LOM-BRN000	MYH7	8.45	BO6SN4	XZ	LOM-BRN000	MYH7	13.80
BN6SN4	XZ	LOM-LGP090	MYH7	8.27	BO6SN4	XZ	LOM-LGP090	MYH7	9.59
BN6SN4	XZ	MOR-CYC195	MYH7	9.15	BO6SN4	XZ	MOR-CYC195	MYH7	13.92
BN6SN4	XZ	NOR-LDM334	MYH7	6.97	BO6SN4	XZ	NOR-LDM334	MYH7	12.45
BN6SN4	XZ	NOR-ORR090	MYH7	7.69	BO6SN4	XZ	NOR-ORR090	MYH7	10.20
BN6SN4	XZ	NOR-ORR360	MYH7	12.36	BO6SN4	XZ	NOR-ORR360	MYH7	24.81
BN6SN4	XZ	NOR-PKC360	MYH7	11.00	BO6SN4	XZ	NOR-PKC360	MYH7	7.86
BN6SN4	XZ	SFD-PCD254	MYH7	11.12	BO6SN4	XZ	SFD-PCD254	MYH7	11.47
BN6SN4	YZ	CHI-CHY002-N	MYH7	3.29	BO6SN4	YZ	CHI-CHY002-N	MYH7	3.08
BN6SN4	YZ	CHI-CHY024W	MYH7	6.07	BO6SN4	YZ	CHI-CHY024W	MYH7	7.45
BN6SN4	YZ	CHI-CHY104-E	MYH7	4.08	BO6SN4	YZ	CHI-CHY104-E	MYH7	3.91
BN6SN4	YZ	CHI-TCU029N	MYH7	2.63	BO6SN4	YZ	CHI-TCU029N	MYH7	2.40
BN6SN4	YZ	CHI-TCU036N	MYH7	2.94	BO6SN4	YZ	CHI-TCU036N	MYH7	3.30
BN6SN4	YZ	CHI-TCU039N	MYH7	3.45	BO6SN4	YZ	CHI-TCU039N	MYH7	3.11
BN6SN4	YZ	CHI-TCU039W	MYH7	5.12	BO6SN4	YZ	CHI-TCU039W	MYH7	5.43
BN6SN4	YZ	CHI-TCU040N	MYH7	3.18	BO6SN4	YZ	CHI-TCU040N	MYH7	2.90
BN6SN4	YZ	CHI-TCU040W	MYH7	3.02	BO6SN4	YZ	CHI-TCU040W	MYH7	2.73
BN6SN4	YZ	CHI-TCU055N	MYH7	4.68	BO6SN4	YZ	CHI-TCU055N	MYH7	3.77
BN6SN4	YZ	CHI-TCU064N	MYH7	2.31	BO6SN4	YZ	CHI-TCU064N	MYH7	1.91
BN6SN4	YZ	CHI-TCU70W	MYH7	7.31	BO6SN4	YZ	CHI-TCU70W	MYH7	6.23
BN6SN4	YZ	CHI-TCU109-N	MYH7	4.33	BO6SN4	YZ	CHI-TCU109-N	MYH7	3.72

Tablo C.1 (devam): Mevcut binalara ait yerdeğiştirme talepleri

Bina Adı	Analiz Yönü	İvme Kaydı	MYH Grup No	Δ_d (cm)	Bina Adı	Analiz Yönü	İvme Kaydı	MYH Grup No	Δ_d (cm)
BN6SN4	YZ	CHI-TCU109-W	MYH7	4.10	BO6SN4	YZ	CHI-TCU109-W	MYH7	3.85
BN6SN4	YZ	CHI-TCU115-W	MYH7	2.21	BO6SN4	YZ	CHI-TCU115-W	MYH7	1.71
BN6SN4	YZ	CHI-TCU117-N	MYH7	2.68	BO6SN4	YZ	CHI-TCU117-N	MYH7	2.40
BN6SN4	YZ	IMP-ELC8-140	MYH7	7.02	BO6SN4	YZ	IMP-ELC8-140	MYH7	6.48
BN6SN4	YZ	IMP-HVP315	MYH7	3.36	BO6SN4	YZ	IMP-HVP315	MYH7	3.35
BN6SN4	YZ	IRP-STU270	MYH7	4.21	BO6SN4	YZ	IRP-STU270	MYH7	3.69
BN6SN4	YZ	KOC-GBZ000	MYH7	4.77	BO6SN4	YZ	KOC-GBZ000	MYH7	4.65
BN6SN4	YZ	LAN-YER270	MYH7	5.30	BO6SN4	YZ	LAN-YER270	MYH7	6.32
BN6SN4	YZ	LOM-A02043	MYH7	7.55	BO6SN4	YZ	LOM-A02043	MYH7	11.82
BN6SN4	YZ	LOM-BRN000	MYH7	7.24	BO6SN4	YZ	LOM-BRN000	MYH7	11.18
BN6SN4	YZ	LOM-LGP090	MYH7	8.69	BO6SN4	YZ	LOM-LGP090	MYH7	8.03
BN6SN4	YZ	MOR-CYC195	MYH7	12.20	BO6SN4	YZ	MOR-CYC195	MYH7	14.34
BN6SN4	YZ	NOR-LDM334	MYH7	7.99	BO6SN4	YZ	NOR-LDM334	MYH7	11.26
BN6SN4	YZ	NOR-ORR090	MYH7	8.38	BO6SN4	YZ	NOR-ORR090	MYH7	11.18
BN6SN4	YZ	NOR-ORR360	MYH7	13.05	BO6SN4	YZ	NOR-ORR360	MYH7	17.72
BN6SN4	YZ	NOR-PKC360	MYH7	10.94	BO6SN4	YZ	NOR-PKC360	MYH7	8.88
BN6SN4	YZ	SFD-PCD254	MYH7	10.19	BO6SN4	YZ	SFD-PCD254	MYH7	13.00
BN6SN4	XZ	CAP-RIO270	MYH8	10.81	BO6SN4	XZ	CAP-RIO270	MYH8	14.02
BN6SN4	XZ	CAP-RIO360	MYH8	10.84	BO6SN4	XZ	CAP-RIO360	MYH8	9.49
BN6SN4	XZ	CHI-CHY006-E	MYH8	10.75	BO6SN4	XZ	CHI-CHY006-E	MYH8	12.30
BN6SN4	XZ	CHI-CHY092-E	MYH8	1.85	BO6SN4	XZ	CHI-CHY092-E	MYH8	2.89
BN6SN4	XZ	CHI-CHY104-N	MYH8	3.14	BO6SN4	XZ	CHI-CHY104-N	MYH8	7.70
BN6SN4	XZ	CHI-TCU054W	MYH8	3.28	BO6SN4	XZ	CHI-TCU054W	MYH8	3.44
BN6SN4	XZ	CHI-TCU059N	MYH8	3.11	BO6SN4	XZ	CHI-TCU059N	MYH8	6.06
BN6SN4	XZ	CHI-TCU059W	MYH8	4.28	BO6SN4	XZ	CHI-TCU059W	MYH8	4.19
BN6SN4	XZ	CHI-TCU063W	MYH8	4.80	BO6SN4	XZ	CHI-TCU063W	MYH8	6.98
BN6SN4	XZ	CHI-TCU072N	MYH8	8.78	BO6SN4	XZ	CHI-TCU072N	MYH8	23.59
BN6SN4	XZ	CHI-TCU82W	MYH8	4.34	BO6SN4	XZ	CHI-TCU82W	MYH8	4.59
BN6SN4	XZ	CHI-TCU110-N	MYH8	4.16	BO6SN4	XZ	CHI-TCU110-N	MYH8	10.20
BN6SN4	XZ	CHI-TCU111-W	MYH8	2.49	BO6SN4	XZ	CHI-TCU111-W	MYH8	3.81
BN6SN4	XZ	CHI-TCU117-W	MYH8	2.17	BO6SN4	XZ	CHI-TCU117-W	MYH8	3.90
BN6SN4	XZ	CHI-TCU136-E	MYH8	3.22	BO6SN4	XZ	CHI-TCU136-E	MYH8	5.01
BN6SN4	XZ	DZC-BOL000	MYH8	9.31	BO6SN4	XZ	DZC-BOL000	MYH8	13.25
BN6SN4	XZ	IMP-ELC3-140	MYH8	5.22	BO6SN4	XZ	IMP-ELC3-140	MYH8	10.84
BN6SN4	XZ	IMP-ELC3-230	MYH8	4.62	BO6SN4	XZ	IMP-ELC3-230	MYH8	5.27
BN6SN4	XZ	IRP-STU270	MYH8	3.70	BO6SN4	XZ	IRP-STU270	MYH8	10.76
BN6SN4	XZ	KOC-DZC180	MYH8	5.47	BO6SN4	XZ	KOC-DZC180	MYH8	5.78
BN6SN4	XZ	KOC-DZC270	MYH8	7.98	BO6SN4	XZ	KOC-DZC270	MYH8	16.57
BN6SN4	XZ	KOC-GBZ000	MYH8	4.28	BO6SN4	XZ	KOC-GBZ000	MYH8	5.40
BN6SN4	XZ	LAN-CLVTR	MYH8	14.84	BO6SN4	XZ	LAN-CLVTR	MYH8	19.97
BN6SN4	XZ	LAN-YER270	MYH8	4.84	BO6SN4	XZ	LAN-YER270	MYH8	12.10
BN6SN4	XZ	LOM-COR000	MYH8	10.62	BO6SN4	XZ	LOM-COR000	MYH8	11.72
BN6SN4	XZ	NOR-MUL009	MYH8	8.25	BO6SN4	XZ	NOR-MUL009	MYH8	11.19
BN6SN4	XZ	NOR-PUL104	MYH8	10.47	BO6SN4	XZ	NOR-PUL104	MYH8	18.77
BN6SN4	XZ	NPAL-MVH135	MYH8	5.75	BO6SN4	XZ	NPAL-MVH135	MYH8	14.23
BN6SN4	XZ	SUP-ELC000	MYH8	8.52	BO6SN4	XZ	SUP-ELC000	MYH8	13.30
BN6SN4	XZ	SUP-ELC090	MYH8	6.37	BO6SN4	XZ	SUP-ELC090	MYH8	6.90
BN6SN4	YZ	CAP-RIO270	MYH8	11.84	BO6SN4	YZ	CAP-RIO270	MYH8	13.54
BN6SN4	YZ	CAP-RIO360	MYH8	10.84	BO6SN4	YZ	CAP-RIO360	MYH8	11.95
BN6SN4	YZ	CHI-CHY006-E	MYH8	10.44	BO6SN4	YZ	CHI-CHY006-E	MYH8	9.55
BN6SN4	YZ	CHI-CHY092-E	MYH8	1.97	BO6SN4	YZ	CHI-CHY092-E	MYH8	1.78
BN6SN4	YZ	CHI-CHY104-N	MYH8	4.44	BO6SN4	YZ	CHI-CHY104-N	MYH8	5.30
BN6SN4	YZ	CHI-TCU054W	MYH8	3.52	BO6SN4	YZ	CHI-TCU054W	MYH8	2.87
BN6SN4	YZ	CHI-TCU059N	MYH8	3.23	BO6SN4	YZ	CHI-TCU059N	MYH8	3.69
BN6SN4	YZ	CHI-TCU059W	MYH8	4.60	BO6SN4	YZ	CHI-TCU059W	MYH8	4.28
BN6SN4	YZ	CHI-TCU063W	MYH8	5.35	BO6SN4	YZ	CHI-TCU063W	MYH8	5.19
BN6SN4	YZ	CHI-TCU072N	MYH8	11.38	BO6SN4	YZ	CHI-TCU072N	MYH8	16.19
BN6SN4	YZ	CHI-TCU82W	MYH8	4.49	BO6SN4	YZ	CHI-TCU82W	MYH8	3.83
BN6SN4	YZ	CHI-TCU110-N	MYH8	5.61	BO6SN4	YZ	CHI-TCU110-N	MYH8	6.03

Tablo C.1 (devam): Mevcut binalara ait yerdeğiştirme talepleri

Bina Adı	Analiz Yönü	İvme Kaydı	MYH Grup No	Δ_d (cm)	Bina Adı	Analiz Yönü	İvme Kaydı	MYH Grup No	Δ_d (cm)
BN6SN4	YZ	CHI-TCU111-W	MYH8	3.39	BO6SN4	YZ	CHI-TCU111-W	MYH8	2.97
BN6SN4	YZ	CHI-TCU117-W	MYH8	3.11	BO6SN4	YZ	CHI-TCU117-W	MYH8	2.28
BN6SN4	YZ	CHI-TCU136-E	MYH8	4.11	BO6SN4	YZ	CHI-TCU136-E	MYH8	4.85
BN6SN4	YZ	DZC-BOL000	MYH8	8.63	BO6SN4	YZ	DZC-BOL000	MYH8	9.53
BN6SN4	YZ	IMP-ELC3-140	MYH8	7.46	BO6SN4	YZ	IMP-ELC3-140	MYH8	8.71
BN6SN4	YZ	IMP-ELC3-230	MYH8	4.83	BO6SN4	YZ	IMP-ELC3-230	MYH8	4.92
BN6SN4	YZ	IRP-STU270	MYH8	4.61	BO6SN4	YZ	IRP-STU270	MYH8	4.33
BN6SN4	YZ	KOC-DZC180	MYH8	6.64	BO6SN4	YZ	KOC-DZC180	MYH8	6.74
BN6SN4	YZ	KOC-DZC270	MYH8	8.16	BO6SN4	YZ	KOC-DZC270	MYH8	8.69
BN6SN4	YZ	KOC-GBZ000	MYH8	5.41	BO6SN4	YZ	KOC-GBZ000	MYH8	5.48
BN6SN4	YZ	LAN-CLVTR	MYH8	17.11	BO6SN4	YZ	LAN-CLVTR	MYH8	18.68
BN6SN4	YZ	LAN-YER270	MYH8	6.47	BO6SN4	YZ	LAN-YER270	MYH8	8.14
BN6SN4	YZ	LOM-COR000	MYH8	11.16	BO6SN4	YZ	LOM-COR000	MYH8	12.39
BN6SN4	YZ	NOR-MUL009	MYH8	10.37	BO6SN4	YZ	NOR-MUL009	MYH8	12.22
BN6SN4	YZ	NOR-PUL104	MYH8	11.21	BO6SN4	YZ	NOR-PUL104	MYH8	13.44
BN6SN4	YZ	NPAL-MVH135	MYH8	7.80	BO6SN4	YZ	NPAL-MVH135	MYH8	7.95
BN6SN4	YZ	SUP-ELC000	MYH8	8.89	BO6SN4	YZ	SUP-ELC000	MYH8	12.12
BN6SN4	YZ	SUP-ELC090	MYH8	5.86	BO6SN4	YZ	SUP-ELC090	MYH8	6.98
BN6SN4	XZ	CHI-TCU036W	MYH9	2.65	BO6SN4	XZ	CHI-TCU036W	MYH9	4.04
BN6SN4	XZ	CHI-TCU49N	MYH9	3.61	BO6SN4	XZ	CHI-TCU49N	MYH9	6.28
BN6SN4	XZ	CHI-TCU70N	MYH9	4.81	BO6SN4	XZ	CHI-TCU70N	MYH9	6.96
BN6SN4	XZ	CHI-TCU76N	MYH9	8.60	BO6SN4	XZ	CHI-TCU76N	MYH9	18.53
BN6SN4	XZ	CHI-TCU76W	MYH9	3.51	BO6SN4	XZ	CHI-TCU76W	MYH9	4.51
BN6SN4	XZ	CHI-TCU079-W	MYH9	11.28	BO6SN4	XZ	CHI-TCU079-W	MYH9	14.64
BN6SN4	XZ	CHI-TCU95W	MYH9	6.75	BO6SN4	XZ	CHI-TCU95W	MYH9	5.31
BN6SN4	XZ	CHI-TCU103-W	MYH9	3.26	BO6SN4	XZ	CHI-TCU103-W	MYH9	3.26
BN6SN4	XZ	CHI-TCU120-W	MYH9	3.53	BO6SN4	XZ	CHI-TCU120-W	MYH9	8.70
BN6SN4	XZ	CHI-TCU129-W	MYH9	9.17	BO6SN4	XZ	CHI-TCU129-W	MYH9	13.20
BN6SN4	XZ	COA-PLE045	MYH9	14.79	BO6SN4	XZ	COA-PLE045	MYH9	15.03
BN6SN4	XZ	DZC-BOL000	MYH9	10.09	BO6SN4	XZ	DZC-BOL000	MYH9	14.94
BN6SN4	XZ	DZC-BOL090	MYH9	17.22	BO6SN4	XZ	DZC-BOL090	MYH9	19.29
BN6SN4	XZ	DZC-DZC180	MYH9	9.09	BO6SN4	XZ	DZC-DZC180	MYH9	8.34
BN6SN4	XZ	ERZ-ERZEW	MYH9	8.73	BO6SN4	XZ	ERZ-ERZEW	MYH9	19.16
BN6SN4	XZ	IMP-ELC3-140	MYH9	5.95	BO6SN4	XZ	IMP-ELC3-140	MYH9	12.23
BN6SN4	XZ	IMP-HVP315	MYH9	4.45	BO6SN4	XZ	IMP-HVP315	MYH9	4.85
BN6SN4	XZ	IRP-STU270	MYH9	4.06	BO6SN4	XZ	IRP-STU270	MYH9	13.31
BN6SN4	XZ	KOC-DZC180	MYH9	5.88	BO6SN4	XZ	KOC-DZC180	MYH9	5.86
BN6SN4	XZ	KOC-GBZ000	MYH9	4.76	BO6SN4	XZ	KOC-GBZ000	MYH9	6.09
BN6SN4	XZ	KOC-YAR330	MYH9	4.73	BO6SN4	XZ	KOC-YAR330	MYH9	9.78
BN6SN4	XZ	LAN-YER270	MYH9	5.16	BO6SN4	XZ	LAN-YER270	MYH9	14.09
BN6SN4	XZ	LOM-BRN000	MYH9	8.50	BO6SN4	XZ	LOM-BRN000	MYH9	16.57
BN6SN4	XZ	LOM-HSP000	MYH9	11.56	BO6SN4	XZ	LOM-HSP000	MYH9	13.20
BN6SN4	XZ	LOM-WVC270	MYH9	6.53	BO6SN4	XZ	LOM-WVC270	MYH9	10.08
BN6SN4	XZ	NOR-CNP196	MYH9	8.45	BO6SN4	XZ	NOR-CNP196	MYH9	10.63
BN6SN4	XZ	NOR-LDM064	MYH9	10.38	BO6SN4	XZ	NOR-LDM064	MYH9	14.18
BN6SN4	XZ	NOR-MUL279	MYH9	11.38	BO6SN4	XZ	NOR-MUL279	MYH9	21.44
BN6SN4	XZ	NOR-SAT180	MYH9	9.75	BO6SN4	XZ	NOR-SAT180	MYH9	18.91
BN6SN4	XZ	SUP-ELC000	MYH9	9.65	BO6SN4	XZ	SUP-ELC000	MYH9	14.23
BN6SN4	YZ	CHI-TCU036W	MYH9	3.64	BO6SN4	YZ	CHI-TCU036W	MYH9	3.08
BN6SN4	YZ	CHI-TCU49N	MYH9	3.59	BO6SN4	YZ	CHI-TCU49N	MYH9	4.11
BN6SN4	YZ	CHI-TCU70N	MYH9	4.75	BO6SN4	YZ	CHI-TCU70N	MYH9	4.09
BN6SN4	YZ	CHI-TCU76N	MYH9	8.84	BO6SN4	YZ	CHI-TCU76N	MYH9	14.28
BN6SN4	YZ	CHI-TCU76W	MYH9	3.77	BO6SN4	YZ	CHI-TCU76W	MYH9	3.33
BN6SN4	YZ	CHI-TCU079-W	MYH9	11.15	BO6SN4	YZ	CHI-TCU079-W	MYH9	8.71
BN6SN4	YZ	CHI-TCU95W	MYH9	6.92	BO6SN4	YZ	CHI-TCU95W	MYH9	6.95
BN6SN4	YZ	CHI-TCU103-W	MYH9	3.08	BO6SN4	YZ	CHI-TCU103-W	MYH9	2.54
BN6SN4	YZ	CHI-TCU120-W	MYH9	3.47	BO6SN4	YZ	CHI-TCU120-W	MYH9	3.91
BN6SN4	YZ	CHI-TCU129-W	MYH9	9.35	BO6SN4	YZ	CHI-TCU129-W	MYH9	10.31
BN6SN4	YZ	COA-PLE045	MYH9	15.05	BO6SN4	YZ	COA-PLE045	MYH9	14.11

Tablo C.1 (devam): Mevcut binalara ait yerdeğiştirme talepleri

Bina Adı	Analiz Yönü	İvme Kaydı	MYH Grup No	Δ_d (cm)	Bina Adı	Analiz Yönü	İvme Kaydı	MYH Grup No	Δ_d (cm)
BN6SN4	YZ	DZC-BOL000	MYH9	8.86	BO6SN4	YZ	DZC-BOL000	MYH9	11.58
BN6SN4	YZ	DZC-BOL090	MYH9	19.08	BO6SN4	YZ	DZC-BOL090	MYH9	20.85
BN6SN4	YZ	DZC-DZC180	MYH9	12.29	BO6SN4	YZ	DZC-DZC180	MYH9	11.31
BN6SN4	YZ	ERZ-ERZEW	MYH9	10.66	BO6SN4	YZ	ERZ-ERZEW	MYH9	15.24
BN6SN4	YZ	IMP-ELC3-140	MYH9	8.59	BO6SN4	YZ	IMP-ELC3-140	MYH9	10.16
BN6SN4	YZ	IMP-HVP315	MYH9	4.18	BO6SN4	YZ	IMP-HVP315	MYH9	4.15
BN6SN4	YZ	IRP-STU270	MYH9	5.09	BO6SN4	YZ	IRP-STU270	MYH9	5.75
BN6SN4	YZ	KOC-DZC180	MYH9	7.09	BO6SN4	YZ	KOC-DZC180	MYH9	7.22
BN6SN4	YZ	KOC-GBZ000	MYH9	5.89	BO6SN4	YZ	KOC-GBZ000	MYH9	6.07
BN6SN4	YZ	KOC-YAR330	MYH9	5.58	BO6SN4	YZ	KOC-YAR330	MYH9	5.36
BN6SN4	YZ	LAN-YER270	MYH9	7.59	BO6SN4	YZ	LAN-YER270	MYH9	9.82
BN6SN4	YZ	LOM-BRN000	MYH9	10.99	BO6SN4	YZ	LOM-BRN000	MYH9	16.38
BN6SN4	YZ	LOM-HSP000	MYH9	12.96	BO6SN4	YZ	LOM-HSP000	MYH9	13.83
BN6SN4	YZ	LOM-WVC270	MYH9	6.74	BO6SN4	YZ	LOM-WVC270	MYH9	7.55
BN6SN4	YZ	NOR-CNP196	MYH9	7.78	BO6SN4	YZ	NOR-CNP196	MYH9	8.34
BN6SN4	YZ	NOR-LDM064	MYH9	12.88	BO6SN4	YZ	NOR-LDM064	MYH9	14.20
BN6SN4	YZ	NOR-MUL279	MYH9	13.26	BO6SN4	YZ	NOR-MUL279	MYH9	22.00
BN6SN4	YZ	NOR-SAT180	MYH9	11.43	BO6SN4	YZ	NOR-SAT180	MYH9	12.59
BN6SN4	YZ	SUP-ELC000	MYH9	10.23	BO6SN4	YZ	SUP-ELC000	MYH9	13.75
BN6SN4	XZ	CHI-CHY28N	MYH10	21.45	BO6SN4	XZ	CHI-CHY28N	MYH10	15.37
BN6SN4	XZ	CHI-TCU067N	MYH10	5.94	BO6SN4	XZ	CHI-TCU067N	MYH10	10.60
BN6SN4	XZ	CHI-TCU071N	MYH10	5.88	BO6SN4	XZ	CHI-TCU071N	MYH10	9.13
BN6SN4	XZ	CHI-TCU101-W	MYH10	4.15	BO6SN4	XZ	CHI-TCU101-W	MYH10	6.42
BN6SN4	XZ	CHI-TCU110-W	MYH10	3.54	BO6SN4	XZ	CHI-TCU110-W	MYH10	7.90
BN6SN4	XZ	CHI-TCU128-N	MYH10	3.75	BO6SN4	XZ	CHI-TCU128-N	MYH10	3.79
BN6SN4	XZ	CHI-WGK-E	MYH10	4.99	BO6SN4	XZ	CHI-WGK-E	MYH10	10.42
BN6SN4	XZ	CHI-WNTE	MYH10	7.53	BO6SN4	XZ	CHI-WNTE	MYH10	8.04
BN6SN4	XZ	DZC-BOL000	MYH10	10.55	BO6SN4	XZ	DZC-BOL000	MYH10	16.22
BN6SN4	XZ	DZC-BOL090	MYH10	19.95	BO6SN4	XZ	DZC-BOL090	MYH10	20.54
BN6SN4	XZ	GAZ-KAR000	MYH10	8.01	BO6SN4	XZ	GAZ-KAR000	MYH10	12.36
BN6SN4	XZ	IMP-ECC092	MYH10	5.34	BO6SN4	XZ	IMP-ECC092	MYH10	8.31
BN6SN4	XZ	IMP-ELC3-140	MYH10	6.76	BO6SN4	XZ	IMP-ELC3-140	MYH10	13.51
BN6SN4	XZ	IMP-ELC6-140	MYH10	7.19	BO6SN4	XZ	IMP-ELC6-140	MYH10	8.28
BN6SN4	XZ	IRP-STU270	MYH10	4.40	BO6SN4	XZ	IRP-STU270	MYH10	15.62
BN6SN4	XZ	KOB-TAK000	MYH10	14.65	BO6SN4	XZ	KOB-TAK000	MYH10	13.23
BN6SN4	XZ	KOC-DZC180	MYH10	6.42	BO6SN4	XZ	KOC-DZC180	MYH10	7.44
BN6SN4	XZ	KOC-GBZ000	MYH10	5.23	BO6SN4	XZ	KOC-GBZ000	MYH10	6.89
BN6SN4	XZ	KOC-YAR060	MYH10	5.68	BO6SN4	XZ	KOC-YAR060	MYH10	7.10
BN6SN4	XZ	LAN-YER270	MYH10	5.46	BO6SN4	XZ	LAN-YER270	MYH10	16.23
BN6SN4	XZ	LOM-BRN000	MYH10	8.19	BO6SN4	XZ	LOM-BRN000	MYH10	17.75
BN6SN4	XZ	LOM-G03090	MYH10	5.74	BO6SN4	XZ	LOM-G03090	MYH10	15.13
BN6SN4	XZ	LOM-HSP000	MYH10	12.58	BO6SN4	XZ	LOM-HSP000	MYH10	14.62
BN6SN4	XZ	NOR-CNP196	MYH10	8.82	BO6SN4	XZ	NOR-CNP196	MYH10	11.93
BN6SN4	XZ	NOR-MUL009	MYH10	10.15	BO6SN4	XZ	NOR-MUL009	MYH10	12.63
BN6SN4	XZ	NOR-MUL279	MYH10	13.06	BO6SN4	XZ	NOR-MUL279	MYH10	23.01
BN6SN4	XZ	NOR-ORR090	MYH10	10.13	BO6SN4	XZ	NOR-ORR090	MYH10	12.97
BN6SN4	XZ	NOR-ORR360	MYH10	16.38	BO6SN4	XZ	NOR-ORR360	MYH10	34.89
BN6SN4	XZ	NOR-SAT180	MYH10	11.74	BO6SN4	XZ	NOR-SAT180	MYH10	21.81
BN6SN4	XZ	NOR-WPI316	MYH10	5.67	BO6SN4	XZ	NOR-WPI316	MYH10	8.62
BN6SN4	YZ	CHI-CHY28N	MYH10	23.60	BO6SN4	YZ	CHI-CHY28N	MYH10	16.84
BN6SN4	YZ	CHI-TCU067N	MYH10	7.43	BO6SN4	YZ	CHI-TCU067N	MYH10	9.21
BN6SN4	YZ	CHI-TCU071N	MYH10	6.73	BO6SN4	YZ	CHI-TCU071N	MYH10	7.64
BN6SN4	YZ	CHI-TCU101-W	MYH10	4.74	BO6SN4	YZ	CHI-TCU101-W	MYH10	4.85
BN6SN4	YZ	CHI-TCU110-W	MYH10	4.25	BO6SN4	YZ	CHI-TCU110-W	MYH10	5.60
BN6SN4	YZ	CHI-TCU128-N	MYH10	3.86	BO6SN4	YZ	CHI-TCU128-N	MYH10	3.66
BN6SN4	YZ	CHI-WGK-E	MYH10	5.41	BO6SN4	YZ	CHI-WGK-E	MYH10	4.91
BN6SN4	YZ	CHI-WNTE	MYH10	7.74	BO6SN4	YZ	CHI-WNTE	MYH10	8.60
BN6SN4	YZ	DZC-BOL000	MYH10	9.93	BO6SN4	YZ	DZC-BOL000	MYH10	13.30
BN6SN4	YZ	DZC-BOL090	MYH10	22.69	BO6SN4	YZ	DZC-BOL090	MYH10	21.71

Tablo C.1 (devam): Mevcut binalara ait yerdeğiştirme talepleri

Bina Adı	Analiz Yönü	İvme Kaydı	MYH Grup No	Δ_d (cm)	Bina Adı	Analiz Yönü	İvme Kaydı	MYH Grup No	Δ_d (cm)
BN6SN4	YZ	GAZ-KAR000	MYH10	8.81	BO6SN4	YZ	GAZ-KAR000	MYH10	7.90
BN6SN4	YZ	IMP-ECC092	MYH10	6.72	BO6SN4	YZ	IMP-ECC092	MYH10	7.45
BN6SN4	YZ	IMP-ELC3-140	MYH10	9.80	BO6SN4	YZ	IMP-ELC3-140	MYH10	11.63
BN6SN4	YZ	IMP-ELC6-140	MYH10	9.26	BO6SN4	YZ	IMP-ELC6-140	MYH10	8.14
BN6SN4	YZ	IRP-STU270	MYH10	5.54	BO6SN4	YZ	IRP-STU270	MYH10	7.42
BN6SN4	YZ	KOB-TAK000	MYH10	14.29	BO6SN4	YZ	KOB-TAK000	MYH10	14.25
BN6SN4	YZ	KOC-DZC180	MYH10	7.66	BO6SN4	YZ	KOC-DZC180	MYH10	7.72
BN6SN4	YZ	KOC-GBZ000	MYH10	6.39	BO6SN4	YZ	KOC-GBZ000	MYH10	6.62
BN6SN4	YZ	KOC-YAR060	MYH10	5.67	BO6SN4	YZ	KOC-YAR060	MYH10	4.93
BN6SN4	YZ	LAN-YER270	MYH10	8.79	BO6SN4	YZ	LAN-YER270	MYH10	11.66
BN6SN4	YZ	LOM-BRN000	MYH10	12.76	BO6SN4	YZ	LOM-BRN000	MYH10	18.47
BN6SN4	YZ	LOM-G03090	MYH10	7.48	BO6SN4	YZ	LOM-G03090	MYH10	10.47
BN6SN4	YZ	LOM-HSP000	MYH10	13.99	BO6SN4	YZ	LOM-HSP000	MYH10	15.28
BN6SN4	YZ	NOR-CNP196	MYH10	8.73	BO6SN4	YZ	NOR-CNP196	MYH10	9.47
BN6SN4	YZ	NOR-MUL009	MYH10	12.47	BO6SN4	YZ	NOR-MUL009	MYH10	14.14
BN6SN4	YZ	NOR-MUL279	MYH10	15.90	BO6SN4	YZ	NOR-MUL279	MYH10	24.69
BN6SN4	YZ	NOR-ORR090	MYH10	12.62	BO6SN4	YZ	NOR-ORR090	MYH10	15.98
BN6SN4	YZ	NOR-ORR360	MYH10	21.67	BO6SN4	YZ	NOR-ORR360	MYH10	24.88
BN6SN4	YZ	NOR-SAT180	MYH10	12.63	BO6SN4	YZ	NOR-SAT180	MYH10	15.51
BN6SN4	YZ	NOR-WPI316	MYH10	6.89	BO6SN4	YZ	NOR-WPI316	MYH10	7.01
BN6SN4	XZ	CHI-CHY28W	MYH11	9.83	BO6SN4	XZ	CHI-CHY28W	MYH11	17.68
BN6SN4	XZ	CHI-CHY101W	MYH11	4.90	BO6SN4	XZ	CHI-CHY101W	MYH11	7.77
BN6SN4	XZ	CHI-TCU063N	MYH11	2.90	BO6SN4	XZ	CHI-TCU063N	MYH11	3.99
BN6SN4	XZ	CHI-TCU072W	MYH11	10.56	BO6SN4	XZ	CHI-TCU072W	MYH11	11.91
BN6SN4	XZ	CHI-TCU74W	MYH11	14.85	BO6SN4	XZ	CHI-TCU74W	MYH11	26.59
BN6SN4	XZ	CHI-TCU128-W	MYH11	2.62	BO6SN4	XZ	CHI-TCU128-W	MYH11	2.88
BN6SN4	XZ	CHI-WGK-N	MYH11	7.28	BO6SN4	XZ	CHI-WGK-N	MYH11	25.45
BN6SN4	XZ	COA-PLE045	MYH11	18.02	BO6SN4	XZ	COA-PLE045	MYH11	17.29
BN6SN4	XZ	DZC-BOL000	MYH11	10.98	BO6SN4	XZ	DZC-BOL000	MYH11	17.46
BN6SN4	XZ	DZC-BOL090	MYH11	22.62	BO6SN4	XZ	DZC-BOL090	MYH11	21.76
BN6SN4	XZ	DZC-DZC180	MYH11	13.45	BO6SN4	XZ	DZC-DZC180	MYH11	9.48
BN6SN4	XZ	GAZ-KAR000	MYH11	8.92	BO6SN4	XZ	GAZ-KAR000	MYH11	15.67
BN6SN4	XZ	GAZ-KAR090	MYH11	10.03	BO6SN4	XZ	GAZ-KAR090	MYH11	13.50
BN6SN4	XZ	IMP-ECC092	MYH11	5.77	BO6SN4	XZ	IMP-ECC092	MYH11	8.56
BN6SN4	XZ	IMP-ECM000	MYH11	8.14	BO6SN4	XZ	IMP-ECM000	MYH11	12.71
BN6SN4	XZ	IMP-ELCD-270	MYH11	4.53	BO6SN4	XZ	IMP-ELCD-270	MYH11	9.89
BN6SN4	XZ	IRP-STU270	MYH11	4.76	BO6SN4	XZ	IRP-STU270	MYH11	17.37
BN6SN4	XZ	KOB-KJM090	MYH11	16.61	BO6SN4	XZ	KOB-KJM090	MYH11	26.66
BN6SN4	XZ	KOC-DZC180	MYH11	7.00	BO6SN4	XZ	KOC-DZC180	MYH11	9.28
BN6SN4	XZ	KOC-GBZ000	MYH11	5.75	BO6SN4	XZ	KOC-GBZ000	MYH11	7.79
BN6SN4	XZ	KOC-YAR060	MYH11	6.04	BO6SN4	XZ	KOC-YAR060	MYH11	10.19
BN6SN4	XZ	LOM-HSP000	MYH11	13.56	BO6SN4	XZ	LOM-HSP000	MYH11	16.28
BN6SN4	XZ	LOM-WVC270	MYH11	8.02	BO6SN4	XZ	LOM-WVC270	MYH11	13.04
BN6SN4	XZ	NOR-CNP196	MYH11	9.05	BO6SN4	XZ	NOR-CNP196	MYH11	13.03
BN6SN4	XZ	NOR-MUL009	MYH11	11.32	BO6SN4	XZ	NOR-MUL009	MYH11	13.16
BN6SN4	XZ	NOR-MUL279	MYH11	14.92	BO6SN4	XZ	NOR-MUL279	MYH11	24.49
BN6SN4	XZ	NOR-ORR360	MYH11	19.62	BO6SN4	XZ	NOR-ORR360	MYH11	38.54
BN6SN4	XZ	NOR-RRS318	MYH11	8.56	BO6SN4	XZ	NOR-RRS318	MYH11	12.93
BN6SN4	XZ	NOR-SAT180	MYH11	12.78	BO6SN4	XZ	NOR-SAT180	MYH11	24.16
BN6SN4	XZ	NPAL-NPS210	MYH11	7.58	BO6SN4	XZ	NPAL-NPS210	MYH11	19.52
BN6SN4	YZ	CHI-CHY28W	MYH11	11.76	BO6SN4	YZ	CHI-CHY28W	MYH11	16.16
BN6SN4	YZ	CHI-CHY101W	MYH11	5.74	BO6SN4	YZ	CHI-CHY101W	MYH11	6.56
BN6SN4	YZ	CHI-TCU063N	MYH11	3.24	BO6SN4	YZ	CHI-TCU063N	MYH11	2.68
BN6SN4	YZ	CHI-TCU072W	MYH11	10.92	BO6SN4	YZ	CHI-TCU072W	MYH11	11.41
BN6SN4	YZ	CHI-TCU74W	MYH11	12.42	BO6SN4	YZ	CHI-TCU74W	MYH11	14.79
BN6SN4	YZ	CHI-TCU128-W	MYH11	2.48	BO6SN4	YZ	CHI-TCU128-W	MYH11	2.20
BN6SN4	YZ	CHI-WGK-N	MYH11	9.12	BO6SN4	YZ	CHI-WGK-N	MYH11	14.02
BN6SN4	YZ	COA-PLE045	MYH11	17.49	BO6SN4	YZ	COA-PLE045	MYH11	15.79
BN6SN4	YZ	DZC-BOL000	MYH11	11.41	BO6SN4	YZ	DZC-BOL000	MYH11	14.99

Tablo C.1 (devam): Mevcut binalara ait yerdeğiştirme talepleri

Bina Adı	Analiz Yönü	İvme Kaydı	MYH Grup No	Δ_d (cm)	Bina Adı	Analiz Yönü	İvme Kaydı	MYH Grup No	Δ_d (cm)
BN6SN4	YZ	DZC-BOL090	MYH11	26.11	BO6SN4	YZ	DZC-BOL090	MYH11	22.45
BN6SN4	YZ	DZC-DZC180	MYH11	15.17	BO6SN4	YZ	DZC-DZC180	MYH11	12.79
BN6SN4	YZ	GAZ-KAR000	MYH11	9.76	BO6SN4	YZ	GAZ-KAR000	MYH11	8.73
BN6SN4	YZ	GAZ-KAR090	MYH11	9.74	BO6SN4	YZ	GAZ-KAR090	MYH11	10.54
BN6SN4	YZ	IMP-ECC092	MYH11	7.20	BO6SN4	YZ	IMP-ECC092	MYH11	8.02
BN6SN4	YZ	IMP-ECM000	MYH11	9.81	BO6SN4	YZ	IMP-ECM000	MYH11	11.80
BN6SN4	YZ	IMP-ELCD-270	MYH11	6.19	BO6SN4	YZ	IMP-ELCD-270	MYH11	6.05
BN6SN4	YZ	IRP-STU270	MYH11	5.95	BO6SN4	YZ	IRP-STU270	MYH11	9.51
BN6SN4	YZ	KOB-KJM090	MYH11	18.28	BO6SN4	YZ	KOB-KJM090	MYH11	21.35
BN6SN4	YZ	KOC-DZC180	MYH11	8.29	BO6SN4	YZ	KOC-DZC180	MYH11	8.05
BN6SN4	YZ	KOC-GBZ000	MYH11	6.89	BO6SN4	YZ	KOC-GBZ000	MYH11	7.18
BN6SN4	YZ	KOC-YAR060	MYH11	5.95	BO6SN4	YZ	KOC-YAR060	MYH11	4.90
BN6SN4	YZ	LOM-HSP000	MYH11	15.11	BO6SN4	YZ	LOM-HSP000	MYH11	16.73
BN6SN4	YZ	LOM-WVC270	MYH11	8.50	BO6SN4	YZ	LOM-WVC270	MYH11	10.20
BN6SN4	YZ	NOR-CNP196	MYH11	9.39	BO6SN4	YZ	NOR-CNP196	MYH11	10.27
BN6SN4	YZ	NOR-MUL009	MYH11	13.71	BO6SN4	YZ	NOR-MUL009	MYH11	15.33
BN6SN4	YZ	NOR-MUL279	MYH11	18.93	BO6SN4	YZ	NOR-MUL279	MYH11	27.35
BN6SN4	YZ	NOR-ORR360	MYH11	24.30	BO6SN4	YZ	NOR-ORR360	MYH11	27.70
BN6SN4	YZ	NOR-RRS318	MYH11	9.02	BO6SN4	YZ	NOR-RRS318	MYH11	10.09
BN6SN4	YZ	NOR-SAT180	MYH11	13.57	BO6SN4	YZ	NOR-SAT180	MYH11	17.94
BN6SN4	YZ	NPAL-NPS210	MYH11	10.74	BO6SN4	YZ	NPAL-NPS210	MYH11	11.84
BN6SN4	XZ	CHI-TCU065N	MYH12	11.89	BO6SN4	XZ	CHI-TCU065N	MYH12	92.20
BN6SN4	XZ	CHI-TCU067W	MYH12	10.86	BO6SN4	XZ	CHI-TCU067W	MYH12	16.84
BN6SN4	XZ	CHI-TCU102-N	MYH12	4.22	BO6SN4	XZ	CHI-TCU102-N	MYH12	6.10
BN6SN4	XZ	DZC-BOL000	MYH12	11.41	BO6SN4	XZ	DZC-BOL000	MYH12	18.67
BN6SN4	XZ	DZC-BOL090	MYH12	25.55	BO6SN4	XZ	DZC-BOL090	MYH12	22.94
BN6SN4	XZ	DZC-DZC180	MYH12	14.84	BO6SN4	XZ	DZC-DZC180	MYH12	9.97
BN6SN4	XZ	GAZ-KAR090	MYH12	10.93	BO6SN4	XZ	GAZ-KAR090	MYH12	15.52
BN6SN4	XZ	IMP-ECC092	MYH12	6.34	BO6SN4	XZ	IMP-ECC092	MYH12	8.84
BN6SN4	XZ	IMP-ELC4-230	MYH12	4.93	BO6SN4	XZ	IMP-ELC4-230	MYH12	14.02
BN6SN4	XZ	IMP-ELCD-270	MYH12	5.14	BO6SN4	XZ	IMP-ELCD-270	MYH12	11.58
BN6SN4	XZ	IRP-STU270	MYH12	5.15	BO6SN4	XZ	IRP-STU270	MYH12	18.28
BN6SN4	XZ	KOC-DZC180	MYH12	7.60	BO6SN4	XZ	KOC-DZC180	MYH12	11.27
BN6SN4	XZ	KOC-GBZ000	MYH12	6.32	BO6SN4	XZ	KOC-GBZ000	MYH12	8.83
BN6SN4	XZ	KOC-SKR090	MYH12	3.45	BO6SN4	XZ	KOC-SKR090	MYH12	4.13
BN6SN4	XZ	LAN-YER270	MYH12	6.85	BO6SN4	XZ	LAN-YER270	MYH12	20.53
BN6SN4	XZ	LOM-BRN000	MYH12	10.17	BO6SN4	XZ	LOM-BRN000	MYH12	20.02
BN6SN4	XZ	LOM-WVC270	MYH12	8.67	BO6SN4	XZ	LOM-WVC270	MYH12	14.54
BN6SN4	XZ	NOR-CNP196	MYH12	9.46	BO6SN4	XZ	NOR-CNP196	MYH12	14.28
BN6SN4	XZ	NOR-MUL009	MYH12	12.51	BO6SN4	XZ	NOR-MUL009	MYH12	14.42
BN6SN4	XZ	NOR-MUL279	MYH12	16.92	BO6SN4	XZ	NOR-MUL279	MYH12	25.86
BN6SN4	XZ	NOR-NEW090	MYH12	12.98	BO6SN4	XZ	NOR-NEW090	MYH12	15.20
BN6SN4	XZ	NOR-PAR-L	MYH12	15.67	BO6SN4	XZ	NOR-PAR-L	MYH12	27.68
BN6SN4	XZ	NOR-RRS318	MYH12	9.22	BO6SN4	XZ	NOR-RRS318	MYH12	14.83
BN6SN4	XZ	NOR-SAT180	MYH12	13.79	BO6SN4	XZ	NOR-SAT180	MYH12	26.43
BN6SN4	XZ	NOR-SCE288	MYH12	6.55	BO6SN4	XZ	NOR-SCE288	MYH12	17.87
BN6SN4	XZ	NOR-SEP360	MYH12	15.22	BO6SN4	XZ	NOR-SEP360	MYH12	10.79
BN6SN4	XZ	NOR-SYL090	MYH12	14.89	BO6SN4	XZ	NOR-SYL090	MYH12	20.88
BN6SN4	XZ	NOR-TAR360	MYH12	13.09	BO6SN4	XZ	NOR-TAR360	MYH12	18.05
BN6SN4	XZ	NOR-WPI316	MYH12	6.47	BO6SN4	XZ	NOR-WPI316	MYH12	10.37
BN6SN4	XZ	PRK-C02065	MYH12	12.65	BO6SN4	XZ	PRK-C02065	MYH12	23.47
BN6SN4	YZ	CHI-TCU065N	MYH12	12.34	BO6SN4	YZ	CHI-TCU065N	MYH12	21.69
BN6SN4	YZ	CHI-TCU067W	MYH12	11.87	BO6SN4	YZ	CHI-TCU067W	MYH12	16.29
BN6SN4	YZ	CHI-TCU102-N	MYH12	4.66	BO6SN4	YZ	CHI-TCU102-N	MYH12	5.56
BN6SN4	YZ	DZC-BOL000	MYH12	12.93	BO6SN4	YZ	DZC-BOL000	MYH12	16.63
BN6SN4	YZ	DZC-BOL090	MYH12	28.05	BO6SN4	YZ	DZC-BOL090	MYH12	23.26
BN6SN4	YZ	DZC-DZC180	MYH12	16.07	BO6SN4	YZ	DZC-DZC180	MYH12	13.37
BN6SN4	YZ	GAZ-KAR090	MYH12	10.55	BO6SN4	YZ	GAZ-KAR090	MYH12	11.58
BN6SN4	YZ	IMP-ECC092	MYH12	7.88	BO6SN4	YZ	IMP-ECC092	MYH12	8.80

Tablo C.1 (devam): Mevcut binalara ait yerdeğiştirme talepleri

Bina Adı	Analiz Yönü	İvme Kaydı	MYH Grup No	Δ_d (cm)	Bina Adı	Analiz Yönü	İvme Kaydı	MYH Grup No	Δ_d (cm)
BN6SN4	YZ	IMP-ELC4-230	MYH12	4.21	BO6SN4	YZ	IMP-ELC4-230	MYH12	8.85
BN6SN4	YZ	IMP-ELCD-270	MYH12	7.02	BO6SN4	YZ	IMP-ELCD-270	MYH12	7.38
BN6SN4	YZ	IRP-STU270	MYH12	6.30	BO6SN4	YZ	IRP-STU270	MYH12	12.18
BN6SN4	YZ	KOC-DZC180	MYH12	8.92	BO6SN4	YZ	KOC-DZC180	MYH12	8.18
BN6SN4	YZ	KOC-GBZ000	MYH12	7.39	BO6SN4	YZ	KOC-GBZ000	MYH12	7.74
BN6SN4	YZ	KOC-SKR090	MYH12	3.30	BO6SN4	YZ	KOC-SKR090	MYH12	3.39
BN6SN4	YZ	LAN-YER270	MYH12	11.51	BO6SN4	YZ	LAN-YER270	MYH12	15.59
BN6SN4	YZ	LOM-BRN000	MYH12	16.61	BO6SN4	YZ	LOM-BRN000	MYH12	22.42
BN6SN4	YZ	LOM-WVC270	MYH12	9.30	BO6SN4	YZ	LOM-WVC270	MYH12	11.85
BN6SN4	YZ	NOR-CNP196	MYH12	10.14	BO6SN4	YZ	NOR-CNP196	MYH12	11.00
BN6SN4	YZ	NOR-MUL009	MYH12	14.95	BO6SN4	YZ	NOR-MUL009	MYH12	16.66
BN6SN4	YZ	NOR-MUL279	MYH12	21.99	BO6SN4	YZ	NOR-MUL279	MYH12	29.84
BN6SN4	YZ	NOR-NEW090	MYH12	13.73	BO6SN4	YZ	NOR-NEW090	MYH12	11.32
BN6SN4	YZ	NOR-PAR-L	MYH12	19.20	BO6SN4	YZ	NOR-PAR-L	MYH12	24.76
BN6SN4	YZ	NOR-RRS318	MYH12	9.87	BO6SN4	YZ	NOR-RRS318	MYH12	10.97
BN6SN4	YZ	NOR-SAT180	MYH12	14.26	BO6SN4	YZ	NOR-SAT180	MYH12	20.36
BN6SN4	YZ	NOR-SCE288	MYH12	9.85	BO6SN4	YZ	NOR-SCE288	MYH12	16.50
BN6SN4	YZ	NOR-SEP360	MYH12	15.32	BO6SN4	YZ	NOR-SEP360	MYH12	8.77
BN6SN4	YZ	NOR-SYL090	MYH12	16.66	BO6SN4	YZ	NOR-SYL090	MYH12	18.57
BN6SN4	YZ	NOR-TAR360	MYH12	17.17	BO6SN4	YZ	NOR-TAR360	MYH12	19.80
BN6SN4	YZ	NOR-WPI316	MYH12	7.98	BO6SN4	YZ	NOR-WPI316	MYH12	8.91
BN6SN4	YZ	PRK-C02065	MYH12	15.90	BO6SN4	YZ	PRK-C02065	MYH12	20.67
BN7SN4	XZ	CAP-FOR090	MYH1	2.41	BO7SN4	XZ	CAP-FOR090	MYH1	1.62
BN7SN4	XZ	CHI-CHY010-N	MYH1	4.06	BO7SN4	XZ	CHI-CHY010-N	MYH1	2.72
BN7SN4	XZ	CHI-CHY41W	MYH1	5.78	BO7SN4	XZ	CHI-CHY41W	MYH1	2.58
BN7SN4	XZ	CHI-CHY046N	MYH1	4.17	BO7SN4	XZ	CHI-CHY046N	MYH1	2.10
BN7SN4	XZ	CHI-CHY047-E	MYH1	2.97	BO7SN4	XZ	CHI-CHY047-E	MYH1	2.10
BN7SN4	XZ	COA-CAK270	MYH1	4.21	BO7SN4	XZ	COA-CAK270	MYH1	3.11
BN7SN4	XZ	COY-G06320	MYH1	3.33	BO7SN4	XZ	COY-G06320	MYH1	3.30
BN7SN4	XZ	FRI-TMZ000	MYH1	3.62	BO7SN4	XZ	FRI-TMZ000	MYH1	2.58
BN7SN4	XZ	IMP-E12230	MYH1	2.28	BO7SN4	XZ	IMP-E12230	MYH1	1.24
BN7SN4	XZ	IMP-SAH000	MYH1	3.74	BO7SN4	XZ	IMP-SAH000	MYH1	2.72
BN7SN4	XZ	IRP-BIS000	MYH1	1.74	BO7SN4	XZ	IRP-BIS000	MYH1	1.27
BN7SN4	XZ	KOC-IZM180	MYH1	3.83	BO7SN4	XZ	KOC-IZM180	MYH1	2.02
BN7SN4	XZ	LAN-ABY090	MYH1	3.40	BO7SN4	XZ	LAN-ABY090	MYH1	1.70
BN7SN4	XZ	LAN-DSP000	MYH1	4.02	BO7SN4	XZ	LAN-DSP000	MYH1	2.16
BN7SN4	XZ	LIV-DVD246	MYH1	2.98	BO7SN4	XZ	LIV-DVD246	MYH1	1.69
BN7SN4	XZ	LOM-BRK090	MYH1	3.52	BO7SN4	XZ	LOM-BRK090	MYH1	1.78
BN7SN4	XZ	LOM-CLD285	MYH1	3.23	BO7SN4	XZ	LOM-CLD285	MYH1	2.50
BN7SN4	XZ	LOM-GGV337	MYH1	4.75	BO7SN4	XZ	LOM-GGV337	MYH1	2.59
BN7SN4	XZ	NOR-CWC270	MYH1	4.50	BO7SN4	XZ	NOR-CWC270	MYH1	2.89
BN7SN4	XZ	NOR-LOS090	MYH1	3.91	BO7SN4	XZ	NOR-LOS090	MYH1	1.89
BN7SN4	XZ	NOR-LOS360	MYH1	5.24	BO7SN4	XZ	NOR-LOS360	MYH1	3.00
BN7SN4	XZ	PRK-CHO355	MYH1	4.57	BO7SN4	XZ	PRK-CHO355	MYH1	4.03
BN7SN4	XZ	PRK-TMB205	MYH1	2.65	BO7SN4	XZ	PRK-TMB205	MYH1	2.98
BN7SN4	XZ	SUP-PLS135	MYH1	3.51	BO7SN4	XZ	SUP-PLS135	MYH1	2.73
BN7SN4	XZ	TAB-DAY-LN	MYH1	3.96	BO7SN4	XZ	TAB-DAY-LN	MYH1	2.46
BN7SN4	XZ	VIC-CPE315	MYH1	4.93	BO7SN4	XZ	VIC-CPE315	MYH1	2.88
BN7SN4	XZ	WHI-ALH180	MYH1	3.92	BO7SN4	XZ	WHI-ALH180	MYH1	3.00
BN7SN4	XZ	WHI-GRN180	MYH1	6.31	BO7SN4	XZ	WHI-GRN180	MYH1	3.66
BN7SN4	XZ	WHI-OBR360	MYH1	3.34	BO7SN4	XZ	WHI-OBR360	MYH1	3.04
BN7SN4	YZ	CAP-FOR090	MYH1	2.16	BO7SN4	YZ	CAP-FOR090	MYH1	2.12
BN7SN4	YZ	CHI-CHY010-N	MYH1	4.28	BO7SN4	YZ	CHI-CHY010-N	MYH1	3.06
BN7SN4	YZ	CHI-CHY41W	MYH1	4.60	BO7SN4	YZ	CHI-CHY41W	MYH1	3.31
BN7SN4	YZ	CHI-CHY046N	MYH1	3.91	BO7SN4	YZ	CHI-CHY046N	MYH1	3.12
BN7SN4	YZ	CHI-CHY047-E	MYH1	3.01	BO7SN4	YZ	CHI-CHY047-E	MYH1	2.46
BN7SN4	YZ	COA-CAK270	MYH1	4.41	BO7SN4	YZ	COA-CAK270	MYH1	4.08
BN7SN4	YZ	COY-G06320	MYH1	3.46	BO7SN4	YZ	COY-G06320	MYH1	3.84
BN7SN4	YZ	FRI-TMZ000	MYH1	3.93	BO7SN4	YZ	FRI-TMZ000	MYH1	3.06

Tablo C.1 (devam): Mevcut binalara ait yerdeğiştirme talepleri

Bina Adı	Analiz Yönü	İvme Kaydı	MYH Grup No	Δ_d (cm)	Bina Adı	Analiz Yönü	İvme Kaydı	MYH Grup No	Δ_d (cm)
BN7SN4	YZ	IMP-E12230	MYH1	2.05	BO7SN4	YZ	IMP-E12230	MYH1	1.51
BN7SN4	YZ	IMP-SAH000	MYH1	3.85	BO7SN4	YZ	IMP-SAH000	MYH1	3.05
BN7SN4	YZ	IRP-BIS000	MYH1	1.76	BO7SN4	YZ	IRP-BIS000	MYH1	1.77
BN7SN4	YZ	KOC-IZM180	MYH1	4.06	BO7SN4	YZ	KOC-IZM180	MYH1	2.70
BN7SN4	YZ	LAN-ABY090	MYH1	2.65	BO7SN4	YZ	LAN-ABY090	MYH1	2.14
BN7SN4	YZ	LAN-DSP000	MYH1	2.60	BO7SN4	YZ	LAN-DSP000	MYH1	2.19
BN7SN4	YZ	LIV-DVD246	MYH1	2.85	BO7SN4	YZ	LIV-DVD246	MYH1	2.00
BN7SN4	YZ	LOM-BRK090	MYH1	3.33	BO7SN4	YZ	LOM-BRK090	MYH1	2.57
BN7SN4	YZ	LOM-CLD285	MYH1	3.31	BO7SN4	YZ	LOM-CLD285	MYH1	2.52
BN7SN4	YZ	LOM-GGV337	MYH1	5.46	BO7SN4	YZ	LOM-GGV337	MYH1	2.88
BN7SN4	YZ	NOR-CWC270	MYH1	3.73	BO7SN4	YZ	NOR-CWC270	MYH1	3.25
BN7SN4	YZ	NOR-LOS090	MYH1	3.63	BO7SN4	YZ	NOR-LOS090	MYH1	3.25
BN7SN4	YZ	NOR-LOS360	MYH1	5.15	BO7SN4	YZ	NOR-LOS360	MYH1	4.67
BN7SN4	YZ	PRK-CHO355	MYH1	5.02	BO7SN4	YZ	PRK-CHO355	MYH1	4.51
BN7SN4	YZ	PRK-TMB205	MYH1	3.56	BO7SN4	YZ	PRK-TMB205	MYH1	3.35
BN7SN4	YZ	SUP-PLS135	MYH1	3.93	BO7SN4	YZ	SUP-PLS135	MYH1	3.13
BN7SN4	YZ	TAB-DAY-LN	MYH1	3.92	BO7SN4	YZ	TAB-DAY-LN	MYH1	3.32
BN7SN4	YZ	VIC-CPE315	MYH1	5.21	BO7SN4	YZ	VIC-CPE315	MYH1	3.42
BN7SN4	YZ	WHI-ALH180	MYH1	3.79	BO7SN4	YZ	WHI-ALH180	MYH1	3.19
BN7SN4	YZ	WHI-GRN180	MYH1	6.17	BO7SN4	YZ	WHI-GRN180	MYH1	4.26
BN7SN4	YZ	WHI-OBR360	MYH1	3.49	BO7SN4	YZ	WHI-OBR360	MYH1	3.16
BN7SN4	XZ	CHI-TCU141-N	MYH2	1.92	BO7SN4	XZ	CHI-TCU141-N	MYH2	0.99
BN7SN4	XZ	COA-PV1090	MYH2	3.11	BO7SN4	XZ	COA-PV1090	MYH2	3.11
BN7SN4	XZ	COA-Z14090	MYH2	6.43	BO7SN4	XZ	COA-Z14090	MYH2	3.09
BN7SN4	XZ	COY-G02140	MYH2	3.99	BO7SN4	XZ	COY-G02140	MYH2	3.06
BN7SN4	XZ	COY-G03140	MYH2	4.59	BO7SN4	XZ	COY-G03140	MYH2	2.82
BN7SN4	XZ	IMP-AER315	MYH2	4.38	BO7SN4	XZ	IMP-AER315	MYH2	3.40
BN7SN4	XZ	IMP-DLT262	MYH2	5.94	BO7SN4	XZ	IMP-DLT262	MYH2	3.84
BN7SN4	XZ	KOB-KAK090	MYH2	4.10	BO7SN4	XZ	KOB-KAK090	MYH2	4.75
BN7SN4	XZ	KOB-SHI090	MYH2	6.17	BO7SN4	XZ	KOB-SHI090	MYH2	3.91
BN7SN4	XZ	LAN-CLVLN	MYH2	4.31	BO7SN4	XZ	LAN-CLVLN	MYH2	2.75
BN7SN4	XZ	LAN-JOS000	MYH2	5.61	BO7SN4	XZ	LAN-JOS000	MYH2	4.44
BN7SN4	XZ	LOM-CAP090	MYH2	8.46	BO7SN4	XZ	LOM-CAP090	MYH2	8.19
BN7SN4	XZ	LOM-GGV067	MYH2	3.86	BO7SN4	XZ	LOM-GGV067	MYH2	2.84
BN7SN4	XZ	LOM-HSP090	MYH2	4.32	BO7SN4	XZ	LOM-HSP090	MYH2	3.23
BN7SN4	XZ	LOM-SFO000	MYH2	5.49	BO7SN4	XZ	LOM-SFO000	MYH2	2.86
BN7SN4	XZ	LOM-SFO090	MYH2	6.54	BO7SN4	XZ	LOM-SFO090	MYH2	3.96
BN7SN4	XZ	LOM-WAH000	MYH2	6.16	BO7SN4	XZ	LOM-WAH000	MYH2	3.47
BN7SN4	XZ	MAM-LUL000	MYH2	5.66	BO7SN4	XZ	MAM-LUL000	MYH2	4.51
BN7SN4	XZ	MOR-AND250	MYH2	3.47	BO7SN4	XZ	MOR-AND250	MYH2	3.72
BN7SN4	XZ	MOR-AND340	MYH2	6.17	BO7SN4	XZ	MOR-AND340	MYH2	3.97
BN7SN4	XZ	NOR-CHL160	MYH2	6.78	BO7SN4	XZ	NOR-CHL160	MYH2	2.93
BN7SN4	XZ	NOR-CWC180	MYH2	4.70	BO7SN4	XZ	NOR-CWC180	MYH2	1.63
BN7SN4	XZ	NOR-SAT090	MYH2	6.37	BO7SN4	XZ	NOR-SAT090	MYH2	3.68
BN7SN4	XZ	NPAL-DSP000	MYH2	5.39	BO7SN4	XZ	NPAL-DSP000	MYH2	2.63
BN7SN4	XZ	PRK-CHO085	MYH2	4.00	BO7SN4	XZ	PRK-CHO085	MYH2	3.15
BN7SN4	XZ	SFD-ORR291	MYH2	5.55	BO7SN4	XZ	SFD-ORR291	MYH2	2.81
BN7SN4	XZ	SPI-GUK000	MYH2	4.10	BO7SN4	XZ	SPI-GUK000	MYH2	2.33
BN7SN4	XZ	TAB-DAY-TR	MYH2	4.24	BO7SN4	XZ	TAB-DAY-TR	MYH2	4.69
BN7SN4	XZ	WES-PTS315	MYH2	4.36	BO7SN4	XZ	WES-PTS315	MYH2	2.93
BN7SN4	XZ	WHI-DEL000	MYH2	7.33	BO7SN4	XZ	WHI-DEL000	MYH2	4.23
BN7SN4	XZ	WHI-DWN180	MYH2	6.39	BO7SN4	XZ	WHI-DWN180	MYH2	3.14
BN7SN4	YZ	CHI-TCU141-N	MYH2	1.88	BO7SN4	YZ	CHI-TCU141-N	MYH2	1.28
BN7SN4	YZ	COA-PV1090	MYH2	3.47	BO7SN4	YZ	COA-PV1090	MYH2	3.16
BN7SN4	YZ	COA-Z14090	MYH2	5.99	BO7SN4	YZ	COA-Z14090	MYH2	4.59
BN7SN4	YZ	COY-G02140	MYH2	3.20	BO7SN4	YZ	COY-G02140	MYH2	3.02
BN7SN4	YZ	COY-G03140	MYH2	4.20	BO7SN4	YZ	COY-G03140	MYH2	3.02
BN7SN4	YZ	IMP-AER315	MYH2	3.28	BO7SN4	YZ	IMP-AER315	MYH2	3.87
BN7SN4	YZ	IMP-DLT262	MYH2	4.13	BO7SN4	YZ	IMP-DLT262	MYH2	4.15

Tablo C.1 (devam): Mevcut binalara ait yerdeğiştirme talepleri

Bina Adı	Analiz Yönü	İvme Kaydı	MYH Grup No	Δ_d (cm)	Bina Adı	Analiz Yönü	İvme Kaydı	MYH Grup No	Δ_d (cm)
BN7SN4	YZ	KOB-KAK090	MYH2	4.08	BO7SN4	YZ	KOB-KAK090	MYH2	4.68
BN7SN4	YZ	KOB-SHI090	MYH2	6.10	BO7SN4	YZ	KOB-SHI090	MYH2	4.33
BN7SN4	YZ	LAN-CLVLN	MYH2	4.40	BO7SN4	YZ	LAN-CLVLN	MYH2	3.89
BN7SN4	YZ	LAN-JOS000	MYH2	4.61	BO7SN4	YZ	LAN-JOS000	MYH2	3.85
BN7SN4	YZ	LOM-CAP090	MYH2	9.76	BO7SN4	YZ	LOM-CAP090	MYH2	7.42
BN7SN4	YZ	LOM-GGV067	MYH2	3.49	BO7SN4	YZ	LOM-GGV067	MYH2	3.25
BN7SN4	YZ	LOM-HSP090	MYH2	5.16	BO7SN4	YZ	LOM-HSP090	MYH2	4.68
BN7SN4	YZ	LOM-SFO000	MYH2	5.62	BO7SN4	YZ	LOM-SFO000	MYH2	3.31
BN7SN4	YZ	LOM-SFO090	MYH2	6.75	BO7SN4	YZ	LOM-SFO090	MYH2	5.10
BN7SN4	YZ	LOM-WAH000	MYH2	6.44	BO7SN4	YZ	LOM-WAH000	MYH2	4.74
BN7SN4	YZ	MAM-LUL000	MYH2	6.19	BO7SN4	YZ	MAM-LUL000	MYH2	5.01
BN7SN4	YZ	MOR-AND250	MYH2	4.24	BO7SN4	YZ	MOR-AND250	MYH2	3.46
BN7SN4	YZ	MOR-AND340	MYH2	6.45	BO7SN4	YZ	MOR-AND340	MYH2	3.93
BN7SN4	YZ	NOR-CHL160	MYH2	5.99	BO7SN4	YZ	NOR-CHL160	MYH2	3.83
BN7SN4	YZ	NOR-CWC180	MYH2	3.19	BO7SN4	YZ	NOR-CWC180	MYH2	2.60
BN7SN4	YZ	NOR-SAT090	MYH2	5.20	BO7SN4	YZ	NOR-SAT090	MYH2	3.31
BN7SN4	YZ	NPAL-DSP000	MYH2	5.09	BO7SN4	YZ	NPAL-DSP000	MYH2	3.21
BN7SN4	YZ	PRK-CHO085	MYH2	4.16	BO7SN4	YZ	PRK-CHO085	MYH2	3.13
BN7SN4	YZ	SFD-ORR291	MYH2	5.45	BO7SN4	YZ	SFD-ORR291	MYH2	4.11
BN7SN4	YZ	SPI-GUK000	MYH2	3.71	BO7SN4	YZ	SPI-GUK000	MYH2	3.10
BN7SN4	YZ	TAB-DAY-TR	MYH2	6.25	BO7SN4	YZ	TAB-DAY-TR	MYH2	6.60
BN7SN4	YZ	WES-PTS315	MYH2	3.58	BO7SN4	YZ	WES-PTS315	MYH2	3.55
BN7SN4	YZ	WHI-DEL000	MYH2	6.99	BO7SN4	YZ	WHI-DEL000	MYH2	5.33
BN7SN4	YZ	WHI-DWN180	MYH2	5.72	BO7SN4	YZ	WHI-DWN180	MYH2	3.61
BN7SN4	XZ	CAP-FOR000	MYH3	2.33	BO7SN4	XZ	CAP-FOR000	MYH3	1.60
BN7SN4	XZ	CHI-CHY29W	MYH3	5.98	BO7SN4	XZ	CHI-CHY29W	MYH3	4.37
BN7SN4	XZ	CHI-TCU046N	MYH3	2.52	BO7SN4	XZ	CHI-TCU046N	MYH3	1.23
BN7SN4	XZ	CHI-TCU112-N	MYH3	1.53	BO7SN4	XZ	CHI-TCU112-N	MYH3	1.28
BN7SN4	XZ	CHI-TCU118-N	MYH3	3.34	BO7SN4	XZ	CHI-TCU118-N	MYH3	1.35
BN7SN4	XZ	FRI-TMZ270	MYH3	6.76	BO7SN4	XZ	FRI-TMZ270	MYH3	4.88
BN7SN4	XZ	IMP-ELC2-140	MYH3	6.31	BO7SN4	XZ	IMP-ELC2-140	MYH3	4.09
BN7SN4	XZ	IMP-ELC11-140	MYH3	4.73	BO7SN4	XZ	IMP-ELC11-140	MYH3	3.10
BN7SN4	XZ	IMP-SAH270	MYH3	5.59	BO7SN4	XZ	IMP-SAH270	MYH3	3.88
BN7SN4	XZ	KOC-AMB090	MYH3	4.62	BO7SN4	XZ	KOC-AMB090	MYH3	2.69
BN7SN4	XZ	KOC-GBZ270	MYH3	2.93	BO7SN4	XZ	KOC-GBZ270	MYH3	2.29
BN7SN4	XZ	KOC-IZM090	MYH3	4.01	BO7SN4	XZ	KOC-IZM090	MYH3	1.61
BN7SN4	XZ	LAN-LUC000	MYH3	4.79	BO7SN4	XZ	LAN-LUC000	MYH3	2.93
BN7SN4	XZ	LAN-YER360	MYH3	3.10	BO7SN4	XZ	LAN-YER360	MYH3	2.11
BN7SN4	XZ	LOM-A02133	MYH3	7.57	BO7SN4	XZ	LOM-A02133	MYH3	2.31
BN7SN4	XZ	LOM-G01000	MYH3	3.25	BO7SN4	XZ	LOM-G01000	MYH3	3.12
BN7SN4	XZ	LOM-G01090	MYH3	5.51	BO7SN4	XZ	LOM-G01090	MYH3	3.97
BN7SN4	XZ	LOM-G02000	MYH3	7.58	BO7SN4	XZ	LOM-G02000	MYH3	4.49
BN7SN4	XZ	LOM-TRI090	MYH3	6.24	BO7SN4	XZ	LOM-TRI090	MYH3	2.33
BN7SN4	XZ	MAM-LUL090	MYH3	7.20	BO7SN4	XZ	MAM-LUL090	MYH3	3.96
BN7SN4	XZ	NOR-CNP106	MYH3	7.21	BO7SN4	XZ	NOR-CNP106	MYH3	3.92
BN7SN4	XZ	NOR-PAC265	MYH3	5.15	BO7SN4	XZ	NOR-PAC265	MYH3	3.54
BN7SN4	XZ	NOR-PKC090	MYH3	7.92	BO7SN4	XZ	NOR-PKC090	MYH3	5.22
BN7SN4	XZ	NOR-WIL180	MYH3	6.29	BO7SN4	XZ	NOR-WIL180	MYH3	3.61
BN7SN4	XZ	NPAL-MVH045	MYH3	4.91	BO7SN4	XZ	NPAL-MVH045	MYH3	2.16
BN7SN4	XZ	NPAL-NPS300	MYH3	6.47	BO7SN4	XZ	NPAL-NPS300	MYH3	5.07
BN7SN4	XZ	NPAL-WWT270	MYH3	6.73	BO7SN4	XZ	NPAL-WWT270	MYH3	7.23
BN7SN4	XZ	SUP-IVW090	MYH3	3.05	BO7SN4	XZ	SUP-IVW090	MYH3	1.90
BN7SN4	XZ	SUP-IVW360	MYH3	5.31	BO7SN4	XZ	SUP-IVW360	MYH3	2.41
BN7SN4	XZ	SUP-KRN360	MYH3	3.75	BO7SN4	XZ	SUP-KRN360	MYH3	2.23
BN7SN4	XZ	SUP-POE360	MYH3	6.04	BO7SN4	XZ	SUP-POE360	MYH3	2.77
BN7SN4	XZ	SUP-SUP045	MYH3	6.64	BO7SN4	XZ	SUP-SUP045	MYH3	4.55
BN7SN4	XZ	VIC-CPE045	MYH3	6.09	BO7SN4	XZ	VIC-CPE045	MYH3	6.54
BN7SN4	XZ	WHI-OR2010	MYH3	8.29	BO7SN4	XZ	WHI-OR2010	MYH3	3.80
BN7SN4	YZ	CAP-FOR000	MYH3	2.10	BO7SN4	YZ	CAP-FOR000	MYH3	2.04

Tablo C.1 (devam): Mevcut binalara ait yerdeğiştirme talepleri

Bina Adı	Analiz Yönü	İvme Kaydı	MYH Grup No	Δ_d (cm)	Bina Adı	Analiz Yönü	İvme Kaydı	MYH Grup No	Δ_d (cm)
BN7SN4	YZ	CHI-CHY29W	MYH3	5.61	BO7SN4	YZ	CHI-CHY29W	MYH3	5.48
BN7SN4	YZ	CHI-TCU046N	MYH3	2.90	BO7SN4	YZ	CHI-TCU046N	MYH3	2.04
BN7SN4	YZ	CHI-TCU112-N	MYH3	1.79	BO7SN4	YZ	CHI-TCU112-N	MYH3	1.15
BN7SN4	YZ	CHI-TCU118-N	MYH3	2.63	BO7SN4	YZ	CHI-TCU118-N	MYH3	1.96
BN7SN4	YZ	FRI-TMZ270	MYH3	6.74	BO7SN4	YZ	FRI-TMZ270	MYH3	6.14
BN7SN4	YZ	IMP-ELC2-140	MYH3	4.89	BO7SN4	YZ	IMP-ELC2-140	MYH3	4.44
BN7SN4	YZ	IMP-ELC11-140	MYH3	4.02	BO7SN4	YZ	IMP-ELC11-140	MYH3	2.87
BN7SN4	YZ	IMP-SAH270	MYH3	5.55	BO7SN4	YZ	IMP-SAH270	MYH3	3.57
BN7SN4	YZ	KOC-AMB090	MYH3	4.41	BO7SN4	YZ	KOC-AMB090	MYH3	3.18
BN7SN4	YZ	KOC-GBZ270	MYH3	2.89	BO7SN4	YZ	KOC-GBZ270	MYH3	2.43
BN7SN4	YZ	KOC-IZM090	MYH3	4.19	BO7SN4	YZ	KOC-IZM090	MYH3	2.86
BN7SN4	YZ	LAN-LUC000	MYH3	4.04	BO7SN4	YZ	LAN-LUC000	MYH3	3.52
BN7SN4	YZ	LAN-YER360	MYH3	2.78	BO7SN4	YZ	LAN-YER360	MYH3	3.03
BN7SN4	YZ	LOM-A02133	MYH3	6.19	BO7SN4	YZ	LOM-A02133	MYH3	4.66
BN7SN4	YZ	LOM-G01000	MYH3	3.56	BO7SN4	YZ	LOM-G01000	MYH3	3.24
BN7SN4	YZ	LOM-G01090	MYH3	5.44	BO7SN4	YZ	LOM-G01090	MYH3	4.86
BN7SN4	YZ	LOM-G02000	MYH3	6.46	BO7SN4	YZ	LOM-G02000	MYH3	6.98
BN7SN4	YZ	LOM-TRI090	MYH3	5.74	BO7SN4	YZ	LOM-TRI090	MYH3	3.52
BN7SN4	YZ	MAM-LUL090	MYH3	6.94	BO7SN4	YZ	MAM-LUL090	MYH3	4.94
BN7SN4	YZ	NOR-CNP106	MYH3	6.14	BO7SN4	YZ	NOR-CNP106	MYH3	4.43
BN7SN4	YZ	NOR-PAC265	MYH3	5.06	BO7SN4	YZ	NOR-PAC265	MYH3	3.96
BN7SN4	YZ	NOR-PKC090	MYH3	7.55	BO7SN4	YZ	NOR-PKC090	MYH3	5.75
BN7SN4	YZ	NOR-WIL180	MYH3	5.58	BO7SN4	YZ	NOR-WIL180	MYH3	4.43
BN7SN4	YZ	NPAL-MVH045	MYH3	3.90	BO7SN4	YZ	NPAL-MVH045	MYH3	2.63
BN7SN4	YZ	NPAL-NPS300	MYH3	6.96	BO7SN4	YZ	NPAL-NPS300	MYH3	5.56
BN7SN4	YZ	NPAL-WWT270	MYH3	6.77	BO7SN4	YZ	NPAL-WWT270	MYH3	7.95
BN7SN4	YZ	SUP-IVW090	MYH3	2.26	BO7SN4	YZ	SUP-IVW090	MYH3	2.07
BN7SN4	YZ	SUP-IVW360	MYH3	4.55	BO7SN4	YZ	SUP-IVW360	MYH3	3.16
BN7SN4	YZ	SUP-KRN360	MYH3	3.11	BO7SN4	YZ	SUP-KRN360	MYH3	2.69
BN7SN4	YZ	SUP-POE360	MYH3	5.68	BO7SN4	YZ	SUP-POE360	MYH3	3.94
BN7SN4	YZ	SUP-SUP045	MYH3	6.39	BO7SN4	YZ	SUP-SUP045	MYH3	5.25
BN7SN4	YZ	VIC-CPE045	MYH3	5.78	BO7SN4	YZ	VIC-CPE045	MYH3	9.03
BN7SN4	YZ	WHI-OR2010	MYH3	6.75	BO7SN4	YZ	WHI-OR2010	MYH3	6.08
BN7SN4	XZ	CHI-CHY29N	MYH4	7.92	BO7SN4	XZ	CHI-CHY29N	MYH4	4.82
BN7SN4	XZ	CHI-CHY036W	MYH4	8.49	BO7SN4	XZ	CHI-CHY036W	MYH4	4.89
BN7SN4	XZ	CHI-CHY41N	MYH4	7.48	BO7SN4	XZ	CHI-CHY41N	MYH4	8.38
BN7SN4	XZ	CHI-TCU45N	MYH4	9.14	BO7SN4	XZ	CHI-TCU45N	MYH4	8.30
BN7SN4	XZ	CHI-TCU45W	MYH4	6.44	BO7SN4	XZ	CHI-TCU45W	MYH4	4.73
BN7SN4	XZ	CHI-TCU51N	MYH4	5.99	BO7SN4	XZ	CHI-TCU51N	MYH4	2.50
BN7SN4	XZ	COA-PLE135	MYH4	9.24	BO7SN4	XZ	COA-PLE135	MYH4	6.56
BN7SN4	XZ	IMP-BRA225	MYH4	1.62	BO7SN4	XZ	IMP-BRA225	MYH4	0.99
BN7SN4	XZ	IMP-BRA315	MYH4	4.30	BO7SN4	XZ	IMP-BRA315	MYH4	3.44
BN7SN4	XZ	IMP-ECC002	MYH4	4.88	BO7SN4	XZ	IMP-ECC002	MYH4	3.10
BN7SN4	XZ	IMP-ELC4-140	MYH4	11.02	BO7SN4	XZ	IMP-ELC4-140	MYH4	6.24
BN7SN4	XZ	IRP-STU000	MYH4	5.84	BO7SN4	XZ	IRP-STU000	MYH4	2.80
BN7SN4	XZ	KOB-NIS000	MYH4	7.88	BO7SN4	XZ	KOB-NIS000	MYH4	5.38
BN7SN4	XZ	KOB-NIS090	MYH4	7.26	BO7SN4	XZ	KOB-NIS090	MYH4	5.46
BN7SN4	XZ	KOB-SHI000	MYH4	8.22	BO7SN4	XZ	KOB-SHI000	MYH4	4.67
BN7SN4	XZ	KOC-ARC090	MYH4	2.27	BO7SN4	XZ	KOC-ARC090	MYH4	1.15
BN7SN4	XZ	LOM-G02090	MYH4	6.12	BO7SN4	XZ	LOM-G02090	MYH4	3.83
BN7SN4	XZ	LOM-G03000	MYH4	5.12	BO7SN4	XZ	LOM-G03000	MYH4	3.82
BN7SN4	XZ	LOM-HDA255	MYH4	7.44	BO7SN4	XZ	LOM-HDA255	MYH4	5.09
BN7SN4	XZ	LOM-SVL360	MYH4	4.05	BO7SN4	XZ	LOM-SVL360	MYH4	2.17
BN7SN4	XZ	MOR-G06090	MYH4	7.83	BO7SN4	XZ	MOR-G06090	MYH4	4.45
BN7SN4	XZ	MOR-HAL240	MYH4	7.65	BO7SN4	XZ	MOR-HAL240	MYH4	4.17
BN7SN4	XZ	NOR-KAT090	MYH4	8.19	BO7SN4	XZ	NOR-KAT090	MYH4	6.46
BN7SN4	XZ	NOR-SCR090	MYH4	5.88	BO7SN4	XZ	NOR-SCR090	MYH4	3.16
BN7SN4	XZ	NOR-STN020	MYH4	7.57	BO7SN4	XZ	NOR-STN020	MYH4	5.72
BN7SN4	XZ	NPAL-WWT180	MYH4	5.97	BO7SN4	XZ	NPAL-WWT180	MYH4	4.10

Tablo C.1 (devam): Mevcut binalara ait yerdeğiştirme talepleri

Bina Adı	Analiz Yönü	İvme Kaydı	MYH Grup No	Δ_d (cm)	Bina Adı	Analiz Yönü	İvme Kaydı	MYH Grup No	Δ_d (cm)
BN7SN4	XZ	SUP-POE270	MYH4	7.49	BO7SN4	XZ	SUP-POE270	MYH4	5.75
BN7SN4	XZ	WES-PTS225	MYH4	5.73	BO7SN4	XZ	WES-PTS225	MYH4	3.07
BN7SN4	XZ	WHI-BIR180	MYH4	10.29	BO7SN4	XZ	WHI-BIR180	MYH4	5.23
BN7SN4	XZ	WHI-EJS048	MYH4	8.29	BO7SN4	XZ	WHI-EJS048	MYH4	4.77
BN7SN4	YZ	CHI-CHY29N	MYH4	7.96	BO7SN4	YZ	CHI-CHY29N	MYH4	5.91
BN7SN4	YZ	CHI-CHY036W	MYH4	8.04	BO7SN4	YZ	CHI-CHY036W	MYH4	6.54
BN7SN4	YZ	CHI-CHY41N	MYH4	9.48	BO7SN4	YZ	CHI-CHY41N	MYH4	7.01
BN7SN4	YZ	CHI-TCU45N	MYH4	11.10	BO7SN4	YZ	CHI-TCU45N	MYH4	8.55
BN7SN4	YZ	CHI-TCU45W	MYH4	6.49	BO7SN4	YZ	CHI-TCU45W	MYH4	5.67
BN7SN4	YZ	CHI-TCU51N	MYH4	4.61	BO7SN4	YZ	CHI-TCU51N	MYH4	2.84
BN7SN4	YZ	COA-PLE135	MYH4	9.54	BO7SN4	YZ	COA-PLE135	MYH4	6.79
BN7SN4	YZ	IMP-BRA225	MYH4	1.43	BO7SN4	YZ	IMP-BRA225	MYH4	1.30
BN7SN4	YZ	IMP-BRA315	MYH4	4.37	BO7SN4	YZ	IMP-BRA315	MYH4	4.07
BN7SN4	YZ	IMP-ECC002	MYH4	4.97	BO7SN4	YZ	IMP-ECC002	MYH4	3.51
BN7SN4	YZ	IMP-ELC4-140	MYH4	9.93	BO7SN4	YZ	IMP-ELC4-140	MYH4	9.08
BN7SN4	YZ	IRP-STU000	MYH4	5.48	BO7SN4	YZ	IRP-STU000	MYH4	4.18
BN7SN4	YZ	KOB-NIS000	MYH4	7.02	BO7SN4	YZ	KOB-NIS000	MYH4	6.36
BN7SN4	YZ	KOB-NIS090	MYH4	6.80	BO7SN4	YZ	KOB-NIS090	MYH4	6.19
BN7SN4	YZ	KOB-SHI000	MYH4	6.12	BO7SN4	YZ	KOB-SHI000	MYH4	5.77
BN7SN4	YZ	KOC-ARC090	MYH4	1.61	BO7SN4	YZ	KOC-ARC090	MYH4	1.69
BN7SN4	YZ	LOM-G02090	MYH4	4.68	BO7SN4	YZ	LOM-G02090	MYH4	4.74
BN7SN4	YZ	LOM-G03000	MYH4	5.19	BO7SN4	YZ	LOM-G03000	MYH4	3.95
BN7SN4	YZ	LOM-HDA255	MYH4	7.24	BO7SN4	YZ	LOM-HDA255	MYH4	7.42
BN7SN4	YZ	LOM-SVL360	MYH4	3.59	BO7SN4	YZ	LOM-SVL360	MYH4	2.81
BN7SN4	YZ	MOR-G06090	MYH4	7.60	BO7SN4	YZ	MOR-G06090	MYH4	6.29
BN7SN4	YZ	MOR-HAL240	MYH4	8.96	BO7SN4	YZ	MOR-HAL240	MYH4	7.54
BN7SN4	YZ	NOR-KAT090	MYH4	8.04	BO7SN4	YZ	NOR-KAT090	MYH4	9.07
BN7SN4	YZ	NOR-SCR090	MYH4	6.12	BO7SN4	YZ	NOR-SCR090	MYH4	4.73
BN7SN4	YZ	NOR-STN020	MYH4	8.15	BO7SN4	YZ	NOR-STN020	MYH4	7.11
BN7SN4	YZ	NPAL-WWT180	MYH4	6.09	BO7SN4	YZ	NPAL-WWT180	MYH4	4.69
BN7SN4	YZ	SUP-POE270	MYH4	5.43	BO7SN4	YZ	SUP-POE270	MYH4	4.45
BN7SN4	YZ	WES-PTS225	MYH4	5.30	BO7SN4	YZ	WES-PTS225	MYH4	5.73
BN7SN4	YZ	WHI-BIR180	MYH4	9.08	BO7SN4	YZ	WHI-BIR180	MYH4	7.86
BN7SN4	YZ	WHI-EJS048	MYH4	7.84	BO7SN4	YZ	WHI-EJS048	MYH4	5.38
BN7SN4	XZ	CAP-RIO270	MYH5	10.02	BO7SN4	XZ	CAP-RIO270	MYH5	4.29
BN7SN4	XZ	CAP-RIO360	MYH5	7.93	BO7SN4	XZ	CAP-RIO360	MYH5	7.18
BN7SN4	XZ	CHI-TCU046W	MYH5	2.90	BO7SN4	XZ	CHI-TCU046W	MYH5	1.10
BN7SN4	XZ	CHI-TCU061N	MYH5	3.22	BO7SN4	XZ	CHI-TCU061N	MYH5	2.12
BN7SN4	XZ	CHI-TCU74N	MYH5	9.07	BO7SN4	XZ	CHI-TCU74N	MYH5	6.76
BN7SN4	XZ	CHI-TCU112-W	MYH5	1.73	BO7SN4	XZ	CHI-TCU112-W	MYH5	1.29
BN7SN4	XZ	CHI-TCU123-W	MYH5	3.93	BO7SN4	XZ	CHI-TCU123-W	MYH5	1.82
BN7SN4	XZ	CHI-TCU141-E	MYH5	2.37	BO7SN4	XZ	CHI-TCU141-E	MYH5	1.20
BN7SN4	XZ	CHI-WNTN	MYH5	6.00	BO7SN4	XZ	CHI-WNTN	MYH5	3.43
BN7SN4	XZ	COA-Z14000	MYH5	5.10	BO7SN4	XZ	COA-Z14000	MYH5	4.79
BN7SN4	XZ	IMP-AER045	MYH5	4.28	BO7SN4	XZ	IMP-AER045	MYH5	3.12
BN7SN4	XZ	IMP-ELC3-230	MYH5	3.87	BO7SN4	XZ	IMP-ELC3-230	MYH5	1.97
BN7SN4	XZ	IMP-ELC11-230	MYH5	5.05	BO7SN4	XZ	IMP-ELC11-230	MYH5	3.51
BN7SN4	XZ	IMP-ELCD-360	MYH5	8.12	BO7SN4	XZ	IMP-ELCD-360	MYH5	6.46
BN7SN4	XZ	KOC-AMB000	MYH5	4.54	BO7SN4	XZ	KOC-AMB000	MYH5	3.49
BN7SN4	XZ	LAN-CLVTR	MYH5	12.11	BO7SN4	XZ	LAN-CLVTR	MYH5	8.51
BN7SN4	XZ	LAN-JOS090	MYH5	8.05	BO7SN4	XZ	LAN-JOS090	MYH5	4.73
BN7SN4	XZ	LOM-CYC285	MYH5	8.19	BO7SN4	XZ	LOM-CYC285	MYH5	4.39
BN7SN4	XZ	LOM-GOF090	MYH5	5.36	BO7SN4	XZ	LOM-GOF090	MYH5	4.60
BN7SN4	XZ	LOM-HDA165	MYH5	8.01	BO7SN4	XZ	LOM-HDA165	MYH5	4.21
BN7SN4	XZ	LOM-SAR000	MYH5	9.92	BO7SN4	XZ	LOM-SAR000	MYH5	4.75
BN7SN4	XZ	LOM-SAR090	MYH5	4.05	BO7SN4	XZ	LOM-SAR090	MYH5	3.70
BN7SN4	XZ	NOR-KAT000	MYH5	9.68	BO7SN4	XZ	NOR-KAT000	MYH5	9.71
BN7SN4	XZ	NOR-LOS000	MYH5	12.13	BO7SN4	XZ	NOR-LOS000	MYH5	7.11
BN7SN4	XZ	NOR-MU2035	MYH5	5.40	BO7SN4	XZ	NOR-MU2035	MYH5	4.64

Tablo C.1 (devam): Mevcut binalara ait yerdeğiştirme talepleri

Bina Adı	Analiz Yönü	İvme Kaydı	MYH Grup No	Δ_d (cm)	Bina Adı	Analiz Yönü	İvme Kaydı	MYH Grup No	Δ_d (cm)
BN7SN4	XZ	NOR-STM090	MYH5	5.37	BO7SN4	XZ	NOR-STM090	MYH5	3.69
BN7SN4	XZ	NPAL-MVH135	MYH5	5.47	BO7SN4	XZ	NPAL-MVH135	MYH5	2.06
BN7SN4	XZ	SUP-ELC090	MYH5	3.54	BO7SN4	XZ	SUP-ELC090	MYH5	3.77
BN7SN4	XZ	SUP-PTS315	MYH5	7.36	BO7SN4	XZ	SUP-PTS315	MYH5	3.22
BN7SN4	XZ	SUP-SUP135	MYH5	7.99	BO7SN4	XZ	SUP-SUP135	MYH5	5.43
BN7SN4	YZ	CAP-RIO270	MYH5	9.35	BO7SN4	YZ	CAP-RIO270	MYH5	7.10
BN7SN4	YZ	CAP-RIO360	MYH5	8.46	BO7SN4	YZ	CAP-RIO360	MYH5	7.84
BN7SN4	YZ	CHI-TCU046W	MYH5	2.49	BO7SN4	YZ	CHI-TCU046W	MYH5	1.87
BN7SN4	YZ	CHI-TCU061N	MYH5	3.41	BO7SN4	YZ	CHI-TCU061N	MYH5	2.73
BN7SN4	YZ	CHI-TCU74N	MYH5	8.01	BO7SN4	YZ	CHI-TCU74N	MYH5	6.68
BN7SN4	YZ	CHI-TCU112-W	MYH5	1.48	BO7SN4	YZ	CHI-TCU112-W	MYH5	1.48
BN7SN4	YZ	CHI-TCU123-W	MYH5	4.20	BO7SN4	YZ	CHI-TCU123-W	MYH5	2.66
BN7SN4	YZ	CHI-TCU141-E	MYH5	1.86	BO7SN4	YZ	CHI-TCU141-E	MYH5	1.97
BN7SN4	YZ	CHI-WNTN	MYH5	4.42	BO7SN4	YZ	CHI-WNTN	MYH5	5.06
BN7SN4	YZ	COA-Z14000	MYH5	5.61	BO7SN4	YZ	COA-Z14000	MYH5	7.34
BN7SN4	YZ	IMP-AER045	MYH5	5.11	BO7SN4	YZ	IMP-AER045	MYH5	4.88
BN7SN4	YZ	IMP-ELC3-230	MYH5	3.77	BO7SN4	YZ	IMP-ELC3-230	MYH5	3.63
BN7SN4	YZ	IMP-ELC11-230	MYH5	4.71	BO7SN4	YZ	IMP-ELC11-230	MYH5	3.91
BN7SN4	YZ	IMP-ELCD-360	MYH5	8.15	BO7SN4	YZ	IMP-ELCD-360	MYH5	9.11
BN7SN4	YZ	KOC-AMB000	MYH5	4.56	BO7SN4	YZ	KOC-AMB000	MYH5	4.34
BN7SN4	YZ	LAN-CLVTR	MYH5	11.13	BO7SN4	YZ	LAN-CLVTR	MYH5	9.94
BN7SN4	YZ	LAN-JOS090	MYH5	5.14	BO7SN4	YZ	LAN-JOS090	MYH5	5.41
BN7SN4	YZ	LOM-CYC285	MYH5	7.37	BO7SN4	YZ	LOM-CYC285	MYH5	7.00
BN7SN4	YZ	LOM-GOF090	MYH5	5.33	BO7SN4	YZ	LOM-GOF090	MYH5	4.91
BN7SN4	YZ	LOM-HDA165	MYH5	7.30	BO7SN4	YZ	LOM-HDA165	MYH5	6.18
BN7SN4	YZ	LOM-SAR000	MYH5	8.82	BO7SN4	YZ	LOM-SAR000	MYH5	8.59
BN7SN4	YZ	LOM-SAR090	MYH5	4.49	BO7SN4	YZ	LOM-SAR090	MYH5	4.77
BN7SN4	YZ	NOR-KAT000	MYH5	11.33	BO7SN4	YZ	NOR-KAT000	MYH5	9.33
BN7SN4	YZ	NOR-LOS000	MYH5	10.01	BO7SN4	YZ	NOR-LOS000	MYH5	10.12
BN7SN4	YZ	NOR-MU2035	MYH5	5.58	BO7SN4	YZ	NOR-MU2035	MYH5	4.06
BN7SN4	YZ	NOR-STM090	MYH5	4.07	BO7SN4	YZ	NOR-STM090	MYH5	3.24
BN7SN4	YZ	NPAL-MVH135	MYH5	4.01	BO7SN4	YZ	NPAL-MVH135	MYH5	3.31
BN7SN4	YZ	SUP-ELC090	MYH5	4.50	BO7SN4	YZ	SUP-ELC090	MYH5	4.93
BN7SN4	YZ	SUP-PTS315	MYH5	6.00	BO7SN4	YZ	SUP-PTS315	MYH5	4.33
BN7SN4	YZ	SUP-SUP135	MYH5	8.05	BO7SN4	YZ	SUP-SUP135	MYH5	6.07
BN7SN4	XZ	CAP-PET000	MYH6	11.52	BO7SN4	XZ	CAP-PET000	MYH6	10.16
BN7SN4	XZ	CHI-CHY025W	MYH6	4.80	BO7SN4	XZ	CHI-CHY025W	MYH6	1.92
BN7SN4	XZ	CHI-CHY034-N	MYH6	7.24	BO7SN4	XZ	CHI-CHY034-N	MYH6	4.36
BN7SN4	XZ	CHI-TCU038N	MYH6	4.20	BO7SN4	XZ	CHI-TCU038N	MYH6	2.45
BN7SN4	XZ	CHI-TCU038W	MYH6	3.80	BO7SN4	XZ	CHI-TCU038W	MYH6	1.90
BN7SN4	XZ	CHI-TCU048N	MYH6	3.90	BO7SN4	XZ	CHI-TCU048N	MYH6	1.77
BN7SN4	XZ	CHI-TCU49W	MYH6	4.97	BO7SN4	XZ	CHI-TCU49W	MYH6	2.93
BN7SN4	XZ	CHI-TCU51W	MYH6	4.60	BO7SN4	XZ	CHI-TCU51W	MYH6	3.17
BN7SN4	XZ	CHI-TCU95N	MYH6	5.54	BO7SN4	XZ	CHI-TCU95N	MYH6	4.02
BN7SN4	XZ	CHI-TCU104-N	MYH6	1.71	BO7SN4	XZ	CHI-TCU104-N	MYH6	1.04
BN7SN4	XZ	CHI-TCU106-W	MYH6	4.47	BO7SN4	XZ	CHI-TCU106-W	MYH6	2.69
BN7SN4	XZ	CHI-TCU107-N	MYH6	4.19	BO7SN4	XZ	CHI-TCU107-N	MYH6	2.02
BN7SN4	XZ	COY-G06230	MYH6	8.76	BO7SN4	XZ	COY-G06230	MYH6	6.39
BN7SN4	XZ	IMP-E10050	MYH6	3.18	BO7SN4	XZ	IMP-E10050	MYH6	2.57
BN7SN4	XZ	IMP-ELC3-140	MYH6	5.56	BO7SN4	XZ	IMP-ELC3-140	MYH6	2.62
BN7SN4	XZ	IMP-ELC5-140	MYH6	5.82	BO7SN4	XZ	IMP-ELC5-140	MYH6	4.49
BN7SN4	XZ	IMP-ELC7-140	MYH6	8.22	BO7SN4	XZ	IMP-ELC7-140	MYH6	3.86
BN7SN4	XZ	IMP-ELC8-230	MYH6	5.37	BO7SN4	XZ	IMP-ELC8-230	MYH6	3.65
BN7SN4	XZ	IMP-HVP225	MYH6	4.85	BO7SN4	XZ	IMP-HVP225	MYH6	3.82
BN7SN4	XZ	KOC-DZC270	MYH6	7.19	BO7SN4	XZ	KOC-DZC270	MYH6	5.48
BN7SN4	XZ	LOM-BRN090	MYH6	11.88	BO7SN4	XZ	LOM-BRN090	MYH6	8.40
BN7SN4	XZ	LOM-COR090	MYH6	10.58	BO7SN4	XZ	LOM-COR090	MYH6	7.73
BN7SN4	XZ	LOM-G03090	MYH6	4.51	BO7SN4	XZ	LOM-G03090	MYH6	4.13
BN7SN4	XZ	LOM-HCH180	MYH6	6.37	BO7SN4	XZ	LOM-HCH180	MYH6	3.03

Tablo C.1 (devam): Mevcut binalara ait yerdeğiştirme talepleri

Bina Adı	Analiz Yönü	İvme Kaydı	MYH Grup No	Δ_d (cm)	Bina Adı	Analiz Yönü	İvme Kaydı	MYH Grup No	Δ_d (cm)
BN7SN4	XZ	NAH-S1010	MYH6	5.72	BO7SN4	XZ	NAH-S1010	MYH6	5.83
BN7SN4	XZ	NAH-S1280	MYH6	5.20	BO7SN4	XZ	NAH-S1280	MYH6	3.97
BN7SN4	XZ	NOR-LOS270	MYH6	8.50	BO7SN4	XZ	NOR-LOS270	MYH6	5.67
BN7SN4	XZ	NOR-PAC175	MYH6	6.14	BO7SN4	XZ	NOR-PAC175	MYH6	4.97
BN7SN4	XZ	SUP-ELC000	MYH6	6.08	BO7SN4	XZ	SUP-ELC000	MYH6	4.06
BN7SN4	XZ	WES-WSM090	MYH6	7.98	BO7SN4	XZ	WES-WSM090	MYH6	6.32
BN7SN4	YZ	CAP-PET000	MYH6	10.96	BO7SN4	YZ	CAP-PET000	MYH6	11.52
BN7SN4	YZ	CHI-CHY025W	MYH6	3.36	BO7SN4	YZ	CHI-CHY025W	MYH6	2.85
BN7SN4	YZ	CHI-CHY034-N	MYH6	7.16	BO7SN4	YZ	CHI-CHY034-N	MYH6	7.00
BN7SN4	YZ	CHI-TCU038N	MYH6	3.93	BO7SN4	YZ	CHI-TCU038N	MYH6	2.49
BN7SN4	YZ	CHI-TCU038W	MYH6	3.14	BO7SN4	YZ	CHI-TCU038W	MYH6	3.48
BN7SN4	YZ	CHI-TCU048N	MYH6	3.49	BO7SN4	YZ	CHI-TCU048N	MYH6	2.71
BN7SN4	YZ	CHI-TCU49W	MYH6	4.94	BO7SN4	YZ	CHI-TCU49W	MYH6	3.56
BN7SN4	YZ	CHI-TCU51W	MYH6	2.81	BO7SN4	YZ	CHI-TCU51W	MYH6	2.99
BN7SN4	YZ	CHI-TCU95N	MYH6	5.91	BO7SN4	YZ	CHI-TCU95N	MYH6	3.52
BN7SN4	YZ	CHI-TCU104-N	MYH6	1.91	BO7SN4	YZ	CHI-TCU104-N	MYH6	1.84
BN7SN4	YZ	CHI-TCU106-W	MYH6	4.66	BO7SN4	YZ	CHI-TCU106-W	MYH6	3.25
BN7SN4	YZ	CHI-TCU107-N	MYH6	3.68	BO7SN4	YZ	CHI-TCU107-N	MYH6	3.27
BN7SN4	YZ	COY-G06230	MYH6	9.71	BO7SN4	YZ	COY-G06230	MYH6	6.55
BN7SN4	YZ	IMP-E10050	MYH6	3.58	BO7SN4	YZ	IMP-E10050	MYH6	3.30
BN7SN4	YZ	IMP-ELC3-140	MYH6	4.99	BO7SN4	YZ	IMP-ELC3-140	MYH6	2.78
BN7SN4	YZ	IMP-ELC5-140	MYH6	7.09	BO7SN4	YZ	IMP-ELC5-140	MYH6	8.33
BN7SN4	YZ	IMP-ELC7-140	MYH6	7.05	BO7SN4	YZ	IMP-ELC7-140	MYH6	5.68
BN7SN4	YZ	IMP-ELC8-230	MYH6	5.59	BO7SN4	YZ	IMP-ELC8-230	MYH6	4.72
BN7SN4	YZ	IMP-HVP225	MYH6	5.49	BO7SN4	YZ	IMP-HVP225	MYH6	5.14
BN7SN4	YZ	KOC-DZC270	MYH6	7.14	BO7SN4	YZ	KOC-DZC270	MYH6	5.53
BN7SN4	YZ	LOM-BRN090	MYH6	12.21	BO7SN4	YZ	LOM-BRN090	MYH6	11.47
BN7SN4	YZ	LOM-COR090	MYH6	11.11	BO7SN4	YZ	LOM-COR090	MYH6	6.96
BN7SN4	YZ	LOM-G03090	MYH6	4.51	BO7SN4	YZ	LOM-G03090	MYH6	3.79
BN7SN4	YZ	LOM-HCH180	MYH6	6.09	BO7SN4	YZ	LOM-HCH180	MYH6	4.61
BN7SN4	YZ	NAH-S1010	MYH6	5.50	BO7SN4	YZ	NAH-S1010	MYH6	4.98
BN7SN4	YZ	NAH-S1280	MYH6	5.15	BO7SN4	YZ	NAH-S1280	MYH6	4.94
BN7SN4	YZ	NOR-LOS270	MYH6	7.75	BO7SN4	YZ	NOR-LOS270	MYH6	7.63
BN7SN4	YZ	NOR-PAC175	MYH6	6.59	BO7SN4	YZ	NOR-PAC175	MYH6	5.16
BN7SN4	YZ	SUP-ELC000	MYH6	6.82	BO7SN4	YZ	SUP-ELC000	MYH6	6.43
BN7SN4	YZ	WES-WSM090	MYH6	7.59	BO7SN4	YZ	WES-WSM090	MYH6	7.73
BN7SN4	XZ	CHI-CHY002-N	MYH7	2.97	BO7SN4	XZ	CHI-CHY002-N	MYH7	1.48
BN7SN4	XZ	CHI-CHY024W	MYH7	5.64	BO7SN4	XZ	CHI-CHY024W	MYH7	3.98
BN7SN4	XZ	CHI-CHY104-E	MYH7	4.88	BO7SN4	XZ	CHI-CHY104-E	MYH7	2.67
BN7SN4	XZ	CHI-TCU029N	MYH7	2.94	BO7SN4	XZ	CHI-TCU029N	MYH7	1.84
BN7SN4	XZ	CHI-TCU036N	MYH7	3.58	BO7SN4	XZ	CHI-TCU036N	MYH7	1.99
BN7SN4	XZ	CHI-TCU039N	MYH7	4.55	BO7SN4	XZ	CHI-TCU039N	MYH7	1.59
BN7SN4	XZ	CHI-TCU039W	MYH7	5.69	BO7SN4	XZ	CHI-TCU039W	MYH7	1.80
BN7SN4	XZ	CHI-TCU040N	MYH7	3.11	BO7SN4	XZ	CHI-TCU040N	MYH7	1.56
BN7SN4	XZ	CHI-TCU040W	MYH7	3.17	BO7SN4	XZ	CHI-TCU040W	MYH7	2.02
BN7SN4	XZ	CHI-TCU055N	MYH7	4.89	BO7SN4	XZ	CHI-TCU055N	MYH7	2.40
BN7SN4	XZ	CHI-TCU064N	MYH7	2.48	BO7SN4	XZ	CHI-TCU064N	MYH7	1.44
BN7SN4	XZ	CHI-TCU70W	MYH7	7.86	BO7SN4	XZ	CHI-TCU70W	MYH7	5.14
BN7SN4	XZ	CHI-TCU109-N	MYH7	4.30	BO7SN4	XZ	CHI-TCU109-N	MYH7	3.07
BN7SN4	XZ	CHI-TCU109-W	MYH7	4.76	BO7SN4	XZ	CHI-TCU109-W	MYH7	2.28
BN7SN4	XZ	CHI-TCU115-W	MYH7	2.83	BO7SN4	XZ	CHI-TCU115-W	MYH7	1.49
BN7SN4	XZ	CHI-TCU117-N	MYH7	2.80	BO7SN4	XZ	CHI-TCU117-N	MYH7	1.44
BN7SN4	XZ	IMP-ELC8-140	MYH7	7.73	BO7SN4	XZ	IMP-ELC8-140	MYH7	6.84
BN7SN4	XZ	IMP-HVP315	MYH7	3.73	BO7SN4	XZ	IMP-HVP315	MYH7	2.13
BN7SN4	XZ	IRP-STU270	MYH7	4.66	BO7SN4	XZ	IRP-STU270	MYH7	2.13
BN7SN4	XZ	KOC-GBZ000	MYH7	4.83	BO7SN4	XZ	KOC-GBZ000	MYH7	3.44
BN7SN4	XZ	LAN-YER270	MYH7	6.72	BO7SN4	XZ	LAN-YER270	MYH7	3.75
BN7SN4	XZ	LOM-A02043	MYH7	7.92	BO7SN4	XZ	LOM-A02043	MYH7	6.29
BN7SN4	XZ	LOM-BRN000	MYH7	7.86	BO7SN4	XZ	LOM-BRN000	MYH7	7.23

Tablo C.1 (devam): Mevcut binalara ait yerdeğiştirme talepleri

Bina Adı	Analiz Yönü	İvme Kaydı	MYH Grup No	Δ_d (cm)	Bina Adı	Analiz Yönü	İvme Kaydı	MYH Grup No	Δ_d (cm)
BN7SN4	XZ	LOM-LGP090	MYH7	8.74	BO7SN4	XZ	LOM-LGP090	MYH7	6.49
BN7SN4	XZ	MOR-CYC195	MYH7	13.65	BO7SN4	XZ	MOR-CYC195	MYH7	10.27
BN7SN4	XZ	NOR-LDM334	MYH7	8.74	BO7SN4	XZ	NOR-LDM334	MYH7	6.21
BN7SN4	XZ	NOR-ORR090	MYH7	8.43	BO7SN4	XZ	NOR-ORR090	MYH7	7.21
BN7SN4	XZ	NOR-ORR360	MYH7	14.73	BO7SN4	XZ	NOR-ORR360	MYH7	12.15
BN7SN4	XZ	NOR-PKC360	MYH7	12.09	BO7SN4	XZ	NOR-PKC360	MYH7	9.02
BN7SN4	XZ	SFD-PCD254	MYH7	9.34	BO7SN4	XZ	SFD-PCD254	MYH7	10.37
BN7SN4	YZ	CHI-CHY002-N	MYH7	3.38	BO7SN4	YZ	CHI-CHY002-N	MYH7	1.77
BN7SN4	YZ	CHI-CHY024W	MYH7	5.75	BO7SN4	YZ	CHI-CHY024W	MYH7	3.86
BN7SN4	YZ	CHI-CHY104-E	MYH7	3.85	BO7SN4	YZ	CHI-CHY104-E	MYH7	3.95
BN7SN4	YZ	CHI-TCU029N	MYH7	2.57	BO7SN4	YZ	CHI-TCU029N	MYH7	2.28
BN7SN4	YZ	CHI-TCU036N	MYH7	2.93	BO7SN4	YZ	CHI-TCU036N	MYH7	2.35
BN7SN4	YZ	CHI-TCU039N	MYH7	2.90	BO7SN4	YZ	CHI-TCU039N	MYH7	2.29
BN7SN4	YZ	CHI-TCU039W	MYH7	5.37	BO7SN4	YZ	CHI-TCU039W	MYH7	3.96
BN7SN4	YZ	CHI-TCU040N	MYH7	3.13	BO7SN4	YZ	CHI-TCU040N	MYH7	2.00
BN7SN4	YZ	CHI-TCU040W	MYH7	3.24	BO7SN4	YZ	CHI-TCU040W	MYH7	2.39
BN7SN4	YZ	CHI-TCU055N	MYH7	4.77	BO7SN4	YZ	CHI-TCU055N	MYH7	3.46
BN7SN4	YZ	CHI-TCU064N	MYH7	2.48	BO7SN4	YZ	CHI-TCU064N	MYH7	1.81
BN7SN4	YZ	CHI-TCU70W	MYH7	8.38	BO7SN4	YZ	CHI-TCU70W	MYH7	5.97
BN7SN4	YZ	CHI-TCU109-N	MYH7	4.37	BO7SN4	YZ	CHI-TCU109-N	MYH7	3.46
BN7SN4	YZ	CHI-TCU109-W	MYH7	4.05	BO7SN4	YZ	CHI-TCU109-W	MYH7	3.20
BN7SN4	YZ	CHI-TCU115-W	MYH7	2.28	BO7SN4	YZ	CHI-TCU115-W	MYH7	1.76
BN7SN4	YZ	CHI-TCU117-N	MYH7	2.31	BO7SN4	YZ	CHI-TCU117-N	MYH7	1.94
BN7SN4	YZ	IMP-ELC8-140	MYH7	7.43	BO7SN4	YZ	IMP-ELC8-140	MYH7	6.50
BN7SN4	YZ	IMP-HVP315	MYH7	3.92	BO7SN4	YZ	IMP-HVP315	MYH7	3.37
BN7SN4	YZ	IRP-STU270	MYH7	4.02	BO7SN4	YZ	IRP-STU270	MYH7	2.81
BN7SN4	YZ	KOC-GBZ000	MYH7	4.49	BO7SN4	YZ	KOC-GBZ000	MYH7	3.35
BN7SN4	YZ	LAN-YER270	MYH7	5.01	BO7SN4	YZ	LAN-YER270	MYH7	4.57
BN7SN4	YZ	LOM-A02043	MYH7	8.08	BO7SN4	YZ	LOM-A02043	MYH7	8.65
BN7SN4	YZ	LOM-BRN000	MYH7	9.95	BO7SN4	YZ	LOM-BRN000	MYH7	5.22
BN7SN4	YZ	LOM-LGP090	MYH7	9.35	BO7SN4	YZ	LOM-LGP090	MYH7	8.02
BN7SN4	YZ	MOR-CYC195	MYH7	12.16	BO7SN4	YZ	MOR-CYC195	MYH7	13.91
BN7SN4	YZ	NOR-LDM334	MYH7	7.61	BO7SN4	YZ	NOR-LDM334	MYH7	9.49
BN7SN4	YZ	NOR-ORR090	MYH7	8.73	BO7SN4	YZ	NOR-ORR090	MYH7	7.44
BN7SN4	YZ	NOR-ORR360	MYH7	14.34	BO7SN4	YZ	NOR-ORR360	MYH7	14.48
BN7SN4	YZ	NOR-PKC360	MYH7	12.96	BO7SN4	YZ	NOR-PKC360	MYH7	8.69
BN7SN4	YZ	SFD-PCD254	MYH7	11.94	BO7SN4	YZ	SFD-PCD254	MYH7	10.55
BN7SN4	XZ	CAP-RIO270	MYH8	12.93	BO7SN4	XZ	CAP-RIO270	MYH8	8.01
BN7SN4	XZ	CAP-RIO360	MYH8	11.19	BO7SN4	XZ	CAP-RIO360	MYH8	9.63
BN7SN4	XZ	CHI-CHY006-E	MYH8	9.74	BO7SN4	XZ	CHI-CHY006-E	MYH8	10.35
BN7SN4	XZ	CHI-CHY092-E	MYH8	2.35	BO7SN4	XZ	CHI-CHY092-E	MYH8	1.20
BN7SN4	XZ	CHI-CHY104-N	MYH8	5.59	BO7SN4	XZ	CHI-CHY104-N	MYH8	2.08
BN7SN4	XZ	CHI-TCU054W	MYH8	3.63	BO7SN4	XZ	CHI-TCU054W	MYH8	2.19
BN7SN4	XZ	CHI-TCU059N	MYH8	4.48	BO7SN4	XZ	CHI-TCU059N	MYH8	3.23
BN7SN4	XZ	CHI-TCU059W	MYH8	5.00	BO7SN4	XZ	CHI-TCU059W	MYH8	2.49
BN7SN4	XZ	CHI-TCU063W	MYH8	5.67	BO7SN4	XZ	CHI-TCU063W	MYH8	2.62
BN7SN4	XZ	CHI-TCU072N	MYH8	12.16	BO7SN4	XZ	CHI-TCU072N	MYH8	7.39
BN7SN4	XZ	CHI-TCU82W	MYH8	4.28	BO7SN4	XZ	CHI-TCU82W	MYH8	2.99
BN7SN4	XZ	CHI-TCU110-N	MYH8	7.15	BO7SN4	XZ	CHI-TCU110-N	MYH8	2.57
BN7SN4	XZ	CHI-TCU111-W	MYH8	4.03	BO7SN4	XZ	CHI-TCU111-W	MYH8	1.60
BN7SN4	XZ	CHI-TCU117-W	MYH8	4.15	BO7SN4	XZ	CHI-TCU117-W	MYH8	1.53
BN7SN4	XZ	CHI-TCU136-E	MYH8	5.33	BO7SN4	XZ	CHI-TCU136-E	MYH8	1.65
BN7SN4	XZ	DZC-BOL000	MYH8	11.08	BO7SN4	XZ	DZC-BOL000	MYH8	9.56
BN7SN4	XZ	IMP-ELC3-140	MYH8	7.41	BO7SN4	XZ	IMP-ELC3-140	MYH8	3.39
BN7SN4	XZ	IMP-ELC3-230	MYH8	4.88	BO7SN4	XZ	IMP-ELC3-230	MYH8	3.36
BN7SN4	XZ	IRP-STU270	MYH8	5.10	BO7SN4	XZ	IRP-STU270	MYH8	2.29
BN7SN4	XZ	KOC-DZC180	MYH8	7.12	BO7SN4	XZ	KOC-DZC180	MYH8	3.64
BN7SN4	XZ	KOC-DZC270	MYH8	7.99	BO7SN4	XZ	KOC-DZC270	MYH8	5.97
BN7SN4	XZ	KOC-GBZ000	MYH8	5.48	BO7SN4	XZ	KOC-GBZ000	MYH8	4.21

Tablo C.1 (devam): Mevcut binalara ait yerdeğiştirme talepleri

Bina Adı	Analiz Yönü	İvme Kaydı	MYH Grup No	Δ_d (cm)	Bina Adı	Analiz Yönü	İvme Kaydı	MYH Grup No	Δ_d (cm)
BN7SN4	XZ	LAN-CLVTR	MYH8	16.92	BO7SN4	XZ	LAN-CLVTR	MYH8	12.08
BN7SN4	XZ	LAN-YER270	MYH8	7.90	BO7SN4	XZ	LAN-YER270	MYH8	4.70
BN7SN4	XZ	LOM-COR000	MYH8	11.35	BO7SN4	XZ	LOM-COR000	MYH8	9.86
BN7SN4	XZ	NOR-MUL009	MYH8	10.92	BO7SN4	XZ	NOR-MUL009	MYH8	8.00
BN7SN4	XZ	NOR-PUL104	MYH8	13.46	BO7SN4	XZ	NOR-PUL104	MYH8	12.26
BN7SN4	XZ	NPAL-MVH135	MYH8	8.57	BO7SN4	XZ	NPAL-MVH135	MYH8	3.81
BN7SN4	XZ	SUP-ELC000	MYH8	8.47	BO7SN4	XZ	SUP-ELC000	MYH8	6.12
BN7SN4	XZ	SUP-ELC090	MYH8	5.43	BO7SN4	XZ	SUP-ELC090	MYH8	5.84
BN7SN4	YZ	CAP-RIO270	MYH8	12.85	BO7SN4	YZ	CAP-RIO270	MYH8	9.70
BN7SN4	YZ	CAP-RIO360	MYH8	11.63	BO7SN4	YZ	CAP-RIO360	MYH8	10.70
BN7SN4	YZ	CHI-CHY006-E	MYH8	11.74	BO7SN4	YZ	CHI-CHY006-E	MYH8	12.26
BN7SN4	YZ	CHI-CHY092-E	MYH8	2.07	BO7SN4	YZ	CHI-CHY092-E	MYH8	1.66
BN7SN4	YZ	CHI-CHY104-N	MYH8	4.32	BO7SN4	YZ	CHI-CHY104-N	MYH8	2.72
BN7SN4	YZ	CHI-TCU054W	MYH8	3.79	BO7SN4	YZ	CHI-TCU054W	MYH8	2.66
BN7SN4	YZ	CHI-TCU059N	MYH8	3.39	BO7SN4	YZ	CHI-TCU059N	MYH8	3.02
BN7SN4	YZ	CHI-TCU059W	MYH8	4.42	BO7SN4	YZ	CHI-TCU059W	MYH8	3.86
BN7SN4	YZ	CHI-TCU063W	MYH8	5.54	BO7SN4	YZ	CHI-TCU063W	MYH8	3.82
BN7SN4	YZ	CHI-TCU072N	MYH8	11.80	BO7SN4	YZ	CHI-TCU072N	MYH8	12.38
BN7SN4	YZ	CHI-TCU82W	MYH8	4.74	BO7SN4	YZ	CHI-TCU82W	MYH8	4.31
BN7SN4	YZ	CHI-TCU110-N	MYH8	5.38	BO7SN4	YZ	CHI-TCU110-N	MYH8	4.41
BN7SN4	YZ	CHI-TCU111-W	MYH8	2.79	BO7SN4	YZ	CHI-TCU111-W	MYH8	2.76
BN7SN4	YZ	CHI-TCU117-W	MYH8	2.71	BO7SN4	YZ	CHI-TCU117-W	MYH8	2.34
BN7SN4	YZ	CHI-TCU136-E	MYH8	3.75	BO7SN4	YZ	CHI-TCU136-E	MYH8	2.49
BN7SN4	YZ	DZC-BOL000	MYH8	10.99	BO7SN4	YZ	DZC-BOL000	MYH8	8.84
BN7SN4	YZ	IMP-ELC3-140	MYH8	6.54	BO7SN4	YZ	IMP-ELC3-140	MYH8	4.52
BN7SN4	YZ	IMP-ELC3-230	MYH8	5.29	BO7SN4	YZ	IMP-ELC3-230	MYH8	5.18
BN7SN4	YZ	IRP-STU270	MYH8	4.42	BO7SN4	YZ	IRP-STU270	MYH8	3.10
BN7SN4	YZ	KOC-DZC180	MYH8	6.58	BO7SN4	YZ	KOC-DZC180	MYH8	4.77
BN7SN4	YZ	KOC-DZC270	MYH8	8.45	BO7SN4	YZ	KOC-DZC270	MYH8	8.33
BN7SN4	YZ	KOC-GBZ000	MYH8	5.21	BO7SN4	YZ	KOC-GBZ000	MYH8	4.09
BN7SN4	YZ	LAN-CLVTR	MYH8	17.37	BO7SN4	YZ	LAN-CLVTR	MYH8	15.74
BN7SN4	YZ	LAN-YER270	MYH8	5.43	BO7SN4	YZ	LAN-YER270	MYH8	5.34
BN7SN4	YZ	LOM-COR000	MYH8	11.90	BO7SN4	YZ	LOM-COR000	MYH8	11.37
BN7SN4	YZ	NOR-MUL009	MYH8	9.57	BO7SN4	YZ	NOR-MUL009	MYH8	7.98
BN7SN4	YZ	NOR-PUL104	MYH8	11.86	BO7SN4	YZ	NOR-PUL104	MYH8	11.72
BN7SN4	YZ	NPAL-MVH135	MYH8	7.08	BO7SN4	YZ	NPAL-MVH135	MYH8	6.67
BN7SN4	YZ	SUP-ELC000	MYH8	9.39	BO7SN4	YZ	SUP-ELC000	MYH8	9.33
BN7SN4	YZ	SUP-ELC090	MYH8	6.57	BO7SN4	YZ	SUP-ELC090	MYH8	6.55
BN7SN4	XZ	CHI-TCU036W	MYH9	3.91	BO7SN4	XZ	CHI-TCU036W	MYH9	1.76
BN7SN4	XZ	CHI-TCU49N	MYH9	4.21	BO7SN4	XZ	CHI-TCU49N	MYH9	2.37
BN7SN4	XZ	CHI-TCU70N	MYH9	5.86	BO7SN4	XZ	CHI-TCU70N	MYH9	2.99
BN7SN4	XZ	CHI-TCU76N	MYH9	9.50	BO7SN4	XZ	CHI-TCU76N	MYH9	9.39
BN7SN4	XZ	CHI-TCU76W	MYH9	3.77	BO7SN4	XZ	CHI-TCU76W	MYH9	3.59
BN7SN4	XZ	CHI-TCU079-W	MYH9	13.72	BO7SN4	XZ	CHI-TCU079-W	MYH9	8.65
BN7SN4	XZ	CHI-TCU95W	MYH9	7.81	BO7SN4	XZ	CHI-TCU95W	MYH9	5.21
BN7SN4	XZ	CHI-TCU103-W	MYH9	3.64	BO7SN4	XZ	CHI-TCU103-W	MYH9	2.08
BN7SN4	XZ	CHI-TCU120-W	MYH9	4.59	BO7SN4	XZ	CHI-TCU120-W	MYH9	2.37
BN7SN4	XZ	CHI-TCU129-W	MYH9	9.02	BO7SN4	XZ	CHI-TCU129-W	MYH9	7.08
BN7SN4	XZ	COA-PLE045	MYH9	15.94	BO7SN4	XZ	COA-PLE045	MYH9	14.60
BN7SN4	XZ	DZC-BOL000	MYH9	11.63	BO7SN4	XZ	DZC-BOL000	MYH9	10.81
BN7SN4	XZ	DZC-BOL090	MYH9	19.61	BO7SN4	XZ	DZC-BOL090	MYH9	18.06
BN7SN4	XZ	DZC-DZC180	MYH9	12.75	BO7SN4	XZ	DZC-DZC180	MYH9	7.46
BN7SN4	XZ	ERZ-ERZEW	MYH9	11.34	BO7SN4	XZ	ERZ-ERZEW	MYH9	9.87
BN7SN4	XZ	IMP-ELC3-140	MYH9	8.40	BO7SN4	XZ	IMP-ELC3-140	MYH9	3.81
BN7SN4	XZ	IMP-HVP315	MYH9	4.19	BO7SN4	XZ	IMP-HVP315	MYH9	2.74
BN7SN4	XZ	IRP-STU270	MYH9	5.58	BO7SN4	XZ	IRP-STU270	MYH9	2.38
BN7SN4	XZ	KOC-DZC180	MYH9	7.57	BO7SN4	XZ	KOC-DZC180	MYH9	3.79
BN7SN4	XZ	KOC-GBZ000	MYH9	5.91	BO7SN4	XZ	KOC-GBZ000	MYH9	4.77
BN7SN4	XZ	KOC-YAR330	MYH9	6.59	BO7SN4	XZ	KOC-YAR330	MYH9	3.73

Tablo C.1 (devam): Mevcut binalara ait yerdeğiştirme talepleri

Bina Adı	Analiz Yönü	İvme Kaydı	MYH Grup No	Δ_d (cm)	Bina Adı	Analiz Yönü	İvme Kaydı	MYH Grup No	Δ_d (cm)
BN7SN4	XZ	LAN-YER270	MYH9	8.95	BO7SN4	XZ	LAN-YER270	MYH9	5.63
BN7SN4	XZ	LOM-BRN000	MYH9	12.02	BO7SN4	XZ	LOM-BRN000	MYH9	7.36
BN7SN4	XZ	LOM-HSP000	MYH9	13.89	BO7SN4	XZ	LOM-HSP000	MYH9	8.82
BN7SN4	XZ	LOM-WVC270	MYH9	7.58	BO7SN4	XZ	LOM-WVC270	MYH9	4.33
BN7SN4	XZ	NOR-CNP196	MYH9	8.46	BO7SN4	XZ	NOR-CNP196	MYH9	7.89
BN7SN4	XZ	NOR-LDM064	MYH9	14.35	BO7SN4	XZ	NOR-LDM064	MYH9	9.42
BN7SN4	XZ	NOR-MUL279	MYH9	10.78	BO7SN4	XZ	NOR-MUL279	MYH9	9.78
BN7SN4	XZ	NOR-SAT180	MYH9	11.32	BO7SN4	XZ	NOR-SAT180	MYH9	8.33
BN7SN4	XZ	SUP-ELC000	MYH9	9.85	BO7SN4	XZ	SUP-ELC000	MYH9	7.27
BN7SN4	YZ	CHI-TCU036W	MYH9	2.96	BO7SN4	YZ	CHI-TCU036W	MYH9	2.68
BN7SN4	YZ	CHI-TCU49N	MYH9	4.21	BO7SN4	YZ	CHI-TCU49N	MYH9	3.81
BN7SN4	YZ	CHI-TCU70N	MYH9	5.42	BO7SN4	YZ	CHI-TCU70N	MYH9	5.03
BN7SN4	YZ	CHI-TCU76N	MYH9	9.31	BO7SN4	YZ	CHI-TCU76N	MYH9	12.29
BN7SN4	YZ	CHI-TCU76W	MYH9	3.65	BO7SN4	YZ	CHI-TCU76W	MYH9	3.45
BN7SN4	YZ	CHI-TCU079-W	MYH9	12.33	BO7SN4	YZ	CHI-TCU079-W	MYH9	9.12
BN7SN4	YZ	CHI-TCU95W	MYH9	7.28	BO7SN4	YZ	CHI-TCU95W	MYH9	8.04
BN7SN4	YZ	CHI-TCU103-W	MYH9	3.02	BO7SN4	YZ	CHI-TCU103-W	MYH9	2.93
BN7SN4	YZ	CHI-TCU120-W	MYH9	3.65	BO7SN4	YZ	CHI-TCU120-W	MYH9	3.47
BN7SN4	YZ	CHI-TCU129-W	MYH9	10.02	BO7SN4	YZ	CHI-TCU129-W	MYH9	9.91
BN7SN4	YZ	COA-PLE045	MYH9	17.08	BO7SN4	YZ	COA-PLE045	MYH9	14.49
BN7SN4	YZ	DZC-BOL000	MYH9	12.31	BO7SN4	YZ	DZC-BOL000	MYH9	9.45
BN7SN4	YZ	DZC-BOL090	MYH9	19.13	BO7SN4	YZ	DZC-BOL090	MYH9	21.56
BN7SN4	YZ	DZC-DZC180	MYH9	10.47	BO7SN4	YZ	DZC-DZC180	MYH9	11.71
BN7SN4	YZ	ERZ-ERZEW	MYH9	10.23	BO7SN4	YZ	ERZ-ERZEW	MYH9	12.41
BN7SN4	YZ	IMP-ELC3-140	MYH9	7.43	BO7SN4	YZ	IMP-ELC3-140	MYH9	5.67
BN7SN4	YZ	IMP-HVP315	MYH9	4.67	BO7SN4	YZ	IMP-HVP315	MYH9	4.02
BN7SN4	YZ	IRP-STU270	MYH9	4.87	BO7SN4	YZ	IRP-STU270	MYH9	3.39
BN7SN4	YZ	KOC-DZC180	MYH9	7.01	BO7SN4	YZ	KOC-DZC180	MYH9	5.29
BN7SN4	YZ	KOC-GBZ000	MYH9	5.78	BO7SN4	YZ	KOC-GBZ000	MYH9	4.65
BN7SN4	YZ	KOC-YAR330	MYH9	5.67	BO7SN4	YZ	KOC-YAR330	MYH9	3.54
BN7SN4	YZ	LAN-YER270	MYH9	5.75	BO7SN4	YZ	LAN-YER270	MYH9	6.17
BN7SN4	YZ	LOM-BRN000	MYH9	9.74	BO7SN4	YZ	LOM-BRN000	MYH9	8.21
BN7SN4	YZ	LOM-HSP000	MYH9	13.32	BO7SN4	YZ	LOM-HSP000	MYH9	10.42
BN7SN4	YZ	LOM-WVC270	MYH9	7.29	BO7SN4	YZ	LOM-WVC270	MYH9	7.55
BN7SN4	YZ	NOR-CNP196	MYH9	8.65	BO7SN4	YZ	NOR-CNP196	MYH9	6.58
BN7SN4	YZ	NOR-LDM064	MYH9	12.80	BO7SN4	YZ	NOR-LDM064	MYH9	12.77
BN7SN4	YZ	NOR-MUL279	MYH9	11.87	BO7SN4	YZ	NOR-MUL279	MYH9	15.09
BN7SN4	YZ	NOR-SAT180	MYH9	11.65	BO7SN4	YZ	NOR-SAT180	MYH9	10.89
BN7SN4	YZ	SUP-ELC000	MYH9	10.69	BO7SN4	YZ	SUP-ELC000	MYH9	10.70
BN7SN4	XZ	CHI-CHY28N	MYH10	25.45	BO7SN4	XZ	CHI-CHY28N	MYH10	21.42
BN7SN4	XZ	CHI-TCU067N	MYH10	6.32	BO7SN4	XZ	CHI-TCU067N	MYH10	5.87
BN7SN4	XZ	CHI-TCU071N	MYH10	7.31	BO7SN4	XZ	CHI-TCU071N	MYH10	4.16
BN7SN4	XZ	CHI-TCU101-W	MYH10	4.63	BO7SN4	XZ	CHI-TCU101-W	MYH10	3.73
BN7SN4	XZ	CHI-TCU110-W	MYH10	5.51	BO7SN4	XZ	CHI-TCU110-W	MYH10	1.95
BN7SN4	XZ	CHI-TCU128-N	MYH10	3.88	BO7SN4	XZ	CHI-TCU128-N	MYH10	1.81
BN7SN4	XZ	CHI-WGK-E	MYH10	7.19	BO7SN4	XZ	CHI-WGK-E	MYH10	3.17
BN7SN4	XZ	CHI-WNTE	MYH10	7.52	BO7SN4	XZ	CHI-WNTE	MYH10	6.24
BN7SN4	XZ	DZC-BOL000	MYH10	12.21	BO7SN4	XZ	DZC-BOL000	MYH10	11.60
BN7SN4	XZ	DZC-BOL090	MYH10	23.36	BO7SN4	XZ	DZC-BOL090	MYH10	20.39
BN7SN4	XZ	GAZ-KAR000	MYH10	9.51	BO7SN4	XZ	GAZ-KAR000	MYH10	7.09
BN7SN4	XZ	IMP-ECC092	MYH10	7.31	BO7SN4	XZ	IMP-ECC092	MYH10	3.06
BN7SN4	XZ	IMP-ELC3-140	MYH10	9.42	BO7SN4	XZ	IMP-ELC3-140	MYH10	4.29
BN7SN4	XZ	IMP-ELC6-140	MYH10	10.28	BO7SN4	XZ	IMP-ELC6-140	MYH10	4.03
BN7SN4	XZ	IRP-STU270	MYH10	6.09	BO7SN4	XZ	IRP-STU270	MYH10	2.69
BN7SN4	XZ	KOB-TAK000	MYH10	14.40	BO7SN4	XZ	KOB-TAK000	MYH10	13.39
BN7SN4	XZ	KOC-DZC180	MYH10	8.18	BO7SN4	XZ	KOC-DZC180	MYH10	4.04
BN7SN4	XZ	KOC-GBZ000	MYH10	6.30	BO7SN4	XZ	KOC-GBZ000	MYH10	5.32
BN7SN4	XZ	KOC-YAR060	MYH10	6.34	BO7SN4	XZ	KOC-YAR060	MYH10	3.95
BN7SN4	XZ	LAN-YER270	MYH10	10.10	BO7SN4	XZ	LAN-YER270	MYH10	6.62

Tablo C.1 (devam): Mevcut binalara ait yerdeğiştirme talepleri

Bina Adı	Analiz Yönü	İvme Kaydı	MYH Grup No	Δ_d (cm)	Bina Adı	Analiz Yönü	İvme Kaydı	MYH Grup No	Δ_d (cm)
BN7SN4	XZ	LOM-BRN000	MYH10	13.89	BO7SN4	XZ	LOM-BRN000	MYH10	7.69
BN7SN4	XZ	LOM-G03090	MYH10	8.23	BO7SN4	XZ	LOM-G03090	MYH10	6.04
BN7SN4	XZ	LOM-HSP000	MYH10	15.02	BO7SN4	XZ	LOM-HSP000	MYH10	9.71
BN7SN4	XZ	NOR-CNP196	MYH10	9.31	BO7SN4	XZ	NOR-CNP196	MYH10	8.06
BN7SN4	XZ	NOR-MUL009	MYH10	12.57	BO7SN4	XZ	NOR-MUL009	MYH10	9.36
BN7SN4	XZ	NOR-MUL279	MYH10	13.02	BO7SN4	XZ	NOR-MUL279	MYH10	11.43
BN7SN4	XZ	NOR-ORR090	MYH10	11.89	BO7SN4	XZ	NOR-ORR090	MYH10	7.72
BN7SN4	XZ	NOR-ORR360	MYH10	23.67	BO7SN4	XZ	NOR-ORR360	MYH10	22.30
BN7SN4	XZ	NOR-SAT180	MYH10	11.78	BO7SN4	XZ	NOR-SAT180	MYH10	9.53
BN7SN4	XZ	NOR-WPI316	MYH10	7.45	BO7SN4	XZ	NOR-WPI316	MYH10	7.22
BN7SN4	YZ	CHI-CHY28N	MYH10	25.76	BO7SN4	YZ	CHI-CHY28N	MYH10	20.75
BN7SN4	YZ	CHI-TCU067N	MYH10	7.23	BO7SN4	YZ	CHI-TCU067N	MYH10	6.54
BN7SN4	YZ	CHI-TCU071N	MYH10	6.58	BO7SN4	YZ	CHI-TCU071N	MYH10	6.24
BN7SN4	YZ	CHI-TCU101-W	MYH10	4.65	BO7SN4	YZ	CHI-TCU101-W	MYH10	4.09
BN7SN4	YZ	CHI-TCU110-W	MYH10	3.63	BO7SN4	YZ	CHI-TCU110-W	MYH10	4.17
BN7SN4	YZ	CHI-TCU128-N	MYH10	3.81	BO7SN4	YZ	CHI-TCU128-N	MYH10	3.22
BN7SN4	YZ	CHI-WGK-E	MYH10	5.89	BO7SN4	YZ	CHI-WGK-E	MYH10	3.81
BN7SN4	YZ	CHI-WNTE	MYH10	8.21	BO7SN4	YZ	CHI-WNTE	MYH10	8.31
BN7SN4	YZ	DZC-BOL000	MYH10	13.14	BO7SN4	YZ	DZC-BOL000	MYH10	10.70
BN7SN4	YZ	DZC-BOL090	MYH10	22.56	BO7SN4	YZ	DZC-BOL090	MYH10	23.70
BN7SN4	YZ	GAZ-KAR000	MYH10	8.84	BO7SN4	YZ	GAZ-KAR000	MYH10	8.87
BN7SN4	YZ	IMP-ECC092	MYH10	6.39	BO7SN4	YZ	IMP-ECC092	MYH10	5.52
BN7SN4	YZ	IMP-ELC3-140	MYH10	8.47	BO7SN4	YZ	IMP-ELC3-140	MYH10	7.05
BN7SN4	YZ	IMP-ELC6-140	MYH10	9.31	BO7SN4	YZ	IMP-ELC6-140	MYH10	7.21
BN7SN4	YZ	IRP-STU270	MYH10	5.33	BO7SN4	YZ	IRP-STU270	MYH10	3.70
BN7SN4	YZ	KOB-TAK000	MYH10	16.23	BO7SN4	YZ	KOB-TAK000	MYH10	12.92
BN7SN4	YZ	KOC-DZC180	MYH10	7.67	BO7SN4	YZ	KOC-DZC180	MYH10	5.83
BN7SN4	YZ	KOC-GBZ000	MYH10	6.40	BO7SN4	YZ	KOC-GBZ000	MYH10	5.25
BN7SN4	YZ	KOC-YAR060	MYH10	6.33	BO7SN4	YZ	KOC-YAR060	MYH10	4.30
BN7SN4	YZ	LAN-YER270	MYH10	6.36	BO7SN4	YZ	LAN-YER270	MYH10	7.10
BN7SN4	YZ	LOM-BRN000	MYH10	9.13	BO7SN4	YZ	LOM-BRN000	MYH10	9.97
BN7SN4	YZ	LOM-G03090	MYH10	6.50	BO7SN4	YZ	LOM-G03090	MYH10	6.72
BN7SN4	YZ	LOM-HSP000	MYH10	14.19	BO7SN4	YZ	LOM-HSP000	MYH10	11.80
BN7SN4	YZ	NOR-CNP196	MYH10	9.89	BO7SN4	YZ	NOR-CNP196	MYH10	7.26
BN7SN4	YZ	NOR-MUL009	MYH10	11.44	BO7SN4	YZ	NOR-MUL009	MYH10	10.37
BN7SN4	YZ	NOR-MUL279	MYH10	14.15	BO7SN4	YZ	NOR-MUL279	MYH10	17.26
BN7SN4	YZ	NOR-ORR090	MYH10	12.51	BO7SN4	YZ	NOR-ORR090	MYH10	11.17
BN7SN4	YZ	NOR-ORR360	MYH10	23.61	BO7SN4	YZ	NOR-ORR360	MYH10	22.84
BN7SN4	YZ	NOR-SAT180	MYH10	13.63	BO7SN4	YZ	NOR-SAT180	MYH10	11.71
BN7SN4	YZ	NOR-WPI316	MYH10	6.95	BO7SN4	YZ	NOR-WPI316	MYH10	7.48
BN7SN4	XZ	CHI-CHY28W	MYH11	13.17	BO7SN4	XZ	CHI-CHY28W	MYH11	8.43
BN7SN4	XZ	CHI-CHY101W	MYH11	6.78	BO7SN4	XZ	CHI-CHY101W	MYH11	2.85
BN7SN4	XZ	CHI-TCU063N	MYH11	3.24	BO7SN4	XZ	CHI-TCU063N	MYH11	2.01
BN7SN4	XZ	CHI-TCU072W	MYH11	9.95	BO7SN4	XZ	CHI-TCU072W	MYH11	9.21
BN7SN4	XZ	CHI-TCU74W	MYH11	14.07	BO7SN4	XZ	CHI-TCU74W	MYH11	14.60
BN7SN4	XZ	CHI-TCU128-W	MYH11	2.78	BO7SN4	XZ	CHI-TCU128-W	MYH11	1.77
BN7SN4	XZ	CHI-WGK-N	MYH11	12.27	BO7SN4	XZ	CHI-WGK-N	MYH11	10.94
BN7SN4	XZ	COA-PLE045	MYH11	19.48	BO7SN4	XZ	COA-PLE045	MYH11	17.66
BN7SN4	XZ	DZC-BOL000	MYH11	12.64	BO7SN4	XZ	DZC-BOL000	MYH11	12.34
BN7SN4	XZ	DZC-BOL090	MYH11	27.07	BO7SN4	XZ	DZC-BOL090	MYH11	22.52
BN7SN4	XZ	DZC-DZC180	MYH11	15.06	BO7SN4	XZ	DZC-DZC180	MYH11	9.81
BN7SN4	XZ	GAZ-KAR000	MYH11	10.23	BO7SN4	XZ	GAZ-KAR000	MYH11	8.46
BN7SN4	XZ	GAZ-KAR090	MYH11	10.57	BO7SN4	XZ	GAZ-KAR090	MYH11	9.52
BN7SN4	XZ	IMP-ECC092	MYH11	7.74	BO7SN4	XZ	IMP-ECC092	MYH11	3.48
BN7SN4	XZ	IMP-ECM000	MYH11	9.54	BO7SN4	XZ	IMP-ECM000	MYH11	6.09
BN7SN4	XZ	IMP-ELCD-270	MYH11	7.46	BO7SN4	XZ	IMP-ELCD-270	MYH11	5.33
BN7SN4	XZ	IRP-STU270	MYH11	6.57	BO7SN4	XZ	IRP-STU270	MYH11	3.36
BN7SN4	XZ	KOB-KJM090	MYH11	19.70	BO7SN4	XZ	KOB-KJM090	MYH11	20.28
BN7SN4	XZ	KOC-DZC180	MYH11	8.86	BO7SN4	XZ	KOC-DZC180	MYH11	4.34

Tablo C.1 (devam): Mevcut binalara ait yerdeğiştirme talepleri

Bina Adı	Analiz Yönü	İvme Kaydı	MYH Grup No	Δ_d (cm)	Bina Adı	Analiz Yönü	İvme Kaydı	MYH Grup No	Δ_d (cm)
BN7SN4	XZ	KOC-GBZ000	MYH11	6.69	BO7SN4	XZ	KOC-GBZ000	MYH11	5.90
BN7SN4	XZ	KOC-YAR060	MYH11	6.74	BO7SN4	XZ	KOC-YAR060	MYH11	4.47
BN7SN4	XZ	LOM-HSP000	MYH11	16.06	BO7SN4	XZ	LOM-HSP000	MYH11	10.68
BN7SN4	XZ	LOM-WVC270	MYH11	9.35	BO7SN4	XZ	LOM-WVC270	MYH11	6.50
BN7SN4	XZ	NOR-CNP196	MYH11	10.27	BO7SN4	XZ	NOR-CNP196	MYH11	8.07
BN7SN4	XZ	NOR-MUL009	MYH11	13.52	BO7SN4	XZ	NOR-MUL009	MYH11	10.09
BN7SN4	XZ	NOR-MUL279	MYH11	15.63	BO7SN4	XZ	NOR-MUL279	MYH11	13.15
BN7SN4	XZ	NOR-ORR360	MYH11	26.58	BO7SN4	XZ	NOR-ORR360	MYH11	26.49
BN7SN4	XZ	NOR-RRS318	MYH11	10.35	BO7SN4	XZ	NOR-RRS318	MYH11	8.12
BN7SN4	XZ	NOR-SAT180	MYH11	12.25	BO7SN4	XZ	NOR-SAT180	MYH11	10.32
BN7SN4	XZ	NPAL-NPS210	MYH11	10.48	BO7SN4	XZ	NPAL-NPS210	MYH11	5.97
BN7SN4	YZ	CHI-CHY28W	MYH11	10.29	BO7SN4	YZ	CHI-CHY28W	MYH11	10.37
BN7SN4	YZ	CHI-CHY101W	MYH11	5.74	BO7SN4	YZ	CHI-CHY101W	MYH11	3.85
BN7SN4	YZ	CHI-TCU063N	MYH11	3.25	BO7SN4	YZ	CHI-TCU063N	MYH11	2.12
BN7SN4	YZ	CHI-TCU072W	MYH11	11.12	BO7SN4	YZ	CHI-TCU072W	MYH11	10.38
BN7SN4	YZ	CHI-TCU74W	MYH11	15.73	BO7SN4	YZ	CHI-TCU74W	MYH11	16.66
BN7SN4	YZ	CHI-TCU128-W	MYH11	2.44	BO7SN4	YZ	CHI-TCU128-W	MYH11	2.54
BN7SN4	YZ	CHI-WGK-N	MYH11	9.02	BO7SN4	YZ	CHI-WGK-N	MYH11	10.78
BN7SN4	YZ	COA-PLE045	MYH11	22.00	BO7SN4	YZ	COA-PLE045	MYH11	16.03
BN7SN4	YZ	DZC-BOL000	MYH11	13.94	BO7SN4	YZ	DZC-BOL000	MYH11	12.14
BN7SN4	YZ	DZC-BOL090	MYH11	26.03	BO7SN4	YZ	DZC-BOL090	MYH11	25.16
BN7SN4	YZ	DZC-DZC180	MYH11	15.80	BO7SN4	YZ	DZC-DZC180	MYH11	14.12
BN7SN4	YZ	GAZ-KAR000	MYH11	9.89	BO7SN4	YZ	GAZ-KAR000	MYH11	9.88
BN7SN4	YZ	GAZ-KAR090	MYH11	11.20	BO7SN4	YZ	GAZ-KAR090	MYH11	10.48
BN7SN4	YZ	IMP-ECC092	MYH11	6.88	BO7SN4	YZ	IMP-ECC092	MYH11	5.99
BN7SN4	YZ	IMP-ECM000	MYH11	9.17	BO7SN4	YZ	IMP-ECM000	MYH11	10.72
BN7SN4	YZ	IMP-ELCD-270	MYH11	5.48	BO7SN4	YZ	IMP-ELCD-270	MYH11	5.91
BN7SN4	YZ	IRP-STU270	MYH11	5.77	BO7SN4	YZ	IRP-STU270	MYH11	4.62
BN7SN4	YZ	KOB-KJM090	MYH11	21.29	BO7SN4	YZ	KOB-KJM090	MYH11	21.68
BN7SN4	YZ	KOC-DZC180	MYH11	8.37	BO7SN4	YZ	KOC-DZC180	MYH11	6.13
BN7SN4	YZ	KOC-GBZ000	MYH11	7.02	BO7SN4	YZ	KOC-GBZ000	MYH11	5.92
BN7SN4	YZ	KOC-YAR060	MYH11	6.75	BO7SN4	YZ	KOC-YAR060	MYH11	4.56
BN7SN4	YZ	LOM-HSP000	MYH11	15.05	BO7SN4	YZ	LOM-HSP000	MYH11	13.30
BN7SN4	YZ	LOM-WVC270	MYH11	8.09	BO7SN4	YZ	LOM-WVC270	MYH11	9.16
BN7SN4	YZ	NOR-CNP196	MYH11	10.86	BO7SN4	YZ	NOR-CNP196	MYH11	7.95
BN7SN4	YZ	NOR-MUL009	MYH11	12.49	BO7SN4	YZ	NOR-MUL009	MYH11	11.81
BN7SN4	YZ	NOR-MUL279	MYH11	16.70	BO7SN4	YZ	NOR-MUL279	MYH11	19.60
BN7SN4	YZ	NOR-ORR360	MYH11	27.44	BO7SN4	YZ	NOR-ORR360	MYH11	25.54
BN7SN4	YZ	NOR-RRS318	MYH11	9.68	BO7SN4	YZ	NOR-RRS318	MYH11	8.86
BN7SN4	YZ	NOR-SAT180	MYH11	14.66	BO7SN4	YZ	NOR-SAT180	MYH11	12.79
BN7SN4	YZ	NPAL-NPS210	MYH11	8.89	BO7SN4	YZ	NPAL-NPS210	MYH11	8.14
BN7SN4	XZ	CHI-TCU065N	MYH12	12.20	BO7SN4	XZ	CHI-TCU065N	MYH12	14.95
BN7SN4	XZ	CHI-TCU067W	MYH12	11.28	BO7SN4	XZ	CHI-TCU067W	MYH12	9.50
BN7SN4	XZ	CHI-TCU102-N	MYH12	5.22	BO7SN4	XZ	CHI-TCU102-N	MYH12	2.60
BN7SN4	XZ	DZC-BOL000	MYH12	14.16	BO7SN4	XZ	DZC-BOL000	MYH12	13.06
BN7SN4	XZ	DZC-BOL090	MYH12	29.92	BO7SN4	XZ	DZC-BOL090	MYH12	24.77
BN7SN4	XZ	DZC-DZC180	MYH12	15.76	BO7SN4	XZ	DZC-DZC180	MYH12	10.71
BN7SN4	XZ	GAZ-KAR090	MYH12	11.22	BO7SN4	XZ	GAZ-KAR090	MYH12	10.63
BN7SN4	XZ	IMP-ECC092	MYH12	8.38	BO7SN4	XZ	IMP-ECC092	MYH12	4.01
BN7SN4	XZ	IMP-ELC4-230	MYH12	4.08	BO7SN4	XZ	IMP-ELC4-230	MYH12	4.95
BN7SN4	XZ	IMP-ELCD-270	MYH12	8.02	BO7SN4	XZ	IMP-ELCD-270	MYH12	6.18
BN7SN4	XZ	IRP-STU270	MYH12	7.03	BO7SN4	XZ	IRP-STU270	MYH12	4.15
BN7SN4	XZ	KOC-DZC180	MYH12	9.50	BO7SN4	XZ	KOC-DZC180	MYH12	4.84
BN7SN4	XZ	KOC-GBZ000	MYH12	7.10	BO7SN4	XZ	KOC-GBZ000	MYH12	6.51
BN7SN4	XZ	KOC-SKR090	MYH12	4.20	BO7SN4	XZ	KOC-SKR090	MYH12	2.42
BN7SN4	XZ	LAN-YER270	MYH12	12.59	BO7SN4	XZ	LAN-YER270	MYH12	8.69
BN7SN4	XZ	LOM-BRN000	MYH12	17.79	BO7SN4	XZ	LOM-BRN000	MYH12	8.45
BN7SN4	XZ	LOM-WVC270	MYH12	10.16	BO7SN4	XZ	LOM-WVC270	MYH12	7.61
BN7SN4	XZ	NOR-CNP196	MYH12	11.33	BO7SN4	XZ	NOR-CNP196	MYH12	8.06

Tablo C.1 (devam): Mevcut binalara ait yerdeğiştirme talepleri

Bina Adı	Analiz Yönü	İvme Kaydı	MYH Grup No	Δ_d (cm)	Bina Adı	Analiz Yönü	İvme Kaydı	MYH Grup No	Δ_d (cm)
BN7SN4	XZ	NOR-MUL009	MYH12	14.47	BO7SN4	XZ	NOR-MUL009	MYH12	10.79
BN7SN4	XZ	NOR-MUL279	MYH12	18.53	BO7SN4	XZ	NOR-MUL279	MYH12	14.94
BN7SN4	XZ	NOR-NEW090	MYH12	16.30	BO7SN4	XZ	NOR-NEW090	MYH12	12.41
BN7SN4	XZ	NOR-PAR-L	MYH12	19.71	BO7SN4	XZ	NOR-PAR-L	MYH12	13.26
BN7SN4	XZ	NOR-RRS318	MYH12	10.88	BO7SN4	XZ	NOR-RRS318	MYH12	8.84
BN7SN4	XZ	NOR-SAT180	MYH12	14.08	BO7SN4	XZ	NOR-SAT180	MYH12	11.08
BN7SN4	XZ	NOR-SCE288	MYH12	10.79	BO7SN4	XZ	NOR-SCE288	MYH12	6.19
BN7SN4	XZ	NOR-SEP360	MYH12	16.76	BO7SN4	XZ	NOR-SEP360	MYH12	11.86
BN7SN4	XZ	NOR-SYL090	MYH12	17.35	BO7SN4	XZ	NOR-SYL090	MYH12	13.90
BN7SN4	XZ	NOR-TAR360	MYH12	14.81	BO7SN4	XZ	NOR-TAR360	MYH12	13.29
BN7SN4	XZ	NOR-WPI316	MYH12	8.84	BO7SN4	XZ	NOR-WPI316	MYH12	9.05
BN7SN4	XZ	PRK-C02065	MYH12	17.85	BO7SN4	XZ	PRK-C02065	MYH12	14.33
BN7SN4	YZ	CHI-TCU065N	MYH12	13.63	BO7SN4	YZ	CHI-TCU065N	MYH12	18.94
BN7SN4	YZ	CHI-TCU067W	MYH12	12.83	BO7SN4	YZ	CHI-TCU067W	MYH12	11.55
BN7SN4	YZ	CHI-TCU102-N	MYH12	4.86	BO7SN4	YZ	CHI-TCU102-N	MYH12	4.98
BN7SN4	YZ	DZC-BOL000	MYH12	14.77	BO7SN4	YZ	DZC-BOL000	MYH12	13.58
BN7SN4	YZ	DZC-BOL090	MYH12	29.81	BO7SN4	YZ	DZC-BOL090	MYH12	26.18
BN7SN4	YZ	DZC-DZC180	MYH12	17.43	BO7SN4	YZ	DZC-DZC180	MYH12	15.01
BN7SN4	YZ	GAZ-KAR090	MYH12	12.18	BO7SN4	YZ	GAZ-KAR090	MYH12	11.68
BN7SN4	YZ	IMP-ECC092	MYH12	7.61	BO7SN4	YZ	IMP-ECC092	MYH12	6.62
BN7SN4	YZ	IMP-ELC4-230	MYH12	4.73	BO7SN4	YZ	IMP-ELC4-230	MYH12	7.65
BN7SN4	YZ	IMP-ELCD-270	MYH12	6.47	BO7SN4	YZ	IMP-ELCD-270	MYH12	6.43
BN7SN4	YZ	IRP-STU270	MYH12	6.19	BO7SN4	YZ	IRP-STU270	MYH12	5.87
BN7SN4	YZ	KOC-DZC180	MYH12	9.13	BO7SN4	YZ	KOC-DZC180	MYH12	6.41
BN7SN4	YZ	KOC-GBZ000	MYH12	7.67	BO7SN4	YZ	KOC-GBZ000	MYH12	6.65
BN7SN4	YZ	KOC-SKR090	MYH12	3.56	BO7SN4	YZ	KOC-SKR090	MYH12	3.43
BN7SN4	YZ	LAN-YER270	MYH12	8.57	BO7SN4	YZ	LAN-YER270	MYH12	9.55
BN7SN4	YZ	LOM-BRN000	MYH12	12.52	BO7SN4	YZ	LOM-BRN000	MYH12	13.69
BN7SN4	YZ	LOM-WVC270	MYH12	9.02	BO7SN4	YZ	LOM-WVC270	MYH12	10.24
BN7SN4	YZ	NOR-CNP196	MYH12	11.83	BO7SN4	YZ	NOR-CNP196	MYH12	8.68
BN7SN4	YZ	NOR-MUL009	MYH12	13.49	BO7SN4	YZ	NOR-MUL009	MYH12	13.10
BN7SN4	YZ	NOR-MUL279	MYH12	19.51	BO7SN4	YZ	NOR-MUL279	MYH12	22.00
BN7SN4	YZ	NOR-NEW090	MYH12	15.17	BO7SN4	YZ	NOR-NEW090	MYH12	13.19
BN7SN4	YZ	NOR-PAR-L	MYH12	18.49	BO7SN4	YZ	NOR-PAR-L	MYH12	18.08
BN7SN4	YZ	NOR-RRS318	MYH12	10.12	BO7SN4	YZ	NOR-RRS318	MYH12	9.64
BN7SN4	YZ	NOR-SAT180	MYH12	15.43	BO7SN4	YZ	NOR-SAT180	MYH12	15.11
BN7SN4	YZ	NOR-SCE288	MYH12	7.16	BO7SN4	YZ	NOR-SCE288	MYH12	9.87
BN7SN4	YZ	NOR-SEP360	MYH12	17.97	BO7SN4	YZ	NOR-SEP360	MYH12	11.95
BN7SN4	YZ	NOR-SYL090	MYH12	17.51	BO7SN4	YZ	NOR-SYL090	MYH12	16.03
BN7SN4	YZ	NOR-TAR360	MYH12	16.46	BO7SN4	YZ	NOR-TAR360	MYH12	18.10
BN7SN4	YZ	NOR-WPI316	MYH12	7.84	BO7SN4	YZ	NOR-WPI316	MYH12	8.78
BN7SN4	YZ	PRK-C02065	MYH12	15.96	BO7SN4	YZ	PRK-C02065	MYH12	18.05
BN8SN4	XZ	CAP-FOR090	MYH1	1.78	BO8SN4	XZ	CAP-FOR090	MYH1	2.06
BN8SN4	XZ	CHI-CHY010-N	MYH1	3.21	BO8SN4	XZ	CHI-CHY010-N	MYH1	3.52
BN8SN4	XZ	CHI-CHY41W	MYH1	3.25	BO8SN4	XZ	CHI-CHY41W	MYH1	5.21
BN8SN4	XZ	CHI-CHY046N	MYH1	1.93	BO8SN4	XZ	CHI-CHY046N	MYH1	3.69
BN8SN4	XZ	CHI-CHY047-E	MYH1	2.58	BO8SN4	XZ	CHI-CHY047-E	MYH1	2.75
BN8SN4	XZ	COA-CAK270	MYH1	2.96	BO8SN4	XZ	COA-CAK270	MYH1	3.89
BN8SN4	XZ	COY-G06320	MYH1	3.94	BO8SN4	XZ	COY-G06320	MYH1	3.45
BN8SN4	XZ	FRI-TMZ000	MYH1	3.57	BO8SN4	XZ	FRI-TMZ000	MYH1	4.35
BN8SN4	XZ	IMP-E12230	MYH1	1.34	BO8SN4	XZ	IMP-E12230	MYH1	2.18
BN8SN4	XZ	IMP-SAH000	MYH1	3.55	BO8SN4	XZ	IMP-SAH000	MYH1	3.64
BN8SN4	XZ	IRP-BIS000	MYH1	1.77	BO8SN4	XZ	IRP-BIS000	MYH1	1.85
BN8SN4	XZ	KOC-IZM180	MYH1	2.66	BO8SN4	XZ	KOC-IZM180	MYH1	3.17
BN8SN4	XZ	LAN-ABY090	MYH1	2.04	BO8SN4	XZ	LAN-ABY090	MYH1	3.04
BN8SN4	XZ	LAN-DSP000	MYH1	1.91	BO8SN4	XZ	LAN-DSP000	MYH1	3.93
BN8SN4	XZ	LIV-DVD246	MYH1	1.93	BO8SN4	XZ	LIV-DVD246	MYH1	2.57
BN8SN4	XZ	LOM-BRK090	MYH1	2.02	BO8SN4	XZ	LOM-BRK090	MYH1	3.55
BN8SN4	XZ	LOM-CLD285	MYH1	3.18	BO8SN4	XZ	LOM-CLD285	MYH1	3.13

Tablo C.1 (devam): Mevcut binalara ait yerdeğiştirme talepleri

Bina Adı	Analiz Yönü	İvme Kaydı	MYH Grup No	Δ_d (cm)	Bina Adı	Analiz Yönü	İvme Kaydı	MYH Grup No	Δ_d (cm)
BN8SN4	XZ	LOM-GGV337	MYH1	3.03	BO8SN4	XZ	LOM-GGV337	MYH1	3.73
BN8SN4	XZ	NOR-CWC270	MYH1	3.73	BO8SN4	XZ	NOR-CWC270	MYH1	4.65
BN8SN4	XZ	NOR-LOS090	MYH1	2.34	BO8SN4	XZ	NOR-LOS090	MYH1	4.25
BN8SN4	XZ	NOR-LOS360	MYH1	2.59	BO8SN4	XZ	NOR-LOS360	MYH1	5.46
BN8SN4	XZ	PRK-CHO355	MYH1	3.81	BO8SN4	XZ	PRK-CHO355	MYH1	3.70
BN8SN4	XZ	PRK-TMB205	MYH1	3.88	BO8SN4	XZ	PRK-TMB205	MYH1	2.90
BN8SN4	XZ	SUP-PLS135	MYH1	3.22	BO8SN4	XZ	SUP-PLS135	MYH1	2.94
BN8SN4	XZ	TAB-DAY-LN	MYH1	2.75	BO8SN4	XZ	TAB-DAY-LN	MYH1	3.58
BN8SN4	XZ	VIC-CPE315	MYH1	3.41	BO8SN4	XZ	VIC-CPE315	MYH1	4.31
BN8SN4	XZ	WHI-ALH180	MYH1	3.82	BO8SN4	XZ	WHI-ALH180	MYH1	4.70
BN8SN4	XZ	WHI-GRN180	MYH1	4.42	BO8SN4	XZ	WHI-GRN180	MYH1	6.07
BN8SN4	XZ	WHI-OBR360	MYH1	3.05	BO8SN4	XZ	WHI-OBR360	MYH1	3.55
BN8SN4	YZ	CAP-FOR090	MYH1	0.76	BO8SN4	YZ	CAP-FOR090	MYH1	1.96
BN8SN4	YZ	CHI-CHY010-N	MYH1	2.25	BO8SN4	YZ	CHI-CHY010-N	MYH1	3.85
BN8SN4	YZ	CHI-CHY41W	MYH1	2.31	BO8SN4	YZ	CHI-CHY41W	MYH1	4.88
BN8SN4	YZ	CHI-CHY046N	MYH1	1.65	BO8SN4	YZ	CHI-CHY046N	MYH1	3.83
BN8SN4	YZ	CHI-CHY047-E	MYH1	1.96	BO8SN4	YZ	CHI-CHY047-E	MYH1	2.59
BN8SN4	YZ	COA-CAK270	MYH1	2.24	BO8SN4	YZ	COA-CAK270	MYH1	3.35
BN8SN4	YZ	COY-G06320	MYH1	3.72	BO8SN4	YZ	COY-G06320	MYH1	3.60
BN8SN4	YZ	FRI-TMZ000	MYH1	2.75	BO8SN4	YZ	FRI-TMZ000	MYH1	3.59
BN8SN4	YZ	IMP-E12230	MYH1	0.86	BO8SN4	YZ	IMP-E12230	MYH1	1.89
BN8SN4	YZ	IMP-SAH000	MYH1	1.21	BO8SN4	YZ	IMP-SAH000	MYH1	3.32
BN8SN4	YZ	IRP-BIS000	MYH1	0.98	BO8SN4	YZ	IRP-BIS000	MYH1	1.86
BN8SN4	YZ	KOC-IZM180	MYH1	1.40	BO8SN4	YZ	KOC-IZM180	MYH1	3.65
BN8SN4	YZ	LAN-ABY090	MYH1	1.22	BO8SN4	YZ	LAN-ABY090	MYH1	2.64
BN8SN4	YZ	LAN-DSP000	MYH1	2.25	BO8SN4	YZ	LAN-DSP000	MYH1	3.46
BN8SN4	YZ	LIV-DVD246	MYH1	1.38	BO8SN4	YZ	LIV-DVD246	MYH1	2.65
BN8SN4	YZ	LOM-BRK090	MYH1	1.13	BO8SN4	YZ	LOM-BRK090	MYH1	3.61
BN8SN4	YZ	LOM-CLD285	MYH1	1.84	BO8SN4	YZ	LOM-CLD285	MYH1	3.06
BN8SN4	YZ	LOM-GGV337	MYH1	2.89	BO8SN4	YZ	LOM-GGV337	MYH1	4.40
BN8SN4	YZ	NOR-CWC270	MYH1	2.34	BO8SN4	YZ	NOR-CWC270	MYH1	4.82
BN8SN4	YZ	NOR-LOS090	MYH1	1.77	BO8SN4	YZ	NOR-LOS090	MYH1	4.58
BN8SN4	YZ	NOR-LOS360	MYH1	2.09	BO8SN4	YZ	NOR-LOS360	MYH1	6.13
BN8SN4	YZ	PRK-CHO355	MYH1	3.01	BO8SN4	YZ	PRK-CHO355	MYH1	3.59
BN8SN4	YZ	PRK-TMB205	MYH1	3.44	BO8SN4	YZ	PRK-TMB205	MYH1	2.91
BN8SN4	YZ	SUP-PLS135	MYH1	1.66	BO8SN4	YZ	SUP-PLS135	MYH1	3.26
BN8SN4	YZ	TAB-DAY-LN	MYH1	2.67	BO8SN4	YZ	TAB-DAY-LN	MYH1	4.19
BN8SN4	YZ	VIC-CPE315	MYH1	1.82	BO8SN4	YZ	VIC-CPE315	MYH1	4.71
BN8SN4	YZ	WHI-ALH180	MYH1	2.40	BO8SN4	YZ	WHI-ALH180	MYH1	3.73
BN8SN4	YZ	WHI-GRN180	MYH1	2.19	BO8SN4	YZ	WHI-GRN180	MYH1	5.06
BN8SN4	YZ	WHI-OBR360	MYH1	1.89	BO8SN4	YZ	WHI-OBR360	MYH1	3.93
BN8SN4	XZ	CHI-TCU141-N	MYH2	1.15	BO8SN4	XZ	CHI-TCU141-N	MYH2	1.88
BN8SN4	XZ	COA-PV1090	MYH2	3.17	BO8SN4	XZ	COA-PV1090	MYH2	3.15
BN8SN4	XZ	COA-Z14090	MYH2	3.87	BO8SN4	XZ	COA-Z14090	MYH2	4.84
BN8SN4	XZ	COY-G02140	MYH2	2.83	BO8SN4	XZ	COY-G02140	MYH2	4.17
BN8SN4	XZ	COY-G03140	MYH2	2.62	BO8SN4	XZ	COY-G03140	MYH2	4.05
BN8SN4	XZ	IMP-AER315	MYH2	3.71	BO8SN4	XZ	IMP-AER315	MYH2	4.45
BN8SN4	XZ	IMP-DLT262	MYH2	4.06	BO8SN4	XZ	IMP-DLT262	MYH2	6.01
BN8SN4	XZ	KOB-KAK090	MYH2	4.51	BO8SN4	XZ	KOB-KAK090	MYH2	4.47
BN8SN4	XZ	KOB-SHI090	MYH2	3.79	BO8SN4	XZ	KOB-SHI090	MYH2	5.75
BN8SN4	XZ	LAN-CLVLN	MYH2	3.95	BO8SN4	XZ	LAN-CLVLN	MYH2	4.19
BN8SN4	XZ	LAN-JOS000	MYH2	4.76	BO8SN4	XZ	LAN-JOS000	MYH2	5.35
BN8SN4	XZ	LOM-CAP090	MYH2	4.03	BO8SN4	XZ	LOM-CAP090	MYH2	8.98
BN8SN4	XZ	LOM-GGV067	MYH2	3.98	BO8SN4	XZ	LOM-GGV067	MYH2	3.91
BN8SN4	XZ	LOM-HSP090	MYH2	3.60	BO8SN4	XZ	LOM-HSP090	MYH2	4.55
BN8SN4	XZ	LOM-SFO000	MYH2	4.16	BO8SN4	XZ	LOM-SFO000	MYH2	4.74
BN8SN4	XZ	LOM-SFO090	MYH2	3.27	BO8SN4	XZ	LOM-SFO090	MYH2	5.94
BN8SN4	XZ	LOM-WAH000	MYH2	3.15	BO8SN4	XZ	LOM-WAH000	MYH2	5.70
BN8SN4	XZ	MAM-LUL000	MYH2	6.35	BO8SN4	XZ	MAM-LUL000	MYH2	5.42

Tablo C.1 (devam): Mevcut binalara ait yerdeğiştirme talepleri

Bina Adı	Analiz Yönü	İvme Kaydı	MYH Grup No	Δ_d (cm)	Bina Adı	Analiz Yönü	İvme Kaydı	MYH Grup No	Δ_d (cm)
BN8SN4	XZ	MOR-AND250	MYH2	4.89	BO8SN4	XZ	MOR-AND250	MYH2	3.46
BN8SN4	XZ	MOR-AND340	MYH2	4.82	BO8SN4	XZ	MOR-AND340	MYH2	7.36
BN8SN4	XZ	NOR-CHL160	MYH2	3.31	BO8SN4	XZ	NOR-CHL160	MYH2	6.98
BN8SN4	XZ	NOR-CWC180	MYH2	1.86	BO8SN4	XZ	NOR-CWC180	MYH2	4.97
BN8SN4	XZ	NOR-SAT090	MYH2	3.53	BO8SN4	XZ	NOR-SAT090	MYH2	5.35
BN8SN4	XZ	NPAL-DSP000	MYH2	3.02	BO8SN4	XZ	NPAL-DSP000	MYH2	5.68
BN8SN4	XZ	PRK-CHO085	MYH2	4.39	BO8SN4	XZ	PRK-CHO085	MYH2	3.80
BN8SN4	XZ	SFD-ORR291	MYH2	3.51	BO8SN4	XZ	SFD-ORR291	MYH2	4.41
BN8SN4	XZ	SPI-GUK000	MYH2	2.62	BO8SN4	XZ	SPI-GUK000	MYH2	3.69
BN8SN4	XZ	TAB-DAY-TR	MYH2	4.10	BO8SN4	XZ	TAB-DAY-TR	MYH2	5.30
BN8SN4	XZ	WES-PTS315	MYH2	3.12	BO8SN4	XZ	WES-PTS315	MYH2	5.01
BN8SN4	XZ	WHI-DEL000	MYH2	4.13	BO8SN4	XZ	WHI-DEL000	MYH2	6.75
BN8SN4	XZ	WHI-DWN180	MYH2	3.14	BO8SN4	XZ	WHI-DWN180	MYH2	7.41
BN8SN4	YZ	CHI-TCU141-N	MYH2	0.67	BO8SN4	YZ	CHI-TCU141-N	MYH2	1.86
BN8SN4	YZ	COA-PV1090	MYH2	1.96	BO8SN4	YZ	COA-PV1090	MYH2	3.47
BN8SN4	YZ	COA-Z14090	MYH2	3.01	BO8SN4	YZ	COA-Z14090	MYH2	5.75
BN8SN4	YZ	COY-G02140	MYH2	3.32	BO8SN4	YZ	COY-G02140	MYH2	4.71
BN8SN4	YZ	COY-G03140	MYH2	2.12	BO8SN4	YZ	COY-G03140	MYH2	3.81
BN8SN4	YZ	IMP-AER315	MYH2	1.66	BO8SN4	YZ	IMP-AER315	MYH2	4.54
BN8SN4	YZ	IMP-DLT262	MYH2	2.14	BO8SN4	YZ	IMP-DLT262	MYH2	5.47
BN8SN4	YZ	KOB-KAK090	MYH2	2.69	BO8SN4	YZ	KOB-KAK090	MYH2	3.57
BN8SN4	YZ	KOB-SHI090	MYH2	1.83	BO8SN4	YZ	KOB-SHI090	MYH2	6.45
BN8SN4	YZ	LAN-CLVLN	MYH2	2.99	BO8SN4	YZ	LAN-CLVLN	MYH2	4.99
BN8SN4	YZ	LAN-JOS000	MYH2	2.12	BO8SN4	YZ	LAN-JOS000	MYH2	7.30
BN8SN4	YZ	LOM-CAP090	MYH2	3.58	BO8SN4	YZ	LOM-CAP090	MYH2	6.24
BN8SN4	YZ	LOM-GGV067	MYH2	3.06	BO8SN4	YZ	LOM-GGV067	MYH2	3.86
BN8SN4	YZ	LOM-HSP090	MYH2	1.56	BO8SN4	YZ	LOM-HSP090	MYH2	5.08
BN8SN4	YZ	LOM-SFO000	MYH2	2.53	BO8SN4	YZ	LOM-SFO000	MYH2	4.68
BN8SN4	YZ	LOM-SFO090	MYH2	3.20	BO8SN4	YZ	LOM-SFO090	MYH2	7.14
BN8SN4	YZ	LOM-WAH000	MYH2	3.04	BO8SN4	YZ	LOM-WAH000	MYH2	7.38
BN8SN4	YZ	MAM-LUL000	MYH2	3.64	BO8SN4	YZ	MAM-LUL000	MYH2	5.29
BN8SN4	YZ	MOR-AND250	MYH2	2.91	BO8SN4	YZ	MOR-AND250	MYH2	3.25
BN8SN4	YZ	MOR-AND340	MYH2	2.75	BO8SN4	YZ	MOR-AND340	MYH2	8.71
BN8SN4	YZ	NOR-CHL160	MYH2	2.00	BO8SN4	YZ	NOR-CHL160	MYH2	5.66
BN8SN4	YZ	NOR-CWC180	MYH2	1.78	BO8SN4	YZ	NOR-CWC180	MYH2	3.76
BN8SN4	YZ	NOR-SAT090	MYH2	3.23	BO8SN4	YZ	NOR-SAT090	MYH2	7.03
BN8SN4	YZ	NPAL-DSP000	MYH2	2.32	BO8SN4	YZ	NPAL-DSP000	MYH2	6.48
BN8SN4	YZ	PRK-CHO085	MYH2	4.09	BO8SN4	YZ	PRK-CHO085	MYH2	3.37
BN8SN4	YZ	SFD-ORR291	MYH2	1.96	BO8SN4	YZ	SFD-ORR291	MYH2	5.21
BN8SN4	YZ	SPI-GUK000	MYH2	1.81	BO8SN4	YZ	SPI-GUK000	MYH2	3.73
BN8SN4	YZ	TAB-DAY-TR	MYH2	3.05	BO8SN4	YZ	TAB-DAY-TR	MYH2	5.07
BN8SN4	YZ	WES-PTS315	MYH2	1.48	BO8SN4	YZ	WES-PTS315	MYH2	5.14
BN8SN4	YZ	WHI-DEL000	MYH2	1.80	BO8SN4	YZ	WHI-DEL000	MYH2	6.40
BN8SN4	YZ	WHI-DWN180	MYH2	2.13	BO8SN4	YZ	WHI-DWN180	MYH2	6.82
BN8SN4	XZ	CAP-FOR000	MYH3	2.03	BO8SN4	XZ	CAP-FOR000	MYH3	2.43
BN8SN4	XZ	CHI-CHY29W	MYH3	4.99	BO8SN4	XZ	CHI-CHY29W	MYH3	6.50
BN8SN4	XZ	CHI-TCU046N	MYH3	1.32	BO8SN4	XZ	CHI-TCU046N	MYH3	2.30
BN8SN4	XZ	CHI-TCU112-N	MYH3	1.29	BO8SN4	XZ	CHI-TCU112-N	MYH3	1.47
BN8SN4	XZ	CHI-TCU118-N	MYH3	1.73	BO8SN4	XZ	CHI-TCU118-N	MYH3	3.17
BN8SN4	XZ	FRI-TMZ270	MYH3	4.97	BO8SN4	XZ	FRI-TMZ270	MYH3	7.12
BN8SN4	XZ	IMP-ELC2-140	MYH3	4.02	BO8SN4	XZ	IMP-ELC2-140	MYH3	5.17
BN8SN4	XZ	IMP-ELC11-140	MYH3	3.77	BO8SN4	XZ	IMP-ELC11-140	MYH3	5.11
BN8SN4	XZ	IMP-SAH270	MYH3	5.48	BO8SN4	XZ	IMP-SAH270	MYH3	5.71
BN8SN4	XZ	KOC-AMB090	MYH3	3.27	BO8SN4	XZ	KOC-AMB090	MYH3	4.68
BN8SN4	XZ	KOC-GBZ270	MYH3	2.72	BO8SN4	XZ	KOC-GBZ270	MYH3	2.57
BN8SN4	XZ	KOC-IZM090	MYH3	2.20	BO8SN4	XZ	KOC-IZM090	MYH3	4.49
BN8SN4	XZ	LAN-LUC000	MYH3	3.16	BO8SN4	XZ	LAN-LUC000	MYH3	5.28
BN8SN4	XZ	LAN-YER360	MYH3	2.49	BO8SN4	XZ	LAN-YER360	MYH3	2.74
BN8SN4	XZ	LOM-A02133	MYH3	2.31	BO8SN4	XZ	LOM-A02133	MYH3	7.85

Tablo C.1 (devam): Mevcut binalara ait yerdeğiştirme talepleri

Bina Adı	Analiz Yönü	İvme Kaydı	MYH Grup No	Δ_d (cm)	Bina Adı	Analiz Yönü	İvme Kaydı	MYH Grup No	Δ_d (cm)
BN8SN4	XZ	LOM-G01000	MYH3	4.15	BO8SN4	XZ	LOM-G01000	MYH3	3.09
BN8SN4	XZ	LOM-G01090	MYH3	5.54	BO8SN4	XZ	LOM-G01090	MYH3	5.02
BN8SN4	XZ	LOM-G02000	MYH3	4.49	BO8SN4	XZ	LOM-G02000	MYH3	8.04
BN8SN4	XZ	LOM-TRI090	MYH3	2.09	BO8SN4	XZ	LOM-TRI090	MYH3	5.26
BN8SN4	XZ	MAM-LUL090	MYH3	4.29	BO8SN4	XZ	MAM-LUL090	MYH3	6.81
BN8SN4	XZ	NOR-CNP106	MYH3	4.24	BO8SN4	XZ	NOR-CNP106	MYH3	8.65
BN8SN4	XZ	NOR-PAC265	MYH3	5.14	BO8SN4	XZ	NOR-PAC265	MYH3	5.14
BN8SN4	XZ	NOR-PKC090	MYH3	5.18	BO8SN4	XZ	NOR-PKC090	MYH3	8.71
BN8SN4	XZ	NOR-WIL180	MYH3	3.31	BO8SN4	XZ	NOR-WIL180	MYH3	6.22
BN8SN4	XZ	NPAL-MVH045	MYH3	2.58	BO8SN4	XZ	NPAL-MVH045	MYH3	4.41
BN8SN4	XZ	NPAL-NPS300	MYH3	4.94	BO8SN4	XZ	NPAL-NPS300	MYH3	4.90
BN8SN4	XZ	NPAL-WWT270	MYH3	5.70	BO8SN4	XZ	NPAL-WWT270	MYH3	8.02
BN8SN4	XZ	SUP-IVW090	MYH3	2.00	BO8SN4	XZ	SUP-IVW090	MYH3	3.39
BN8SN4	XZ	SUP-IVW360	MYH3	3.08	BO8SN4	XZ	SUP-IVW360	MYH3	4.33
BN8SN4	XZ	SUP-KRN360	MYH3	2.10	BO8SN4	XZ	SUP-KRN360	MYH3	3.38
BN8SN4	XZ	SUP-POE360	MYH3	3.70	BO8SN4	XZ	SUP-POE360	MYH3	5.28
BN8SN4	XZ	SUP-SUP045	MYH3	4.43	BO8SN4	XZ	SUP-SUP045	MYH3	6.80
BN8SN4	XZ	VIC-CPE045	MYH3	7.00	BO8SN4	XZ	VIC-CPE045	MYH3	7.29
BN8SN4	XZ	WHI-OR2010	MYH3	3.26	BO8SN4	XZ	WHI-OR2010	MYH3	7.41
BN8SN4	YZ	CAP-FOR000	MYH3	0.69	BO8SN4	YZ	CAP-FOR000	MYH3	2.45
BN8SN4	YZ	CHI-CHY29W	MYH3	1.70	BO8SN4	YZ	CHI-CHY29W	MYH3	6.61
BN8SN4	YZ	CHI-TCU046N	MYH3	1.09	BO8SN4	YZ	CHI-TCU046N	MYH3	2.21
BN8SN4	YZ	CHI-TCU112-N	MYH3	0.66	BO8SN4	YZ	CHI-TCU112-N	MYH3	1.55
BN8SN4	YZ	CHI-TCU118-N	MYH3	1.02	BO8SN4	YZ	CHI-TCU118-N	MYH3	2.96
BN8SN4	YZ	FRI-TMZ270	MYH3	3.10	BO8SN4	YZ	FRI-TMZ270	MYH3	7.37
BN8SN4	YZ	IMP-ELC2-140	MYH3	2.42	BO8SN4	YZ	IMP-ELC2-140	MYH3	5.05
BN8SN4	YZ	IMP-ELC11-140	MYH3	2.47	BO8SN4	YZ	IMP-ELC11-140	MYH3	5.37
BN8SN4	YZ	IMP-SAH270	MYH3	3.91	BO8SN4	YZ	IMP-SAH270	MYH3	6.11
BN8SN4	YZ	KOC-AMB090	MYH3	2.08	BO8SN4	YZ	KOC-AMB090	MYH3	5.25
BN8SN4	YZ	KOC-GBZ270	MYH3	1.07	BO8SN4	YZ	KOC-GBZ270	MYH3	2.60
BN8SN4	YZ	KOC-IZM090	MYH3	1.84	BO8SN4	YZ	KOC-IZM090	MYH3	4.86
BN8SN4	YZ	LAN-LUC000	MYH3	2.80	BO8SN4	YZ	LAN-LUC000	MYH3	4.41
BN8SN4	YZ	LAN-YER360	MYH3	1.54	BO8SN4	YZ	LAN-YER360	MYH3	2.82
BN8SN4	YZ	LOM-A02133	MYH3	1.01	BO8SN4	YZ	LOM-A02133	MYH3	7.92
BN8SN4	YZ	LOM-G01000	MYH3	3.95	BO8SN4	YZ	LOM-G01000	MYH3	3.20
BN8SN4	YZ	LOM-G01090	MYH3	4.57	BO8SN4	YZ	LOM-G01090	MYH3	5.26
BN8SN4	YZ	LOM-G02000	MYH3	3.47	BO8SN4	YZ	LOM-G02000	MYH3	9.60
BN8SN4	YZ	LOM-TRI090	MYH3	1.93	BO8SN4	YZ	LOM-TRI090	MYH3	6.78
BN8SN4	YZ	MAM-LUL090	MYH3	2.09	BO8SN4	YZ	MAM-LUL090	MYH3	8.41
BN8SN4	YZ	NOR-CNP106	MYH3	2.45	BO8SN4	YZ	NOR-CNP106	MYH3	6.63
BN8SN4	YZ	NOR-PAC265	MYH3	3.22	BO8SN4	YZ	NOR-PAC265	MYH3	6.38
BN8SN4	YZ	NOR-PKC090	MYH3	2.34	BO8SN4	YZ	NOR-PKC090	MYH3	6.14
BN8SN4	YZ	NOR-WIL180	MYH3	1.71	BO8SN4	YZ	NOR-WIL180	MYH3	8.11
BN8SN4	YZ	NPAL-MVH045	MYH3	1.89	BO8SN4	YZ	NPAL-MVH045	MYH3	5.89
BN8SN4	YZ	NPAL-NPS300	MYH3	4.82	BO8SN4	YZ	NPAL-NPS300	MYH3	4.49
BN8SN4	YZ	NPAL-WWT270	MYH3	4.03	BO8SN4	YZ	NPAL-WWT270	MYH3	7.00
BN8SN4	YZ	SUP-IVW090	MYH3	1.29	BO8SN4	YZ	SUP-IVW090	MYH3	3.39
BN8SN4	YZ	SUP-IVW360	MYH3	2.49	BO8SN4	YZ	SUP-IVW360	MYH3	5.07
BN8SN4	YZ	SUP-KRN360	MYH3	1.05	BO8SN4	YZ	SUP-KRN360	MYH3	3.64
BN8SN4	YZ	SUP-POE360	MYH3	2.74	BO8SN4	YZ	SUP-POE360	MYH3	5.70
BN8SN4	YZ	SUP-SUP045	MYH3	3.13	BO8SN4	YZ	SUP-SUP045	MYH3	6.17
BN8SN4	YZ	VIC-CPE045	MYH3	3.28	BO8SN4	YZ	VIC-CPE045	MYH3	9.50
BN8SN4	YZ	WHI-OR2010	MYH3	2.24	BO8SN4	YZ	WHI-OR2010	MYH3	9.08
BN8SN4	XZ	CHI-CHY29N	MYH4	3.85	BO8SN4	XZ	CHI-CHY29N	MYH4	6.19
BN8SN4	XZ	CHI-CHY036W	MYH4	4.56	BO8SN4	XZ	CHI-CHY036W	MYH4	8.12
BN8SN4	XZ	CHI-CHY41N	MYH4	7.32	BO8SN4	XZ	CHI-CHY41N	MYH4	6.29
BN8SN4	XZ	CHI-TCU45N	MYH4	6.54	BO8SN4	XZ	CHI-TCU45N	MYH4	6.60
BN8SN4	XZ	CHI-TCU45W	MYH4	6.25	BO8SN4	XZ	CHI-TCU45W	MYH4	7.71
BN8SN4	XZ	CHI-TCU51N	MYH4	2.56	BO8SN4	XZ	CHI-TCU51N	MYH4	5.96

Tablo C.1 (devam): Mevcut binalara ait yerdeğiştirme talepleri

Bina Adı	Analiz Yönü	İvme Kaydı	MYH Grup No	Δ_d (cm)	Bina Adı	Analiz Yönü	İvme Kaydı	MYH Grup No	Δ_d (cm)
BN8SN4	XZ	COA-PLE135	MYH4	5.70	BO8SN4	XZ	COA-PLE135	MYH4	8.01
BN8SN4	XZ	IMP-BRA225	MYH4	1.04	BO8SN4	XZ	IMP-BRA225	MYH4	1.59
BN8SN4	XZ	IMP-BRA315	MYH4	3.30	BO8SN4	XZ	IMP-BRA315	MYH4	4.57
BN8SN4	XZ	IMP-ECC002	MYH4	3.66	BO8SN4	XZ	IMP-ECC002	MYH4	4.78
BN8SN4	XZ	IMP-ELC4-140	MYH4	4.16	BO8SN4	XZ	IMP-ELC4-140	MYH4	13.00
BN8SN4	XZ	IRP-STU000	MYH4	3.65	BO8SN4	XZ	IRP-STU000	MYH4	5.77
BN8SN4	XZ	KOB-NIS000	MYH4	6.42	BO8SN4	XZ	KOB-NIS000	MYH4	6.10
BN8SN4	XZ	KOB-NIS090	MYH4	5.25	BO8SN4	XZ	KOB-NIS090	MYH4	8.24
BN8SN4	XZ	KOB-SHI000	MYH4	3.18	BO8SN4	XZ	KOB-SHI000	MYH4	7.40
BN8SN4	XZ	KOC-ARC090	MYH4	1.17	BO8SN4	XZ	KOC-ARC090	MYH4	2.21
BN8SN4	XZ	LOM-G02090	MYH4	4.12	BO8SN4	XZ	LOM-G02090	MYH4	8.40
BN8SN4	XZ	LOM-G03000	MYH4	5.42	BO8SN4	XZ	LOM-G03000	MYH4	5.15
BN8SN4	XZ	LOM-HDA255	MYH4	4.61	BO8SN4	XZ	LOM-HDA255	MYH4	8.99
BN8SN4	XZ	LOM-SVL360	MYH4	2.60	BO8SN4	XZ	LOM-SVL360	MYH4	4.01
BN8SN4	XZ	MOR-G06090	MYH4	3.37	BO8SN4	XZ	MOR-G06090	MYH4	9.51
BN8SN4	XZ	MOR-HAL240	MYH4	4.46	BO8SN4	XZ	MOR-HAL240	MYH4	9.46
BN8SN4	XZ	NOR-KAT090	MYH4	7.66	BO8SN4	XZ	NOR-KAT090	MYH4	7.84
BN8SN4	XZ	NOR-SCR090	MYH4	4.15	BO8SN4	XZ	NOR-SCR090	MYH4	6.22
BN8SN4	XZ	NOR-STN020	MYH4	6.38	BO8SN4	XZ	NOR-STN020	MYH4	8.63
BN8SN4	XZ	NPAL-WWT180	MYH4	5.63	BO8SN4	XZ	NPAL-WWT180	MYH4	6.64
BN8SN4	XZ	SUP-POE270	MYH4	5.66	BO8SN4	XZ	SUP-POE270	MYH4	8.79
BN8SN4	XZ	WES-PTS225	MYH4	3.58	BO8SN4	XZ	WES-PTS225	MYH4	6.44
BN8SN4	XZ	WHI-BIR180	MYH4	5.19	BO8SN4	XZ	WHI-BIR180	MYH4	10.60
BN8SN4	XZ	WHI-EJS048	MYH4	5.74	BO8SN4	XZ	WHI-EJS048	MYH4	7.15
BN8SN4	YZ	CHI-CHY29N	MYH4	1.65	BO8SN4	YZ	CHI-CHY29N	MYH4	6.94
BN8SN4	YZ	CHI-CHY036W	MYH4	1.69	BO8SN4	YZ	CHI-CHY036W	MYH4	10.05
BN8SN4	YZ	CHI-CHY41N	MYH4	6.41	BO8SN4	YZ	CHI-CHY41N	MYH4	10.07
BN8SN4	YZ	CHI-TCU45N	MYH4	3.54	BO8SN4	YZ	CHI-TCU45N	MYH4	6.45
BN8SN4	YZ	CHI-TCU45W	MYH4	4.70	BO8SN4	YZ	CHI-TCU45W	MYH4	6.11
BN8SN4	YZ	CHI-TCU51N	MYH4	1.34	BO8SN4	YZ	CHI-TCU51N	MYH4	5.25
BN8SN4	YZ	COA-PLE135	MYH4	4.68	BO8SN4	YZ	COA-PLE135	MYH4	8.91
BN8SN4	YZ	IMP-BRA225	MYH4	0.95	BO8SN4	YZ	IMP-BRA225	MYH4	1.51
BN8SN4	YZ	IMP-BRA315	MYH4	2.07	BO8SN4	YZ	IMP-BRA315	MYH4	4.35
BN8SN4	YZ	IMP-ECC002	MYH4	1.61	BO8SN4	YZ	IMP-ECC002	MYH4	5.36
BN8SN4	YZ	IMP-ELC4-140	MYH4	4.39	BO8SN4	YZ	IMP-ELC4-140	MYH4	12.27
BN8SN4	YZ	IRP-STU000	MYH4	2.94	BO8SN4	YZ	IRP-STU000	MYH4	6.09
BN8SN4	YZ	KOB-NIS000	MYH4	4.13	BO8SN4	YZ	KOB-NIS000	MYH4	8.05
BN8SN4	YZ	KOB-NIS090	MYH4	3.76	BO8SN4	YZ	KOB-NIS090	MYH4	8.20
BN8SN4	YZ	KOB-SHI000	MYH4	2.05	BO8SN4	YZ	KOB-SHI000	MYH4	5.98
BN8SN4	YZ	KOC-ARC090	MYH4	0.98	BO8SN4	YZ	KOC-ARC090	MYH4	1.93
BN8SN4	YZ	LOM-G02090	MYH4	2.87	BO8SN4	YZ	LOM-G02090	MYH4	10.00
BN8SN4	YZ	LOM-G03000	MYH4	4.66	BO8SN4	YZ	LOM-G03000	MYH4	6.95
BN8SN4	YZ	LOM-HDA255	MYH4	2.71	BO8SN4	YZ	LOM-HDA255	MYH4	8.01
BN8SN4	YZ	LOM-SVL360	MYH4	2.02	BO8SN4	YZ	LOM-SVL360	MYH4	3.35
BN8SN4	YZ	MOR-G06090	MYH4	2.11	BO8SN4	YZ	MOR-G06090	MYH4	8.53
BN8SN4	YZ	MOR-HAL240	MYH4	2.15	BO8SN4	YZ	MOR-HAL240	MYH4	10.78
BN8SN4	YZ	NOR-KAT090	MYH4	5.19	BO8SN4	YZ	NOR-KAT090	MYH4	11.67
BN8SN4	YZ	NOR-SCR090	MYH4	3.81	BO8SN4	YZ	NOR-SCR090	MYH4	4.45
BN8SN4	YZ	NOR-STN020	MYH4	3.40	BO8SN4	YZ	NOR-STN020	MYH4	7.73
BN8SN4	YZ	NPAL-WWT180	MYH4	3.26	BO8SN4	YZ	NPAL-WWT180	MYH4	8.37
BN8SN4	YZ	SUP-POE270	MYH4	2.91	BO8SN4	YZ	SUP-POE270	MYH4	6.96
BN8SN4	YZ	WES-PTS225	MYH4	1.81	BO8SN4	YZ	WES-PTS225	MYH4	7.03
BN8SN4	YZ	WHI-BIR180	MYH4	3.17	BO8SN4	YZ	WHI-BIR180	MYH4	8.71
BN8SN4	YZ	WHI-EJS048	MYH4	2.74	BO8SN4	YZ	WHI-EJS048	MYH4	6.32
BN8SN4	XZ	CAP-RIO270	MYH5	4.79	BO8SN4	XZ	CAP-RIO270	MYH5	8.93
BN8SN4	XZ	CAP-RIO360	MYH5	8.15	BO8SN4	XZ	CAP-RIO360	MYH5	7.97
BN8SN4	XZ	CHI-TCU046W	MYH5	1.28	BO8SN4	XZ	CHI-TCU046W	MYH5	2.51
BN8SN4	XZ	CHI-TCU061N	MYH5	2.61	BO8SN4	XZ	CHI-TCU061N	MYH5	3.01
BN8SN4	XZ	CHI-TCU74N	MYH5	5.76	BO8SN4	XZ	CHI-TCU74N	MYH5	9.54

Tablo C.1 (devam): Mevcut binalara ait yerdeğiştirme talepleri

Bina Adı	Analiz Yönü	İvme Kaydı	MYH Grup No	Δ_d (cm)	Bina Adı	Analiz Yönü	İvme Kaydı	MYH Grup No	Δ_d (cm)
BN8SN4	XZ	CHI-TCU112-W	MYH5	1.39	BO8SN4	XZ	CHI-TCU112-W	MYH5	1.77
BN8SN4	XZ	CHI-TCU123-W	MYH5	2.36	BO8SN4	XZ	CHI-TCU123-W	MYH5	4.39
BN8SN4	XZ	CHI-TCU141-E	MYH5	1.38	BO8SN4	XZ	CHI-TCU141-E	MYH5	2.22
BN8SN4	XZ	CHI-WNTN	MYH5	2.93	BO8SN4	XZ	CHI-WNTN	MYH5	8.65
BN8SN4	XZ	COA-Z14000	MYH5	3.86	BO8SN4	XZ	COA-Z14000	MYH5	8.56
BN8SN4	XZ	IMP-AER045	MYH5	3.79	BO8SN4	XZ	IMP-AER045	MYH5	3.99
BN8SN4	XZ	IMP-ELC3-230	MYH5	2.22	BO8SN4	XZ	IMP-ELC3-230	MYH5	3.61
BN8SN4	XZ	IMP-ELC11-230	MYH5	4.52	BO8SN4	XZ	IMP-ELC11-230	MYH5	5.15
BN8SN4	XZ	IMP-ELCD-360	MYH5	5.33	BO8SN4	XZ	IMP-ELCD-360	MYH5	10.83
BN8SN4	XZ	KOC-AMB000	MYH5	3.73	BO8SN4	XZ	KOC-AMB000	MYH5	5.44
BN8SN4	XZ	LAN-CLVTR	MYH5	8.07	BO8SN4	XZ	LAN-CLVTR	MYH5	12.12
BN8SN4	XZ	LAN-JOS090	MYH5	3.09	BO8SN4	XZ	LAN-JOS090	MYH5	10.96
BN8SN4	XZ	LOM-CYC285	MYH5	5.15	BO8SN4	XZ	LOM-CYC285	MYH5	8.23
BN8SN4	XZ	LOM-GOF090	MYH5	4.86	BO8SN4	XZ	LOM-GOF090	MYH5	5.71
BN8SN4	XZ	LOM-HDA165	MYH5	3.17	BO8SN4	XZ	LOM-HDA165	MYH5	6.73
BN8SN4	XZ	LOM-SAR000	MYH5	2.96	BO8SN4	XZ	LOM-SAR000	MYH5	9.47
BN8SN4	XZ	LOM-SAR090	MYH5	3.78	BO8SN4	XZ	LOM-SAR090	MYH5	4.02
BN8SN4	XZ	NOR-KAT000	MYH5	10.13	BO8SN4	XZ	NOR-KAT000	MYH5	8.28
BN8SN4	XZ	NOR-LOS000	MYH5	6.14	BO8SN4	XZ	NOR-LOS000	MYH5	13.43
BN8SN4	XZ	NOR-MU2035	MYH5	5.62	BO8SN4	XZ	NOR-MU2035	MYH5	4.64
BN8SN4	XZ	NOR-STM090	MYH5	4.52	BO8SN4	XZ	NOR-STM090	MYH5	5.68
BN8SN4	XZ	NPAL-MVH135	MYH5	2.50	BO8SN4	XZ	NPAL-MVH135	MYH5	5.91
BN8SN4	XZ	SUP-ELC090	MYH5	4.03	BO8SN4	XZ	SUP-ELC090	MYH5	4.13
BN8SN4	XZ	SUP-PTS315	MYH5	4.06	BO8SN4	XZ	SUP-PTS315	MYH5	9.26
BN8SN4	XZ	SUP-SUP135	MYH5	5.60	BO8SN4	XZ	SUP-SUP135	MYH5	10.45
BN8SN4	YZ	CAP-RIO270	MYH5	2.82	BO8SN4	YZ	CAP-RIO270	MYH5	11.21
BN8SN4	YZ	CAP-RIO360	MYH5	6.37	BO8SN4	YZ	CAP-RIO360	MYH5	9.57
BN8SN4	YZ	CHI-TCU046W	MYH5	1.04	BO8SN4	YZ	CHI-TCU046W	MYH5	2.45
BN8SN4	YZ	CHI-TCU061N	MYH5	1.98	BO8SN4	YZ	CHI-TCU061N	MYH5	3.30
BN8SN4	YZ	CHI-TCU74N	MYH5	2.38	BO8SN4	YZ	CHI-TCU74N	MYH5	11.26
BN8SN4	YZ	CHI-TCU112-W	MYH5	0.62	BO8SN4	YZ	CHI-TCU112-W	MYH5	1.58
BN8SN4	YZ	CHI-TCU123-W	MYH5	1.22	BO8SN4	YZ	CHI-TCU123-W	MYH5	4.80
BN8SN4	YZ	CHI-TCU141-E	MYH5	0.66	BO8SN4	YZ	CHI-TCU141-E	MYH5	1.87
BN8SN4	YZ	CHI-WNTN	MYH5	2.67	BO8SN4	YZ	CHI-WNTN	MYH5	6.38
BN8SN4	YZ	COA-Z14000	MYH5	1.70	BO8SN4	YZ	COA-Z14000	MYH5	12.43
BN8SN4	YZ	IMP-AER045	MYH5	2.38	BO8SN4	YZ	IMP-AER045	MYH5	4.44
BN8SN4	YZ	IMP-ELC3-230	MYH5	1.24	BO8SN4	YZ	IMP-ELC3-230	MYH5	3.01
BN8SN4	YZ	IMP-ELC11-230	MYH5	3.30	BO8SN4	YZ	IMP-ELC11-230	MYH5	4.17
BN8SN4	YZ	IMP-ELCD-360	MYH5	4.34	BO8SN4	YZ	IMP-ELCD-360	MYH5	9.90
BN8SN4	YZ	KOC-AMB000	MYH5	2.43	BO8SN4	YZ	KOC-AMB000	MYH5	4.21
BN8SN4	YZ	LAN-CLVTR	MYH5	4.34	BO8SN4	YZ	LAN-CLVTR	MYH5	15.12
BN8SN4	YZ	LAN-JOS090	MYH5	2.36	BO8SN4	YZ	LAN-JOS090	MYH5	6.89
BN8SN4	YZ	LOM-CYC285	MYH5	2.83	BO8SN4	YZ	LOM-CYC285	MYH5	7.01
BN8SN4	YZ	LOM-GOF090	MYH5	2.27	BO8SN4	YZ	LOM-GOF090	MYH5	5.45
BN8SN4	YZ	LOM-HDA165	MYH5	2.42	BO8SN4	YZ	LOM-HDA165	MYH5	7.14
BN8SN4	YZ	LOM-SAR000	MYH5	2.14	BO8SN4	YZ	LOM-SAR000	MYH5	11.88
BN8SN4	YZ	LOM-SAR090	MYH5	2.49	BO8SN4	YZ	LOM-SAR090	MYH5	3.93
BN8SN4	YZ	NOR-KAT000	MYH5	7.74	BO8SN4	YZ	NOR-KAT000	MYH5	10.95
BN8SN4	YZ	NOR-LOS000	MYH5	4.59	BO8SN4	YZ	NOR-LOS000	MYH5	10.87
BN8SN4	YZ	NOR-MU2035	MYH5	4.04	BO8SN4	YZ	NOR-MU2035	MYH5	4.83
BN8SN4	YZ	NOR-STM090	MYH5	3.86	BO8SN4	YZ	NOR-STM090	MYH5	8.52
BN8SN4	YZ	NPAL-MVH135	MYH5	1.35	BO8SN4	YZ	NPAL-MVH135	MYH5	5.13
BN8SN4	YZ	SUP-ELC090	MYH5	1.39	BO8SN4	YZ	SUP-ELC090	MYH5	4.52
BN8SN4	YZ	SUP-PTS315	MYH5	2.24	BO8SN4	YZ	SUP-PTS315	MYH5	7.23
BN8SN4	YZ	SUP-SUP135	MYH5	4.94	BO8SN4	YZ	SUP-SUP135	MYH5	9.95
BN8SN4	XZ	CAP-PET000	MYH6	6.94	BO8SN4	XZ	CAP-PET000	MYH6	13.77
BN8SN4	XZ	CHI-CHY025W	MYH6	2.66	BO8SN4	XZ	CHI-CHY025W	MYH6	4.92
BN8SN4	XZ	CHI-CHY034-N	MYH6	3.67	BO8SN4	XZ	CHI-CHY034-N	MYH6	10.56
BN8SN4	XZ	CHI-TCU038N	MYH6	2.47	BO8SN4	XZ	CHI-TCU038N	MYH6	3.36

Tablo C.1 (devam): Mevcut binalara ait yerdeğiştirme talepleri

Bina Adı	Analiz Yönü	İvme Kaydı	MYH Grup No	Δ_d (cm)	Bina Adı	Analiz Yönü	İvme Kaydı	MYH Grup No	Δ_d (cm)
BN8SN4	XZ	CHI-TCU038W	MYH6	2.71	BO8SN4	XZ	CHI-TCU038W	MYH6	3.76
BN8SN4	XZ	CHI-TCU048N	MYH6	1.97	BO8SN4	XZ	CHI-TCU048N	MYH6	4.01
BN8SN4	XZ	CHI-TCU49W	MYH6	3.09	BO8SN4	XZ	CHI-TCU49W	MYH6	4.85
BN8SN4	XZ	CHI-TCU51W	MYH6	3.00	BO8SN4	XZ	CHI-TCU51W	MYH6	4.45
BN8SN4	XZ	CHI-TCU95N	MYH6	5.67	BO8SN4	XZ	CHI-TCU95N	MYH6	5.37
BN8SN4	XZ	CHI-TCU104-N	MYH6	1.34	BO8SN4	XZ	CHI-TCU104-N	MYH6	1.66
BN8SN4	XZ	CHI-TCU106-W	MYH6	3.14	BO8SN4	XZ	CHI-TCU106-W	MYH6	3.89
BN8SN4	XZ	CHI-TCU107-N	MYH6	2.90	BO8SN4	XZ	CHI-TCU107-N	MYH6	4.55
BN8SN4	XZ	COY-G06230	MYH6	5.58	BO8SN4	XZ	COY-G06230	MYH6	8.94
BN8SN4	XZ	IMP-E10050	MYH6	3.24	BO8SN4	XZ	IMP-E10050	MYH6	2.84
BN8SN4	XZ	IMP-ELC3-140	MYH6	3.02	BO8SN4	XZ	IMP-ELC3-140	MYH6	7.13
BN8SN4	XZ	IMP-ELC5-140	MYH6	4.16	BO8SN4	XZ	IMP-ELC5-140	MYH6	6.09
BN8SN4	XZ	IMP-ELC7-140	MYH6	3.23	BO8SN4	XZ	IMP-ELC7-140	MYH6	7.25
BN8SN4	XZ	IMP-ELC8-230	MYH6	3.44	BO8SN4	XZ	IMP-ELC8-230	MYH6	5.57
BN8SN4	XZ	IMP-HVP225	MYH6	3.65	BO8SN4	XZ	IMP-HVP225	MYH6	5.24
BN8SN4	XZ	KOC-DZC270	MYH6	4.91	BO8SN4	XZ	KOC-DZC270	MYH6	5.84
BN8SN4	XZ	LOM-BRN090	MYH6	6.83	BO8SN4	XZ	LOM-BRN090	MYH6	10.78
BN8SN4	XZ	LOM-COR090	MYH6	6.88	BO8SN4	XZ	LOM-COR090	MYH6	11.62
BN8SN4	XZ	LOM-G03090	MYH6	3.67	BO8SN4	XZ	LOM-G03090	MYH6	5.31
BN8SN4	XZ	LOM-HCH180	MYH6	3.17	BO8SN4	XZ	LOM-HCH180	MYH6	7.45
BN8SN4	XZ	NAH-S1010	MYH6	5.09	BO8SN4	XZ	NAH-S1010	MYH6	7.86
BN8SN4	XZ	NAH-S1280	MYH6	3.88	BO8SN4	XZ	NAH-S1280	MYH6	4.99
BN8SN4	XZ	NOR-LOS270	MYH6	5.26	BO8SN4	XZ	NOR-LOS270	MYH6	8.58
BN8SN4	XZ	NOR-PAC175	MYH6	6.35	BO8SN4	XZ	NOR-PAC175	MYH6	6.22
BN8SN4	XZ	SUP-ELC000	MYH6	3.65	BO8SN4	XZ	SUP-ELC000	MYH6	7.90
BN8SN4	XZ	WES-WSM090	MYH6	4.53	BO8SN4	XZ	WES-WSM090	MYH6	6.96
BN8SN4	YZ	CAP-PET000	MYH6	3.88	BO8SN4	YZ	CAP-PET000	MYH6	12.88
BN8SN4	YZ	CHI-CHY025W	MYH6	1.19	BO8SN4	YZ	CHI-CHY025W	MYH6	3.91
BN8SN4	YZ	CHI-CHY034-N	MYH6	2.27	BO8SN4	YZ	CHI-CHY034-N	MYH6	8.14
BN8SN4	YZ	CHI-TCU038N	MYH6	1.95	BO8SN4	YZ	CHI-TCU038N	MYH6	3.99
BN8SN4	YZ	CHI-TCU038W	MYH6	1.70	BO8SN4	YZ	CHI-TCU038W	MYH6	3.18
BN8SN4	YZ	CHI-TCU048N	MYH6	1.31	BO8SN4	YZ	CHI-TCU048N	MYH6	3.67
BN8SN4	YZ	CHI-TCU49W	MYH6	1.96	BO8SN4	YZ	CHI-TCU49W	MYH6	3.98
BN8SN4	YZ	CHI-TCU51W	MYH6	1.56	BO8SN4	YZ	CHI-TCU51W	MYH6	3.74
BN8SN4	YZ	CHI-TCU95N	MYH6	5.59	BO8SN4	YZ	CHI-TCU95N	MYH6	4.88
BN8SN4	YZ	CHI-TCU104-N	MYH6	0.77	BO8SN4	YZ	CHI-TCU104-N	MYH6	1.56
BN8SN4	YZ	CHI-TCU106-W	MYH6	1.57	BO8SN4	YZ	CHI-TCU106-W	MYH6	4.87
BN8SN4	YZ	CHI-TCU107-N	MYH6	1.11	BO8SN4	YZ	CHI-TCU107-N	MYH6	3.81
BN8SN4	YZ	COY-G06230	MYH6	2.29	BO8SN4	YZ	COY-G06230	MYH6	8.13
BN8SN4	YZ	IMP-E10050	MYH6	1.98	BO8SN4	YZ	IMP-E10050	MYH6	2.86
BN8SN4	YZ	IMP-ELC3-140	MYH6	2.27	BO8SN4	YZ	IMP-ELC3-140	MYH6	8.50
BN8SN4	YZ	IMP-ELC5-140	MYH6	3.44	BO8SN4	YZ	IMP-ELC5-140	MYH6	7.58
BN8SN4	YZ	IMP-ELC7-140	MYH6	2.01	BO8SN4	YZ	IMP-ELC7-140	MYH6	7.43
BN8SN4	YZ	IMP-ELC8-230	MYH6	2.12	BO8SN4	YZ	IMP-ELC8-230	MYH6	5.93
BN8SN4	YZ	IMP-HVP225	MYH6	2.65	BO8SN4	YZ	IMP-HVP225	MYH6	5.65
BN8SN4	YZ	KOC-DZC270	MYH6	4.25	BO8SN4	YZ	KOC-DZC270	MYH6	7.31
BN8SN4	YZ	LOM-BRN090	MYH6	4.32	BO8SN4	YZ	LOM-BRN090	MYH6	17.14
BN8SN4	YZ	LOM-COR090	MYH6	2.50	BO8SN4	YZ	LOM-COR090	MYH6	7.93
BN8SN4	YZ	LOM-G03090	MYH6	2.23	BO8SN4	YZ	LOM-G03090	MYH6	5.81
BN8SN4	YZ	LOM-HCH180	MYH6	1.77	BO8SN4	YZ	LOM-HCH180	MYH6	6.66
BN8SN4	YZ	NAH-S1010	MYH6	4.67	BO8SN4	YZ	NAH-S1010	MYH6	5.68
BN8SN4	YZ	NAH-S1280	MYH6	4.07	BO8SN4	YZ	NAH-S1280	MYH6	6.63
BN8SN4	YZ	NOR-LOS270	MYH6	4.73	BO8SN4	YZ	NOR-LOS270	MYH6	9.82
BN8SN4	YZ	NOR-PAC175	MYH6	4.59	BO8SN4	YZ	NOR-PAC175	MYH6	6.20
BN8SN4	YZ	SUP-ELC000	MYH6	2.02	BO8SN4	YZ	SUP-ELC000	MYH6	8.74
BN8SN4	YZ	WES-WSM090	MYH6	3.26	BO8SN4	YZ	WES-WSM090	MYH6	5.83
BN8SN4	XZ	CHI-CHY002-N	MYH7	1.87	BO8SN4	XZ	CHI-CHY002-N	MYH7	3.16
BN8SN4	XZ	CHI-CHY024W	MYH7	3.42	BO8SN4	XZ	CHI-CHY024W	MYH7	7.21
BN8SN4	XZ	CHI-CHY104-E	MYH7	3.19	BO8SN4	XZ	CHI-CHY104-E	MYH7	5.64

Tablo C.1 (devam): Mevcut binalara ait yerdeğiştirme talepleri

Bina Adı	Analiz Yönü	İvme Kaydı	MYH Grup No	Δ_d (cm)	Bina Adı	Analiz Yönü	İvme Kaydı	MYH Grup No	Δ_d (cm)
BN8SN4	XZ	CHI-TCU029N	MYH7	2.04	BO8SN4	XZ	CHI-TCU029N	MYH7	2.96
BN8SN4	XZ	CHI-TCU036N	MYH7	2.49	BO8SN4	XZ	CHI-TCU036N	MYH7	4.07
BN8SN4	XZ	CHI-TCU039N	MYH7	1.77	BO8SN4	XZ	CHI-TCU039N	MYH7	5.01
BN8SN4	XZ	CHI-TCU039W	MYH7	2.46	BO8SN4	XZ	CHI-TCU039W	MYH7	7.39
BN8SN4	XZ	CHI-TCU040N	MYH7	1.85	BO8SN4	XZ	CHI-TCU040N	MYH7	3.14
BN8SN4	XZ	CHI-TCU040W	MYH7	2.83	BO8SN4	XZ	CHI-TCU040W	MYH7	2.74
BN8SN4	XZ	CHI-TCU055N	MYH7	2.86	BO8SN4	XZ	CHI-TCU055N	MYH7	4.84
BN8SN4	XZ	CHI-TCU064N	MYH7	1.40	BO8SN4	XZ	CHI-TCU064N	MYH7	2.38
BN8SN4	XZ	CHI-TCU70W	MYH7	5.24	BO8SN4	XZ	CHI-TCU70W	MYH7	6.85
BN8SN4	XZ	CHI-TCU109-N	MYH7	3.18	BO8SN4	XZ	CHI-TCU109-N	MYH7	4.90
BN8SN4	XZ	CHI-TCU109-W	MYH7	3.41	BO8SN4	XZ	CHI-TCU109-W	MYH7	5.12
BN8SN4	XZ	CHI-TCU115-W	MYH7	2.07	BO8SN4	XZ	CHI-TCU115-W	MYH7	2.43
BN8SN4	XZ	CHI-TCU117-N	MYH7	1.63	BO8SN4	XZ	CHI-TCU117-N	MYH7	2.70
BN8SN4	XZ	IMP-ELC8-140	MYH7	6.18	BO8SN4	XZ	IMP-ELC8-140	MYH7	8.09
BN8SN4	XZ	IMP-HVP315	MYH7	2.39	BO8SN4	XZ	IMP-HVP315	MYH7	3.21
BN8SN4	XZ	IRP-STU270	MYH7	3.17	BO8SN4	XZ	IRP-STU270	MYH7	4.78
BN8SN4	XZ	KOC-GBZ000	MYH7	3.02	BO8SN4	XZ	KOC-GBZ000	MYH7	4.79
BN8SN4	XZ	LAN-YER270	MYH7	3.18	BO8SN4	XZ	LAN-YER270	MYH7	7.80
BN8SN4	XZ	LOM-A02043	MYH7	3.14	BO8SN4	XZ	LOM-A02043	MYH7	14.05
BN8SN4	XZ	LOM-BRN000	MYH7	7.63	BO8SN4	XZ	LOM-BRN000	MYH7	10.69
BN8SN4	XZ	LOM-LGP090	MYH7	6.26	BO8SN4	XZ	LOM-LGP090	MYH7	7.74
BN8SN4	XZ	MOR-CYC195	MYH7	6.66	BO8SN4	XZ	MOR-CYC195	MYH7	16.50
BN8SN4	XZ	NOR-LDM334	MYH7	5.46	BO8SN4	XZ	NOR-LDM334	MYH7	13.72
BN8SN4	XZ	NOR-ORR090	MYH7	6.74	BO8SN4	XZ	NOR-ORR090	MYH7	8.86
BN8SN4	XZ	NOR-ORR360	MYH7	8.68	BO8SN4	XZ	NOR-ORR360	MYH7	21.80
BN8SN4	XZ	NOR-PKC360	MYH7	8.35	BO8SN4	XZ	NOR-PKC360	MYH7	9.73
BN8SN4	XZ	SFD-PCD254	MYH7	10.75	BO8SN4	XZ	SFD-PCD254	MYH7	9.36
BN8SN4	YZ	CHI-CHY002-N	MYH7	1.22	BO8SN4	YZ	CHI-CHY002-N	MYH7	3.27
BN8SN4	YZ	CHI-CHY024W	MYH7	2.17	BO8SN4	YZ	CHI-CHY024W	MYH7	9.15
BN8SN4	YZ	CHI-CHY104-E	MYH7	1.64	BO8SN4	YZ	CHI-CHY104-E	MYH7	4.59
BN8SN4	YZ	CHI-TCU029N	MYH7	1.18	BO8SN4	YZ	CHI-TCU029N	MYH7	3.04
BN8SN4	YZ	CHI-TCU036N	MYH7	1.45	BO8SN4	YZ	CHI-TCU036N	MYH7	3.88
BN8SN4	YZ	CHI-TCU039N	MYH7	1.48	BO8SN4	YZ	CHI-TCU039N	MYH7	3.91
BN8SN4	YZ	CHI-TCU039W	MYH7	1.27	BO8SN4	YZ	CHI-TCU039W	MYH7	6.08
BN8SN4	YZ	CHI-TCU040N	MYH7	1.02	BO8SN4	YZ	CHI-TCU040N	MYH7	3.19
BN8SN4	YZ	CHI-TCU040W	MYH7	1.32	BO8SN4	YZ	CHI-TCU040W	MYH7	2.76
BN8SN4	YZ	CHI-TCU055N	MYH7	1.77	BO8SN4	YZ	CHI-TCU055N	MYH7	5.11
BN8SN4	YZ	CHI-TCU064N	MYH7	0.86	BO8SN4	YZ	CHI-TCU064N	MYH7	2.15
BN8SN4	YZ	CHI-TCU70W	MYH7	1.71	BO8SN4	YZ	CHI-TCU70W	MYH7	9.42
BN8SN4	YZ	CHI-TCU109-N	MYH7	1.42	BO8SN4	YZ	CHI-TCU109-N	MYH7	3.99
BN8SN4	YZ	CHI-TCU109-W	MYH7	1.67	BO8SN4	YZ	CHI-TCU109-W	MYH7	4.54
BN8SN4	YZ	CHI-TCU115-W	MYH7	0.96	BO8SN4	YZ	CHI-TCU115-W	MYH7	2.08
BN8SN4	YZ	CHI-TCU117-N	MYH7	0.93	BO8SN4	YZ	CHI-TCU117-N	MYH7	2.85
BN8SN4	YZ	IMP-ELC8-140	MYH7	4.37	BO8SN4	YZ	IMP-ELC8-140	MYH7	7.02
BN8SN4	YZ	IMP-HVP315	MYH7	1.89	BO8SN4	YZ	IMP-HVP315	MYH7	3.38
BN8SN4	YZ	IRP-STU270	MYH7	2.31	BO8SN4	YZ	IRP-STU270	MYH7	4.73
BN8SN4	YZ	KOC-GBZ000	MYH7	2.16	BO8SN4	YZ	KOC-GBZ000	MYH7	4.35
BN8SN4	YZ	LAN-YER270	MYH7	1.63	BO8SN4	YZ	LAN-YER270	MYH7	8.72
BN8SN4	YZ	LOM-A02043	MYH7	1.40	BO8SN4	YZ	LOM-A02043	MYH7	11.80
BN8SN4	YZ	LOM-BRN000	MYH7	4.83	BO8SN4	YZ	LOM-BRN000	MYH7	17.31
BN8SN4	YZ	LOM-LGP090	MYH7	3.02	BO8SN4	YZ	LOM-LGP090	MYH7	9.87
BN8SN4	YZ	MOR-CYC195	MYH7	6.05	BO8SN4	YZ	MOR-CYC195	MYH7	13.87
BN8SN4	YZ	NOR-LDM334	MYH7	2.75	BO8SN4	YZ	NOR-LDM334	MYH7	12.14
BN8SN4	YZ	NOR-ORR090	MYH7	5.67	BO8SN4	YZ	NOR-ORR090	MYH7	13.50
BN8SN4	YZ	NOR-ORR360	MYH7	4.39	BO8SN4	YZ	NOR-ORR360	MYH7	17.67
BN8SN4	YZ	NOR-PKC360	MYH7	3.75	BO8SN4	YZ	NOR-PKC360	MYH7	8.76
BN8SN4	YZ	SFD-PCD254	MYH7	7.38	BO8SN4	YZ	SFD-PCD254	MYH7	17.21
BN8SN4	XZ	CAP-RIO270	MYH8	6.04	BO8SN4	XZ	CAP-RIO270	MYH8	11.95
BN8SN4	XZ	CAP-RIO360	MYH8	10.74	BO8SN4	XZ	CAP-RIO360	MYH8	10.91

Tablo C.1 (devam): Mevcut binalara ait yerdeğiştirme talepleri

Bina Adı	Analiz Yönü	İvme Kaydı	MYH Grup No	Δ_d (cm)	Bina Adı	Analiz Yönü	İvme Kaydı	MYH Grup No	Δ_d (cm)
BN8SN4	XZ	CHI-CHY006-E	MYH8	6.85	BO8SN4	XZ	CHI-CHY006-E	MYH8	10.68
BN8SN4	XZ	CHI-CHY092-E	MYH8	1.35	BO8SN4	XZ	CHI-CHY092-E	MYH8	2.29
BN8SN4	XZ	CHI-CHY104-N	MYH8	1.98	BO8SN4	XZ	CHI-CHY104-N	MYH8	6.38
BN8SN4	XZ	CHI-TCU054W	MYH8	2.77	BO8SN4	XZ	CHI-TCU054W	MYH8	3.63
BN8SN4	XZ	CHI-TCU059N	MYH8	3.33	BO8SN4	XZ	CHI-TCU059N	MYH8	5.20
BN8SN4	XZ	CHI-TCU059W	MYH8	2.75	BO8SN4	XZ	CHI-TCU059W	MYH8	5.40
BN8SN4	XZ	CHI-TCU063W	MYH8	2.98	BO8SN4	XZ	CHI-TCU063W	MYH8	6.34
BN8SN4	XZ	CHI-TCU072N	MYH8	5.55	BO8SN4	XZ	CHI-TCU072N	MYH8	18.88
BN8SN4	XZ	CHI-TCU82W	MYH8	3.48	BO8SN4	XZ	CHI-TCU82W	MYH8	4.76
BN8SN4	XZ	CHI-TCU110-N	MYH8	2.48	BO8SN4	XZ	CHI-TCU110-N	MYH8	7.83
BN8SN4	XZ	CHI-TCU111-W	MYH8	1.81	BO8SN4	XZ	CHI-TCU111-W	MYH8	3.89
BN8SN4	XZ	CHI-TCU117-W	MYH8	1.61	BO8SN4	XZ	CHI-TCU117-W	MYH8	3.67
BN8SN4	XZ	CHI-TCU136-E	MYH8	2.05	BO8SN4	XZ	CHI-TCU136-E	MYH8	4.59
BN8SN4	XZ	DZC-BOL000	MYH8	6.74	BO8SN4	XZ	DZC-BOL000	MYH8	11.04
BN8SN4	XZ	IMP-ELC3-140	MYH8	3.34	BO8SN4	XZ	IMP-ELC3-140	MYH8	9.16
BN8SN4	XZ	IMP-ELC3-230	MYH8	3.33	BO8SN4	XZ	IMP-ELC3-230	MYH8	5.00
BN8SN4	XZ	IRP-STU270	MYH8	3.22	BO8SN4	XZ	IRP-STU270	MYH8	5.31
BN8SN4	XZ	KOC-DZC180	MYH8	4.94	BO8SN4	XZ	KOC-DZC180	MYH8	7.02
BN8SN4	XZ	KOC-DZC270	MYH8	6.08	BO8SN4	XZ	KOC-DZC270	MYH8	8.63
BN8SN4	XZ	KOC-GBZ000	MYH8	3.48	BO8SN4	XZ	KOC-GBZ000	MYH8	5.58
BN8SN4	XZ	LAN-CLVTR	MYH8	12.61	BO8SN4	XZ	LAN-CLVTR	MYH8	16.43
BN8SN4	XZ	LAN-YER270	MYH8	3.66	BO8SN4	XZ	LAN-YER270	MYH8	9.17
BN8SN4	XZ	LOM-COR000	MYH8	8.43	BO8SN4	XZ	LOM-COR000	MYH8	11.74
BN8SN4	XZ	NOR-MUL009	MYH8	7.09	BO8SN4	XZ	NOR-MUL009	MYH8	10.41
BN8SN4	XZ	NOR-PUL104	MYH8	8.71	BO8SN4	XZ	NOR-PUL104	MYH8	16.94
BN8SN4	XZ	NPAL-MVH135	MYH8	3.48	BO8SN4	XZ	NPAL-MVH135	MYH8	8.23
BN8SN4	XZ	SUP-ELC000	MYH8	4.19	BO8SN4	XZ	SUP-ELC000	MYH8	11.70
BN8SN4	XZ	SUP-ELC090	MYH8	5.98	BO8SN4	XZ	SUP-ELC090	MYH8	6.83
BN8SN4	YZ	CAP-RIO270	MYH8	3.19	BO8SN4	YZ	CAP-RIO270	MYH8	16.06
BN8SN4	YZ	CAP-RIO360	MYH8	8.41	BO8SN4	YZ	CAP-RIO360	MYH8	13.67
BN8SN4	YZ	CHI-CHY006-E	MYH8	2.69	BO8SN4	YZ	CHI-CHY006-E	MYH8	9.84
BN8SN4	YZ	CHI-CHY092-E	MYH8	0.66	BO8SN4	YZ	CHI-CHY092-E	MYH8	2.15
BN8SN4	YZ	CHI-CHY104-N	MYH8	1.47	BO8SN4	YZ	CHI-CHY104-N	MYH8	5.69
BN8SN4	YZ	CHI-TCU054W	MYH8	1.50	BO8SN4	YZ	CHI-TCU054W	MYH8	3.42
BN8SN4	YZ	CHI-TCU059N	MYH8	1.80	BO8SN4	YZ	CHI-TCU059N	MYH8	3.90
BN8SN4	YZ	CHI-TCU059W	MYH8	1.72	BO8SN4	YZ	CHI-TCU059W	MYH8	4.57
BN8SN4	YZ	CHI-TCU063W	MYH8	1.60	BO8SN4	YZ	CHI-TCU063W	MYH8	5.60
BN8SN4	YZ	CHI-TCU072N	MYH8	3.13	BO8SN4	YZ	CHI-TCU072N	MYH8	13.69
BN8SN4	YZ	CHI-TCU82W	MYH8	2.45	BO8SN4	YZ	CHI-TCU82W	MYH8	5.04
BN8SN4	YZ	CHI-TCU110-N	MYH8	0.99	BO8SN4	YZ	CHI-TCU110-N	MYH8	6.65
BN8SN4	YZ	CHI-TCU111-W	MYH8	0.82	BO8SN4	YZ	CHI-TCU111-W	MYH8	4.25
BN8SN4	YZ	CHI-TCU117-W	MYH8	0.94	BO8SN4	YZ	CHI-TCU117-W	MYH8	3.78
BN8SN4	YZ	CHI-TCU136-E	MYH8	1.54	BO8SN4	YZ	CHI-TCU136-E	MYH8	5.42
BN8SN4	YZ	DZC-BOL000	MYH8	5.40	BO8SN4	YZ	DZC-BOL000	MYH8	9.93
BN8SN4	YZ	IMP-ELC3-140	MYH8	2.58	BO8SN4	YZ	IMP-ELC3-140	MYH8	11.66
BN8SN4	YZ	IMP-ELC3-230	MYH8	1.69	BO8SN4	YZ	IMP-ELC3-230	MYH8	4.81
BN8SN4	YZ	IRP-STU270	MYH8	2.51	BO8SN4	YZ	IRP-STU270	MYH8	6.06
BN8SN4	YZ	KOC-DZC180	MYH8	3.07	BO8SN4	YZ	KOC-DZC180	MYH8	8.62
BN8SN4	YZ	KOC-DZC270	MYH8	4.72	BO8SN4	YZ	KOC-DZC270	MYH8	10.15
BN8SN4	YZ	KOC-GBZ000	MYH8	2.45	BO8SN4	YZ	KOC-GBZ000	MYH8	4.90
BN8SN4	YZ	LAN-CLVTR	MYH8	6.95	BO8SN4	YZ	LAN-CLVTR	MYH8	22.56
BN8SN4	YZ	LAN-YER270	MYH8	1.77	BO8SN4	YZ	LAN-YER270	MYH8	10.74
BN8SN4	YZ	LOM-COR000	MYH8	6.42	BO8SN4	YZ	LOM-COR000	MYH8	15.58
BN8SN4	YZ	NOR-MUL009	MYH8	2.48	BO8SN4	YZ	NOR-MUL009	MYH8	14.29
BN8SN4	YZ	NOR-PUL104	MYH8	7.46	BO8SN4	YZ	NOR-PUL104	MYH8	12.16
BN8SN4	YZ	NPAL-MVH135	MYH8	1.92	BO8SN4	YZ	NPAL-MVH135	MYH8	8.98
BN8SN4	YZ	SUP-ELC000	MYH8	2.39	BO8SN4	YZ	SUP-ELC000	MYH8	12.82
BN8SN4	YZ	SUP-ELC090	MYH8	1.93	BO8SN4	YZ	SUP-ELC090	MYH8	7.29
BN8SN4	XZ	CHI-TCU036W	MYH9	2.04	BO8SN4	XZ	CHI-TCU036W	MYH9	3.88

Tablo C.1 (devam): Mevcut binalara ait yerdeğiştirme talepleri

Bina Adı	Analiz Yönü	İvme Kaydı	MYH Grup No	Δ_d (cm)	Bina Adı	Analiz Yönü	İvme Kaydı	MYH Grup No	Δ_d (cm)
BN8SN4	XZ	CHI-TCU49N	MYH9	2.89	BO8SN4	XZ	CHI-TCU49N	MYH9	4.83
BN8SN4	XZ	CHI-TCU70N	MYH9	3.13	BO8SN4	XZ	CHI-TCU70N	MYH9	6.40
BN8SN4	XZ	CHI-TCU76N	MYH9	6.65	BO8SN4	XZ	CHI-TCU76N	MYH9	14.28
BN8SN4	XZ	CHI-TCU76W	MYH9	3.55	BO8SN4	XZ	CHI-TCU76W	MYH9	3.46
BN8SN4	XZ	CHI-TCU079-W	MYH9	12.90	BO8SN4	XZ	CHI-TCU079-W	MYH9	10.59
BN8SN4	XZ	CHI-TCU95W	MYH9	5.63	BO8SN4	XZ	CHI-TCU95W	MYH9	7.04
BN8SN4	XZ	CHI-TCU103-W	MYH9	2.77	BO8SN4	XZ	CHI-TCU103-W	MYH9	3.36
BN8SN4	XZ	CHI-TCU120-W	MYH9	2.76	BO8SN4	XZ	CHI-TCU120-W	MYH9	4.25
BN8SN4	XZ	CHI-TCU129-W	MYH9	7.65	BO8SN4	XZ	CHI-TCU129-W	MYH9	9.63
BN8SN4	XZ	COA-PLE045	MYH9	12.03	BO8SN4	XZ	COA-PLE045	MYH9	15.83
BN8SN4	XZ	DZC-BOL000	MYH9	8.10	BO8SN4	XZ	DZC-BOL000	MYH9	12.93
BN8SN4	XZ	DZC-BOL090	MYH9	13.41	BO8SN4	XZ	DZC-BOL090	MYH9	23.59
BN8SN4	XZ	DZC-DZC180	MYH9	7.27	BO8SN4	XZ	DZC-DZC180	MYH9	11.41
BN8SN4	XZ	ERZ-ERZEW	MYH9	5.86	BO8SN4	XZ	ERZ-ERZEW	MYH9	16.17
BN8SN4	XZ	IMP-ELC3-140	MYH9	3.46	BO8SN4	XZ	IMP-ELC3-140	MYH9	10.19
BN8SN4	XZ	IMP-HVP315	MYH9	2.86	BO8SN4	XZ	IMP-HVP315	MYH9	4.09
BN8SN4	XZ	IRP-STU270	MYH9	3.33	BO8SN4	XZ	IRP-STU270	MYH9	5.85
BN8SN4	XZ	KOC-DZC180	MYH9	5.23	BO8SN4	XZ	KOC-DZC180	MYH9	7.41
BN8SN4	XZ	KOC-GBZ000	MYH9	3.84	BO8SN4	XZ	KOC-GBZ000	MYH9	6.20
BN8SN4	XZ	KOC-YAR330	MYH9	3.40	BO8SN4	XZ	KOC-YAR330	MYH9	7.06
BN8SN4	XZ	LAN-YER270	MYH9	4.10	BO8SN4	XZ	LAN-YER270	MYH9	10.47
BN8SN4	XZ	LOM-BRN000	MYH9	9.25	BO8SN4	XZ	LOM-BRN000	MYH9	14.78
BN8SN4	XZ	LOM-HSP000	MYH9	6.86	BO8SN4	XZ	LOM-HSP000	MYH9	12.01
BN8SN4	XZ	LOM-WVC270	MYH9	3.15	BO8SN4	XZ	LOM-WVC270	MYH9	8.87
BN8SN4	XZ	NOR-CNP196	MYH9	6.50	BO8SN4	XZ	NOR-CNP196	MYH9	10.74
BN8SN4	XZ	NOR-LDM064	MYH9	4.67	BO8SN4	XZ	NOR-LDM064	MYH9	16.17
BN8SN4	XZ	NOR-MUL279	MYH9	7.46	BO8SN4	XZ	NOR-MUL279	MYH9	17.94
BN8SN4	XZ	NOR-SAT180	MYH9	6.91	BO8SN4	XZ	NOR-SAT180	MYH9	13.95
BN8SN4	XZ	SUP-ELC000	MYH9	4.50	BO8SN4	XZ	SUP-ELC000	MYH9	13.48
BN8SN4	YZ	CHI-TCU036W	MYH9	1.34	BO8SN4	YZ	CHI-TCU036W	MYH9	3.91
BN8SN4	YZ	CHI-TCU49N	MYH9	2.14	BO8SN4	YZ	CHI-TCU49N	MYH9	6.41
BN8SN4	YZ	CHI-TCU70N	MYH9	1.39	BO8SN4	YZ	CHI-TCU70N	MYH9	4.43
BN8SN4	YZ	CHI-TCU76N	MYH9	2.49	BO8SN4	YZ	CHI-TCU76N	MYH9	13.13
BN8SN4	YZ	CHI-TCU76W	MYH9	3.16	BO8SN4	YZ	CHI-TCU76W	MYH9	4.14
BN8SN4	YZ	CHI-TCU079-W	MYH9	8.50	BO8SN4	YZ	CHI-TCU079-W	MYH9	14.74
BN8SN4	YZ	CHI-TCU95W	MYH9	3.21	BO8SN4	YZ	CHI-TCU95W	MYH9	8.53
BN8SN4	YZ	CHI-TCU103-W	MYH9	1.34	BO8SN4	YZ	CHI-TCU103-W	MYH9	2.76
BN8SN4	YZ	CHI-TCU120-W	MYH9	1.55	BO8SN4	YZ	CHI-TCU120-W	MYH9	5.66
BN8SN4	YZ	CHI-TCU129-W	MYH9	7.91	BO8SN4	YZ	CHI-TCU129-W	MYH9	12.64
BN8SN4	YZ	COA-PLE045	MYH9	4.37	BO8SN4	YZ	COA-PLE045	MYH9	12.45
BN8SN4	YZ	DZC-BOL000	MYH9	5.44	BO8SN4	YZ	DZC-BOL000	MYH9	11.75
BN8SN4	YZ	DZC-BOL090	MYH9	7.82	BO8SN4	YZ	DZC-BOL090	MYH9	20.43
BN8SN4	YZ	DZC-DZC180	MYH9	4.37	BO8SN4	YZ	DZC-DZC180	MYH9	14.22
BN8SN4	YZ	ERZ-ERZEW	MYH9	3.86	BO8SN4	YZ	ERZ-ERZEW	MYH9	15.25
BN8SN4	YZ	IMP-ELC3-140	MYH9	2.73	BO8SN4	YZ	IMP-ELC3-140	MYH9	13.15
BN8SN4	YZ	IMP-HVP315	MYH9	2.10	BO8SN4	YZ	IMP-HVP315	MYH9	4.40
BN8SN4	YZ	IRP-STU270	MYH9	2.71	BO8SN4	YZ	IRP-STU270	MYH9	7.74
BN8SN4	YZ	KOC-DZC180	MYH9	3.33	BO8SN4	YZ	KOC-DZC180	MYH9	9.40
BN8SN4	YZ	KOC-GBZ000	MYH9	2.61	BO8SN4	YZ	KOC-GBZ000	MYH9	5.27
BN8SN4	YZ	KOC-YAR330	MYH9	2.49	BO8SN4	YZ	KOC-YAR330	MYH9	6.08
BN8SN4	YZ	LAN-YER270	MYH9	1.88	BO8SN4	YZ	LAN-YER270	MYH9	12.48
BN8SN4	YZ	LOM-BRN000	MYH9	6.13	BO8SN4	YZ	LOM-BRN000	MYH9	24.40
BN8SN4	YZ	LOM-HSP000	MYH9	2.76	BO8SN4	YZ	LOM-HSP000	MYH9	16.18
BN8SN4	YZ	LOM-WVC270	MYH9	2.66	BO8SN4	YZ	LOM-WVC270	MYH9	7.92
BN8SN4	YZ	NOR-CNP196	MYH9	4.19	BO8SN4	YZ	NOR-CNP196	MYH9	9.27
BN8SN4	YZ	NOR-LDM064	MYH9	3.83	BO8SN4	YZ	NOR-LDM064	MYH9	14.34
BN8SN4	YZ	NOR-MUL279	MYH9	5.06	BO8SN4	YZ	NOR-MUL279	MYH9	26.29
BN8SN4	YZ	NOR-SAT180	MYH9	4.18	BO8SN4	YZ	NOR-SAT180	MYH9	13.25
BN8SN4	YZ	SUP-ELC000	MYH9	2.51	BO8SN4	YZ	SUP-ELC000	MYH9	14.78

Tablo C.1 (devam): Mevcut binalara ait yerdeğiştirme talepleri

Bina Adı	Analiz Yönü	İvme Kaydı	MYH Grup No	Δ_d (cm)	Bina Adı	Analiz Yönü	İvme Kaydı	MYH Grup No	Δ_d (cm)
BN8SN4	XZ	CHI-CHY28N	MYH10	16.60	BO8SN4	XZ	CHI-CHY28N	MYH10	21.24
BN8SN4	XZ	CHI-TCU067N	MYH10	5.43	BO8SN4	XZ	CHI-TCU067N	MYH10	8.56
BN8SN4	XZ	CHI-TCU071N	MYH10	4.34	BO8SN4	XZ	CHI-TCU071N	MYH10	9.12
BN8SN4	XZ	CHI-TCU101-W	MYH10	3.11	BO8SN4	XZ	CHI-TCU101-W	MYH10	4.87
BN8SN4	XZ	CHI-TCU110-W	MYH10	2.27	BO8SN4	XZ	CHI-TCU110-W	MYH10	5.51
BN8SN4	XZ	CHI-TCU128-N	MYH10	2.46	BO8SN4	XZ	CHI-TCU128-N	MYH10	4.05
BN8SN4	XZ	CHI-WGK-E	MYH10	2.69	BO8SN4	XZ	CHI-WGK-E	MYH10	7.37
BN8SN4	XZ	CHI-WNTE	MYH10	8.60	BO8SN4	XZ	CHI-WNTE	MYH10	8.01
BN8SN4	XZ	DZC-BOL000	MYH10	9.13	BO8SN4	XZ	DZC-BOL000	MYH10	14.48
BN8SN4	XZ	DZC-BOL090	MYH10	15.21	BO8SN4	XZ	DZC-BOL090	MYH10	24.94
BN8SN4	XZ	GAZ-KAR000	MYH10	5.69	BO8SN4	XZ	GAZ-KAR000	MYH10	9.80
BN8SN4	XZ	IMP-ECC092	MYH10	2.53	BO8SN4	XZ	IMP-ECC092	MYH10	7.82
BN8SN4	XZ	IMP-ELC3-140	MYH10	3.55	BO8SN4	XZ	IMP-ELC3-140	MYH10	11.50
BN8SN4	XZ	IMP-ELC6-140	MYH10	3.79	BO8SN4	XZ	IMP-ELC6-140	MYH10	8.03
BN8SN4	XZ	IRP-STU270	MYH10	3.53	BO8SN4	XZ	IRP-STU270	MYH10	6.45
BN8SN4	XZ	KOB-TAK000	MYH10	11.90	BO8SN4	XZ	KOB-TAK000	MYH10	13.01
BN8SN4	XZ	KOC-DZC180	MYH10	5.50	BO8SN4	XZ	KOC-DZC180	MYH10	8.12
BN8SN4	XZ	KOC-GBZ000	MYH10	4.20	BO8SN4	XZ	KOC-GBZ000	MYH10	6.87
BN8SN4	XZ	KOC-YAR060	MYH10	4.18	BO8SN4	XZ	KOC-YAR060	MYH10	6.15
BN8SN4	XZ	LAN-YER270	MYH10	4.61	BO8SN4	XZ	LAN-YER270	MYH10	11.80
BN8SN4	XZ	LOM-BRN000	MYH10	9.90	BO8SN4	XZ	LOM-BRN000	MYH10	16.28
BN8SN4	XZ	LOM-G03090	MYH10	6.17	BO8SN4	XZ	LOM-G03090	MYH10	10.15
BN8SN4	XZ	LOM-HSP000	MYH10	8.11	BO8SN4	XZ	LOM-HSP000	MYH10	12.84
BN8SN4	XZ	NOR-CNP196	MYH10	7.76	BO8SN4	XZ	NOR-CNP196	MYH10	12.28
BN8SN4	XZ	NOR-MUL009	MYH10	8.30	BO8SN4	XZ	NOR-MUL009	MYH10	12.70
BN8SN4	XZ	NOR-MUL279	MYH10	8.07	BO8SN4	XZ	NOR-MUL279	MYH10	20.19
BN8SN4	XZ	NOR-ORR090	MYH10	7.15	BO8SN4	XZ	NOR-ORR090	MYH10	11.69
BN8SN4	XZ	NOR-ORR360	MYH10	12.27	BO8SN4	XZ	NOR-ORR360	MYH10	30.30
BN8SN4	XZ	NOR-SAT180	MYH10	8.09	BO8SN4	XZ	NOR-SAT180	MYH10	16.64
BN8SN4	XZ	NOR-WPI316	MYH10	5.83	BO8SN4	XZ	NOR-WPI316	MYH10	7.64
BN8SN4	YZ	CHI-CHY28N	MYH10	12.04	BO8SN4	YZ	CHI-CHY28N	MYH10	16.16
BN8SN4	YZ	CHI-TCU067N	MYH10	3.58	BO8SN4	YZ	CHI-TCU067N	MYH10	10.35
BN8SN4	YZ	CHI-TCU071N	MYH10	3.96	BO8SN4	YZ	CHI-TCU071N	MYH10	8.24
BN8SN4	YZ	CHI-TCU101-W	MYH10	1.76	BO8SN4	YZ	CHI-TCU101-W	MYH10	4.59
BN8SN4	YZ	CHI-TCU110-W	MYH10	1.23	BO8SN4	YZ	CHI-TCU110-W	MYH10	6.49
BN8SN4	YZ	CHI-TCU128-N	MYH10	1.19	BO8SN4	YZ	CHI-TCU128-N	MYH10	4.12
BN8SN4	YZ	CHI-WGK-E	MYH10	1.94	BO8SN4	YZ	CHI-WGK-E	MYH10	5.40
BN8SN4	YZ	CHI-WNTE	MYH10	7.56	BO8SN4	YZ	CHI-WNTE	MYH10	8.43
BN8SN4	YZ	DZC-BOL000	MYH10	5.55	BO8SN4	YZ	DZC-BOL000	MYH10	13.22
BN8SN4	YZ	DZC-BOL090	MYH10	9.06	BO8SN4	YZ	DZC-BOL090	MYH10	21.13
BN8SN4	YZ	GAZ-KAR000	MYH10	4.97	BO8SN4	YZ	GAZ-KAR000	MYH10	7.63
BN8SN4	YZ	IMP-ECC092	MYH10	1.61	BO8SN4	YZ	IMP-ECC092	MYH10	9.06
BN8SN4	YZ	IMP-ELC3-140	MYH10	2.87	BO8SN4	YZ	IMP-ELC3-140	MYH10	14.59
BN8SN4	YZ	IMP-ELC6-140	MYH10	2.74	BO8SN4	YZ	IMP-ELC6-140	MYH10	7.25
BN8SN4	YZ	IRP-STU270	MYH10	2.92	BO8SN4	YZ	IRP-STU270	MYH10	9.74
BN8SN4	YZ	KOB-TAK000	MYH10	5.01	BO8SN4	YZ	KOB-TAK000	MYH10	16.26
BN8SN4	YZ	KOC-DZC180	MYH10	3.67	BO8SN4	YZ	KOC-DZC180	MYH10	10.34
BN8SN4	YZ	KOC-GBZ000	MYH10	2.76	BO8SN4	YZ	KOC-GBZ000	MYH10	5.67
BN8SN4	YZ	KOC-YAR060	MYH10	2.13	BO8SN4	YZ	KOC-YAR060	MYH10	5.77
BN8SN4	YZ	LAN-YER270	MYH10	1.99	BO8SN4	YZ	LAN-YER270	MYH10	14.36
BN8SN4	YZ	LOM-BRN000	MYH10	6.34	BO8SN4	YZ	LOM-BRN000	MYH10	26.96
BN8SN4	YZ	LOM-G03090	MYH10	3.00	BO8SN4	YZ	LOM-G03090	MYH10	13.29
BN8SN4	YZ	LOM-HSP000	MYH10	2.99	BO8SN4	YZ	LOM-HSP000	MYH10	17.54
BN8SN4	YZ	NOR-CNP196	MYH10	4.95	BO8SN4	YZ	NOR-CNP196	MYH10	9.63
BN8SN4	YZ	NOR-MUL009	MYH10	2.75	BO8SN4	YZ	NOR-MUL009	MYH10	16.40
BN8SN4	YZ	NOR-MUL279	MYH10	5.88	BO8SN4	YZ	NOR-MUL279	MYH10	29.49
BN8SN4	YZ	NOR-ORR090	MYH10	7.24	BO8SN4	YZ	NOR-ORR090	MYH10	19.31
BN8SN4	YZ	NOR-ORR360	MYH10	6.60	BO8SN4	YZ	NOR-ORR360	MYH10	24.48
BN8SN4	YZ	NOR-SAT180	MYH10	4.77	BO8SN4	YZ	NOR-SAT180	MYH10	15.29

Tablo C.1 (devam): Mevcut binalara ait yerdeğiştirme talepleri

Bina Adı	Analiz Yönü	İvme Kaydı	MYH Grup No	Δ_d (cm)	Bina Adı	Analiz Yönü	İvme Kaydı	MYH Grup No	Δ_d (cm)
BN8SN4	YZ	NOR-WPI316	MYH10	2.21	BO8SN4	YZ	NOR-WPI316	MYH10	9.86
BN8SN4	XZ	CHI-CHY28W	MYH11	8.86	BO8SN4	XZ	CHI-CHY28W	MYH11	15.10
BN8SN4	XZ	CHI-CHY101W	MYH11	2.71	BO8SN4	XZ	CHI-CHY101W	MYH11	6.11
BN8SN4	XZ	CHI-TCU063N	MYH11	2.03	BO8SN4	XZ	CHI-TCU063N	MYH11	3.03
BN8SN4	XZ	CHI-TCU072W	MYH11	6.70	BO8SN4	XZ	CHI-TCU072W	MYH11	11.06
BN8SN4	XZ	CHI-TCU74W	MYH11	11.43	BO8SN4	XZ	CHI-TCU74W	MYH11	22.51
BN8SN4	XZ	CHI-TCU128-W	MYH11	1.89	BO8SN4	XZ	CHI-TCU128-W	MYH11	2.74
BN8SN4	XZ	CHI-WGK-N	MYH11	7.56	BO8SN4	XZ	CHI-WGK-N	MYH11	16.48
BN8SN4	XZ	COA-PLE045	MYH11	14.97	BO8SN4	XZ	COA-PLE045	MYH11	17.56
BN8SN4	XZ	DZC-BOL000	MYH11	10.16	BO8SN4	XZ	DZC-BOL000	MYH11	15.98
BN8SN4	XZ	DZC-BOL090	MYH11	16.91	BO8SN4	XZ	DZC-BOL090	MYH11	26.06
BN8SN4	XZ	DZC-DZC180	MYH11	9.29	BO8SN4	XZ	DZC-DZC180	MYH11	12.67
BN8SN4	XZ	GAZ-KAR000	MYH11	6.48	BO8SN4	XZ	GAZ-KAR000	MYH11	11.11
BN8SN4	XZ	GAZ-KAR090	MYH11	8.05	BO8SN4	XZ	GAZ-KAR090	MYH11	11.11
BN8SN4	XZ	IMP-ECC092	MYH11	2.72	BO8SN4	XZ	IMP-ECC092	MYH11	8.42
BN8SN4	XZ	IMP-ECM000	MYH11	4.36	BO8SN4	XZ	IMP-ECM000	MYH11	11.77
BN8SN4	XZ	IMP-ELCD-270	MYH11	3.99	BO8SN4	XZ	IMP-ELCD-270	MYH11	7.70
BN8SN4	XZ	IRP-STU270	MYH11	3.72	BO8SN4	XZ	IRP-STU270	MYH11	8.05
BN8SN4	XZ	KOB-KJM090	MYH11	14.50	BO8SN4	XZ	KOB-KJM090	MYH11	25.00
BN8SN4	XZ	KOC-DZC180	MYH11	5.74	BO8SN4	XZ	KOC-DZC180	MYH11	8.57
BN8SN4	XZ	KOC-GBZ000	MYH11	4.61	BO8SN4	XZ	KOC-GBZ000	MYH11	7.56
BN8SN4	XZ	KOC-YAR060	MYH11	4.50	BO8SN4	XZ	KOC-YAR060	MYH11	6.89
BN8SN4	XZ	LOM-HSP000	MYH11	9.35	BO8SN4	XZ	LOM-HSP000	MYH11	13.88
BN8SN4	XZ	LOM-WVC270	MYH11	4.12	BO8SN4	XZ	LOM-WVC270	MYH11	11.43
BN8SN4	XZ	NOR-CNP196	MYH11	8.93	BO8SN4	XZ	NOR-CNP196	MYH11	13.34
BN8SN4	XZ	NOR-MUL009	MYH11	8.80	BO8SN4	XZ	NOR-MUL009	MYH11	14.07
BN8SN4	XZ	NOR-MUL279	MYH11	8.78	BO8SN4	XZ	NOR-MUL279	MYH11	22.45
BN8SN4	XZ	NOR-ORR360	MYH11	13.50	BO8SN4	XZ	NOR-ORR360	MYH11	33.40
BN8SN4	XZ	NOR-RRS318	MYH11	7.09	BO8SN4	XZ	NOR-RRS318	MYH11	10.77
BN8SN4	XZ	NOR-SAT180	MYH11	9.18	BO8SN4	XZ	NOR-SAT180	MYH11	18.87
BN8SN4	XZ	NPAL-NPS210	MYH11	4.99	BO8SN4	XZ	NPAL-NPS210	MYH11	13.99
BN8SN4	YZ	CHI-CHY28W	MYH11	6.33	BO8SN4	YZ	CHI-CHY28W	MYH11	23.88
BN8SN4	YZ	CHI-CHY101W	MYH11	2.02	BO8SN4	YZ	CHI-CHY101W	MYH11	9.69
BN8SN4	YZ	CHI-TCU063N	MYH11	0.96	BO8SN4	YZ	CHI-TCU063N	MYH11	3.09
BN8SN4	YZ	CHI-TCU072W	MYH11	3.96	BO8SN4	YZ	CHI-TCU072W	MYH11	13.15
BN8SN4	YZ	CHI-TCU74W	MYH11	4.68	BO8SN4	YZ	CHI-TCU74W	MYH11	15.38
BN8SN4	YZ	CHI-TCU128-W	MYH11	1.14	BO8SN4	YZ	CHI-TCU128-W	MYH11	2.44
BN8SN4	YZ	CHI-WGK-N	MYH11	4.36	BO8SN4	YZ	CHI-WGK-N	MYH11	13.33
BN8SN4	YZ	COA-PLE045	MYH11	6.65	BO8SN4	YZ	COA-PLE045	MYH11	13.11
BN8SN4	YZ	DZC-BOL000	MYH11	5.79	BO8SN4	YZ	DZC-BOL000	MYH11	14.63
BN8SN4	YZ	DZC-BOL090	MYH11	10.30	BO8SN4	YZ	DZC-BOL090	MYH11	21.77
BN8SN4	YZ	DZC-DZC180	MYH11	5.27	BO8SN4	YZ	DZC-DZC180	MYH11	16.34
BN8SN4	YZ	GAZ-KAR000	MYH11	5.66	BO8SN4	YZ	GAZ-KAR000	MYH11	8.88
BN8SN4	YZ	GAZ-KAR090	MYH11	5.71	BO8SN4	YZ	GAZ-KAR090	MYH11	8.80
BN8SN4	YZ	IMP-ECC092	MYH11	1.67	BO8SN4	YZ	IMP-ECC092	MYH11	9.90
BN8SN4	YZ	IMP-ECM000	MYH11	2.02	BO8SN4	YZ	IMP-ECM000	MYH11	12.60
BN8SN4	YZ	IMP-ELCD-270	MYH11	2.14	BO8SN4	YZ	IMP-ELCD-270	MYH11	8.03
BN8SN4	YZ	IRP-STU270	MYH11	3.14	BO8SN4	YZ	IRP-STU270	MYH11	12.42
BN8SN4	YZ	KOB-KJM090	MYH11	7.49	BO8SN4	YZ	KOB-KJM090	MYH11	20.80
BN8SN4	YZ	KOC-DZC180	MYH11	4.04	BO8SN4	YZ	KOC-DZC180	MYH11	11.11
BN8SN4	YZ	KOC-GBZ000	MYH11	2.95	BO8SN4	YZ	KOC-GBZ000	MYH11	6.10
BN8SN4	YZ	KOC-YAR060	MYH11	2.34	BO8SN4	YZ	KOC-YAR060	MYH11	5.81
BN8SN4	YZ	LOM-HSP000	MYH11	3.19	BO8SN4	YZ	LOM-HSP000	MYH11	18.80
BN8SN4	YZ	LOM-WVC270	MYH11	3.24	BO8SN4	YZ	LOM-WVC270	MYH11	11.32
BN8SN4	YZ	NOR-CNP196	MYH11	5.60	BO8SN4	YZ	NOR-CNP196	MYH11	9.88
BN8SN4	YZ	NOR-MUL009	MYH11	3.15	BO8SN4	YZ	NOR-MUL009	MYH11	17.61
BN8SN4	YZ	NOR-MUL279	MYH11	6.67	BO8SN4	YZ	NOR-MUL279	MYH11	32.63
BN8SN4	YZ	NOR-ORR360	MYH11	7.43	BO8SN4	YZ	NOR-ORR360	MYH11	26.65
BN8SN4	YZ	NOR-RRS318	MYH11	4.00	BO8SN4	YZ	NOR-RRS318	MYH11	12.65

Tablo C.1 (devam): Mevcut binalara ait yerdeğiştirme talepleri

Bina Adı	Analiz Yönü	İvme Kaydı	MYH Grup No	Δ_d (cm)	Bina Adı	Analiz Yönü	İvme Kaydı	MYH Grup No	Δ_d (cm)
BN8SN4	YZ	NOR-SAT180	MYH11	5.31	BO8SN4	YZ	NOR-SAT180	MYH11	17.54
BN8SN4	YZ	NPAL-NPS210	MYH11	3.53	BO8SN4	YZ	NPAL-NPS210	MYH11	12.50
BN8SN4	XZ	CHI-TCU065N	MYH12	6.68	BO8SN4	XZ	CHI-TCU065N	MYH12	20.64
BN8SN4	XZ	CHI-TCU067W	MYH12	7.02	BO8SN4	XZ	CHI-TCU067W	MYH12	13.82
BN8SN4	XZ	CHI-TCU102-N	MYH12	2.65	BO8SN4	XZ	CHI-TCU102-N	MYH12	5.31
BN8SN4	XZ	DZC-BOL000	MYH12	11.11	BO8SN4	XZ	DZC-BOL000	MYH12	17.45
BN8SN4	XZ	DZC-BOL090	MYH12	18.72	BO8SN4	XZ	DZC-BOL090	MYH12	27.10
BN8SN4	XZ	DZC-DZC180	MYH12	10.13	BO8SN4	XZ	DZC-DZC180	MYH12	13.15
BN8SN4	XZ	GAZ-KAR090	MYH12	8.46	BO8SN4	XZ	GAZ-KAR090	MYH12	12.35
BN8SN4	XZ	IMP-ECC092	MYH12	2.97	BO8SN4	XZ	IMP-ECC092	MYH12	9.25
BN8SN4	XZ	IMP-ELC4-230	MYH12	4.33	BO8SN4	XZ	IMP-ELC4-230	MYH12	6.21
BN8SN4	XZ	IMP-ELCD-270	MYH12	4.42	BO8SN4	XZ	IMP-ELCD-270	MYH12	8.94
BN8SN4	XZ	IRP-STU270	MYH12	3.88	BO8SN4	XZ	IRP-STU270	MYH12	10.23
BN8SN4	XZ	KOC-DZC180	MYH12	5.94	BO8SN4	XZ	KOC-DZC180	MYH12	8.81
BN8SN4	XZ	KOC-GBZ000	MYH12	5.05	BO8SN4	XZ	KOC-GBZ000	MYH12	8.20
BN8SN4	XZ	KOC-SKR090	MYH12	2.83	BO8SN4	XZ	KOC-SKR090	MYH12	3.97
BN8SN4	XZ	LAN-YER270	MYH12	5.91	BO8SN4	XZ	LAN-YER270	MYH12	14.78
BN8SN4	XZ	LOM-BRN000	MYH12	10.74	BO8SN4	XZ	LOM-BRN000	MYH12	19.08
BN8SN4	XZ	LOM-WVC270	MYH12	4.71	BO8SN4	XZ	LOM-WVC270	MYH12	12.65
BN8SN4	XZ	NOR-CNP196	MYH12	10.18	BO8SN4	XZ	NOR-CNP196	MYH12	14.38
BN8SN4	XZ	NOR-MUL009	MYH12	9.24	BO8SN4	XZ	NOR-MUL009	MYH12	15.53
BN8SN4	XZ	NOR-MUL279	MYH12	9.62	BO8SN4	XZ	NOR-MUL279	MYH12	24.58
BN8SN4	XZ	NOR-NEW090	MYH12	8.74	BO8SN4	XZ	NOR-NEW090	MYH12	16.69
BN8SN4	XZ	NOR-PAR-L	MYH12	8.78	BO8SN4	XZ	NOR-PAR-L	MYH12	23.24
BN8SN4	XZ	NOR-RRS318	MYH12	7.44	BO8SN4	XZ	NOR-RRS318	MYH12	11.60
BN8SN4	XZ	NOR-SAT180	MYH12	10.34	BO8SN4	XZ	NOR-SAT180	MYH12	21.18
BN8SN4	XZ	NOR-SCE288	MYH12	4.89	BO8SN4	XZ	NOR-SCE288	MYH12	16.19
BN8SN4	XZ	NOR-SEP360	MYH12	9.45	BO8SN4	XZ	NOR-SEP360	MYH12	12.15
BN8SN4	XZ	NOR-SYL090	MYH12	10.32	BO8SN4	XZ	NOR-SYL090	MYH12	21.08
BN8SN4	XZ	NOR-TAR360	MYH12	10.28	BO8SN4	XZ	NOR-TAR360	MYH12	14.20
BN8SN4	XZ	NOR-WPI316	MYH12	6.95	BO8SN4	XZ	NOR-WPI316	MYH12	9.21
BN8SN4	XZ	PRK-C02065	MYH12	8.72	BO8SN4	XZ	PRK-C02065	MYH12	21.58
BN8SN4	YZ	CHI-TCU065N	MYH12	3.11	BO8SN4	YZ	CHI-TCU065N	MYH12	18.50
BN8SN4	YZ	CHI-TCU067W	MYH12	4.36	BO8SN4	YZ	CHI-TCU067W	MYH12	18.05
BN8SN4	YZ	CHI-TCU102-N	MYH12	1.15	BO8SN4	YZ	CHI-TCU102-N	MYH12	6.84
BN8SN4	YZ	DZC-BOL000	MYH12	6.65	BO8SN4	YZ	DZC-BOL000	MYH12	15.96
BN8SN4	YZ	DZC-BOL090	MYH12	11.64	BO8SN4	YZ	DZC-BOL090	MYH12	22.52
BN8SN4	YZ	DZC-DZC180	MYH12	5.52	BO8SN4	YZ	DZC-DZC180	MYH12	17.24
BN8SN4	YZ	GAZ-KAR090	MYH12	6.58	BO8SN4	YZ	GAZ-KAR090	MYH12	9.65
BN8SN4	YZ	IMP-ECC092	MYH12	1.80	BO8SN4	YZ	IMP-ECC092	MYH12	11.01
BN8SN4	YZ	IMP-ELC4-230	MYH12	2.64	BO8SN4	YZ	IMP-ELC4-230	MYH12	7.60
BN8SN4	YZ	IMP-ELCD-270	MYH12	2.31	BO8SN4	YZ	IMP-ELCD-270	MYH12	9.48
BN8SN4	YZ	IRP-STU270	MYH12	3.35	BO8SN4	YZ	IRP-STU270	MYH12	15.46
BN8SN4	YZ	KOC-DZC180	MYH12	4.40	BO8SN4	YZ	KOC-DZC180	MYH12	11.56
BN8SN4	YZ	KOC-GBZ000	MYH12	3.15	BO8SN4	YZ	KOC-GBZ000	MYH12	6.57
BN8SN4	YZ	KOC-SKR090	MYH12	2.25	BO8SN4	YZ	KOC-SKR090	MYH12	3.65
BN8SN4	YZ	LAN-YER270	MYH12	2.17	BO8SN4	YZ	LAN-YER270	MYH12	18.57
BN8SN4	YZ	LOM-BRN000	MYH12	7.31	BO8SN4	YZ	LOM-BRN000	MYH12	31.68
BN8SN4	YZ	LOM-WVC270	MYH12	3.54	BO8SN4	YZ	LOM-WVC270	MYH12	13.11
BN8SN4	YZ	NOR-CNP196	MYH12	6.38	BO8SN4	YZ	NOR-CNP196	MYH12	10.43
BN8SN4	YZ	NOR-MUL009	MYH12	3.57	BO8SN4	YZ	NOR-MUL009	MYH12	18.74
BN8SN4	YZ	NOR-MUL279	MYH12	7.53	BO8SN4	YZ	NOR-MUL279	MYH12	35.59
BN8SN4	YZ	NOR-NEW090	MYH12	6.35	BO8SN4	YZ	NOR-NEW090	MYH12	12.73
BN8SN4	YZ	NOR-PAR-L	MYH12	4.18	BO8SN4	YZ	NOR-PAR-L	MYH12	27.39
BN8SN4	YZ	NOR-RRS318	MYH12	4.09	BO8SN4	YZ	NOR-RRS318	MYH12	14.64
BN8SN4	YZ	NOR-SAT180	MYH12	5.88	BO8SN4	YZ	NOR-SAT180	MYH12	19.84
BN8SN4	YZ	NOR-SCE288	MYH12	2.99	BO8SN4	YZ	NOR-SCE288	MYH12	20.25
BN8SN4	YZ	NOR-SEP360	MYH12	6.01	BO8SN4	YZ	NOR-SEP360	MYH12	7.66
BN8SN4	YZ	NOR-SYL090	MYH12	3.30	BO8SN4	YZ	NOR-SYL090	MYH12	16.17

Tablo C.1 (devam): Mevcut binalara ait yerdeğiştirme talepleri

Bina Adı	Analiz Yönü	İvme Kaydı	MYH Grup No	Δ_d (cm)	Bina Adı	Analiz Yönü	İvme Kaydı	MYH Grup No	Δ_d (cm)
BN8SN4	YZ	NOR-TAR360	MYH12	11.52	BO8SN4	YZ	NOR-TAR360	MYH12	26.62
BN8SN4	YZ	NOR-WPI316	MYH12	2.56	BO8SN4	YZ	NOR-WPI316	MYH12	12.52
BN8SN4	YZ	PRK-C02065	MYH12	5.38	BO8SN4	YZ	PRK-C02065	MYH12	20.03
BN9SN4	XZ	CAP-FOR090	MYH1	2.20	BO9SN4	XZ	CAP-FOR090	MYH1	2.42
BN9SN4	XZ	CHI-CHY010-N	MYH1	4.47	BO9SN4	XZ	CHI-CHY010-N	MYH1	3.24
BN9SN4	XZ	CHI-CHY41W	MYH1	5.04	BO9SN4	XZ	CHI-CHY41W	MYH1	5.36
BN9SN4	XZ	CHI-CHY046N	MYH1	4.14	BO9SN4	XZ	CHI-CHY046N	MYH1	3.94
BN9SN4	XZ	CHI-CHY047-E	MYH1	3.04	BO9SN4	XZ	CHI-CHY047-E	MYH1	2.89
BN9SN4	XZ	COA-CAK270	MYH1	4.26	BO9SN4	XZ	COA-CAK270	MYH1	6.76
BN9SN4	XZ	COY-G06320	MYH1	3.51	BO9SN4	XZ	COY-G06320	MYH1	3.63
BN9SN4	XZ	FRI-TMZ000	MYH1	3.83	BO9SN4	XZ	FRI-TMZ000	MYH1	3.48
BN9SN4	XZ	IMP-E12230	MYH1	2.12	BO9SN4	XZ	IMP-E12230	MYH1	2.10
BN9SN4	XZ	IMP-SAH000	MYH1	3.64	BO9SN4	XZ	IMP-SAH000	MYH1	3.65
BN9SN4	XZ	IRP-BIS000	MYH1	1.66	BO9SN4	XZ	IRP-BIS000	MYH1	1.64
BN9SN4	XZ	KOC-IZM180	MYH1	4.11	BO9SN4	XZ	KOC-IZM180	MYH1	3.40
BN9SN4	XZ	LAN-ABY090	MYH1	2.78	BO9SN4	XZ	LAN-ABY090	MYH1	2.71
BN9SN4	XZ	LAN-DSP000	MYH1	2.77	BO9SN4	XZ	LAN-DSP000	MYH1	3.19
BN9SN4	XZ	LIV-DVD246	MYH1	2.80	BO9SN4	XZ	LIV-DVD246	MYH1	2.58
BN9SN4	XZ	LOM-BRK090	MYH1	3.16	BO9SN4	XZ	LOM-BRK090	MYH1	4.45
BN9SN4	XZ	LOM-CLD285	MYH1	3.40	BO9SN4	XZ	LOM-CLD285	MYH1	3.25
BN9SN4	XZ	LOM-GGV337	MYH1	5.60	BO9SN4	XZ	LOM-GGV337	MYH1	4.18
BN9SN4	XZ	NOR-CWC270	MYH1	3.82	BO9SN4	XZ	NOR-CWC270	MYH1	4.04
BN9SN4	XZ	NOR-LOS090	MYH1	3.64	BO9SN4	XZ	NOR-LOS090	MYH1	4.78
BN9SN4	XZ	NOR-LOS360	MYH1	4.37	BO9SN4	XZ	NOR-LOS360	MYH1	6.38
BN9SN4	XZ	PRK-CHO355	MYH1	4.92	BO9SN4	XZ	PRK-CHO355	MYH1	3.34
BN9SN4	XZ	PRK-TMB205	MYH1	3.23	BO9SN4	XZ	PRK-TMB205	MYH1	2.48
BN9SN4	XZ	SUP-PLS135	MYH1	4.15	BO9SN4	XZ	SUP-PLS135	MYH1	3.79
BN9SN4	XZ	TAB-DAY-LN	MYH1	4.20	BO9SN4	XZ	TAB-DAY-LN	MYH1	3.69
BN9SN4	XZ	VIC-CPE315	MYH1	5.24	BO9SN4	XZ	VIC-CPE315	MYH1	3.70
BN9SN4	XZ	WHI-ALH180	MYH1	3.74	BO9SN4	XZ	WHI-ALH180	MYH1	4.75
BN9SN4	XZ	WHI-GRN180	MYH1	6.45	BO9SN4	XZ	WHI-GRN180	MYH1	6.61
BN9SN4	XZ	WHI-OBR360	MYH1	3.35	BO9SN4	XZ	WHI-OBR360	MYH1	4.69
BN9SN4	YZ	CAP-FOR090	MYH1	2.23	BO9SN4	YZ	CAP-FOR090	MYH1	1.62
BN9SN4	YZ	CHI-CHY010-N	MYH1	4.57	BO9SN4	YZ	CHI-CHY010-N	MYH1	3.04
BN9SN4	YZ	CHI-CHY41W	MYH1	4.47	BO9SN4	YZ	CHI-CHY41W	MYH1	2.91
BN9SN4	YZ	CHI-CHY046N	MYH1	4.06	BO9SN4	YZ	CHI-CHY046N	MYH1	2.28
BN9SN4	YZ	CHI-CHY047-E	MYH1	2.79	BO9SN4	YZ	CHI-CHY047-E	MYH1	2.19
BN9SN4	YZ	COA-CAK270	MYH1	4.85	BO9SN4	YZ	COA-CAK270	MYH1	3.29
BN9SN4	YZ	COY-G06320	MYH1	3.76	BO9SN4	YZ	COY-G06320	MYH1	3.62
BN9SN4	YZ	FRI-TMZ000	MYH1	3.81	BO9SN4	YZ	FRI-TMZ000	MYH1	2.74
BN9SN4	YZ	IMP-E12230	MYH1	1.78	BO9SN4	YZ	IMP-E12230	MYH1	1.13
BN9SN4	YZ	IMP-SAH000	MYH1	3.62	BO9SN4	YZ	IMP-SAH000	MYH1	3.01
BN9SN4	YZ	IRP-BIS000	MYH1	1.58	BO9SN4	YZ	IRP-BIS000	MYH1	1.63
BN9SN4	YZ	KOC-IZM180	MYH1	3.71	BO9SN4	YZ	KOC-IZM180	MYH1	2.29
BN9SN4	YZ	LAN-ABY090	MYH1	2.03	BO9SN4	YZ	LAN-ABY090	MYH1	1.73
BN9SN4	YZ	LAN-DSP000	MYH1	2.68	BO9SN4	YZ	LAN-DSP000	MYH1	2.07
BN9SN4	YZ	LIV-DVD246	MYH1	2.60	BO9SN4	YZ	LIV-DVD246	MYH1	1.79
BN9SN4	YZ	LOM-BRK090	MYH1	2.88	BO9SN4	YZ	LOM-BRK090	MYH1	1.96
BN9SN4	YZ	LOM-CLD285	MYH1	3.19	BO9SN4	YZ	LOM-CLD285	MYH1	2.42
BN9SN4	YZ	LOM-GGV337	MYH1	5.13	BO9SN4	YZ	LOM-GGV337	MYH1	2.62
BN9SN4	YZ	NOR-CWC270	MYH1	3.63	BO9SN4	YZ	NOR-CWC270	MYH1	3.22
BN9SN4	YZ	NOR-LOS090	MYH1	3.55	BO9SN4	YZ	NOR-LOS090	MYH1	2.21
BN9SN4	YZ	NOR-LOS360	MYH1	5.13	BO9SN4	YZ	NOR-LOS360	MYH1	3.50
BN9SN4	YZ	PRK-CHO355	MYH1	5.47	BO9SN4	YZ	PRK-CHO355	MYH1	4.68
BN9SN4	YZ	PRK-TMB205	MYH1	3.58	BO9SN4	YZ	PRK-TMB205	MYH1	3.20
BN9SN4	YZ	SUP-PLS135	MYH1	3.84	BO9SN4	YZ	SUP-PLS135	MYH1	2.70
BN9SN4	YZ	TAB-DAY-LN	MYH1	4.24	BO9SN4	YZ	TAB-DAY-LN	MYH1	2.66
BN9SN4	YZ	VIC-CPE315	MYH1	4.74	BO9SN4	YZ	VIC-CPE315	MYH1	2.87
BN9SN4	YZ	WHI-ALH180	MYH1	3.97	BO9SN4	YZ	WHI-ALH180	MYH1	3.13

Tablo C.1 (devam): Mevcut binalara ait yerdeğiştirme talepleri

Bina Adı	Analiz Yönü	İvme Kaydı	MYH Grup No	Δ_d (cm)	Bina Adı	Analiz Yönü	İvme Kaydı	MYH Grup No	Δ_d (cm)
BN9SN4	YZ	WHI-GRN180	MYH1	5.82	BO9SN4	YZ	WHI-GRN180	MYH1	3.89
BN9SN4	YZ	WHI-OBR360	MYH1	3.83	BO9SN4	YZ	WHI-OBR360	MYH1	3.16
BN9SN4	XZ	CHI-TCU141-N	MYH2	1.93	BO9SN4	XZ	CHI-TCU141-N	MYH2	1.88
BN9SN4	XZ	COA-PV1090	MYH2	3.24	BO9SN4	XZ	COA-PV1090	MYH2	5.32
BN9SN4	XZ	COA-Z14090	MYH2	6.04	BO9SN4	XZ	COA-Z14090	MYH2	8.75
BN9SN4	XZ	COY-G02140	MYH2	3.27	BO9SN4	XZ	COY-G02140	MYH2	6.41
BN9SN4	XZ	COY-G03140	MYH2	4.20	BO9SN4	XZ	COY-G03140	MYH2	5.65
BN9SN4	XZ	IMP-AER315	MYH2	3.23	BO9SN4	XZ	IMP-AER315	MYH2	4.27
BN9SN4	XZ	IMP-DLT262	MYH2	4.28	BO9SN4	XZ	IMP-DLT262	MYH2	5.50
BN9SN4	XZ	KOB-KAK090	MYH2	4.01	BO9SN4	XZ	KOB-KAK090	MYH2	4.23
BN9SN4	XZ	KOB-SHI090	MYH2	6.38	BO9SN4	XZ	KOB-SHI090	MYH2	6.25
BN9SN4	XZ	LAN-CLVLN	MYH2	4.32	BO9SN4	XZ	LAN-CLVLN	MYH2	6.11
BN9SN4	XZ	LAN-JOS000	MYH2	4.78	BO9SN4	XZ	LAN-JOS000	MYH2	5.89
BN9SN4	XZ	LOM-CAP090	MYH2	8.98	BO9SN4	XZ	LOM-CAP090	MYH2	8.03
BN9SN4	XZ	LOM-GGV067	MYH2	3.43	BO9SN4	XZ	LOM-GGV067	MYH2	4.42
BN9SN4	XZ	LOM-HSP090	MYH2	4.74	BO9SN4	XZ	LOM-HSP090	MYH2	4.51
BN9SN4	XZ	LOM-SFO000	MYH2	5.90	BO9SN4	XZ	LOM-SFO000	MYH2	4.47
BN9SN4	XZ	LOM-SFO090	MYH2	6.57	BO9SN4	XZ	LOM-SFO090	MYH2	6.81
BN9SN4	XZ	LOM-WAH000	MYH2	6.39	BO9SN4	XZ	LOM-WAH000	MYH2	5.33
BN9SN4	XZ	MAM-LUL000	MYH2	6.43	BO9SN4	XZ	MAM-LUL000	MYH2	4.82
BN9SN4	XZ	MOR-AND250	MYH2	4.18	BO9SN4	XZ	MOR-AND250	MYH2	4.60
BN9SN4	XZ	MOR-AND340	MYH2	6.54	BO9SN4	XZ	MOR-AND340	MYH2	7.26
BN9SN4	XZ	NOR-CHL160	MYH2	6.22	BO9SN4	XZ	NOR-CHL160	MYH2	7.75
BN9SN4	XZ	NOR-CWC180	MYH2	3.32	BO9SN4	XZ	NOR-CWC180	MYH2	5.76
BN9SN4	XZ	NOR-SAT090	MYH2	5.15	BO9SN4	XZ	NOR-SAT090	MYH2	6.78
BN9SN4	XZ	NPAL-DSP000	MYH2	4.92	BO9SN4	XZ	NPAL-DSP000	MYH2	6.95
BN9SN4	XZ	PRK-CHO085	MYH2	4.12	BO9SN4	XZ	PRK-CHO085	MYH2	4.43
BN9SN4	XZ	SFD-ORR291	MYH2	5.21	BO9SN4	XZ	SFD-ORR291	MYH2	4.36
BN9SN4	XZ	SPI-GUK000	MYH2	3.40	BO9SN4	XZ	SPI-GUK000	MYH2	4.19
BN9SN4	XZ	TAB-DAY-TR	MYH2	5.53	BO9SN4	XZ	TAB-DAY-TR	MYH2	6.77
BN9SN4	XZ	WES-PTS315	MYH2	3.47	BO9SN4	XZ	WES-PTS315	MYH2	7.02
BN9SN4	XZ	WHI-DEL000	MYH2	6.71	BO9SN4	XZ	WHI-DEL000	MYH2	5.98
BN9SN4	XZ	WHI-DWN180	MYH2	5.42	BO9SN4	XZ	WHI-DWN180	MYH2	8.01
BN9SN4	YZ	CHI-TCU141-N	MYH2	1.52	BO9SN4	YZ	CHI-TCU141-N	MYH2	1.09
BN9SN4	YZ	COA-PV1090	MYH2	3.01	BO9SN4	YZ	COA-PV1090	MYH2	3.38
BN9SN4	YZ	COA-Z14090	MYH2	5.61	BO9SN4	YZ	COA-Z14090	MYH2	3.48
BN9SN4	YZ	COY-G02140	MYH2	2.93	BO9SN4	YZ	COY-G02140	MYH2	2.91
BN9SN4	YZ	COY-G03140	MYH2	3.50	BO9SN4	YZ	COY-G03140	MYH2	2.90
BN9SN4	YZ	IMP-AER315	MYH2	3.60	BO9SN4	YZ	IMP-AER315	MYH2	3.45
BN9SN4	YZ	IMP-DLT262	MYH2	3.91	BO9SN4	YZ	IMP-DLT262	MYH2	4.07
BN9SN4	YZ	KOB-KAK090	MYH2	4.01	BO9SN4	YZ	KOB-KAK090	MYH2	4.49
BN9SN4	YZ	KOB-SHI090	MYH2	5.67	BO9SN4	YZ	KOB-SHI090	MYH2	4.33
BN9SN4	YZ	LAN-CLVLN	MYH2	4.56	BO9SN4	YZ	LAN-CLVLN	MYH2	3.31
BN9SN4	YZ	LAN-JOS000	MYH2	3.76	BO9SN4	YZ	LAN-JOS000	MYH2	4.55
BN9SN4	YZ	LOM-CAP090	MYH2	8.29	BO9SN4	YZ	LOM-CAP090	MYH2	8.95
BN9SN4	YZ	LOM-GGV067	MYH2	4.02	BO9SN4	YZ	LOM-GGV067	MYH2	3.34
BN9SN4	YZ	LOM-HSP090	MYH2	4.93	BO9SN4	YZ	LOM-HSP090	MYH2	3.83
BN9SN4	YZ	LOM-SFO000	MYH2	5.44	BO9SN4	YZ	LOM-SFO000	MYH2	3.36
BN9SN4	YZ	LOM-SFO090	MYH2	5.54	BO9SN4	YZ	LOM-SFO090	MYH2	4.57
BN9SN4	YZ	LOM-WAH000	MYH2	4.99	BO9SN4	YZ	LOM-WAH000	MYH2	3.56
BN9SN4	YZ	MAM-LUL000	MYH2	7.14	BO9SN4	YZ	MAM-LUL000	MYH2	5.32
BN9SN4	YZ	MOR-AND250	MYH2	4.68	BO9SN4	YZ	MOR-AND250	MYH2	4.04
BN9SN4	YZ	MOR-AND340	MYH2	6.00	BO9SN4	YZ	MOR-AND340	MYH2	4.17
BN9SN4	YZ	NOR-CHL160	MYH2	5.08	BO9SN4	YZ	NOR-CHL160	MYH2	3.10
BN9SN4	YZ	NOR-CWC180	MYH2	3.25	BO9SN4	YZ	NOR-CWC180	MYH2	1.91
BN9SN4	YZ	NOR-SAT090	MYH2	4.20	BO9SN4	YZ	NOR-SAT090	MYH2	3.63
BN9SN4	YZ	NPAL-DSP000	MYH2	3.76	BO9SN4	YZ	NPAL-DSP000	MYH2	2.78
BN9SN4	YZ	PRK-CHO085	MYH2	4.12	BO9SN4	YZ	PRK-CHO085	MYH2	3.51
BN9SN4	YZ	SFD-ORR291	MYH2	4.69	BO9SN4	YZ	SFD-ORR291	MYH2	3.41

Tablo C.1 (devam): Mevcut binalara ait yerdeğiştirme talepleri

Bina Adı	Analiz Yönü	İvme Kaydı	MYH Grup No	Δ_d (cm)	Bina Adı	Analiz Yönü	İvme Kaydı	MYH Grup No	Δ_d (cm)
BN9SN4	YZ	SPI-GUK000	MYH2	3.29	BO9SN4	YZ	SPI-GUK000	MYH2	2.70
BN9SN4	YZ	TAB-DAY-TR	MYH2	5.72	BO9SN4	YZ	TAB-DAY-TR	MYH2	4.49
BN9SN4	YZ	WES-PTS315	MYH2	3.03	BO9SN4	YZ	WES-PTS315	MYH2	3.24
BN9SN4	YZ	WHI-DEL000	MYH2	6.56	BO9SN4	YZ	WHI-DEL000	MYH2	4.53
BN9SN4	YZ	WHI-DWN180	MYH2	4.64	BO9SN4	YZ	WHI-DWN180	MYH2	3.34
BN9SN4	XZ	CAP-FOR000	MYH3	1.97	BO9SN4	XZ	CAP-FOR000	MYH3	3.49
BN9SN4	XZ	CHI-CHY29W	MYH3	6.12	BO9SN4	XZ	CHI-CHY29W	MYH3	7.01
BN9SN4	XZ	CHI-TCU046N	MYH3	2.83	BO9SN4	XZ	CHI-TCU046N	MYH3	2.09
BN9SN4	XZ	CHI-TCU112-N	MYH3	1.72	BO9SN4	XZ	CHI-TCU112-N	MYH3	1.80
BN9SN4	XZ	CHI-TCU118-N	MYH3	2.71	BO9SN4	XZ	CHI-TCU118-N	MYH3	2.75
BN9SN4	XZ	FRI-TMZ270	MYH3	6.79	BO9SN4	XZ	FRI-TMZ270	MYH3	7.50
BN9SN4	XZ	IMP-ELC2-140	MYH3	4.81	BO9SN4	XZ	IMP-ELC2-140	MYH3	6.37
BN9SN4	XZ	IMP-ELC11-140	MYH3	4.07	BO9SN4	XZ	IMP-ELC11-140	MYH3	4.79
BN9SN4	XZ	IMP-SAH270	MYH3	5.33	BO9SN4	XZ	IMP-SAH270	MYH3	5.59
BN9SN4	XZ	KOC-AMB090	MYH3	4.57	BO9SN4	XZ	KOC-AMB090	MYH3	8.97
BN9SN4	XZ	KOC-GBZ270	MYH3	2.76	BO9SN4	XZ	KOC-GBZ270	MYH3	2.23
BN9SN4	XZ	KOC-IZM090	MYH3	4.18	BO9SN4	XZ	KOC-IZM090	MYH3	5.33
BN9SN4	XZ	LAN-LUC000	MYH3	4.47	BO9SN4	XZ	LAN-LUC000	MYH3	4.84
BN9SN4	XZ	LAN-YER360	MYH3	2.63	BO9SN4	XZ	LAN-YER360	MYH3	3.89
BN9SN4	XZ	LOM-A02133	MYH3	6.34	BO9SN4	XZ	LOM-A02133	MYH3	9.61
BN9SN4	XZ	LOM-G01000	MYH3	3.51	BO9SN4	XZ	LOM-G01000	MYH3	3.71
BN9SN4	XZ	LOM-G01090	MYH3	5.49	BO9SN4	XZ	LOM-G01090	MYH3	5.45
BN9SN4	XZ	LOM-G02000	MYH3	5.80	BO9SN4	XZ	LOM-G02000	MYH3	9.32
BN9SN4	XZ	LOM-TRI090	MYH3	5.55	BO9SN4	XZ	LOM-TRI090	MYH3	6.40
BN9SN4	XZ	MAM-LUL090	MYH3	6.32	BO9SN4	XZ	MAM-LUL090	MYH3	9.37
BN9SN4	XZ	NOR-CNP106	MYH3	6.59	BO9SN4	XZ	NOR-CNP106	MYH3	9.17
BN9SN4	XZ	NOR-PAC265	MYH3	5.23	BO9SN4	XZ	NOR-PAC265	MYH3	6.45
BN9SN4	XZ	NOR-PKC090	MYH3	7.05	BO9SN4	XZ	NOR-PKC090	MYH3	10.16
BN9SN4	XZ	NOR-WIL180	MYH3	5.16	BO9SN4	XZ	NOR-WIL180	MYH3	8.92
BN9SN4	XZ	NPAL-MVH045	MYH3	4.07	BO9SN4	XZ	NPAL-MVH045	MYH3	6.70
BN9SN4	XZ	NPAL-NPS300	MYH3	6.61	BO9SN4	XZ	NPAL-NPS300	MYH3	6.18
BN9SN4	XZ	NPAL-WWT270	MYH3	6.20	BO9SN4	XZ	NPAL-WWT270	MYH3	8.52
BN9SN4	XZ	SUP-IVW090	MYH3	2.40	BO9SN4	XZ	SUP-IVW090	MYH3	2.96
BN9SN4	XZ	SUP-IVW360	MYH3	4.55	BO9SN4	XZ	SUP-IVW360	MYH3	4.92
BN9SN4	XZ	SUP-KRN360	MYH3	3.30	BO9SN4	XZ	SUP-KRN360	MYH3	4.25
BN9SN4	XZ	SUP-POE360	MYH3	5.47	BO9SN4	XZ	SUP-POE360	MYH3	4.50
BN9SN4	XZ	SUP-SUP045	MYH3	6.04	BO9SN4	XZ	SUP-SUP045	MYH3	5.99
BN9SN4	XZ	VIC-CPE045	MYH3	6.22	BO9SN4	XZ	VIC-CPE045	MYH3	12.56
BN9SN4	XZ	WHI-OR2010	MYH3	6.28	BO9SN4	XZ	WHI-OR2010	MYH3	7.18
BN9SN4	YZ	CAP-FOR000	MYH3	1.93	BO9SN4	YZ	CAP-FOR000	MYH3	1.70
BN9SN4	YZ	CHI-CHY29W	MYH3	5.60	BO9SN4	YZ	CHI-CHY29W	MYH3	5.03
BN9SN4	YZ	CHI-TCU046N	MYH3	2.68	BO9SN4	YZ	CHI-TCU046N	MYH3	1.20
BN9SN4	YZ	CHI-TCU112-N	MYH3	1.49	BO9SN4	YZ	CHI-TCU112-N	MYH3	1.28
BN9SN4	YZ	CHI-TCU118-N	MYH3	2.23	BO9SN4	YZ	CHI-TCU118-N	MYH3	1.37
BN9SN4	YZ	FRI-TMZ270	MYH3	6.51	BO9SN4	YZ	FRI-TMZ270	MYH3	5.21
BN9SN4	YZ	IMP-ELC2-140	MYH3	3.94	BO9SN4	YZ	IMP-ELC2-140	MYH3	4.03
BN9SN4	YZ	IMP-ELC11-140	MYH3	3.90	BO9SN4	YZ	IMP-ELC11-140	MYH3	3.08
BN9SN4	YZ	IMP-SAH270	MYH3	4.77	BO9SN4	YZ	IMP-SAH270	MYH3	4.07
BN9SN4	YZ	KOC-AMB090	MYH3	3.89	BO9SN4	YZ	KOC-AMB090	MYH3	3.08
BN9SN4	YZ	KOC-GBZ270	MYH3	3.18	BO9SN4	YZ	KOC-GBZ270	MYH3	2.48
BN9SN4	YZ	KOC-IZM090	MYH3	3.16	BO9SN4	YZ	KOC-IZM090	MYH3	1.72
BN9SN4	YZ	LAN-LUC000	MYH3	3.71	BO9SN4	YZ	LAN-LUC000	MYH3	2.64
BN9SN4	YZ	LAN-YER360	MYH3	2.96	BO9SN4	YZ	LAN-YER360	MYH3	2.39
BN9SN4	YZ	LOM-A02133	MYH3	4.79	BO9SN4	YZ	LOM-A02133	MYH3	2.85
BN9SN4	YZ	LOM-G01000	MYH3	3.68	BO9SN4	YZ	LOM-G01000	MYH3	3.25
BN9SN4	YZ	LOM-G01090	MYH3	5.67	BO9SN4	YZ	LOM-G01090	MYH3	4.34
BN9SN4	YZ	LOM-G02000	MYH3	4.57	BO9SN4	YZ	LOM-G02000	MYH3	5.02
BN9SN4	YZ	LOM-TRI090	MYH3	4.43	BO9SN4	YZ	LOM-TRI090	MYH3	2.50
BN9SN4	YZ	MAM-LUL090	MYH3	6.07	BO9SN4	YZ	MAM-LUL090	MYH3	4.12

Tablo C.1 (devam): Mevcut binalara ait yerdeğiştirme talepleri

Bina Adı	Analiz Yönü	İvme Kaydı	MYH Grup No	Δ_d (cm)	Bina Adı	Analiz Yönü	İvme Kaydı	MYH Grup No	Δ_d (cm)
BN9SN4	YZ	NOR-CNP106	MYH3	5.04	BO9SN4	YZ	NOR-CNP106	MYH3	4.90
BN9SN4	YZ	NOR-PAC265	MYH3	5.42	BO9SN4	YZ	NOR-PAC265	MYH3	3.91
BN9SN4	YZ	NOR-PKC090	MYH3	6.53	BO9SN4	YZ	NOR-PKC090	MYH3	5.53
BN9SN4	YZ	NOR-WIL180	MYH3	4.81	BO9SN4	YZ	NOR-WIL180	MYH3	4.19
BN9SN4	YZ	NPAL-MVH045	MYH3	3.26	BO9SN4	YZ	NPAL-MVH045	MYH3	2.39
BN9SN4	YZ	NPAL-NPS300	MYH3	5.91	BO9SN4	YZ	NPAL-NPS300	MYH3	5.26
BN9SN4	YZ	NPAL-WWT270	MYH3	6.16	BO9SN4	YZ	NPAL-WWT270	MYH3	7.33
BN9SN4	YZ	SUP-IVW090	MYH3	2.07	BO9SN4	YZ	SUP-IVW090	MYH3	1.75
BN9SN4	YZ	SUP-IVW360	MYH3	4.16	BO9SN4	YZ	SUP-IVW360	MYH3	2.56
BN9SN4	YZ	SUP-KRN360	MYH3	2.61	BO9SN4	YZ	SUP-KRN360	MYH3	2.41
BN9SN4	YZ	SUP-POE360	MYH3	4.31	BO9SN4	YZ	SUP-POE360	MYH3	3.01
BN9SN4	YZ	SUP-SUP045	MYH3	6.07	BO9SN4	YZ	SUP-SUP045	MYH3	5.61
BN9SN4	YZ	VIC-CPE045	MYH3	6.05	BO9SN4	YZ	VIC-CPE045	MYH3	7.55
BN9SN4	YZ	WHI-OR2010	MYH3	4.95	BO9SN4	YZ	WHI-OR2010	MYH3	4.07
BN9SN4	XZ	CHI-CHY29N	MYH4	7.31	BO9SN4	XZ	CHI-CHY29N	MYH4	6.94
BN9SN4	XZ	CHI-CHY036W	MYH4	7.56	BO9SN4	XZ	CHI-CHY036W	MYH4	10.66
BN9SN4	XZ	CHI-CHY41N	MYH4	9.26	BO9SN4	XZ	CHI-CHY41N	MYH4	7.47
BN9SN4	XZ	CHI-TCU45N	MYH4	10.10	BO9SN4	XZ	CHI-TCU45N	MYH4	7.16
BN9SN4	XZ	CHI-TCU45W	MYH4	6.72	BO9SN4	XZ	CHI-TCU45W	MYH4	9.59
BN9SN4	XZ	CHI-TCU51N	MYH4	4.84	BO9SN4	XZ	CHI-TCU51N	MYH4	6.57
BN9SN4	XZ	COA-PLE135	MYH4	8.56	BO9SN4	XZ	COA-PLE135	MYH4	9.37
BN9SN4	XZ	IMP-BRA225	MYH4	1.50	BO9SN4	XZ	IMP-BRA225	MYH4	1.91
BN9SN4	XZ	IMP-BRA315	MYH4	4.42	BO9SN4	XZ	IMP-BRA315	MYH4	5.33
BN9SN4	XZ	IMP-ECC002	MYH4	5.40	BO9SN4	XZ	IMP-ECC002	MYH4	7.96
BN9SN4	XZ	IMP-ELC4-140	MYH4	8.82	BO9SN4	XZ	IMP-ELC4-140	MYH4	15.23
BN9SN4	XZ	IRP-STU000	MYH4	5.13	BO9SN4	XZ	IRP-STU000	MYH4	6.49
BN9SN4	XZ	KOB-NIS000	MYH4	6.93	BO9SN4	XZ	KOB-NIS000	MYH4	6.12
BN9SN4	XZ	KOB-NIS090	MYH4	6.68	BO9SN4	XZ	KOB-NIS090	MYH4	10.00
BN9SN4	XZ	KOB-SHI000	MYH4	6.21	BO9SN4	XZ	KOB-SHI000	MYH4	6.89
BN9SN4	XZ	KOC-ARC090	MYH4	1.71	BO9SN4	XZ	KOC-ARC090	MYH4	2.93
BN9SN4	XZ	LOM-G02090	MYH4	4.70	BO9SN4	XZ	LOM-G02090	MYH4	9.07
BN9SN4	XZ	LOM-G03000	MYH4	5.29	BO9SN4	XZ	LOM-G03000	MYH4	5.78
BN9SN4	XZ	LOM-HDA255	MYH4	6.59	BO9SN4	XZ	LOM-HDA255	MYH4	11.19
BN9SN4	XZ	LOM-SVL360	MYH4	3.99	BO9SN4	XZ	LOM-SVL360	MYH4	3.23
BN9SN4	XZ	MOR-G06090	MYH4	6.60	BO9SN4	XZ	MOR-G06090	MYH4	7.30
BN9SN4	XZ	MOR-HAL240	MYH4	7.71	BO9SN4	XZ	MOR-HAL240	MYH4	11.70
BN9SN4	XZ	NOR-KAT090	MYH4	8.09	BO9SN4	XZ	NOR-KAT090	MYH4	7.41
BN9SN4	XZ	NOR-SCR090	MYH4	6.02	BO9SN4	XZ	NOR-SCR090	MYH4	5.14
BN9SN4	XZ	NOR-STN020	MYH4	7.80	BO9SN4	XZ	NOR-STN020	MYH4	9.32
BN9SN4	XZ	NPAL-WWT180	MYH4	5.40	BO9SN4	XZ	NPAL-WWT180	MYH4	8.51
BN9SN4	XZ	SUP-POE270	MYH4	5.59	BO9SN4	XZ	SUP-POE270	MYH4	7.27
BN9SN4	XZ	WES-PTS225	MYH4	4.93	BO9SN4	XZ	WES-PTS225	MYH4	5.11
BN9SN4	XZ	WHI-BIR180	MYH4	8.23	BO9SN4	XZ	WHI-BIR180	MYH4	9.65
BN9SN4	XZ	WHI-EJS048	MYH4	7.91	BO9SN4	XZ	WHI-EJS048	MYH4	5.60
BN9SN4	YZ	CHI-CHY29N	MYH4	6.17	BO9SN4	YZ	CHI-CHY29N	MYH4	5.41
BN9SN4	YZ	CHI-CHY036W	MYH4	7.34	BO9SN4	YZ	CHI-CHY036W	MYH4	6.16
BN9SN4	YZ	CHI-CHY41N	MYH4	9.94	BO9SN4	YZ	CHI-CHY41N	MYH4	8.78
BN9SN4	YZ	CHI-TCU45N	MYH4	9.41	BO9SN4	YZ	CHI-TCU45N	MYH4	8.73
BN9SN4	YZ	CHI-TCU45W	MYH4	6.58	BO9SN4	YZ	CHI-TCU45W	MYH4	5.36
BN9SN4	YZ	CHI-TCU51N	MYH4	3.30	BO9SN4	YZ	CHI-TCU51N	MYH4	2.73
BN9SN4	YZ	COA-PLE135	MYH4	7.82	BO9SN4	YZ	COA-PLE135	MYH4	7.17
BN9SN4	YZ	IMP-BRA225	MYH4	1.37	BO9SN4	YZ	IMP-BRA225	MYH4	0.98
BN9SN4	YZ	IMP-BRA315	MYH4	3.97	BO9SN4	YZ	IMP-BRA315	MYH4	3.35
BN9SN4	YZ	IMP-ECC002	MYH4	5.33	BO9SN4	YZ	IMP-ECC002	MYH4	3.28
BN9SN4	YZ	IMP-ELC4-140	MYH4	7.74	BO9SN4	YZ	IMP-ELC4-140	MYH4	6.90
BN9SN4	YZ	IRP-STU000	MYH4	4.39	BO9SN4	YZ	IRP-STU000	MYH4	3.01
BN9SN4	YZ	KOB-NIS000	MYH4	6.91	BO9SN4	YZ	KOB-NIS000	MYH4	6.22
BN9SN4	YZ	KOB-NIS090	MYH4	6.51	BO9SN4	YZ	KOB-NIS090	MYH4	6.00
BN9SN4	YZ	KOB-SHI000	MYH4	4.35	BO9SN4	YZ	KOB-SHI000	MYH4	5.05

Tablo C.1 (devam): Mevcut binalara ait yerdeğiştirme talepleri

Bina Adı	Analiz Yönü	İvme Kaydı	MYH Grup No	Δ_d (cm)	Bina Adı	Analiz Yönü	İvme Kaydı	MYH Grup No	Δ_d (cm)
BN9SN4	YZ	KOC-ARC090	MYH4	1.59	BO9SN4	YZ	KOC-ARC090	MYH4	1.19
BN9SN4	YZ	LOM-G02090	MYH4	4.20	BO9SN4	YZ	LOM-G02090	MYH4	3.66
BN9SN4	YZ	LOM-G03000	MYH4	5.05	BO9SN4	YZ	LOM-G03000	MYH4	4.25
BN9SN4	YZ	LOM-HDA255	MYH4	6.45	BO9SN4	YZ	LOM-HDA255	MYH4	6.00
BN9SN4	YZ	LOM-SVL360	MYH4	3.31	BO9SN4	YZ	LOM-SVL360	MYH4	2.32
BN9SN4	YZ	MOR-G06090	MYH4	5.84	BO9SN4	YZ	MOR-G06090	MYH4	4.37
BN9SN4	YZ	MOR-HAL240	MYH4	6.88	BO9SN4	YZ	MOR-HAL240	MYH4	4.49
BN9SN4	YZ	NOR-KAT090	MYH4	7.59	BO9SN4	YZ	NOR-KAT090	MYH4	8.75
BN9SN4	YZ	NOR-SCR090	MYH4	4.62	BO9SN4	YZ	NOR-SCR090	MYH4	3.56
BN9SN4	YZ	NOR-STN020	MYH4	6.62	BO9SN4	YZ	NOR-STN020	MYH4	6.00
BN9SN4	YZ	NPAL-WWT180	MYH4	5.64	BO9SN4	YZ	NPAL-WWT180	MYH4	4.55
BN9SN4	YZ	SUP-POE270	MYH4	4.73	BO9SN4	YZ	SUP-POE270	MYH4	5.68
BN9SN4	YZ	WES-PTS225	MYH4	4.69	BO9SN4	YZ	WES-PTS225	MYH4	3.55
BN9SN4	YZ	WHI-BIR180	MYH4	6.11	BO9SN4	YZ	WHI-BIR180	MYH4	5.56
BN9SN4	YZ	WHI-EJS048	MYH4	7.53	BO9SN4	YZ	WHI-EJS048	MYH4	5.52
BN9SN4	XZ	CAP-RIO270	MYH5	8.17	BO9SN4	XZ	CAP-RIO270	MYH5	11.53
BN9SN4	XZ	CAP-RIO360	MYH5	7.66	BO9SN4	XZ	CAP-RIO360	MYH5	8.00
BN9SN4	XZ	CHI-TCU046W	MYH5	2.56	BO9SN4	XZ	CHI-TCU046W	MYH5	2.65
BN9SN4	XZ	CHI-TCU061N	MYH5	3.38	BO9SN4	XZ	CHI-TCU061N	MYH5	3.82
BN9SN4	XZ	CHI-TCU74N	MYH5	8.20	BO9SN4	XZ	CHI-TCU74N	MYH5	10.27
BN9SN4	XZ	CHI-TCU112-W	MYH5	1.55	BO9SN4	XZ	CHI-TCU112-W	MYH5	2.12
BN9SN4	XZ	CHI-TCU123-W	MYH5	3.92	BO9SN4	XZ	CHI-TCU123-W	MYH5	6.67
BN9SN4	XZ	CHI-TCU141-E	MYH5	1.92	BO9SN4	XZ	CHI-TCU141-E	MYH5	2.34
BN9SN4	XZ	CHI-WNTN	MYH5	4.12	BO9SN4	XZ	CHI-WNTN	MYH5	12.42
BN9SN4	XZ	COA-Z14000	MYH5	4.99	BO9SN4	XZ	COA-Z14000	MYH5	9.63
BN9SN4	XZ	IMP-AER045	MYH5	4.64	BO9SN4	XZ	IMP-AER045	MYH5	5.76
BN9SN4	XZ	IMP-ELC3-230	MYH5	4.01	BO9SN4	XZ	IMP-ELC3-230	MYH5	3.69
BN9SN4	XZ	IMP-ELC11-230	MYH5	4.57	BO9SN4	XZ	IMP-ELC11-230	MYH5	6.06
BN9SN4	XZ	IMP-ELCD-360	MYH5	7.71	BO9SN4	XZ	IMP-ELCD-360	MYH5	14.12
BN9SN4	XZ	KOC-AMB000	MYH5	4.52	BO9SN4	XZ	KOC-AMB000	MYH5	6.62
BN9SN4	XZ	LAN-CLVTR	MYH5	8.92	BO9SN4	XZ	LAN-CLVTR	MYH5	14.64
BN9SN4	XZ	LAN-JOS090	MYH5	5.43	BO9SN4	XZ	LAN-JOS090	MYH5	11.01
BN9SN4	XZ	LOM-CYC285	MYH5	7.29	BO9SN4	XZ	LOM-CYC285	MYH5	10.98
BN9SN4	XZ	LOM-GOF090	MYH5	5.00	BO9SN4	XZ	LOM-GOF090	MYH5	6.87
BN9SN4	XZ	LOM-HDA165	MYH5	6.49	BO9SN4	XZ	LOM-HDA165	MYH5	9.48
BN9SN4	XZ	LOM-SAR000	MYH5	7.63	BO9SN4	XZ	LOM-SAR000	MYH5	12.89
BN9SN4	XZ	LOM-SAR090	MYH5	4.50	BO9SN4	XZ	LOM-SAR090	MYH5	4.48
BN9SN4	XZ	NOR-KAT000	MYH5	10.48	BO9SN4	XZ	NOR-KAT000	MYH5	10.66
BN9SN4	XZ	NOR-LOS000	MYH5	9.37	BO9SN4	XZ	NOR-LOS000	MYH5	12.80
BN9SN4	XZ	NOR-MU2035	MYH5	5.24	BO9SN4	XZ	NOR-MU2035	MYH5	7.03
BN9SN4	XZ	NOR-STM090	MYH5	4.17	BO9SN4	XZ	NOR-STM090	MYH5	8.50
BN9SN4	XZ	NPAL-MVH135	MYH5	4.31	BO9SN4	XZ	NPAL-MVH135	MYH5	6.92
BN9SN4	XZ	SUP-ELC090	MYH5	3.92	BO9SN4	XZ	SUP-ELC090	MYH5	4.70
BN9SN4	XZ	SUP-PTS315	MYH5	6.06	BO9SN4	XZ	SUP-PTS315	MYH5	11.48
BN9SN4	XZ	SUP-SUP135	MYH5	8.16	BO9SN4	XZ	SUP-SUP135	MYH5	8.26
BN9SN4	YZ	CAP-RIO270	MYH5	6.85	BO9SN4	YZ	CAP-RIO270	MYH5	4.97
BN9SN4	YZ	CAP-RIO360	MYH5	8.10	BO9SN4	YZ	CAP-RIO360	MYH5	8.14
BN9SN4	YZ	CHI-TCU046W	MYH5	2.30	BO9SN4	YZ	CHI-TCU046W	MYH5	1.25
BN9SN4	YZ	CHI-TCU061N	MYH5	3.19	BO9SN4	YZ	CHI-TCU061N	MYH5	2.09
BN9SN4	YZ	CHI-TCU74N	MYH5	7.23	BO9SN4	YZ	CHI-TCU74N	MYH5	6.54
BN9SN4	YZ	CHI-TCU112-W	MYH5	1.36	BO9SN4	YZ	CHI-TCU112-W	MYH5	1.36
BN9SN4	YZ	CHI-TCU123-W	MYH5	3.45	BO9SN4	YZ	CHI-TCU123-W	MYH5	2.02
BN9SN4	YZ	CHI-TCU141-E	MYH5	1.66	BO9SN4	YZ	CHI-TCU141-E	MYH5	1.29
BN9SN4	YZ	CHI-WNTN	MYH5	3.49	BO9SN4	YZ	CHI-WNTN	MYH5	3.72
BN9SN4	YZ	COA-Z14000	MYH5	4.96	BO9SN4	YZ	COA-Z14000	MYH5	5.48
BN9SN4	YZ	IMP-AER045	MYH5	4.64	BO9SN4	YZ	IMP-AER045	MYH5	3.24
BN9SN4	YZ	IMP-ELC3-230	MYH5	3.52	BO9SN4	YZ	IMP-ELC3-230	MYH5	2.33
BN9SN4	YZ	IMP-ELC11-230	MYH5	4.80	BO9SN4	YZ	IMP-ELC11-230	MYH5	3.93
BN9SN4	YZ	IMP-ELCD-360	MYH5	6.81	BO9SN4	YZ	IMP-ELCD-360	MYH5	8.01

Tablo C.1 (devam): Mevcut binalara ait yerdeğiştirme talepleri

Bina Adı	Analiz Yönü	İvme Kaydı	MYH Grup No	Δ_d (cm)	Bina Adı	Analiz Yönü	İvme Kaydı	MYH Grup No	Δ_d (cm)
BN9SN4	YZ	KOC-AMB000	MYH5	4.48	BO9SN4	YZ	KOC-AMB000	MYH5	3.94
BN9SN4	YZ	LAN-CLVTR	MYH5	9.85	BO9SN4	YZ	LAN-CLVTR	MYH5	9.54
BN9SN4	YZ	LAN-JOS090	MYH5	4.24	BO9SN4	YZ	LAN-JOS090	MYH5	4.52
BN9SN4	YZ	LOM-CYC285	MYH5	6.54	BO9SN4	YZ	LOM-CYC285	MYH5	5.29
BN9SN4	YZ	LOM-GOF090	MYH5	4.68	BO9SN4	YZ	LOM-GOF090	MYH5	4.90
BN9SN4	YZ	LOM-HDA165	MYH5	5.81	BO9SN4	YZ	LOM-HDA165	MYH5	4.66
BN9SN4	YZ	LOM-SAR000	MYH5	6.37	BO9SN4	YZ	LOM-SAR000	MYH5	5.66
BN9SN4	YZ	LOM-SAR090	MYH5	4.16	BO9SN4	YZ	LOM-SAR090	MYH5	3.52
BN9SN4	YZ	NOR-KAT000	MYH5	11.38	BO9SN4	YZ	NOR-KAT000	MYH5	10.88
BN9SN4	YZ	NOR-LOS000	MYH5	7.24	BO9SN4	YZ	NOR-LOS000	MYH5	7.76
BN9SN4	YZ	NOR-MU2035	MYH5	5.10	BO9SN4	YZ	NOR-MU2035	MYH5	4.55
BN9SN4	YZ	NOR-STM090	MYH5	4.17	BO9SN4	YZ	NOR-STM090	MYH5	4.17
BN9SN4	YZ	NPAL-MVH135	MYH5	3.71	BO9SN4	YZ	NPAL-MVH135	MYH5	2.29
BN9SN4	YZ	SUP-ELC090	MYH5	4.22	BO9SN4	YZ	SUP-ELC090	MYH5	4.10
BN9SN4	YZ	SUP-PTS315	MYH5	5.01	BO9SN4	YZ	SUP-PTS315	MYH5	3.30
BN9SN4	YZ	SUP-SUP135	MYH5	7.79	BO9SN4	YZ	SUP-SUP135	MYH5	6.94
BN9SN4	XZ	CAP-PET000	MYH6	9.30	BO9SN4	XZ	CAP-PET000	MYH6	15.27
BN9SN4	XZ	CHI-CHY025W	MYH6	3.52	BO9SN4	XZ	CHI-CHY025W	MYH6	6.31
BN9SN4	XZ	CHI-CHY034-N	MYH6	6.93	BO9SN4	XZ	CHI-CHY034-N	MYH6	9.44
BN9SN4	XZ	CHI-TCU038N	MYH6	4.21	BO9SN4	XZ	CHI-TCU038N	MYH6	3.91
BN9SN4	XZ	CHI-TCU038W	MYH6	3.25	BO9SN4	XZ	CHI-TCU038W	MYH6	4.71
BN9SN4	XZ	CHI-TCU048N	MYH6	3.36	BO9SN4	XZ	CHI-TCU048N	MYH6	4.39
BN9SN4	XZ	CHI-TCU49W	MYH6	5.04	BO9SN4	XZ	CHI-TCU49W	MYH6	5.05
BN9SN4	XZ	CHI-TCU51W	MYH6	2.86	BO9SN4	XZ	CHI-TCU51W	MYH6	3.96
BN9SN4	XZ	CHI-TCU95N	MYH6	5.85	BO9SN4	XZ	CHI-TCU95N	MYH6	5.12
BN9SN4	XZ	CHI-TCU104-N	MYH6	1.72	BO9SN4	XZ	CHI-TCU104-N	MYH6	2.09
BN9SN4	XZ	CHI-TCU106-W	MYH6	4.53	BO9SN4	XZ	CHI-TCU106-W	MYH6	4.50
BN9SN4	XZ	CHI-TCU107-N	MYH6	3.47	BO9SN4	XZ	CHI-TCU107-N	MYH6	5.60
BN9SN4	XZ	COY-G06230	MYH6	8.67	BO9SN4	XZ	COY-G06230	MYH6	12.37
BN9SN4	XZ	IMP-E10050	MYH6	3.46	BO9SN4	XZ	IMP-E10050	MYH6	2.34
BN9SN4	XZ	IMP-ELC3-140	MYH6	4.80	BO9SN4	XZ	IMP-ELC3-140	MYH6	9.03
BN9SN4	XZ	IMP-ELC5-140	MYH6	5.92	BO9SN4	XZ	IMP-ELC5-140	MYH6	5.84
BN9SN4	XZ	IMP-ELC7-140	MYH6	6.86	BO9SN4	XZ	IMP-ELC7-140	MYH6	10.50
BN9SN4	XZ	IMP-ELC8-230	MYH6	5.54	BO9SN4	XZ	IMP-ELC8-230	MYH6	6.99
BN9SN4	XZ	IMP-HVP225	MYH6	4.69	BO9SN4	XZ	IMP-HVP225	MYH6	6.98
BN9SN4	XZ	KOC-DZC270	MYH6	6.70	BO9SN4	XZ	KOC-DZC270	MYH6	11.15
BN9SN4	XZ	LOM-BRN090	MYH6	10.01	BO9SN4	XZ	LOM-BRN090	MYH6	8.56
BN9SN4	XZ	LOM-COR090	MYH6	9.68	BO9SN4	XZ	LOM-COR090	MYH6	13.41
BN9SN4	XZ	LOM-G03090	MYH6	4.64	BO9SN4	XZ	LOM-G03090	MYH6	8.21
BN9SN4	XZ	LOM-HCH180	MYH6	5.84	BO9SN4	XZ	LOM-HCH180	MYH6	11.07
BN9SN4	XZ	NAH-S1010	MYH6	6.30	BO9SN4	XZ	NAH-S1010	MYH6	8.70
BN9SN4	XZ	NAH-S1280	MYH6	4.70	BO9SN4	XZ	NAH-S1280	MYH6	4.97
BN9SN4	XZ	NOR-LOS270	MYH6	6.91	BO9SN4	XZ	NOR-LOS270	MYH6	9.53
BN9SN4	XZ	NOR-PAC175	MYH6	6.79	BO9SN4	XZ	NOR-PAC175	MYH6	6.57
BN9SN4	XZ	SUP-ELC000	MYH6	5.76	BO9SN4	XZ	SUP-ELC000	MYH6	11.50
BN9SN4	XZ	WES-WSM090	MYH6	7.29	BO9SN4	XZ	WES-WSM090	MYH6	9.99
BN9SN4	YZ	CAP-PET000	MYH6	9.01	BO9SN4	YZ	CAP-PET000	MYH6	10.31
BN9SN4	YZ	CHI-CHY025W	MYH6	3.88	BO9SN4	YZ	CHI-CHY025W	MYH6	2.05
BN9SN4	YZ	CHI-CHY034-N	MYH6	6.06	BO9SN4	YZ	CHI-CHY034-N	MYH6	5.55
BN9SN4	YZ	CHI-TCU038N	MYH6	3.74	BO9SN4	YZ	CHI-TCU038N	MYH6	2.25
BN9SN4	YZ	CHI-TCU038W	MYH6	3.16	BO9SN4	YZ	CHI-TCU038W	MYH6	2.27
BN9SN4	YZ	CHI-TCU048N	MYH6	3.19	BO9SN4	YZ	CHI-TCU048N	MYH6	1.82
BN9SN4	YZ	CHI-TCU49W	MYH6	4.88	BO9SN4	YZ	CHI-TCU49W	MYH6	3.10
BN9SN4	YZ	CHI-TCU51W	MYH6	2.81	BO9SN4	YZ	CHI-TCU51W	MYH6	2.80
BN9SN4	YZ	CHI-TCU95N	MYH6	5.37	BO9SN4	YZ	CHI-TCU95N	MYH6	4.20
BN9SN4	YZ	CHI-TCU104-N	MYH6	1.77	BO9SN4	YZ	CHI-TCU104-N	MYH6	1.20
BN9SN4	YZ	CHI-TCU106-W	MYH6	4.75	BO9SN4	YZ	CHI-TCU106-W	MYH6	3.50
BN9SN4	YZ	CHI-TCU107-N	MYH6	3.63	BO9SN4	YZ	CHI-TCU107-N	MYH6	2.50
BN9SN4	YZ	COY-G06230	MYH6	7.70	BO9SN4	YZ	COY-G06230	MYH6	7.00

Tablo C.1 (devam): Mevcut binalara ait yerdeğiştirme talepleri

Bina Adı	Analiz Yönü	İvme Kaydı	MYH Grup No	Δ_d (cm)	Bina Adı	Analiz Yönü	İvme Kaydı	MYH Grup No	Δ_d (cm)
BN9SN4	YZ	IMP-E10050	MYH6	3.67	BO9SN4	YZ	IMP-E10050	MYH6	2.71
BN9SN4	YZ	IMP-ELC3-140	MYH6	3.74	BO9SN4	YZ	IMP-ELC3-140	MYH6	2.71
BN9SN4	YZ	IMP-ELC5-140	MYH6	6.35	BO9SN4	YZ	IMP-ELC5-140	MYH6	5.45
BN9SN4	YZ	IMP-ELC7-140	MYH6	5.22	BO9SN4	YZ	IMP-ELC7-140	MYH6	4.07
BN9SN4	YZ	IMP-ELC8-230	MYH6	5.16	BO9SN4	YZ	IMP-ELC8-230	MYH6	3.66
BN9SN4	YZ	IMP-HVP225	MYH6	5.08	BO9SN4	YZ	IMP-HVP225	MYH6	4.14
BN9SN4	YZ	KOC-DZC270	MYH6	6.13	BO9SN4	YZ	KOC-DZC270	MYH6	5.39
BN9SN4	YZ	LOM-BRN090	MYH6	8.65	BO9SN4	YZ	LOM-BRN090	MYH6	10.52
BN9SN4	YZ	LOM-COR090	MYH6	9.35	BO9SN4	YZ	LOM-COR090	MYH6	7.88
BN9SN4	YZ	LOM-G03090	MYH6	4.98	BO9SN4	YZ	LOM-G03090	MYH6	3.83
BN9SN4	YZ	LOM-HCH180	MYH6	5.27	BO9SN4	YZ	LOM-HCH180	MYH6	3.66
BN9SN4	YZ	NAH-S1010	MYH6	6.11	BO9SN4	YZ	NAH-S1010	MYH6	7.35
BN9SN4	YZ	NAH-S1280	MYH6	5.06	BO9SN4	YZ	NAH-S1280	MYH6	5.17
BN9SN4	YZ	NOR-LOS270	MYH6	6.51	BO9SN4	YZ	NOR-LOS270	MYH6	6.91
BN9SN4	YZ	NOR-PAC175	MYH6	7.03	BO9SN4	YZ	NOR-PAC175	MYH6	5.17
BN9SN4	YZ	SUP-ELC000	MYH6	5.62	BO9SN4	YZ	SUP-ELC000	MYH6	4.17
BN9SN4	YZ	WES-WSM090	MYH6	6.18	BO9SN4	YZ	WES-WSM090	MYH6	7.28
BN9SN4	XZ	CHI-CHY002-N	MYH7	3.28	BO9SN4	XZ	CHI-CHY002-N	MYH7	4.09
BN9SN4	XZ	CHI-CHY024W	MYH7	5.47	BO9SN4	XZ	CHI-CHY024W	MYH7	10.45
BN9SN4	XZ	CHI-CHY104-E	MYH7	4.10	BO9SN4	XZ	CHI-CHY104-E	MYH7	6.32
BN9SN4	XZ	CHI-TCU029N	MYH7	2.39	BO9SN4	XZ	CHI-TCU029N	MYH7	4.42
BN9SN4	XZ	CHI-TCU036N	MYH7	2.75	BO9SN4	XZ	CHI-TCU036N	MYH7	4.11
BN9SN4	XZ	CHI-TCU039N	MYH7	3.11	BO9SN4	XZ	CHI-TCU039N	MYH7	4.93
BN9SN4	XZ	CHI-TCU039W	MYH7	4.60	BO9SN4	XZ	CHI-TCU039W	MYH7	7.37
BN9SN4	XZ	CHI-TCU040N	MYH7	3.06	BO9SN4	XZ	CHI-TCU040N	MYH7	3.69
BN9SN4	XZ	CHI-TCU040W	MYH7	3.38	BO9SN4	XZ	CHI-TCU040W	MYH7	3.38
BN9SN4	XZ	CHI-TCU055N	MYH7	4.70	BO9SN4	XZ	CHI-TCU055N	MYH7	5.45
BN9SN4	XZ	CHI-TCU064N	MYH7	2.31	BO9SN4	XZ	CHI-TCU064N	MYH7	2.78
BN9SN4	XZ	CHI-TCU70W	MYH7	7.98	BO9SN4	XZ	CHI-TCU70W	MYH7	6.30
BN9SN4	XZ	CHI-TCU109-N	MYH7	4.29	BO9SN4	XZ	CHI-TCU109-N	MYH7	6.41
BN9SN4	XZ	CHI-TCU109-W	MYH7	4.01	BO9SN4	XZ	CHI-TCU109-W	MYH7	5.68
BN9SN4	XZ	CHI-TCU115-W	MYH7	2.11	BO9SN4	XZ	CHI-TCU115-W	MYH7	2.29
BN9SN4	XZ	CHI-TCU117-N	MYH7	2.45	BO9SN4	XZ	CHI-TCU117-N	MYH7	3.46
BN9SN4	XZ	IMP-ELC8-140	MYH7	7.15	BO9SN4	XZ	IMP-ELC8-140	MYH7	9.08
BN9SN4	XZ	IMP-HVP315	MYH7	3.40	BO9SN4	XZ	IMP-HVP315	MYH7	4.01
BN9SN4	XZ	IRP-STU270	MYH7	4.03	BO9SN4	XZ	IRP-STU270	MYH7	10.71
BN9SN4	XZ	KOC-GBZ000	MYH7	4.51	BO9SN4	XZ	KOC-GBZ000	MYH7	4.02
BN9SN4	XZ	LAN-YER270	MYH7	4.95	BO9SN4	XZ	LAN-YER270	MYH7	10.69
BN9SN4	XZ	LOM-A02043	MYH7	7.46	BO9SN4	XZ	LOM-A02043	MYH7	17.48
BN9SN4	XZ	LOM-BRN000	MYH7	9.56	BO9SN4	XZ	LOM-BRN000	MYH7	15.69
BN9SN4	XZ	LOM-LGP090	MYH7	8.28	BO9SN4	XZ	LOM-LGP090	MYH7	9.13
BN9SN4	XZ	MOR-CYC195	MYH7	10.58	BO9SN4	XZ	MOR-CYC195	MYH7	13.36
BN9SN4	XZ	NOR-LDM334	MYH7	6.26	BO9SN4	XZ	NOR-LDM334	MYH7	11.94
BN9SN4	XZ	NOR-ORR090	MYH7	7.70	BO9SN4	XZ	NOR-ORR090	MYH7	11.39
BN9SN4	XZ	NOR-ORR360	MYH7	12.83	BO9SN4	XZ	NOR-ORR360	MYH7	21.07
BN9SN4	XZ	NOR-PKC360	MYH7	11.52	BO9SN4	XZ	NOR-PKC360	MYH7	8.78
BN9SN4	XZ	SFD-PCD254	MYH7	10.75	BO9SN4	XZ	SFD-PCD254	MYH7	11.61
BN9SN4	YZ	CHI-CHY002-N	MYH7	2.73	BO9SN4	YZ	CHI-CHY002-N	MYH7	1.79
BN9SN4	YZ	CHI-CHY024W	MYH7	4.07	BO9SN4	YZ	CHI-CHY024W	MYH7	4.48
BN9SN4	YZ	CHI-CHY104-E	MYH7	3.56	BO9SN4	YZ	CHI-CHY104-E	MYH7	2.72
BN9SN4	YZ	CHI-TCU029N	MYH7	2.50	BO9SN4	YZ	CHI-TCU029N	MYH7	1.75
BN9SN4	YZ	CHI-TCU036N	MYH7	2.58	BO9SN4	YZ	CHI-TCU036N	MYH7	2.06
BN9SN4	YZ	CHI-TCU039N	MYH7	2.88	BO9SN4	YZ	CHI-TCU039N	MYH7	1.51
BN9SN4	YZ	CHI-TCU039W	MYH7	4.90	BO9SN4	YZ	CHI-TCU039W	MYH7	2.25
BN9SN4	YZ	CHI-TCU040N	MYH7	2.50	BO9SN4	YZ	CHI-TCU040N	MYH7	1.51
BN9SN4	YZ	CHI-TCU040W	MYH7	3.03	BO9SN4	YZ	CHI-TCU040W	MYH7	2.33
BN9SN4	YZ	CHI-TCU055N	MYH7	3.96	BO9SN4	YZ	CHI-TCU055N	MYH7	2.49
BN9SN4	YZ	CHI-TCU064N	MYH7	2.21	BO9SN4	YZ	CHI-TCU064N	MYH7	1.45
BN9SN4	YZ	CHI-TCU70W	MYH7	6.32	BO9SN4	YZ	CHI-TCU70W	MYH7	4.98

Tablo C.1 (devam): Mevcut binalara ait yerdeğiştirme talepleri

Bina Adı	Analiz Yönü	İvme Kaydı	MYH Grup No	Δ_d (cm)	Bina Adı	Analiz Yönü	İvme Kaydı	MYH Grup No	Δ_d (cm)
BN9SN4	YZ	CHI-TCU109-N	MYH7	4.09	BO9SN4	YZ	CHI-TCU109-N	MYH7	3.04
BN9SN4	YZ	CHI-TCU109-W	MYH7	4.09	BO9SN4	YZ	CHI-TCU109-W	MYH7	2.48
BN9SN4	YZ	CHI-TCU115-W	MYH7	1.82	BO9SN4	YZ	CHI-TCU115-W	MYH7	1.66
BN9SN4	YZ	CHI-TCU117-N	MYH7	2.14	BO9SN4	YZ	CHI-TCU117-N	MYH7	1.51
BN9SN4	YZ	IMP-ELC8-140	MYH7	6.73	BO9SN4	YZ	IMP-ELC8-140	MYH7	6.96
BN9SN4	YZ	IMP-HVP315	MYH7	3.89	BO9SN4	YZ	IMP-HVP315	MYH7	2.10
BN9SN4	YZ	IRP-STU270	MYH7	3.52	BO9SN4	YZ	IRP-STU270	MYH7	2.20
BN9SN4	YZ	KOC-GBZ000	MYH7	3.55	BO9SN4	YZ	KOC-GBZ000	MYH7	3.75
BN9SN4	YZ	LAN-YER270	MYH7	4.41	BO9SN4	YZ	LAN-YER270	MYH7	4.24
BN9SN4	YZ	LOM-A02043	MYH7	5.59	BO9SN4	YZ	LOM-A02043	MYH7	6.72
BN9SN4	YZ	LOM-BRN000	MYH7	9.18	BO9SN4	YZ	LOM-BRN000	MYH7	8.15
BN9SN4	YZ	LOM-LGP090	MYH7	7.34	BO9SN4	YZ	LOM-LGP090	MYH7	8.16
BN9SN4	YZ	MOR-CYC195	MYH7	7.12	BO9SN4	YZ	MOR-CYC195	MYH7	10.81
BN9SN4	YZ	NOR-LDM334	MYH7	6.40	BO9SN4	YZ	NOR-LDM334	MYH7	7.03
BN9SN4	YZ	NOR-ORR090	MYH7	7.92	BO9SN4	YZ	NOR-ORR090	MYH7	6.29
BN9SN4	YZ	NOR-ORR360	MYH7	11.83	BO9SN4	YZ	NOR-ORR360	MYH7	13.46
BN9SN4	YZ	NOR-PKC360	MYH7	10.73	BO9SN4	YZ	NOR-PKC360	MYH7	9.33
BN9SN4	YZ	SFD-PCD254	MYH7	10.95	BO9SN4	YZ	SFD-PCD254	MYH7	14.50
BN9SN4	XZ	CAP-RIO270	MYH8	10.67	BO9SN4	XZ	CAP-RIO270	MYH8	15.69
BN9SN4	XZ	CAP-RIO360	MYH8	10.16	BO9SN4	XZ	CAP-RIO360	MYH8	10.35
BN9SN4	XZ	CHI-CHY006-E	MYH8	9.90	BO9SN4	XZ	CHI-CHY006-E	MYH8	11.97
BN9SN4	XZ	CHI-CHY092-E	MYH8	2.00	BO9SN4	XZ	CHI-CHY092-E	MYH8	3.87
BN9SN4	XZ	CHI-CHY104-N	MYH8	4.26	BO9SN4	XZ	CHI-CHY104-N	MYH8	7.73
BN9SN4	XZ	CHI-TCU054W	MYH8	3.77	BO9SN4	XZ	CHI-TCU054W	MYH8	3.98
BN9SN4	XZ	CHI-TCU059N	MYH8	3.19	BO9SN4	XZ	CHI-TCU059N	MYH8	6.50
BN9SN4	XZ	CHI-TCU059W	MYH8	4.42	BO9SN4	XZ	CHI-TCU059W	MYH8	4.99
BN9SN4	XZ	CHI-TCU063W	MYH8	5.27	BO9SN4	XZ	CHI-TCU063W	MYH8	7.23
BN9SN4	XZ	CHI-TCU072N	MYH8	9.93	BO9SN4	XZ	CHI-TCU072N	MYH8	22.53
BN9SN4	XZ	CHI-TCU82W	MYH8	4.61	BO9SN4	XZ	CHI-TCU82W	MYH8	5.65
BN9SN4	XZ	CHI-TCU110-N	MYH8	5.67	BO9SN4	XZ	CHI-TCU110-N	MYH8	10.18
BN9SN4	XZ	CHI-TCU111-W	MYH8	3.15	BO9SN4	XZ	CHI-TCU111-W	MYH8	5.34
BN9SN4	XZ	CHI-TCU117-W	MYH8	3.06	BO9SN4	XZ	CHI-TCU117-W	MYH8	4.94
BN9SN4	XZ	CHI-TCU136-E	MYH8	3.85	BO9SN4	XZ	CHI-TCU136-E	MYH8	5.25
BN9SN4	XZ	DZC-BOL000	MYH8	9.55	BO9SN4	XZ	DZC-BOL000	MYH8	13.47
BN9SN4	XZ	IMP-ELC3-140	MYH8	6.13	BO9SN4	XZ	IMP-ELC3-140	MYH8	12.33
BN9SN4	XZ	IMP-ELC3-230	MYH8	5.34	BO9SN4	XZ	IMP-ELC3-230	MYH8	6.05
BN9SN4	XZ	IRP-STU270	MYH8	4.39	BO9SN4	XZ	IRP-STU270	MYH8	13.11
BN9SN4	XZ	KOC-DZC180	MYH8	6.36	BO9SN4	XZ	KOC-DZC180	MYH8	7.19
BN9SN4	XZ	KOC-DZC270	MYH8	8.08	BO9SN4	XZ	KOC-DZC270	MYH8	18.04
BN9SN4	XZ	KOC-GBZ000	MYH8	5.11	BO9SN4	XZ	KOC-GBZ000	MYH8	4.97
BN9SN4	XZ	LAN-CLVTR	MYH8	14.29	BO9SN4	XZ	LAN-CLVTR	MYH8	20.33
BN9SN4	XZ	LAN-YER270	MYH8	5.32	BO9SN4	XZ	LAN-YER270	MYH8	12.50
BN9SN4	XZ	LOM-COR000	MYH8	10.13	BO9SN4	XZ	LOM-COR000	MYH8	12.98
BN9SN4	XZ	NOR-MUL009	MYH8	8.88	BO9SN4	XZ	NOR-MUL009	MYH8	12.22
BN9SN4	XZ	NOR-PUL104	MYH8	10.60	BO9SN4	XZ	NOR-PUL104	MYH8	16.25
BN9SN4	XZ	NPAL-MVH135	MYH8	6.42	BO9SN4	XZ	NPAL-MVH135	MYH8	15.68
BN9SN4	XZ	SUP-ELC000	MYH8	7.63	BO9SN4	XZ	SUP-ELC000	MYH8	14.52
BN9SN4	XZ	SUP-ELC090	MYH8	5.68	BO9SN4	XZ	SUP-ELC090	MYH8	6.91
BN9SN4	YZ	CAP-RIO270	MYH8	9.69	BO9SN4	YZ	CAP-RIO270	MYH8	9.13
BN9SN4	YZ	CAP-RIO360	MYH8	10.74	BO9SN4	YZ	CAP-RIO360	MYH8	11.28
BN9SN4	YZ	CHI-CHY006-E	MYH8	9.48	BO9SN4	YZ	CHI-CHY006-E	MYH8	13.20
BN9SN4	YZ	CHI-CHY092-E	MYH8	1.86	BO9SN4	YZ	CHI-CHY092-E	MYH8	1.23
BN9SN4	YZ	CHI-CHY104-N	MYH8	3.14	BO9SN4	YZ	CHI-CHY104-N	MYH8	2.28
BN9SN4	YZ	CHI-TCU054W	MYH8	3.49	BO9SN4	YZ	CHI-TCU054W	MYH8	2.14
BN9SN4	YZ	CHI-TCU059N	MYH8	3.09	BO9SN4	YZ	CHI-TCU059N	MYH8	3.32
BN9SN4	YZ	CHI-TCU059W	MYH8	4.36	BO9SN4	YZ	CHI-TCU059W	MYH8	2.66
BN9SN4	YZ	CHI-TCU063W	MYH8	4.87	BO9SN4	YZ	CHI-TCU063W	MYH8	3.04
BN9SN4	YZ	CHI-TCU072N	MYH8	8.01	BO9SN4	YZ	CHI-TCU072N	MYH8	7.72
BN9SN4	YZ	CHI-TCU82W	MYH8	4.24	BO9SN4	YZ	CHI-TCU82W	MYH8	3.21

Tablo C.1 (devam): Mevcut binalara ait yerdeğiştirme talepleri

Bina Adı	Analiz Yönü	İvme Kaydı	MYH Grup No	Δ_d (cm)	Bina Adı	Analiz Yönü	İvme Kaydı	MYH Grup No	Δ_d (cm)
BN9SN4	YZ	CHI-TCU110-N	MYH8	3.94	BO9SN4	YZ	CHI-TCU110-N	MYH8	2.62
BN9SN4	YZ	CHI-TCU111-W	MYH8	2.46	BO9SN4	YZ	CHI-TCU111-W	MYH8	1.84
BN9SN4	YZ	CHI-TCU117-W	MYH8	2.15	BO9SN4	YZ	CHI-TCU117-W	MYH8	1.66
BN9SN4	YZ	CHI-TCU136-E	MYH8	3.19	BO9SN4	YZ	CHI-TCU136-E	MYH8	1.81
BN9SN4	YZ	DZC-BOL000	MYH8	9.08	BO9SN4	YZ	DZC-BOL000	MYH8	10.29
BN9SN4	YZ	IMP-ELC3-140	MYH8	4.60	BO9SN4	YZ	IMP-ELC3-140	MYH8	3.57
BN9SN4	YZ	IMP-ELC3-230	MYH8	4.90	BO9SN4	YZ	IMP-ELC3-230	MYH8	3.64
BN9SN4	YZ	IRP-STU270	MYH8	3.65	BO9SN4	YZ	IRP-STU270	MYH8	2.30
BN9SN4	YZ	KOC-DZC180	MYH8	5.15	BO9SN4	YZ	KOC-DZC180	MYH8	3.61
BN9SN4	YZ	KOC-DZC270	MYH8	7.72	BO9SN4	YZ	KOC-DZC270	MYH8	6.40
BN9SN4	YZ	KOC-GBZ000	MYH8	4.08	BO9SN4	YZ	KOC-GBZ000	MYH8	4.41
BN9SN4	YZ	LAN-CLVTR	MYH8	13.35	BO9SN4	YZ	LAN-CLVTR	MYH8	13.83
BN9SN4	YZ	LAN-YER270	MYH8	4.80	BO9SN4	YZ	LAN-YER270	MYH8	5.37
BN9SN4	YZ	LOM-COR000	MYH8	9.82	BO9SN4	YZ	LOM-COR000	MYH8	10.92
BN9SN4	YZ	NOR-MUL009	MYH8	7.67	BO9SN4	YZ	NOR-MUL009	MYH8	7.96
BN9SN4	YZ	NOR-PUL104	MYH8	10.10	BO9SN4	YZ	NOR-PUL104	MYH8	12.46
BN9SN4	YZ	NPAL-MVH135	MYH8	5.07	BO9SN4	YZ	NPAL-MVH135	MYH8	3.85
BN9SN4	YZ	SUP-ELC000	MYH8	7.53	BO9SN4	YZ	SUP-ELC000	MYH8	6.57
BN9SN4	YZ	SUP-ELC090	MYH8	6.01	BO9SN4	YZ	SUP-ELC090	MYH8	6.37
BN9SN4	XZ	CHI-TCU036W	MYH9	3.34	BO9SN4	XZ	CHI-TCU036W	MYH9	5.24
BN9SN4	XZ	CHI-TCU49N	MYH9	4.32	BO9SN4	XZ	CHI-TCU49N	MYH9	6.84
BN9SN4	XZ	CHI-TCU70N	MYH9	5.68	BO9SN4	XZ	CHI-TCU70N	MYH9	7.17
BN9SN4	XZ	CHI-TCU76N	MYH9	7.74	BO9SN4	XZ	CHI-TCU76N	MYH9	19.56
BN9SN4	XZ	CHI-TCU76W	MYH9	3.87	BO9SN4	XZ	CHI-TCU76W	MYH9	5.69
BN9SN4	XZ	CHI-TCU079-W	MYH9	11.07	BO9SN4	XZ	CHI-TCU079-W	MYH9	13.48
BN9SN4	XZ	CHI-TCU95W	MYH9	6.42	BO9SN4	XZ	CHI-TCU95W	MYH9	5.73
BN9SN4	XZ	CHI-TCU103-W	MYH9	2.92	BO9SN4	XZ	CHI-TCU103-W	MYH9	3.09
BN9SN4	XZ	CHI-TCU120-W	MYH9	3.84	BO9SN4	XZ	CHI-TCU120-W	MYH9	9.76
BN9SN4	XZ	CHI-TCU129-W	MYH9	8.63	BO9SN4	XZ	CHI-TCU129-W	MYH9	14.76
BN9SN4	XZ	COA-PLE045	MYH9	14.52	BO9SN4	XZ	COA-PLE045	MYH9	15.40
BN9SN4	XZ	DZC-BOL000	MYH9	10.55	BO9SN4	XZ	DZC-BOL000	MYH9	15.11
BN9SN4	XZ	DZC-BOL090	MYH9	14.59	BO9SN4	XZ	DZC-BOL090	MYH9	18.58
BN9SN4	XZ	DZC-DZC180	MYH9	8.35	BO9SN4	XZ	DZC-DZC180	MYH9	7.89
BN9SN4	XZ	ERZ-ERZEW	MYH9	8.58	BO9SN4	XZ	ERZ-ERZEW	MYH9	19.46
BN9SN4	XZ	IMP-ELC3-140	MYH9	6.86	BO9SN4	XZ	IMP-ELC3-140	MYH9	13.73
BN9SN4	XZ	IMP-HVP315	MYH9	4.24	BO9SN4	XZ	IMP-HVP315	MYH9	5.41
BN9SN4	XZ	IRP-STU270	MYH9	4.80	BO9SN4	XZ	IRP-STU270	MYH9	15.12
BN9SN4	XZ	KOC-DZC180	MYH9	6.74	BO9SN4	XZ	KOC-DZC180	MYH9	7.15
BN9SN4	XZ	KOC-GBZ000	MYH9	5.59	BO9SN4	XZ	KOC-GBZ000	MYH9	5.77
BN9SN4	XZ	KOC-YAR330	MYH9	5.83	BO9SN4	XZ	KOC-YAR330	MYH9	10.05
BN9SN4	XZ	LAN-YER270	MYH9	5.61	BO9SN4	XZ	LAN-YER270	MYH9	14.22
BN9SN4	XZ	LOM-BRN000	MYH9	9.56	BO9SN4	XZ	LOM-BRN000	MYH9	18.44
BN9SN4	XZ	LOM-HSP000	MYH9	11.91	BO9SN4	XZ	LOM-HSP000	MYH9	14.80
BN9SN4	XZ	LOM-WVC270	MYH9	6.81	BO9SN4	XZ	LOM-WVC270	MYH9	10.74
BN9SN4	XZ	NOR-CNP196	MYH9	8.36	BO9SN4	XZ	NOR-CNP196	MYH9	9.68
BN9SN4	XZ	NOR-LDM064	MYH9	10.80	BO9SN4	XZ	NOR-LDM064	MYH9	14.68
BN9SN4	XZ	NOR-MUL279	MYH9	8.07	BO9SN4	XZ	NOR-MUL279	MYH9	23.06
BN9SN4	XZ	NOR-SAT180	MYH9	8.99	BO9SN4	XZ	NOR-SAT180	MYH9	19.43
BN9SN4	XZ	SUP-ELC000	MYH9	8.57	BO9SN4	XZ	SUP-ELC000	MYH9	15.60
BN9SN4	YZ	CHI-TCU036W	MYH9	2.89	BO9SN4	YZ	CHI-TCU036W	MYH9	1.84
BN9SN4	YZ	CHI-TCU49N	MYH9	3.94	BO9SN4	YZ	CHI-TCU49N	MYH9	2.83
BN9SN4	YZ	CHI-TCU70N	MYH9	5.02	BO9SN4	YZ	CHI-TCU70N	MYH9	3.62
BN9SN4	YZ	CHI-TCU76N	MYH9	7.92	BO9SN4	YZ	CHI-TCU76N	MYH9	10.05
BN9SN4	YZ	CHI-TCU76W	MYH9	3.81	BO9SN4	YZ	CHI-TCU76W	MYH9	3.21
BN9SN4	YZ	CHI-TCU079-W	MYH9	12.30	BO9SN4	YZ	CHI-TCU079-W	MYH9	9.90
BN9SN4	YZ	CHI-TCU95W	MYH9	6.27	BO9SN4	YZ	CHI-TCU95W	MYH9	6.06
BN9SN4	YZ	CHI-TCU103-W	MYH9	3.36	BO9SN4	YZ	CHI-TCU103-W	MYH9	2.32
BN9SN4	YZ	CHI-TCU120-W	MYH9	3.52	BO9SN4	YZ	CHI-TCU120-W	MYH9	2.55
BN9SN4	YZ	CHI-TCU129-W	MYH9	8.49	BO9SN4	YZ	CHI-TCU129-W	MYH9	8.04

Tablo C.1 (devam): Mevcut binalara ait yerdeğiştirme talepleri

Bina Adı	Analiz Yönü	İvme Kaydı	MYH Grup No	Δ_d (cm)	Bina Adı	Analiz Yönü	İvme Kaydı	MYH Grup No	Δ_d (cm)
BN9SN4	YZ	COA-PLE045	MYH9	13.79	BO9SN4	YZ	COA-PLE045	MYH9	15.88
BN9SN4	YZ	DZC-BOL000	MYH9	10.24	BO9SN4	YZ	DZC-BOL000	MYH9	11.54
BN9SN4	YZ	DZC-BOL090	MYH9	14.78	BO9SN4	YZ	DZC-BOL090	MYH9	19.08
BN9SN4	YZ	DZC-DZC180	MYH9	6.66	BO9SN4	YZ	DZC-DZC180	MYH9	9.51
BN9SN4	YZ	ERZ-ERZEW	MYH9	7.57	BO9SN4	YZ	ERZ-ERZEW	MYH9	10.25
BN9SN4	YZ	IMP-ELC3-140	MYH9	5.04	BO9SN4	YZ	IMP-ELC3-140	MYH9	4.02
BN9SN4	YZ	IMP-HVP315	MYH9	4.53	BO9SN4	YZ	IMP-HVP315	MYH9	2.96
BN9SN4	YZ	IRP-STU270	MYH9	3.95	BO9SN4	YZ	IRP-STU270	MYH9	2.39
BN9SN4	YZ	KOC-DZC180	MYH9	5.51	BO9SN4	YZ	KOC-DZC180	MYH9	3.75
BN9SN4	YZ	KOC-GBZ000	MYH9	4.49	BO9SN4	YZ	KOC-GBZ000	MYH9	4.89
BN9SN4	YZ	KOC-YAR330	MYH9	4.78	BO9SN4	YZ	KOC-YAR330	MYH9	3.83
BN9SN4	YZ	LAN-YER270	MYH9	5.14	BO9SN4	YZ	LAN-YER270	MYH9	6.39
BN9SN4	YZ	LOM-BRN000	MYH9	10.49	BO9SN4	YZ	LOM-BRN000	MYH9	7.13
BN9SN4	YZ	LOM-HSP000	MYH9	10.98	BO9SN4	YZ	LOM-HSP000	MYH9	9.21
BN9SN4	YZ	LOM-WVC270	MYH9	6.24	BO9SN4	YZ	LOM-WVC270	MYH9	4.83
BN9SN4	YZ	NOR-CNP196	MYH9	9.44	BO9SN4	YZ	NOR-CNP196	MYH9	7.95
BN9SN4	YZ	NOR-LDM064	MYH9	8.69	BO9SN4	YZ	NOR-LDM064	MYH9	9.92
BN9SN4	YZ	NOR-MUL279	MYH9	9.22	BO9SN4	YZ	NOR-MUL279	MYH9	11.70
BN9SN4	YZ	NOR-SAT180	MYH9	7.84	BO9SN4	YZ	NOR-SAT180	MYH9	10.32
BN9SN4	YZ	SUP-ELC000	MYH9	8.43	BO9SN4	YZ	SUP-ELC000	MYH9	7.95
BN9SN4	XZ	CHI-CHY28N	MYH10	19.35	BO9SN4	XZ	CHI-CHY28N	MYH10	14.65
BN9SN4	XZ	CHI-TCU067N	MYH10	6.26	BO9SN4	XZ	CHI-TCU067N	MYH10	11.70
BN9SN4	XZ	CHI-TCU071N	MYH10	5.75	BO9SN4	XZ	CHI-TCU071N	MYH10	9.22
BN9SN4	XZ	CHI-TCU101-W	MYH10	4.49	BO9SN4	XZ	CHI-TCU101-W	MYH10	5.81
BN9SN4	XZ	CHI-TCU110-W	MYH10	3.42	BO9SN4	XZ	CHI-TCU110-W	MYH10	8.60
BN9SN4	XZ	CHI-TCU128-N	MYH10	3.64	BO9SN4	XZ	CHI-TCU128-N	MYH10	4.88
BN9SN4	XZ	CHI-WGK-E	MYH10	6.12	BO9SN4	XZ	CHI-WGK-E	MYH10	10.74
BN9SN4	XZ	CHI-WNTE	MYH10	8.06	BO9SN4	XZ	CHI-WNTE	MYH10	8.93
BN9SN4	XZ	DZC-BOL000	MYH10	11.21	BO9SN4	XZ	DZC-BOL000	MYH10	16.37
BN9SN4	XZ	DZC-BOL090	MYH10	17.10	BO9SN4	XZ	DZC-BOL090	MYH10	19.64
BN9SN4	XZ	GAZ-KAR000	MYH10	8.19	BO9SN4	XZ	GAZ-KAR000	MYH10	12.04
BN9SN4	XZ	IMP-ECC092	MYH10	5.99	BO9SN4	XZ	IMP-ECC092	MYH10	7.74
BN9SN4	XZ	IMP-ELC3-140	MYH10	7.67	BO9SN4	XZ	IMP-ELC3-140	MYH10	14.98
BN9SN4	XZ	IMP-ELC6-140	MYH10	8.55	BO9SN4	XZ	IMP-ELC6-140	MYH10	9.04
BN9SN4	XZ	IRP-STU270	MYH10	5.23	BO9SN4	XZ	IRP-STU270	MYH10	16.78
BN9SN4	XZ	KOB-TAK000	MYH10	13.91	BO9SN4	XZ	KOB-TAK000	MYH10	14.20
BN9SN4	XZ	KOC-DZC180	MYH10	7.20	BO9SN4	XZ	KOC-DZC180	MYH10	6.88
BN9SN4	XZ	KOC-GBZ000	MYH10	6.10	BO9SN4	XZ	KOC-GBZ000	MYH10	6.62
BN9SN4	XZ	KOC-YAR060	MYH10	6.07	BO9SN4	XZ	KOC-YAR060	MYH10	8.14
BN9SN4	XZ	LAN-YER270	MYH10	5.93	BO9SN4	XZ	LAN-YER270	MYH10	15.98
BN9SN4	XZ	LOM-BRN000	MYH10	9.07	BO9SN4	XZ	LOM-BRN000	MYH10	19.62
BN9SN4	XZ	LOM-G03090	MYH10	5.87	BO9SN4	XZ	LOM-G03090	MYH10	17.12
BN9SN4	XZ	LOM-HSP000	MYH10	12.83	BO9SN4	XZ	LOM-HSP000	MYH10	16.64
BN9SN4	XZ	NOR-CNP196	MYH10	8.89	BO9SN4	XZ	NOR-CNP196	MYH10	10.61
BN9SN4	XZ	NOR-MUL009	MYH10	10.28	BO9SN4	XZ	NOR-MUL009	MYH10	13.69
BN9SN4	XZ	NOR-MUL279	MYH10	9.36	BO9SN4	XZ	NOR-MUL279	MYH10	24.76
BN9SN4	XZ	NOR-ORR090	MYH10	9.99	BO9SN4	XZ	NOR-ORR090	MYH10	14.68
BN9SN4	XZ	NOR-ORR360	MYH10	18.07	BO9SN4	XZ	NOR-ORR360	MYH10	29.60
BN9SN4	XZ	NOR-SAT180	MYH10	10.50	BO9SN4	XZ	NOR-SAT180	MYH10	22.34
BN9SN4	XZ	NOR-WPI316	MYH10	6.65	BO9SN4	XZ	NOR-WPI316	MYH10	9.21
BN9SN4	YZ	CHI-CHY28N	MYH10	18.18	BO9SN4	YZ	CHI-CHY28N	MYH10	22.57
BN9SN4	YZ	CHI-TCU067N	MYH10	6.39	BO9SN4	YZ	CHI-TCU067N	MYH10	5.45
BN9SN4	YZ	CHI-TCU071N	MYH10	5.83	BO9SN4	YZ	CHI-TCU071N	MYH10	4.53
BN9SN4	YZ	CHI-TCU101-W	MYH10	4.17	BO9SN4	YZ	CHI-TCU101-W	MYH10	3.43
BN9SN4	YZ	CHI-TCU110-W	MYH10	3.29	BO9SN4	YZ	CHI-TCU110-W	MYH10	2.17
BN9SN4	YZ	CHI-TCU128-N	MYH10	3.95	BO9SN4	YZ	CHI-TCU128-N	MYH10	2.26
BN9SN4	YZ	CHI-WGK-E	MYH10	5.11	BO9SN4	YZ	CHI-WGK-E	MYH10	2.97
BN9SN4	YZ	CHI-WNTE	MYH10	7.76	BO9SN4	YZ	CHI-WNTE	MYH10	6.42
BN9SN4	YZ	DZC-BOL000	MYH10	11.16	BO9SN4	YZ	DZC-BOL000	MYH10	12.41

Tablo C.1 (devam): Mevcut binalara ait yerdeğiştirme talepleri

Bina Adı	Analiz Yönü	İvme Kaydı	MYH Grup No	Δ_d (cm)	Bina Adı	Analiz Yönü	İvme Kaydı	MYH Grup No	Δ_d (cm)
BN9SN4	YZ	DZC-BOL090	MYH10	16.89	BO9SN4	YZ	DZC-BOL090	MYH10	21.53
BN9SN4	YZ	GAZ-KAR000	MYH10	7.86	BO9SN4	YZ	GAZ-KAR000	MYH10	7.88
BN9SN4	YZ	IMP-ECC092	MYH10	4.83	BO9SN4	YZ	IMP-ECC092	MYH10	3.74
BN9SN4	YZ	IMP-ELC3-140	MYH10	5.58	BO9SN4	YZ	IMP-ELC3-140	MYH10	4.77
BN9SN4	YZ	IMP-ELC6-140	MYH10	6.30	BO9SN4	YZ	IMP-ELC6-140	MYH10	4.47
BN9SN4	YZ	IRP-STU270	MYH10	4.29	BO9SN4	YZ	IRP-STU270	MYH10	2.67
BN9SN4	YZ	KOB-TAK000	MYH10	14.23	BO9SN4	YZ	KOB-TAK000	MYH10	14.36
BN9SN4	YZ	KOC-DZC180	MYH10	6.02	BO9SN4	YZ	KOC-DZC180	MYH10	4.05
BN9SN4	YZ	KOC-GBZ000	MYH10	4.93	BO9SN4	YZ	KOC-GBZ000	MYH10	5.42
BN9SN4	YZ	KOC-YAR060	MYH10	5.98	BO9SN4	YZ	KOC-YAR060	MYH10	4.60
BN9SN4	YZ	LAN-YER270	MYH10	5.52	BO9SN4	YZ	LAN-YER270	MYH10	7.50
BN9SN4	YZ	LOM-BRN000	MYH10	10.77	BO9SN4	YZ	LOM-BRN000	MYH10	7.12
BN9SN4	YZ	LOM-G03090	MYH10	6.13	BO9SN4	YZ	LOM-G03090	MYH10	6.04
BN9SN4	YZ	LOM-HSP000	MYH10	11.89	BO9SN4	YZ	LOM-HSP000	MYH10	9.95
BN9SN4	YZ	NOR-CNP196	MYH10	9.86	BO9SN4	YZ	NOR-CNP196	MYH10	8.18
BN9SN4	YZ	NOR-MUL009	MYH10	9.09	BO9SN4	YZ	NOR-MUL009	MYH10	9.39
BN9SN4	YZ	NOR-MUL279	MYH10	10.35	BO9SN4	YZ	NOR-MUL279	MYH10	13.56
BN9SN4	YZ	NOR-ORR090	MYH10	10.11	BO9SN4	YZ	NOR-ORR090	MYH10	9.17
BN9SN4	YZ	NOR-ORR360	MYH10	15.80	BO9SN4	YZ	NOR-ORR360	MYH10	22.61
BN9SN4	YZ	NOR-SAT180	MYH10	9.09	BO9SN4	YZ	NOR-SAT180	MYH10	11.09
BN9SN4	YZ	NOR-WPI316	MYH10	5.88	BO9SN4	YZ	NOR-WPI316	MYH10	6.99
BN9SN4	XZ	CHI-CHY28W	MYH11	9.20	BO9SN4	XZ	CHI-CHY28W	MYH11	18.23
BN9SN4	XZ	CHI-CHY101W	MYH11	5.60	BO9SN4	XZ	CHI-CHY101W	MYH11	9.53
BN9SN4	XZ	CHI-TCU063N	MYH11	3.20	BO9SN4	XZ	CHI-TCU063N	MYH11	5.01
BN9SN4	XZ	CHI-TCU072W	MYH11	9.87	BO9SN4	XZ	CHI-TCU072W	MYH11	12.11
BN9SN4	XZ	CHI-TCU74W	MYH11	14.01	BO9SN4	XZ	CHI-TCU74W	MYH11	22.79
BN9SN4	XZ	CHI-TCU128-W	MYH11	2.40	BO9SN4	XZ	CHI-TCU128-W	MYH11	3.28
BN9SN4	XZ	CHI-WGK-N	MYH11	7.49	BO9SN4	XZ	CHI-WGK-N	MYH11	23.60
BN9SN4	XZ	COA-PLE045	MYH11	18.33	BO9SN4	XZ	COA-PLE045	MYH11	18.06
BN9SN4	XZ	DZC-BOL000	MYH11	11.54	BO9SN4	XZ	DZC-BOL000	MYH11	17.56
BN9SN4	XZ	DZC-BOL090	MYH11	19.66	BO9SN4	XZ	DZC-BOL090	MYH11	20.56
BN9SN4	XZ	DZC-DZC180	MYH11	12.33	BO9SN4	XZ	DZC-DZC180	MYH11	9.65
BN9SN4	XZ	GAZ-KAR000	MYH11	9.22	BO9SN4	XZ	GAZ-KAR000	MYH11	14.72
BN9SN4	XZ	GAZ-KAR090	MYH11	10.26	BO9SN4	XZ	GAZ-KAR090	MYH11	12.23
BN9SN4	XZ	IMP-ECC092	MYH11	6.38	BO9SN4	XZ	IMP-ECC092	MYH11	7.82
BN9SN4	XZ	IMP-ECM000	MYH11	7.92	BO9SN4	XZ	IMP-ECM000	MYH11	12.93
BN9SN4	XZ	IMP-ELCD-270	MYH11	4.81	BO9SN4	XZ	IMP-ELCD-270	MYH11	11.17
BN9SN4	XZ	IRP-STU270	MYH11	5.63	BO9SN4	XZ	IRP-STU270	MYH11	18.02
BN9SN4	XZ	KOB-KJM090	MYH11	17.29	BO9SN4	XZ	KOB-KJM090	MYH11	24.28
BN9SN4	XZ	KOC-DZC180	MYH11	7.74	BO9SN4	XZ	KOC-DZC180	MYH11	8.44
BN9SN4	XZ	KOC-GBZ000	MYH11	6.59	BO9SN4	XZ	KOC-GBZ000	MYH11	7.58
BN9SN4	XZ	KOC-YAR060	MYH11	6.44	BO9SN4	XZ	KOC-YAR060	MYH11	10.99
BN9SN4	XZ	LOM-HSP000	MYH11	13.65	BO9SN4	XZ	LOM-HSP000	MYH11	18.65
BN9SN4	XZ	LOM-WVC270	MYH11	7.46	BO9SN4	XZ	LOM-WVC270	MYH11	14.52
BN9SN4	XZ	NOR-CNP196	MYH11	9.59	BO9SN4	XZ	NOR-CNP196	MYH11	11.68
BN9SN4	XZ	NOR-MUL009	MYH11	11.28	BO9SN4	XZ	NOR-MUL009	MYH11	15.32
BN9SN4	XZ	NOR-MUL279	MYH11	11.12	BO9SN4	XZ	NOR-MUL279	MYH11	26.44
BN9SN4	XZ	NOR-ORR360	MYH11	20.95	BO9SN4	XZ	NOR-ORR360	MYH11	32.55
BN9SN4	XZ	NOR-RRS318	MYH11	9.76	BO9SN4	XZ	NOR-RRS318	MYH11	14.21
BN9SN4	XZ	NOR-SAT180	MYH11	11.81	BO9SN4	XZ	NOR-SAT180	MYH11	24.72
BN9SN4	XZ	NPAL-NPS210	MYH11	6.80	BO9SN4	XZ	NPAL-NPS210	MYH11	20.01
BN9SN4	YZ	CHI-CHY28W	MYH11	11.22	BO9SN4	YZ	CHI-CHY28W	MYH11	8.83
BN9SN4	YZ	CHI-CHY101W	MYH11	4.91	BO9SN4	YZ	CHI-CHY101W	MYH11	2.84
BN9SN4	YZ	CHI-TCU063N	MYH11	2.88	BO9SN4	YZ	CHI-TCU063N	MYH11	2.06
BN9SN4	YZ	CHI-TCU072W	MYH11	9.59	BO9SN4	YZ	CHI-TCU072W	MYH11	9.75
BN9SN4	YZ	CHI-TCU74W	MYH11	13.55	BO9SN4	YZ	CHI-TCU74W	MYH11	15.67
BN9SN4	YZ	CHI-TCU128-W	MYH11	2.79	BO9SN4	YZ	CHI-TCU128-W	MYH11	1.70
BN9SN4	YZ	CHI-WGK-N	MYH11	6.71	BO9SN4	YZ	CHI-WGK-N	MYH11	11.79
BN9SN4	YZ	COA-PLE045	MYH11	17.51	BO9SN4	YZ	COA-PLE045	MYH11	19.08

Tablo C.1 (devam): Mevcut binalara ait yerdeğiştirme talepleri

Bina Adı	Analiz Yönü	İvme Kaydı	MYH Grup No	Δ_d (cm)	Bina Adı	Analiz Yönü	İvme Kaydı	MYH Grup No	Δ_d (cm)
BN9SN4	YZ	DZC-BOL000	MYH11	12.00	BO9SN4	YZ	DZC-BOL000	MYH11	13.10
BN9SN4	YZ	DZC-BOL090	MYH11	18.92	BO9SN4	YZ	DZC-BOL090	MYH11	23.83
BN9SN4	YZ	DZC-DZC180	MYH11	9.98	BO9SN4	YZ	DZC-DZC180	MYH11	12.08
BN9SN4	YZ	GAZ-KAR000	MYH11	8.64	BO9SN4	YZ	GAZ-KAR000	MYH11	9.14
BN9SN4	YZ	GAZ-KAR090	MYH11	10.04	BO9SN4	YZ	GAZ-KAR090	MYH11	8.85
BN9SN4	YZ	IMP-ECC092	MYH11	5.19	BO9SN4	YZ	IMP-ECC092	MYH11	4.21
BN9SN4	YZ	IMP-ECM000	MYH11	6.97	BO9SN4	YZ	IMP-ECM000	MYH11	7.09
BN9SN4	YZ	IMP-ELCD-270	MYH11	4.34	BO9SN4	YZ	IMP-ELCD-270	MYH11	5.50
BN9SN4	YZ	IRP-STU270	MYH11	4.64	BO9SN4	YZ	IRP-STU270	MYH11	3.13
BN9SN4	YZ	KOB-KJM090	MYH11	16.36	BO9SN4	YZ	KOB-KJM090	MYH11	22.04
BN9SN4	YZ	KOC-DZC180	MYH11	6.53	BO9SN4	YZ	KOC-DZC180	MYH11	4.77
BN9SN4	YZ	KOC-GBZ000	MYH11	5.39	BO9SN4	YZ	KOC-GBZ000	MYH11	5.96
BN9SN4	YZ	KOC-YAR060	MYH11	6.45	BO9SN4	YZ	KOC-YAR060	MYH11	5.20
BN9SN4	YZ	LOM-HSP000	MYH11	12.77	BO9SN4	YZ	LOM-HSP000	MYH11	10.79
BN9SN4	YZ	LOM-WVC270	MYH11	7.54	BO9SN4	YZ	LOM-WVC270	MYH11	7.23
BN9SN4	YZ	NOR-CNP196	MYH11	10.13	BO9SN4	YZ	NOR-CNP196	MYH11	8.30
BN9SN4	YZ	NOR-MUL009	MYH11	9.99	BO9SN4	YZ	NOR-MUL009	MYH11	10.16
BN9SN4	YZ	NOR-MUL279	MYH11	11.74	BO9SN4	YZ	NOR-MUL279	MYH11	15.59
BN9SN4	YZ	NOR-ORR360	MYH11	17.02	BO9SN4	YZ	NOR-ORR360	MYH11	26.10
BN9SN4	YZ	NOR-RRS318	MYH11	8.01	BO9SN4	YZ	NOR-RRS318	MYH11	8.28
BN9SN4	YZ	NOR-SAT180	MYH11	10.29	BO9SN4	YZ	NOR-SAT180	MYH11	11.69
BN9SN4	YZ	NPAL-NPS210	MYH11	5.83	BO9SN4	YZ	NPAL-NPS210	MYH11	6.22
BN9SN4	XZ	CHI-TCU065N	MYH12	10.51	BO9SN4	XZ	CHI-TCU065N	MYH12	33.40
BN9SN4	XZ	CHI-TCU067W	MYH12	10.48	BO9SN4	XZ	CHI-TCU067W	MYH12	15.71
BN9SN4	XZ	CHI-TCU102-N	MYH12	4.64	BO9SN4	XZ	CHI-TCU102-N	MYH12	7.70
BN9SN4	XZ	DZC-BOL000	MYH12	11.82	BO9SN4	XZ	DZC-BOL000	MYH12	18.76
BN9SN4	XZ	DZC-BOL090	MYH12	22.40	BO9SN4	XZ	DZC-BOL090	MYH12	21.52
BN9SN4	XZ	DZC-DZC180	MYH12	14.04	BO9SN4	XZ	DZC-DZC180	MYH12	10.63
BN9SN4	XZ	GAZ-KAR090	MYH12	11.04	BO9SN4	XZ	GAZ-KAR090	MYH12	13.81
BN9SN4	XZ	IMP-ECC092	MYH12	6.93	BO9SN4	XZ	IMP-ECC092	MYH12	7.99
BN9SN4	XZ	IMP-ELC4-230	MYH12	4.05	BO9SN4	XZ	IMP-ELC4-230	MYH12	16.28
BN9SN4	XZ	IMP-ELCD-270	MYH12	5.58	BO9SN4	XZ	IMP-ELCD-270	MYH12	12.83
BN9SN4	XZ	IRP-STU270	MYH12	6.05	BO9SN4	XZ	IRP-STU270	MYH12	20.09
BN9SN4	XZ	KOC-DZC180	MYH12	8.23	BO9SN4	XZ	KOC-DZC180	MYH12	10.26
BN9SN4	XZ	KOC-GBZ000	MYH12	7.09	BO9SN4	XZ	KOC-GBZ000	MYH12	8.64
BN9SN4	XZ	KOC-SKR090	MYH12	3.81	BO9SN4	XZ	KOC-SKR090	MYH12	4.96
BN9SN4	XZ	LAN-YER270	MYH12	7.73	BO9SN4	XZ	LAN-YER270	MYH12	19.76
BN9SN4	XZ	LOM-BRN000	MYH12	11.19	BO9SN4	XZ	LOM-BRN000	MYH12	22.29
BN9SN4	XZ	LOM-WVC270	MYH12	8.17	BO9SN4	XZ	LOM-WVC270	MYH12	16.77
BN9SN4	XZ	NOR-CNP196	MYH12	10.36	BO9SN4	XZ	NOR-CNP196	MYH12	13.65
BN9SN4	XZ	NOR-MUL009	MYH12	12.29	BO9SN4	XZ	NOR-MUL009	MYH12	16.97
BN9SN4	XZ	NOR-MUL279	MYH12	13.17	BO9SN4	XZ	NOR-MUL279	MYH12	28.03
BN9SN4	XZ	NOR-NEW090	MYH12	12.48	BO9SN4	XZ	NOR-NEW090	MYH12	13.64
BN9SN4	XZ	NOR-PAR-L	MYH12	15.59	BO9SN4	XZ	NOR-PAR-L	MYH12	29.32
BN9SN4	XZ	NOR-RRS318	MYH12	10.28	BO9SN4	XZ	NOR-RRS318	MYH12	16.20
BN9SN4	XZ	NOR-SAT180	MYH12	12.78	BO9SN4	XZ	NOR-SAT180	MYH12	27.04
BN9SN4	XZ	NOR-SCE288	MYH12	7.28	BO9SN4	XZ	NOR-SCE288	MYH12	20.37
BN9SN4	XZ	NOR-SEP360	MYH12	16.41	BO9SN4	XZ	NOR-SEP360	MYH12	9.48
BN9SN4	XZ	NOR-SYL090	MYH12	15.35	BO9SN4	XZ	NOR-SYL090	MYH12	19.84
BN9SN4	XZ	NOR-TAR360	MYH12	12.74	BO9SN4	XZ	NOR-TAR360	MYH12	19.51
BN9SN4	XZ	NOR-WPI316	MYH12	7.43	BO9SN4	XZ	NOR-WPI316	MYH12	10.96
BN9SN4	XZ	PRK-C02065	MYH12	13.26	BO9SN4	XZ	PRK-C02065	MYH12	22.09
BN9SN4	YZ	CHI-TCU065N	MYH12	10.11	BO9SN4	YZ	CHI-TCU065N	MYH12	16.69
BN9SN4	YZ	CHI-TCU067W	MYH12	9.41	BO9SN4	YZ	CHI-TCU067W	MYH12	10.65
BN9SN4	YZ	CHI-TCU102-N	MYH12	4.06	BO9SN4	YZ	CHI-TCU102-N	MYH12	2.76
BN9SN4	YZ	DZC-BOL000	MYH12	12.65	BO9SN4	YZ	DZC-BOL000	MYH12	13.50
BN9SN4	YZ	DZC-BOL090	MYH12	21.09	BO9SN4	YZ	DZC-BOL090	MYH12	26.27
BN9SN4	YZ	DZC-DZC180	MYH12	11.54	BO9SN4	YZ	DZC-DZC180	MYH12	13.07
BN9SN4	YZ	GAZ-KAR090	MYH12	10.79	BO9SN4	YZ	GAZ-KAR090	MYH12	9.77

Tablo C.1 (devam): Mevcut binalara ait yerdeğiştirme talepleri

Bina Adı	Analiz Yönü	İvme Kaydı	MYH Grup No	Δ_d (cm)	Bina Adı	Analiz Yönü	İvme Kaydı	MYH Grup No	Δ_d (cm)
BN9SN4	YZ	IMP-ECC092	MYH12	5.65	BO9SN4	YZ	IMP-ECC092	MYH12	4.84
BN9SN4	YZ	IMP-ELC4-230	MYH12	4.64	BO9SN4	YZ	IMP-ELC4-230	MYH12	5.58
BN9SN4	YZ	IMP-ELCD-270	MYH12	4.82	BO9SN4	YZ	IMP-ELCD-270	MYH12	6.39
BN9SN4	YZ	IRP-STU270	MYH12	4.98	BO9SN4	YZ	IRP-STU270	MYH12	3.76
BN9SN4	YZ	KOC-DZC180	MYH12	7.11	BO9SN4	YZ	KOC-DZC180	MYH12	5.51
BN9SN4	YZ	KOC-GBZ000	MYH12	5.86	BO9SN4	YZ	KOC-GBZ000	MYH12	6.55
BN9SN4	YZ	KOC-SKR090	MYH12	3.98	BO9SN4	YZ	KOC-SKR090	MYH12	2.82
BN9SN4	YZ	LAN-YER270	MYH12	6.24	BO9SN4	YZ	LAN-YER270	MYH12	9.82
BN9SN4	YZ	LOM-BRN000	MYH12	10.70	BO9SN4	YZ	LOM-BRN000	MYH12	8.63
BN9SN4	YZ	LOM-WVC270	MYH12	8.01	BO9SN4	YZ	LOM-WVC270	MYH12	8.31
BN9SN4	YZ	NOR-CNP196	MYH12	10.38	BO9SN4	YZ	NOR-CNP196	MYH12	8.32
BN9SN4	YZ	NOR-MUL009	MYH12	10.94	BO9SN4	YZ	NOR-MUL009	MYH12	10.92
BN9SN4	YZ	NOR-MUL279	MYH12	13.34	BO9SN4	YZ	NOR-MUL279	MYH12	17.69
BN9SN4	YZ	NOR-NEW090	MYH12	11.70	BO9SN4	YZ	NOR-NEW090	MYH12	13.69
BN9SN4	YZ	NOR-PAR-L	MYH12	13.09	BO9SN4	YZ	NOR-PAR-L	MYH12	14.46
BN9SN4	YZ	NOR-RRS318	MYH12	8.73	BO9SN4	YZ	NOR-RRS318	MYH12	9.05
BN9SN4	YZ	NOR-SAT180	MYH12	11.84	BO9SN4	YZ	NOR-SAT180	MYH12	12.20
BN9SN4	YZ	NOR-SCE288	MYH12	7.14	BO9SN4	YZ	NOR-SCE288	MYH12	6.68
BN9SN4	YZ	NOR-SEP360	MYH12	14.08	BO9SN4	YZ	NOR-SEP360	MYH12	12.80
BN9SN4	YZ	NOR-SYL090	MYH12	13.60	BO9SN4	YZ	NOR-SYL090	MYH12	14.76
BN9SN4	YZ	NOR-TAR360	MYH12	10.90	BO9SN4	YZ	NOR-TAR360	MYH12	17.14
BN9SN4	YZ	NOR-WPI316	MYH12	6.50	BO9SN4	YZ	NOR-WPI316	MYH12	8.82
BN9SN4	YZ	PRK-C02065	MYH12	11.37	BO9SN4	YZ	PRK-C02065	MYH12	15.35
BN11SN5	XZ	CAP-FOR090	MYH1	3.82	BO11SN5	XZ	CAP-FOR090	MYH1	4.34
BN11SN5	XZ	CHI-CHY010-N	MYH1	5.07	BO11SN5	XZ	CHI-CHY010-N	MYH1	5.72
BN11SN5	XZ	CHI-CHY41W	MYH1	6.27	BO11SN5	XZ	CHI-CHY41W	MYH1	5.10
BN11SN5	XZ	CHI-CHY046N	MYH1	6.40	BO11SN5	XZ	CHI-CHY046N	MYH1	5.07
BN11SN5	XZ	CHI-CHY047-E	MYH1	3.78	BO11SN5	XZ	CHI-CHY047-E	MYH1	3.24
BN11SN5	XZ	COA-CAK270	MYH1	6.69	BO11SN5	XZ	COA-CAK270	MYH1	6.23
BN11SN5	XZ	COY-G06320	MYH1	3.99	BO11SN5	XZ	COY-G06320	MYH1	3.69
BN11SN5	XZ	FRI-TMZ000	MYH1	5.67	BO11SN5	XZ	FRI-TMZ000	MYH1	3.90
BN11SN5	XZ	IMP-E12230	MYH1	3.07	BO11SN5	XZ	IMP-E12230	MYH1	2.89
BN11SN5	XZ	IMP-SAH000	MYH1	5.40	BO11SN5	XZ	IMP-SAH000	MYH1	3.53
BN11SN5	XZ	IRP-BIS000	MYH1	2.60	BO11SN5	XZ	IRP-BIS000	MYH1	2.95
BN11SN5	XZ	KOC-IZM180	MYH1	3.88	BO11SN5	XZ	KOC-IZM180	MYH1	4.61
BN11SN5	XZ	LAN-ABY090	MYH1	3.94	BO11SN5	XZ	LAN-ABY090	MYH1	3.56
BN11SN5	XZ	LAN-DSP000	MYH1	3.70	BO11SN5	XZ	LAN-DSP000	MYH1	2.99
BN11SN5	XZ	LIV-DVD246	MYH1	3.73	BO11SN5	XZ	LIV-DVD246	MYH1	2.73
BN11SN5	XZ	LOM-BRK090	MYH1	5.32	BO11SN5	XZ	LOM-BRK090	MYH1	5.75
BN11SN5	XZ	LOM-CLD285	MYH1	4.54	BO11SN5	XZ	LOM-CLD285	MYH1	4.64
BN11SN5	XZ	LOM-GGV337	MYH1	4.35	BO11SN5	XZ	LOM-GGV337	MYH1	3.91
BN11SN5	XZ	NOR-CWC270	MYH1	6.38	BO11SN5	XZ	NOR-CWC270	MYH1	6.54
BN11SN5	XZ	NOR-LOS090	MYH1	6.13	BO11SN5	XZ	NOR-LOS090	MYH1	4.73
BN11SN5	XZ	NOR-LOS360	MYH1	5.79	BO11SN5	XZ	NOR-LOS360	MYH1	6.44
BN11SN5	XZ	PRK-CHO355	MYH1	4.54	BO11SN5	XZ	PRK-CHO355	MYH1	3.96
BN11SN5	XZ	PRK-TMB205	MYH1	3.24	BO11SN5	XZ	PRK-TMB205	MYH1	3.35
BN11SN5	XZ	SUP-PLS135	MYH1	4.17	BO11SN5	XZ	SUP-PLS135	MYH1	4.28
BN11SN5	XZ	TAB-DAY-LN	MYH1	4.98	BO11SN5	XZ	TAB-DAY-LN	MYH1	3.88
BN11SN5	XZ	VIC-CPE315	MYH1	5.93	BO11SN5	XZ	VIC-CPE315	MYH1	3.99
BN11SN5	XZ	WHI-ALH180	MYH1	5.88	BO11SN5	XZ	WHI-ALH180	MYH1	5.07
BN11SN5	XZ	WHI-GRN180	MYH1	7.74	BO11SN5	XZ	WHI-GRN180	MYH1	6.76
BN11SN5	XZ	WHI-OBR360	MYH1	6.47	BO11SN5	XZ	WHI-OBR360	MYH1	5.14
BN11SN5	YZ	CAP-FOR090	MYH1	2.62	BO11SN5	YZ	CAP-FOR090	MYH1	1.84
BN11SN5	YZ	CHI-CHY010-N	MYH1	4.38	BO11SN5	YZ	CHI-CHY010-N	MYH1	3.83
BN11SN5	YZ	CHI-CHY41W	MYH1	6.49	BO11SN5	YZ	CHI-CHY41W	MYH1	3.55
BN11SN5	YZ	CHI-CHY046N	MYH1	4.60	BO11SN5	YZ	CHI-CHY046N	MYH1	2.57
BN11SN5	YZ	CHI-CHY047-E	MYH1	3.77	BO11SN5	YZ	CHI-CHY047-E	MYH1	2.24
BN11SN5	YZ	COA-CAK270	MYH1	4.74	BO11SN5	YZ	COA-CAK270	MYH1	3.14
BN11SN5	YZ	COY-G06320	MYH1	3.59	BO11SN5	YZ	COY-G06320	MYH1	3.46

Tablo C.1 (devam): Mevcut binalara ait yerdeğiştirme talepleri

Bina Adı	Analiz Yönü	İvme Kaydı	MYH Grup No	Δ_d (cm)	Bina Adı	Analiz Yönü	İvme Kaydı	MYH Grup No	Δ_d (cm)
BN11SN5	YZ	FRI-TMZ000	MYH1	4.63	BO11SN5	YZ	FRI-TMZ000	MYH1	2.77
BN11SN5	YZ	IMP-E12230	MYH1	2.30	BO11SN5	YZ	IMP-E12230	MYH1	1.46
BN11SN5	YZ	IMP-SAH000	MYH1	4.27	BO11SN5	YZ	IMP-SAH000	MYH1	2.94
BN11SN5	YZ	IRP-BIS000	MYH1	1.44	BO11SN5	YZ	IRP-BIS000	MYH1	1.76
BN11SN5	YZ	KOC-IZM180	MYH1	3.85	BO11SN5	YZ	KOC-IZM180	MYH1	2.92
BN11SN5	YZ	LAN-ABY090	MYH1	3.38	BO11SN5	YZ	LAN-ABY090	MYH1	1.78
BN11SN5	YZ	LAN-DSP000	MYH1	4.23	BO11SN5	YZ	LAN-DSP000	MYH1	2.09
BN11SN5	YZ	LIV-DVD246	MYH1	3.34	BO11SN5	YZ	LIV-DVD246	MYH1	2.04
BN11SN5	YZ	LOM-BRK090	MYH1	4.11	BO11SN5	YZ	LOM-BRK090	MYH1	2.88
BN11SN5	YZ	LOM-CLD285	MYH1	3.46	BO11SN5	YZ	LOM-CLD285	MYH1	2.66
BN11SN5	YZ	LOM-GGV337	MYH1	4.50	BO11SN5	YZ	LOM-GGV337	MYH1	4.25
BN11SN5	YZ	NOR-CWC270	MYH1	4.59	BO11SN5	YZ	NOR-CWC270	MYH1	3.40
BN11SN5	YZ	NOR-LOS090	MYH1	5.91	BO11SN5	YZ	NOR-LOS090	MYH1	3.77
BN11SN5	YZ	NOR-LOS360	MYH1	5.43	BO11SN5	YZ	NOR-LOS360	MYH1	4.88
BN11SN5	YZ	PRK-CHO355	MYH1	4.27	BO11SN5	YZ	PRK-CHO355	MYH1	3.37
BN11SN5	YZ	PRK-TMB205	MYH1	3.04	BO11SN5	YZ	PRK-TMB205	MYH1	3.11
BN11SN5	YZ	SUP-PLS135	MYH1	3.79	BO11SN5	YZ	SUP-PLS135	MYH1	2.53
BN11SN5	YZ	TAB-DAY-LN	MYH1	4.49	BO11SN5	YZ	TAB-DAY-LN	MYH1	2.93
BN11SN5	YZ	VIC-CPE315	MYH1	4.80	BO11SN5	YZ	VIC-CPE315	MYH1	4.02
BN11SN5	YZ	WHI-ALH180	MYH1	4.46	BO11SN5	YZ	WHI-ALH180	MYH1	3.01
BN11SN5	YZ	WHI-GRN180	MYH1	6.16	BO11SN5	YZ	WHI-GRN180	MYH1	4.99
BN11SN5	YZ	WHI-OBR360	MYH1	4.57	BO11SN5	YZ	WHI-OBR360	MYH1	3.54
BN11SN5	XZ	CHI-TCU141-N	MYH2	2.62	BO11SN5	XZ	CHI-TCU141-N	MYH2	2.46
BN11SN5	XZ	COA-PV1090	MYH2	5.70	BO11SN5	XZ	COA-PV1090	MYH2	8.34
BN11SN5	XZ	COA-Z14090	MYH2	9.97	BO11SN5	XZ	COA-Z14090	MYH2	7.78
BN11SN5	XZ	COY-G02140	MYH2	8.29	BO11SN5	XZ	COY-G02140	MYH2	8.10
BN11SN5	XZ	COY-G03140	MYH2	6.92	BO11SN5	XZ	COY-G03140	MYH2	7.37
BN11SN5	XZ	IMP-AER315	MYH2	6.26	BO11SN5	XZ	IMP-AER315	MYH2	4.65
BN11SN5	XZ	IMP-DLT262	MYH2	7.21	BO11SN5	XZ	IMP-DLT262	MYH2	5.81
BN11SN5	XZ	KOB-KAK090	MYH2	6.10	BO11SN5	XZ	KOB-KAK090	MYH2	4.93
BN11SN5	XZ	KOB-SHI090	MYH2	7.82	BO11SN5	XZ	KOB-SHI090	MYH2	5.99
BN11SN5	XZ	LAN-CLVLN	MYH2	7.52	BO11SN5	XZ	LAN-CLVLN	MYH2	4.91
BN11SN5	XZ	LAN-JOS000	MYH2	9.19	BO11SN5	XZ	LAN-JOS000	MYH2	7.68
BN11SN5	XZ	LOM-CAP090	MYH2	8.63	BO11SN5	XZ	LOM-CAP090	MYH2	6.20
BN11SN5	XZ	LOM-GGV067	MYH2	5.23	BO11SN5	XZ	LOM-GGV067	MYH2	4.86
BN11SN5	XZ	LOM-HSP090	MYH2	6.37	BO11SN5	XZ	LOM-HSP090	MYH2	5.54
BN11SN5	XZ	LOM-SFO000	MYH2	5.74	BO11SN5	XZ	LOM-SFO000	MYH2	6.10
BN11SN5	XZ	LOM-SFO090	MYH2	10.91	BO11SN5	XZ	LOM-SFO090	MYH2	6.89
BN11SN5	XZ	LOM-WAH000	MYH2	9.38	BO11SN5	XZ	LOM-WAH000	MYH2	6.78
BN11SN5	XZ	MAM-LUL000	MYH2	6.74	BO11SN5	XZ	MAM-LUL000	MYH2	4.46
BN11SN5	XZ	MOR-AND250	MYH2	5.52	BO11SN5	XZ	MOR-AND250	MYH2	4.39
BN11SN5	XZ	MOR-AND340	MYH2	11.24	BO11SN5	XZ	MOR-AND340	MYH2	6.07
BN11SN5	XZ	NOR-CHL160	MYH2	8.35	BO11SN5	XZ	NOR-CHL160	MYH2	8.15
BN11SN5	XZ	NOR-CWC180	MYH2	5.81	BO11SN5	XZ	NOR-CWC180	MYH2	6.17
BN11SN5	XZ	NOR-SAT090	MYH2	8.12	BO11SN5	XZ	NOR-SAT090	MYH2	8.53
BN11SN5	XZ	NPAL-DSP000	MYH2	6.92	BO11SN5	XZ	NPAL-DSP000	MYH2	8.34
BN11SN5	XZ	PRK-CHO085	MYH2	4.09	BO11SN5	XZ	PRK-CHO085	MYH2	3.83
BN11SN5	XZ	SFD-ORR291	MYH2	7.28	BO11SN5	XZ	SFD-ORR291	MYH2	5.05
BN11SN5	XZ	SPI-GUK000	MYH2	6.32	BO11SN5	XZ	SPI-GUK000	MYH2	6.56
BN11SN5	XZ	TAB-DAY-TR	MYH2	7.76	BO11SN5	XZ	TAB-DAY-TR	MYH2	6.84
BN11SN5	XZ	WES-PTS315	MYH2	8.76	BO11SN5	XZ	WES-PTS315	MYH2	7.86
BN11SN5	XZ	WHI-DEL000	MYH2	9.29	BO11SN5	XZ	WHI-DEL000	MYH2	6.50
BN11SN5	XZ	WHI-DWN180	MYH2	9.32	BO11SN5	XZ	WHI-DWN180	MYH2	7.18
BN11SN5	YZ	CHI-TCU141-N	MYH2	2.08	BO11SN5	YZ	CHI-TCU141-N	MYH2	1.27
BN11SN5	YZ	COA-PV1090	MYH2	3.84	BO11SN5	YZ	COA-PV1090	MYH2	3.64
BN11SN5	YZ	COA-Z14090	MYH2	6.89	BO11SN5	YZ	COA-Z14090	MYH2	4.75
BN11SN5	YZ	COY-G02140	MYH2	5.77	BO11SN5	YZ	COY-G02140	MYH2	3.73
BN11SN5	YZ	COY-G03140	MYH2	5.11	BO11SN5	YZ	COY-G03140	MYH2	3.29
BN11SN5	YZ	IMP-AER315	MYH2	5.07	BO11SN5	YZ	IMP-AER315	MYH2	3.56

Tablo C.1 (devam): Mevcut binalara ait yerdeğiştirme talepleri

Bina Adı	Analiz Yönü	İvme Kaydı	MYH Grup No	Δ_d (cm)	Bina Adı	Analiz Yönü	İvme Kaydı	MYH Grup No	Δ_d (cm)
BN11SN5	YZ	IMP-DLT262	MYH2	6.95	BO11SN5	YZ	IMP-DLT262	MYH2	4.53
BN11SN5	YZ	KOB-KAK090	MYH2	4.50	BO11SN5	YZ	KOB-KAK090	MYH2	3.51
BN11SN5	YZ	KOB-SHI090	MYH2	6.83	BO11SN5	YZ	KOB-SHI090	MYH2	5.31
BN11SN5	YZ	LAN-CLVLN	MYH2	5.74	BO11SN5	YZ	LAN-CLVLN	MYH2	3.67
BN11SN5	YZ	LAN-JOS000	MYH2	6.48	BO11SN5	YZ	LAN-JOS000	MYH2	4.22
BN11SN5	YZ	LOM-CAP090	MYH2	7.83	BO11SN5	YZ	LOM-CAP090	MYH2	6.71
BN11SN5	YZ	LOM-GGV067	MYH2	4.44	BO11SN5	YZ	LOM-GGV067	MYH2	3.07
BN11SN5	YZ	LOM-HSP090	MYH2	5.72	BO11SN5	YZ	LOM-HSP090	MYH2	4.19
BN11SN5	YZ	LOM-SFO000	MYH2	5.16	BO11SN5	YZ	LOM-SFO000	MYH2	3.84
BN11SN5	YZ	LOM-SFO090	MYH2	7.60	BO11SN5	YZ	LOM-SFO090	MYH2	5.26
BN11SN5	YZ	LOM-WAH000	MYH2	7.00	BO11SN5	YZ	LOM-WAH000	MYH2	5.51
BN11SN5	YZ	MAM-LUL000	MYH2	5.00	BO11SN5	YZ	MAM-LUL000	MYH2	4.53
BN11SN5	YZ	MOR-AND250	MYH2	3.73	BO11SN5	YZ	MOR-AND250	MYH2	3.06
BN11SN5	YZ	MOR-AND340	MYH2	8.53	BO11SN5	YZ	MOR-AND340	MYH2	6.37
BN11SN5	YZ	NOR-CHL160	MYH2	7.12	BO11SN5	YZ	NOR-CHL160	MYH2	5.17
BN11SN5	YZ	NOR-CWC180	MYH2	5.37	BO11SN5	YZ	NOR-CWC180	MYH2	2.83
BN11SN5	YZ	NOR-SAT090	MYH2	7.50	BO11SN5	YZ	NOR-SAT090	MYH2	4.93
BN11SN5	YZ	NPAL-DSP000	MYH2	5.34	BO11SN5	YZ	NPAL-DSP000	MYH2	4.72
BN11SN5	YZ	PRK-CHO085	MYH2	3.79	BO11SN5	YZ	PRK-CHO085	MYH2	2.70
BN11SN5	YZ	SFD-ORR291	MYH2	6.04	BO11SN5	YZ	SFD-ORR291	MYH2	4.36
BN11SN5	YZ	SPI-GUK000	MYH2	4.84	BO11SN5	YZ	SPI-GUK000	MYH2	3.60
BN11SN5	YZ	TAB-DAY-TR	MYH2	5.29	BO11SN5	YZ	TAB-DAY-TR	MYH2	5.67
BN11SN5	YZ	WES-PTS315	MYH2	6.10	BO11SN5	YZ	WES-PTS315	MYH2	4.09
BN11SN5	YZ	WHI-DEL000	MYH2	7.31	BO11SN5	YZ	WHI-DEL000	MYH2	5.79
BN11SN5	YZ	WHI-DWN180	MYH2	8.25	BO11SN5	YZ	WHI-DWN180	MYH2	5.15
BN11SN5	XZ	CAP-FOR000	MYH3	4.84	BO11SN5	XZ	CAP-FOR000	MYH3	3.94
BN11SN5	XZ	CHI-CHY29W	MYH3	6.68	BO11SN5	XZ	CHI-CHY29W	MYH3	8.09
BN11SN5	XZ	CHI-TCU046N	MYH3	2.56	BO11SN5	XZ	CHI-TCU046N	MYH3	3.00
BN11SN5	XZ	CHI-TCU112-N	MYH3	2.54	BO11SN5	XZ	CHI-TCU112-N	MYH3	2.38
BN11SN5	XZ	CHI-TCU118-N	MYH3	4.11	BO11SN5	XZ	CHI-TCU118-N	MYH3	2.64
BN11SN5	XZ	FRI-TMZ270	MYH3	7.83	BO11SN5	XZ	FRI-TMZ270	MYH3	7.27
BN11SN5	XZ	IMP-ELC2-140	MYH3	6.18	BO11SN5	XZ	IMP-ELC2-140	MYH3	6.05
BN11SN5	XZ	IMP-ELC11-140	MYH3	6.25	BO11SN5	XZ	IMP-ELC11-140	MYH3	5.23
BN11SN5	XZ	IMP-SAH270	MYH3	7.60	BO11SN5	XZ	IMP-SAH270	MYH3	5.34
BN11SN5	XZ	KOC-AMB090	MYH3	7.62	BO11SN5	XZ	KOC-AMB090	MYH3	11.52
BN11SN5	XZ	KOC-GBZ270	MYH3	2.85	BO11SN5	XZ	KOC-GBZ270	MYH3	2.69
BN11SN5	XZ	KOC-IZM090	MYH3	4.94	BO11SN5	XZ	KOC-IZM090	MYH3	5.23
BN11SN5	XZ	LAN-LUC000	MYH3	5.80	BO11SN5	XZ	LAN-LUC000	MYH3	3.90
BN11SN5	XZ	LAN-YER360	MYH3	4.36	BO11SN5	XZ	LAN-YER360	MYH3	5.12
BN11SN5	XZ	LOM-A02133	MYH3	9.60	BO11SN5	XZ	LOM-A02133	MYH3	11.22
BN11SN5	XZ	LOM-G01000	MYH3	4.52	BO11SN5	XZ	LOM-G01000	MYH3	3.16
BN11SN5	XZ	LOM-G01090	MYH3	5.19	BO11SN5	XZ	LOM-G01090	MYH3	6.20
BN11SN5	XZ	LOM-G02000	MYH3	10.62	BO11SN5	XZ	LOM-G02000	MYH3	9.94
BN11SN5	XZ	LOM-TRI090	MYH3	9.01	BO11SN5	XZ	LOM-TRI090	MYH3	8.93
BN11SN5	XZ	MAM-LUL090	MYH3	8.74	BO11SN5	XZ	MAM-LUL090	MYH3	12.06
BN11SN5	XZ	NOR-CNP106	MYH3	7.13	BO11SN5	XZ	NOR-CNP106	MYH3	10.10
BN11SN5	XZ	NOR-PAC265	MYH3	5.52	BO11SN5	XZ	NOR-PAC265	MYH3	7.53
BN11SN5	XZ	NOR-PKC090	MYH3	9.54	BO11SN5	XZ	NOR-PKC090	MYH3	8.52
BN11SN5	XZ	NOR-WIL180	MYH3	10.93	BO11SN5	XZ	NOR-WIL180	MYH3	9.65
BN11SN5	XZ	NPAL-MVH045	MYH3	7.13	BO11SN5	XZ	NPAL-MVH045	MYH3	9.79
BN11SN5	XZ	NPAL-NPS300	MYH3	6.50	BO11SN5	XZ	NPAL-NPS300	MYH3	7.64
BN11SN5	XZ	NPAL-WWT270	MYH3	6.91	BO11SN5	XZ	NPAL-WWT270	MYH3	8.09
BN11SN5	XZ	SUP-IVW090	MYH3	5.16	BO11SN5	XZ	SUP-IVW090	MYH3	4.68
BN11SN5	XZ	SUP-IVW360	MYH3	7.15	BO11SN5	XZ	SUP-IVW360	MYH3	6.60
BN11SN5	XZ	SUP-KRN360	MYH3	4.68	BO11SN5	XZ	SUP-KRN360	MYH3	5.71
BN11SN5	XZ	SUP-POE360	MYH3	5.75	BO11SN5	XZ	SUP-POE360	MYH3	5.10
BN11SN5	XZ	SUP-SUP045	MYH3	8.45	BO11SN5	XZ	SUP-SUP045	MYH3	5.02
BN11SN5	XZ	VIC-CPE045	MYH3	8.39	BO11SN5	XZ	VIC-CPE045	MYH3	11.64
BN11SN5	XZ	WHI-OR2010	MYH3	11.60	BO11SN5	XZ	WHI-OR2010	MYH3	7.28

Tablo C.1 (devam): Mevcut binalara ait yerdeğiştirme talepleri

Bina Adı	Analiz Yönü	İvme Kaydı	MYH Grup No	Δ_d (cm)	Bina Adı	Analiz Yönü	İvme Kaydı	MYH Grup No	Δ_d (cm)
BN11SN5	YZ	CAP-FOR000	MYH3	3.51	BO11SN5	YZ	CAP-FOR000	MYH3	2.13
BN11SN5	YZ	CHI-CHY29W	MYH3	7.29	BO11SN5	YZ	CHI-CHY29W	MYH3	5.82
BN11SN5	YZ	CHI-TCU046N	MYH3	2.25	BO11SN5	YZ	CHI-TCU046N	MYH3	1.88
BN11SN5	YZ	CHI-TCU112-N	MYH3	1.85	BO11SN5	YZ	CHI-TCU112-N	MYH3	1.25
BN11SN5	YZ	CHI-TCU118-N	MYH3	3.68	BO11SN5	YZ	CHI-TCU118-N	MYH3	2.22
BN11SN5	YZ	FRI-TMZ270	MYH3	7.03	BO11SN5	YZ	FRI-TMZ270	MYH3	6.44
BN11SN5	YZ	IMP-ELC2-140	MYH3	5.44	BO11SN5	YZ	IMP-ELC2-140	MYH3	4.83
BN11SN5	YZ	IMP-ELC11-140	MYH3	4.78	BO11SN5	YZ	IMP-ELC11-140	MYH3	2.99
BN11SN5	YZ	IMP-SAH270	MYH3	6.50	BO11SN5	YZ	IMP-SAH270	MYH3	4.83
BN11SN5	YZ	KOC-AMB090	MYH3	6.18	BO11SN5	YZ	KOC-AMB090	MYH3	4.09
BN11SN5	YZ	KOC-GBZ270	MYH3	3.01	BO11SN5	YZ	KOC-GBZ270	MYH3	2.24
BN11SN5	YZ	KOC-IZM090	MYH3	4.54	BO11SN5	YZ	KOC-IZM090	MYH3	3.47
BN11SN5	YZ	LAN-LUC000	MYH3	4.86	BO11SN5	YZ	LAN-LUC000	MYH3	3.44
BN11SN5	YZ	LAN-YER360	MYH3	3.88	BO11SN5	YZ	LAN-YER360	MYH3	3.01
BN11SN5	YZ	LOM-A02133	MYH3	8.62	BO11SN5	YZ	LOM-A02133	MYH3	5.91
BN11SN5	YZ	LOM-G01000	MYH3	4.00	BO11SN5	YZ	LOM-G01000	MYH3	3.04
BN11SN5	YZ	LOM-G01090	MYH3	4.52	BO11SN5	YZ	LOM-G01090	MYH3	4.46
BN11SN5	YZ	LOM-G02000	MYH3	8.64	BO11SN5	YZ	LOM-G02000	MYH3	7.69
BN11SN5	YZ	LOM-TRI090	MYH3	6.95	BO11SN5	YZ	LOM-TRI090	MYH3	5.42
BN11SN5	YZ	MAM-LUL090	MYH3	8.29	BO11SN5	YZ	MAM-LUL090	MYH3	6.92
BN11SN5	YZ	NOR-CNP106	MYH3	6.33	BO11SN5	YZ	NOR-CNP106	MYH3	5.90
BN11SN5	YZ	NOR-PAC265	MYH3	6.84	BO11SN5	YZ	NOR-PAC265	MYH3	3.99
BN11SN5	YZ	NOR-PKC090	MYH3	7.42	BO11SN5	YZ	NOR-PKC090	MYH3	5.83
BN11SN5	YZ	NOR-WIL180	MYH3	8.04	BO11SN5	YZ	NOR-WIL180	MYH3	5.27
BN11SN5	YZ	NPAL-MVH045	MYH3	6.79	BO11SN5	YZ	NPAL-MVH045	MYH3	3.48
BN11SN5	YZ	NPAL-NPS300	MYH3	5.49	BO11SN5	YZ	NPAL-NPS300	MYH3	4.86
BN11SN5	YZ	NPAL-WWT270	MYH3	6.53	BO11SN5	YZ	NPAL-WWT270	MYH3	6.27
BN11SN5	YZ	SUP-IVW090	MYH3	3.64	BO11SN5	YZ	SUP-IVW090	MYH3	2.62
BN11SN5	YZ	SUP-IVW360	MYH3	5.66	BO11SN5	YZ	SUP-IVW360	MYH3	3.68
BN11SN5	YZ	SUP-KRN360	MYH3	3.68	BO11SN5	YZ	SUP-KRN360	MYH3	2.70
BN11SN5	YZ	SUP-POE360	MYH3	5.99	BO11SN5	YZ	SUP-POE360	MYH3	4.95
BN11SN5	YZ	SUP-SUP045	MYH3	6.75	BO11SN5	YZ	SUP-SUP045	MYH3	5.24
BN11SN5	YZ	VIC-CPE045	MYH3	7.47	BO11SN5	YZ	VIC-CPE045	MYH3	7.34
BN11SN5	YZ	WHI-OR2010	MYH3	8.97	BO11SN5	YZ	WHI-OR2010	MYH3	7.93
BN11SN5	XZ	CHI-CHY29N	MYH4	10.04	BO11SN5	XZ	CHI-CHY29N	MYH4	6.17
BN11SN5	XZ	CHI-CHY036W	MYH4	10.67	BO11SN5	XZ	CHI-CHY036W	MYH4	9.76
BN11SN5	XZ	CHI-CHY41N	MYH4	10.00	BO11SN5	XZ	CHI-CHY41N	MYH4	8.08
BN11SN5	XZ	CHI-TCU45N	MYH4	10.38	BO11SN5	XZ	CHI-TCU45N	MYH4	7.25
BN11SN5	XZ	CHI-TCU45W	MYH4	7.03	BO11SN5	XZ	CHI-TCU45W	MYH4	8.04
BN11SN5	XZ	CHI-TCU51N	MYH4	6.22	BO11SN5	XZ	CHI-TCU51N	MYH4	6.85
BN11SN5	XZ	COA-PLE135	MYH4	12.40	BO11SN5	XZ	COA-PLE135	MYH4	8.66
BN11SN5	XZ	IMP-BRA225	MYH4	3.07	BO11SN5	XZ	IMP-BRA225	MYH4	3.73
BN11SN5	XZ	IMP-BRA315	MYH4	5.62	BO11SN5	XZ	IMP-BRA315	MYH4	6.48
BN11SN5	XZ	IMP-ECC002	MYH4	6.74	BO11SN5	XZ	IMP-ECC002	MYH4	12.06
BN11SN5	XZ	IMP-ELC4-140	MYH4	13.15	BO11SN5	XZ	IMP-ELC4-140	MYH4	15.00
BN11SN5	XZ	IRP-STU000	MYH4	6.84	BO11SN5	XZ	IRP-STU000	MYH4	8.60
BN11SN5	XZ	KOB-NIS000	MYH4	7.57	BO11SN5	XZ	KOB-NIS000	MYH4	6.86
BN11SN5	XZ	KOB-NIS090	MYH4	8.92	BO11SN5	XZ	KOB-NIS090	MYH4	7.67
BN11SN5	XZ	KOB-SHI000	MYH4	9.68	BO11SN5	XZ	KOB-SHI000	MYH4	7.19
BN11SN5	XZ	KOC-ARC090	MYH4	3.25	BO11SN5	XZ	KOC-ARC090	MYH4	3.09
BN11SN5	XZ	LOM-G02090	MYH4	10.00	BO11SN5	XZ	LOM-G02090	MYH4	12.68
BN11SN5	XZ	LOM-G03000	MYH4	7.26	BO11SN5	XZ	LOM-G03000	MYH4	6.69
BN11SN5	XZ	LOM-HDA255	MYH4	9.49	BO11SN5	XZ	LOM-HDA255	MYH4	8.92
BN11SN5	XZ	LOM-SVL360	MYH4	4.90	BO11SN5	XZ	LOM-SVL360	MYH4	4.85
BN11SN5	XZ	MOR-G06090	MYH4	10.99	BO11SN5	XZ	MOR-G06090	MYH4	8.29
BN11SN5	XZ	MOR-HAL240	MYH4	9.23	BO11SN5	XZ	MOR-HAL240	MYH4	12.96
BN11SN5	XZ	NOR-KAT090	MYH4	10.48	BO11SN5	XZ	NOR-KAT090	MYH4	9.24
BN11SN5	XZ	NOR-SCR090	MYH4	7.18	BO11SN5	XZ	NOR-SCR090	MYH4	7.27
BN11SN5	XZ	NOR-STN020	MYH4	9.53	BO11SN5	XZ	NOR-STN020	MYH4	7.96

Tablo C.1 (devam): Mevcut binalara ait yerdeğiştirme talepleri

Bina Adı	Analiz Yönü	İvme Kaydı	MYH Grup No	Δ_d (cm)	Bina Adı	Analiz Yönü	İvme Kaydı	MYH Grup No	Δ_d (cm)
BN11SN5	XZ	NPAL-WWT180	MYH4	8.14	BO11SN5	XZ	NPAL-WWT180	MYH4	8.48
BN11SN5	XZ	SUP-POE270	MYH4	6.49	BO11SN5	XZ	SUP-POE270	MYH4	5.61
BN11SN5	XZ	WES-PTS225	MYH4	6.24	BO11SN5	XZ	WES-PTS225	MYH4	4.91
BN11SN5	XZ	WHI-BIR180	MYH4	11.21	BO11SN5	XZ	WHI-BIR180	MYH4	8.38
BN11SN5	XZ	WHI-EJS048	MYH4	8.88	BO11SN5	XZ	WHI-EJS048	MYH4	6.37
BN11SN5	YZ	CHI-CHY29N	MYH4	7.65	BO11SN5	YZ	CHI-CHY29N	MYH4	7.13
BN11SN5	YZ	CHI-CHY036W	MYH4	8.69	BO11SN5	YZ	CHI-CHY036W	MYH4	7.49
BN11SN5	YZ	CHI-CHY41N	MYH4	8.28	BO11SN5	YZ	CHI-CHY41N	MYH4	6.45
BN11SN5	YZ	CHI-TCU45N	MYH4	9.48	BO11SN5	YZ	CHI-TCU45N	MYH4	8.04
BN11SN5	YZ	CHI-TCU45W	MYH4	8.10	BO11SN5	YZ	CHI-TCU45W	MYH4	5.53
BN11SN5	YZ	CHI-TCU51N	MYH4	5.64	BO11SN5	YZ	CHI-TCU51N	MYH4	3.86
BN11SN5	YZ	COA-PLE135	MYH4	9.68	BO11SN5	YZ	COA-PLE135	MYH4	7.29
BN11SN5	YZ	IMP-BRA225	MYH4	1.88	BO11SN5	YZ	IMP-BRA225	MYH4	1.28
BN11SN5	YZ	IMP-BRA315	MYH4	4.45	BO11SN5	YZ	IMP-BRA315	MYH4	4.14
BN11SN5	YZ	IMP-ECC002	MYH4	5.31	BO11SN5	YZ	IMP-ECC002	MYH4	3.81
BN11SN5	YZ	IMP-ELC4-140	MYH4	12.18	BO11SN5	YZ	IMP-ELC4-140	MYH4	10.14
BN11SN5	YZ	IRP-STU000	MYH4	5.55	BO11SN5	YZ	IRP-STU000	MYH4	4.94
BN11SN5	YZ	KOB-NIS000	MYH4	7.68	BO11SN5	YZ	KOB-NIS000	MYH4	5.93
BN11SN5	YZ	KOB-NIS090	MYH4	7.85	BO11SN5	YZ	KOB-NIS090	MYH4	6.14
BN11SN5	YZ	KOB-SHI000	MYH4	8.61	BO11SN5	YZ	KOB-SHI000	MYH4	6.82
BN11SN5	YZ	KOC-ARC090	MYH4	3.17	BO11SN5	YZ	KOC-ARC090	MYH4	1.58
BN11SN5	YZ	LOM-G02090	MYH4	8.57	BO11SN5	YZ	LOM-G02090	MYH4	6.52
BN11SN5	YZ	LOM-G03000	MYH4	5.12	BO11SN5	YZ	LOM-G03000	MYH4	4.43
BN11SN5	YZ	LOM-HDA255	MYH4	7.36	BO11SN5	YZ	LOM-HDA255	MYH4	7.23
BN11SN5	YZ	LOM-SVL360	MYH4	3.50	BO11SN5	YZ	LOM-SVL360	MYH4	2.55
BN11SN5	YZ	MOR-G06090	MYH4	9.95	BO11SN5	YZ	MOR-G06090	MYH4	7.78
BN11SN5	YZ	MOR-HAL240	MYH4	9.05	BO11SN5	YZ	MOR-HAL240	MYH4	9.13
BN11SN5	YZ	NOR-KAT090	MYH4	9.22	BO11SN5	YZ	NOR-KAT090	MYH4	7.65
BN11SN5	YZ	NOR-SCR090	MYH4	6.08	BO11SN5	YZ	NOR-SCR090	MYH4	4.66
BN11SN5	YZ	NOR-STN020	MYH4	9.01	BO11SN5	YZ	NOR-STN020	MYH4	7.36
BN11SN5	YZ	NPAL-WWT180	MYH4	6.84	BO11SN5	YZ	NPAL-WWT180	MYH4	5.38
BN11SN5	YZ	SUP-POE270	MYH4	6.66	BO11SN5	YZ	SUP-POE270	MYH4	5.24
BN11SN5	YZ	WES-PTS225	MYH4	6.24	BO11SN5	YZ	WES-PTS225	MYH4	4.88
BN11SN5	YZ	WHI-BIR180	MYH4	10.62	BO11SN5	YZ	WHI-BIR180	MYH4	8.94
BN11SN5	YZ	WHI-EJS048	MYH4	8.16	BO11SN5	YZ	WHI-EJS048	MYH4	5.95
BN11SN5	XZ	CAP-RIO270	MYH5	13.34	BO11SN5	XZ	CAP-RIO270	MYH5	13.30
BN11SN5	XZ	CAP-RIO360	MYH5	7.68	BO11SN5	XZ	CAP-RIO360	MYH5	8.42
BN11SN5	XZ	CHI-TCU046W	MYH5	4.71	BO11SN5	XZ	CHI-TCU046W	MYH5	3.07
BN11SN5	XZ	CHI-TCU061N	MYH5	6.38	BO11SN5	XZ	CHI-TCU061N	MYH5	4.02
BN11SN5	XZ	CHI-TCU74N	MYH5	13.80	BO11SN5	XZ	CHI-TCU74N	MYH5	12.52
BN11SN5	XZ	CHI-TCU112-W	MYH5	2.42	BO11SN5	XZ	CHI-TCU112-W	MYH5	2.97
BN11SN5	XZ	CHI-TCU123-W	MYH5	6.93	BO11SN5	XZ	CHI-TCU123-W	MYH5	7.70
BN11SN5	XZ	CHI-TCU141-E	MYH5	4.69	BO11SN5	XZ	CHI-TCU141-E	MYH5	4.38
BN11SN5	XZ	CHI-WNTN	MYH5	10.24	BO11SN5	XZ	CHI-WNTN	MYH5	13.30
BN11SN5	XZ	COA-Z14000	MYH5	12.01	BO11SN5	XZ	COA-Z14000	MYH5	12.95
BN11SN5	XZ	IMP-AER045	MYH5	6.24	BO11SN5	XZ	IMP-AER045	MYH5	9.17
BN11SN5	XZ	IMP-ELC3-230	MYH5	3.39	BO11SN5	XZ	IMP-ELC3-230	MYH5	3.52
BN11SN5	XZ	IMP-ELC11-230	MYH5	7.48	BO11SN5	XZ	IMP-ELC11-230	MYH5	7.44
BN11SN5	XZ	IMP-ELCD-360	MYH5	8.98	BO11SN5	XZ	IMP-ELCD-360	MYH5	17.79
BN11SN5	XZ	KOC-AMB000	MYH5	6.94	BO11SN5	XZ	KOC-AMB000	MYH5	5.90
BN11SN5	XZ	LAN-CLVTR	MYH5	13.84	BO11SN5	XZ	LAN-CLVTR	MYH5	14.65
BN11SN5	XZ	LAN-JOS090	MYH5	9.76	BO11SN5	XZ	LAN-JOS090	MYH5	10.00
BN11SN5	XZ	LOM-CYC285	MYH5	10.32	BO11SN5	XZ	LOM-CYC285	MYH5	11.13
BN11SN5	XZ	LOM-GOF090	MYH5	5.71	BO11SN5	XZ	LOM-GOF090	MYH5	11.44
BN11SN5	XZ	LOM-HDA165	MYH5	9.25	BO11SN5	XZ	LOM-HDA165	MYH5	9.03
BN11SN5	XZ	LOM-SAR000	MYH5	9.21	BO11SN5	XZ	LOM-SAR000	MYH5	14.69
BN11SN5	XZ	LOM-SAR090	MYH5	4.64	BO11SN5	XZ	LOM-SAR090	MYH5	5.56
BN11SN5	XZ	NOR-KAT000	MYH5	10.73	BO11SN5	XZ	NOR-KAT000	MYH5	12.71
BN11SN5	XZ	NOR-LOS000	MYH5	9.77	BO11SN5	XZ	NOR-LOS000	MYH5	13.35

Tablo C.1 (devam): Mevcut binalara ait yerdeğiştirme talepleri

Bina Adı	Analiz Yönü	İvme Kaydı	MYH Grup No	Δ_d (cm)	Bina Adı	Analiz Yönü	İvme Kaydı	MYH Grup No	Δ_d (cm)
BN11SN5	XZ	NOR-MU2035	MYH5	7.45	BO11SN5	XZ	NOR-MU2035	MYH5	10.51
BN11SN5	XZ	NOR-STM090	MYH5	11.07	BO11SN5	XZ	NOR-STM090	MYH5	10.92
BN11SN5	XZ	NPAL-MVH135	MYH5	6.87	BO11SN5	XZ	NPAL-MVH135	MYH5	11.45
BN11SN5	XZ	SUP-ELC090	MYH5	3.92	BO11SN5	XZ	SUP-ELC090	MYH5	3.68
BN11SN5	XZ	SUP-PTS315	MYH5	9.85	BO11SN5	XZ	SUP-PTS315	MYH5	14.36
BN11SN5	XZ	SUP-SUP135	MYH5	11.78	BO11SN5	XZ	SUP-SUP135	MYH5	8.34
BN11SN5	YZ	CAP-RIO270	MYH5	10.99	BO11SN5	YZ	CAP-RIO270	MYH5	9.22
BN11SN5	YZ	CAP-RIO360	MYH5	7.35	BO11SN5	YZ	CAP-RIO360	MYH5	7.84
BN11SN5	YZ	CHI-TCU046W	MYH5	3.38	BO11SN5	YZ	CHI-TCU046W	MYH5	1.88
BN11SN5	YZ	CHI-TCU061N	MYH5	4.86	BO11SN5	YZ	CHI-TCU061N	MYH5	2.45
BN11SN5	YZ	CHI-TCU74N	MYH5	8.65	BO11SN5	YZ	CHI-TCU74N	MYH5	7.62
BN11SN5	YZ	CHI-TCU112-W	MYH5	2.44	BO11SN5	YZ	CHI-TCU112-W	MYH5	1.25
BN11SN5	YZ	CHI-TCU123-W	MYH5	4.85	BO11SN5	YZ	CHI-TCU123-W	MYH5	3.92
BN11SN5	YZ	CHI-TCU141-E	MYH5	2.49	BO11SN5	YZ	CHI-TCU141-E	MYH5	1.68
BN11SN5	YZ	CHI-WNTN	MYH5	9.63	BO11SN5	YZ	CHI-WNTN	MYH5	6.34
BN11SN5	YZ	COA-Z14000	MYH5	7.73	BO11SN5	YZ	COA-Z14000	MYH5	7.58
BN11SN5	YZ	IMP-AER045	MYH5	6.00	BO11SN5	YZ	IMP-AER045	MYH5	4.38
BN11SN5	YZ	IMP-ELC3-230	MYH5	4.29	BO11SN5	YZ	IMP-ELC3-230	MYH5	2.93
BN11SN5	YZ	IMP-ELC11-230	MYH5	5.81	BO11SN5	YZ	IMP-ELC11-230	MYH5	3.65
BN11SN5	YZ	IMP-ELCD-360	MYH5	8.82	BO11SN5	YZ	IMP-ELCD-360	MYH5	8.63
BN11SN5	YZ	KOC-AMB000	MYH5	6.22	BO11SN5	YZ	KOC-AMB000	MYH5	3.52
BN11SN5	YZ	LAN-CLVTR	MYH5	12.47	BO11SN5	YZ	LAN-CLVTR	MYH5	11.56
BN11SN5	YZ	LAN-JOS090	MYH5	9.35	BO11SN5	YZ	LAN-JOS090	MYH5	6.41
BN11SN5	YZ	LOM-CYC285	MYH5	9.50	BO11SN5	YZ	LOM-CYC285	MYH5	5.94
BN11SN5	YZ	LOM-GOF090	MYH5	4.76	BO11SN5	YZ	LOM-GOF090	MYH5	5.27
BN11SN5	YZ	LOM-HDA165	MYH5	8.18	BO11SN5	YZ	LOM-HDA165	MYH5	7.24
BN11SN5	YZ	LOM-SAR000	MYH5	8.38	BO11SN5	YZ	LOM-SAR000	MYH5	9.73
BN11SN5	YZ	LOM-SAR090	MYH5	4.40	BO11SN5	YZ	LOM-SAR090	MYH5	3.28
BN11SN5	YZ	NOR-KAT000	MYH5	9.67	BO11SN5	YZ	NOR-KAT000	MYH5	8.11
BN11SN5	YZ	NOR-LOS000	MYH5	11.05	BO11SN5	YZ	NOR-LOS000	MYH5	10.10
BN11SN5	YZ	NOR-MU2035	MYH5	5.46	BO11SN5	YZ	NOR-MU2035	MYH5	3.91
BN11SN5	YZ	NOR-STM090	MYH5	5.56	BO11SN5	YZ	NOR-STM090	MYH5	4.49
BN11SN5	YZ	NPAL-MVH135	MYH5	6.65	BO11SN5	YZ	NPAL-MVH135	MYH5	4.45
BN11SN5	YZ	SUP-ELC090	MYH5	4.26	BO11SN5	YZ	SUP-ELC090	MYH5	4.24
BN11SN5	YZ	SUP-PTS315	MYH5	9.65	BO11SN5	YZ	SUP-PTS315	MYH5	6.05
BN11SN5	YZ	SUP-SUP135	MYH5	7.96	BO11SN5	YZ	SUP-SUP135	MYH5	6.76
BN11SN5	XZ	CAP-PET000	MYH6	12.92	BO11SN5	XZ	CAP-PET000	MYH6	14.04
BN11SN5	XZ	CHI-CHY025W	MYH6	5.22	BO11SN5	XZ	CHI-CHY025W	MYH6	5.62
BN11SN5	XZ	CHI-CHY034-N	MYH6	10.25	BO11SN5	XZ	CHI-CHY034-N	MYH6	11.22
BN11SN5	XZ	CHI-TCU038N	MYH6	6.22	BO11SN5	XZ	CHI-TCU038N	MYH6	5.54
BN11SN5	XZ	CHI-TCU038W	MYH6	6.11	BO11SN5	XZ	CHI-TCU038W	MYH6	4.69
BN11SN5	XZ	CHI-TCU048N	MYH6	4.33	BO11SN5	XZ	CHI-TCU048N	MYH6	4.14
BN11SN5	XZ	CHI-TCU49W	MYH6	5.21	BO11SN5	XZ	CHI-TCU49W	MYH6	8.12
BN11SN5	XZ	CHI-TCU51W	MYH6	5.41	BO11SN5	XZ	CHI-TCU51W	MYH6	4.89
BN11SN5	XZ	CHI-TCU95N	MYH6	5.36	BO11SN5	XZ	CHI-TCU95N	MYH6	4.18
BN11SN5	XZ	CHI-TCU104-N	MYH6	2.60	BO11SN5	XZ	CHI-TCU104-N	MYH6	3.07
BN11SN5	XZ	CHI-TCU106-W	MYH6	5.14	BO11SN5	XZ	CHI-TCU106-W	MYH6	6.37
BN11SN5	XZ	CHI-TCU107-N	MYH6	6.56	BO11SN5	XZ	CHI-TCU107-N	MYH6	6.67
BN11SN5	XZ	COY-G06230	MYH6	10.12	BO11SN5	XZ	COY-G06230	MYH6	14.34
BN11SN5	XZ	IMP-E10050	MYH6	2.88	BO11SN5	XZ	IMP-E10050	MYH6	5.11
BN11SN5	XZ	IMP-ELC3-140	MYH6	8.32	BO11SN5	XZ	IMP-ELC3-140	MYH6	9.24
BN11SN5	XZ	IMP-ELC5-140	MYH6	8.15	BO11SN5	XZ	IMP-ELC5-140	MYH6	8.81
BN11SN5	XZ	IMP-ELC7-140	MYH6	11.55	BO11SN5	XZ	IMP-ELC7-140	MYH6	14.21
BN11SN5	XZ	IMP-ELC8-230	MYH6	7.26	BO11SN5	XZ	IMP-ELC8-230	MYH6	7.28
BN11SN5	XZ	IMP-HVP225	MYH6	6.67	BO11SN5	XZ	IMP-HVP225	MYH6	10.14
BN11SN5	XZ	KOC-DZC270	MYH6	7.64	BO11SN5	XZ	KOC-DZC270	MYH6	17.63
BN11SN5	XZ	LOM-BRN090	MYH6	14.87	BO11SN5	XZ	LOM-BRN090	MYH6	8.45
BN11SN5	XZ	LOM-COR090	MYH6	10.93	BO11SN5	XZ	LOM-COR090	MYH6	12.03
BN11SN5	XZ	LOM-G03090	MYH6	8.94	BO11SN5	XZ	LOM-G03090	MYH6	12.48

Tablo C.1 (devam): Mevcut binalara ait yerdeğiştirme talepleri

Bina Adı	Analiz Yönü	İvme Kaydı	MYH Grup No	Δ_d (cm)	Bina Adı	Analiz Yönü	İvme Kaydı	MYH Grup No	Δ_d (cm)
BN11SN5	XZ	LOM-HCH180	MYH6	9.35	BO11SN5	XZ	LOM-HCH180	MYH6	15.38
BN11SN5	XZ	NAH-S1010	MYH6	8.45	BO11SN5	XZ	NAH-S1010	MYH6	7.38
BN11SN5	XZ	NAH-S1280	MYH6	7.29	BO11SN5	XZ	NAH-S1280	MYH6	7.50
BN11SN5	XZ	NOR-LOS270	MYH6	10.93	BO11SN5	XZ	NOR-LOS270	MYH6	9.77
BN11SN5	XZ	NOR-PAC175	MYH6	6.77	BO11SN5	XZ	NOR-PAC175	MYH6	7.05
BN11SN5	XZ	SUP-ELC000	MYH6	11.89	BO11SN5	XZ	SUP-ELC000	MYH6	13.26
BN11SN5	XZ	WES-WSM090	MYH6	8.99	BO11SN5	XZ	WES-WSM090	MYH6	11.06
BN11SN5	YZ	CAP-PET000	MYH6	12.63	BO11SN5	YZ	CAP-PET000	MYH6	11.07
BN11SN5	YZ	CHI-CHY025W	MYH6	5.65	BO11SN5	YZ	CHI-CHY025W	MYH6	2.85
BN11SN5	YZ	CHI-CHY034-N	MYH6	8.90	BO11SN5	YZ	CHI-CHY034-N	MYH6	7.05
BN11SN5	YZ	CHI-TCU038N	MYH6	4.34	BO11SN5	YZ	CHI-TCU038N	MYH6	2.89
BN11SN5	YZ	CHI-TCU038W	MYH6	4.50	BO11SN5	YZ	CHI-TCU038W	MYH6	2.94
BN11SN5	YZ	CHI-TCU048N	MYH6	4.39	BO11SN5	YZ	CHI-TCU048N	MYH6	2.92
BN11SN5	YZ	CHI-TCU49W	MYH6	5.50	BO11SN5	YZ	CHI-TCU49W	MYH6	3.69
BN11SN5	YZ	CHI-TCU51W	MYH6	3.98	BO11SN5	YZ	CHI-TCU51W	MYH6	2.93
BN11SN5	YZ	CHI-TCU95N	MYH6	6.59	BO11SN5	YZ	CHI-TCU95N	MYH6	3.83
BN11SN5	YZ	CHI-TCU104-N	MYH6	2.43	BO11SN5	YZ	CHI-TCU104-N	MYH6	1.74
BN11SN5	YZ	CHI-TCU106-W	MYH6	4.61	BO11SN5	YZ	CHI-TCU106-W	MYH6	4.04
BN11SN5	YZ	CHI-TCU107-N	MYH6	4.45	BO11SN5	YZ	CHI-TCU107-N	MYH6	3.14
BN11SN5	YZ	COY-G06230	MYH6	8.68	BO11SN5	YZ	COY-G06230	MYH6	7.06
BN11SN5	YZ	IMP-E10050	MYH6	2.62	BO11SN5	YZ	IMP-E10050	MYH6	2.53
BN11SN5	YZ	IMP-ELC3-140	MYH6	6.55	BO11SN5	YZ	IMP-ELC3-140	MYH6	4.92
BN11SN5	YZ	IMP-ELC5-140	MYH6	5.76	BO11SN5	YZ	IMP-ELC5-140	MYH6	6.53
BN11SN5	YZ	IMP-ELC7-140	MYH6	9.32	BO11SN5	YZ	IMP-ELC7-140	MYH6	6.82
BN11SN5	YZ	IMP-ELC8-230	MYH6	5.76	BO11SN5	YZ	IMP-ELC8-230	MYH6	4.32
BN11SN5	YZ	IMP-HVP225	MYH6	4.95	BO11SN5	YZ	IMP-HVP225	MYH6	5.47
BN11SN5	YZ	KOC-DZC270	MYH6	6.68	BO11SN5	YZ	KOC-DZC270	MYH6	5.70
BN11SN5	YZ	LOM-BRN090	MYH6	11.53	BO11SN5	YZ	LOM-BRN090	MYH6	11.00
BN11SN5	YZ	LOM-COR090	MYH6	10.66	BO11SN5	YZ	LOM-COR090	MYH6	7.92
BN11SN5	YZ	LOM-G03090	MYH6	6.43	BO11SN5	YZ	LOM-G03090	MYH6	4.23
BN11SN5	YZ	LOM-HCH180	MYH6	7.72	BO11SN5	YZ	LOM-HCH180	MYH6	5.52
BN11SN5	YZ	NAH-S1010	MYH6	6.06	BO11SN5	YZ	NAH-S1010	MYH6	5.00
BN11SN5	YZ	NAH-S1280	MYH6	5.58	BO11SN5	YZ	NAH-S1280	MYH6	4.72
BN11SN5	YZ	NOR-LOS270	MYH6	9.36	BO11SN5	YZ	NOR-LOS270	MYH6	8.06
BN11SN5	YZ	NOR-PAC175	MYH6	5.77	BO11SN5	YZ	NOR-PAC175	MYH6	5.51
BN11SN5	YZ	SUP-ELC000	MYH6	7.56	BO11SN5	YZ	SUP-ELC000	MYH6	7.63
BN11SN5	YZ	WES-WSM090	MYH6	7.87	BO11SN5	YZ	WES-WSM090	MYH6	6.82
BN11SN5	XZ	CHI-CHY002-N	MYH7	5.14	BO11SN5	XZ	CHI-CHY002-N	MYH7	5.45
BN11SN5	XZ	CHI-CHY024W	MYH7	7.42	BO11SN5	XZ	CHI-CHY024W	MYH7	12.58
BN11SN5	XZ	CHI-CHY104-E	MYH7	6.66	BO11SN5	XZ	CHI-CHY104-E	MYH7	5.87
BN11SN5	XZ	CHI-TCU029N	MYH7	5.41	BO11SN5	XZ	CHI-TCU029N	MYH7	6.12
BN11SN5	XZ	CHI-TCU036N	MYH7	5.34	BO11SN5	XZ	CHI-TCU036N	MYH7	5.25
BN11SN5	XZ	CHI-TCU039N	MYH7	5.44	BO11SN5	XZ	CHI-TCU039N	MYH7	5.43
BN11SN5	XZ	CHI-TCU039W	MYH7	5.04	BO11SN5	XZ	CHI-TCU039W	MYH7	6.95
BN11SN5	XZ	CHI-TCU040N	MYH7	4.77	BO11SN5	XZ	CHI-TCU040N	MYH7	4.72
BN11SN5	XZ	CHI-TCU040W	MYH7	4.67	BO11SN5	XZ	CHI-TCU040W	MYH7	4.22
BN11SN5	XZ	CHI-TCU055N	MYH7	6.26	BO11SN5	XZ	CHI-TCU055N	MYH7	7.48
BN11SN5	XZ	CHI-TCU064N	MYH7	4.86	BO11SN5	XZ	CHI-TCU064N	MYH7	5.55
BN11SN5	XZ	CHI-TCU70W	MYH7	9.91	BO11SN5	XZ	CHI-TCU70W	MYH7	7.10
BN11SN5	XZ	CHI-TCU109-N	MYH7	5.97	BO11SN5	XZ	CHI-TCU109-N	MYH7	9.80
BN11SN5	XZ	CHI-TCU109-W	MYH7	8.70	BO11SN5	XZ	CHI-TCU109-W	MYH7	7.81
BN11SN5	XZ	CHI-TCU115-W	MYH7	3.43	BO11SN5	XZ	CHI-TCU115-W	MYH7	3.66
BN11SN5	XZ	CHI-TCU117-N	MYH7	4.89	BO11SN5	XZ	CHI-TCU117-N	MYH7	5.44
BN11SN5	XZ	IMP-ELC8-140	MYH7	8.57	BO11SN5	XZ	IMP-ELC8-140	MYH7	10.54
BN11SN5	XZ	IMP-HVP315	MYH7	5.35	BO11SN5	XZ	IMP-HVP315	MYH7	6.15
BN11SN5	XZ	IRP-STU270	MYH7	9.40	BO11SN5	XZ	IRP-STU270	MYH7	15.96
BN11SN5	XZ	KOC-GBZ000	MYH7	4.66	BO11SN5	XZ	KOC-GBZ000	MYH7	6.91
BN11SN5	XZ	LAN-YER270	MYH7	8.09	BO11SN5	XZ	LAN-YER270	MYH7	10.65
BN11SN5	XZ	LOM-A02043	MYH7	13.35	BO11SN5	XZ	LOM-A02043	MYH7	15.73

Tablo C.1 (devam): Mevcut binalara ait yerdeğiştirme talepleri

Bina Adı	Analiz Yönü	İvme Kaydı	MYH Grup No	Δ_d (cm)	Bina Adı	Analiz Yönü	İvme Kaydı	MYH Grup No	Δ_d (cm)
BN11SN5	XZ	LOM-BRN000	MYH7	18.22	BO11SN5	XZ	LOM-BRN000	MYH7	14.46
BN11SN5	XZ	LOM-LGP090	MYH7	10.35	BO11SN5	XZ	LOM-LGP090	MYH7	11.41
BN11SN5	XZ	MOR-CYC195	MYH7	15.96	BO11SN5	XZ	MOR-CYC195	MYH7	10.51
BN11SN5	XZ	NOR-LDM334	MYH7	13.47	BO11SN5	XZ	NOR-LDM334	MYH7	12.96
BN11SN5	XZ	NOR-ORR090	MYH7	13.86	BO11SN5	XZ	NOR-ORR090	MYH7	14.94
BN11SN5	XZ	NOR-ORR360	MYH7	19.79	BO11SN5	XZ	NOR-ORR360	MYH7	21.32
BN11SN5	XZ	NOR-PKC360	MYH7	11.40	BO11SN5	XZ	NOR-PKC360	MYH7	9.92
BN11SN5	XZ	SFD-PCD254	MYH7	15.75	BO11SN5	XZ	SFD-PCD254	MYH7	12.75
BN11SN5	YZ	CHI-CHY002-N	MYH7	3.82	BO11SN5	YZ	CHI-CHY002-N	MYH7	2.51
BN11SN5	YZ	CHI-CHY024W	MYH7	7.16	BO11SN5	YZ	CHI-CHY024W	MYH7	6.11
BN11SN5	YZ	CHI-CHY104-E	MYH7	6.26	BO11SN5	YZ	CHI-CHY104-E	MYH7	3.53
BN11SN5	YZ	CHI-TCU029N	MYH7	4.32	BO11SN5	YZ	CHI-TCU029N	MYH7	2.30
BN11SN5	YZ	CHI-TCU036N	MYH7	4.62	BO11SN5	YZ	CHI-TCU036N	MYH7	2.83
BN11SN5	YZ	CHI-TCU039N	MYH7	5.22	BO11SN5	YZ	CHI-TCU039N	MYH7	2.57
BN11SN5	YZ	CHI-TCU039W	MYH7	6.58	BO11SN5	YZ	CHI-TCU039W	MYH7	4.74
BN11SN5	YZ	CHI-TCU040N	MYH7	3.73	BO11SN5	YZ	CHI-TCU040N	MYH7	2.58
BN11SN5	YZ	CHI-TCU040W	MYH7	3.12	BO11SN5	YZ	CHI-TCU040W	MYH7	2.52
BN11SN5	YZ	CHI-TCU055N	MYH7	4.96	BO11SN5	YZ	CHI-TCU055N	MYH7	3.74
BN11SN5	YZ	CHI-TCU064N	MYH7	2.85	BO11SN5	YZ	CHI-TCU064N	MYH7	1.75
BN11SN5	YZ	CHI-TCU70W	MYH7	7.69	BO11SN5	YZ	CHI-TCU70W	MYH7	6.11
BN11SN5	YZ	CHI-TCU109-N	MYH7	4.66	BO11SN5	YZ	CHI-TCU109-N	MYH7	3.32
BN11SN5	YZ	CHI-TCU109-W	MYH7	5.32	BO11SN5	YZ	CHI-TCU109-W	MYH7	3.33
BN11SN5	YZ	CHI-TCU115-W	MYH7	2.50	BO11SN5	YZ	CHI-TCU115-W	MYH7	1.49
BN11SN5	YZ	CHI-TCU117-N	MYH7	3.91	BO11SN5	YZ	CHI-TCU117-N	MYH7	2.19
BN11SN5	YZ	IMP-ELC8-140	MYH7	8.29	BO11SN5	YZ	IMP-ELC8-140	MYH7	6.33
BN11SN5	YZ	IMP-HVP315	MYH7	4.02	BO11SN5	YZ	IMP-HVP315	MYH7	3.04
BN11SN5	YZ	IRP-STU270	MYH7	6.18	BO11SN5	YZ	IRP-STU270	MYH7	3.21
BN11SN5	YZ	KOC-GBZ000	MYH7	3.41	BO11SN5	YZ	KOC-GBZ000	MYH7	4.17
BN11SN5	YZ	LAN-YER270	MYH7	8.42	BO11SN5	YZ	LAN-YER270	MYH7	5.37
BN11SN5	YZ	LOM-A02043	MYH7	9.74	BO11SN5	YZ	LOM-A02043	MYH7	9.52
BN11SN5	YZ	LOM-BRN000	MYH7	12.56	BO11SN5	YZ	LOM-BRN000	MYH7	8.83
BN11SN5	YZ	LOM-LGP090	MYH7	8.66	BO11SN5	YZ	LOM-LGP090	MYH7	7.97
BN11SN5	YZ	MOR-CYC195	MYH7	15.13	BO11SN5	YZ	MOR-CYC195	MYH7	12.73
BN11SN5	YZ	NOR-LDM334	MYH7	12.15	BO11SN5	YZ	NOR-LDM334	MYH7	9.61
BN11SN5	YZ	NOR-ORR090	MYH7	9.15	BO11SN5	YZ	NOR-ORR090	MYH7	9.43
BN11SN5	YZ	NOR-ORR360	MYH7	18.59	BO11SN5	YZ	NOR-ORR360	MYH7	14.71
BN11SN5	YZ	NOR-PKC360	MYH7	10.93	BO11SN5	YZ	NOR-PKC360	MYH7	9.24
BN11SN5	YZ	SFD-PCD254	MYH7	8.78	BO11SN5	YZ	SFD-PCD254	MYH7	9.18
BN11SN5	XZ	CAP-RIO270	MYH8	17.99	BO11SN5	XZ	CAP-RIO270	MYH8	17.17
BN11SN5	XZ	CAP-RIO360	MYH8	11.11	BO11SN5	XZ	CAP-RIO360	MYH8	12.52
BN11SN5	XZ	CHI-CHY006-E	MYH8	12.20	BO11SN5	XZ	CHI-CHY006-E	MYH8	13.39
BN11SN5	XZ	CHI-CHY092-E	MYH8	4.93	BO11SN5	XZ	CHI-CHY092-E	MYH8	4.90
BN11SN5	XZ	CHI-CHY104-N	MYH8	9.22	BO11SN5	XZ	CHI-CHY104-N	MYH8	8.02
BN11SN5	XZ	CHI-TCU054W	MYH8	5.35	BO11SN5	XZ	CHI-TCU054W	MYH8	5.42
BN11SN5	XZ	CHI-TCU059N	MYH8	5.99	BO11SN5	XZ	CHI-TCU059N	MYH8	9.44
BN11SN5	XZ	CHI-TCU059W	MYH8	6.24	BO11SN5	XZ	CHI-TCU059W	MYH8	6.77
BN11SN5	XZ	CHI-TCU063W	MYH8	8.11	BO11SN5	XZ	CHI-TCU063W	MYH8	7.55
BN11SN5	XZ	CHI-TCU072N	MYH8	14.52	BO11SN5	XZ	CHI-TCU072N	MYH8	18.66
BN11SN5	XZ	CHI-TCU82W	MYH8	7.02	BO11SN5	XZ	CHI-TCU82W	MYH8	6.86
BN11SN5	XZ	CHI-TCU110-N	MYH8	6.79	BO11SN5	XZ	CHI-TCU110-N	MYH8	12.92
BN11SN5	XZ	CHI-TCU111-W	MYH8	5.39	BO11SN5	XZ	CHI-TCU111-W	MYH8	8.13
BN11SN5	XZ	CHI-TCU117-W	MYH8	5.96	BO11SN5	XZ	CHI-TCU117-W	MYH8	5.71
BN11SN5	XZ	CHI-TCU136-E	MYH8	8.06	BO11SN5	XZ	CHI-TCU136-E	MYH8	5.83
BN11SN5	XZ	DZC-BOL000	MYH8	11.28	BO11SN5	XZ	DZC-BOL000	MYH8	14.12
BN11SN5	XZ	IMP-ELC3-140	MYH8	10.56	BO11SN5	XZ	IMP-ELC3-140	MYH8	11.60
BN11SN5	XZ	IMP-ELC3-230	MYH8	4.94	BO11SN5	XZ	IMP-ELC3-230	MYH8	5.93
BN11SN5	XZ	IRP-STU270	MYH8	10.71	BO11SN5	XZ	IRP-STU270	MYH8	18.23
BN11SN5	XZ	KOC-DZC180	MYH8	8.25	BO11SN5	XZ	KOC-DZC180	MYH8	8.30
BN11SN5	XZ	KOC-DZC270	MYH8	9.86	BO11SN5	XZ	KOC-DZC270	MYH8	23.53

Tablo C.1 (devam): Mevcut binalara ait yerdeğiştirme talepleri

Bina Adı	Analiz Yönü	İvme Kaydı	MYH Grup No	Δ_d (cm)	Bina Adı	Analiz Yönü	İvme Kaydı	MYH Grup No	Δ_d (cm)
BN11SN5	XZ	KOC-GBZ000	MYH8	5.08	BO11SN5	XZ	KOC-GBZ000	MYH8	8.34
BN11SN5	XZ	LAN-CLVTR	MYH8	19.67	BO11SN5	XZ	LAN-CLVTR	MYH8	19.85
BN11SN5	XZ	LAN-YER270	MYH8	9.29	BO11SN5	XZ	LAN-YER270	MYH8	12.89
BN11SN5	XZ	LOM-COR000	MYH8	12.34	BO11SN5	XZ	LOM-COR000	MYH8	11.87
BN11SN5	XZ	NOR-MUL009	MYH8	15.36	BO11SN5	XZ	NOR-MUL009	MYH8	18.55
BN11SN5	XZ	NOR-PUL104	MYH8	13.44	BO11SN5	XZ	NOR-PUL104	MYH8	12.04
BN11SN5	XZ	NPAL-MVH135	MYH8	9.50	BO11SN5	XZ	NPAL-MVH135	MYH8	21.44
BN11SN5	XZ	SUP-ELC000	MYH8	15.82	BO11SN5	XZ	SUP-ELC000	MYH8	16.53
BN11SN5	XZ	SUP-ELC090	MYH8	5.68	BO11SN5	XZ	SUP-ELC090	MYH8	8.51
BN11SN5	YZ	CAP-RIO270	MYH8	13.95	BO11SN5	YZ	CAP-RIO270	MYH8	12.28
BN11SN5	YZ	CAP-RIO360	MYH8	10.37	BO11SN5	YZ	CAP-RIO360	MYH8	10.96
BN11SN5	YZ	CHI-CHY006-E	MYH8	10.07	BO11SN5	YZ	CHI-CHY006-E	MYH8	9.00
BN11SN5	YZ	CHI-CHY092-E	MYH8	3.78	BO11SN5	YZ	CHI-CHY092-E	MYH8	1.66
BN11SN5	YZ	CHI-CHY104-N	MYH8	7.72	BO11SN5	YZ	CHI-CHY104-N	MYH8	4.83
BN11SN5	YZ	CHI-TCU054W	MYH8	4.06	BO11SN5	YZ	CHI-TCU054W	MYH8	2.67
BN11SN5	YZ	CHI-TCU059N	MYH8	4.22	BO11SN5	YZ	CHI-TCU059N	MYH8	3.43
BN11SN5	YZ	CHI-TCU059W	MYH8	5.64	BO11SN5	YZ	CHI-TCU059W	MYH8	4.00
BN11SN5	YZ	CHI-TCU063W	MYH8	5.34	BO11SN5	YZ	CHI-TCU063W	MYH8	4.84
BN11SN5	YZ	CHI-TCU072N	MYH8	14.09	BO11SN5	YZ	CHI-TCU072N	MYH8	12.42
BN11SN5	YZ	CHI-TCU82W	MYH8	4.85	BO11SN5	YZ	CHI-TCU82W	MYH8	3.71
BN11SN5	YZ	CHI-TCU110-N	MYH8	6.87	BO11SN5	YZ	CHI-TCU110-N	MYH8	5.45
BN11SN5	YZ	CHI-TCU111-W	MYH8	4.03	BO11SN5	YZ	CHI-TCU111-W	MYH8	2.95
BN11SN5	YZ	CHI-TCU117-W	MYH8	4.04	BO11SN5	YZ	CHI-TCU117-W	MYH8	2.06
BN11SN5	YZ	CHI-TCU136-E	MYH8	6.53	BO11SN5	YZ	CHI-TCU136-E	MYH8	4.42
BN11SN5	YZ	DZC-BOL000	MYH8	10.20	BO11SN5	YZ	DZC-BOL000	MYH8	8.05
BN11SN5	YZ	IMP-ELC3-140	MYH8	8.17	BO11SN5	YZ	IMP-ELC3-140	MYH8	7.14
BN11SN5	YZ	IMP-ELC3-230	MYH8	5.54	BO11SN5	YZ	IMP-ELC3-230	MYH8	4.44
BN11SN5	YZ	IRP-STU270	MYH8	6.89	BO11SN5	YZ	IRP-STU270	MYH8	3.90
BN11SN5	YZ	KOC-DZC180	MYH8	7.07	BO11SN5	YZ	KOC-DZC180	MYH8	6.32
BN11SN5	YZ	KOC-DZC270	MYH8	7.26	BO11SN5	YZ	KOC-DZC270	MYH8	8.31
BN11SN5	YZ	KOC-GBZ000	MYH8	3.77	BO11SN5	YZ	KOC-GBZ000	MYH8	4.99
BN11SN5	YZ	LAN-CLVTR	MYH8	16.42	BO11SN5	YZ	LAN-CLVTR	MYH8	16.44
BN11SN5	YZ	LAN-YER270	MYH8	9.50	BO11SN5	YZ	LAN-YER270	MYH8	6.79
BN11SN5	YZ	LOM-COR000	MYH8	11.32	BO11SN5	YZ	LOM-COR000	MYH8	11.02
BN11SN5	YZ	NOR-MUL009	MYH8	12.70	BO11SN5	YZ	NOR-MUL009	MYH8	11.26
BN11SN5	YZ	NOR-PUL104	MYH8	14.67	BO11SN5	YZ	NOR-PUL104	MYH8	10.92
BN11SN5	YZ	NPAL-MVH135	MYH8	7.75	BO11SN5	YZ	NPAL-MVH135	MYH8	6.43
BN11SN5	YZ	SUP-ELC000	MYH8	10.47	BO11SN5	YZ	SUP-ELC000	MYH8	10.78
BN11SN5	YZ	SUP-ELC090	MYH8	6.17	BO11SN5	YZ	SUP-ELC090	MYH8	6.37
BN11SN5	XZ	CHI-TCU036W	MYH9	6.24	BO11SN5	XZ	CHI-TCU036W	MYH9	5.94
BN11SN5	XZ	CHI-TCU49N	MYH9	9.83	BO11SN5	XZ	CHI-TCU49N	MYH9	8.66
BN11SN5	XZ	CHI-TCU70N	MYH9	6.52	BO11SN5	XZ	CHI-TCU70N	MYH9	8.60
BN11SN5	XZ	CHI-TCU76N	MYH9	16.36	BO11SN5	XZ	CHI-TCU76N	MYH9	19.98
BN11SN5	XZ	CHI-TCU76W	MYH9	7.00	BO11SN5	XZ	CHI-TCU76W	MYH9	8.14
BN11SN5	XZ	CHI-TCU079-W	MYH9	14.01	BO11SN5	XZ	CHI-TCU079-W	MYH9	19.02
BN11SN5	XZ	CHI-TCU95W	MYH9	9.40	BO11SN5	XZ	CHI-TCU95W	MYH9	9.43
BN11SN5	XZ	CHI-TCU103-W	MYH9	4.11	BO11SN5	XZ	CHI-TCU103-W	MYH9	5.99
BN11SN5	XZ	CHI-TCU120-W	MYH9	6.43	BO11SN5	XZ	CHI-TCU120-W	MYH9	14.00
BN11SN5	XZ	CHI-TCU129-W	MYH9	11.26	BO11SN5	XZ	CHI-TCU129-W	MYH9	17.66
BN11SN5	XZ	COA-PLE045	MYH9	11.34	BO11SN5	XZ	COA-PLE045	MYH9	15.77
BN11SN5	XZ	DZC-BOL000	MYH9	13.07	BO11SN5	XZ	DZC-BOL000	MYH9	15.48
BN11SN5	XZ	DZC-BOL090	MYH9	24.19	BO11SN5	XZ	DZC-BOL090	MYH9	15.92
BN11SN5	XZ	DZC-DZC180	MYH9	12.06	BO11SN5	XZ	DZC-DZC180	MYH9	8.64
BN11SN5	XZ	ERZ-ERZEW	MYH9	15.83	BO11SN5	XZ	ERZ-ERZEW	MYH9	18.13
BN11SN5	XZ	IMP-ELC3-140	MYH9	11.75	BO11SN5	XZ	IMP-ELC3-140	MYH9	12.25
BN11SN5	XZ	IMP-HVP315	MYH9	6.32	BO11SN5	XZ	IMP-HVP315	MYH9	8.53
BN11SN5	XZ	IRP-STU270	MYH9	12.22	BO11SN5	XZ	IRP-STU270	MYH9	20.70
BN11SN5	XZ	KOC-DZC180	MYH9	8.90	BO11SN5	XZ	KOC-DZC180	MYH9	9.32
BN11SN5	XZ	KOC-GBZ000	MYH9	5.32	BO11SN5	XZ	KOC-GBZ000	MYH9	9.36

Tablo C.1 (devam): Mevcut binalara ait yerdeğiştirme talepleri

Bina Adı	Analiz Yönü	İvme Kaydı	MYH Grup No	Δ_d (cm)	Bina Adı	Analiz Yönü	İvme Kaydı	MYH Grup No	Δ_d (cm)
BN11SN5	XZ	KOC-YAR330	MYH9	8.57	BO11SN5	XZ	KOC-YAR330	MYH9	11.65
BN11SN5	XZ	LAN-YER270	MYH9	10.31	BO11SN5	XZ	LAN-YER270	MYH9	15.08
BN11SN5	XZ	LOM-BRN000	MYH9	23.13	BO11SN5	XZ	LOM-BRN000	MYH9	17.40
BN11SN5	XZ	LOM-HSP000	MYH9	16.90	BO11SN5	XZ	LOM-HSP000	MYH9	19.79
BN11SN5	XZ	LOM-WVC270	MYH9	11.30	BO11SN5	XZ	LOM-WVC270	MYH9	18.45
BN11SN5	XZ	NOR-CNP196	MYH9	13.01	BO11SN5	XZ	NOR-CNP196	MYH9	10.54
BN11SN5	XZ	NOR-LDM064	MYH9	17.94	BO11SN5	XZ	NOR-LDM064	MYH9	14.56
BN11SN5	XZ	NOR-MUL279	MYH9	21.94	BO11SN5	XZ	NOR-MUL279	MYH9	23.34
BN11SN5	XZ	NOR-SAT180	MYH9	16.11	BO11SN5	XZ	NOR-SAT180	MYH9	22.36
BN11SN5	XZ	SUP-ELC000	MYH9	17.57	BO11SN5	XZ	SUP-ELC000	MYH9	17.30
BN11SN5	YZ	CHI-TCU036W	MYH9	3.60	BO11SN5	YZ	CHI-TCU036W	MYH9	2.84
BN11SN5	YZ	CHI-TCU49N	MYH9	6.32	BO11SN5	YZ	CHI-TCU49N	MYH9	3.42
BN11SN5	YZ	CHI-TCU70N	MYH9	6.89	BO11SN5	YZ	CHI-TCU70N	MYH9	3.92
BN11SN5	YZ	CHI-TCU76N	MYH9	13.26	BO11SN5	YZ	CHI-TCU76N	MYH9	11.73
BN11SN5	YZ	CHI-TCU76W	MYH9	4.98	BO11SN5	YZ	CHI-TCU76W	MYH9	2.93
BN11SN5	YZ	CHI-TCU079-W	MYH9	14.07	BO11SN5	YZ	CHI-TCU079-W	MYH9	9.35
BN11SN5	YZ	CHI-TCU95W	MYH9	7.50	BO11SN5	YZ	CHI-TCU95W	MYH9	6.51
BN11SN5	YZ	CHI-TCU103-W	MYH9	3.05	BO11SN5	YZ	CHI-TCU103-W	MYH9	2.38
BN11SN5	YZ	CHI-TCU120-W	MYH9	4.72	BO11SN5	YZ	CHI-TCU120-W	MYH9	3.39
BN11SN5	YZ	CHI-TCU129-W	MYH9	9.32	BO11SN5	YZ	CHI-TCU129-W	MYH9	9.59
BN11SN5	YZ	COA-PLE045	MYH9	12.93	BO11SN5	YZ	COA-PLE045	MYH9	14.06
BN11SN5	YZ	DZC-BOL000	MYH9	11.94	BO11SN5	YZ	DZC-BOL000	MYH9	9.89
BN11SN5	YZ	DZC-BOL090	MYH9	23.57	BO11SN5	YZ	DZC-BOL090	MYH9	21.03
BN11SN5	YZ	DZC-DZC180	MYH9	11.43	BO11SN5	YZ	DZC-DZC180	MYH9	10.90
BN11SN5	YZ	ERZ-ERZEW	MYH9	13.75	BO11SN5	YZ	ERZ-ERZEW	MYH9	12.93
BN11SN5	YZ	IMP-ELC3-140	MYH9	9.20	BO11SN5	YZ	IMP-ELC3-140	MYH9	8.32
BN11SN5	YZ	IMP-HVP315	MYH9	4.86	BO11SN5	YZ	IMP-HVP315	MYH9	3.66
BN11SN5	YZ	IRP-STU270	MYH9	7.79	BO11SN5	YZ	IRP-STU270	MYH9	5.01
BN11SN5	YZ	KOC-DZC180	MYH9	7.69	BO11SN5	YZ	KOC-DZC180	MYH9	6.75
BN11SN5	YZ	KOC-GBZ000	MYH9	4.08	BO11SN5	YZ	KOC-GBZ000	MYH9	5.59
BN11SN5	YZ	KOC-YAR330	MYH9	7.62	BO11SN5	YZ	KOC-YAR330	MYH9	4.90
BN11SN5	YZ	LAN-YER270	MYH9	10.50	BO11SN5	YZ	LAN-YER270	MYH9	8.10
BN11SN5	YZ	LOM-BRN000	MYH9	17.02	BO11SN5	YZ	LOM-BRN000	MYH9	12.36
BN11SN5	YZ	LOM-HSP000	MYH9	14.64	BO11SN5	YZ	LOM-HSP000	MYH9	12.92
BN11SN5	YZ	LOM-WVC270	MYH9	7.64	BO11SN5	YZ	LOM-WVC270	MYH9	6.59
BN11SN5	YZ	NOR-CNP196	MYH9	9.71	BO11SN5	YZ	NOR-CNP196	MYH9	7.32
BN11SN5	YZ	NOR-LDM064	MYH9	16.06	BO11SN5	YZ	NOR-LDM064	MYH9	13.68
BN11SN5	YZ	NOR-MUL279	MYH9	16.02	BO11SN5	YZ	NOR-MUL279	MYH9	17.13
BN11SN5	YZ	NOR-SAT180	MYH9	12.19	BO11SN5	YZ	NOR-SAT180	MYH9	10.95
BN11SN5	YZ	SUP-ELC000	MYH9	12.04	BO11SN5	YZ	SUP-ELC000	MYH9	12.30
BN11SN5	XZ	CHI-CHY28N	MYH10	20.61	BO11SN5	XZ	CHI-CHY28N	MYH10	16.76
BN11SN5	XZ	CHI-TCU067N	MYH10	10.29	BO11SN5	XZ	CHI-TCU067N	MYH10	14.24
BN11SN5	XZ	CHI-TCU071N	MYH10	11.64	BO11SN5	XZ	CHI-TCU071N	MYH10	11.74
BN11SN5	XZ	CHI-TCU101-W	MYH10	6.77	BO11SN5	XZ	CHI-TCU101-W	MYH10	11.58
BN11SN5	XZ	CHI-TCU110-W	MYH10	6.80	BO11SN5	XZ	CHI-TCU110-W	MYH10	9.09
BN11SN5	XZ	CHI-TCU128-N	MYH10	7.05	BO11SN5	XZ	CHI-TCU128-N	MYH10	6.58
BN11SN5	XZ	CHI-WGK-E	MYH10	8.42	BO11SN5	XZ	CHI-WGK-E	MYH10	9.01
BN11SN5	XZ	CHI-WNTE	MYH10	9.19	BO11SN5	XZ	CHI-WNTE	MYH10	11.58
BN11SN5	XZ	DZC-BOL000	MYH10	14.54	BO11SN5	XZ	DZC-BOL000	MYH10	16.58
BN11SN5	XZ	DZC-BOL090	MYH10	25.23	BO11SN5	XZ	DZC-BOL090	MYH10	17.08
BN11SN5	XZ	GAZ-KAR000	MYH10	12.76	BO11SN5	XZ	GAZ-KAR000	MYH10	15.69
BN11SN5	XZ	IMP-ECC092	MYH10	9.40	BO11SN5	XZ	IMP-ECC092	MYH10	10.63
BN11SN5	XZ	IMP-ELC3-140	MYH10	13.03	BO11SN5	XZ	IMP-ELC3-140	MYH10	13.14
BN11SN5	XZ	IMP-ELC6-140	MYH10	10.01	BO11SN5	XZ	IMP-ELC6-140	MYH10	12.21
BN11SN5	XZ	IRP-STU270	MYH10	13.88	BO11SN5	XZ	IRP-STU270	MYH10	23.28
BN11SN5	XZ	KOB-TAK000	MYH10	17.25	BO11SN5	XZ	KOB-TAK000	MYH10	15.70
BN11SN5	XZ	KOC-DZC180	MYH10	9.81	BO11SN5	XZ	KOC-DZC180	MYH10	10.73
BN11SN5	XZ	KOC-GBZ000	MYH10	5.43	BO11SN5	XZ	KOC-GBZ000	MYH10	10.38
BN11SN5	XZ	KOC-YAR060	MYH10	7.42	BO11SN5	XZ	KOC-YAR060	MYH10	13.14

Tablo C.1 (devam): Mevcut binalara ait yerdeğiştirme talepleri

Bina Adı	Analiz Yönü	İvme Kaydı	MYH Grup No	Δ_d (cm)	Bina Adı	Analiz Yönü	İvme Kaydı	MYH Grup No	Δ_d (cm)
BN11SN5	XZ	LAN-YER270	MYH10	11.40	BO11SN5	XZ	LAN-YER270	MYH10	17.52
BN11SN5	XZ	LOM-BRN000	MYH10	25.49	BO11SN5	XZ	LOM-BRN000	MYH10	18.84
BN11SN5	XZ	LOM-G03090	MYH10	15.24	BO11SN5	XZ	LOM-G03090	MYH10	23.90
BN11SN5	XZ	LOM-HSP000	MYH10	18.11	BO11SN5	XZ	LOM-HSP000	MYH10	21.99
BN11SN5	XZ	NOR-CNP196	MYH10	13.74	BO11SN5	XZ	NOR-CNP196	MYH10	13.08
BN11SN5	XZ	NOR-MUL009	MYH10	17.29	BO11SN5	XZ	NOR-MUL009	MYH10	22.04
BN11SN5	XZ	NOR-MUL279	MYH10	24.06	BO11SN5	XZ	NOR-MUL279	MYH10	25.02
BN11SN5	XZ	NOR-ORR090	MYH10	19.64	BO11SN5	XZ	NOR-ORR090	MYH10	20.40
BN11SN5	XZ	NOR-ORR360	MYH10	25.85	BO11SN5	XZ	NOR-ORR360	MYH10	29.41
BN11SN5	XZ	NOR-SAT180	MYH10	16.60	BO11SN5	XZ	NOR-SAT180	MYH10	25.28
BN11SN5	XZ	NOR-WPI316	MYH10	11.23	BO11SN5	XZ	NOR-WPI316	MYH10	12.12
BN11SN5	YZ	CHI-CHY28N	MYH10	22.34	BO11SN5	YZ	CHI-CHY28N	MYH10	18.94
BN11SN5	YZ	CHI-TCU067N	MYH10	8.98	BO11SN5	YZ	CHI-TCU067N	MYH10	8.17
BN11SN5	YZ	CHI-TCU071N	MYH10	9.46	BO11SN5	YZ	CHI-TCU071N	MYH10	6.99
BN11SN5	YZ	CHI-TCU101-W	MYH10	4.91	BO11SN5	YZ	CHI-TCU101-W	MYH10	4.56
BN11SN5	YZ	CHI-TCU110-W	MYH10	5.80	BO11SN5	YZ	CHI-TCU110-W	MYH10	4.55
BN11SN5	YZ	CHI-TCU128-N	MYH10	4.02	BO11SN5	YZ	CHI-TCU128-N	MYH10	3.39
BN11SN5	YZ	CHI-WGK-E	MYH10	7.43	BO11SN5	YZ	CHI-WGK-E	MYH10	4.87
BN11SN5	YZ	CHI-WNTE	MYH10	7.84	BO11SN5	YZ	CHI-WNTE	MYH10	8.09
BN11SN5	YZ	DZC-BOL000	MYH10	13.41	BO11SN5	YZ	DZC-BOL000	MYH10	11.42
BN11SN5	YZ	DZC-BOL090	MYH10	25.73	BO11SN5	YZ	DZC-BOL090	MYH10	22.39
BN11SN5	YZ	GAZ-KAR000	MYH10	8.57	BO11SN5	YZ	GAZ-KAR000	MYH10	7.35
BN11SN5	YZ	IMP-ECC092	MYH10	8.47	BO11SN5	YZ	IMP-ECC092	MYH10	6.68
BN11SN5	YZ	IMP-ELC3-140	MYH10	10.44	BO11SN5	YZ	IMP-ELC3-140	MYH10	9.55
BN11SN5	YZ	IMP-ELC6-140	MYH10	9.94	BO11SN5	YZ	IMP-ELC6-140	MYH10	8.25
BN11SN5	YZ	IRP-STU270	MYH10	8.82	BO11SN5	YZ	IRP-STU270	MYH10	6.36
BN11SN5	YZ	KOB-TAK000	MYH10	14.34	BO11SN5	YZ	KOB-TAK000	MYH10	14.02
BN11SN5	YZ	KOC-DZC180	MYH10	8.55	BO11SN5	YZ	KOC-DZC180	MYH10	7.27
BN11SN5	YZ	KOC-GBZ000	MYH10	4.26	BO11SN5	YZ	KOC-GBZ000	MYH10	6.16
BN11SN5	YZ	KOC-YAR060	MYH10	6.24	BO11SN5	YZ	KOC-YAR060	MYH10	5.03
BN11SN5	YZ	LAN-YER270	MYH10	11.56	BO11SN5	YZ	LAN-YER270	MYH10	9.51
BN11SN5	YZ	LOM-BRN000	MYH10	18.67	BO11SN5	YZ	LOM-BRN000	MYH10	14.11
BN11SN5	YZ	LOM-G03090	MYH10	10.64	BO11SN5	YZ	LOM-G03090	MYH10	8.36
BN11SN5	YZ	LOM-HSP000	MYH10	15.51	BO11SN5	YZ	LOM-HSP000	MYH10	14.26
BN11SN5	YZ	NOR-CNP196	MYH10	10.10	BO11SN5	YZ	NOR-CNP196	MYH10	7.91
BN11SN5	YZ	NOR-MUL009	MYH10	13.90	BO11SN5	YZ	NOR-MUL009	MYH10	13.35
BN11SN5	YZ	NOR-MUL279	MYH10	18.68	BO11SN5	YZ	NOR-MUL279	MYH10	19.31
BN11SN5	YZ	NOR-ORR090	MYH10	14.11	BO11SN5	YZ	NOR-ORR090	MYH10	13.42
BN11SN5	YZ	NOR-ORR360	MYH10	25.53	BO11SN5	YZ	NOR-ORR360	MYH10	20.90
BN11SN5	YZ	NOR-SAT180	MYH10	13.36	BO11SN5	YZ	NOR-SAT180	MYH10	12.76
BN11SN5	YZ	NOR-WPI316	MYH10	8.65	BO11SN5	YZ	NOR-WPI316	MYH10	6.49
BN11SN5	XZ	CHI-CHY28W	MYH11	22.02	BO11SN5	XZ	CHI-CHY28W	MYH11	16.66
BN11SN5	XZ	CHI-CHY101W	MYH11	11.34	BO11SN5	XZ	CHI-CHY101W	MYH11	10.79
BN11SN5	XZ	CHI-TCU063N	MYH11	5.35	BO11SN5	XZ	CHI-TCU063N	MYH11	7.17
BN11SN5	XZ	CHI-TCU072W	MYH11	12.94	BO11SN5	XZ	CHI-TCU072W	MYH11	14.12
BN11SN5	XZ	CHI-TCU74W	MYH11	16.42	BO11SN5	XZ	CHI-TCU74W	MYH11	22.39
BN11SN5	XZ	CHI-TCU128-W	MYH11	3.89	BO11SN5	XZ	CHI-TCU128-W	MYH11	6.09
BN11SN5	XZ	CHI-WGK-N	MYH11	13.97	BO11SN5	XZ	CHI-WGK-N	MYH11	26.65
BN11SN5	XZ	COA-PLE045	MYH11	13.52	BO11SN5	XZ	COA-PLE045	MYH11	18.74
BN11SN5	XZ	DZC-BOL000	MYH11	15.98	BO11SN5	XZ	DZC-BOL000	MYH11	17.58
BN11SN5	XZ	DZC-BOL090	MYH11	25.85	BO11SN5	XZ	DZC-BOL090	MYH11	18.25
BN11SN5	XZ	DZC-DZC180	MYH11	13.06	BO11SN5	XZ	DZC-DZC180	MYH11	11.57
BN11SN5	XZ	GAZ-KAR000	MYH11	14.10	BO11SN5	XZ	GAZ-KAR000	MYH11	18.37
BN11SN5	XZ	GAZ-KAR090	MYH11	11.31	BO11SN5	XZ	GAZ-KAR090	MYH11	12.01
BN11SN5	XZ	IMP-ECC092	MYH11	9.51	BO11SN5	XZ	IMP-ECC092	MYH11	11.56
BN11SN5	XZ	IMP-ECM000	MYH11	10.91	BO11SN5	XZ	IMP-ECM000	MYH11	12.61
BN11SN5	XZ	IMP-ELCD-270	MYH11	10.01	BO11SN5	XZ	IMP-ELCD-270	MYH11	11.00
BN11SN5	XZ	IRP-STU270	MYH11	15.68	BO11SN5	XZ	IRP-STU270	MYH11	27.07
BN11SN5	XZ	KOB-KJM090	MYH11	19.70	BO11SN5	XZ	KOB-KJM090	MYH11	23.15

Tablo C.1 (devam): Mevcut binalara ait yerdeğiştirme talepleri

Bina Adı	Analiz Yönü	İvme Kaydı	MYH Grup No	Δ_d (cm)	Bina Adı	Analiz Yönü	İvme Kaydı	MYH Grup No	Δ_d (cm)
BN11SN5	XZ	KOC-DZC180	MYH11	10.72	BO11SN5	XZ	KOC-DZC180	MYH11	12.53
BN11SN5	XZ	KOC-GBZ000	MYH11	6.01	BO11SN5	XZ	KOC-GBZ000	MYH11	11.40
BN11SN5	XZ	KOC-YAR060	MYH11	7.21	BO11SN5	XZ	KOC-YAR060	MYH11	15.77
BN11SN5	XZ	LOM-HSP000	MYH11	19.32	BO11SN5	XZ	LOM-HSP000	MYH11	24.29
BN11SN5	XZ	LOM-WVC270	MYH11	12.65	BO11SN5	XZ	LOM-WVC270	MYH11	23.27
BN11SN5	XZ	NOR-CNP196	MYH11	14.02	BO11SN5	XZ	NOR-CNP196	MYH11	15.53
BN11SN5	XZ	NOR-MUL009	MYH11	18.48	BO11SN5	XZ	NOR-MUL009	MYH11	24.24
BN11SN5	XZ	NOR-MUL279	MYH11	26.30	BO11SN5	XZ	NOR-MUL279	MYH11	26.57
BN11SN5	XZ	NOR-ORR360	MYH11	27.86	BO11SN5	XZ	NOR-ORR360	MYH11	31.97
BN11SN5	XZ	NOR-RRS318	MYH11	13.58	BO11SN5	XZ	NOR-RRS318	MYH11	16.39
BN11SN5	XZ	NOR-SAT180	MYH11	17.48	BO11SN5	XZ	NOR-SAT180	MYH11	28.06
BN11SN5	XZ	NPAL-NPS210	MYH11	13.86	BO11SN5	XZ	NPAL-NPS210	MYH11	20.75
BN11SN5	YZ	CHI-CHY28W	MYH11	15.97	BO11SN5	YZ	CHI-CHY28W	MYH11	13.05
BN11SN5	YZ	CHI-CHY101W	MYH11	7.66	BO11SN5	YZ	CHI-CHY101W	MYH11	5.28
BN11SN5	YZ	CHI-TCU063N	MYH11	3.82	BO11SN5	YZ	CHI-TCU063N	MYH11	2.50
BN11SN5	YZ	CHI-TCU072W	MYH11	11.36	BO11SN5	YZ	CHI-TCU072W	MYH11	11.17
BN11SN5	YZ	CHI-TCU74W	MYH11	15.04	BO11SN5	YZ	CHI-TCU74W	MYH11	13.24
BN11SN5	YZ	CHI-TCU128-W	MYH11	2.99	BO11SN5	YZ	CHI-TCU128-W	MYH11	2.03
BN11SN5	YZ	CHI-WGK-N	MYH11	12.88	BO11SN5	YZ	CHI-WGK-N	MYH11	11.06
BN11SN5	YZ	COA-PLE045	MYH11	15.65	BO11SN5	YZ	COA-PLE045	MYH11	16.06
BN11SN5	YZ	DZC-BOL000	MYH11	14.85	BO11SN5	YZ	DZC-BOL000	MYH11	12.94
BN11SN5	YZ	DZC-BOL090	MYH11	27.05	BO11SN5	YZ	DZC-BOL090	MYH11	23.40
BN11SN5	YZ	DZC-DZC180	MYH11	12.32	BO11SN5	YZ	DZC-DZC180	MYH11	12.34
BN11SN5	YZ	GAZ-KAR000	MYH11	9.37	BO11SN5	YZ	GAZ-KAR000	MYH11	8.25
BN11SN5	YZ	GAZ-KAR090	MYH11	10.46	BO11SN5	YZ	GAZ-KAR090	MYH11	9.92
BN11SN5	YZ	IMP-ECC092	MYH11	8.98	BO11SN5	YZ	IMP-ECC092	MYH11	7.23
BN11SN5	YZ	IMP-ECM000	MYH11	10.60	BO11SN5	YZ	IMP-ECM000	MYH11	10.00
BN11SN5	YZ	IMP-ELCD-270	MYH11	8.77	BO11SN5	YZ	IMP-ELCD-270	MYH11	6.47
BN11SN5	YZ	IRP-STU270	MYH11	9.98	BO11SN5	YZ	IRP-STU270	MYH11	7.93
BN11SN5	YZ	KOB-KJM090	MYH11	19.39	BO11SN5	YZ	KOB-KJM090	MYH11	17.67
BN11SN5	YZ	KOC-DZC180	MYH11	9.39	BO11SN5	YZ	KOC-DZC180	MYH11	7.68
BN11SN5	YZ	KOC-GBZ000	MYH11	4.45	BO11SN5	YZ	KOC-GBZ000	MYH11	6.73
BN11SN5	YZ	KOC-YAR060	MYH11	6.42	BO11SN5	YZ	KOC-YAR060	MYH11	5.32
BN11SN5	YZ	LOM-HSP000	MYH11	16.43	BO11SN5	YZ	LOM-HSP000	MYH11	15.65
BN11SN5	YZ	LOM-WVC270	MYH11	9.49	BO11SN5	YZ	LOM-WVC270	MYH11	8.70
BN11SN5	YZ	NOR-CNP196	MYH11	10.27	BO11SN5	YZ	NOR-CNP196	MYH11	8.61
BN11SN5	YZ	NOR-MUL009	MYH11	14.51	BO11SN5	YZ	NOR-MUL009	MYH11	14.61
BN11SN5	YZ	NOR-MUL279	MYH11	21.06	BO11SN5	YZ	NOR-MUL279	MYH11	21.62
BN11SN5	YZ	NOR-ORR360	MYH11	27.57	BO11SN5	YZ	NOR-ORR360	MYH11	22.97
BN11SN5	YZ	NOR-RRS318	MYH11	11.18	BO11SN5	YZ	NOR-RRS318	MYH11	9.58
BN11SN5	YZ	NOR-SAT180	MYH11	15.39	BO11SN5	YZ	NOR-SAT180	MYH11	14.88
BN11SN5	YZ	NPAL-NPS210	MYH11	11.79	BO11SN5	YZ	NPAL-NPS210	MYH11	9.39
BN11SN5	XZ	CHI-TCU065N	MYH12	19.21	BO11SN5	XZ	CHI-TCU065N	MYH12	51.08
BN11SN5	XZ	CHI-TCU067W	MYH12	15.81	BO11SN5	XZ	CHI-TCU067W	MYH12	24.07
BN11SN5	XZ	CHI-TCU102-N	MYH12	6.31	BO11SN5	XZ	CHI-TCU102-N	MYH12	11.30
BN11SN5	XZ	DZC-BOL000	MYH12	17.38	BO11SN5	XZ	DZC-BOL000	MYH12	18.64
BN11SN5	XZ	DZC-BOL090	MYH12	26.60	BO11SN5	XZ	DZC-BOL090	MYH12	19.54
BN11SN5	XZ	DZC-DZC180	MYH12	13.39	BO11SN5	XZ	DZC-DZC180	MYH12	12.99
BN11SN5	XZ	GAZ-KAR090	MYH12	11.79	BO11SN5	XZ	GAZ-KAR090	MYH12	13.52
BN11SN5	XZ	IMP-ECC092	MYH12	9.65	BO11SN5	XZ	IMP-ECC092	MYH12	12.98
BN11SN5	XZ	IMP-ELC4-230	MYH12	8.99	BO11SN5	XZ	IMP-ELC4-230	MYH12	25.09
BN11SN5	XZ	IMP-ELCD-270	MYH12	11.13	BO11SN5	XZ	IMP-ELCD-270	MYH12	12.43
BN11SN5	XZ	IRP-STU270	MYH12	17.59	BO11SN5	XZ	IRP-STU270	MYH12	31.32
BN11SN5	XZ	KOC-DZC180	MYH12	11.69	BO11SN5	XZ	KOC-DZC180	MYH12	14.81
BN11SN5	XZ	KOC-GBZ000	MYH12	6.65	BO11SN5	XZ	KOC-GBZ000	MYH12	12.42
BN11SN5	XZ	KOC-SKR090	MYH12	5.50	BO11SN5	XZ	KOC-SKR090	MYH12	6.61
BN11SN5	XZ	LAN-YER270	MYH12	13.93	BO11SN5	XZ	LAN-YER270	MYH12	24.36
BN11SN5	XZ	LOM-BRN000	MYH12	29.71	BO11SN5	XZ	LOM-BRN000	MYH12	21.61
BN11SN5	XZ	LOM-WVC270	MYH12	13.26	BO11SN5	XZ	LOM-WVC270	MYH12	25.10

Tablo C.1 (devam): Mevcut binalara ait yerdeğiştirme talepleri

Bina Adı	Analiz Yönü	İvme Kaydı	MYH Grup No	Δ_d (cm)	Bina Adı	Analiz Yönü	İvme Kaydı	MYH Grup No	Δ_d (cm)
BN11SN5	XZ	NOR-CNP196	MYH12	14.03	BO11SN5	XZ	NOR-CNP196	MYH12	18.15
BN11SN5	XZ	NOR-MUL009	MYH12	19.74	BO11SN5	XZ	NOR-MUL009	MYH12	26.55
BN11SN5	XZ	NOR-MUL279	MYH12	28.61	BO11SN5	XZ	NOR-MUL279	MYH12	27.99
BN11SN5	XZ	NOR-NEW090	MYH12	17.36	BO11SN5	XZ	NOR-NEW090	MYH12	10.43
BN11SN5	XZ	NOR-PAR-L	MYH12	23.83	BO11SN5	XZ	NOR-PAR-L	MYH12	32.49
BN11SN5	XZ	NOR-RRS318	MYH12	14.11	BO11SN5	XZ	NOR-RRS318	MYH12	17.99
BN11SN5	XZ	NOR-SAT180	MYH12	19.74	BO11SN5	XZ	NOR-SAT180	MYH12	30.90
BN11SN5	XZ	NOR-SCE288	MYH12	20.68	BO11SN5	XZ	NOR-SCE288	MYH12	21.20
BN11SN5	XZ	NOR-SEP360	MYH12	10.48	BO11SN5	XZ	NOR-SEP360	MYH12	9.97
BN11SN5	XZ	NOR-SYL090	MYH12	16.84	BO11SN5	XZ	NOR-SYL090	MYH12	21.41
BN11SN5	XZ	NOR-TAR360	MYH12	14.71	BO11SN5	XZ	NOR-TAR360	MYH12	21.29
BN11SN5	XZ	NOR-WPI316	MYH12	12.99	BO11SN5	XZ	NOR-WPI316	MYH12	14.72
BN11SN5	XZ	PRK-C02065	MYH12	16.60	BO11SN5	XZ	PRK-C02065	MYH12	23.27
BN11SN5	YZ	CHI-TCU065N	MYH12	14.03	BO11SN5	YZ	CHI-TCU065N	MYH12	16.88
BN11SN5	YZ	CHI-TCU067W	MYH12	14.13	BO11SN5	YZ	CHI-TCU067W	MYH12	13.40
BN11SN5	YZ	CHI-TCU102-N	MYH12	7.26	BO11SN5	YZ	CHI-TCU102-N	MYH12	4.69
BN11SN5	YZ	DZC-BOL000	MYH12	16.29	BO11SN5	YZ	DZC-BOL000	MYH12	14.45
BN11SN5	YZ	DZC-BOL090	MYH12	28.04	BO11SN5	YZ	DZC-BOL090	MYH12	24.31
BN11SN5	YZ	DZC-DZC180	MYH12	12.71	BO11SN5	YZ	DZC-DZC180	MYH12	12.86
BN11SN5	YZ	GAZ-KAR090	MYH12	11.14	BO11SN5	YZ	GAZ-KAR090	MYH12	10.93
BN11SN5	YZ	IMP-ECC092	MYH12	9.72	BO11SN5	YZ	IMP-ECC092	MYH12	7.95
BN11SN5	YZ	IMP-ELC4-230	MYH12	5.90	BO11SN5	YZ	IMP-ELC4-230	MYH12	7.10
BN11SN5	YZ	IMP-ELCD-270	MYH12	9.71	BO11SN5	YZ	IMP-ELCD-270	MYH12	6.80
BN11SN5	YZ	IRP-STU270	MYH12	11.28	BO11SN5	YZ	IRP-STU270	MYH12	9.64
BN11SN5	YZ	KOC-DZC180	MYH12	10.19	BO11SN5	YZ	KOC-DZC180	MYH12	7.96
BN11SN5	YZ	KOC-GBZ000	MYH12	4.63	BO11SN5	YZ	KOC-GBZ000	MYH12	7.27
BN11SN5	YZ	KOC-SKR090	MYH12	4.84	BO11SN5	YZ	KOC-SKR090	MYH12	3.07
BN11SN5	YZ	LAN-YER270	MYH12	13.81	BO11SN5	YZ	LAN-YER270	MYH12	12.57
BN11SN5	YZ	LOM-BRN000	MYH12	21.55	BO11SN5	YZ	LOM-BRN000	MYH12	17.22
BN11SN5	YZ	LOM-WVC270	MYH12	10.40	BO11SN5	YZ	LOM-WVC270	MYH12	9.86
BN11SN5	YZ	NOR-CNP196	MYH12	10.37	BO11SN5	YZ	NOR-CNP196	MYH12	9.30
BN11SN5	YZ	NOR-MUL009	MYH12	15.18	BO11SN5	YZ	NOR-MUL009	MYH12	15.83
BN11SN5	YZ	NOR-MUL279	MYH12	23.39	BO11SN5	YZ	NOR-MUL279	MYH12	24.02
BN11SN5	YZ	NOR-NEW090	MYH12	17.84	BO11SN5	YZ	NOR-NEW090	MYH12	12.01
BN11SN5	YZ	NOR-PAR-L	MYH12	21.80	BO11SN5	YZ	NOR-PAR-L	MYH12	21.00
BN11SN5	YZ	NOR-RRS318	MYH12	11.58	BO11SN5	YZ	NOR-RRS318	MYH12	10.41
BN11SN5	YZ	NOR-SAT180	MYH12	17.49	BO11SN5	YZ	NOR-SAT180	MYH12	17.05
BN11SN5	YZ	NOR-SCE288	MYH12	15.36	BO11SN5	YZ	NOR-SCE288	MYH12	14.40
BN11SN5	YZ	NOR-SEP360	MYH12	12.08	BO11SN5	YZ	NOR-SEP360	MYH12	10.09
BN11SN5	YZ	NOR-SYL090	MYH12	18.21	BO11SN5	YZ	NOR-SYL090	MYH12	16.46
BN11SN5	YZ	NOR-TAR360	MYH12	13.33	BO11SN5	YZ	NOR-TAR360	MYH12	15.15
BN11SN5	YZ	NOR-WPI316	MYH12	10.44	BO11SN5	YZ	NOR-WPI316	MYH12	8.38
BN11SN5	YZ	PRK-C02065	MYH12	18.25	BO11SN5	YZ	PRK-C02065	MYH12	17.10
BN12SN5	XZ	CAP-FOR090	MYH1	3.74	BO12SN5	XZ	CAP-FOR090	MYH1	3.69
BN12SN5	XZ	CHI-CHY010-N	MYH1	4.98	BO12SN5	XZ	CHI-CHY010-N	MYH1	4.48
BN12SN5	XZ	CHI-CHY41W	MYH1	6.46	BO12SN5	XZ	CHI-CHY41W	MYH1	5.73
BN12SN5	XZ	CHI-CHY046N	MYH1	5.73	BO12SN5	XZ	CHI-CHY046N	MYH1	4.51
BN12SN5	XZ	CHI-CHY047-E	MYH1	3.69	BO12SN5	XZ	CHI-CHY047-E	MYH1	3.33
BN12SN5	XZ	COA-CAK270	MYH1	5.84	BO12SN5	XZ	COA-CAK270	MYH1	7.69
BN12SN5	XZ	COY-G06320	MYH1	4.04	BO12SN5	XZ	COY-G06320	MYH1	3.65
BN12SN5	XZ	FRI-TMZ000	MYH1	4.96	BO12SN5	XZ	FRI-TMZ000	MYH1	3.93
BN12SN5	XZ	IMP-E12230	MYH1	2.69	BO12SN5	XZ	IMP-E12230	MYH1	2.58
BN12SN5	XZ	IMP-SAH000	MYH1	5.08	BO12SN5	XZ	IMP-SAH000	MYH1	3.73
BN12SN5	XZ	IRP-BIS000	MYH1	2.35	BO12SN5	XZ	IRP-BIS000	MYH1	2.28
BN12SN5	XZ	KOC-IZM180	MYH1	3.96	BO12SN5	XZ	KOC-IZM180	MYH1	3.83
BN12SN5	XZ	LAN-ABY090	MYH1	3.55	BO12SN5	XZ	LAN-ABY090	MYH1	3.06
BN12SN5	XZ	LAN-DSP000	MYH1	3.69	BO12SN5	XZ	LAN-DSP000	MYH1	3.01
BN12SN5	XZ	LIV-DVD246	MYH1	3.63	BO12SN5	XZ	LIV-DVD246	MYH1	2.99
BN12SN5	XZ	LOM-BRK090	MYH1	4.96	BO12SN5	XZ	LOM-BRK090	MYH1	5.12

Tablo C.1 (devam): Mevcut binalara ait yerdeğiştirme talepleri

Bina Adı	Analiz Yönü	İvme Kaydı	MYH Grup No	Δ_d (cm)	Bina Adı	Analiz Yönü	İvme Kaydı	MYH Grup No	Δ_d (cm)
BN12SN5	XZ	LOM-CLD285	MYH1	3.89	BO12SN5	XZ	LOM-CLD285	MYH1	3.92
BN12SN5	XZ	LOM-GGV337	MYH1	4.83	BO12SN5	XZ	LOM-GGV337	MYH1	4.23
BN12SN5	XZ	NOR-CWC270	MYH1	5.75	BO12SN5	XZ	NOR-CWC270	MYH1	5.32
BN12SN5	XZ	NOR-LOS090	MYH1	5.93	BO12SN5	XZ	NOR-LOS090	MYH1	4.86
BN12SN5	XZ	NOR-LOS360	MYH1	5.19	BO12SN5	XZ	NOR-LOS360	MYH1	5.85
BN12SN5	XZ	PRK-CHO355	MYH1	4.60	BO12SN5	XZ	PRK-CHO355	MYH1	3.62
BN12SN5	XZ	PRK-TMB205	MYH1	3.16	BO12SN5	XZ	PRK-TMB205	MYH1	3.12
BN12SN5	XZ	SUP-PLS135	MYH1	4.04	BO12SN5	XZ	SUP-PLS135	MYH1	4.05
BN12SN5	XZ	TAB-DAY-LN	MYH1	4.67	BO12SN5	XZ	TAB-DAY-LN	MYH1	4.27
BN12SN5	XZ	VIC-CPE315	MYH1	5.28	BO12SN5	XZ	VIC-CPE315	MYH1	3.95
BN12SN5	XZ	WHI-ALH180	MYH1	5.59	BO12SN5	XZ	WHI-ALH180	MYH1	4.50
BN12SN5	XZ	WHI-GRN180	MYH1	7.24	BO12SN5	XZ	WHI-GRN180	MYH1	6.92
BN12SN5	XZ	WHI-OBR360	MYH1	5.84	BO12SN5	XZ	WHI-OBR360	MYH1	5.64
BN12SN5	YZ	CAP-FOR090	MYH1	2.82	BO12SN5	YZ	CAP-FOR090	MYH1	1.91
BN12SN5	YZ	CHI-CHY010-N	MYH1	5.61	BO12SN5	YZ	CHI-CHY010-N	MYH1	3.67
BN12SN5	YZ	CHI-CHY41W	MYH1	7.77	BO12SN5	YZ	CHI-CHY41W	MYH1	4.55
BN12SN5	YZ	CHI-CHY046N	MYH1	5.66	BO12SN5	YZ	CHI-CHY046N	MYH1	3.38
BN12SN5	YZ	CHI-CHY047-E	MYH1	4.38	BO12SN5	YZ	CHI-CHY047-E	MYH1	2.46
BN12SN5	YZ	COA-CAK270	MYH1	5.42	BO12SN5	YZ	COA-CAK270	MYH1	3.48
BN12SN5	YZ	COY-G06320	MYH1	3.49	BO12SN5	YZ	COY-G06320	MYH1	3.44
BN12SN5	YZ	FRI-TMZ000	MYH1	5.31	BO12SN5	YZ	FRI-TMZ000	MYH1	3.48
BN12SN5	YZ	IMP-E12230	MYH1	2.90	BO12SN5	YZ	IMP-E12230	MYH1	1.91
BN12SN5	YZ	IMP-SAH000	MYH1	4.38	BO12SN5	YZ	IMP-SAH000	MYH1	3.13
BN12SN5	YZ	IRP-BIS000	MYH1	1.57	BO12SN5	YZ	IRP-BIS000	MYH1	1.81
BN12SN5	YZ	KOC-IZM180	MYH1	4.60	BO12SN5	YZ	KOC-IZM180	MYH1	3.11
BN12SN5	YZ	LAN-ABY090	MYH1	3.97	BO12SN5	YZ	LAN-ABY090	MYH1	2.53
BN12SN5	YZ	LAN-DSP000	MYH1	4.99	BO12SN5	YZ	LAN-DSP000	MYH1	3.38
BN12SN5	YZ	LIV-DVD246	MYH1	3.07	BO12SN5	YZ	LIV-DVD246	MYH1	2.47
BN12SN5	YZ	LOM-BRK090	MYH1	5.06	BO12SN5	YZ	LOM-BRK090	MYH1	3.42
BN12SN5	YZ	LOM-CLD285	MYH1	4.01	BO12SN5	YZ	LOM-CLD285	MYH1	3.08
BN12SN5	YZ	LOM-GGV337	MYH1	4.36	BO12SN5	YZ	LOM-GGV337	MYH1	3.92
BN12SN5	YZ	NOR-CWC270	MYH1	5.33	BO12SN5	YZ	NOR-CWC270	MYH1	4.23
BN12SN5	YZ	NOR-LOS090	MYH1	6.10	BO12SN5	YZ	NOR-LOS090	MYH1	4.28
BN12SN5	YZ	NOR-LOS360	MYH1	5.34	BO12SN5	YZ	NOR-LOS360	MYH1	5.43
BN12SN5	YZ	PRK-CHO355	MYH1	5.07	BO12SN5	YZ	PRK-CHO355	MYH1	3.44
BN12SN5	YZ	PRK-TMB205	MYH1	2.93	BO12SN5	YZ	PRK-TMB205	MYH1	2.88
BN12SN5	YZ	SUP-PLS135	MYH1	3.65	BO12SN5	YZ	SUP-PLS135	MYH1	2.91
BN12SN5	YZ	TAB-DAY-LN	MYH1	5.05	BO12SN5	YZ	TAB-DAY-LN	MYH1	3.58
BN12SN5	YZ	VIC-CPE315	MYH1	4.81	BO12SN5	YZ	VIC-CPE315	MYH1	3.97
BN12SN5	YZ	WHI-ALH180	MYH1	5.56	BO12SN5	YZ	WHI-ALH180	MYH1	3.87
BN12SN5	YZ	WHI-GRN180	MYH1	8.41	BO12SN5	YZ	WHI-GRN180	MYH1	5.51
BN12SN5	YZ	WHI-OBR360	MYH1	4.57	BO12SN5	YZ	WHI-OBR360	MYH1	3.61
BN12SN5	XZ	CHI-TCU141-N	MYH2	2.43	BO12SN5	XZ	CHI-TCU141-N	MYH2	2.58
BN12SN5	XZ	COA-PV1090	MYH2	5.15	BO12SN5	XZ	COA-PV1090	MYH2	6.98
BN12SN5	XZ	COA-Z14090	MYH2	9.33	BO12SN5	XZ	COA-Z14090	MYH2	9.83
BN12SN5	XZ	COY-G02140	MYH2	7.97	BO12SN5	XZ	COY-G02140	MYH2	7.42
BN12SN5	XZ	COY-G03140	MYH2	6.25	BO12SN5	XZ	COY-G03140	MYH2	5.79
BN12SN5	XZ	IMP-AER315	MYH2	5.65	BO12SN5	XZ	IMP-AER315	MYH2	4.61
BN12SN5	XZ	IMP-DLT262	MYH2	6.52	BO12SN5	XZ	IMP-DLT262	MYH2	6.27
BN12SN5	XZ	KOB-KAK090	MYH2	5.42	BO12SN5	XZ	KOB-KAK090	MYH2	4.38
BN12SN5	XZ	KOB-SHI090	MYH2	7.46	BO12SN5	XZ	KOB-SHI090	MYH2	6.11
BN12SN5	XZ	LAN-CLVLN	MYH2	6.86	BO12SN5	XZ	LAN-CLVLN	MYH2	6.34
BN12SN5	XZ	LAN-JOS000	MYH2	7.89	BO12SN5	XZ	LAN-JOS000	MYH2	7.26
BN12SN5	XZ	LOM-CAP090	MYH2	8.32	BO12SN5	XZ	LOM-CAP090	MYH2	6.61
BN12SN5	XZ	LOM-GGV067	MYH2	5.12	BO12SN5	XZ	LOM-GGV067	MYH2	4.77
BN12SN5	XZ	LOM-HSP090	MYH2	6.08	BO12SN5	XZ	LOM-HSP090	MYH2	4.99
BN12SN5	XZ	LOM-SFO000	MYH2	5.60	BO12SN5	XZ	LOM-SFO000	MYH2	6.44
BN12SN5	XZ	LOM-SFO090	MYH2	10.04	BO12SN5	XZ	LOM-SFO090	MYH2	7.49
BN12SN5	XZ	LOM-WAH000	MYH2	7.84	BO12SN5	XZ	LOM-WAH000	MYH2	6.65

Tablo C.1 (devam): Mevcut binalara ait yerdeğiştirme talepleri

Bina Adı	Analiz Yönü	İvme Kaydı	MYH Grup No	Δ_d (cm)	Bina Adı	Analiz Yönü	İvme Kaydı	MYH Grup No	Δ_d (cm)
BN12SN5	XZ	MAM-LUL000	MYH2	6.05	BO12SN5	XZ	MAM-LUL000	MYH2	4.85
BN12SN5	XZ	MOR-AND250	MYH2	5.00	BO12SN5	XZ	MOR-AND250	MYH2	5.21
BN12SN5	XZ	MOR-AND340	MYH2	10.08	BO12SN5	XZ	MOR-AND340	MYH2	8.24
BN12SN5	XZ	NOR-CHL160	MYH2	7.29	BO12SN5	XZ	NOR-CHL160	MYH2	7.83
BN12SN5	XZ	NOR-CWC180	MYH2	5.62	BO12SN5	XZ	NOR-CWC180	MYH2	6.00
BN12SN5	XZ	NOR-SAT090	MYH2	7.68	BO12SN5	XZ	NOR-SAT090	MYH2	6.60
BN12SN5	XZ	NPAL-DSP000	MYH2	6.47	BO12SN5	XZ	NPAL-DSP000	MYH2	7.31
BN12SN5	XZ	PRK-CHO085	MYH2	4.34	BO12SN5	XZ	PRK-CHO085	MYH2	4.40
BN12SN5	XZ	SFD-ORR291	MYH2	6.95	BO12SN5	XZ	SFD-ORR291	MYH2	4.72
BN12SN5	XZ	SPI-GUK000	MYH2	5.92	BO12SN5	XZ	SPI-GUK000	MYH2	6.11
BN12SN5	XZ	TAB-DAY-TR	MYH2	7.02	BO12SN5	XZ	TAB-DAY-TR	MYH2	6.87
BN12SN5	XZ	WES-PTS315	MYH2	8.08	BO12SN5	XZ	WES-PTS315	MYH2	7.65
BN12SN5	XZ	WHI-DEL000	MYH2	8.63	BO12SN5	XZ	WHI-DEL000	MYH2	5.74
BN12SN5	XZ	WHI-DWN180	MYH2	9.11	BO12SN5	XZ	WHI-DWN180	MYH2	8.08
BN12SN5	YZ	CHI-TCU141-N	MYH2	2.57	BO12SN5	YZ	CHI-TCU141-N	MYH2	1.86
BN12SN5	YZ	COA-PV1090	MYH2	4.53	BO12SN5	YZ	COA-PV1090	MYH2	3.24
BN12SN5	YZ	COA-Z14090	MYH2	8.59	BO12SN5	YZ	COA-Z14090	MYH2	5.28
BN12SN5	YZ	COY-G02140	MYH2	5.95	BO12SN5	YZ	COY-G02140	MYH2	4.37
BN12SN5	YZ	COY-G03140	MYH2	5.29	BO12SN5	YZ	COY-G03140	MYH2	3.86
BN12SN5	YZ	IMP-AER315	MYH2	5.01	BO12SN5	YZ	IMP-AER315	MYH2	4.17
BN12SN5	YZ	IMP-DLT262	MYH2	8.44	BO12SN5	YZ	IMP-DLT262	MYH2	5.61
BN12SN5	YZ	KOB-KAK090	MYH2	4.47	BO12SN5	YZ	KOB-KAK090	MYH2	3.84
BN12SN5	YZ	KOB-SHI090	MYH2	8.27	BO12SN5	YZ	KOB-SHI090	MYH2	5.78
BN12SN5	YZ	LAN-CLVLN	MYH2	5.51	BO12SN5	YZ	LAN-CLVLN	MYH2	4.13
BN12SN5	YZ	LAN-JOS000	MYH2	8.28	BO12SN5	YZ	LAN-JOS000	MYH2	5.16
BN12SN5	YZ	LOM-CAP090	MYH2	9.70	BO12SN5	YZ	LOM-CAP090	MYH2	6.52
BN12SN5	YZ	LOM-GGV067	MYH2	4.40	BO12SN5	YZ	LOM-GGV067	MYH2	3.65
BN12SN5	YZ	LOM-HSP090	MYH2	5.66	BO12SN5	YZ	LOM-HSP090	MYH2	4.58
BN12SN5	YZ	LOM-SFO000	MYH2	6.62	BO12SN5	YZ	LOM-SFO000	MYH2	4.13
BN12SN5	YZ	LOM-SFO090	MYH2	8.82	BO12SN5	YZ	LOM-SFO090	MYH2	7.19
BN12SN5	YZ	LOM-WAH000	MYH2	7.24	BO12SN5	YZ	LOM-WAH000	MYH2	6.23
BN12SN5	YZ	MAM-LUL000	MYH2	5.72	BO12SN5	YZ	MAM-LUL000	MYH2	4.37
BN12SN5	YZ	MOR-AND250	MYH2	4.43	BO12SN5	YZ	MOR-AND250	MYH2	3.03
BN12SN5	YZ	MOR-AND340	MYH2	8.99	BO12SN5	YZ	MOR-AND340	MYH2	8.15
BN12SN5	YZ	NOR-CHL160	MYH2	8.68	BO12SN5	YZ	NOR-CHL160	MYH2	6.19
BN12SN5	YZ	NOR-CWC180	MYH2	6.15	BO12SN5	YZ	NOR-CWC180	MYH2	3.80
BN12SN5	YZ	NOR-SAT090	MYH2	7.37	BO12SN5	YZ	NOR-SAT090	MYH2	6.36
BN12SN5	YZ	NPAL-DSP000	MYH2	5.46	BO12SN5	YZ	NPAL-DSP000	MYH2	5.67
BN12SN5	YZ	PRK-CHO085	MYH2	4.44	BO12SN5	YZ	PRK-CHO085	MYH2	3.40
BN12SN5	YZ	SFD-ORR291	MYH2	6.29	BO12SN5	YZ	SFD-ORR291	MYH2	4.68
BN12SN5	YZ	SPI-GUK000	MYH2	5.75	BO12SN5	YZ	SPI-GUK000	MYH2	3.79
BN12SN5	YZ	TAB-DAY-TR	MYH2	6.32	BO12SN5	YZ	TAB-DAY-TR	MYH2	5.17
BN12SN5	YZ	WES-PTS315	MYH2	5.94	BO12SN5	YZ	WES-PTS315	MYH2	4.94
BN12SN5	YZ	WHI-DEL000	MYH2	8.61	BO12SN5	YZ	WHI-DEL000	MYH2	6.27
BN12SN5	YZ	WHI-DWN180	MYH2	9.28	BO12SN5	YZ	WHI-DWN180	MYH2	6.99
BN12SN5	XZ	CAP-FOR000	MYH3	4.65	BO12SN5	XZ	CAP-FOR000	MYH3	4.33
BN12SN5	XZ	CHI-CHY29W	MYH3	7.01	BO12SN5	XZ	CHI-CHY29W	MYH3	7.14
BN12SN5	XZ	CHI-TCU046N	MYH3	2.63	BO12SN5	XZ	CHI-TCU046N	MYH3	2.72
BN12SN5	XZ	CHI-TCU112-N	MYH3	2.44	BO12SN5	XZ	CHI-TCU112-N	MYH3	2.31
BN12SN5	XZ	CHI-TCU118-N	MYH3	3.87	BO12SN5	XZ	CHI-TCU118-N	MYH3	2.91
BN12SN5	XZ	FRI-TMZ270	MYH3	7.65	BO12SN5	XZ	FRI-TMZ270	MYH3	7.44
BN12SN5	XZ	IMP-ELC2-140	MYH3	5.85	BO12SN5	XZ	IMP-ELC2-140	MYH3	6.05
BN12SN5	XZ	IMP-ELC11-140	MYH3	5.73	BO12SN5	XZ	IMP-ELC11-140	MYH3	5.24
BN12SN5	XZ	IMP-SAH270	MYH3	7.18	BO12SN5	XZ	IMP-SAH270	MYH3	6.04
BN12SN5	XZ	KOC-AMB090	MYH3	7.10	BO12SN5	XZ	KOC-AMB090	MYH3	10.13
BN12SN5	XZ	KOC-GBZ270	MYH3	2.97	BO12SN5	XZ	KOC-GBZ270	MYH3	2.34
BN12SN5	XZ	KOC-IZM090	MYH3	4.96	BO12SN5	XZ	KOC-IZM090	MYH3	5.09
BN12SN5	XZ	LAN-LUC000	MYH3	5.43	BO12SN5	XZ	LAN-LUC000	MYH3	4.30
BN12SN5	XZ	LAN-YER360	MYH3	4.33	BO12SN5	XZ	LAN-YER360	MYH3	4.15

Tablo C.1 (devam): Mevcut binalara ait yerdeğiştirme talepleri

Bina Adı	Analiz Yönü	İvme Kaydı	MYH Grup No	Δ_d (cm)	Bina Adı	Analiz Yönü	İvme Kaydı	MYH Grup No	Δ_d (cm)
BN12SN5	XZ	LOM-A02133	MYH3	8.44	BO12SN5	XZ	LOM-A02133	MYH3	9.76
BN12SN5	XZ	LOM-G01000	MYH3	4.30	BO12SN5	XZ	LOM-G01000	MYH3	3.60
BN12SN5	XZ	LOM-G01090	MYH3	5.11	BO12SN5	XZ	LOM-G01090	MYH3	5.07
BN12SN5	XZ	LOM-G02000	MYH3	9.38	BO12SN5	XZ	LOM-G02000	MYH3	9.47
BN12SN5	XZ	LOM-TRI090	MYH3	8.24	BO12SN5	XZ	LOM-TRI090	MYH3	7.44
BN12SN5	XZ	MAM-LUL090	MYH3	8.11	BO12SN5	XZ	MAM-LUL090	MYH3	9.94
BN12SN5	XZ	NOR-CNP106	MYH3	7.30	BO12SN5	XZ	NOR-CNP106	MYH3	9.49
BN12SN5	XZ	NOR-PAC265	MYH3	5.98	BO12SN5	XZ	NOR-PAC265	MYH3	6.81
BN12SN5	XZ	NOR-PKC090	MYH3	8.46	BO12SN5	XZ	NOR-PKC090	MYH3	9.21
BN12SN5	XZ	NOR-WIL180	MYH3	9.60	BO12SN5	XZ	NOR-WIL180	MYH3	8.53
BN12SN5	XZ	NPAL-MVH045	MYH3	6.71	BO12SN5	XZ	NPAL-MVH045	MYH3	6.66
BN12SN5	XZ	NPAL-NPS300	MYH3	6.25	BO12SN5	XZ	NPAL-NPS300	MYH3	6.66
BN12SN5	XZ	NPAL-WWT270	MYH3	6.84	BO12SN5	XZ	NPAL-WWT270	MYH3	7.20
BN12SN5	XZ	SUP-IVW090	MYH3	4.83	BO12SN5	XZ	SUP-IVW090	MYH3	4.21
BN12SN5	XZ	SUP-IVW360	MYH3	6.56	BO12SN5	XZ	SUP-IVW360	MYH3	6.04
BN12SN5	XZ	SUP-KRN360	MYH3	4.34	BO12SN5	XZ	SUP-KRN360	MYH3	4.80
BN12SN5	XZ	SUP-POE360	MYH3	5.50	BO12SN5	XZ	SUP-POE360	MYH3	4.92
BN12SN5	XZ	SUP-SUP045	MYH3	7.37	BO12SN5	XZ	SUP-SUP045	MYH3	6.33
BN12SN5	XZ	VIC-CPE045	MYH3	8.46	BO12SN5	XZ	VIC-CPE045	MYH3	13.13
BN12SN5	XZ	WHI-OR2010	MYH3	10.74	BO12SN5	XZ	WHI-OR2010	MYH3	7.20
BN12SN5	YZ	CAP-FOR000	MYH3	3.26	BO12SN5	YZ	CAP-FOR000	MYH3	2.31
BN12SN5	YZ	CHI-CHY29W	MYH3	7.44	BO12SN5	YZ	CHI-CHY29W	MYH3	6.34
BN12SN5	YZ	CHI-TCU046N	MYH3	2.74	BO12SN5	YZ	CHI-TCU046N	MYH3	2.22
BN12SN5	YZ	CHI-TCU112-N	MYH3	2.35	BO12SN5	YZ	CHI-TCU112-N	MYH3	1.53
BN12SN5	YZ	CHI-TCU118-N	MYH3	3.43	BO12SN5	YZ	CHI-TCU118-N	MYH3	2.87
BN12SN5	YZ	FRI-TMZ270	MYH3	8.24	BO12SN5	YZ	FRI-TMZ270	MYH3	6.99
BN12SN5	YZ	IMP-ELC2-140	MYH3	7.21	BO12SN5	YZ	IMP-ELC2-140	MYH3	4.92
BN12SN5	YZ	IMP-ELC11-140	MYH3	4.58	BO12SN5	YZ	IMP-ELC11-140	MYH3	4.52
BN12SN5	YZ	IMP-SAH270	MYH3	7.81	BO12SN5	YZ	IMP-SAH270	MYH3	4.99
BN12SN5	YZ	KOC-AMB090	MYH3	7.22	BO12SN5	YZ	KOC-AMB090	MYH3	4.63
BN12SN5	YZ	KOC-GBZ270	MYH3	3.23	BO12SN5	YZ	KOC-GBZ270	MYH3	2.40
BN12SN5	YZ	KOC-IZM090	MYH3	5.54	BO12SN5	YZ	KOC-IZM090	MYH3	4.34
BN12SN5	YZ	LAN-LUC000	MYH3	5.58	BO12SN5	YZ	LAN-LUC000	MYH3	4.32
BN12SN5	YZ	LAN-YER360	MYH3	4.29	BO12SN5	YZ	LAN-YER360	MYH3	2.53
BN12SN5	YZ	LOM-A02133	MYH3	10.19	BO12SN5	YZ	LOM-A02133	MYH3	7.53
BN12SN5	YZ	LOM-G01000	MYH3	4.25	BO12SN5	YZ	LOM-G01000	MYH3	3.05
BN12SN5	YZ	LOM-G01090	MYH3	5.71	BO12SN5	YZ	LOM-G01090	MYH3	4.83
BN12SN5	YZ	LOM-G02000	MYH3	9.34	BO12SN5	YZ	LOM-G02000	MYH3	8.16
BN12SN5	YZ	LOM-TRI090	MYH3	7.59	BO12SN5	YZ	LOM-TRI090	MYH3	6.28
BN12SN5	YZ	MAM-LUL090	MYH3	9.94	BO12SN5	YZ	MAM-LUL090	MYH3	7.38
BN12SN5	YZ	NOR-CNP106	MYH3	7.89	BO12SN5	YZ	NOR-CNP106	MYH3	7.44
BN12SN5	YZ	NOR-PAC265	MYH3	6.67	BO12SN5	YZ	NOR-PAC265	MYH3	5.39
BN12SN5	YZ	NOR-PKC090	MYH3	9.06	BO12SN5	YZ	NOR-PKC090	MYH3	6.94
BN12SN5	YZ	NOR-WIL180	MYH3	9.40	BO12SN5	YZ	NOR-WIL180	MYH3	6.54
BN12SN5	YZ	NPAL-MVH045	MYH3	6.47	BO12SN5	YZ	NPAL-MVH045	MYH3	4.85
BN12SN5	YZ	NPAL-NPS300	MYH3	7.32	BO12SN5	YZ	NPAL-NPS300	MYH3	4.20
BN12SN5	YZ	NPAL-WWT270	MYH3	7.67	BO12SN5	YZ	NPAL-WWT270	MYH3	7.16
BN12SN5	YZ	SUP-IVW090	MYH3	3.77	BO12SN5	YZ	SUP-IVW090	MYH3	3.39
BN12SN5	YZ	SUP-IVW360	MYH3	7.78	BO12SN5	YZ	SUP-IVW360	MYH3	4.57
BN12SN5	YZ	SUP-KRN360	MYH3	3.81	BO12SN5	YZ	SUP-KRN360	MYH3	3.42
BN12SN5	YZ	SUP-POE360	MYH3	6.17	BO12SN5	YZ	SUP-POE360	MYH3	5.20
BN12SN5	YZ	SUP-SUP045	MYH3	7.49	BO12SN5	YZ	SUP-SUP045	MYH3	5.26
BN12SN5	YZ	VIC-CPE045	MYH3	7.44	BO12SN5	YZ	VIC-CPE045	MYH3	7.47
BN12SN5	YZ	WHI-OR2010	MYH3	10.00	BO12SN5	YZ	WHI-OR2010	MYH3	8.60
BN12SN5	XZ	CHI-CHY29N	MYH4	9.40	BO12SN5	XZ	CHI-CHY29N	MYH4	5.90
BN12SN5	XZ	CHI-CHY036W	MYH4	10.06	BO12SN5	XZ	CHI-CHY036W	MYH4	10.97
BN12SN5	XZ	CHI-CHY41N	MYH4	9.30	BO12SN5	XZ	CHI-CHY41N	MYH4	8.70
BN12SN5	XZ	CHI-TCU45N	MYH4	10.33	BO12SN5	XZ	CHI-TCU45N	MYH4	8.03
BN12SN5	XZ	CHI-TCU45W	MYH4	6.79	BO12SN5	XZ	CHI-TCU45W	MYH4	8.24

Tablo C.1 (devam): Mevcut binalara ait yerdeğiştirme talepleri

Bina Adı	Analiz Yönü	İvme Kaydı	MYH Grup No	Δ_d (cm)	Bina Adı	Analiz Yönü	İvme Kaydı	MYH Grup No	Δ_d (cm)
BN12SN5	XZ	CHI-TCU51N	MYH4	5.61	BO12SN5	XZ	CHI-TCU51N	MYH4	6.01
BN12SN5	XZ	COA-PLE135	MYH4	11.25	BO12SN5	XZ	COA-PLE135	MYH4	6.90
BN12SN5	XZ	IMP-BRA225	MYH4	2.84	BO12SN5	XZ	IMP-BRA225	MYH4	2.77
BN12SN5	XZ	IMP-BRA315	MYH4	5.25	BO12SN5	XZ	IMP-BRA315	MYH4	5.19
BN12SN5	XZ	IMP-ECC002	MYH4	6.14	BO12SN5	XZ	IMP-ECC002	MYH4	8.56
BN12SN5	XZ	IMP-ELC4-140	MYH4	13.02	BO12SN5	XZ	IMP-ELC4-140	MYH4	14.55
BN12SN5	XZ	IRP-STU000	MYH4	6.32	BO12SN5	XZ	IRP-STU000	MYH4	6.96
BN12SN5	XZ	KOB-NIS000	MYH4	7.18	BO12SN5	XZ	KOB-NIS000	MYH4	6.13
BN12SN5	XZ	KOB-NIS090	MYH4	8.78	BO12SN5	XZ	KOB-NIS090	MYH4	9.87
BN12SN5	XZ	KOB-SHI000	MYH4	10.00	BO12SN5	XZ	KOB-SHI000	MYH4	8.46
BN12SN5	XZ	KOC-ARC090	MYH4	3.37	BO12SN5	XZ	KOC-ARC090	MYH4	3.27
BN12SN5	XZ	LOM-G02090	MYH4	9.38	BO12SN5	XZ	LOM-G02090	MYH4	11.98
BN12SN5	XZ	LOM-G03000	MYH4	6.99	BO12SN5	XZ	LOM-G03000	MYH4	6.71
BN12SN5	XZ	LOM-HDA255	MYH4	9.21	BO12SN5	XZ	LOM-HDA255	MYH4	12.32
BN12SN5	XZ	LOM-SVL360	MYH4	4.59	BO12SN5	XZ	LOM-SVL360	MYH4	4.55
BN12SN5	XZ	MOR-G06090	MYH4	10.42	BO12SN5	XZ	MOR-G06090	MYH4	7.63
BN12SN5	XZ	MOR-HAL240	MYH4	8.96	BO12SN5	XZ	MOR-HAL240	MYH4	10.87
BN12SN5	XZ	NOR-KAT090	MYH4	10.93	BO12SN5	XZ	NOR-KAT090	MYH4	7.53
BN12SN5	XZ	NOR-SCR090	MYH4	6.79	BO12SN5	XZ	NOR-SCR090	MYH4	6.65
BN12SN5	XZ	NOR-STN020	MYH4	9.37	BO12SN5	XZ	NOR-STN020	MYH4	9.11
BN12SN5	XZ	NPAL-WWT180	MYH4	8.04	BO12SN5	XZ	NPAL-WWT180	MYH4	8.87
BN12SN5	XZ	SUP-POE270	MYH4	6.32	BO12SN5	XZ	SUP-POE270	MYH4	5.73
BN12SN5	XZ	WES-PTS225	MYH4	5.75	BO12SN5	XZ	WES-PTS225	MYH4	5.17
BN12SN5	XZ	WHI-BIR180	MYH4	10.32	BO12SN5	XZ	WHI-BIR180	MYH4	9.05
BN12SN5	XZ	WHI-EJS048	MYH4	8.65	BO12SN5	XZ	WHI-EJS048	MYH4	6.57
BN12SN5	YZ	CHI-CHY29N	MYH4	8.85	BO12SN5	YZ	CHI-CHY29N	MYH4	6.82
BN12SN5	YZ	CHI-CHY036W	MYH4	9.47	BO12SN5	YZ	CHI-CHY036W	MYH4	8.03
BN12SN5	YZ	CHI-CHY41N	MYH4	8.79	BO12SN5	YZ	CHI-CHY41N	MYH4	7.53
BN12SN5	YZ	CHI-TCU45N	MYH4	11.33	BO12SN5	YZ	CHI-TCU45N	MYH4	6.86
BN12SN5	YZ	CHI-TCU45W	MYH4	9.60	BO12SN5	YZ	CHI-TCU45W	MYH4	6.38
BN12SN5	YZ	CHI-TCU51N	MYH4	6.53	BO12SN5	YZ	CHI-TCU51N	MYH4	5.30
BN12SN5	YZ	COA-PLE135	MYH4	10.75	BO12SN5	YZ	COA-PLE135	MYH4	8.04
BN12SN5	YZ	IMP-BRA225	MYH4	2.35	BO12SN5	YZ	IMP-BRA225	MYH4	1.50
BN12SN5	YZ	IMP-BRA315	MYH4	4.97	BO12SN5	YZ	IMP-BRA315	MYH4	4.53
BN12SN5	YZ	IMP-ECC002	MYH4	5.82	BO12SN5	YZ	IMP-ECC002	MYH4	4.38
BN12SN5	YZ	IMP-ELC4-140	MYH4	13.59	BO12SN5	YZ	IMP-ELC4-140	MYH4	12.09
BN12SN5	YZ	IRP-STU000	MYH4	5.65	BO12SN5	YZ	IRP-STU000	MYH4	5.67
BN12SN5	YZ	KOB-NIS000	MYH4	8.32	BO12SN5	YZ	KOB-NIS000	MYH4	5.88
BN12SN5	YZ	KOB-NIS090	MYH4	9.67	BO12SN5	YZ	KOB-NIS090	MYH4	7.22
BN12SN5	YZ	KOB-SHI000	MYH4	10.74	BO12SN5	YZ	KOB-SHI000	MYH4	7.38
BN12SN5	YZ	KOC-ARC090	MYH4	3.77	BO12SN5	YZ	KOC-ARC090	MYH4	1.90
BN12SN5	YZ	LOM-G02090	MYH4	7.79	BO12SN5	YZ	LOM-G02090	MYH4	7.75
BN12SN5	YZ	LOM-G03000	MYH4	5.35	BO12SN5	YZ	LOM-G03000	MYH4	4.89
BN12SN5	YZ	LOM-HDA255	MYH4	8.03	BO12SN5	YZ	LOM-HDA255	MYH4	7.77
BN12SN5	YZ	LOM-SVL360	MYH4	4.22	BO12SN5	YZ	LOM-SVL360	MYH4	3.47
BN12SN5	YZ	MOR-G06090	MYH4	11.69	BO12SN5	YZ	MOR-G06090	MYH4	9.13
BN12SN5	YZ	MOR-HAL240	MYH4	9.12	BO12SN5	YZ	MOR-HAL240	MYH4	9.65
BN12SN5	YZ	NOR-KAT090	MYH4	10.76	BO12SN5	YZ	NOR-KAT090	MYH4	7.79
BN12SN5	YZ	NOR-SCR090	MYH4	7.73	BO12SN5	YZ	NOR-SCR090	MYH4	4.94
BN12SN5	YZ	NOR-STN020	MYH4	10.09	BO12SN5	YZ	NOR-STN020	MYH4	7.72
BN12SN5	YZ	NPAL-WWT180	MYH4	7.03	BO12SN5	YZ	NPAL-WWT180	MYH4	6.38
BN12SN5	YZ	SUP-POE270	MYH4	7.54	BO12SN5	YZ	SUP-POE270	MYH4	6.79
BN12SN5	YZ	WES-PTS225	MYH4	6.26	BO12SN5	YZ	WES-PTS225	MYH4	5.35
BN12SN5	YZ	WHI-BIR180	MYH4	13.49	BO12SN5	YZ	WHI-BIR180	MYH4	9.88
BN12SN5	YZ	WHI-EJS048	MYH4	10.71	BO12SN5	YZ	WHI-EJS048	MYH4	6.38
BN12SN5	XZ	CAP-RIO270	MYH5	12.37	BO12SN5	XZ	CAP-RIO270	MYH5	12.15
BN12SN5	XZ	CAP-RIO360	MYH5	8.00	BO12SN5	XZ	CAP-RIO360	MYH5	7.88
BN12SN5	XZ	CHI-TCU046W	MYH5	4.13	BO12SN5	XZ	CHI-TCU046W	MYH5	3.61
BN12SN5	XZ	CHI-TCU061N	MYH5	5.52	BO12SN5	XZ	CHI-TCU061N	MYH5	4.55

Tablo C.1 (devam): Mevcut binalara ait yerdeğiştirme talepleri

Bina Adı	Analiz Yönü	İvme Kaydı	MYH Grup No	Δ_d (cm)	Bina Adı	Analiz Yönü	İvme Kaydı	MYH Grup No	Δ_d (cm)
BN12SN5	XZ	CHI-TCU74N	MYH5	12.87	BO12SN5	XZ	CHI-TCU74N	MYH5	12.41
BN12SN5	XZ	CHI-TCU112-W	MYH5	2.61	BO12SN5	XZ	CHI-TCU112-W	MYH5	2.29
BN12SN5	XZ	CHI-TCU123-W	MYH5	6.40	BO12SN5	XZ	CHI-TCU123-W	MYH5	6.43
BN12SN5	XZ	CHI-TCU141-E	MYH5	4.21	BO12SN5	XZ	CHI-TCU141-E	MYH5	3.83
BN12SN5	XZ	CHI-WNTN	MYH5	9.35	BO12SN5	XZ	CHI-WNTN	MYH5	12.40
BN12SN5	XZ	COA-Z14000	MYH5	11.68	BO12SN5	XZ	COA-Z14000	MYH5	11.71
BN12SN5	XZ	IMP-AER045	MYH5	5.94	BO12SN5	XZ	IMP-AER045	MYH5	5.68
BN12SN5	XZ	IMP-ELC3-230	MYH5	3.65	BO12SN5	XZ	IMP-ELC3-230	MYH5	3.50
BN12SN5	XZ	IMP-ELC11-230	MYH5	7.12	BO12SN5	XZ	IMP-ELC11-230	MYH5	6.32
BN12SN5	XZ	IMP-ELCD-360	MYH5	9.12	BO12SN5	XZ	IMP-ELCD-360	MYH5	12.95
BN12SN5	XZ	KOC-AMB000	MYH5	6.50	BO12SN5	XZ	KOC-AMB000	MYH5	6.55
BN12SN5	XZ	LAN-CLVTR	MYH5	13.53	BO12SN5	XZ	LAN-CLVTR	MYH5	14.29
BN12SN5	XZ	LAN-JOS090	MYH5	9.07	BO12SN5	XZ	LAN-JOS090	MYH5	10.87
BN12SN5	XZ	LOM-CYC285	MYH5	9.84	BO12SN5	XZ	LOM-CYC285	MYH5	11.64
BN12SN5	XZ	LOM-GOF090	MYH5	5.47	BO12SN5	XZ	LOM-GOF090	MYH5	6.81
BN12SN5	XZ	LOM-HDA165	MYH5	8.49	BO12SN5	XZ	LOM-HDA165	MYH5	9.64
BN12SN5	XZ	LOM-SAR000	MYH5	8.92	BO12SN5	XZ	LOM-SAR000	MYH5	12.58
BN12SN5	XZ	LOM-SAR090	MYH5	4.51	BO12SN5	XZ	LOM-SAR090	MYH5	4.62
BN12SN5	XZ	NOR-KAT000	MYH5	9.87	BO12SN5	XZ	NOR-KAT000	MYH5	11.87
BN12SN5	XZ	NOR-LOS000	MYH5	10.09	BO12SN5	XZ	NOR-LOS000	MYH5	11.84
BN12SN5	XZ	NOR-MU2035	MYH5	6.91	BO12SN5	XZ	NOR-MU2035	MYH5	8.05
BN12SN5	XZ	NOR-STM090	MYH5	10.32	BO12SN5	XZ	NOR-STM090	MYH5	10.39
BN12SN5	XZ	NPAL-MVH135	MYH5	6.50	BO12SN5	XZ	NPAL-MVH135	MYH5	7.13
BN12SN5	XZ	SUP-ELC090	MYH5	4.15	BO12SN5	XZ	SUP-ELC090	MYH5	3.92
BN12SN5	XZ	SUP-PTS315	MYH5	9.31	BO12SN5	XZ	SUP-PTS315	MYH5	10.52
BN12SN5	XZ	SUP-SUP135	MYH5	11.35	BO12SN5	XZ	SUP-SUP135	MYH5	7.52
BN12SN5	YZ	CAP-RIO270	MYH5	12.10	BO12SN5	YZ	CAP-RIO270	MYH5	10.56
BN12SN5	YZ	CAP-RIO360	MYH5	7.90	BO12SN5	YZ	CAP-RIO360	MYH5	8.18
BN12SN5	YZ	CHI-TCU046W	MYH5	3.58	BO12SN5	YZ	CHI-TCU046W	MYH5	2.31
BN12SN5	YZ	CHI-TCU061N	MYH5	4.78	BO12SN5	YZ	CHI-TCU061N	MYH5	2.85
BN12SN5	YZ	CHI-TCU74N	MYH5	10.79	BO12SN5	YZ	CHI-TCU74N	MYH5	8.06
BN12SN5	YZ	CHI-TCU112-W	MYH5	2.88	BO12SN5	YZ	CHI-TCU112-W	MYH5	1.65
BN12SN5	YZ	CHI-TCU123-W	MYH5	5.01	BO12SN5	YZ	CHI-TCU123-W	MYH5	4.55
BN12SN5	YZ	CHI-TCU141-E	MYH5	2.99	BO12SN5	YZ	CHI-TCU141-E	MYH5	1.91
BN12SN5	YZ	CHI-WNTN	MYH5	11.20	BO12SN5	YZ	CHI-WNTN	MYH5	8.37
BN12SN5	YZ	COA-Z14000	MYH5	6.51	BO12SN5	YZ	COA-Z14000	MYH5	8.85
BN12SN5	YZ	IMP-AER045	MYH5	6.76	BO12SN5	YZ	IMP-AER045	MYH5	3.80
BN12SN5	YZ	IMP-ELC3-230	MYH5	5.26	BO12SN5	YZ	IMP-ELC3-230	MYH5	3.19
BN12SN5	YZ	IMP-ELC11-230	MYH5	7.26	BO12SN5	YZ	IMP-ELC11-230	MYH5	4.35
BN12SN5	YZ	IMP-ELCD-360	MYH5	9.80	BO12SN5	YZ	IMP-ELCD-360	MYH5	9.50
BN12SN5	YZ	KOC-AMB000	MYH5	6.92	BO12SN5	YZ	KOC-AMB000	MYH5	4.40
BN12SN5	YZ	LAN-CLVTR	MYH5	13.32	BO12SN5	YZ	LAN-CLVTR	MYH5	12.49
BN12SN5	YZ	LAN-JOS090	MYH5	11.96	BO12SN5	YZ	LAN-JOS090	MYH5	8.16
BN12SN5	YZ	LOM-CYC285	MYH5	11.62	BO12SN5	YZ	LOM-CYC285	MYH5	7.55
BN12SN5	YZ	LOM-GOF090	MYH5	5.75	BO12SN5	YZ	LOM-GOF090	MYH5	5.58
BN12SN5	YZ	LOM-HDA165	MYH5	8.80	BO12SN5	YZ	LOM-HDA165	MYH5	7.27
BN12SN5	YZ	LOM-SAR000	MYH5	8.81	BO12SN5	YZ	LOM-SAR000	MYH5	9.89
BN12SN5	YZ	LOM-SAR090	MYH5	5.42	BO12SN5	YZ	LOM-SAR090	MYH5	3.92
BN12SN5	YZ	NOR-KAT000	MYH5	13.21	BO12SN5	YZ	NOR-KAT000	MYH5	7.82
BN12SN5	YZ	NOR-LOS000	MYH5	13.03	BO12SN5	YZ	NOR-LOS000	MYH5	11.61
BN12SN5	YZ	NOR-MU2035	MYH5	6.40	BO12SN5	YZ	NOR-MU2035	MYH5	4.25
BN12SN5	YZ	NOR-STM090	MYH5	6.41	BO12SN5	YZ	NOR-STM090	MYH5	6.58
BN12SN5	YZ	NPAL-MVH135	MYH5	7.55	BO12SN5	YZ	NPAL-MVH135	MYH5	5.65
BN12SN5	YZ	SUP-ELC090	MYH5	4.27	BO12SN5	YZ	SUP-ELC090	MYH5	4.21
BN12SN5	YZ	SUP-PTS315	MYH5	11.49	BO12SN5	YZ	SUP-PTS315	MYH5	7.18
BN12SN5	YZ	SUP-SUP135	MYH5	10.85	BO12SN5	YZ	SUP-SUP135	MYH5	7.40
BN12SN5	XZ	CAP-PET000	MYH6	12.82	BO12SN5	XZ	CAP-PET000	MYH6	13.99
BN12SN5	XZ	CHI-CHY025W	MYH6	5.02	BO12SN5	XZ	CHI-CHY025W	MYH6	5.94
BN12SN5	XZ	CHI-CHY034-N	MYH6	10.69	BO12SN5	XZ	CHI-CHY034-N	MYH6	9.09

Tablo C.1 (devam): Mevcut binalara ait yerdeğiştirme talepleri

Bina Adı	Analiz Yönü	İvme Kaydı	MYH Grup No	Δ_d (cm)	Bina Adı	Analiz Yönü	İvme Kaydı	MYH Grup No	Δ_d (cm)
BN12SN5	XZ	CHI-TCU038N	MYH6	5.51	BO12SN5	XZ	CHI-TCU038N	MYH6	6.26
BN12SN5	XZ	CHI-TCU038W	MYH6	5.81	BO12SN5	XZ	CHI-TCU038W	MYH6	4.83
BN12SN5	XZ	CHI-TCU048N	MYH6	4.64	BO12SN5	XZ	CHI-TCU048N	MYH6	4.31
BN12SN5	XZ	CHI-TCU49W	MYH6	4.76	BO12SN5	XZ	CHI-TCU49W	MYH6	5.18
BN12SN5	XZ	CHI-TCU51W	MYH6	4.74	BO12SN5	XZ	CHI-TCU51W	MYH6	4.29
BN12SN5	XZ	CHI-TCU95N	MYH6	5.73	BO12SN5	XZ	CHI-TCU95N	MYH6	4.86
BN12SN5	XZ	CHI-TCU104-N	MYH6	2.54	BO12SN5	XZ	CHI-TCU104-N	MYH6	2.60
BN12SN5	XZ	CHI-TCU106-W	MYH6	4.72	BO12SN5	XZ	CHI-TCU106-W	MYH6	5.15
BN12SN5	XZ	CHI-TCU107-N	MYH6	6.24	BO12SN5	XZ	CHI-TCU107-N	MYH6	5.69
BN12SN5	XZ	COY-G06230	MYH6	9.88	BO12SN5	XZ	COY-G06230	MYH6	12.30
BN12SN5	XZ	IMP-E10050	MYH6	2.81	BO12SN5	XZ	IMP-E10050	MYH6	2.95
BN12SN5	XZ	IMP-ELC3-140	MYH6	7.82	BO12SN5	XZ	IMP-ELC3-140	MYH6	9.14
BN12SN5	XZ	IMP-ELC5-140	MYH6	7.75	BO12SN5	XZ	IMP-ELC5-140	MYH6	7.46
BN12SN5	XZ	IMP-ELC7-140	MYH6	10.87	BO12SN5	XZ	IMP-ELC7-140	MYH6	12.14
BN12SN5	XZ	IMP-ELC8-230	MYH6	7.09	BO12SN5	XZ	IMP-ELC8-230	MYH6	6.44
BN12SN5	XZ	IMP-HVP225	MYH6	6.05	BO12SN5	XZ	IMP-HVP225	MYH6	6.88
BN12SN5	XZ	KOC-DZC270	MYH6	6.94	BO12SN5	XZ	KOC-DZC270	MYH6	10.40
BN12SN5	XZ	LOM-BRN090	MYH6	12.77	BO12SN5	XZ	LOM-BRN090	MYH6	7.69
BN12SN5	XZ	LOM-COR090	MYH6	10.19	BO12SN5	XZ	LOM-COR090	MYH6	12.42
BN12SN5	XZ	LOM-G03090	MYH6	8.53	BO12SN5	XZ	LOM-G03090	MYH6	9.14
BN12SN5	XZ	LOM-HCH180	MYH6	9.38	BO12SN5	XZ	LOM-HCH180	MYH6	10.32
BN12SN5	XZ	NAH-S1010	MYH6	9.02	BO12SN5	XZ	NAH-S1010	MYH6	6.93
BN12SN5	XZ	NAH-S1280	MYH6	6.63	BO12SN5	XZ	NAH-S1280	MYH6	6.08
BN12SN5	XZ	NOR-LOS270	MYH6	10.11	BO12SN5	XZ	NOR-LOS270	MYH6	10.27
BN12SN5	XZ	NOR-PAC175	MYH6	6.54	BO12SN5	XZ	NOR-PAC175	MYH6	6.43
BN12SN5	XZ	SUP-ELC000	MYH6	10.88	BO12SN5	XZ	SUP-ELC000	MYH6	12.03
BN12SN5	XZ	WES-WSM090	MYH6	7.83	BO12SN5	XZ	WES-WSM090	MYH6	10.49
BN12SN5	YZ	CAP-PET000	MYH6	13.93	BO12SN5	YZ	CAP-PET000	MYH6	12.59
BN12SN5	YZ	CHI-CHY025W	MYH6	6.24	BO12SN5	YZ	CHI-CHY025W	MYH6	3.90
BN12SN5	YZ	CHI-CHY034-N	MYH6	10.18	BO12SN5	YZ	CHI-CHY034-N	MYH6	8.94
BN12SN5	YZ	CHI-TCU038N	MYH6	5.09	BO12SN5	YZ	CHI-TCU038N	MYH6	3.61
BN12SN5	YZ	CHI-TCU038W	MYH6	5.35	BO12SN5	YZ	CHI-TCU038W	MYH6	3.05
BN12SN5	YZ	CHI-TCU048N	MYH6	5.21	BO12SN5	YZ	CHI-TCU048N	MYH6	3.57
BN12SN5	YZ	CHI-TCU49W	MYH6	6.74	BO12SN5	YZ	CHI-TCU49W	MYH6	3.98
BN12SN5	YZ	CHI-TCU51W	MYH6	4.95	BO12SN5	YZ	CHI-TCU51W	MYH6	3.73
BN12SN5	YZ	CHI-TCU95N	MYH6	7.13	BO12SN5	YZ	CHI-TCU95N	MYH6	4.61
BN12SN5	YZ	CHI-TCU104-N	MYH6	3.01	BO12SN5	YZ	CHI-TCU104-N	MYH6	1.56
BN12SN5	YZ	CHI-TCU106-W	MYH6	5.16	BO12SN5	YZ	CHI-TCU106-W	MYH6	4.15
BN12SN5	YZ	CHI-TCU107-N	MYH6	5.07	BO12SN5	YZ	CHI-TCU107-N	MYH6	3.94
BN12SN5	YZ	COY-G06230	MYH6	9.80	BO12SN5	YZ	COY-G06230	MYH6	8.17
BN12SN5	YZ	IMP-E10050	MYH6	3.14	BO12SN5	YZ	IMP-E10050	MYH6	2.66
BN12SN5	YZ	IMP-ELC3-140	MYH6	6.41	BO12SN5	YZ	IMP-ELC3-140	MYH6	6.11
BN12SN5	YZ	IMP-ELC5-140	MYH6	6.85	BO12SN5	YZ	IMP-ELC5-140	MYH6	6.94
BN12SN5	YZ	IMP-ELC7-140	MYH6	12.53	BO12SN5	YZ	IMP-ELC7-140	MYH6	7.27
BN12SN5	YZ	IMP-ELC8-230	MYH6	6.74	BO12SN5	YZ	IMP-ELC8-230	MYH6	5.34
BN12SN5	YZ	IMP-HVP225	MYH6	6.17	BO12SN5	YZ	IMP-HVP225	MYH6	5.31
BN12SN5	YZ	KOC-DZC270	MYH6	7.33	BO12SN5	YZ	KOC-DZC270	MYH6	5.85
BN12SN5	YZ	LOM-BRN090	MYH6	12.24	BO12SN5	YZ	LOM-BRN090	MYH6	11.19
BN12SN5	YZ	LOM-COR090	MYH6	13.65	BO12SN5	YZ	LOM-COR090	MYH6	8.57
BN12SN5	YZ	LOM-G03090	MYH6	6.28	BO12SN5	YZ	LOM-G03090	MYH6	5.25
BN12SN5	YZ	LOM-HCH180	MYH6	10.06	BO12SN5	YZ	LOM-HCH180	MYH6	6.54
BN12SN5	YZ	NAH-S1010	MYH6	6.51	BO12SN5	YZ	NAH-S1010	MYH6	6.48
BN12SN5	YZ	NAH-S1280	MYH6	7.11	BO12SN5	YZ	NAH-S1280	MYH6	4.72
BN12SN5	YZ	NOR-LOS270	MYH6	12.67	BO12SN5	YZ	NOR-LOS270	MYH6	8.53
BN12SN5	YZ	NOR-PAC175	MYH6	6.80	BO12SN5	YZ	NOR-PAC175	MYH6	6.04
BN12SN5	YZ	SUP-ELC000	MYH6	7.67	BO12SN5	YZ	SUP-ELC000	MYH6	7.97
BN12SN5	YZ	WES-WSM090	MYH6	10.21	BO12SN5	YZ	WES-WSM090	MYH6	6.93
BN12SN5	XZ	CHI-CHY002-N	MYH7	5.30	BO12SN5	XZ	CHI-CHY002-N	MYH7	5.48
BN12SN5	XZ	CHI-CHY024W	MYH7	7.07	BO12SN5	XZ	CHI-CHY024W	MYH7	8.61

Tablo C.1 (devam): Mevcut binalara ait yerdeğiştirme talepleri

Bina Adı	Analiz Yönü	İvme Kaydı	MYH Grup No	Δ_d (cm)	Bina Adı	Analiz Yönü	İvme Kaydı	MYH Grup No	Δ_d (cm)
BN12SN5	XZ	CHI-CHY104-E	MYH7	6.43	BO12SN5	XZ	CHI-CHY104-E	MYH7	6.29
BN12SN5	XZ	CHI-TCU029N	MYH7	4.93	BO12SN5	XZ	CHI-TCU029N	MYH7	3.81
BN12SN5	XZ	CHI-TCU036N	MYH7	5.02	BO12SN5	XZ	CHI-TCU036N	MYH7	3.78
BN12SN5	XZ	CHI-TCU039N	MYH7	5.27	BO12SN5	XZ	CHI-TCU039N	MYH7	4.57
BN12SN5	XZ	CHI-TCU039W	MYH7	5.22	BO12SN5	XZ	CHI-TCU039W	MYH7	5.73
BN12SN5	XZ	CHI-TCU040N	MYH7	4.30	BO12SN5	XZ	CHI-TCU040N	MYH7	4.35
BN12SN5	XZ	CHI-TCU040W	MYH7	4.00	BO12SN5	XZ	CHI-TCU040W	MYH7	4.34
BN12SN5	XZ	CHI-TCU055N	MYH7	5.79	BO12SN5	XZ	CHI-TCU055N	MYH7	6.14
BN12SN5	XZ	CHI-TCU064N	MYH7	4.08	BO12SN5	XZ	CHI-TCU064N	MYH7	4.17
BN12SN5	XZ	CHI-TCU70W	MYH7	9.22	BO12SN5	XZ	CHI-TCU70W	MYH7	8.03
BN12SN5	XZ	CHI-TCU109-N	MYH7	5.79	BO12SN5	XZ	CHI-TCU109-N	MYH7	5.73
BN12SN5	XZ	CHI-TCU109-W	MYH7	7.94	BO12SN5	XZ	CHI-TCU109-W	MYH7	7.06
BN12SN5	XZ	CHI-TCU115-W	MYH7	2.92	BO12SN5	XZ	CHI-TCU115-W	MYH7	2.88
BN12SN5	XZ	CHI-TCU117-N	MYH7	4.36	BO12SN5	XZ	CHI-TCU117-N	MYH7	3.68
BN12SN5	XZ	IMP-ELC8-140	MYH7	8.47	BO12SN5	XZ	IMP-ELC8-140	MYH7	9.22
BN12SN5	XZ	IMP-HVP315	MYH7	5.12	BO12SN5	XZ	IMP-HVP315	MYH7	4.42
BN12SN5	XZ	IRP-STU270	MYH7	9.07	BO12SN5	XZ	IRP-STU270	MYH7	12.38
BN12SN5	XZ	KOC-GBZ000	MYH7	3.97	BO12SN5	XZ	KOC-GBZ000	MYH7	4.64
BN12SN5	XZ	LAN-YER270	MYH7	8.15	BO12SN5	XZ	LAN-YER270	MYH7	9.25
BN12SN5	XZ	LOM-A02043	MYH7	13.83	BO12SN5	XZ	LOM-A02043	MYH7	16.91
BN12SN5	XZ	LOM-BRN000	MYH7	16.40	BO12SN5	XZ	LOM-BRN000	MYH7	17.29
BN12SN5	XZ	LOM-LGP090	MYH7	10.11	BO12SN5	XZ	LOM-LGP090	MYH7	8.77
BN12SN5	XZ	MOR-CYC195	MYH7	15.44	BO12SN5	XZ	MOR-CYC195	MYH7	13.18
BN12SN5	XZ	NOR-LDM334	MYH7	12.18	BO12SN5	XZ	NOR-LDM334	MYH7	11.78
BN12SN5	XZ	NOR-ORR090	MYH7	13.48	BO12SN5	XZ	NOR-ORR090	MYH7	12.93
BN12SN5	XZ	NOR-ORR360	MYH7	16.82	BO12SN5	XZ	NOR-ORR360	MYH7	23.11
BN12SN5	XZ	NOR-PKC360	MYH7	10.82	BO12SN5	XZ	NOR-PKC360	MYH7	8.81
BN12SN5	XZ	SFD-PCD254	MYH7	12.40	BO12SN5	XZ	SFD-PCD254	MYH7	11.23
BN12SN5	YZ	CHI-CHY002-N	MYH7	4.39	BO12SN5	YZ	CHI-CHY002-N	MYH7	3.24
BN12SN5	YZ	CHI-CHY024W	MYH7	7.62	BO12SN5	YZ	CHI-CHY024W	MYH7	7.73
BN12SN5	YZ	CHI-CHY104-E	MYH7	7.56	BO12SN5	YZ	CHI-CHY104-E	MYH7	4.94
BN12SN5	YZ	CHI-TCU029N	MYH7	5.07	BO12SN5	YZ	CHI-TCU029N	MYH7	2.70
BN12SN5	YZ	CHI-TCU036N	MYH7	4.54	BO12SN5	YZ	CHI-TCU036N	MYH7	3.70
BN12SN5	YZ	CHI-TCU039N	MYH7	6.00	BO12SN5	YZ	CHI-TCU039N	MYH7	3.88
BN12SN5	YZ	CHI-TCU039W	MYH7	7.48	BO12SN5	YZ	CHI-TCU039W	MYH7	6.26
BN12SN5	YZ	CHI-TCU040N	MYH7	4.30	BO12SN5	YZ	CHI-TCU040N	MYH7	3.17
BN12SN5	YZ	CHI-TCU040W	MYH7	3.48	BO12SN5	YZ	CHI-TCU040W	MYH7	2.44
BN12SN5	YZ	CHI-TCU055N	MYH7	5.97	BO12SN5	YZ	CHI-TCU055N	MYH7	3.94
BN12SN5	YZ	CHI-TCU064N	MYH7	3.39	BO12SN5	YZ	CHI-TCU064N	MYH7	2.09
BN12SN5	YZ	CHI-TCU70W	MYH7	8.27	BO12SN5	YZ	CHI-TCU70W	MYH7	7.10
BN12SN5	YZ	CHI-TCU109-N	MYH7	5.15	BO12SN5	YZ	CHI-TCU109-N	MYH7	3.55
BN12SN5	YZ	CHI-TCU109-W	MYH7	6.08	BO12SN5	YZ	CHI-TCU109-W	MYH7	4.14
BN12SN5	YZ	CHI-TCU115-W	MYH7	3.07	BO12SN5	YZ	CHI-TCU115-W	MYH7	2.11
BN12SN5	YZ	CHI-TCU117-N	MYH7	4.35	BO12SN5	YZ	CHI-TCU117-N	MYH7	2.70
BN12SN5	YZ	IMP-ELC8-140	MYH7	9.69	BO12SN5	YZ	IMP-ELC8-140	MYH7	7.35
BN12SN5	YZ	IMP-HVP315	MYH7	4.62	BO12SN5	YZ	IMP-HVP315	MYH7	3.29
BN12SN5	YZ	IRP-STU270	MYH7	6.17	BO12SN5	YZ	IRP-STU270	MYH7	4.34
BN12SN5	YZ	KOC-GBZ000	MYH7	3.96	BO12SN5	YZ	KOC-GBZ000	MYH7	4.47
BN12SN5	YZ	LAN-YER270	MYH7	8.47	BO12SN5	YZ	LAN-YER270	MYH7	7.57
BN12SN5	YZ	LOM-A02043	MYH7	9.82	BO12SN5	YZ	LOM-A02043	MYH7	12.23
BN12SN5	YZ	LOM-BRN000	MYH7	11.63	BO12SN5	YZ	LOM-BRN000	MYH7	11.65
BN12SN5	YZ	LOM-LGP090	MYH7	11.61	BO12SN5	YZ	LOM-LGP090	MYH7	7.68
BN12SN5	YZ	MOR-CYC195	MYH7	17.67	BO12SN5	YZ	MOR-CYC195	MYH7	14.99
BN12SN5	YZ	NOR-LDM334	MYH7	12.83	BO12SN5	YZ	NOR-LDM334	MYH7	11.16
BN12SN5	YZ	NOR-ORR090	MYH7	9.84	BO12SN5	YZ	NOR-ORR090	MYH7	10.25
BN12SN5	YZ	NOR-ORR360	MYH7	23.86	BO12SN5	YZ	NOR-ORR360	MYH7	19.09
BN12SN5	YZ	NOR-PKC360	MYH7	14.42	BO12SN5	YZ	NOR-PKC360	MYH7	9.96
BN12SN5	YZ	SFD-PCD254	MYH7	10.11	BO12SN5	YZ	SFD-PCD254	MYH7	11.13
BN12SN5	XZ	CAP-RIO270	MYH8	16.00	BO12SN5	XZ	CAP-RIO270	MYH8	15.87

Tablo C.1 (devam): Mevcut binalara ait yerdeğiştirme talepleri

Bina Adı	Analiz Yönü	İvme Kaydı	MYH Grup No	Δ_d (cm)	Bina Adı	Analiz Yönü	İvme Kaydı	MYH Grup No	Δ_d (cm)
BN12SN5	XZ	CAP-RIO360	MYH8	11.34	BO12SN5	XZ	CAP-RIO360	MYH8	11.25
BN12SN5	XZ	CHI-CHY006-E	MYH8	10.81	BO12SN5	XZ	CHI-CHY006-E	MYH8	10.91
BN12SN5	XZ	CHI-CHY092-E	MYH8	4.41	BO12SN5	XZ	CHI-CHY092-E	MYH8	4.15
BN12SN5	XZ	CHI-CHY104-N	MYH8	8.86	BO12SN5	XZ	CHI-CHY104-N	MYH8	8.06
BN12SN5	XZ	CHI-TCU054W	MYH8	5.06	BO12SN5	XZ	CHI-TCU054W	MYH8	4.67
BN12SN5	XZ	CHI-TCU059N	MYH8	5.30	BO12SN5	XZ	CHI-TCU059N	MYH8	5.67
BN12SN5	XZ	CHI-TCU059W	MYH8	5.99	BO12SN5	XZ	CHI-TCU059W	MYH8	6.49
BN12SN5	XZ	CHI-TCU063W	MYH8	7.72	BO12SN5	XZ	CHI-TCU063W	MYH8	7.00
BN12SN5	XZ	CHI-TCU072N	MYH8	13.67	BO12SN5	XZ	CHI-TCU072N	MYH8	23.10
BN12SN5	XZ	CHI-TCU82W	MYH8	6.15	BO12SN5	XZ	CHI-TCU82W	MYH8	6.40
BN12SN5	XZ	CHI-TCU110-N	MYH8	6.36	BO12SN5	XZ	CHI-TCU110-N	MYH8	11.82
BN12SN5	XZ	CHI-TCU111-W	MYH8	5.14	BO12SN5	XZ	CHI-TCU111-W	MYH8	6.03
BN12SN5	XZ	CHI-TCU117-W	MYH8	5.50	BO12SN5	XZ	CHI-TCU117-W	MYH8	5.22
BN12SN5	XZ	CHI-TCU136-E	MYH8	7.79	BO12SN5	XZ	CHI-TCU136-E	MYH8	6.83
BN12SN5	XZ	DZC-BOL000	MYH8	11.40	BO12SN5	XZ	DZC-BOL000	MYH8	12.67
BN12SN5	XZ	IMP-ELC3-140	MYH8	9.98	BO12SN5	XZ	IMP-ELC3-140	MYH8	11.98
BN12SN5	XZ	IMP-ELC3-230	MYH8	5.10	BO12SN5	XZ	IMP-ELC3-230	MYH8	5.44
BN12SN5	XZ	IRP-STU270	MYH8	10.48	BO12SN5	XZ	IRP-STU270	MYH8	15.17
BN12SN5	XZ	KOC-DZC180	MYH8	7.89	BO12SN5	XZ	KOC-DZC180	MYH8	8.25
BN12SN5	XZ	KOC-DZC270	MYH8	10.05	BO12SN5	XZ	KOC-DZC270	MYH8	16.59
BN12SN5	XZ	KOC-GBZ000	MYH8	4.43	BO12SN5	XZ	KOC-GBZ000	MYH8	5.67
BN12SN5	XZ	LAN-CLVTR	MYH8	18.73	BO12SN5	XZ	LAN-CLVTR	MYH8	21.50
BN12SN5	XZ	LAN-YER270	MYH8	9.29	BO12SN5	XZ	LAN-YER270	MYH8	11.27
BN12SN5	XZ	LOM-COR000	MYH8	12.06	BO12SN5	XZ	LOM-COR000	MYH8	13.37
BN12SN5	XZ	NOR-MUL009	MYH8	14.95	BO12SN5	XZ	NOR-MUL009	MYH8	11.41
BN12SN5	XZ	NOR-PUL104	MYH8	12.75	BO12SN5	XZ	NOR-PUL104	MYH8	16.62
BN12SN5	XZ	NPAL-MVH135	MYH8	9.43	BO12SN5	XZ	NPAL-MVH135	MYH8	14.75
BN12SN5	XZ	SUP-ELC000	MYH8	14.58	BO12SN5	XZ	SUP-ELC000	MYH8	15.15
BN12SN5	XZ	SUP-ELC090	MYH8	5.87	BO12SN5	XZ	SUP-ELC090	MYH8	5.71
BN12SN5	YZ	CAP-RIO270	MYH8	16.16	BO12SN5	YZ	CAP-RIO270	MYH8	14.12
BN12SN5	YZ	CAP-RIO360	MYH8	11.03	BO12SN5	YZ	CAP-RIO360	MYH8	11.49
BN12SN5	YZ	CHI-CHY006-E	MYH8	11.26	BO12SN5	YZ	CHI-CHY006-E	MYH8	10.03
BN12SN5	YZ	CHI-CHY092-E	MYH8	4.33	BO12SN5	YZ	CHI-CHY092-E	MYH8	2.09
BN12SN5	YZ	CHI-CHY104-N	MYH8	9.68	BO12SN5	YZ	CHI-CHY104-N	MYH8	6.33
BN12SN5	YZ	CHI-TCU054W	MYH8	4.60	BO12SN5	YZ	CHI-TCU054W	MYH8	3.12
BN12SN5	YZ	CHI-TCU059N	MYH8	5.32	BO12SN5	YZ	CHI-TCU059N	MYH8	3.89
BN12SN5	YZ	CHI-TCU059W	MYH8	6.95	BO12SN5	YZ	CHI-TCU059W	MYH8	4.66
BN12SN5	YZ	CHI-TCU063W	MYH8	6.32	BO12SN5	YZ	CHI-TCU063W	MYH8	5.68
BN12SN5	YZ	CHI-TCU072N	MYH8	16.89	BO12SN5	YZ	CHI-TCU072N	MYH8	15.37
BN12SN5	YZ	CHI-TCU82W	MYH8	5.01	BO12SN5	YZ	CHI-TCU82W	MYH8	4.01
BN12SN5	YZ	CHI-TCU110-N	MYH8	7.94	BO12SN5	YZ	CHI-TCU110-N	MYH8	6.95
BN12SN5	YZ	CHI-TCU111-W	MYH8	4.45	BO12SN5	YZ	CHI-TCU111-W	MYH8	4.11
BN12SN5	YZ	CHI-TCU117-W	MYH8	4.88	BO12SN5	YZ	CHI-TCU117-W	MYH8	3.50
BN12SN5	YZ	CHI-TCU136-E	MYH8	6.53	BO12SN5	YZ	CHI-TCU136-E	MYH8	5.45
BN12SN5	YZ	DZC-BOL000	MYH8	11.94	BO12SN5	YZ	DZC-BOL000	MYH8	9.51
BN12SN5	YZ	IMP-ELC3-140	MYH8	7.72	BO12SN5	YZ	IMP-ELC3-140	MYH8	8.40
BN12SN5	YZ	IMP-ELC3-230	MYH8	6.15	BO12SN5	YZ	IMP-ELC3-230	MYH8	4.34
BN12SN5	YZ	IRP-STU270	MYH8	6.91	BO12SN5	YZ	IRP-STU270	MYH8	4.91
BN12SN5	YZ	KOC-DZC180	MYH8	7.37	BO12SN5	YZ	KOC-DZC180	MYH8	7.24
BN12SN5	YZ	KOC-DZC270	MYH8	8.35	BO12SN5	YZ	KOC-DZC270	MYH8	8.92
BN12SN5	YZ	KOC-GBZ000	MYH8	4.30	BO12SN5	YZ	KOC-GBZ000	MYH8	5.10
BN12SN5	YZ	LAN-CLVTR	MYH8	17.25	BO12SN5	YZ	LAN-CLVTR	MYH8	17.18
BN12SN5	YZ	LAN-YER270	MYH8	9.59	BO12SN5	YZ	LAN-YER270	MYH8	9.11
BN12SN5	YZ	LOM-COR000	MYH8	11.98	BO12SN5	YZ	LOM-COR000	MYH8	11.62
BN12SN5	YZ	NOR-MUL009	MYH8	13.77	BO12SN5	YZ	NOR-MUL009	MYH8	11.88
BN12SN5	YZ	NOR-PUL104	MYH8	17.37	BO12SN5	YZ	NOR-PUL104	MYH8	14.64
BN12SN5	YZ	NPAL-MVH135	MYH8	10.28	BO12SN5	YZ	NPAL-MVH135	MYH8	7.62
BN12SN5	YZ	SUP-ELC000	MYH8	10.63	BO12SN5	YZ	SUP-ELC000	MYH8	11.67
BN12SN5	YZ	SUP-ELC090	MYH8	6.37	BO12SN5	YZ	SUP-ELC090	MYH8	6.49

Tablo C.1 (devam): Mevcut binalara ait yerdeğiştirme talepleri

Bina Adı	Analiz Yönü	İvme Kaydı	MYH Grup No	Δ_d (cm)	Bina Adı	Analiz Yönü	İvme Kaydı	MYH Grup No	Δ_d (cm)
BN12SN5	XZ	CHI-TCU036W	MYH9	5.80	BO12SN5	XZ	CHI-TCU036W	MYH9	5.69
BN12SN5	XZ	CHI-TCU49N	MYH9	9.11	BO12SN5	XZ	CHI-TCU49N	MYH9	7.34
BN12SN5	XZ	CHI-TCU70N	MYH9	6.53	BO12SN5	XZ	CHI-TCU70N	MYH9	6.47
BN12SN5	XZ	CHI-TCU76N	MYH9	15.64	BO12SN5	XZ	CHI-TCU76N	MYH9	18.67
BN12SN5	XZ	CHI-TCU76W	MYH9	6.18	BO12SN5	XZ	CHI-TCU76W	MYH9	7.20
BN12SN5	XZ	CHI-TCU079-W	MYH9	13.40	BO12SN5	XZ	CHI-TCU079-W	MYH9	12.80
BN12SN5	XZ	CHI-TCU95W	MYH9	8.75	BO12SN5	XZ	CHI-TCU95W	MYH9	7.26
BN12SN5	XZ	CHI-TCU103-W	MYH9	3.73	BO12SN5	XZ	CHI-TCU103-W	MYH9	3.97
BN12SN5	XZ	CHI-TCU120-W	MYH9	6.39	BO12SN5	XZ	CHI-TCU120-W	MYH9	8.85
BN12SN5	XZ	CHI-TCU129-W	MYH9	10.76	BO12SN5	XZ	CHI-TCU129-W	MYH9	14.98
BN12SN5	XZ	COA-PLE045	MYH9	11.39	BO12SN5	XZ	COA-PLE045	MYH9	15.94
BN12SN5	XZ	DZC-BOL000	MYH9	13.17	BO12SN5	XZ	DZC-BOL000	MYH9	13.98
BN12SN5	XZ	DZC-BOL090	MYH9	23.31	BO12SN5	XZ	DZC-BOL090	MYH9	17.55
BN12SN5	XZ	DZC-DZC180	MYH9	10.39	BO12SN5	XZ	DZC-DZC180	MYH9	7.98
BN12SN5	XZ	ERZ-ERZEW	MYH9	15.50	BO12SN5	XZ	ERZ-ERZEW	MYH9	19.07
BN12SN5	XZ	IMP-ELC3-140	MYH9	11.09	BO12SN5	XZ	IMP-ELC3-140	MYH9	13.36
BN12SN5	XZ	IMP-HVP315	MYH9	5.71	BO12SN5	XZ	IMP-HVP315	MYH9	5.95
BN12SN5	XZ	IRP-STU270	MYH9	12.09	BO12SN5	XZ	IRP-STU270	MYH9	17.48
BN12SN5	XZ	KOC-DZC180	MYH9	8.54	BO12SN5	XZ	KOC-DZC180	MYH9	8.32
BN12SN5	XZ	KOC-GBZ000	MYH9	4.65	BO12SN5	XZ	KOC-GBZ000	MYH9	6.49
BN12SN5	XZ	KOC-YAR330	MYH9	8.24	BO12SN5	XZ	KOC-YAR330	MYH9	9.72
BN12SN5	XZ	LAN-YER270	MYH9	10.26	BO12SN5	XZ	LAN-YER270	MYH9	12.83
BN12SN5	XZ	LOM-BRN000	MYH9	20.69	BO12SN5	XZ	LOM-BRN000	MYH9	19.79
BN12SN5	XZ	LOM-HSP000	MYH9	16.63	BO12SN5	XZ	LOM-HSP000	MYH9	14.02
BN12SN5	XZ	LOM-WVC270	MYH9	10.28	BO12SN5	XZ	LOM-WVC270	MYH9	12.19
BN12SN5	XZ	NOR-CNP196	MYH9	11.49	BO12SN5	XZ	NOR-CNP196	MYH9	9.06
BN12SN5	XZ	NOR-LDM064	MYH9	16.99	BO12SN5	XZ	NOR-LDM064	MYH9	14.58
BN12SN5	XZ	NOR-MUL279	MYH9	20.25	BO12SN5	XZ	NOR-MUL279	MYH9	23.52
BN12SN5	XZ	NOR-SAT180	MYH9	15.25	BO12SN5	XZ	NOR-SAT180	MYH9	18.60
BN12SN5	XZ	SUP-ELC000	MYH9	16.27	BO12SN5	XZ	SUP-ELC000	MYH9	16.71
BN12SN5	YZ	CHI-TCU036W	MYH9	4.14	BO12SN5	YZ	CHI-TCU036W	MYH9	3.63
BN12SN5	YZ	CHI-TCU49N	MYH9	6.75	BO12SN5	YZ	CHI-TCU49N	MYH9	5.11
BN12SN5	YZ	CHI-TCU70N	MYH9	8.04	BO12SN5	YZ	CHI-TCU70N	MYH9	4.65
BN12SN5	YZ	CHI-TCU76N	MYH9	14.70	BO12SN5	YZ	CHI-TCU76N	MYH9	13.30
BN12SN5	YZ	CHI-TCU76W	MYH9	4.84	BO12SN5	YZ	CHI-TCU76W	MYH9	3.45
BN12SN5	YZ	CHI-TCU079-W	MYH9	15.71	BO12SN5	YZ	CHI-TCU079-W	MYH9	9.46
BN12SN5	YZ	CHI-TCU95W	MYH9	7.72	BO12SN5	YZ	CHI-TCU95W	MYH9	7.16
BN12SN5	YZ	CHI-TCU103-W	MYH9	3.49	BO12SN5	YZ	CHI-TCU103-W	MYH9	2.91
BN12SN5	YZ	CHI-TCU120-W	MYH9	6.21	BO12SN5	YZ	CHI-TCU120-W	MYH9	4.40
BN12SN5	YZ	CHI-TCU129-W	MYH9	9.93	BO12SN5	YZ	CHI-TCU129-W	MYH9	9.85
BN12SN5	YZ	COA-PLE045	MYH9	15.83	BO12SN5	YZ	COA-PLE045	MYH9	14.04
BN12SN5	YZ	DZC-BOL000	MYH9	13.22	BO12SN5	YZ	DZC-BOL000	MYH9	11.41
BN12SN5	YZ	DZC-BOL090	MYH9	27.35	BO12SN5	YZ	DZC-BOL090	MYH9	21.96
BN12SN5	YZ	DZC-DZC180	MYH9	11.87	BO12SN5	YZ	DZC-DZC180	MYH9	10.70
BN12SN5	YZ	ERZ-ERZEW	MYH9	15.08	BO12SN5	YZ	ERZ-ERZEW	MYH9	14.80
BN12SN5	YZ	IMP-ELC3-140	MYH9	8.59	BO12SN5	YZ	IMP-ELC3-140	MYH9	9.60
BN12SN5	YZ	IMP-HVP315	MYH9	5.16	BO12SN5	YZ	IMP-HVP315	MYH9	4.22
BN12SN5	YZ	IRP-STU270	MYH9	7.76	BO12SN5	YZ	IRP-STU270	MYH9	6.11
BN12SN5	YZ	KOC-DZC180	MYH9	7.96	BO12SN5	YZ	KOC-DZC180	MYH9	7.78
BN12SN5	YZ	KOC-GBZ000	MYH9	4.63	BO12SN5	YZ	KOC-GBZ000	MYH9	5.52
BN12SN5	YZ	KOC-YAR330	MYH9	8.86	BO12SN5	YZ	KOC-YAR330	MYH9	6.20
BN12SN5	YZ	LAN-YER270	MYH9	10.63	BO12SN5	YZ	LAN-YER270	MYH9	10.52
BN12SN5	YZ	LOM-BRN000	MYH9	17.07	BO12SN5	YZ	LOM-BRN000	MYH9	16.54
BN12SN5	YZ	LOM-HSP000	MYH9	16.68	BO12SN5	YZ	LOM-HSP000	MYH9	14.42
BN12SN5	YZ	LOM-WVC270	MYH9	8.64	BO12SN5	YZ	LOM-WVC270	MYH9	7.93
BN12SN5	YZ	NOR-CNP196	MYH9	10.66	BO12SN5	YZ	NOR-CNP196	MYH9	8.05
BN12SN5	YZ	NOR-LDM064	MYH9	19.75	BO12SN5	YZ	NOR-LDM064	MYH9	16.21
BN12SN5	YZ	NOR-MUL279	MYH9	15.04	BO12SN5	YZ	NOR-MUL279	MYH9	19.29
BN12SN5	YZ	NOR-SAT180	MYH9	14.99	BO12SN5	YZ	NOR-SAT180	MYH9	12.13

Tablo C.1 (devam): Mevcut binalara ait yerdeğiştirme talepleri

Bina Adı	Analiz Yönü	İvme Kaydı	MYH Grup No	Δ_d (cm)	Bina Adı	Analiz Yönü	İvme Kaydı	MYH Grup No	Δ_d (cm)
BN12SN5	YZ	SUP-ELC000	MYH9	12.28	BO12SN5	YZ	SUP-ELC000	MYH9	13.34
BN12SN5	XZ	CHI-CHY28N	MYH10	20.40	BO12SN5	XZ	CHI-CHY28N	MYH10	13.38
BN12SN5	XZ	CHI-TCU067N	MYH10	10.32	BO12SN5	XZ	CHI-TCU067N	MYH10	11.71
BN12SN5	XZ	CHI-TCU071N	MYH10	11.29	BO12SN5	XZ	CHI-TCU071N	MYH10	10.16
BN12SN5	XZ	CHI-TCU101-W	MYH10	6.14	BO12SN5	XZ	CHI-TCU101-W	MYH10	7.04
BN12SN5	XZ	CHI-TCU110-W	MYH10	6.41	BO12SN5	XZ	CHI-TCU110-W	MYH10	8.53
BN12SN5	XZ	CHI-TCU128-N	MYH10	6.08	BO12SN5	XZ	CHI-TCU128-N	MYH10	6.31
BN12SN5	XZ	CHI-WGK-E	MYH10	7.99	BO12SN5	XZ	CHI-WGK-E	MYH10	11.18
BN12SN5	XZ	CHI-WNTE	MYH10	9.08	BO12SN5	XZ	CHI-WNTE	MYH10	9.70
BN12SN5	XZ	DZC-BOL000	MYH10	14.58	BO12SN5	XZ	DZC-BOL000	MYH10	15.06
BN12SN5	XZ	DZC-BOL090	MYH10	24.66	BO12SN5	XZ	DZC-BOL090	MYH10	18.37
BN12SN5	XZ	GAZ-KAR000	MYH10	12.10	BO12SN5	XZ	GAZ-KAR000	MYH10	9.93
BN12SN5	XZ	IMP-ECC092	MYH10	9.12	BO12SN5	XZ	IMP-ECC092	MYH10	7.07
BN12SN5	XZ	IMP-ELC3-140	MYH10	12.30	BO12SN5	XZ	IMP-ELC3-140	MYH10	14.66
BN12SN5	XZ	IMP-ELC6-140	MYH10	9.66	BO12SN5	XZ	IMP-ELC6-140	MYH10	8.60
BN12SN5	XZ	IRP-STU270	MYH10	13.75	BO12SN5	XZ	IRP-STU270	MYH10	19.49
BN12SN5	XZ	KOB-TAK000	MYH10	16.47	BO12SN5	XZ	KOB-TAK000	MYH10	13.74
BN12SN5	XZ	KOC-DZC180	MYH10	9.42	BO12SN5	XZ	KOC-DZC180	MYH10	8.11
BN12SN5	XZ	KOC-GBZ000	MYH10	5.09	BO12SN5	XZ	KOC-GBZ000	MYH10	7.37
BN12SN5	XZ	KOC-YAR060	MYH10	6.99	BO12SN5	XZ	KOC-YAR060	MYH10	8.63
BN12SN5	XZ	LAN-YER270	MYH10	11.31	BO12SN5	XZ	LAN-YER270	MYH10	14.54
BN12SN5	XZ	LOM-BRN000	MYH10	22.47	BO12SN5	XZ	LOM-BRN000	MYH10	20.79
BN12SN5	XZ	LOM-G03090	MYH10	13.74	BO12SN5	XZ	LOM-G03090	MYH10	16.81
BN12SN5	XZ	LOM-HSP000	MYH10	18.03	BO12SN5	XZ	LOM-HSP000	MYH10	15.62
BN12SN5	XZ	NOR-CNP196	MYH10	12.17	BO12SN5	XZ	NOR-CNP196	MYH10	10.08
BN12SN5	XZ	NOR-MUL009	MYH10	17.03	BO12SN5	XZ	NOR-MUL009	MYH10	13.52
BN12SN5	XZ	NOR-MUL279	MYH10	22.21	BO12SN5	XZ	NOR-MUL279	MYH10	25.46
BN12SN5	XZ	NOR-ORR090	MYH10	18.65	BO12SN5	XZ	NOR-ORR090	MYH10	17.32
BN12SN5	XZ	NOR-ORR360	MYH10	21.96	BO12SN5	XZ	NOR-ORR360	MYH10	36.39
BN12SN5	XZ	NOR-SAT180	MYH10	16.08	BO12SN5	XZ	NOR-SAT180	MYH10	21.43
BN12SN5	XZ	NOR-WPI316	MYH10	11.15	BO12SN5	XZ	NOR-WPI316	MYH10	10.27
BN12SN5	YZ	CHI-CHY28N	MYH10	32.15	BO12SN5	YZ	CHI-CHY28N	MYH10	18.69
BN12SN5	YZ	CHI-TCU067N	MYH10	9.04	BO12SN5	YZ	CHI-TCU067N	MYH10	8.90
BN12SN5	YZ	CHI-TCU071N	MYH10	11.09	BO12SN5	YZ	CHI-TCU071N	MYH10	8.80
BN12SN5	YZ	CHI-TCU101-W	MYH10	5.15	BO12SN5	YZ	CHI-TCU101-W	MYH10	4.98
BN12SN5	YZ	CHI-TCU110-W	MYH10	6.45	BO12SN5	YZ	CHI-TCU110-W	MYH10	5.87
BN12SN5	YZ	CHI-TCU128-N	MYH10	4.90	BO12SN5	YZ	CHI-TCU128-N	MYH10	3.84
BN12SN5	YZ	CHI-WGK-E	MYH10	9.44	BO12SN5	YZ	CHI-WGK-E	MYH10	5.86
BN12SN5	YZ	CHI-WNTE	MYH10	9.49	BO12SN5	YZ	CHI-WNTE	MYH10	8.18
BN12SN5	YZ	DZC-BOL000	MYH10	14.82	BO12SN5	YZ	DZC-BOL000	MYH10	13.01
BN12SN5	YZ	DZC-BOL090	MYH10	32.14	BO12SN5	YZ	DZC-BOL090	MYH10	22.87
BN12SN5	YZ	GAZ-KAR000	MYH10	11.99	BO12SN5	YZ	GAZ-KAR000	MYH10	7.97
BN12SN5	YZ	IMP-ECC092	MYH10	8.58	BO12SN5	YZ	IMP-ECC092	MYH10	7.76
BN12SN5	YZ	IMP-ELC3-140	MYH10	9.55	BO12SN5	YZ	IMP-ELC3-140	MYH10	10.90
BN12SN5	YZ	IMP-ELC6-140	MYH10	12.98	BO12SN5	YZ	IMP-ELC6-140	MYH10	9.20
BN12SN5	YZ	IRP-STU270	MYH10	8.70	BO12SN5	YZ	IRP-STU270	MYH10	7.50
BN12SN5	YZ	KOB-TAK000	MYH10	16.27	BO12SN5	YZ	KOB-TAK000	MYH10	14.27
BN12SN5	YZ	KOC-DZC180	MYH10	8.79	BO12SN5	YZ	KOC-DZC180	MYH10	8.38
BN12SN5	YZ	KOC-GBZ000	MYH10	4.96	BO12SN5	YZ	KOC-GBZ000	MYH10	5.95
BN12SN5	YZ	KOC-YAR060	MYH10	7.27	BO12SN5	YZ	KOC-YAR060	MYH10	5.30
BN12SN5	YZ	LAN-YER270	MYH10	11.72	BO12SN5	YZ	LAN-YER270	MYH10	12.01
BN12SN5	YZ	LOM-BRN000	MYH10	19.61	BO12SN5	YZ	LOM-BRN000	MYH10	18.46
BN12SN5	YZ	LOM-G03090	MYH10	11.11	BO12SN5	YZ	LOM-G03090	MYH10	10.39
BN12SN5	YZ	LOM-HSP000	MYH10	17.61	BO12SN5	YZ	LOM-HSP000	MYH10	15.60
BN12SN5	YZ	NOR-CNP196	MYH10	11.49	BO12SN5	YZ	NOR-CNP196	MYH10	9.42
BN12SN5	YZ	NOR-MUL009	MYH10	15.24	BO12SN5	YZ	NOR-MUL009	MYH10	13.13
BN12SN5	YZ	NOR-MUL279	MYH10	17.94	BO12SN5	YZ	NOR-MUL279	MYH10	21.77
BN12SN5	YZ	NOR-ORR090	MYH10	14.06	BO12SN5	YZ	NOR-ORR090	MYH10	15.29
BN12SN5	YZ	NOR-ORR360	MYH10	34.00	BO12SN5	YZ	NOR-ORR360	MYH10	26.15

Tablo C.1 (devam): Mevcut binalara ait yerdeğiştirme talepleri

Bina Adı	Analiz Yönü	İvme Kaydı	MYH Grup No	Δ_d (cm)	Bina Adı	Analiz Yönü	İvme Kaydı	MYH Grup No	Δ_d (cm)
BN12SN5	YZ	NOR-SAT180	MYH10	15.72	BO12SN5	YZ	NOR-SAT180	MYH10	14.78
BN12SN5	YZ	NOR-WPI316	MYH10	8.99	BO12SN5	YZ	NOR-WPI316	MYH10	8.45
BN12SN5	XZ	CHI-CHY28W	MYH11	18.43	BO12SN5	XZ	CHI-CHY28W	MYH11	21.26
BN12SN5	XZ	CHI-CHY101W	MYH11	9.91	BO12SN5	XZ	CHI-CHY101W	MYH11	12.18
BN12SN5	XZ	CHI-TCU063N	MYH11	5.04	BO12SN5	XZ	CHI-TCU063N	MYH11	6.10
BN12SN5	XZ	CHI-TCU072W	MYH11	12.64	BO12SN5	XZ	CHI-TCU072W	MYH11	10.95
BN12SN5	XZ	CHI-TCU74W	MYH11	15.75	BO12SN5	XZ	CHI-TCU74W	MYH11	21.75
BN12SN5	XZ	CHI-TCU128-W	MYH11	3.64	BO12SN5	XZ	CHI-TCU128-W	MYH11	4.24
BN12SN5	XZ	CHI-WGK-N	MYH11	13.99	BO12SN5	XZ	CHI-WGK-N	MYH11	25.47
BN12SN5	XZ	COA-PLE045	MYH11	14.88	BO12SN5	XZ	COA-PLE045	MYH11	19.62
BN12SN5	XZ	DZC-BOL000	MYH11	15.94	BO12SN5	XZ	DZC-BOL000	MYH11	16.10
BN12SN5	XZ	DZC-BOL090	MYH11	25.59	BO12SN5	XZ	DZC-BOL090	MYH11	19.35
BN12SN5	XZ	DZC-DZC180	MYH11	11.24	BO12SN5	XZ	DZC-DZC180	MYH11	8.56
BN12SN5	XZ	GAZ-KAR000	MYH11	13.24	BO12SN5	XZ	GAZ-KAR000	MYH11	12.82
BN12SN5	XZ	GAZ-KAR090	MYH11	10.99	BO12SN5	XZ	GAZ-KAR090	MYH11	12.07
BN12SN5	XZ	IMP-ECC092	MYH11	9.30	BO12SN5	XZ	IMP-ECC092	MYH11	7.77
BN12SN5	XZ	IMP-ECM000	MYH11	10.62	BO12SN5	XZ	IMP-ECM000	MYH11	11.89
BN12SN5	XZ	IMP-ELCD-270	MYH11	9.29	BO12SN5	XZ	IMP-ELCD-270	MYH11	10.68
BN12SN5	XZ	IRP-STU270	MYH11	15.45	BO12SN5	XZ	IRP-STU270	MYH11	21.33
BN12SN5	XZ	KOB-KJM090	MYH11	18.94	BO12SN5	XZ	KOB-KJM090	MYH11	22.83
BN12SN5	XZ	KOC-DZC180	MYH11	10.32	BO12SN5	XZ	KOC-DZC180	MYH11	7.69
BN12SN5	XZ	KOC-GBZ000	MYH11	5.68	BO12SN5	XZ	KOC-GBZ000	MYH11	8.33
BN12SN5	XZ	KOC-YAR060	MYH11	6.92	BO12SN5	XZ	KOC-YAR060	MYH11	11.33
BN12SN5	XZ	LOM-HSP000	MYH11	19.39	BO12SN5	XZ	LOM-HSP000	MYH11	17.39
BN12SN5	XZ	LOM-WVC270	MYH11	11.73	BO12SN5	XZ	LOM-WVC270	MYH11	15.85
BN12SN5	XZ	NOR-CNP196	MYH11	12.58	BO12SN5	XZ	NOR-CNP196	MYH11	10.59
BN12SN5	XZ	NOR-MUL009	MYH11	18.31	BO12SN5	XZ	NOR-MUL009	MYH11	15.20
BN12SN5	XZ	NOR-MUL279	MYH11	24.24	BO12SN5	XZ	NOR-MUL279	MYH11	27.45
BN12SN5	XZ	NOR-ORR360	MYH11	23.60	BO12SN5	XZ	NOR-ORR360	MYH11	43.93
BN12SN5	XZ	NOR-RRS318	MYH11	13.33	BO12SN5	XZ	NOR-RRS318	MYH11	12.04
BN12SN5	XZ	NOR-SAT180	MYH11	17.29	BO12SN5	XZ	NOR-SAT180	MYH11	23.79
BN12SN5	XZ	NPAL-NPS210	MYH11	13.98	BO12SN5	XZ	NPAL-NPS210	MYH11	19.39
BN12SN5	YZ	CHI-CHY28W	MYH11	16.60	BO12SN5	YZ	CHI-CHY28W	MYH11	15.21
BN12SN5	YZ	CHI-CHY101W	MYH11	7.59	BO12SN5	YZ	CHI-CHY101W	MYH11	6.46
BN12SN5	YZ	CHI-TCU063N	MYH11	4.41	BO12SN5	YZ	CHI-TCU063N	MYH11	2.88
BN12SN5	YZ	CHI-TCU072W	MYH11	14.43	BO12SN5	YZ	CHI-TCU072W	MYH11	10.60
BN12SN5	YZ	CHI-TCU74W	MYH11	20.75	BO12SN5	YZ	CHI-TCU74W	MYH11	15.85
BN12SN5	YZ	CHI-TCU128-W	MYH11	3.64	BO12SN5	YZ	CHI-TCU128-W	MYH11	2.50
BN12SN5	YZ	CHI-WGK-N	MYH11	17.52	BO12SN5	YZ	CHI-WGK-N	MYH11	14.32
BN12SN5	YZ	COA-PLE045	MYH11	19.49	BO12SN5	YZ	COA-PLE045	MYH11	16.16
BN12SN5	YZ	DZC-BOL000	MYH11	16.80	BO12SN5	YZ	DZC-BOL000	MYH11	14.58
BN12SN5	YZ	DZC-BOL090	MYH11	36.32	BO12SN5	YZ	DZC-BOL090	MYH11	23.64
BN12SN5	YZ	DZC-DZC180	MYH11	13.46	BO12SN5	YZ	DZC-DZC180	MYH11	12.18
BN12SN5	YZ	GAZ-KAR000	MYH11	13.13	BO12SN5	YZ	GAZ-KAR000	MYH11	8.55
BN12SN5	YZ	GAZ-KAR090	MYH11	13.36	BO12SN5	YZ	GAZ-KAR090	MYH11	10.69
BN12SN5	YZ	IMP-ECC092	MYH11	9.14	BO12SN5	YZ	IMP-ECC092	MYH11	8.30
BN12SN5	YZ	IMP-ECM000	MYH11	10.22	BO12SN5	YZ	IMP-ECM000	MYH11	10.57
BN12SN5	YZ	IMP-ELCD-270	MYH11	10.36	BO12SN5	YZ	IMP-ELCD-270	MYH11	6.85
BN12SN5	YZ	IRP-STU270	MYH11	9.74	BO12SN5	YZ	IRP-STU270	MYH11	9.08
BN12SN5	YZ	KOB-KJM090	MYH11	24.28	BO12SN5	YZ	KOB-KJM090	MYH11	20.88
BN12SN5	YZ	KOC-DZC180	MYH11	9.57	BO12SN5	YZ	KOC-DZC180	MYH11	9.04
BN12SN5	YZ	KOC-GBZ000	MYH11	5.28	BO12SN5	YZ	KOC-GBZ000	MYH11	6.40
BN12SN5	YZ	KOC-YAR060	MYH11	7.62	BO12SN5	YZ	KOC-YAR060	MYH11	5.56
BN12SN5	YZ	LOM-HSP000	MYH11	18.43	BO12SN5	YZ	LOM-HSP000	MYH11	16.72
BN12SN5	YZ	LOM-WVC270	MYH11	10.53	BO12SN5	YZ	LOM-WVC270	MYH11	9.91
BN12SN5	YZ	NOR-CNP196	MYH11	11.93	BO12SN5	YZ	NOR-CNP196	MYH11	10.44
BN12SN5	YZ	NOR-MUL009	MYH11	15.94	BO12SN5	YZ	NOR-MUL009	MYH11	13.85
BN12SN5	YZ	NOR-MUL279	MYH11	20.99	BO12SN5	YZ	NOR-MUL279	MYH11	24.38
BN12SN5	YZ	NOR-ORR360	MYH11	36.97	BO12SN5	YZ	NOR-ORR360	MYH11	28.21

Tablo C.1 (devam): Mevcut binalara ait yerdeğiştirme talepleri

Bina Adı	Analiz Yönü	İvme Kaydı	MYH Grup No	Δ_d (cm)	Bina Adı	Analiz Yönü	İvme Kaydı	MYH Grup No	Δ_d (cm)
BN12SN5	YZ	NOR-RRS318	MYH11	15.38	BO12SN5	YZ	NOR-RRS318	MYH11	10.67
BN12SN5	YZ	NOR-SAT180	MYH11	16.42	BO12SN5	YZ	NOR-SAT180	MYH11	16.98
BN12SN5	YZ	NPAL-NPS210	MYH11	13.09	BO12SN5	YZ	NPAL-NPS210	MYH11	11.76
BN12SN5	XZ	CHI-TCU065N	MYH12	18.28	BO12SN5	XZ	CHI-TCU065N	MYH12	127.18
BN12SN5	XZ	CHI-TCU067W	MYH12	15.07	BO12SN5	XZ	CHI-TCU067W	MYH12	15.03
BN12SN5	XZ	CHI-TCU102-N	MYH12	6.54	BO12SN5	XZ	CHI-TCU102-N	MYH12	6.18
BN12SN5	XZ	DZC-BOL000	MYH12	17.28	BO12SN5	XZ	DZC-BOL000	MYH12	17.03
BN12SN5	XZ	DZC-BOL090	MYH12	26.56	BO12SN5	XZ	DZC-BOL090	MYH12	20.43
BN12SN5	XZ	DZC-DZC180	MYH12	11.50	BO12SN5	XZ	DZC-DZC180	MYH12	8.84
BN12SN5	XZ	GAZ-KAR090	MYH12	11.57	BO12SN5	XZ	GAZ-KAR090	MYH12	13.88
BN12SN5	XZ	IMP-ECC092	MYH12	9.50	BO12SN5	XZ	IMP-ECC092	MYH12	8.79
BN12SN5	XZ	IMP-ELC4-230	MYH12	8.72	BO12SN5	XZ	IMP-ELC4-230	MYH12	15.98
BN12SN5	XZ	IMP-ELCD-270	MYH12	10.29	BO12SN5	XZ	IMP-ELCD-270	MYH12	12.10
BN12SN5	XZ	IRP-STU270	MYH12	17.24	BO12SN5	XZ	IRP-STU270	MYH12	23.01
BN12SN5	XZ	KOC-DZC180	MYH12	11.19	BO12SN5	XZ	KOC-DZC180	MYH12	7.53
BN12SN5	XZ	KOC-GBZ000	MYH12	6.32	BO12SN5	XZ	KOC-GBZ000	MYH12	9.35
BN12SN5	XZ	KOC-SKR090	MYH12	5.11	BO12SN5	XZ	KOC-SKR090	MYH12	5.18
BN12SN5	XZ	LAN-YER270	MYH12	13.76	BO12SN5	XZ	LAN-YER270	MYH12	18.20
BN12SN5	XZ	LOM-BRN000	MYH12	25.79	BO12SN5	XZ	LOM-BRN000	MYH12	22.89
BN12SN5	XZ	LOM-WVC270	MYH12	12.37	BO12SN5	XZ	LOM-WVC270	MYH12	17.81
BN12SN5	XZ	NOR-CNP196	MYH12	12.98	BO12SN5	XZ	NOR-CNP196	MYH12	11.15
BN12SN5	XZ	NOR-MUL009	MYH12	19.67	BO12SN5	XZ	NOR-MUL009	MYH12	17.11
BN12SN5	XZ	NOR-MUL279	MYH12	26.30	BO12SN5	XZ	NOR-MUL279	MYH12	29.34
BN12SN5	XZ	NOR-NEW090	MYH12	15.73	BO12SN5	XZ	NOR-NEW090	MYH12	13.04
BN12SN5	XZ	NOR-PAR-L	MYH12	23.65	BO12SN5	XZ	NOR-PAR-L	MYH12	29.54
BN12SN5	XZ	NOR-RRS318	MYH12	13.95	BO12SN5	XZ	NOR-RRS318	MYH12	13.70
BN12SN5	XZ	NOR-SAT180	MYH12	19.38	BO12SN5	XZ	NOR-SAT180	MYH12	26.15
BN12SN5	XZ	NOR-SCE288	MYH12	19.04	BO12SN5	XZ	NOR-SCE288	MYH12	24.09
BN12SN5	XZ	NOR-SEP360	MYH12	11.26	BO12SN5	XZ	NOR-SEP360	MYH12	9.68
BN12SN5	XZ	NOR-SYL090	MYH12	16.62	BO12SN5	XZ	NOR-SYL090	MYH12	18.10
BN12SN5	XZ	NOR-TAR360	MYH12	14.90	BO12SN5	XZ	NOR-TAR360	MYH12	21.12
BN12SN5	XZ	NOR-WPI316	MYH12	13.26	BO12SN5	XZ	NOR-WPI316	MYH12	11.64
BN12SN5	XZ	PRK-C02065	MYH12	15.87	BO12SN5	XZ	PRK-C02065	MYH12	19.61
BN12SN5	YZ	CHI-TCU065N	MYH12	17.01	BO12SN5	YZ	CHI-TCU065N	MYH12	19.03
BN12SN5	YZ	CHI-TCU067W	MYH12	16.09	BO12SN5	YZ	CHI-TCU067W	MYH12	14.47
BN12SN5	YZ	CHI-TCU102-N	MYH12	6.61	BO12SN5	YZ	CHI-TCU102-N	MYH12	5.47
BN12SN5	YZ	DZC-BOL000	MYH12	18.78	BO12SN5	YZ	DZC-BOL000	MYH12	16.16
BN12SN5	YZ	DZC-BOL090	MYH12	38.99	BO12SN5	YZ	DZC-BOL090	MYH12	24.34
BN12SN5	YZ	DZC-DZC180	MYH12	14.05	BO12SN5	YZ	DZC-DZC180	MYH12	12.75
BN12SN5	YZ	GAZ-KAR090	MYH12	14.66	BO12SN5	YZ	GAZ-KAR090	MYH12	11.68
BN12SN5	YZ	IMP-ECC092	MYH12	9.89	BO12SN5	YZ	IMP-ECC092	MYH12	9.09
BN12SN5	YZ	IMP-ELC4-230	MYH12	5.70	BO12SN5	YZ	IMP-ELC4-230	MYH12	6.27
BN12SN5	YZ	IMP-ELCD-270	MYH12	10.80	BO12SN5	YZ	IMP-ELCD-270	MYH12	7.65
BN12SN5	YZ	IRP-STU270	MYH12	10.93	BO12SN5	YZ	IRP-STU270	MYH12	10.86
BN12SN5	YZ	KOC-DZC180	MYH12	10.46	BO12SN5	YZ	KOC-DZC180	MYH12	9.55
BN12SN5	YZ	KOC-GBZ000	MYH12	5.59	BO12SN5	YZ	KOC-GBZ000	MYH12	6.90
BN12SN5	YZ	KOC-SKR090	MYH12	5.69	BO12SN5	YZ	KOC-SKR090	MYH12	3.45
BN12SN5	YZ	LAN-YER270	MYH12	14.27	BO12SN5	YZ	LAN-YER270	MYH12	15.27
BN12SN5	YZ	LOM-BRN000	MYH12	23.44	BO12SN5	YZ	LOM-BRN000	MYH12	22.14
BN12SN5	YZ	LOM-WVC270	MYH12	11.51	BO12SN5	YZ	LOM-WVC270	MYH12	10.85
BN12SN5	YZ	NOR-CNP196	MYH12	12.22	BO12SN5	YZ	NOR-CNP196	MYH12	11.33
BN12SN5	YZ	NOR-MUL009	MYH12	17.90	BO12SN5	YZ	NOR-MUL009	MYH12	14.54
BN12SN5	YZ	NOR-MUL279	MYH12	24.18	BO12SN5	YZ	NOR-MUL279	MYH12	26.88
BN12SN5	YZ	NOR-NEW090	MYH12	21.06	BO12SN5	YZ	NOR-NEW090	MYH12	13.23
BN12SN5	YZ	NOR-PAR-L	MYH12	24.55	BO12SN5	YZ	NOR-PAR-L	MYH12	24.08
BN12SN5	YZ	NOR-RRS318	MYH12	15.96	BO12SN5	YZ	NOR-RRS318	MYH12	11.55
BN12SN5	YZ	NOR-SAT180	MYH12	18.84	BO12SN5	YZ	NOR-SAT180	MYH12	19.25
BN12SN5	YZ	NOR-SCE288	MYH12	14.93	BO12SN5	YZ	NOR-SCE288	MYH12	16.88
BN12SN5	YZ	NOR-SEP360	MYH12	17.62	BO12SN5	YZ	NOR-SEP360	MYH12	9.22

Tablo C.1 (devam): Mevcut binalara ait yerdeğiştirme talepleri

Bina Adı	Analiz Yönü	İvme Kaydı	MYH Grup No	Δ_d (cm)	Bina Adı	Analiz Yönü	İvme Kaydı	MYH Grup No	Δ_d (cm)
BN12SN5	YZ	NOR-SYL090	MYH12	23.80	BO12SN5	YZ	NOR-SYL090	MYH12	18.16
BN12SN5	YZ	NOR-TAR360	MYH12	15.39	BO12SN5	YZ	NOR-TAR360	MYH12	17.71
BN12SN5	YZ	NOR-WPI316	MYH12	10.83	BO12SN5	YZ	NOR-WPI316	MYH12	10.45
BN12SN5	YZ	PRK-C02065	MYH12	22.04	BO12SN5	YZ	PRK-C02065	MYH12	20.15
BN13SN5	XZ	CAP-FOR090	MYH1	2.29	BO13SN5	XZ	CAP-FOR090	MYH1	3.70
BN13SN5	XZ	CHI-CHY010-N	MYH1	5.10	BO13SN5	XZ	CHI-CHY010-N	MYH1	5.66
BN13SN5	XZ	CHI-CHY41W	MYH1	5.68	BO13SN5	XZ	CHI-CHY41W	MYH1	5.38
BN13SN5	XZ	CHI-CHY046N	MYH1	4.68	BO13SN5	XZ	CHI-CHY046N	MYH1	7.75
BN13SN5	XZ	CHI-CHY047-E	MYH1	3.34	BO13SN5	XZ	CHI-CHY047-E	MYH1	3.02
BN13SN5	XZ	COA-CAK270	MYH1	4.64	BO13SN5	XZ	COA-CAK270	MYH1	6.04
BN13SN5	XZ	COY-G06320	MYH1	4.02	BO13SN5	XZ	COY-G06320	MYH1	4.80
BN13SN5	XZ	FRI-TMZ000	MYH1	4.07	BO13SN5	XZ	FRI-TMZ000	MYH1	4.82
BN13SN5	XZ	IMP-E12230	MYH1	2.35	BO13SN5	XZ	IMP-E12230	MYH1	2.83
BN13SN5	XZ	IMP-SAH000	MYH1	4.00	BO13SN5	XZ	IMP-SAH000	MYH1	4.37
BN13SN5	XZ	IRP-BIS000	MYH1	1.76	BO13SN5	XZ	IRP-BIS000	MYH1	2.65
BN13SN5	XZ	KOC-IZM180	MYH1	4.35	BO13SN5	XZ	KOC-IZM180	MYH1	4.53
BN13SN5	XZ	LAN-ABY090	MYH1	2.94	BO13SN5	XZ	LAN-ABY090	MYH1	3.26
BN13SN5	XZ	LAN-DSP000	MYH1	3.17	BO13SN5	XZ	LAN-DSP000	MYH1	3.02
BN13SN5	XZ	LIV-DVD246	MYH1	2.91	BO13SN5	XZ	LIV-DVD246	MYH1	3.01
BN13SN5	XZ	LOM-BRK090	MYH1	3.27	BO13SN5	XZ	LOM-BRK090	MYH1	6.57
BN13SN5	XZ	LOM-CLD285	MYH1	3.83	BO13SN5	XZ	LOM-CLD285	MYH1	4.78
BN13SN5	XZ	LOM-GGV337	MYH1	5.50	BO13SN5	XZ	LOM-GGV337	MYH1	3.90
BN13SN5	XZ	NOR-CWC270	MYH1	4.31	BO13SN5	XZ	NOR-CWC270	MYH1	7.80
BN13SN5	XZ	NOR-LOS090	MYH1	4.04	BO13SN5	XZ	NOR-LOS090	MYH1	4.72
BN13SN5	XZ	NOR-LOS360	MYH1	4.67	BO13SN5	XZ	NOR-LOS360	MYH1	8.24
BN13SN5	XZ	PRK-CHO355	MYH1	5.77	BO13SN5	XZ	PRK-CHO355	MYH1	3.14
BN13SN5	XZ	PRK-TMB205	MYH1	3.25	BO13SN5	XZ	PRK-TMB205	MYH1	3.81
BN13SN5	XZ	SUP-PLS135	MYH1	4.68	BO13SN5	XZ	SUP-PLS135	MYH1	5.51
BN13SN5	XZ	TAB-DAY-LN	MYH1	4.72	BO13SN5	XZ	TAB-DAY-LN	MYH1	4.62
BN13SN5	XZ	VIC-CPE315	MYH1	5.69	BO13SN5	XZ	VIC-CPE315	MYH1	4.03
BN13SN5	XZ	WHI-ALH180	MYH1	4.03	BO13SN5	XZ	WHI-ALH180	MYH1	6.29
BN13SN5	XZ	WHI-GRN180	MYH1	6.44	BO13SN5	XZ	WHI-GRN180	MYH1	7.29
BN13SN5	XZ	WHI-OBR360	MYH1	3.83	BO13SN5	XZ	WHI-OBR360	MYH1	4.37
BN13SN5	YZ	CAP-FOR090	MYH1	2.48	BO13SN5	YZ	CAP-FOR090	MYH1	4.24
BN13SN5	YZ	CHI-CHY010-N	MYH1	4.58	BO13SN5	YZ	CHI-CHY010-N	MYH1	5.16
BN13SN5	YZ	CHI-CHY41W	MYH1	5.59	BO13SN5	YZ	CHI-CHY41W	MYH1	5.25
BN13SN5	YZ	CHI-CHY046N	MYH1	4.36	BO13SN5	YZ	CHI-CHY046N	MYH1	4.85
BN13SN5	YZ	CHI-CHY047-E	MYH1	3.03	BO13SN5	YZ	CHI-CHY047-E	MYH1	3.06
BN13SN5	YZ	COA-CAK270	MYH1	4.18	BO13SN5	YZ	COA-CAK270	MYH1	7.73
BN13SN5	YZ	COY-G06320	MYH1	3.82	BO13SN5	YZ	COY-G06320	MYH1	3.72
BN13SN5	YZ	FRI-TMZ000	MYH1	4.09	BO13SN5	YZ	FRI-TMZ000	MYH1	3.94
BN13SN5	YZ	IMP-E12230	MYH1	2.23	BO13SN5	YZ	IMP-E12230	MYH1	2.81
BN13SN5	YZ	IMP-SAH000	MYH1	3.80	BO13SN5	YZ	IMP-SAH000	MYH1	3.45
BN13SN5	YZ	IRP-BIS000	MYH1	1.89	BO13SN5	YZ	IRP-BIS000	MYH1	2.55
BN13SN5	YZ	KOC-IZM180	MYH1	4.38	BO13SN5	YZ	KOC-IZM180	MYH1	4.45
BN13SN5	YZ	LAN-ABY090	MYH1	3.01	BO13SN5	YZ	LAN-ABY090	MYH1	3.32
BN13SN5	YZ	LAN-DSP000	MYH1	3.27	BO13SN5	YZ	LAN-DSP000	MYH1	2.64
BN13SN5	YZ	LIV-DVD246	MYH1	3.16	BO13SN5	YZ	LIV-DVD246	MYH1	2.66
BN13SN5	YZ	LOM-BRK090	MYH1	3.50	BO13SN5	YZ	LOM-BRK090	MYH1	5.69
BN13SN5	YZ	LOM-CLD285	MYH1	3.63	BO13SN5	YZ	LOM-CLD285	MYH1	4.30
BN13SN5	YZ	LOM-GGV337	MYH1	5.41	BO13SN5	YZ	LOM-GGV337	MYH1	3.89
BN13SN5	YZ	NOR-CWC270	MYH1	4.32	BO13SN5	YZ	NOR-CWC270	MYH1	6.32
BN13SN5	YZ	NOR-LOS090	MYH1	3.81	BO13SN5	YZ	NOR-LOS090	MYH1	4.57
BN13SN5	YZ	NOR-LOS360	MYH1	4.81	BO13SN5	YZ	NOR-LOS360	MYH1	6.89
BN13SN5	YZ	PRK-CHO355	MYH1	5.31	BO13SN5	YZ	PRK-CHO355	MYH1	3.65
BN13SN5	YZ	PRK-TMB205	MYH1	3.26	BO13SN5	YZ	PRK-TMB205	MYH1	3.21
BN13SN5	YZ	SUP-PLS135	MYH1	4.33	BO13SN5	YZ	SUP-PLS135	MYH1	4.20
BN13SN5	YZ	TAB-DAY-LN	MYH1	4.52	BO13SN5	YZ	TAB-DAY-LN	MYH1	3.74
BN13SN5	YZ	VIC-CPE315	MYH1	5.45	BO13SN5	YZ	VIC-CPE315	MYH1	3.73

Tablo C.1 (devam): Mevcut binalara ait yerdeğiştirme talepleri

Bina Adı	Analiz Yönü	İvme Kaydı	MYH Grup No	Δ_d (cm)	Bina Adı	Analiz Yönü	İvme Kaydı	MYH Grup No	Δ_d (cm)
BN13SN5	YZ	WHI-ALH180	MYH1	3.99	BO13SN5	YZ	WHI-ALH180	MYH1	4.61
BN13SN5	YZ	WHI-GRN180	MYH1	6.42	BO13SN5	YZ	WHI-GRN180	MYH1	7.61
BN13SN5	YZ	WHI-OBR360	MYH1	3.79	BO13SN5	YZ	WHI-OBR360	MYH1	4.80
BN13SN5	XZ	CHI-TCU141-N	MYH2	2.17	BO13SN5	XZ	CHI-TCU141-N	MYH2	3.27
BN13SN5	XZ	COA-PV1090	MYH2	3.33	BO13SN5	XZ	COA-PV1090	MYH2	7.66
BN13SN5	XZ	COA-Z14090	MYH2	6.67	BO13SN5	XZ	COA-Z14090	MYH2	8.25
BN13SN5	XZ	COY-G02140	MYH2	3.53	BO13SN5	XZ	COY-G02140	MYH2	7.39
BN13SN5	XZ	COY-G03140	MYH2	4.46	BO13SN5	XZ	COY-G03140	MYH2	8.54
BN13SN5	XZ	IMP-AER315	MYH2	3.47	BO13SN5	XZ	IMP-AER315	MYH2	5.38
BN13SN5	XZ	IMP-DLT262	MYH2	4.69	BO13SN5	XZ	IMP-DLT262	MYH2	4.97
BN13SN5	XZ	KOB-KAK090	MYH2	4.34	BO13SN5	XZ	KOB-KAK090	MYH2	7.10
BN13SN5	XZ	KOB-SHI090	MYH2	6.65	BO13SN5	XZ	KOB-SHI090	MYH2	6.26
BN13SN5	XZ	LAN-CLVLN	MYH2	4.73	BO13SN5	XZ	LAN-CLVLN	MYH2	4.67
BN13SN5	XZ	LAN-JOS000	MYH2	5.33	BO13SN5	XZ	LAN-JOS000	MYH2	8.02
BN13SN5	XZ	LOM-CAP090	MYH2	9.56	BO13SN5	XZ	LOM-CAP090	MYH2	7.93
BN13SN5	XZ	LOM-GGV067	MYH2	3.86	BO13SN5	XZ	LOM-GGV067	MYH2	6.53
BN13SN5	XZ	LOM-HSP090	MYH2	4.76	BO13SN5	XZ	LOM-HSP090	MYH2	7.79
BN13SN5	XZ	LOM-SFO000	MYH2	6.32	BO13SN5	XZ	LOM-SFO000	MYH2	5.51
BN13SN5	XZ	LOM-SFO090	MYH2	7.39	BO13SN5	XZ	LOM-SFO090	MYH2	6.19
BN13SN5	XZ	LOM-WAH000	MYH2	6.91	BO13SN5	XZ	LOM-WAH000	MYH2	6.04
BN13SN5	XZ	MAM-LUL000	MYH2	7.19	BO13SN5	XZ	MAM-LUL000	MYH2	4.90
BN13SN5	XZ	MOR-AND250	MYH2	4.69	BO13SN5	XZ	MOR-AND250	MYH2	3.22
BN13SN5	XZ	MOR-AND340	MYH2	7.41	BO13SN5	XZ	MOR-AND340	MYH2	5.76
BN13SN5	XZ	NOR-CHL160	MYH2	6.79	BO13SN5	XZ	NOR-CHL160	MYH2	7.90
BN13SN5	XZ	NOR-CWC180	MYH2	3.77	BO13SN5	XZ	NOR-CWC180	MYH2	5.88
BN13SN5	XZ	NOR-SAT090	MYH2	5.72	BO13SN5	XZ	NOR-SAT090	MYH2	11.40
BN13SN5	XZ	NPAL-DSP000	MYH2	5.03	BO13SN5	XZ	NPAL-DSP000	MYH2	8.20
BN13SN5	XZ	PRK-CHO085	MYH2	4.26	BO13SN5	XZ	PRK-CHO085	MYH2	3.69
BN13SN5	XZ	SFD-ORR291	MYH2	5.39	BO13SN5	XZ	SFD-ORR291	MYH2	5.68
BN13SN5	XZ	SPI-GUK000	MYH2	3.85	BO13SN5	XZ	SPI-GUK000	MYH2	6.37
BN13SN5	XZ	TAB-DAY-TR	MYH2	5.95	BO13SN5	XZ	TAB-DAY-TR	MYH2	7.71
BN13SN5	XZ	WES-PTS315	MYH2	3.60	BO13SN5	XZ	WES-PTS315	MYH2	7.97
BN13SN5	XZ	WHI-DEL000	MYH2	7.28	BO13SN5	XZ	WHI-DEL000	MYH2	5.89
BN13SN5	XZ	WHI-DWN180	MYH2	6.00	BO13SN5	XZ	WHI-DWN180	MYH2	6.10
BN13SN5	YZ	CHI-TCU141-N	MYH2	1.93	BO13SN5	YZ	CHI-TCU141-N	MYH2	2.42
BN13SN5	YZ	COA-PV1090	MYH2	3.50	BO13SN5	YZ	COA-PV1090	MYH2	8.47
BN13SN5	YZ	COA-Z14090	MYH2	6.40	BO13SN5	YZ	COA-Z14090	MYH2	7.24
BN13SN5	YZ	COY-G02140	MYH2	3.64	BO13SN5	YZ	COY-G02140	MYH2	7.66
BN13SN5	YZ	COY-G03140	MYH2	4.60	BO13SN5	YZ	COY-G03140	MYH2	7.23
BN13SN5	YZ	IMP-AER315	MYH2	3.86	BO13SN5	YZ	IMP-AER315	MYH2	4.43
BN13SN5	YZ	IMP-DLT262	MYH2	4.54	BO13SN5	YZ	IMP-DLT262	MYH2	6.63
BN13SN5	YZ	KOB-KAK090	MYH2	4.35	BO13SN5	YZ	KOB-KAK090	MYH2	4.62
BN13SN5	YZ	KOB-SHI090	MYH2	6.48	BO13SN5	YZ	KOB-SHI090	MYH2	5.94
BN13SN5	YZ	LAN-CLVLN	MYH2	4.73	BO13SN5	YZ	LAN-CLVLN	MYH2	5.03
BN13SN5	YZ	LAN-JOS000	MYH2	5.33	BO13SN5	YZ	LAN-JOS000	MYH2	7.28
BN13SN5	YZ	LOM-CAP090	MYH2	9.58	BO13SN5	YZ	LOM-CAP090	MYH2	6.69
BN13SN5	YZ	LOM-GGV067	MYH2	3.78	BO13SN5	YZ	LOM-GGV067	MYH2	5.02
BN13SN5	YZ	LOM-HSP090	MYH2	4.74	BO13SN5	YZ	LOM-HSP090	MYH2	5.27
BN13SN5	YZ	LOM-SFO000	MYH2	5.99	BO13SN5	YZ	LOM-SFO000	MYH2	6.21
BN13SN5	YZ	LOM-SFO090	MYH2	7.32	BO13SN5	YZ	LOM-SFO090	MYH2	6.55
BN13SN5	YZ	LOM-WAH000	MYH2	6.77	BO13SN5	YZ	LOM-WAH000	MYH2	6.67
BN13SN5	YZ	MAM-LUL000	MYH2	7.05	BO13SN5	YZ	MAM-LUL000	MYH2	4.21
BN13SN5	YZ	MOR-AND250	MYH2	4.29	BO13SN5	YZ	MOR-AND250	MYH2	4.13
BN13SN5	YZ	MOR-AND340	MYH2	7.24	BO13SN5	YZ	MOR-AND340	MYH2	6.30
BN13SN5	YZ	NOR-CHL160	MYH2	6.77	BO13SN5	YZ	NOR-CHL160	MYH2	8.20
BN13SN5	YZ	NOR-CWC180	MYH2	3.88	BO13SN5	YZ	NOR-CWC180	MYH2	5.92
BN13SN5	YZ	NOR-SAT090	MYH2	5.46	BO13SN5	YZ	NOR-SAT090	MYH2	7.29
BN13SN5	YZ	NPAL-DSP000	MYH2	5.30	BO13SN5	YZ	NPAL-DSP000	MYH2	8.45
BN13SN5	YZ	PRK-CHO085	MYH2	4.26	BO13SN5	YZ	PRK-CHO085	MYH2	3.85

Tablo C.1 (devam): Mevcut binalara ait yerdeğiştirme talepleri

Bina Adı	Analiz Yönü	İvme Kaydı	MYH Grup No	Δ_d (cm)	Bina Adı	Analiz Yönü	İvme Kaydı	MYH Grup No	Δ_d (cm)
BN13SN5	YZ	SFD-ORR291	MYH2	5.60	BO13SN5	YZ	SFD-ORR291	MYH2	5.06
BN13SN5	YZ	SPI-GUK000	MYH2	3.65	BO13SN5	YZ	SPI-GUK000	MYH2	6.68
BN13SN5	YZ	TAB-DAY-TR	MYH2	5.79	BO13SN5	YZ	TAB-DAY-TR	MYH2	7.53
BN13SN5	YZ	WES-PTS315	MYH2	3.90	BO13SN5	YZ	WES-PTS315	MYH2	7.55
BN13SN5	YZ	WHI-DEL000	MYH2	7.21	BO13SN5	YZ	WHI-DEL000	MYH2	5.33
BN13SN5	YZ	WHI-DWN180	MYH2	5.68	BO13SN5	YZ	WHI-DWN180	MYH2	6.83
BN13SN5	XZ	CAP-FOR000	MYH3	1.97	BO13SN5	XZ	CAP-FOR000	MYH3	3.86
BN13SN5	XZ	CHI-CHY29W	MYH3	6.55	BO13SN5	XZ	CHI-CHY29W	MYH3	8.75
BN13SN5	XZ	CHI-TCU046N	MYH3	3.15	BO13SN5	XZ	CHI-TCU046N	MYH3	3.75
BN13SN5	XZ	CHI-TCU112-N	MYH3	1.93	BO13SN5	XZ	CHI-TCU112-N	MYH3	3.02
BN13SN5	XZ	CHI-TCU118-N	MYH3	2.81	BO13SN5	XZ	CHI-TCU118-N	MYH3	2.82
BN13SN5	XZ	FRI-TMZ270	MYH3	7.42	BO13SN5	XZ	FRI-TMZ270	MYH3	6.80
BN13SN5	XZ	IMP-ELC2-140	MYH3	5.48	BO13SN5	XZ	IMP-ELC2-140	MYH3	6.75
BN13SN5	XZ	IMP-ELC11-140	MYH3	4.22	BO13SN5	XZ	IMP-ELC11-140	MYH3	6.79
BN13SN5	XZ	IMP-SAH270	MYH3	5.72	BO13SN5	XZ	IMP-SAH270	MYH3	5.15
BN13SN5	XZ	KOC-AMB090	MYH3	5.20	BO13SN5	XZ	KOC-AMB090	MYH3	9.08
BN13SN5	XZ	KOC-GBZ270	MYH3	2.83	BO13SN5	XZ	KOC-GBZ270	MYH3	3.12
BN13SN5	XZ	KOC-IZM090	MYH3	4.34	BO13SN5	XZ	KOC-IZM090	MYH3	7.34
BN13SN5	XZ	LAN-LUC000	MYH3	4.90	BO13SN5	XZ	LAN-LUC000	MYH3	4.88
BN13SN5	XZ	LAN-YER360	MYH3	2.97	BO13SN5	XZ	LAN-YER360	MYH3	7.03
BN13SN5	XZ	LOM-A02133	MYH3	6.81	BO13SN5	XZ	LOM-A02133	MYH3	12.16
BN13SN5	XZ	LOM-G01000	MYH3	3.65	BO13SN5	XZ	LOM-G01000	MYH3	3.29
BN13SN5	XZ	LOM-G01090	MYH3	6.54	BO13SN5	XZ	LOM-G01090	MYH3	8.27
BN13SN5	XZ	LOM-G02000	MYH3	6.13	BO13SN5	XZ	LOM-G02000	MYH3	12.70
BN13SN5	XZ	LOM-TRI090	MYH3	5.93	BO13SN5	XZ	LOM-TRI090	MYH3	10.71
BN13SN5	XZ	MAM-LUL090	MYH3	6.40	BO13SN5	XZ	MAM-LUL090	MYH3	12.67
BN13SN5	XZ	NOR-CNP106	MYH3	6.99	BO13SN5	XZ	NOR-CNP106	MYH3	10.12
BN13SN5	XZ	NOR-PAC265	MYH3	6.17	BO13SN5	XZ	NOR-PAC265	MYH3	7.12
BN13SN5	XZ	NOR-PKC090	MYH3	7.92	BO13SN5	XZ	NOR-PKC090	MYH3	10.05
BN13SN5	XZ	NOR-WIL180	MYH3	5.86	BO13SN5	XZ	NOR-WIL180	MYH3	9.77
BN13SN5	XZ	NPAL-MVH045	MYH3	4.49	BO13SN5	XZ	NPAL-MVH045	MYH3	12.09
BN13SN5	XZ	NPAL-NPS300	MYH3	7.45	BO13SN5	XZ	NPAL-NPS300	MYH3	8.81
BN13SN5	XZ	NPAL-WWT270	MYH3	6.87	BO13SN5	XZ	NPAL-WWT270	MYH3	8.39
BN13SN5	XZ	SUP-IVW090	MYH3	2.47	BO13SN5	XZ	SUP-IVW090	MYH3	9.05
BN13SN5	XZ	SUP-IVW360	MYH3	4.90	BO13SN5	XZ	SUP-IVW360	MYH3	10.49
BN13SN5	XZ	SUP-KRN360	MYH3	3.34	BO13SN5	XZ	SUP-KRN360	MYH3	7.69
BN13SN5	XZ	SUP-POE360	MYH3	5.65	BO13SN5	XZ	SUP-POE360	MYH3	5.90
BN13SN5	XZ	SUP-SUP045	MYH3	6.14	BO13SN5	XZ	SUP-SUP045	MYH3	5.35
BN13SN5	XZ	VIC-CPE045	MYH3	6.64	BO13SN5	XZ	VIC-CPE045	MYH3	10.24
BN13SN5	XZ	WHI-OR2010	MYH3	6.90	BO13SN5	XZ	WHI-OR2010	MYH3	6.58
BN13SN5	YZ	CAP-FOR000	MYH3	2.22	BO13SN5	YZ	CAP-FOR000	MYH3	3.60
BN13SN5	YZ	CHI-CHY29W	MYH3	6.51	BO13SN5	YZ	CHI-CHY29W	MYH3	7.85
BN13SN5	YZ	CHI-TCU046N	MYH3	2.84	BO13SN5	YZ	CHI-TCU046N	MYH3	2.82
BN13SN5	YZ	CHI-TCU112-N	MYH3	1.62	BO13SN5	YZ	CHI-TCU112-N	MYH3	2.17
BN13SN5	YZ	CHI-TCU118-N	MYH3	3.22	BO13SN5	YZ	CHI-TCU118-N	MYH3	2.62
BN13SN5	YZ	FRI-TMZ270	MYH3	7.33	BO13SN5	YZ	FRI-TMZ270	MYH3	7.14
BN13SN5	YZ	IMP-ELC2-140	MYH3	5.73	BO13SN5	YZ	IMP-ELC2-140	MYH3	6.02
BN13SN5	YZ	IMP-ELC11-140	MYH3	4.78	BO13SN5	YZ	IMP-ELC11-140	MYH3	4.68
BN13SN5	YZ	IMP-SAH270	MYH3	5.16	BO13SN5	YZ	IMP-SAH270	MYH3	5.38
BN13SN5	YZ	KOC-AMB090	MYH3	4.99	BO13SN5	YZ	KOC-AMB090	MYH3	13.03
BN13SN5	YZ	KOC-GBZ270	MYH3	3.03	BO13SN5	YZ	KOC-GBZ270	MYH3	2.43
BN13SN5	YZ	KOC-IZM090	MYH3	4.61	BO13SN5	YZ	KOC-IZM090	MYH3	5.45
BN13SN5	YZ	LAN-LUC000	MYH3	4.94	BO13SN5	YZ	LAN-LUC000	MYH3	4.15
BN13SN5	YZ	LAN-YER360	MYH3	2.68	BO13SN5	YZ	LAN-YER360	MYH3	5.07
BN13SN5	YZ	LOM-A02133	MYH3	6.86	BO13SN5	YZ	LOM-A02133	MYH3	11.09
BN13SN5	YZ	LOM-G01000	MYH3	3.82	BO13SN5	YZ	LOM-G01000	MYH3	2.83
BN13SN5	YZ	LOM-G01090	MYH3	6.07	BO13SN5	YZ	LOM-G01090	MYH3	6.44
BN13SN5	YZ	LOM-G02000	MYH3	6.04	BO13SN5	YZ	LOM-G02000	MYH3	10.97
BN13SN5	YZ	LOM-TRI090	MYH3	5.76	BO13SN5	YZ	LOM-TRI090	MYH3	8.41

Tablo C.1 (devam): Mevcut binalara ait yerdeğiştirme talepleri

Bina Adı	Analiz Yönü	İvme Kaydı	MYH Grup No	Δ_d (cm)	Bina Adı	Analiz Yönü	İvme Kaydı	MYH Grup No	Δ_d (cm)
BN13SN5	YZ	MAM-LUL090	MYH3	6.52	BO13SN5	YZ	MAM-LUL090	MYH3	11.66
BN13SN5	YZ	NOR-CNP106	MYH3	7.45	BO13SN5	YZ	NOR-CNP106	MYH3	9.16
BN13SN5	YZ	NOR-PAC265	MYH3	5.65	BO13SN5	YZ	NOR-PAC265	MYH3	7.48
BN13SN5	YZ	NOR-PKC090	MYH3	7.82	BO13SN5	YZ	NOR-PKC090	MYH3	10.82
BN13SN5	YZ	NOR-WIL180	MYH3	5.56	BO13SN5	YZ	NOR-WIL180	MYH3	9.33
BN13SN5	YZ	NPAL-MVH045	MYH3	4.76	BO13SN5	YZ	NPAL-MVH045	MYH3	8.17
BN13SN5	YZ	NPAL-NPS300	MYH3	7.06	BO13SN5	YZ	NPAL-NPS300	MYH3	7.26
BN13SN5	YZ	NPAL-WWT270	MYH3	6.60	BO13SN5	YZ	NPAL-WWT270	MYH3	8.90
BN13SN5	YZ	SUP-IVW090	MYH3	3.01	BO13SN5	YZ	SUP-IVW090	MYH3	4.31
BN13SN5	YZ	SUP-IVW360	MYH3	4.85	BO13SN5	YZ	SUP-IVW360	MYH3	5.62
BN13SN5	YZ	SUP-KRN360	MYH3	3.69	BO13SN5	YZ	SUP-KRN360	MYH3	5.51
BN13SN5	YZ	SUP-POE360	MYH3	6.02	BO13SN5	YZ	SUP-POE360	MYH3	4.88
BN13SN5	YZ	SUP-SUP045	MYH3	6.01	BO13SN5	YZ	SUP-SUP045	MYH3	4.96
BN13SN5	YZ	VIC-CPE045	MYH3	6.78	BO13SN5	YZ	VIC-CPE045	MYH3	13.44
BN13SN5	YZ	WHI-OR2010	MYH3	7.08	BO13SN5	YZ	WHI-OR2010	MYH3	6.41
BN13SN5	XZ	CHI-CHY29N	MYH4	8.10	BO13SN5	XZ	CHI-CHY29N	MYH4	6.06
BN13SN5	XZ	CHI-CHY036W	MYH4	8.38	BO13SN5	XZ	CHI-CHY036W	MYH4	9.64
BN13SN5	XZ	CHI-CHY41N	MYH4	10.66	BO13SN5	XZ	CHI-CHY41N	MYH4	9.53
BN13SN5	XZ	CHI-TCU45N	MYH4	11.50	BO13SN5	XZ	CHI-TCU45N	MYH4	8.26
BN13SN5	XZ	CHI-TCU45W	MYH4	7.05	BO13SN5	XZ	CHI-TCU45W	MYH4	8.92
BN13SN5	XZ	CHI-TCU51N	MYH4	5.44	BO13SN5	XZ	CHI-TCU51N	MYH4	6.45
BN13SN5	XZ	COA-PLE135	MYH4	10.03	BO13SN5	XZ	COA-PLE135	MYH4	10.70
BN13SN5	XZ	IMP-BRA225	MYH4	1.70	BO13SN5	XZ	IMP-BRA225	MYH4	6.44
BN13SN5	XZ	IMP-BRA315	MYH4	4.86	BO13SN5	XZ	IMP-BRA315	MYH4	7.89
BN13SN5	XZ	IMP-ECC002	MYH4	5.61	BO13SN5	XZ	IMP-ECC002	MYH4	14.83
BN13SN5	XZ	IMP-ELC4-140	MYH4	10.08	BO13SN5	XZ	IMP-ELC4-140	MYH4	17.51
BN13SN5	XZ	IRP-STU000	MYH4	5.42	BO13SN5	XZ	IRP-STU000	MYH4	9.47
BN13SN5	XZ	KOB-NIS000	MYH4	7.73	BO13SN5	XZ	KOB-NIS000	MYH4	6.09
BN13SN5	XZ	KOB-NIS090	MYH4	7.34	BO13SN5	XZ	KOB-NIS090	MYH4	6.68
BN13SN5	XZ	KOB-SHI000	MYH4	7.11	BO13SN5	XZ	KOB-SHI000	MYH4	9.60
BN13SN5	XZ	KOC-ARC090	MYH4	1.92	BO13SN5	XZ	KOC-ARC090	MYH4	2.90
BN13SN5	XZ	LOM-G02090	MYH4	4.92	BO13SN5	XZ	LOM-G02090	MYH4	17.18
BN13SN5	XZ	LOM-G03000	MYH4	6.00	BO13SN5	XZ	LOM-G03000	MYH4	8.04
BN13SN5	XZ	LOM-HDA255	MYH4	7.10	BO13SN5	XZ	LOM-HDA255	MYH4	9.72
BN13SN5	XZ	LOM-SVL360	MYH4	4.34	BO13SN5	XZ	LOM-SVL360	MYH4	8.63
BN13SN5	XZ	MOR-G06090	MYH4	7.16	BO13SN5	XZ	MOR-G06090	MYH4	9.69
BN13SN5	XZ	MOR-HAL240	MYH4	8.06	BO13SN5	XZ	MOR-HAL240	MYH4	12.76
BN13SN5	XZ	NOR-KAT090	MYH4	8.25	BO13SN5	XZ	NOR-KAT090	MYH4	9.66
BN13SN5	XZ	NOR-SCR090	MYH4	6.79	BO13SN5	XZ	NOR-SCR090	MYH4	7.92
BN13SN5	XZ	NOR-STN020	MYH4	8.47	BO13SN5	XZ	NOR-STN020	MYH4	6.01
BN13SN5	XZ	NPAL-WWT180	MYH4	6.00	BO13SN5	XZ	NPAL-WWT180	MYH4	8.21
BN13SN5	XZ	SUP-POE270	MYH4	6.45	BO13SN5	XZ	SUP-POE270	MYH4	6.25
BN13SN5	XZ	WES-PTS225	MYH4	5.36	BO13SN5	XZ	WES-PTS225	MYH4	5.21
BN13SN5	XZ	WHI-BIR180	MYH4	8.83	BO13SN5	XZ	WHI-BIR180	MYH4	7.32
BN13SN5	XZ	WHI-EJS048	MYH4	8.38	BO13SN5	XZ	WHI-EJS048	MYH4	5.69
BN13SN5	YZ	CHI-CHY29N	MYH4	7.85	BO13SN5	YZ	CHI-CHY29N	MYH4	5.73
BN13SN5	YZ	CHI-CHY036W	MYH4	8.03	BO13SN5	YZ	CHI-CHY036W	MYH4	10.84
BN13SN5	YZ	CHI-CHY41N	MYH4	9.82	BO13SN5	YZ	CHI-CHY41N	MYH4	9.50
BN13SN5	YZ	CHI-TCU45N	MYH4	10.91	BO13SN5	YZ	CHI-TCU45N	MYH4	6.81
BN13SN5	YZ	CHI-TCU45W	MYH4	6.66	BO13SN5	YZ	CHI-TCU45W	MYH4	9.07
BN13SN5	YZ	CHI-TCU51N	MYH4	5.51	BO13SN5	YZ	CHI-TCU51N	MYH4	7.15
BN13SN5	YZ	COA-PLE135	MYH4	9.18	BO13SN5	YZ	COA-PLE135	MYH4	9.61
BN13SN5	YZ	IMP-BRA225	MYH4	1.50	BO13SN5	YZ	IMP-BRA225	MYH4	3.70
BN13SN5	YZ	IMP-BRA315	MYH4	4.76	BO13SN5	YZ	IMP-BRA315	MYH4	6.35
BN13SN5	YZ	IMP-ECC002	MYH4	5.39	BO13SN5	YZ	IMP-ECC002	MYH4	12.10
BN13SN5	YZ	IMP-ELC4-140	MYH4	10.13	BO13SN5	YZ	IMP-ELC4-140	MYH4	15.91
BN13SN5	YZ	IRP-STU000	MYH4	5.72	BO13SN5	YZ	IRP-STU000	MYH4	8.77
BN13SN5	YZ	KOB-NIS000	MYH4	7.40	BO13SN5	YZ	KOB-NIS000	MYH4	5.89
BN13SN5	YZ	KOB-NIS090	MYH4	6.57	BO13SN5	YZ	KOB-NIS090	MYH4	8.77

Tablo C.1 (devam): Mevcut binalara ait yerdeğiştirme talepleri

Bina Adı	Analiz Yönü	İvme Kaydı	MYH Grup No	Δ_d (cm)	Bina Adı	Analiz Yönü	İvme Kaydı	MYH Grup No	Δ_d (cm)
BN13SN5	YZ	KOB-SHI000	MYH4	7.19	BO13SN5	YZ	KOB-SHI000	MYH4	6.95
BN13SN5	YZ	KOC-ARC090	MYH4	1.80	BO13SN5	YZ	KOC-ARC090	MYH4	3.03
BN13SN5	YZ	LOM-G02090	MYH4	5.21	BO13SN5	YZ	LOM-G02090	MYH4	12.82
BN13SN5	YZ	LOM-G03000	MYH4	5.86	BO13SN5	YZ	LOM-G03000	MYH4	7.42
BN13SN5	YZ	LOM-HDA255	MYH4	7.10	BO13SN5	YZ	LOM-HDA255	MYH4	11.41
BN13SN5	YZ	LOM-SVL360	MYH4	4.30	BO13SN5	YZ	LOM-SVL360	MYH4	4.76
BN13SN5	YZ	MOR-G06090	MYH4	6.89	BO13SN5	YZ	MOR-G06090	MYH4	7.74
BN13SN5	YZ	MOR-HAL240	MYH4	7.64	BO13SN5	YZ	MOR-HAL240	MYH4	12.92
BN13SN5	YZ	NOR-KAT090	MYH4	8.25	BO13SN5	YZ	NOR-KAT090	MYH4	10.95
BN13SN5	YZ	NOR-SCR090	MYH4	6.81	BO13SN5	YZ	NOR-SCR090	MYH4	6.97
BN13SN5	YZ	NOR-STN020	MYH4	8.41	BO13SN5	YZ	NOR-STN020	MYH4	7.74
BN13SN5	YZ	NPAL-WWT180	MYH4	5.67	BO13SN5	YZ	NPAL-WWT180	MYH4	8.22
BN13SN5	YZ	SUP-POE270	MYH4	6.57	BO13SN5	YZ	SUP-POE270	MYH4	5.59
BN13SN5	YZ	WES-PTS225	MYH4	5.46	BO13SN5	YZ	WES-PTS225	MYH4	4.91
BN13SN5	YZ	WHI-BIR180	MYH4	9.09	BO13SN5	YZ	WHI-BIR180	MYH4	8.51
BN13SN5	YZ	WHI-EJS048	MYH4	8.55	BO13SN5	YZ	WHI-EJS048	MYH4	5.95
BN13SN5	XZ	CAP-RIO270	MYH5	9.04	BO13SN5	XZ	CAP-RIO270	MYH5	14.23
BN13SN5	XZ	CAP-RIO360	MYH5	8.67	BO13SN5	XZ	CAP-RIO360	MYH5	10.08
BN13SN5	XZ	CHI-TCU046W	MYH5	2.90	BO13SN5	XZ	CHI-TCU046W	MYH5	3.65
BN13SN5	XZ	CHI-TCU061N	MYH5	3.64	BO13SN5	XZ	CHI-TCU061N	MYH5	4.73
BN13SN5	XZ	CHI-TCU74N	MYH5	8.69	BO13SN5	XZ	CHI-TCU74N	MYH5	9.69
BN13SN5	XZ	CHI-TCU112-W	MYH5	1.81	BO13SN5	XZ	CHI-TCU112-W	MYH5	4.99
BN13SN5	XZ	CHI-TCU123-W	MYH5	4.00	BO13SN5	XZ	CHI-TCU123-W	MYH5	14.42
BN13SN5	XZ	CHI-TCU141-E	MYH5	2.16	BO13SN5	XZ	CHI-TCU141-E	MYH5	5.31
BN13SN5	XZ	CHI-WNTN	MYH5	4.49	BO13SN5	XZ	CHI-WNTN	MYH5	12.65
BN13SN5	XZ	COA-Z14000	MYH5	5.16	BO13SN5	XZ	COA-Z14000	MYH5	15.07
BN13SN5	XZ	IMP-AER045	MYH5	4.77	BO13SN5	XZ	IMP-AER045	MYH5	16.31
BN13SN5	XZ	IMP-ELC3-230	MYH5	4.31	BO13SN5	XZ	IMP-ELC3-230	MYH5	3.88
BN13SN5	XZ	IMP-ELC11-230	MYH5	5.03	BO13SN5	XZ	IMP-ELC11-230	MYH5	9.00
BN13SN5	XZ	IMP-ELCD-360	MYH5	8.85	BO13SN5	XZ	IMP-ELCD-360	MYH5	18.70
BN13SN5	XZ	KOC-AMB000	MYH5	4.81	BO13SN5	XZ	KOC-AMB000	MYH5	6.41
BN13SN5	XZ	LAN-CLVTR	MYH5	9.76	BO13SN5	XZ	LAN-CLVTR	MYH5	16.27
BN13SN5	XZ	LAN-JOS090	MYH5	6.13	BO13SN5	XZ	LAN-JOS090	MYH5	13.41
BN13SN5	XZ	LOM-CYC285	MYH5	7.38	BO13SN5	XZ	LOM-CYC285	MYH5	10.79
BN13SN5	XZ	LOM-GOF090	MYH5	5.48	BO13SN5	XZ	LOM-GOF090	MYH5	16.07
BN13SN5	XZ	LOM-HDA165	MYH5	6.97	BO13SN5	XZ	LOM-HDA165	MYH5	9.74
BN13SN5	XZ	LOM-SAR000	MYH5	8.76	BO13SN5	XZ	LOM-SAR000	MYH5	13.77
BN13SN5	XZ	LOM-SAR090	MYH5	4.91	BO13SN5	XZ	LOM-SAR090	MYH5	6.02
BN13SN5	XZ	NOR-KAT000	MYH5	11.61	BO13SN5	XZ	NOR-KAT000	MYH5	10.39
BN13SN5	XZ	NOR-LOS000	MYH5	10.04	BO13SN5	XZ	NOR-LOS000	MYH5	14.84
BN13SN5	XZ	NOR-MU2035	MYH5	6.03	BO13SN5	XZ	NOR-MU2035	MYH5	11.22
BN13SN5	XZ	NOR-STM090	MYH5	4.30	BO13SN5	XZ	NOR-STM090	MYH5	13.00
BN13SN5	XZ	NPAL-MVH135	MYH5	4.64	BO13SN5	XZ	NPAL-MVH135	MYH5	16.55
BN13SN5	XZ	SUP-ELC090	MYH5	4.17	BO13SN5	XZ	SUP-ELC090	MYH5	8.09
BN13SN5	XZ	SUP-PTS315	MYH5	6.52	BO13SN5	XZ	SUP-PTS315	MYH5	17.81
BN13SN5	XZ	SUP-SUP135	MYH5	8.36	BO13SN5	XZ	SUP-SUP135	MYH5	9.51
BN13SN5	YZ	CAP-RIO270	MYH5	8.79	BO13SN5	YZ	CAP-RIO270	MYH5	12.94
BN13SN5	YZ	CAP-RIO360	MYH5	8.20	BO13SN5	YZ	CAP-RIO360	MYH5	8.81
BN13SN5	YZ	CHI-TCU046W	MYH5	2.90	BO13SN5	YZ	CHI-TCU046W	MYH5	2.54
BN13SN5	YZ	CHI-TCU061N	MYH5	3.63	BO13SN5	YZ	CHI-TCU061N	MYH5	4.24
BN13SN5	YZ	CHI-TCU74N	MYH5	9.18	BO13SN5	YZ	CHI-TCU74N	MYH5	11.21
BN13SN5	YZ	CHI-TCU112-W	MYH5	1.67	BO13SN5	YZ	CHI-TCU112-W	MYH5	2.58
BN13SN5	YZ	CHI-TCU123-W	MYH5	4.12	BO13SN5	YZ	CHI-TCU123-W	MYH5	7.42
BN13SN5	YZ	CHI-TCU141-E	MYH5	2.06	BO13SN5	YZ	CHI-TCU141-E	MYH5	4.06
BN13SN5	YZ	CHI-WNTN	MYH5	4.41	BO13SN5	YZ	CHI-WNTN	MYH5	16.32
BN13SN5	YZ	COA-Z14000	MYH5	5.18	BO13SN5	YZ	COA-Z14000	MYH5	12.68
BN13SN5	YZ	IMP-AER045	MYH5	4.79	BO13SN5	YZ	IMP-AER045	MYH5	8.92
BN13SN5	YZ	IMP-ELC3-230	MYH5	4.30	BO13SN5	YZ	IMP-ELC3-230	MYH5	3.50
BN13SN5	YZ	IMP-ELC11-230	MYH5	4.98	BO13SN5	YZ	IMP-ELC11-230	MYH5	7.79

Tablo C.1 (devam): Mevcut binalara ait yerdeğiştirme talepleri

Bina Adı	Analiz Yönü	İvme Kaydı	MYH Grup No	Δ_d (cm)	Bina Adı	Analiz Yönü	İvme Kaydı	MYH Grup No	Δ_d (cm)
BN13SN5	YZ	IMP-ELCD-360	MYH5	8.68	BO13SN5	YZ	IMP-ELCD-360	MYH5	20.28
BN13SN5	YZ	KOC-AMB000	MYH5	4.69	BO13SN5	YZ	KOC-AMB000	MYH5	6.68
BN13SN5	YZ	LAN-CLVTR	MYH5	9.50	BO13SN5	YZ	LAN-CLVTR	MYH5	17.28
BN13SN5	YZ	LAN-JOS090	MYH5	6.50	BO13SN5	YZ	LAN-JOS090	MYH5	14.19
BN13SN5	YZ	LOM-CYC285	MYH5	7.18	BO13SN5	YZ	LOM-CYC285	MYH5	11.95
BN13SN5	YZ	LOM-GOF090	MYH5	5.23	BO13SN5	YZ	LOM-GOF090	MYH5	11.51
BN13SN5	YZ	LOM-HDA165	MYH5	7.09	BO13SN5	YZ	LOM-HDA165	MYH5	8.98
BN13SN5	YZ	LOM-SAR000	MYH5	8.78	BO13SN5	YZ	LOM-SAR000	MYH5	17.17
BN13SN5	YZ	LOM-SAR090	MYH5	4.88	BO13SN5	YZ	LOM-SAR090	MYH5	5.35
BN13SN5	YZ	NOR-KAT000	MYH5	10.28	BO13SN5	YZ	NOR-KAT000	MYH5	12.34
BN13SN5	YZ	NOR-LOS000	MYH5	11.27	BO13SN5	YZ	NOR-LOS000	MYH5	15.14
BN13SN5	YZ	NOR-MU2035	MYH5	5.65	BO13SN5	YZ	NOR-MU2035	MYH5	9.95
BN13SN5	YZ	NOR-STM090	MYH5	4.37	BO13SN5	YZ	NOR-STM090	MYH5	11.22
BN13SN5	YZ	NPAL-MVH135	MYH5	4.65	BO13SN5	YZ	NPAL-MVH135	MYH5	11.08
BN13SN5	YZ	SUP-ELC090	MYH5	4.15	BO13SN5	YZ	SUP-ELC090	MYH5	3.66
BN13SN5	YZ	SUP-PTS315	MYH5	6.82	BO13SN5	YZ	SUP-PTS315	MYH5	14.63
BN13SN5	YZ	SUP-SUP135	MYH5	8.93	BO13SN5	YZ	SUP-SUP135	MYH5	8.39
BN13SN5	XZ	CAP-PET000	MYH6	10.31	BO13SN5	XZ	CAP-PET000	MYH6	13.22
BN13SN5	XZ	CHI-CHY025W	MYH6	3.75	BO13SN5	XZ	CHI-CHY025W	MYH6	11.86
BN13SN5	XZ	CHI-CHY034-N	MYH6	7.48	BO13SN5	XZ	CHI-CHY034-N	MYH6	12.74
BN13SN5	XZ	CHI-TCU038N	MYH6	4.81	BO13SN5	XZ	CHI-TCU038N	MYH6	7.53
BN13SN5	XZ	CHI-TCU038W	MYH6	3.69	BO13SN5	XZ	CHI-TCU038W	MYH6	5.72
BN13SN5	XZ	CHI-TCU048N	MYH6	3.75	BO13SN5	XZ	CHI-TCU048N	MYH6	4.16
BN13SN5	XZ	CHI-TCU49W	MYH6	5.57	BO13SN5	XZ	CHI-TCU49W	MYH6	11.84
BN13SN5	XZ	CHI-TCU51W	MYH6	3.36	BO13SN5	XZ	CHI-TCU51W	MYH6	8.94
BN13SN5	XZ	CHI-TCU95N	MYH6	6.80	BO13SN5	XZ	CHI-TCU95N	MYH6	5.77
BN13SN5	XZ	CHI-TCU104-N	MYH6	1.72	BO13SN5	XZ	CHI-TCU104-N	MYH6	3.56
BN13SN5	XZ	CHI-TCU106-W	MYH6	5.18	BO13SN5	XZ	CHI-TCU106-W	MYH6	7.43
BN13SN5	XZ	CHI-TCU107-N	MYH6	3.85	BO13SN5	XZ	CHI-TCU107-N	MYH6	11.10
BN13SN5	XZ	COY-G06230	MYH6	9.76	BO13SN5	XZ	COY-G06230	MYH6	15.45
BN13SN5	XZ	IMP-E10050	MYH6	3.43	BO13SN5	XZ	IMP-E10050	MYH6	9.51
BN13SN5	XZ	IMP-ELC3-140	MYH6	5.48	BO13SN5	XZ	IMP-ELC3-140	MYH6	9.30
BN13SN5	XZ	IMP-ELC5-140	MYH6	6.19	BO13SN5	XZ	IMP-ELC5-140	MYH6	13.01
BN13SN5	XZ	IMP-ELC7-140	MYH6	7.31	BO13SN5	XZ	IMP-ELC7-140	MYH6	12.68
BN13SN5	XZ	IMP-ELC8-230	MYH6	6.30	BO13SN5	XZ	IMP-ELC8-230	MYH6	8.89
BN13SN5	XZ	IMP-HVP225	MYH6	4.92	BO13SN5	XZ	IMP-HVP225	MYH6	12.41
BN13SN5	XZ	KOC-DZC270	MYH6	7.13	BO13SN5	XZ	KOC-DZC270	MYH6	19.26
BN13SN5	XZ	LOM-BRN090	MYH6	13.60	BO13SN5	XZ	LOM-BRN090	MYH6	11.18
BN13SN5	XZ	LOM-COR090	MYH6	11.06	BO13SN5	XZ	LOM-COR090	MYH6	13.77
BN13SN5	XZ	LOM-G03090	MYH6	5.02	BO13SN5	XZ	LOM-G03090	MYH6	16.53
BN13SN5	XZ	LOM-HCH180	MYH6	6.02	BO13SN5	XZ	LOM-HCH180	MYH6	18.98
BN13SN5	XZ	NAH-S1010	MYH6	7.42	BO13SN5	XZ	NAH-S1010	MYH6	8.38
BN13SN5	XZ	NAH-S1280	MYH6	5.87	BO13SN5	XZ	NAH-S1280	MYH6	7.77
BN13SN5	XZ	NOR-LOS270	MYH6	7.28	BO13SN5	XZ	NOR-LOS270	MYH6	10.57
BN13SN5	XZ	NOR-PAC175	MYH6	7.31	BO13SN5	XZ	NOR-PAC175	MYH6	7.39
BN13SN5	XZ	SUP-ELC000	MYH6	6.05	BO13SN5	XZ	SUP-ELC000	MYH6	11.44
BN13SN5	XZ	WES-WSM090	MYH6	8.52	BO13SN5	XZ	WES-WSM090	MYH6	13.22
BN13SN5	YZ	CAP-PET000	MYH6	10.32	BO13SN5	YZ	CAP-PET000	MYH6	14.17
BN13SN5	YZ	CHI-CHY025W	MYH6	3.81	BO13SN5	YZ	CHI-CHY025W	MYH6	5.53
BN13SN5	YZ	CHI-CHY034-N	MYH6	7.35	BO13SN5	YZ	CHI-CHY034-N	MYH6	10.84
BN13SN5	YZ	CHI-TCU038N	MYH6	4.55	BO13SN5	YZ	CHI-TCU038N	MYH6	5.38
BN13SN5	YZ	CHI-TCU038W	MYH6	3.44	BO13SN5	YZ	CHI-TCU038W	MYH6	4.48
BN13SN5	YZ	CHI-TCU048N	MYH6	3.64	BO13SN5	YZ	CHI-TCU048N	MYH6	4.13
BN13SN5	YZ	CHI-TCU49W	MYH6	5.40	BO13SN5	YZ	CHI-TCU49W	MYH6	7.78
BN13SN5	YZ	CHI-TCU51W	MYH6	3.30	BO13SN5	YZ	CHI-TCU51W	MYH6	4.53
BN13SN5	YZ	CHI-TCU95N	MYH6	6.34	BO13SN5	YZ	CHI-TCU95N	MYH6	4.28
BN13SN5	YZ	CHI-TCU104-N	MYH6	1.80	BO13SN5	YZ	CHI-TCU104-N	MYH6	2.74
BN13SN5	YZ	CHI-TCU106-W	MYH6	4.98	BO13SN5	YZ	CHI-TCU106-W	MYH6	6.36
BN13SN5	YZ	CHI-TCU107-N	MYH6	3.62	BO13SN5	YZ	CHI-TCU107-N	MYH6	6.47

Tablo C.1 (devam): Mevcut binalara ait yerdeğiştirme talepleri

Bina Adı	Analiz Yönü	İvme Kaydı	MYH Grup No	Δ_d (cm)	Bina Adı	Analiz Yönü	İvme Kaydı	MYH Grup No	Δ_d (cm)
BN13SN5	YZ	COY-G06230	MYH6	9.14	BO13SN5	YZ	COY-G06230	MYH6	14.11
BN13SN5	YZ	IMP-E10050	MYH6	3.54	BO13SN5	YZ	IMP-E10050	MYH6	4.51
BN13SN5	YZ	IMP-ELC3-140	MYH6	5.38	BO13SN5	YZ	IMP-ELC3-140	MYH6	9.09
BN13SN5	YZ	IMP-ELC5-140	MYH6	6.18	BO13SN5	YZ	IMP-ELC5-140	MYH6	8.50
BN13SN5	YZ	IMP-ELC7-140	MYH6	7.50	BO13SN5	YZ	IMP-ELC7-140	MYH6	14.68
BN13SN5	YZ	IMP-ELC8-230	MYH6	6.16	BO13SN5	YZ	IMP-ELC8-230	MYH6	7.72
BN13SN5	YZ	IMP-HVP225	MYH6	4.88	BO13SN5	YZ	IMP-HVP225	MYH6	9.77
BN13SN5	YZ	KOC-DZC270	MYH6	7.43	BO13SN5	YZ	KOC-DZC270	MYH6	16.89
BN13SN5	YZ	LOM-BRN090	MYH6	11.14	BO13SN5	YZ	LOM-BRN090	MYH6	7.83
BN13SN5	YZ	LOM-COR090	MYH6	10.62	BO13SN5	YZ	LOM-COR090	MYH6	14.01
BN13SN5	YZ	LOM-G03090	MYH6	4.71	BO13SN5	YZ	LOM-G03090	MYH6	12.48
BN13SN5	YZ	LOM-HCH180	MYH6	6.12	BO13SN5	YZ	LOM-HCH180	MYH6	15.57
BN13SN5	YZ	NAH-S1010	MYH6	7.02	BO13SN5	YZ	NAH-S1010	MYH6	7.64
BN13SN5	YZ	NAH-S1280	MYH6	4.99	BO13SN5	YZ	NAH-S1280	MYH6	6.86
BN13SN5	YZ	NOR-LOS270	MYH6	7.48	BO13SN5	YZ	NOR-LOS270	MYH6	10.60
BN13SN5	YZ	NOR-PAC175	MYH6	6.85	BO13SN5	YZ	NOR-PAC175	MYH6	6.87
BN13SN5	YZ	SUP-ELC000	MYH6	5.97	BO13SN5	YZ	SUP-ELC000	MYH6	12.92
BN13SN5	YZ	WES-WSM090	MYH6	8.35	BO13SN5	YZ	WES-WSM090	MYH6	10.55
BN13SN5	XZ	CHI-CHY002-N	MYH7	3.63	BO13SN5	XZ	CHI-CHY002-N	MYH7	5.30
BN13SN5	XZ	CHI-CHY024W	MYH7	5.85	BO13SN5	XZ	CHI-CHY024W	MYH7	15.99
BN13SN5	XZ	CHI-CHY104-E	MYH7	4.73	BO13SN5	XZ	CHI-CHY104-E	MYH7	14.39
BN13SN5	XZ	CHI-TCU029N	MYH7	2.57	BO13SN5	XZ	CHI-TCU029N	MYH7	6.40
BN13SN5	XZ	CHI-TCU036N	MYH7	2.83	BO13SN5	XZ	CHI-TCU036N	MYH7	6.63
BN13SN5	XZ	CHI-TCU039N	MYH7	3.51	BO13SN5	XZ	CHI-TCU039N	MYH7	7.73
BN13SN5	XZ	CHI-TCU039W	MYH7	4.96	BO13SN5	XZ	CHI-TCU039W	MYH7	12.51
BN13SN5	XZ	CHI-TCU040N	MYH7	3.17	BO13SN5	XZ	CHI-TCU040N	MYH7	4.47
BN13SN5	XZ	CHI-TCU040W	MYH7	3.58	BO13SN5	XZ	CHI-TCU040W	MYH7	6.08
BN13SN5	XZ	CHI-TCU055N	MYH7	5.35	BO13SN5	XZ	CHI-TCU055N	MYH7	8.49
BN13SN5	XZ	CHI-TCU064N	MYH7	2.42	BO13SN5	XZ	CHI-TCU064N	MYH7	7.78
BN13SN5	XZ	CHI-TCU70W	MYH7	8.85	BO13SN5	XZ	CHI-TCU70W	MYH7	8.92
BN13SN5	XZ	CHI-TCU109-N	MYH7	4.39	BO13SN5	XZ	CHI-TCU109-N	MYH7	11.62
BN13SN5	XZ	CHI-TCU109-W	MYH7	4.28	BO13SN5	XZ	CHI-TCU109-W	MYH7	10.61
BN13SN5	XZ	CHI-TCU115-W	MYH7	2.41	BO13SN5	XZ	CHI-TCU115-W	MYH7	3.85
BN13SN5	XZ	CHI-TCU117-N	MYH7	2.70	BO13SN5	XZ	CHI-TCU117-N	MYH7	10.43
BN13SN5	XZ	IMP-ELC8-140	MYH7	7.94	BO13SN5	XZ	IMP-ELC8-140	MYH7	13.62
BN13SN5	XZ	IMP-HVP315	MYH7	3.48	BO13SN5	XZ	IMP-HVP315	MYH7	8.37
BN13SN5	XZ	IRP-STU270	MYH7	4.53	BO13SN5	XZ	IRP-STU270	MYH7	22.05
BN13SN5	XZ	KOC-GBZ000	MYH7	5.08	BO13SN5	XZ	KOC-GBZ000	MYH7	7.73
BN13SN5	XZ	LAN-YER270	MYH7	5.15	BO13SN5	XZ	LAN-YER270	MYH7	17.68
BN13SN5	XZ	LOM-A02043	MYH7	8.33	BO13SN5	XZ	LOM-A02043	MYH7	13.26
BN13SN5	XZ	LOM-BRN000	MYH7	10.43	BO13SN5	XZ	LOM-BRN000	MYH7	13.60
BN13SN5	XZ	LOM-LGP090	MYH7	9.32	BO13SN5	XZ	LOM-LGP090	MYH7	15.40
BN13SN5	XZ	MOR-CYC195	MYH7	11.83	BO13SN5	XZ	MOR-CYC195	MYH7	11.97
BN13SN5	XZ	NOR-LDM334	MYH7	6.81	BO13SN5	XZ	NOR-LDM334	MYH7	14.16
BN13SN5	XZ	NOR-ORR090	MYH7	8.17	BO13SN5	XZ	NOR-ORR090	MYH7	16.33
BN13SN5	XZ	NOR-ORR360	MYH7	14.19	BO13SN5	XZ	NOR-ORR360	MYH7	21.18
BN13SN5	XZ	NOR-PKC360	MYH7	13.28	BO13SN5	XZ	NOR-PKC360	MYH7	10.20
BN13SN5	XZ	SFD-PCD254	MYH7	13.82	BO13SN5	XZ	SFD-PCD254	MYH7	12.62
BN13SN5	YZ	CHI-CHY002-N	MYH7	3.30	BO13SN5	YZ	CHI-CHY002-N	MYH7	5.50
BN13SN5	YZ	CHI-CHY024W	MYH7	5.63	BO13SN5	YZ	CHI-CHY024W	MYH7	14.22
BN13SN5	YZ	CHI-CHY104-E	MYH7	4.47	BO13SN5	YZ	CHI-CHY104-E	MYH7	5.39
BN13SN5	YZ	CHI-TCU029N	MYH7	2.93	BO13SN5	YZ	CHI-TCU029N	MYH7	5.32
BN13SN5	YZ	CHI-TCU036N	MYH7	3.04	BO13SN5	YZ	CHI-TCU036N	MYH7	4.80
BN13SN5	YZ	CHI-TCU039N	MYH7	3.73	BO13SN5	YZ	CHI-TCU039N	MYH7	5.43
BN13SN5	YZ	CHI-TCU039W	MYH7	4.72	BO13SN5	YZ	CHI-TCU039W	MYH7	7.20
BN13SN5	YZ	CHI-TCU040N	MYH7	3.37	BO13SN5	YZ	CHI-TCU040N	MYH7	4.07
BN13SN5	YZ	CHI-TCU040W	MYH7	3.35	BO13SN5	YZ	CHI-TCU040W	MYH7	4.10
BN13SN5	YZ	CHI-TCU055N	MYH7	5.09	BO13SN5	YZ	CHI-TCU055N	MYH7	7.34
BN13SN5	YZ	CHI-TCU064N	MYH7	2.45	BO13SN5	YZ	CHI-TCU064N	MYH7	5.15

Tablo C.1 (devam): Mevcut binalara ait yerdeğiştirme talepleri

Bina Adı	Analiz Yönü	İvme Kaydı	MYH Grup No	Δ_d (cm)	Bina Adı	Analiz Yönü	İvme Kaydı	MYH Grup No	Δ_d (cm)
BN13SN5	YZ	CHI-TCU70W	MYH7	8.77	BO13SN5	YZ	CHI-TCU70W	MYH7	6.60
BN13SN5	YZ	CHI-TCU109-N	MYH7	4.86	BO13SN5	YZ	CHI-TCU109-N	MYH7	8.19
BN13SN5	YZ	CHI-TCU109-W	MYH7	4.45	BO13SN5	YZ	CHI-TCU109-W	MYH7	7.59
BN13SN5	YZ	CHI-TCU115-W	MYH7	2.34	BO13SN5	YZ	CHI-TCU115-W	MYH7	3.34
BN13SN5	YZ	CHI-TCU117-N	MYH7	2.84	BO13SN5	YZ	CHI-TCU117-N	MYH7	4.95
BN13SN5	YZ	IMP-ELC8-140	MYH7	7.68	BO13SN5	YZ	IMP-ELC8-140	MYH7	10.35
BN13SN5	YZ	IMP-HVP315	MYH7	3.50	BO13SN5	YZ	IMP-HVP315	MYH7	6.06
BN13SN5	YZ	IRP-STU270	MYH7	4.41	BO13SN5	YZ	IRP-STU270	MYH7	17.15
BN13SN5	YZ	KOC-GBZ000	MYH7	4.89	BO13SN5	YZ	KOC-GBZ000	MYH7	6.40
BN13SN5	YZ	LAN-YER270	MYH7	5.20	BO13SN5	YZ	LAN-YER270	MYH7	11.98
BN13SN5	YZ	LOM-A02043	MYH7	8.41	BO13SN5	YZ	LOM-A02043	MYH7	14.52
BN13SN5	YZ	LOM-BRN000	MYH7	10.96	BO13SN5	YZ	LOM-BRN000	MYH7	14.86
BN13SN5	YZ	LOM-LGP090	MYH7	8.78	BO13SN5	YZ	LOM-LGP090	MYH7	11.76
BN13SN5	YZ	MOR-CYC195	MYH7	12.37	BO13SN5	YZ	MOR-CYC195	MYH7	10.24
BN13SN5	YZ	NOR-LDM334	MYH7	7.02	BO13SN5	YZ	NOR-LDM334	MYH7	14.12
BN13SN5	YZ	NOR-ORR090	MYH7	8.16	BO13SN5	YZ	NOR-ORR090	MYH7	14.28
BN13SN5	YZ	NOR-ORR360	MYH7	14.01	BO13SN5	YZ	NOR-ORR360	MYH7	28.33
BN13SN5	YZ	NOR-PKC360	MYH7	12.82	BO13SN5	YZ	NOR-PKC360	MYH7	10.00
BN13SN5	YZ	SFD-PCD254	MYH7	10.78	BO13SN5	YZ	SFD-PCD254	MYH7	12.70
BN13SN5	XZ	CAP-RIO270	MYH8	12.64	BO13SN5	XZ	CAP-RIO270	MYH8	18.12
BN13SN5	XZ	CAP-RIO360	MYH8	12.22	BO13SN5	XZ	CAP-RIO360	MYH8	11.79
BN13SN5	XZ	CHI-CHY006-E	MYH8	11.96	BO13SN5	XZ	CHI-CHY006-E	MYH8	17.08
BN13SN5	XZ	CHI-CHY092-E	MYH8	2.27	BO13SN5	XZ	CHI-CHY092-E	MYH8	7.11
BN13SN5	XZ	CHI-CHY104-N	MYH8	4.72	BO13SN5	XZ	CHI-CHY104-N	MYH8	7.85
BN13SN5	XZ	CHI-TCU054W	MYH8	4.07	BO13SN5	XZ	CHI-TCU054W	MYH8	6.97
BN13SN5	XZ	CHI-TCU059N	MYH8	3.53	BO13SN5	XZ	CHI-TCU059N	MYH8	14.19
BN13SN5	XZ	CHI-TCU059W	MYH8	4.73	BO13SN5	XZ	CHI-TCU059W	MYH8	9.49
BN13SN5	XZ	CHI-TCU063W	MYH8	5.77	BO13SN5	XZ	CHI-TCU063W	MYH8	9.42
BN13SN5	XZ	CHI-TCU072N	MYH8	10.77	BO13SN5	XZ	CHI-TCU072N	MYH8	15.21
BN13SN5	XZ	CHI-TCU82W	MYH8	4.70	BO13SN5	XZ	CHI-TCU82W	MYH8	7.80
BN13SN5	XZ	CHI-TCU110-N	MYH8	6.37	BO13SN5	XZ	CHI-TCU110-N	MYH8	15.15
BN13SN5	XZ	CHI-TCU111-W	MYH8	3.25	BO13SN5	XZ	CHI-TCU111-W	MYH8	9.76
BN13SN5	XZ	CHI-TCU117-W	MYH8	3.12	BO13SN5	XZ	CHI-TCU117-W	MYH8	7.72
BN13SN5	XZ	CHI-TCU136-E	MYH8	4.21	BO13SN5	XZ	CHI-TCU136-E	MYH8	8.04
BN13SN5	XZ	DZC-BOL000	MYH8	12.06	BO13SN5	XZ	DZC-BOL000	MYH8	14.57
BN13SN5	XZ	IMP-ELC3-140	MYH8	7.13	BO13SN5	XZ	IMP-ELC3-140	MYH8	10.24
BN13SN5	XZ	IMP-ELC3-230	MYH8	5.64	BO13SN5	XZ	IMP-ELC3-230	MYH8	7.50
BN13SN5	XZ	IRP-STU270	MYH8	4.94	BO13SN5	XZ	IRP-STU270	MYH8	25.73
BN13SN5	XZ	KOC-DZC180	MYH8	6.68	BO13SN5	XZ	KOC-DZC180	MYH8	13.35
BN13SN5	XZ	KOC-DZC270	MYH8	9.37	BO13SN5	XZ	KOC-DZC270	MYH8	19.00
BN13SN5	XZ	KOC-GBZ000	MYH8	5.73	BO13SN5	XZ	KOC-GBZ000	MYH8	9.05
BN13SN5	XZ	LAN-CLVTR	MYH8	17.23	BO13SN5	XZ	LAN-CLVTR	MYH8	21.57
BN13SN5	XZ	LAN-YER270	MYH8	5.63	BO13SN5	XZ	LAN-YER270	MYH8	22.84
BN13SN5	XZ	LOM-COR000	MYH8	11.13	BO13SN5	XZ	LOM-COR000	MYH8	12.88
BN13SN5	XZ	NOR-MUL009	MYH8	9.81	BO13SN5	XZ	NOR-MUL009	MYH8	22.60
BN13SN5	XZ	NOR-PUL104	MYH8	11.86	BO13SN5	XZ	NOR-PUL104	MYH8	8.83
BN13SN5	XZ	NPAL-MVH135	MYH8	7.03	BO13SN5	XZ	NPAL-MVH135	MYH8	28.13
BN13SN5	XZ	SUP-ELC000	MYH8	8.13	BO13SN5	XZ	SUP-ELC000	MYH8	11.29
BN13SN5	XZ	SUP-ELC090	MYH8	6.10	BO13SN5	XZ	SUP-ELC090	MYH8	15.64
BN13SN5	YZ	CAP-RIO270	MYH8	11.41	BO13SN5	YZ	CAP-RIO270	MYH8	17.62
BN13SN5	YZ	CAP-RIO360	MYH8	11.24	BO13SN5	YZ	CAP-RIO360	MYH8	11.47
BN13SN5	YZ	CHI-CHY006-E	MYH8	10.13	BO13SN5	YZ	CHI-CHY006-E	MYH8	13.52
BN13SN5	YZ	CHI-CHY092-E	MYH8	2.12	BO13SN5	YZ	CHI-CHY092-E	MYH8	5.11
BN13SN5	YZ	CHI-CHY104-N	MYH8	4.44	BO13SN5	YZ	CHI-CHY104-N	MYH8	7.88
BN13SN5	YZ	CHI-TCU054W	MYH8	3.92	BO13SN5	YZ	CHI-TCU054W	MYH8	5.12
BN13SN5	YZ	CHI-TCU059N	MYH8	3.75	BO13SN5	YZ	CHI-TCU059N	MYH8	9.29
BN13SN5	YZ	CHI-TCU059W	MYH8	4.70	BO13SN5	YZ	CHI-TCU059W	MYH8	7.33
BN13SN5	YZ	CHI-TCU063W	MYH8	5.56	BO13SN5	YZ	CHI-TCU063W	MYH8	7.03
BN13SN5	YZ	CHI-TCU072N	MYH8	11.63	BO13SN5	YZ	CHI-TCU072N	MYH8	22.33

Tablo C.1 (devam): Mevcut binalara ait yerdeğiştirme talepleri

Bina Adı	Analiz Yönü	İvme Kaydı	MYH Grup No	Δ_d (cm)	Bina Adı	Analiz Yönü	İvme Kaydı	MYH Grup No	Δ_d (cm)
BN13SN5	YZ	CHI-TCU82W	MYH8	4.75	BO13SN5	YZ	CHI-TCU82W	MYH8	6.86
BN13SN5	YZ	CHI-TCU110-N	MYH8	6.41	BO13SN5	YZ	CHI-TCU110-N	MYH8	15.67
BN13SN5	YZ	CHI-TCU111-W	MYH8	3.78	BO13SN5	YZ	CHI-TCU111-W	MYH8	7.75
BN13SN5	YZ	CHI-TCU117-W	MYH8	3.69	BO13SN5	YZ	CHI-TCU117-W	MYH8	4.78
BN13SN5	YZ	CHI-TCU136-E	MYH8	4.45	BO13SN5	YZ	CHI-TCU136-E	MYH8	5.67
BN13SN5	YZ	DZC-BOL000	MYH8	12.27	BO13SN5	YZ	DZC-BOL000	MYH8	13.51
BN13SN5	YZ	IMP-ELC3-140	MYH8	6.92	BO13SN5	YZ	IMP-ELC3-140	MYH8	11.70
BN13SN5	YZ	IMP-ELC3-230	MYH8	5.92	BO13SN5	YZ	IMP-ELC3-230	MYH8	5.90
BN13SN5	YZ	IRP-STU270	MYH8	4.83	BO13SN5	YZ	IRP-STU270	MYH8	19.39
BN13SN5	YZ	KOC-DZC180	MYH8	6.91	BO13SN5	YZ	KOC-DZC180	MYH8	8.06
BN13SN5	YZ	KOC-DZC270	MYH8	8.89	BO13SN5	YZ	KOC-DZC270	MYH8	22.09
BN13SN5	YZ	KOC-GBZ000	MYH8	5.56	BO13SN5	YZ	KOC-GBZ000	MYH8	7.85
BN13SN5	YZ	LAN-CLVTR	MYH8	15.95	BO13SN5	YZ	LAN-CLVTR	MYH8	26.31
BN13SN5	YZ	LAN-YER270	MYH8	5.58	BO13SN5	YZ	LAN-YER270	MYH8	14.81
BN13SN5	YZ	LOM-COR000	MYH8	11.00	BO13SN5	YZ	LOM-COR000	MYH8	13.18
BN13SN5	YZ	NOR-MUL009	MYH8	9.03	BO13SN5	YZ	NOR-MUL009	MYH8	15.50
BN13SN5	YZ	NOR-PUL104	MYH8	11.73	BO13SN5	YZ	NOR-PUL104	MYH8	16.28
BN13SN5	YZ	NPAL-MVH135	MYH8	7.23	BO13SN5	YZ	NPAL-MVH135	MYH8	21.61
BN13SN5	YZ	SUP-ELC000	MYH8	7.81	BO13SN5	YZ	SUP-ELC000	MYH8	16.16
BN13SN5	YZ	SUP-ELC090	MYH8	6.00	BO13SN5	YZ	SUP-ELC090	MYH8	8.99
BN13SN5	XZ	CHI-TCU036W	MYH9	3.40	BO13SN5	XZ	CHI-TCU036W	MYH9	6.53
BN13SN5	XZ	CHI-TCU49N	MYH9	4.90	BO13SN5	XZ	CHI-TCU49N	MYH9	9.60
BN13SN5	XZ	CHI-TCU70N	MYH9	6.35	BO13SN5	XZ	CHI-TCU70N	MYH9	11.31
BN13SN5	XZ	CHI-TCU76N	MYH9	8.77	BO13SN5	XZ	CHI-TCU76N	MYH9	22.08
BN13SN5	XZ	CHI-TCU76W	MYH9	4.39	BO13SN5	XZ	CHI-TCU76W	MYH9	8.18
BN13SN5	XZ	CHI-TCU079-W	MYH9	13.13	BO13SN5	XZ	CHI-TCU079-W	MYH9	27.72
BN13SN5	XZ	CHI-TCU95W	MYH9	6.74	BO13SN5	XZ	CHI-TCU95W	MYH9	10.16
BN13SN5	XZ	CHI-TCU103-W	MYH9	3.30	BO13SN5	XZ	CHI-TCU103-W	MYH9	8.00
BN13SN5	XZ	CHI-TCU120-W	MYH9	4.10	BO13SN5	XZ	CHI-TCU120-W	MYH9	24.39
BN13SN5	XZ	CHI-TCU129-W	MYH9	9.39	BO13SN5	XZ	CHI-TCU129-W	MYH9	20.61
BN13SN5	XZ	COA-PLE045	MYH9	17.33	BO13SN5	XZ	COA-PLE045	MYH9	16.03
BN13SN5	XZ	DZC-BOL000	MYH9	13.40	BO13SN5	XZ	DZC-BOL000	MYH9	15.90
BN13SN5	XZ	DZC-BOL090	MYH9	16.87	BO13SN5	XZ	DZC-BOL090	MYH9	14.72
BN13SN5	XZ	DZC-DZC180	MYH9	9.84	BO13SN5	XZ	DZC-DZC180	MYH9	11.97
BN13SN5	XZ	ERZ-ERZEW	MYH9	9.49	BO13SN5	XZ	ERZ-ERZEW	MYH9	16.75
BN13SN5	XZ	IMP-ELC3-140	MYH9	8.05	BO13SN5	XZ	IMP-ELC3-140	MYH9	12.53
BN13SN5	XZ	IMP-HVP315	MYH9	4.28	BO13SN5	XZ	IMP-HVP315	MYH9	11.09
BN13SN5	XZ	IRP-STU270	MYH9	5.42	BO13SN5	XZ	IRP-STU270	MYH9	30.05
BN13SN5	XZ	KOC-DZC180	MYH9	7.11	BO13SN5	XZ	KOC-DZC180	MYH9	14.76
BN13SN5	XZ	KOC-GBZ000	MYH9	6.24	BO13SN5	XZ	KOC-GBZ000	MYH9	9.95
BN13SN5	XZ	KOC-YAR330	MYH9	6.56	BO13SN5	XZ	KOC-YAR330	MYH9	19.01
BN13SN5	XZ	LAN-YER270	MYH9	6.08	BO13SN5	XZ	LAN-YER270	MYH9	26.67
BN13SN5	XZ	LOM-BRN000	MYH9	10.36	BO13SN5	XZ	LOM-BRN000	MYH9	16.40
BN13SN5	XZ	LOM-HSP000	MYH9	13.79	BO13SN5	XZ	LOM-HSP000	MYH9	23.95
BN13SN5	XZ	LOM-WVC270	MYH9	7.04	BO13SN5	XZ	LOM-WVC270	MYH9	21.47
BN13SN5	XZ	NOR-CNP196	MYH9	8.98	BO13SN5	XZ	NOR-CNP196	MYH9	16.71
BN13SN5	XZ	NOR-LDM064	MYH9	12.43	BO13SN5	XZ	NOR-LDM064	MYH9	21.24
BN13SN5	XZ	NOR-MUL279	MYH9	9.56	BO13SN5	XZ	NOR-MUL279	MYH9	21.39
BN13SN5	XZ	NOR-SAT180	MYH9	10.77	BO13SN5	XZ	NOR-SAT180	MYH9	25.54
BN13SN5	XZ	SUP-ELC000	MYH9	9.27	BO13SN5	XZ	SUP-ELC000	MYH9	13.32
BN13SN5	YZ	CHI-TCU036W	MYH9	3.88	BO13SN5	YZ	CHI-TCU036W	MYH9	5.91
BN13SN5	YZ	CHI-TCU49N	MYH9	4.65	BO13SN5	YZ	CHI-TCU49N	MYH9	9.06
BN13SN5	YZ	CHI-TCU70N	MYH9	6.37	BO13SN5	YZ	CHI-TCU70N	MYH9	10.48
BN13SN5	YZ	CHI-TCU76N	MYH9	8.80	BO13SN5	YZ	CHI-TCU76N	MYH9	21.02
BN13SN5	YZ	CHI-TCU76W	MYH9	4.32	BO13SN5	YZ	CHI-TCU76W	MYH9	7.99
BN13SN5	YZ	CHI-TCU079-W	MYH9	11.59	BO13SN5	YZ	CHI-TCU079-W	MYH9	20.84
BN13SN5	YZ	CHI-TCU95W	MYH9	6.84	BO13SN5	YZ	CHI-TCU95W	MYH9	9.78
BN13SN5	YZ	CHI-TCU103-W	MYH9	3.21	BO13SN5	YZ	CHI-TCU103-W	MYH9	5.94
BN13SN5	YZ	CHI-TCU120-W	MYH9	4.33	BO13SN5	YZ	CHI-TCU120-W	MYH9	15.51

Tablo C.1 (devam): Mevcut binalara ait yerdeğiştirme talepleri

Bina Adı	Analiz Yönü	İvme Kaydı	MYH Grup No	Δ_d (cm)	Bina Adı	Analiz Yönü	İvme Kaydı	MYH Grup No	Δ_d (cm)
BN13SN5	YZ	CHI-TCU129-W	MYH9	9.31	BO13SN5	YZ	CHI-TCU129-W	MYH9	17.62
BN13SN5	YZ	COA-PLE045	MYH9	16.56	BO13SN5	YZ	COA-PLE045	MYH9	16.30
BN13SN5	YZ	DZC-BOL000	MYH9	13.73	BO13SN5	YZ	DZC-BOL000	MYH9	14.70
BN13SN5	YZ	DZC-BOL090	MYH9	16.42	BO13SN5	YZ	DZC-BOL090	MYH9	16.31
BN13SN5	YZ	DZC-DZC180	MYH9	10.04	BO13SN5	YZ	DZC-DZC180	MYH9	8.41
BN13SN5	YZ	ERZ-ERZEW	MYH9	9.56	BO13SN5	YZ	ERZ-ERZEW	MYH9	18.79
BN13SN5	YZ	IMP-ELC3-140	MYH9	7.75	BO13SN5	YZ	IMP-ELC3-140	MYH9	12.41
BN13SN5	YZ	IMP-HVP315	MYH9	4.35	BO13SN5	YZ	IMP-HVP315	MYH9	8.16
BN13SN5	YZ	IRP-STU270	MYH9	5.33	BO13SN5	YZ	IRP-STU270	MYH9	21.98
BN13SN5	YZ	KOC-DZC180	MYH9	7.30	BO13SN5	YZ	KOC-DZC180	MYH9	9.39
BN13SN5	YZ	KOC-GBZ000	MYH9	6.08	BO13SN5	YZ	KOC-GBZ000	MYH9	8.94
BN13SN5	YZ	KOC-YAR330	MYH9	6.43	BO13SN5	YZ	KOC-YAR330	MYH9	11.71
BN13SN5	YZ	LAN-YER270	MYH9	6.36	BO13SN5	YZ	LAN-YER270	MYH9	17.47
BN13SN5	YZ	LOM-BRN000	MYH9	10.67	BO13SN5	YZ	LOM-BRN000	MYH9	17.30
BN13SN5	YZ	LOM-HSP000	MYH9	12.81	BO13SN5	YZ	LOM-HSP000	MYH9	17.97
BN13SN5	YZ	LOM-WVC270	MYH9	7.02	BO13SN5	YZ	LOM-WVC270	MYH9	19.12
BN13SN5	YZ	NOR-CNP196	MYH9	9.32	BO13SN5	YZ	NOR-CNP196	MYH9	10.97
BN13SN5	YZ	NOR-LDM064	MYH9	12.52	BO13SN5	YZ	NOR-LDM064	MYH9	13.66
BN13SN5	YZ	NOR-MUL279	MYH9	9.52	BO13SN5	YZ	NOR-MUL279	MYH9	23.55
BN13SN5	YZ	NOR-SAT180	MYH9	9.89	BO13SN5	YZ	NOR-SAT180	MYH9	23.89
BN13SN5	YZ	SUP-ELC000	MYH9	8.79	BO13SN5	YZ	SUP-ELC000	MYH9	16.77
BN13SN5	XZ	CHI-CHY28N	MYH10	23.76	BO13SN5	XZ	CHI-CHY28N	MYH10	17.96
BN13SN5	XZ	CHI-TCU067N	MYH10	6.46	BO13SN5	XZ	CHI-TCU067N	MYH10	16.32
BN13SN5	XZ	CHI-TCU071N	MYH10	6.14	BO13SN5	XZ	CHI-TCU071N	MYH10	14.39
BN13SN5	XZ	CHI-TCU101-W	MYH10	5.08	BO13SN5	XZ	CHI-TCU101-W	MYH10	18.11
BN13SN5	XZ	CHI-TCU110-W	MYH10	3.71	BO13SN5	XZ	CHI-TCU110-W	MYH10	15.92
BN13SN5	XZ	CHI-TCU128-N	MYH10	4.05	BO13SN5	XZ	CHI-TCU128-N	MYH10	10.58
BN13SN5	XZ	CHI-WGK-E	MYH10	6.54	BO13SN5	XZ	CHI-WGK-E	MYH10	10.04
BN13SN5	XZ	CHI-WNTE	MYH10	8.18	BO13SN5	XZ	CHI-WNTE	MYH10	12.83
BN13SN5	XZ	DZC-BOL000	MYH10	14.30	BO13SN5	XZ	DZC-BOL000	MYH10	17.00
BN13SN5	XZ	DZC-BOL090	MYH10	20.31	BO13SN5	XZ	DZC-BOL090	MYH10	15.99
BN13SN5	XZ	GAZ-KAR000	MYH10	10.12	BO13SN5	XZ	GAZ-KAR000	MYH10	18.11
BN13SN5	XZ	IMP-ECC092	MYH10	6.27	BO13SN5	XZ	IMP-ECC092	MYH10	13.33
BN13SN5	XZ	IMP-ELC3-140	MYH10	9.07	BO13SN5	XZ	IMP-ELC3-140	MYH10	15.18
BN13SN5	XZ	IMP-ELC6-140	MYH10	9.60	BO13SN5	XZ	IMP-ELC6-140	MYH10	18.42
BN13SN5	XZ	IRP-STU270	MYH10	5.91	BO13SN5	XZ	IRP-STU270	MYH10	33.99
BN13SN5	XZ	KOB-TAK000	MYH10	16.12	BO13SN5	XZ	KOB-TAK000	MYH10	17.99
BN13SN5	XZ	KOC-DZC180	MYH10	7.73	BO13SN5	XZ	KOC-DZC180	MYH10	16.40
BN13SN5	XZ	KOC-GBZ000	MYH10	6.78	BO13SN5	XZ	KOC-GBZ000	MYH10	10.85
BN13SN5	XZ	KOC-YAR060	MYH10	6.68	BO13SN5	XZ	KOC-YAR060	MYH10	15.86
BN13SN5	XZ	LAN-YER270	MYH10	7.03	BO13SN5	XZ	LAN-YER270	MYH10	30.61
BN13SN5	XZ	LOM-BRN000	MYH10	10.41	BO13SN5	XZ	LOM-BRN000	MYH10	17.62
BN13SN5	XZ	LOM-G03090	MYH10	6.23	BO13SN5	XZ	LOM-G03090	MYH10	25.21
BN13SN5	XZ	LOM-HSP000	MYH10	14.68	BO13SN5	XZ	LOM-HSP000	MYH10	26.73
BN13SN5	XZ	NOR-CNP196	MYH10	9.92	BO13SN5	XZ	NOR-CNP196	MYH10	20.85
BN13SN5	XZ	NOR-MUL009	MYH10	11.64	BO13SN5	XZ	NOR-MUL009	MYH10	26.89
BN13SN5	XZ	NOR-MUL279	MYH10	11.16	BO13SN5	XZ	NOR-MUL279	MYH10	22.28
BN13SN5	XZ	NOR-ORR090	MYH10	11.45	BO13SN5	XZ	NOR-ORR090	MYH10	19.99
BN13SN5	XZ	NOR-ORR360	MYH10	21.30	BO13SN5	XZ	NOR-ORR360	MYH10	29.48
BN13SN5	XZ	NOR-SAT180	MYH10	13.74	BO13SN5	XZ	NOR-SAT180	MYH10	28.81
BN13SN5	XZ	NOR-WPI316	MYH10	7.28	BO13SN5	XZ	NOR-WPI316	MYH10	14.10
BN13SN5	YZ	CHI-CHY28N	MYH10	22.75	BO13SN5	YZ	CHI-CHY28N	MYH10	13.81
BN13SN5	YZ	CHI-TCU067N	MYH10	6.42	BO13SN5	YZ	CHI-TCU067N	MYH10	13.69
BN13SN5	YZ	CHI-TCU071N	MYH10	6.28	BO13SN5	YZ	CHI-TCU071N	MYH10	11.40
BN13SN5	YZ	CHI-TCU101-W	MYH10	4.86	BO13SN5	YZ	CHI-TCU101-W	MYH10	12.58
BN13SN5	YZ	CHI-TCU110-W	MYH10	3.94	BO13SN5	YZ	CHI-TCU110-W	MYH10	11.10
BN13SN5	YZ	CHI-TCU128-N	MYH10	3.88	BO13SN5	YZ	CHI-TCU128-N	MYH10	6.92
BN13SN5	YZ	CHI-WGK-E	MYH10	6.56	BO13SN5	YZ	CHI-WGK-E	MYH10	12.69
BN13SN5	YZ	CHI-WNTE	MYH10	8.14	BO13SN5	YZ	CHI-WNTE	MYH10	10.66

Tablo C.1 (devam): Mevcut binalara ait yerdeğiştirme talepleri

Bina Adı	Analiz Yönü	İvme Kaydı	MYH Grup No	Δ_d (cm)	Bina Adı	Analiz Yönü	İvme Kaydı	MYH Grup No	Δ_d (cm)
BN13SN5	YZ	DZC-BOL000	MYH10	14.54	BO13SN5	YZ	DZC-BOL000	MYH10	15.67
BN13SN5	YZ	DZC-BOL090	MYH10	19.54	BO13SN5	YZ	DZC-BOL090	MYH10	18.00
BN13SN5	YZ	GAZ-KAR000	MYH10	9.92	BO13SN5	YZ	GAZ-KAR000	MYH10	17.05
BN13SN5	YZ	IMP-ECC092	MYH10	6.63	BO13SN5	YZ	IMP-ECC092	MYH10	10.47
BN13SN5	YZ	IMP-ELC3-140	MYH10	8.67	BO13SN5	YZ	IMP-ELC3-140	MYH10	13.31
BN13SN5	YZ	IMP-ELC6-140	MYH10	9.93	BO13SN5	YZ	IMP-ELC6-140	MYH10	12.34
BN13SN5	YZ	IRP-STU270	MYH10	5.86	BO13SN5	YZ	IRP-STU270	MYH10	25.05
BN13SN5	YZ	KOB-TAK000	MYH10	14.42	BO13SN5	YZ	KOB-TAK000	MYH10	13.92
BN13SN5	YZ	KOC-DZC180	MYH10	7.88	BO13SN5	YZ	KOC-DZC180	MYH10	11.53
BN13SN5	YZ	KOC-GBZ000	MYH10	6.63	BO13SN5	YZ	KOC-GBZ000	MYH10	10.06
BN13SN5	YZ	KOC-YAR060	MYH10	6.34	BO13SN5	YZ	KOC-YAR060	MYH10	16.33
BN13SN5	YZ	LAN-YER270	MYH10	7.29	BO13SN5	YZ	LAN-YER270	MYH10	20.68
BN13SN5	YZ	LOM-BRN000	MYH10	10.27	BO13SN5	YZ	LOM-BRN000	MYH10	18.54
BN13SN5	YZ	LOM-G03090	MYH10	6.58	BO13SN5	YZ	LOM-G03090	MYH10	24.03
BN13SN5	YZ	LOM-HSP000	MYH10	13.80	BO13SN5	YZ	LOM-HSP000	MYH10	20.18
BN13SN5	YZ	NOR-CNP196	MYH10	10.44	BO13SN5	YZ	NOR-CNP196	MYH10	14.21
BN13SN5	YZ	NOR-MUL009	MYH10	10.56	BO13SN5	YZ	NOR-MUL009	MYH10	19.46
BN13SN5	YZ	NOR-MUL279	MYH10	10.80	BO13SN5	YZ	NOR-MUL279	MYH10	24.88
BN13SN5	YZ	NOR-ORR090	MYH10	10.77	BO13SN5	YZ	NOR-ORR090	MYH10	18.79
BN13SN5	YZ	NOR-ORR360	MYH10	21.26	BO13SN5	YZ	NOR-ORR360	MYH10	45.09
BN13SN5	YZ	NOR-SAT180	MYH10	11.37	BO13SN5	YZ	NOR-SAT180	MYH10	27.78
BN13SN5	YZ	NOR-WPI316	MYH10	7.06	BO13SN5	YZ	NOR-WPI316	MYH10	10.77
BN13SN5	XZ	CHI-CHY28W	MYH11	10.24	BO13SN5	XZ	CHI-CHY28W	MYH11	16.98
BN13SN5	XZ	CHI-CHY101W	MYH11	6.34	BO13SN5	XZ	CHI-CHY101W	MYH11	13.43
BN13SN5	XZ	CHI-TCU063N	MYH11	3.26	BO13SN5	XZ	CHI-TCU063N	MYH11	17.19
BN13SN5	XZ	CHI-TCU072W	MYH11	11.05	BO13SN5	XZ	CHI-TCU072W	MYH11	21.13
BN13SN5	XZ	CHI-TCU74W	MYH11	14.71	BO13SN5	XZ	CHI-TCU74W	MYH11	23.57
BN13SN5	XZ	CHI-TCU128-W	MYH11	2.73	BO13SN5	XZ	CHI-TCU128-W	MYH11	9.44
BN13SN5	XZ	CHI-WGK-N	MYH11	8.90	BO13SN5	XZ	CHI-WGK-N	MYH11	26.15
BN13SN5	XZ	COA-PLE045	MYH11	22.99	BO13SN5	XZ	COA-PLE045	MYH11	19.50
BN13SN5	XZ	DZC-BOL000	MYH11	14.83	BO13SN5	XZ	DZC-BOL000	MYH11	18.51
BN13SN5	XZ	DZC-BOL090	MYH11	23.89	BO13SN5	XZ	DZC-BOL090	MYH11	17.03
BN13SN5	XZ	DZC-DZC180	MYH11	15.37	BO13SN5	XZ	DZC-DZC180	MYH11	17.19
BN13SN5	XZ	GAZ-KAR000	MYH11	11.50	BO13SN5	XZ	GAZ-KAR000	MYH11	21.60
BN13SN5	XZ	GAZ-KAR090	MYH11	10.92	BO13SN5	XZ	GAZ-KAR090	MYH11	14.58
BN13SN5	XZ	IMP-ECC092	MYH11	6.73	BO13SN5	XZ	IMP-ECC092	MYH11	14.54
BN13SN5	XZ	IMP-ECM000	MYH11	8.98	BO13SN5	XZ	IMP-ECM000	MYH11	16.88
BN13SN5	XZ	IMP-ELCD-270	MYH11	5.47	BO13SN5	XZ	IMP-ELCD-270	MYH11	12.49
BN13SN5	XZ	IRP-STU270	MYH11	6.36	BO13SN5	XZ	IRP-STU270	MYH11	38.36
BN13SN5	XZ	KOB-KJM090	MYH11	19.83	BO13SN5	XZ	KOB-KJM090	MYH11	22.78
BN13SN5	XZ	KOC-DZC180	MYH11	8.31	BO13SN5	XZ	KOC-DZC180	MYH11	17.49
BN13SN5	XZ	KOC-GBZ000	MYH11	7.33	BO13SN5	XZ	KOC-GBZ000	MYH11	11.72
BN13SN5	XZ	KOC-YAR060	MYH11	7.03	BO13SN5	XZ	KOC-YAR060	MYH11	19.50
BN13SN5	XZ	LOM-HSP000	MYH11	15.79	BO13SN5	XZ	LOM-HSP000	MYH11	29.24
BN13SN5	XZ	LOM-WVC270	MYH11	8.16	BO13SN5	XZ	LOM-WVC270	MYH11	23.95
BN13SN5	XZ	NOR-CNP196	MYH11	10.65	BO13SN5	XZ	NOR-CNP196	MYH11	24.66
BN13SN5	XZ	NOR-MUL009	MYH11	12.93	BO13SN5	XZ	NOR-MUL009	MYH11	29.20
BN13SN5	XZ	NOR-MUL279	MYH11	13.35	BO13SN5	XZ	NOR-MUL279	MYH11	23.17
BN13SN5	XZ	NOR-ORR360	MYH11	25.72	BO13SN5	XZ	NOR-ORR360	MYH11	32.11
BN13SN5	XZ	NOR-RRS318	MYH11	9.40	BO13SN5	XZ	NOR-RRS318	MYH11	16.72
BN13SN5	XZ	NOR-SAT180	MYH11	15.72	BO13SN5	XZ	NOR-SAT180	MYH11	31.50
BN13SN5	XZ	NPAL-NPS210	MYH11	7.30	BO13SN5	XZ	NPAL-NPS210	MYH11	21.86
BN13SN5	YZ	CHI-CHY28W	MYH11	9.75	BO13SN5	YZ	CHI-CHY28W	MYH11	19.63
BN13SN5	YZ	CHI-CHY101W	MYH11	5.90	BO13SN5	YZ	CHI-CHY101W	MYH11	13.34
BN13SN5	YZ	CHI-TCU063N	MYH11	3.54	BO13SN5	YZ	CHI-TCU063N	MYH11	7.27
BN13SN5	YZ	CHI-TCU072W	MYH11	11.41	BO13SN5	YZ	CHI-TCU072W	MYH11	13.67
BN13SN5	YZ	CHI-TCU74W	MYH11	16.27	BO13SN5	YZ	CHI-TCU74W	MYH11	23.48
BN13SN5	YZ	CHI-TCU128-W	MYH11	2.56	BO13SN5	YZ	CHI-TCU128-W	MYH11	5.78
BN13SN5	YZ	CHI-WGK-N	MYH11	9.23	BO13SN5	YZ	CHI-WGK-N	MYH11	29.45

Tablo C.1 (devam): Mevcut binalara ait yerdeğiştirme talepleri

Bina Adı	Analiz Yönü	İvme Kaydı	MYH Grup No	Δ_d (cm)	Bina Adı	Analiz Yönü	İvme Kaydı	MYH Grup No	Δ_d (cm)
BN13SN5	YZ	COA-PLE045	MYH11	21.21	BO13SN5	YZ	COA-PLE045	MYH11	19.50
BN13SN5	YZ	DZC-BOL000	MYH11	15.08	BO13SN5	YZ	DZC-BOL000	MYH11	16.57
BN13SN5	YZ	DZC-BOL090	MYH11	22.73	BO13SN5	YZ	DZC-BOL090	MYH11	19.51
BN13SN5	YZ	DZC-DZC180	MYH11	14.53	BO13SN5	YZ	DZC-DZC180	MYH11	10.53
BN13SN5	YZ	GAZ-KAR000	MYH11	11.30	BO13SN5	YZ	GAZ-KAR000	MYH11	20.75
BN13SN5	YZ	GAZ-KAR090	MYH11	11.13	BO13SN5	YZ	GAZ-KAR090	MYH11	14.69
BN13SN5	YZ	IMP-ECC092	MYH11	7.03	BO13SN5	YZ	IMP-ECC092	MYH11	11.46
BN13SN5	YZ	IMP-ECM000	MYH11	8.90	BO13SN5	YZ	IMP-ECM000	MYH11	13.12
BN13SN5	YZ	IMP-ELCD-270	MYH11	5.50	BO13SN5	YZ	IMP-ELCD-270	MYH11	11.31
BN13SN5	YZ	IRP-STU270	MYH11	6.44	BO13SN5	YZ	IRP-STU270	MYH11	30.02
BN13SN5	YZ	KOB-KJM090	MYH11	19.06	BO13SN5	YZ	KOB-KJM090	MYH11	24.81
BN13SN5	YZ	KOC-DZC180	MYH11	8.41	BO13SN5	YZ	KOC-DZC180	MYH11	13.90
BN13SN5	YZ	KOC-GBZ000	MYH11	7.17	BO13SN5	YZ	KOC-GBZ000	MYH11	11.17
BN13SN5	YZ	KOC-YAR060	MYH11	6.71	BO13SN5	YZ	KOC-YAR060	MYH11	20.05
BN13SN5	YZ	LOM-HSP000	MYH11	14.79	BO13SN5	YZ	LOM-HSP000	MYH11	22.54
BN13SN5	YZ	LOM-WVC270	MYH11	8.42	BO13SN5	YZ	LOM-WVC270	MYH11	24.23
BN13SN5	YZ	NOR-CNP196	MYH11	11.43	BO13SN5	YZ	NOR-CNP196	MYH11	16.84
BN13SN5	YZ	NOR-MUL009	MYH11	11.65	BO13SN5	YZ	NOR-MUL009	MYH11	21.99
BN13SN5	YZ	NOR-MUL279	MYH11	11.45	BO13SN5	YZ	NOR-MUL279	MYH11	26.07
BN13SN5	YZ	NOR-ORR360	MYH11	24.69	BO13SN5	YZ	NOR-ORR360	MYH11	47.53
BN13SN5	YZ	NOR-RRS318	MYH11	10.07	BO13SN5	YZ	NOR-RRS318	MYH11	17.58
BN13SN5	YZ	NOR-SAT180	MYH11	12.21	BO13SN5	YZ	NOR-SAT180	MYH11	31.08
BN13SN5	YZ	NPAL-NPS210	MYH11	7.51	BO13SN5	YZ	NPAL-NPS210	MYH11	21.37
BN13SN5	XZ	CHI-TCU065N	MYH12	11.05	BO13SN5	XZ	CHI-TCU065N	MYH12	115.83
BN13SN5	XZ	CHI-TCU067W	MYH12	11.67	BO13SN5	XZ	CHI-TCU067W	MYH12	96.95
BN13SN5	XZ	CHI-TCU102-N	MYH12	5.19	BO13SN5	XZ	CHI-TCU102-N	MYH12	21.87
BN13SN5	XZ	DZC-BOL000	MYH12	15.21	BO13SN5	XZ	DZC-BOL000	MYH12	20.21
BN13SN5	XZ	DZC-BOL090	MYH12	27.83	BO13SN5	XZ	DZC-BOL090	MYH12	18.00
BN13SN5	XZ	DZC-DZC180	MYH12	17.70	BO13SN5	XZ	DZC-DZC180	MYH12	19.23
BN13SN5	XZ	GAZ-KAR090	MYH12	11.72	BO13SN5	XZ	GAZ-KAR090	MYH12	16.97
BN13SN5	XZ	IMP-ECC092	MYH12	7.41	BO13SN5	XZ	IMP-ECC092	MYH12	16.69
BN13SN5	XZ	IMP-ELC4-230	MYH12	4.10	BO13SN5	XZ	IMP-ELC4-230	MYH12	40.55
BN13SN5	XZ	IMP-ELCD-270	MYH12	6.18	BO13SN5	XZ	IMP-ELCD-270	MYH12	14.72
BN13SN5	XZ	IRP-STU270	MYH12	6.79	BO13SN5	XZ	IRP-STU270	MYH12	38.43
BN13SN5	XZ	KOC-DZC180	MYH12	9.00	BO13SN5	XZ	KOC-DZC180	MYH12	19.42
BN13SN5	XZ	KOC-GBZ000	MYH12	7.90	BO13SN5	XZ	KOC-GBZ000	MYH12	12.53
BN13SN5	XZ	KOC-SKR090	MYH12	3.94	BO13SN5	XZ	KOC-SKR090	MYH12	9.49
BN13SN5	XZ	LAN-YER270	MYH12	9.25	BO13SN5	XZ	LAN-YER270	MYH12	42.48
BN13SN5	XZ	LOM-BRN000	MYH12	12.93	BO13SN5	XZ	LOM-BRN000	MYH12	20.01
BN13SN5	XZ	LOM-WVC270	MYH12	8.99	BO13SN5	XZ	LOM-WVC270	MYH12	24.83
BN13SN5	XZ	NOR-CNP196	MYH12	11.49	BO13SN5	XZ	NOR-CNP196	MYH12	29.62
BN13SN5	XZ	NOR-MUL009	MYH12	14.33	BO13SN5	XZ	NOR-MUL009	MYH12	31.26
BN13SN5	XZ	NOR-MUL279	MYH12	16.16	BO13SN5	XZ	NOR-MUL279	MYH12	24.04
BN13SN5	XZ	NOR-NEW090	MYH12	16.16	BO13SN5	XZ	NOR-NEW090	MYH12	14.22
BN13SN5	XZ	NOR-PAR-L	MYH12	18.37	BO13SN5	XZ	NOR-PAR-L	MYH12	31.44
BN13SN5	XZ	NOR-RRS318	MYH12	9.90	BO13SN5	XZ	NOR-RRS318	MYH12	18.30
BN13SN5	XZ	NOR-SAT180	MYH12	17.06	BO13SN5	XZ	NOR-SAT180	MYH12	34.08
BN13SN5	XZ	NOR-SCE288	MYH12	7.85	BO13SN5	XZ	NOR-SCE288	MYH12	15.39
BN13SN5	XZ	NOR-SEP360	MYH12	19.89	BO13SN5	XZ	NOR-SEP360	MYH12	11.60
BN13SN5	XZ	NOR-SYL090	MYH12	17.36	BO13SN5	XZ	NOR-SYL090	MYH12	25.61
BN13SN5	XZ	NOR-TAR360	MYH12	19.47	BO13SN5	XZ	NOR-TAR360	MYH12	23.88
BN13SN5	XZ	NOR-WPI316	MYH12	8.17	BO13SN5	XZ	NOR-WPI316	MYH12	17.84
BN13SN5	XZ	PRK-C02065	MYH12	16.64	BO13SN5	XZ	PRK-C02065	MYH12	29.51
BN13SN5	YZ	CHI-TCU065N	MYH12	11.60	BO13SN5	YZ	CHI-TCU065N	MYH12	160.26
BN13SN5	YZ	CHI-TCU067W	MYH12	11.01	BO13SN5	YZ	CHI-TCU067W	MYH12	47.49
BN13SN5	YZ	CHI-TCU102-N	MYH12	5.07	BO13SN5	YZ	CHI-TCU102-N	MYH12	12.66
BN13SN5	YZ	DZC-BOL000	MYH12	15.74	BO13SN5	YZ	DZC-BOL000	MYH12	17.46
BN13SN5	YZ	DZC-BOL090	MYH12	26.22	BO13SN5	YZ	DZC-BOL090	MYH12	21.12
BN13SN5	YZ	DZC-DZC180	MYH12	16.23	BO13SN5	YZ	DZC-DZC180	MYH12	11.95

Tablo C.1 (devam): Mevcut binalara ait yerdeğiştirme talepleri

Bina Adı	Analiz Yönü	İvme Kaydı	MYH Grup No	Δ_d (cm)	Bina Adı	Analiz Yönü	İvme Kaydı	MYH Grup No	Δ_d (cm)
BN13SN5	YZ	GAZ-KAR090	MYH12	11.98	BO13SN5	YZ	GAZ-KAR090	MYH12	16.60
BN13SN5	YZ	IMP-ECC092	MYH12	7.59	BO13SN5	YZ	IMP-ECC092	MYH12	13.01
BN13SN5	YZ	IMP-ELC4-230	MYH12	4.11	BO13SN5	YZ	IMP-ELC4-230	MYH12	27.09
BN13SN5	YZ	IMP-ELCD-270	MYH12	6.36	BO13SN5	YZ	IMP-ELCD-270	MYH12	13.08
BN13SN5	YZ	IRP-STU270	MYH12	6.96	BO13SN5	YZ	IRP-STU270	MYH12	40.08
BN13SN5	YZ	KOC-DZC180	MYH12	8.99	BO13SN5	YZ	KOC-DZC180	MYH12	16.50
BN13SN5	YZ	KOC-GBZ000	MYH12	7.73	BO13SN5	YZ	KOC-GBZ000	MYH12	12.28
BN13SN5	YZ	KOC-SKR090	MYH12	3.89	BO13SN5	YZ	KOC-SKR090	MYH12	6.23
BN13SN5	YZ	LAN-YER270	MYH12	9.46	BO13SN5	YZ	LAN-YER270	MYH12	29.21
BN13SN5	YZ	LOM-BRN000	MYH12	11.60	BO13SN5	YZ	LOM-BRN000	MYH12	21.03
BN13SN5	YZ	LOM-WVC270	MYH12	9.27	BO13SN5	YZ	LOM-WVC270	MYH12	26.43
BN13SN5	YZ	NOR-CNP196	MYH12	12.55	BO13SN5	YZ	NOR-CNP196	MYH12	19.64
BN13SN5	YZ	NOR-MUL009	MYH12	12.78	BO13SN5	YZ	NOR-MUL009	MYH12	24.53
BN13SN5	YZ	NOR-MUL279	MYH12	13.82	BO13SN5	YZ	NOR-MUL279	MYH12	27.25
BN13SN5	YZ	NOR-NEW090	MYH12	15.68	BO13SN5	YZ	NOR-NEW090	MYH12	11.06
BN13SN5	YZ	NOR-PAR-L	MYH12	16.96	BO13SN5	YZ	NOR-PAR-L	MYH12	33.04
BN13SN5	YZ	NOR-RRS318	MYH12	10.66	BO13SN5	YZ	NOR-RRS318	MYH12	19.43
BN13SN5	YZ	NOR-SAT180	MYH12	12.86	BO13SN5	YZ	NOR-SAT180	MYH12	34.35
BN13SN5	YZ	NOR-SCE288	MYH12	7.64	BO13SN5	YZ	NOR-SCE288	MYH12	20.59
BN13SN5	YZ	NOR-SEP360	MYH12	19.58	BO13SN5	YZ	NOR-SEP360	MYH12	11.45
BN13SN5	YZ	NOR-SYL090	MYH12	17.55	BO13SN5	YZ	NOR-SYL090	MYH12	22.67
BN13SN5	YZ	NOR-TAR360	MYH12	14.51	BO13SN5	YZ	NOR-TAR360	MYH12	22.63
BN13SN5	YZ	NOR-WPI316	MYH12	7.87	BO13SN5	YZ	NOR-WPI316	MYH12	13.72
BN13SN5	YZ	PRK-C02065	MYH12	16.80	BO13SN5	YZ	PRK-C02065	MYH12	25.34
BN14SN5	XZ	CAP-FOR090	MYH1	3.67	BO14SN5	XZ	CAP-FOR090	MYH1	1.98
BN14SN5	XZ	CHI-CHY010-N	MYH1	5.28	BO14SN5	XZ	CHI-CHY010-N	MYH1	3.42
BN14SN5	XZ	CHI-CHY41W	MYH1	8.04	BO14SN5	XZ	CHI-CHY41W	MYH1	4.40
BN14SN5	XZ	CHI-CHY046N	MYH1	4.92	BO14SN5	XZ	CHI-CHY046N	MYH1	3.46
BN14SN5	XZ	CHI-CHY047-E	MYH1	3.82	BO14SN5	XZ	CHI-CHY047-E	MYH1	2.18
BN14SN5	XZ	COA-CAK270	MYH1	6.62	BO14SN5	XZ	COA-CAK270	MYH1	5.00
BN14SN5	XZ	COY-G06320	MYH1	3.61	BO14SN5	XZ	COY-G06320	MYH1	4.05
BN14SN5	XZ	FRI-TMZ000	MYH1	5.19	BO14SN5	XZ	FRI-TMZ000	MYH1	3.21
BN14SN5	XZ	IMP-E12230	MYH1	2.94	BO14SN5	XZ	IMP-E12230	MYH1	2.23
BN14SN5	XZ	IMP-SAH000	MYH1	4.08	BO14SN5	XZ	IMP-SAH000	MYH1	3.18
BN14SN5	XZ	IRP-BIS000	MYH1	1.87	BO14SN5	XZ	IRP-BIS000	MYH1	1.95
BN14SN5	XZ	KOC-IZM180	MYH1	3.75	BO14SN5	XZ	KOC-IZM180	MYH1	3.30
BN14SN5	XZ	LAN-ABY090	MYH1	4.11	BO14SN5	XZ	LAN-ABY090	MYH1	2.68
BN14SN5	XZ	LAN-DSP000	MYH1	3.85	BO14SN5	XZ	LAN-DSP000	MYH1	3.40
BN14SN5	XZ	LIV-DVD246	MYH1	3.22	BO14SN5	XZ	LIV-DVD246	MYH1	2.43
BN14SN5	XZ	LOM-BRK090	MYH1	5.14	BO14SN5	XZ	LOM-BRK090	MYH1	4.16
BN14SN5	XZ	LOM-CLD285	MYH1	4.05	BO14SN5	XZ	LOM-CLD285	MYH1	3.29
BN14SN5	XZ	LOM-GGV337	MYH1	4.53	BO14SN5	XZ	LOM-GGV337	MYH1	4.07
BN14SN5	XZ	NOR-CWC270	MYH1	4.45	BO14SN5	XZ	NOR-CWC270	MYH1	4.26
BN14SN5	XZ	NOR-LOS090	MYH1	4.86	BO14SN5	XZ	NOR-LOS090	MYH1	5.27
BN14SN5	XZ	NOR-LOS360	MYH1	4.60	BO14SN5	XZ	NOR-LOS360	MYH1	6.63
BN14SN5	XZ	PRK-CHO355	MYH1	4.96	BO14SN5	XZ	PRK-CHO355	MYH1	3.60
BN14SN5	XZ	PRK-TMB205	MYH1	3.23	BO14SN5	XZ	PRK-TMB205	MYH1	3.27
BN14SN5	XZ	SUP-PLS135	MYH1	3.58	BO14SN5	XZ	SUP-PLS135	MYH1	3.50
BN14SN5	XZ	TAB-DAY-LN	MYH1	5.01	BO14SN5	XZ	TAB-DAY-LN	MYH1	4.01
BN14SN5	XZ	VIC-CPE315	MYH1	4.61	BO14SN5	XZ	VIC-CPE315	MYH1	3.98
BN14SN5	XZ	WHI-ALH180	MYH1	6.66	BO14SN5	XZ	WHI-ALH180	MYH1	4.43
BN14SN5	XZ	WHI-GRN180	MYH1	7.90	BO14SN5	XZ	WHI-GRN180	MYH1	5.64
BN14SN5	XZ	WHI-OBR360	MYH1	5.30	BO14SN5	XZ	WHI-OBR360	MYH1	4.62
BN14SN5	YZ	CAP-FOR090	MYH1	3.33	BO14SN5	YZ	CAP-FOR090	MYH1	1.99
BN14SN5	YZ	CHI-CHY010-N	MYH1	4.30	BO14SN5	YZ	CHI-CHY010-N	MYH1	3.94
BN14SN5	YZ	CHI-CHY41W	MYH1	6.28	BO14SN5	YZ	CHI-CHY41W	MYH1	4.56
BN14SN5	YZ	CHI-CHY046N	MYH1	5.19	BO14SN5	YZ	CHI-CHY046N	MYH1	3.18
BN14SN5	YZ	CHI-CHY047-E	MYH1	3.54	BO14SN5	YZ	CHI-CHY047-E	MYH1	2.66
BN14SN5	YZ	COA-CAK270	MYH1	5.03	BO14SN5	YZ	COA-CAK270	MYH1	3.43

Tablo C.1 (devam): Mevcut binalara ait yerdeğiştirme talepleri

Bina Adı	Analiz Yönü	İvme Kaydı	MYH Grup No	Δ_d (cm)	Bina Adı	Analiz Yönü	İvme Kaydı	MYH Grup No	Δ_d (cm)
BN14SN5	YZ	COY-G06320	MYH1	3.85	BO14SN5	YZ	COY-G06320	MYH1	3.81
BN14SN5	YZ	FRI-TMZ000	MYH1	4.42	BO14SN5	YZ	FRI-TMZ000	MYH1	3.49
BN14SN5	YZ	IMP-E12230	MYH1	2.57	BO14SN5	YZ	IMP-E12230	MYH1	1.89
BN14SN5	YZ	IMP-SAH000	MYH1	4.50	BO14SN5	YZ	IMP-SAH000	MYH1	3.12
BN14SN5	YZ	IRP-BIS000	MYH1	1.77	BO14SN5	YZ	IRP-BIS000	MYH1	1.83
BN14SN5	YZ	KOC-IZM180	MYH1	4.19	BO14SN5	YZ	KOC-IZM180	MYH1	2.96
BN14SN5	YZ	LAN-ABY090	MYH1	3.27	BO14SN5	YZ	LAN-ABY090	MYH1	2.48
BN14SN5	YZ	LAN-DSP000	MYH1	3.77	BO14SN5	YZ	LAN-DSP000	MYH1	3.27
BN14SN5	YZ	LIV-DVD246	MYH1	3.61	BO14SN5	YZ	LIV-DVD246	MYH1	2.31
BN14SN5	YZ	LOM-BRK090	MYH1	4.79	BO14SN5	YZ	LOM-BRK090	MYH1	3.51
BN14SN5	YZ	LOM-CLD285	MYH1	3.89	BO14SN5	YZ	LOM-CLD285	MYH1	3.21
BN14SN5	YZ	LOM-GGV337	MYH1	4.82	BO14SN5	YZ	LOM-GGV337	MYH1	3.79
BN14SN5	YZ	NOR-CWC270	MYH1	4.81	BO14SN5	YZ	NOR-CWC270	MYH1	4.27
BN14SN5	YZ	NOR-LOS090	MYH1	6.09	BO14SN5	YZ	NOR-LOS090	MYH1	4.46
BN14SN5	YZ	NOR-LOS360	MYH1	6.13	BO14SN5	YZ	NOR-LOS360	MYH1	5.42
BN14SN5	YZ	PRK-CHO355	MYH1	4.36	BO14SN5	YZ	PRK-CHO355	MYH1	3.56
BN14SN5	YZ	PRK-TMB205	MYH1	3.33	BO14SN5	YZ	PRK-TMB205	MYH1	3.08
BN14SN5	YZ	SUP-PLS135	MYH1	3.57	BO14SN5	YZ	SUP-PLS135	MYH1	2.89
BN14SN5	YZ	TAB-DAY-LN	MYH1	4.41	BO14SN5	YZ	TAB-DAY-LN	MYH1	3.45
BN14SN5	YZ	VIC-CPE315	MYH1	5.01	BO14SN5	YZ	VIC-CPE315	MYH1	3.97
BN14SN5	YZ	WHI-ALH180	MYH1	5.06	BO14SN5	YZ	WHI-ALH180	MYH1	3.78
BN14SN5	YZ	WHI-GRN180	MYH1	6.52	BO14SN5	YZ	WHI-GRN180	MYH1	5.60
BN14SN5	YZ	WHI-OBR360	MYH1	5.38	BO14SN5	YZ	WHI-OBR360	MYH1	3.45
BN14SN5	XZ	CHI-TCU141-N	MYH2	2.63	BO14SN5	XZ	CHI-TCU141-N	MYH2	1.72
BN14SN5	XZ	COA-PV1090	MYH2	4.86	BO14SN5	XZ	COA-PV1090	MYH2	3.70
BN14SN5	XZ	COA-Z14090	MYH2	7.93	BO14SN5	XZ	COA-Z14090	MYH2	7.85
BN14SN5	XZ	COY-G02140	MYH2	7.03	BO14SN5	XZ	COY-G02140	MYH2	5.21
BN14SN5	XZ	COY-G03140	MYH2	5.15	BO14SN5	XZ	COY-G03140	MYH2	4.73
BN14SN5	XZ	IMP-AER315	MYH2	4.56	BO14SN5	XZ	IMP-AER315	MYH2	4.66
BN14SN5	XZ	IMP-DLT262	MYH2	7.48	BO14SN5	XZ	IMP-DLT262	MYH2	4.32
BN14SN5	XZ	KOB-KAK090	MYH2	4.21	BO14SN5	XZ	KOB-KAK090	MYH2	4.03
BN14SN5	XZ	KOB-SHI090	MYH2	7.08	BO14SN5	XZ	KOB-SHI090	MYH2	6.13
BN14SN5	XZ	LAN-CLVLN	MYH2	5.72	BO14SN5	XZ	LAN-CLVLN	MYH2	5.91
BN14SN5	XZ	LAN-JOS000	MYH2	7.92	BO14SN5	XZ	LAN-JOS000	MYH2	5.96
BN14SN5	XZ	LOM-CAP090	MYH2	8.98	BO14SN5	XZ	LOM-CAP090	MYH2	7.17
BN14SN5	XZ	LOM-GGV067	MYH2	4.84	BO14SN5	XZ	LOM-GGV067	MYH2	4.12
BN14SN5	XZ	LOM-HSP090	MYH2	5.19	BO14SN5	XZ	LOM-HSP090	MYH2	4.63
BN14SN5	XZ	LOM-SFO000	MYH2	5.74	BO14SN5	XZ	LOM-SFO000	MYH2	4.16
BN14SN5	XZ	LOM-SFO090	MYH2	8.44	BO14SN5	XZ	LOM-SFO090	MYH2	6.89
BN14SN5	XZ	LOM-WAH000	MYH2	7.45	BO14SN5	XZ	LOM-WAH000	MYH2	5.37
BN14SN5	XZ	MAM-LUL000	MYH2	5.15	BO14SN5	XZ	MAM-LUL000	MYH2	4.05
BN14SN5	XZ	MOR-AND250	MYH2	4.89	BO14SN5	XZ	MOR-AND250	MYH2	3.19
BN14SN5	XZ	MOR-AND340	MYH2	8.27	BO14SN5	XZ	MOR-AND340	MYH2	7.98
BN14SN5	XZ	NOR-CHL160	MYH2	8.38	BO14SN5	XZ	NOR-CHL160	MYH2	6.58
BN14SN5	XZ	NOR-CWC180	MYH2	6.44	BO14SN5	XZ	NOR-CWC180	MYH2	4.50
BN14SN5	XZ	NOR-SAT090	MYH2	6.79	BO14SN5	XZ	NOR-SAT090	MYH2	6.96
BN14SN5	XZ	NPAL-DSP000	MYH2	6.10	BO14SN5	XZ	NPAL-DSP000	MYH2	6.61
BN14SN5	XZ	PRK-CHO085	MYH2	5.22	BO14SN5	XZ	PRK-CHO085	MYH2	3.07
BN14SN5	XZ	SFD-ORR291	MYH2	5.62	BO14SN5	XZ	SFD-ORR291	MYH2	4.03
BN14SN5	XZ	SPI-GUK000	MYH2	6.30	BO14SN5	XZ	SPI-GUK000	MYH2	3.90
BN14SN5	XZ	TAB-DAY-TR	MYH2	7.85	BO14SN5	XZ	TAB-DAY-TR	MYH2	5.96
BN14SN5	XZ	WES-PTS315	MYH2	7.18	BO14SN5	XZ	WES-PTS315	MYH2	6.53
BN14SN5	XZ	WHI-DEL000	MYH2	7.85	BO14SN5	XZ	WHI-DEL000	MYH2	5.35
BN14SN5	XZ	WHI-DWN180	MYH2	10.26	BO14SN5	XZ	WHI-DWN180	MYH2	7.62
BN14SN5	YZ	CHI-TCU141-N	MYH2	2.19	BO14SN5	YZ	CHI-TCU141-N	MYH2	1.93
BN14SN5	YZ	COA-PV1090	MYH2	3.96	BO14SN5	YZ	COA-PV1090	MYH2	3.50
BN14SN5	YZ	COA-Z14090	MYH2	8.19	BO14SN5	YZ	COA-Z14090	MYH2	5.79
BN14SN5	YZ	COY-G02140	MYH2	7.01	BO14SN5	YZ	COY-G02140	MYH2	4.49
BN14SN5	YZ	COY-G03140	MYH2	5.44	BO14SN5	YZ	COY-G03140	MYH2	4.05

Tablo C.1 (devam): Mevcut binalara ait yerdeğiştirme talepleri

Bina Adı	Analiz Yönü	İvme Kaydı	MYH Grup No	Δ_d (cm)	Bina Adı	Analiz Yönü	İvme Kaydı	MYH Grup No	Δ_d (cm)
BN14SN5	YZ	IMP-AER315	MYH2	5.78	BO14SN5	YZ	IMP-AER315	MYH2	4.27
BN14SN5	YZ	IMP-DLT262	MYH2	6.20	BO14SN5	YZ	IMP-DLT262	MYH2	5.46
BN14SN5	YZ	KOB-KAK090	MYH2	4.83	BO14SN5	YZ	KOB-KAK090	MYH2	4.08
BN14SN5	YZ	KOB-SHI090	MYH2	7.41	BO14SN5	YZ	KOB-SHI090	MYH2	5.82
BN14SN5	YZ	LAN-CLVLN	MYH2	6.39	BO14SN5	YZ	LAN-CLVLN	MYH2	4.55
BN14SN5	YZ	LAN-JOS000	MYH2	7.00	BO14SN5	YZ	LAN-JOS000	MYH2	5.50
BN14SN5	YZ	LOM-CAP090	MYH2	7.58	BO14SN5	YZ	LOM-CAP090	MYH2	6.70
BN14SN5	YZ	LOM-GGV067	MYH2	5.04	BO14SN5	YZ	LOM-GGV067	MYH2	3.84
BN14SN5	YZ	LOM-HSP090	MYH2	6.20	BO14SN5	YZ	LOM-HSP090	MYH2	4.60
BN14SN5	YZ	LOM-SFO000	MYH2	5.07	BO14SN5	YZ	LOM-SFO000	MYH2	4.09
BN14SN5	YZ	LOM-SFO090	MYH2	9.60	BO14SN5	YZ	LOM-SFO090	MYH2	7.09
BN14SN5	YZ	LOM-WAH000	MYH2	8.07	BO14SN5	YZ	LOM-WAH000	MYH2	6.51
BN14SN5	YZ	MAM-LUL000	MYH2	5.36	BO14SN5	YZ	MAM-LUL000	MYH2	4.19
BN14SN5	YZ	MOR-AND250	MYH2	4.09	BO14SN5	YZ	MOR-AND250	MYH2	3.05
BN14SN5	YZ	MOR-AND340	MYH2	10.11	BO14SN5	YZ	MOR-AND340	MYH2	8.30
BN14SN5	YZ	NOR-CHL160	MYH2	7.19	BO14SN5	YZ	NOR-CHL160	MYH2	6.26
BN14SN5	YZ	NOR-CWC180	MYH2	5.26	BO14SN5	YZ	NOR-CWC180	MYH2	3.56
BN14SN5	YZ	NOR-SAT090	MYH2	8.06	BO14SN5	YZ	NOR-SAT090	MYH2	6.37
BN14SN5	YZ	NPAL-DSP000	MYH2	6.25	BO14SN5	YZ	NPAL-DSP000	MYH2	5.83
BN14SN5	YZ	PRK-CHO085	MYH2	4.17	BO14SN5	YZ	PRK-CHO085	MYH2	3.39
BN14SN5	YZ	SFD-ORR291	MYH2	6.45	BO14SN5	YZ	SFD-ORR291	MYH2	4.55
BN14SN5	YZ	SPI-GUK000	MYH2	5.08	BO14SN5	YZ	SPI-GUK000	MYH2	3.84
BN14SN5	YZ	TAB-DAY-TR	MYH2	6.44	BO14SN5	YZ	TAB-DAY-TR	MYH2	5.80
BN14SN5	YZ	WES-PTS315	MYH2	7.55	BO14SN5	YZ	WES-PTS315	MYH2	5.02
BN14SN5	YZ	WHI-DEL000	MYH2	8.03	BO14SN5	YZ	WHI-DEL000	MYH2	6.30
BN14SN5	YZ	WHI-DWN180	MYH2	8.81	BO14SN5	YZ	WHI-DWN180	MYH2	7.11
BN14SN5	XZ	CAP-FOR000	MYH3	4.22	BO14SN5	XZ	CAP-FOR000	MYH3	3.00
BN14SN5	XZ	CHI-CHY29W	MYH3	6.98	BO14SN5	XZ	CHI-CHY29W	MYH3	7.24
BN14SN5	XZ	CHI-TCU046N	MYH3	2.95	BO14SN5	XZ	CHI-TCU046N	MYH3	2.07
BN14SN5	XZ	CHI-TCU112-N	MYH3	2.36	BO14SN5	XZ	CHI-TCU112-N	MYH3	1.57
BN14SN5	XZ	CHI-TCU118-N	MYH3	3.82	BO14SN5	XZ	CHI-TCU118-N	MYH3	3.16
BN14SN5	XZ	FRI-TMZ270	MYH3	7.55	BO14SN5	XZ	FRI-TMZ270	MYH3	7.53
BN14SN5	XZ	IMP-ELC2-140	MYH3	6.77	BO14SN5	XZ	IMP-ELC2-140	MYH3	5.76
BN14SN5	XZ	IMP-ELC11-140	MYH3	4.94	BO14SN5	XZ	IMP-ELC11-140	MYH3	5.44
BN14SN5	XZ	IMP-SAH270	MYH3	6.71	BO14SN5	XZ	IMP-SAH270	MYH3	5.09
BN14SN5	XZ	KOC-AMB090	MYH3	9.11	BO14SN5	XZ	KOC-AMB090	MYH3	7.47
BN14SN5	XZ	KOC-GBZ270	MYH3	2.90	BO14SN5	XZ	KOC-GBZ270	MYH3	2.48
BN14SN5	XZ	KOC-IZM090	MYH3	4.74	BO14SN5	XZ	KOC-IZM090	MYH3	5.43
BN14SN5	XZ	LAN-LUC000	MYH3	5.68	BO14SN5	XZ	LAN-LUC000	MYH3	4.61
BN14SN5	XZ	LAN-YER360	MYH3	4.93	BO14SN5	XZ	LAN-YER360	MYH3	3.11
BN14SN5	XZ	LOM-A02133	MYH3	10.02	BO14SN5	XZ	LOM-A02133	MYH3	8.00
BN14SN5	XZ	LOM-G01000	MYH3	3.89	BO14SN5	XZ	LOM-G01000	MYH3	3.13
BN14SN5	XZ	LOM-G01090	MYH3	4.86	BO14SN5	XZ	LOM-G01090	MYH3	5.67
BN14SN5	XZ	LOM-G02000	MYH3	8.14	BO14SN5	XZ	LOM-G02000	MYH3	9.17
BN14SN5	XZ	LOM-TRI090	MYH3	7.02	BO14SN5	XZ	LOM-TRI090	MYH3	6.61
BN14SN5	XZ	MAM-LUL090	MYH3	8.83	BO14SN5	XZ	MAM-LUL090	MYH3	8.70
BN14SN5	XZ	NOR-CNP106	MYH3	8.76	BO14SN5	XZ	NOR-CNP106	MYH3	8.01
BN14SN5	XZ	NOR-PAC265	MYH3	6.15	BO14SN5	XZ	NOR-PAC265	MYH3	6.16
BN14SN5	XZ	NOR-PKC090	MYH3	9.73	BO14SN5	XZ	NOR-PKC090	MYH3	8.83
BN14SN5	XZ	NOR-WIL180	MYH3	9.69	BO14SN5	XZ	NOR-WIL180	MYH3	7.33
BN14SN5	XZ	NPAL-MVH045	MYH3	7.30	BO14SN5	XZ	NPAL-MVH045	MYH3	6.36
BN14SN5	XZ	NPAL-NPS300	MYH3	5.95	BO14SN5	XZ	NPAL-NPS300	MYH3	5.50
BN14SN5	XZ	NPAL-WWT270	MYH3	7.48	BO14SN5	XZ	NPAL-WWT270	MYH3	7.74
BN14SN5	XZ	SUP-IVW090	MYH3	4.64	BO14SN5	XZ	SUP-IVW090	MYH3	3.62
BN14SN5	XZ	SUP-IVW360	MYH3	7.46	BO14SN5	XZ	SUP-IVW360	MYH3	5.13
BN14SN5	XZ	SUP-KRN360	MYH3	3.86	BO14SN5	XZ	SUP-KRN360	MYH3	4.03
BN14SN5	XZ	SUP-POE360	MYH3	6.52	BO14SN5	XZ	SUP-POE360	MYH3	5.13
BN14SN5	XZ	SUP-SUP045	MYH3	6.14	BO14SN5	XZ	SUP-SUP045	MYH3	6.05
BN14SN5	XZ	VIC-CPE045	MYH3	7.94	BO14SN5	XZ	VIC-CPE045	MYH3	10.63

Tablo C.1 (devam): Mevcut binalara ait yerdeğiştirme talepleri

Bina Adı	Analiz Yönü	İvme Kaydı	MYH Grup No	Δ_d (cm)	Bina Adı	Analiz Yönü	İvme Kaydı	MYH Grup No	Δ_d (cm)
BN14SN5	XZ	WHI-OR2010	MYH3	8.86	BO14SN5	XZ	WHI-OR2010	MYH3	7.87
BN14SN5	YZ	CAP-FOR000	MYH3	4.17	BO14SN5	YZ	CAP-FOR000	MYH3	2.30
BN14SN5	YZ	CHI-CHY29W	MYH3	7.95	BO14SN5	YZ	CHI-CHY29W	MYH3	6.54
BN14SN5	YZ	CHI-TCU046N	MYH3	2.46	BO14SN5	YZ	CHI-TCU046N	MYH3	2.34
BN14SN5	YZ	CHI-TCU112-N	MYH3	1.99	BO14SN5	YZ	CHI-TCU112-N	MYH3	1.67
BN14SN5	YZ	CHI-TCU118-N	MYH3	3.78	BO14SN5	YZ	CHI-TCU118-N	MYH3	2.82
BN14SN5	YZ	FRI-TMZ270	MYH3	8.07	BO14SN5	YZ	FRI-TMZ270	MYH3	7.30
BN14SN5	YZ	IMP-ELC2-140	MYH3	6.01	BO14SN5	YZ	IMP-ELC2-140	MYH3	4.94
BN14SN5	YZ	IMP-ELC11-140	MYH3	5.32	BO14SN5	YZ	IMP-ELC11-140	MYH3	4.32
BN14SN5	YZ	IMP-SAH270	MYH3	6.91	BO14SN5	YZ	IMP-SAH270	MYH3	4.85
BN14SN5	YZ	KOC-AMB090	MYH3	6.82	BO14SN5	YZ	KOC-AMB090	MYH3	5.29
BN14SN5	YZ	KOC-GBZ270	MYH3	3.17	BO14SN5	YZ	KOC-GBZ270	MYH3	2.36
BN14SN5	YZ	KOC-IZM090	MYH3	5.17	BO14SN5	YZ	KOC-IZM090	MYH3	4.52
BN14SN5	YZ	LAN-LUC000	MYH3	5.11	BO14SN5	YZ	LAN-LUC000	MYH3	4.24
BN14SN5	YZ	LAN-YER360	MYH3	3.98	BO14SN5	YZ	LAN-YER360	MYH3	2.67
BN14SN5	YZ	LOM-A02133	MYH3	9.06	BO14SN5	YZ	LOM-A02133	MYH3	7.65
BN14SN5	YZ	LOM-G01000	MYH3	4.14	BO14SN5	YZ	LOM-G01000	MYH3	3.12
BN14SN5	YZ	LOM-G01090	MYH3	5.10	BO14SN5	YZ	LOM-G01090	MYH3	5.27
BN14SN5	YZ	LOM-G02000	MYH3	9.69	BO14SN5	YZ	LOM-G02000	MYH3	8.37
BN14SN5	YZ	LOM-TRI090	MYH3	7.79	BO14SN5	YZ	LOM-TRI090	MYH3	6.29
BN14SN5	YZ	MAM-LUL090	MYH3	7.53	BO14SN5	YZ	MAM-LUL090	MYH3	7.65
BN14SN5	YZ	NOR-CNP106	MYH3	7.54	BO14SN5	YZ	NOR-CNP106	MYH3	7.89
BN14SN5	YZ	NOR-PAC265	MYH3	7.34	BO14SN5	YZ	NOR-PAC265	MYH3	5.35
BN14SN5	YZ	NOR-PKC090	MYH3	7.35	BO14SN5	YZ	NOR-PKC090	MYH3	7.07
BN14SN5	YZ	NOR-WIL180	MYH3	8.88	BO14SN5	YZ	NOR-WIL180	MYH3	6.69
BN14SN5	YZ	NPAL-MVH045	MYH3	7.08	BO14SN5	YZ	NPAL-MVH045	MYH3	5.02
BN14SN5	YZ	NPAL-NPS300	MYH3	6.09	BO14SN5	YZ	NPAL-NPS300	MYH3	4.39
BN14SN5	YZ	NPAL-WWT270	MYH3	7.15	BO14SN5	YZ	NPAL-WWT270	MYH3	7.23
BN14SN5	YZ	SUP-IVW090	MYH3	3.95	BO14SN5	YZ	SUP-IVW090	MYH3	3.39
BN14SN5	YZ	SUP-IVW360	MYH3	6.18	BO14SN5	YZ	SUP-IVW360	MYH3	4.34
BN14SN5	YZ	SUP-KRN360	MYH3	4.07	BO14SN5	YZ	SUP-KRN360	MYH3	3.35
BN14SN5	YZ	SUP-POE360	MYH3	5.76	BO14SN5	YZ	SUP-POE360	MYH3	5.24
BN14SN5	YZ	SUP-SUP045	MYH3	7.31	BO14SN5	YZ	SUP-SUP045	MYH3	4.69
BN14SN5	YZ	VIC-CPE045	MYH3	8.88	BO14SN5	YZ	VIC-CPE045	MYH3	8.45
BN14SN5	YZ	WHI-OR2010	MYH3	10.44	BO14SN5	YZ	WHI-OR2010	MYH3	8.54
BN14SN5	XZ	CHI-CHY29N	MYH4	7.35	BO14SN5	XZ	CHI-CHY29N	MYH4	6.64
BN14SN5	XZ	CHI-CHY036W	MYH4	9.54	BO14SN5	XZ	CHI-CHY036W	MYH4	10.05
BN14SN5	XZ	CHI-CHY41N	MYH4	8.03	BO14SN5	XZ	CHI-CHY41N	MYH4	7.81
BN14SN5	XZ	CHI-TCU45N	MYH4	11.72	BO14SN5	XZ	CHI-TCU45N	MYH4	6.71
BN14SN5	XZ	CHI-TCU45W	MYH4	9.09	BO14SN5	XZ	CHI-TCU45W	MYH4	7.84
BN14SN5	XZ	CHI-TCU51N	MYH4	5.53	BO14SN5	XZ	CHI-TCU51N	MYH4	5.70
BN14SN5	XZ	COA-PLE135	MYH4	8.82	BO14SN5	XZ	COA-PLE135	MYH4	7.32
BN14SN5	XZ	IMP-BRA225	MYH4	2.37	BO14SN5	XZ	IMP-BRA225	MYH4	1.69
BN14SN5	XZ	IMP-BRA315	MYH4	4.91	BO14SN5	XZ	IMP-BRA315	MYH4	4.91
BN14SN5	XZ	IMP-ECC002	MYH4	6.91	BO14SN5	XZ	IMP-ECC002	MYH4	5.32
BN14SN5	XZ	IMP-ELC4-140	MYH4	15.28	BO14SN5	XZ	IMP-ELC4-140	MYH4	13.59
BN14SN5	XZ	IRP-STU000	MYH4	5.36	BO14SN5	XZ	IRP-STU000	MYH4	5.93
BN14SN5	XZ	KOB-NIS000	MYH4	9.02	BO14SN5	XZ	KOB-NIS000	MYH4	5.38
BN14SN5	XZ	KOB-NIS090	MYH4	10.51	BO14SN5	XZ	KOB-NIS090	MYH4	7.79
BN14SN5	XZ	KOB-SHI000	MYH4	11.46	BO14SN5	XZ	KOB-SHI000	MYH4	5.84
BN14SN5	XZ	KOC-ARC090	MYH4	3.76	BO14SN5	XZ	KOC-ARC090	MYH4	2.46
BN14SN5	XZ	LOM-G02090	MYH4	9.01	BO14SN5	XZ	LOM-G02090	MYH4	9.41
BN14SN5	XZ	LOM-G03000	MYH4	5.69	BO14SN5	XZ	LOM-G03000	MYH4	5.76
BN14SN5	XZ	LOM-HDA255	MYH4	11.09	BO14SN5	XZ	LOM-HDA255	MYH4	9.35
BN14SN5	XZ	LOM-SVL360	MYH4	4.08	BO14SN5	XZ	LOM-SVL360	MYH4	3.69
BN14SN5	XZ	MOR-G06090	MYH4	11.91	BO14SN5	XZ	MOR-G06090	MYH4	7.82
BN14SN5	XZ	MOR-HAL240	MYH4	8.87	BO14SN5	XZ	MOR-HAL240	MYH4	10.90
BN14SN5	XZ	NOR-KAT090	MYH4	11.99	BO14SN5	XZ	NOR-KAT090	MYH4	9.61
BN14SN5	XZ	NOR-SCR090	MYH4	5.75	BO14SN5	XZ	NOR-SCR090	MYH4	4.34

Tablo C.1 (devam): Mevcut binalara ait yerdeğiştirme talepleri

Bina Adı	Analiz Yönü	İvme Kaydı	MYH Grup No	Δ_d (cm)	Bina Adı	Analiz Yönü	İvme Kaydı	MYH Grup No	Δ_d (cm)
BN14SN5	XZ	NOR-STN020	MYH4	10.53	BO14SN5	XZ	NOR-STN020	MYH4	8.30
BN14SN5	XZ	NPAL-WWT180	MYH4	7.91	BO14SN5	XZ	NPAL-WWT180	MYH4	7.52
BN14SN5	XZ	SUP-POE270	MYH4	7.56	BO14SN5	XZ	SUP-POE270	MYH4	7.27
BN14SN5	XZ	WES-PTS225	MYH4	5.40	BO14SN5	XZ	WES-PTS225	MYH4	6.12
BN14SN5	XZ	WHI-BIR180	MYH4	11.90	BO14SN5	XZ	WHI-BIR180	MYH4	9.08
BN14SN5	XZ	WHI-EJS048	MYH4	8.88	BO14SN5	XZ	WHI-EJS048	MYH4	5.54
BN14SN5	YZ	CHI-CHY29N	MYH4	8.43	BO14SN5	YZ	CHI-CHY29N	MYH4	6.43
BN14SN5	YZ	CHI-CHY036W	MYH4	10.03	BO14SN5	YZ	CHI-CHY036W	MYH4	8.34
BN14SN5	YZ	CHI-CHY41N	MYH4	9.23	BO14SN5	YZ	CHI-CHY41N	MYH4	7.21
BN14SN5	YZ	CHI-TCU45N	MYH4	9.99	BO14SN5	YZ	CHI-TCU45N	MYH4	6.57
BN14SN5	YZ	CHI-TCU45W	MYH4	7.54	BO14SN5	YZ	CHI-TCU45W	MYH4	6.83
BN14SN5	YZ	CHI-TCU51N	MYH4	5.28	BO14SN5	YZ	CHI-TCU51N	MYH4	5.28
BN14SN5	YZ	COA-PLE135	MYH4	11.13	BO14SN5	YZ	COA-PLE135	MYH4	7.56
BN14SN5	YZ	IMP-BRA225	MYH4	2.31	BO14SN5	YZ	IMP-BRA225	MYH4	1.48
BN14SN5	YZ	IMP-BRA315	MYH4	4.53	BO14SN5	YZ	IMP-BRA315	MYH4	4.77
BN14SN5	YZ	IMP-ECC002	MYH4	5.62	BO14SN5	YZ	IMP-ECC002	MYH4	4.52
BN14SN5	YZ	IMP-ELC4-140	MYH4	13.85	BO14SN5	YZ	IMP-ELC4-140	MYH4	12.56
BN14SN5	YZ	IRP-STU000	MYH4	6.08	BO14SN5	YZ	IRP-STU000	MYH4	5.76
BN14SN5	YZ	KOB-NIS000	MYH4	6.54	BO14SN5	YZ	KOB-NIS000	MYH4	5.55
BN14SN5	YZ	KOB-NIS090	MYH4	8.11	BO14SN5	YZ	KOB-NIS090	MYH4	7.41
BN14SN5	YZ	KOB-SHI000	MYH4	9.01	BO14SN5	YZ	KOB-SHI000	MYH4	6.96
BN14SN5	YZ	KOC-ARC090	MYH4	3.34	BO14SN5	YZ	KOC-ARC090	MYH4	1.79
BN14SN5	YZ	LOM-G02090	MYH4	10.03	BO14SN5	YZ	LOM-G02090	MYH4	8.30
BN14SN5	YZ	LOM-G03000	MYH4	6.20	BO14SN5	YZ	LOM-G03000	MYH4	5.14
BN14SN5	YZ	LOM-HDA255	MYH4	9.24	BO14SN5	YZ	LOM-HDA255	MYH4	8.04
BN14SN5	YZ	LOM-SVL360	MYH4	3.88	BO14SN5	YZ	LOM-SVL360	MYH4	3.45
BN14SN5	YZ	MOR-G06090	MYH4	10.14	BO14SN5	YZ	MOR-G06090	MYH4	9.14
BN14SN5	YZ	MOR-HAL240	MYH4	10.69	BO14SN5	YZ	MOR-HAL240	MYH4	9.83
BN14SN5	YZ	NOR-KAT090	MYH4	10.51	BO14SN5	YZ	NOR-KAT090	MYH4	8.01
BN14SN5	YZ	NOR-SCR090	MYH4	6.12	BO14SN5	YZ	NOR-SCR090	MYH4	4.31
BN14SN5	YZ	NOR-STN020	MYH4	9.90	BO14SN5	YZ	NOR-STN020	MYH4	7.66
BN14SN5	YZ	NPAL-WWT180	MYH4	8.17	BO14SN5	YZ	NPAL-WWT180	MYH4	6.65
BN14SN5	YZ	SUP-POE270	MYH4	7.02	BO14SN5	YZ	SUP-POE270	MYH4	6.83
BN14SN5	YZ	WES-PTS225	MYH4	6.04	BO14SN5	YZ	WES-PTS225	MYH4	5.56
BN14SN5	YZ	WHI-BIR180	MYH4	10.59	BO14SN5	YZ	WHI-BIR180	MYH4	9.44
BN14SN5	YZ	WHI-EJS048	MYH4	8.11	BO14SN5	YZ	WHI-EJS048	MYH4	6.38
BN14SN5	XZ	CAP-RIO270	MYH5	11.26	BO14SN5	XZ	CAP-RIO270	MYH5	10.93
BN14SN5	XZ	CAP-RIO360	MYH5	8.16	BO14SN5	XZ	CAP-RIO360	MYH5	8.08
BN14SN5	XZ	CHI-TCU046W	MYH5	3.75	BO14SN5	XZ	CHI-TCU046W	MYH5	2.32
BN14SN5	XZ	CHI-TCU061N	MYH5	5.13	BO14SN5	XZ	CHI-TCU061N	MYH5	3.66
BN14SN5	XZ	CHI-TCU74N	MYH5	9.29	BO14SN5	XZ	CHI-TCU74N	MYH5	10.20
BN14SN5	XZ	CHI-TCU112-W	MYH5	2.49	BO14SN5	XZ	CHI-TCU112-W	MYH5	1.87
BN14SN5	XZ	CHI-TCU123-W	MYH5	5.70	BO14SN5	XZ	CHI-TCU123-W	MYH5	6.18
BN14SN5	XZ	CHI-TCU141-E	MYH5	3.47	BO14SN5	XZ	CHI-TCU141-E	MYH5	2.11
BN14SN5	XZ	CHI-WNTN	MYH5	12.75	BO14SN5	XZ	CHI-WNTN	MYH5	9.56
BN14SN5	XZ	COA-Z14000	MYH5	8.78	BO14SN5	XZ	COA-Z14000	MYH5	11.35
BN14SN5	XZ	IMP-AER045	MYH5	5.76	BO14SN5	XZ	IMP-AER045	MYH5	4.32
BN14SN5	XZ	IMP-ELC3-230	MYH5	4.11	BO14SN5	XZ	IMP-ELC3-230	MYH5	3.73
BN14SN5	XZ	IMP-ELC11-230	MYH5	7.42	BO14SN5	XZ	IMP-ELC11-230	MYH5	5.09
BN14SN5	XZ	IMP-ELCD-360	MYH5	10.94	BO14SN5	XZ	IMP-ELCD-360	MYH5	12.13
BN14SN5	XZ	KOC-AMB000	MYH5	8.26	BO14SN5	XZ	KOC-AMB000	MYH5	5.22
BN14SN5	XZ	LAN-CLVTR	MYH5	11.88	BO14SN5	XZ	LAN-CLVTR	MYH5	13.18
BN14SN5	XZ	LAN-JOS090	MYH5	13.23	BO14SN5	XZ	LAN-JOS090	MYH5	9.19
BN14SN5	XZ	LOM-CYC285	MYH5	12.20	BO14SN5	XZ	LOM-CYC285	MYH5	8.42
BN14SN5	XZ	LOM-GOF090	MYH5	6.04	BO14SN5	XZ	LOM-GOF090	MYH5	6.29
BN14SN5	XZ	LOM-HDA165	MYH5	10.13	BO14SN5	XZ	LOM-HDA165	MYH5	7.95
BN14SN5	XZ	LOM-SAR000	MYH5	8.86	BO14SN5	XZ	LOM-SAR000	MYH5	11.39
BN14SN5	XZ	LOM-SAR090	MYH5	4.15	BO14SN5	XZ	LOM-SAR090	MYH5	4.39
BN14SN5	XZ	NOR-KAT000	MYH5	15.48	BO14SN5	XZ	NOR-KAT000	MYH5	8.02

Tablo C.1 (devam): Mevcut binalara ait yerdeğiştirme talepleri

Bina Adı	Analiz Yönü	İvme Kaydı	MYH Grup No	Δ_d (cm)	Bina Adı	Analiz Yönü	İvme Kaydı	MYH Grup No	Δ_d (cm)
BN14SN5	XZ	NOR-LOS000	MYH5	12.82	BO14SN5	XZ	NOR-LOS000	MYH5	11.57
BN14SN5	XZ	NOR-MU2035	MYH5	5.56	BO14SN5	XZ	NOR-MU2035	MYH5	5.25
BN14SN5	XZ	NOR-STM090	MYH5	8.06	BO14SN5	XZ	NOR-STM090	MYH5	8.14
BN14SN5	XZ	NPAL-MVH135	MYH5	7.24	BO14SN5	XZ	NPAL-MVH135	MYH5	5.49
BN14SN5	XZ	SUP-ELC090	MYH5	4.05	BO14SN5	XZ	SUP-ELC090	MYH5	4.90
BN14SN5	XZ	SUP-PTS315	MYH5	11.21	BO14SN5	XZ	SUP-PTS315	MYH5	8.76
BN14SN5	XZ	SUP-SUP135	MYH5	10.78	BO14SN5	XZ	SUP-SUP135	MYH5	7.19
BN14SN5	YZ	CAP-RIO270	MYH5	12.84	BO14SN5	YZ	CAP-RIO270	MYH5	10.51
BN14SN5	YZ	CAP-RIO360	MYH5	8.84	BO14SN5	YZ	CAP-RIO360	MYH5	8.64
BN14SN5	YZ	CHI-TCU046W	MYH5	3.58	BO14SN5	YZ	CHI-TCU046W	MYH5	2.23
BN14SN5	YZ	CHI-TCU061N	MYH5	5.25	BO14SN5	YZ	CHI-TCU061N	MYH5	2.82
BN14SN5	YZ	CHI-TCU74N	MYH5	12.46	BO14SN5	YZ	CHI-TCU74N	MYH5	8.18
BN14SN5	YZ	CHI-TCU112-W	MYH5	2.58	BO14SN5	YZ	CHI-TCU112-W	MYH5	1.65
BN14SN5	YZ	CHI-TCU123-W	MYH5	6.01	BO14SN5	YZ	CHI-TCU123-W	MYH5	4.86
BN14SN5	YZ	CHI-TCU141-E	MYH5	3.29	BO14SN5	YZ	CHI-TCU141-E	MYH5	2.01
BN14SN5	YZ	CHI-WNTN	MYH5	10.44	BO14SN5	YZ	CHI-WNTN	MYH5	8.65
BN14SN5	YZ	COA-Z14000	MYH5	12.07	BO14SN5	YZ	COA-Z14000	MYH5	9.65
BN14SN5	YZ	IMP-AER045	MYH5	5.44	BO14SN5	YZ	IMP-AER045	MYH5	4.02
BN14SN5	YZ	IMP-ELC3-230	MYH5	3.98	BO14SN5	YZ	IMP-ELC3-230	MYH5	3.43
BN14SN5	YZ	IMP-ELC11-230	MYH5	6.12	BO14SN5	YZ	IMP-ELC11-230	MYH5	4.88
BN14SN5	YZ	IMP-ELCD-360	MYH5	9.93	BO14SN5	YZ	IMP-ELCD-360	MYH5	10.20
BN14SN5	YZ	KOC-AMB000	MYH5	6.06	BO14SN5	YZ	KOC-AMB000	MYH5	4.21
BN14SN5	YZ	LAN-CLVTR	MYH5	14.37	BO14SN5	YZ	LAN-CLVTR	MYH5	12.85
BN14SN5	YZ	LAN-JOS090	MYH5	8.98	BO14SN5	YZ	LAN-JOS090	MYH5	8.52
BN14SN5	YZ	LOM-CYC285	MYH5	9.78	BO14SN5	YZ	LOM-CYC285	MYH5	7.30
BN14SN5	YZ	LOM-GOF090	MYH5	5.30	BO14SN5	YZ	LOM-GOF090	MYH5	5.93
BN14SN5	YZ	LOM-HDA165	MYH5	8.25	BO14SN5	YZ	LOM-HDA165	MYH5	6.52
BN14SN5	YZ	LOM-SAR000	MYH5	9.53	BO14SN5	YZ	LOM-SAR000	MYH5	10.23
BN14SN5	YZ	LOM-SAR090	MYH5	4.40	BO14SN5	YZ	LOM-SAR090	MYH5	4.03
BN14SN5	YZ	NOR-KAT000	MYH5	10.78	BO14SN5	YZ	NOR-KAT000	MYH5	8.33
BN14SN5	YZ	NOR-LOS000	MYH5	11.11	BO14SN5	YZ	NOR-LOS000	MYH5	11.84
BN14SN5	YZ	NOR-MU2035	MYH5	5.88	BO14SN5	YZ	NOR-MU2035	MYH5	4.35
BN14SN5	YZ	NOR-STM090	MYH5	9.07	BO14SN5	YZ	NOR-STM090	MYH5	7.09
BN14SN5	YZ	NPAL-MVH135	MYH5	6.48	BO14SN5	YZ	NPAL-MVH135	MYH5	5.68
BN14SN5	YZ	SUP-ELC090	MYH5	4.64	BO14SN5	YZ	SUP-ELC090	MYH5	4.54
BN14SN5	YZ	SUP-PTS315	MYH5	8.79	BO14SN5	YZ	SUP-PTS315	MYH5	7.45
BN14SN5	YZ	SUP-SUP135	MYH5	11.02	BO14SN5	YZ	SUP-SUP135	MYH5	7.46
BN14SN5	XZ	CAP-PET000	MYH6	14.87	BO14SN5	XZ	CAP-PET000	MYH6	13.83
BN14SN5	XZ	CHI-CHY025W	MYH6	6.18	BO14SN5	XZ	CHI-CHY025W	MYH6	5.27
BN14SN5	XZ	CHI-CHY034-N	MYH6	14.49	BO14SN5	XZ	CHI-CHY034-N	MYH6	8.60
BN14SN5	XZ	CHI-TCU038N	MYH6	4.78	BO14SN5	XZ	CHI-TCU038N	MYH6	3.38
BN14SN5	XZ	CHI-TCU038W	MYH6	6.34	BO14SN5	XZ	CHI-TCU038W	MYH6	3.48
BN14SN5	XZ	CHI-TCU048N	MYH6	5.28	BO14SN5	XZ	CHI-TCU048N	MYH6	3.84
BN14SN5	XZ	CHI-TCU49W	MYH6	5.77	BO14SN5	XZ	CHI-TCU49W	MYH6	4.24
BN14SN5	XZ	CHI-TCU51W	MYH6	4.63	BO14SN5	XZ	CHI-TCU51W	MYH6	3.52
BN14SN5	XZ	CHI-TCU95N	MYH6	6.37	BO14SN5	XZ	CHI-TCU95N	MYH6	4.34
BN14SN5	XZ	CHI-TCU104-N	MYH6	2.83	BO14SN5	XZ	CHI-TCU104-N	MYH6	1.87
BN14SN5	XZ	CHI-TCU106-W	MYH6	5.26	BO14SN5	XZ	CHI-TCU106-W	MYH6	4.31
BN14SN5	XZ	CHI-TCU107-N	MYH6	6.78	BO14SN5	XZ	CHI-TCU107-N	MYH6	4.85
BN14SN5	XZ	COY-G06230	MYH6	11.45	BO14SN5	XZ	COY-G06230	MYH6	10.31
BN14SN5	XZ	IMP-E10050	MYH6	2.79	BO14SN5	XZ	IMP-E10050	MYH6	2.76
BN14SN5	XZ	IMP-ELC3-140	MYH6	6.93	BO14SN5	XZ	IMP-ELC3-140	MYH6	8.16
BN14SN5	XZ	IMP-ELC5-140	MYH6	8.29	BO14SN5	XZ	IMP-ELC5-140	MYH6	6.91
BN14SN5	XZ	IMP-ELC7-140	MYH6	13.03	BO14SN5	XZ	IMP-ELC7-140	MYH6	8.49
BN14SN5	XZ	IMP-ELC8-230	MYH6	7.73	BO14SN5	XZ	IMP-ELC8-230	MYH6	6.85
BN14SN5	XZ	IMP-HVP225	MYH6	5.20	BO14SN5	XZ	IMP-HVP225	MYH6	6.48
BN14SN5	XZ	KOC-DZC270	MYH6	7.90	BO14SN5	XZ	KOC-DZC270	MYH6	7.44
BN14SN5	XZ	LOM-BRN090	MYH6	10.33	BO14SN5	XZ	LOM-BRN090	MYH6	11.80
BN14SN5	XZ	LOM-COR090	MYH6	16.61	BO14SN5	XZ	LOM-COR090	MYH6	11.56

Tablo C.1 (devam): Mevcut binalara ait yerdeğiştirme talepleri

Bina Adı	Analiz Yönü	İvme Kaydı	MYH Grup No	Δ_d (cm)	Bina Adı	Analiz Yönü	İvme Kaydı	MYH Grup No	Δ_d (cm)
BN14SN5	XZ	LOM-G03090	MYH6	7.69	BO14SN5	XZ	LOM-G03090	MYH6	6.53
BN14SN5	XZ	LOM-HCH180	MYH6	11.40	BO14SN5	XZ	LOM-HCH180	MYH6	8.39
BN14SN5	XZ	NAH-S1010	MYH6	6.56	BO14SN5	XZ	NAH-S1010	MYH6	7.06
BN14SN5	XZ	NAH-S1280	MYH6	8.72	BO14SN5	XZ	NAH-S1280	MYH6	4.46
BN14SN5	XZ	NOR-LOS270	MYH6	10.65	BO14SN5	XZ	NOR-LOS270	MYH6	9.18
BN14SN5	XZ	NOR-PAC175	MYH6	6.58	BO14SN5	XZ	NOR-PAC175	MYH6	6.24
BN14SN5	XZ	SUP-ELC000	MYH6	10.29	BO14SN5	XZ	SUP-ELC000	MYH6	10.47
BN14SN5	XZ	WES-WSM090	MYH6	9.67	BO14SN5	XZ	WES-WSM090	MYH6	8.97
BN14SN5	YZ	CAP-PET000	MYH6	13.52	BO14SN5	YZ	CAP-PET000	MYH6	13.12
BN14SN5	YZ	CHI-CHY025W	MYH6	5.33	BO14SN5	YZ	CHI-CHY025W	MYH6	3.95
BN14SN5	YZ	CHI-CHY034-N	MYH6	10.25	BO14SN5	YZ	CHI-CHY034-N	MYH6	8.91
BN14SN5	YZ	CHI-TCU038N	MYH6	4.86	BO14SN5	YZ	CHI-TCU038N	MYH6	3.42
BN14SN5	YZ	CHI-TCU038W	MYH6	5.08	BO14SN5	YZ	CHI-TCU038W	MYH6	2.93
BN14SN5	YZ	CHI-TCU048N	MYH6	4.72	BO14SN5	YZ	CHI-TCU048N	MYH6	3.58
BN14SN5	YZ	CHI-TCU49W	MYH6	5.03	BO14SN5	YZ	CHI-TCU49W	MYH6	3.75
BN14SN5	YZ	CHI-TCU51W	MYH6	4.31	BO14SN5	YZ	CHI-TCU51W	MYH6	3.77
BN14SN5	YZ	CHI-TCU95N	MYH6	5.69	BO14SN5	YZ	CHI-TCU95N	MYH6	4.56
BN14SN5	YZ	CHI-TCU104-N	MYH6	2.58	BO14SN5	YZ	CHI-TCU104-N	MYH6	1.70
BN14SN5	YZ	CHI-TCU106-W	MYH6	4.19	BO14SN5	YZ	CHI-TCU106-W	MYH6	4.07
BN14SN5	YZ	CHI-TCU107-N	MYH6	5.14	BO14SN5	YZ	CHI-TCU107-N	MYH6	4.14
BN14SN5	YZ	COY-G06230	MYH6	10.12	BO14SN5	YZ	COY-G06230	MYH6	8.63
BN14SN5	YZ	IMP-E10050	MYH6	2.74	BO14SN5	YZ	IMP-E10050	MYH6	2.68
BN14SN5	YZ	IMP-ELC3-140	MYH6	7.62	BO14SN5	YZ	IMP-ELC3-140	MYH6	6.51
BN14SN5	YZ	IMP-ELC5-140	MYH6	6.79	BO14SN5	YZ	IMP-ELC5-140	MYH6	7.20
BN14SN5	YZ	IMP-ELC7-140	MYH6	9.94	BO14SN5	YZ	IMP-ELC7-140	MYH6	7.44
BN14SN5	YZ	IMP-ELC8-230	MYH6	6.20	BO14SN5	YZ	IMP-ELC8-230	MYH6	5.56
BN14SN5	YZ	IMP-HVP225	MYH6	5.61	BO14SN5	YZ	IMP-HVP225	MYH6	5.90
BN14SN5	YZ	KOC-DZC270	MYH6	6.91	BO14SN5	YZ	KOC-DZC270	MYH6	6.73
BN14SN5	YZ	LOM-BRN090	MYH6	12.65	BO14SN5	YZ	LOM-BRN090	MYH6	10.98
BN14SN5	YZ	LOM-COR090	MYH6	11.35	BO14SN5	YZ	LOM-COR090	MYH6	9.94
BN14SN5	YZ	LOM-G03090	MYH6	8.02	BO14SN5	YZ	LOM-G03090	MYH6	5.45
BN14SN5	YZ	LOM-HCH180	MYH6	8.89	BO14SN5	YZ	LOM-HCH180	MYH6	7.03
BN14SN5	YZ	NAH-S1010	MYH6	7.15	BO14SN5	YZ	NAH-S1010	MYH6	6.74
BN14SN5	YZ	NAH-S1280	MYH6	5.71	BO14SN5	YZ	NAH-S1280	MYH6	4.23
BN14SN5	YZ	NOR-LOS270	MYH6	10.45	BO14SN5	YZ	NOR-LOS270	MYH6	8.83
BN14SN5	YZ	NOR-PAC175	MYH6	6.17	BO14SN5	YZ	NOR-PAC175	MYH6	6.25
BN14SN5	YZ	SUP-ELC000	MYH6	10.08	BO14SN5	YZ	SUP-ELC000	MYH6	8.74
BN14SN5	YZ	WES-WSM090	MYH6	7.97	BO14SN5	YZ	WES-WSM090	MYH6	7.09
BN14SN5	XZ	CHI-CHY002-N	MYH7	5.79	BO14SN5	XZ	CHI-CHY002-N	MYH7	2.84
BN14SN5	XZ	CHI-CHY024W	MYH7	5.95	BO14SN5	XZ	CHI-CHY024W	MYH7	9.93
BN14SN5	XZ	CHI-CHY104-E	MYH7	7.66	BO14SN5	XZ	CHI-CHY104-E	MYH7	5.19
BN14SN5	XZ	CHI-TCU029N	MYH7	4.53	BO14SN5	XZ	CHI-TCU029N	MYH7	3.67
BN14SN5	XZ	CHI-TCU036N	MYH7	4.40	BO14SN5	XZ	CHI-TCU036N	MYH7	4.63
BN14SN5	XZ	CHI-TCU039N	MYH7	5.79	BO14SN5	XZ	CHI-TCU039N	MYH7	4.38
BN14SN5	XZ	CHI-TCU039W	MYH7	5.95	BO14SN5	XZ	CHI-TCU039W	MYH7	7.54
BN14SN5	XZ	CHI-TCU040N	MYH7	4.71	BO14SN5	XZ	CHI-TCU040N	MYH7	3.08
BN14SN5	XZ	CHI-TCU040W	MYH7	3.72	BO14SN5	XZ	CHI-TCU040W	MYH7	3.16
BN14SN5	XZ	CHI-TCU055N	MYH7	5.74	BO14SN5	XZ	CHI-TCU055N	MYH7	4.24
BN14SN5	XZ	CHI-TCU064N	MYH7	4.24	BO14SN5	XZ	CHI-TCU064N	MYH7	2.25
BN14SN5	XZ	CHI-TCU70W	MYH7	9.06	BO14SN5	XZ	CHI-TCU70W	MYH7	7.16
BN14SN5	XZ	CHI-TCU109-N	MYH7	6.54	BO14SN5	XZ	CHI-TCU109-N	MYH7	4.64
BN14SN5	XZ	CHI-TCU109-W	MYH7	6.51	BO14SN5	XZ	CHI-TCU109-W	MYH7	5.03
BN14SN5	XZ	CHI-TCU115-W	MYH7	2.53	BO14SN5	XZ	CHI-TCU115-W	MYH7	2.58
BN14SN5	XZ	CHI-TCU117-N	MYH7	4.23	BO14SN5	XZ	CHI-TCU117-N	MYH7	3.13
BN14SN5	XZ	IMP-ELC8-140	MYH7	9.75	BO14SN5	XZ	IMP-ELC8-140	MYH7	7.83
BN14SN5	XZ	IMP-HVP315	MYH7	5.17	BO14SN5	XZ	IMP-HVP315	MYH7	3.86
BN14SN5	XZ	IRP-STU270	MYH7	7.90	BO14SN5	XZ	IRP-STU270	MYH7	7.13
BN14SN5	XZ	KOC-GBZ000	MYH7	4.04	BO14SN5	XZ	KOC-GBZ000	MYH7	4.01
BN14SN5	XZ	LAN-YER270	MYH7	7.85	BO14SN5	XZ	LAN-YER270	MYH7	10.28

Tablo C.1 (devam): Mevcut binalara ait yerdeğiştirme talepleri

Bina Adı	Analiz Yönü	İvme Kaydı	MYH Grup No	Δ_d (cm)	Bina Adı	Analiz Yönü	İvme Kaydı	MYH Grup No	Δ_d (cm)
BN14SN5	XZ	LOM-A02043	MYH7	19.53	BO14SN5	XZ	LOM-A02043	MYH7	16.32
BN14SN5	XZ	LOM-BRN000	MYH7	13.81	BO14SN5	XZ	LOM-BRN000	MYH7	15.92
BN14SN5	XZ	LOM-LGP090	MYH7	12.85	BO14SN5	XZ	LOM-LGP090	MYH7	8.13
BN14SN5	XZ	MOR-CYC195	MYH7	17.94	BO14SN5	XZ	MOR-CYC195	MYH7	12.96
BN14SN5	XZ	NOR-LDM334	MYH7	14.65	BO14SN5	XZ	NOR-LDM334	MYH7	11.49
BN14SN5	XZ	NOR-ORR090	MYH7	11.68	BO14SN5	XZ	NOR-ORR090	MYH7	12.28
BN14SN5	XZ	NOR-ORR360	MYH7	25.29	BO14SN5	XZ	NOR-ORR360	MYH7	20.03
BN14SN5	XZ	NOR-PKC360	MYH7	11.79	BO14SN5	XZ	NOR-PKC360	MYH7	7.89
BN14SN5	XZ	SFD-PCD254	MYH7	11.12	BO14SN5	XZ	SFD-PCD254	MYH7	9.84
BN14SN5	YZ	CHI-CHY002-N	MYH7	4.63	BO14SN5	YZ	CHI-CHY002-N	MYH7	3.48
BN14SN5	YZ	CHI-CHY024W	MYH7	7.51	BO14SN5	YZ	CHI-CHY024W	MYH7	8.47
BN14SN5	YZ	CHI-CHY104-E	MYH7	6.14	BO14SN5	YZ	CHI-CHY104-E	MYH7	4.89
BN14SN5	YZ	CHI-TCU029N	MYH7	4.49	BO14SN5	YZ	CHI-TCU029N	MYH7	2.68
BN14SN5	YZ	CHI-TCU036N	MYH7	5.00	BO14SN5	YZ	CHI-TCU036N	MYH7	3.80
BN14SN5	YZ	CHI-TCU039N	MYH7	5.10	BO14SN5	YZ	CHI-TCU039N	MYH7	3.88
BN14SN5	YZ	CHI-TCU039W	MYH7	5.86	BO14SN5	YZ	CHI-TCU039W	MYH7	6.38
BN14SN5	YZ	CHI-TCU040N	MYH7	3.94	BO14SN5	YZ	CHI-TCU040N	MYH7	3.36
BN14SN5	YZ	CHI-TCU040W	MYH7	3.42	BO14SN5	YZ	CHI-TCU040W	MYH7	2.68
BN14SN5	YZ	CHI-TCU055N	MYH7	5.34	BO14SN5	YZ	CHI-TCU055N	MYH7	3.78
BN14SN5	YZ	CHI-TCU064N	MYH7	3.28	BO14SN5	YZ	CHI-TCU064N	MYH7	2.06
BN14SN5	YZ	CHI-TCU70W	MYH7	9.64	BO14SN5	YZ	CHI-TCU70W	MYH7	7.31
BN14SN5	YZ	CHI-TCU109-N	MYH7	5.32	BO14SN5	YZ	CHI-TCU109-N	MYH7	3.80
BN14SN5	YZ	CHI-TCU109-W	MYH7	6.93	BO14SN5	YZ	CHI-TCU109-W	MYH7	4.39
BN14SN5	YZ	CHI-TCU115-W	MYH7	2.75	BO14SN5	YZ	CHI-TCU115-W	MYH7	2.05
BN14SN5	YZ	CHI-TCU117-N	MYH7	4.36	BO14SN5	YZ	CHI-TCU117-N	MYH7	2.82
BN14SN5	YZ	IMP-ELC8-140	MYH7	8.45	BO14SN5	YZ	IMP-ELC8-140	MYH7	7.32
BN14SN5	YZ	IMP-HVP315	MYH7	4.31	BO14SN5	YZ	IMP-HVP315	MYH7	3.47
BN14SN5	YZ	IRP-STU270	MYH7	8.31	BO14SN5	YZ	IRP-STU270	MYH7	4.53
BN14SN5	YZ	KOC-GBZ000	MYH7	3.41	BO14SN5	YZ	KOC-GBZ000	MYH7	4.85
BN14SN5	YZ	LAN-YER270	MYH7	9.33	BO14SN5	YZ	LAN-YER270	MYH7	7.86
BN14SN5	YZ	LOM-A02043	MYH7	14.78	BO14SN5	YZ	LOM-A02043	MYH7	14.04
BN14SN5	YZ	LOM-BRN000	MYH7	17.81	BO14SN5	YZ	LOM-BRN000	MYH7	13.16
BN14SN5	YZ	LOM-LGP090	MYH7	9.32	BO14SN5	YZ	LOM-LGP090	MYH7	7.64
BN14SN5	YZ	MOR-CYC195	MYH7	15.72	BO14SN5	YZ	MOR-CYC195	MYH7	13.79
BN14SN5	YZ	NOR-LDM334	MYH7	12.39	BO14SN5	YZ	NOR-LDM334	MYH7	11.57
BN14SN5	YZ	NOR-ORR090	MYH7	13.18	BO14SN5	YZ	NOR-ORR090	MYH7	11.69
BN14SN5	YZ	NOR-ORR360	MYH7	20.16	BO14SN5	YZ	NOR-ORR360	MYH7	18.79
BN14SN5	YZ	NOR-PKC360	MYH7	10.67	BO14SN5	YZ	NOR-PKC360	MYH7	9.33
BN14SN5	YZ	SFD-PCD254	MYH7	14.48	BO14SN5	YZ	SFD-PCD254	MYH7	12.53
BN14SN5	XZ	CAP-RIO270	MYH8	14.80	BO14SN5	XZ	CAP-RIO270	MYH8	14.98
BN14SN5	XZ	CAP-RIO360	MYH8	11.00	BO14SN5	XZ	CAP-RIO360	MYH8	10.83
BN14SN5	XZ	CHI-CHY006-E	MYH8	10.59	BO14SN5	XZ	CHI-CHY006-E	MYH8	10.96
BN14SN5	XZ	CHI-CHY092-E	MYH8	4.89	BO14SN5	XZ	CHI-CHY092-E	MYH8	2.82
BN14SN5	XZ	CHI-CHY104-N	MYH8	9.91	BO14SN5	XZ	CHI-CHY104-N	MYH8	6.85
BN14SN5	XZ	CHI-TCU054W	MYH8	5.68	BO14SN5	XZ	CHI-TCU054W	MYH8	3.13
BN14SN5	XZ	CHI-TCU059N	MYH8	5.77	BO14SN5	XZ	CHI-TCU059N	MYH8	5.21
BN14SN5	XZ	CHI-TCU059W	MYH8	7.04	BO14SN5	XZ	CHI-TCU059W	MYH8	4.91
BN14SN5	XZ	CHI-TCU063W	MYH8	8.43	BO14SN5	XZ	CHI-TCU063W	MYH8	6.37
BN14SN5	XZ	CHI-TCU072N	MYH8	21.01	BO14SN5	XZ	CHI-TCU072N	MYH8	19.19
BN14SN5	XZ	CHI-TCU82W	MYH8	5.81	BO14SN5	XZ	CHI-TCU82W	MYH8	5.09
BN14SN5	XZ	CHI-TCU110-N	MYH8	8.28	BO14SN5	XZ	CHI-TCU110-N	MYH8	8.12
BN14SN5	XZ	CHI-TCU111-W	MYH8	6.10	BO14SN5	XZ	CHI-TCU111-W	MYH8	4.35
BN14SN5	XZ	CHI-TCU117-W	MYH8	4.66	BO14SN5	XZ	CHI-TCU117-W	MYH8	4.39
BN14SN5	XZ	CHI-TCU136-E	MYH8	6.96	BO14SN5	XZ	CHI-TCU136-E	MYH8	5.24
BN14SN5	XZ	DZC-BOL000	MYH8	13.65	BO14SN5	XZ	DZC-BOL000	MYH8	11.84
BN14SN5	XZ	IMP-ELC3-140	MYH8	9.40	BO14SN5	XZ	IMP-ELC3-140	MYH8	11.50
BN14SN5	XZ	IMP-ELC3-230	MYH8	5.27	BO14SN5	XZ	IMP-ELC3-230	MYH8	5.97
BN14SN5	XZ	IRP-STU270	MYH8	9.12	BO14SN5	XZ	IRP-STU270	MYH8	9.58
BN14SN5	XZ	KOC-DZC180	MYH8	7.62	BO14SN5	XZ	KOC-DZC180	MYH8	7.51

Tablo C.1 (devam): Mevcut binalara ait yerdeğiştirme talepleri

Bina Adı	Analiz Yönü	İvme Kaydı	MYH Grup No	Δ_d (cm)	Bina Adı	Analiz Yönü	İvme Kaydı	MYH Grup No	Δ_d (cm)
BN14SN5	XZ	KOC-DZC270	MYH8	12.27	BO14SN5	XZ	KOC-DZC270	MYH8	13.57
BN14SN5	XZ	KOC-GBZ000	MYH8	4.49	BO14SN5	XZ	KOC-GBZ000	MYH8	4.69
BN14SN5	XZ	LAN-CLVTR	MYH8	17.47	BO14SN5	XZ	LAN-CLVTR	MYH8	21.06
BN14SN5	XZ	LAN-YER270	MYH8	9.06	BO14SN5	XZ	LAN-YER270	MYH8	12.15
BN14SN5	XZ	LOM-COR000	MYH8	12.11	BO14SN5	XZ	LOM-COR000	MYH8	14.14
BN14SN5	XZ	NOR-MUL009	MYH8	14.98	BO14SN5	XZ	NOR-MUL009	MYH8	11.72
BN14SN5	XZ	NOR-PUL104	MYH8	17.09	BO14SN5	XZ	NOR-PUL104	MYH8	13.94
BN14SN5	XZ	NPAL-MVH135	MYH8	9.43	BO14SN5	XZ	NPAL-MVH135	MYH8	12.89
BN14SN5	XZ	SUP-ELC000	MYH8	14.00	BO14SN5	XZ	SUP-ELC000	MYH8	13.88
BN14SN5	XZ	SUP-ELC090	MYH8	5.72	BO14SN5	XZ	SUP-ELC090	MYH8	7.05
BN14SN5	YZ	CAP-RIO270	MYH8	17.19	BO14SN5	YZ	CAP-RIO270	MYH8	14.16
BN14SN5	YZ	CAP-RIO360	MYH8	12.51	BO14SN5	YZ	CAP-RIO360	MYH8	12.10
BN14SN5	YZ	CHI-CHY006-E	MYH8	10.39	BO14SN5	YZ	CHI-CHY006-E	MYH8	10.38
BN14SN5	YZ	CHI-CHY092-E	MYH8	3.61	BO14SN5	YZ	CHI-CHY092-E	MYH8	2.05
BN14SN5	YZ	CHI-CHY104-N	MYH8	8.42	BO14SN5	YZ	CHI-CHY104-N	MYH8	6.46
BN14SN5	YZ	CHI-TCU054W	MYH8	4.38	BO14SN5	YZ	CHI-TCU054W	MYH8	3.17
BN14SN5	YZ	CHI-TCU059N	MYH8	4.40	BO14SN5	YZ	CHI-TCU059N	MYH8	4.10
BN14SN5	YZ	CHI-TCU059W	MYH8	5.21	BO14SN5	YZ	CHI-TCU059W	MYH8	4.57
BN14SN5	YZ	CHI-TCU063W	MYH8	6.76	BO14SN5	YZ	CHI-TCU063W	MYH8	5.69
BN14SN5	YZ	CHI-TCU072N	MYH8	16.15	BO14SN5	YZ	CHI-TCU072N	MYH8	17.07
BN14SN5	YZ	CHI-TCU82W	MYH8	5.45	BO14SN5	YZ	CHI-TCU82W	MYH8	3.88
BN14SN5	YZ	CHI-TCU110-N	MYH8	6.55	BO14SN5	YZ	CHI-TCU110-N	MYH8	7.13
BN14SN5	YZ	CHI-TCU111-W	MYH8	4.72	BO14SN5	YZ	CHI-TCU111-W	MYH8	4.07
BN14SN5	YZ	CHI-TCU117-W	MYH8	5.20	BO14SN5	YZ	CHI-TCU117-W	MYH8	3.43
BN14SN5	YZ	CHI-TCU136-E	MYH8	7.51	BO14SN5	YZ	CHI-TCU136-E	MYH8	5.40
BN14SN5	YZ	DZC-BOL000	MYH8	11.22	BO14SN5	YZ	DZC-BOL000	MYH8	10.55
BN14SN5	YZ	IMP-ELC3-140	MYH8	10.05	BO14SN5	YZ	IMP-ELC3-140	MYH8	9.03
BN14SN5	YZ	IMP-ELC3-230	MYH8	5.87	BO14SN5	YZ	IMP-ELC3-230	MYH8	4.67
BN14SN5	YZ	IRP-STU270	MYH8	9.58	BO14SN5	YZ	IRP-STU270	MYH8	5.85
BN14SN5	YZ	KOC-DZC180	MYH8	8.34	BO14SN5	YZ	KOC-DZC180	MYH8	7.26
BN14SN5	YZ	KOC-DZC270	MYH8	10.54	BO14SN5	YZ	KOC-DZC270	MYH8	9.40
BN14SN5	YZ	KOC-GBZ000	MYH8	3.67	BO14SN5	YZ	KOC-GBZ000	MYH8	5.54
BN14SN5	YZ	LAN-CLVTR	MYH8	21.10	BO14SN5	YZ	LAN-CLVTR	MYH8	18.37
BN14SN5	YZ	LAN-YER270	MYH8	10.61	BO14SN5	YZ	LAN-YER270	MYH8	9.68
BN14SN5	YZ	LOM-COR000	MYH8	12.95	BO14SN5	YZ	LOM-COR000	MYH8	12.00
BN14SN5	YZ	NOR-MUL009	MYH8	15.44	BO14SN5	YZ	NOR-MUL009	MYH8	12.73
BN14SN5	YZ	NOR-PUL104	MYH8	13.99	BO14SN5	YZ	NOR-PUL104	MYH8	14.23
BN14SN5	YZ	NPAL-MVH135	MYH8	9.79	BO14SN5	YZ	NPAL-MVH135	MYH8	8.89
BN14SN5	YZ	SUP-ELC000	MYH8	14.26	BO14SN5	YZ	SUP-ELC000	MYH8	12.59
BN14SN5	YZ	SUP-ELC090	MYH8	6.75	BO14SN5	YZ	SUP-ELC090	MYH8	6.84
BN14SN5	XZ	CHI-TCU036W	MYH9	6.36	BO14SN5	XZ	CHI-TCU036W	MYH9	3.38
BN14SN5	XZ	CHI-TCU49N	MYH9	7.44	BO14SN5	XZ	CHI-TCU49N	MYH9	7.08
BN14SN5	XZ	CHI-TCU70N	MYH9	7.80	BO14SN5	XZ	CHI-TCU70N	MYH9	5.20
BN14SN5	XZ	CHI-TCU76N	MYH9	18.34	BO14SN5	XZ	CHI-TCU76N	MYH9	16.60
BN14SN5	XZ	CHI-TCU76W	MYH9	5.13	BO14SN5	XZ	CHI-TCU76W	MYH9	4.78
BN14SN5	XZ	CHI-TCU079-W	MYH9	13.59	BO14SN5	XZ	CHI-TCU079-W	MYH9	10.40
BN14SN5	XZ	CHI-TCU95W	MYH9	7.21	BO14SN5	XZ	CHI-TCU95W	MYH9	7.31
BN14SN5	XZ	CHI-TCU103-W	MYH9	3.80	BO14SN5	XZ	CHI-TCU103-W	MYH9	3.01
BN14SN5	XZ	CHI-TCU120-W	MYH9	6.65	BO14SN5	XZ	CHI-TCU120-W	MYH9	7.66
BN14SN5	XZ	CHI-TCU129-W	MYH9	10.67	BO14SN5	XZ	CHI-TCU129-W	MYH9	13.44
BN14SN5	XZ	COA-PLE045	MYH9	16.26	BO14SN5	XZ	COA-PLE045	MYH9	12.88
BN14SN5	XZ	DZC-BOL000	MYH9	15.77	BO14SN5	XZ	DZC-BOL000	MYH9	13.56
BN14SN5	XZ	DZC-BOL090	MYH9	26.33	BO14SN5	XZ	DZC-BOL090	MYH9	17.70
BN14SN5	XZ	DZC-DZC180	MYH9	9.51	BO14SN5	XZ	DZC-DZC180	MYH9	9.86
BN14SN5	XZ	ERZ-ERZEW	MYH9	18.49	BO14SN5	XZ	ERZ-ERZEW	MYH9	17.80
BN14SN5	XZ	IMP-ELC3-140	MYH9	10.69	BO14SN5	XZ	IMP-ELC3-140	MYH9	13.04
BN14SN5	XZ	IMP-HVP315	MYH9	6.09	BO14SN5	XZ	IMP-HVP315	MYH9	5.46
BN14SN5	XZ	IRP-STU270	MYH9	10.55	BO14SN5	XZ	IRP-STU270	MYH9	12.36
BN14SN5	XZ	KOC-DZC180	MYH9	8.22	BO14SN5	XZ	KOC-DZC180	MYH9	7.72

Tablo C.1 (devam): Mevcut binalara ait yerdeğiştirme talepleri

Bina Adı	Analiz Yönü	İvme Kaydı	MYH Grup No	Δ_d (cm)	Bina Adı	Analiz Yönü	İvme Kaydı	MYH Grup No	Δ_d (cm)
BN14SN5	XZ	KOC-GBZ000	MYH9	5.10	BO14SN5	XZ	KOC-GBZ000	MYH9	5.23
BN14SN5	XZ	KOC-YAR330	MYH9	9.19	BO14SN5	XZ	KOC-YAR330	MYH9	8.27
BN14SN5	XZ	LAN-YER270	MYH9	10.07	BO14SN5	XZ	LAN-YER270	MYH9	14.13
BN14SN5	XZ	LOM-BRN000	MYH9	16.84	BO14SN5	XZ	LOM-BRN000	MYH9	20.10
BN14SN5	XZ	LOM-HSP000	MYH9	14.24	BO14SN5	XZ	LOM-HSP000	MYH9	14.40
BN14SN5	XZ	LOM-WVC270	MYH9	8.59	BO14SN5	XZ	LOM-WVC270	MYH9	9.28
BN14SN5	XZ	NOR-CNP196	MYH9	8.73	BO14SN5	XZ	NOR-CNP196	MYH9	9.51
BN14SN5	XZ	NOR-LDM064	MYH9	20.16	BO14SN5	XZ	NOR-LDM064	MYH9	13.69
BN14SN5	XZ	NOR-MUL279	MYH9	18.69	BO14SN5	XZ	NOR-MUL279	MYH9	23.91
BN14SN5	XZ	NOR-SAT180	MYH9	15.75	BO14SN5	XZ	NOR-SAT180	MYH9	16.95
BN14SN5	XZ	SUP-ELC000	MYH9	15.64	BO14SN5	XZ	SUP-ELC000	MYH9	15.22
BN14SN5	YZ	CHI-TCU036W	MYH9	4.78	BO14SN5	YZ	CHI-TCU036W	MYH9	3.78
BN14SN5	YZ	CHI-TCU49N	MYH9	8.47	BO14SN5	YZ	CHI-TCU49N	MYH9	5.24
BN14SN5	YZ	CHI-TCU70N	MYH9	5.94	BO14SN5	YZ	CHI-TCU70N	MYH9	4.65
BN14SN5	YZ	CHI-TCU76N	MYH9	15.72	BO14SN5	YZ	CHI-TCU76N	MYH9	14.76
BN14SN5	YZ	CHI-TCU76W	MYH9	5.09	BO14SN5	YZ	CHI-TCU76W	MYH9	3.60
BN14SN5	YZ	CHI-TCU079-W	MYH9	12.86	BO14SN5	YZ	CHI-TCU079-W	MYH9	9.47
BN14SN5	YZ	CHI-TCU95W	MYH9	9.90	BO14SN5	YZ	CHI-TCU95W	MYH9	7.05
BN14SN5	YZ	CHI-TCU103-W	MYH9	3.47	BO14SN5	YZ	CHI-TCU103-W	MYH9	2.91
BN14SN5	YZ	CHI-TCU120-W	MYH9	6.50	BO14SN5	YZ	CHI-TCU120-W	MYH9	4.93
BN14SN5	YZ	CHI-TCU129-W	MYH9	11.63	BO14SN5	YZ	CHI-TCU129-W	MYH9	10.48
BN14SN5	YZ	COA-PLE045	MYH9	13.77	BO14SN5	YZ	COA-PLE045	MYH9	14.32
BN14SN5	YZ	DZC-BOL000	MYH9	13.08	BO14SN5	YZ	DZC-BOL000	MYH9	12.63
BN14SN5	YZ	DZC-BOL090	MYH9	24.22	BO14SN5	YZ	DZC-BOL090	MYH9	20.71
BN14SN5	YZ	DZC-DZC180	MYH9	10.79	BO14SN5	YZ	DZC-DZC180	MYH9	10.55
BN14SN5	YZ	ERZ-ERZEW	MYH9	16.39	BO14SN5	YZ	ERZ-ERZEW	MYH9	15.96
BN14SN5	YZ	IMP-ELC3-140	MYH9	11.41	BO14SN5	YZ	IMP-ELC3-140	MYH9	10.35
BN14SN5	YZ	IMP-HVP315	MYH9	5.51	BO14SN5	YZ	IMP-HVP315	MYH9	4.42
BN14SN5	YZ	IRP-STU270	MYH9	11.05	BO14SN5	YZ	IRP-STU270	MYH9	7.47
BN14SN5	YZ	KOC-DZC180	MYH9	9.05	BO14SN5	YZ	KOC-DZC180	MYH9	7.63
BN14SN5	YZ	KOC-GBZ000	MYH9	3.76	BO14SN5	YZ	KOC-GBZ000	MYH9	6.00
BN14SN5	YZ	KOC-YAR330	MYH9	7.71	BO14SN5	YZ	KOC-YAR330	MYH9	6.24
BN14SN5	YZ	LAN-YER270	MYH9	11.79	BO14SN5	YZ	LAN-YER270	MYH9	11.30
BN14SN5	YZ	LOM-BRN000	MYH9	23.19	BO14SN5	YZ	LOM-BRN000	MYH9	17.46
BN14SN5	YZ	LOM-HSP000	MYH9	16.89	BO14SN5	YZ	LOM-HSP000	MYH9	14.71
BN14SN5	YZ	LOM-WVC270	MYH9	9.65	BO14SN5	YZ	LOM-WVC270	MYH9	8.16
BN14SN5	YZ	NOR-CNP196	MYH9	11.17	BO14SN5	YZ	NOR-CNP196	MYH9	9.01
BN14SN5	YZ	NOR-LDM064	MYH9	17.86	BO14SN5	YZ	NOR-LDM064	MYH9	15.46
BN14SN5	YZ	NOR-MUL279	MYH9	21.75	BO14SN5	YZ	NOR-MUL279	MYH9	21.15
BN14SN5	YZ	NOR-SAT180	MYH9	14.03	BO14SN5	YZ	NOR-SAT180	MYH9	13.86
BN14SN5	YZ	SUP-ELC000	MYH9	16.22	BO14SN5	YZ	SUP-ELC000	MYH9	14.31
BN14SN5	XZ	CHI-CHY28N	MYH10	22.00	BO14SN5	XZ	CHI-CHY28N	MYH10	13.03
BN14SN5	XZ	CHI-TCU067N	MYH10	10.42	BO14SN5	XZ	CHI-TCU067N	MYH10	10.44
BN14SN5	XZ	CHI-TCU071N	MYH10	13.19	BO14SN5	XZ	CHI-TCU071N	MYH10	9.04
BN14SN5	XZ	CHI-TCU101-W	MYH10	6.23	BO14SN5	XZ	CHI-TCU101-W	MYH10	5.14
BN14SN5	XZ	CHI-TCU110-W	MYH10	7.78	BO14SN5	XZ	CHI-TCU110-W	MYH10	7.56
BN14SN5	XZ	CHI-TCU128-N	MYH10	5.02	BO14SN5	XZ	CHI-TCU128-N	MYH10	4.13
BN14SN5	XZ	CHI-WGK-E	MYH10	10.34	BO14SN5	XZ	CHI-WGK-E	MYH10	6.95
BN14SN5	XZ	CHI-WNTE	MYH10	8.96	BO14SN5	XZ	CHI-WNTE	MYH10	8.67
BN14SN5	XZ	DZC-BOL000	MYH10	17.43	BO14SN5	XZ	DZC-BOL000	MYH10	14.89
BN14SN5	XZ	DZC-BOL090	MYH10	27.17	BO14SN5	XZ	DZC-BOL090	MYH10	18.51
BN14SN5	XZ	GAZ-KAR000	MYH10	11.07	BO14SN5	XZ	GAZ-KAR000	MYH10	7.88
BN14SN5	XZ	IMP-ECC092	MYH10	8.41	BO14SN5	XZ	IMP-ECC092	MYH10	9.16
BN14SN5	XZ	IMP-ELC3-140	MYH10	12.01	BO14SN5	XZ	IMP-ELC3-140	MYH10	14.54
BN14SN5	XZ	IMP-ELC6-140	MYH10	11.49	BO14SN5	XZ	IMP-ELC6-140	MYH10	8.02
BN14SN5	XZ	IRP-STU270	MYH10	12.16	BO14SN5	XZ	IRP-STU270	MYH10	15.07
BN14SN5	XZ	KOB-TAK000	MYH10	14.17	BO14SN5	XZ	KOB-TAK000	MYH10	14.47
BN14SN5	XZ	KOC-DZC180	MYH10	9.07	BO14SN5	XZ	KOC-DZC180	MYH10	7.85
BN14SN5	XZ	KOC-GBZ000	MYH10	5.78	BO14SN5	XZ	KOC-GBZ000	MYH10	5.85

Tablo C.1 (devam): Mevcut binalara ait yerdeğiştirme talepleri

Bina Adı	Analiz Yönü	İvme Kaydı	MYH Grup No	Δ_d (cm)	Bina Adı	Analiz Yönü	İvme Kaydı	MYH Grup No	Δ_d (cm)
BN14SN5	XZ	KOC-YAR060	MYH10	7.81	BO14SN5	XZ	KOC-YAR060	MYH10	5.08
BN14SN5	XZ	LAN-YER270	MYH10	11.13	BO14SN5	XZ	LAN-YER270	MYH10	16.31
BN14SN5	XZ	LOM-BRN000	MYH10	18.17	BO14SN5	XZ	LOM-BRN000	MYH10	22.05
BN14SN5	XZ	LOM-G03090	MYH10	12.65	BO14SN5	XZ	LOM-G03090	MYH10	14.70
BN14SN5	XZ	LOM-HSP000	MYH10	15.32	BO14SN5	XZ	LOM-HSP000	MYH10	15.83
BN14SN5	XZ	NOR-CNP196	MYH10	10.36	BO14SN5	XZ	NOR-CNP196	MYH10	10.51
BN14SN5	XZ	NOR-MUL009	MYH10	17.08	BO14SN5	XZ	NOR-MUL009	MYH10	13.76
BN14SN5	XZ	NOR-MUL279	MYH10	20.56	BO14SN5	XZ	NOR-MUL279	MYH10	25.98
BN14SN5	XZ	NOR-ORR090	MYH10	14.20	BO14SN5	XZ	NOR-ORR090	MYH10	16.27
BN14SN5	XZ	NOR-ORR360	MYH10	33.85	BO14SN5	XZ	NOR-ORR360	MYH10	27.15
BN14SN5	XZ	NOR-SAT180	MYH10	18.72	BO14SN5	XZ	NOR-SAT180	MYH10	19.74
BN14SN5	XZ	NOR-WPI316	MYH10	9.36	BO14SN5	XZ	NOR-WPI316	MYH10	9.96
BN14SN5	YZ	CHI-CHY28N	MYH10	19.61	BO14SN5	YZ	CHI-CHY28N	MYH10	16.80
BN14SN5	YZ	CHI-TCU067N	MYH10	11.12	BO14SN5	YZ	CHI-TCU067N	MYH10	9.65
BN14SN5	YZ	CHI-TCU071N	MYH10	10.99	BO14SN5	YZ	CHI-TCU071N	MYH10	8.97
BN14SN5	YZ	CHI-TCU101-W	MYH10	5.15	BO14SN5	YZ	CHI-TCU101-W	MYH10	5.34
BN14SN5	YZ	CHI-TCU110-W	MYH10	6.86	BO14SN5	YZ	CHI-TCU110-W	MYH10	6.49
BN14SN5	YZ	CHI-TCU128-N	MYH10	4.83	BO14SN5	YZ	CHI-TCU128-N	MYH10	3.78
BN14SN5	YZ	CHI-WGK-E	MYH10	7.78	BO14SN5	YZ	CHI-WGK-E	MYH10	5.74
BN14SN5	YZ	CHI-WNTE	MYH10	9.11	BO14SN5	YZ	CHI-WNTE	MYH10	8.43
BN14SN5	YZ	DZC-BOL000	MYH10	14.64	BO14SN5	YZ	DZC-BOL000	MYH10	14.33
BN14SN5	YZ	DZC-BOL090	MYH10	25.31	BO14SN5	YZ	DZC-BOL090	MYH10	21.65
BN14SN5	YZ	GAZ-KAR000	MYH10	11.79	BO14SN5	YZ	GAZ-KAR000	MYH10	8.42
BN14SN5	YZ	IMP-ECC092	MYH10	9.71	BO14SN5	YZ	IMP-ECC092	MYH10	8.02
BN14SN5	YZ	IMP-ELC3-140	MYH10	12.87	BO14SN5	YZ	IMP-ELC3-140	MYH10	11.65
BN14SN5	YZ	IMP-ELC6-140	MYH10	9.41	BO14SN5	YZ	IMP-ELC6-140	MYH10	8.39
BN14SN5	YZ	IRP-STU270	MYH10	12.74	BO14SN5	YZ	IRP-STU270	MYH10	9.26
BN14SN5	YZ	KOB-TAK000	MYH10	17.23	BO14SN5	YZ	KOB-TAK000	MYH10	14.57
BN14SN5	YZ	KOC-DZC180	MYH10	9.91	BO14SN5	YZ	KOC-DZC180	MYH10	7.86
BN14SN5	YZ	KOC-GBZ000	MYH10	4.29	BO14SN5	YZ	KOC-GBZ000	MYH10	6.47
BN14SN5	YZ	KOC-YAR060	MYH10	6.62	BO14SN5	YZ	KOC-YAR060	MYH10	5.09
BN14SN5	YZ	LAN-YER270	MYH10	13.06	BO14SN5	YZ	LAN-YER270	MYH10	13.03
BN14SN5	YZ	LOM-BRN000	MYH10	25.37	BO14SN5	YZ	LOM-BRN000	MYH10	19.13
BN14SN5	YZ	LOM-G03090	MYH10	13.72	BO14SN5	YZ	LOM-G03090	MYH10	11.90
BN14SN5	YZ	LOM-HSP000	MYH10	18.11	BO14SN5	YZ	LOM-HSP000	MYH10	16.01
BN14SN5	YZ	NOR-CNP196	MYH10	11.75	BO14SN5	YZ	NOR-CNP196	MYH10	10.27
BN14SN5	YZ	NOR-MUL009	MYH10	17.37	BO14SN5	YZ	NOR-MUL009	MYH10	14.38
BN14SN5	YZ	NOR-MUL279	MYH10	24.41	BO14SN5	YZ	NOR-MUL279	MYH10	23.41
BN14SN5	YZ	NOR-ORR090	MYH10	19.36	BO14SN5	YZ	NOR-ORR090	MYH10	16.46
BN14SN5	YZ	NOR-ORR360	MYH10	27.10	BO14SN5	YZ	NOR-ORR360	MYH10	24.60
BN14SN5	YZ	NOR-SAT180	MYH10	16.26	BO14SN5	YZ	NOR-SAT180	MYH10	16.69
BN14SN5	YZ	NOR-WPI316	MYH10	11.09	BO14SN5	YZ	NOR-WPI316	MYH10	8.78
BN14SN5	XZ	CHI-CHY28W	MYH11	16.34	BO14SN5	XZ	CHI-CHY28W	MYH11	19.73
BN14SN5	XZ	CHI-CHY101W	MYH11	7.49	BO14SN5	XZ	CHI-CHY101W	MYH11	8.05
BN14SN5	XZ	CHI-TCU063N	MYH11	5.93	BO14SN5	XZ	CHI-TCU063N	MYH11	3.28
BN14SN5	XZ	CHI-TCU072W	MYH11	14.83	BO14SN5	XZ	CHI-TCU072W	MYH11	9.16
BN14SN5	XZ	CHI-TCU74W	MYH11	23.71	BO14SN5	XZ	CHI-TCU74W	MYH11	18.36
BN14SN5	XZ	CHI-TCU128-W	MYH11	3.84	BO14SN5	XZ	CHI-TCU128-W	MYH11	2.69
BN14SN5	XZ	CHI-WGK-N	MYH11	20.40	BO14SN5	XZ	CHI-WGK-N	MYH11	19.06
BN14SN5	XZ	COA-PLE045	MYH11	21.62	BO14SN5	XZ	COA-PLE045	MYH11	14.23
BN14SN5	XZ	DZC-BOL000	MYH11	19.07	BO14SN5	XZ	DZC-BOL000	MYH11	16.09
BN14SN5	XZ	DZC-BOL090	MYH11	27.76	BO14SN5	XZ	DZC-BOL090	MYH11	19.45
BN14SN5	XZ	DZC-DZC180	MYH11	11.77	BO14SN5	XZ	DZC-DZC180	MYH11	11.30
BN14SN5	XZ	GAZ-KAR000	MYH11	13.16	BO14SN5	XZ	GAZ-KAR000	MYH11	9.98
BN14SN5	XZ	GAZ-KAR090	MYH11	12.74	BO14SN5	XZ	GAZ-KAR090	MYH11	10.23
BN14SN5	XZ	IMP-ECC092	MYH11	8.50	BO14SN5	XZ	IMP-ECC092	MYH11	9.60
BN14SN5	XZ	IMP-ECM000	MYH11	10.65	BO14SN5	XZ	IMP-ECM000	MYH11	12.99
BN14SN5	XZ	IMP-ELCD-270	MYH11	8.61	BO14SN5	XZ	IMP-ELCD-270	MYH11	9.99
BN14SN5	XZ	IRP-STU270	MYH11	13.93	BO14SN5	XZ	IRP-STU270	MYH11	17.65

Tablo C.1 (devam): Mevcut binalara ait yerdeğiştirme talepleri

Bina Adı	Analiz Yönü	İvme Kaydı	MYH Grup No	Δ_d (cm)	Bina Adı	Analiz Yönü	İvme Kaydı	MYH Grup No	Δ_d (cm)
BN14SN5	XZ	KOB-KJM090	MYH11	27.27	BO14SN5	XZ	KOB-KJM090	MYH11	22.72
BN14SN5	XZ	KOC-DZC180	MYH11	9.80	BO14SN5	XZ	KOC-DZC180	MYH11	7.84
BN14SN5	XZ	KOC-GBZ000	MYH11	6.46	BO14SN5	XZ	KOC-GBZ000	MYH11	6.55
BN14SN5	XZ	KOC-YAR060	MYH11	9.20	BO14SN5	XZ	KOC-YAR060	MYH11	6.47
BN14SN5	XZ	LOM-HSP000	MYH11	16.29	BO14SN5	XZ	LOM-HSP000	MYH11	17.44
BN14SN5	XZ	LOM-WVC270	MYH11	10.66	BO14SN5	XZ	LOM-WVC270	MYH11	11.85
BN14SN5	XZ	NOR-CNP196	MYH11	11.45	BO14SN5	XZ	NOR-CNP196	MYH11	10.99
BN14SN5	XZ	NOR-MUL009	MYH11	18.28	BO14SN5	XZ	NOR-MUL009	MYH11	14.95
BN14SN5	XZ	NOR-MUL279	MYH11	22.43	BO14SN5	XZ	NOR-MUL279	MYH11	27.95
BN14SN5	XZ	NOR-ORR360	MYH11	37.04	BO14SN5	XZ	NOR-ORR360	MYH11	30.06
BN14SN5	XZ	NOR-RRS318	MYH11	14.79	BO14SN5	XZ	NOR-RRS318	MYH11	13.10
BN14SN5	XZ	NOR-SAT180	MYH11	21.25	BO14SN5	XZ	NOR-SAT180	MYH11	22.04
BN14SN5	XZ	NPAL-NPS210	MYH11	17.35	BO14SN5	XZ	NPAL-NPS210	MYH11	17.55
BN14SN5	YZ	CHI-CHY28W	MYH11	20.94	BO14SN5	YZ	CHI-CHY28W	MYH11	15.89
BN14SN5	YZ	CHI-CHY101W	MYH11	9.85	BO14SN5	YZ	CHI-CHY101W	MYH11	6.78
BN14SN5	YZ	CHI-TCU063N	MYH11	4.54	BO14SN5	YZ	CHI-TCU063N	MYH11	2.85
BN14SN5	YZ	CHI-TCU072W	MYH11	12.18	BO14SN5	YZ	CHI-TCU072W	MYH11	10.46
BN14SN5	YZ	CHI-TCU74W	MYH11	15.89	BO14SN5	YZ	CHI-TCU74W	MYH11	17.21
BN14SN5	YZ	CHI-TCU128-W	MYH11	3.21	BO14SN5	YZ	CHI-TCU128-W	MYH11	2.48
BN14SN5	YZ	CHI-WGK-N	MYH11	15.28	BO14SN5	YZ	CHI-WGK-N	MYH11	15.25
BN14SN5	YZ	COA-PLE045	MYH11	17.85	BO14SN5	YZ	COA-PLE045	MYH11	16.49
BN14SN5	YZ	DZC-BOL000	MYH11	16.14	BO14SN5	YZ	DZC-BOL000	MYH11	15.96
BN14SN5	YZ	DZC-BOL090	MYH11	26.11	BO14SN5	YZ	DZC-BOL090	MYH11	22.55
BN14SN5	YZ	DZC-DZC180	MYH11	12.01	BO14SN5	YZ	DZC-DZC180	MYH11	11.81
BN14SN5	YZ	GAZ-KAR000	MYH11	12.87	BO14SN5	YZ	GAZ-KAR000	MYH11	9.15
BN14SN5	YZ	GAZ-KAR090	MYH11	10.89	BO14SN5	YZ	GAZ-KAR090	MYH11	10.95
BN14SN5	YZ	IMP-ECC092	MYH11	10.14	BO14SN5	YZ	IMP-ECC092	MYH11	8.75
BN14SN5	YZ	IMP-ECM000	MYH11	11.62	BO14SN5	YZ	IMP-ECM000	MYH11	11.61
BN14SN5	YZ	IMP-ELCD-270	MYH11	9.53	BO14SN5	YZ	IMP-ELCD-270	MYH11	7.03
BN14SN5	YZ	IRP-STU270	MYH11	14.73	BO14SN5	YZ	IRP-STU270	MYH11	11.81
BN14SN5	YZ	KOB-KJM090	MYH11	21.10	BO14SN5	YZ	KOB-KJM090	MYH11	21.82
BN14SN5	YZ	KOC-DZC180	MYH11	10.70	BO14SN5	YZ	KOC-DZC180	MYH11	7.93
BN14SN5	YZ	KOC-GBZ000	MYH11	4.90	BO14SN5	YZ	KOC-GBZ000	MYH11	6.98
BN14SN5	YZ	KOC-YAR060	MYH11	6.78	BO14SN5	YZ	KOC-YAR060	MYH11	4.99
BN14SN5	YZ	LOM-HSP000	MYH11	19.36	BO14SN5	YZ	LOM-HSP000	MYH11	17.27
BN14SN5	YZ	LOM-WVC270	MYH11	11.09	BO14SN5	YZ	LOM-WVC270	MYH11	10.40
BN14SN5	YZ	NOR-CNP196	MYH11	11.98	BO14SN5	YZ	NOR-CNP196	MYH11	11.04
BN14SN5	YZ	NOR-MUL009	MYH11	18.50	BO14SN5	YZ	NOR-MUL009	MYH11	15.42
BN14SN5	YZ	NOR-MUL279	MYH11	27.12	BO14SN5	YZ	NOR-MUL279	MYH11	25.70
BN14SN5	YZ	NOR-ORR360	MYH11	29.26	BO14SN5	YZ	NOR-ORR360	MYH11	26.33
BN14SN5	YZ	NOR-RRS318	MYH11	12.21	BO14SN5	YZ	NOR-RRS318	MYH11	11.04
BN14SN5	YZ	NOR-SAT180	MYH11	18.59	BO14SN5	YZ	NOR-SAT180	MYH11	19.01
BN14SN5	YZ	NPAL-NPS210	MYH11	14.76	BO14SN5	YZ	NPAL-NPS210	MYH11	13.56
BN14SN5	XZ	CHI-TCU065N	MYH12	26.08	BO14SN5	XZ	CHI-TCU065N	MYH12	28.21
BN14SN5	XZ	CHI-TCU067W	MYH12	16.40	BO14SN5	XZ	CHI-TCU067W	MYH12	17.09
BN14SN5	XZ	CHI-TCU102-N	MYH12	7.10	BO14SN5	XZ	CHI-TCU102-N	MYH12	7.36
BN14SN5	XZ	DZC-BOL000	MYH12	20.61	BO14SN5	XZ	DZC-BOL000	MYH12	17.31
BN14SN5	XZ	DZC-BOL090	MYH12	28.51	BO14SN5	XZ	DZC-BOL090	MYH12	20.46
BN14SN5	XZ	DZC-DZC180	MYH12	12.76	BO14SN5	XZ	DZC-DZC180	MYH12	11.93
BN14SN5	XZ	GAZ-KAR090	MYH12	13.95	BO14SN5	XZ	GAZ-KAR090	MYH12	11.38
BN14SN5	XZ	IMP-ECC092	MYH12	8.42	BO14SN5	XZ	IMP-ECC092	MYH12	10.12
BN14SN5	XZ	IMP-ELC4-230	MYH12	8.60	BO14SN5	XZ	IMP-ELC4-230	MYH12	12.04
BN14SN5	XZ	IMP-ELCD-270	MYH12	9.74	BO14SN5	XZ	IMP-ELCD-270	MYH12	11.57
BN14SN5	XZ	IRP-STU270	MYH12	16.28	BO14SN5	XZ	IRP-STU270	MYH12	20.13
BN14SN5	XZ	KOC-DZC180	MYH12	10.33	BO14SN5	XZ	KOC-DZC180	MYH12	7.63
BN14SN5	XZ	KOC-GBZ000	MYH12	7.21	BO14SN5	XZ	KOC-GBZ000	MYH12	7.37
BN14SN5	XZ	KOC-SKR090	MYH12	5.17	BO14SN5	XZ	KOC-SKR090	MYH12	3.76
BN14SN5	XZ	LAN-YER270	MYH12	13.46	BO14SN5	XZ	LAN-YER270	MYH12	20.79
BN14SN5	XZ	LOM-BRN000	MYH12	20.75	BO14SN5	XZ	LOM-BRN000	MYH12	25.75

Tablo C.1 (devam): Mevcut binalara ait yerdeğiştirme talepleri

Bina Adı	Analiz Yönü	İvme Kaydı	MYH Grup No	Δ_d (cm)	Bina Adı	Analiz Yönü	İvme Kaydı	MYH Grup No	Δ_d (cm)
BN14SN5	XZ	LOM-WVC270	MYH12	11.67	BO14SN5	XZ	LOM-WVC270	MYH12	13.29
BN14SN5	XZ	NOR-CNP196	MYH12	12.62	BO14SN5	XZ	NOR-CNP196	MYH12	11.56
BN14SN5	XZ	NOR-MUL009	MYH12	19.39	BO14SN5	XZ	NOR-MUL009	MYH12	16.25
BN14SN5	XZ	NOR-MUL279	MYH12	24.30	BO14SN5	XZ	NOR-MUL279	MYH12	29.85
BN14SN5	XZ	NOR-NEW090	MYH12	18.38	BO14SN5	XZ	NOR-NEW090	MYH12	11.88
BN14SN5	XZ	NOR-PAR-L	MYH12	25.13	BO14SN5	XZ	NOR-PAR-L	MYH12	27.30
BN14SN5	XZ	NOR-RRS318	MYH12	15.78	BO14SN5	XZ	NOR-RRS318	MYH12	15.32
BN14SN5	XZ	NOR-SAT180	MYH12	23.75	BO14SN5	XZ	NOR-SAT180	MYH12	24.33
BN14SN5	XZ	NOR-SCE288	MYH12	18.82	BO14SN5	XZ	NOR-SCE288	MYH12	20.55
BN14SN5	XZ	NOR-SEP360	MYH12	13.61	BO14SN5	XZ	NOR-SEP360	MYH12	8.07
BN14SN5	XZ	NOR-SYL090	MYH12	21.75	BO14SN5	XZ	NOR-SYL090	MYH12	16.40
BN14SN5	XZ	NOR-TAR360	MYH12	15.16	BO14SN5	XZ	NOR-TAR360	MYH12	23.42
BN14SN5	XZ	NOR-WPI316	MYH12	11.38	BO14SN5	XZ	NOR-WPI316	MYH12	11.34
BN14SN5	XZ	PRK-C02065	MYH12	19.66	BO14SN5	XZ	PRK-C02065	MYH12	21.32
BN14SN5	YZ	CHI-TCU065N	MYH12	20.13	BO14SN5	YZ	CHI-TCU065N	MYH12	21.57
BN14SN5	YZ	CHI-TCU067W	MYH12	16.67	BO14SN5	YZ	CHI-TCU067W	MYH12	15.22
BN14SN5	YZ	CHI-TCU102-N	MYH12	7.70	BO14SN5	YZ	CHI-TCU102-N	MYH12	5.82
BN14SN5	YZ	DZC-BOL000	MYH12	17.66	BO14SN5	YZ	DZC-BOL000	MYH12	17.54
BN14SN5	YZ	DZC-BOL090	MYH12	26.66	BO14SN5	YZ	DZC-BOL090	MYH12	23.50
BN14SN5	YZ	DZC-DZC180	MYH12	12.54	BO14SN5	YZ	DZC-DZC180	MYH12	12.35
BN14SN5	YZ	GAZ-KAR090	MYH12	11.52	BO14SN5	YZ	GAZ-KAR090	MYH12	12.05
BN14SN5	YZ	IMP-ECC092	MYH12	10.72	BO14SN5	YZ	IMP-ECC092	MYH12	9.75
BN14SN5	YZ	IMP-ELC4-230	MYH12	8.31	BO14SN5	YZ	IMP-ELC4-230	MYH12	8.07
BN14SN5	YZ	IMP-ELCD-270	MYH12	10.64	BO14SN5	YZ	IMP-ELCD-270	MYH12	8.18
BN14SN5	YZ	IRP-STU270	MYH12	17.21	BO14SN5	YZ	IRP-STU270	MYH12	14.45
BN14SN5	YZ	KOC-DZC180	MYH12	11.36	BO14SN5	YZ	KOC-DZC180	MYH12	7.98
BN14SN5	YZ	KOC-GBZ000	MYH12	5.56	BO14SN5	YZ	KOC-GBZ000	MYH12	7.51
BN14SN5	YZ	KOC-SKR090	MYH12	4.72	BO14SN5	YZ	KOC-SKR090	MYH12	3.26
BN14SN5	YZ	LAN-YER270	MYH12	15.72	BO14SN5	YZ	LAN-YER270	MYH12	16.65
BN14SN5	YZ	LOM-BRN000	MYH12	29.11	BO14SN5	YZ	LOM-BRN000	MYH12	22.39
BN14SN5	YZ	LOM-WVC270	MYH12	12.78	BO14SN5	YZ	LOM-WVC270	MYH12	11.55
BN14SN5	YZ	NOR-CNP196	MYH12	12.21	BO14SN5	YZ	NOR-CNP196	MYH12	11.78
BN14SN5	YZ	NOR-MUL009	MYH12	19.61	BO14SN5	YZ	NOR-MUL009	MYH12	16.46
BN14SN5	YZ	NOR-MUL279	MYH12	29.77	BO14SN5	YZ	NOR-MUL279	MYH12	27.90
BN14SN5	YZ	NOR-NEW090	MYH12	15.68	BO14SN5	YZ	NOR-NEW090	MYH12	11.44
BN14SN5	YZ	NOR-PAR-L	MYH12	27.13	BO14SN5	YZ	NOR-PAR-L	MYH12	25.81
BN14SN5	YZ	NOR-RRS318	MYH12	13.03	BO14SN5	YZ	NOR-RRS318	MYH12	11.91
BN14SN5	YZ	NOR-SAT180	MYH12	20.86	BO14SN5	YZ	NOR-SAT180	MYH12	21.36
BN14SN5	YZ	NOR-SCE288	MYH12	20.78	BO14SN5	YZ	NOR-SCE288	MYH12	18.31
BN14SN5	YZ	NOR-SEP360	MYH12	9.07	BO14SN5	YZ	NOR-SEP360	MYH12	8.37
BN14SN5	YZ	NOR-SYL090	MYH12	17.48	BO14SN5	YZ	NOR-SYL090	MYH12	18.52
BN14SN5	YZ	NOR-TAR360	MYH12	19.35	BO14SN5	YZ	NOR-TAR360	MYH12	18.83
BN14SN5	YZ	NOR-WPI316	MYH12	13.43	BO14SN5	YZ	NOR-WPI316	MYH12	10.89
BN14SN5	YZ	PRK-C02065	MYH12	17.96	BO14SN5	YZ	PRK-C02065	MYH12	20.49
BN15SN5	XZ	CAP-FOR090	MYH1	2.05	BO15SN5	XZ	CAP-FOR090	MYH1	4.15
BN15SN5	XZ	CHI-CHY010-N	MYH1	3.51	BO15SN5	XZ	CHI-CHY010-N	MYH1	6.28
BN15SN5	XZ	CHI-CHY41W	MYH1	3.57	BO15SN5	XZ	CHI-CHY41W	MYH1	6.00
BN15SN5	XZ	CHI-CHY046N	MYH1	2.83	BO15SN5	XZ	CHI-CHY046N	MYH1	7.33
BN15SN5	XZ	CHI-CHY047-E	MYH1	2.72	BO15SN5	XZ	CHI-CHY047-E	MYH1	3.26
BN15SN5	XZ	COA-CAK270	MYH1	3.86	BO15SN5	XZ	COA-CAK270	MYH1	6.02
BN15SN5	XZ	COY-G06320	MYH1	3.93	BO15SN5	XZ	COY-G06320	MYH1	6.84
BN15SN5	XZ	FRI-TMZ000	MYH1	3.31	BO15SN5	XZ	FRI-TMZ000	MYH1	4.62
BN15SN5	XZ	IMP-E12230	MYH1	1.63	BO15SN5	XZ	IMP-E12230	MYH1	3.72
BN15SN5	XZ	IMP-SAH000	MYH1	3.64	BO15SN5	XZ	IMP-SAH000	MYH1	4.81
BN15SN5	XZ	IRP-BIS000	MYH1	1.95	BO15SN5	XZ	IRP-BIS000	MYH1	3.27
BN15SN5	XZ	KOC-IZM180	MYH1	3.21	BO15SN5	XZ	KOC-IZM180	MYH1	4.87
BN15SN5	XZ	LAN-ABY090	MYH1	2.21	BO15SN5	XZ	LAN-ABY090	MYH1	3.58
BN15SN5	XZ	LAN-DSP000	MYH1	2.46	BO15SN5	XZ	LAN-DSP000	MYH1	3.79
BN15SN5	XZ	LIV-DVD246	MYH1	2.39	BO15SN5	XZ	LIV-DVD246	MYH1	3.16

Tablo C.1 (devam): Mevcut binalara ait yerdeğiştirme talepleri

Bina Adı	Analiz Yönü	İvme Kaydı	MYH Grup No	Δ_d (cm)	Bina Adı	Analiz Yönü	İvme Kaydı	MYH Grup No	Δ_d (cm)
BN15SN5	XZ	LOM-BRK090	MYH1	2.56	BO15SN5	XZ	LOM-BRK090	MYH1	7.04
BN15SN5	XZ	LOM-CLD285	MYH1	3.19	BO15SN5	XZ	LOM-CLD285	MYH1	5.61
BN15SN5	XZ	LOM-GGV337	MYH1	3.70	BO15SN5	XZ	LOM-GGV337	MYH1	4.33
BN15SN5	XZ	NOR-CWC270	MYH1	3.50	BO15SN5	XZ	NOR-CWC270	MYH1	7.70
BN15SN5	XZ	NOR-LOS090	MYH1	3.57	BO15SN5	XZ	NOR-LOS090	MYH1	5.34
BN15SN5	XZ	NOR-LOS360	MYH1	4.11	BO15SN5	XZ	NOR-LOS360	MYH1	8.08
BN15SN5	XZ	PRK-CHO355	MYH1	5.25	BO15SN5	XZ	PRK-CHO355	MYH1	3.68
BN15SN5	XZ	PRK-TMB205	MYH1	3.83	BO15SN5	XZ	PRK-TMB205	MYH1	4.28
BN15SN5	XZ	SUP-PLS135	MYH1	3.30	BO15SN5	XZ	SUP-PLS135	MYH1	5.02
BN15SN5	XZ	TAB-DAY-LN	MYH1	3.61	BO15SN5	XZ	TAB-DAY-LN	MYH1	5.17
BN15SN5	XZ	VIC-CPE315	MYH1	4.24	BO15SN5	XZ	VIC-CPE315	MYH1	4.90
BN15SN5	XZ	WHI-ALH180	MYH1	3.21	BO15SN5	XZ	WHI-ALH180	MYH1	7.74
BN15SN5	XZ	WHI-GRN180	MYH1	4.89	BO15SN5	XZ	WHI-GRN180	MYH1	6.63
BN15SN5	XZ	WHI-OBR360	MYH1	3.68	BO15SN5	XZ	WHI-OBR360	MYH1	4.36
BN15SN5	YZ	CAP-FOR090	MYH1	2.44	BO15SN5	YZ	CAP-FOR090	MYH1	3.70
BN15SN5	YZ	CHI-CHY010-N	MYH1	4.52	BO15SN5	YZ	CHI-CHY010-N	MYH1	3.89
BN15SN5	YZ	CHI-CHY41W	MYH1	5.81	BO15SN5	YZ	CHI-CHY41W	MYH1	5.71
BN15SN5	YZ	CHI-CHY046N	MYH1	4.00	BO15SN5	YZ	CHI-CHY046N	MYH1	4.27
BN15SN5	YZ	CHI-CHY047-E	MYH1	3.12	BO15SN5	YZ	CHI-CHY047-E	MYH1	3.37
BN15SN5	YZ	COA-CAK270	MYH1	3.74	BO15SN5	YZ	COA-CAK270	MYH1	6.78
BN15SN5	YZ	COY-G06320	MYH1	4.14	BO15SN5	YZ	COY-G06320	MYH1	4.11
BN15SN5	YZ	FRI-TMZ000	MYH1	4.41	BO15SN5	YZ	FRI-TMZ000	MYH1	4.00
BN15SN5	YZ	IMP-E12230	MYH1	2.17	BO15SN5	YZ	IMP-E12230	MYH1	2.56
BN15SN5	YZ	IMP-SAH000	MYH1	3.87	BO15SN5	YZ	IMP-SAH000	MYH1	3.89
BN15SN5	YZ	IRP-BIS000	MYH1	1.89	BO15SN5	YZ	IRP-BIS000	MYH1	2.09
BN15SN5	YZ	KOC-IZM180	MYH1	4.37	BO15SN5	YZ	KOC-IZM180	MYH1	3.92
BN15SN5	YZ	LAN-ABY090	MYH1	3.01	BO15SN5	YZ	LAN-ABY090	MYH1	3.31
BN15SN5	YZ	LAN-DSP000	MYH1	2.45	BO15SN5	YZ	LAN-DSP000	MYH1	3.20
BN15SN5	YZ	LIV-DVD246	MYH1	3.12	BO15SN5	YZ	LIV-DVD246	MYH1	2.91
BN15SN5	YZ	LOM-BRK090	MYH1	3.49	BO15SN5	YZ	LOM-BRK090	MYH1	5.12
BN15SN5	YZ	LOM-CLD285	MYH1	3.18	BO15SN5	YZ	LOM-CLD285	MYH1	3.85
BN15SN5	YZ	LOM-GGV337	MYH1	5.51	BO15SN5	YZ	LOM-GGV337	MYH1	4.92
BN15SN5	YZ	NOR-CWC270	MYH1	4.33	BO15SN5	YZ	NOR-CWC270	MYH1	5.28
BN15SN5	YZ	NOR-LOS090	MYH1	3.35	BO15SN5	YZ	NOR-LOS090	MYH1	5.28
BN15SN5	YZ	NOR-LOS360	MYH1	5.61	BO15SN5	YZ	NOR-LOS360	MYH1	6.59
BN15SN5	YZ	PRK-CHO355	MYH1	4.01	BO15SN5	YZ	PRK-CHO355	MYH1	3.77
BN15SN5	YZ	PRK-TMB205	MYH1	3.84	BO15SN5	YZ	PRK-TMB205	MYH1	3.05
BN15SN5	YZ	SUP-PLS135	MYH1	3.82	BO15SN5	YZ	SUP-PLS135	MYH1	3.95
BN15SN5	YZ	TAB-DAY-LN	MYH1	4.44	BO15SN5	YZ	TAB-DAY-LN	MYH1	4.51
BN15SN5	YZ	VIC-CPE315	MYH1	6.10	BO15SN5	YZ	VIC-CPE315	MYH1	4.14
BN15SN5	YZ	WHI-ALH180	MYH1	4.03	BO15SN5	YZ	WHI-ALH180	MYH1	4.85
BN15SN5	YZ	WHI-GRN180	MYH1	6.77	BO15SN5	YZ	WHI-GRN180	MYH1	6.58
BN15SN5	YZ	WHI-OBR360	MYH1	4.17	BO15SN5	YZ	WHI-OBR360	MYH1	5.49
BN15SN5	XZ	CHI-TCU141-N	MYH2	1.20	BO15SN5	XZ	CHI-TCU141-N	MYH2	4.09
BN15SN5	XZ	COA-PV1090	MYH2	3.12	BO15SN5	XZ	COA-PV1090	MYH2	8.57
BN15SN5	XZ	COA-Z14090	MYH2	4.26	BO15SN5	XZ	COA-Z14090	MYH2	8.29
BN15SN5	XZ	COY-G02140	MYH2	2.76	BO15SN5	XZ	COY-G02140	MYH2	8.31
BN15SN5	XZ	COY-G03140	MYH2	2.72	BO15SN5	XZ	COY-G03140	MYH2	8.57
BN15SN5	XZ	IMP-AER315	MYH2	3.78	BO15SN5	XZ	IMP-AER315	MYH2	6.90
BN15SN5	XZ	IMP-DLT262	MYH2	4.35	BO15SN5	XZ	IMP-DLT262	MYH2	6.22
BN15SN5	XZ	KOB-KAK090	MYH2	4.19	BO15SN5	XZ	KOB-KAK090	MYH2	7.25
BN15SN5	XZ	KOB-SHI090	MYH2	4.08	BO15SN5	XZ	KOB-SHI090	MYH2	6.88
BN15SN5	XZ	LAN-CLVLN	MYH2	4.53	BO15SN5	XZ	LAN-CLVLN	MYH2	4.84
BN15SN5	XZ	LAN-JOS000	MYH2	4.27	BO15SN5	XZ	LAN-JOS000	MYH2	7.97
BN15SN5	XZ	LOM-CAP090	MYH2	6.63	BO15SN5	XZ	LOM-CAP090	MYH2	6.55
BN15SN5	XZ	LOM-GGV067	MYH2	3.56	BO15SN5	XZ	LOM-GGV067	MYH2	7.10
BN15SN5	XZ	LOM-HSP090	MYH2	4.46	BO15SN5	XZ	LOM-HSP090	MYH2	8.60
BN15SN5	XZ	LOM-SFO000	MYH2	4.44	BO15SN5	XZ	LOM-SFO000	MYH2	6.29
BN15SN5	XZ	LOM-SFO090	MYH2	4.99	BO15SN5	XZ	LOM-SFO090	MYH2	7.52

Tablo C.1 (devam): Mevcut binalara ait yerdeğiştirme talepleri

Bina Adı	Analiz Yönü	İvme Kaydı	MYH Grup No	Δ_d (cm)	Bina Adı	Analiz Yönü	İvme Kaydı	MYH Grup No	Δ_d (cm)
BN15SN5	XZ	LOM-WAH000	MYH2	3.48	BO15SN5	XZ	LOM-WAH000	MYH2	6.72
BN15SN5	XZ	MAM-LUL000	MYH2	7.27	BO15SN5	XZ	MAM-LUL000	MYH2	6.06
BN15SN5	XZ	MOR-AND250	MYH2	4.46	BO15SN5	XZ	MOR-AND250	MYH2	3.76
BN15SN5	XZ	MOR-AND340	MYH2	4.71	BO15SN5	XZ	MOR-AND340	MYH2	6.50
BN15SN5	XZ	NOR-CHL160	MYH2	3.71	BO15SN5	XZ	NOR-CHL160	MYH2	8.24
BN15SN5	XZ	NOR-CWC180	MYH2	2.53	BO15SN5	XZ	NOR-CWC180	MYH2	7.29
BN15SN5	XZ	NOR-SAT090	MYH2	3.95	BO15SN5	XZ	NOR-SAT090	MYH2	10.67
BN15SN5	XZ	NPAL-DSP000	MYH2	3.25	BO15SN5	XZ	NPAL-DSP000	MYH2	9.06
BN15SN5	XZ	PRK-CHO085	MYH2	4.12	BO15SN5	XZ	PRK-CHO085	MYH2	4.40
BN15SN5	XZ	SFD-ORR291	MYH2	4.23	BO15SN5	XZ	SFD-ORR291	MYH2	5.79
BN15SN5	XZ	SPI-GUK000	MYH2	2.94	BO15SN5	XZ	SPI-GUK000	MYH2	6.76
BN15SN5	XZ	TAB-DAY-TR	MYH2	4.25	BO15SN5	XZ	TAB-DAY-TR	MYH2	8.67
BN15SN5	XZ	WES-PTS315	MYH2	2.92	BO15SN5	XZ	WES-PTS315	MYH2	8.69
BN15SN5	XZ	WHI-DEL000	MYH2	5.39	BO15SN5	XZ	WHI-DEL000	MYH2	6.31
BN15SN5	XZ	WHI-DWN180	MYH2	4.14	BO15SN5	XZ	WHI-DWN180	MYH2	6.37
BN15SN5	YZ	CHI-TCU141-N	MYH2	1.86	BO15SN5	YZ	CHI-TCU141-N	MYH2	2.44
BN15SN5	YZ	COA-PV1090	MYH2	3.65	BO15SN5	YZ	COA-PV1090	MYH2	6.59
BN15SN5	YZ	COA-Z14090	MYH2	4.96	BO15SN5	YZ	COA-Z14090	MYH2	10.40
BN15SN5	YZ	COY-G02140	MYH2	3.64	BO15SN5	YZ	COY-G02140	MYH2	7.51
BN15SN5	YZ	COY-G03140	MYH2	4.47	BO15SN5	YZ	COY-G03140	MYH2	5.60
BN15SN5	YZ	IMP-AER315	MYH2	3.71	BO15SN5	YZ	IMP-AER315	MYH2	5.26
BN15SN5	YZ	IMP-DLT262	MYH2	4.57	BO15SN5	YZ	IMP-DLT262	MYH2	6.17
BN15SN5	YZ	KOB-KAK090	MYH2	4.26	BO15SN5	YZ	KOB-KAK090	MYH2	4.26
BN15SN5	YZ	KOB-SHI090	MYH2	6.07	BO15SN5	YZ	KOB-SHI090	MYH2	6.74
BN15SN5	YZ	LAN-CLVLN	MYH2	4.82	BO15SN5	YZ	LAN-CLVLN	MYH2	6.56
BN15SN5	YZ	LAN-JOS000	MYH2	5.25	BO15SN5	YZ	LAN-JOS000	MYH2	7.03
BN15SN5	YZ	LOM-CAP090	MYH2	7.47	BO15SN5	YZ	LOM-CAP090	MYH2	7.06
BN15SN5	YZ	LOM-GGV067	MYH2	3.79	BO15SN5	YZ	LOM-GGV067	MYH2	5.10
BN15SN5	YZ	LOM-HSP090	MYH2	5.52	BO15SN5	YZ	LOM-HSP090	MYH2	5.31
BN15SN5	YZ	LOM-SFO000	MYH2	5.36	BO15SN5	YZ	LOM-SFO000	MYH2	5.21
BN15SN5	YZ	LOM-SFO090	MYH2	5.73	BO15SN5	YZ	LOM-SFO090	MYH2	8.58
BN15SN5	YZ	LOM-WAH000	MYH2	5.85	BO15SN5	YZ	LOM-WAH000	MYH2	6.65
BN15SN5	YZ	MAM-LUL000	MYH2	7.40	BO15SN5	YZ	MAM-LUL000	MYH2	5.26
BN15SN5	YZ	MOR-AND250	MYH2	4.67	BO15SN5	YZ	MOR-AND250	MYH2	5.38
BN15SN5	YZ	MOR-AND340	MYH2	5.11	BO15SN5	YZ	MOR-AND340	MYH2	8.17
BN15SN5	YZ	NOR-CHL160	MYH2	5.46	BO15SN5	YZ	NOR-CHL160	MYH2	8.01
BN15SN5	YZ	NOR-CWC180	MYH2	3.41	BO15SN5	YZ	NOR-CWC180	MYH2	4.90
BN15SN5	YZ	NOR-SAT090	MYH2	6.53	BO15SN5	YZ	NOR-SAT090	MYH2	7.27
BN15SN5	YZ	NPAL-DSP000	MYH2	5.72	BO15SN5	YZ	NPAL-DSP000	MYH2	7.18
BN15SN5	YZ	PRK-CHO085	MYH2	4.60	BO15SN5	YZ	PRK-CHO085	MYH2	4.88
BN15SN5	YZ	SFD-ORR291	MYH2	5.94	BO15SN5	YZ	SFD-ORR291	MYH2	4.99
BN15SN5	YZ	SPI-GUK000	MYH2	3.88	BO15SN5	YZ	SPI-GUK000	MYH2	5.52
BN15SN5	YZ	TAB-DAY-TR	MYH2	4.39	BO15SN5	YZ	TAB-DAY-TR	MYH2	6.84
BN15SN5	YZ	WES-PTS315	MYH2	4.00	BO15SN5	YZ	WES-PTS315	MYH2	8.07
BN15SN5	YZ	WHI-DEL000	MYH2	8.16	BO15SN5	YZ	WHI-DEL000	MYH2	6.47
BN15SN5	YZ	WHI-DWN180	MYH2	6.59	BO15SN5	YZ	WHI-DWN180	MYH2	8.82
BN15SN5	XZ	CAP-FOR000	MYH3	2.18	BO15SN5	XZ	CAP-FOR000	MYH3	4.26
BN15SN5	XZ	CHI-CHY29W	MYH3	4.99	BO15SN5	XZ	CHI-CHY29W	MYH3	9.99
BN15SN5	XZ	CHI-TCU046N	MYH3	1.86	BO15SN5	XZ	CHI-TCU046N	MYH3	4.14
BN15SN5	XZ	CHI-TCU112-N	MYH3	1.29	BO15SN5	XZ	CHI-TCU112-N	MYH3	3.07
BN15SN5	XZ	CHI-TCU118-N	MYH3	1.90	BO15SN5	XZ	CHI-TCU118-N	MYH3	3.35
BN15SN5	XZ	FRI-TMZ270	MYH3	5.28	BO15SN5	XZ	FRI-TMZ270	MYH3	8.03
BN15SN5	XZ	IMP-ELC2-140	MYH3	3.98	BO15SN5	XZ	IMP-ELC2-140	MYH3	7.29
BN15SN5	XZ	IMP-ELC11-140	MYH3	3.29	BO15SN5	XZ	IMP-ELC11-140	MYH3	5.43
BN15SN5	XZ	IMP-SAH270	MYH3	5.00	BO15SN5	XZ	IMP-SAH270	MYH3	6.26
BN15SN5	XZ	KOC-AMB090	MYH3	3.46	BO15SN5	XZ	KOC-AMB090	MYH3	9.40
BN15SN5	XZ	KOC-GBZ270	MYH3	2.82	BO15SN5	XZ	KOC-GBZ270	MYH3	3.63
BN15SN5	XZ	KOC-IZM090	MYH3	2.71	BO15SN5	XZ	KOC-IZM090	MYH3	6.39
BN15SN5	XZ	LAN-LUC000	MYH3	3.46	BO15SN5	XZ	LAN-LUC000	MYH3	5.34

Tablo C.1 (devam): Mevcut binalara ait yerdeğiştirme talepleri

Bina Adı	Analiz Yönü	İvme Kaydı	MYH Grup No	Δ_d (cm)	Bina Adı	Analiz Yönü	İvme Kaydı	MYH Grup No	Δ_d (cm)
BN15SN5	XZ	LAN-YER360	MYH3	3.18	BO15SN5	XZ	LAN-YER360	MYH3	6.19
BN15SN5	XZ	LOM-A02133	MYH3	3.02	BO15SN5	XZ	LOM-A02133	MYH3	12.65
BN15SN5	XZ	LOM-G01000	MYH3	4.04	BO15SN5	XZ	LOM-G01000	MYH3	3.70
BN15SN5	XZ	LOM-G01090	MYH3	5.01	BO15SN5	XZ	LOM-G01090	MYH3	8.43
BN15SN5	XZ	LOM-G02000	MYH3	4.44	BO15SN5	XZ	LOM-G02000	MYH3	12.61
BN15SN5	XZ	LOM-TRI090	MYH3	3.00	BO15SN5	XZ	LOM-TRI090	MYH3	10.12
BN15SN5	XZ	MAM-LUL090	MYH3	5.31	BO15SN5	XZ	MAM-LUL090	MYH3	13.43
BN15SN5	XZ	NOR-CNP106	MYH3	5.00	BO15SN5	XZ	NOR-CNP106	MYH3	10.34
BN15SN5	XZ	NOR-PAC265	MYH3	4.82	BO15SN5	XZ	NOR-PAC265	MYH3	6.92
BN15SN5	XZ	NOR-PKC090	MYH3	5.75	BO15SN5	XZ	NOR-PKC090	MYH3	10.36
BN15SN5	XZ	NOR-WIL180	MYH3	4.01	BO15SN5	XZ	NOR-WIL180	MYH3	8.95
BN15SN5	XZ	NPAL-MVH045	MYH3	2.74	BO15SN5	XZ	NPAL-MVH045	MYH3	12.94
BN15SN5	XZ	NPAL-NPS300	MYH3	5.12	BO15SN5	XZ	NPAL-NPS300	MYH3	9.34
BN15SN5	XZ	NPAL-WWT270	MYH3	6.45	BO15SN5	XZ	NPAL-WWT270	MYH3	8.81
BN15SN5	XZ	SUP-IVW090	MYH3	2.25	BO15SN5	XZ	SUP-IVW090	MYH3	7.07
BN15SN5	XZ	SUP-IVW360	MYH3	3.62	BO15SN5	XZ	SUP-IVW360	MYH3	9.79
BN15SN5	XZ	SUP-KRN360	MYH3	2.29	BO15SN5	XZ	SUP-KRN360	MYH3	6.89
BN15SN5	XZ	SUP-POE360	MYH3	3.64	BO15SN5	XZ	SUP-POE360	MYH3	6.17
BN15SN5	XZ	SUP-SUP045	MYH3	5.59	BO15SN5	XZ	SUP-SUP045	MYH3	5.95
BN15SN5	XZ	VIC-CPE045	MYH3	6.96	BO15SN5	XZ	VIC-CPE045	MYH3	12.63
BN15SN5	XZ	WHI-OR2010	MYH3	3.86	BO15SN5	XZ	WHI-OR2010	MYH3	7.11
BN15SN5	YZ	CAP-FOR000	MYH3	2.23	BO15SN5	YZ	CAP-FOR000	MYH3	4.28
BN15SN5	YZ	CHI-CHY29W	MYH3	5.88	BO15SN5	YZ	CHI-CHY29W	MYH3	7.37
BN15SN5	YZ	CHI-TCU046N	MYH3	2.65	BO15SN5	YZ	CHI-TCU046N	MYH3	2.79
BN15SN5	YZ	CHI-TCU112-N	MYH3	1.92	BO15SN5	YZ	CHI-TCU112-N	MYH3	2.14
BN15SN5	YZ	CHI-TCU118-N	MYH3	2.85	BO15SN5	YZ	CHI-TCU118-N	MYH3	3.05
BN15SN5	YZ	FRI-TMZ270	MYH3	6.95	BO15SN5	YZ	FRI-TMZ270	MYH3	7.99
BN15SN5	YZ	IMP-ELC2-140	MYH3	4.20	BO15SN5	YZ	IMP-ELC2-140	MYH3	6.58
BN15SN5	YZ	IMP-ELC11-140	MYH3	5.08	BO15SN5	YZ	IMP-ELC11-140	MYH3	5.32
BN15SN5	YZ	IMP-SAH270	MYH3	6.76	BO15SN5	YZ	IMP-SAH270	MYH3	6.37
BN15SN5	YZ	KOC-AMB090	MYH3	3.60	BO15SN5	YZ	KOC-AMB090	MYH3	9.09
BN15SN5	YZ	KOC-GBZ270	MYH3	3.10	BO15SN5	YZ	KOC-GBZ270	MYH3	2.70
BN15SN5	YZ	KOC-IZM090	MYH3	4.78	BO15SN5	YZ	KOC-IZM090	MYH3	5.25
BN15SN5	YZ	LAN-LUC000	MYH3	4.56	BO15SN5	YZ	LAN-LUC000	MYH3	4.83
BN15SN5	YZ	LAN-YER360	MYH3	3.13	BO15SN5	YZ	LAN-YER360	MYH3	4.16
BN15SN5	YZ	LOM-A02133	MYH3	7.64	BO15SN5	YZ	LOM-A02133	MYH3	10.00
BN15SN5	YZ	LOM-G01000	MYH3	4.11	BO15SN5	YZ	LOM-G01000	MYH3	5.09
BN15SN5	YZ	LOM-G01090	MYH3	5.59	BO15SN5	YZ	LOM-G01090	MYH3	5.53
BN15SN5	YZ	LOM-G02000	MYH3	7.51	BO15SN5	YZ	LOM-G02000	MYH3	9.86
BN15SN5	YZ	LOM-TRI090	MYH3	6.71	BO15SN5	YZ	LOM-TRI090	MYH3	7.40
BN15SN5	YZ	MAM-LUL090	MYH3	7.98	BO15SN5	YZ	MAM-LUL090	MYH3	9.95
BN15SN5	YZ	NOR-CNP106	MYH3	5.98	BO15SN5	YZ	NOR-CNP106	MYH3	9.43
BN15SN5	YZ	NOR-PAC265	MYH3	5.81	BO15SN5	YZ	NOR-PAC265	MYH3	7.35
BN15SN5	YZ	NOR-PKC090	MYH3	6.06	BO15SN5	YZ	NOR-PKC090	MYH3	9.72
BN15SN5	YZ	NOR-WIL180	MYH3	7.02	BO15SN5	YZ	NOR-WIL180	MYH3	8.57
BN15SN5	YZ	NPAL-MVH045	MYH3	4.49	BO15SN5	YZ	NPAL-MVH045	MYH3	7.23
BN15SN5	YZ	NPAL-NPS300	MYH3	5.31	BO15SN5	YZ	NPAL-NPS300	MYH3	6.81
BN15SN5	YZ	NPAL-WWT270	MYH3	5.88	BO15SN5	YZ	NPAL-WWT270	MYH3	7.48
BN15SN5	YZ	SUP-IVW090	MYH3	2.50	BO15SN5	YZ	SUP-IVW090	MYH3	3.71
BN15SN5	YZ	SUP-IVW360	MYH3	5.27	BO15SN5	YZ	SUP-IVW360	MYH3	6.15
BN15SN5	YZ	SUP-KRN360	MYH3	3.45	BO15SN5	YZ	SUP-KRN360	MYH3	4.51
BN15SN5	YZ	SUP-POE360	MYH3	5.97	BO15SN5	YZ	SUP-POE360	MYH3	4.88
BN15SN5	YZ	SUP-SUP045	MYH3	7.17	BO15SN5	YZ	SUP-SUP045	MYH3	6.05
BN15SN5	YZ	VIC-CPE045	MYH3	7.72	BO15SN5	YZ	VIC-CPE045	MYH3	12.85
BN15SN5	YZ	WHI-OR2010	MYH3	7.98	BO15SN5	YZ	WHI-OR2010	MYH3	8.25
BN15SN5	XZ	CHI-CHY29N	MYH4	5.61	BO15SN5	XZ	CHI-CHY29N	MYH4	7.11
BN15SN5	XZ	CHI-CHY036W	MYH4	6.20	BO15SN5	XZ	CHI-CHY036W	MYH4	10.29
BN15SN5	XZ	CHI-CHY41N	MYH4	8.82	BO15SN5	XZ	CHI-CHY41N	MYH4	10.04
BN15SN5	XZ	CHI-TCU45N	MYH4	8.28	BO15SN5	XZ	CHI-TCU45N	MYH4	8.79

Tablo C.1 (devam): Mevcut binalara ait yerdeğiştirme talepleri

Bina Adı	Analiz Yönü	İvme Kaydı	MYH Grup No	Δ_d (cm)	Bina Adı	Analiz Yönü	İvme Kaydı	MYH Grup No	Δ_d (cm)
BN15SN5	XZ	CHI-TCU45W	MYH4	5.91	BO15SN5	XZ	CHI-TCU45W	MYH4	8.71
BN15SN5	XZ	CHI-TCU51N	MYH4	2.92	BO15SN5	XZ	CHI-TCU51N	MYH4	5.64
BN15SN5	XZ	COA-PLE135	MYH4	6.31	BO15SN5	XZ	COA-PLE135	MYH4	11.32
BN15SN5	XZ	IMP-BRA225	MYH4	1.16	BO15SN5	XZ	IMP-BRA225	MYH4	5.92
BN15SN5	XZ	IMP-BRA315	MYH4	3.55	BO15SN5	XZ	IMP-BRA315	MYH4	7.58
BN15SN5	XZ	IMP-ECC002	MYH4	4.04	BO15SN5	XZ	IMP-ECC002	MYH4	14.04
BN15SN5	XZ	IMP-ELC4-140	MYH4	6.11	BO15SN5	XZ	IMP-ELC4-140	MYH4	17.29
BN15SN5	XZ	IRP-STU000	MYH4	3.73	BO15SN5	XZ	IRP-STU000	MYH4	9.82
BN15SN5	XZ	KOB-NIS000	MYH4	6.01	BO15SN5	XZ	KOB-NIS000	MYH4	6.82
BN15SN5	XZ	KOB-NIS090	MYH4	5.83	BO15SN5	XZ	KOB-NIS090	MYH4	8.09
BN15SN5	XZ	KOB-SHI000	MYH4	4.38	BO15SN5	XZ	KOB-SHI000	MYH4	8.02
BN15SN5	XZ	KOC-ARC090	MYH4	1.51	BO15SN5	XZ	KOC-ARC090	MYH4	3.31
BN15SN5	XZ	LOM-G02090	MYH4	4.46	BO15SN5	XZ	LOM-G02090	MYH4	16.68
BN15SN5	XZ	LOM-G03000	MYH4	5.22	BO15SN5	XZ	LOM-G03000	MYH4	8.10
BN15SN5	XZ	LOM-HDA255	MYH4	5.39	BO15SN5	XZ	LOM-HDA255	MYH4	10.18
BN15SN5	XZ	LOM-SVL360	MYH4	3.19	BO15SN5	XZ	LOM-SVL360	MYH4	7.74
BN15SN5	XZ	MOR-G06090	MYH4	3.84	BO15SN5	XZ	MOR-G06090	MYH4	9.92
BN15SN5	XZ	MOR-HAL240	MYH4	5.08	BO15SN5	XZ	MOR-HAL240	MYH4	14.17
BN15SN5	XZ	NOR-KAT090	MYH4	7.39	BO15SN5	XZ	NOR-KAT090	MYH4	10.34
BN15SN5	XZ	NOR-SCR090	MYH4	3.13	BO15SN5	XZ	NOR-SCR090	MYH4	8.89
BN15SN5	XZ	NOR-STN020	MYH4	6.36	BO15SN5	XZ	NOR-STN020	MYH4	6.85
BN15SN5	XZ	NPAL-WWT180	MYH4	5.01	BO15SN5	XZ	NPAL-WWT180	MYH4	9.89
BN15SN5	XZ	SUP-POE270	MYH4	4.58	BO15SN5	XZ	SUP-POE270	MYH4	6.78
BN15SN5	XZ	WES-PTS225	MYH4	4.02	BO15SN5	XZ	WES-PTS225	MYH4	4.98
BN15SN5	XZ	WHI-BIR180	MYH4	5.75	BO15SN5	XZ	WHI-BIR180	MYH4	9.86
BN15SN5	XZ	WHI-EJS048	MYH4	6.46	BO15SN5	XZ	WHI-EJS048	MYH4	5.92
BN15SN5	YZ	CHI-CHY29N	MYH4	8.74	BO15SN5	YZ	CHI-CHY29N	MYH4	6.54
BN15SN5	YZ	CHI-CHY036W	MYH4	9.14	BO15SN5	YZ	CHI-CHY036W	MYH4	11.75
BN15SN5	YZ	CHI-CHY41N	MYH4	7.65	BO15SN5	YZ	CHI-CHY41N	MYH4	9.29
BN15SN5	YZ	CHI-TCU45N	MYH4	7.98	BO15SN5	YZ	CHI-TCU45N	MYH4	9.72
BN15SN5	YZ	CHI-TCU45W	MYH4	7.33	BO15SN5	YZ	CHI-TCU45W	MYH4	9.38
BN15SN5	YZ	CHI-TCU51N	MYH4	4.11	BO15SN5	YZ	CHI-TCU51N	MYH4	6.06
BN15SN5	YZ	COA-PLE135	MYH4	11.04	BO15SN5	YZ	COA-PLE135	MYH4	8.82
BN15SN5	YZ	IMP-BRA225	MYH4	1.30	BO15SN5	YZ	IMP-BRA225	MYH4	2.72
BN15SN5	YZ	IMP-BRA315	MYH4	4.77	BO15SN5	YZ	IMP-BRA315	MYH4	5.01
BN15SN5	YZ	IMP-ECC002	MYH4	5.35	BO15SN5	YZ	IMP-ECC002	MYH4	7.99
BN15SN5	YZ	IMP-ELC4-140	MYH4	8.45	BO15SN5	YZ	IMP-ELC4-140	MYH4	15.80
BN15SN5	YZ	IRP-STU000	MYH4	5.96	BO15SN5	YZ	IRP-STU000	MYH4	7.03
BN15SN5	YZ	KOB-NIS000	MYH4	8.63	BO15SN5	YZ	KOB-NIS000	MYH4	6.52
BN15SN5	YZ	KOB-NIS090	MYH4	7.60	BO15SN5	YZ	KOB-NIS090	MYH4	8.71
BN15SN5	YZ	KOB-SHI000	MYH4	5.14	BO15SN5	YZ	KOB-SHI000	MYH4	8.82
BN15SN5	YZ	KOC-ARC090	MYH4	1.40	BO15SN5	YZ	KOC-ARC090	MYH4	3.45
BN15SN5	YZ	LOM-G02090	MYH4	6.38	BO15SN5	YZ	LOM-G02090	MYH4	11.36
BN15SN5	YZ	LOM-G03000	MYH4	5.86	BO15SN5	YZ	LOM-G03000	MYH4	6.96
BN15SN5	YZ	LOM-HDA255	MYH4	7.82	BO15SN5	YZ	LOM-HDA255	MYH4	12.08
BN15SN5	YZ	LOM-SVL360	MYH4	3.64	BO15SN5	YZ	LOM-SVL360	MYH4	4.30
BN15SN5	YZ	MOR-G06090	MYH4	6.11	BO15SN5	YZ	MOR-G06090	MYH4	8.54
BN15SN5	YZ	MOR-HAL240	MYH4	9.72	BO15SN5	YZ	MOR-HAL240	MYH4	11.52
BN15SN5	YZ	NOR-KAT090	MYH4	12.06	BO15SN5	YZ	NOR-KAT090	MYH4	8.07
BN15SN5	YZ	NOR-SCR090	MYH4	4.71	BO15SN5	YZ	NOR-SCR090	MYH4	6.92
BN15SN5	YZ	NOR-STN020	MYH4	6.55	BO15SN5	YZ	NOR-STN020	MYH4	9.44
BN15SN5	YZ	NPAL-WWT180	MYH4	7.27	BO15SN5	YZ	NPAL-WWT180	MYH4	9.89
BN15SN5	YZ	SUP-POE270	MYH4	5.29	BO15SN5	YZ	SUP-POE270	MYH4	6.69
BN15SN5	YZ	WES-PTS225	MYH4	6.30	BO15SN5	YZ	WES-PTS225	MYH4	4.83
BN15SN5	YZ	WHI-BIR180	MYH4	6.72	BO15SN5	YZ	WHI-BIR180	MYH4	9.92
BN15SN5	YZ	WHI-EJS048	MYH4	7.13	BO15SN5	YZ	WHI-EJS048	MYH4	6.10
BN15SN5	XZ	CAP-RIO270	MYH5	5.01	BO15SN5	XZ	CAP-RIO270	MYH5	15.90
BN15SN5	XZ	CAP-RIO360	MYH5	8.18	BO15SN5	XZ	CAP-RIO360	MYH5	9.11
BN15SN5	XZ	CHI-TCU046W	MYH5	1.93	BO15SN5	XZ	CHI-TCU046W	MYH5	3.88

Tablo C.1 (devam): Mevcut binalara ait yerdeğiştirme talepleri

Bina Adı	Analiz Yönü	İvme Kaydı	MYH Grup No	Δ_d (cm)	Bina Adı	Analiz Yönü	İvme Kaydı	MYH Grup No	Δ_d (cm)
BN15SN5	XZ	CHI-TCU061N	MYH5	2.72	BO15SN5	XZ	CHI-TCU061N	MYH5	4.72
BN15SN5	XZ	CHI-TCU74N	MYH5	6.61	BO15SN5	XZ	CHI-TCU74N	MYH5	13.94
BN15SN5	XZ	CHI-TCU112-W	MYH5	1.55	BO15SN5	XZ	CHI-TCU112-W	MYH5	5.26
BN15SN5	XZ	CHI-TCU123-W	MYH5	2.50	BO15SN5	XZ	CHI-TCU123-W	MYH5	12.62
BN15SN5	XZ	CHI-TCU141-E	MYH5	1.80	BO15SN5	XZ	CHI-TCU141-E	MYH5	6.49
BN15SN5	XZ	CHI-WNTN	MYH5	3.41	BO15SN5	XZ	CHI-WNTN	MYH5	12.90
BN15SN5	XZ	COA-Z14000	MYH5	5.34	BO15SN5	XZ	COA-Z14000	MYH5	15.51
BN15SN5	XZ	IMP-AER045	MYH5	3.81	BO15SN5	XZ	IMP-AER045	MYH5	12.61
BN15SN5	XZ	IMP-ELC3-230	MYH5	3.46	BO15SN5	XZ	IMP-ELC3-230	MYH5	4.09
BN15SN5	XZ	IMP-ELC11-230	MYH5	4.46	BO15SN5	XZ	IMP-ELC11-230	MYH5	8.89
BN15SN5	XZ	IMP-ELCD-360	MYH5	5.61	BO15SN5	XZ	IMP-ELCD-360	MYH5	19.07
BN15SN5	XZ	KOC-AMB000	MYH5	4.72	BO15SN5	XZ	KOC-AMB000	MYH5	5.86
BN15SN5	XZ	LAN-CLVTR	MYH5	9.95	BO15SN5	XZ	LAN-CLVTR	MYH5	16.15
BN15SN5	XZ	LAN-JOS090	MYH5	3.43	BO15SN5	XZ	LAN-JOS090	MYH5	13.36
BN15SN5	XZ	LOM-CYC285	MYH5	5.41	BO15SN5	XZ	LOM-CYC285	MYH5	12.72
BN15SN5	XZ	LOM-GOF090	MYH5	4.45	BO15SN5	XZ	LOM-GOF090	MYH5	15.67
BN15SN5	XZ	LOM-HDA165	MYH5	4.16	BO15SN5	XZ	LOM-HDA165	MYH5	9.18
BN15SN5	XZ	LOM-SAR000	MYH5	5.24	BO15SN5	XZ	LOM-SAR000	MYH5	14.77
BN15SN5	XZ	LOM-SAR090	MYH5	3.62	BO15SN5	XZ	LOM-SAR090	MYH5	6.55
BN15SN5	XZ	NOR-KAT000	MYH5	10.86	BO15SN5	XZ	NOR-KAT000	MYH5	11.21
BN15SN5	XZ	NOR-LOS000	MYH5	5.38	BO15SN5	XZ	NOR-LOS000	MYH5	16.21
BN15SN5	XZ	NOR-MU2035	MYH5	4.26	BO15SN5	XZ	NOR-MU2035	MYH5	12.05
BN15SN5	XZ	NOR-STM090	MYH5	4.01	BO15SN5	XZ	NOR-STM090	MYH5	12.60
BN15SN5	XZ	NPAL-MVH135	MYH5	3.14	BO15SN5	XZ	NPAL-MVH135	MYH5	15.16
BN15SN5	XZ	SUP-ELC090	MYH5	4.55	BO15SN5	XZ	SUP-ELC090	MYH5	6.09
BN15SN5	XZ	SUP-PTS315	MYH5	3.80	BO15SN5	XZ	SUP-PTS315	MYH5	17.27
BN15SN5	XZ	SUP-SUP135	MYH5	6.38	BO15SN5	XZ	SUP-SUP135	MYH5	12.17
BN15SN5	YZ	CAP-RIO270	MYH5	10.68	BO15SN5	YZ	CAP-RIO270	MYH5	13.08
BN15SN5	YZ	CAP-RIO360	MYH5	9.72	BO15SN5	YZ	CAP-RIO360	MYH5	9.06
BN15SN5	YZ	CHI-TCU046W	MYH5	2.85	BO15SN5	YZ	CHI-TCU046W	MYH5	3.91
BN15SN5	YZ	CHI-TCU061N	MYH5	3.94	BO15SN5	YZ	CHI-TCU061N	MYH5	4.58
BN15SN5	YZ	CHI-TCU74N	MYH5	11.07	BO15SN5	YZ	CHI-TCU74N	MYH5	14.06
BN15SN5	YZ	CHI-TCU112-W	MYH5	1.53	BO15SN5	YZ	CHI-TCU112-W	MYH5	2.50
BN15SN5	YZ	CHI-TCU123-W	MYH5	4.68	BO15SN5	YZ	CHI-TCU123-W	MYH5	6.88
BN15SN5	YZ	CHI-TCU141-E	MYH5	1.86	BO15SN5	YZ	CHI-TCU141-E	MYH5	3.61
BN15SN5	YZ	CHI-WNTN	MYH5	4.91	BO15SN5	YZ	CHI-WNTN	MYH5	11.91
BN15SN5	YZ	COA-Z14000	MYH5	6.23	BO15SN5	YZ	COA-Z14000	MYH5	10.67
BN15SN5	YZ	IMP-AER045	MYH5	5.60	BO15SN5	YZ	IMP-AER045	MYH5	6.04
BN15SN5	YZ	IMP-ELC3-230	MYH5	3.45	BO15SN5	YZ	IMP-ELC3-230	MYH5	3.76
BN15SN5	YZ	IMP-ELC11-230	MYH5	5.88	BO15SN5	YZ	IMP-ELC11-230	MYH5	5.75
BN15SN5	YZ	IMP-ELCD-360	MYH5	6.16	BO15SN5	YZ	IMP-ELCD-360	MYH5	12.70
BN15SN5	YZ	KOC-AMB000	MYH5	4.06	BO15SN5	YZ	KOC-AMB000	MYH5	5.97
BN15SN5	YZ	LAN-CLVTR	MYH5	13.16	BO15SN5	YZ	LAN-CLVTR	MYH5	15.45
BN15SN5	YZ	LAN-JOS090	MYH5	6.73	BO15SN5	YZ	LAN-JOS090	MYH5	10.86
BN15SN5	YZ	LOM-CYC285	MYH5	8.19	BO15SN5	YZ	LOM-CYC285	MYH5	11.67
BN15SN5	YZ	LOM-GOF090	MYH5	4.53	BO15SN5	YZ	LOM-GOF090	MYH5	6.80
BN15SN5	YZ	LOM-HDA165	MYH5	7.91	BO15SN5	YZ	LOM-HDA165	MYH5	9.65
BN15SN5	YZ	LOM-SAR000	MYH5	10.32	BO15SN5	YZ	LOM-SAR000	MYH5	12.46
BN15SN5	YZ	LOM-SAR090	MYH5	3.43	BO15SN5	YZ	LOM-SAR090	MYH5	4.71
BN15SN5	YZ	NOR-KAT000	MYH5	13.74	BO15SN5	YZ	NOR-KAT000	MYH5	9.15
BN15SN5	YZ	NOR-LOS000	MYH5	7.25	BO15SN5	YZ	NOR-LOS000	MYH5	11.72
BN15SN5	YZ	NOR-MU2035	MYH5	4.04	BO15SN5	YZ	NOR-MU2035	MYH5	10.08
BN15SN5	YZ	NOR-STM090	MYH5	5.99	BO15SN5	YZ	NOR-STM090	MYH5	10.48
BN15SN5	YZ	NPAL-MVH135	MYH5	4.32	BO15SN5	YZ	NPAL-MVH135	MYH5	6.78
BN15SN5	YZ	SUP-ELC090	MYH5	4.72	BO15SN5	YZ	SUP-ELC090	MYH5	4.46
BN15SN5	YZ	SUP-PTS315	MYH5	7.79	BO15SN5	YZ	SUP-PTS315	MYH5	11.04
BN15SN5	YZ	SUP-SUP135	MYH5	10.56	BO15SN5	YZ	SUP-SUP135	MYH5	9.96
BN15SN5	XZ	CAP-PET000	MYH6	8.08	BO15SN5	XZ	CAP-PET000	MYH6	14.31
BN15SN5	XZ	CHI-CHY025W	MYH6	3.04	BO15SN5	XZ	CHI-CHY025W	MYH6	8.51

Tablo C.1 (devam): Mevcut binalara ait yerdeğiştirme talepleri

Bina Adı	Analiz Yönü	İvme Kaydı	MYH Grup No	Δ_d (cm)	Bina Adı	Analiz Yönü	İvme Kaydı	MYH Grup No	Δ_d (cm)
BN15SN5	XZ	CHI-CHY034-N	MYH6	4.86	BO15SN5	XZ	CHI-CHY034-N	MYH6	13.12
BN15SN5	XZ	CHI-TCU038N	MYH6	2.86	BO15SN5	XZ	CHI-TCU038N	MYH6	6.93
BN15SN5	XZ	CHI-TCU038W	MYH6	3.08	BO15SN5	XZ	CHI-TCU038W	MYH6	5.19
BN15SN5	XZ	CHI-TCU048N	MYH6	2.68	BO15SN5	XZ	CHI-TCU048N	MYH6	5.00
BN15SN5	XZ	CHI-TCU49W	MYH6	3.62	BO15SN5	XZ	CHI-TCU49W	MYH6	11.17
BN15SN5	XZ	CHI-TCU51W	MYH6	3.03	BO15SN5	XZ	CHI-TCU51W	MYH6	7.49
BN15SN5	XZ	CHI-TCU95N	MYH6	4.49	BO15SN5	XZ	CHI-TCU95N	MYH6	4.96
BN15SN5	XZ	CHI-TCU104-N	MYH6	1.93	BO15SN5	XZ	CHI-TCU104-N	MYH6	4.03
BN15SN5	XZ	CHI-TCU106-W	MYH6	4.26	BO15SN5	XZ	CHI-TCU106-W	MYH6	7.98
BN15SN5	XZ	CHI-TCU107-N	MYH6	3.40	BO15SN5	XZ	CHI-TCU107-N	MYH6	8.86
BN15SN5	XZ	COY-G06230	MYH6	6.96	BO15SN5	XZ	COY-G06230	MYH6	15.85
BN15SN5	XZ	IMP-E10050	MYH6	3.60	BO15SN5	XZ	IMP-E10050	MYH6	7.67
BN15SN5	XZ	IMP-ELC3-140	MYH6	3.47	BO15SN5	XZ	IMP-ELC3-140	MYH6	10.87
BN15SN5	XZ	IMP-ELC5-140	MYH6	5.86	BO15SN5	XZ	IMP-ELC5-140	MYH6	10.56
BN15SN5	XZ	IMP-ELC7-140	MYH6	4.22	BO15SN5	XZ	IMP-ELC7-140	MYH6	15.12
BN15SN5	XZ	IMP-ELC8-230	MYH6	3.90	BO15SN5	XZ	IMP-ELC8-230	MYH6	8.85
BN15SN5	XZ	IMP-HVP225	MYH6	4.85	BO15SN5	XZ	IMP-HVP225	MYH6	11.72
BN15SN5	XZ	KOC-DZC270	MYH6	5.45	BO15SN5	XZ	KOC-DZC270	MYH6	20.82
BN15SN5	XZ	LOM-BRN090	MYH6	8.81	BO15SN5	XZ	LOM-BRN090	MYH6	9.73
BN15SN5	XZ	LOM-COR090	MYH6	8.21	BO15SN5	XZ	LOM-COR090	MYH6	12.88
BN15SN5	XZ	LOM-G03090	MYH6	4.36	BO15SN5	XZ	LOM-G03090	MYH6	15.16
BN15SN5	XZ	LOM-HCH180	MYH6	4.23	BO15SN5	XZ	LOM-HCH180	MYH6	17.34
BN15SN5	XZ	NAH-S1010	MYH6	5.81	BO15SN5	XZ	NAH-S1010	MYH6	8.62
BN15SN5	XZ	NAH-S1280	MYH6	5.14	BO15SN5	XZ	NAH-S1280	MYH6	7.99
BN15SN5	XZ	NOR-LOS270	MYH6	6.30	BO15SN5	XZ	NOR-LOS270	MYH6	12.34
BN15SN5	XZ	NOR-PAC175	MYH6	6.47	BO15SN5	XZ	NOR-PAC175	MYH6	7.64
BN15SN5	XZ	SUP-ELC000	MYH6	3.97	BO15SN5	XZ	SUP-ELC000	MYH6	14.61
BN15SN5	XZ	WES-WSM090	MYH6	5.52	BO15SN5	XZ	WES-WSM090	MYH6	13.23
BN15SN5	YZ	CAP-PET000	MYH6	10.13	BO15SN5	YZ	CAP-PET000	MYH6	15.01
BN15SN5	YZ	CHI-CHY025W	MYH6	3.84	BO15SN5	YZ	CHI-CHY025W	MYH6	5.72
BN15SN5	YZ	CHI-CHY034-N	MYH6	7.69	BO15SN5	YZ	CHI-CHY034-N	MYH6	9.45
BN15SN5	YZ	CHI-TCU038N	MYH6	4.03	BO15SN5	YZ	CHI-TCU038N	MYH6	5.21
BN15SN5	YZ	CHI-TCU038W	MYH6	3.56	BO15SN5	YZ	CHI-TCU038W	MYH6	4.88
BN15SN5	YZ	CHI-TCU048N	MYH6	3.08	BO15SN5	YZ	CHI-TCU048N	MYH6	4.60
BN15SN5	YZ	CHI-TCU49W	MYH6	4.32	BO15SN5	YZ	CHI-TCU49W	MYH6	5.17
BN15SN5	YZ	CHI-TCU51W	MYH6	2.92	BO15SN5	YZ	CHI-TCU51W	MYH6	4.24
BN15SN5	YZ	CHI-TCU95N	MYH6	4.85	BO15SN5	YZ	CHI-TCU95N	MYH6	5.28
BN15SN5	YZ	CHI-TCU104-N	MYH6	2.12	BO15SN5	YZ	CHI-TCU104-N	MYH6	2.57
BN15SN5	YZ	CHI-TCU106-W	MYH6	5.60	BO15SN5	YZ	CHI-TCU106-W	MYH6	4.65
BN15SN5	YZ	CHI-TCU107-N	MYH6	3.77	BO15SN5	YZ	CHI-TCU107-N	MYH6	5.55
BN15SN5	YZ	COY-G06230	MYH6	10.61	BO15SN5	YZ	COY-G06230	MYH6	12.53
BN15SN5	YZ	IMP-E10050	MYH6	3.80	BO15SN5	YZ	IMP-E10050	MYH6	2.71
BN15SN5	YZ	IMP-ELC3-140	MYH6	6.00	BO15SN5	YZ	IMP-ELC3-140	MYH6	9.68
BN15SN5	YZ	IMP-ELC5-140	MYH6	8.61	BO15SN5	YZ	IMP-ELC5-140	MYH6	7.15
BN15SN5	YZ	IMP-ELC7-140	MYH6	5.31	BO15SN5	YZ	IMP-ELC7-140	MYH6	11.96
BN15SN5	YZ	IMP-ELC8-230	MYH6	5.92	BO15SN5	YZ	IMP-ELC8-230	MYH6	6.99
BN15SN5	YZ	IMP-HVP225	MYH6	5.86	BO15SN5	YZ	IMP-HVP225	MYH6	6.76
BN15SN5	YZ	KOC-DZC270	MYH6	8.04	BO15SN5	YZ	KOC-DZC270	MYH6	10.45
BN15SN5	YZ	LOM-BRN090	MYH6	15.19	BO15SN5	YZ	LOM-BRN090	MYH6	10.43
BN15SN5	YZ	LOM-COR090	MYH6	12.52	BO15SN5	YZ	LOM-COR090	MYH6	11.10
BN15SN5	YZ	LOM-G03090	MYH6	4.86	BO15SN5	YZ	LOM-G03090	MYH6	9.34
BN15SN5	YZ	LOM-HCH180	MYH6	6.57	BO15SN5	YZ	LOM-HCH180	MYH6	10.20
BN15SN5	YZ	NAH-S1010	MYH6	5.84	BO15SN5	YZ	NAH-S1010	MYH6	8.35
BN15SN5	YZ	NAH-S1280	MYH6	7.60	BO15SN5	YZ	NAH-S1280	MYH6	5.81
BN15SN5	YZ	NOR-LOS270	MYH6	9.37	BO15SN5	YZ	NOR-LOS270	MYH6	10.32
BN15SN5	YZ	NOR-PAC175	MYH6	7.47	BO15SN5	YZ	NOR-PAC175	MYH6	6.60
BN15SN5	YZ	SUP-ELC000	MYH6	7.31	BO15SN5	YZ	SUP-ELC000	MYH6	12.37
BN15SN5	YZ	WES-WSM090	MYH6	5.38	BO15SN5	YZ	WES-WSM090	MYH6	9.75
BN15SN5	XZ	CHI-CHY002-N	MYH7	1.85	BO15SN5	XZ	CHI-CHY002-N	MYH7	4.57

Tablo C.1 (devam): Mevcut binalara ait yerdeğiştirme talepleri

Bina Adı	Analiz Yönü	İvme Kaydı	MYH Grup No	Δ_d (cm)	Bina Adı	Analiz Yönü	İvme Kaydı	MYH Grup No	Δ_d (cm)
BN15SN5	XZ	CHI-CHY024W	MYH7	3.68	BO15SN5	XZ	CHI-CHY024W	MYH7	16.49
BN15SN5	XZ	CHI-CHY104-E	MYH7	3.44	BO15SN5	XZ	CHI-CHY104-E	MYH7	9.61
BN15SN5	XZ	CHI-TCU029N	MYH7	2.02	BO15SN5	XZ	CHI-TCU029N	MYH7	6.27
BN15SN5	XZ	CHI-TCU036N	MYH7	2.28	BO15SN5	XZ	CHI-TCU036N	MYH7	7.05
BN15SN5	XZ	CHI-TCU039N	MYH7	2.34	BO15SN5	XZ	CHI-TCU039N	MYH7	6.29
BN15SN5	XZ	CHI-TCU039W	MYH7	3.13	BO15SN5	XZ	CHI-TCU039W	MYH7	9.37
BN15SN5	XZ	CHI-TCU040N	MYH7	2.36	BO15SN5	XZ	CHI-TCU040N	MYH7	4.95
BN15SN5	XZ	CHI-TCU040W	MYH7	2.98	BO15SN5	XZ	CHI-TCU040W	MYH7	5.73
BN15SN5	XZ	CHI-TCU055N	MYH7	3.43	BO15SN5	XZ	CHI-TCU055N	MYH7	8.53
BN15SN5	XZ	CHI-TCU064N	MYH7	1.61	BO15SN5	XZ	CHI-TCU064N	MYH7	8.32
BN15SN5	XZ	CHI-TCU70W	MYH7	4.60	BO15SN5	XZ	CHI-TCU70W	MYH7	8.89
BN15SN5	XZ	CHI-TCU109-N	MYH7	3.69	BO15SN5	XZ	CHI-TCU109-N	MYH7	11.92
BN15SN5	XZ	CHI-TCU109-W	MYH7	3.30	BO15SN5	XZ	CHI-TCU109-W	MYH7	9.13
BN15SN5	XZ	CHI-TCU115-W	MYH7	2.35	BO15SN5	XZ	CHI-TCU115-W	MYH7	3.70
BN15SN5	XZ	CHI-TCU117-N	MYH7	2.09	BO15SN5	XZ	CHI-TCU117-N	MYH7	7.58
BN15SN5	XZ	IMP-ELC8-140	MYH7	6.11	BO15SN5	XZ	IMP-ELC8-140	MYH7	11.40
BN15SN5	XZ	IMP-HVP315	MYH7	3.05	BO15SN5	XZ	IMP-HVP315	MYH7	7.80
BN15SN5	XZ	IRP-STU270	MYH7	3.40	BO15SN5	XZ	IRP-STU270	MYH7	18.60
BN15SN5	XZ	KOC-GBZ000	MYH7	3.20	BO15SN5	XZ	KOC-GBZ000	MYH7	8.80
BN15SN5	XZ	LAN-YER270	MYH7	4.23	BO15SN5	XZ	LAN-YER270	MYH7	13.00
BN15SN5	XZ	LOM-A02043	MYH7	4.54	BO15SN5	XZ	LOM-A02043	MYH7	13.75
BN15SN5	XZ	LOM-BRN000	MYH7	7.92	BO15SN5	XZ	LOM-BRN000	MYH7	14.67
BN15SN5	XZ	LOM-LGP090	MYH7	6.60	BO15SN5	XZ	LOM-LGP090	MYH7	15.00
BN15SN5	XZ	MOR-CYC195	MYH7	5.91	BO15SN5	XZ	MOR-CYC195	MYH7	12.00
BN15SN5	XZ	NOR-LDM334	MYH7	5.80	BO15SN5	XZ	NOR-LDM334	MYH7	14.38
BN15SN5	XZ	NOR-ORR090	MYH7	7.32	BO15SN5	XZ	NOR-ORR090	MYH7	15.78
BN15SN5	XZ	NOR-ORR360	MYH7	10.53	BO15SN5	XZ	NOR-ORR360	MYH7	24.78
BN15SN5	XZ	NOR-PKC360	MYH7	9.58	BO15SN5	XZ	NOR-PKC360	MYH7	10.34
BN15SN5	XZ	SFD-PCD254	MYH7	10.49	BO15SN5	XZ	SFD-PCD254	MYH7	11.58
BN15SN5	YZ	CHI-CHY002-N	MYH7	2.93	BO15SN5	YZ	CHI-CHY002-N	MYH7	5.54
BN15SN5	YZ	CHI-CHY024W	MYH7	6.95	BO15SN5	YZ	CHI-CHY024W	MYH7	9.66
BN15SN5	YZ	CHI-CHY104-E	MYH7	4.70	BO15SN5	YZ	CHI-CHY104-E	MYH7	6.33
BN15SN5	YZ	CHI-TCU029N	MYH7	2.98	BO15SN5	YZ	CHI-TCU029N	MYH7	4.25
BN15SN5	YZ	CHI-TCU036N	MYH7	3.28	BO15SN5	YZ	CHI-TCU036N	MYH7	4.23
BN15SN5	YZ	CHI-TCU039N	MYH7	2.89	BO15SN5	YZ	CHI-TCU039N	MYH7	4.83
BN15SN5	YZ	CHI-TCU039W	MYH7	4.35	BO15SN5	YZ	CHI-TCU039W	MYH7	6.05
BN15SN5	YZ	CHI-TCU040N	MYH7	3.33	BO15SN5	YZ	CHI-TCU040N	MYH7	4.17
BN15SN5	YZ	CHI-TCU040W	MYH7	3.65	BO15SN5	YZ	CHI-TCU040W	MYH7	4.30
BN15SN5	YZ	CHI-TCU055N	MYH7	5.75	BO15SN5	YZ	CHI-TCU055N	MYH7	5.90
BN15SN5	YZ	CHI-TCU064N	MYH7	2.74	BO15SN5	YZ	CHI-TCU064N	MYH7	3.79
BN15SN5	YZ	CHI-TCU70W	MYH7	5.87	BO15SN5	YZ	CHI-TCU70W	MYH7	8.17
BN15SN5	YZ	CHI-TCU109-N	MYH7	4.85	BO15SN5	YZ	CHI-TCU109-N	MYH7	5.63
BN15SN5	YZ	CHI-TCU109-W	MYH7	4.49	BO15SN5	YZ	CHI-TCU109-W	MYH7	7.26
BN15SN5	YZ	CHI-TCU115-W	MYH7	2.57	BO15SN5	YZ	CHI-TCU115-W	MYH7	2.81
BN15SN5	YZ	CHI-TCU117-N	MYH7	2.71	BO15SN5	YZ	CHI-TCU117-N	MYH7	3.94
BN15SN5	YZ	IMP-ELC8-140	MYH7	5.99	BO15SN5	YZ	IMP-ELC8-140	MYH7	9.02
BN15SN5	YZ	IMP-HVP315	MYH7	4.17	BO15SN5	YZ	IMP-HVP315	MYH7	4.39
BN15SN5	YZ	IRP-STU270	MYH7	3.83	BO15SN5	YZ	IRP-STU270	MYH7	11.34
BN15SN5	YZ	KOC-GBZ000	MYH7	3.98	BO15SN5	YZ	KOC-GBZ000	MYH7	3.97
BN15SN5	YZ	LAN-YER270	MYH7	5.37	BO15SN5	YZ	LAN-YER270	MYH7	10.08
BN15SN5	YZ	LOM-A02043	MYH7	8.28	BO15SN5	YZ	LOM-A02043	MYH7	17.40
BN15SN5	YZ	LOM-BRN000	MYH7	9.78	BO15SN5	YZ	LOM-BRN000	MYH7	19.26
BN15SN5	YZ	LOM-LGP090	MYH7	12.53	BO15SN5	YZ	LOM-LGP090	MYH7	8.88
BN15SN5	YZ	MOR-CYC195	MYH7	9.63	BO15SN5	YZ	MOR-CYC195	MYH7	13.86
BN15SN5	YZ	NOR-LDM334	MYH7	6.09	BO15SN5	YZ	NOR-LDM334	MYH7	12.37
BN15SN5	YZ	NOR-ORR090	MYH7	12.09	BO15SN5	YZ	NOR-ORR090	MYH7	10.89
BN15SN5	YZ	NOR-ORR360	MYH7	10.00	BO15SN5	YZ	NOR-ORR360	MYH7	22.61
BN15SN5	YZ	NOR-PKC360	MYH7	9.38	BO15SN5	YZ	NOR-PKC360	MYH7	9.14
BN15SN5	YZ	SFD-PCD254	MYH7	15.34	BO15SN5	YZ	SFD-PCD254	MYH7	11.08

Tablo C.1 (devam): Mevcut binalara ait yerdeğiştirme talepleri

Bina Adı	Analiz Yönü	İvme Kaydı	MYH Grup No	Δ_d (cm)	Bina Adı	Analiz Yönü	İvme Kaydı	MYH Grup No	Δ_d (cm)
BN15SN5	XZ	CAP-RIO270	MYH8	8.06	BO15SN5	XZ	CAP-RIO270	MYH8	19.61
BN15SN5	XZ	CAP-RIO360	MYH8	10.77	BO15SN5	XZ	CAP-RIO360	MYH8	12.03
BN15SN5	XZ	CHI-CHY006-E	MYH8	8.22	BO15SN5	XZ	CHI-CHY006-E	MYH8	15.88
BN15SN5	XZ	CHI-CHY092-E	MYH8	1.72	BO15SN5	XZ	CHI-CHY092-E	MYH8	6.98
BN15SN5	XZ	CHI-CHY104-N	MYH8	2.73	BO15SN5	XZ	CHI-CHY104-N	MYH8	7.96
BN15SN5	XZ	CHI-TCU054W	MYH8	2.62	BO15SN5	XZ	CHI-TCU054W	MYH8	6.97
BN15SN5	XZ	CHI-TCU059N	MYH8	2.90	BO15SN5	XZ	CHI-TCU059N	MYH8	12.18
BN15SN5	XZ	CHI-TCU059W	MYH8	3.14	BO15SN5	XZ	CHI-TCU059W	MYH8	9.49
BN15SN5	XZ	CHI-TCU063W	MYH8	3.76	BO15SN5	XZ	CHI-TCU063W	MYH8	9.62
BN15SN5	XZ	CHI-TCU072N	MYH8	6.86	BO15SN5	XZ	CHI-TCU072N	MYH8	16.71
BN15SN5	XZ	CHI-TCU82W	MYH8	4.07	BO15SN5	XZ	CHI-TCU82W	MYH8	7.88
BN15SN5	XZ	CHI-TCU110-N	MYH8	3.88	BO15SN5	XZ	CHI-TCU110-N	MYH8	17.48
BN15SN5	XZ	CHI-TCU111-W	MYH8	2.66	BO15SN5	XZ	CHI-TCU111-W	MYH8	9.22
BN15SN5	XZ	CHI-TCU117-W	MYH8	2.35	BO15SN5	XZ	CHI-TCU117-W	MYH8	6.90
BN15SN5	XZ	CHI-TCU136-E	MYH8	2.50	BO15SN5	XZ	CHI-TCU136-E	MYH8	8.61
BN15SN5	XZ	DZC-BOL000	MYH8	8.04	BO15SN5	XZ	DZC-BOL000	MYH8	15.64
BN15SN5	XZ	IMP-ELC3-140	MYH8	3.64	BO15SN5	XZ	IMP-ELC3-140	MYH8	12.64
BN15SN5	XZ	IMP-ELC3-230	MYH8	4.73	BO15SN5	XZ	IMP-ELC3-230	MYH8	7.58
BN15SN5	XZ	IRP-STU270	MYH8	3.56	BO15SN5	XZ	IRP-STU270	MYH8	21.56
BN15SN5	XZ	KOC-DZC180	MYH8	4.15	BO15SN5	XZ	KOC-DZC180	MYH8	11.58
BN15SN5	XZ	KOC-DZC270	MYH8	6.58	BO15SN5	XZ	KOC-DZC270	MYH8	23.79
BN15SN5	XZ	KOC-GBZ000	MYH8	3.54	BO15SN5	XZ	KOC-GBZ000	MYH8	10.33
BN15SN5	XZ	LAN-CLVTR	MYH8	13.57	BO15SN5	XZ	LAN-CLVTR	MYH8	21.37
BN15SN5	XZ	LAN-YER270	MYH8	4.69	BO15SN5	XZ	LAN-YER270	MYH8	17.73
BN15SN5	XZ	LOM-COR000	MYH8	9.74	BO15SN5	XZ	LOM-COR000	MYH8	14.89
BN15SN5	XZ	NOR-MUL009	MYH8	7.13	BO15SN5	XZ	NOR-MUL009	MYH8	19.09
BN15SN5	XZ	NOR-PUL104	MYH8	9.48	BO15SN5	XZ	NOR-PUL104	MYH8	13.26
BN15SN5	XZ	NPAL-MVH135	MYH8	4.04	BO15SN5	XZ	NPAL-MVH135	MYH8	26.59
BN15SN5	XZ	SUP-ELC000	MYH8	5.54	BO15SN5	XZ	SUP-ELC000	MYH8	15.11
BN15SN5	XZ	SUP-ELC090	MYH8	6.66	BO15SN5	XZ	SUP-ELC090	MYH8	15.46
BN15SN5	YZ	CAP-RIO270	MYH8	14.97	BO15SN5	YZ	CAP-RIO270	MYH8	17.61
BN15SN5	YZ	CAP-RIO360	MYH8	13.70	BO15SN5	YZ	CAP-RIO360	MYH8	11.90
BN15SN5	YZ	CHI-CHY006-E	MYH8	14.02	BO15SN5	YZ	CHI-CHY006-E	MYH8	11.39
BN15SN5	YZ	CHI-CHY092-E	MYH8	2.14	BO15SN5	YZ	CHI-CHY092-E	MYH8	4.09
BN15SN5	YZ	CHI-CHY104-N	MYH8	4.58	BO15SN5	YZ	CHI-CHY104-N	MYH8	8.54
BN15SN5	YZ	CHI-TCU054W	MYH8	3.89	BO15SN5	YZ	CHI-TCU054W	MYH8	4.42
BN15SN5	YZ	CHI-TCU059N	MYH8	3.37	BO15SN5	YZ	CHI-TCU059N	MYH8	5.70
BN15SN5	YZ	CHI-TCU059W	MYH8	5.31	BO15SN5	YZ	CHI-TCU059W	MYH8	6.45
BN15SN5	YZ	CHI-TCU063W	MYH8	4.33	BO15SN5	YZ	CHI-TCU063W	MYH8	7.44
BN15SN5	YZ	CHI-TCU072N	MYH8	9.83	BO15SN5	YZ	CHI-TCU072N	MYH8	21.69
BN15SN5	YZ	CHI-TCU82W	MYH8	5.31	BO15SN5	YZ	CHI-TCU82W	MYH8	6.14
BN15SN5	YZ	CHI-TCU110-N	MYH8	6.30	BO15SN5	YZ	CHI-TCU110-N	MYH8	10.84
BN15SN5	YZ	CHI-TCU111-W	MYH8	3.21	BO15SN5	YZ	CHI-TCU111-W	MYH8	5.95
BN15SN5	YZ	CHI-TCU117-W	MYH8	2.91	BO15SN5	YZ	CHI-TCU117-W	MYH8	5.45
BN15SN5	YZ	CHI-TCU136-E	MYH8	4.44	BO15SN5	YZ	CHI-TCU136-E	MYH8	7.43
BN15SN5	YZ	DZC-BOL000	MYH8	7.75	BO15SN5	YZ	DZC-BOL000	MYH8	13.70
BN15SN5	YZ	IMP-ELC3-140	MYH8	7.94	BO15SN5	YZ	IMP-ELC3-140	MYH8	13.12
BN15SN5	YZ	IMP-ELC3-230	MYH8	4.55	BO15SN5	YZ	IMP-ELC3-230	MYH8	5.84
BN15SN5	YZ	IRP-STU270	MYH8	3.88	BO15SN5	YZ	IRP-STU270	MYH8	13.60
BN15SN5	YZ	KOC-DZC180	MYH8	7.00	BO15SN5	YZ	KOC-DZC180	MYH8	9.53
BN15SN5	YZ	KOC-DZC270	MYH8	9.95	BO15SN5	YZ	KOC-DZC270	MYH8	17.47
BN15SN5	YZ	KOC-GBZ000	MYH8	4.45	BO15SN5	YZ	KOC-GBZ000	MYH8	4.91
BN15SN5	YZ	LAN-CLVTR	MYH8	19.58	BO15SN5	YZ	LAN-CLVTR	MYH8	24.07
BN15SN5	YZ	LAN-YER270	MYH8	6.38	BO15SN5	YZ	LAN-YER270	MYH8	11.90
BN15SN5	YZ	LOM-COR000	MYH8	12.00	BO15SN5	YZ	LOM-COR000	MYH8	16.06
BN15SN5	YZ	NOR-MUL009	MYH8	13.67	BO15SN5	YZ	NOR-MUL009	MYH8	12.47
BN15SN5	YZ	NOR-PUL104	MYH8	9.43	BO15SN5	YZ	NOR-PUL104	MYH8	16.69
BN15SN5	YZ	NPAL-MVH135	MYH8	5.95	BO15SN5	YZ	NPAL-MVH135	MYH8	14.85
BN15SN5	YZ	SUP-ELC000	MYH8	9.99	BO15SN5	YZ	SUP-ELC000	MYH8	15.94

Tablo C.1 (devam): Mevcut binalara ait yerdeğiştirme talepleri

Bina Adı	Analiz Yönü	İvme Kaydı	MYH Grup No	Δ_d (cm)	Bina Adı	Analiz Yönü	İvme Kaydı	MYH Grup No	Δ_d (cm)
BN15SN5	YZ	SUP-ELC090	MYH8	6.96	BO15SN5	YZ	SUP-ELC090	MYH8	6.30
BN15SN5	XZ	CHI-TCU036W	MYH9	2.84	BO15SN5	XZ	CHI-TCU036W	MYH9	6.48
BN15SN5	XZ	CHI-TCU49N	MYH9	3.41	BO15SN5	XZ	CHI-TCU49N	MYH9	9.55
BN15SN5	XZ	CHI-TCU70N	MYH9	3.96	BO15SN5	XZ	CHI-TCU70N	MYH9	10.68
BN15SN5	XZ	CHI-TCU76N	MYH9	8.37	BO15SN5	XZ	CHI-TCU76N	MYH9	21.89
BN15SN5	XZ	CHI-TCU76W	MYH9	3.84	BO15SN5	XZ	CHI-TCU76W	MYH9	8.53
BN15SN5	XZ	CHI-TCU079-W	MYH9	12.52	BO15SN5	XZ	CHI-TCU079-W	MYH9	24.53
BN15SN5	XZ	CHI-TCU95W	MYH9	6.89	BO15SN5	XZ	CHI-TCU95W	MYH9	10.22
BN15SN5	XZ	CHI-TCU103-W	MYH9	3.35	BO15SN5	XZ	CHI-TCU103-W	MYH9	8.02
BN15SN5	XZ	CHI-TCU120-W	MYH9	3.25	BO15SN5	XZ	CHI-TCU120-W	MYH9	21.45
BN15SN5	XZ	CHI-TCU129-W	MYH9	8.53	BO15SN5	XZ	CHI-TCU129-W	MYH9	21.71
BN15SN5	XZ	COA-PLE045	MYH9	12.55	BO15SN5	XZ	COA-PLE045	MYH9	18.05
BN15SN5	XZ	DZC-BOL000	MYH9	9.16	BO15SN5	XZ	DZC-BOL000	MYH9	17.17
BN15SN5	XZ	DZC-BOL090	MYH9	15.15	BO15SN5	XZ	DZC-BOL090	MYH9	15.37
BN15SN5	XZ	DZC-DZC180	MYH9	7.78	BO15SN5	XZ	DZC-DZC180	MYH9	11.37
BN15SN5	XZ	ERZ-ERZEW	MYH9	7.10	BO15SN5	XZ	ERZ-ERZEW	MYH9	18.50
BN15SN5	XZ	IMP-ELC3-140	MYH9	3.68	BO15SN5	XZ	IMP-ELC3-140	MYH9	13.22
BN15SN5	XZ	IMP-HVP315	MYH9	4.02	BO15SN5	XZ	IMP-HVP315	MYH9	10.49
BN15SN5	XZ	IRP-STU270	MYH9	3.71	BO15SN5	XZ	IRP-STU270	MYH9	25.45
BN15SN5	XZ	KOC-DZC180	MYH9	4.29	BO15SN5	XZ	KOC-DZC180	MYH9	12.75
BN15SN5	XZ	KOC-GBZ000	MYH9	3.80	BO15SN5	XZ	KOC-GBZ000	MYH9	11.38
BN15SN5	XZ	KOC-YAR330	MYH9	3.40	BO15SN5	XZ	KOC-YAR330	MYH9	17.16
BN15SN5	XZ	LAN-YER270	MYH9	5.09	BO15SN5	XZ	LAN-YER270	MYH9	22.27
BN15SN5	XZ	LOM-BRN000	MYH9	8.83	BO15SN5	XZ	LOM-BRN000	MYH9	16.45
BN15SN5	XZ	LOM-HSP000	MYH9	9.87	BO15SN5	XZ	LOM-HSP000	MYH9	23.91
BN15SN5	XZ	LOM-WVC270	MYH9	5.58	BO15SN5	XZ	LOM-WVC270	MYH9	23.89
BN15SN5	XZ	NOR-CNP196	MYH9	9.26	BO15SN5	XZ	NOR-CNP196	MYH9	12.81
BN15SN5	XZ	NOR-LDM064	MYH9	7.30	BO15SN5	XZ	NOR-LDM064	MYH9	19.96
BN15SN5	XZ	NOR-MUL279	MYH9	9.33	BO15SN5	XZ	NOR-MUL279	MYH9	23.14
BN15SN5	XZ	NOR-SAT180	MYH9	7.93	BO15SN5	XZ	NOR-SAT180	MYH9	24.88
BN15SN5	XZ	SUP-ELC000	MYH9	6.54	BO15SN5	XZ	SUP-ELC000	MYH9	14.47
BN15SN5	YZ	CHI-TCU036W	MYH9	3.50	BO15SN5	YZ	CHI-TCU036W	MYH9	5.42
BN15SN5	YZ	CHI-TCU49N	MYH9	4.14	BO15SN5	YZ	CHI-TCU49N	MYH9	7.92
BN15SN5	YZ	CHI-TCU70N	MYH9	5.83	BO15SN5	YZ	CHI-TCU70N	MYH9	6.44
BN15SN5	YZ	CHI-TCU76N	MYH9	7.47	BO15SN5	YZ	CHI-TCU76N	MYH9	19.12
BN15SN5	YZ	CHI-TCU76W	MYH9	4.39	BO15SN5	YZ	CHI-TCU76W	MYH9	6.62
BN15SN5	YZ	CHI-TCU079-W	MYH9	18.38	BO15SN5	YZ	CHI-TCU079-W	MYH9	12.21
BN15SN5	YZ	CHI-TCU95W	MYH9	8.06	BO15SN5	YZ	CHI-TCU95W	MYH9	6.56
BN15SN5	YZ	CHI-TCU103-W	MYH9	3.29	BO15SN5	YZ	CHI-TCU103-W	MYH9	3.51
BN15SN5	YZ	CHI-TCU120-W	MYH9	4.22	BO15SN5	YZ	CHI-TCU120-W	MYH9	9.36
BN15SN5	YZ	CHI-TCU129-W	MYH9	10.17	BO15SN5	YZ	CHI-TCU129-W	MYH9	15.85
BN15SN5	YZ	COA-PLE045	MYH9	11.90	BO15SN5	YZ	COA-PLE045	MYH9	16.26
BN15SN5	YZ	DZC-BOL000	MYH9	9.00	BO15SN5	YZ	DZC-BOL000	MYH9	15.37
BN15SN5	YZ	DZC-BOL090	MYH9	16.20	BO15SN5	YZ	DZC-BOL090	MYH9	18.68
BN15SN5	YZ	DZC-DZC180	MYH9	12.87	BO15SN5	YZ	DZC-DZC180	MYH9	7.58
BN15SN5	YZ	ERZ-ERZEW	MYH9	8.65	BO15SN5	YZ	ERZ-ERZEW	MYH9	20.10
BN15SN5	YZ	IMP-ELC3-140	MYH9	9.24	BO15SN5	YZ	IMP-ELC3-140	MYH9	14.67
BN15SN5	YZ	IMP-HVP315	MYH9	5.05	BO15SN5	YZ	IMP-HVP315	MYH9	5.83
BN15SN5	YZ	IRP-STU270	MYH9	4.19	BO15SN5	YZ	IRP-STU270	MYH9	15.78
BN15SN5	YZ	KOC-DZC180	MYH9	7.52	BO15SN5	YZ	KOC-DZC180	MYH9	9.88
BN15SN5	YZ	KOC-GBZ000	MYH9	4.91	BO15SN5	YZ	KOC-GBZ000	MYH9	5.66
BN15SN5	YZ	KOC-YAR330	MYH9	5.60	BO15SN5	YZ	KOC-YAR330	MYH9	9.83
BN15SN5	YZ	LAN-YER270	MYH9	7.42	BO15SN5	YZ	LAN-YER270	MYH9	13.41
BN15SN5	YZ	LOM-BRN000	MYH9	14.57	BO15SN5	YZ	LOM-BRN000	MYH9	22.68
BN15SN5	YZ	LOM-HSP000	MYH9	15.40	BO15SN5	YZ	LOM-HSP000	MYH9	16.16
BN15SN5	YZ	LOM-WVC270	MYH9	8.58	BO15SN5	YZ	LOM-WVC270	MYH9	12.03
BN15SN5	YZ	NOR-CNP196	MYH9	11.82	BO15SN5	YZ	NOR-CNP196	MYH9	8.69
BN15SN5	YZ	NOR-LDM064	MYH9	10.50	BO15SN5	YZ	NOR-LDM064	MYH9	16.27
BN15SN5	YZ	NOR-MUL279	MYH9	17.13	BO15SN5	YZ	NOR-MUL279	MYH9	25.01

Tablo C.1 (devam): Mevcut binalara ait yerdeğiştirme talepleri

Bina Adı	Analiz Yönü	İvme Kaydı	MYH Grup No	Δ_d (cm)	Bina Adı	Analiz Yönü	İvme Kaydı	MYH Grup No	Δ_d (cm)
BN15SN5	YZ	NOR-SAT180	MYH9	14.36	BO15SN5	YZ	NOR-SAT180	MYH9	18.87
BN15SN5	YZ	SUP-ELC000	MYH9	11.39	BO15SN5	YZ	SUP-ELC000	MYH9	17.42
BN15SN5	XZ	CHI-CHY28N	MYH10	18.02	BO15SN5	XZ	CHI-CHY28N	MYH10	16.66
BN15SN5	XZ	CHI-TCU067N	MYH10	5.45	BO15SN5	XZ	CHI-TCU067N	MYH10	15.96
BN15SN5	XZ	CHI-TCU071N	MYH10	5.32	BO15SN5	XZ	CHI-TCU071N	MYH10	14.21
BN15SN5	XZ	CHI-TCU101-W	MYH10	3.40	BO15SN5	XZ	CHI-TCU101-W	MYH10	15.67
BN15SN5	XZ	CHI-TCU110-W	MYH10	3.40	BO15SN5	XZ	CHI-TCU110-W	MYH10	13.08
BN15SN5	XZ	CHI-TCU128-N	MYH10	3.64	BO15SN5	XZ	CHI-TCU128-N	MYH10	7.72
BN15SN5	XZ	CHI-WGK-E	MYH10	2.95	BO15SN5	XZ	CHI-WGK-E	MYH10	9.35
BN15SN5	XZ	CHI-WNTE	MYH10	6.91	BO15SN5	XZ	CHI-WNTE	MYH10	14.30
BN15SN5	XZ	DZC-BOL000	MYH10	10.05	BO15SN5	XZ	DZC-BOL000	MYH10	18.35
BN15SN5	XZ	DZC-BOL090	MYH10	17.13	BO15SN5	XZ	DZC-BOL090	MYH10	16.70
BN15SN5	XZ	GAZ-KAR000	MYH10	7.28	BO15SN5	XZ	GAZ-KAR000	MYH10	19.06
BN15SN5	XZ	IMP-ECC092	MYH10	4.29	BO15SN5	XZ	IMP-ECC092	MYH10	13.13
BN15SN5	XZ	IMP-ELC3-140	MYH10	3.72	BO15SN5	XZ	IMP-ELC3-140	MYH10	13.49
BN15SN5	XZ	IMP-ELC6-140	MYH10	4.28	BO15SN5	XZ	IMP-ELC6-140	MYH10	17.05
BN15SN5	XZ	IRP-STU270	MYH10	3.80	BO15SN5	XZ	IRP-STU270	MYH10	29.47
BN15SN5	XZ	KOB-TAK000	MYH10	13.74	BO15SN5	XZ	KOB-TAK000	MYH10	18.82
BN15SN5	XZ	KOC-DZC180	MYH10	4.48	BO15SN5	XZ	KOC-DZC180	MYH10	14.54
BN15SN5	XZ	KOC-GBZ000	MYH10	4.16	BO15SN5	XZ	KOC-GBZ000	MYH10	12.42
BN15SN5	XZ	KOC-YAR060	MYH10	5.10	BO15SN5	XZ	KOC-YAR060	MYH10	15.39
BN15SN5	XZ	LAN-YER270	MYH10	5.48	BO15SN5	XZ	LAN-YER270	MYH10	27.19
BN15SN5	XZ	LOM-BRN000	MYH10	9.23	BO15SN5	XZ	LOM-BRN000	MYH10	17.26
BN15SN5	XZ	LOM-G03090	MYH10	5.65	BO15SN5	XZ	LOM-G03090	MYH10	25.77
BN15SN5	XZ	LOM-HSP000	MYH10	10.91	BO15SN5	XZ	LOM-HSP000	MYH10	26.78
BN15SN5	XZ	NOR-CNP196	MYH10	10.15	BO15SN5	XZ	NOR-CNP196	MYH10	16.34
BN15SN5	XZ	NOR-MUL009	MYH10	8.09	BO15SN5	XZ	NOR-MUL009	MYH10	22.90
BN15SN5	XZ	NOR-MUL279	MYH10	10.39	BO15SN5	XZ	NOR-MUL279	MYH10	24.70
BN15SN5	XZ	NOR-ORR090	MYH10	8.36	BO15SN5	XZ	NOR-ORR090	MYH10	20.41
BN15SN5	XZ	NOR-ORR360	MYH10	14.43	BO15SN5	XZ	NOR-ORR360	MYH10	32.94
BN15SN5	XZ	NOR-SAT180	MYH10	9.19	BO15SN5	XZ	NOR-SAT180	MYH10	27.74
BN15SN5	XZ	NOR-WPI316	MYH10	6.33	BO15SN5	XZ	NOR-WPI316	MYH10	12.67
BN15SN5	YZ	CHI-CHY28N	MYH10	19.77	BO15SN5	YZ	CHI-CHY28N	MYH10	14.24
BN15SN5	YZ	CHI-TCU067N	MYH10	8.76	BO15SN5	YZ	CHI-TCU067N	MYH10	12.15
BN15SN5	YZ	CHI-TCU071N	MYH10	8.29	BO15SN5	YZ	CHI-TCU071N	MYH10	10.62
BN15SN5	YZ	CHI-TCU101-W	MYH10	5.20	BO15SN5	YZ	CHI-TCU101-W	MYH10	6.16
BN15SN5	YZ	CHI-TCU110-W	MYH10	4.47	BO15SN5	YZ	CHI-TCU110-W	MYH10	8.57
BN15SN5	YZ	CHI-TCU128-N	MYH10	4.52	BO15SN5	YZ	CHI-TCU128-N	MYH10	5.94
BN15SN5	YZ	CHI-WGK-E	MYH10	5.78	BO15SN5	YZ	CHI-WGK-E	MYH10	10.40
BN15SN5	YZ	CHI-WNTE	MYH10	8.50	BO15SN5	YZ	CHI-WNTE	MYH10	9.99
BN15SN5	YZ	DZC-BOL000	MYH10	10.33	BO15SN5	YZ	DZC-BOL000	MYH10	16.64
BN15SN5	YZ	DZC-BOL090	MYH10	19.22	BO15SN5	YZ	DZC-BOL090	MYH10	19.41
BN15SN5	YZ	GAZ-KAR000	MYH10	9.07	BO15SN5	YZ	GAZ-KAR000	MYH10	9.76
BN15SN5	YZ	IMP-ECC092	MYH10	7.04	BO15SN5	YZ	IMP-ECC092	MYH10	7.29
BN15SN5	YZ	IMP-ELC3-140	MYH10	10.72	BO15SN5	YZ	IMP-ELC3-140	MYH10	16.16
BN15SN5	YZ	IMP-ELC6-140	MYH10	6.82	BO15SN5	YZ	IMP-ELC6-140	MYH10	9.18
BN15SN5	YZ	IRP-STU270	MYH10	4.53	BO15SN5	YZ	IRP-STU270	MYH10	17.70
BN15SN5	YZ	KOB-TAK000	MYH10	18.19	BO15SN5	YZ	KOB-TAK000	MYH10	15.39
BN15SN5	YZ	KOC-DZC180	MYH10	8.29	BO15SN5	YZ	KOC-DZC180	MYH10	9.92
BN15SN5	YZ	KOC-GBZ000	MYH10	5.40	BO15SN5	YZ	KOC-GBZ000	MYH10	6.47
BN15SN5	YZ	KOC-YAR060	MYH10	7.04	BO15SN5	YZ	KOC-YAR060	MYH10	8.76
BN15SN5	YZ	LAN-YER270	MYH10	8.59	BO15SN5	YZ	LAN-YER270	MYH10	14.98
BN15SN5	YZ	LOM-BRN000	MYH10	17.16	BO15SN5	YZ	LOM-BRN000	MYH10	24.03
BN15SN5	YZ	LOM-G03090	MYH10	7.90	BO15SN5	YZ	LOM-G03090	MYH10	17.99
BN15SN5	YZ	LOM-HSP000	MYH10	16.79	BO15SN5	YZ	LOM-HSP000	MYH10	18.02
BN15SN5	YZ	NOR-CNP196	MYH10	12.77	BO15SN5	YZ	NOR-CNP196	MYH10	9.65
BN15SN5	YZ	NOR-MUL009	MYH10	16.76	BO15SN5	YZ	NOR-MUL009	MYH10	13.77
BN15SN5	YZ	NOR-MUL279	MYH10	20.13	BO15SN5	YZ	NOR-MUL279	MYH10	27.13
BN15SN5	YZ	NOR-ORR090	MYH10	17.53	BO15SN5	YZ	NOR-ORR090	MYH10	14.22

Tablo C.1 (devam): Mevcut binalara ait yerdeğiştirme talepleri

Bina Adı	Analiz Yönü	İvme Kaydı	MYH Grup No	Δ_d (cm)	Bina Adı	Analiz Yönü	İvme Kaydı	MYH Grup No	Δ_d (cm)
BN15SN5	YZ	NOR-ORR360	MYH10	13.55	BO15SN5	YZ	NOR-ORR360	MYH10	31.39
BN15SN5	YZ	NOR-SAT180	MYH10	16.78	BO15SN5	YZ	NOR-SAT180	MYH10	22.02
BN15SN5	YZ	NOR-WPI316	MYH10	8.27	BO15SN5	YZ	NOR-WPI316	MYH10	9.57
BN15SN5	XZ	CHI-CHY28W	MYH11	10.87	BO15SN5	XZ	CHI-CHY28W	MYH11	17.61
BN15SN5	XZ	CHI-CHY101W	MYH11	2.98	BO15SN5	XZ	CHI-CHY101W	MYH11	12.55
BN15SN5	XZ	CHI-TCU063N	MYH11	2.05	BO15SN5	XZ	CHI-TCU063N	MYH11	8.95
BN15SN5	XZ	CHI-TCU072W	MYH11	8.95	BO15SN5	XZ	CHI-TCU072W	MYH11	21.22
BN15SN5	XZ	CHI-TCU74W	MYH11	12.34	BO15SN5	XZ	CHI-TCU74W	MYH11	25.96
BN15SN5	XZ	CHI-TCU128-W	MYH11	2.73	BO15SN5	XZ	CHI-TCU128-W	MYH11	8.21
BN15SN5	XZ	CHI-WGK-N	MYH11	8.93	BO15SN5	XZ	CHI-WGK-N	MYH11	28.25
BN15SN5	XZ	COA-PLE045	MYH11	16.08	BO15SN5	XZ	COA-PLE045	MYH11	21.37
BN15SN5	XZ	DZC-BOL000	MYH11	10.79	BO15SN5	XZ	DZC-BOL000	MYH11	19.51
BN15SN5	XZ	DZC-BOL090	MYH11	19.04	BO15SN5	XZ	DZC-BOL090	MYH11	17.92
BN15SN5	XZ	DZC-DZC180	MYH11	10.65	BO15SN5	XZ	DZC-DZC180	MYH11	14.69
BN15SN5	XZ	GAZ-KAR000	MYH11	8.11	BO15SN5	XZ	GAZ-KAR000	MYH11	22.67
BN15SN5	XZ	GAZ-KAR090	MYH11	9.10	BO15SN5	XZ	GAZ-KAR090	MYH11	13.42
BN15SN5	XZ	IMP-ECC092	MYH11	4.58	BO15SN5	XZ	IMP-ECC092	MYH11	14.24
BN15SN5	XZ	IMP-ECM000	MYH11	6.17	BO15SN5	XZ	IMP-ECM000	MYH11	15.11
BN15SN5	XZ	IMP-ELCD-270	MYH11	4.87	BO15SN5	XZ	IMP-ELCD-270	MYH11	11.72
BN15SN5	XZ	IRP-STU270	MYH11	3.85	BO15SN5	XZ	IRP-STU270	MYH11	33.41
BN15SN5	XZ	KOB-KJM090	MYH11	15.95	BO15SN5	XZ	KOB-KJM090	MYH11	24.56
BN15SN5	XZ	KOC-DZC180	MYH11	4.67	BO15SN5	XZ	KOC-DZC180	MYH11	17.21
BN15SN5	XZ	KOC-GBZ000	MYH11	4.53	BO15SN5	XZ	KOC-GBZ000	MYH11	13.44
BN15SN5	XZ	KOC-YAR060	MYH11	5.57	BO15SN5	XZ	KOC-YAR060	MYH11	18.51
BN15SN5	XZ	LOM-HSP000	MYH11	11.93	BO15SN5	XZ	LOM-HSP000	MYH11	29.53
BN15SN5	XZ	LOM-WVC270	MYH11	6.97	BO15SN5	XZ	LOM-WVC270	MYH11	28.48
BN15SN5	XZ	NOR-CNP196	MYH11	10.61	BO15SN5	XZ	NOR-CNP196	MYH11	19.13
BN15SN5	XZ	NOR-MUL009	MYH11	8.70	BO15SN5	XZ	NOR-MUL009	MYH11	25.20
BN15SN5	XZ	NOR-MUL279	MYH11	11.65	BO15SN5	XZ	NOR-MUL279	MYH11	26.21
BN15SN5	XZ	NOR-ORR360	MYH11	15.64	BO15SN5	XZ	NOR-ORR360	MYH11	35.31
BN15SN5	XZ	NOR-RRS318	MYH11	7.10	BO15SN5	XZ	NOR-RRS318	MYH11	18.21
BN15SN5	XZ	NOR-SAT180	MYH11	10.25	BO15SN5	XZ	NOR-SAT180	MYH11	31.19
BN15SN5	XZ	NPAL-NPS210	MYH11	6.18	BO15SN5	XZ	NPAL-NPS210	MYH11	23.21
BN15SN5	YZ	CHI-CHY28W	MYH11	15.67	BO15SN5	YZ	CHI-CHY28W	MYH11	19.63
BN15SN5	YZ	CHI-CHY101W	MYH11	7.08	BO15SN5	YZ	CHI-CHY101W	MYH11	11.36
BN15SN5	YZ	CHI-TCU063N	MYH11	3.49	BO15SN5	YZ	CHI-TCU063N	MYH11	5.77
BN15SN5	YZ	CHI-TCU072W	MYH11	14.97	BO15SN5	YZ	CHI-TCU072W	MYH11	11.40
BN15SN5	YZ	CHI-TCU74W	MYH11	15.62	BO15SN5	YZ	CHI-TCU74W	MYH11	20.56
BN15SN5	YZ	CHI-TCU128-W	MYH11	2.65	BO15SN5	YZ	CHI-TCU128-W	MYH11	3.88
BN15SN5	YZ	CHI-WGK-N	MYH11	6.36	BO15SN5	YZ	CHI-WGK-N	MYH11	23.38
BN15SN5	YZ	COA-PLE045	MYH11	14.69	BO15SN5	YZ	COA-PLE045	MYH11	19.74
BN15SN5	YZ	DZC-BOL000	MYH11	11.97	BO15SN5	YZ	DZC-BOL000	MYH11	17.87
BN15SN5	YZ	DZC-BOL090	MYH11	22.13	BO15SN5	YZ	DZC-BOL090	MYH11	20.17
BN15SN5	YZ	DZC-DZC180	MYH11	17.45	BO15SN5	YZ	DZC-DZC180	MYH11	10.02
BN15SN5	YZ	GAZ-KAR000	MYH11	9.75	BO15SN5	YZ	GAZ-KAR000	MYH11	12.17
BN15SN5	YZ	GAZ-KAR090	MYH11	8.28	BO15SN5	YZ	GAZ-KAR090	MYH11	10.73
BN15SN5	YZ	IMP-ECC092	MYH11	7.62	BO15SN5	YZ	IMP-ECC092	MYH11	7.12
BN15SN5	YZ	IMP-ECM000	MYH11	10.38	BO15SN5	YZ	IMP-ECM000	MYH11	12.60
BN15SN5	YZ	IMP-ELCD-270	MYH11	5.06	BO15SN5	YZ	IMP-ELCD-270	MYH11	11.33
BN15SN5	YZ	IRP-STU270	MYH11	4.90	BO15SN5	YZ	IRP-STU270	MYH11	19.44
BN15SN5	YZ	KOB-KJM090	MYH11	13.43	BO15SN5	YZ	KOB-KJM090	MYH11	24.85
BN15SN5	YZ	KOC-DZC180	MYH11	9.15	BO15SN5	YZ	KOC-DZC180	MYH11	9.60
BN15SN5	YZ	KOC-GBZ000	MYH11	5.90	BO15SN5	YZ	KOC-GBZ000	MYH11	7.32
BN15SN5	YZ	KOC-YAR060	MYH11	7.58	BO15SN5	YZ	KOC-YAR060	MYH11	11.50
BN15SN5	YZ	LOM-HSP000	MYH11	18.24	BO15SN5	YZ	LOM-HSP000	MYH11	20.04
BN15SN5	YZ	LOM-WVC270	MYH11	9.95	BO15SN5	YZ	LOM-WVC270	MYH11	16.33
BN15SN5	YZ	NOR-CNP196	MYH11	13.47	BO15SN5	YZ	NOR-CNP196	MYH11	10.03
BN15SN5	YZ	NOR-MUL009	MYH11	18.74	BO15SN5	YZ	NOR-MUL009	MYH11	14.80
BN15SN5	YZ	NOR-MUL279	MYH11	23.35	BO15SN5	YZ	NOR-MUL279	MYH11	29.25

Tablo C.1 (devam): Mevcut binalara ait yerdeğiştirme talepleri

Bina Adı	Analiz Yönü	İvme Kaydı	MYH Grup No	Δ_d (cm)	Bina Adı	Analiz Yönü	İvme Kaydı	MYH Grup No	Δ_d (cm)
BN15SN5	YZ	NOR-ORR360	MYH11	15.63	BO15SN5	YZ	NOR-ORR360	MYH11	34.76
BN15SN5	YZ	NOR-RRS318	MYH11	9.18	BO15SN5	YZ	NOR-RRS318	MYH11	12.48
BN15SN5	YZ	NOR-SAT180	MYH11	18.19	BO15SN5	YZ	NOR-SAT180	MYH11	24.62
BN15SN5	YZ	NPAL-NPS210	MYH11	10.79	BO15SN5	YZ	NPAL-NPS210	MYH11	20.02
BN15SN5	XZ	CHI-TCU065N	MYH12	9.68	BO15SN5	XZ	CHI-TCU065N	MYH12	91.87
BN15SN5	XZ	CHI-TCU067W	MYH12	8.13	BO15SN5	XZ	CHI-TCU067W	MYH12	31.63
BN15SN5	XZ	CHI-TCU102-N	MYH12	3.06	BO15SN5	XZ	CHI-TCU102-N	MYH12	17.63
BN15SN5	XZ	DZC-BOL000	MYH12	11.48	BO15SN5	XZ	DZC-BOL000	MYH12	20.59
BN15SN5	XZ	DZC-BOL090	MYH12	21.09	BO15SN5	XZ	DZC-BOL090	MYH12	19.11
BN15SN5	XZ	DZC-DZC180	MYH12	11.76	BO15SN5	XZ	DZC-DZC180	MYH12	16.18
BN15SN5	XZ	GAZ-KAR090	MYH12	9.86	BO15SN5	XZ	GAZ-KAR090	MYH12	14.51
BN15SN5	XZ	IMP-ECC092	MYH12	5.01	BO15SN5	XZ	IMP-ECC092	MYH12	15.81
BN15SN5	XZ	IMP-ELC4-230	MYH12	5.46	BO15SN5	XZ	IMP-ELC4-230	MYH12	32.15
BN15SN5	XZ	IMP-ELCD-270	MYH12	5.38	BO15SN5	XZ	IMP-ELCD-270	MYH12	13.39
BN15SN5	XZ	IRP-STU270	MYH12	3.91	BO15SN5	XZ	IRP-STU270	MYH12	36.88
BN15SN5	XZ	KOC-DZC180	MYH12	5.19	BO15SN5	XZ	KOC-DZC180	MYH12	19.73
BN15SN5	XZ	KOC-GBZ000	MYH12	4.90	BO15SN5	XZ	KOC-GBZ000	MYH12	14.44
BN15SN5	XZ	KOC-SKR090	MYH12	3.48	BO15SN5	XZ	KOC-SKR090	MYH12	9.25
BN15SN5	XZ	LAN-YER270	MYH12	6.49	BO15SN5	XZ	LAN-YER270	MYH12	36.33
BN15SN5	XZ	LOM-BRN000	MYH12	9.38	BO15SN5	XZ	LOM-BRN000	MYH12	19.06
BN15SN5	XZ	LOM-WVC270	MYH12	7.60	BO15SN5	XZ	LOM-WVC270	MYH12	30.15
BN15SN5	XZ	NOR-CNP196	MYH12	10.96	BO15SN5	XZ	NOR-CNP196	MYH12	22.23
BN15SN5	XZ	NOR-MUL009	MYH12	9.32	BO15SN5	XZ	NOR-MUL009	MYH12	27.40
BN15SN5	XZ	NOR-MUL279	MYH12	13.17	BO15SN5	XZ	NOR-MUL279	MYH12	27.54
BN15SN5	XZ	NOR-NEW090	MYH12	11.07	BO15SN5	XZ	NOR-NEW090	MYH12	10.44
BN15SN5	XZ	NOR-PAR-L	MYH12	11.76	BO15SN5	XZ	NOR-PAR-L	MYH12	35.08
BN15SN5	XZ	NOR-RRS318	MYH12	7.71	BO15SN5	XZ	NOR-RRS318	MYH12	18.92
BN15SN5	XZ	NOR-SAT180	MYH12	11.50	BO15SN5	XZ	NOR-SAT180	MYH12	34.77
BN15SN5	XZ	NOR-SCE288	MYH12	5.57	BO15SN5	XZ	NOR-SCE288	MYH12	18.53
BN15SN5	XZ	NOR-SEP360	MYH12	11.38	BO15SN5	XZ	NOR-SEP360	MYH12	11.15
BN15SN5	XZ	NOR-SYL090	MYH12	11.91	BO15SN5	XZ	NOR-SYL090	MYH12	27.44
BN15SN5	XZ	NOR-TAR360	MYH12	10.40	BO15SN5	XZ	NOR-TAR360	MYH12	26.57
BN15SN5	XZ	NOR-WPI316	MYH12	7.35	BO15SN5	XZ	NOR-WPI316	MYH12	16.22
BN15SN5	XZ	PRK-C02065	MYH12	9.81	BO15SN5	XZ	PRK-C02065	MYH12	30.65
BN15SN5	YZ	CHI-TCU065N	MYH12	13.41	BO15SN5	YZ	CHI-TCU065N	MYH12	49.27
BN15SN5	YZ	CHI-TCU067W	MYH12	13.26	BO15SN5	YZ	CHI-TCU067W	MYH12	15.77
BN15SN5	YZ	CHI-TCU102-N	MYH12	5.61	BO15SN5	YZ	CHI-TCU102-N	MYH12	6.70
BN15SN5	YZ	DZC-BOL000	MYH12	13.58	BO15SN5	YZ	DZC-BOL000	MYH12	18.95
BN15SN5	YZ	DZC-BOL090	MYH12	24.31	BO15SN5	YZ	DZC-BOL090	MYH12	20.98
BN15SN5	YZ	DZC-DZC180	MYH12	18.71	BO15SN5	YZ	DZC-DZC180	MYH12	10.90
BN15SN5	YZ	GAZ-KAR090	MYH12	8.83	BO15SN5	YZ	GAZ-KAR090	MYH12	12.19
BN15SN5	YZ	IMP-ECC092	MYH12	8.42	BO15SN5	YZ	IMP-ECC092	MYH12	8.10
BN15SN5	YZ	IMP-ELC4-230	MYH12	5.16	BO15SN5	YZ	IMP-ELC4-230	MYH12	16.50
BN15SN5	YZ	IMP-ELCD-270	MYH12	5.61	BO15SN5	YZ	IMP-ELCD-270	MYH12	12.73
BN15SN5	YZ	IRP-STU270	MYH12	5.85	BO15SN5	YZ	IRP-STU270	MYH12	20.86
BN15SN5	YZ	KOC-DZC180	MYH12	10.10	BO15SN5	YZ	KOC-DZC180	MYH12	9.06
BN15SN5	YZ	KOC-GBZ000	MYH12	6.40	BO15SN5	YZ	KOC-GBZ000	MYH12	8.28
BN15SN5	YZ	KOC-SKR090	MYH12	4.22	BO15SN5	YZ	KOC-SKR090	MYH12	4.46
BN15SN5	YZ	LAN-YER270	MYH12	11.36	BO15SN5	YZ	LAN-YER270	MYH12	18.96
BN15SN5	YZ	LOM-BRN000	MYH12	22.81	BO15SN5	YZ	LOM-BRN000	MYH12	26.73
BN15SN5	YZ	LOM-WVC270	MYH12	10.71	BO15SN5	YZ	LOM-WVC270	MYH12	18.55
BN15SN5	YZ	NOR-CNP196	MYH12	14.16	BO15SN5	YZ	NOR-CNP196	MYH12	11.20
BN15SN5	YZ	NOR-MUL009	MYH12	20.59	BO15SN5	YZ	NOR-MUL009	MYH12	16.53
BN15SN5	YZ	NOR-MUL279	MYH12	26.71	BO15SN5	YZ	NOR-MUL279	MYH12	31.27
BN15SN5	YZ	NOR-NEW090	MYH12	9.87	BO15SN5	YZ	NOR-NEW090	MYH12	13.41
BN15SN5	YZ	NOR-PAR-L	MYH12	22.12	BO15SN5	YZ	NOR-PAR-L	MYH12	30.65
BN15SN5	YZ	NOR-RRS318	MYH12	10.02	BO15SN5	YZ	NOR-RRS318	MYH12	14.87
BN15SN5	YZ	NOR-SAT180	MYH12	19.64	BO15SN5	YZ	NOR-SAT180	MYH12	27.20
BN15SN5	YZ	NOR-SCE288	MYH12	10.76	BO15SN5	YZ	NOR-SCE288	MYH12	23.82

Tablo C.1 (devam): Mevcut binalara ait yerdeğiştirme talepleri

Bina Adı	Analiz Yönü	İvme Kaydı	MYH Grup No	Δ_d (cm)	Bina Adı	Analiz Yönü	İvme Kaydı	MYH Grup No	Δ_d (cm)
BN15SN5	YZ	NOR-SEP360	MYH12	11.26	BO15SN5	YZ	NOR-SEP360	MYH12	8.75
BN15SN5	YZ	NOR-SYL090	MYH12	11.52	BO15SN5	YZ	NOR-SYL090	MYH12	19.81
BN15SN5	YZ	NOR-TAR360	MYH12	26.91	BO15SN5	YZ	NOR-TAR360	MYH12	23.57
BN15SN5	YZ	NOR-WPI316	MYH12	9.66	BO15SN5	YZ	NOR-WPI316	MYH12	11.11
BN15SN5	YZ	PRK-C02065	MYH12	11.68	BO15SN5	YZ	PRK-C02065	MYH12	21.92
BN16SN6	XZ	CAP-FOR090	MYH1	6.01	BO16SN6	XZ	CAP-FOR090	MYH1	5.07
BN16SN6	XZ	CHI-CHY010-N	MYH1	5.90	BO16SN6	XZ	CHI-CHY010-N	MYH1	5.63
BN16SN6	XZ	CHI-CHY41W	MYH1	10.09	BO16SN6	XZ	CHI-CHY41W	MYH1	5.55
BN16SN6	XZ	CHI-CHY046N	MYH1	8.76	BO16SN6	XZ	CHI-CHY046N	MYH1	7.84
BN16SN6	XZ	CHI-CHY047-E	MYH1	5.11	BO16SN6	XZ	CHI-CHY047-E	MYH1	3.81
BN16SN6	XZ	COA-CAK270	MYH1	11.01	BO16SN6	XZ	COA-CAK270	MYH1	7.36
BN16SN6	XZ	COY-G06320	MYH1	5.62	BO16SN6	XZ	COY-G06320	MYH1	6.09
BN16SN6	XZ	FRI-TMZ000	MYH1	7.67	BO16SN6	XZ	FRI-TMZ000	MYH1	5.54
BN16SN6	XZ	IMP-E12230	MYH1	5.05	BO16SN6	XZ	IMP-E12230	MYH1	3.87
BN16SN6	XZ	IMP-SAH000	MYH1	8.52	BO16SN6	XZ	IMP-SAH000	MYH1	4.93
BN16SN6	XZ	IRP-BIS000	MYH1	3.36	BO16SN6	XZ	IRP-BIS000	MYH1	2.90
BN16SN6	XZ	KOC-IZM180	MYH1	9.13	BO16SN6	XZ	KOC-IZM180	MYH1	5.14
BN16SN6	XZ	LAN-ABY090	MYH1	6.31	BO16SN6	XZ	LAN-ABY090	MYH1	4.31
BN16SN6	XZ	LAN-DSP000	MYH1	7.73	BO16SN6	XZ	LAN-DSP000	MYH1	4.20
BN16SN6	XZ	LIV-DVD246	MYH1	4.79	BO16SN6	XZ	LIV-DVD246	MYH1	3.50
BN16SN6	XZ	LOM-BRK090	MYH1	8.14	BO16SN6	XZ	LOM-BRK090	MYH1	6.96
BN16SN6	XZ	LOM-CLD285	MYH1	5.65	BO16SN6	XZ	LOM-CLD285	MYH1	4.27
BN16SN6	XZ	LOM-GGV337	MYH1	4.21	BO16SN6	XZ	LOM-GGV337	MYH1	4.12
BN16SN6	XZ	NOR-CWC270	MYH1	10.44	BO16SN6	XZ	NOR-CWC270	MYH1	6.77
BN16SN6	XZ	NOR-LOS090	MYH1	6.27	BO16SN6	XZ	NOR-LOS090	MYH1	5.23
BN16SN6	XZ	NOR-LOS360	MYH1	6.91	BO16SN6	XZ	NOR-LOS360	MYH1	7.31
BN16SN6	XZ	PRK-CHO355	MYH1	5.22	BO16SN6	XZ	PRK-CHO355	MYH1	4.64
BN16SN6	XZ	PRK-TMB205	MYH1	6.33	BO16SN6	XZ	PRK-TMB205	MYH1	4.81
BN16SN6	XZ	SUP-PLS135	MYH1	4.42	BO16SN6	XZ	SUP-PLS135	MYH1	5.12
BN16SN6	XZ	TAB-DAY-LN	MYH1	7.02	BO16SN6	XZ	TAB-DAY-LN	MYH1	5.09
BN16SN6	XZ	VIC-CPE315	MYH1	8.26	BO16SN6	XZ	VIC-CPE315	MYH1	4.96
BN16SN6	XZ	WHI-ALH180	MYH1	11.41	BO16SN6	XZ	WHI-ALH180	MYH1	7.46
BN16SN6	XZ	WHI-GRN180	MYH1	9.04	BO16SN6	XZ	WHI-GRN180	MYH1	7.08
BN16SN6	XZ	WHI-OBR360	MYH1	8.47	BO16SN6	XZ	WHI-OBR360	MYH1	5.29
BN16SN6	YZ	CAP-FOR090	MYH1	5.68	BO16SN6	YZ	CAP-FOR090	MYH1	4.02
BN16SN6	YZ	CHI-CHY010-N	MYH1	5.95	BO16SN6	YZ	CHI-CHY010-N	MYH1	5.82
BN16SN6	YZ	CHI-CHY41W	MYH1	7.91	BO16SN6	YZ	CHI-CHY41W	MYH1	5.42
BN16SN6	YZ	CHI-CHY046N	MYH1	7.30	BO16SN6	YZ	CHI-CHY046N	MYH1	7.42
BN16SN6	YZ	CHI-CHY047-E	MYH1	3.63	BO16SN6	YZ	CHI-CHY047-E	MYH1	3.22
BN16SN6	YZ	COA-CAK270	MYH1	8.94	BO16SN6	YZ	COA-CAK270	MYH1	5.70
BN16SN6	YZ	COY-G06320	MYH1	5.09	BO16SN6	YZ	COY-G06320	MYH1	5.53
BN16SN6	YZ	FRI-TMZ000	MYH1	6.71	BO16SN6	YZ	FRI-TMZ000	MYH1	4.45
BN16SN6	YZ	IMP-E12230	MYH1	3.24	BO16SN6	YZ	IMP-E12230	MYH1	2.89
BN16SN6	YZ	IMP-SAH000	MYH1	6.36	BO16SN6	YZ	IMP-SAH000	MYH1	4.10
BN16SN6	YZ	IRP-BIS000	MYH1	2.96	BO16SN6	YZ	IRP-BIS000	MYH1	2.93
BN16SN6	YZ	KOC-IZM180	MYH1	5.73	BO16SN6	YZ	KOC-IZM180	MYH1	4.33
BN16SN6	YZ	LAN-ABY090	MYH1	5.28	BO16SN6	YZ	LAN-ABY090	MYH1	3.77
BN16SN6	YZ	LAN-DSP000	MYH1	4.54	BO16SN6	YZ	LAN-DSP000	MYH1	2.80
BN16SN6	YZ	LIV-DVD246	MYH1	3.96	BO16SN6	YZ	LIV-DVD246	MYH1	3.19
BN16SN6	YZ	LOM-BRK090	MYH1	7.42	BO16SN6	YZ	LOM-BRK090	MYH1	6.19
BN16SN6	YZ	LOM-CLD285	MYH1	6.72	BO16SN6	YZ	LOM-CLD285	MYH1	5.41
BN16SN6	YZ	LOM-GGV337	MYH1	4.05	BO16SN6	YZ	LOM-GGV337	MYH1	3.91
BN16SN6	YZ	NOR-CWC270	MYH1	6.23	BO16SN6	YZ	NOR-CWC270	MYH1	7.89
BN16SN6	YZ	NOR-LOS090	MYH1	6.34	BO16SN6	YZ	NOR-LOS090	MYH1	4.32
BN16SN6	YZ	NOR-LOS360	MYH1	6.76	BO16SN6	YZ	NOR-LOS360	MYH1	7.81
BN16SN6	YZ	PRK-CHO355	MYH1	5.77	BO16SN6	YZ	PRK-CHO355	MYH1	3.57
BN16SN6	YZ	PRK-TMB205	MYH1	4.39	BO16SN6	YZ	PRK-TMB205	MYH1	3.76
BN16SN6	YZ	SUP-PLS135	MYH1	3.62	BO16SN6	YZ	SUP-PLS135	MYH1	5.51
BN16SN6	YZ	TAB-DAY-LN	MYH1	6.64	BO16SN6	YZ	TAB-DAY-LN	MYH1	4.24

Tablo C.1 (devam): Mevcut binalara ait yerdeğiştirme talepleri

Bina Adı	Analiz Yönü	İvme Kaydı	MYH Grup No	Δ_d (cm)	Bina Adı	Analiz Yönü	İvme Kaydı	MYH Grup No	Δ_d (cm)
BN16SN6	YZ	VIC-CPE315	MYH1	6.80	BO16SN6	YZ	VIC-CPE315	MYH1	3.88
BN16SN6	YZ	WHI-ALH180	MYH1	7.83	BO16SN6	YZ	WHI-ALH180	MYH1	6.34
BN16SN6	YZ	WHI-GRN180	MYH1	9.14	BO16SN6	YZ	WHI-GRN180	MYH1	7.04
BN16SN6	YZ	WHI-OBR360	MYH1	7.56	BO16SN6	YZ	WHI-OBR360	MYH1	4.19
BN16SN6	XZ	CHI-TCU141-N	MYH2	4.56	BO16SN6	XZ	CHI-TCU141-N	MYH2	3.75
BN16SN6	XZ	COA-PV1090	MYH2	12.99	BO16SN6	XZ	COA-PV1090	MYH2	8.31
BN16SN6	XZ	COA-Z14090	MYH2	15.17	BO16SN6	XZ	COA-Z14090	MYH2	8.32
BN16SN6	XZ	COY-G02140	MYH2	11.47	BO16SN6	XZ	COY-G02140	MYH2	7.74
BN16SN6	XZ	COY-G03140	MYH2	9.60	BO16SN6	XZ	COY-G03140	MYH2	8.71
BN16SN6	XZ	IMP-AER315	MYH2	7.32	BO16SN6	XZ	IMP-AER315	MYH2	6.50
BN16SN6	XZ	IMP-DLT262	MYH2	10.23	BO16SN6	XZ	IMP-DLT262	MYH2	6.08
BN16SN6	XZ	KOB-KAK090	MYH2	9.41	BO16SN6	XZ	KOB-KAK090	MYH2	8.34
BN16SN6	XZ	KOB-SHI090	MYH2	8.13	BO16SN6	XZ	KOB-SHI090	MYH2	6.12
BN16SN6	XZ	LAN-CLVLN	MYH2	7.08	BO16SN6	XZ	LAN-CLVLN	MYH2	5.76
BN16SN6	XZ	LAN-JOS000	MYH2	10.65	BO16SN6	XZ	LAN-JOS000	MYH2	9.50
BN16SN6	XZ	LOM-CAP090	MYH2	9.27	BO16SN6	XZ	LOM-CAP090	MYH2	6.97
BN16SN6	XZ	LOM-GGV067	MYH2	7.15	BO16SN6	XZ	LOM-GGV067	MYH2	6.17
BN16SN6	XZ	LOM-HSP090	MYH2	9.37	BO16SN6	XZ	LOM-HSP090	MYH2	9.54
BN16SN6	XZ	LOM-SFO000	MYH2	10.63	BO16SN6	XZ	LOM-SFO000	MYH2	6.17
BN16SN6	XZ	LOM-SFO090	MYH2	12.49	BO16SN6	XZ	LOM-SFO090	MYH2	6.97
BN16SN6	XZ	LOM-WAH000	MYH2	13.43	BO16SN6	XZ	LOM-WAH000	MYH2	6.47
BN16SN6	XZ	MAM-LUL000	MYH2	7.19	BO16SN6	XZ	MAM-LUL000	MYH2	6.08
BN16SN6	XZ	MOR-AND250	MYH2	5.35	BO16SN6	XZ	MOR-AND250	MYH2	3.85
BN16SN6	XZ	MOR-AND340	MYH2	13.40	BO16SN6	XZ	MOR-AND340	MYH2	6.77
BN16SN6	XZ	NOR-CHL160	MYH2	10.93	BO16SN6	XZ	NOR-CHL160	MYH2	8.53
BN16SN6	XZ	NOR-CWC180	MYH2	8.78	BO16SN6	XZ	NOR-CWC180	MYH2	8.44
BN16SN6	XZ	NOR-SAT090	MYH2	8.25	BO16SN6	XZ	NOR-SAT090	MYH2	10.72
BN16SN6	XZ	NPAL-DSP000	MYH2	11.33	BO16SN6	XZ	NPAL-DSP000	MYH2	8.39
BN16SN6	XZ	PRK-CHO085	MYH2	5.67	BO16SN6	XZ	PRK-CHO085	MYH2	4.27
BN16SN6	XZ	SFD-ORR291	MYH2	9.41	BO16SN6	XZ	SFD-ORR291	MYH2	6.06
BN16SN6	XZ	SPI-GUK000	MYH2	9.55	BO16SN6	XZ	SPI-GUK000	MYH2	6.10
BN16SN6	XZ	TAB-DAY-TR	MYH2	10.71	BO16SN6	XZ	TAB-DAY-TR	MYH2	9.46
BN16SN6	XZ	WES-PTS315	MYH2	9.80	BO16SN6	XZ	WES-PTS315	MYH2	8.28
BN16SN6	XZ	WHI-DEL000	MYH2	10.30	BO16SN6	XZ	WHI-DEL000	MYH2	6.77
BN16SN6	XZ	WHI-DWN180	MYH2	11.05	BO16SN6	XZ	WHI-DWN180	MYH2	7.23
BN16SN6	YZ	CHI-TCU141-N	MYH2	4.13	BO16SN6	YZ	CHI-TCU141-N	MYH2	3.27
BN16SN6	YZ	COA-PV1090	MYH2	9.65	BO16SN6	YZ	COA-PV1090	MYH2	8.40
BN16SN6	YZ	COA-Z14090	MYH2	12.40	BO16SN6	YZ	COA-Z14090	MYH2	8.16
BN16SN6	YZ	COY-G02140	MYH2	9.41	BO16SN6	YZ	COY-G02140	MYH2	8.02
BN16SN6	YZ	COY-G03140	MYH2	7.70	BO16SN6	YZ	COY-G03140	MYH2	8.81
BN16SN6	YZ	IMP-AER315	MYH2	6.33	BO16SN6	YZ	IMP-AER315	MYH2	5.47
BN16SN6	YZ	IMP-DLT262	MYH2	8.41	BO16SN6	YZ	IMP-DLT262	MYH2	5.50
BN16SN6	YZ	KOB-KAK090	MYH2	5.20	BO16SN6	YZ	KOB-KAK090	MYH2	6.57
BN16SN6	YZ	KOB-SHI090	MYH2	8.06	BO16SN6	YZ	KOB-SHI090	MYH2	6.77
BN16SN6	YZ	LAN-CLVLN	MYH2	8.16	BO16SN6	YZ	LAN-CLVLN	MYH2	4.87
BN16SN6	YZ	LAN-JOS000	MYH2	9.95	BO16SN6	YZ	LAN-JOS000	MYH2	7.21
BN16SN6	YZ	LOM-CAP090	MYH2	9.03	BO16SN6	YZ	LOM-CAP090	MYH2	7.79
BN16SN6	YZ	LOM-GGV067	MYH2	5.97	BO16SN6	YZ	LOM-GGV067	MYH2	6.91
BN16SN6	YZ	LOM-HSP090	MYH2	6.80	BO16SN6	YZ	LOM-HSP090	MYH2	8.69
BN16SN6	YZ	LOM-SFO000	MYH2	7.95	BO16SN6	YZ	LOM-SFO000	MYH2	5.87
BN16SN6	YZ	LOM-SFO090	MYH2	11.58	BO16SN6	YZ	LOM-SFO090	MYH2	7.18
BN16SN6	YZ	LOM-WAH000	MYH2	11.05	BO16SN6	YZ	LOM-WAH000	MYH2	5.90
BN16SN6	YZ	MAM-LUL000	MYH2	7.43	BO16SN6	YZ	MAM-LUL000	MYH2	4.81
BN16SN6	YZ	MOR-AND250	MYH2	6.13	BO16SN6	YZ	MOR-AND250	MYH2	3.20
BN16SN6	YZ	MOR-AND340	MYH2	11.99	BO16SN6	YZ	MOR-AND340	MYH2	5.54
BN16SN6	YZ	NOR-CHL160	MYH2	9.77	BO16SN6	YZ	NOR-CHL160	MYH2	8.30
BN16SN6	YZ	NOR-CWC180	MYH2	6.06	BO16SN6	YZ	NOR-CWC180	MYH2	6.16
BN16SN6	YZ	NOR-SAT090	MYH2	8.25	BO16SN6	YZ	NOR-SAT090	MYH2	12.22
BN16SN6	YZ	NPAL-DSP000	MYH2	9.08	BO16SN6	YZ	NPAL-DSP000	MYH2	8.87

Tablo C.1 (devam): Mevcut binalara ait yerdeğiştirme talepleri

Bina Adı	Analiz Yönü	İvme Kaydı	MYH Grup No	Δ_d (cm)	Bina Adı	Analiz Yönü	İvme Kaydı	MYH Grup No	Δ_d (cm)
BN16SN6	YZ	PRK-CHO085	MYH2	4.17	BO16SN6	YZ	PRK-CHO085	MYH2	4.49
BN16SN6	YZ	SFD-ORR291	MYH2	8.68	BO16SN6	YZ	SFD-ORR291	MYH2	6.13
BN16SN6	YZ	SPI-GUK000	MYH2	8.99	BO16SN6	YZ	SPI-GUK000	MYH2	6.08
BN16SN6	YZ	TAB-DAY-TR	MYH2	7.08	BO16SN6	YZ	TAB-DAY-TR	MYH2	8.71
BN16SN6	YZ	WES-PTS315	MYH2	9.79	BO16SN6	YZ	WES-PTS315	MYH2	8.37
BN16SN6	YZ	WHI-DEL000	MYH2	9.95	BO16SN6	YZ	WHI-DEL000	MYH2	6.07
BN16SN6	YZ	WHI-DWN180	MYH2	10.93	BO16SN6	YZ	WHI-DWN180	MYH2	6.48
BN16SN6	XZ	CAP-FOR000	MYH3	5.57	BO16SN6	XZ	CAP-FOR000	MYH3	4.48
BN16SN6	XZ	CHI-CHY29W	MYH3	10.56	BO16SN6	XZ	CHI-CHY29W	MYH3	9.06
BN16SN6	XZ	CHI-TCU046N	MYH3	5.58	BO16SN6	XZ	CHI-TCU046N	MYH3	5.25
BN16SN6	XZ	CHI-TCU112-N	MYH3	4.39	BO16SN6	XZ	CHI-TCU112-N	MYH3	3.85
BN16SN6	XZ	CHI-TCU118-N	MYH3	4.24	BO16SN6	XZ	CHI-TCU118-N	MYH3	3.30
BN16SN6	XZ	FRI-TMZ270	MYH3	8.37	BO16SN6	XZ	FRI-TMZ270	MYH3	7.67
BN16SN6	XZ	IMP-ELC2-140	MYH3	6.87	BO16SN6	XZ	IMP-ELC2-140	MYH3	6.79
BN16SN6	XZ	IMP-ELC11-140	MYH3	6.69	BO16SN6	XZ	IMP-ELC11-140	MYH3	6.56
BN16SN6	XZ	IMP-SAH270	MYH3	10.02	BO16SN6	XZ	IMP-SAH270	MYH3	6.20
BN16SN6	XZ	KOC-AMB090	MYH3	12.88	BO16SN6	XZ	KOC-AMB090	MYH3	9.38
BN16SN6	XZ	KOC-GBZ270	MYH3	5.18	BO16SN6	XZ	KOC-GBZ270	MYH3	3.92
BN16SN6	XZ	KOC-IZM090	MYH3	8.86	BO16SN6	XZ	KOC-IZM090	MYH3	6.11
BN16SN6	XZ	LAN-LUC000	MYH3	8.59	BO16SN6	XZ	LAN-LUC000	MYH3	5.88
BN16SN6	XZ	LAN-YER360	MYH3	9.04	BO16SN6	XZ	LAN-YER360	MYH3	7.57
BN16SN6	XZ	LOM-A02133	MYH3	15.83	BO16SN6	XZ	LOM-A02133	MYH3	13.35
BN16SN6	XZ	LOM-G01000	MYH3	4.06	BO16SN6	XZ	LOM-G01000	MYH3	3.69
BN16SN6	XZ	LOM-G01090	MYH3	9.98	BO16SN6	XZ	LOM-G01090	MYH3	7.57
BN16SN6	XZ	LOM-G02000	MYH3	9.25	BO16SN6	XZ	LOM-G02000	MYH3	12.54
BN16SN6	XZ	LOM-TRI090	MYH3	7.51	BO16SN6	XZ	LOM-TRI090	MYH3	7.99
BN16SN6	XZ	MAM-LUL090	MYH3	11.60	BO16SN6	XZ	MAM-LUL090	MYH3	12.56
BN16SN6	XZ	NOR-CNP106	MYH3	10.67	BO16SN6	XZ	NOR-CNP106	MYH3	9.63
BN16SN6	XZ	NOR-PAC265	MYH3	11.46	BO16SN6	XZ	NOR-PAC265	MYH3	7.79
BN16SN6	XZ	NOR-PKC090	MYH3	11.70	BO16SN6	XZ	NOR-PKC090	MYH3	9.91
BN16SN6	XZ	NOR-WIL180	MYH3	12.28	BO16SN6	XZ	NOR-WIL180	MYH3	8.60
BN16SN6	XZ	NPAL-MVH045	MYH3	13.55	BO16SN6	XZ	NPAL-MVH045	MYH3	12.05
BN16SN6	XZ	NPAL-NPS300	MYH3	9.09	BO16SN6	XZ	NPAL-NPS300	MYH3	9.12
BN16SN6	XZ	NPAL-WWT270	MYH3	8.73	BO16SN6	XZ	NPAL-WWT270	MYH3	9.23
BN16SN6	XZ	SUP-IVW090	MYH3	5.65	BO16SN6	XZ	SUP-IVW090	MYH3	8.22
BN16SN6	XZ	SUP-IVW360	MYH3	11.40	BO16SN6	XZ	SUP-IVW360	MYH3	8.34
BN16SN6	XZ	SUP-KRN360	MYH3	9.68	BO16SN6	XZ	SUP-KRN360	MYH3	7.52
BN16SN6	XZ	SUP-POE360	MYH3	9.63	BO16SN6	XZ	SUP-POE360	MYH3	6.53
BN16SN6	XZ	SUP-SUP045	MYH3	8.29	BO16SN6	XZ	SUP-SUP045	MYH3	7.84
BN16SN6	XZ	VIC-CPE045	MYH3	16.84	BO16SN6	XZ	VIC-CPE045	MYH3	11.28
BN16SN6	XZ	WHI-OR2010	MYH3	13.51	BO16SN6	XZ	WHI-OR2010	MYH3	7.65
BN16SN6	YZ	CAP-FOR000	MYH3	5.53	BO16SN6	YZ	CAP-FOR000	MYH3	4.03
BN16SN6	YZ	CHI-CHY29W	MYH3	9.36	BO16SN6	YZ	CHI-CHY29W	MYH3	8.31
BN16SN6	YZ	CHI-TCU046N	MYH3	4.48	BO16SN6	YZ	CHI-TCU046N	MYH3	3.81
BN16SN6	YZ	CHI-TCU112-N	MYH3	3.27	BO16SN6	YZ	CHI-TCU112-N	MYH3	2.92
BN16SN6	YZ	CHI-TCU118-N	MYH3	4.51	BO16SN6	YZ	CHI-TCU118-N	MYH3	2.69
BN16SN6	YZ	FRI-TMZ270	MYH3	8.36	BO16SN6	YZ	FRI-TMZ270	MYH3	6.98
BN16SN6	YZ	IMP-ELC2-140	MYH3	6.52	BO16SN6	YZ	IMP-ELC2-140	MYH3	7.23
BN16SN6	YZ	IMP-ELC11-140	MYH3	6.62	BO16SN6	YZ	IMP-ELC11-140	MYH3	6.50
BN16SN6	YZ	IMP-SAH270	MYH3	7.56	BO16SN6	YZ	IMP-SAH270	MYH3	5.50
BN16SN6	YZ	KOC-AMB090	MYH3	10.29	BO16SN6	YZ	KOC-AMB090	MYH3	9.50
BN16SN6	YZ	KOC-GBZ270	MYH3	3.69	BO16SN6	YZ	KOC-GBZ270	MYH3	3.12
BN16SN6	YZ	KOC-IZM090	MYH3	6.05	BO16SN6	YZ	KOC-IZM090	MYH3	7.31
BN16SN6	YZ	LAN-LUC000	MYH3	7.14	BO16SN6	YZ	LAN-LUC000	MYH3	5.08
BN16SN6	YZ	LAN-YER360	MYH3	6.88	BO16SN6	YZ	LAN-YER360	MYH3	6.62
BN16SN6	YZ	LOM-A02133	MYH3	11.94	BO16SN6	YZ	LOM-A02133	MYH3	12.60
BN16SN6	YZ	LOM-G01000	MYH3	4.14	BO16SN6	YZ	LOM-G01000	MYH3	3.38
BN16SN6	YZ	LOM-G01090	MYH3	7.84	BO16SN6	YZ	LOM-G01090	MYH3	8.39
BN16SN6	YZ	LOM-G02000	MYH3	8.67	BO16SN6	YZ	LOM-G02000	MYH3	10.82

Tablo C.1 (devam): Mevcut binalara ait yerdeğiştirme talepleri

Bina Adı	Analiz Yönü	İvme Kaydı	MYH Grup No	Δ_d (cm)	Bina Adı	Analiz Yönü	İvme Kaydı	MYH Grup No	Δ_d (cm)
BN16SN6	YZ	LOM-TRI090	MYH3	8.17	BO16SN6	YZ	LOM-TRI090	MYH3	11.80
BN16SN6	YZ	MAM-LUL090	MYH3	10.53	BO16SN6	YZ	MAM-LUL090	MYH3	12.83
BN16SN6	YZ	NOR-CNP106	MYH3	11.51	BO16SN6	YZ	NOR-CNP106	MYH3	11.52
BN16SN6	YZ	NOR-PAC265	MYH3	7.90	BO16SN6	YZ	NOR-PAC265	MYH3	6.94
BN16SN6	YZ	NOR-PKC090	MYH3	11.76	BO16SN6	YZ	NOR-PKC090	MYH3	10.33
BN16SN6	YZ	NOR-WIL180	MYH3	10.91	BO16SN6	YZ	NOR-WIL180	MYH3	10.53
BN16SN6	YZ	NPAL-MVH045	MYH3	9.04	BO16SN6	YZ	NPAL-MVH045	MYH3	13.47
BN16SN6	YZ	NPAL-NPS300	MYH3	7.69	BO16SN6	YZ	NPAL-NPS300	MYH3	8.21
BN16SN6	YZ	NPAL-WWT270	MYH3	7.40	BO16SN6	YZ	NPAL-WWT270	MYH3	7.27
BN16SN6	YZ	SUP-IVW090	MYH3	5.40	BO16SN6	YZ	SUP-IVW090	MYH3	7.65
BN16SN6	YZ	SUP-IVW360	MYH3	8.28	BO16SN6	YZ	SUP-IVW360	MYH3	10.41
BN16SN6	YZ	SUP-KRN360	MYH3	7.03	BO16SN6	YZ	SUP-KRN360	MYH3	7.70
BN16SN6	YZ	SUP-POE360	MYH3	7.35	BO16SN6	YZ	SUP-POE360	MYH3	6.53
BN16SN6	YZ	SUP-SUP045	MYH3	8.06	BO16SN6	YZ	SUP-SUP045	MYH3	5.81
BN16SN6	YZ	VIC-CPE045	MYH3	11.88	BO16SN6	YZ	VIC-CPE045	MYH3	10.73
BN16SN6	YZ	WHI-OR2010	MYH3	12.73	BO16SN6	YZ	WHI-OR2010	MYH3	6.63
BN16SN6	XZ	CHI-CHY29N	MYH4	11.26	BO16SN6	XZ	CHI-CHY29N	MYH4	7.56
BN16SN6	XZ	CHI-CHY036W	MYH4	15.06	BO16SN6	XZ	CHI-CHY036W	MYH4	10.45
BN16SN6	XZ	CHI-CHY41N	MYH4	11.66	BO16SN6	XZ	CHI-CHY41N	MYH4	8.36
BN16SN6	XZ	CHI-TCU45N	MYH4	12.33	BO16SN6	XZ	CHI-TCU45N	MYH4	9.03
BN16SN6	XZ	CHI-TCU45W	MYH4	9.40	BO16SN6	XZ	CHI-TCU45W	MYH4	8.44
BN16SN6	XZ	CHI-TCU51N	MYH4	8.11	BO16SN6	XZ	CHI-TCU51N	MYH4	6.71
BN16SN6	XZ	COA-PLE135	MYH4	15.11	BO16SN6	XZ	COA-PLE135	MYH4	11.94
BN16SN6	XZ	IMP-BRA225	MYH4	6.58	BO16SN6	XZ	IMP-BRA225	MYH4	6.18
BN16SN6	XZ	IMP-BRA315	MYH4	8.58	BO16SN6	XZ	IMP-BRA315	MYH4	7.92
BN16SN6	XZ	IMP-ECC002	MYH4	11.19	BO16SN6	XZ	IMP-ECC002	MYH4	14.23
BN16SN6	XZ	IMP-ELC4-140	MYH4	13.69	BO16SN6	XZ	IMP-ELC4-140	MYH4	19.19
BN16SN6	XZ	IRP-STU000	MYH4	7.46	BO16SN6	XZ	IRP-STU000	MYH4	10.04
BN16SN6	XZ	KOB-NIS000	MYH4	9.54	BO16SN6	XZ	KOB-NIS000	MYH4	7.56
BN16SN6	XZ	KOB-NIS090	MYH4	9.24	BO16SN6	XZ	KOB-NIS090	MYH4	8.68
BN16SN6	XZ	KOB-SHI000	MYH4	11.69	BO16SN6	XZ	KOB-SHI000	MYH4	8.42
BN16SN6	XZ	KOC-ARC090	MYH4	4.18	BO16SN6	XZ	KOC-ARC090	MYH4	3.55
BN16SN6	XZ	LOM-G02090	MYH4	13.46	BO16SN6	XZ	LOM-G02090	MYH4	15.35
BN16SN6	XZ	LOM-G03000	MYH4	8.98	BO16SN6	XZ	LOM-G03000	MYH4	7.40
BN16SN6	XZ	LOM-HDA255	MYH4	12.66	BO16SN6	XZ	LOM-HDA255	MYH4	10.59
BN16SN6	XZ	LOM-SVL360	MYH4	9.14	BO16SN6	XZ	LOM-SVL360	MYH4	8.62
BN16SN6	XZ	MOR-G06090	MYH4	11.93	BO16SN6	XZ	MOR-G06090	MYH4	10.61
BN16SN6	XZ	MOR-HAL240	MYH4	11.72	BO16SN6	XZ	MOR-HAL240	MYH4	12.91
BN16SN6	XZ	NOR-KAT090	MYH4	16.24	BO16SN6	XZ	NOR-KAT090	MYH4	9.29
BN16SN6	XZ	NOR-SCR090	MYH4	8.64	BO16SN6	XZ	NOR-SCR090	MYH4	8.47
BN16SN6	XZ	NOR-STN020	MYH4	10.92	BO16SN6	XZ	NOR-STN020	MYH4	6.61
BN16SN6	XZ	NPAL-WWT180	MYH4	9.89	BO16SN6	XZ	NPAL-WWT180	MYH4	8.89
BN16SN6	XZ	SUP-POE270	MYH4	9.00	BO16SN6	XZ	SUP-POE270	MYH4	6.92
BN16SN6	XZ	WES-PTS225	MYH4	6.67	BO16SN6	XZ	WES-PTS225	MYH4	6.44
BN16SN6	XZ	WHI-BIR180	MYH4	12.62	BO16SN6	XZ	WHI-BIR180	MYH4	9.67
BN16SN6	XZ	WHI-EJS048	MYH4	9.92	BO16SN6	XZ	WHI-EJS048	MYH4	7.67
BN16SN6	YZ	CHI-CHY29N	MYH4	10.41	BO16SN6	YZ	CHI-CHY29N	MYH4	6.41
BN16SN6	YZ	CHI-CHY036W	MYH4	10.26	BO16SN6	YZ	CHI-CHY036W	MYH4	10.58
BN16SN6	YZ	CHI-CHY41N	MYH4	9.29	BO16SN6	YZ	CHI-CHY41N	MYH4	9.19
BN16SN6	YZ	CHI-TCU45N	MYH4	12.36	BO16SN6	YZ	CHI-TCU45N	MYH4	8.21
BN16SN6	YZ	CHI-TCU45W	MYH4	8.57	BO16SN6	YZ	CHI-TCU45W	MYH4	8.70
BN16SN6	YZ	CHI-TCU51N	MYH4	7.43	BO16SN6	YZ	CHI-TCU51N	MYH4	6.21
BN16SN6	YZ	COA-PLE135	MYH4	13.49	BO16SN6	YZ	COA-PLE135	MYH4	11.84
BN16SN6	YZ	IMP-BRA225	MYH4	4.73	BO16SN6	YZ	IMP-BRA225	MYH4	5.67
BN16SN6	YZ	IMP-BRA315	MYH4	6.09	BO16SN6	YZ	IMP-BRA315	MYH4	8.25
BN16SN6	YZ	IMP-ECC002	MYH4	9.30	BO16SN6	YZ	IMP-ECC002	MYH4	15.21
BN16SN6	YZ	IMP-ELC4-140	MYH4	13.52	BO16SN6	YZ	IMP-ELC4-140	MYH4	17.31
BN16SN6	YZ	IRP-STU000	MYH4	7.12	BO16SN6	YZ	IRP-STU000	MYH4	9.83
BN16SN6	YZ	KOB-NIS000	MYH4	8.81	BO16SN6	YZ	KOB-NIS000	MYH4	7.14

Tablo C.1 (devam): Mevcut binalara ait yerdeğiştirme talepleri

Bina Adı	Analiz Yönü	İvme Kaydı	MYH Grup No	Δ_d (cm)	Bina Adı	Analiz Yönü	İvme Kaydı	MYH Grup No	Δ_d (cm)
BN16SN6	YZ	KOB-NIS090	MYH4	9.90	BO16SN6	YZ	KOB-NIS090	MYH4	7.51
BN16SN6	YZ	KOB-SHI000	MYH4	13.16	BO16SN6	YZ	KOB-SHI000	MYH4	8.36
BN16SN6	YZ	KOC-ARC090	MYH4	4.17	BO16SN6	YZ	KOC-ARC090	MYH4	3.66
BN16SN6	YZ	LOM-G02090	MYH4	9.45	BO16SN6	YZ	LOM-G02090	MYH4	17.27
BN16SN6	YZ	LOM-G03000	MYH4	7.49	BO16SN6	YZ	LOM-G03000	MYH4	6.69
BN16SN6	YZ	LOM-HDA255	MYH4	12.99	BO16SN6	YZ	LOM-HDA255	MYH4	10.03
BN16SN6	YZ	LOM-SVL360	MYH4	6.00	BO16SN6	YZ	LOM-SVL360	MYH4	8.14
BN16SN6	YZ	MOR-G06090	MYH4	13.04	BO16SN6	YZ	MOR-G06090	MYH4	9.11
BN16SN6	YZ	MOR-HAL240	MYH4	11.09	BO16SN6	YZ	MOR-HAL240	MYH4	13.42
BN16SN6	YZ	NOR-KAT090	MYH4	15.65	BO16SN6	YZ	NOR-KAT090	MYH4	8.49
BN16SN6	YZ	NOR-SCR090	MYH4	7.11	BO16SN6	YZ	NOR-SCR090	MYH4	7.99
BN16SN6	YZ	NOR-STN020	MYH4	11.47	BO16SN6	YZ	NOR-STN020	MYH4	6.06
BN16SN6	YZ	NPAL-WWT180	MYH4	8.76	BO16SN6	YZ	NPAL-WWT180	MYH4	8.94
BN16SN6	YZ	SUP-POE270	MYH4	8.21	BO16SN6	YZ	SUP-POE270	MYH4	6.20
BN16SN6	YZ	WES-PTS225	MYH4	6.81	BO16SN6	YZ	WES-PTS225	MYH4	5.72
BN16SN6	YZ	WHI-BIR180	MYH4	13.13	BO16SN6	YZ	WHI-BIR180	MYH4	8.79
BN16SN6	YZ	WHI-EJS048	MYH4	9.44	BO16SN6	YZ	WHI-EJS048	MYH4	5.76
BN16SN6	XZ	CAP-RIO270	MYH5	15.60	BO16SN6	XZ	CAP-RIO270	MYH5	15.47
BN16SN6	XZ	CAP-RIO360	MYH5	10.00	BO16SN6	XZ	CAP-RIO360	MYH5	9.11
BN16SN6	XZ	CHI-TCU046W	MYH5	5.30	BO16SN6	XZ	CHI-TCU046W	MYH5	4.93
BN16SN6	XZ	CHI-TCU061N	MYH5	6.69	BO16SN6	XZ	CHI-TCU061N	MYH5	6.13
BN16SN6	XZ	CHI-TCU74N	MYH5	19.62	BO16SN6	XZ	CHI-TCU74N	MYH5	12.09
BN16SN6	XZ	CHI-TCU112-W	MYH5	5.66	BO16SN6	XZ	CHI-TCU112-W	MYH5	4.83
BN16SN6	XZ	CHI-TCU123-W	MYH5	8.98	BO16SN6	XZ	CHI-TCU123-W	MYH5	11.90
BN16SN6	XZ	CHI-TCU141-E	MYH5	6.96	BO16SN6	XZ	CHI-TCU141-E	MYH5	5.99
BN16SN6	XZ	CHI-WNTN	MYH5	12.93	BO16SN6	XZ	CHI-WNTN	MYH5	12.77
BN16SN6	XZ	COA-Z14000	MYH5	16.18	BO16SN6	XZ	COA-Z14000	MYH5	14.82
BN16SN6	XZ	IMP-AER045	MYH5	12.05	BO16SN6	XZ	IMP-AER045	MYH5	12.27
BN16SN6	XZ	IMP-ELC3-230	MYH5	4.45	BO16SN6	XZ	IMP-ELC3-230	MYH5	3.74
BN16SN6	XZ	IMP-ELC11-230	MYH5	5.94	BO16SN6	XZ	IMP-ELC11-230	MYH5	9.90
BN16SN6	XZ	IMP-ELCD-360	MYH5	10.65	BO16SN6	XZ	IMP-ELCD-360	MYH5	19.12
BN16SN6	XZ	KOC-AMB000	MYH5	10.86	BO16SN6	XZ	KOC-AMB000	MYH5	7.24
BN16SN6	XZ	LAN-CLVTR	MYH5	11.87	BO16SN6	XZ	LAN-CLVTR	MYH5	15.69
BN16SN6	XZ	LAN-JOS090	MYH5	12.38	BO16SN6	XZ	LAN-JOS090	MYH5	14.26
BN16SN6	XZ	LOM-CYC285	MYH5	10.39	BO16SN6	XZ	LOM-CYC285	MYH5	12.64
BN16SN6	XZ	LOM-GOF090	MYH5	10.45	BO16SN6	XZ	LOM-GOF090	MYH5	14.62
BN16SN6	XZ	LOM-HDA165	MYH5	9.89	BO16SN6	XZ	LOM-HDA165	MYH5	8.57
BN16SN6	XZ	LOM-SAR000	MYH5	11.97	BO16SN6	XZ	LOM-SAR000	MYH5	12.80
BN16SN6	XZ	LOM-SAR090	MYH5	10.59	BO16SN6	XZ	LOM-SAR090	MYH5	6.85
BN16SN6	XZ	NOR-KAT000	MYH5	15.22	BO16SN6	XZ	NOR-KAT000	MYH5	16.52
BN16SN6	XZ	NOR-LOS000	MYH5	12.33	BO16SN6	XZ	NOR-LOS000	MYH5	15.89
BN16SN6	XZ	NOR-MU2035	MYH5	9.73	BO16SN6	XZ	NOR-MU2035	MYH5	10.45
BN16SN6	XZ	NOR-STM090	MYH5	11.06	BO16SN6	XZ	NOR-STM090	MYH5	12.38
BN16SN6	XZ	NPAL-MVH135	MYH5	9.67	BO16SN6	XZ	NPAL-MVH135	MYH5	14.75
BN16SN6	XZ	SUP-ELC090	MYH5	6.54	BO16SN6	XZ	SUP-ELC090	MYH5	6.92
BN16SN6	XZ	SUP-PTS315	MYH5	13.15	BO16SN6	XZ	SUP-PTS315	MYH5	17.32
BN16SN6	XZ	SUP-SUP135	MYH5	14.99	BO16SN6	XZ	SUP-SUP135	MYH5	12.16
BN16SN6	YZ	CAP-RIO270	MYH5	12.61	BO16SN6	YZ	CAP-RIO270	MYH5	14.91
BN16SN6	YZ	CAP-RIO360	MYH5	8.24	BO16SN6	YZ	CAP-RIO360	MYH5	8.52
BN16SN6	YZ	CHI-TCU046W	MYH5	3.93	BO16SN6	YZ	CHI-TCU046W	MYH5	3.72
BN16SN6	YZ	CHI-TCU061N	MYH5	5.51	BO16SN6	YZ	CHI-TCU061N	MYH5	4.80
BN16SN6	YZ	CHI-TCU74N	MYH5	16.80	BO16SN6	YZ	CHI-TCU74N	MYH5	11.78
BN16SN6	YZ	CHI-TCU112-W	MYH5	4.05	BO16SN6	YZ	CHI-TCU112-W	MYH5	5.08
BN16SN6	YZ	CHI-TCU123-W	MYH5	7.28	BO16SN6	YZ	CHI-TCU123-W	MYH5	14.78
BN16SN6	YZ	CHI-TCU141-E	MYH5	6.30	BO16SN6	YZ	CHI-TCU141-E	MYH5	5.70
BN16SN6	YZ	CHI-WNTN	MYH5	12.09	BO16SN6	YZ	CHI-WNTN	MYH5	13.11
BN16SN6	YZ	COA-Z14000	MYH5	13.36	BO16SN6	YZ	COA-Z14000	MYH5	15.77
BN16SN6	YZ	IMP-AER045	MYH5	8.80	BO16SN6	YZ	IMP-AER045	MYH5	13.96
BN16SN6	YZ	IMP-ELC3-230	MYH5	4.11	BO16SN6	YZ	IMP-ELC3-230	MYH5	4.45

Tablo C.1 (devam): Mevcut binalara ait yerdeğiştirme talepleri

Bina Adı	Analiz Yönü	İvme Kaydı	MYH Grup No	Δ_d (cm)	Bina Adı	Analiz Yönü	İvme Kaydı	MYH Grup No	Δ_d (cm)
BN16SN6	YZ	IMP-ELC11-230	MYH5	6.74	BO16SN6	YZ	IMP-ELC11-230	MYH5	8.01
BN16SN6	YZ	IMP-ELCD-360	MYH5	9.74	BO16SN6	YZ	IMP-ELCD-360	MYH5	16.87
BN16SN6	YZ	KOC-AMB000	MYH5	9.49	BO16SN6	YZ	KOC-AMB000	MYH5	6.52
BN16SN6	YZ	LAN-CLVTR	MYH5	10.67	BO16SN6	YZ	LAN-CLVTR	MYH5	13.52
BN16SN6	YZ	LAN-JOS090	MYH5	11.14	BO16SN6	YZ	LAN-JOS090	MYH5	13.52
BN16SN6	YZ	LOM-CYC285	MYH5	10.20	BO16SN6	YZ	LOM-CYC285	MYH5	11.18
BN16SN6	YZ	LOM-GOF090	MYH5	8.60	BO16SN6	YZ	LOM-GOF090	MYH5	16.37
BN16SN6	YZ	LOM-HDA165	MYH5	9.14	BO16SN6	YZ	LOM-HDA165	MYH5	10.83
BN16SN6	YZ	LOM-SAR000	MYH5	10.91	BO16SN6	YZ	LOM-SAR000	MYH5	14.95
BN16SN6	YZ	LOM-SAR090	MYH5	7.55	BO16SN6	YZ	LOM-SAR090	MYH5	6.72
BN16SN6	YZ	NOR-KAT000	MYH5	13.52	BO16SN6	YZ	NOR-KAT000	MYH5	10.62
BN16SN6	YZ	NOR-LOS000	MYH5	11.09	BO16SN6	YZ	NOR-LOS000	MYH5	13.98
BN16SN6	YZ	NOR-MU2035	MYH5	12.09	BO16SN6	YZ	NOR-MU2035	MYH5	11.97
BN16SN6	YZ	NOR-STM090	MYH5	10.52	BO16SN6	YZ	NOR-STM090	MYH5	11.76
BN16SN6	YZ	NPAL-MVH135	MYH5	7.01	BO16SN6	YZ	NPAL-MVH135	MYH5	16.71
BN16SN6	YZ	SUP-ELC090	MYH5	4.28	BO16SN6	YZ	SUP-ELC090	MYH5	7.69
BN16SN6	YZ	SUP-PTS315	MYH5	11.22	BO16SN6	YZ	SUP-PTS315	MYH5	18.34
BN16SN6	YZ	SUP-SUP135	MYH5	15.16	BO16SN6	YZ	SUP-SUP135	MYH5	12.99
BN16SN6	XZ	CAP-PET000	MYH6	14.52	BO16SN6	XZ	CAP-PET000	MYH6	14.28
BN16SN6	XZ	CHI-CHY025W	MYH6	9.04	BO16SN6	XZ	CHI-CHY025W	MYH6	10.48
BN16SN6	XZ	CHI-CHY034-N	MYH6	18.19	BO16SN6	XZ	CHI-CHY034-N	MYH6	14.58
BN16SN6	XZ	CHI-TCU038N	MYH6	9.69	BO16SN6	XZ	CHI-TCU038N	MYH6	8.06
BN16SN6	XZ	CHI-TCU038W	MYH6	6.93	BO16SN6	XZ	CHI-TCU038W	MYH6	5.91
BN16SN6	XZ	CHI-TCU048N	MYH6	8.39	BO16SN6	XZ	CHI-TCU048N	MYH6	5.26
BN16SN6	XZ	CHI-TCU49W	MYH6	9.13	BO16SN6	XZ	CHI-TCU49W	MYH6	12.24
BN16SN6	XZ	CHI-TCU51W	MYH6	9.49	BO16SN6	XZ	CHI-TCU51W	MYH6	9.19
BN16SN6	XZ	CHI-TCU95N	MYH6	9.14	BO16SN6	XZ	CHI-TCU95N	MYH6	6.14
BN16SN6	XZ	CHI-TCU104-N	MYH6	4.78	BO16SN6	XZ	CHI-TCU104-N	MYH6	4.61
BN16SN6	XZ	CHI-TCU106-W	MYH6	10.18	BO16SN6	XZ	CHI-TCU106-W	MYH6	7.40
BN16SN6	XZ	CHI-TCU107-N	MYH6	10.43	BO16SN6	XZ	CHI-TCU107-N	MYH6	9.74
BN16SN6	XZ	COY-G06230	MYH6	13.32	BO16SN6	XZ	COY-G06230	MYH6	16.47
BN16SN6	XZ	IMP-E10050	MYH6	5.65	BO16SN6	XZ	IMP-E10050	MYH6	8.21
BN16SN6	XZ	IMP-ELC3-140	MYH6	8.65	BO16SN6	XZ	IMP-ELC3-140	MYH6	9.09
BN16SN6	XZ	IMP-ELC5-140	MYH6	11.34	BO16SN6	XZ	IMP-ELC5-140	MYH6	9.09
BN16SN6	XZ	IMP-ELC7-140	MYH6	15.79	BO16SN6	XZ	IMP-ELC7-140	MYH6	15.82
BN16SN6	XZ	IMP-ELC8-230	MYH6	11.21	BO16SN6	XZ	IMP-ELC8-230	MYH6	9.00
BN16SN6	XZ	IMP-HVP225	MYH6	10.79	BO16SN6	XZ	IMP-HVP225	MYH6	10.94
BN16SN6	XZ	KOC-DZC270	MYH6	14.47	BO16SN6	XZ	KOC-DZC270	MYH6	21.16
BN16SN6	XZ	LOM-BRN090	MYH6	12.47	BO16SN6	XZ	LOM-BRN090	MYH6	11.11
BN16SN6	XZ	LOM-COR090	MYH6	14.06	BO16SN6	XZ	LOM-COR090	MYH6	13.10
BN16SN6	XZ	LOM-G03090	MYH6	12.29	BO16SN6	XZ	LOM-G03090	MYH6	14.00
BN16SN6	XZ	LOM-HCH180	MYH6	15.68	BO16SN6	XZ	LOM-HCH180	MYH6	18.82
BN16SN6	XZ	NAH-S1010	MYH6	13.51	BO16SN6	XZ	NAH-S1010	MYH6	8.50
BN16SN6	XZ	NAH-S1280	MYH6	12.30	BO16SN6	XZ	NAH-S1280	MYH6	7.76
BN16SN6	XZ	NOR-LOS270	MYH6	13.73	BO16SN6	XZ	NOR-LOS270	MYH6	12.00
BN16SN6	XZ	NOR-PAC175	MYH6	7.27	BO16SN6	XZ	NOR-PAC175	MYH6	7.67
BN16SN6	XZ	SUP-ELC000	MYH6	10.21	BO16SN6	XZ	SUP-ELC000	MYH6	13.81
BN16SN6	XZ	WES-WSM090	MYH6	12.83	BO16SN6	XZ	WES-WSM090	MYH6	12.64
BN16SN6	YZ	CAP-PET000	MYH6	13.45	BO16SN6	YZ	CAP-PET000	MYH6	14.59
BN16SN6	YZ	CHI-CHY025W	MYH6	8.07	BO16SN6	YZ	CHI-CHY025W	MYH6	9.24
BN16SN6	YZ	CHI-CHY034-N	MYH6	11.94	BO16SN6	YZ	CHI-CHY034-N	MYH6	12.85
BN16SN6	YZ	CHI-TCU038N	MYH6	6.89	BO16SN6	YZ	CHI-TCU038N	MYH6	7.70
BN16SN6	YZ	CHI-TCU038W	MYH6	6.52	BO16SN6	YZ	CHI-TCU038W	MYH6	6.35
BN16SN6	YZ	CHI-TCU048N	MYH6	5.88	BO16SN6	YZ	CHI-TCU048N	MYH6	4.49
BN16SN6	YZ	CHI-TCU49W	MYH6	6.63	BO16SN6	YZ	CHI-TCU49W	MYH6	10.42
BN16SN6	YZ	CHI-TCU51W	MYH6	6.99	BO16SN6	YZ	CHI-TCU51W	MYH6	8.37
BN16SN6	YZ	CHI-TCU95N	MYH6	6.47	BO16SN6	YZ	CHI-TCU95N	MYH6	5.28
BN16SN6	YZ	CHI-TCU104-N	MYH6	3.36	BO16SN6	YZ	CHI-TCU104-N	MYH6	4.13
BN16SN6	YZ	CHI-TCU106-W	MYH6	6.81	BO16SN6	YZ	CHI-TCU106-W	MYH6	6.94

Tablo C.1 (devam): Mevcut binalara ait yerdeğiştirme talepleri

Bina Adı	Analiz Yönü	İvme Kaydı	MYH Grup No	Δ_d (cm)	Bina Adı	Analiz Yönü	İvme Kaydı	MYH Grup No	Δ_d (cm)
BN16SN6	YZ	CHI-TCU107-N	MYH6	9.46	BO16SN6	YZ	CHI-TCU107-N	MYH6	10.84
BN16SN6	YZ	COY-G06230	MYH6	11.95	BO16SN6	YZ	COY-G06230	MYH6	16.43
BN16SN6	YZ	IMP-E10050	MYH6	4.72	BO16SN6	YZ	IMP-E10050	MYH6	9.43
BN16SN6	YZ	IMP-ELC3-140	MYH6	7.75	BO16SN6	YZ	IMP-ELC3-140	MYH6	10.64
BN16SN6	YZ	IMP-ELC5-140	MYH6	10.36	BO16SN6	YZ	IMP-ELC5-140	MYH6	13.10
BN16SN6	YZ	IMP-ELC7-140	MYH6	14.80	BO16SN6	YZ	IMP-ELC7-140	MYH6	12.97
BN16SN6	YZ	IMP-ELC8-230	MYH6	10.46	BO16SN6	YZ	IMP-ELC8-230	MYH6	8.91
BN16SN6	YZ	IMP-HVP225	MYH6	8.22	BO16SN6	YZ	IMP-HVP225	MYH6	12.06
BN16SN6	YZ	KOC-DZC270	MYH6	10.83	BO16SN6	YZ	KOC-DZC270	MYH6	22.11
BN16SN6	YZ	LOM-BRN090	MYH6	11.61	BO16SN6	YZ	LOM-BRN090	MYH6	10.86
BN16SN6	YZ	LOM-COR090	MYH6	11.65	BO16SN6	YZ	LOM-COR090	MYH6	13.36
BN16SN6	YZ	LOM-G03090	MYH6	10.01	BO16SN6	YZ	LOM-G03090	MYH6	16.21
BN16SN6	YZ	LOM-HCH180	MYH6	13.44	BO16SN6	YZ	LOM-HCH180	MYH6	18.66
BN16SN6	YZ	NAH-S1010	MYH6	12.16	BO16SN6	YZ	NAH-S1010	MYH6	8.59
BN16SN6	YZ	NAH-S1280	MYH6	10.47	BO16SN6	YZ	NAH-S1280	MYH6	8.69
BN16SN6	YZ	NOR-LOS270	MYH6	12.79	BO16SN6	YZ	NOR-LOS270	MYH6	9.48
BN16SN6	YZ	NOR-PAC175	MYH6	7.16	BO16SN6	YZ	NOR-PAC175	MYH6	8.09
BN16SN6	YZ	SUP-ELC000	MYH6	12.07	BO16SN6	YZ	SUP-ELC000	MYH6	13.22
BN16SN6	YZ	WES-WSM090	MYH6	10.37	BO16SN6	YZ	WES-WSM090	MYH6	13.55
BN16SN6	XZ	CHI-CHY002-N	MYH7	6.57	BO16SN6	XZ	CHI-CHY002-N	MYH7	6.38
BN16SN6	XZ	CHI-CHY024W	MYH7	13.29	BO16SN6	XZ	CHI-CHY024W	MYH7	12.33
BN16SN6	XZ	CHI-CHY104-E	MYH7	9.25	BO16SN6	XZ	CHI-CHY104-E	MYH7	10.32
BN16SN6	XZ	CHI-TCU029N	MYH7	8.68	BO16SN6	XZ	CHI-TCU029N	MYH7	7.35
BN16SN6	XZ	CHI-TCU036N	MYH7	9.62	BO16SN6	XZ	CHI-TCU036N	MYH7	7.78
BN16SN6	XZ	CHI-TCU039N	MYH7	7.83	BO16SN6	XZ	CHI-TCU039N	MYH7	7.52
BN16SN6	XZ	CHI-TCU039W	MYH7	9.35	BO16SN6	XZ	CHI-TCU039W	MYH7	11.23
BN16SN6	XZ	CHI-TCU040N	MYH7	6.93	BO16SN6	XZ	CHI-TCU040N	MYH7	5.83
BN16SN6	XZ	CHI-TCU040W	MYH7	6.52	BO16SN6	XZ	CHI-TCU040W	MYH7	6.38
BN16SN6	XZ	CHI-TCU055N	MYH7	10.52	BO16SN6	XZ	CHI-TCU055N	MYH7	9.27
BN16SN6	XZ	CHI-TCU064N	MYH7	6.99	BO16SN6	XZ	CHI-TCU064N	MYH7	9.20
BN16SN6	XZ	CHI-TCU70W	MYH7	11.16	BO16SN6	XZ	CHI-TCU70W	MYH7	9.77
BN16SN6	XZ	CHI-TCU109-N	MYH7	14.00	BO16SN6	XZ	CHI-TCU109-N	MYH7	10.12
BN16SN6	XZ	CHI-TCU109-W	MYH7	8.44	BO16SN6	XZ	CHI-TCU109-W	MYH7	8.71
BN16SN6	XZ	CHI-TCU115-W	MYH7	5.11	BO16SN6	XZ	CHI-TCU115-W	MYH7	4.17
BN16SN6	XZ	CHI-TCU117-N	MYH7	8.16	BO16SN6	XZ	CHI-TCU117-N	MYH7	9.09
BN16SN6	XZ	IMP-ELC8-140	MYH7	11.10	BO16SN6	XZ	IMP-ELC8-140	MYH7	11.19
BN16SN6	XZ	IMP-HVP315	MYH7	7.21	BO16SN6	XZ	IMP-HVP315	MYH7	8.38
BN16SN6	XZ	IRP-STU270	MYH7	12.46	BO16SN6	XZ	IRP-STU270	MYH7	17.86
BN16SN6	XZ	KOC-GBZ000	MYH7	7.56	BO16SN6	XZ	KOC-GBZ000	MYH7	8.32
BN16SN6	XZ	LAN-YER270	MYH7	11.39	BO16SN6	XZ	LAN-YER270	MYH7	11.51
BN16SN6	XZ	LOM-A02043	MYH7	17.49	BO16SN6	XZ	LOM-A02043	MYH7	16.34
BN16SN6	XZ	LOM-BRN000	MYH7	20.75	BO16SN6	XZ	LOM-BRN000	MYH7	12.64
BN16SN6	XZ	LOM-LGP090	MYH7	14.38	BO16SN6	XZ	LOM-LGP090	MYH7	17.60
BN16SN6	XZ	MOR-CYC195	MYH7	17.71	BO16SN6	XZ	MOR-CYC195	MYH7	11.66
BN16SN6	XZ	NOR-LDM334	MYH7	14.61	BO16SN6	XZ	NOR-LDM334	MYH7	14.86
BN16SN6	XZ	NOR-ORR090	MYH7	15.38	BO16SN6	XZ	NOR-ORR090	MYH7	14.26
BN16SN6	XZ	NOR-ORR360	MYH7	20.71	BO16SN6	XZ	NOR-ORR360	MYH7	21.64
BN16SN6	XZ	NOR-PKC360	MYH7	14.16	BO16SN6	XZ	NOR-PKC360	MYH7	9.88
BN16SN6	XZ	SFD-PCD254	MYH7	18.42	BO16SN6	XZ	SFD-PCD254	MYH7	12.25
BN16SN6	YZ	CHI-CHY002-N	MYH7	5.00	BO16SN6	YZ	CHI-CHY002-N	MYH7	5.63
BN16SN6	YZ	CHI-CHY024W	MYH7	7.57	BO16SN6	YZ	CHI-CHY024W	MYH7	16.37
BN16SN6	YZ	CHI-CHY104-E	MYH7	7.46	BO16SN6	YZ	CHI-CHY104-E	MYH7	11.33
BN16SN6	YZ	CHI-TCU029N	MYH7	7.15	BO16SN6	YZ	CHI-TCU029N	MYH7	7.32
BN16SN6	YZ	CHI-TCU036N	MYH7	6.02	BO16SN6	YZ	CHI-TCU036N	MYH7	7.12
BN16SN6	YZ	CHI-TCU039N	MYH7	6.81	BO16SN6	YZ	CHI-TCU039N	MYH7	7.49
BN16SN6	YZ	CHI-TCU039W	MYH7	5.41	BO16SN6	YZ	CHI-TCU039W	MYH7	11.17
BN16SN6	YZ	CHI-TCU040N	MYH7	5.05	BO16SN6	YZ	CHI-TCU040N	MYH7	5.36
BN16SN6	YZ	CHI-TCU040W	MYH7	6.05	BO16SN6	YZ	CHI-TCU040W	MYH7	5.74
BN16SN6	YZ	CHI-TCU055N	MYH7	7.59	BO16SN6	YZ	CHI-TCU055N	MYH7	8.44

Tablo C.1 (devam): Mevcut binalara ait yerdeğiştirme talepleri

Bina Adı	Analiz Yönü	İvme Kaydı	MYH Grup No	Δ_d (cm)	Bina Adı	Analiz Yönü	İvme Kaydı	MYH Grup No	Δ_d (cm)
BN16SN6	YZ	CHI-TCU064N	MYH7	6.54	BO16SN6	YZ	CHI-TCU064N	MYH7	8.24
BN16SN6	YZ	CHI-TCU70W	MYH7	8.96	BO16SN6	YZ	CHI-TCU70W	MYH7	9.57
BN16SN6	YZ	CHI-TCU109-N	MYH7	9.50	BO16SN6	YZ	CHI-TCU109-N	MYH7	12.93
BN16SN6	YZ	CHI-TCU109-W	MYH7	8.00	BO16SN6	YZ	CHI-TCU109-W	MYH7	8.78
BN16SN6	YZ	CHI-TCU115-W	MYH7	4.65	BO16SN6	YZ	CHI-TCU115-W	MYH7	3.95
BN16SN6	YZ	CHI-TCU117-N	MYH7	5.89	BO16SN6	YZ	CHI-TCU117-N	MYH7	8.22
BN16SN6	YZ	IMP-ELC8-140	MYH7	9.93	BO16SN6	YZ	IMP-ELC8-140	MYH7	12.84
BN16SN6	YZ	IMP-HVP315	MYH7	5.19	BO16SN6	YZ	IMP-HVP315	MYH7	8.76
BN16SN6	YZ	IRP-STU270	MYH7	10.17	BO16SN6	YZ	IRP-STU270	MYH7	19.78
BN16SN6	YZ	KOC-GBZ000	MYH7	8.08	BO16SN6	YZ	KOC-GBZ000	MYH7	8.91
BN16SN6	YZ	LAN-YER270	MYH7	8.45	BO16SN6	YZ	LAN-YER270	MYH7	17.00
BN16SN6	YZ	LOM-A02043	MYH7	17.26	BO16SN6	YZ	LOM-A02043	MYH7	16.09
BN16SN6	YZ	LOM-BRN000	MYH7	19.75	BO16SN6	YZ	LOM-BRN000	MYH7	14.79
BN16SN6	YZ	LOM-LGP090	MYH7	15.16	BO16SN6	YZ	LOM-LGP090	MYH7	16.39
BN16SN6	YZ	MOR-CYC195	MYH7	18.04	BO16SN6	YZ	MOR-CYC195	MYH7	11.85
BN16SN6	YZ	NOR-LDM334	MYH7	13.58	BO16SN6	YZ	NOR-LDM334	MYH7	14.28
BN16SN6	YZ	NOR-ORR090	MYH7	14.80	BO16SN6	YZ	NOR-ORR090	MYH7	16.37
BN16SN6	YZ	NOR-ORR360	MYH7	19.02	BO16SN6	YZ	NOR-ORR360	MYH7	19.09
BN16SN6	YZ	NOR-PKC360	MYH7	13.91	BO16SN6	YZ	NOR-PKC360	MYH7	11.11
BN16SN6	YZ	SFD-PCD254	MYH7	14.15	BO16SN6	YZ	SFD-PCD254	MYH7	13.11
BN16SN6	XZ	CAP-RIO270	MYH8	22.40	BO16SN6	XZ	CAP-RIO270	MYH8	18.86
BN16SN6	XZ	CAP-RIO360	MYH8	11.66	BO16SN6	XZ	CAP-RIO360	MYH8	12.30
BN16SN6	XZ	CHI-CHY006-E	MYH8	14.67	BO16SN6	XZ	CHI-CHY006-E	MYH8	16.61
BN16SN6	XZ	CHI-CHY092-E	MYH8	7.80	BO16SN6	XZ	CHI-CHY092-E	MYH8	7.71
BN16SN6	XZ	CHI-CHY104-N	MYH8	10.58	BO16SN6	XZ	CHI-CHY104-N	MYH8	8.18
BN16SN6	XZ	CHI-TCU054W	MYH8	9.02	BO16SN6	XZ	CHI-TCU054W	MYH8	7.38
BN16SN6	XZ	CHI-TCU059N	MYH8	11.11	BO16SN6	XZ	CHI-TCU059N	MYH8	13.62
BN16SN6	XZ	CHI-TCU059W	MYH8	11.55	BO16SN6	XZ	CHI-TCU059W	MYH8	11.49
BN16SN6	XZ	CHI-TCU063W	MYH8	11.67	BO16SN6	XZ	CHI-TCU063W	MYH8	8.17
BN16SN6	XZ	CHI-TCU072N	MYH8	15.27	BO16SN6	XZ	CHI-TCU072N	MYH8	15.73
BN16SN6	XZ	CHI-TCU82W	MYH8	9.26	BO16SN6	XZ	CHI-TCU82W	MYH8	6.97
BN16SN6	XZ	CHI-TCU110-N	MYH8	11.48	BO16SN6	XZ	CHI-TCU110-N	MYH8	20.07
BN16SN6	XZ	CHI-TCU111-W	MYH8	9.64	BO16SN6	XZ	CHI-TCU111-W	MYH8	10.02
BN16SN6	XZ	CHI-TCU117-W	MYH8	7.66	BO16SN6	XZ	CHI-TCU117-W	MYH8	6.52
BN16SN6	XZ	CHI-TCU136-E	MYH8	12.15	BO16SN6	XZ	CHI-TCU136-E	MYH8	7.92
BN16SN6	XZ	DZC-BOL000	MYH8	14.35	BO16SN6	XZ	DZC-BOL000	MYH8	16.56
BN16SN6	XZ	IMP-ELC3-140	MYH8	10.63	BO16SN6	XZ	IMP-ELC3-140	MYH8	10.71
BN16SN6	XZ	IMP-ELC3-230	MYH8	6.30	BO16SN6	XZ	IMP-ELC3-230	MYH8	6.78
BN16SN6	XZ	IRP-STU270	MYH8	13.41	BO16SN6	XZ	IRP-STU270	MYH8	20.21
BN16SN6	XZ	KOC-DZC180	MYH8	13.45	BO16SN6	XZ	KOC-DZC180	MYH8	13.32
BN16SN6	XZ	KOC-DZC270	MYH8	17.57	BO16SN6	XZ	KOC-DZC270	MYH8	24.85
BN16SN6	XZ	KOC-GBZ000	MYH8	8.93	BO16SN6	XZ	KOC-GBZ000	MYH8	9.64
BN16SN6	XZ	LAN-CLVTR	MYH8	17.10	BO16SN6	XZ	LAN-CLVTR	MYH8	19.63
BN16SN6	XZ	LAN-YER270	MYH8	12.11	BO16SN6	XZ	LAN-YER270	MYH8	15.44
BN16SN6	XZ	LOM-COR000	MYH8	12.69	BO16SN6	XZ	LOM-COR000	MYH8	11.97
BN16SN6	XZ	NOR-MUL009	MYH8	22.11	BO16SN6	XZ	NOR-MUL009	MYH8	21.17
BN16SN6	XZ	NOR-PUL104	MYH8	15.46	BO16SN6	XZ	NOR-PUL104	MYH8	12.42
BN16SN6	XZ	NPAL-MVH135	MYH8	14.39	BO16SN6	XZ	NPAL-MVH135	MYH8	25.16
BN16SN6	XZ	SUP-ELC000	MYH8	13.11	BO16SN6	XZ	SUP-ELC000	MYH8	14.34
BN16SN6	XZ	SUP-ELC090	MYH8	8.83	BO16SN6	XZ	SUP-ELC090	MYH8	14.20
BN16SN6	YZ	CAP-RIO270	MYH8	16.74	BO16SN6	YZ	CAP-RIO270	MYH8	18.06
BN16SN6	YZ	CAP-RIO360	MYH8	10.85	BO16SN6	YZ	CAP-RIO360	MYH8	11.43
BN16SN6	YZ	CHI-CHY006-E	MYH8	12.42	BO16SN6	YZ	CHI-CHY006-E	MYH8	16.44
BN16SN6	YZ	CHI-CHY092-E	MYH8	7.00	BO16SN6	YZ	CHI-CHY092-E	MYH8	7.00
BN16SN6	YZ	CHI-CHY104-N	MYH8	11.62	BO16SN6	YZ	CHI-CHY104-N	MYH8	8.81
BN16SN6	YZ	CHI-TCU054W	MYH8	7.09	BO16SN6	YZ	CHI-TCU054W	MYH8	7.21
BN16SN6	YZ	CHI-TCU059N	MYH8	7.78	BO16SN6	YZ	CHI-TCU059N	MYH8	13.68
BN16SN6	YZ	CHI-TCU059W	MYH8	7.03	BO16SN6	YZ	CHI-TCU059W	MYH8	9.35
BN16SN6	YZ	CHI-TCU063W	MYH8	10.50	BO16SN6	YZ	CHI-TCU063W	MYH8	9.43

Tablo C.1 (devam): Mevcut binalara ait yerdeğiştirme talepleri

Bina Adı	Analiz Yönü	İvme Kaydı	MYH Grup No	Δ_d (cm)	Bina Adı	Analiz Yönü	İvme Kaydı	MYH Grup No	Δ_d (cm)
BN16SN6	YZ	CHI-TCU072N	MYH8	16.87	BO16SN6	YZ	CHI-TCU072N	MYH8	16.58
BN16SN6	YZ	CHI-TCU82W	MYH8	7.11	BO16SN6	YZ	CHI-TCU82W	MYH8	8.11
BN16SN6	YZ	CHI-TCU110-N	MYH8	9.77	BO16SN6	YZ	CHI-TCU110-N	MYH8	14.48
BN16SN6	YZ	CHI-TCU111-W	MYH8	8.21	BO16SN6	YZ	CHI-TCU111-W	MYH8	9.94
BN16SN6	YZ	CHI-TCU117-W	MYH8	6.38	BO16SN6	YZ	CHI-TCU117-W	MYH8	8.16
BN16SN6	YZ	CHI-TCU136-E	MYH8	10.32	BO16SN6	YZ	CHI-TCU136-E	MYH8	8.20
BN16SN6	YZ	DZC-BOL000	MYH8	13.07	BO16SN6	YZ	DZC-BOL000	MYH8	16.10
BN16SN6	YZ	IMP-ELC3-140	MYH8	9.25	BO16SN6	YZ	IMP-ELC3-140	MYH8	12.59
BN16SN6	YZ	IMP-ELC3-230	MYH8	5.84	BO16SN6	YZ	IMP-ELC3-230	MYH8	8.08
BN16SN6	YZ	IRP-STU270	MYH8	11.47	BO16SN6	YZ	IRP-STU270	MYH8	22.71
BN16SN6	YZ	KOC-DZC180	MYH8	10.70	BO16SN6	YZ	KOC-DZC180	MYH8	12.22
BN16SN6	YZ	KOC-DZC270	MYH8	14.00	BO16SN6	YZ	KOC-DZC270	MYH8	25.64
BN16SN6	YZ	KOC-GBZ000	MYH8	9.31	BO16SN6	YZ	KOC-GBZ000	MYH8	10.36
BN16SN6	YZ	LAN-CLVTR	MYH8	16.19	BO16SN6	YZ	LAN-CLVTR	MYH8	16.32
BN16SN6	YZ	LAN-YER270	MYH8	8.74	BO16SN6	YZ	LAN-YER270	MYH8	21.47
BN16SN6	YZ	LOM-COR000	MYH8	12.01	BO16SN6	YZ	LOM-COR000	MYH8	14.01
BN16SN6	YZ	NOR-MUL009	MYH8	17.69	BO16SN6	YZ	NOR-MUL009	MYH8	21.64
BN16SN6	YZ	NOR-PUL104	MYH8	13.64	BO16SN6	YZ	NOR-PUL104	MYH8	10.18
BN16SN6	YZ	NPAL-MVH135	MYH8	10.94	BO16SN6	YZ	NPAL-MVH135	MYH8	28.67
BN16SN6	YZ	SUP-ELC000	MYH8	15.59	BO16SN6	YZ	SUP-ELC000	MYH8	13.18
BN16SN6	YZ	SUP-ELC090	MYH8	6.09	BO16SN6	YZ	SUP-ELC090	MYH8	18.46
BN16SN6	XZ	CHI-TCU036W	MYH9	6.27	BO16SN6	XZ	CHI-TCU036W	MYH9	6.64
BN16SN6	XZ	CHI-TCU49N	MYH9	10.18	BO16SN6	XZ	CHI-TCU49N	MYH9	9.25
BN16SN6	XZ	CHI-TCU70N	MYH9	9.20	BO16SN6	XZ	CHI-TCU70N	MYH9	12.42
BN16SN6	XZ	CHI-TCU76N	MYH9	16.18	BO16SN6	XZ	CHI-TCU76N	MYH9	21.34
BN16SN6	XZ	CHI-TCU76W	MYH9	11.78	BO16SN6	XZ	CHI-TCU76W	MYH9	8.59
BN16SN6	XZ	CHI-TCU079-W	MYH9	18.09	BO16SN6	XZ	CHI-TCU079-W	MYH9	25.75
BN16SN6	XZ	CHI-TCU95W	MYH9	10.78	BO16SN6	XZ	CHI-TCU95W	MYH9	10.64
BN16SN6	XZ	CHI-TCU103-W	MYH9	9.41	BO16SN6	XZ	CHI-TCU103-W	MYH9	10.19
BN16SN6	XZ	CHI-TCU120-W	MYH9	15.63	BO16SN6	XZ	CHI-TCU120-W	MYH9	18.96
BN16SN6	XZ	CHI-TCU129-W	MYH9	17.63	BO16SN6	XZ	CHI-TCU129-W	MYH9	19.01
BN16SN6	XZ	COA-PLE045	MYH9	18.20	BO16SN6	XZ	COA-PLE045	MYH9	19.84
BN16SN6	XZ	DZC-BOL000	MYH9	16.26	BO16SN6	XZ	DZC-BOL000	MYH9	18.33
BN16SN6	XZ	DZC-BOL090	MYH9	19.75	BO16SN6	XZ	DZC-BOL090	MYH9	16.51
BN16SN6	XZ	DZC-DZC180	MYH9	12.48	BO16SN6	XZ	DZC-DZC180	MYH9	13.65
BN16SN6	XZ	ERZ-ERZEW	MYH9	19.51	BO16SN6	XZ	ERZ-ERZEW	MYH9	18.49
BN16SN6	XZ	IMP-ELC3-140	MYH9	11.54	BO16SN6	XZ	IMP-ELC3-140	MYH9	11.52
BN16SN6	XZ	IMP-HVP315	MYH9	9.07	BO16SN6	XZ	IMP-HVP315	MYH9	10.55
BN16SN6	XZ	IRP-STU270	MYH9	14.49	BO16SN6	XZ	IRP-STU270	MYH9	23.42
BN16SN6	XZ	KOC-DZC180	MYH9	13.67	BO16SN6	XZ	KOC-DZC180	MYH9	14.97
BN16SN6	XZ	KOC-GBZ000	MYH9	9.81	BO16SN6	XZ	KOC-GBZ000	MYH9	10.50
BN16SN6	XZ	KOC-YAR330	MYH9	11.63	BO16SN6	XZ	KOC-YAR330	MYH9	16.41
BN16SN6	XZ	LAN-YER270	MYH9	12.65	BO16SN6	XZ	LAN-YER270	MYH9	18.96
BN16SN6	XZ	LOM-BRN000	MYH9	24.92	BO16SN6	XZ	LOM-BRN000	MYH9	15.05
BN16SN6	XZ	LOM-HSP000	MYH9	20.37	BO16SN6	XZ	LOM-HSP000	MYH9	21.79
BN16SN6	XZ	LOM-WVC270	MYH9	19.55	BO16SN6	XZ	LOM-WVC270	MYH9	22.02
BN16SN6	XZ	NOR-CNP196	MYH9	11.77	BO16SN6	XZ	NOR-CNP196	MYH9	13.24
BN16SN6	XZ	NOR-LDM064	MYH9	20.85	BO16SN6	XZ	NOR-LDM064	MYH9	16.86
BN16SN6	XZ	NOR-MUL279	MYH9	22.66	BO16SN6	XZ	NOR-MUL279	MYH9	22.26
BN16SN6	XZ	NOR-SAT180	MYH9	17.58	BO16SN6	XZ	NOR-SAT180	MYH9	24.70
BN16SN6	XZ	SUP-ELC000	MYH9	14.57	BO16SN6	XZ	SUP-ELC000	MYH9	13.68
BN16SN6	YZ	CHI-TCU036W	MYH9	8.01	BO16SN6	YZ	CHI-TCU036W	MYH9	7.08
BN16SN6	YZ	CHI-TCU49N	MYH9	9.11	BO16SN6	YZ	CHI-TCU49N	MYH9	10.64
BN16SN6	YZ	CHI-TCU70N	MYH9	7.66	BO16SN6	YZ	CHI-TCU70N	MYH9	10.75
BN16SN6	YZ	CHI-TCU76N	MYH9	17.79	BO16SN6	YZ	CHI-TCU76N	MYH9	23.02
BN16SN6	YZ	CHI-TCU76W	MYH9	9.12	BO16SN6	YZ	CHI-TCU76W	MYH9	8.84
BN16SN6	YZ	CHI-TCU079-W	MYH9	15.43	BO16SN6	YZ	CHI-TCU079-W	MYH9	23.38
BN16SN6	YZ	CHI-TCU95W	MYH9	10.16	BO16SN6	YZ	CHI-TCU95W	MYH9	9.54
BN16SN6	YZ	CHI-TCU103-W	MYH9	6.52	BO16SN6	YZ	CHI-TCU103-W	MYH9	7.10

Tablo C.1 (devam): Mevcut binalara ait yerdeğiştirme talepleri

Bina Adı	Analiz Yönü	İvme Kaydı	MYH Grup No	Δ_d (cm)	Bina Adı	Analiz Yönü	İvme Kaydı	MYH Grup No	Δ_d (cm)
BN16SN6	YZ	CHI-TCU120-W	MYH9	8.33	BO16SN6	YZ	CHI-TCU120-W	MYH9	23.26
BN16SN6	YZ	CHI-TCU129-W	MYH9	14.47	BO16SN6	YZ	CHI-TCU129-W	MYH9	22.33
BN16SN6	YZ	COA-PLE045	MYH9	13.55	BO16SN6	YZ	COA-PLE045	MYH9	17.04
BN16SN6	YZ	DZC-BOL000	MYH9	14.95	BO16SN6	YZ	DZC-BOL000	MYH9	17.72
BN16SN6	YZ	DZC-BOL090	MYH9	22.54	BO16SN6	YZ	DZC-BOL090	MYH9	15.83
BN16SN6	YZ	DZC-DZC180	MYH9	10.29	BO16SN6	YZ	DZC-DZC180	MYH9	10.98
BN16SN6	YZ	ERZ-ERZEW	MYH9	17.36	BO16SN6	YZ	ERZ-ERZEW	MYH9	18.33
BN16SN6	YZ	IMP-ELC3-140	MYH9	10.10	BO16SN6	YZ	IMP-ELC3-140	MYH9	13.11
BN16SN6	YZ	IMP-HVP315	MYH9	6.52	BO16SN6	YZ	IMP-HVP315	MYH9	12.36
BN16SN6	YZ	IRP-STU270	MYH9	13.04	BO16SN6	YZ	IRP-STU270	MYH9	25.95
BN16SN6	YZ	KOC-DZC180	MYH9	11.20	BO16SN6	YZ	KOC-DZC180	MYH9	13.40
BN16SN6	YZ	KOC-GBZ000	MYH9	10.10	BO16SN6	YZ	KOC-GBZ000	MYH9	11.40
BN16SN6	YZ	KOC-YAR330	MYH9	10.54	BO16SN6	YZ	KOC-YAR330	MYH9	18.04
BN16SN6	YZ	LAN-YER270	MYH9	9.46	BO16SN6	YZ	LAN-YER270	MYH9	24.78
BN16SN6	YZ	LOM-BRN000	MYH9	23.32	BO16SN6	YZ	LOM-BRN000	MYH9	17.67
BN16SN6	YZ	LOM-HSP000	MYH9	16.94	BO16SN6	YZ	LOM-HSP000	MYH9	25.65
BN16SN6	YZ	LOM-WVC270	MYH9	13.84	BO16SN6	YZ	LOM-WVC270	MYH9	18.90
BN16SN6	YZ	NOR-CNP196	MYH9	11.46	BO16SN6	YZ	NOR-CNP196	MYH9	16.11
BN16SN6	YZ	NOR-LDM064	MYH9	19.82	BO16SN6	YZ	NOR-LDM064	MYH9	22.38
BN16SN6	YZ	NOR-MUL279	MYH9	21.96	BO16SN6	YZ	NOR-MUL279	MYH9	23.42
BN16SN6	YZ	NOR-SAT180	MYH9	15.50	BO16SN6	YZ	NOR-SAT180	MYH9	25.61
BN16SN6	YZ	SUP-ELC000	MYH9	17.20	BO16SN6	YZ	SUP-ELC000	MYH9	13.08
BN16SN6	XZ	CHI-CHY28N	MYH10	18.27	BO16SN6	XZ	CHI-CHY28N	MYH10	18.04
BN16SN6	XZ	CHI-TCU067N	MYH10	17.27	BO16SN6	XZ	CHI-TCU067N	MYH10	15.15
BN16SN6	XZ	CHI-TCU071N	MYH10	16.93	BO16SN6	XZ	CHI-TCU071N	MYH10	13.48
BN16SN6	XZ	CHI-TCU101-W	MYH10	8.57	BO16SN6	XZ	CHI-TCU101-W	MYH10	14.96
BN16SN6	XZ	CHI-TCU110-W	MYH10	12.43	BO16SN6	XZ	CHI-TCU110-W	MYH10	13.54
BN16SN6	XZ	CHI-TCU128-N	MYH10	9.39	BO16SN6	XZ	CHI-TCU128-N	MYH10	6.28
BN16SN6	XZ	CHI-WGK-E	MYH10	11.43	BO16SN6	XZ	CHI-WGK-E	MYH10	11.40
BN16SN6	XZ	CHI-WNTE	MYH10	14.10	BO16SN6	XZ	CHI-WNTE	MYH10	13.67
BN16SN6	XZ	DZC-BOL000	MYH10	17.94	BO16SN6	XZ	DZC-BOL000	MYH10	19.71
BN16SN6	XZ	DZC-BOL090	MYH10	20.31	BO16SN6	XZ	DZC-BOL090	MYH10	17.72
BN16SN6	XZ	GAZ-KAR000	MYH10	15.68	BO16SN6	XZ	GAZ-KAR000	MYH10	20.32
BN16SN6	XZ	IMP-ECC092	MYH10	11.13	BO16SN6	XZ	IMP-ECC092	MYH10	13.33
BN16SN6	XZ	IMP-ELC3-140	MYH10	12.47	BO16SN6	XZ	IMP-ELC3-140	MYH10	12.14
BN16SN6	XZ	IMP-ELC6-140	MYH10	12.83	BO16SN6	XZ	IMP-ELC6-140	MYH10	15.81
BN16SN6	XZ	IRP-STU270	MYH10	15.82	BO16SN6	XZ	IRP-STU270	MYH10	27.12
BN16SN6	XZ	KOB-TAK000	MYH10	18.57	BO16SN6	XZ	KOB-TAK000	MYH10	16.96
BN16SN6	XZ	KOC-DZC180	MYH10	13.76	BO16SN6	XZ	KOC-DZC180	MYH10	17.20
BN16SN6	XZ	KOC-GBZ000	MYH10	10.65	BO16SN6	XZ	KOC-GBZ000	MYH10	11.33
BN16SN6	XZ	KOC-YAR060	MYH10	9.71	BO16SN6	XZ	KOC-YAR060	MYH10	15.33
BN16SN6	XZ	LAN-YER270	MYH10	13.17	BO16SN6	XZ	LAN-YER270	MYH10	23.15
BN16SN6	XZ	LOM-BRN000	MYH10	26.77	BO16SN6	XZ	LOM-BRN000	MYH10	15.94
BN16SN6	XZ	LOM-G03090	MYH10	21.50	BO16SN6	XZ	LOM-G03090	MYH10	23.96
BN16SN6	XZ	LOM-HSP000	MYH10	21.99	BO16SN6	XZ	LOM-HSP000	MYH10	24.17
BN16SN6	XZ	NOR-CNP196	MYH10	12.77	BO16SN6	XZ	NOR-CNP196	MYH10	15.56
BN16SN6	XZ	NOR-MUL009	MYH10	25.41	BO16SN6	XZ	NOR-MUL009	MYH10	24.60
BN16SN6	XZ	NOR-MUL279	MYH10	24.98	BO16SN6	XZ	NOR-MUL279	MYH10	23.78
BN16SN6	XZ	NOR-ORR090	MYH10	19.22	BO16SN6	XZ	NOR-ORR090	MYH10	20.55
BN16SN6	XZ	NOR-ORR360	MYH10	27.00	BO16SN6	XZ	NOR-ORR360	MYH10	26.96
BN16SN6	XZ	NOR-SAT180	MYH10	20.12	BO16SN6	XZ	NOR-SAT180	MYH10	27.21
BN16SN6	XZ	NOR-WPI316	MYH10	18.79	BO16SN6	XZ	NOR-WPI316	MYH10	14.10
BN16SN6	YZ	CHI-CHY28N	MYH10	19.17	BO16SN6	YZ	CHI-CHY28N	MYH10	19.08
BN16SN6	YZ	CHI-TCU067N	MYH10	12.21	BO16SN6	YZ	CHI-TCU067N	MYH10	16.22
BN16SN6	YZ	CHI-TCU071N	MYH10	15.13	BO16SN6	YZ	CHI-TCU071N	MYH10	15.21
BN16SN6	YZ	CHI-TCU101-W	MYH10	7.66	BO16SN6	YZ	CHI-TCU101-W	MYH10	16.41
BN16SN6	YZ	CHI-TCU110-W	MYH10	9.39	BO16SN6	YZ	CHI-TCU110-W	MYH10	16.06
BN16SN6	YZ	CHI-TCU128-N	MYH10	7.11	BO16SN6	YZ	CHI-TCU128-N	MYH10	10.70
BN16SN6	YZ	CHI-WGK-E	MYH10	10.31	BO16SN6	YZ	CHI-WGK-E	MYH10	9.19

Tablo C.1 (devam): Mevcut binalara ait yerdeğiştirme talepleri

Bina Adı	Analiz Yönü	İvme Kaydı	MYH Grup No	Δ_d (cm)	Bina Adı	Analiz Yönü	İvme Kaydı	MYH Grup No	Δ_d (cm)
BN16SN6	YZ	CHI-WNTE	MYH10	10.63	BO16SN6	YZ	CHI-WNTE	MYH10	14.12
BN16SN6	YZ	DZC-BOL000	MYH10	16.57	BO16SN6	YZ	DZC-BOL000	MYH10	19.00
BN16SN6	YZ	DZC-BOL090	MYH10	23.48	BO16SN6	YZ	DZC-BOL090	MYH10	17.21
BN16SN6	YZ	GAZ-KAR000	MYH10	13.03	BO16SN6	YZ	GAZ-KAR000	MYH10	17.68
BN16SN6	YZ	IMP-ECC092	MYH10	9.19	BO16SN6	YZ	IMP-ECC092	MYH10	13.53
BN16SN6	YZ	IMP-ELC3-140	MYH10	11.04	BO16SN6	YZ	IMP-ELC3-140	MYH10	14.45
BN16SN6	YZ	IMP-ELC6-140	MYH10	11.57	BO16SN6	YZ	IMP-ELC6-140	MYH10	17.45
BN16SN6	YZ	IRP-STU270	MYH10	14.82	BO16SN6	YZ	IRP-STU270	MYH10	29.35
BN16SN6	YZ	KOB-TAK000	MYH10	17.69	BO16SN6	YZ	KOB-TAK000	MYH10	19.50
BN16SN6	YZ	KOC-DZC180	MYH10	11.78	BO16SN6	YZ	KOC-DZC180	MYH10	14.96
BN16SN6	YZ	KOC-GBZ000	MYH10	10.86	BO16SN6	YZ	KOC-GBZ000	MYH10	12.46
BN16SN6	YZ	KOC-YAR060	MYH10	9.99	BO16SN6	YZ	KOC-YAR060	MYH10	13.09
BN16SN6	YZ	LAN-YER270	MYH10	10.17	BO16SN6	YZ	LAN-YER270	MYH10	27.61
BN16SN6	YZ	LOM-BRN000	MYH10	24.89	BO16SN6	YZ	LOM-BRN000	MYH10	18.90
BN16SN6	YZ	LOM-G03090	MYH10	15.97	BO16SN6	YZ	LOM-G03090	MYH10	26.72
BN16SN6	YZ	LOM-HSP000	MYH10	18.09	BO16SN6	YZ	LOM-HSP000	MYH10	28.63
BN16SN6	YZ	NOR-CNP196	MYH10	12.24	BO16SN6	YZ	NOR-CNP196	MYH10	19.94
BN16SN6	YZ	NOR-MUL009	MYH10	20.04	BO16SN6	YZ	NOR-MUL009	MYH10	25.23
BN16SN6	YZ	NOR-MUL279	MYH10	23.88	BO16SN6	YZ	NOR-MUL279	MYH10	24.57
BN16SN6	YZ	NOR-ORR090	MYH10	17.65	BO16SN6	YZ	NOR-ORR090	MYH10	21.22
BN16SN6	YZ	NOR-ORR360	MYH10	24.78	BO16SN6	YZ	NOR-ORR360	MYH10	26.10
BN16SN6	YZ	NOR-SAT180	MYH10	17.31	BO16SN6	YZ	NOR-SAT180	MYH10	28.26
BN16SN6	YZ	NOR-WPI316	MYH10	13.01	BO16SN6	YZ	NOR-WPI316	MYH10	16.07
BN16SN6	XZ	CHI-CHY28W	MYH11	22.37	BO16SN6	XZ	CHI-CHY28W	MYH11	17.38
BN16SN6	XZ	CHI-CHY101W	MYH11	14.45	BO16SN6	XZ	CHI-CHY101W	MYH11	13.39
BN16SN6	XZ	CHI-TCU063N	MYH11	10.35	BO16SN6	XZ	CHI-TCU063N	MYH11	8.55
BN16SN6	XZ	CHI-TCU072W	MYH11	16.03	BO16SN6	XZ	CHI-TCU072W	MYH11	17.04
BN16SN6	XZ	CHI-TCU74W	MYH11	24.72	BO16SN6	XZ	CHI-TCU74W	MYH11	23.46
BN16SN6	XZ	CHI-TCU128-W	MYH11	7.41	BO16SN6	XZ	CHI-TCU128-W	MYH11	9.69
BN16SN6	XZ	CHI-WGK-N	MYH11	25.81	BO16SN6	XZ	CHI-WGK-N	MYH11	28.08
BN16SN6	XZ	COA-PLE045	MYH11	23.02	BO16SN6	XZ	COA-PLE045	MYH11	23.36
BN16SN6	XZ	DZC-BOL000	MYH11	19.60	BO16SN6	XZ	DZC-BOL000	MYH11	21.10
BN16SN6	XZ	DZC-BOL090	MYH11	20.84	BO16SN6	XZ	DZC-BOL090	MYH11	18.79
BN16SN6	XZ	DZC-DZC180	MYH11	13.60	BO16SN6	XZ	DZC-DZC180	MYH11	18.36
BN16SN6	XZ	GAZ-KAR000	MYH11	16.87	BO16SN6	XZ	GAZ-KAR000	MYH11	22.94
BN16SN6	XZ	GAZ-KAR090	MYH11	12.13	BO16SN6	XZ	GAZ-KAR090	MYH11	13.75
BN16SN6	XZ	IMP-ECC092	MYH11	11.57	BO16SN6	XZ	IMP-ECC092	MYH11	14.32
BN16SN6	XZ	IMP-ECM000	MYH11	12.67	BO16SN6	XZ	IMP-ECM000	MYH11	13.82
BN16SN6	XZ	IMP-ELCD-270	MYH11	8.15	BO16SN6	XZ	IMP-ELCD-270	MYH11	9.82
BN16SN6	XZ	IRP-STU270	MYH11	17.86	BO16SN6	XZ	IRP-STU270	MYH11	29.90
BN16SN6	XZ	KOB-KJM090	MYH11	20.33	BO16SN6	XZ	KOB-KJM090	MYH11	23.52
BN16SN6	XZ	KOC-DZC180	MYH11	13.58	BO16SN6	XZ	KOC-DZC180	MYH11	19.35
BN16SN6	XZ	KOC-GBZ000	MYH11	11.48	BO16SN6	XZ	KOC-GBZ000	MYH11	12.19
BN16SN6	XZ	KOC-YAR060	MYH11	11.62	BO16SN6	XZ	KOC-YAR060	MYH11	18.46
BN16SN6	XZ	LOM-HSP000	MYH11	23.66	BO16SN6	XZ	LOM-HSP000	MYH11	26.53
BN16SN6	XZ	LOM-WVC270	MYH11	23.76	BO16SN6	XZ	LOM-WVC270	MYH11	25.70
BN16SN6	XZ	NOR-CNP196	MYH11	13.59	BO16SN6	XZ	NOR-CNP196	MYH11	18.26
BN16SN6	XZ	NOR-MUL009	MYH11	27.36	BO16SN6	XZ	NOR-MUL009	MYH11	26.68
BN16SN6	XZ	NOR-MUL279	MYH11	27.50	BO16SN6	XZ	NOR-MUL279	MYH11	25.36
BN16SN6	XZ	NOR-ORR360	MYH11	28.92	BO16SN6	XZ	NOR-ORR360	MYH11	28.85
BN16SN6	XZ	NOR-RRS318	MYH11	20.35	BO16SN6	XZ	NOR-RRS318	MYH11	18.65
BN16SN6	XZ	NOR-SAT180	MYH11	22.31	BO16SN6	XZ	NOR-SAT180	MYH11	29.26
BN16SN6	XZ	NPAL-NPS210	MYH11	15.82	BO16SN6	XZ	NPAL-NPS210	MYH11	23.02
BN16SN6	YZ	CHI-CHY28W	MYH11	22.58	BO16SN6	YZ	CHI-CHY28W	MYH11	15.35
BN16SN6	YZ	CHI-CHY101W	MYH11	13.05	BO16SN6	YZ	CHI-CHY101W	MYH11	10.89
BN16SN6	YZ	CHI-TCU063N	MYH11	8.85	BO16SN6	YZ	CHI-TCU063N	MYH11	14.15
BN16SN6	YZ	CHI-TCU072W	MYH11	15.19	BO16SN6	YZ	CHI-TCU072W	MYH11	17.53
BN16SN6	YZ	CHI-TCU74W	MYH11	19.05	BO16SN6	YZ	CHI-TCU74W	MYH11	27.93
BN16SN6	YZ	CHI-TCU128-W	MYH11	4.62	BO16SN6	YZ	CHI-TCU128-W	MYH11	9.10

Tablo C.1 (devam): Mevcut binalara ait yerdeğiştirme talepleri

Bina Adı	Analiz Yönü	İvme Kaydı	MYH Grup No	Δ_d (cm)	Bina Adı	Analiz Yönü	İvme Kaydı	MYH Grup No	Δ_d (cm)
BN16SN6	YZ	CHI-WGK-N	MYH11	20.67	BO16SN6	YZ	CHI-WGK-N	MYH11	25.14
BN16SN6	YZ	COA-PLE045	MYH11	18.47	BO16SN6	YZ	COA-PLE045	MYH11	19.82
BN16SN6	YZ	DZC-BOL000	MYH11	18.21	BO16SN6	YZ	DZC-BOL000	MYH11	20.24
BN16SN6	YZ	DZC-BOL090	MYH11	24.35	BO16SN6	YZ	DZC-BOL090	MYH11	18.59
BN16SN6	YZ	DZC-DZC180	MYH11	11.81	BO16SN6	YZ	DZC-DZC180	MYH11	14.84
BN16SN6	YZ	GAZ-KAR000	MYH11	13.35	BO16SN6	YZ	GAZ-KAR000	MYH11	20.46
BN16SN6	YZ	GAZ-KAR090	MYH11	11.13	BO16SN6	YZ	GAZ-KAR090	MYH11	16.72
BN16SN6	YZ	IMP-ECC092	MYH11	9.58	BO16SN6	YZ	IMP-ECC092	MYH11	14.73
BN16SN6	YZ	IMP-ECM000	MYH11	12.01	BO16SN6	YZ	IMP-ECM000	MYH11	15.66
BN16SN6	YZ	IMP-ELCD-270	MYH11	8.44	BO16SN6	YZ	IMP-ELCD-270	MYH11	12.42
BN16SN6	YZ	IRP-STU270	MYH11	16.77	BO16SN6	YZ	IRP-STU270	MYH11	32.81
BN16SN6	YZ	KOB-KJM090	MYH11	21.71	BO16SN6	YZ	KOB-KJM090	MYH11	24.32
BN16SN6	YZ	KOC-DZC180	MYH11	12.33	BO16SN6	YZ	KOC-DZC180	MYH11	16.51
BN16SN6	YZ	KOC-GBZ000	MYH11	11.57	BO16SN6	YZ	KOC-GBZ000	MYH11	13.52
BN16SN6	YZ	KOC-YAR060	MYH11	10.96	BO16SN6	YZ	KOC-YAR060	MYH11	15.93
BN16SN6	YZ	LOM-HSP000	MYH11	19.40	BO16SN6	YZ	LOM-HSP000	MYH11	31.59
BN16SN6	YZ	LOM-WVC270	MYH11	15.46	BO16SN6	YZ	LOM-WVC270	MYH11	22.34
BN16SN6	YZ	NOR-CNP196	MYH11	12.90	BO16SN6	YZ	NOR-CNP196	MYH11	22.93
BN16SN6	YZ	NOR-MUL009	MYH11	21.46	BO16SN6	YZ	NOR-MUL009	MYH11	27.24
BN16SN6	YZ	NOR-MUL279	MYH11	25.86	BO16SN6	YZ	NOR-MUL279	MYH11	25.63
BN16SN6	YZ	NOR-ORR360	MYH11	26.83	BO16SN6	YZ	NOR-ORR360	MYH11	28.52
BN16SN6	YZ	NOR-RRS318	MYH11	17.90	BO16SN6	YZ	NOR-RRS318	MYH11	21.22
BN16SN6	YZ	NOR-SAT180	MYH11	19.46	BO16SN6	YZ	NOR-SAT180	MYH11	30.29
BN16SN6	YZ	NPAL-NPS210	MYH11	14.51	BO16SN6	YZ	NPAL-NPS210	MYH11	23.28
BN16SN6	XZ	CHI-TCU065N	MYH12	26.65	BO16SN6	XZ	CHI-TCU065N	MYH12	52.79
BN16SN6	XZ	CHI-TCU067W	MYH12	17.50	BO16SN6	XZ	CHI-TCU067W	MYH12	25.99
BN16SN6	XZ	CHI-TCU102-N	MYH12	13.15	BO16SN6	XZ	CHI-TCU102-N	MYH12	16.86
BN16SN6	XZ	DZC-BOL000	MYH12	21.31	BO16SN6	XZ	DZC-BOL000	MYH12	22.34
BN16SN6	XZ	DZC-BOL090	MYH12	21.47	BO16SN6	XZ	DZC-BOL090	MYH12	19.85
BN16SN6	XZ	DZC-DZC180	MYH12	13.99	BO16SN6	XZ	DZC-DZC180	MYH12	20.44
BN16SN6	XZ	GAZ-KAR090	MYH12	12.70	BO16SN6	XZ	GAZ-KAR090	MYH12	14.84
BN16SN6	XZ	IMP-ECC092	MYH12	12.24	BO16SN6	XZ	IMP-ECC092	MYH12	15.67
BN16SN6	XZ	IMP-ELC4-230	MYH12	14.67	BO16SN6	XZ	IMP-ELC4-230	MYH12	29.35
BN16SN6	XZ	IMP-ELCD-270	MYH12	8.87	BO16SN6	XZ	IMP-ELCD-270	MYH12	11.18
BN16SN6	XZ	IRP-STU270	MYH12	20.04	BO16SN6	XZ	IRP-STU270	MYH12	32.64
BN16SN6	XZ	KOC-DZC180	MYH12	13.25	BO16SN6	XZ	KOC-DZC180	MYH12	21.28
BN16SN6	XZ	KOC-GBZ000	MYH12	12.33	BO16SN6	XZ	KOC-GBZ000	MYH12	13.03
BN16SN6	XZ	KOC-SKR090	MYH12	10.16	BO16SN6	XZ	KOC-SKR090	MYH12	9.56
BN16SN6	XZ	LAN-YER270	MYH12	14.01	BO16SN6	XZ	LAN-YER270	MYH12	31.36
BN16SN6	XZ	LOM-BRN000	MYH12	30.26	BO16SN6	XZ	LOM-BRN000	MYH12	17.18
BN16SN6	XZ	LOM-WVC270	MYH12	25.38	BO16SN6	XZ	LOM-WVC270	MYH12	27.09
BN16SN6	XZ	NOR-CNP196	MYH12	15.27	BO16SN6	XZ	NOR-CNP196	MYH12	21.32
BN16SN6	XZ	NOR-MUL009	MYH12	29.28	BO16SN6	XZ	NOR-MUL009	MYH12	28.77
BN16SN6	XZ	NOR-MUL279	MYH12	30.11	BO16SN6	XZ	NOR-MUL279	MYH12	26.77
BN16SN6	XZ	NOR-NEW090	MYH12	13.07	BO16SN6	XZ	NOR-NEW090	MYH12	11.54
BN16SN6	XZ	NOR-PAR-L	MYH12	22.34	BO16SN6	XZ	NOR-PAR-L	MYH12	34.16
BN16SN6	XZ	NOR-RRS318	MYH12	21.20	BO16SN6	XZ	NOR-RRS318	MYH12	20.07
BN16SN6	XZ	NOR-SAT180	MYH12	24.68	BO16SN6	XZ	NOR-SAT180	MYH12	31.15
BN16SN6	XZ	NOR-SCE288	MYH12	27.90	BO16SN6	XZ	NOR-SCE288	MYH12	21.13
BN16SN6	XZ	NOR-SEP360	MYH12	19.55	BO16SN6	XZ	NOR-SEP360	MYH12	10.43
BN16SN6	XZ	NOR-SYL090	MYH12	19.01	BO16SN6	XZ	NOR-SYL090	MYH12	28.07
BN16SN6	XZ	NOR-TAR360	MYH12	14.35	BO16SN6	XZ	NOR-TAR360	MYH12	19.54
BN16SN6	XZ	NOR-WPI316	MYH12	20.90	BO16SN6	XZ	NOR-WPI316	MYH12	15.67
BN16SN6	XZ	PRK-C02065	MYH12	14.55	BO16SN6	XZ	PRK-C02065	MYH12	27.68
BN16SN6	YZ	CHI-TCU065N	MYH12	26.81	BO16SN6	YZ	CHI-TCU065N	MYH12	38.00
BN16SN6	YZ	CHI-TCU067W	MYH12	16.63	BO16SN6	YZ	CHI-TCU067W	MYH12	33.62
BN16SN6	YZ	CHI-TCU102-N	MYH12	10.01	BO16SN6	YZ	CHI-TCU102-N	MYH12	19.62
BN16SN6	YZ	DZC-BOL000	MYH12	19.86	BO16SN6	YZ	DZC-BOL000	MYH12	21.43
BN16SN6	YZ	DZC-BOL090	MYH12	25.20	BO16SN6	YZ	DZC-BOL090	MYH12	19.89

Tablo C.1 (devam): Mevcut binalara ait yerdeğiştirme talepleri

Bina Adı	Analiz Yönü	İvme Kaydı	MYH Grup No	Δ_d (cm)	Bina Adı	Analiz Yönü	İvme Kaydı	MYH Grup No	Δ_d (cm)
BN16SN6	YZ	DZC-DZC180	MYH12	12.42	BO16SN6	YZ	DZC-DZC180	MYH12	16.65
BN16SN6	YZ	GAZ-KAR090	MYH12	12.12	BO16SN6	YZ	GAZ-KAR090	MYH12	18.89
BN16SN6	YZ	IMP-ECC092	MYH12	10.25	BO16SN6	YZ	IMP-ECC092	MYH12	16.37
BN16SN6	YZ	IMP-ELC4-230	MYH12	10.83	BO16SN6	YZ	IMP-ELC4-230	MYH12	33.99
BN16SN6	YZ	IMP-ELCD-270	MYH12	9.22	BO16SN6	YZ	IMP-ELCD-270	MYH12	14.35
BN16SN6	YZ	IRP-STU270	MYH12	18.75	BO16SN6	YZ	IRP-STU270	MYH12	36.26
BN16SN6	YZ	KOC-DZC180	MYH12	12.78	BO16SN6	YZ	KOC-DZC180	MYH12	18.07
BN16SN6	YZ	KOC-GBZ000	MYH12	12.30	BO16SN6	YZ	KOC-GBZ000	MYH12	14.57
BN16SN6	YZ	KOC-SKR090	MYH12	8.32	BO16SN6	YZ	KOC-SKR090	MYH12	9.18
BN16SN6	YZ	LAN-YER270	MYH12	11.51	BO16SN6	YZ	LAN-YER270	MYH12	32.63
BN16SN6	YZ	LOM-BRN000	MYH12	27.64	BO16SN6	YZ	LOM-BRN000	MYH12	21.06
BN16SN6	YZ	LOM-WVC270	MYH12	17.15	BO16SN6	YZ	LOM-WVC270	MYH12	23.87
BN16SN6	YZ	NOR-CNP196	MYH12	13.63	BO16SN6	YZ	NOR-CNP196	MYH12	25.97
BN16SN6	YZ	NOR-MUL009	MYH12	22.84	BO16SN6	YZ	NOR-MUL009	MYH12	29.12
BN16SN6	YZ	NOR-MUL279	MYH12	27.90	BO16SN6	YZ	NOR-MUL279	MYH12	26.66
BN16SN6	YZ	NOR-NEW090	MYH12	15.74	BO16SN6	YZ	NOR-NEW090	MYH12	11.89
BN16SN6	YZ	NOR-PAR-L	MYH12	21.40	BO16SN6	YZ	NOR-PAR-L	MYH12	33.47
BN16SN6	YZ	NOR-RRS318	MYH12	18.44	BO16SN6	YZ	NOR-RRS318	MYH12	22.28
BN16SN6	YZ	NOR-SAT180	MYH12	21.69	BO16SN6	YZ	NOR-SAT180	MYH12	32.21
BN16SN6	YZ	NOR-SCE288	MYH12	20.78	BO16SN6	YZ	NOR-SCE288	MYH12	20.46
BN16SN6	YZ	NOR-SEP360	MYH12	15.14	BO16SN6	YZ	NOR-SEP360	MYH12	11.72
BN16SN6	YZ	NOR-SYL090	MYH12	18.40	BO16SN6	YZ	NOR-SYL090	MYH12	27.04
BN16SN6	YZ	NOR-TAR360	MYH12	12.49	BO16SN6	YZ	NOR-TAR360	MYH12	27.32
BN16SN6	YZ	NOR-WPI316	MYH12	14.44	BO16SN6	YZ	NOR-WPI316	MYH12	20.67
BN16SN6	YZ	PRK-C02065	MYH12	14.49	BO16SN6	YZ	PRK-C02065	MYH12	31.57
BN17SN6	XZ	CAP-FOR090	MYH1	2.51	BO17SN6	XZ	CAP-FOR090	MYH1	3.72
BN17SN6	XZ	CHI-CHY010-N	MYH1	4.66	BO17SN6	XZ	CHI-CHY010-N	MYH1	4.66
BN17SN6	XZ	CHI-CHY41W	MYH1	5.69	BO17SN6	XZ	CHI-CHY41W	MYH1	6.53
BN17SN6	XZ	CHI-CHY046N	MYH1	4.52	BO17SN6	XZ	CHI-CHY046N	MYH1	4.36
BN17SN6	XZ	CHI-CHY047-E	MYH1	3.10	BO17SN6	XZ	CHI-CHY047-E	MYH1	3.47
BN17SN6	XZ	COA-CAK270	MYH1	4.18	BO17SN6	XZ	COA-CAK270	MYH1	7.34
BN17SN6	XZ	COY-G06320	MYH1	3.86	BO17SN6	XZ	COY-G06320	MYH1	4.10
BN17SN6	XZ	FRI-TMZ000	MYH1	4.19	BO17SN6	XZ	FRI-TMZ000	MYH1	4.26
BN17SN6	XZ	IMP-E12230	MYH1	2.29	BO17SN6	XZ	IMP-E12230	MYH1	2.63
BN17SN6	XZ	IMP-SAH000	MYH1	4.08	BO17SN6	XZ	IMP-SAH000	MYH1	4.12
BN17SN6	XZ	IRP-BIS000	MYH1	1.92	BO17SN6	XZ	IRP-BIS000	MYH1	2.36
BN17SN6	XZ	KOC-IZM180	MYH1	4.52	BO17SN6	XZ	KOC-IZM180	MYH1	3.88
BN17SN6	XZ	LAN-ABY090	MYH1	3.25	BO17SN6	XZ	LAN-ABY090	MYH1	3.20
BN17SN6	XZ	LAN-DSP000	MYH1	3.60	BO17SN6	XZ	LAN-DSP000	MYH1	2.96
BN17SN6	XZ	LIV-DVD246	MYH1	3.23	BO17SN6	XZ	LIV-DVD246	MYH1	3.16
BN17SN6	XZ	LOM-BRK090	MYH1	3.58	BO17SN6	XZ	LOM-BRK090	MYH1	5.20
BN17SN6	XZ	LOM-CLD285	MYH1	3.87	BO17SN6	XZ	LOM-CLD285	MYH1	4.06
BN17SN6	XZ	LOM-GGV337	MYH1	5.52	BO17SN6	XZ	LOM-GGV337	MYH1	4.55
BN17SN6	XZ	NOR-CWC270	MYH1	4.45	BO17SN6	XZ	NOR-CWC270	MYH1	5.56
BN17SN6	XZ	NOR-LOS090	MYH1	4.06	BO17SN6	XZ	NOR-LOS090	MYH1	5.25
BN17SN6	XZ	NOR-LOS360	MYH1	5.06	BO17SN6	XZ	NOR-LOS360	MYH1	5.42
BN17SN6	XZ	PRK-CHO355	MYH1	5.29	BO17SN6	XZ	PRK-CHO355	MYH1	3.82
BN17SN6	XZ	PRK-TMB205	MYH1	3.11	BO17SN6	XZ	PRK-TMB205	MYH1	3.40
BN17SN6	XZ	SUP-PLS135	MYH1	4.33	BO17SN6	XZ	SUP-PLS135	MYH1	4.12
BN17SN6	XZ	TAB-DAY-LN	MYH1	4.67	BO17SN6	XZ	TAB-DAY-LN	MYH1	4.51
BN17SN6	XZ	VIC-CPE315	MYH1	6.09	BO17SN6	XZ	VIC-CPE315	MYH1	4.23
BN17SN6	XZ	WHI-ALH180	MYH1	4.29	BO17SN6	XZ	WHI-ALH180	MYH1	4.93
BN17SN6	XZ	WHI-GRN180	MYH1	6.49	BO17SN6	XZ	WHI-GRN180	MYH1	6.77
BN17SN6	XZ	WHI-OBR360	MYH1	3.76	BO17SN6	XZ	WHI-OBR360	MYH1	5.72
BN17SN6	YZ	CAP-FOR090	MYH1	2.49	BO17SN6	YZ	CAP-FOR090	MYH1	4.23
BN17SN6	YZ	CHI-CHY010-N	MYH1	4.97	BO17SN6	YZ	CHI-CHY010-N	MYH1	6.08
BN17SN6	YZ	CHI-CHY41W	MYH1	6.37	BO17SN6	YZ	CHI-CHY41W	MYH1	6.50
BN17SN6	YZ	CHI-CHY046N	MYH1	4.61	BO17SN6	YZ	CHI-CHY046N	MYH1	7.35
BN17SN6	YZ	CHI-CHY047-E	MYH1	3.26	BO17SN6	YZ	CHI-CHY047-E	MYH1	3.61

Tablo C.1 (devam): Mevcut binalara ait yerdeğiştirme talepleri

Bina Adı	Analiz Yönü	İvme Kaydı	MYH Grup No	Δ_d (cm)	Bina Adı	Analiz Yönü	İvme Kaydı	MYH Grup No	Δ_d (cm)
BN17SN6	YZ	COA-CAK270	MYH1	4.29	BO17SN6	YZ	COA-CAK270	MYH1	7.40
BN17SN6	YZ	COY-G06320	MYH1	3.94	BO17SN6	YZ	COY-G06320	MYH1	6.23
BN17SN6	YZ	FRI-TMZ000	MYH1	4.18	BO17SN6	YZ	FRI-TMZ000	MYH1	5.00
BN17SN6	YZ	IMP-E12230	MYH1	2.35	BO17SN6	YZ	IMP-E12230	MYH1	3.75
BN17SN6	YZ	IMP-SAH000	MYH1	4.20	BO17SN6	YZ	IMP-SAH000	MYH1	5.30
BN17SN6	YZ	IRP-BIS000	MYH1	1.89	BO17SN6	YZ	IRP-BIS000	MYH1	3.05
BN17SN6	YZ	KOC-IZM180	MYH1	4.58	BO17SN6	YZ	KOC-IZM180	MYH1	5.79
BN17SN6	YZ	LAN-ABY090	MYH1	3.33	BO17SN6	YZ	LAN-ABY090	MYH1	4.09
BN17SN6	YZ	LAN-DSP000	MYH1	3.61	BO17SN6	YZ	LAN-DSP000	MYH1	4.41
BN17SN6	YZ	LIV-DVD246	MYH1	3.23	BO17SN6	YZ	LIV-DVD246	MYH1	3.89
BN17SN6	YZ	LOM-BRK090	MYH1	3.56	BO17SN6	YZ	LOM-BRK090	MYH1	7.05
BN17SN6	YZ	LOM-CLD285	MYH1	3.89	BO17SN6	YZ	LOM-CLD285	MYH1	5.38
BN17SN6	YZ	LOM-GGV337	MYH1	5.94	BO17SN6	YZ	LOM-GGV337	MYH1	4.44
BN17SN6	YZ	NOR-CWC270	MYH1	4.86	BO17SN6	YZ	NOR-CWC270	MYH1	7.89
BN17SN6	YZ	NOR-LOS090	MYH1	4.14	BO17SN6	YZ	NOR-LOS090	MYH1	6.01
BN17SN6	YZ	NOR-LOS360	MYH1	4.91	BO17SN6	YZ	NOR-LOS360	MYH1	7.44
BN17SN6	YZ	PRK-CHO355	MYH1	5.47	BO17SN6	YZ	PRK-CHO355	MYH1	4.44
BN17SN6	YZ	PRK-TMB205	MYH1	3.15	BO17SN6	YZ	PRK-TMB205	MYH1	4.58
BN17SN6	YZ	SUP-PLS135	MYH1	4.58	BO17SN6	YZ	SUP-PLS135	MYH1	3.88
BN17SN6	YZ	TAB-DAY-LN	MYH1	4.82	BO17SN6	YZ	TAB-DAY-LN	MYH1	5.38
BN17SN6	YZ	VIC-CPE315	MYH1	6.60	BO17SN6	YZ	VIC-CPE315	MYH1	5.16
BN17SN6	YZ	WHI-ALH180	MYH1	4.35	BO17SN6	YZ	WHI-ALH180	MYH1	7.66
BN17SN6	YZ	WHI-GRN180	MYH1	7.41	BO17SN6	YZ	WHI-GRN180	MYH1	6.84
BN17SN6	YZ	WHI-OBR360	MYH1	3.91	BO17SN6	YZ	WHI-OBR360	MYH1	6.25
BN17SN6	XZ	CHI-TCU141-N	MYH2	1.89	BO17SN6	XZ	CHI-TCU141-N	MYH2	2.73
BN17SN6	XZ	COA-PV1090	MYH2	3.48	BO17SN6	XZ	COA-PV1090	MYH2	6.88
BN17SN6	XZ	COA-Z14090	MYH2	6.34	BO17SN6	XZ	COA-Z14090	MYH2	9.84
BN17SN6	XZ	COY-G02140	MYH2	3.84	BO17SN6	XZ	COY-G02140	MYH2	7.74
BN17SN6	XZ	COY-G03140	MYH2	4.85	BO17SN6	XZ	COY-G03140	MYH2	5.75
BN17SN6	XZ	IMP-AER315	MYH2	4.41	BO17SN6	XZ	IMP-AER315	MYH2	4.99
BN17SN6	XZ	IMP-DLT262	MYH2	5.05	BO17SN6	XZ	IMP-DLT262	MYH2	6.32
BN17SN6	XZ	KOB-KAK090	MYH2	4.79	BO17SN6	XZ	KOB-KAK090	MYH2	4.61
BN17SN6	XZ	KOB-SHI090	MYH2	6.53	BO17SN6	XZ	KOB-SHI090	MYH2	6.39
BN17SN6	XZ	LAN-CLVLN	MYH2	4.59	BO17SN6	XZ	LAN-CLVLN	MYH2	5.92
BN17SN6	XZ	LAN-JOS000	MYH2	5.61	BO17SN6	XZ	LAN-JOS000	MYH2	7.55
BN17SN6	XZ	LOM-CAP090	MYH2	9.53	BO17SN6	XZ	LOM-CAP090	MYH2	6.69
BN17SN6	XZ	LOM-GGV067	MYH2	3.93	BO17SN6	XZ	LOM-GGV067	MYH2	5.10
BN17SN6	XZ	LOM-HSP090	MYH2	4.68	BO17SN6	XZ	LOM-HSP090	MYH2	5.13
BN17SN6	XZ	LOM-SFO000	MYH2	6.13	BO17SN6	XZ	LOM-SFO000	MYH2	5.68
BN17SN6	XZ	LOM-SFO090	MYH2	7.40	BO17SN6	XZ	LOM-SFO090	MYH2	8.12
BN17SN6	XZ	LOM-WAH000	MYH2	6.81	BO17SN6	XZ	LOM-WAH000	MYH2	7.24
BN17SN6	XZ	MAM-LUL000	MYH2	6.73	BO17SN6	XZ	MAM-LUL000	MYH2	5.39
BN17SN6	XZ	MOR-AND250	MYH2	4.24	BO17SN6	XZ	MOR-AND250	MYH2	5.47
BN17SN6	XZ	MOR-AND340	MYH2	7.38	BO17SN6	XZ	MOR-AND340	MYH2	7.68
BN17SN6	XZ	NOR-CHL160	MYH2	6.80	BO17SN6	XZ	NOR-CHL160	MYH2	8.06
BN17SN6	XZ	NOR-CWC180	MYH2	4.41	BO17SN6	XZ	NOR-CWC180	MYH2	5.57
BN17SN6	XZ	NOR-SAT090	MYH2	6.37	BO17SN6	XZ	NOR-SAT090	MYH2	6.92
BN17SN6	XZ	NPAL-DSP000	MYH2	5.52	BO17SN6	XZ	NPAL-DSP000	MYH2	7.29
BN17SN6	XZ	PRK-CHO085	MYH2	4.43	BO17SN6	XZ	PRK-CHO085	MYH2	4.50
BN17SN6	XZ	SFD-ORR291	MYH2	5.78	BO17SN6	XZ	SFD-ORR291	MYH2	5.30
BN17SN6	XZ	SPI-GUK000	MYH2	3.84	BO17SN6	XZ	SPI-GUK000	MYH2	6.16
BN17SN6	XZ	TAB-DAY-TR	MYH2	5.25	BO17SN6	XZ	TAB-DAY-TR	MYH2	7.03
BN17SN6	XZ	WES-PTS315	MYH2	4.07	BO17SN6	XZ	WES-PTS315	MYH2	8.01
BN17SN6	XZ	WHI-DEL000	MYH2	7.36	BO17SN6	XZ	WHI-DEL000	MYH2	6.52
BN17SN6	XZ	WHI-DWN180	MYH2	6.21	BO17SN6	XZ	WHI-DWN180	MYH2	8.93
BN17SN6	YZ	CHI-TCU141-N	MYH2	1.98	BO17SN6	YZ	CHI-TCU141-N	MYH2	3.86
BN17SN6	YZ	COA-PV1090	MYH2	3.50	BO17SN6	YZ	COA-PV1090	MYH2	9.92
BN17SN6	YZ	COA-Z14090	MYH2	6.44	BO17SN6	YZ	COA-Z14090	MYH2	10.22
BN17SN6	YZ	COY-G02140	MYH2	3.88	BO17SN6	YZ	COY-G02140	MYH2	9.78

Tablo C.1 (devam): Mevcut binalara ait yerdeğiştirme talepleri

Bina Adı	Analiz Yönü	İvme Kaydı	MYH Grup No	Δ_d (cm)	Bina Adı	Analiz Yönü	İvme Kaydı	MYH Grup No	Δ_d (cm)
BN17SN6	YZ	COY-G03140	MYH2	4.98	BO17SN6	YZ	COY-G03140	MYH2	7.58
BN17SN6	YZ	IMP-AER315	MYH2	4.38	BO17SN6	YZ	IMP-AER315	MYH2	7.13
BN17SN6	YZ	IMP-DLT262	MYH2	5.53	BO17SN6	YZ	IMP-DLT262	MYH2	7.36
BN17SN6	YZ	KOB-KAK090	MYH2	5.12	BO17SN6	YZ	KOB-KAK090	MYH2	7.64
BN17SN6	YZ	KOB-SHI090	MYH2	7.33	BO17SN6	YZ	KOB-SHI090	MYH2	6.38
BN17SN6	YZ	LAN-CLVLN	MYH2	4.88	BO17SN6	YZ	LAN-CLVLN	MYH2	5.94
BN17SN6	YZ	LAN-JOS000	MYH2	5.86	BO17SN6	YZ	LAN-JOS000	MYH2	9.24
BN17SN6	YZ	LOM-CAP090	MYH2	10.51	BO17SN6	YZ	LOM-CAP090	MYH2	7.97
BN17SN6	YZ	LOM-GGV067	MYH2	3.90	BO17SN6	YZ	LOM-GGV067	MYH2	6.46
BN17SN6	YZ	LOM-HSP090	MYH2	4.74	BO17SN6	YZ	LOM-HSP090	MYH2	6.62
BN17SN6	YZ	LOM-SFO000	MYH2	6.88	BO17SN6	YZ	LOM-SFO000	MYH2	8.00
BN17SN6	YZ	LOM-SFO090	MYH2	7.68	BO17SN6	YZ	LOM-SFO090	MYH2	8.53
BN17SN6	YZ	LOM-WAH000	MYH2	7.04	BO17SN6	YZ	LOM-WAH000	MYH2	8.59
BN17SN6	YZ	MAM-LUL000	MYH2	7.41	BO17SN6	YZ	MAM-LUL000	MYH2	6.75
BN17SN6	YZ	MOR-AND250	MYH2	4.44	BO17SN6	YZ	MOR-AND250	MYH2	4.32
BN17SN6	YZ	MOR-AND340	MYH2	7.40	BO17SN6	YZ	MOR-AND340	MYH2	7.68
BN17SN6	YZ	NOR-CHL160	MYH2	7.27	BO17SN6	YZ	NOR-CHL160	MYH2	9.08
BN17SN6	YZ	NOR-CWC180	MYH2	4.40	BO17SN6	YZ	NOR-CWC180	MYH2	6.73
BN17SN6	YZ	NOR-SAT090	MYH2	6.66	BO17SN6	YZ	NOR-SAT090	MYH2	7.81
BN17SN6	YZ	NPAL-DSP000	MYH2	5.65	BO17SN6	YZ	NPAL-DSP000	MYH2	10.44
BN17SN6	YZ	PRK-CHO085	MYH2	4.53	BO17SN6	YZ	PRK-CHO085	MYH2	4.33
BN17SN6	YZ	SFD-ORR291	MYH2	5.82	BO17SN6	YZ	SFD-ORR291	MYH2	5.85
BN17SN6	YZ	SPI-GUK000	MYH2	3.94	BO17SN6	YZ	SPI-GUK000	MYH2	7.59
BN17SN6	YZ	TAB-DAY-TR	MYH2	5.45	BO17SN6	YZ	TAB-DAY-TR	MYH2	7.99
BN17SN6	YZ	WES-PTS315	MYH2	4.04	BO17SN6	YZ	WES-PTS315	MYH2	9.23
BN17SN6	YZ	WHI-DEL000	MYH2	8.53	BO17SN6	YZ	WHI-DEL000	MYH2	7.43
BN17SN6	YZ	WHI-DWN180	MYH2	6.97	BO17SN6	YZ	WHI-DWN180	MYH2	8.48
BN17SN6	XZ	CAP-FOR000	MYH3	2.31	BO17SN6	XZ	CAP-FOR000	MYH3	4.52
BN17SN6	XZ	CHI-CHY29W	MYH3	6.48	BO17SN6	XZ	CHI-CHY29W	MYH3	7.13
BN17SN6	XZ	CHI-TCU046N	MYH3	2.78	BO17SN6	XZ	CHI-TCU046N	MYH3	2.87
BN17SN6	XZ	CHI-TCU112-N	MYH3	1.54	BO17SN6	XZ	CHI-TCU112-N	MYH3	2.47
BN17SN6	XZ	CHI-TCU118-N	MYH3	3.42	BO17SN6	XZ	CHI-TCU118-N	MYH3	3.13
BN17SN6	XZ	FRI-TMZ270	MYH3	7.12	BO17SN6	XZ	FRI-TMZ270	MYH3	7.77
BN17SN6	XZ	IMP-ELC2-140	MYH3	5.93	BO17SN6	XZ	IMP-ELC2-140	MYH3	5.94
BN17SN6	XZ	IMP-ELC11-140	MYH3	5.22	BO17SN6	XZ	IMP-ELC11-140	MYH3	5.42
BN17SN6	XZ	IMP-SAH270	MYH3	5.89	BO17SN6	XZ	IMP-SAH270	MYH3	6.28
BN17SN6	XZ	KOC-AMB090	MYH3	5.25	BO17SN6	XZ	KOC-AMB090	MYH3	9.13
BN17SN6	XZ	KOC-GBZ270	MYH3	3.09	BO17SN6	XZ	KOC-GBZ270	MYH3	2.64
BN17SN6	XZ	KOC-IZM090	MYH3	4.94	BO17SN6	XZ	KOC-IZM090	MYH3	4.97
BN17SN6	XZ	LAN-LUC000	MYH3	5.01	BO17SN6	XZ	LAN-LUC000	MYH3	4.73
BN17SN6	XZ	LAN-YER360	MYH3	2.86	BO17SN6	XZ	LAN-YER360	MYH3	4.57
BN17SN6	XZ	LOM-A02133	MYH3	6.89	BO17SN6	XZ	LOM-A02133	MYH3	9.98
BN17SN6	XZ	LOM-G01000	MYH3	3.92	BO17SN6	XZ	LOM-G01000	MYH3	4.41
BN17SN6	XZ	LOM-G01090	MYH3	5.87	BO17SN6	XZ	LOM-G01090	MYH3	5.25
BN17SN6	XZ	LOM-G02000	MYH3	6.61	BO17SN6	XZ	LOM-G02000	MYH3	9.20
BN17SN6	XZ	LOM-TRI090	MYH3	6.52	BO17SN6	XZ	LOM-TRI090	MYH3	7.55
BN17SN6	XZ	MAM-LUL090	MYH3	6.91	BO17SN6	XZ	MAM-LUL090	MYH3	9.90
BN17SN6	XZ	NOR-CNP106	MYH3	7.02	BO17SN6	XZ	NOR-CNP106	MYH3	9.81
BN17SN6	XZ	NOR-PAC265	MYH3	5.64	BO17SN6	XZ	NOR-PAC265	MYH3	6.75
BN17SN6	XZ	NOR-PKC090	MYH3	7.76	BO17SN6	XZ	NOR-PKC090	MYH3	9.06
BN17SN6	XZ	NOR-WIL180	MYH3	6.33	BO17SN6	XZ	NOR-WIL180	MYH3	9.07
BN17SN6	XZ	NPAL-MVH045	MYH3	5.18	BO17SN6	XZ	NPAL-MVH045	MYH3	6.87
BN17SN6	XZ	NPAL-NPS300	MYH3	7.20	BO17SN6	XZ	NPAL-NPS300	MYH3	6.85
BN17SN6	XZ	NPAL-WWT270	MYH3	6.57	BO17SN6	XZ	NPAL-WWT270	MYH3	7.19
BN17SN6	XZ	SUP-IVW090	MYH3	3.24	BO17SN6	XZ	SUP-IVW090	MYH3	4.29
BN17SN6	XZ	SUP-IVW360	MYH3	5.22	BO17SN6	XZ	SUP-IVW360	MYH3	6.28
BN17SN6	XZ	SUP-KRN360	MYH3	3.86	BO17SN6	XZ	SUP-KRN360	MYH3	4.72
BN17SN6	XZ	SUP-POE360	MYH3	6.16	BO17SN6	XZ	SUP-POE360	MYH3	5.55
BN17SN6	XZ	SUP-SUP045	MYH3	6.39	BO17SN6	XZ	SUP-SUP045	MYH3	5.79

Tablo C.1 (devam): Mevcut binalara ait yerdeğiştirme talepleri

Bina Adı	Analiz Yönü	İvme Kaydı	MYH Grup No	Δ_d (cm)	Bina Adı	Analiz Yönü	İvme Kaydı	MYH Grup No	Δ_d (cm)
BN17SN6	XZ	VIC-CPE045	MYH3	6.90	BO17SN6	XZ	VIC-CPE045	MYH3	11.45
BN17SN6	XZ	WHI-OR2010	MYH3	7.56	BO17SN6	XZ	WHI-OR2010	MYH3	8.42
BN17SN6	YZ	CAP-FOR000	MYH3	2.26	BO17SN6	YZ	CAP-FOR000	MYH3	4.73
BN17SN6	YZ	CHI-CHY29W	MYH3	7.00	BO17SN6	YZ	CHI-CHY29W	MYH3	9.96
BN17SN6	YZ	CHI-TCU046N	MYH3	2.91	BO17SN6	YZ	CHI-TCU046N	MYH3	4.72
BN17SN6	YZ	CHI-TCU112-N	MYH3	1.63	BO17SN6	YZ	CHI-TCU112-N	MYH3	3.47
BN17SN6	YZ	CHI-TCU118-N	MYH3	3.35	BO17SN6	YZ	CHI-TCU118-N	MYH3	3.83
BN17SN6	YZ	FRI-TMZ270	MYH3	7.70	BO17SN6	YZ	FRI-TMZ270	MYH3	8.33
BN17SN6	YZ	IMP-ELC2-140	MYH3	5.93	BO17SN6	YZ	IMP-ELC2-140	MYH3	6.64
BN17SN6	YZ	IMP-ELC11-140	MYH3	5.18	BO17SN6	YZ	IMP-ELC11-140	MYH3	5.44
BN17SN6	YZ	IMP-SAH270	MYH3	6.67	BO17SN6	YZ	IMP-SAH270	MYH3	7.39
BN17SN6	YZ	KOC-AMB090	MYH3	5.45	BO17SN6	YZ	KOC-AMB090	MYH3	14.03
BN17SN6	YZ	KOC-GBZ270	MYH3	3.07	BO17SN6	YZ	KOC-GBZ270	MYH3	4.02
BN17SN6	YZ	KOC-IZM090	MYH3	5.20	BO17SN6	YZ	KOC-IZM090	MYH3	5.55
BN17SN6	YZ	LAN-LUC000	MYH3	5.08	BO17SN6	YZ	LAN-LUC000	MYH3	5.58
BN17SN6	YZ	LAN-YER360	MYH3	2.88	BO17SN6	YZ	LAN-YER360	MYH3	6.02
BN17SN6	YZ	LOM-A02133	MYH3	7.37	BO17SN6	YZ	LOM-A02133	MYH3	11.81
BN17SN6	YZ	LOM-G01000	MYH3	3.86	BO17SN6	YZ	LOM-G01000	MYH3	3.89
BN17SN6	YZ	LOM-G01090	MYH3	6.37	BO17SN6	YZ	LOM-G01090	MYH3	6.92
BN17SN6	YZ	LOM-G02000	MYH3	6.86	BO17SN6	YZ	LOM-G02000	MYH3	11.14
BN17SN6	YZ	LOM-TRI090	MYH3	7.21	BO17SN6	YZ	LOM-TRI090	MYH3	8.71
BN17SN6	YZ	MAM-LUL090	MYH3	7.35	BO17SN6	YZ	MAM-LUL090	MYH3	12.87
BN17SN6	YZ	NOR-CNP106	MYH3	7.15	BO17SN6	YZ	NOR-CNP106	MYH3	10.87
BN17SN6	YZ	NOR-PAC265	MYH3	6.05	BO17SN6	YZ	NOR-PAC265	MYH3	9.53
BN17SN6	YZ	NOR-PKC090	MYH3	7.82	BO17SN6	YZ	NOR-PKC090	MYH3	9.99
BN17SN6	YZ	NOR-WIL180	MYH3	6.86	BO17SN6	YZ	NOR-WIL180	MYH3	8.47
BN17SN6	YZ	NPAL-MVH045	MYH3	5.29	BO17SN6	YZ	NPAL-MVH045	MYH3	11.19
BN17SN6	YZ	NPAL-NPS300	MYH3	7.51	BO17SN6	YZ	NPAL-NPS300	MYH3	9.11
BN17SN6	YZ	NPAL-WWT270	MYH3	6.77	BO17SN6	YZ	NPAL-WWT270	MYH3	7.95
BN17SN6	YZ	SUP-IVW090	MYH3	3.21	BO17SN6	YZ	SUP-IVW090	MYH3	5.73
BN17SN6	YZ	SUP-IVW360	MYH3	5.35	BO17SN6	YZ	SUP-IVW360	MYH3	9.00
BN17SN6	YZ	SUP-KRN360	MYH3	3.83	BO17SN6	YZ	SUP-KRN360	MYH3	7.53
BN17SN6	YZ	SUP-POE360	MYH3	6.20	BO17SN6	YZ	SUP-POE360	MYH3	6.57
BN17SN6	YZ	SUP-SUP045	MYH3	7.16	BO17SN6	YZ	SUP-SUP045	MYH3	6.06
BN17SN6	YZ	VIC-CPE045	MYH3	7.38	BO17SN6	YZ	VIC-CPE045	MYH3	14.96
BN17SN6	YZ	WHI-OR2010	MYH3	7.71	BO17SN6	YZ	WHI-OR2010	MYH3	8.57
BN17SN6	XZ	CHI-CHY29N	MYH4	8.41	BO17SN6	XZ	CHI-CHY29N	MYH4	7.13
BN17SN6	XZ	CHI-CHY036W	MYH4	8.58	BO17SN6	XZ	CHI-CHY036W	MYH4	10.26
BN17SN6	XZ	CHI-CHY41N	MYH4	9.56	BO17SN6	XZ	CHI-CHY41N	MYH4	8.55
BN17SN6	XZ	CHI-TCU45N	MYH4	10.69	BO17SN6	XZ	CHI-TCU45N	MYH4	9.26
BN17SN6	XZ	CHI-TCU45W	MYH4	7.13	BO17SN6	XZ	CHI-TCU45W	MYH4	8.14
BN17SN6	XZ	CHI-TCU51N	MYH4	5.81	BO17SN6	XZ	CHI-TCU51N	MYH4	5.97
BN17SN6	XZ	COA-PLE135	MYH4	10.14	BO17SN6	XZ	COA-PLE135	MYH4	7.62
BN17SN6	XZ	IMP-BRA225	MYH4	1.52	BO17SN6	XZ	IMP-BRA225	MYH4	2.95
BN17SN6	XZ	IMP-BRA315	MYH4	5.10	BO17SN6	XZ	IMP-BRA315	MYH4	5.20
BN17SN6	XZ	IMP-ECC002	MYH4	5.45	BO17SN6	XZ	IMP-ECC002	MYH4	8.34
BN17SN6	XZ	IMP-ELC4-140	MYH4	9.87	BO17SN6	XZ	IMP-ELC4-140	MYH4	15.03
BN17SN6	XZ	IRP-STU000	MYH4	5.78	BO17SN6	XZ	IRP-STU000	MYH4	6.54
BN17SN6	XZ	KOB-NIS000	MYH4	8.17	BO17SN6	XZ	KOB-NIS000	MYH4	6.53
BN17SN6	XZ	KOB-NIS090	MYH4	7.70	BO17SN6	XZ	KOB-NIS090	MYH4	8.62
BN17SN6	XZ	KOB-SHI000	MYH4	7.10	BO17SN6	XZ	KOB-SHI000	MYH4	9.65
BN17SN6	XZ	KOC-ARC090	MYH4	1.97	BO17SN6	XZ	KOC-ARC090	MYH4	3.48
BN17SN6	XZ	LOM-G02090	MYH4	5.55	BO17SN6	XZ	LOM-G02090	MYH4	9.79
BN17SN6	XZ	LOM-G03000	MYH4	5.62	BO17SN6	XZ	LOM-G03000	MYH4	6.36
BN17SN6	XZ	LOM-HDA255	MYH4	7.56	BO17SN6	XZ	LOM-HDA255	MYH4	11.78
BN17SN6	XZ	LOM-SVL360	MYH4	4.35	BO17SN6	XZ	LOM-SVL360	MYH4	4.59
BN17SN6	XZ	MOR-G06090	MYH4	6.66	BO17SN6	XZ	MOR-G06090	MYH4	9.54
BN17SN6	XZ	MOR-HAL240	MYH4	7.25	BO17SN6	XZ	MOR-HAL240	MYH4	10.62
BN17SN6	XZ	NOR-KAT090	MYH4	8.24	BO17SN6	XZ	NOR-KAT090	MYH4	9.55

Tablo C.1 (devam): Mevcut binalara ait yerdeğiştirme talepleri

Bina Adı	Analiz Yönü	İvme Kaydı	MYH Grup No	Δ_d (cm)	Bina Adı	Analiz Yönü	İvme Kaydı	MYH Grup No	Δ_d (cm)
BN17SN6	XZ	NOR-SCR090	MYH4	6.33	BO17SN6	XZ	NOR-SCR090	MYH4	6.97
BN17SN6	XZ	NOR-STN020	MYH4	8.13	BO17SN6	XZ	NOR-STN020	MYH4	9.80
BN17SN6	XZ	NPAL-WWT180	MYH4	6.75	BO17SN6	XZ	NPAL-WWT180	MYH4	8.81
BN17SN6	XZ	SUP-POE270	MYH4	6.84	BO17SN6	XZ	SUP-POE270	MYH4	6.13
BN17SN6	XZ	WES-PTS225	MYH4	5.61	BO17SN6	XZ	WES-PTS225	MYH4	5.22
BN17SN6	XZ	WHI-BIR180	MYH4	9.09	BO17SN6	XZ	WHI-BIR180	MYH4	9.90
BN17SN6	XZ	WHI-EJS048	MYH4	8.37	BO17SN6	XZ	WHI-EJS048	MYH4	6.89
BN17SN6	YZ	CHI-CHY29N	MYH4	8.87	BO17SN6	YZ	CHI-CHY29N	MYH4	9.20
BN17SN6	YZ	CHI-CHY036W	MYH4	8.86	BO17SN6	YZ	CHI-CHY036W	MYH4	11.53
BN17SN6	YZ	CHI-CHY41N	MYH4	10.84	BO17SN6	YZ	CHI-CHY41N	MYH4	11.15
BN17SN6	YZ	CHI-TCU45N	MYH4	11.32	BO17SN6	YZ	CHI-TCU45N	MYH4	9.13
BN17SN6	YZ	CHI-TCU45W	MYH4	8.05	BO17SN6	YZ	CHI-TCU45W	MYH4	7.29
BN17SN6	YZ	CHI-TCU51N	MYH4	5.92	BO17SN6	YZ	CHI-TCU51N	MYH4	6.06
BN17SN6	YZ	COA-PLE135	MYH4	10.82	BO17SN6	YZ	COA-PLE135	MYH4	9.55
BN17SN6	YZ	IMP-BRA225	MYH4	1.61	BO17SN6	YZ	IMP-BRA225	MYH4	5.33
BN17SN6	YZ	IMP-BRA315	MYH4	5.45	BO17SN6	YZ	IMP-BRA315	MYH4	6.76
BN17SN6	YZ	IMP-ECC002	MYH4	6.01	BO17SN6	YZ	IMP-ECC002	MYH4	11.80
BN17SN6	YZ	IMP-ELC4-140	MYH4	9.73	BO17SN6	YZ	IMP-ELC4-140	MYH4	16.25
BN17SN6	YZ	IRP-STU000	MYH4	5.78	BO17SN6	YZ	IRP-STU000	MYH4	8.96
BN17SN6	YZ	KOB-NIS000	MYH4	8.42	BO17SN6	YZ	KOB-NIS000	MYH4	8.48
BN17SN6	YZ	KOB-NIS090	MYH4	8.56	BO17SN6	YZ	KOB-NIS090	MYH4	7.90
BN17SN6	YZ	KOB-SHI000	MYH4	7.33	BO17SN6	YZ	KOB-SHI000	MYH4	10.24
BN17SN6	YZ	KOC-ARC090	MYH4	2.01	BO17SN6	YZ	KOC-ARC090	MYH4	3.67
BN17SN6	YZ	LOM-G02090	MYH4	5.50	BO17SN6	YZ	LOM-G02090	MYH4	13.97
BN17SN6	YZ	LOM-G03000	MYH4	6.13	BO17SN6	YZ	LOM-G03000	MYH4	8.91
BN17SN6	YZ	LOM-HDA255	MYH4	8.77	BO17SN6	YZ	LOM-HDA255	MYH4	10.03
BN17SN6	YZ	LOM-SVL360	MYH4	4.50	BO17SN6	YZ	LOM-SVL360	MYH4	6.84
BN17SN6	YZ	MOR-G06090	MYH4	6.66	BO17SN6	YZ	MOR-G06090	MYH4	12.01
BN17SN6	YZ	MOR-HAL240	MYH4	7.46	BO17SN6	YZ	MOR-HAL240	MYH4	13.81
BN17SN6	YZ	NOR-KAT090	MYH4	9.20	BO17SN6	YZ	NOR-KAT090	MYH4	9.75
BN17SN6	YZ	NOR-SCR090	MYH4	6.32	BO17SN6	YZ	NOR-SCR090	MYH4	8.37
BN17SN6	YZ	NOR-STN020	MYH4	8.41	BO17SN6	YZ	NOR-STN020	MYH4	7.24
BN17SN6	YZ	NPAL-WWT180	MYH4	7.54	BO17SN6	YZ	NPAL-WWT180	MYH4	9.67
BN17SN6	YZ	SUP-POE270	MYH4	6.97	BO17SN6	YZ	SUP-POE270	MYH4	7.61
BN17SN6	YZ	WES-PTS225	MYH4	5.87	BO17SN6	YZ	WES-PTS225	MYH4	5.40
BN17SN6	YZ	WHI-BIR180	MYH4	9.36	BO17SN6	YZ	WHI-BIR180	MYH4	9.51
BN17SN6	YZ	WHI-EJS048	MYH4	9.16	BO17SN6	YZ	WHI-EJS048	MYH4	8.16
BN17SN6	XZ	CAP-RIO270	MYH5	9.71	BO17SN6	XZ	CAP-RIO270	MYH5	12.42
BN17SN6	XZ	CAP-RIO360	MYH5	8.65	BO17SN6	XZ	CAP-RIO360	MYH5	8.48
BN17SN6	XZ	CHI-TCU046W	MYH5	3.08	BO17SN6	XZ	CHI-TCU046W	MYH5	3.94
BN17SN6	XZ	CHI-TCU061N	MYH5	3.71	BO17SN6	XZ	CHI-TCU061N	MYH5	4.50
BN17SN6	XZ	CHI-TCU74N	MYH5	8.33	BO17SN6	XZ	CHI-TCU74N	MYH5	11.93
BN17SN6	XZ	CHI-TCU112-W	MYH5	1.75	BO17SN6	XZ	CHI-TCU112-W	MYH5	2.36
BN17SN6	XZ	CHI-TCU123-W	MYH5	4.14	BO17SN6	XZ	CHI-TCU123-W	MYH5	6.54
BN17SN6	XZ	CHI-TCU141-E	MYH5	2.11	BO17SN6	XZ	CHI-TCU141-E	MYH5	3.89
BN17SN6	XZ	CHI-WNTN	MYH5	4.59	BO17SN6	XZ	CHI-WNTN	MYH5	11.33
BN17SN6	XZ	COA-Z14000	MYH5	5.28	BO17SN6	XZ	COA-Z14000	MYH5	9.80
BN17SN6	XZ	IMP-AER045	MYH5	4.93	BO17SN6	XZ	IMP-AER045	MYH5	5.95
BN17SN6	XZ	IMP-ELC3-230	MYH5	4.42	BO17SN6	XZ	IMP-ELC3-230	MYH5	3.46
BN17SN6	XZ	IMP-ELC11-230	MYH5	5.77	BO17SN6	XZ	IMP-ELC11-230	MYH5	6.41
BN17SN6	XZ	IMP-ELCD-360	MYH5	7.92	BO17SN6	XZ	IMP-ELCD-360	MYH5	11.67
BN17SN6	XZ	KOC-AMB000	MYH5	4.58	BO17SN6	XZ	KOC-AMB000	MYH5	6.62
BN17SN6	XZ	LAN-CLVTR	MYH5	10.17	BO17SN6	XZ	LAN-CLVTR	MYH5	13.16
BN17SN6	XZ	LAN-JOS090	MYH5	6.14	BO17SN6	XZ	LAN-JOS090	MYH5	10.47
BN17SN6	XZ	LOM-CYC285	MYH5	7.67	BO17SN6	XZ	LOM-CYC285	MYH5	11.39
BN17SN6	XZ	LOM-GOF090	MYH5	5.23	BO17SN6	XZ	LOM-GOF090	MYH5	7.05
BN17SN6	XZ	LOM-HDA165	MYH5	7.36	BO17SN6	XZ	LOM-HDA165	MYH5	9.52
BN17SN6	XZ	LOM-SAR000	MYH5	8.80	BO17SN6	XZ	LOM-SAR000	MYH5	10.74
BN17SN6	XZ	LOM-SAR090	MYH5	4.82	BO17SN6	XZ	LOM-SAR090	MYH5	4.73

Tablo C.1 (devam): Mevcut binalara ait yerdeğiştirme talepleri

Bina Adı	Analiz Yönü	İvme Kaydı	MYH Grup No	Δ_d (cm)	Bina Adı	Analiz Yönü	İvme Kaydı	MYH Grup No	Δ_d (cm)
BN17SN6	XZ	NOR-KAT000	MYH5	12.06	BO17SN6	XZ	NOR-KAT000	MYH5	12.67
BN17SN6	XZ	NOR-LOS000	MYH5	9.99	BO17SN6	XZ	NOR-LOS000	MYH5	11.82
BN17SN6	XZ	NOR-MU2035	MYH5	5.70	BO17SN6	XZ	NOR-MU2035	MYH5	9.38
BN17SN6	XZ	NOR-STM090	MYH5	5.25	BO17SN6	XZ	NOR-STM090	MYH5	10.43
BN17SN6	XZ	NPAL-MVH135	MYH5	4.67	BO17SN6	XZ	NPAL-MVH135	MYH5	6.88
BN17SN6	XZ	SUP-ELC090	MYH5	3.97	BO17SN6	XZ	SUP-ELC090	MYH5	4.11
BN17SN6	XZ	SUP-PTS315	MYH5	6.73	BO17SN6	XZ	SUP-PTS315	MYH5	10.60
BN17SN6	XZ	SUP-SUP135	MYH5	7.71	BO17SN6	XZ	SUP-SUP135	MYH5	8.70
BN17SN6	YZ	CAP-RIO270	MYH5	10.39	BO17SN6	YZ	CAP-RIO270	MYH5	16.76
BN17SN6	YZ	CAP-RIO360	MYH5	8.94	BO17SN6	YZ	CAP-RIO360	MYH5	9.45
BN17SN6	YZ	CHI-TCU046W	MYH5	3.13	BO17SN6	YZ	CHI-TCU046W	MYH5	4.15
BN17SN6	YZ	CHI-TCU061N	MYH5	3.72	BO17SN6	YZ	CHI-TCU061N	MYH5	4.81
BN17SN6	YZ	CHI-TCU74N	MYH5	9.05	BO17SN6	YZ	CHI-TCU74N	MYH5	19.82
BN17SN6	YZ	CHI-TCU112-W	MYH5	1.80	BO17SN6	YZ	CHI-TCU112-W	MYH5	4.79
BN17SN6	YZ	CHI-TCU123-W	MYH5	4.11	BO17SN6	YZ	CHI-TCU123-W	MYH5	7.28
BN17SN6	YZ	CHI-TCU141-E	MYH5	2.08	BO17SN6	YZ	CHI-TCU141-E	MYH5	6.58
BN17SN6	YZ	CHI-WNTN	MYH5	4.93	BO17SN6	YZ	CHI-WNTN	MYH5	13.26
BN17SN6	YZ	COA-Z14000	MYH5	5.39	BO17SN6	YZ	COA-Z14000	MYH5	14.13
BN17SN6	YZ	IMP-AER045	MYH5	5.00	BO17SN6	YZ	IMP-AER045	MYH5	10.79
BN17SN6	YZ	IMP-ELC3-230	MYH5	4.52	BO17SN6	YZ	IMP-ELC3-230	MYH5	4.16
BN17SN6	YZ	IMP-ELC11-230	MYH5	6.22	BO17SN6	YZ	IMP-ELC11-230	MYH5	8.00
BN17SN6	YZ	IMP-ELCD-360	MYH5	8.20	BO17SN6	YZ	IMP-ELCD-360	MYH5	17.65
BN17SN6	YZ	KOC-AMB000	MYH5	4.55	BO17SN6	YZ	KOC-AMB000	MYH5	6.52
BN17SN6	YZ	LAN-CLVTR	MYH5	9.75	BO17SN6	YZ	LAN-CLVTR	MYH5	16.73
BN17SN6	YZ	LAN-JOS090	MYH5	6.51	BO17SN6	YZ	LAN-JOS090	MYH5	10.16
BN17SN6	YZ	LOM-CYC285	MYH5	8.17	BO17SN6	YZ	LOM-CYC285	MYH5	12.57
BN17SN6	YZ	LOM-GOF090	MYH5	5.37	BO17SN6	YZ	LOM-GOF090	MYH5	12.15
BN17SN6	YZ	LOM-HDA165	MYH5	7.44	BO17SN6	YZ	LOM-HDA165	MYH5	8.40
BN17SN6	YZ	LOM-SAR000	MYH5	8.47	BO17SN6	YZ	LOM-SAR000	MYH5	17.30
BN17SN6	YZ	LOM-SAR090	MYH5	4.89	BO17SN6	YZ	LOM-SAR090	MYH5	6.94
BN17SN6	YZ	NOR-KAT000	MYH5	13.42	BO17SN6	YZ	NOR-KAT000	MYH5	14.44
BN17SN6	YZ	NOR-LOS000	MYH5	9.89	BO17SN6	YZ	NOR-LOS000	MYH5	13.50
BN17SN6	YZ	NOR-MU2035	MYH5	5.71	BO17SN6	YZ	NOR-MU2035	MYH5	12.69
BN17SN6	YZ	NOR-STM090	MYH5	5.55	BO17SN6	YZ	NOR-STM090	MYH5	12.66
BN17SN6	YZ	NPAL-MVH135	MYH5	4.83	BO17SN6	YZ	NPAL-MVH135	MYH5	11.62
BN17SN6	YZ	SUP-ELC090	MYH5	4.01	BO17SN6	YZ	SUP-ELC090	MYH5	4.70
BN17SN6	YZ	SUP-PTS315	MYH5	7.46	BO17SN6	YZ	SUP-PTS315	MYH5	14.22
BN17SN6	YZ	SUP-SUP135	MYH5	9.46	BO17SN6	YZ	SUP-SUP135	MYH5	13.21
BN17SN6	XZ	CAP-PET000	MYH6	10.14	BO17SN6	XZ	CAP-PET000	MYH6	14.42
BN17SN6	XZ	CHI-CHY025W	MYH6	4.32	BO17SN6	XZ	CHI-CHY025W	MYH6	5.91
BN17SN6	XZ	CHI-CHY034-N	MYH6	7.12	BO17SN6	XZ	CHI-CHY034-N	MYH6	11.12
BN17SN6	XZ	CHI-TCU038N	MYH6	4.76	BO17SN6	XZ	CHI-TCU038N	MYH6	5.57
BN17SN6	XZ	CHI-TCU038W	MYH6	3.55	BO17SN6	XZ	CHI-TCU038W	MYH6	5.21
BN17SN6	XZ	CHI-TCU048N	MYH6	3.84	BO17SN6	XZ	CHI-TCU048N	MYH6	4.52
BN17SN6	XZ	CHI-TCU49W	MYH6	5.32	BO17SN6	XZ	CHI-TCU49W	MYH6	5.30
BN17SN6	XZ	CHI-TCU51W	MYH6	3.70	BO17SN6	XZ	CHI-TCU51W	MYH6	4.72
BN17SN6	XZ	CHI-TCU95N	MYH6	6.44	BO17SN6	XZ	CHI-TCU95N	MYH6	5.22
BN17SN6	XZ	CHI-TCU104-N	MYH6	1.66	BO17SN6	XZ	CHI-TCU104-N	MYH6	2.68
BN17SN6	XZ	CHI-TCU106-W	MYH6	5.13	BO17SN6	XZ	CHI-TCU106-W	MYH6	5.17
BN17SN6	XZ	CHI-TCU107-N	MYH6	3.66	BO17SN6	XZ	CHI-TCU107-N	MYH6	5.89
BN17SN6	XZ	COY-G06230	MYH6	9.82	BO17SN6	XZ	COY-G06230	MYH6	12.50
BN17SN6	XZ	IMP-E10050	MYH6	3.54	BO17SN6	XZ	IMP-E10050	MYH6	3.09
BN17SN6	XZ	IMP-ELC3-140	MYH6	6.05	BO17SN6	XZ	IMP-ELC3-140	MYH6	8.71
BN17SN6	XZ	IMP-ELC5-140	MYH6	6.48	BO17SN6	XZ	IMP-ELC5-140	MYH6	7.92
BN17SN6	XZ	IMP-ELC7-140	MYH6	7.27	BO17SN6	XZ	IMP-ELC7-140	MYH6	13.22
BN17SN6	XZ	IMP-ELC8-230	MYH6	5.95	BO17SN6	XZ	IMP-ELC8-230	MYH6	6.58
BN17SN6	XZ	IMP-HVP225	MYH6	4.96	BO17SN6	XZ	IMP-HVP225	MYH6	6.54
BN17SN6	XZ	KOC-DZC270	MYH6	7.68	BO17SN6	XZ	KOC-DZC270	MYH6	10.87
BN17SN6	XZ	LOM-BRN090	MYH6	11.93	BO17SN6	XZ	LOM-BRN090	MYH6	8.62

Tablo C.1 (devam): Mevcut binalara ait yerdeğiştirme talepleri

Bina Adı	Analiz Yönü	İvme Kaydı	MYH Grup No	Δ_d (cm)	Bina Adı	Analiz Yönü	İvme Kaydı	MYH Grup No	Δ_d (cm)
BN17SN6	XZ	LOM-COR090	MYH6	10.89	BO17SN6	XZ	LOM-COR090	MYH6	12.06
BN17SN6	XZ	LOM-G03090	MYH6	5.02	BO17SN6	XZ	LOM-G03090	MYH6	8.98
BN17SN6	XZ	LOM-HCH180	MYH6	6.23	BO17SN6	XZ	LOM-HCH180	MYH6	11.46
BN17SN6	XZ	NAH-S1010	MYH6	6.49	BO17SN6	XZ	NAH-S1010	MYH6	7.05
BN17SN6	XZ	NAH-S1280	MYH6	6.13	BO17SN6	XZ	NAH-S1280	MYH6	6.79
BN17SN6	XZ	NOR-LOS270	MYH6	7.48	BO17SN6	XZ	NOR-LOS270	MYH6	10.14
BN17SN6	XZ	NOR-PAC175	MYH6	7.23	BO17SN6	XZ	NOR-PAC175	MYH6	6.70
BN17SN6	XZ	SUP-ELC000	MYH6	6.07	BO17SN6	XZ	SUP-ELC000	MYH6	12.20
BN17SN6	XZ	WES-WSM090	MYH6	7.85	BO17SN6	XZ	WES-WSM090	MYH6	11.72
BN17SN6	YZ	CAP-PET000	MYH6	11.97	BO17SN6	YZ	CAP-PET000	MYH6	14.56
BN17SN6	YZ	CHI-CHY025W	MYH6	4.29	BO17SN6	YZ	CHI-CHY025W	MYH6	6.84
BN17SN6	YZ	CHI-CHY034-N	MYH6	7.34	BO17SN6	YZ	CHI-CHY034-N	MYH6	13.78
BN17SN6	YZ	CHI-TCU038N	MYH6	4.98	BO17SN6	YZ	CHI-TCU038N	MYH6	6.65
BN17SN6	YZ	CHI-TCU038W	MYH6	3.63	BO17SN6	YZ	CHI-TCU038W	MYH6	5.77
BN17SN6	YZ	CHI-TCU048N	MYH6	3.91	BO17SN6	YZ	CHI-TCU048N	MYH6	5.56
BN17SN6	YZ	CHI-TCU49W	MYH6	5.42	BO17SN6	YZ	CHI-TCU49W	MYH6	8.73
BN17SN6	YZ	CHI-TCU51W	MYH6	3.71	BO17SN6	YZ	CHI-TCU51W	MYH6	6.35
BN17SN6	YZ	CHI-TCU95N	MYH6	6.47	BO17SN6	YZ	CHI-TCU95N	MYH6	5.62
BN17SN6	YZ	CHI-TCU104-N	MYH6	1.66	BO17SN6	YZ	CHI-TCU104-N	MYH6	3.75
BN17SN6	YZ	CHI-TCU106-W	MYH6	5.13	BO17SN6	YZ	CHI-TCU106-W	MYH6	7.51
BN17SN6	YZ	CHI-TCU107-N	MYH6	3.75	BO17SN6	YZ	CHI-TCU107-N	MYH6	7.97
BN17SN6	YZ	COY-G06230	MYH6	10.49	BO17SN6	YZ	COY-G06230	MYH6	15.26
BN17SN6	YZ	IMP-E10050	MYH6	3.50	BO17SN6	YZ	IMP-E10050	MYH6	5.77
BN17SN6	YZ	IMP-ELC3-140	MYH6	6.04	BO17SN6	YZ	IMP-ELC3-140	MYH6	9.60
BN17SN6	YZ	IMP-ELC5-140	MYH6	6.28	BO17SN6	YZ	IMP-ELC5-140	MYH6	10.43
BN17SN6	YZ	IMP-ELC7-140	MYH6	7.35	BO17SN6	YZ	IMP-ELC7-140	MYH6	16.89
BN17SN6	YZ	IMP-ELC8-230	MYH6	6.46	BO17SN6	YZ	IMP-ELC8-230	MYH6	7.54
BN17SN6	YZ	IMP-HVP225	MYH6	5.23	BO17SN6	YZ	IMP-HVP225	MYH6	11.33
BN17SN6	YZ	KOC-DZC270	MYH6	7.86	BO17SN6	YZ	KOC-DZC270	MYH6	17.81
BN17SN6	YZ	LOM-BRN090	MYH6	12.55	BO17SN6	YZ	LOM-BRN090	MYH6	8.67
BN17SN6	YZ	LOM-COR090	MYH6	10.87	BO17SN6	YZ	LOM-COR090	MYH6	9.38
BN17SN6	YZ	LOM-G03090	MYH6	5.41	BO17SN6	YZ	LOM-G03090	MYH6	13.94
BN17SN6	YZ	LOM-HCH180	MYH6	6.84	BO17SN6	YZ	LOM-HCH180	MYH6	15.30
BN17SN6	YZ	NAH-S1010	MYH6	7.22	BO17SN6	YZ	NAH-S1010	MYH6	10.55
BN17SN6	YZ	NAH-S1280	MYH6	6.31	BO17SN6	YZ	NAH-S1280	MYH6	8.51
BN17SN6	YZ	NOR-LOS270	MYH6	7.86	BO17SN6	YZ	NOR-LOS270	MYH6	13.43
BN17SN6	YZ	NOR-PAC175	MYH6	8.24	BO17SN6	YZ	NOR-PAC175	MYH6	7.57
BN17SN6	YZ	SUP-ELC000	MYH6	6.85	BO17SN6	YZ	SUP-ELC000	MYH6	14.03
BN17SN6	YZ	WES-WSM090	MYH6	7.65	BO17SN6	YZ	WES-WSM090	MYH6	12.73
BN17SN6	XZ	CHI-CHY002-N	MYH7	3.26	BO17SN6	XZ	CHI-CHY002-N	MYH7	5.67
BN17SN6	XZ	CHI-CHY024W	MYH7	6.11	BO17SN6	XZ	CHI-CHY024W	MYH7	7.44
BN17SN6	XZ	CHI-CHY104-E	MYH7	4.78	BO17SN6	XZ	CHI-CHY104-E	MYH7	6.38
BN17SN6	XZ	CHI-TCU029N	MYH7	3.13	BO17SN6	XZ	CHI-TCU029N	MYH7	3.95
BN17SN6	XZ	CHI-TCU036N	MYH7	3.13	BO17SN6	XZ	CHI-TCU036N	MYH7	4.11
BN17SN6	XZ	CHI-TCU039N	MYH7	4.03	BO17SN6	XZ	CHI-TCU039N	MYH7	4.90
BN17SN6	XZ	CHI-TCU039W	MYH7	4.70	BO17SN6	XZ	CHI-TCU039W	MYH7	5.89
BN17SN6	XZ	CHI-TCU040N	MYH7	3.37	BO17SN6	XZ	CHI-TCU040N	MYH7	4.52
BN17SN6	XZ	CHI-TCU040W	MYH7	3.45	BO17SN6	XZ	CHI-TCU040W	MYH7	4.53
BN17SN6	XZ	CHI-TCU055N	MYH7	5.78	BO17SN6	XZ	CHI-TCU055N	MYH7	6.23
BN17SN6	XZ	CHI-TCU064N	MYH7	2.41	BO17SN6	XZ	CHI-TCU064N	MYH7	4.35
BN17SN6	XZ	CHI-TCU70W	MYH7	8.53	BO17SN6	XZ	CHI-TCU70W	MYH7	7.71
BN17SN6	XZ	CHI-TCU109-N	MYH7	5.20	BO17SN6	XZ	CHI-TCU109-N	MYH7	6.01
BN17SN6	XZ	CHI-TCU109-W	MYH7	4.79	BO17SN6	XZ	CHI-TCU109-W	MYH7	7.42
BN17SN6	XZ	CHI-TCU115-W	MYH7	2.50	BO17SN6	XZ	CHI-TCU115-W	MYH7	3.14
BN17SN6	XZ	CHI-TCU117-N	MYH7	2.88	BO17SN6	XZ	CHI-TCU117-N	MYH7	3.89
BN17SN6	XZ	IMP-ELC8-140	MYH7	7.55	BO17SN6	XZ	IMP-ELC8-140	MYH7	9.34
BN17SN6	XZ	IMP-HVP315	MYH7	3.43	BO17SN6	XZ	IMP-HVP315	MYH7	4.63
BN17SN6	XZ	IRP-STU270	MYH7	4.57	BO17SN6	XZ	IRP-STU270	MYH7	11.39
BN17SN6	XZ	KOC-GBZ000	MYH7	4.95	BO17SN6	XZ	KOC-GBZ000	MYH7	4.73

Tablo C.1 (devam): Mevcut binalara ait yerdeğiştirme talepleri

Bina Adı	Analiz Yönü	İvme Kaydı	MYH Grup No	Δ_d (cm)	Bina Adı	Analiz Yönü	İvme Kaydı	MYH Grup No	Δ_d (cm)
BN17SN6	XZ	LAN-YER270	MYH7	5.43	BO17SN6	XZ	LAN-YER270	MYH7	9.01
BN17SN6	XZ	LOM-A02043	MYH7	8.22	BO17SN6	XZ	LOM-A02043	MYH7	18.12
BN17SN6	XZ	LOM-BRN000	MYH7	10.34	BO17SN6	XZ	LOM-BRN000	MYH7	16.27
BN17SN6	XZ	LOM-LGP090	MYH7	9.34	BO17SN6	XZ	LOM-LGP090	MYH7	10.66
BN17SN6	XZ	MOR-CYC195	MYH7	11.02	BO17SN6	XZ	MOR-CYC195	MYH7	13.75
BN17SN6	XZ	NOR-LDM334	MYH7	6.75	BO17SN6	XZ	NOR-LDM334	MYH7	12.48
BN17SN6	XZ	NOR-ORR090	MYH7	8.25	BO17SN6	XZ	NOR-ORR090	MYH7	11.42
BN17SN6	XZ	NOR-ORR360	MYH7	12.89	BO17SN6	XZ	NOR-ORR360	MYH7	20.33
BN17SN6	XZ	NOR-PKC360	MYH7	12.51	BO17SN6	XZ	NOR-PKC360	MYH7	8.81
BN17SN6	XZ	SFD-PCD254	MYH7	12.56	BO17SN6	XZ	SFD-PCD254	MYH7	11.30
BN17SN6	YZ	CHI-CHY002-N	MYH7	3.37	BO17SN6	YZ	CHI-CHY002-N	MYH7	4.71
BN17SN6	YZ	CHI-CHY024W	MYH7	6.20	BO17SN6	YZ	CHI-CHY024W	MYH7	14.36
BN17SN6	YZ	CHI-CHY104-E	MYH7	5.06	BO17SN6	YZ	CHI-CHY104-E	MYH7	7.03
BN17SN6	YZ	CHI-TCU029N	MYH7	3.01	BO17SN6	YZ	CHI-TCU029N	MYH7	6.05
BN17SN6	YZ	CHI-TCU036N	MYH7	3.11	BO17SN6	YZ	CHI-TCU036N	MYH7	6.79
BN17SN6	YZ	CHI-TCU039N	MYH7	4.03	BO17SN6	YZ	CHI-TCU039N	MYH7	5.84
BN17SN6	YZ	CHI-TCU039W	MYH7	4.78	BO17SN6	YZ	CHI-TCU039W	MYH7	6.60
BN17SN6	YZ	CHI-TCU040N	MYH7	3.37	BO17SN6	YZ	CHI-TCU040N	MYH7	5.12
BN17SN6	YZ	CHI-TCU040W	MYH7	3.45	BO17SN6	YZ	CHI-TCU040W	MYH7	5.47
BN17SN6	YZ	CHI-TCU055N	MYH7	6.33	BO17SN6	YZ	CHI-TCU055N	MYH7	8.57
BN17SN6	YZ	CHI-TCU064N	MYH7	2.40	BO17SN6	YZ	CHI-TCU064N	MYH7	7.85
BN17SN6	YZ	CHI-TCU70W	MYH7	9.07	BO17SN6	YZ	CHI-TCU70W	MYH7	8.38
BN17SN6	YZ	CHI-TCU109-N	MYH7	5.30	BO17SN6	YZ	CHI-TCU109-N	MYH7	11.52
BN17SN6	YZ	CHI-TCU109-W	MYH7	4.91	BO17SN6	YZ	CHI-TCU109-W	MYH7	8.70
BN17SN6	YZ	CHI-TCU115-W	MYH7	2.57	BO17SN6	YZ	CHI-TCU115-W	MYH7	4.21
BN17SN6	YZ	CHI-TCU117-N	MYH7	2.85	BO17SN6	YZ	CHI-TCU117-N	MYH7	5.71
BN17SN6	YZ	IMP-ELC8-140	MYH7	7.52	BO17SN6	YZ	IMP-ELC8-140	MYH7	11.03
BN17SN6	YZ	IMP-HVP315	MYH7	3.42	BO17SN6	YZ	IMP-HVP315	MYH7	6.56
BN17SN6	YZ	IRP-STU270	MYH7	4.64	BO17SN6	YZ	IRP-STU270	MYH7	16.20
BN17SN6	YZ	KOC-GBZ000	MYH7	5.11	BO17SN6	YZ	KOC-GBZ000	MYH7	8.61
BN17SN6	YZ	LAN-YER270	MYH7	5.63	BO17SN6	YZ	LAN-YER270	MYH7	9.99
BN17SN6	YZ	LOM-A02043	MYH7	7.90	BO17SN6	YZ	LOM-A02043	MYH7	14.61
BN17SN6	YZ	LOM-BRN000	MYH7	11.16	BO17SN6	YZ	LOM-BRN000	MYH7	18.58
BN17SN6	YZ	LOM-LGP090	MYH7	10.16	BO17SN6	YZ	LOM-LGP090	MYH7	12.35
BN17SN6	YZ	MOR-CYC195	MYH7	11.01	BO17SN6	YZ	MOR-CYC195	MYH7	11.20
BN17SN6	YZ	NOR-LDM334	MYH7	6.74	BO17SN6	YZ	NOR-LDM334	MYH7	14.89
BN17SN6	YZ	NOR-ORR090	MYH7	8.69	BO17SN6	YZ	NOR-ORR090	MYH7	14.93
BN17SN6	YZ	NOR-ORR360	MYH7	13.07	BO17SN6	YZ	NOR-ORR360	MYH7	21.51
BN17SN6	YZ	NOR-PKC360	MYH7	12.76	BO17SN6	YZ	NOR-PKC360	MYH7	9.66
BN17SN6	YZ	SFD-PCD254	MYH7	13.87	BO17SN6	YZ	SFD-PCD254	MYH7	12.52
BN17SN6	XZ	CAP-RIO270	MYH8	12.63	BO17SN6	XZ	CAP-RIO270	MYH8	16.72
BN17SN6	XZ	CAP-RIO360	MYH8	11.64	BO17SN6	XZ	CAP-RIO360	MYH8	11.08
BN17SN6	XZ	CHI-CHY006-E	MYH8	11.51	BO17SN6	XZ	CHI-CHY006-E	MYH8	10.70
BN17SN6	XZ	CHI-CHY092-E	MYH8	2.24	BO17SN6	XZ	CHI-CHY092-E	MYH8	4.37
BN17SN6	XZ	CHI-CHY104-N	MYH8	4.60	BO17SN6	XZ	CHI-CHY104-N	MYH8	8.89
BN17SN6	XZ	CHI-TCU054W	MYH8	4.07	BO17SN6	XZ	CHI-TCU054W	MYH8	4.61
BN17SN6	XZ	CHI-TCU059N	MYH8	4.12	BO17SN6	XZ	CHI-TCU059N	MYH8	5.67
BN17SN6	XZ	CHI-TCU059W	MYH8	4.91	BO17SN6	XZ	CHI-TCU059W	MYH8	6.77
BN17SN6	XZ	CHI-TCU063W	MYH8	5.56	BO17SN6	XZ	CHI-TCU063W	MYH8	7.65
BN17SN6	XZ	CHI-TCU072N	MYH8	10.03	BO17SN6	XZ	CHI-TCU072N	MYH8	20.20
BN17SN6	XZ	CHI-TCU82W	MYH8	4.88	BO17SN6	XZ	CHI-TCU82W	MYH8	6.28
BN17SN6	XZ	CHI-TCU110-N	MYH8	6.59	BO17SN6	XZ	CHI-TCU110-N	MYH8	10.42
BN17SN6	XZ	CHI-TCU111-W	MYH8	4.03	BO17SN6	XZ	CHI-TCU111-W	MYH8	6.07
BN17SN6	XZ	CHI-TCU117-W	MYH8	4.02	BO17SN6	XZ	CHI-TCU117-W	MYH8	5.16
BN17SN6	XZ	CHI-TCU136-E	MYH8	4.90	BO17SN6	XZ	CHI-TCU136-E	MYH8	7.40
BN17SN6	XZ	DZC-BOL000	MYH8	10.88	BO17SN6	XZ	DZC-BOL000	MYH8	13.64
BN17SN6	XZ	IMP-ELC3-140	MYH8	7.35	BO17SN6	XZ	IMP-ELC3-140	MYH8	11.57
BN17SN6	XZ	IMP-ELC3-230	MYH8	5.81	BO17SN6	XZ	IMP-ELC3-230	MYH8	5.25
BN17SN6	XZ	IRP-STU270	MYH8	5.00	BO17SN6	XZ	IRP-STU270	MYH8	13.06

Tablo C.1 (devam): Mevcut binalara ait yerdeğiştirme talepleri

Bina Adı	Analiz Yönü	İvme Kaydı	MYH Grup No	Δ_d (cm)	Bina Adı	Analiz Yönü	İvme Kaydı	MYH Grup No	Δ_d (cm)
BN17SN6	XZ	KOC-DZC180	MYH8	7.13	BO17SN6	XZ	KOC-DZC180	MYH8	8.42
BN17SN6	XZ	KOC-DZC270	MYH8	9.51	BO17SN6	XZ	KOC-DZC270	MYH8	17.65
BN17SN6	XZ	KOC-GBZ000	MYH8	5.59	BO17SN6	XZ	KOC-GBZ000	MYH8	5.66
BN17SN6	XZ	LAN-CLVTR	MYH8	16.92	BO17SN6	XZ	LAN-CLVTR	MYH8	19.76
BN17SN6	XZ	LAN-YER270	MYH8	6.11	BO17SN6	XZ	LAN-YER270	MYH8	10.62
BN17SN6	XZ	LOM-COR000	MYH8	10.89	BO17SN6	XZ	LOM-COR000	MYH8	12.22
BN17SN6	XZ	NOR-MUL009	MYH8	9.90	BO17SN6	XZ	NOR-MUL009	MYH8	13.02
BN17SN6	XZ	NOR-PUL104	MYH8	11.35	BO17SN6	XZ	NOR-PUL104	MYH8	14.62
BN17SN6	XZ	NPAL-MVH135	MYH8	7.08	BO17SN6	XZ	NPAL-MVH135	MYH8	14.00
BN17SN6	XZ	SUP-ELC000	MYH8	7.46	BO17SN6	XZ	SUP-ELC000	MYH8	15.42
BN17SN6	XZ	SUP-ELC090	MYH8	5.67	BO17SN6	XZ	SUP-ELC090	MYH8	5.46
BN17SN6	YZ	CAP-RIO270	MYH8	13.56	BO17SN6	YZ	CAP-RIO270	MYH8	22.12
BN17SN6	YZ	CAP-RIO360	MYH8	12.19	BO17SN6	YZ	CAP-RIO360	MYH8	14.43
BN17SN6	YZ	CHI-CHY006-E	MYH8	12.50	BO17SN6	YZ	CHI-CHY006-E	MYH8	14.46
BN17SN6	YZ	CHI-CHY092-E	MYH8	2.19	BO17SN6	YZ	CHI-CHY092-E	MYH8	6.14
BN17SN6	YZ	CHI-CHY104-N	MYH8	4.87	BO17SN6	YZ	CHI-CHY104-N	MYH8	8.73
BN17SN6	YZ	CHI-TCU054W	MYH8	4.07	BO17SN6	YZ	CHI-TCU054W	MYH8	6.72
BN17SN6	YZ	CHI-TCU059N	MYH8	4.19	BO17SN6	YZ	CHI-TCU059N	MYH8	9.81
BN17SN6	YZ	CHI-TCU059W	MYH8	5.00	BO17SN6	YZ	CHI-TCU059W	MYH8	8.12
BN17SN6	YZ	CHI-TCU063W	MYH8	5.68	BO17SN6	YZ	CHI-TCU063W	MYH8	8.55
BN17SN6	YZ	CHI-TCU072N	MYH8	10.10	BO17SN6	YZ	CHI-TCU072N	MYH8	16.11
BN17SN6	YZ	CHI-TCU82W	MYH8	4.94	BO17SN6	YZ	CHI-TCU82W	MYH8	6.54
BN17SN6	YZ	CHI-TCU110-N	MYH8	6.82	BO17SN6	YZ	CHI-TCU110-N	MYH8	13.14
BN17SN6	YZ	CHI-TCU111-W	MYH8	4.00	BO17SN6	YZ	CHI-TCU111-W	MYH8	8.98
BN17SN6	YZ	CHI-TCU117-W	MYH8	3.96	BO17SN6	YZ	CHI-TCU117-W	MYH8	6.66
BN17SN6	YZ	CHI-TCU136-E	MYH8	4.98	BO17SN6	YZ	CHI-TCU136-E	MYH8	8.06
BN17SN6	YZ	DZC-BOL000	MYH8	10.61	BO17SN6	YZ	DZC-BOL000	MYH8	15.38
BN17SN6	YZ	IMP-ELC3-140	MYH8	7.35	BO17SN6	YZ	IMP-ELC3-140	MYH8	12.82
BN17SN6	YZ	IMP-ELC3-230	MYH8	5.68	BO17SN6	YZ	IMP-ELC3-230	MYH8	5.47
BN17SN6	YZ	IRP-STU270	MYH8	5.08	BO17SN6	YZ	IRP-STU270	MYH8	18.54
BN17SN6	YZ	KOC-DZC180	MYH8	7.22	BO17SN6	YZ	KOC-DZC180	MYH8	9.28
BN17SN6	YZ	KOC-DZC270	MYH8	10.06	BO17SN6	YZ	KOC-DZC270	MYH8	23.98
BN17SN6	YZ	KOC-GBZ000	MYH8	5.77	BO17SN6	YZ	KOC-GBZ000	MYH8	10.00
BN17SN6	YZ	LAN-CLVTR	MYH8	16.16	BO17SN6	YZ	LAN-CLVTR	MYH8	26.75
BN17SN6	YZ	LAN-YER270	MYH8	6.26	BO17SN6	YZ	LAN-YER270	MYH8	11.88
BN17SN6	YZ	LOM-COR000	MYH8	11.03	BO17SN6	YZ	LOM-COR000	MYH8	13.72
BN17SN6	YZ	NOR-MUL009	MYH8	10.41	BO17SN6	YZ	NOR-MUL009	MYH8	20.22
BN17SN6	YZ	NOR-PUL104	MYH8	11.36	BO17SN6	YZ	NOR-PUL104	MYH8	14.34
BN17SN6	YZ	NPAL-MVH135	MYH8	6.94	BO17SN6	YZ	NPAL-MVH135	MYH8	21.17
BN17SN6	YZ	SUP-ELC000	MYH8	7.55	BO17SN6	YZ	SUP-ELC000	MYH8	18.43
BN17SN6	YZ	SUP-ELC090	MYH8	5.77	BO17SN6	YZ	SUP-ELC090	MYH8	8.25
BN17SN6	XZ	CHI-TCU036W	MYH9	3.96	BO17SN6	XZ	CHI-TCU036W	MYH9	5.81
BN17SN6	XZ	CHI-TCU49N	MYH9	4.87	BO17SN6	XZ	CHI-TCU49N	MYH9	7.47
BN17SN6	XZ	CHI-TCU70N	MYH9	6.21	BO17SN6	XZ	CHI-TCU70N	MYH9	6.51
BN17SN6	XZ	CHI-TCU76N	MYH9	7.71	BO17SN6	XZ	CHI-TCU76N	MYH9	18.44
BN17SN6	XZ	CHI-TCU76W	MYH9	4.64	BO17SN6	XZ	CHI-TCU76W	MYH9	6.66
BN17SN6	XZ	CHI-TCU079-W	MYH9	13.94	BO17SN6	XZ	CHI-TCU079-W	MYH9	13.47
BN17SN6	XZ	CHI-TCU95W	MYH9	7.06	BO17SN6	XZ	CHI-TCU95W	MYH9	7.60
BN17SN6	XZ	CHI-TCU103-W	MYH9	3.41	BO17SN6	XZ	CHI-TCU103-W	MYH9	4.12
BN17SN6	XZ	CHI-TCU120-W	MYH9	4.59	BO17SN6	XZ	CHI-TCU120-W	MYH9	7.96
BN17SN6	XZ	CHI-TCU129-W	MYH9	9.07	BO17SN6	XZ	CHI-TCU129-W	MYH9	14.30
BN17SN6	XZ	COA-PLE045	MYH9	14.76	BO17SN6	XZ	COA-PLE045	MYH9	16.59
BN17SN6	XZ	DZC-BOL000	MYH9	12.14	BO17SN6	XZ	DZC-BOL000	MYH9	15.31
BN17SN6	XZ	DZC-BOL090	MYH9	14.45	BO17SN6	XZ	DZC-BOL090	MYH9	19.83
BN17SN6	XZ	DZC-DZC180	MYH9	9.75	BO17SN6	XZ	DZC-DZC180	MYH9	8.34
BN17SN6	XZ	ERZ-ERZEW	MYH9	9.13	BO17SN6	XZ	ERZ-ERZEW	MYH9	19.24
BN17SN6	XZ	IMP-ELC3-140	MYH9	8.09	BO17SN6	XZ	IMP-ELC3-140	MYH9	12.94
BN17SN6	XZ	IMP-HVP315	MYH9	4.29	BO17SN6	XZ	IMP-HVP315	MYH9	5.56
BN17SN6	XZ	IRP-STU270	MYH9	5.48	BO17SN6	XZ	IRP-STU270	MYH9	14.95

Tablo C.1 (devam): Mevcut binalara ait yerdeğiştirme talepleri

Bina Adı	Analiz Yönü	İvme Kaydı	MYH Grup No	Δ_d (cm)	Bina Adı	Analiz Yönü	İvme Kaydı	MYH Grup No	Δ_d (cm)
BN17SN6	XZ	KOC-DZC180	MYH9	7.59	BO17SN6	XZ	KOC-DZC180	MYH9	8.50
BN17SN6	XZ	KOC-GBZ000	MYH9	6.08	BO17SN6	XZ	KOC-GBZ000	MYH9	6.40
BN17SN6	XZ	KOC-YAR330	MYH9	6.55	BO17SN6	XZ	KOC-YAR330	MYH9	9.53
BN17SN6	XZ	LAN-YER270	MYH9	6.95	BO17SN6	XZ	LAN-YER270	MYH9	11.96
BN17SN6	XZ	LOM-BRN000	MYH9	10.42	BO17SN6	XZ	LOM-BRN000	MYH9	19.37
BN17SN6	XZ	LOM-HSP000	MYH9	13.37	BO17SN6	XZ	LOM-HSP000	MYH9	15.31
BN17SN6	XZ	LOM-WVC270	MYH9	7.89	BO17SN6	XZ	LOM-WVC270	MYH9	11.98
BN17SN6	XZ	NOR-CNP196	MYH9	8.97	BO17SN6	XZ	NOR-CNP196	MYH9	8.89
BN17SN6	XZ	NOR-LDM064	MYH9	11.75	BO17SN6	XZ	NOR-LDM064	MYH9	17.33
BN17SN6	XZ	NOR-MUL279	MYH9	8.98	BO17SN6	XZ	NOR-MUL279	MYH9	21.56
BN17SN6	XZ	NOR-SAT180	MYH9	9.96	BO17SN6	XZ	NOR-SAT180	MYH9	18.11
BN17SN6	XZ	SUP-ELC000	MYH9	8.35	BO17SN6	XZ	SUP-ELC000	MYH9	16.89
BN17SN6	YZ	CHI-TCU036W	MYH9	3.96	BO17SN6	YZ	CHI-TCU036W	MYH9	6.43
BN17SN6	YZ	CHI-TCU49N	MYH9	4.97	BO17SN6	YZ	CHI-TCU49N	MYH9	9.12
BN17SN6	YZ	CHI-TCU70N	MYH9	6.58	BO17SN6	YZ	CHI-TCU70N	MYH9	8.93
BN17SN6	YZ	CHI-TCU76N	MYH9	7.28	BO17SN6	YZ	CHI-TCU76N	MYH9	19.42
BN17SN6	YZ	CHI-TCU76W	MYH9	4.67	BO17SN6	YZ	CHI-TCU76W	MYH9	8.67
BN17SN6	YZ	CHI-TCU079-W	MYH9	14.85	BO17SN6	YZ	CHI-TCU079-W	MYH9	14.28
BN17SN6	YZ	CHI-TCU95W	MYH9	7.05	BO17SN6	YZ	CHI-TCU95W	MYH9	10.27
BN17SN6	YZ	CHI-TCU103-W	MYH9	3.48	BO17SN6	YZ	CHI-TCU103-W	MYH9	7.62
BN17SN6	YZ	CHI-TCU120-W	MYH9	4.59	BO17SN6	YZ	CHI-TCU120-W	MYH9	16.72
BN17SN6	YZ	CHI-TCU129-W	MYH9	9.31	BO17SN6	YZ	CHI-TCU129-W	MYH9	20.26
BN17SN6	YZ	COA-PLE045	MYH9	14.75	BO17SN6	YZ	COA-PLE045	MYH9	18.60
BN17SN6	YZ	DZC-BOL000	MYH9	12.29	BO17SN6	YZ	DZC-BOL000	MYH9	17.00
BN17SN6	YZ	DZC-BOL090	MYH9	13.67	BO17SN6	YZ	DZC-BOL090	MYH9	15.67
BN17SN6	YZ	DZC-DZC180	MYH9	9.11	BO17SN6	YZ	DZC-DZC180	MYH9	10.42
BN17SN6	YZ	ERZ-ERZEW	MYH9	9.32	BO17SN6	YZ	ERZ-ERZEW	MYH9	20.36
BN17SN6	YZ	IMP-ELC3-140	MYH9	8.04	BO17SN6	YZ	IMP-ELC3-140	MYH9	14.25
BN17SN6	YZ	IMP-HVP315	MYH9	4.26	BO17SN6	YZ	IMP-HVP315	MYH9	9.20
BN17SN6	YZ	IRP-STU270	MYH9	5.56	BO17SN6	YZ	IRP-STU270	MYH9	21.03
BN17SN6	YZ	KOC-DZC180	MYH9	7.70	BO17SN6	YZ	KOC-DZC180	MYH9	10.25
BN17SN6	YZ	KOC-GBZ000	MYH9	6.27	BO17SN6	YZ	KOC-GBZ000	MYH9	10.98
BN17SN6	YZ	KOC-YAR330	MYH9	6.85	BO17SN6	YZ	KOC-YAR330	MYH9	12.30
BN17SN6	YZ	LAN-YER270	MYH9	6.72	BO17SN6	YZ	LAN-YER270	MYH9	13.73
BN17SN6	YZ	LOM-BRN000	MYH9	12.85	BO17SN6	YZ	LOM-BRN000	MYH9	21.59
BN17SN6	YZ	LOM-HSP000	MYH9	14.08	BO17SN6	YZ	LOM-HSP000	MYH9	21.53
BN17SN6	YZ	LOM-WVC270	MYH9	8.21	BO17SN6	YZ	LOM-WVC270	MYH9	23.23
BN17SN6	YZ	NOR-CNP196	MYH9	10.31	BO17SN6	YZ	NOR-CNP196	MYH9	15.83
BN17SN6	YZ	NOR-LDM064	MYH9	11.56	BO17SN6	YZ	NOR-LDM064	MYH9	16.54
BN17SN6	YZ	NOR-MUL279	MYH9	9.33	BO17SN6	YZ	NOR-MUL279	MYH9	25.50
BN17SN6	YZ	NOR-SAT180	MYH9	9.97	BO17SN6	YZ	NOR-SAT180	MYH9	23.24
BN17SN6	YZ	SUP-ELC000	MYH9	8.42	BO17SN6	YZ	SUP-ELC000	MYH9	20.07
BN17SN6	XZ	CHI-CHY28N	MYH10	19.40	BO17SN6	XZ	CHI-CHY28N	MYH10	15.10
BN17SN6	XZ	CHI-TCU067N	MYH10	6.78	BO17SN6	XZ	CHI-TCU067N	MYH10	11.67
BN17SN6	XZ	CHI-TCU071N	MYH10	6.31	BO17SN6	XZ	CHI-TCU071N	MYH10	12.01
BN17SN6	XZ	CHI-TCU101-W	MYH10	5.45	BO17SN6	XZ	CHI-TCU101-W	MYH10	7.16
BN17SN6	XZ	CHI-TCU110-W	MYH10	4.52	BO17SN6	XZ	CHI-TCU110-W	MYH10	8.26
BN17SN6	XZ	CHI-TCU128-N	MYH10	4.11	BO17SN6	XZ	CHI-TCU128-N	MYH10	6.15
BN17SN6	XZ	CHI-WGK-E	MYH10	6.43	BO17SN6	XZ	CHI-WGK-E	MYH10	9.72
BN17SN6	XZ	CHI-WNTE	MYH10	7.62	BO17SN6	XZ	CHI-WNTE	MYH10	9.29
BN17SN6	XZ	DZC-BOL000	MYH10	12.99	BO17SN6	XZ	DZC-BOL000	MYH10	16.63
BN17SN6	XZ	DZC-BOL090	MYH10	17.08	BO17SN6	XZ	DZC-BOL090	MYH10	20.66
BN17SN6	XZ	GAZ-KAR000	MYH10	9.60	BO17SN6	XZ	GAZ-KAR000	MYH10	11.23
BN17SN6	XZ	IMP-ECC092	MYH10	6.90	BO17SN6	XZ	IMP-ECC092	MYH10	7.09
BN17SN6	XZ	IMP-ELC3-140	MYH10	8.94	BO17SN6	XZ	IMP-ELC3-140	MYH10	14.25
BN17SN6	XZ	IMP-ELC6-140	MYH10	9.49	BO17SN6	XZ	IMP-ELC6-140	MYH10	9.88
BN17SN6	XZ	IRP-STU270	MYH10	5.94	BO17SN6	XZ	IRP-STU270	MYH10	16.91
BN17SN6	XZ	KOB-TAK000	MYH10	15.49	BO17SN6	XZ	KOB-TAK000	MYH10	14.92
BN17SN6	XZ	KOC-DZC180	MYH10	8.25	BO17SN6	XZ	KOC-DZC180	MYH10	8.47

Tablo C.1 (devam): Mevcut binalara ait yerdeğiştirme talepleri

Bina Adı	Analiz Yönü	İvme Kaydı	MYH Grup No	Δ_d (cm)	Bina Adı	Analiz Yönü	İvme Kaydı	MYH Grup No	Δ_d (cm)
BN17SN6	XZ	KOC-GBZ000	MYH10	6.57	BO17SN6	XZ	KOC-GBZ000	MYH10	7.18
BN17SN6	XZ	KOC-YAR060	MYH10	6.80	BO17SN6	XZ	KOC-YAR060	MYH10	8.53
BN17SN6	XZ	LAN-YER270	MYH10	7.84	BO17SN6	XZ	LAN-YER270	MYH10	13.38
BN17SN6	XZ	LOM-BRN000	MYH10	10.16	BO17SN6	XZ	LOM-BRN000	MYH10	20.56
BN17SN6	XZ	LOM-G03090	MYH10	6.75	BO17SN6	XZ	LOM-G03090	MYH10	17.16
BN17SN6	XZ	LOM-HSP000	MYH10	14.52	BO17SN6	XZ	LOM-HSP000	MYH10	16.93
BN17SN6	XZ	NOR-CNP196	MYH10	9.90	BO17SN6	XZ	NOR-CNP196	MYH10	10.22
BN17SN6	XZ	NOR-MUL009	MYH10	11.34	BO17SN6	XZ	NOR-MUL009	MYH10	15.17
BN17SN6	XZ	NOR-MUL279	MYH10	10.17	BO17SN6	XZ	NOR-MUL279	MYH10	23.45
BN17SN6	XZ	NOR-ORR090	MYH10	10.69	BO17SN6	XZ	NOR-ORR090	MYH10	15.31
BN17SN6	XZ	NOR-ORR360	MYH10	16.93	BO17SN6	XZ	NOR-ORR360	MYH10	26.78
BN17SN6	XZ	NOR-SAT180	MYH10	11.78	BO17SN6	XZ	NOR-SAT180	MYH10	21.01
BN17SN6	XZ	NOR-WPI316	MYH10	7.48	BO17SN6	XZ	NOR-WPI316	MYH10	9.94
BN17SN6	YZ	CHI-CHY28N	MYH10	17.90	BO17SN6	YZ	CHI-CHY28N	MYH10	18.91
BN17SN6	YZ	CHI-TCU067N	MYH10	7.75	BO17SN6	YZ	CHI-TCU067N	MYH10	16.44
BN17SN6	YZ	CHI-TCU071N	MYH10	6.70	BO17SN6	YZ	CHI-TCU071N	MYH10	11.95
BN17SN6	YZ	CHI-TCU101-W	MYH10	5.97	BO17SN6	YZ	CHI-TCU101-W	MYH10	11.21
BN17SN6	YZ	CHI-TCU110-W	MYH10	4.48	BO17SN6	YZ	CHI-TCU110-W	MYH10	10.34
BN17SN6	YZ	CHI-TCU128-N	MYH10	4.21	BO17SN6	YZ	CHI-TCU128-N	MYH10	7.63
BN17SN6	YZ	CHI-WGK-E	MYH10	6.92	BO17SN6	YZ	CHI-WGK-E	MYH10	9.68
BN17SN6	YZ	CHI-WNTE	MYH10	8.78	BO17SN6	YZ	CHI-WNTE	MYH10	13.50
BN17SN6	YZ	DZC-BOL000	MYH10	13.62	BO17SN6	YZ	DZC-BOL000	MYH10	18.30
BN17SN6	YZ	DZC-BOL090	MYH10	15.96	BO17SN6	YZ	DZC-BOL090	MYH10	16.65
BN17SN6	YZ	GAZ-KAR000	MYH10	9.40	BO17SN6	YZ	GAZ-KAR000	MYH10	13.67
BN17SN6	YZ	IMP-ECC092	MYH10	6.83	BO17SN6	YZ	IMP-ECC092	MYH10	11.45
BN17SN6	YZ	IMP-ELC3-140	MYH10	8.80	BO17SN6	YZ	IMP-ELC3-140	MYH10	15.64
BN17SN6	YZ	IMP-ELC6-140	MYH10	9.02	BO17SN6	YZ	IMP-ELC6-140	MYH10	14.03
BN17SN6	YZ	IRP-STU270	MYH10	6.03	BO17SN6	YZ	IRP-STU270	MYH10	23.59
BN17SN6	YZ	KOB-TAK000	MYH10	17.05	BO17SN6	YZ	KOB-TAK000	MYH10	17.97
BN17SN6	YZ	KOC-DZC180	MYH10	8.37	BO17SN6	YZ	KOC-DZC180	MYH10	11.63
BN17SN6	YZ	KOC-GBZ000	MYH10	6.75	BO17SN6	YZ	KOC-GBZ000	MYH10	11.98
BN17SN6	YZ	KOC-YAR060	MYH10	7.42	BO17SN6	YZ	KOC-YAR060	MYH10	12.68
BN17SN6	YZ	LAN-YER270	MYH10	7.57	BO17SN6	YZ	LAN-YER270	MYH10	16.09
BN17SN6	YZ	LOM-BRN000	MYH10	13.02	BO17SN6	YZ	LOM-BRN000	MYH10	23.01
BN17SN6	YZ	LOM-G03090	MYH10	6.64	BO17SN6	YZ	LOM-G03090	MYH10	26.52
BN17SN6	YZ	LOM-HSP000	MYH10	15.34	BO17SN6	YZ	LOM-HSP000	MYH10	24.14
BN17SN6	YZ	NOR-CNP196	MYH10	10.71	BO17SN6	YZ	NOR-CNP196	MYH10	19.15
BN17SN6	YZ	NOR-MUL009	MYH10	11.91	BO17SN6	YZ	NOR-MUL009	MYH10	23.95
BN17SN6	YZ	NOR-MUL279	MYH10	9.70	BO17SN6	YZ	NOR-MUL279	MYH10	27.80
BN17SN6	YZ	NOR-ORR090	MYH10	11.23	BO17SN6	YZ	NOR-ORR090	MYH10	21.36
BN17SN6	YZ	NOR-ORR360	MYH10	17.69	BO17SN6	YZ	NOR-ORR360	MYH10	28.56
BN17SN6	YZ	NOR-SAT180	MYH10	11.37	BO17SN6	YZ	NOR-SAT180	MYH10	26.32
BN17SN6	YZ	NOR-WPI316	MYH10	7.62	BO17SN6	YZ	NOR-WPI316	MYH10	14.70
BN17SN6	XZ	CHI-CHY28W	MYH11	10.36	BO17SN6	XZ	CHI-CHY28W	MYH11	15.88
BN17SN6	XZ	CHI-CHY101W	MYH11	6.70	BO17SN6	XZ	CHI-CHY101W	MYH11	10.00
BN17SN6	XZ	CHI-TCU063N	MYH11	3.61	BO17SN6	XZ	CHI-TCU063N	MYH11	6.18
BN17SN6	XZ	CHI-TCU072W	MYH11	10.86	BO17SN6	XZ	CHI-TCU072W	MYH11	11.22
BN17SN6	XZ	CHI-TCU74W	MYH11	14.30	BO17SN6	XZ	CHI-TCU74W	MYH11	21.41
BN17SN6	XZ	CHI-TCU128-W	MYH11	2.68	BO17SN6	XZ	CHI-TCU128-W	MYH11	4.37
BN17SN6	XZ	CHI-WGK-N	MYH11	7.91	BO17SN6	XZ	CHI-WGK-N	MYH11	21.90
BN17SN6	XZ	COA-PLE045	MYH11	18.43	BO17SN6	XZ	COA-PLE045	MYH11	20.58
BN17SN6	XZ	DZC-BOL000	MYH11	13.50	BO17SN6	XZ	DZC-BOL000	MYH11	17.90
BN17SN6	XZ	DZC-BOL090	MYH11	19.70	BO17SN6	XZ	DZC-BOL090	MYH11	21.36
BN17SN6	XZ	DZC-DZC180	MYH11	14.16	BO17SN6	XZ	DZC-DZC180	MYH11	10.92
BN17SN6	XZ	GAZ-KAR000	MYH11	10.82	BO17SN6	XZ	GAZ-KAR000	MYH11	13.74
BN17SN6	XZ	GAZ-KAR090	MYH11	10.58	BO17SN6	XZ	GAZ-KAR090	MYH11	11.83
BN17SN6	XZ	IMP-ECC092	MYH11	7.30	BO17SN6	XZ	IMP-ECC092	MYH11	7.75
BN17SN6	XZ	IMP-ECM000	MYH11	9.23	BO17SN6	XZ	IMP-ECM000	MYH11	11.60
BN17SN6	XZ	IMP-ELCD-270	MYH11	5.57	BO17SN6	XZ	IMP-ELCD-270	MYH11	10.25

Tablo C.1 (devam): Mevcut binalara ait yerdeğiştirme talepleri

Bina Adı	Analiz Yönü	İvme Kaydı	MYH Grup No	Δ_d (cm)	Bina Adı	Analiz Yönü	İvme Kaydı	MYH Grup No	Δ_d (cm)
BN17SN6	XZ	IRP-STU270	MYH11	6.40	BO17SN6	XZ	IRP-STU270	MYH11	18.93
BN17SN6	XZ	KOB-KJM090	MYH11	17.18	BO17SN6	XZ	KOB-KJM090	MYH11	22.94
BN17SN6	XZ	KOC-DZC180	MYH11	8.88	BO17SN6	XZ	KOC-DZC180	MYH11	8.28
BN17SN6	XZ	KOC-GBZ000	MYH11	7.06	BO17SN6	XZ	KOC-GBZ000	MYH11	8.00
BN17SN6	XZ	KOC-YAR060	MYH11	7.18	BO17SN6	XZ	KOC-YAR060	MYH11	10.51
BN17SN6	XZ	LOM-HSP000	MYH11	15.65	BO17SN6	XZ	LOM-HSP000	MYH11	18.66
BN17SN6	XZ	LOM-WVC270	MYH11	8.35	BO17SN6	XZ	LOM-WVC270	MYH11	16.41
BN17SN6	XZ	NOR-CNP196	MYH11	10.64	BO17SN6	XZ	NOR-CNP196	MYH11	11.13
BN17SN6	XZ	NOR-MUL009	MYH11	12.23	BO17SN6	XZ	NOR-MUL009	MYH11	16.46
BN17SN6	XZ	NOR-MUL279	MYH11	11.73	BO17SN6	XZ	NOR-MUL279	MYH11	25.40
BN17SN6	XZ	NOR-ORR360	MYH11	18.84	BO17SN6	XZ	NOR-ORR360	MYH11	29.43
BN17SN6	XZ	NOR-RRS318	MYH11	9.35	BO17SN6	XZ	NOR-RRS318	MYH11	13.27
BN17SN6	XZ	NOR-SAT180	MYH11	13.43	BO17SN6	XZ	NOR-SAT180	MYH11	23.44
BN17SN6	XZ	NPAL-NPS210	MYH11	6.93	BO17SN6	XZ	NPAL-NPS210	MYH11	18.99
BN17SN6	YZ	CHI-CHY28W	MYH11	10.79	BO17SN6	YZ	CHI-CHY28W	MYH11	17.67
BN17SN6	YZ	CHI-CHY101W	MYH11	7.38	BO17SN6	YZ	CHI-CHY101W	MYH11	13.73
BN17SN6	YZ	CHI-TCU063N	MYH11	3.59	BO17SN6	YZ	CHI-TCU063N	MYH11	8.18
BN17SN6	YZ	CHI-TCU072W	MYH11	12.63	BO17SN6	YZ	CHI-TCU072W	MYH11	19.22
BN17SN6	YZ	CHI-TCU74W	MYH11	15.52	BO17SN6	YZ	CHI-TCU74W	MYH11	21.66
BN17SN6	YZ	CHI-TCU128-W	MYH11	2.72	BO17SN6	YZ	CHI-TCU128-W	MYH11	6.13
BN17SN6	YZ	CHI-WGK-N	MYH11	7.40	BO17SN6	YZ	CHI-WGK-N	MYH11	26.57
BN17SN6	YZ	COA-PLE045	MYH11	18.77	BO17SN6	YZ	COA-PLE045	MYH11	22.02
BN17SN6	YZ	DZC-BOL000	MYH11	14.74	BO17SN6	YZ	DZC-BOL000	MYH11	19.55
BN17SN6	YZ	DZC-BOL090	MYH11	18.34	BO17SN6	YZ	DZC-BOL090	MYH11	17.74
BN17SN6	YZ	DZC-DZC180	MYH11	13.26	BO17SN6	YZ	DZC-DZC180	MYH11	12.84
BN17SN6	YZ	GAZ-KAR000	MYH11	10.66	BO17SN6	YZ	GAZ-KAR000	MYH11	16.03
BN17SN6	YZ	GAZ-KAR090	MYH11	11.09	BO17SN6	YZ	GAZ-KAR090	MYH11	11.49
BN17SN6	YZ	IMP-ECC092	MYH11	7.24	BO17SN6	YZ	IMP-ECC092	MYH11	12.20
BN17SN6	YZ	IMP-ECM000	MYH11	9.09	BO17SN6	YZ	IMP-ECM000	MYH11	12.44
BN17SN6	YZ	IMP-ELCD-270	MYH11	5.59	BO17SN6	YZ	IMP-ELCD-270	MYH11	10.33
BN17SN6	YZ	IRP-STU270	MYH11	6.49	BO17SN6	YZ	IRP-STU270	MYH11	26.27
BN17SN6	YZ	KOB-KJM090	MYH11	18.36	BO17SN6	YZ	KOB-KJM090	MYH11	22.14
BN17SN6	YZ	KOC-DZC180	MYH11	9.01	BO17SN6	YZ	KOC-DZC180	MYH11	13.04
BN17SN6	YZ	KOC-GBZ000	MYH11	7.24	BO17SN6	YZ	KOC-GBZ000	MYH11	12.99
BN17SN6	YZ	KOC-YAR060	MYH11	7.96	BO17SN6	YZ	KOC-YAR060	MYH11	14.62
BN17SN6	YZ	LOM-HSP000	MYH11	16.49	BO17SN6	YZ	LOM-HSP000	MYH11	26.75
BN17SN6	YZ	LOM-WVC270	MYH11	9.23	BO17SN6	YZ	LOM-WVC270	MYH11	28.91
BN17SN6	YZ	NOR-CNP196	MYH11	11.03	BO17SN6	YZ	NOR-CNP196	MYH11	20.39
BN17SN6	YZ	NOR-MUL009	MYH11	12.92	BO17SN6	YZ	NOR-MUL009	MYH11	26.28
BN17SN6	YZ	NOR-MUL279	MYH11	10.82	BO17SN6	YZ	NOR-MUL279	MYH11	30.04
BN17SN6	YZ	NOR-ORR360	MYH11	19.11	BO17SN6	YZ	NOR-ORR360	MYH11	30.61
BN17SN6	YZ	NOR-RRS318	MYH11	9.39	BO17SN6	YZ	NOR-RRS318	MYH11	20.14
BN17SN6	YZ	NOR-SAT180	MYH11	12.89	BO17SN6	YZ	NOR-SAT180	MYH11	28.78
BN17SN6	YZ	NPAL-NPS210	MYH11	6.71	BO17SN6	YZ	NPAL-NPS210	MYH11	21.72
BN17SN6	XZ	CHI-TCU065N	MYH12	9.80	BO17SN6	XZ	CHI-TCU065N	MYH12	31.05
BN17SN6	XZ	CHI-TCU067W	MYH12	10.62	BO17SN6	XZ	CHI-TCU067W	MYH12	13.51
BN17SN6	XZ	CHI-TCU102-N	MYH12	5.77	BO17SN6	XZ	CHI-TCU102-N	MYH12	6.77
BN17SN6	XZ	DZC-BOL000	MYH12	13.85	BO17SN6	XZ	DZC-BOL000	MYH12	19.08
BN17SN6	XZ	DZC-BOL090	MYH12	22.57	BO17SN6	XZ	DZC-BOL090	MYH12	22.07
BN17SN6	XZ	DZC-DZC180	MYH12	15.93	BO17SN6	XZ	DZC-DZC180	MYH12	11.91
BN17SN6	XZ	GAZ-KAR090	MYH12	11.32	BO17SN6	XZ	GAZ-KAR090	MYH12	12.99
BN17SN6	XZ	IMP-ECC092	MYH12	7.90	BO17SN6	XZ	IMP-ECC092	MYH12	8.74
BN17SN6	XZ	IMP-ELC4-230	MYH12	4.04	BO17SN6	XZ	IMP-ELC4-230	MYH12	14.38
BN17SN6	XZ	IMP-ELCD-270	MYH12	6.33	BO17SN6	XZ	IMP-ELCD-270	MYH12	11.48
BN17SN6	XZ	IRP-STU270	MYH12	6.85	BO17SN6	XZ	IRP-STU270	MYH12	21.03
BN17SN6	XZ	KOC-DZC180	MYH12	9.50	BO17SN6	XZ	KOC-DZC180	MYH12	7.89
BN17SN6	XZ	KOC-GBZ000	MYH12	7.56	BO17SN6	XZ	KOC-GBZ000	MYH12	8.94
BN17SN6	XZ	KOC-SKR090	MYH12	3.93	BO17SN6	XZ	KOC-SKR090	MYH12	5.14
BN17SN6	XZ	LAN-YER270	MYH12	9.84	BO17SN6	XZ	LAN-YER270	MYH12	16.41

Tablo C.1 (devam): Mevcut binalara ait yerdeğiştirme talepleri

Bina Adı	Analiz Yönü	İvme Kaydı	MYH Grup No	Δ_d (cm)	Bina Adı	Analiz Yönü	İvme Kaydı	MYH Grup No	Δ_d (cm)
BN17SN6	XZ	LOM-BRN000	MYH12	12.14	BO17SN6	XZ	LOM-BRN000	MYH12	22.70
BN17SN6	XZ	LOM-WVC270	MYH12	9.08	BO17SN6	XZ	LOM-WVC270	MYH12	18.36
BN17SN6	XZ	NOR-CNP196	MYH12	11.45	BO17SN6	XZ	NOR-CNP196	MYH12	11.94
BN17SN6	XZ	NOR-MUL009	MYH12	13.20	BO17SN6	XZ	NOR-MUL009	MYH12	17.90
BN17SN6	XZ	NOR-MUL279	MYH12	13.78	BO17SN6	XZ	NOR-MUL279	MYH12	27.28
BN17SN6	XZ	NOR-NEW090	MYH12	13.59	BO17SN6	XZ	NOR-NEW090	MYH12	11.89
BN17SN6	XZ	NOR-PAR-L	MYH12	16.82	BO17SN6	XZ	NOR-PAR-L	MYH12	28.72
BN17SN6	XZ	NOR-RRS318	MYH12	9.82	BO17SN6	XZ	NOR-RRS318	MYH12	14.15
BN17SN6	XZ	NOR-SAT180	MYH12	14.73	BO17SN6	XZ	NOR-SAT180	MYH12	25.82
BN17SN6	XZ	NOR-SCE288	MYH12	7.91	BO17SN6	XZ	NOR-SCE288	MYH12	22.66
BN17SN6	XZ	NOR-SEP360	MYH12	18.23	BO17SN6	XZ	NOR-SEP360	MYH12	9.09
BN17SN6	XZ	NOR-SYL090	MYH12	15.31	BO17SN6	XZ	NOR-SYL090	MYH12	18.52
BN17SN6	XZ	NOR-TAR360	MYH12	14.93	BO17SN6	XZ	NOR-TAR360	MYH12	19.31
BN17SN6	XZ	NOR-WPI316	MYH12	8.53	BO17SN6	XZ	NOR-WPI316	MYH12	11.82
BN17SN6	XZ	PRK-C02065	MYH12	14.14	BO17SN6	XZ	PRK-C02065	MYH12	19.55
BN17SN6	YZ	CHI-TCU065N	MYH12	9.35	BO17SN6	YZ	CHI-TCU065N	MYH12	38.97
BN17SN6	YZ	CHI-TCU067W	MYH12	10.80	BO17SN6	YZ	CHI-TCU067W	MYH12	24.33
BN17SN6	YZ	CHI-TCU102-N	MYH12	5.85	BO17SN6	YZ	CHI-TCU102-N	MYH12	12.62
BN17SN6	YZ	DZC-BOL000	MYH12	15.66	BO17SN6	YZ	DZC-BOL000	MYH12	20.78
BN17SN6	YZ	DZC-BOL090	MYH12	20.97	BO17SN6	YZ	DZC-BOL090	MYH12	18.90
BN17SN6	YZ	DZC-DZC180	MYH12	15.11	BO17SN6	YZ	DZC-DZC180	MYH12	13.73
BN17SN6	YZ	GAZ-KAR090	MYH12	11.95	BO17SN6	YZ	GAZ-KAR090	MYH12	12.44
BN17SN6	YZ	IMP-ECC092	MYH12	7.85	BO17SN6	YZ	IMP-ECC092	MYH12	13.40
BN17SN6	YZ	IMP-ELC4-230	MYH12	4.06	BO17SN6	YZ	IMP-ELC4-230	MYH12	24.02
BN17SN6	YZ	IMP-ELCD-270	MYH12	6.21	BO17SN6	YZ	IMP-ELCD-270	MYH12	11.55
BN17SN6	YZ	IRP-STU270	MYH12	6.95	BO17SN6	YZ	IRP-STU270	MYH12	29.12
BN17SN6	YZ	KOC-DZC180	MYH12	9.62	BO17SN6	YZ	KOC-DZC180	MYH12	14.49
BN17SN6	YZ	KOC-GBZ000	MYH12	7.77	BO17SN6	YZ	KOC-GBZ000	MYH12	14.01
BN17SN6	YZ	KOC-SKR090	MYH12	3.95	BO17SN6	YZ	KOC-SKR090	MYH12	7.59
BN17SN6	YZ	LAN-YER270	MYH12	9.53	BO17SN6	YZ	LAN-YER270	MYH12	23.01
BN17SN6	YZ	LOM-BRN000	MYH12	12.45	BO17SN6	YZ	LOM-BRN000	MYH12	25.97
BN17SN6	YZ	LOM-WVC270	MYH12	9.45	BO17SN6	YZ	LOM-WVC270	MYH12	31.40
BN17SN6	YZ	NOR-CNP196	MYH12	11.33	BO17SN6	YZ	NOR-CNP196	MYH12	20.55
BN17SN6	YZ	NOR-MUL009	MYH12	13.96	BO17SN6	YZ	NOR-MUL009	MYH12	28.69
BN17SN6	YZ	NOR-MUL279	MYH12	12.15	BO17SN6	YZ	NOR-MUL279	MYH12	32.19
BN17SN6	YZ	NOR-NEW090	MYH12	13.89	BO17SN6	YZ	NOR-NEW090	MYH12	11.66
BN17SN6	YZ	NOR-PAR-L	MYH12	17.04	BO17SN6	YZ	NOR-PAR-L	MYH12	35.46
BN17SN6	YZ	NOR-RRS318	MYH12	10.03	BO17SN6	YZ	NOR-RRS318	MYH12	21.68
BN17SN6	YZ	NOR-SAT180	MYH12	14.82	BO17SN6	YZ	NOR-SAT180	MYH12	31.14
BN17SN6	YZ	NOR-SCE288	MYH12	8.59	BO17SN6	YZ	NOR-SCE288	MYH12	28.87
BN17SN6	YZ	NOR-SEP360	MYH12	17.98	BO17SN6	YZ	NOR-SEP360	MYH12	14.01
BN17SN6	YZ	NOR-SYL090	MYH12	15.53	BO17SN6	YZ	NOR-SYL090	MYH12	23.44
BN17SN6	YZ	NOR-TAR360	MYH12	14.15	BO17SN6	YZ	NOR-TAR360	MYH12	25.32
BN17SN6	YZ	NOR-WPI316	MYH12	8.86	BO17SN6	YZ	NOR-WPI316	MYH12	15.72
BN17SN6	YZ	PRK-C02065	MYH12	14.16	BO17SN6	YZ	PRK-C02065	MYH12	22.70
BN18SN6	XZ	CAP-FOR090	MYH1	5.18	BO18SN6	XZ	CAP-FOR090	MYH1	3.71
BN18SN6	XZ	CHI-CHY010-N	MYH1	6.00	BO18SN6	XZ	CHI-CHY010-N	MYH1	4.19
BN18SN6	XZ	CHI-CHY41W	MYH1	8.27	BO18SN6	XZ	CHI-CHY41W	MYH1	5.49
BN18SN6	XZ	CHI-CHY046N	MYH1	7.08	BO18SN6	XZ	CHI-CHY046N	MYH1	4.06
BN18SN6	XZ	CHI-CHY047-E	MYH1	3.53	BO18SN6	XZ	CHI-CHY047-E	MYH1	3.31
BN18SN6	XZ	COA-CAK270	MYH1	9.18	BO18SN6	XZ	COA-CAK270	MYH1	6.67
BN18SN6	XZ	COY-G06320	MYH1	4.94	BO18SN6	XZ	COY-G06320	MYH1	3.76
BN18SN6	XZ	FRI-TMZ000	MYH1	6.45	BO18SN6	XZ	FRI-TMZ000	MYH1	3.94
BN18SN6	XZ	IMP-E12230	MYH1	3.00	BO18SN6	XZ	IMP-E12230	MYH1	2.56
BN18SN6	XZ	IMP-SAH000	MYH1	5.58	BO18SN6	XZ	IMP-SAH000	MYH1	3.68
BN18SN6	XZ	IRP-BIS000	MYH1	3.19	BO18SN6	XZ	IRP-BIS000	MYH1	2.20
BN18SN6	XZ	KOC-IZM180	MYH1	5.37	BO18SN6	XZ	KOC-IZM180	MYH1	3.92
BN18SN6	XZ	LAN-ABY090	MYH1	4.73	BO18SN6	XZ	LAN-ABY090	MYH1	3.07
BN18SN6	XZ	LAN-DSP000	MYH1	3.86	BO18SN6	XZ	LAN-DSP000	MYH1	3.19

Tablo C.1 (devam): Mevcut binalara ait yerdeğiştirme talepleri

Bina Adı	Analiz Yönü	İvme Kaydı	MYH Grup No	Δ_d (cm)	Bina Adı	Analiz Yönü	İvme Kaydı	MYH Grup No	Δ_d (cm)
BN18SN6	XZ	LIV-DVD246	MYH1	3.87	BO18SN6	XZ	LIV-DVD246	MYH1	2.93
BN18SN6	XZ	LOM-BRK090	MYH1	7.19	BO18SN6	XZ	LOM-BRK090	MYH1	5.07
BN18SN6	XZ	LOM-CLD285	MYH1	5.58	BO18SN6	XZ	LOM-CLD285	MYH1	3.75
BN18SN6	XZ	LOM-GGV337	MYH1	4.29	BO18SN6	XZ	LOM-GGV337	MYH1	4.32
BN18SN6	XZ	NOR-CWC270	MYH1	6.27	BO18SN6	XZ	NOR-CWC270	MYH1	5.08
BN18SN6	XZ	NOR-LOS090	MYH1	6.02	BO18SN6	XZ	NOR-LOS090	MYH1	4.86
BN18SN6	XZ	NOR-LOS360	MYH1	5.98	BO18SN6	XZ	NOR-LOS360	MYH1	5.56
BN18SN6	XZ	PRK-CHO355	MYH1	5.35	BO18SN6	XZ	PRK-CHO355	MYH1	3.60
BN18SN6	XZ	PRK-TMB205	MYH1	4.27	BO18SN6	XZ	PRK-TMB205	MYH1	3.13
BN18SN6	XZ	SUP-PLS135	MYH1	3.75	BO18SN6	XZ	SUP-PLS135	MYH1	4.09
BN18SN6	XZ	TAB-DAY-LN	MYH1	5.94	BO18SN6	XZ	TAB-DAY-LN	MYH1	4.32
BN18SN6	XZ	VIC-CPE315	MYH1	6.58	BO18SN6	XZ	VIC-CPE315	MYH1	3.95
BN18SN6	XZ	WHI-ALH180	MYH1	7.41	BO18SN6	XZ	WHI-ALH180	MYH1	4.31
BN18SN6	XZ	WHI-GRN180	MYH1	7.91	BO18SN6	XZ	WHI-GRN180	MYH1	5.97
BN18SN6	XZ	WHI-OBR360	MYH1	7.29	BO18SN6	XZ	WHI-OBR360	MYH1	5.46
BN18SN6	YZ	CAP-FOR090	MYH1	2.83	BO18SN6	YZ	CAP-FOR090	MYH1	4.68
BN18SN6	YZ	CHI-CHY010-N	MYH1	5.41	BO18SN6	YZ	CHI-CHY010-N	MYH1	5.98
BN18SN6	YZ	CHI-CHY41W	MYH1	7.53	BO18SN6	YZ	CHI-CHY41W	MYH1	5.75
BN18SN6	YZ	CHI-CHY046N	MYH1	6.30	BO18SN6	YZ	CHI-CHY046N	MYH1	8.31
BN18SN6	YZ	CHI-CHY047-E	MYH1	4.11	BO18SN6	YZ	CHI-CHY047-E	MYH1	4.36
BN18SN6	YZ	COA-CAK270	MYH1	5.85	BO18SN6	YZ	COA-CAK270	MYH1	7.41
BN18SN6	YZ	COY-G06320	MYH1	3.74	BO18SN6	YZ	COY-G06320	MYH1	7.02
BN18SN6	YZ	FRI-TMZ000	MYH1	4.96	BO18SN6	YZ	FRI-TMZ000	MYH1	5.49
BN18SN6	YZ	IMP-E12230	MYH1	2.51	BO18SN6	YZ	IMP-E12230	MYH1	4.20
BN18SN6	YZ	IMP-SAH000	MYH1	4.87	BO18SN6	YZ	IMP-SAH000	MYH1	5.58
BN18SN6	YZ	IRP-BIS000	MYH1	1.52	BO18SN6	YZ	IRP-BIS000	MYH1	3.36
BN18SN6	YZ	KOC-IZM180	MYH1	4.39	BO18SN6	YZ	KOC-IZM180	MYH1	5.31
BN18SN6	YZ	LAN-ABY090	MYH1	3.70	BO18SN6	YZ	LAN-ABY090	MYH1	4.89
BN18SN6	YZ	LAN-DSP000	MYH1	4.69	BO18SN6	YZ	LAN-DSP000	MYH1	4.73
BN18SN6	YZ	LIV-DVD246	MYH1	3.64	BO18SN6	YZ	LIV-DVD246	MYH1	4.30
BN18SN6	YZ	LOM-BRK090	MYH1	4.92	BO18SN6	YZ	LOM-BRK090	MYH1	7.69
BN18SN6	YZ	LOM-CLD285	MYH1	3.99	BO18SN6	YZ	LOM-CLD285	MYH1	4.31
BN18SN6	YZ	LOM-GGV337	MYH1	4.95	BO18SN6	YZ	LOM-GGV337	MYH1	4.35
BN18SN6	YZ	NOR-CWC270	MYH1	5.71	BO18SN6	YZ	NOR-CWC270	MYH1	6.57
BN18SN6	YZ	NOR-LOS090	MYH1	6.92	BO18SN6	YZ	NOR-LOS090	MYH1	5.96
BN18SN6	YZ	NOR-LOS360	MYH1	6.04	BO18SN6	YZ	NOR-LOS360	MYH1	7.97
BN18SN6	YZ	PRK-CHO355	MYH1	4.70	BO18SN6	YZ	PRK-CHO355	MYH1	4.53
BN18SN6	YZ	PRK-TMB205	MYH1	3.37	BO18SN6	YZ	PRK-TMB205	MYH1	4.69
BN18SN6	YZ	SUP-PLS135	MYH1	4.01	BO18SN6	YZ	SUP-PLS135	MYH1	5.27
BN18SN6	YZ	TAB-DAY-LN	MYH1	5.40	BO18SN6	YZ	TAB-DAY-LN	MYH1	5.84
BN18SN6	YZ	VIC-CPE315	MYH1	5.12	BO18SN6	YZ	VIC-CPE315	MYH1	5.91
BN18SN6	YZ	WHI-ALH180	MYH1	5.56	BO18SN6	YZ	WHI-ALH180	MYH1	7.36
BN18SN6	YZ	WHI-GRN180	MYH1	8.17	BO18SN6	YZ	WHI-GRN180	MYH1	7.57
BN18SN6	YZ	WHI-OBR360	MYH1	4.74	BO18SN6	YZ	WHI-OBR360	MYH1	5.15
BN18SN6	XZ	CHI-TCU141-N	MYH2	3.43	BO18SN6	XZ	CHI-TCU141-N	MYH2	2.57
BN18SN6	XZ	COA-PV1090	MYH2	9.73	BO18SN6	XZ	COA-PV1090	MYH2	6.97
BN18SN6	XZ	COA-Z14090	MYH2	12.10	BO18SN6	XZ	COA-Z14090	MYH2	10.15
BN18SN6	XZ	COY-G02140	MYH2	9.37	BO18SN6	XZ	COY-G02140	MYH2	7.57
BN18SN6	XZ	COY-G03140	MYH2	7.51	BO18SN6	XZ	COY-G03140	MYH2	5.85
BN18SN6	XZ	IMP-AER315	MYH2	5.99	BO18SN6	XZ	IMP-AER315	MYH2	4.76
BN18SN6	XZ	IMP-DLT262	MYH2	8.03	BO18SN6	XZ	IMP-DLT262	MYH2	5.88
BN18SN6	XZ	KOB-KAK090	MYH2	5.57	BO18SN6	XZ	KOB-KAK090	MYH2	4.08
BN18SN6	XZ	KOB-SHI090	MYH2	7.70	BO18SN6	XZ	KOB-SHI090	MYH2	6.17
BN18SN6	XZ	LAN-CLVLN	MYH2	7.44	BO18SN6	XZ	LAN-CLVLN	MYH2	5.57
BN18SN6	XZ	LAN-JOS000	MYH2	9.15	BO18SN6	XZ	LAN-JOS000	MYH2	7.18
BN18SN6	XZ	LOM-CAP090	MYH2	8.44	BO18SN6	XZ	LOM-CAP090	MYH2	6.62
BN18SN6	XZ	LOM-GGV067	MYH2	5.91	BO18SN6	XZ	LOM-GGV067	MYH2	4.80
BN18SN6	XZ	LOM-HSP090	MYH2	6.30	BO18SN6	XZ	LOM-HSP090	MYH2	4.89
BN18SN6	XZ	LOM-SFO000	MYH2	8.09	BO18SN6	XZ	LOM-SFO000	MYH2	5.91

Tablo C.1 (devam): Mevcut binalara ait yerdeğiştirme talepleri

Bina Adı	Analiz Yönü	İvme Kaydı	MYH Grup No	Δ_d (cm)	Bina Adı	Analiz Yönü	İvme Kaydı	MYH Grup No	Δ_d (cm)
BN18SN6	XZ	LOM-SFO090	MYH2	11.31	BO18SN6	XZ	LOM-SFO090	MYH2	7.98
BN18SN6	XZ	LOM-WAH000	MYH2	10.39	BO18SN6	XZ	LOM-WAH000	MYH2	6.93
BN18SN6	XZ	MAM-LUL000	MYH2	6.93	BO18SN6	XZ	MAM-LUL000	MYH2	4.82
BN18SN6	XZ	MOR-AND250	MYH2	5.70	BO18SN6	XZ	MOR-AND250	MYH2	5.32
BN18SN6	XZ	MOR-AND340	MYH2	10.75	BO18SN6	XZ	MOR-AND340	MYH2	7.34
BN18SN6	XZ	NOR-CHL160	MYH2	9.20	BO18SN6	XZ	NOR-CHL160	MYH2	7.76
BN18SN6	XZ	NOR-CWC180	MYH2	5.55	BO18SN6	XZ	NOR-CWC180	MYH2	5.52
BN18SN6	XZ	NOR-SAT090	MYH2	7.87	BO18SN6	XZ	NOR-SAT090	MYH2	7.57
BN18SN6	XZ	NPAL-DSP000	MYH2	9.01	BO18SN6	XZ	NPAL-DSP000	MYH2	7.17
BN18SN6	XZ	PRK-CHO085	MYH2	3.95	BO18SN6	XZ	PRK-CHO085	MYH2	4.52
BN18SN6	XZ	SFD-ORR291	MYH2	8.30	BO18SN6	XZ	SFD-ORR291	MYH2	4.80
BN18SN6	XZ	SPI-GUK000	MYH2	8.52	BO18SN6	XZ	SPI-GUK000	MYH2	5.82
BN18SN6	XZ	TAB-DAY-TR	MYH2	6.75	BO18SN6	XZ	TAB-DAY-TR	MYH2	6.45
BN18SN6	XZ	WES-PTS315	MYH2	9.63	BO18SN6	XZ	WES-PTS315	MYH2	7.75
BN18SN6	XZ	WHI-DEL000	MYH2	9.46	BO18SN6	XZ	WHI-DEL000	MYH2	6.40
BN18SN6	XZ	WHI-DWN180	MYH2	11.00	BO18SN6	XZ	WHI-DWN180	MYH2	8.32
BN18SN6	YZ	CHI-TCU141-N	MYH2	2.28	BO18SN6	YZ	CHI-TCU141-N	MYH2	4.14
BN18SN6	YZ	COA-PV1090	MYH2	4.07	BO18SN6	YZ	COA-PV1090	MYH2	9.21
BN18SN6	YZ	COA-Z14090	MYH2	7.92	BO18SN6	YZ	COA-Z14090	MYH2	8.31
BN18SN6	YZ	COY-G02140	MYH2	6.33	BO18SN6	YZ	COY-G02140	MYH2	8.77
BN18SN6	YZ	COY-G03140	MYH2	6.42	BO18SN6	YZ	COY-G03140	MYH2	8.36
BN18SN6	YZ	IMP-AER315	MYH2	5.50	BO18SN6	YZ	IMP-AER315	MYH2	7.46
BN18SN6	YZ	IMP-DLT262	MYH2	8.25	BO18SN6	YZ	IMP-DLT262	MYH2	6.63
BN18SN6	YZ	KOB-KAK090	MYH2	4.92	BO18SN6	YZ	KOB-KAK090	MYH2	9.74
BN18SN6	YZ	KOB-SHI090	MYH2	8.08	BO18SN6	YZ	KOB-SHI090	MYH2	6.31
BN18SN6	YZ	LAN-CLVLN	MYH2	6.10	BO18SN6	YZ	LAN-CLVLN	MYH2	5.85
BN18SN6	YZ	LAN-JOS000	MYH2	7.96	BO18SN6	YZ	LAN-JOS000	MYH2	8.44
BN18SN6	YZ	LOM-CAP090	MYH2	9.56	BO18SN6	YZ	LOM-CAP090	MYH2	6.87
BN18SN6	YZ	LOM-GGV067	MYH2	4.83	BO18SN6	YZ	LOM-GGV067	MYH2	7.01
BN18SN6	YZ	LOM-HSP090	MYH2	6.14	BO18SN6	YZ	LOM-HSP090	MYH2	8.59
BN18SN6	YZ	LOM-SFO000	MYH2	6.59	BO18SN6	YZ	LOM-SFO000	MYH2	6.89
BN18SN6	YZ	LOM-SFO090	MYH2	10.12	BO18SN6	YZ	LOM-SFO090	MYH2	7.41
BN18SN6	YZ	LOM-WAH000	MYH2	8.41	BO18SN6	YZ	LOM-WAH000	MYH2	6.88
BN18SN6	YZ	MAM-LUL000	MYH2	6.15	BO18SN6	YZ	MAM-LUL000	MYH2	6.61
BN18SN6	YZ	MOR-AND250	MYH2	4.12	BO18SN6	YZ	MOR-AND250	MYH2	4.39
BN18SN6	YZ	MOR-AND340	MYH2	9.20	BO18SN6	YZ	MOR-AND340	MYH2	6.41
BN18SN6	YZ	NOR-CHL160	MYH2	8.34	BO18SN6	YZ	NOR-CHL160	MYH2	8.57
BN18SN6	YZ	NOR-CWC180	MYH2	5.74	BO18SN6	YZ	NOR-CWC180	MYH2	8.18
BN18SN6	YZ	NOR-SAT090	MYH2	7.93	BO18SN6	YZ	NOR-SAT090	MYH2	10.90
BN18SN6	YZ	NPAL-DSP000	MYH2	5.63	BO18SN6	YZ	NPAL-DSP000	MYH2	8.94
BN18SN6	YZ	PRK-CHO085	MYH2	4.16	BO18SN6	YZ	PRK-CHO085	MYH2	4.78
BN18SN6	YZ	SFD-ORR291	MYH2	6.83	BO18SN6	YZ	SFD-ORR291	MYH2	5.83
BN18SN6	YZ	SPI-GUK000	MYH2	5.29	BO18SN6	YZ	SPI-GUK000	MYH2	6.79
BN18SN6	YZ	TAB-DAY-TR	MYH2	5.86	BO18SN6	YZ	TAB-DAY-TR	MYH2	8.76
BN18SN6	YZ	WES-PTS315	MYH2	6.32	BO18SN6	YZ	WES-PTS315	MYH2	8.71
BN18SN6	YZ	WHI-DEL000	MYH2	9.49	BO18SN6	YZ	WHI-DEL000	MYH2	7.34
BN18SN6	YZ	WHI-DWN180	MYH2	8.54	BO18SN6	YZ	WHI-DWN180	MYH2	7.14
BN18SN6	XZ	CAP-FOR000	MYH3	5.01	BO18SN6	XZ	CAP-FOR000	MYH3	4.35
BN18SN6	XZ	CHI-CHY29W	MYH3	8.47	BO18SN6	XZ	CHI-CHY29W	MYH3	7.26
BN18SN6	XZ	CHI-TCU046N	MYH3	4.11	BO18SN6	XZ	CHI-TCU046N	MYH3	2.81
BN18SN6	XZ	CHI-TCU112-N	MYH3	3.01	BO18SN6	XZ	CHI-TCU112-N	MYH3	2.25
BN18SN6	XZ	CHI-TCU118-N	MYH3	4.15	BO18SN6	XZ	CHI-TCU118-N	MYH3	2.95
BN18SN6	XZ	FRI-TMZ270	MYH3	7.87	BO18SN6	XZ	FRI-TMZ270	MYH3	7.63
BN18SN6	XZ	IMP-ELC2-140	MYH3	6.18	BO18SN6	XZ	IMP-ELC2-140	MYH3	5.84
BN18SN6	XZ	IMP-ELC11-140	MYH3	6.06	BO18SN6	XZ	IMP-ELC11-140	MYH3	5.34
BN18SN6	XZ	IMP-SAH270	MYH3	7.46	BO18SN6	XZ	IMP-SAH270	MYH3	5.96
BN18SN6	XZ	KOC-AMB090	MYH3	10.11	BO18SN6	XZ	KOC-AMB090	MYH3	9.58
BN18SN6	XZ	KOC-GBZ270	MYH3	3.71	BO18SN6	XZ	KOC-GBZ270	MYH3	2.49
BN18SN6	XZ	KOC-IZM090	MYH3	5.12	BO18SN6	XZ	KOC-IZM090	MYH3	5.16

Tablo C.1 (devam): Mevcut binalara ait yerdeğiştirme talepleri

Bina Adı	Analiz Yönü	İvme Kaydı	MYH Grup No	Δ_d (cm)	Bina Adı	Analiz Yönü	İvme Kaydı	MYH Grup No	Δ_d (cm)
BN18SN6	XZ	LAN-LUC000	MYH3	6.66	BO18SN6	XZ	LAN-LUC000	MYH3	4.32
BN18SN6	XZ	LAN-YER360	MYH3	6.40	BO18SN6	XZ	LAN-YER360	MYH3	4.12
BN18SN6	XZ	LOM-A02133	MYH3	11.23	BO18SN6	XZ	LOM-A02133	MYH3	9.85
BN18SN6	XZ	LOM-G01000	MYH3	3.79	BO18SN6	XZ	LOM-G01000	MYH3	4.18
BN18SN6	XZ	LOM-G01090	MYH3	7.70	BO18SN6	XZ	LOM-G01090	MYH3	5.16
BN18SN6	XZ	LOM-G02000	MYH3	8.02	BO18SN6	XZ	LOM-G02000	MYH3	8.81
BN18SN6	XZ	LOM-TRI090	MYH3	7.98	BO18SN6	XZ	LOM-TRI090	MYH3	7.86
BN18SN6	XZ	MAM-LUL090	MYH3	10.47	BO18SN6	XZ	MAM-LUL090	MYH3	9.98
BN18SN6	XZ	NOR-CNP106	MYH3	11.44	BO18SN6	XZ	NOR-CNP106	MYH3	9.78
BN18SN6	XZ	NOR-PAC265	MYH3	7.74	BO18SN6	XZ	NOR-PAC265	MYH3	7.19
BN18SN6	XZ	NOR-PKC090	MYH3	11.55	BO18SN6	XZ	NOR-PKC090	MYH3	7.97
BN18SN6	XZ	NOR-WIL180	MYH3	9.97	BO18SN6	XZ	NOR-WIL180	MYH3	9.17
BN18SN6	XZ	NPAL-MVH045	MYH3	9.04	BO18SN6	XZ	NPAL-MVH045	MYH3	7.84
BN18SN6	XZ	NPAL-NPS300	MYH3	7.79	BO18SN6	XZ	NPAL-NPS300	MYH3	6.80
BN18SN6	XZ	NPAL-WWT270	MYH3	7.42	BO18SN6	XZ	NPAL-WWT270	MYH3	7.14
BN18SN6	XZ	SUP-IVW090	MYH3	5.05	BO18SN6	XZ	SUP-IVW090	MYH3	3.96
BN18SN6	XZ	SUP-IVW360	MYH3	8.13	BO18SN6	XZ	SUP-IVW360	MYH3	6.17
BN18SN6	XZ	SUP-KRN360	MYH3	6.88	BO18SN6	XZ	SUP-KRN360	MYH3	4.65
BN18SN6	XZ	SUP-POE360	MYH3	6.62	BO18SN6	XZ	SUP-POE360	MYH3	4.87
BN18SN6	XZ	SUP-SUP045	MYH3	7.52	BO18SN6	XZ	SUP-SUP045	MYH3	6.34
BN18SN6	XZ	VIC-CPE045	MYH3	12.22	BO18SN6	XZ	VIC-CPE045	MYH3	11.25
BN18SN6	XZ	WHI-OR2010	MYH3	12.20	BO18SN6	XZ	WHI-OR2010	MYH3	8.57
BN18SN6	YZ	CAP-FOR000	MYH3	3.76	BO18SN6	YZ	CAP-FOR000	MYH3	4.25
BN18SN6	YZ	CHI-CHY29W	MYH3	7.71	BO18SN6	YZ	CHI-CHY29W	MYH3	11.30
BN18SN6	YZ	CHI-TCU046N	MYH3	2.48	BO18SN6	YZ	CHI-TCU046N	MYH3	5.24
BN18SN6	YZ	CHI-TCU112-N	MYH3	2.02	BO18SN6	YZ	CHI-TCU112-N	MYH3	4.03
BN18SN6	YZ	CHI-TCU118-N	MYH3	3.92	BO18SN6	YZ	CHI-TCU118-N	MYH3	3.66
BN18SN6	YZ	FRI-TMZ270	MYH3	8.19	BO18SN6	YZ	FRI-TMZ270	MYH3	8.18
BN18SN6	YZ	IMP-ELC2-140	MYH3	6.73	BO18SN6	YZ	IMP-ELC2-140	MYH3	7.08
BN18SN6	YZ	IMP-ELC11-140	MYH3	5.04	BO18SN6	YZ	IMP-ELC11-140	MYH3	6.07
BN18SN6	YZ	IMP-SAH270	MYH3	7.58	BO18SN6	YZ	IMP-SAH270	MYH3	6.97
BN18SN6	YZ	KOC-AMB090	MYH3	6.68	BO18SN6	YZ	KOC-AMB090	MYH3	10.83
BN18SN6	YZ	KOC-GBZ270	MYH3	3.23	BO18SN6	YZ	KOC-GBZ270	MYH3	4.55
BN18SN6	YZ	KOC-IZM090	MYH3	5.22	BO18SN6	YZ	KOC-IZM090	MYH3	5.88
BN18SN6	YZ	LAN-LUC000	MYH3	5.31	BO18SN6	YZ	LAN-LUC000	MYH3	5.59
BN18SN6	YZ	LAN-YER360	MYH3	4.14	BO18SN6	YZ	LAN-YER360	MYH3	6.76
BN18SN6	YZ	LOM-A02133	MYH3	9.35	BO18SN6	YZ	LOM-A02133	MYH3	13.21
BN18SN6	YZ	LOM-G01000	MYH3	4.42	BO18SN6	YZ	LOM-G01000	MYH3	3.48
BN18SN6	YZ	LOM-G01090	MYH3	4.90	BO18SN6	YZ	LOM-G01090	MYH3	8.56
BN18SN6	YZ	LOM-G02000	MYH3	10.40	BO18SN6	YZ	LOM-G02000	MYH3	13.48
BN18SN6	YZ	LOM-TRI090	MYH3	8.63	BO18SN6	YZ	LOM-TRI090	MYH3	7.78
BN18SN6	YZ	MAM-LUL090	MYH3	8.38	BO18SN6	YZ	MAM-LUL090	MYH3	14.09
BN18SN6	YZ	NOR-CNP106	MYH3	6.92	BO18SN6	YZ	NOR-CNP106	MYH3	9.54
BN18SN6	YZ	NOR-PAC265	MYH3	7.47	BO18SN6	YZ	NOR-PAC265	MYH3	7.44
BN18SN6	YZ	NOR-PKC090	MYH3	8.75	BO18SN6	YZ	NOR-PKC090	MYH3	11.82
BN18SN6	YZ	NOR-WIL180	MYH3	8.61	BO18SN6	YZ	NOR-WIL180	MYH3	7.93
BN18SN6	YZ	NPAL-MVH045	MYH3	7.41	BO18SN6	YZ	NPAL-MVH045	MYH3	11.86
BN18SN6	YZ	NPAL-NPS300	MYH3	7.34	BO18SN6	YZ	NPAL-NPS300	MYH3	10.36
BN18SN6	YZ	NPAL-WWT270	MYH3	7.14	BO18SN6	YZ	NPAL-WWT270	MYH3	9.80
BN18SN6	YZ	SUP-IVW090	MYH3	3.92	BO18SN6	YZ	SUP-IVW090	MYH3	8.83
BN18SN6	YZ	SUP-IVW360	MYH3	7.42	BO18SN6	YZ	SUP-IVW360	MYH3	8.13
BN18SN6	YZ	SUP-KRN360	MYH3	3.90	BO18SN6	YZ	SUP-KRN360	MYH3	6.89
BN18SN6	YZ	SUP-POE360	MYH3	6.75	BO18SN6	YZ	SUP-POE360	MYH3	6.01
BN18SN6	YZ	SUP-SUP045	MYH3	8.04	BO18SN6	YZ	SUP-SUP045	MYH3	7.64
BN18SN6	YZ	VIC-CPE045	MYH3	8.48	BO18SN6	YZ	VIC-CPE045	MYH3	12.99
BN18SN6	YZ	WHI-OR2010	MYH3	10.91	BO18SN6	YZ	WHI-OR2010	MYH3	7.39
BN18SN6	XZ	CHI-CHY29N	MYH4	10.30	BO18SN6	XZ	CHI-CHY29N	MYH4	6.53
BN18SN6	XZ	CHI-CHY036W	MYH4	11.16	BO18SN6	XZ	CHI-CHY036W	MYH4	10.07
BN18SN6	XZ	CHI-CHY41N	MYH4	9.62	BO18SN6	XZ	CHI-CHY41N	MYH4	8.01

Tablo C.1 (devam): Mevcut binalara ait yerdeğiştirme talepleri

Bina Adı	Analiz Yönü	İvme Kaydı	MYH Grup No	Δ_d (cm)	Bina Adı	Analiz Yönü	İvme Kaydı	MYH Grup No	Δ_d (cm)
BN18SN6	XZ	CHI-TCU45N	MYH4	12.42	BO18SN6	XZ	CHI-TCU45N	MYH4	8.83
BN18SN6	XZ	CHI-TCU45W	MYH4	8.20	BO18SN6	XZ	CHI-TCU45W	MYH4	7.61
BN18SN6	XZ	CHI-TCU51N	MYH4	6.47	BO18SN6	XZ	CHI-TCU51N	MYH4	5.83
BN18SN6	XZ	COA-PLE135	MYH4	12.06	BO18SN6	XZ	COA-PLE135	MYH4	7.71
BN18SN6	XZ	IMP-BRA225	MYH4	4.56	BO18SN6	XZ	IMP-BRA225	MYH4	2.68
BN18SN6	XZ	IMP-BRA315	MYH4	5.96	BO18SN6	XZ	IMP-BRA315	MYH4	5.20
BN18SN6	XZ	IMP-ECC002	MYH4	9.21	BO18SN6	XZ	IMP-ECC002	MYH4	8.44
BN18SN6	XZ	IMP-ELC4-140	MYH4	14.32	BO18SN6	XZ	IMP-ELC4-140	MYH4	14.42
BN18SN6	XZ	IRP-STU000	MYH4	7.07	BO18SN6	XZ	IRP-STU000	MYH4	6.64
BN18SN6	XZ	KOB-NIS000	MYH4	8.70	BO18SN6	XZ	KOB-NIS000	MYH4	6.98
BN18SN6	XZ	KOB-NIS090	MYH4	9.60	BO18SN6	XZ	KOB-NIS090	MYH4	7.77
BN18SN6	XZ	KOB-SHI000	MYH4	13.38	BO18SN6	XZ	KOB-SHI000	MYH4	8.01
BN18SN6	XZ	KOC-ARC090	MYH4	3.71	BO18SN6	XZ	KOC-ARC090	MYH4	3.43
BN18SN6	XZ	LOM-G02090	MYH4	10.16	BO18SN6	XZ	LOM-G02090	MYH4	9.87
BN18SN6	XZ	LOM-G03000	MYH4	6.98	BO18SN6	XZ	LOM-G03000	MYH4	6.03
BN18SN6	XZ	LOM-HDA255	MYH4	13.30	BO18SN6	XZ	LOM-HDA255	MYH4	10.62
BN18SN6	XZ	LOM-SVL360	MYH4	5.47	BO18SN6	XZ	LOM-SVL360	MYH4	4.30
BN18SN6	XZ	MOR-G06090	MYH4	13.36	BO18SN6	XZ	MOR-G06090	MYH4	8.55
BN18SN6	XZ	MOR-HAL240	MYH4	11.46	BO18SN6	XZ	MOR-HAL240	MYH4	10.95
BN18SN6	XZ	NOR-KAT090	MYH4	16.13	BO18SN6	XZ	NOR-KAT090	MYH4	7.94
BN18SN6	XZ	NOR-SCR090	MYH4	7.08	BO18SN6	XZ	NOR-SCR090	MYH4	6.83
BN18SN6	XZ	NOR-STN020	MYH4	11.41	BO18SN6	XZ	NOR-STN020	MYH4	9.28
BN18SN6	XZ	NPAL-WWT180	MYH4	8.89	BO18SN6	XZ	NPAL-WWT180	MYH4	8.46
BN18SN6	XZ	SUP-POE270	MYH4	7.82	BO18SN6	XZ	SUP-POE270	MYH4	5.91
BN18SN6	XZ	WES-PTS225	MYH4	6.56	BO18SN6	XZ	WES-PTS225	MYH4	4.83
BN18SN6	XZ	WHI-BIR180	MYH4	12.95	BO18SN6	XZ	WHI-BIR180	MYH4	9.10
BN18SN6	XZ	WHI-EJS048	MYH4	9.21	BO18SN6	XZ	WHI-EJS048	MYH4	6.48
BN18SN6	YZ	CHI-CHY29N	MYH4	10.19	BO18SN6	YZ	CHI-CHY29N	MYH4	9.43
BN18SN6	YZ	CHI-CHY036W	MYH4	10.61	BO18SN6	YZ	CHI-CHY036W	MYH4	10.22
BN18SN6	YZ	CHI-CHY41N	MYH4	10.04	BO18SN6	YZ	CHI-CHY41N	MYH4	9.90
BN18SN6	YZ	CHI-TCU45N	MYH4	10.94	BO18SN6	YZ	CHI-TCU45N	MYH4	8.83
BN18SN6	YZ	CHI-TCU45W	MYH4	8.71	BO18SN6	YZ	CHI-TCU45W	MYH4	7.34
BN18SN6	YZ	CHI-TCU51N	MYH4	6.18	BO18SN6	YZ	CHI-TCU51N	MYH4	6.90
BN18SN6	YZ	COA-PLE135	MYH4	11.73	BO18SN6	YZ	COA-PLE135	MYH4	11.57
BN18SN6	YZ	IMP-BRA225	MYH4	2.00	BO18SN6	YZ	IMP-BRA225	MYH4	6.80
BN18SN6	YZ	IMP-BRA315	MYH4	5.71	BO18SN6	YZ	IMP-BRA315	MYH4	7.43
BN18SN6	YZ	IMP-ECC002	MYH4	6.01	BO18SN6	YZ	IMP-ECC002	MYH4	13.82
BN18SN6	YZ	IMP-ELC4-140	MYH4	12.32	BO18SN6	YZ	IMP-ELC4-140	MYH4	18.70
BN18SN6	YZ	IRP-STU000	MYH4	5.93	BO18SN6	YZ	IRP-STU000	MYH4	11.07
BN18SN6	YZ	KOB-NIS000	MYH4	9.68	BO18SN6	YZ	KOB-NIS000	MYH4	8.17
BN18SN6	YZ	KOB-NIS090	MYH4	9.69	BO18SN6	YZ	KOB-NIS090	MYH4	8.27
BN18SN6	YZ	KOB-SHI000	MYH4	10.29	BO18SN6	YZ	KOB-SHI000	MYH4	7.98
BN18SN6	YZ	KOC-ARC090	MYH4	3.51	BO18SN6	YZ	KOC-ARC090	MYH4	3.78
BN18SN6	YZ	LOM-G02090	MYH4	8.13	BO18SN6	YZ	LOM-G02090	MYH4	16.55
BN18SN6	YZ	LOM-G03000	MYH4	6.04	BO18SN6	YZ	LOM-G03000	MYH4	10.56
BN18SN6	YZ	LOM-HDA255	MYH4	9.81	BO18SN6	YZ	LOM-HDA255	MYH4	9.13
BN18SN6	YZ	LOM-SVL360	MYH4	3.99	BO18SN6	YZ	LOM-SVL360	MYH4	9.21
BN18SN6	YZ	MOR-G06090	MYH4	10.41	BO18SN6	YZ	MOR-G06090	MYH4	10.65
BN18SN6	YZ	MOR-HAL240	MYH4	9.11	BO18SN6	YZ	MOR-HAL240	MYH4	12.79
BN18SN6	YZ	NOR-KAT090	MYH4	9.93	BO18SN6	YZ	NOR-KAT090	MYH4	13.27
BN18SN6	YZ	NOR-SCR090	MYH4	7.64	BO18SN6	YZ	NOR-SCR090	MYH4	8.50
BN18SN6	YZ	NOR-STN020	MYH4	9.50	BO18SN6	YZ	NOR-STN020	MYH4	7.08
BN18SN6	YZ	NPAL-WWT180	MYH4	7.32	BO18SN6	YZ	NPAL-WWT180	MYH4	9.37
BN18SN6	YZ	SUP-POE270	MYH4	6.73	BO18SN6	YZ	SUP-POE270	MYH4	7.63
BN18SN6	YZ	WES-PTS225	MYH4	6.92	BO18SN6	YZ	WES-PTS225	MYH4	5.87
BN18SN6	YZ	WHI-BIR180	MYH4	12.48	BO18SN6	YZ	WHI-BIR180	MYH4	9.25
BN18SN6	YZ	WHI-EJS048	MYH4	10.33	BO18SN6	YZ	WHI-EJS048	MYH4	7.07
BN18SN6	XZ	CAP-RIO270	MYH5	13.26	BO18SN6	XZ	CAP-RIO270	MYH5	12.32
BN18SN6	XZ	CAP-RIO360	MYH5	8.41	BO18SN6	XZ	CAP-RIO360	MYH5	8.18

Tablo C.1 (devam): Mevcut binalara ait yerdeğiştirme talepleri

Bina Adı	Analiz Yönü	İvme Kaydı	MYH Grup No	Δ_d (cm)	Bina Adı	Analiz Yönü	İvme Kaydı	MYH Grup No	Δ_d (cm)
BN18SN6	XZ	CHI-TCU046W	MYH5	3.53	BO18SN6	XZ	CHI-TCU046W	MYH5	3.71
BN18SN6	XZ	CHI-TCU061N	MYH5	4.87	BO18SN6	XZ	CHI-TCU061N	MYH5	4.25
BN18SN6	XZ	CHI-TCU74N	MYH5	15.09	BO18SN6	XZ	CHI-TCU74N	MYH5	12.82
BN18SN6	XZ	CHI-TCU112-W	MYH5	3.79	BO18SN6	XZ	CHI-TCU112-W	MYH5	2.39
BN18SN6	XZ	CHI-TCU123-W	MYH5	6.32	BO18SN6	XZ	CHI-TCU123-W	MYH5	6.56
BN18SN6	XZ	CHI-TCU141-E	MYH5	5.63	BO18SN6	XZ	CHI-TCU141-E	MYH5	3.59
BN18SN6	XZ	CHI-WNTN	MYH5	11.81	BO18SN6	XZ	CHI-WNTN	MYH5	10.59
BN18SN6	XZ	COA-Z14000	MYH5	12.66	BO18SN6	XZ	COA-Z14000	MYH5	11.09
BN18SN6	XZ	IMP-AER045	MYH5	8.64	BO18SN6	XZ	IMP-AER045	MYH5	5.44
BN18SN6	XZ	IMP-ELC3-230	MYH5	3.78	BO18SN6	XZ	IMP-ELC3-230	MYH5	3.69
BN18SN6	XZ	IMP-ELC11-230	MYH5	7.04	BO18SN6	XZ	IMP-ELC11-230	MYH5	5.80
BN18SN6	XZ	IMP-ELCD-360	MYH5	10.21	BO18SN6	XZ	IMP-ELCD-360	MYH5	11.90
BN18SN6	XZ	KOC-AMB000	MYH5	9.02	BO18SN6	XZ	KOC-AMB000	MYH5	5.72
BN18SN6	XZ	LAN-CLVTR	MYH5	11.38	BO18SN6	XZ	LAN-CLVTR	MYH5	13.04
BN18SN6	XZ	LAN-JOS090	MYH5	11.00	BO18SN6	XZ	LAN-JOS090	MYH5	8.84
BN18SN6	XZ	LOM-CYC285	MYH5	10.48	BO18SN6	XZ	LOM-CYC285	MYH5	10.06
BN18SN6	XZ	LOM-GOF090	MYH5	8.76	BO18SN6	XZ	LOM-GOF090	MYH5	7.19
BN18SN6	XZ	LOM-HDA165	MYH5	8.85	BO18SN6	XZ	LOM-HDA165	MYH5	8.97
BN18SN6	XZ	LOM-SAR000	MYH5	10.98	BO18SN6	XZ	LOM-SAR000	MYH5	12.31
BN18SN6	XZ	LOM-SAR090	MYH5	7.41	BO18SN6	XZ	LOM-SAR090	MYH5	4.65
BN18SN6	XZ	NOR-KAT000	MYH5	15.63	BO18SN6	XZ	NOR-KAT000	MYH5	11.06
BN18SN6	XZ	NOR-LOS000	MYH5	11.87	BO18SN6	XZ	NOR-LOS000	MYH5	10.66
BN18SN6	XZ	NOR-MU2035	MYH5	11.21	BO18SN6	XZ	NOR-MU2035	MYH5	8.93
BN18SN6	XZ	NOR-STM090	MYH5	10.51	BO18SN6	XZ	NOR-STM090	MYH5	10.07
BN18SN6	XZ	NPAL-MVH135	MYH5	7.14	BO18SN6	XZ	NPAL-MVH135	MYH5	7.30
BN18SN6	XZ	SUP-ELC090	MYH5	4.06	BO18SN6	XZ	SUP-ELC090	MYH5	4.03
BN18SN6	XZ	SUP-PTS315	MYH5	10.29	BO18SN6	XZ	SUP-PTS315	MYH5	10.76
BN18SN6	XZ	SUP-SUP135	MYH5	12.75	BO18SN6	XZ	SUP-SUP135	MYH5	9.76
BN18SN6	YZ	CAP-RIO270	MYH5	12.93	BO18SN6	YZ	CAP-RIO270	MYH5	16.78
BN18SN6	YZ	CAP-RIO360	MYH5	8.07	BO18SN6	YZ	CAP-RIO360	MYH5	9.93
BN18SN6	YZ	CHI-TCU046W	MYH5	3.66	BO18SN6	YZ	CHI-TCU046W	MYH5	5.04
BN18SN6	YZ	CHI-TCU061N	MYH5	5.40	BO18SN6	YZ	CHI-TCU061N	MYH5	5.69
BN18SN6	YZ	CHI-TCU74N	MYH5	10.79	BO18SN6	YZ	CHI-TCU74N	MYH5	14.10
BN18SN6	YZ	CHI-TCU112-W	MYH5	2.64	BO18SN6	YZ	CHI-TCU112-W	MYH5	5.04
BN18SN6	YZ	CHI-TCU123-W	MYH5	4.92	BO18SN6	YZ	CHI-TCU123-W	MYH5	12.50
BN18SN6	YZ	CHI-TCU141-E	MYH5	2.68	BO18SN6	YZ	CHI-TCU141-E	MYH5	7.03
BN18SN6	YZ	CHI-WNTN	MYH5	9.10	BO18SN6	YZ	CHI-WNTN	MYH5	13.12
BN18SN6	YZ	COA-Z14000	MYH5	6.44	BO18SN6	YZ	COA-Z14000	MYH5	15.83
BN18SN6	YZ	IMP-AER045	MYH5	6.20	BO18SN6	YZ	IMP-AER045	MYH5	13.15
BN18SN6	YZ	IMP-ELC3-230	MYH5	5.05	BO18SN6	YZ	IMP-ELC3-230	MYH5	3.94
BN18SN6	YZ	IMP-ELC11-230	MYH5	6.32	BO18SN6	YZ	IMP-ELC11-230	MYH5	10.07
BN18SN6	YZ	IMP-ELCD-360	MYH5	8.05	BO18SN6	YZ	IMP-ELCD-360	MYH5	19.50
BN18SN6	YZ	KOC-AMB000	MYH5	6.30	BO18SN6	YZ	KOC-AMB000	MYH5	6.61
BN18SN6	YZ	LAN-CLVTR	MYH5	14.65	BO18SN6	YZ	LAN-CLVTR	MYH5	18.44
BN18SN6	YZ	LAN-JOS090	MYH5	10.32	BO18SN6	YZ	LAN-JOS090	MYH5	13.83
BN18SN6	YZ	LOM-CYC285	MYH5	10.63	BO18SN6	YZ	LOM-CYC285	MYH5	13.48
BN18SN6	YZ	LOM-GOF090	MYH5	5.19	BO18SN6	YZ	LOM-GOF090	MYH5	15.92
BN18SN6	YZ	LOM-HDA165	MYH5	9.56	BO18SN6	YZ	LOM-HDA165	MYH5	9.02
BN18SN6	YZ	LOM-SAR000	MYH5	9.72	BO18SN6	YZ	LOM-SAR000	MYH5	15.07
BN18SN6	YZ	LOM-SAR090	MYH5	5.31	BO18SN6	YZ	LOM-SAR090	MYH5	7.12
BN18SN6	YZ	NOR-KAT000	MYH5	10.17	BO18SN6	YZ	NOR-KAT000	MYH5	13.49
BN18SN6	YZ	NOR-LOS000	MYH5	10.88	BO18SN6	YZ	NOR-LOS000	MYH5	16.23
BN18SN6	YZ	NOR-MU2035	MYH5	6.32	BO18SN6	YZ	NOR-MU2035	MYH5	11.38
BN18SN6	YZ	NOR-STM090	MYH5	7.80	BO18SN6	YZ	NOR-STM090	MYH5	13.48
BN18SN6	YZ	NPAL-MVH135	MYH5	7.07	BO18SN6	YZ	NPAL-MVH135	MYH5	14.82
BN18SN6	YZ	SUP-ELC090	MYH5	4.59	BO18SN6	YZ	SUP-ELC090	MYH5	6.40
BN18SN6	YZ	SUP-PTS315	MYH5	10.28	BO18SN6	YZ	SUP-PTS315	MYH5	16.19
BN18SN6	YZ	SUP-SUP135	MYH5	9.94	BO18SN6	YZ	SUP-SUP135	MYH5	11.51
BN18SN6	XZ	CAP-PET000	MYH6	14.03	BO18SN6	XZ	CAP-PET000	MYH6	14.08

Tablo C.1 (devam): Mevcut binalara ait yerdeğiştirme talepleri

Bina Adı	Analiz Yönü	İvme Kaydı	MYH Grup No	Δ_d (cm)	Bina Adı	Analiz Yönü	İvme Kaydı	MYH Grup No	Δ_d (cm)
BN18SN6	XZ	CHI-CHY025W	MYH6	7.78	BO18SN6	XZ	CHI-CHY025W	MYH6	5.13
BN18SN6	XZ	CHI-CHY034-N	MYH6	12.61	BO18SN6	XZ	CHI-CHY034-N	MYH6	9.92
BN18SN6	XZ	CHI-TCU038N	MYH6	6.80	BO18SN6	XZ	CHI-TCU038N	MYH6	5.35
BN18SN6	XZ	CHI-TCU038W	MYH6	6.07	BO18SN6	XZ	CHI-TCU038W	MYH6	4.55
BN18SN6	XZ	CHI-TCU048N	MYH6	5.45	BO18SN6	XZ	CHI-TCU048N	MYH6	4.40
BN18SN6	XZ	CHI-TCU49W	MYH6	6.48	BO18SN6	XZ	CHI-TCU49W	MYH6	5.12
BN18SN6	XZ	CHI-TCU51W	MYH6	6.03	BO18SN6	XZ	CHI-TCU51W	MYH6	4.26
BN18SN6	XZ	CHI-TCU95N	MYH6	5.83	BO18SN6	XZ	CHI-TCU95N	MYH6	4.80
BN18SN6	XZ	CHI-TCU104-N	MYH6	3.38	BO18SN6	XZ	CHI-TCU104-N	MYH6	2.59
BN18SN6	XZ	CHI-TCU106-W	MYH6	5.94	BO18SN6	XZ	CHI-TCU106-W	MYH6	5.05
BN18SN6	XZ	CHI-TCU107-N	MYH6	9.23	BO18SN6	XZ	CHI-TCU107-N	MYH6	5.72
BN18SN6	XZ	COY-G06230	MYH6	12.34	BO18SN6	XZ	COY-G06230	MYH6	12.58
BN18SN6	XZ	IMP-E10050	MYH6	4.61	BO18SN6	XZ	IMP-E10050	MYH6	2.89
BN18SN6	XZ	IMP-ELC3-140	MYH6	7.60	BO18SN6	XZ	IMP-ELC3-140	MYH6	8.65
BN18SN6	XZ	IMP-ELC5-140	MYH6	10.26	BO18SN6	XZ	IMP-ELC5-140	MYH6	7.35
BN18SN6	XZ	IMP-ELC7-140	MYH6	16.12	BO18SN6	XZ	IMP-ELC7-140	MYH6	11.88
BN18SN6	XZ	IMP-ELC8-230	MYH6	10.22	BO18SN6	XZ	IMP-ELC8-230	MYH6	6.54
BN18SN6	XZ	IMP-HVP225	MYH6	8.16	BO18SN6	XZ	IMP-HVP225	MYH6	6.45
BN18SN6	XZ	KOC-DZC270	MYH6	11.60	BO18SN6	XZ	KOC-DZC270	MYH6	11.19
BN18SN6	XZ	LOM-BRN090	MYH6	10.85	BO18SN6	XZ	LOM-BRN090	MYH6	8.55
BN18SN6	XZ	LOM-COR090	MYH6	11.74	BO18SN6	XZ	LOM-COR090	MYH6	11.36
BN18SN6	XZ	LOM-G03090	MYH6	10.15	BO18SN6	XZ	LOM-G03090	MYH6	9.15
BN18SN6	XZ	LOM-HCH180	MYH6	13.30	BO18SN6	XZ	LOM-HCH180	MYH6	11.58
BN18SN6	XZ	NAH-S1010	MYH6	11.60	BO18SN6	XZ	NAH-S1010	MYH6	6.85
BN18SN6	XZ	NAH-S1280	MYH6	9.91	BO18SN6	XZ	NAH-S1280	MYH6	6.36
BN18SN6	XZ	NOR-LOS270	MYH6	12.70	BO18SN6	XZ	NOR-LOS270	MYH6	9.89
BN18SN6	XZ	NOR-PAC175	MYH6	7.17	BO18SN6	XZ	NOR-PAC175	MYH6	6.50
BN18SN6	XZ	SUP-ELC000	MYH6	12.24	BO18SN6	XZ	SUP-ELC000	MYH6	12.05
BN18SN6	XZ	WES-WSM090	MYH6	10.67	BO18SN6	XZ	WES-WSM090	MYH6	10.56
BN18SN6	YZ	CAP-PET000	MYH6	12.14	BO18SN6	YZ	CAP-PET000	MYH6	14.42
BN18SN6	YZ	CHI-CHY025W	MYH6	5.73	BO18SN6	YZ	CHI-CHY025W	MYH6	12.39
BN18SN6	YZ	CHI-CHY034-N	MYH6	9.40	BO18SN6	YZ	CHI-CHY034-N	MYH6	13.95
BN18SN6	YZ	CHI-TCU038N	MYH6	5.00	BO18SN6	YZ	CHI-TCU038N	MYH6	7.64
BN18SN6	YZ	CHI-TCU038W	MYH6	5.09	BO18SN6	YZ	CHI-TCU038W	MYH6	5.76
BN18SN6	YZ	CHI-TCU048N	MYH6	4.83	BO18SN6	YZ	CHI-TCU048N	MYH6	5.19
BN18SN6	YZ	CHI-TCU49W	MYH6	6.53	BO18SN6	YZ	CHI-TCU49W	MYH6	12.45
BN18SN6	YZ	CHI-TCU51W	MYH6	4.42	BO18SN6	YZ	CHI-TCU51W	MYH6	9.84
BN18SN6	YZ	CHI-TCU95N	MYH6	6.85	BO18SN6	YZ	CHI-TCU95N	MYH6	6.21
BN18SN6	YZ	CHI-TCU104-N	MYH6	2.68	BO18SN6	YZ	CHI-TCU104-N	MYH6	4.77
BN18SN6	YZ	CHI-TCU106-W	MYH6	4.90	BO18SN6	YZ	CHI-TCU106-W	MYH6	8.31
BN18SN6	YZ	CHI-TCU107-N	MYH6	4.75	BO18SN6	YZ	CHI-TCU107-N	MYH6	8.67
BN18SN6	YZ	COY-G06230	MYH6	11.78	BO18SN6	YZ	COY-G06230	MYH6	15.83
BN18SN6	YZ	IMP-E10050	MYH6	2.78	BO18SN6	YZ	IMP-E10050	MYH6	7.41
BN18SN6	YZ	IMP-ELC3-140	MYH6	7.92	BO18SN6	YZ	IMP-ELC3-140	MYH6	9.47
BN18SN6	YZ	IMP-ELC5-140	MYH6	6.77	BO18SN6	YZ	IMP-ELC5-140	MYH6	10.02
BN18SN6	YZ	IMP-ELC7-140	MYH6	11.43	BO18SN6	YZ	IMP-ELC7-140	MYH6	16.92
BN18SN6	YZ	IMP-ELC8-230	MYH6	6.50	BO18SN6	YZ	IMP-ELC8-230	MYH6	9.54
BN18SN6	YZ	IMP-HVP225	MYH6	5.98	BO18SN6	YZ	IMP-HVP225	MYH6	12.28
BN18SN6	YZ	KOC-DZC270	MYH6	8.91	BO18SN6	YZ	KOC-DZC270	MYH6	20.58
BN18SN6	YZ	LOM-BRN090	MYH6	13.44	BO18SN6	YZ	LOM-BRN090	MYH6	9.89
BN18SN6	YZ	LOM-COR090	MYH6	12.72	BO18SN6	YZ	LOM-COR090	MYH6	13.30
BN18SN6	YZ	LOM-G03090	MYH6	6.71	BO18SN6	YZ	LOM-G03090	MYH6	15.66
BN18SN6	YZ	LOM-HCH180	MYH6	8.83	BO18SN6	YZ	LOM-HCH180	MYH6	18.54
BN18SN6	YZ	NAH-S1010	MYH6	6.53	BO18SN6	YZ	NAH-S1010	MYH6	7.92
BN18SN6	YZ	NAH-S1280	MYH6	7.97	BO18SN6	YZ	NAH-S1280	MYH6	8.34
BN18SN6	YZ	NOR-LOS270	MYH6	11.03	BO18SN6	YZ	NOR-LOS270	MYH6	13.47
BN18SN6	YZ	NOR-PAC175	MYH6	8.00	BO18SN6	YZ	NOR-PAC175	MYH6	7.36
BN18SN6	YZ	SUP-ELC000	MYH6	7.58	BO18SN6	YZ	SUP-ELC000	MYH6	15.29
BN18SN6	YZ	WES-WSM090	MYH6	9.60	BO18SN6	YZ	WES-WSM090	MYH6	12.39

Tablo C.1 (devam): Mevcut binalara ait yerdeğiştirme talepleri

Bina Adı	Analiz Yönü	İvme Kaydı	MYH Grup No	Δ_d (cm)	Bina Adı	Analiz Yönü	İvme Kaydı	MYH Grup No	Δ_d (cm)
BN18SN6	XZ	CHI-CHY002-N	MYH7	5.33	BO18SN6	XZ	CHI-CHY002-N	MYH7	5.66
BN18SN6	XZ	CHI-CHY024W	MYH7	7.66	BO18SN6	XZ	CHI-CHY024W	MYH7	7.68
BN18SN6	XZ	CHI-CHY104-E	MYH7	6.81	BO18SN6	XZ	CHI-CHY104-E	MYH7	5.56
BN18SN6	XZ	CHI-TCU029N	MYH7	6.77	BO18SN6	XZ	CHI-TCU029N	MYH7	4.10
BN18SN6	XZ	CHI-TCU036N	MYH7	5.33	BO18SN6	XZ	CHI-TCU036N	MYH7	3.85
BN18SN6	XZ	CHI-TCU039N	MYH7	6.08	BO18SN6	XZ	CHI-TCU039N	MYH7	4.66
BN18SN6	XZ	CHI-TCU039W	MYH7	5.63	BO18SN6	XZ	CHI-TCU039W	MYH7	6.06
BN18SN6	XZ	CHI-TCU040N	MYH7	4.78	BO18SN6	XZ	CHI-TCU040N	MYH7	4.31
BN18SN6	XZ	CHI-TCU040W	MYH7	5.01	BO18SN6	XZ	CHI-TCU040W	MYH7	4.58
BN18SN6	XZ	CHI-TCU055N	MYH7	7.28	BO18SN6	XZ	CHI-TCU055N	MYH7	6.15
BN18SN6	XZ	CHI-TCU064N	MYH7	5.58	BO18SN6	XZ	CHI-TCU064N	MYH7	4.12
BN18SN6	XZ	CHI-TCU70W	MYH7	8.96	BO18SN6	XZ	CHI-TCU70W	MYH7	7.37
BN18SN6	XZ	CHI-TCU109-N	MYH7	9.33	BO18SN6	XZ	CHI-TCU109-N	MYH7	6.01
BN18SN6	XZ	CHI-TCU109-W	MYH7	7.96	BO18SN6	XZ	CHI-TCU109-W	MYH7	7.02
BN18SN6	XZ	CHI-TCU115-W	MYH7	4.60	BO18SN6	XZ	CHI-TCU115-W	MYH7	2.80
BN18SN6	XZ	CHI-TCU117-N	MYH7	5.68	BO18SN6	XZ	CHI-TCU117-N	MYH7	3.81
BN18SN6	XZ	IMP-ELC8-140	MYH7	10.03	BO18SN6	XZ	IMP-ELC8-140	MYH7	8.93
BN18SN6	XZ	IMP-HVP315	MYH7	5.47	BO18SN6	XZ	IMP-HVP315	MYH7	4.42
BN18SN6	XZ	IRP-STU270	MYH7	10.55	BO18SN6	XZ	IRP-STU270	MYH7	11.98
BN18SN6	XZ	KOC-GBZ000	MYH7	7.44	BO18SN6	XZ	KOC-GBZ000	MYH7	4.35
BN18SN6	XZ	LAN-YER270	MYH7	8.18	BO18SN6	XZ	LAN-YER270	MYH7	9.64
BN18SN6	XZ	LOM-A02043	MYH7	19.17	BO18SN6	XZ	LOM-A02043	MYH7	17.17
BN18SN6	XZ	LOM-BRN000	MYH7	18.57	BO18SN6	XZ	LOM-BRN000	MYH7	15.84
BN18SN6	XZ	LOM-LGP090	MYH7	14.94	BO18SN6	XZ	LOM-LGP090	MYH7	9.44
BN18SN6	XZ	MOR-CYC195	MYH7	18.48	BO18SN6	XZ	MOR-CYC195	MYH7	12.24
BN18SN6	XZ	NOR-LDM334	MYH7	13.88	BO18SN6	XZ	NOR-LDM334	MYH7	11.92
BN18SN6	XZ	NOR-ORR090	MYH7	13.62	BO18SN6	XZ	NOR-ORR090	MYH7	13.37
BN18SN6	XZ	NOR-ORR360	MYH7	20.44	BO18SN6	XZ	NOR-ORR360	MYH7	17.76
BN18SN6	XZ	NOR-PKC360	MYH7	13.31	BO18SN6	XZ	NOR-PKC360	MYH7	9.00
BN18SN6	XZ	SFD-PCD254	MYH7	14.26	BO18SN6	XZ	SFD-PCD254	MYH7	11.37
BN18SN6	YZ	CHI-CHY002-N	MYH7	4.22	BO18SN6	YZ	CHI-CHY002-N	MYH7	6.62
BN18SN6	YZ	CHI-CHY024W	MYH7	8.53	BO18SN6	YZ	CHI-CHY024W	MYH7	13.61
BN18SN6	YZ	CHI-CHY104-E	MYH7	7.36	BO18SN6	YZ	CHI-CHY104-E	MYH7	10.17
BN18SN6	YZ	CHI-TCU029N	MYH7	5.08	BO18SN6	YZ	CHI-TCU029N	MYH7	7.40
BN18SN6	YZ	CHI-TCU036N	MYH7	4.95	BO18SN6	YZ	CHI-TCU036N	MYH7	8.10
BN18SN6	YZ	CHI-TCU039N	MYH7	5.75	BO18SN6	YZ	CHI-TCU039N	MYH7	6.95
BN18SN6	YZ	CHI-TCU039W	MYH7	6.87	BO18SN6	YZ	CHI-TCU039W	MYH7	10.77
BN18SN6	YZ	CHI-TCU040N	MYH7	3.96	BO18SN6	YZ	CHI-TCU040N	MYH7	5.77
BN18SN6	YZ	CHI-TCU040W	MYH7	3.32	BO18SN6	YZ	CHI-TCU040W	MYH7	6.04
BN18SN6	YZ	CHI-TCU055N	MYH7	6.64	BO18SN6	YZ	CHI-TCU055N	MYH7	9.16
BN18SN6	YZ	CHI-TCU064N	MYH7	3.14	BO18SN6	YZ	CHI-TCU064N	MYH7	8.97
BN18SN6	YZ	CHI-TCU70W	MYH7	9.55	BO18SN6	YZ	CHI-TCU70W	MYH7	9.18
BN18SN6	YZ	CHI-TCU109-N	MYH7	5.12	BO18SN6	YZ	CHI-TCU109-N	MYH7	9.96
BN18SN6	YZ	CHI-TCU109-W	MYH7	6.03	BO18SN6	YZ	CHI-TCU109-W	MYH7	9.15
BN18SN6	YZ	CHI-TCU115-W	MYH7	2.65	BO18SN6	YZ	CHI-TCU115-W	MYH7	4.97
BN18SN6	YZ	CHI-TCU117-N	MYH7	4.32	BO18SN6	YZ	CHI-TCU117-N	MYH7	8.15
BN18SN6	YZ	IMP-ELC8-140	MYH7	8.56	BO18SN6	YZ	IMP-ELC8-140	MYH7	11.11
BN18SN6	YZ	IMP-HVP315	MYH7	4.93	BO18SN6	YZ	IMP-HVP315	MYH7	8.05
BN18SN6	YZ	IRP-STU270	MYH7	6.54	BO18SN6	YZ	IRP-STU270	MYH7	18.17
BN18SN6	YZ	KOC-GBZ000	MYH7	3.80	BO18SN6	YZ	KOC-GBZ000	MYH7	7.95
BN18SN6	YZ	LAN-YER270	MYH7	9.01	BO18SN6	YZ	LAN-YER270	MYH7	10.81
BN18SN6	YZ	LOM-A02043	MYH7	10.27	BO18SN6	YZ	LOM-A02043	MYH7	15.12
BN18SN6	YZ	LOM-BRN000	MYH7	12.49	BO18SN6	YZ	LOM-BRN000	MYH7	15.42
BN18SN6	YZ	LOM-LGP090	MYH7	10.67	BO18SN6	YZ	LOM-LGP090	MYH7	15.30
BN18SN6	YZ	MOR-CYC195	MYH7	15.45	BO18SN6	YZ	MOR-CYC195	MYH7	12.10
BN18SN6	YZ	NOR-LDM334	MYH7	10.31	BO18SN6	YZ	NOR-LDM334	MYH7	15.50
BN18SN6	YZ	NOR-ORR090	MYH7	10.80	BO18SN6	YZ	NOR-ORR090	MYH7	15.54
BN18SN6	YZ	NOR-ORR360	MYH7	16.62	BO18SN6	YZ	NOR-ORR360	MYH7	22.86
BN18SN6	YZ	NOR-PKC360	MYH7	14.01	BO18SN6	YZ	NOR-PKC360	MYH7	11.10

Tablo C.1 (devam): Mevcut binalara ait yerdeğiştirme talepleri

Bina Adı	Analiz Yönü	İvme Kaydı	MYH Grup No	Δ_d (cm)	Bina Adı	Analiz Yönü	İvme Kaydı	MYH Grup No	Δ_d (cm)
BN18SN6	YZ	SFD-PCD254	MYH7	10.95	BO18SN6	YZ	SFD-PCD254	MYH7	13.07
BN18SN6	XZ	CAP-RIO270	MYH8	18.31	BO18SN6	XZ	CAP-RIO270	MYH8	16.43
BN18SN6	XZ	CAP-RIO360	MYH8	11.14	BO18SN6	XZ	CAP-RIO360	MYH8	11.11
BN18SN6	XZ	CHI-CHY006-E	MYH8	11.62	BO18SN6	XZ	CHI-CHY006-E	MYH8	11.16
BN18SN6	XZ	CHI-CHY092-E	MYH8	6.34	BO18SN6	XZ	CHI-CHY092-E	MYH8	3.88
BN18SN6	XZ	CHI-CHY104-N	MYH8	11.38	BO18SN6	XZ	CHI-CHY104-N	MYH8	8.43
BN18SN6	XZ	CHI-TCU054W	MYH8	6.95	BO18SN6	XZ	CHI-TCU054W	MYH8	4.70
BN18SN6	XZ	CHI-TCU059N	MYH8	7.73	BO18SN6	XZ	CHI-TCU059N	MYH8	5.37
BN18SN6	XZ	CHI-TCU059W	MYH8	6.87	BO18SN6	XZ	CHI-TCU059W	MYH8	6.12
BN18SN6	XZ	CHI-TCU063W	MYH8	10.34	BO18SN6	XZ	CHI-TCU063W	MYH8	7.29
BN18SN6	XZ	CHI-TCU072N	MYH8	18.29	BO18SN6	XZ	CHI-TCU072N	MYH8	18.27
BN18SN6	XZ	CHI-TCU82W	MYH8	6.95	BO18SN6	XZ	CHI-TCU82W	MYH8	6.09
BN18SN6	XZ	CHI-TCU110-N	MYH8	11.13	BO18SN6	XZ	CHI-TCU110-N	MYH8	9.50
BN18SN6	XZ	CHI-TCU111-W	MYH8	7.54	BO18SN6	XZ	CHI-TCU111-W	MYH8	6.04
BN18SN6	XZ	CHI-TCU117-W	MYH8	6.13	BO18SN6	XZ	CHI-TCU117-W	MYH8	5.10
BN18SN6	XZ	CHI-TCU136-E	MYH8	9.96	BO18SN6	XZ	CHI-TCU136-E	MYH8	7.08
BN18SN6	XZ	DZC-BOL000	MYH8	14.12	BO18SN6	XZ	DZC-BOL000	MYH8	13.45
BN18SN6	XZ	IMP-ELC3-140	MYH8	9.41	BO18SN6	XZ	IMP-ELC3-140	MYH8	11.55
BN18SN6	XZ	IMP-ELC3-230	MYH8	5.14	BO18SN6	XZ	IMP-ELC3-230	MYH8	5.68
BN18SN6	XZ	IRP-STU270	MYH8	11.96	BO18SN6	XZ	IRP-STU270	MYH8	13.94
BN18SN6	XZ	KOC-DZC180	MYH8	10.72	BO18SN6	XZ	KOC-DZC180	MYH8	7.87
BN18SN6	XZ	KOC-DZC270	MYH8	15.32	BO18SN6	XZ	KOC-DZC270	MYH8	17.93
BN18SN6	XZ	KOC-GBZ000	MYH8	8.59	BO18SN6	XZ	KOC-GBZ000	MYH8	5.29
BN18SN6	XZ	LAN-CLVTR	MYH8	17.18	BO18SN6	XZ	LAN-CLVTR	MYH8	19.17
BN18SN6	XZ	LAN-YER270	MYH8	9.12	BO18SN6	XZ	LAN-YER270	MYH8	11.37
BN18SN6	XZ	LOM-COR000	MYH8	12.25	BO18SN6	XZ	LOM-COR000	MYH8	12.08
BN18SN6	XZ	NOR-MUL009	MYH8	17.49	BO18SN6	XZ	NOR-MUL009	MYH8	15.48
BN18SN6	XZ	NOR-PUL104	MYH8	14.27	BO18SN6	XZ	NOR-PUL104	MYH8	12.55
BN18SN6	XZ	NPAL-MVH135	MYH8	11.72	BO18SN6	XZ	NPAL-MVH135	MYH8	15.11
BN18SN6	XZ	SUP-ELC000	MYH8	15.80	BO18SN6	XZ	SUP-ELC000	MYH8	15.34
BN18SN6	XZ	SUP-ELC090	MYH8	5.76	BO18SN6	XZ	SUP-ELC090	MYH8	5.73
BN18SN6	YZ	CAP-RIO270	MYH8	16.74	BO18SN6	YZ	CAP-RIO270	MYH8	21.54
BN18SN6	YZ	CAP-RIO360	MYH8	11.64	BO18SN6	YZ	CAP-RIO360	MYH8	12.76
BN18SN6	YZ	CHI-CHY006-E	MYH8	13.11	BO18SN6	YZ	CHI-CHY006-E	MYH8	16.24
BN18SN6	YZ	CHI-CHY092-E	MYH8	4.05	BO18SN6	YZ	CHI-CHY092-E	MYH8	7.56
BN18SN6	YZ	CHI-CHY104-N	MYH8	9.11	BO18SN6	YZ	CHI-CHY104-N	MYH8	7.50
BN18SN6	YZ	CHI-TCU054W	MYH8	4.47	BO18SN6	YZ	CHI-TCU054W	MYH8	7.70
BN18SN6	YZ	CHI-TCU059N	MYH8	5.03	BO18SN6	YZ	CHI-TCU059N	MYH8	11.62
BN18SN6	YZ	CHI-TCU059W	MYH8	6.70	BO18SN6	YZ	CHI-TCU059W	MYH8	11.53
BN18SN6	YZ	CHI-TCU063W	MYH8	5.71	BO18SN6	YZ	CHI-TCU063W	MYH8	8.34
BN18SN6	YZ	CHI-TCU072N	MYH8	12.83	BO18SN6	YZ	CHI-TCU072N	MYH8	15.21
BN18SN6	YZ	CHI-TCU82W	MYH8	5.71	BO18SN6	YZ	CHI-TCU82W	MYH8	7.50
BN18SN6	YZ	CHI-TCU110-N	MYH8	7.53	BO18SN6	YZ	CHI-TCU110-N	MYH8	19.38
BN18SN6	YZ	CHI-TCU111-W	MYH8	4.70	BO18SN6	YZ	CHI-TCU111-W	MYH8	10.38
BN18SN6	YZ	CHI-TCU117-W	MYH8	4.72	BO18SN6	YZ	CHI-TCU117-W	MYH8	7.05
BN18SN6	YZ	CHI-TCU136-E	MYH8	6.78	BO18SN6	YZ	CHI-TCU136-E	MYH8	7.91
BN18SN6	YZ	DZC-BOL000	MYH8	11.90	BO18SN6	YZ	DZC-BOL000	MYH8	16.56
BN18SN6	YZ	IMP-ELC3-140	MYH8	9.41	BO18SN6	YZ	IMP-ELC3-140	MYH8	11.41
BN18SN6	YZ	IMP-ELC3-230	MYH8	6.32	BO18SN6	YZ	IMP-ELC3-230	MYH8	6.53
BN18SN6	YZ	IRP-STU270	MYH8	7.14	BO18SN6	YZ	IRP-STU270	MYH8	20.44
BN18SN6	YZ	KOC-DZC180	MYH8	7.40	BO18SN6	YZ	KOC-DZC180	MYH8	13.11
BN18SN6	YZ	KOC-DZC270	MYH8	9.30	BO18SN6	YZ	KOC-DZC270	MYH8	23.44
BN18SN6	YZ	KOC-GBZ000	MYH8	4.14	BO18SN6	YZ	KOC-GBZ000	MYH8	9.64
BN18SN6	YZ	LAN-CLVTR	MYH8	18.76	BO18SN6	YZ	LAN-CLVTR	MYH8	23.94
BN18SN6	YZ	LAN-YER270	MYH8	10.05	BO18SN6	YZ	LAN-YER270	MYH8	15.75
BN18SN6	YZ	LOM-COR000	MYH8	11.99	BO18SN6	YZ	LOM-COR000	MYH8	13.75
BN18SN6	YZ	NOR-MUL009	MYH8	15.07	BO18SN6	YZ	NOR-MUL009	MYH8	20.88
BN18SN6	YZ	NOR-PUL104	MYH8	13.88	BO18SN6	YZ	NOR-PUL104	MYH8	15.00
BN18SN6	YZ	NPAL-MVH135	MYH8	9.74	BO18SN6	YZ	NPAL-MVH135	MYH8	25.32

Tablo C.1 (devam): Mevcut binalara ait yerdeğiştirme talepleri

Bina Adı	Analiz Yönü	İvme Kaydı	MYH Grup No	Δ_d (cm)	Bina Adı	Analiz Yönü	İvme Kaydı	MYH Grup No	Δ_d (cm)
BN18SN6	YZ	SUP-ELC000	MYH8	9.98	BO18SN6	YZ	SUP-ELC000	MYH8	16.19
BN18SN6	YZ	SUP-ELC090	MYH8	6.64	BO18SN6	YZ	SUP-ELC090	MYH8	14.72
BN18SN6	XZ	CHI-TCU036W	MYH9	7.23	BO18SN6	XZ	CHI-TCU036W	MYH9	5.15
BN18SN6	XZ	CHI-TCU49N	MYH9	8.25	BO18SN6	XZ	CHI-TCU49N	MYH9	7.73
BN18SN6	XZ	CHI-TCU70N	MYH9	7.65	BO18SN6	XZ	CHI-TCU70N	MYH9	5.83
BN18SN6	XZ	CHI-TCU76N	MYH9	18.36	BO18SN6	XZ	CHI-TCU76N	MYH9	18.10
BN18SN6	XZ	CHI-TCU76W	MYH9	8.40	BO18SN6	XZ	CHI-TCU76W	MYH9	6.68
BN18SN6	XZ	CHI-TCU079-W	MYH9	13.05	BO18SN6	XZ	CHI-TCU079-W	MYH9	12.32
BN18SN6	XZ	CHI-TCU95W	MYH9	10.27	BO18SN6	XZ	CHI-TCU95W	MYH9	6.78
BN18SN6	XZ	CHI-TCU103-W	MYH9	6.05	BO18SN6	XZ	CHI-TCU103-W	MYH9	3.74
BN18SN6	XZ	CHI-TCU120-W	MYH9	8.94	BO18SN6	XZ	CHI-TCU120-W	MYH9	8.95
BN18SN6	XZ	CHI-TCU129-W	MYH9	14.69	BO18SN6	XZ	CHI-TCU129-W	MYH9	15.05
BN18SN6	XZ	COA-PLE045	MYH9	16.07	BO18SN6	XZ	COA-PLE045	MYH9	15.15
BN18SN6	XZ	DZC-BOL000	MYH9	16.11	BO18SN6	XZ	DZC-BOL000	MYH9	15.01
BN18SN6	XZ	DZC-BOL090	MYH9	22.34	BO18SN6	XZ	DZC-BOL090	MYH9	18.10
BN18SN6	XZ	DZC-DZC180	MYH9	10.76	BO18SN6	XZ	DZC-DZC180	MYH9	7.71
BN18SN6	XZ	ERZ-ERZEW	MYH9	18.87	BO18SN6	XZ	ERZ-ERZEW	MYH9	18.62
BN18SN6	XZ	IMP-ELC3-140	MYH9	10.32	BO18SN6	XZ	IMP-ELC3-140	MYH9	12.91
BN18SN6	XZ	IMP-HVP315	MYH9	6.97	BO18SN6	XZ	IMP-HVP315	MYH9	5.64
BN18SN6	XZ	IRP-STU270	MYH9	13.56	BO18SN6	XZ	IRP-STU270	MYH9	15.75
BN18SN6	XZ	KOC-DZC180	MYH9	11.14	BO18SN6	XZ	KOC-DZC180	MYH9	7.88
BN18SN6	XZ	KOC-GBZ000	MYH9	9.38	BO18SN6	XZ	KOC-GBZ000	MYH9	6.00
BN18SN6	XZ	KOC-YAR330	MYH9	9.82	BO18SN6	XZ	KOC-YAR330	MYH9	9.12
BN18SN6	XZ	LAN-YER270	MYH9	9.96	BO18SN6	XZ	LAN-YER270	MYH9	12.84
BN18SN6	XZ	LOM-BRN000	MYH9	21.48	BO18SN6	XZ	LOM-BRN000	MYH9	19.22
BN18SN6	XZ	LOM-HSP000	MYH9	15.78	BO18SN6	XZ	LOM-HSP000	MYH9	17.30
BN18SN6	XZ	LOM-WVC270	MYH9	13.93	BO18SN6	XZ	LOM-WVC270	MYH9	13.35
BN18SN6	XZ	NOR-CNP196	MYH9	10.78	BO18SN6	XZ	NOR-CNP196	MYH9	8.75
BN18SN6	XZ	NOR-LDM064	MYH9	20.65	BO18SN6	XZ	NOR-LDM064	MYH9	15.64
BN18SN6	XZ	NOR-MUL279	MYH9	21.05	BO18SN6	XZ	NOR-MUL279	MYH9	23.17
BN18SN6	XZ	NOR-SAT180	MYH9	16.05	BO18SN6	XZ	NOR-SAT180	MYH9	18.35
BN18SN6	XZ	SUP-ELC000	MYH9	17.52	BO18SN6	XZ	SUP-ELC000	MYH9	16.78
BN18SN6	YZ	CHI-TCU036W	MYH9	4.05	BO18SN6	YZ	CHI-TCU036W	MYH9	6.73
BN18SN6	YZ	CHI-TCU49N	MYH9	7.62	BO18SN6	YZ	CHI-TCU49N	MYH9	10.36
BN18SN6	YZ	CHI-TCU70N	MYH9	7.69	BO18SN6	YZ	CHI-TCU70N	MYH9	12.78
BN18SN6	YZ	CHI-TCU76N	MYH9	11.41	BO18SN6	YZ	CHI-TCU76N	MYH9	20.55
BN18SN6	YZ	CHI-TCU76W	MYH9	5.40	BO18SN6	YZ	CHI-TCU76W	MYH9	8.62
BN18SN6	YZ	CHI-TCU079-W	MYH9	18.01	BO18SN6	YZ	CHI-TCU079-W	MYH9	23.91
BN18SN6	YZ	CHI-TCU95W	MYH9	7.89	BO18SN6	YZ	CHI-TCU95W	MYH9	11.55
BN18SN6	YZ	CHI-TCU103-W	MYH9	3.30	BO18SN6	YZ	CHI-TCU103-W	MYH9	9.96
BN18SN6	YZ	CHI-TCU120-W	MYH9	6.19	BO18SN6	YZ	CHI-TCU120-W	MYH9	19.32
BN18SN6	YZ	CHI-TCU129-W	MYH9	9.73	BO18SN6	YZ	CHI-TCU129-W	MYH9	20.11
BN18SN6	YZ	COA-PLE045	MYH9	12.96	BO18SN6	YZ	COA-PLE045	MYH9	19.87
BN18SN6	YZ	DZC-BOL000	MYH9	12.24	BO18SN6	YZ	DZC-BOL000	MYH9	18.09
BN18SN6	YZ	DZC-BOL090	MYH9	21.38	BO18SN6	YZ	DZC-BOL090	MYH9	16.94
BN18SN6	YZ	DZC-DZC180	MYH9	13.69	BO18SN6	YZ	DZC-DZC180	MYH9	11.98
BN18SN6	YZ	ERZ-ERZEW	MYH9	12.21	BO18SN6	YZ	ERZ-ERZEW	MYH9	18.81
BN18SN6	YZ	IMP-ELC3-140	MYH9	10.11	BO18SN6	YZ	IMP-ELC3-140	MYH9	12.36
BN18SN6	YZ	IMP-HVP315	MYH9	5.78	BO18SN6	YZ	IMP-HVP315	MYH9	10.33
BN18SN6	YZ	IRP-STU270	MYH9	7.79	BO18SN6	YZ	IRP-STU270	MYH9	23.71
BN18SN6	YZ	KOC-DZC180	MYH9	7.92	BO18SN6	YZ	KOC-DZC180	MYH9	14.73
BN18SN6	YZ	KOC-GBZ000	MYH9	4.37	BO18SN6	YZ	KOC-GBZ000	MYH9	10.71
BN18SN6	YZ	KOC-YAR330	MYH9	8.38	BO18SN6	YZ	KOC-YAR330	MYH9	17.05
BN18SN6	YZ	LAN-YER270	MYH9	10.93	BO18SN6	YZ	LAN-YER270	MYH9	20.44
BN18SN6	YZ	LOM-BRN000	MYH9	17.26	BO18SN6	YZ	LOM-BRN000	MYH9	16.32
BN18SN6	YZ	LOM-HSP000	MYH9	17.12	BO18SN6	YZ	LOM-HSP000	MYH9	22.40
BN18SN6	YZ	LOM-WVC270	MYH9	8.98	BO18SN6	YZ	LOM-WVC270	MYH9	25.18
BN18SN6	YZ	NOR-CNP196	MYH9	11.90	BO18SN6	YZ	NOR-CNP196	MYH9	15.14
BN18SN6	YZ	NOR-LDM064	MYH9	16.52	BO18SN6	YZ	NOR-LDM064	MYH9	17.48

Tablo C.1 (devam): Mevcut binalara ait yerdeğiştirme talepleri

Bina Adı	Analiz Yönü	İvme Kaydı	MYH Grup No	Δ_d (cm)	Bina Adı	Analiz Yönü	İvme Kaydı	MYH Grup No	Δ_d (cm)
BN18SN6	YZ	NOR-MUL279	MYH9	12.36	BO18SN6	YZ	NOR-MUL279	MYH9	23.27
BN18SN6	YZ	NOR-SAT180	MYH9	16.15	BO18SN6	YZ	NOR-SAT180	MYH9	24.80
BN18SN6	YZ	SUP-ELC000	MYH9	11.29	BO18SN6	YZ	SUP-ELC000	MYH9	15.45
BN18SN6	XZ	CHI-CHY28N	MYH10	19.07	BO18SN6	XZ	CHI-CHY28N	MYH10	15.04
BN18SN6	XZ	CHI-TCU067N	MYH10	12.19	BO18SN6	XZ	CHI-TCU067N	MYH10	12.01
BN18SN6	XZ	CHI-TCU071N	MYH10	15.47	BO18SN6	XZ	CHI-TCU071N	MYH10	10.99
BN18SN6	XZ	CHI-TCU101-W	MYH10	7.83	BO18SN6	XZ	CHI-TCU101-W	MYH10	6.62
BN18SN6	XZ	CHI-TCU110-W	MYH10	9.11	BO18SN6	XZ	CHI-TCU110-W	MYH10	7.32
BN18SN6	XZ	CHI-TCU128-N	MYH10	6.91	BO18SN6	XZ	CHI-TCU128-N	MYH10	5.83
BN18SN6	XZ	CHI-WGK-E	MYH10	9.93	BO18SN6	XZ	CHI-WGK-E	MYH10	8.64
BN18SN6	XZ	CHI-WNTE	MYH10	10.81	BO18SN6	XZ	CHI-WNTE	MYH10	9.89
BN18SN6	XZ	DZC-BOL000	MYH10	17.65	BO18SN6	XZ	DZC-BOL000	MYH10	16.26
BN18SN6	XZ	DZC-BOL090	MYH10	23.17	BO18SN6	XZ	DZC-BOL090	MYH10	18.78
BN18SN6	XZ	GAZ-KAR000	MYH10	12.85	BO18SN6	XZ	GAZ-KAR000	MYH10	10.84
BN18SN6	XZ	IMP-ECC092	MYH10	8.83	BO18SN6	XZ	IMP-ECC092	MYH10	6.91
BN18SN6	XZ	IMP-ELC3-140	MYH10	11.42	BO18SN6	XZ	IMP-ELC3-140	MYH10	14.27
BN18SN6	XZ	IMP-ELC6-140	MYH10	11.90	BO18SN6	XZ	IMP-ELC6-140	MYH10	8.91
BN18SN6	XZ	IRP-STU270	MYH10	15.34	BO18SN6	XZ	IRP-STU270	MYH10	17.90
BN18SN6	XZ	KOB-TAK000	MYH10	17.54	BO18SN6	XZ	KOB-TAK000	MYH10	15.63
BN18SN6	XZ	KOC-DZC180	MYH10	11.69	BO18SN6	XZ	KOC-DZC180	MYH10	7.91
BN18SN6	XZ	KOC-GBZ000	MYH10	10.19	BO18SN6	XZ	KOC-GBZ000	MYH10	6.76
BN18SN6	XZ	KOC-YAR060	MYH10	10.08	BO18SN6	XZ	KOC-YAR060	MYH10	7.83
BN18SN6	XZ	LAN-YER270	MYH10	10.84	BO18SN6	XZ	LAN-YER270	MYH10	14.30
BN18SN6	XZ	LOM-BRN000	MYH10	22.91	BO18SN6	XZ	LOM-BRN000	MYH10	20.85
BN18SN6	XZ	LOM-G03090	MYH10	17.72	BO18SN6	XZ	LOM-G03090	MYH10	18.38
BN18SN6	XZ	LOM-HSP000	MYH10	17.12	BO18SN6	XZ	LOM-HSP000	MYH10	19.14
BN18SN6	XZ	NOR-CNP196	MYH10	11.71	BO18SN6	XZ	NOR-CNP196	MYH10	9.78
BN18SN6	XZ	NOR-MUL009	MYH10	20.00	BO18SN6	XZ	NOR-MUL009	MYH10	18.18
BN18SN6	XZ	NOR-MUL279	MYH10	22.90	BO18SN6	XZ	NOR-MUL279	MYH10	25.25
BN18SN6	XZ	NOR-ORR090	MYH10	16.24	BO18SN6	XZ	NOR-ORR090	MYH10	17.65
BN18SN6	XZ	NOR-ORR360	MYH10	24.96	BO18SN6	XZ	NOR-ORR360	MYH10	21.94
BN18SN6	XZ	NOR-SAT180	MYH10	18.72	BO18SN6	XZ	NOR-SAT180	MYH10	21.13
BN18SN6	XZ	NOR-WPI316	MYH10	12.41	BO18SN6	XZ	NOR-WPI316	MYH10	11.66
BN18SN6	YZ	CHI-CHY28N	MYH10	27.17	BO18SN6	YZ	CHI-CHY28N	MYH10	17.54
BN18SN6	YZ	CHI-TCU067N	MYH10	8.79	BO18SN6	YZ	CHI-TCU067N	MYH10	14.50
BN18SN6	YZ	CHI-TCU071N	MYH10	9.56	BO18SN6	YZ	CHI-TCU071N	MYH10	13.38
BN18SN6	YZ	CHI-TCU101-W	MYH10	5.58	BO18SN6	YZ	CHI-TCU101-W	MYH10	14.35
BN18SN6	YZ	CHI-TCU110-W	MYH10	6.55	BO18SN6	YZ	CHI-TCU110-W	MYH10	11.75
BN18SN6	YZ	CHI-TCU128-N	MYH10	4.64	BO18SN6	YZ	CHI-TCU128-N	MYH10	7.26
BN18SN6	YZ	CHI-WGK-E	MYH10	9.11	BO18SN6	YZ	CHI-WGK-E	MYH10	11.39
BN18SN6	YZ	CHI-WNTE	MYH10	9.68	BO18SN6	YZ	CHI-WNTE	MYH10	13.74
BN18SN6	YZ	DZC-BOL000	MYH10	12.69	BO18SN6	YZ	DZC-BOL000	MYH10	19.28
BN18SN6	YZ	DZC-BOL090	MYH10	25.35	BO18SN6	YZ	DZC-BOL090	MYH10	18.35
BN18SN6	YZ	GAZ-KAR000	MYH10	11.10	BO18SN6	YZ	GAZ-KAR000	MYH10	17.82
BN18SN6	YZ	IMP-ECC092	MYH10	8.90	BO18SN6	YZ	IMP-ECC092	MYH10	14.17
BN18SN6	YZ	IMP-ELC3-140	MYH10	10.84	BO18SN6	YZ	IMP-ELC3-140	MYH10	13.05
BN18SN6	YZ	IMP-ELC6-140	MYH10	11.21	BO18SN6	YZ	IMP-ELC6-140	MYH10	17.60
BN18SN6	YZ	IRP-STU270	MYH10	8.52	BO18SN6	YZ	IRP-STU270	MYH10	28.34
BN18SN6	YZ	KOB-TAK000	MYH10	17.98	BO18SN6	YZ	KOB-TAK000	MYH10	16.54
BN18SN6	YZ	KOC-DZC180	MYH10	8.68	BO18SN6	YZ	KOC-DZC180	MYH10	17.09
BN18SN6	YZ	KOC-GBZ000	MYH10	4.59	BO18SN6	YZ	KOC-GBZ000	MYH10	11.87
BN18SN6	YZ	KOC-YAR060	MYH10	8.46	BO18SN6	YZ	KOC-YAR060	MYH10	15.34
BN18SN6	YZ	LAN-YER270	MYH10	11.88	BO18SN6	YZ	LAN-YER270	MYH10	25.77
BN18SN6	YZ	LOM-BRN000	MYH10	19.94	BO18SN6	YZ	LOM-BRN000	MYH10	17.10
BN18SN6	YZ	LOM-G03090	MYH10	11.26	BO18SN6	YZ	LOM-G03090	MYH10	27.45
BN18SN6	YZ	LOM-HSP000	MYH10	18.47	BO18SN6	YZ	LOM-HSP000	MYH10	25.00
BN18SN6	YZ	NOR-CNP196	MYH10	13.07	BO18SN6	YZ	NOR-CNP196	MYH10	14.59
BN18SN6	YZ	NOR-MUL009	MYH10	17.35	BO18SN6	YZ	NOR-MUL009	MYH10	25.11
BN18SN6	YZ	NOR-MUL279	MYH10	14.65	BO18SN6	YZ	NOR-MUL279	MYH10	24.70

Tablo C.1 (devam): Mevcut binalara ait yerdeğiştirme talepleri

Bina Adı	Analiz Yönü	İvme Kaydı	MYH Grup No	Δ_d (cm)	Bina Adı	Analiz Yönü	İvme Kaydı	MYH Grup No	Δ_d (cm)
BN18SN6	YZ	NOR-ORR090	MYH10	13.05	BO18SN6	YZ	NOR-ORR090	MYH10	21.70
BN18SN6	YZ	NOR-ORR360	MYH10	26.71	BO18SN6	YZ	NOR-ORR360	MYH10	27.94
BN18SN6	YZ	NOR-SAT180	MYH10	17.25	BO18SN6	YZ	NOR-SAT180	MYH10	27.18
BN18SN6	YZ	NOR-WPI316	MYH10	8.96	BO18SN6	YZ	NOR-WPI316	MYH10	14.09
BN18SN6	XZ	CHI-CHY28W	MYH11	18.79	BO18SN6	XZ	CHI-CHY28W	MYH11	15.87
BN18SN6	XZ	CHI-CHY101W	MYH11	11.59	BO18SN6	XZ	CHI-CHY101W	MYH11	9.82
BN18SN6	XZ	CHI-TCU063N	MYH11	8.41	BO18SN6	XZ	CHI-TCU063N	MYH11	5.62
BN18SN6	XZ	CHI-TCU072W	MYH11	14.50	BO18SN6	XZ	CHI-TCU072W	MYH11	10.19
BN18SN6	XZ	CHI-TCU74W	MYH11	18.46	BO18SN6	XZ	CHI-TCU74W	MYH11	18.47
BN18SN6	XZ	CHI-TCU128-W	MYH11	4.74	BO18SN6	XZ	CHI-TCU128-W	MYH11	4.28
BN18SN6	XZ	CHI-WGK-N	MYH11	22.34	BO18SN6	XZ	CHI-WGK-N	MYH11	20.40
BN18SN6	XZ	COA-PLE045	MYH11	22.37	BO18SN6	XZ	COA-PLE045	MYH11	17.82
BN18SN6	XZ	DZC-BOL000	MYH11	19.09	BO18SN6	XZ	DZC-BOL000	MYH11	17.47
BN18SN6	XZ	DZC-BOL090	MYH11	23.99	BO18SN6	XZ	DZC-BOL090	MYH11	19.54
BN18SN6	XZ	DZC-DZC180	MYH11	12.85	BO18SN6	XZ	DZC-DZC180	MYH11	10.11
BN18SN6	XZ	GAZ-KAR000	MYH11	14.34	BO18SN6	XZ	GAZ-KAR000	MYH11	12.99
BN18SN6	XZ	GAZ-KAR090	MYH11	12.06	BO18SN6	XZ	GAZ-KAR090	MYH11	11.42
BN18SN6	XZ	IMP-ECC092	MYH11	9.26	BO18SN6	XZ	IMP-ECC092	MYH11	7.56
BN18SN6	XZ	IMP-ECM000	MYH11	11.57	BO18SN6	XZ	IMP-ECM000	MYH11	12.03
BN18SN6	XZ	IMP-ELCD-270	MYH11	8.24	BO18SN6	XZ	IMP-ELCD-270	MYH11	10.85
BN18SN6	XZ	IRP-STU270	MYH11	17.26	BO18SN6	XZ	IRP-STU270	MYH11	20.11
BN18SN6	XZ	KOB-KJM090	MYH11	21.85	BO18SN6	XZ	KOB-KJM090	MYH11	20.20
BN18SN6	XZ	KOC-DZC180	MYH11	12.17	BO18SN6	XZ	KOC-DZC180	MYH11	7.70
BN18SN6	XZ	KOC-GBZ000	MYH11	11.01	BO18SN6	XZ	KOC-GBZ000	MYH11	7.57
BN18SN6	XZ	KOC-YAR060	MYH11	11.38	BO18SN6	XZ	KOC-YAR060	MYH11	9.65
BN18SN6	XZ	LOM-HSP000	MYH11	18.62	BO18SN6	XZ	LOM-HSP000	MYH11	20.95
BN18SN6	XZ	LOM-WVC270	MYH11	17.20	BO18SN6	XZ	LOM-WVC270	MYH11	18.02
BN18SN6	XZ	NOR-CNP196	MYH11	12.58	BO18SN6	XZ	NOR-CNP196	MYH11	10.20
BN18SN6	XZ	NOR-MUL009	MYH11	21.50	BO18SN6	XZ	NOR-MUL009	MYH11	19.89
BN18SN6	XZ	NOR-MUL279	MYH11	24.83	BO18SN6	XZ	NOR-MUL279	MYH11	27.31
BN18SN6	XZ	NOR-ORR360	MYH11	26.50	BO18SN6	XZ	NOR-ORR360	MYH11	23.33
BN18SN6	XZ	NOR-RRS318	MYH11	17.79	BO18SN6	XZ	NOR-RRS318	MYH11	14.28
BN18SN6	XZ	NOR-SAT180	MYH11	21.07	BO18SN6	XZ	NOR-SAT180	MYH11	23.48
BN18SN6	XZ	NPAL-NPS210	MYH11	16.17	BO18SN6	XZ	NPAL-NPS210	MYH11	18.74
BN18SN6	YZ	CHI-CHY28W	MYH11	16.38	BO18SN6	YZ	CHI-CHY28W	MYH11	19.48
BN18SN6	YZ	CHI-CHY101W	MYH11	9.25	BO18SN6	YZ	CHI-CHY101W	MYH11	14.72
BN18SN6	YZ	CHI-TCU063N	MYH11	4.16	BO18SN6	YZ	CHI-TCU063N	MYH11	8.53
BN18SN6	YZ	CHI-TCU072W	MYH11	12.95	BO18SN6	YZ	CHI-TCU072W	MYH11	21.40
BN18SN6	YZ	CHI-TCU74W	MYH11	16.35	BO18SN6	YZ	CHI-TCU74W	MYH11	20.11
BN18SN6	YZ	CHI-TCU128-W	MYH11	3.27	BO18SN6	YZ	CHI-TCU128-W	MYH11	10.00
BN18SN6	YZ	CHI-WGK-N	MYH11	12.29	BO18SN6	YZ	CHI-WGK-N	MYH11	27.01
BN18SN6	YZ	COA-PLE045	MYH11	17.89	BO18SN6	YZ	COA-PLE045	MYH11	23.81
BN18SN6	YZ	DZC-BOL000	MYH11	13.63	BO18SN6	YZ	DZC-BOL000	MYH11	20.51
BN18SN6	YZ	DZC-BOL090	MYH11	29.14	BO18SN6	YZ	DZC-BOL090	MYH11	19.56
BN18SN6	YZ	DZC-DZC180	MYH11	15.64	BO18SN6	YZ	DZC-DZC180	MYH11	15.60
BN18SN6	YZ	GAZ-KAR000	MYH11	12.12	BO18SN6	YZ	GAZ-KAR000	MYH11	20.90
BN18SN6	YZ	GAZ-KAR090	MYH11	11.34	BO18SN6	YZ	GAZ-KAR090	MYH11	13.30
BN18SN6	YZ	IMP-ECC092	MYH11	9.56	BO18SN6	YZ	IMP-ECC092	MYH11	15.17
BN18SN6	YZ	IMP-ECM000	MYH11	10.46	BO18SN6	YZ	IMP-ECM000	MYH11	13.91
BN18SN6	YZ	IMP-ELCD-270	MYH11	9.32	BO18SN6	YZ	IMP-ELCD-270	MYH11	10.20
BN18SN6	YZ	IRP-STU270	MYH11	9.36	BO18SN6	YZ	IRP-STU270	MYH11	34.22
BN18SN6	YZ	KOB-KJM090	MYH11	19.25	BO18SN6	YZ	KOB-KJM090	MYH11	23.31
BN18SN6	YZ	KOC-DZC180	MYH11	9.48	BO18SN6	YZ	KOC-DZC180	MYH11	19.38
BN18SN6	YZ	KOC-GBZ000	MYH11	4.89	BO18SN6	YZ	KOC-GBZ000	MYH11	13.01
BN18SN6	YZ	KOC-YAR060	MYH11	9.09	BO18SN6	YZ	KOC-YAR060	MYH11	18.84
BN18SN6	YZ	LOM-HSP000	MYH11	19.77	BO18SN6	YZ	LOM-HSP000	MYH11	27.67
BN18SN6	YZ	LOM-WVC270	MYH11	10.21	BO18SN6	YZ	LOM-WVC270	MYH11	29.45
BN18SN6	YZ	NOR-CNP196	MYH11	13.85	BO18SN6	YZ	NOR-CNP196	MYH11	17.32
BN18SN6	YZ	NOR-MUL009	MYH11	18.46	BO18SN6	YZ	NOR-MUL009	MYH11	27.53

Tablo C.1 (devam): Mevcut binalara ait yerdeğiştirme talepleri

Bina Adı	Analiz Yönü	İvme Kaydı	MYH Grup No	Δ_d (cm)	Bina Adı	Analiz Yönü	İvme Kaydı	MYH Grup No	Δ_d (cm)
BN18SN6	YZ	NOR-MUL279	MYH11	17.41	BO18SN6	YZ	NOR-MUL279	MYH11	25.99
BN18SN6	YZ	NOR-ORR360	MYH11	29.91	BO18SN6	YZ	NOR-ORR360	MYH11	29.98
BN18SN6	YZ	NOR-RRS318	MYH11	13.93	BO18SN6	YZ	NOR-RRS318	MYH11	17.24
BN18SN6	YZ	NOR-SAT180	MYH11	18.05	BO18SN6	YZ	NOR-SAT180	MYH11	29.50
BN18SN6	YZ	NPAL-NPS210	MYH11	12.12	BO18SN6	YZ	NPAL-NPS210	MYH11	23.25
BN18SN6	XZ	CHI-TCU065N	MYH12	28.61	BO18SN6	XZ	CHI-TCU065N	MYH12	28.76
BN18SN6	XZ	CHI-TCU067W	MYH12	16.77	BO18SN6	XZ	CHI-TCU067W	MYH12	16.20
BN18SN6	XZ	CHI-TCU102-N	MYH12	10.31	BO18SN6	XZ	CHI-TCU102-N	MYH12	6.49
BN18SN6	XZ	DZC-BOL000	MYH12	20.54	BO18SN6	XZ	DZC-BOL000	MYH12	18.56
BN18SN6	XZ	DZC-BOL090	MYH12	24.80	BO18SN6	XZ	DZC-BOL090	MYH12	20.33
BN18SN6	XZ	DZC-DZC180	MYH12	13.75	BO18SN6	XZ	DZC-DZC180	MYH12	11.04
BN18SN6	XZ	GAZ-KAR090	MYH12	13.27	BO18SN6	XZ	GAZ-KAR090	MYH12	12.38
BN18SN6	XZ	IMP-ECC092	MYH12	10.01	BO18SN6	XZ	IMP-ECC092	MYH12	8.53
BN18SN6	XZ	IMP-ELC4-230	MYH12	11.65	BO18SN6	XZ	IMP-ELC4-230	MYH12	15.50
BN18SN6	XZ	IMP-ELCD-270	MYH12	9.01	BO18SN6	XZ	IMP-ELCD-270	MYH12	12.13
BN18SN6	XZ	IRP-STU270	MYH12	19.27	BO18SN6	XZ	IRP-STU270	MYH12	22.34
BN18SN6	XZ	KOC-DZC180	MYH12	12.51	BO18SN6	XZ	KOC-DZC180	MYH12	8.03
BN18SN6	XZ	KOC-GBZ000	MYH12	11.88	BO18SN6	XZ	KOC-GBZ000	MYH12	8.44
BN18SN6	XZ	KOC-SKR090	MYH12	7.75	BO18SN6	XZ	KOC-SKR090	MYH12	5.02
BN18SN6	XZ	LAN-YER270	MYH12	12.57	BO18SN6	XZ	LAN-YER270	MYH12	17.34
BN18SN6	XZ	LOM-BRN000	MYH12	25.59	BO18SN6	XZ	LOM-BRN000	MYH12	23.75
BN18SN6	XZ	LOM-WVC270	MYH12	18.98	BO18SN6	XZ	LOM-WVC270	MYH12	20.04
BN18SN6	XZ	NOR-CNP196	MYH12	13.57	BO18SN6	XZ	NOR-CNP196	MYH12	11.53
BN18SN6	XZ	NOR-MUL009	MYH12	23.04	BO18SN6	XZ	NOR-MUL009	MYH12	21.69
BN18SN6	XZ	NOR-MUL279	MYH12	26.77	BO18SN6	XZ	NOR-MUL279	MYH12	29.30
BN18SN6	XZ	NOR-NEW090	MYH12	14.60	BO18SN6	XZ	NOR-NEW090	MYH12	9.97
BN18SN6	XZ	NOR-PAR-L	MYH12	22.21	BO18SN6	XZ	NOR-PAR-L	MYH12	29.55
BN18SN6	XZ	NOR-RRS318	MYH12	18.73	BO18SN6	XZ	NOR-RRS318	MYH12	16.72
BN18SN6	XZ	NOR-SAT180	MYH12	23.49	BO18SN6	XZ	NOR-SAT180	MYH12	25.81
BN18SN6	XZ	NOR-SCE288	MYH12	23.19	BO18SN6	XZ	NOR-SCE288	MYH12	23.39
BN18SN6	XZ	NOR-SEP360	MYH12	12.34	BO18SN6	XZ	NOR-SEP360	MYH12	8.71
BN18SN6	XZ	NOR-SYL090	MYH12	19.76	BO18SN6	XZ	NOR-SYL090	MYH12	16.87
BN18SN6	XZ	NOR-TAR360	MYH12	14.22	BO18SN6	XZ	NOR-TAR360	MYH12	20.79
BN18SN6	XZ	NOR-WPI316	MYH12	13.75	BO18SN6	XZ	NOR-WPI316	MYH12	13.46
BN18SN6	XZ	PRK-C02065	MYH12	15.28	BO18SN6	XZ	PRK-C02065	MYH12	19.08
BN18SN6	YZ	CHI-TCU065N	MYH12	15.72	BO18SN6	YZ	CHI-TCU065N	MYH12	141.84
BN18SN6	YZ	CHI-TCU067W	MYH12	15.88	BO18SN6	YZ	CHI-TCU067W	MYH12	27.43
BN18SN6	YZ	CHI-TCU102-N	MYH12	7.33	BO18SN6	YZ	CHI-TCU102-N	MYH12	16.45
BN18SN6	YZ	DZC-BOL000	MYH12	15.25	BO18SN6	YZ	DZC-BOL000	MYH12	21.63
BN18SN6	YZ	DZC-BOL090	MYH12	33.07	BO18SN6	YZ	DZC-BOL090	MYH12	20.77
BN18SN6	YZ	DZC-DZC180	MYH12	16.30	BO18SN6	YZ	DZC-DZC180	MYH12	17.36
BN18SN6	YZ	GAZ-KAR090	MYH12	12.62	BO18SN6	YZ	GAZ-KAR090	MYH12	14.72
BN18SN6	YZ	IMP-ECC092	MYH12	10.37	BO18SN6	YZ	IMP-ECC092	MYH12	16.54
BN18SN6	YZ	IMP-ELC4-230	MYH12	6.12	BO18SN6	YZ	IMP-ELC4-230	MYH12	31.01
BN18SN6	YZ	IMP-ELCD-270	MYH12	9.54	BO18SN6	YZ	IMP-ELCD-270	MYH12	11.75
BN18SN6	YZ	IRP-STU270	MYH12	10.26	BO18SN6	YZ	IRP-STU270	MYH12	41.34
BN18SN6	YZ	KOC-DZC180	MYH12	10.27	BO18SN6	YZ	KOC-DZC180	MYH12	22.02
BN18SN6	YZ	KOC-GBZ000	MYH12	5.16	BO18SN6	YZ	KOC-GBZ000	MYH12	14.14
BN18SN6	YZ	KOC-SKR090	MYH12	5.65	BO18SN6	YZ	KOC-SKR090	MYH12	10.33
BN18SN6	YZ	LAN-YER270	MYH12	13.88	BO18SN6	YZ	LAN-YER270	MYH12	37.14
BN18SN6	YZ	LOM-BRN000	MYH12	25.25	BO18SN6	YZ	LOM-BRN000	MYH12	18.98
BN18SN6	YZ	LOM-WVC270	MYH12	10.73	BO18SN6	YZ	LOM-WVC270	MYH12	31.08
BN18SN6	YZ	NOR-CNP196	MYH12	14.66	BO18SN6	YZ	NOR-CNP196	MYH12	20.43
BN18SN6	YZ	NOR-MUL009	MYH12	19.50	BO18SN6	YZ	NOR-MUL009	MYH12	29.98
BN18SN6	YZ	NOR-MUL279	MYH12	20.52	BO18SN6	YZ	NOR-MUL279	MYH12	27.13
BN18SN6	YZ	NOR-NEW090	MYH12	18.74	BO18SN6	YZ	NOR-NEW090	MYH12	12.05
BN18SN6	YZ	NOR-PAR-L	MYH12	22.89	BO18SN6	YZ	NOR-PAR-L	MYH12	35.25
BN18SN6	YZ	NOR-RRS318	MYH12	14.66	BO18SN6	YZ	NOR-RRS318	MYH12	18.40
BN18SN6	YZ	NOR-SAT180	MYH12	18.73	BO18SN6	YZ	NOR-SAT180	MYH12	32.02

Tablo C.1 (devam): Mevcut binalara ait yerdeğiştirme talepleri

Bina Adı	Analiz Yönü	İvme Kaydı	MYH Grup No	Δ_d (cm)	Bina Adı	Analiz Yönü	İvme Kaydı	MYH Grup No	Δ_d (cm)
BN18SN6	YZ	NOR-SCE288	MYH12	13.81	BO18SN6	YZ	NOR-SCE288	MYH12	24.61
BN18SN6	YZ	NOR-SEP360	MYH12	17.08	BO18SN6	YZ	NOR-SEP360	MYH12	11.07
BN18SN6	YZ	NOR-SYL090	MYH12	19.25	BO18SN6	YZ	NOR-SYL090	MYH12	27.33
BN18SN6	YZ	NOR-TAR360	MYH12	15.36	BO18SN6	YZ	NOR-TAR360	MYH12	26.59
BN18SN6	YZ	NOR-WPI316	MYH12	10.73	BO18SN6	YZ	NOR-WPI316	MYH12	17.28
BN18SN6	YZ	PRK-C02065	MYH12	19.14	BO18SN6	YZ	PRK-C02065	MYH12	27.98
BN19SN6	XZ	CAP-FOR090	MYH1	4.13	BO19SN6	XZ	CAP-FOR090	MYH1	3.53
BN19SN6	XZ	CHI-CHY010-N	MYH1	6.11	BO19SN6	XZ	CHI-CHY010-N	MYH1	4.49
BN19SN6	XZ	CHI-CHY41W	MYH1	6.69	BO19SN6	XZ	CHI-CHY41W	MYH1	6.18
BN19SN6	XZ	CHI-CHY046N	MYH1	5.66	BO19SN6	XZ	CHI-CHY046N	MYH1	4.46
BN19SN6	XZ	CHI-CHY047-E	MYH1	3.82	BO19SN6	XZ	CHI-CHY047-E	MYH1	3.94
BN19SN6	XZ	COA-CAK270	MYH1	7.60	BO19SN6	XZ	COA-CAK270	MYH1	6.57
BN19SN6	XZ	COY-G06320	MYH1	4.74	BO19SN6	XZ	COY-G06320	MYH1	3.92
BN19SN6	XZ	FRI-TMZ000	MYH1	5.60	BO19SN6	XZ	FRI-TMZ000	MYH1	4.12
BN19SN6	XZ	IMP-E12230	MYH1	3.38	BO19SN6	XZ	IMP-E12230	MYH1	2.52
BN19SN6	XZ	IMP-SAH000	MYH1	5.36	BO19SN6	XZ	IMP-SAH000	MYH1	3.80
BN19SN6	XZ	IRP-BIS000	MYH1	3.16	BO19SN6	XZ	IRP-BIS000	MYH1	2.08
BN19SN6	XZ	KOC-IZM180	MYH1	4.32	BO19SN6	XZ	KOC-IZM180	MYH1	3.80
BN19SN6	XZ	LAN-ABY090	MYH1	4.18	BO19SN6	XZ	LAN-ABY090	MYH1	3.72
BN19SN6	XZ	LAN-DSP000	MYH1	3.43	BO19SN6	XZ	LAN-DSP000	MYH1	3.26
BN19SN6	XZ	LIV-DVD246	MYH1	3.89	BO19SN6	XZ	LIV-DVD246	MYH1	2.82
BN19SN6	XZ	LOM-BRK090	MYH1	5.61	BO19SN6	XZ	LOM-BRK090	MYH1	4.68
BN19SN6	XZ	LOM-CLD285	MYH1	5.31	BO19SN6	XZ	LOM-CLD285	MYH1	3.65
BN19SN6	XZ	LOM-GGV337	MYH1	4.72	BO19SN6	XZ	LOM-GGV337	MYH1	4.81
BN19SN6	XZ	NOR-CWC270	MYH1	6.25	BO19SN6	XZ	NOR-CWC270	MYH1	5.15
BN19SN6	XZ	NOR-LOS090	MYH1	5.61	BO19SN6	XZ	NOR-LOS090	MYH1	5.08
BN19SN6	XZ	NOR-LOS360	MYH1	5.29	BO19SN6	XZ	NOR-LOS360	MYH1	6.25
BN19SN6	XZ	PRK-CHO355	MYH1	4.92	BO19SN6	XZ	PRK-CHO355	MYH1	4.02
BN19SN6	XZ	PRK-TMB205	MYH1	3.74	BO19SN6	XZ	PRK-TMB205	MYH1	3.16
BN19SN6	XZ	SUP-PLS135	MYH1	3.96	BO19SN6	XZ	SUP-PLS135	MYH1	3.96
BN19SN6	XZ	TAB-DAY-LN	MYH1	5.21	BO19SN6	XZ	TAB-DAY-LN	MYH1	4.47
BN19SN6	XZ	VIC-CPE315	MYH1	4.85	BO19SN6	XZ	VIC-CPE315	MYH1	4.20
BN19SN6	XZ	WHI-ALH180	MYH1	5.77	BO19SN6	XZ	WHI-ALH180	MYH1	5.53
BN19SN6	XZ	WHI-GRN180	MYH1	7.23	BO19SN6	XZ	WHI-GRN180	MYH1	6.83
BN19SN6	XZ	WHI-OBR360	MYH1	6.53	BO19SN6	XZ	WHI-OBR360	MYH1	5.32
BN19SN6	YZ	CAP-FOR090	MYH1	5.43	BO19SN6	YZ	CAP-FOR090	MYH1	2.39
BN19SN6	YZ	CHI-CHY010-N	MYH1	5.76	BO19SN6	YZ	CHI-CHY010-N	MYH1	4.03
BN19SN6	YZ	CHI-CHY41W	MYH1	7.94	BO19SN6	YZ	CHI-CHY41W	MYH1	4.76
BN19SN6	YZ	CHI-CHY046N	MYH1	8.49	BO19SN6	YZ	CHI-CHY046N	MYH1	3.39
BN19SN6	YZ	CHI-CHY047-E	MYH1	4.75	BO19SN6	YZ	CHI-CHY047-E	MYH1	2.79
BN19SN6	YZ	COA-CAK270	MYH1	9.11	BO19SN6	YZ	COA-CAK270	MYH1	3.96
BN19SN6	YZ	COY-G06320	MYH1	5.42	BO19SN6	YZ	COY-G06320	MYH1	3.61
BN19SN6	YZ	FRI-TMZ000	MYH1	5.88	BO19SN6	YZ	FRI-TMZ000	MYH1	3.87
BN19SN6	YZ	IMP-E12230	MYH1	4.69	BO19SN6	YZ	IMP-E12230	MYH1	2.15
BN19SN6	YZ	IMP-SAH000	MYH1	6.58	BO19SN6	YZ	IMP-SAH000	MYH1	3.60
BN19SN6	YZ	IRP-BIS000	MYH1	3.08	BO19SN6	YZ	IRP-BIS000	MYH1	2.04
BN19SN6	YZ	KOC-IZM180	MYH1	6.36	BO19SN6	YZ	KOC-IZM180	MYH1	3.58
BN19SN6	YZ	LAN-ABY090	MYH1	5.83	BO19SN6	YZ	LAN-ABY090	MYH1	2.88
BN19SN6	YZ	LAN-DSP000	MYH1	5.78	BO19SN6	YZ	LAN-DSP000	MYH1	3.65
BN19SN6	YZ	LIV-DVD246	MYH1	4.49	BO19SN6	YZ	LIV-DVD246	MYH1	2.49
BN19SN6	YZ	LOM-BRK090	MYH1	7.25	BO19SN6	YZ	LOM-BRK090	MYH1	3.65
BN19SN6	YZ	LOM-CLD285	MYH1	5.31	BO19SN6	YZ	LOM-CLD285	MYH1	3.46
BN19SN6	YZ	LOM-GGV337	MYH1	4.04	BO19SN6	YZ	LOM-GGV337	MYH1	4.95
BN19SN6	YZ	NOR-CWC270	MYH1	7.71	BO19SN6	YZ	NOR-CWC270	MYH1	5.11
BN19SN6	YZ	NOR-LOS090	MYH1	5.65	BO19SN6	YZ	NOR-LOS090	MYH1	4.37
BN19SN6	YZ	NOR-LOS360	MYH1	6.72	BO19SN6	YZ	NOR-LOS360	MYH1	5.31
BN19SN6	YZ	PRK-CHO355	MYH1	4.92	BO19SN6	YZ	PRK-CHO355	MYH1	3.93
BN19SN6	YZ	PRK-TMB205	MYH1	5.73	BO19SN6	YZ	PRK-TMB205	MYH1	3.56
BN19SN6	YZ	SUP-PLS135	MYH1	4.59	BO19SN6	YZ	SUP-PLS135	MYH1	3.34

Tablo C.1 (devam): Mevcut binalara ait yerdeğiştirme talepleri

Bina Adı	Analiz Yönü	İvme Kaydı	MYH Grup No	Δ_d (cm)	Bina Adı	Analiz Yönü	İvme Kaydı	MYH Grup No	Δ_d (cm)
BN19SN6	YZ	TAB-DAY-LN	MYH1	6.35	BO19SN6	YZ	TAB-DAY-LN	MYH1	4.50
BN19SN6	YZ	VIC-CPE315	MYH1	6.08	BO19SN6	YZ	VIC-CPE315	MYH1	4.27
BN19SN6	YZ	WHI-ALH180	MYH1	8.73	BO19SN6	YZ	WHI-ALH180	MYH1	4.27
BN19SN6	YZ	WHI-GRN180	MYH1	6.91	BO19SN6	YZ	WHI-GRN180	MYH1	5.26
BN19SN6	YZ	WHI-OBR360	MYH1	7.21	BO19SN6	YZ	WHI-OBR360	MYH1	3.85
BN19SN6	XZ	CHI-TCU141-N	MYH2	2.82	BO19SN6	XZ	CHI-TCU141-N	MYH2	2.70
BN19SN6	XZ	COA-PV1090	MYH2	7.38	BO19SN6	XZ	COA-PV1090	MYH2	5.90
BN19SN6	XZ	COA-Z14090	MYH2	10.81	BO19SN6	XZ	COA-Z14090	MYH2	10.05
BN19SN6	XZ	COY-G02140	MYH2	8.75	BO19SN6	XZ	COY-G02140	MYH2	7.23
BN19SN6	XZ	COY-G03140	MYH2	6.00	BO19SN6	XZ	COY-G03140	MYH2	5.77
BN19SN6	XZ	IMP-AER315	MYH2	5.77	BO19SN6	XZ	IMP-AER315	MYH2	5.62
BN19SN6	XZ	IMP-DLT262	MYH2	7.37	BO19SN6	XZ	IMP-DLT262	MYH2	6.05
BN19SN6	XZ	KOB-KAK090	MYH2	5.62	BO19SN6	XZ	KOB-KAK090	MYH2	4.65
BN19SN6	XZ	KOB-SHI090	MYH2	6.86	BO19SN6	XZ	KOB-SHI090	MYH2	6.91
BN19SN6	XZ	LAN-CLVLN	MYH2	6.73	BO19SN6	XZ	LAN-CLVLN	MYH2	6.62
BN19SN6	XZ	LAN-JOS000	MYH2	7.87	BO19SN6	XZ	LAN-JOS000	MYH2	7.25
BN19SN6	XZ	LOM-CAP090	MYH2	8.05	BO19SN6	XZ	LOM-CAP090	MYH2	7.40
BN19SN6	XZ	LOM-GGV067	MYH2	5.66	BO19SN6	XZ	LOM-GGV067	MYH2	4.83
BN19SN6	XZ	LOM-HSP090	MYH2	5.74	BO19SN6	XZ	LOM-HSP090	MYH2	5.39
BN19SN6	XZ	LOM-SFO000	MYH2	6.28	BO19SN6	XZ	LOM-SFO000	MYH2	5.21
BN19SN6	XZ	LOM-SFO090	MYH2	9.98	BO19SN6	XZ	LOM-SFO090	MYH2	8.46
BN19SN6	XZ	LOM-WAH000	MYH2	8.55	BO19SN6	XZ	LOM-WAH000	MYH2	6.30
BN19SN6	XZ	MAM-LUL000	MYH2	6.43	BO19SN6	XZ	MAM-LUL000	MYH2	5.36
BN19SN6	XZ	MOR-AND250	MYH2	5.68	BO19SN6	XZ	MOR-AND250	MYH2	5.81
BN19SN6	XZ	MOR-AND340	MYH2	9.55	BO19SN6	XZ	MOR-AND340	MYH2	8.44
BN19SN6	XZ	NOR-CHL160	MYH2	7.59	BO19SN6	XZ	NOR-CHL160	MYH2	8.33
BN19SN6	XZ	NOR-CWC180	MYH2	5.70	BO19SN6	XZ	NOR-CWC180	MYH2	5.37
BN19SN6	XZ	NOR-SAT090	MYH2	7.31	BO19SN6	XZ	NOR-SAT090	MYH2	6.67
BN19SN6	XZ	NPAL-DSP000	MYH2	7.86	BO19SN6	XZ	NPAL-DSP000	MYH2	7.05
BN19SN6	XZ	PRK-CHO085	MYH2	3.90	BO19SN6	XZ	PRK-CHO085	MYH2	5.55
BN19SN6	XZ	SFD-ORR291	MYH2	6.92	BO19SN6	XZ	SFD-ORR291	MYH2	4.77
BN19SN6	XZ	SPI-GUK000	MYH2	6.99	BO19SN6	XZ	SPI-GUK000	MYH2	5.26
BN19SN6	XZ	TAB-DAY-TR	MYH2	7.38	BO19SN6	XZ	TAB-DAY-TR	MYH2	7.64
BN19SN6	XZ	WES-PTS315	MYH2	8.96	BO19SN6	XZ	WES-PTS315	MYH2	7.74
BN19SN6	XZ	WHI-DEL000	MYH2	8.29	BO19SN6	XZ	WHI-DEL000	MYH2	7.12
BN19SN6	XZ	WHI-DWN180	MYH2	10.10	BO19SN6	XZ	WHI-DWN180	MYH2	9.01
BN19SN6	YZ	CHI-TCU141-N	MYH2	4.27	BO19SN6	YZ	CHI-TCU141-N	MYH2	1.90
BN19SN6	YZ	COA-PV1090	MYH2	10.32	BO19SN6	YZ	COA-PV1090	MYH2	3.50
BN19SN6	YZ	COA-Z14090	MYH2	10.08	BO19SN6	YZ	COA-Z14090	MYH2	4.86
BN19SN6	YZ	COY-G02140	MYH2	10.62	BO19SN6	YZ	COY-G02140	MYH2	4.28
BN19SN6	YZ	COY-G03140	MYH2	7.55	BO19SN6	YZ	COY-G03140	MYH2	3.83
BN19SN6	YZ	IMP-AER315	MYH2	6.79	BO19SN6	YZ	IMP-AER315	MYH2	4.32
BN19SN6	YZ	IMP-DLT262	MYH2	7.37	BO19SN6	YZ	IMP-DLT262	MYH2	5.62
BN19SN6	YZ	KOB-KAK090	MYH2	8.84	BO19SN6	YZ	KOB-KAK090	MYH2	4.31
BN19SN6	YZ	KOB-SHI090	MYH2	7.24	BO19SN6	YZ	KOB-SHI090	MYH2	6.30
BN19SN6	YZ	LAN-CLVLN	MYH2	6.11	BO19SN6	YZ	LAN-CLVLN	MYH2	4.89
BN19SN6	YZ	LAN-JOS000	MYH2	10.65	BO19SN6	YZ	LAN-JOS000	MYH2	5.54
BN19SN6	YZ	LOM-CAP090	MYH2	8.00	BO19SN6	YZ	LOM-CAP090	MYH2	8.32
BN19SN6	YZ	LOM-GGV067	MYH2	6.80	BO19SN6	YZ	LOM-GGV067	MYH2	4.28
BN19SN6	YZ	LOM-HSP090	MYH2	8.09	BO19SN6	YZ	LOM-HSP090	MYH2	4.75
BN19SN6	YZ	LOM-SFO000	MYH2	7.67	BO19SN6	YZ	LOM-SFO000	MYH2	4.55
BN19SN6	YZ	LOM-SFO090	MYH2	8.90	BO19SN6	YZ	LOM-SFO090	MYH2	6.38
BN19SN6	YZ	LOM-WAH000	MYH2	8.99	BO19SN6	YZ	LOM-WAH000	MYH2	4.98
BN19SN6	YZ	MAM-LUL000	MYH2	6.45	BO19SN6	YZ	MAM-LUL000	MYH2	5.06
BN19SN6	YZ	MOR-AND250	MYH2	5.03	BO19SN6	YZ	MOR-AND250	MYH2	3.44
BN19SN6	YZ	MOR-AND340	MYH2	9.52	BO19SN6	YZ	MOR-AND340	MYH2	7.57
BN19SN6	YZ	NOR-CHL160	MYH2	8.77	BO19SN6	YZ	NOR-CHL160	MYH2	6.47
BN19SN6	YZ	NOR-CWC180	MYH2	8.13	BO19SN6	YZ	NOR-CWC180	MYH2	3.61
BN19SN6	YZ	NOR-SAT090	MYH2	7.41	BO19SN6	YZ	NOR-SAT090	MYH2	6.74

Tablo C.1 (devam): Mevcut binalara ait yerdeğiştirme talepleri

Bina Adı	Analiz Yönü	İvme Kaydı	MYH Grup No	Δ_d (cm)	Bina Adı	Analiz Yönü	İvme Kaydı	MYH Grup No	Δ_d (cm)
BN19SN6	YZ	NPAL-DSP000	MYH2	10.96	BO19SN6	YZ	NPAL-DSP000	MYH2	5.73
BN19SN6	YZ	PRK-CHO085	MYH2	5.32	BO19SN6	YZ	PRK-CHO085	MYH2	3.55
BN19SN6	YZ	SFD-ORR291	MYH2	7.42	BO19SN6	YZ	SFD-ORR291	MYH2	4.77
BN19SN6	YZ	SPI-GUK000	MYH2	8.24	BO19SN6	YZ	SPI-GUK000	MYH2	3.59
BN19SN6	YZ	TAB-DAY-TR	MYH2	10.11	BO19SN6	YZ	TAB-DAY-TR	MYH2	5.56
BN19SN6	YZ	WES-PTS315	MYH2	9.44	BO19SN6	YZ	WES-PTS315	MYH2	4.95
BN19SN6	YZ	WHI-DEL000	MYH2	8.45	BO19SN6	YZ	WHI-DEL000	MYH2	6.54
BN19SN6	YZ	WHI-DWN180	MYH2	10.58	BO19SN6	YZ	WHI-DWN180	MYH2	6.91
BN19SN6	XZ	CAP-FOR000	MYH3	5.28	BO19SN6	XZ	CAP-FOR000	MYH3	4.07
BN19SN6	XZ	CHI-CHY29W	MYH3	7.10	BO19SN6	XZ	CHI-CHY29W	MYH3	7.44
BN19SN6	XZ	CHI-TCU046N	MYH3	2.76	BO19SN6	XZ	CHI-TCU046N	MYH3	2.98
BN19SN6	XZ	CHI-TCU112-N	MYH3	2.59	BO19SN6	XZ	CHI-TCU112-N	MYH3	2.25
BN19SN6	XZ	CHI-TCU118-N	MYH3	4.13	BO19SN6	XZ	CHI-TCU118-N	MYH3	3.45
BN19SN6	XZ	FRI-TMZ270	MYH3	7.93	BO19SN6	XZ	FRI-TMZ270	MYH3	7.56
BN19SN6	XZ	IMP-ELC2-140	MYH3	5.94	BO19SN6	XZ	IMP-ELC2-140	MYH3	6.73
BN19SN6	XZ	IMP-ELC11-140	MYH3	5.68	BO19SN6	XZ	IMP-ELC11-140	MYH3	5.12
BN19SN6	XZ	IMP-SAH270	MYH3	6.90	BO19SN6	XZ	IMP-SAH270	MYH3	6.19
BN19SN6	XZ	KOC-AMB090	MYH3	8.64	BO19SN6	XZ	KOC-AMB090	MYH3	8.02
BN19SN6	XZ	KOC-GBZ270	MYH3	3.22	BO19SN6	XZ	KOC-GBZ270	MYH3	2.65
BN19SN6	XZ	KOC-IZM090	MYH3	4.82	BO19SN6	XZ	KOC-IZM090	MYH3	4.76
BN19SN6	XZ	LAN-LUC000	MYH3	5.60	BO19SN6	XZ	LAN-LUC000	MYH3	5.43
BN19SN6	XZ	LAN-YER360	MYH3	4.96	BO19SN6	XZ	LAN-YER360	MYH3	4.43
BN19SN6	XZ	LOM-A02133	MYH3	9.09	BO19SN6	XZ	LOM-A02133	MYH3	10.27
BN19SN6	XZ	LOM-G01000	MYH3	4.40	BO19SN6	XZ	LOM-G01000	MYH3	5.07
BN19SN6	XZ	LOM-G01090	MYH3	5.77	BO19SN6	XZ	LOM-G01090	MYH3	5.24
BN19SN6	XZ	LOM-G02000	MYH3	9.26	BO19SN6	XZ	LOM-G02000	MYH3	10.24
BN19SN6	XZ	LOM-TRI090	MYH3	8.39	BO19SN6	XZ	LOM-TRI090	MYH3	6.96
BN19SN6	XZ	MAM-LUL090	MYH3	10.27	BO19SN6	XZ	MAM-LUL090	MYH3	9.91
BN19SN6	XZ	NOR-CNP106	MYH3	9.49	BO19SN6	XZ	NOR-CNP106	MYH3	9.33
BN19SN6	XZ	NOR-PAC265	MYH3	5.78	BO19SN6	XZ	NOR-PAC265	MYH3	7.04
BN19SN6	XZ	NOR-PKC090	MYH3	9.86	BO19SN6	XZ	NOR-PKC090	MYH3	9.85
BN19SN6	XZ	NOR-WIL180	MYH3	9.59	BO19SN6	XZ	NOR-WIL180	MYH3	8.59
BN19SN6	XZ	NPAL-MVH045	MYH3	8.18	BO19SN6	XZ	NPAL-MVH045	MYH3	7.52
BN19SN6	XZ	NPAL-NPS300	MYH3	7.25	BO19SN6	XZ	NPAL-NPS300	MYH3	6.59
BN19SN6	XZ	NPAL-WWT270	MYH3	7.05	BO19SN6	XZ	NPAL-WWT270	MYH3	7.62
BN19SN6	XZ	SUP-IVW090	MYH3	4.77	BO19SN6	XZ	SUP-IVW090	MYH3	4.01
BN19SN6	XZ	SUP-IVW360	MYH3	7.32	BO19SN6	XZ	SUP-IVW360	MYH3	6.28
BN19SN6	XZ	SUP-KRN360	MYH3	5.54	BO19SN6	XZ	SUP-KRN360	MYH3	4.32
BN19SN6	XZ	SUP-POE360	MYH3	6.98	BO19SN6	XZ	SUP-POE360	MYH3	5.00
BN19SN6	XZ	SUP-SUP045	MYH3	7.05	BO19SN6	XZ	SUP-SUP045	MYH3	6.29
BN19SN6	XZ	VIC-CPE045	MYH3	9.59	BO19SN6	XZ	VIC-CPE045	MYH3	12.74
BN19SN6	XZ	WHI-OR2010	MYH3	10.66	BO19SN6	XZ	WHI-OR2010	MYH3	8.07
BN19SN6	YZ	CAP-FOR000	MYH3	5.30	BO19SN6	YZ	CAP-FOR000	MYH3	2.46
BN19SN6	YZ	CHI-CHY29W	MYH3	10.46	BO19SN6	YZ	CHI-CHY29W	MYH3	6.30
BN19SN6	YZ	CHI-TCU046N	MYH3	5.79	BO19SN6	YZ	CHI-TCU046N	MYH3	2.40
BN19SN6	YZ	CHI-TCU112-N	MYH3	4.06	BO19SN6	YZ	CHI-TCU112-N	MYH3	1.48
BN19SN6	YZ	CHI-TCU118-N	MYH3	3.99	BO19SN6	YZ	CHI-TCU118-N	MYH3	3.33
BN19SN6	YZ	FRI-TMZ270	MYH3	8.19	BO19SN6	YZ	FRI-TMZ270	MYH3	7.25
BN19SN6	YZ	IMP-ELC2-140	MYH3	6.69	BO19SN6	YZ	IMP-ELC2-140	MYH3	5.07
BN19SN6	YZ	IMP-ELC11-140	MYH3	6.10	BO19SN6	YZ	IMP-ELC11-140	MYH3	5.45
BN19SN6	YZ	IMP-SAH270	MYH3	7.38	BO19SN6	YZ	IMP-SAH270	MYH3	5.75
BN19SN6	YZ	KOC-AMB090	MYH3	13.31	BO19SN6	YZ	KOC-AMB090	MYH3	4.56
BN19SN6	YZ	KOC-GBZ270	MYH3	4.84	BO19SN6	YZ	KOC-GBZ270	MYH3	2.85
BN19SN6	YZ	KOC-IZM090	MYH3	7.36	BO19SN6	YZ	KOC-IZM090	MYH3	4.28
BN19SN6	YZ	LAN-LUC000	MYH3	7.30	BO19SN6	YZ	LAN-LUC000	MYH3	4.67
BN19SN6	YZ	LAN-YER360	MYH3	8.20	BO19SN6	YZ	LAN-YER360	MYH3	2.80
BN19SN6	YZ	LOM-A02133	MYH3	11.84	BO19SN6	YZ	LOM-A02133	MYH3	6.94
BN19SN6	YZ	LOM-G01000	MYH3	3.88	BO19SN6	YZ	LOM-G01000	MYH3	4.01
BN19SN6	YZ	LOM-G01090	MYH3	8.65	BO19SN6	YZ	LOM-G01090	MYH3	5.87

Tablo C.1 (devam): Mevcut binalara ait yerdeğiştirme talepleri

Bina Adı	Analiz Yönü	İvme Kaydı	MYH Grup No	Δ_d (cm)	Bina Adı	Analiz Yönü	İvme Kaydı	MYH Grup No	Δ_d (cm)
BN19SN6	YZ	LOM-G02000	MYH3	9.32	BO19SN6	YZ	LOM-G02000	MYH3	8.35
BN19SN6	YZ	LOM-TRI090	MYH3	7.05	BO19SN6	YZ	LOM-TRI090	MYH3	6.10
BN19SN6	YZ	MAM-LUL090	MYH3	12.30	BO19SN6	YZ	MAM-LUL090	MYH3	7.29
BN19SN6	YZ	NOR-CNP106	MYH3	10.78	BO19SN6	YZ	NOR-CNP106	MYH3	7.45
BN19SN6	YZ	NOR-PAC265	MYH3	10.07	BO19SN6	YZ	NOR-PAC265	MYH3	5.47
BN19SN6	YZ	NOR-PKC090	MYH3	10.83	BO19SN6	YZ	NOR-PKC090	MYH3	7.92
BN19SN6	YZ	NOR-WIL180	MYH3	11.76	BO19SN6	YZ	NOR-WIL180	MYH3	5.80
BN19SN6	YZ	NPAL-MVH045	MYH3	10.50	BO19SN6	YZ	NPAL-MVH045	MYH3	4.59
BN19SN6	YZ	NPAL-NPS300	MYH3	8.90	BO19SN6	YZ	NPAL-NPS300	MYH3	4.96
BN19SN6	YZ	NPAL-WWT270	MYH3	8.60	BO19SN6	YZ	NPAL-WWT270	MYH3	7.41
BN19SN6	YZ	SUP-IVW090	MYH3	5.43	BO19SN6	YZ	SUP-IVW090	MYH3	3.49
BN19SN6	YZ	SUP-IVW360	MYH3	9.38	BO19SN6	YZ	SUP-IVW360	MYH3	4.57
BN19SN6	YZ	SUP-KRN360	MYH3	8.57	BO19SN6	YZ	SUP-KRN360	MYH3	3.47
BN19SN6	YZ	SUP-POE360	MYH3	6.92	BO19SN6	YZ	SUP-POE360	MYH3	5.73
BN19SN6	YZ	SUP-SUP045	MYH3	7.57	BO19SN6	YZ	SUP-SUP045	MYH3	5.42
BN19SN6	YZ	VIC-CPE045	MYH3	14.95	BO19SN6	YZ	VIC-CPE045	MYH3	9.12
BN19SN6	YZ	WHI-OR2010	MYH3	9.91	BO19SN6	YZ	WHI-OR2010	MYH3	8.62
BN19SN6	XZ	CHI-CHY29N	MYH4	9.47	BO19SN6	XZ	CHI-CHY29N	MYH4	6.41
BN19SN6	XZ	CHI-CHY036W	MYH4	10.17	BO19SN6	XZ	CHI-CHY036W	MYH4	12.15
BN19SN6	XZ	CHI-CHY41N	MYH4	9.28	BO19SN6	XZ	CHI-CHY41N	MYH4	9.67
BN19SN6	XZ	CHI-TCU45N	MYH4	10.33	BO19SN6	XZ	CHI-TCU45N	MYH4	10.16
BN19SN6	XZ	CHI-TCU45W	MYH4	7.63	BO19SN6	XZ	CHI-TCU45W	MYH4	9.84
BN19SN6	XZ	CHI-TCU51N	MYH4	5.71	BO19SN6	XZ	CHI-TCU51N	MYH4	6.24
BN19SN6	XZ	COA-PLE135	MYH4	10.20	BO19SN6	XZ	COA-PLE135	MYH4	9.22
BN19SN6	XZ	IMP-BRA225	MYH4	3.87	BO19SN6	XZ	IMP-BRA225	MYH4	2.58
BN19SN6	XZ	IMP-BRA315	MYH4	5.04	BO19SN6	XZ	IMP-BRA315	MYH4	5.18
BN19SN6	XZ	IMP-ECC002	MYH4	7.65	BO19SN6	XZ	IMP-ECC002	MYH4	7.87
BN19SN6	XZ	IMP-ELC4-140	MYH4	14.37	BO19SN6	XZ	IMP-ELC4-140	MYH4	15.90
BN19SN6	XZ	IRP-STU000	MYH4	6.80	BO19SN6	XZ	IRP-STU000	MYH4	6.59
BN19SN6	XZ	KOB-NIS000	MYH4	7.32	BO19SN6	XZ	KOB-NIS000	MYH4	6.06
BN19SN6	XZ	KOB-NIS090	MYH4	9.19	BO19SN6	XZ	KOB-NIS090	MYH4	9.20
BN19SN6	XZ	KOB-SHI000	MYH4	11.28	BO19SN6	XZ	KOB-SHI000	MYH4	9.35
BN19SN6	XZ	KOC-ARC090	MYH4	3.23	BO19SN6	XZ	KOC-ARC090	MYH4	3.48
BN19SN6	XZ	LOM-G02090	MYH4	10.98	BO19SN6	XZ	LOM-G02090	MYH4	11.66
BN19SN6	XZ	LOM-G03000	MYH4	6.53	BO19SN6	XZ	LOM-G03000	MYH4	6.98
BN19SN6	XZ	LOM-HDA255	MYH4	11.88	BO19SN6	XZ	LOM-HDA255	MYH4	12.43
BN19SN6	XZ	LOM-SVL360	MYH4	5.30	BO19SN6	XZ	LOM-SVL360	MYH4	4.08
BN19SN6	XZ	MOR-G06090	MYH4	11.55	BO19SN6	XZ	MOR-G06090	MYH4	8.76
BN19SN6	XZ	MOR-HAL240	MYH4	11.00	BO19SN6	XZ	MOR-HAL240	MYH4	11.33
BN19SN6	XZ	NOR-KAT090	MYH4	13.01	BO19SN6	XZ	NOR-KAT090	MYH4	8.25
BN19SN6	XZ	NOR-SCR090	MYH4	6.59	BO19SN6	XZ	NOR-SCR090	MYH4	6.97
BN19SN6	XZ	NOR-STN020	MYH4	10.71	BO19SN6	XZ	NOR-STN020	MYH4	9.56
BN19SN6	XZ	NPAL-WWT180	MYH4	8.80	BO19SN6	XZ	NPAL-WWT180	MYH4	10.27
BN19SN6	XZ	SUP-POE270	MYH4	7.21	BO19SN6	XZ	SUP-POE270	MYH4	7.67
BN19SN6	XZ	WES-PTS225	MYH4	5.71	BO19SN6	XZ	WES-PTS225	MYH4	4.96
BN19SN6	XZ	WHI-BIR180	MYH4	11.25	BO19SN6	XZ	WHI-BIR180	MYH4	10.67
BN19SN6	XZ	WHI-EJS048	MYH4	8.74	BO19SN6	XZ	WHI-EJS048	MYH4	5.87
BN19SN6	YZ	CHI-CHY29N	MYH4	10.55	BO19SN6	YZ	CHI-CHY29N	MYH4	6.87
BN19SN6	YZ	CHI-CHY036W	MYH4	11.99	BO19SN6	YZ	CHI-CHY036W	MYH4	8.57
BN19SN6	YZ	CHI-CHY41N	MYH4	8.41	BO19SN6	YZ	CHI-CHY41N	MYH4	7.41
BN19SN6	YZ	CHI-TCU45N	MYH4	10.75	BO19SN6	YZ	CHI-TCU45N	MYH4	7.35
BN19SN6	YZ	CHI-TCU45W	MYH4	7.73	BO19SN6	YZ	CHI-TCU45W	MYH4	5.66
BN19SN6	YZ	CHI-TCU51N	MYH4	6.82	BO19SN6	YZ	CHI-TCU51N	MYH4	5.70
BN19SN6	YZ	COA-PLE135	MYH4	10.56	BO19SN6	YZ	COA-PLE135	MYH4	7.28
BN19SN6	YZ	IMP-BRA225	MYH4	6.26	BO19SN6	YZ	IMP-BRA225	MYH4	1.73
BN19SN6	YZ	IMP-BRA315	MYH4	7.01	BO19SN6	YZ	IMP-BRA315	MYH4	4.35
BN19SN6	YZ	IMP-ECC002	MYH4	10.96	BO19SN6	YZ	IMP-ECC002	MYH4	4.65
BN19SN6	YZ	IMP-ELC4-140	MYH4	15.65	BO19SN6	YZ	IMP-ELC4-140	MYH4	12.82
BN19SN6	YZ	IRP-STU000	MYH4	7.94	BO19SN6	YZ	IRP-STU000	MYH4	5.99

Tablo C.1 (devam): Mevcut binalara ait yerdeğiştirme talepleri

Bina Adı	Analiz Yönü	İvme Kaydı	MYH Grup No	Δ_d (cm)	Bina Adı	Analiz Yönü	İvme Kaydı	MYH Grup No	Δ_d (cm)
BN19SN6	YZ	KOB-NIS000	MYH4	8.24	BO19SN6	YZ	KOB-NIS000	MYH4	9.12
BN19SN6	YZ	KOB-NIS090	MYH4	9.71	BO19SN6	YZ	KOB-NIS090	MYH4	7.57
BN19SN6	YZ	KOB-SHI000	MYH4	12.86	BO19SN6	YZ	KOB-SHI000	MYH4	7.37
BN19SN6	YZ	KOC-ARC090	MYH4	3.93	BO19SN6	YZ	KOC-ARC090	MYH4	1.96
BN19SN6	YZ	LOM-G02090	MYH4	12.69	BO19SN6	YZ	LOM-G02090	MYH4	8.51
BN19SN6	YZ	LOM-G03000	MYH4	8.78	BO19SN6	YZ	LOM-G03000	MYH4	5.97
BN19SN6	YZ	LOM-HDA255	MYH4	10.93	BO19SN6	YZ	LOM-HDA255	MYH4	8.06
BN19SN6	YZ	LOM-SVL360	MYH4	8.61	BO19SN6	YZ	LOM-SVL360	MYH4	3.57
BN19SN6	YZ	MOR-G06090	MYH4	14.35	BO19SN6	YZ	MOR-G06090	MYH4	8.85
BN19SN6	YZ	MOR-HAL240	MYH4	11.72	BO19SN6	YZ	MOR-HAL240	MYH4	10.00
BN19SN6	YZ	NOR-KAT090	MYH4	13.15	BO19SN6	YZ	NOR-KAT090	MYH4	10.02
BN19SN6	YZ	NOR-SCR090	MYH4	8.38	BO19SN6	YZ	NOR-SCR090	MYH4	6.12
BN19SN6	YZ	NOR-STN020	MYH4	9.94	BO19SN6	YZ	NOR-STN020	MYH4	8.44
BN19SN6	YZ	NPAL-WWT180	MYH4	9.29	BO19SN6	YZ	NPAL-WWT180	MYH4	6.94
BN19SN6	YZ	SUP-POE270	MYH4	8.38	BO19SN6	YZ	SUP-POE270	MYH4	7.40
BN19SN6	YZ	WES-PTS225	MYH4	6.33	BO19SN6	YZ	WES-PTS225	MYH4	6.74
BN19SN6	YZ	WHI-BIR180	MYH4	11.02	BO19SN6	YZ	WHI-BIR180	MYH4	10.28
BN19SN6	YZ	WHI-EJS048	MYH4	9.52	BO19SN6	YZ	WHI-EJS048	MYH4	6.66
BN19SN6	XZ	CAP-RIO270	MYH5	12.35	BO19SN6	XZ	CAP-RIO270	MYH5	12.89
BN19SN6	XZ	CAP-RIO360	MYH5	8.29	BO19SN6	XZ	CAP-RIO360	MYH5	8.92
BN19SN6	XZ	CHI-TCU046W	MYH5	4.37	BO19SN6	XZ	CHI-TCU046W	MYH5	4.01
BN19SN6	XZ	CHI-TCU061N	MYH5	5.39	BO19SN6	XZ	CHI-TCU061N	MYH5	5.05
BN19SN6	XZ	CHI-TCU74N	MYH5	14.52	BO19SN6	XZ	CHI-TCU74N	MYH5	13.53
BN19SN6	XZ	CHI-TCU112-W	MYH5	2.82	BO19SN6	XZ	CHI-TCU112-W	MYH5	2.46
BN19SN6	XZ	CHI-TCU123-W	MYH5	6.46	BO19SN6	XZ	CHI-TCU123-W	MYH5	6.79
BN19SN6	XZ	CHI-TCU141-E	MYH5	4.76	BO19SN6	XZ	CHI-TCU141-E	MYH5	3.68
BN19SN6	XZ	CHI-WNTN	MYH5	10.90	BO19SN6	XZ	CHI-WNTN	MYH5	11.69
BN19SN6	XZ	COA-Z14000	MYH5	12.27	BO19SN6	XZ	COA-Z14000	MYH5	10.77
BN19SN6	XZ	IMP-AER045	MYH5	5.69	BO19SN6	XZ	IMP-AER045	MYH5	6.46
BN19SN6	XZ	IMP-ELC3-230	MYH5	3.61	BO19SN6	XZ	IMP-ELC3-230	MYH5	3.79
BN19SN6	XZ	IMP-ELC11-230	MYH5	7.96	BO19SN6	XZ	IMP-ELC11-230	MYH5	5.42
BN19SN6	XZ	IMP-ELCD-360	MYH5	10.19	BO19SN6	XZ	IMP-ELCD-360	MYH5	12.00
BN19SN6	XZ	KOC-AMB000	MYH5	7.36	BO19SN6	XZ	KOC-AMB000	MYH5	6.14
BN19SN6	XZ	LAN-CLVTR	MYH5	12.80	BO19SN6	XZ	LAN-CLVTR	MYH5	15.48
BN19SN6	XZ	LAN-JOS090	MYH5	10.11	BO19SN6	XZ	LAN-JOS090	MYH5	10.21
BN19SN6	XZ	LOM-CYC285	MYH5	11.04	BO19SN6	XZ	LOM-CYC285	MYH5	12.04
BN19SN6	XZ	LOM-GOF090	MYH5	6.77	BO19SN6	XZ	LOM-GOF090	MYH5	6.87
BN19SN6	XZ	LOM-HDA165	MYH5	9.00	BO19SN6	XZ	LOM-HDA165	MYH5	10.07
BN19SN6	XZ	LOM-SAR000	MYH5	10.10	BO19SN6	XZ	LOM-SAR000	MYH5	11.42
BN19SN6	XZ	LOM-SAR090	MYH5	5.08	BO19SN6	XZ	LOM-SAR090	MYH5	4.70
BN19SN6	XZ	NOR-KAT000	MYH5	13.23	BO19SN6	XZ	NOR-KAT000	MYH5	8.81
BN19SN6	XZ	NOR-LOS000	MYH5	11.39	BO19SN6	XZ	NOR-LOS000	MYH5	11.40
BN19SN6	XZ	NOR-MU2035	MYH5	10.86	BO19SN6	XZ	NOR-MU2035	MYH5	9.81
BN19SN6	XZ	NOR-STM090	MYH5	10.75	BO19SN6	XZ	NOR-STM090	MYH5	10.51
BN19SN6	XZ	NPAL-MVH135	MYH5	6.37	BO19SN6	XZ	NPAL-MVH135	MYH5	6.59
BN19SN6	XZ	SUP-ELC090	MYH5	4.14	BO19SN6	XZ	SUP-ELC090	MYH5	4.26
BN19SN6	XZ	SUP-PTS315	MYH5	8.76	BO19SN6	XZ	SUP-PTS315	MYH5	10.84
BN19SN6	XZ	SUP-SUP135	MYH5	11.25	BO19SN6	XZ	SUP-SUP135	MYH5	9.26
BN19SN6	YZ	CAP-RIO270	MYH5	16.52	BO19SN6	YZ	CAP-RIO270	MYH5	10.34
BN19SN6	YZ	CAP-RIO360	MYH5	8.67	BO19SN6	YZ	CAP-RIO360	MYH5	9.17
BN19SN6	YZ	CHI-TCU046W	MYH5	5.23	BO19SN6	YZ	CHI-TCU046W	MYH5	2.65
BN19SN6	YZ	CHI-TCU061N	MYH5	6.75	BO19SN6	YZ	CHI-TCU061N	MYH5	3.09
BN19SN6	YZ	CHI-TCU74N	MYH5	16.44	BO19SN6	YZ	CHI-TCU74N	MYH5	7.90
BN19SN6	YZ	CHI-TCU112-W	MYH5	5.16	BO19SN6	YZ	CHI-TCU112-W	MYH5	1.71
BN19SN6	YZ	CHI-TCU123-W	MYH5	8.28	BO19SN6	YZ	CHI-TCU123-W	MYH5	4.51
BN19SN6	YZ	CHI-TCU141-E	MYH5	7.01	BO19SN6	YZ	CHI-TCU141-E	MYH5	2.03
BN19SN6	YZ	CHI-WNTN	MYH5	13.91	BO19SN6	YZ	CHI-WNTN	MYH5	5.95
BN19SN6	YZ	COA-Z14000	MYH5	14.01	BO19SN6	YZ	COA-Z14000	MYH5	9.25
BN19SN6	YZ	IMP-AER045	MYH5	11.74	BO19SN6	YZ	IMP-AER045	MYH5	4.58

Tablo C.1 (devam): Mevcut binalara ait yerdeğiştirme talepleri

Bina Adı	Analiz Yönü	İvme Kaydı	MYH Grup No	Δ_d (cm)	Bina Adı	Analiz Yönü	İvme Kaydı	MYH Grup No	Δ_d (cm)
BN19SN6	YZ	IMP-ELC3-230	MYH5	4.21	BO19SN6	YZ	IMP-ELC3-230	MYH5	3.77
BN19SN6	YZ	IMP-ELC11-230	MYH5	6.77	BO19SN6	YZ	IMP-ELC11-230	MYH5	4.53
BN19SN6	YZ	IMP-ELCD-360	MYH5	16.34	BO19SN6	YZ	IMP-ELCD-360	MYH5	9.77
BN19SN6	YZ	KOC-AMB000	MYH5	8.64	BO19SN6	YZ	KOC-AMB000	MYH5	4.48
BN19SN6	YZ	LAN-CLVTR	MYH5	12.32	BO19SN6	YZ	LAN-CLVTR	MYH5	13.25
BN19SN6	YZ	LAN-JOS090	MYH5	11.34	BO19SN6	YZ	LAN-JOS090	MYH5	8.67
BN19SN6	YZ	LOM-CYC285	MYH5	11.44	BO19SN6	YZ	LOM-CYC285	MYH5	7.20
BN19SN6	YZ	LOM-GOF090	MYH5	10.68	BO19SN6	YZ	LOM-GOF090	MYH5	5.56
BN19SN6	YZ	LOM-HDA165	MYH5	9.04	BO19SN6	YZ	LOM-HDA165	MYH5	7.62
BN19SN6	YZ	LOM-SAR000	MYH5	15.79	BO19SN6	YZ	LOM-SAR000	MYH5	10.59
BN19SN6	YZ	LOM-SAR090	MYH5	8.95	BO19SN6	YZ	LOM-SAR090	MYH5	3.92
BN19SN6	YZ	NOR-KAT000	MYH5	16.81	BO19SN6	YZ	NOR-KAT000	MYH5	10.28
BN19SN6	YZ	NOR-LOS000	MYH5	13.90	BO19SN6	YZ	NOR-LOS000	MYH5	11.59
BN19SN6	YZ	NOR-MU2035	MYH5	8.66	BO19SN6	YZ	NOR-MU2035	MYH5	4.39
BN19SN6	YZ	NOR-STM090	MYH5	11.99	BO19SN6	YZ	NOR-STM090	MYH5	8.33
BN19SN6	YZ	NPAL-MVH135	MYH5	10.63	BO19SN6	YZ	NPAL-MVH135	MYH5	5.67
BN19SN6	YZ	SUP-ELC090	MYH5	6.07	BO19SN6	YZ	SUP-ELC090	MYH5	4.52
BN19SN6	YZ	SUP-PTS315	MYH5	15.32	BO19SN6	YZ	SUP-PTS315	MYH5	8.07
BN19SN6	YZ	SUP-SUP135	MYH5	11.01	BO19SN6	YZ	SUP-SUP135	MYH5	8.59
BN19SN6	XZ	CAP-PET000	MYH6	14.03	BO19SN6	XZ	CAP-PET000	MYH6	15.01
BN19SN6	XZ	CHI-CHY025W	MYH6	5.95	BO19SN6	XZ	CHI-CHY025W	MYH6	6.11
BN19SN6	XZ	CHI-CHY034-N	MYH6	10.78	BO19SN6	XZ	CHI-CHY034-N	MYH6	9.79
BN19SN6	XZ	CHI-TCU038N	MYH6	6.22	BO19SN6	XZ	CHI-TCU038N	MYH6	5.41
BN19SN6	XZ	CHI-TCU038W	MYH6	6.26	BO19SN6	XZ	CHI-TCU038W	MYH6	5.15
BN19SN6	XZ	CHI-TCU048N	MYH6	4.10	BO19SN6	XZ	CHI-TCU048N	MYH6	4.79
BN19SN6	XZ	CHI-TCU49W	MYH6	5.98	BO19SN6	XZ	CHI-TCU49W	MYH6	5.02
BN19SN6	XZ	CHI-TCU51W	MYH6	5.61	BO19SN6	XZ	CHI-TCU51W	MYH6	4.35
BN19SN6	XZ	CHI-TCU95N	MYH6	5.27	BO19SN6	XZ	CHI-TCU95N	MYH6	5.73
BN19SN6	XZ	CHI-TCU104-N	MYH6	2.87	BO19SN6	XZ	CHI-TCU104-N	MYH6	2.75
BN19SN6	XZ	CHI-TCU106-W	MYH6	6.16	BO19SN6	XZ	CHI-TCU106-W	MYH6	4.31
BN19SN6	XZ	CHI-TCU107-N	MYH6	7.29	BO19SN6	XZ	CHI-TCU107-N	MYH6	5.44
BN19SN6	XZ	COY-G06230	MYH6	11.78	BO19SN6	XZ	COY-G06230	MYH6	12.35
BN19SN6	XZ	IMP-E10050	MYH6	3.58	BO19SN6	XZ	IMP-E10050	MYH6	2.83
BN19SN6	XZ	IMP-ELC3-140	MYH6	7.78	BO19SN6	XZ	IMP-ELC3-140	MYH6	10.27
BN19SN6	XZ	IMP-ELC5-140	MYH6	9.14	BO19SN6	XZ	IMP-ELC5-140	MYH6	7.21
BN19SN6	XZ	IMP-ELC7-140	MYH6	14.01	BO19SN6	XZ	IMP-ELC7-140	MYH6	11.25
BN19SN6	XZ	IMP-ELC8-230	MYH6	8.10	BO19SN6	XZ	IMP-ELC8-230	MYH6	6.91
BN19SN6	XZ	IMP-HVP225	MYH6	6.99	BO19SN6	XZ	IMP-HVP225	MYH6	6.84
BN19SN6	XZ	KOC-DZC270	MYH6	9.59	BO19SN6	XZ	KOC-DZC270	MYH6	10.03
BN19SN6	XZ	LOM-BRN090	MYH6	10.11	BO19SN6	XZ	LOM-BRN090	MYH6	11.76
BN19SN6	XZ	LOM-COR090	MYH6	12.02	BO19SN6	XZ	LOM-COR090	MYH6	10.35
BN19SN6	XZ	LOM-G03090	MYH6	9.49	BO19SN6	XZ	LOM-G03090	MYH6	8.61
BN19SN6	XZ	LOM-HCH180	MYH6	11.40	BO19SN6	XZ	LOM-HCH180	MYH6	9.49
BN19SN6	XZ	NAH-S1010	MYH6	9.36	BO19SN6	XZ	NAH-S1010	MYH6	8.41
BN19SN6	XZ	NAH-S1280	MYH6	8.19	BO19SN6	XZ	NAH-S1280	MYH6	6.09
BN19SN6	XZ	NOR-LOS270	MYH6	10.67	BO19SN6	XZ	NOR-LOS270	MYH6	10.00
BN19SN6	XZ	NOR-PAC175	MYH6	6.66	BO19SN6	XZ	NOR-PAC175	MYH6	6.78
BN19SN6	XZ	SUP-ELC000	MYH6	12.56	BO19SN6	XZ	SUP-ELC000	MYH6	12.27
BN19SN6	XZ	WES-WSM090	MYH6	9.81	BO19SN6	XZ	WES-WSM090	MYH6	10.54
BN19SN6	YZ	CAP-PET000	MYH6	14.88	BO19SN6	YZ	CAP-PET000	MYH6	13.39
BN19SN6	YZ	CHI-CHY025W	MYH6	8.45	BO19SN6	YZ	CHI-CHY025W	MYH6	4.14
BN19SN6	YZ	CHI-CHY034-N	MYH6	14.09	BO19SN6	YZ	CHI-CHY034-N	MYH6	8.70
BN19SN6	YZ	CHI-TCU038N	MYH6	9.00	BO19SN6	YZ	CHI-TCU038N	MYH6	3.59
BN19SN6	YZ	CHI-TCU038W	MYH6	6.40	BO19SN6	YZ	CHI-TCU038W	MYH6	3.63
BN19SN6	YZ	CHI-TCU048N	MYH6	6.53	BO19SN6	YZ	CHI-TCU048N	MYH6	3.90
BN19SN6	YZ	CHI-TCU49W	MYH6	8.51	BO19SN6	YZ	CHI-TCU49W	MYH6	4.18
BN19SN6	YZ	CHI-TCU51W	MYH6	9.25	BO19SN6	YZ	CHI-TCU51W	MYH6	4.04
BN19SN6	YZ	CHI-TCU95N	MYH6	6.48	BO19SN6	YZ	CHI-TCU95N	MYH6	4.96
BN19SN6	YZ	CHI-TCU104-N	MYH6	4.91	BO19SN6	YZ	CHI-TCU104-N	MYH6	1.71

Tablo C.1 (devam): Mevcut binalara ait yerdeğiştirme talepleri

Bina Adı	Analiz Yönü	İvme Kaydı	MYH Grup No	Δ_d (cm)	Bina Adı	Analiz Yönü	İvme Kaydı	MYH Grup No	Δ_d (cm)
BN19SN6	YZ	CHI-TCU106-W	MYH6	8.98	BO19SN6	YZ	CHI-TCU106-W	MYH6	4.27
BN19SN6	YZ	CHI-TCU107-N	MYH6	8.87	BO19SN6	YZ	CHI-TCU107-N	MYH6	4.03
BN19SN6	YZ	COY-G06230	MYH6	15.01	BO19SN6	YZ	COY-G06230	MYH6	7.84
BN19SN6	YZ	IMP-E10050	MYH6	6.00	BO19SN6	YZ	IMP-E10050	MYH6	3.08
BN19SN6	YZ	IMP-ELC3-140	MYH6	8.50	BO19SN6	YZ	IMP-ELC3-140	MYH6	7.08
BN19SN6	YZ	IMP-ELC5-140	MYH6	12.17	BO19SN6	YZ	IMP-ELC5-140	MYH6	7.74
BN19SN6	YZ	IMP-ELC7-140	MYH6	18.77	BO19SN6	YZ	IMP-ELC7-140	MYH6	6.88
BN19SN6	YZ	IMP-ELC8-230	MYH6	10.96	BO19SN6	YZ	IMP-ELC8-230	MYH6	5.87
BN19SN6	YZ	IMP-HVP225	MYH6	11.20	BO19SN6	YZ	IMP-HVP225	MYH6	5.27
BN19SN6	YZ	KOC-DZC270	MYH6	17.65	BO19SN6	YZ	KOC-DZC270	MYH6	5.73
BN19SN6	YZ	LOM-BRN090	MYH6	8.89	BO19SN6	YZ	LOM-BRN090	MYH6	13.82
BN19SN6	YZ	LOM-COR090	MYH6	10.67	BO19SN6	YZ	LOM-COR090	MYH6	8.47
BN19SN6	YZ	LOM-G03090	MYH6	12.94	BO19SN6	YZ	LOM-G03090	MYH6	5.22
BN19SN6	YZ	LOM-HCH180	MYH6	16.76	BO19SN6	YZ	LOM-HCH180	MYH6	6.48
BN19SN6	YZ	NAH-S1010	MYH6	11.78	BO19SN6	YZ	NAH-S1010	MYH6	6.84
BN19SN6	YZ	NAH-S1280	MYH6	10.38	BO19SN6	YZ	NAH-S1280	MYH6	6.22
BN19SN6	YZ	NOR-LOS270	MYH6	12.61	BO19SN6	YZ	NOR-LOS270	MYH6	8.32
BN19SN6	YZ	NOR-PAC175	MYH6	7.50	BO19SN6	YZ	NOR-PAC175	MYH6	6.09
BN19SN6	YZ	SUP-ELC000	MYH6	11.18	BO19SN6	YZ	SUP-ELC000	MYH6	7.71
BN19SN6	YZ	WES-WSM090	MYH6	11.92	BO19SN6	YZ	WES-WSM090	MYH6	7.07
BN19SN6	XZ	CHI-CHY002-N	MYH7	5.12	BO19SN6	XZ	CHI-CHY002-N	MYH7	5.61
BN19SN6	XZ	CHI-CHY024W	MYH7	6.23	BO19SN6	XZ	CHI-CHY024W	MYH7	10.20
BN19SN6	XZ	CHI-CHY104-E	MYH7	6.53	BO19SN6	XZ	CHI-CHY104-E	MYH7	6.87
BN19SN6	XZ	CHI-TCU029N	MYH7	5.68	BO19SN6	XZ	CHI-TCU029N	MYH7	4.54
BN19SN6	XZ	CHI-TCU036N	MYH7	4.72	BO19SN6	XZ	CHI-TCU036N	MYH7	4.36
BN19SN6	XZ	CHI-TCU039N	MYH7	5.29	BO19SN6	XZ	CHI-TCU039N	MYH7	5.28
BN19SN6	XZ	CHI-TCU039W	MYH7	5.57	BO19SN6	XZ	CHI-TCU039W	MYH7	5.95
BN19SN6	XZ	CHI-TCU040N	MYH7	5.22	BO19SN6	XZ	CHI-TCU040N	MYH7	4.61
BN19SN6	XZ	CHI-TCU040W	MYH7	5.24	BO19SN6	XZ	CHI-TCU040W	MYH7	4.11
BN19SN6	XZ	CHI-TCU055N	MYH7	6.37	BO19SN6	XZ	CHI-TCU055N	MYH7	6.00
BN19SN6	XZ	CHI-TCU064N	MYH7	4.71	BO19SN6	XZ	CHI-TCU064N	MYH7	4.32
BN19SN6	XZ	CHI-TCU70W	MYH7	8.19	BO19SN6	XZ	CHI-TCU70W	MYH7	7.73
BN19SN6	XZ	CHI-TCU109-N	MYH7	7.00	BO19SN6	XZ	CHI-TCU109-N	MYH7	5.42
BN19SN6	XZ	CHI-TCU109-W	MYH7	8.42	BO19SN6	XZ	CHI-TCU109-W	MYH7	6.82
BN19SN6	XZ	CHI-TCU115-W	MYH7	4.39	BO19SN6	XZ	CHI-TCU115-W	MYH7	2.70
BN19SN6	XZ	CHI-TCU117-N	MYH7	4.51	BO19SN6	XZ	CHI-TCU117-N	MYH7	4.19
BN19SN6	XZ	IMP-ELC8-140	MYH7	9.56	BO19SN6	XZ	IMP-ELC8-140	MYH7	9.16
BN19SN6	XZ	IMP-HVP315	MYH7	5.76	BO19SN6	XZ	IMP-HVP315	MYH7	4.19
BN19SN6	XZ	IRP-STU270	MYH7	10.75	BO19SN6	XZ	IRP-STU270	MYH7	9.63
BN19SN6	XZ	KOC-GBZ000	MYH7	5.86	BO19SN6	XZ	KOC-GBZ000	MYH7	4.07
BN19SN6	XZ	LAN-YER270	MYH7	7.41	BO19SN6	XZ	LAN-YER270	MYH7	9.87
BN19SN6	XZ	LOM-A02043	MYH7	18.10	BO19SN6	XZ	LOM-A02043	MYH7	17.52
BN19SN6	XZ	LOM-BRN000	MYH7	17.73	BO19SN6	XZ	LOM-BRN000	MYH7	18.84
BN19SN6	XZ	LOM-LGP090	MYH7	12.41	BO19SN6	XZ	LOM-LGP090	MYH7	8.41
BN19SN6	XZ	MOR-CYC195	MYH7	16.19	BO19SN6	XZ	MOR-CYC195	MYH7	15.75
BN19SN6	XZ	NOR-LDM334	MYH7	12.85	BO19SN6	XZ	NOR-LDM334	MYH7	12.40
BN19SN6	XZ	NOR-ORR090	MYH7	13.36	BO19SN6	XZ	NOR-ORR090	MYH7	10.13
BN19SN6	XZ	NOR-ORR360	MYH7	20.12	BO19SN6	XZ	NOR-ORR360	MYH7	22.46
BN19SN6	XZ	NOR-PKC360	MYH7	11.23	BO19SN6	XZ	NOR-PKC360	MYH7	9.04
BN19SN6	XZ	SFD-PCD254	MYH7	12.83	BO19SN6	XZ	SFD-PCD254	MYH7	12.67
BN19SN6	YZ	CHI-CHY002-N	MYH7	6.63	BO19SN6	YZ	CHI-CHY002-N	MYH7	3.23
BN19SN6	YZ	CHI-CHY024W	MYH7	11.46	BO19SN6	YZ	CHI-CHY024W	MYH7	7.86
BN19SN6	YZ	CHI-CHY104-E	MYH7	7.52	BO19SN6	YZ	CHI-CHY104-E	MYH7	4.93
BN19SN6	YZ	CHI-TCU029N	MYH7	7.86	BO19SN6	YZ	CHI-TCU029N	MYH7	3.01
BN19SN6	YZ	CHI-TCU036N	MYH7	7.43	BO19SN6	YZ	CHI-TCU036N	MYH7	3.75
BN19SN6	YZ	CHI-TCU039N	MYH7	6.51	BO19SN6	YZ	CHI-TCU039N	MYH7	4.37
BN19SN6	YZ	CHI-TCU039W	MYH7	9.75	BO19SN6	YZ	CHI-TCU039W	MYH7	6.37
BN19SN6	YZ	CHI-TCU040N	MYH7	6.79	BO19SN6	YZ	CHI-TCU040N	MYH7	3.61
BN19SN6	YZ	CHI-TCU040W	MYH7	6.27	BO19SN6	YZ	CHI-TCU040W	MYH7	2.85

Tablo C.1 (devam): Mevcut binalara ait yerdeğiştirme talepleri

Bina Adı	Analiz Yönü	İvme Kaydı	MYH Grup No	Δ_d (cm)	Bina Adı	Analiz Yönü	İvme Kaydı	MYH Grup No	Δ_d (cm)
BN19SN6	YZ	CHI-TCU055N	MYH7	9.01	BO19SN6	YZ	CHI-TCU055N	MYH7	4.21
BN19SN6	YZ	CHI-TCU064N	MYH7	7.86	BO19SN6	YZ	CHI-TCU064N	MYH7	2.28
BN19SN6	YZ	CHI-TCU70W	MYH7	10.15	BO19SN6	YZ	CHI-TCU70W	MYH7	6.81
BN19SN6	YZ	CHI-TCU109-N	MYH7	11.17	BO19SN6	YZ	CHI-TCU109-N	MYH7	4.12
BN19SN6	YZ	CHI-TCU109-W	MYH7	7.38	BO19SN6	YZ	CHI-TCU109-W	MYH7	4.32
BN19SN6	YZ	CHI-TCU115-W	MYH7	4.82	BO19SN6	YZ	CHI-TCU115-W	MYH7	2.43
BN19SN6	YZ	CHI-TCU117-N	MYH7	6.99	BO19SN6	YZ	CHI-TCU117-N	MYH7	2.86
BN19SN6	YZ	IMP-ELC8-140	MYH7	12.54	BO19SN6	YZ	IMP-ELC8-140	MYH7	7.75
BN19SN6	YZ	IMP-HVP315	MYH7	7.53	BO19SN6	YZ	IMP-HVP315	MYH7	3.73
BN19SN6	YZ	IRP-STU270	MYH7	13.46	BO19SN6	YZ	IRP-STU270	MYH7	4.73
BN19SN6	YZ	KOC-GBZ000	MYH7	8.08	BO19SN6	YZ	KOC-GBZ000	MYH7	5.07
BN19SN6	YZ	LAN-YER270	MYH7	8.72	BO19SN6	YZ	LAN-YER270	MYH7	7.71
BN19SN6	YZ	LOM-A02043	MYH7	19.71	BO19SN6	YZ	LOM-A02043	MYH7	11.48
BN19SN6	YZ	LOM-BRN000	MYH7	17.18	BO19SN6	YZ	LOM-BRN000	MYH7	12.87
BN19SN6	YZ	LOM-LGP090	MYH7	17.04	BO19SN6	YZ	LOM-LGP090	MYH7	8.28
BN19SN6	YZ	MOR-CYC195	MYH7	15.26	BO19SN6	YZ	MOR-CYC195	MYH7	15.70
BN19SN6	YZ	NOR-LDM334	MYH7	16.34	BO19SN6	YZ	NOR-LDM334	MYH7	12.58
BN19SN6	YZ	NOR-ORR090	MYH7	13.14	BO19SN6	YZ	NOR-ORR090	MYH7	9.47
BN19SN6	YZ	NOR-ORR360	MYH7	23.64	BO19SN6	YZ	NOR-ORR360	MYH7	17.30
BN19SN6	YZ	NOR-PKC360	MYH7	12.55	BO19SN6	YZ	NOR-PKC360	MYH7	10.70
BN19SN6	YZ	SFD-PCD254	MYH7	13.66	BO19SN6	YZ	SFD-PCD254	MYH7	11.99
BN19SN6	XZ	CAP-RIO270	MYH8	16.93	BO19SN6	XZ	CAP-RIO270	MYH8	17.37
BN19SN6	XZ	CAP-RIO360	MYH8	11.19	BO19SN6	XZ	CAP-RIO360	MYH8	11.69
BN19SN6	XZ	CHI-CHY006-E	MYH8	11.00	BO19SN6	XZ	CHI-CHY006-E	MYH8	11.48
BN19SN6	XZ	CHI-CHY092-E	MYH8	5.32	BO19SN6	XZ	CHI-CHY092-E	MYH8	4.64
BN19SN6	XZ	CHI-CHY104-N	MYH8	9.94	BO19SN6	XZ	CHI-CHY104-N	MYH8	8.54
BN19SN6	XZ	CHI-TCU054W	MYH8	5.78	BO19SN6	XZ	CHI-TCU054W	MYH8	4.96
BN19SN6	XZ	CHI-TCU059N	MYH8	6.20	BO19SN6	XZ	CHI-TCU059N	MYH8	6.16
BN19SN6	XZ	CHI-TCU059W	MYH8	6.86	BO19SN6	XZ	CHI-TCU059W	MYH8	7.09
BN19SN6	XZ	CHI-TCU063W	MYH8	8.70	BO19SN6	XZ	CHI-TCU063W	MYH8	7.62
BN19SN6	XZ	CHI-TCU072N	MYH8	17.30	BO19SN6	XZ	CHI-TCU072N	MYH8	20.91
BN19SN6	XZ	CHI-TCU82W	MYH8	6.56	BO19SN6	XZ	CHI-TCU82W	MYH8	6.11
BN19SN6	XZ	CHI-TCU110-N	MYH8	8.71	BO19SN6	XZ	CHI-TCU110-N	MYH8	9.28
BN19SN6	XZ	CHI-TCU111-W	MYH8	5.65	BO19SN6	XZ	CHI-TCU111-W	MYH8	6.51
BN19SN6	XZ	CHI-TCU117-W	MYH8	5.36	BO19SN6	XZ	CHI-TCU117-W	MYH8	5.48
BN19SN6	XZ	CHI-TCU136-E	MYH8	8.63	BO19SN6	XZ	CHI-TCU136-E	MYH8	7.52
BN19SN6	XZ	DZC-BOL000	MYH8	13.38	BO19SN6	XZ	DZC-BOL000	MYH8	13.39
BN19SN6	XZ	IMP-ELC3-140	MYH8	9.99	BO19SN6	XZ	IMP-ELC3-140	MYH8	13.73
BN19SN6	XZ	IMP-ELC3-230	MYH8	5.42	BO19SN6	XZ	IMP-ELC3-230	MYH8	5.93
BN19SN6	XZ	IRP-STU270	MYH8	12.43	BO19SN6	XZ	IRP-STU270	MYH8	11.62
BN19SN6	XZ	KOC-DZC180	MYH8	8.88	BO19SN6	XZ	KOC-DZC180	MYH8	10.28
BN19SN6	XZ	KOC-DZC270	MYH8	13.49	BO19SN6	XZ	KOC-DZC270	MYH8	16.96
BN19SN6	XZ	KOC-GBZ000	MYH8	6.80	BO19SN6	XZ	KOC-GBZ000	MYH8	4.97
BN19SN6	XZ	LAN-CLVTR	MYH8	18.37	BO19SN6	XZ	LAN-CLVTR	MYH8	24.52
BN19SN6	XZ	LAN-YER270	MYH8	8.88	BO19SN6	XZ	LAN-YER270	MYH8	11.69
BN19SN6	XZ	LOM-COR000	MYH8	12.31	BO19SN6	XZ	LOM-COR000	MYH8	17.34
BN19SN6	XZ	NOR-MUL009	MYH8	15.36	BO19SN6	XZ	NOR-MUL009	MYH8	13.18
BN19SN6	XZ	NOR-PUL104	MYH8	12.68	BO19SN6	XZ	NOR-PUL104	MYH8	17.07
BN19SN6	XZ	NPAL-MVH135	MYH8	11.66	BO19SN6	XZ	NPAL-MVH135	MYH8	14.18
BN19SN6	XZ	SUP-ELC000	MYH8	15.89	BO19SN6	XZ	SUP-ELC000	MYH8	15.83
BN19SN6	XZ	SUP-ELC090	MYH8	5.59	BO19SN6	XZ	SUP-ELC090	MYH8	6.19
BN19SN6	YZ	CAP-RIO270	MYH8	22.22	BO19SN6	YZ	CAP-RIO270	MYH8	14.45
BN19SN6	YZ	CAP-RIO360	MYH8	11.35	BO19SN6	YZ	CAP-RIO360	MYH8	12.27
BN19SN6	YZ	CHI-CHY006-E	MYH8	13.89	BO19SN6	YZ	CHI-CHY006-E	MYH8	9.83
BN19SN6	YZ	CHI-CHY092-E	MYH8	8.21	BO19SN6	YZ	CHI-CHY092-E	MYH8	2.33
BN19SN6	YZ	CHI-CHY104-N	MYH8	9.48	BO19SN6	YZ	CHI-CHY104-N	MYH8	5.82
BN19SN6	YZ	CHI-TCU054W	MYH8	8.77	BO19SN6	YZ	CHI-TCU054W	MYH8	3.39
BN19SN6	YZ	CHI-TCU059N	MYH8	12.10	BO19SN6	YZ	CHI-TCU059N	MYH8	4.06
BN19SN6	YZ	CHI-TCU059W	MYH8	10.62	BO19SN6	YZ	CHI-TCU059W	MYH8	4.81

Tablo C.1 (devam): Mevcut binalara ait yerdeğiştirme talepleri

Bina Adı	Analiz Yönü	İvme Kaydı	MYH Grup No	Δ_d (cm)	Bina Adı	Analiz Yönü	İvme Kaydı	MYH Grup No	Δ_d (cm)
BN19SN6	YZ	CHI-TCU063W	MYH8	10.27	BO19SN6	YZ	CHI-TCU063W	MYH8	6.01
BN19SN6	YZ	CHI-TCU072N	MYH8	15.16	BO19SN6	YZ	CHI-TCU072N	MYH8	15.35
BN19SN6	YZ	CHI-TCU82W	MYH8	9.29	BO19SN6	YZ	CHI-TCU82W	MYH8	4.80
BN19SN6	YZ	CHI-TCU110-N	MYH8	15.78	BO19SN6	YZ	CHI-TCU110-N	MYH8	6.58
BN19SN6	YZ	CHI-TCU111-W	MYH8	9.92	BO19SN6	YZ	CHI-TCU111-W	MYH8	4.23
BN19SN6	YZ	CHI-TCU117-W	MYH8	6.69	BO19SN6	YZ	CHI-TCU117-W	MYH8	3.72
BN19SN6	YZ	CHI-TCU136-E	MYH8	9.52	BO19SN6	YZ	CHI-TCU136-E	MYH8	4.92
BN19SN6	YZ	DZC-BOL000	MYH8	16.88	BO19SN6	YZ	DZC-BOL000	MYH8	9.70
BN19SN6	YZ	IMP-ELC3-140	MYH8	10.74	BO19SN6	YZ	IMP-ELC3-140	MYH8	9.79
BN19SN6	YZ	IMP-ELC3-230	MYH8	5.27	BO19SN6	YZ	IMP-ELC3-230	MYH8	5.03
BN19SN6	YZ	IRP-STU270	MYH8	15.39	BO19SN6	YZ	IRP-STU270	MYH8	5.14
BN19SN6	YZ	KOC-DZC180	MYH8	9.82	BO19SN6	YZ	KOC-DZC180	MYH8	7.17
BN19SN6	YZ	KOC-DZC270	MYH8	23.71	BO19SN6	YZ	KOC-DZC270	MYH8	8.73
BN19SN6	YZ	KOC-GBZ000	MYH8	9.52	BO19SN6	YZ	KOC-GBZ000	MYH8	5.82
BN19SN6	YZ	LAN-CLVTR	MYH8	20.16	BO19SN6	YZ	LAN-CLVTR	MYH8	18.18
BN19SN6	YZ	LAN-YER270	MYH8	9.17	BO19SN6	YZ	LAN-YER270	MYH8	9.27
BN19SN6	YZ	LOM-COR000	MYH8	12.60	BO19SN6	YZ	LOM-COR000	MYH8	13.90
BN19SN6	YZ	NOR-MUL009	MYH8	19.65	BO19SN6	YZ	NOR-MUL009	MYH8	10.76
BN19SN6	YZ	NOR-PUL104	MYH8	16.40	BO19SN6	YZ	NOR-PUL104	MYH8	12.01
BN19SN6	YZ	NPAL-MVH135	MYH8	17.94	BO19SN6	YZ	NPAL-MVH135	MYH8	7.13
BN19SN6	YZ	SUP-ELC000	MYH8	15.37	BO19SN6	YZ	SUP-ELC000	MYH8	11.42
BN19SN6	YZ	SUP-ELC090	MYH8	9.09	BO19SN6	YZ	SUP-ELC090	MYH8	7.15
BN19SN6	XZ	CHI-TCU036W	MYH9	6.75	BO19SN6	XZ	CHI-TCU036W	MYH9	5.89
BN19SN6	XZ	CHI-TCU49N	MYH9	8.35	BO19SN6	XZ	CHI-TCU49N	MYH9	8.31
BN19SN6	XZ	CHI-TCU70N	MYH9	7.25	BO19SN6	XZ	CHI-TCU70N	MYH9	6.45
BN19SN6	XZ	CHI-TCU76N	MYH9	17.83	BO19SN6	XZ	CHI-TCU76N	MYH9	19.44
BN19SN6	XZ	CHI-TCU76W	MYH9	7.39	BO19SN6	XZ	CHI-TCU76W	MYH9	6.43
BN19SN6	XZ	CHI-TCU079-W	MYH9	12.94	BO19SN6	XZ	CHI-TCU079-W	MYH9	10.99
BN19SN6	XZ	CHI-TCU95W	MYH9	8.34	BO19SN6	XZ	CHI-TCU95W	MYH9	6.80
BN19SN6	XZ	CHI-TCU103-W	MYH9	4.82	BO19SN6	XZ	CHI-TCU103-W	MYH9	3.59
BN19SN6	XZ	CHI-TCU120-W	MYH9	6.67	BO19SN6	XZ	CHI-TCU120-W	MYH9	8.55
BN19SN6	XZ	CHI-TCU129-W	MYH9	13.85	BO19SN6	XZ	CHI-TCU129-W	MYH9	15.22
BN19SN6	XZ	COA-PLE045	MYH9	13.50	BO19SN6	XZ	COA-PLE045	MYH9	15.96
BN19SN6	XZ	DZC-BOL000	MYH9	15.23	BO19SN6	XZ	DZC-BOL000	MYH9	15.02
BN19SN6	XZ	DZC-BOL090	MYH9	21.16	BO19SN6	XZ	DZC-BOL090	MYH9	19.97
BN19SN6	XZ	DZC-DZC180	MYH9	8.53	BO19SN6	XZ	DZC-DZC180	MYH9	7.80
BN19SN6	XZ	ERZ-ERZEW	MYH9	18.25	BO19SN6	XZ	ERZ-ERZEW	MYH9	20.30
BN19SN6	XZ	IMP-ELC3-140	MYH9	11.11	BO19SN6	XZ	IMP-ELC3-140	MYH9	15.30
BN19SN6	XZ	IMP-HVP315	MYH9	7.10	BO19SN6	XZ	IMP-HVP315	MYH9	5.41
BN19SN6	XZ	IRP-STU270	MYH9	14.31	BO19SN6	XZ	IRP-STU270	MYH9	14.02
BN19SN6	XZ	KOC-DZC180	MYH9	9.44	BO19SN6	XZ	KOC-DZC180	MYH9	10.81
BN19SN6	XZ	KOC-GBZ000	MYH9	7.49	BO19SN6	XZ	KOC-GBZ000	MYH9	5.70
BN19SN6	XZ	KOC-YAR330	MYH9	9.25	BO19SN6	XZ	KOC-YAR330	MYH9	9.86
BN19SN6	XZ	LAN-YER270	MYH9	9.93	BO19SN6	XZ	LAN-YER270	MYH9	13.33
BN19SN6	XZ	LOM-BRN000	MYH9	21.20	BO19SN6	XZ	LOM-BRN000	MYH9	22.36
BN19SN6	XZ	LOM-HSP000	MYH9	15.66	BO19SN6	XZ	LOM-HSP000	MYH9	15.91
BN19SN6	XZ	LOM-WVC270	MYH9	11.60	BO19SN6	XZ	LOM-WVC270	MYH9	11.58
BN19SN6	XZ	NOR-CNP196	MYH9	9.74	BO19SN6	XZ	NOR-CNP196	MYH9	8.60
BN19SN6	XZ	NOR-LDM064	MYH9	18.21	BO19SN6	XZ	NOR-LDM064	MYH9	17.27
BN19SN6	XZ	NOR-MUL279	MYH9	21.54	BO19SN6	XZ	NOR-MUL279	MYH9	25.51
BN19SN6	XZ	NOR-SAT180	MYH9	15.80	BO19SN6	XZ	NOR-SAT180	MYH9	18.22
BN19SN6	XZ	SUP-ELC000	MYH9	17.37	BO19SN6	XZ	SUP-ELC000	MYH9	17.23
BN19SN6	YZ	CHI-TCU036W	MYH9	6.63	BO19SN6	YZ	CHI-TCU036W	MYH9	4.05
BN19SN6	YZ	CHI-TCU49N	MYH9	8.60	BO19SN6	YZ	CHI-TCU49N	MYH9	5.08
BN19SN6	YZ	CHI-TCU70N	MYH9	10.05	BO19SN6	YZ	CHI-TCU70N	MYH9	5.13
BN19SN6	YZ	CHI-TCU76N	MYH9	18.63	BO19SN6	YZ	CHI-TCU76N	MYH9	13.71
BN19SN6	YZ	CHI-TCU76W	MYH9	10.72	BO19SN6	YZ	CHI-TCU76W	MYH9	3.83
BN19SN6	YZ	CHI-TCU079-W	MYH9	16.30	BO19SN6	YZ	CHI-TCU079-W	MYH9	11.96
BN19SN6	YZ	CHI-TCU95W	MYH9	11.61	BO19SN6	YZ	CHI-TCU95W	MYH9	8.48

Tablo C.1 (devam): Mevcut binalara ait yerdeğiştirme talepleri

Bina Adı	Analiz Yönü	İvme Kaydı	MYH Grup No	Δ_d (cm)	Bina Adı	Analiz Yönü	İvme Kaydı	MYH Grup No	Δ_d (cm)
BN19SN6	YZ	CHI-TCU103-W	MYH9	9.11	BO19SN6	YZ	CHI-TCU103-W	MYH9	3.26
BN19SN6	YZ	CHI-TCU120-W	MYH9	15.34	BO19SN6	YZ	CHI-TCU120-W	MYH9	4.36
BN19SN6	YZ	CHI-TCU129-W	MYH9	16.69	BO19SN6	YZ	CHI-TCU129-W	MYH9	10.31
BN19SN6	YZ	COA-PLE045	MYH9	21.02	BO19SN6	YZ	COA-PLE045	MYH9	13.65
BN19SN6	YZ	DZC-BOL000	MYH9	18.96	BO19SN6	YZ	DZC-BOL000	MYH9	11.62
BN19SN6	YZ	DZC-BOL090	MYH9	17.76	BO19SN6	YZ	DZC-BOL090	MYH9	22.79
BN19SN6	YZ	DZC-DZC180	MYH9	12.38	BO19SN6	YZ	DZC-DZC180	MYH9	11.62
BN19SN6	YZ	ERZ-ERZEW	MYH9	21.76	BO19SN6	YZ	ERZ-ERZEW	MYH9	15.28
BN19SN6	YZ	IMP-ELC3-140	MYH9	11.81	BO19SN6	YZ	IMP-ELC3-140	MYH9	10.98
BN19SN6	YZ	IMP-HVP315	MYH9	9.59	BO19SN6	YZ	IMP-HVP315	MYH9	4.73
BN19SN6	YZ	IRP-STU270	MYH9	17.58	BO19SN6	YZ	IRP-STU270	MYH9	5.60
BN19SN6	YZ	KOC-DZC180	MYH9	10.76	BO19SN6	YZ	KOC-DZC180	MYH9	7.82
BN19SN6	YZ	KOC-GBZ000	MYH9	10.48	BO19SN6	YZ	KOC-GBZ000	MYH9	6.27
BN19SN6	YZ	KOC-YAR330	MYH9	12.26	BO19SN6	YZ	KOC-YAR330	MYH9	6.05
BN19SN6	YZ	LAN-YER270	MYH9	9.69	BO19SN6	YZ	LAN-YER270	MYH9	10.68
BN19SN6	YZ	LOM-BRN000	MYH9	19.35	BO19SN6	YZ	LOM-BRN000	MYH9	18.31
BN19SN6	YZ	LOM-HSP000	MYH9	18.24	BO19SN6	YZ	LOM-HSP000	MYH9	14.33
BN19SN6	YZ	LOM-WVC270	MYH9	20.18	BO19SN6	YZ	LOM-WVC270	MYH9	8.22
BN19SN6	YZ	NOR-CNP196	MYH9	10.10	BO19SN6	YZ	NOR-CNP196	MYH9	9.07
BN19SN6	YZ	NOR-LDM064	MYH9	20.55	BO19SN6	YZ	NOR-LDM064	MYH9	16.36
BN19SN6	YZ	NOR-MUL279	MYH9	23.09	BO19SN6	YZ	NOR-MUL279	MYH9	20.12
BN19SN6	YZ	NOR-SAT180	MYH9	22.68	BO19SN6	YZ	NOR-SAT180	MYH9	11.76
BN19SN6	YZ	SUP-ELC000	MYH9	17.52	BO19SN6	YZ	SUP-ELC000	MYH9	13.17
BN19SN6	XZ	CHI-CHY28N	MYH10	16.89	BO19SN6	XZ	CHI-CHY28N	MYH10	16.47
BN19SN6	XZ	CHI-TCU067N	MYH10	10.80	BO19SN6	XZ	CHI-TCU067N	MYH10	11.81
BN19SN6	XZ	CHI-TCU071N	MYH10	13.25	BO19SN6	XZ	CHI-TCU071N	MYH10	10.87
BN19SN6	XZ	CHI-TCU101-W	MYH10	8.24	BO19SN6	XZ	CHI-TCU101-W	MYH10	6.00
BN19SN6	XZ	CHI-TCU110-W	MYH10	8.00	BO19SN6	XZ	CHI-TCU110-W	MYH10	8.67
BN19SN6	XZ	CHI-TCU128-N	MYH10	6.93	BO19SN6	XZ	CHI-TCU128-N	MYH10	6.18
BN19SN6	XZ	CHI-WGK-E	MYH10	8.53	BO19SN6	XZ	CHI-WGK-E	MYH10	10.07
BN19SN6	XZ	CHI-WNTE	MYH10	9.39	BO19SN6	XZ	CHI-WNTE	MYH10	9.53
BN19SN6	XZ	DZC-BOL000	MYH10	16.70	BO19SN6	XZ	DZC-BOL000	MYH10	16.29
BN19SN6	XZ	DZC-BOL090	MYH10	21.70	BO19SN6	XZ	DZC-BOL090	MYH10	20.67
BN19SN6	XZ	GAZ-KAR000	MYH10	11.94	BO19SN6	XZ	GAZ-KAR000	MYH10	9.73
BN19SN6	XZ	IMP-ECC092	MYH10	7.43	BO19SN6	XZ	IMP-ECC092	MYH10	7.06
BN19SN6	XZ	IMP-ELC3-140	MYH10	12.25	BO19SN6	XZ	IMP-ELC3-140	MYH10	16.79
BN19SN6	XZ	IMP-ELC6-140	MYH10	10.04	BO19SN6	XZ	IMP-ELC6-140	MYH10	9.09
BN19SN6	XZ	IRP-STU270	MYH10	16.43	BO19SN6	XZ	IRP-STU270	MYH10	16.38
BN19SN6	XZ	KOB-TAK000	MYH10	16.09	BO19SN6	XZ	KOB-TAK000	MYH10	15.19
BN19SN6	XZ	KOC-DZC180	MYH10	10.18	BO19SN6	XZ	KOC-DZC180	MYH10	11.11
BN19SN6	XZ	KOC-GBZ000	MYH10	8.21	BO19SN6	XZ	KOC-GBZ000	MYH10	6.49
BN19SN6	XZ	KOC-YAR060	MYH10	8.65	BO19SN6	XZ	KOC-YAR060	MYH10	8.05
BN19SN6	XZ	LAN-YER270	MYH10	10.96	BO19SN6	XZ	LAN-YER270	MYH10	15.06
BN19SN6	XZ	LOM-BRN000	MYH10	22.56	BO19SN6	XZ	LOM-BRN000	MYH10	23.87
BN19SN6	XZ	LOM-G03090	MYH10	17.53	BO19SN6	XZ	LOM-G03090	MYH10	16.82
BN19SN6	XZ	LOM-HSP000	MYH10	17.04	BO19SN6	XZ	LOM-HSP000	MYH10	17.82
BN19SN6	XZ	NOR-CNP196	MYH10	10.06	BO19SN6	XZ	NOR-CNP196	MYH10	9.44
BN19SN6	XZ	NOR-MUL009	MYH10	17.92	BO19SN6	XZ	NOR-MUL009	MYH10	15.04
BN19SN6	XZ	NOR-MUL279	MYH10	23.71	BO19SN6	XZ	NOR-MUL279	MYH10	27.89
BN19SN6	XZ	NOR-ORR090	MYH10	17.03	BO19SN6	XZ	NOR-ORR090	MYH10	14.30
BN19SN6	XZ	NOR-ORR360	MYH10	25.25	BO19SN6	XZ	NOR-ORR360	MYH10	30.49
BN19SN6	XZ	NOR-SAT180	MYH10	18.60	BO19SN6	XZ	NOR-SAT180	MYH10	21.30
BN19SN6	XZ	NOR-WPI316	MYH10	10.62	BO19SN6	XZ	NOR-WPI316	MYH10	9.38
BN19SN6	YZ	CHI-CHY28N	MYH10	18.85	BO19SN6	YZ	CHI-CHY28N	MYH10	21.00
BN19SN6	YZ	CHI-TCU067N	MYH10	15.85	BO19SN6	YZ	CHI-TCU067N	MYH10	8.53
BN19SN6	YZ	CHI-TCU071N	MYH10	15.50	BO19SN6	YZ	CHI-TCU071N	MYH10	8.33
BN19SN6	YZ	CHI-TCU101-W	MYH10	9.99	BO19SN6	YZ	CHI-TCU101-W	MYH10	4.80
BN19SN6	YZ	CHI-TCU110-W	MYH10	11.26	BO19SN6	YZ	CHI-TCU110-W	MYH10	5.89
BN19SN6	YZ	CHI-TCU128-N	MYH10	7.28	BO19SN6	YZ	CHI-TCU128-N	MYH10	4.32

Tablo C.1 (devam): Mevcut binalara ait yerdeğiştirme talepleri

Bina Adı	Analiz Yönü	İvme Kaydı	MYH Grup No	Δ_d (cm)	Bina Adı	Analiz Yönü	İvme Kaydı	MYH Grup No	Δ_d (cm)
BN19SN6	YZ	CHI-WGK-E	MYH10	10.05	BO19SN6	YZ	CHI-WGK-E	MYH10	5.40
BN19SN6	YZ	CHI-WNTE	MYH10	12.13	BO19SN6	YZ	CHI-WNTE	MYH10	8.68
BN19SN6	YZ	DZC-BOL000	MYH10	20.64	BO19SN6	YZ	DZC-BOL000	MYH10	13.22
BN19SN6	YZ	DZC-BOL090	MYH10	18.52	BO19SN6	YZ	DZC-BOL090	MYH10	23.97
BN19SN6	YZ	GAZ-KAR000	MYH10	17.92	BO19SN6	YZ	GAZ-KAR000	MYH10	8.81
BN19SN6	YZ	IMP-ECC092	MYH10	12.09	BO19SN6	YZ	IMP-ECC092	MYH10	7.62
BN19SN6	YZ	IMP-ELC3-140	MYH10	12.99	BO19SN6	YZ	IMP-ELC3-140	MYH10	12.24
BN19SN6	YZ	IMP-ELC6-140	MYH10	12.25	BO19SN6	YZ	IMP-ELC6-140	MYH10	9.45
BN19SN6	YZ	IRP-STU270	MYH10	19.90	BO19SN6	YZ	IRP-STU270	MYH10	6.20
BN19SN6	YZ	KOB-TAK000	MYH10	17.38	BO19SN6	YZ	KOB-TAK000	MYH10	15.08
BN19SN6	YZ	KOC-DZC180	MYH10	12.12	BO19SN6	YZ	KOC-DZC180	MYH10	8.76
BN19SN6	YZ	KOC-GBZ000	MYH10	11.44	BO19SN6	YZ	KOC-GBZ000	MYH10	6.64
BN19SN6	YZ	KOC-YAR060	MYH10	12.22	BO19SN6	YZ	KOC-YAR060	MYH10	5.19
BN19SN6	YZ	LAN-YER270	MYH10	10.87	BO19SN6	YZ	LAN-YER270	MYH10	12.19
BN19SN6	YZ	LOM-BRN000	MYH10	20.05	BO19SN6	YZ	LOM-BRN000	MYH10	20.49
BN19SN6	YZ	LOM-G03090	MYH10	21.69	BO19SN6	YZ	LOM-G03090	MYH10	10.18
BN19SN6	YZ	LOM-HSP000	MYH10	20.21	BO19SN6	YZ	LOM-HSP000	MYH10	15.47
BN19SN6	YZ	NOR-CNP196	MYH10	13.15	BO19SN6	YZ	NOR-CNP196	MYH10	10.21
BN19SN6	YZ	NOR-MUL009	MYH10	22.99	BO19SN6	YZ	NOR-MUL009	MYH10	11.99
BN19SN6	YZ	NOR-MUL279	MYH10	24.86	BO19SN6	YZ	NOR-MUL279	MYH10	22.92
BN19SN6	YZ	NOR-ORR090	MYH10	16.40	BO19SN6	YZ	NOR-ORR090	MYH10	12.47
BN19SN6	YZ	NOR-ORR360	MYH10	30.02	BO19SN6	YZ	NOR-ORR360	MYH10	24.88
BN19SN6	YZ	NOR-SAT180	MYH10	25.81	BO19SN6	YZ	NOR-SAT180	MYH10	14.42
BN19SN6	YZ	NOR-WPI316	MYH10	16.52	BO19SN6	YZ	NOR-WPI316	MYH10	7.58
BN19SN6	XZ	CHI-CHY28W	MYH11	19.08	BO19SN6	XZ	CHI-CHY28W	MYH11	20.44
BN19SN6	XZ	CHI-CHY101W	MYH11	10.96	BO19SN6	XZ	CHI-CHY101W	MYH11	11.23
BN19SN6	XZ	CHI-TCU063N	MYH11	6.70	BO19SN6	XZ	CHI-TCU063N	MYH11	6.18
BN19SN6	XZ	CHI-TCU072W	MYH11	12.68	BO19SN6	XZ	CHI-TCU072W	MYH11	11.55
BN19SN6	XZ	CHI-TCU74W	MYH11	16.59	BO19SN6	XZ	CHI-TCU74W	MYH11	18.62
BN19SN6	XZ	CHI-TCU128-W	MYH11	4.49	BO19SN6	XZ	CHI-TCU128-W	MYH11	4.16
BN19SN6	XZ	CHI-WGK-N	MYH11	20.71	BO19SN6	XZ	CHI-WGK-N	MYH11	22.48
BN19SN6	XZ	COA-PLE045	MYH11	19.82	BO19SN6	XZ	COA-PLE045	MYH11	19.16
BN19SN6	XZ	DZC-BOL000	MYH11	18.09	BO19SN6	XZ	DZC-BOL000	MYH11	17.53
BN19SN6	XZ	DZC-BOL090	MYH11	22.27	BO19SN6	XZ	DZC-BOL090	MYH11	21.32
BN19SN6	XZ	DZC-DZC180	MYH11	9.90	BO19SN6	XZ	DZC-DZC180	MYH11	8.98
BN19SN6	XZ	GAZ-KAR000	MYH11	12.93	BO19SN6	XZ	GAZ-KAR000	MYH11	10.04
BN19SN6	XZ	GAZ-KAR090	MYH11	11.31	BO19SN6	XZ	GAZ-KAR090	MYH11	11.13
BN19SN6	XZ	IMP-ECC092	MYH11	7.94	BO19SN6	XZ	IMP-ECC092	MYH11	7.19
BN19SN6	XZ	IMP-ECM000	MYH11	10.71	BO19SN6	XZ	IMP-ECM000	MYH11	12.49
BN19SN6	XZ	IMP-ELCD-270	MYH11	9.28	BO19SN6	XZ	IMP-ELCD-270	MYH11	11.29
BN19SN6	XZ	IRP-STU270	MYH11	19.11	BO19SN6	XZ	IRP-STU270	MYH11	18.64
BN19SN6	XZ	KOB-KJM090	MYH11	22.54	BO19SN6	XZ	KOB-KJM090	MYH11	24.53
BN19SN6	XZ	KOC-DZC180	MYH11	10.92	BO19SN6	XZ	KOC-DZC180	MYH11	11.00
BN19SN6	XZ	KOC-GBZ000	MYH11	8.94	BO19SN6	XZ	KOC-GBZ000	MYH11	7.31
BN19SN6	XZ	KOC-YAR060	MYH11	10.11	BO19SN6	XZ	KOC-YAR060	MYH11	10.10
BN19SN6	XZ	LOM-HSP000	MYH11	18.56	BO19SN6	XZ	LOM-HSP000	MYH11	19.88
BN19SN6	XZ	LOM-WVC270	MYH11	15.19	BO19SN6	XZ	LOM-WVC270	MYH11	16.07
BN19SN6	XZ	NOR-CNP196	MYH11	10.49	BO19SN6	XZ	NOR-CNP196	MYH11	9.79
BN19SN6	XZ	NOR-MUL009	MYH11	19.53	BO19SN6	XZ	NOR-MUL009	MYH11	15.80
BN19SN6	XZ	NOR-MUL279	MYH11	25.93	BO19SN6	XZ	NOR-MUL279	MYH11	30.27
BN19SN6	XZ	NOR-ORR360	MYH11	27.27	BO19SN6	XZ	NOR-ORR360	MYH11	33.53
BN19SN6	XZ	NOR-RRS318	MYH11	14.97	BO19SN6	XZ	NOR-RRS318	MYH11	13.78
BN19SN6	XZ	NOR-SAT180	MYH11	21.01	BO19SN6	XZ	NOR-SAT180	MYH11	23.92
BN19SN6	XZ	NPAL-NPS210	MYH11	16.74	BO19SN6	XZ	NPAL-NPS210	MYH11	19.84
BN19SN6	YZ	CHI-CHY28W	MYH11	14.71	BO19SN6	YZ	CHI-CHY28W	MYH11	16.06
BN19SN6	YZ	CHI-CHY101W	MYH11	11.94	BO19SN6	YZ	CHI-CHY101W	MYH11	6.53
BN19SN6	YZ	CHI-TCU063N	MYH11	9.15	BO19SN6	YZ	CHI-TCU063N	MYH11	3.29
BN19SN6	YZ	CHI-TCU072W	MYH11	12.66	BO19SN6	YZ	CHI-TCU072W	MYH11	9.45
BN19SN6	YZ	CHI-TCU74W	MYH11	22.29	BO19SN6	YZ	CHI-TCU74W	MYH11	15.69

Tablo C.1 (devam): Mevcut binalara ait yerdeğiştirme talepleri

Bina Adı	Analiz Yönü	İvme Kaydı	MYH Grup No	Δ_d (cm)	Bina Adı	Analiz Yönü	İvme Kaydı	MYH Grup No	Δ_d (cm)
BN19SN6	YZ	CHI-TCU128-W	MYH11	8.03	BO19SN6	YZ	CHI-TCU128-W	MYH11	2.56
BN19SN6	YZ	CHI-WGK-N	MYH11	28.56	BO19SN6	YZ	CHI-WGK-N	MYH11	14.56
BN19SN6	YZ	COA-PLE045	MYH11	24.86	BO19SN6	YZ	COA-PLE045	MYH11	15.01
BN19SN6	YZ	DZC-BOL000	MYH11	22.34	BO19SN6	YZ	DZC-BOL000	MYH11	14.82
BN19SN6	YZ	DZC-BOL090	MYH11	19.31	BO19SN6	YZ	DZC-BOL090	MYH11	24.94
BN19SN6	YZ	DZC-DZC180	MYH11	15.27	BO19SN6	YZ	DZC-DZC180	MYH11	12.96
BN19SN6	YZ	GAZ-KAR000	MYH11	20.46	BO19SN6	YZ	GAZ-KAR000	MYH11	9.33
BN19SN6	YZ	GAZ-KAR090	MYH11	12.98	BO19SN6	YZ	GAZ-KAR090	MYH11	9.64
BN19SN6	YZ	IMP-ECC092	MYH11	12.71	BO19SN6	YZ	IMP-ECC092	MYH11	8.23
BN19SN6	YZ	IMP-ECM000	MYH11	12.63	BO19SN6	YZ	IMP-ECM000	MYH11	11.87
BN19SN6	YZ	IMP-ELCD-270	MYH11	8.32	BO19SN6	YZ	IMP-ELCD-270	MYH11	7.02
BN19SN6	YZ	IRP-STU270	MYH11	22.32	BO19SN6	YZ	IRP-STU270	MYH11	6.88
BN19SN6	YZ	KOB-KJM090	MYH11	22.33	BO19SN6	YZ	KOB-KJM090	MYH11	22.78
BN19SN6	YZ	KOC-DZC180	MYH11	13.58	BO19SN6	YZ	KOC-DZC180	MYH11	9.63
BN19SN6	YZ	KOC-GBZ000	MYH11	12.41	BO19SN6	YZ	KOC-GBZ000	MYH11	6.97
BN19SN6	YZ	KOC-YAR060	MYH11	13.73	BO19SN6	YZ	KOC-YAR060	MYH11	5.95
BN19SN6	YZ	LOM-HSP000	MYH11	22.28	BO19SN6	YZ	LOM-HSP000	MYH11	16.60
BN19SN6	YZ	LOM-WVC270	MYH11	25.22	BO19SN6	YZ	LOM-WVC270	MYH11	10.41
BN19SN6	YZ	NOR-CNP196	MYH11	15.77	BO19SN6	YZ	NOR-CNP196	MYH11	11.01
BN19SN6	YZ	NOR-MUL009	MYH11	25.17	BO19SN6	YZ	NOR-MUL009	MYH11	12.94
BN19SN6	YZ	NOR-MUL279	MYH11	26.68	BO19SN6	YZ	NOR-MUL279	MYH11	25.66
BN19SN6	YZ	NOR-ORR360	MYH11	32.06	BO19SN6	YZ	NOR-ORR360	MYH11	27.03
BN19SN6	YZ	NOR-RRS318	MYH11	20.56	BO19SN6	YZ	NOR-RRS318	MYH11	11.28
BN19SN6	YZ	NOR-SAT180	MYH11	28.30	BO19SN6	YZ	NOR-SAT180	MYH11	16.63
BN19SN6	YZ	NPAL-NPS210	MYH11	20.72	BO19SN6	YZ	NPAL-NPS210	MYH11	12.26
BN19SN6	XZ	CHI-TCU065N	MYH12	28.69	BO19SN6	XZ	CHI-TCU065N	MYH12	32.98
BN19SN6	XZ	CHI-TCU067W	MYH12	14.79	BO19SN6	XZ	CHI-TCU067W	MYH12	16.09
BN19SN6	XZ	CHI-TCU102-N	MYH12	8.08	BO19SN6	XZ	CHI-TCU102-N	MYH12	7.07
BN19SN6	XZ	DZC-BOL000	MYH12	19.46	BO19SN6	XZ	DZC-BOL000	MYH12	18.67
BN19SN6	XZ	DZC-BOL090	MYH12	22.90	BO19SN6	XZ	DZC-BOL090	MYH12	21.95
BN19SN6	XZ	DZC-DZC180	MYH12	10.73	BO19SN6	XZ	DZC-DZC180	MYH12	9.71
BN19SN6	XZ	GAZ-KAR090	MYH12	12.13	BO19SN6	XZ	GAZ-KAR090	MYH12	12.68
BN19SN6	XZ	IMP-ECC092	MYH12	8.75	BO19SN6	XZ	IMP-ECC092	MYH12	8.14
BN19SN6	XZ	IMP-ELC4-230	MYH12	12.12	BO19SN6	XZ	IMP-ELC4-230	MYH12	15.36
BN19SN6	XZ	IMP-ELCD-270	MYH12	10.43	BO19SN6	XZ	IMP-ELCD-270	MYH12	12.64
BN19SN6	XZ	IRP-STU270	MYH12	21.45	BO19SN6	XZ	IRP-STU270	MYH12	20.75
BN19SN6	XZ	KOC-DZC180	MYH12	11.50	BO19SN6	XZ	KOC-DZC180	MYH12	10.62
BN19SN6	XZ	KOC-GBZ000	MYH12	9.72	BO19SN6	XZ	KOC-GBZ000	MYH12	8.22
BN19SN6	XZ	KOC-SKR090	MYH12	5.87	BO19SN6	XZ	KOC-SKR090	MYH12	4.61
BN19SN6	XZ	LAN-YER270	MYH12	13.42	BO19SN6	XZ	LAN-YER270	MYH12	19.57
BN19SN6	XZ	LOM-BRN000	MYH12	25.46	BO19SN6	XZ	LOM-BRN000	MYH12	26.93
BN19SN6	XZ	LOM-WVC270	MYH12	17.05	BO19SN6	XZ	LOM-WVC270	MYH12	18.14
BN19SN6	XZ	NOR-CNP196	MYH12	11.15	BO19SN6	XZ	NOR-CNP196	MYH12	11.08
BN19SN6	XZ	NOR-MUL009	MYH12	21.28	BO19SN6	XZ	NOR-MUL009	MYH12	16.13
BN19SN6	XZ	NOR-MUL279	MYH12	28.13	BO19SN6	XZ	NOR-MUL279	MYH12	32.59
BN19SN6	XZ	NOR-NEW090	MYH12	14.26	BO19SN6	XZ	NOR-NEW090	MYH12	14.24
BN19SN6	XZ	NOR-PAR-L	MYH12	25.05	BO19SN6	XZ	NOR-PAR-L	MYH12	30.06
BN19SN6	XZ	NOR-RRS318	MYH12	15.91	BO19SN6	XZ	NOR-RRS318	MYH12	16.42
BN19SN6	XZ	NOR-SAT180	MYH12	23.44	BO19SN6	XZ	NOR-SAT180	MYH12	26.50
BN19SN6	XZ	NOR-SCE288	MYH12	22.56	BO19SN6	XZ	NOR-SCE288	MYH12	23.31
BN19SN6	XZ	NOR-SEP360	MYH12	10.30	BO19SN6	XZ	NOR-SEP360	MYH12	9.78
BN19SN6	XZ	NOR-SYL090	MYH12	18.11	BO19SN6	XZ	NOR-SYL090	MYH12	19.28
BN19SN6	XZ	NOR-TAR360	MYH12	16.79	BO19SN6	XZ	NOR-TAR360	MYH12	27.16
BN19SN6	XZ	NOR-WPI316	MYH12	12.44	BO19SN6	XZ	NOR-WPI316	MYH12	11.06
BN19SN6	XZ	PRK-C02065	MYH12	16.39	BO19SN6	XZ	PRK-C02065	MYH12	22.66
BN19SN6	YZ	CHI-TCU065N	MYH12	34.48	BO19SN6	YZ	CHI-TCU065N	MYH12	18.07
BN19SN6	YZ	CHI-TCU067W	MYH12	17.85	BO19SN6	YZ	CHI-TCU067W	MYH12	14.65
BN19SN6	YZ	CHI-TCU102-N	MYH12	14.77	BO19SN6	YZ	CHI-TCU102-N	MYH12	5.82
BN19SN6	YZ	DZC-BOL000	MYH12	23.95	BO19SN6	YZ	DZC-BOL000	MYH12	16.39

Tablo C.1 (devam): Mevcut binalara ait yerdeğiştirme talepleri

Bina Adı	Analiz Yönü	İvme Kaydı	MYH Grup No	Δ_d (cm)	Bina Adı	Analiz Yönü	İvme Kaydı	MYH Grup No	Δ_d (cm)
BN19SN6	YZ	DZC-BOL090	MYH12	20.20	BO19SN6	YZ	DZC-BOL090	MYH12	25.84
BN19SN6	YZ	DZC-DZC180	MYH12	16.53	BO19SN6	YZ	DZC-DZC180	MYH12	13.47
BN19SN6	YZ	GAZ-KAR090	MYH12	14.01	BO19SN6	YZ	GAZ-KAR090	MYH12	10.59
BN19SN6	YZ	IMP-ECC092	MYH12	13.59	BO19SN6	YZ	IMP-ECC092	MYH12	9.10
BN19SN6	YZ	IMP-ELC4-230	MYH12	18.36	BO19SN6	YZ	IMP-ELC4-230	MYH12	6.04
BN19SN6	YZ	IMP-ELCD-270	MYH12	9.24	BO19SN6	YZ	IMP-ELCD-270	MYH12	8.22
BN19SN6	YZ	IRP-STU270	MYH12	24.86	BO19SN6	YZ	IRP-STU270	MYH12	8.45
BN19SN6	YZ	KOC-DZC180	MYH12	15.10	BO19SN6	YZ	KOC-DZC180	MYH12	10.35
BN19SN6	YZ	KOC-GBZ000	MYH12	13.37	BO19SN6	YZ	KOC-GBZ000	MYH12	7.46
BN19SN6	YZ	KOC-SKR090	MYH12	9.86	BO19SN6	YZ	KOC-SKR090	MYH12	3.64
BN19SN6	YZ	LAN-YER270	MYH12	14.59	BO19SN6	YZ	LAN-YER270	MYH12	15.53
BN19SN6	YZ	LOM-BRN000	MYH12	21.09	BO19SN6	YZ	LOM-BRN000	MYH12	24.37
BN19SN6	YZ	LOM-WVC270	MYH12	27.55	BO19SN6	YZ	LOM-WVC270	MYH12	11.49
BN19SN6	YZ	NOR-CNP196	MYH12	18.67	BO19SN6	YZ	NOR-CNP196	MYH12	11.81
BN19SN6	YZ	NOR-MUL009	MYH12	27.21	BO19SN6	YZ	NOR-MUL009	MYH12	13.97
BN19SN6	YZ	NOR-MUL279	MYH12	28.41	BO19SN6	YZ	NOR-MUL279	MYH12	28.34
BN19SN6	YZ	NOR-NEW090	MYH12	12.26	BO19SN6	YZ	NOR-NEW090	MYH12	15.49
BN19SN6	YZ	NOR-PAR-L	MYH12	30.96	BO19SN6	YZ	NOR-PAR-L	MYH12	22.98
BN19SN6	YZ	NOR-RRS318	MYH12	21.57	BO19SN6	YZ	NOR-RRS318	MYH12	12.24
BN19SN6	YZ	NOR-SAT180	MYH12	30.81	BO19SN6	YZ	NOR-SAT180	MYH12	18.92
BN19SN6	YZ	NOR-SCE288	MYH12	29.11	BO19SN6	YZ	NOR-SCE288	MYH12	15.33
BN19SN6	YZ	NOR-SEP360	MYH12	12.45	BO19SN6	YZ	NOR-SEP360	MYH12	10.46
BN19SN6	YZ	NOR-SYL090	MYH12	25.40	BO19SN6	YZ	NOR-SYL090	MYH12	19.27
BN19SN6	YZ	NOR-TAR360	MYH12	14.87	BO19SN6	YZ	NOR-TAR360	MYH12	21.65
BN19SN6	YZ	NOR-WPI316	MYH12	18.59	BO19SN6	YZ	NOR-WPI316	MYH12	8.94
BN19SN6	YZ	PRK-C02065	MYH12	16.96	BO19SN6	YZ	PRK-C02065	MYH12	20.66
BN20SN6	XZ	CAP-FOR090	MYH1	5.34	BO20SN6	XZ	CAP-FOR090	MYH1	2.02
BN20SN6	XZ	CHI-CHY010-N	MYH1	6.09	BO20SN6	XZ	CHI-CHY010-N	MYH1	3.23
BN20SN6	XZ	CHI-CHY41W	MYH1	8.07	BO20SN6	XZ	CHI-CHY41W	MYH1	4.44
BN20SN6	XZ	CHI-CHY046N	MYH1	8.24	BO20SN6	XZ	CHI-CHY046N	MYH1	3.48
BN20SN6	XZ	CHI-CHY047-E	MYH1	4.48	BO20SN6	XZ	CHI-CHY047-E	MYH1	2.15
BN20SN6	XZ	COA-CAK270	MYH1	9.42	BO20SN6	XZ	COA-CAK270	MYH1	5.82
BN20SN6	XZ	COY-G06320	MYH1	5.24	BO20SN6	XZ	COY-G06320	MYH1	3.74
BN20SN6	XZ	FRI-TMZ000	MYH1	6.02	BO20SN6	XZ	FRI-TMZ000	MYH1	2.93
BN20SN6	XZ	IMP-E12230	MYH1	4.43	BO20SN6	XZ	IMP-E12230	MYH1	2.04
BN20SN6	XZ	IMP-SAH000	MYH1	6.60	BO20SN6	XZ	IMP-SAH000	MYH1	3.16
BN20SN6	XZ	IRP-BIS000	MYH1	2.95	BO20SN6	XZ	IRP-BIS000	MYH1	1.94
BN20SN6	XZ	KOC-IZM180	MYH1	6.66	BO20SN6	XZ	KOC-IZM180	MYH1	2.98
BN20SN6	XZ	LAN-ABY090	MYH1	6.27	BO20SN6	XZ	LAN-ABY090	MYH1	2.42
BN20SN6	XZ	LAN-DSP000	MYH1	5.94	BO20SN6	XZ	LAN-DSP000	MYH1	3.17
BN20SN6	XZ	LIV-DVD246	MYH1	4.34	BO20SN6	XZ	LIV-DVD246	MYH1	2.56
BN20SN6	XZ	LOM-BRK090	MYH1	7.28	BO20SN6	XZ	LOM-BRK090	MYH1	3.92
BN20SN6	XZ	LOM-CLD285	MYH1	5.60	BO20SN6	XZ	LOM-CLD285	MYH1	3.19
BN20SN6	XZ	LOM-GGV337	MYH1	3.95	BO20SN6	XZ	LOM-GGV337	MYH1	3.47
BN20SN6	XZ	NOR-CWC270	MYH1	8.08	BO20SN6	XZ	NOR-CWC270	MYH1	3.67
BN20SN6	XZ	NOR-LOS090	MYH1	6.12	BO20SN6	XZ	NOR-LOS090	MYH1	4.87
BN20SN6	XZ	NOR-LOS360	MYH1	6.43	BO20SN6	XZ	NOR-LOS360	MYH1	5.96
BN20SN6	XZ	PRK-CHO355	MYH1	4.87	BO20SN6	XZ	PRK-CHO355	MYH1	3.26
BN20SN6	XZ	PRK-TMB205	MYH1	5.46	BO20SN6	XZ	PRK-TMB205	MYH1	2.93
BN20SN6	XZ	SUP-PLS135	MYH1	4.82	BO20SN6	XZ	SUP-PLS135	MYH1	3.22
BN20SN6	XZ	TAB-DAY-LN	MYH1	6.13	BO20SN6	XZ	TAB-DAY-LN	MYH1	3.19
BN20SN6	XZ	VIC-CPE315	MYH1	6.46	BO20SN6	XZ	VIC-CPE315	MYH1	3.74
BN20SN6	XZ	WHI-ALH180	MYH1	9.48	BO20SN6	XZ	WHI-ALH180	MYH1	4.09
BN20SN6	XZ	WHI-GRN180	MYH1	7.35	BO20SN6	XZ	WHI-GRN180	MYH1	5.77
BN20SN6	XZ	WHI-OBR360	MYH1	7.76	BO20SN6	XZ	WHI-OBR360	MYH1	3.83
BN20SN6	YZ	CAP-FOR090	MYH1	5.74	BO20SN6	YZ	CAP-FOR090	MYH1	4.05
BN20SN6	YZ	CHI-CHY010-N	MYH1	6.24	BO20SN6	YZ	CHI-CHY010-N	MYH1	4.66
BN20SN6	YZ	CHI-CHY41W	MYH1	8.53	BO20SN6	YZ	CHI-CHY41W	MYH1	4.70
BN20SN6	YZ	CHI-CHY046N	MYH1	7.40	BO20SN6	YZ	CHI-CHY046N	MYH1	3.87

Tablo C.1 (devam): Mevcut binalara ait yerdeğiştirme talepleri

Bina Adı	Analiz Yönü	İvme Kaydı	MYH Grup No	Δ_d (cm)	Bina Adı	Analiz Yönü	İvme Kaydı	MYH Grup No	Δ_d (cm)
BN20SN6	YZ	CHI-CHY047-E	MYH1	3.83	BO20SN6	YZ	CHI-CHY047-E	MYH1	3.26
BN20SN6	YZ	COA-CAK270	MYH1	9.97	BO20SN6	YZ	COA-CAK270	MYH1	6.34
BN20SN6	YZ	COY-G06320	MYH1	4.48	BO20SN6	YZ	COY-G06320	MYH1	3.96
BN20SN6	YZ	FRI-TMZ000	MYH1	6.44	BO20SN6	YZ	FRI-TMZ000	MYH1	3.89
BN20SN6	YZ	IMP-E12230	MYH1	3.35	BO20SN6	YZ	IMP-E12230	MYH1	2.61
BN20SN6	YZ	IMP-SAH000	MYH1	6.47	BO20SN6	YZ	IMP-SAH000	MYH1	3.52
BN20SN6	YZ	IRP-BIS000	MYH1	2.91	BO20SN6	YZ	IRP-BIS000	MYH1	2.21
BN20SN6	YZ	KOC-IZM180	MYH1	5.44	BO20SN6	YZ	KOC-IZM180	MYH1	4.68
BN20SN6	YZ	LAN-ABY090	MYH1	5.46	BO20SN6	YZ	LAN-ABY090	MYH1	3.14
BN20SN6	YZ	LAN-DSP000	MYH1	4.59	BO20SN6	YZ	LAN-DSP000	MYH1	3.18
BN20SN6	YZ	LIV-DVD246	MYH1	3.89	BO20SN6	YZ	LIV-DVD246	MYH1	2.73
BN20SN6	YZ	LOM-BRK090	MYH1	7.68	BO20SN6	YZ	LOM-BRK090	MYH1	5.37
BN20SN6	YZ	LOM-CLD285	MYH1	6.46	BO20SN6	YZ	LOM-CLD285	MYH1	3.92
BN20SN6	YZ	LOM-GGV337	MYH1	4.10	BO20SN6	YZ	LOM-GGV337	MYH1	4.19
BN20SN6	YZ	NOR-CWC270	MYH1	6.25	BO20SN6	YZ	NOR-CWC270	MYH1	5.53
BN20SN6	YZ	NOR-LOS090	MYH1	6.65	BO20SN6	YZ	NOR-LOS090	MYH1	4.63
BN20SN6	YZ	NOR-LOS360	MYH1	6.90	BO20SN6	YZ	NOR-LOS360	MYH1	6.53
BN20SN6	YZ	PRK-CHO355	MYH1	5.73	BO20SN6	YZ	PRK-CHO355	MYH1	3.78
BN20SN6	YZ	PRK-TMB205	MYH1	4.59	BO20SN6	YZ	PRK-TMB205	MYH1	3.03
BN20SN6	YZ	SUP-PLS135	MYH1	3.74	BO20SN6	YZ	SUP-PLS135	MYH1	4.42
BN20SN6	YZ	TAB-DAY-LN	MYH1	6.64	BO20SN6	YZ	TAB-DAY-LN	MYH1	4.25
BN20SN6	YZ	VIC-CPE315	MYH1	7.52	BO20SN6	YZ	VIC-CPE315	MYH1	3.93
BN20SN6	YZ	WHI-ALH180	MYH1	7.34	BO20SN6	YZ	WHI-ALH180	MYH1	4.09
BN20SN6	YZ	WHI-GRN180	MYH1	8.62	BO20SN6	YZ	WHI-GRN180	MYH1	6.31
BN20SN6	YZ	WHI-OBK360	MYH1	7.61	BO20SN6	YZ	WHI-OBK360	MYH1	5.11
BN20SN6	XZ	CHI-TCU141-N	MYH2	4.09	BO20SN6	XZ	CHI-TCU141-N	MYH2	1.76
BN20SN6	XZ	COA-PV1090	MYH2	11.15	BO20SN6	XZ	COA-PV1090	MYH2	4.74
BN20SN6	XZ	COA-Z14090	MYH2	12.10	BO20SN6	XZ	COA-Z14090	MYH2	8.72
BN20SN6	XZ	COY-G02140	MYH2	10.14	BO20SN6	XZ	COY-G02140	MYH2	5.74
BN20SN6	XZ	COY-G03140	MYH2	8.00	BO20SN6	XZ	COY-G03140	MYH2	5.40
BN20SN6	XZ	IMP-AER315	MYH2	6.34	BO20SN6	XZ	IMP-AER315	MYH2	4.11
BN20SN6	XZ	IMP-DLT262	MYH2	7.72	BO20SN6	XZ	IMP-DLT262	MYH2	4.34
BN20SN6	XZ	KOB-KAK090	MYH2	8.18	BO20SN6	XZ	KOB-KAK090	MYH2	4.29
BN20SN6	XZ	KOB-SHI090	MYH2	7.18	BO20SN6	XZ	KOB-SHI090	MYH2	5.71
BN20SN6	XZ	LAN-CLVLN	MYH2	6.40	BO20SN6	XZ	LAN-CLVLN	MYH2	5.26
BN20SN6	XZ	LAN-JOS000	MYH2	10.86	BO20SN6	XZ	LAN-JOS000	MYH2	5.38
BN20SN6	XZ	LOM-CAP090	MYH2	8.06	BO20SN6	XZ	LOM-CAP090	MYH2	6.77
BN20SN6	XZ	LOM-GGV067	MYH2	6.43	BO20SN6	XZ	LOM-GGV067	MYH2	3.87
BN20SN6	XZ	LOM-HSP090	MYH2	8.58	BO20SN6	XZ	LOM-HSP090	MYH2	4.28
BN20SN6	XZ	LOM-SFO000	MYH2	8.53	BO20SN6	XZ	LOM-SFO000	MYH2	4.22
BN20SN6	XZ	LOM-SFO090	MYH2	9.77	BO20SN6	XZ	LOM-SFO090	MYH2	6.84
BN20SN6	XZ	LOM-WAH000	MYH2	10.58	BO20SN6	XZ	LOM-WAH000	MYH2	5.54
BN20SN6	XZ	MAM-LUL000	MYH2	6.81	BO20SN6	XZ	MAM-LUL000	MYH2	4.05
BN20SN6	XZ	MOR-AND250	MYH2	5.02	BO20SN6	XZ	MOR-AND250	MYH2	3.48
BN20SN6	XZ	MOR-AND340	MYH2	10.13	BO20SN6	XZ	MOR-AND340	MYH2	7.77
BN20SN6	XZ	NOR-CHL160	MYH2	8.91	BO20SN6	XZ	NOR-CHL160	MYH2	7.01
BN20SN6	XZ	NOR-CWC180	MYH2	8.37	BO20SN6	XZ	NOR-CWC180	MYH2	4.63
BN20SN6	XZ	NOR-SAT090	MYH2	8.02	BO20SN6	XZ	NOR-SAT090	MYH2	7.18
BN20SN6	XZ	NPAL-DSP000	MYH2	10.59	BO20SN6	XZ	NPAL-DSP000	MYH2	6.63
BN20SN6	XZ	PRK-CHO085	MYH2	5.18	BO20SN6	XZ	PRK-CHO085	MYH2	3.32
BN20SN6	XZ	SFD-ORR291	MYH2	8.14	BO20SN6	XZ	SFD-ORR291	MYH2	4.32
BN20SN6	XZ	SPI-GUK000	MYH2	8.13	BO20SN6	XZ	SPI-GUK000	MYH2	4.18
BN20SN6	XZ	TAB-DAY-TR	MYH2	9.71	BO20SN6	XZ	TAB-DAY-TR	MYH2	6.46
BN20SN6	XZ	WES-PTS315	MYH2	9.15	BO20SN6	XZ	WES-PTS315	MYH2	6.64
BN20SN6	XZ	WHI-DEL000	MYH2	9.17	BO20SN6	XZ	WHI-DEL000	MYH2	5.65
BN20SN6	XZ	WHI-DWN180	MYH2	11.26	BO20SN6	XZ	WHI-DWN180	MYH2	7.92
BN20SN6	YZ	CHI-TCU141-N	MYH2	4.28	BO20SN6	YZ	CHI-TCU141-N	MYH2	2.51
BN20SN6	YZ	COA-PV1090	MYH2	9.87	BO20SN6	YZ	COA-PV1090	MYH2	8.07
BN20SN6	YZ	COA-Z14090	MYH2	12.44	BO20SN6	YZ	COA-Z14090	MYH2	9.11

Tablo C.1 (devam): Mevcut binalara ait yerdeğiştirme talepleri

Bina Adı	Analiz Yönü	İvme Kaydı	MYH Grup No	Δ_d (cm)	Bina Adı	Analiz Yönü	İvme Kaydı	MYH Grup No	Δ_d (cm)
BN20SN6	YZ	COY-G02140	MYH2	9.70	BO20SN6	YZ	COY-G02140	MYH2	7.47
BN20SN6	YZ	COY-G03140	MYH2	8.02	BO20SN6	YZ	COY-G03140	MYH2	6.66
BN20SN6	YZ	IMP-AER315	MYH2	6.37	BO20SN6	YZ	IMP-AER315	MYH2	4.46
BN20SN6	YZ	IMP-DLT262	MYH2	8.40	BO20SN6	YZ	IMP-DLT262	MYH2	6.26
BN20SN6	YZ	KOB-KAK090	MYH2	5.36	BO20SN6	YZ	KOB-KAK090	MYH2	4.43
BN20SN6	YZ	KOB-SHI090	MYH2	8.06	BO20SN6	YZ	KOB-SHI090	MYH2	6.51
BN20SN6	YZ	LAN-CLVLN	MYH2	7.77	BO20SN6	YZ	LAN-CLVLN	MYH2	5.50
BN20SN6	YZ	LAN-JOS000	MYH2	9.71	BO20SN6	YZ	LAN-JOS000	MYH2	6.71
BN20SN6	YZ	LOM-CAP090	MYH2	9.03	BO20SN6	YZ	LOM-CAP090	MYH2	6.54
BN20SN6	YZ	LOM-GGV067	MYH2	5.80	BO20SN6	YZ	LOM-GGV067	MYH2	4.86
BN20SN6	YZ	LOM-HSP090	MYH2	6.80	BO20SN6	YZ	LOM-HSP090	MYH2	5.17
BN20SN6	YZ	LOM-SFO000	MYH2	9.00	BO20SN6	YZ	LOM-SFO000	MYH2	5.84
BN20SN6	YZ	LOM-SFO090	MYH2	12.17	BO20SN6	YZ	LOM-SFO090	MYH2	7.43
BN20SN6	YZ	LOM-WAH000	MYH2	10.95	BO20SN6	YZ	LOM-WAH000	MYH2	6.69
BN20SN6	YZ	MAM-LUL000	MYH2	6.68	BO20SN6	YZ	MAM-LUL000	MYH2	4.67
BN20SN6	YZ	MOR-AND250	MYH2	6.09	BO20SN6	YZ	MOR-AND250	MYH2	5.21
BN20SN6	YZ	MOR-AND340	MYH2	12.31	BO20SN6	YZ	MOR-AND340	MYH2	6.66
BN20SN6	YZ	NOR-CHL160	MYH2	9.97	BO20SN6	YZ	NOR-CHL160	MYH2	7.48
BN20SN6	YZ	NOR-CWC180	MYH2	5.95	BO20SN6	YZ	NOR-CWC180	MYH2	5.71
BN20SN6	YZ	NOR-SAT090	MYH2	8.48	BO20SN6	YZ	NOR-SAT090	MYH2	8.17
BN20SN6	YZ	NPAL-DSP000	MYH2	9.26	BO20SN6	YZ	NPAL-DSP000	MYH2	7.91
BN20SN6	YZ	PRK-CHO085	MYH2	4.15	BO20SN6	YZ	PRK-CHO085	MYH2	4.30
BN20SN6	YZ	SFD-ORR291	MYH2	8.62	BO20SN6	YZ	SFD-ORR291	MYH2	4.77
BN20SN6	YZ	SPI-GUK000	MYH2	9.12	BO20SN6	YZ	SPI-GUK000	MYH2	6.47
BN20SN6	YZ	TAB-DAY-TR	MYH2	7.12	BO20SN6	YZ	TAB-DAY-TR	MYH2	6.02
BN20SN6	YZ	WES-PTS315	MYH2	9.85	BO20SN6	YZ	WES-PTS315	MYH2	7.73
BN20SN6	YZ	WHI-DEL000	MYH2	9.83	BO20SN6	YZ	WHI-DEL000	MYH2	6.17
BN20SN6	YZ	WHI-DWN180	MYH2	11.07	BO20SN6	YZ	WHI-DWN180	MYH2	7.21
BN20SN6	XZ	CAP-FOR000	MYH3	5.56	BO20SN6	XZ	CAP-FOR000	MYH3	3.04
BN20SN6	XZ	CHI-CHY29W	MYH3	9.89	BO20SN6	XZ	CHI-CHY29W	MYH3	6.83
BN20SN6	XZ	CHI-TCU046N	MYH3	5.91	BO20SN6	XZ	CHI-TCU046N	MYH3	2.04
BN20SN6	XZ	CHI-TCU112-N	MYH3	4.12	BO20SN6	XZ	CHI-TCU112-N	MYH3	1.52
BN20SN6	XZ	CHI-TCU118-N	MYH3	4.03	BO20SN6	XZ	CHI-TCU118-N	MYH3	2.72
BN20SN6	XZ	FRI-TMZ270	MYH3	7.75	BO20SN6	XZ	FRI-TMZ270	MYH3	6.99
BN20SN6	XZ	IMP-ELC2-140	MYH3	7.25	BO20SN6	XZ	IMP-ELC2-140	MYH3	4.95
BN20SN6	XZ	IMP-ELC11-140	MYH3	6.87	BO20SN6	XZ	IMP-ELC11-140	MYH3	4.23
BN20SN6	XZ	IMP-SAH270	MYH3	7.63	BO20SN6	XZ	IMP-SAH270	MYH3	4.92
BN20SN6	XZ	KOC-AMB090	MYH3	12.84	BO20SN6	XZ	KOC-AMB090	MYH3	8.32
BN20SN6	XZ	KOC-GBZ270	MYH3	4.65	BO20SN6	XZ	KOC-GBZ270	MYH3	2.13
BN20SN6	XZ	KOC-IZM090	MYH3	7.76	BO20SN6	XZ	KOC-IZM090	MYH3	5.28
BN20SN6	XZ	LAN-LUC000	MYH3	7.83	BO20SN6	XZ	LAN-LUC000	MYH3	4.29
BN20SN6	XZ	LAN-YER360	MYH3	8.80	BO20SN6	XZ	LAN-YER360	MYH3	3.02
BN20SN6	XZ	LOM-A02133	MYH3	13.55	BO20SN6	XZ	LOM-A02133	MYH3	8.66
BN20SN6	XZ	LOM-G01000	MYH3	3.77	BO20SN6	XZ	LOM-G01000	MYH3	3.22
BN20SN6	XZ	LOM-G01090	MYH3	9.36	BO20SN6	XZ	LOM-G01090	MYH3	5.30
BN20SN6	XZ	LOM-G02000	MYH3	8.65	BO20SN6	XZ	LOM-G02000	MYH3	8.54
BN20SN6	XZ	LOM-TRI090	MYH3	7.10	BO20SN6	XZ	LOM-TRI090	MYH3	7.13
BN20SN6	XZ	MAM-LUL090	MYH3	11.76	BO20SN6	XZ	MAM-LUL090	MYH3	8.89
BN20SN6	XZ	NOR-CNP106	MYH3	10.76	BO20SN6	XZ	NOR-CNP106	MYH3	9.09
BN20SN6	XZ	NOR-PAC265	MYH3	10.10	BO20SN6	XZ	NOR-PAC265	MYH3	5.70
BN20SN6	XZ	NOR-PKC090	MYH3	10.18	BO20SN6	XZ	NOR-PKC090	MYH3	8.10
BN20SN6	XZ	NOR-WIL180	MYH3	11.82	BO20SN6	XZ	NOR-WIL180	MYH3	8.05
BN20SN6	XZ	NPAL-MVH045	MYH3	11.53	BO20SN6	XZ	NPAL-MVH045	MYH3	7.07
BN20SN6	XZ	NPAL-NPS300	MYH3	8.65	BO20SN6	XZ	NPAL-NPS300	MYH3	5.60
BN20SN6	XZ	NPAL-WWT270	MYH3	8.34	BO20SN6	XZ	NPAL-WWT270	MYH3	7.07
BN20SN6	XZ	SUP-IVW090	MYH3	5.31	BO20SN6	XZ	SUP-IVW090	MYH3	3.78
BN20SN6	XZ	SUP-IVW360	MYH3	10.45	BO20SN6	XZ	SUP-IVW360	MYH3	5.12
BN20SN6	XZ	SUP-KRN360	MYH3	8.71	BO20SN6	XZ	SUP-KRN360	MYH3	3.89
BN20SN6	XZ	SUP-POE360	MYH3	7.24	BO20SN6	XZ	SUP-POE360	MYH3	4.61

Tablo C.1 (devam): Mevcut binalara ait yerdeğiştirme talepleri

Bina Adı	Analiz Yönü	İvme Kaydı	MYH Grup No	Δ_d (cm)	Bina Adı	Analiz Yönü	İvme Kaydı	MYH Grup No	Δ_d (cm)
BN20SN6	XZ	SUP-SUP045	MYH3	7.11	BO20SN6	XZ	SUP-SUP045	MYH3	5.14
BN20SN6	XZ	VIC-CPE045	MYH3	14.44	BO20SN6	XZ	VIC-CPE045	MYH3	10.09
BN20SN6	XZ	WHI-OR2010	MYH3	11.69	BO20SN6	XZ	WHI-OR2010	MYH3	7.53
BN20SN6	YZ	CAP-FOR000	MYH3	5.50	BO20SN6	YZ	CAP-FOR000	MYH3	4.24
BN20SN6	YZ	CHI-CHY29W	MYH3	9.33	BO20SN6	YZ	CHI-CHY29W	MYH3	7.66
BN20SN6	YZ	CHI-TCU046N	MYH3	4.75	BO20SN6	YZ	CHI-TCU046N	MYH3	2.79
BN20SN6	YZ	CHI-TCU112-N	MYH3	3.24	BO20SN6	YZ	CHI-TCU112-N	MYH3	2.29
BN20SN6	YZ	CHI-TCU118-N	MYH3	4.57	BO20SN6	YZ	CHI-TCU118-N	MYH3	2.87
BN20SN6	YZ	FRI-TMZ270	MYH3	8.49	BO20SN6	YZ	FRI-TMZ270	MYH3	7.55
BN20SN6	YZ	IMP-ELC2-140	MYH3	6.88	BO20SN6	YZ	IMP-ELC2-140	MYH3	6.64
BN20SN6	YZ	IMP-ELC11-140	MYH3	6.76	BO20SN6	YZ	IMP-ELC11-140	MYH3	5.35
BN20SN6	YZ	IMP-SAH270	MYH3	8.03	BO20SN6	YZ	IMP-SAH270	MYH3	5.40
BN20SN6	YZ	KOC-AMB090	MYH3	11.22	BO20SN6	YZ	KOC-AMB090	MYH3	11.23
BN20SN6	YZ	KOC-GBZ270	MYH3	3.71	BO20SN6	YZ	KOC-GBZ270	MYH3	2.32
BN20SN6	YZ	KOC-IZM090	MYH3	6.05	BO20SN6	YZ	KOC-IZM090	MYH3	5.47
BN20SN6	YZ	LAN-LUC000	MYH3	7.13	BO20SN6	YZ	LAN-LUC000	MYH3	3.91
BN20SN6	YZ	LAN-YER360	MYH3	6.77	BO20SN6	YZ	LAN-YER360	MYH3	3.95
BN20SN6	YZ	LOM-A02133	MYH3	12.05	BO20SN6	YZ	LOM-A02133	MYH3	10.13
BN20SN6	YZ	LOM-G01000	MYH3	3.83	BO20SN6	YZ	LOM-G01000	MYH3	4.17
BN20SN6	YZ	LOM-G01090	MYH3	7.82	BO20SN6	YZ	LOM-G01090	MYH3	6.07
BN20SN6	YZ	LOM-G02000	MYH3	8.78	BO20SN6	YZ	LOM-G02000	MYH3	9.20
BN20SN6	YZ	LOM-TRI090	MYH3	8.37	BO20SN6	YZ	LOM-TRI090	MYH3	8.12
BN20SN6	YZ	MAM-LUL090	MYH3	11.15	BO20SN6	YZ	MAM-LUL090	MYH3	11.44
BN20SN6	YZ	NOR-CNP106	MYH3	12.53	BO20SN6	YZ	NOR-CNP106	MYH3	9.65
BN20SN6	YZ	NOR-PAC265	MYH3	8.07	BO20SN6	YZ	NOR-PAC265	MYH3	7.63
BN20SN6	YZ	NOR-PKC090	MYH3	12.45	BO20SN6	YZ	NOR-PKC090	MYH3	8.69
BN20SN6	YZ	NOR-WIL180	MYH3	11.34	BO20SN6	YZ	NOR-WIL180	MYH3	9.33
BN20SN6	YZ	NPAL-MVH045	MYH3	9.60	BO20SN6	YZ	NPAL-MVH045	MYH3	9.12
BN20SN6	YZ	NPAL-NPS300	MYH3	7.81	BO20SN6	YZ	NPAL-NPS300	MYH3	7.17
BN20SN6	YZ	NPAL-WWT270	MYH3	7.76	BO20SN6	YZ	NPAL-WWT270	MYH3	7.97
BN20SN6	YZ	SUP-IVW090	MYH3	5.42	BO20SN6	YZ	SUP-IVW090	MYH3	3.67
BN20SN6	YZ	SUP-IVW360	MYH3	8.48	BO20SN6	YZ	SUP-IVW360	MYH3	6.65
BN20SN6	YZ	SUP-KRN360	MYH3	7.20	BO20SN6	YZ	SUP-KRN360	MYH3	5.27
BN20SN6	YZ	SUP-POE360	MYH3	7.67	BO20SN6	YZ	SUP-POE360	MYH3	4.48
BN20SN6	YZ	SUP-SUP045	MYH3	6.93	BO20SN6	YZ	SUP-SUP045	MYH3	6.17
BN20SN6	YZ	VIC-CPE045	MYH3	12.19	BO20SN6	YZ	VIC-CPE045	MYH3	12.76
BN20SN6	YZ	WHI-OR2010	MYH3	12.51	BO20SN6	YZ	WHI-OR2010	MYH3	7.67
BN20SN6	XZ	CHI-CHY29N	MYH4	10.47	BO20SN6	XZ	CHI-CHY29N	MYH4	6.67
BN20SN6	XZ	CHI-CHY036W	MYH4	12.76	BO20SN6	XZ	CHI-CHY036W	MYH4	9.11
BN20SN6	XZ	CHI-CHY41N	MYH4	9.00	BO20SN6	XZ	CHI-CHY41N	MYH4	7.04
BN20SN6	XZ	CHI-TCU45N	MYH4	11.60	BO20SN6	XZ	CHI-TCU45N	MYH4	6.62
BN20SN6	XZ	CHI-TCU45W	MYH4	8.83	BO20SN6	XZ	CHI-TCU45W	MYH4	7.87
BN20SN6	XZ	CHI-TCU51N	MYH4	6.85	BO20SN6	XZ	CHI-TCU51N	MYH4	6.01
BN20SN6	XZ	COA-PLI135	MYH4	12.23	BO20SN6	XZ	COA-PLI135	MYH4	7.31
BN20SN6	XZ	IMP-BRA225	MYH4	6.04	BO20SN6	XZ	IMP-BRA225	MYH4	1.67
BN20SN6	XZ	IMP-BRA315	MYH4	7.36	BO20SN6	XZ	IMP-BRA315	MYH4	5.49
BN20SN6	XZ	IMP-ECC002	MYH4	10.44	BO20SN6	XZ	IMP-ECC002	MYH4	6.50
BN20SN6	XZ	IMP-ELC4-140	MYH4	14.56	BO20SN6	XZ	IMP-ELC4-140	MYH4	13.95
BN20SN6	XZ	IRP-STU000	MYH4	7.45	BO20SN6	XZ	IRP-STU000	MYH4	5.59
BN20SN6	XZ	KOB-NIS000	MYH4	8.49	BO20SN6	XZ	KOB-NIS000	MYH4	5.94
BN20SN6	XZ	KOB-NIS090	MYH4	8.91	BO20SN6	XZ	KOB-NIS090	MYH4	7.63
BN20SN6	XZ	KOB-SHI000	MYH4	11.82	BO20SN6	XZ	KOB-SHI000	MYH4	6.16
BN20SN6	XZ	KOC-ARC090	MYH4	3.73	BO20SN6	XZ	KOC-ARC090	MYH4	2.58
BN20SN6	XZ	LOM-G02090	MYH4	13.64	BO20SN6	XZ	LOM-G02090	MYH4	8.54
BN20SN6	XZ	LOM-G03000	MYH4	7.73	BO20SN6	XZ	LOM-G03000	MYH4	5.45
BN20SN6	XZ	LOM-HDA255	MYH4	11.09	BO20SN6	XZ	LOM-HDA255	MYH4	9.45
BN20SN6	XZ	LOM-SVL360	MYH4	8.26	BO20SN6	XZ	LOM-SVL360	MYH4	3.76
BN20SN6	XZ	MOR-G06090	MYH4	13.39	BO20SN6	XZ	MOR-G06090	MYH4	7.86
BN20SN6	XZ	MOR-HAL240	MYH4	11.18	BO20SN6	XZ	MOR-HAL240	MYH4	10.53

Tablo C.1 (devam): Mevcut binalara ait yerdeğiştirme talepleri

Bina Adı	Analiz Yönü	İvme Kaydı	MYH Grup No	Δ_d (cm)	Bina Adı	Analiz Yönü	İvme Kaydı	MYH Grup No	Δ_d (cm)
BN20SN6	XZ	NOR-KAT090	MYH4	13.37	BO20SN6	XZ	NOR-KAT090	MYH4	7.63
BN20SN6	XZ	NOR-SCR090	MYH4	8.18	BO20SN6	XZ	NOR-SCR090	MYH4	4.70
BN20SN6	XZ	NOR-STN020	MYH4	10.93	BO20SN6	XZ	NOR-STN020	MYH4	8.33
BN20SN6	XZ	NPAL-WWT180	MYH4	8.85	BO20SN6	XZ	NPAL-WWT180	MYH4	7.49
BN20SN6	XZ	SUP-POE270	MYH4	8.01	BO20SN6	XZ	SUP-POE270	MYH4	7.30
BN20SN6	XZ	WES-PTS225	MYH4	6.47	BO20SN6	XZ	WES-PTS225	MYH4	5.32
BN20SN6	XZ	WHI-BIR180	MYH4	12.32	BO20SN6	XZ	WHI-BIR180	MYH4	9.02
BN20SN6	XZ	WHI-EJS048	MYH4	9.80	BO20SN6	XZ	WHI-EJS048	MYH4	5.93
BN20SN6	YZ	CHI-CHY29N	MYH4	10.43	BO20SN6	YZ	CHI-CHY29N	MYH4	5.99
BN20SN6	YZ	CHI-CHY036W	MYH4	11.84	BO20SN6	YZ	CHI-CHY036W	MYH4	10.60
BN20SN6	YZ	CHI-CHY41N	MYH4	9.67	BO20SN6	YZ	CHI-CHY41N	MYH4	7.97
BN20SN6	YZ	CHI-TCU45N	MYH4	12.59	BO20SN6	YZ	CHI-TCU45N	MYH4	7.52
BN20SN6	YZ	CHI-TCU45W	MYH4	8.47	BO20SN6	YZ	CHI-TCU45W	MYH4	7.94
BN20SN6	YZ	CHI-TCU51N	MYH4	7.38	BO20SN6	YZ	CHI-TCU51N	MYH4	6.68
BN20SN6	YZ	COA-PLE135	MYH4	12.38	BO20SN6	YZ	COA-PLE135	MYH4	8.42
BN20SN6	YZ	IMP-BRA225	MYH4	4.47	BO20SN6	YZ	IMP-BRA225	MYH4	2.78
BN20SN6	YZ	IMP-BRA315	MYH4	6.25	BO20SN6	YZ	IMP-BRA315	MYH4	5.80
BN20SN6	YZ	IMP-ECC002	MYH4	9.64	BO20SN6	YZ	IMP-ECC002	MYH4	10.31
BN20SN6	YZ	IMP-ELC4-140	MYH4	14.10	BO20SN6	YZ	IMP-ELC4-140	MYH4	14.58
BN20SN6	YZ	IRP-STU000	MYH4	7.40	BO20SN6	YZ	IRP-STU000	MYH4	7.82
BN20SN6	YZ	KOB-NIS000	MYH4	10.66	BO20SN6	YZ	KOB-NIS000	MYH4	6.56
BN20SN6	YZ	KOB-NIS090	MYH4	10.72	BO20SN6	YZ	KOB-NIS090	MYH4	7.28
BN20SN6	YZ	KOB-SHI000	MYH4	13.68	BO20SN6	YZ	KOB-SHI000	MYH4	6.62
BN20SN6	YZ	KOC-ARC090	MYH4	4.31	BO20SN6	YZ	KOC-ARC090	MYH4	3.10
BN20SN6	YZ	LOM-G02090	MYH4	9.60	BO20SN6	YZ	LOM-G02090	MYH4	11.36
BN20SN6	YZ	LOM-G03000	MYH4	8.26	BO20SN6	YZ	LOM-G03000	MYH4	6.63
BN20SN6	YZ	LOM-HDA255	MYH4	13.39	BO20SN6	YZ	LOM-HDA255	MYH4	10.00
BN20SN6	YZ	LOM-SVL360	MYH4	6.06	BO20SN6	YZ	LOM-SVL360	MYH4	4.91
BN20SN6	YZ	MOR-G06090	MYH4	13.73	BO20SN6	YZ	MOR-G06090	MYH4	8.44
BN20SN6	YZ	MOR-HAL240	MYH4	11.53	BO20SN6	YZ	MOR-HAL240	MYH4	12.36
BN20SN6	YZ	NOR-KAT090	MYH4	15.74	BO20SN6	YZ	NOR-KAT090	MYH4	8.72
BN20SN6	YZ	NOR-SCR090	MYH4	7.86	BO20SN6	YZ	NOR-SCR090	MYH4	6.80
BN20SN6	YZ	NOR-STN020	MYH4	11.89	BO20SN6	YZ	NOR-STN020	MYH4	8.45
BN20SN6	YZ	NPAL-WWT180	MYH4	8.90	BO20SN6	YZ	NPAL-WWT180	MYH4	8.70
BN20SN6	YZ	SUP-POE270	MYH4	8.44	BO20SN6	YZ	SUP-POE270	MYH4	6.08
BN20SN6	YZ	WES-PTS225	MYH4	6.60	BO20SN6	YZ	WES-PTS225	MYH4	4.90
BN20SN6	YZ	WHI-BIR180	MYH4	13.37	BO20SN6	YZ	WHI-BIR180	MYH4	8.54
BN20SN6	YZ	WHI-EJS048	MYH4	9.99	BO20SN6	YZ	WHI-EJS048	MYH4	5.59
BN20SN6	XZ	CAP-RIO270	MYH5	14.92	BO20SN6	XZ	CAP-RIO270	MYH5	10.78
BN20SN6	XZ	CAP-RIO360	MYH5	9.04	BO20SN6	XZ	CAP-RIO360	MYH5	7.89
BN20SN6	XZ	CHI-TCU046W	MYH5	5.44	BO20SN6	XZ	CHI-TCU046W	MYH5	2.07
BN20SN6	XZ	CHI-TCU061N	MYH5	6.90	BO20SN6	XZ	CHI-TCU061N	MYH5	3.14
BN20SN6	XZ	CHI-TCU74N	MYH5	16.01	BO20SN6	XZ	CHI-TCU74N	MYH5	9.47
BN20SN6	XZ	CHI-TCU112-W	MYH5	5.14	BO20SN6	XZ	CHI-TCU112-W	MYH5	1.84
BN20SN6	XZ	CHI-TCU123-W	MYH5	8.73	BO20SN6	XZ	CHI-TCU123-W	MYH5	6.32
BN20SN6	XZ	CHI-TCU141-E	MYH5	6.49	BO20SN6	XZ	CHI-TCU141-E	MYH5	2.17
BN20SN6	XZ	CHI-WNTN	MYH5	13.49	BO20SN6	XZ	CHI-WNTN	MYH5	11.09
BN20SN6	XZ	COA-Z14000	MYH5	14.74	BO20SN6	XZ	COA-Z14000	MYH5	10.35
BN20SN6	XZ	IMP-AER045	MYH5	11.07	BO20SN6	XZ	IMP-AER045	MYH5	4.60
BN20SN6	XZ	IMP-ELC3-230	MYH5	3.88	BO20SN6	XZ	IMP-ELC3-230	MYH5	3.54
BN20SN6	XZ	IMP-ELC11-230	MYH5	6.50	BO20SN6	XZ	IMP-ELC11-230	MYH5	5.68
BN20SN6	XZ	IMP-ELCD-360	MYH5	12.61	BO20SN6	XZ	IMP-ELCD-360	MYH5	12.85
BN20SN6	XZ	KOC-AMB000	MYH5	8.88	BO20SN6	XZ	KOC-AMB000	MYH5	5.40
BN20SN6	XZ	LAN-CLVTR	MYH5	11.04	BO20SN6	XZ	LAN-CLVTR	MYH5	12.97
BN20SN6	XZ	LAN-JOS090	MYH5	12.40	BO20SN6	XZ	LAN-JOS090	MYH5	9.79
BN20SN6	XZ	LOM-CYC285	MYH5	9.57	BO20SN6	XZ	LOM-CYC285	MYH5	8.55
BN20SN6	XZ	LOM-GOF090	MYH5	10.73	BO20SN6	XZ	LOM-GOF090	MYH5	7.01
BN20SN6	XZ	LOM-HDA165	MYH5	9.16	BO20SN6	XZ	LOM-HDA165	MYH5	8.18
BN20SN6	XZ	LOM-SAR000	MYH5	14.32	BO20SN6	XZ	LOM-SAR000	MYH5	11.53

Tablo C.1 (devam): Mevcut binalara ait yerdeğiştirme talepleri

Bina Adı	Analiz Yönü	İvme Kaydı	MYH Grup No	Δ_d (cm)	Bina Adı	Analiz Yönü	İvme Kaydı	MYH Grup No	Δ_d (cm)
BN20SN6	XZ	LOM-SAR090	MYH5	9.45	BO20SN6	XZ	LOM-SAR090	MYH5	4.43
BN20SN6	XZ	NOR-KAT000	MYH5	15.64	BO20SN6	XZ	NOR-KAT000	MYH5	10.36
BN20SN6	XZ	NOR-LOS000	MYH5	12.37	BO20SN6	XZ	NOR-LOS000	MYH5	11.70
BN20SN6	XZ	NOR-MU2035	MYH5	8.82	BO20SN6	XZ	NOR-MU2035	MYH5	5.93
BN20SN6	XZ	NOR-STM090	MYH5	11.16	BO20SN6	XZ	NOR-STM090	MYH5	8.06
BN20SN6	XZ	NPAL-MVH135	MYH5	9.85	BO20SN6	XZ	NPAL-MVH135	MYH5	6.51
BN20SN6	XZ	SUP-ELC090	MYH5	6.56	BO20SN6	XZ	SUP-ELC090	MYH5	4.68
BN20SN6	XZ	SUP-PTS315	MYH5	14.34	BO20SN6	XZ	SUP-PTS315	MYH5	9.70
BN20SN6	XZ	SUP-SUP135	MYH5	12.88	BO20SN6	XZ	SUP-SUP135	MYH5	7.22
BN20SN6	YZ	CAP-RIO270	MYH5	12.96	BO20SN6	YZ	CAP-RIO270	MYH5	12.47
BN20SN6	YZ	CAP-RIO360	MYH5	8.57	BO20SN6	YZ	CAP-RIO360	MYH5	8.00
BN20SN6	YZ	CHI-TCU046W	MYH5	4.04	BO20SN6	YZ	CHI-TCU046W	MYH5	3.60
BN20SN6	YZ	CHI-TCU061N	MYH5	5.92	BO20SN6	YZ	CHI-TCU061N	MYH5	4.43
BN20SN6	YZ	CHI-TCU74N	MYH5	17.19	BO20SN6	YZ	CHI-TCU74N	MYH5	12.83
BN20SN6	YZ	CHI-TCU112-W	MYH5	3.99	BO20SN6	YZ	CHI-TCU112-W	MYH5	2.36
BN20SN6	YZ	CHI-TCU123-W	MYH5	7.46	BO20SN6	YZ	CHI-TCU123-W	MYH5	6.89
BN20SN6	YZ	CHI-TCU141-E	MYH5	6.37	BO20SN6	YZ	CHI-TCU141-E	MYH5	3.90
BN20SN6	YZ	CHI-WNTN	MYH5	13.98	BO20SN6	YZ	CHI-WNTN	MYH5	11.69
BN20SN6	YZ	COA-Z14000	MYH5	14.20	BO20SN6	YZ	COA-Z14000	MYH5	11.86
BN20SN6	YZ	IMP-AER045	MYH5	8.80	BO20SN6	YZ	IMP-AER045	MYH5	6.64
BN20SN6	YZ	IMP-ELC3-230	MYH5	4.09	BO20SN6	YZ	IMP-ELC3-230	MYH5	3.85
BN20SN6	YZ	IMP-ELC11-230	MYH5	7.15	BO20SN6	YZ	IMP-ELC11-230	MYH5	5.77
BN20SN6	YZ	IMP-ELCD-360	MYH5	10.54	BO20SN6	YZ	IMP-ELCD-360	MYH5	15.38
BN20SN6	YZ	KOC-AMB000	MYH5	9.72	BO20SN6	YZ	KOC-AMB000	MYH5	5.56
BN20SN6	YZ	LAN-CLVTR	MYH5	11.08	BO20SN6	YZ	LAN-CLVTR	MYH5	13.69
BN20SN6	YZ	LAN-JOS090	MYH5	12.39	BO20SN6	YZ	LAN-JOS090	MYH5	8.45
BN20SN6	YZ	LOM-CYC285	MYH5	10.72	BO20SN6	YZ	LOM-CYC285	MYH5	10.21
BN20SN6	YZ	LOM-GOF090	MYH5	8.86	BO20SN6	YZ	LOM-GOF090	MYH5	9.02
BN20SN6	YZ	LOM-HDA165	MYH5	9.51	BO20SN6	YZ	LOM-HDA165	MYH5	9.46
BN20SN6	YZ	LOM-SAR000	MYH5	11.19	BO20SN6	YZ	LOM-SAR000	MYH5	14.29
BN20SN6	YZ	LOM-SAR090	MYH5	7.67	BO20SN6	YZ	LOM-SAR090	MYH5	5.10
BN20SN6	YZ	NOR-KAT000	MYH5	14.21	BO20SN6	YZ	NOR-KAT000	MYH5	10.95
BN20SN6	YZ	NOR-LOS000	MYH5	11.14	BO20SN6	YZ	NOR-LOS000	MYH5	11.61
BN20SN6	YZ	NOR-MU2035	MYH5	12.26	BO20SN6	YZ	NOR-MU2035	MYH5	9.75
BN20SN6	YZ	NOR-STM090	MYH5	11.88	BO20SN6	YZ	NOR-STM090	MYH5	10.02
BN20SN6	YZ	NPAL-MVH135	MYH5	7.21	BO20SN6	YZ	NPAL-MVH135	MYH5	9.62
BN20SN6	YZ	SUP-ELC090	MYH5	4.10	BO20SN6	YZ	SUP-ELC090	MYH5	4.07
BN20SN6	YZ	SUP-PTS315	MYH5	10.53	BO20SN6	YZ	SUP-PTS315	MYH5	12.56
BN20SN6	YZ	SUP-SUP135	MYH5	15.49	BO20SN6	YZ	SUP-SUP135	MYH5	9.04
BN20SN6	XZ	CAP-PET000	MYH6	14.26	BO20SN6	XZ	CAP-PET000	MYH6	13.86
BN20SN6	XZ	CHI-CHY025W	MYH6	7.94	BO20SN6	XZ	CHI-CHY025W	MYH6	5.05
BN20SN6	XZ	CHI-CHY034-N	MYH6	14.65	BO20SN6	XZ	CHI-CHY034-N	MYH6	9.67
BN20SN6	XZ	CHI-TCU038N	MYH6	8.47	BO20SN6	XZ	CHI-TCU038N	MYH6	3.28
BN20SN6	XZ	CHI-TCU038W	MYH6	6.40	BO20SN6	XZ	CHI-TCU038W	MYH6	3.97
BN20SN6	XZ	CHI-TCU048N	MYH6	6.63	BO20SN6	XZ	CHI-TCU048N	MYH6	3.88
BN20SN6	XZ	CHI-TCU49W	MYH6	8.90	BO20SN6	XZ	CHI-TCU49W	MYH6	4.47
BN20SN6	XZ	CHI-TCU51W	MYH6	9.14	BO20SN6	XZ	CHI-TCU51W	MYH6	3.52
BN20SN6	XZ	CHI-TCU95N	MYH6	6.25	BO20SN6	XZ	CHI-TCU95N	MYH6	4.37
BN20SN6	XZ	CHI-TCU104-N	MYH6	5.00	BO20SN6	XZ	CHI-TCU104-N	MYH6	1.82
BN20SN6	XZ	CHI-TCU106-W	MYH6	8.76	BO20SN6	XZ	CHI-TCU106-W	MYH6	4.03
BN20SN6	XZ	CHI-TCU107-N	MYH6	9.39	BO20SN6	XZ	CHI-TCU107-N	MYH6	5.21
BN20SN6	XZ	COY-G06230	MYH6	14.34	BO20SN6	XZ	COY-G06230	MYH6	11.25
BN20SN6	XZ	IMP-E10050	MYH6	6.21	BO20SN6	XZ	IMP-E10050	MYH6	2.51
BN20SN6	XZ	IMP-ELC3-140	MYH6	8.16	BO20SN6	XZ	IMP-ELC3-140	MYH6	7.51
BN20SN6	XZ	IMP-ELC5-140	MYH6	11.04	BO20SN6	XZ	IMP-ELC5-140	MYH6	6.06
BN20SN6	XZ	IMP-ELC7-140	MYH6	15.82	BO20SN6	XZ	IMP-ELC7-140	MYH6	8.59
BN20SN6	XZ	IMP-ELC8-230	MYH6	11.40	BO20SN6	XZ	IMP-ELC8-230	MYH6	6.92
BN20SN6	XZ	IMP-HVP225	MYH6	10.82	BO20SN6	XZ	IMP-HVP225	MYH6	6.45
BN20SN6	XZ	KOC-DZC270	MYH6	16.00	BO20SN6	XZ	KOC-DZC270	MYH6	9.67

Tablo C.1 (devam): Mevcut binalara ait yerdeğiştirme talepleri

Bina Adı	Analiz Yönü	İvme Kaydı	MYH Grup No	Δ_d (cm)	Bina Adı	Analiz Yönü	İvme Kaydı	MYH Grup No	Δ_d (cm)
BN20SN6	XZ	LOM-BRN090	MYH6	10.01	BO20SN6	XZ	LOM-BRN090	MYH6	7.86
BN20SN6	XZ	LOM-COR090	MYH6	11.09	BO20SN6	XZ	LOM-COR090	MYH6	12.44
BN20SN6	XZ	LOM-G03090	MYH6	11.88	BO20SN6	XZ	LOM-G03090	MYH6	7.16
BN20SN6	XZ	LOM-HCH180	MYH6	15.76	BO20SN6	XZ	LOM-HCH180	MYH6	9.94
BN20SN6	XZ	NAH-S1010	MYH6	12.20	BO20SN6	XZ	NAH-S1010	MYH6	7.00
BN20SN6	XZ	NAH-S1280	MYH6	11.38	BO20SN6	XZ	NAH-S1280	MYH6	4.85
BN20SN6	XZ	NOR-LOS270	MYH6	13.91	BO20SN6	XZ	NOR-LOS270	MYH6	8.97
BN20SN6	XZ	NOR-PAC175	MYH6	7.59	BO20SN6	XZ	NOR-PAC175	MYH6	6.65
BN20SN6	XZ	SUP-ELC000	MYH6	10.63	BO20SN6	XZ	SUP-ELC000	MYH6	10.86
BN20SN6	XZ	WES-WSM090	MYH6	14.47	BO20SN6	XZ	WES-WSM090	MYH6	9.67
BN20SN6	YZ	CAP-PET000	MYH6	14.17	BO20SN6	YZ	CAP-PET000	MYH6	14.15
BN20SN6	YZ	CHI-CHY025W	MYH6	8.54	BO20SN6	YZ	CHI-CHY025W	MYH6	4.88
BN20SN6	YZ	CHI-CHY034-N	MYH6	14.27	BO20SN6	YZ	CHI-CHY034-N	MYH6	10.50
BN20SN6	YZ	CHI-TCU038N	MYH6	7.02	BO20SN6	YZ	CHI-TCU038N	MYH6	6.18
BN20SN6	YZ	CHI-TCU038W	MYH6	6.48	BO20SN6	YZ	CHI-TCU038W	MYH6	4.21
BN20SN6	YZ	CHI-TCU048N	MYH6	5.94	BO20SN6	YZ	CHI-TCU048N	MYH6	4.05
BN20SN6	YZ	CHI-TCU49W	MYH6	6.75	BO20SN6	YZ	CHI-TCU49W	MYH6	6.59
BN20SN6	YZ	CHI-TCU51W	MYH6	6.70	BO20SN6	YZ	CHI-TCU51W	MYH6	4.26
BN20SN6	YZ	CHI-TCU95N	MYH6	5.77	BO20SN6	YZ	CHI-TCU95N	MYH6	4.15
BN20SN6	YZ	CHI-TCU104-N	MYH6	3.30	BO20SN6	YZ	CHI-TCU104-N	MYH6	2.40
BN20SN6	YZ	CHI-TCU106-W	MYH6	6.73	BO20SN6	YZ	CHI-TCU106-W	MYH6	6.60
BN20SN6	YZ	CHI-TCU107-N	MYH6	9.66	BO20SN6	YZ	CHI-TCU107-N	MYH6	6.33
BN20SN6	YZ	COY-G06230	MYH6	12.53	BO20SN6	YZ	COY-G06230	MYH6	13.61
BN20SN6	YZ	IMP-E10050	MYH6	5.11	BO20SN6	YZ	IMP-E10050	MYH6	3.32
BN20SN6	YZ	IMP-ELC3-140	MYH6	8.05	BO20SN6	YZ	IMP-ELC3-140	MYH6	10.00
BN20SN6	YZ	IMP-ELC5-140	MYH6	10.66	BO20SN6	YZ	IMP-ELC5-140	MYH6	7.03
BN20SN6	YZ	IMP-ELC7-140	MYH6	15.67	BO20SN6	YZ	IMP-ELC7-140	MYH6	12.46
BN20SN6	YZ	IMP-ELC8-230	MYH6	11.03	BO20SN6	YZ	IMP-ELC8-230	MYH6	7.76
BN20SN6	YZ	IMP-HVP225	MYH6	8.46	BO20SN6	YZ	IMP-HVP225	MYH6	8.17
BN20SN6	YZ	KOC-DZC270	MYH6	11.36	BO20SN6	YZ	KOC-DZC270	MYH6	14.41
BN20SN6	YZ	LOM-BRN090	MYH6	11.47	BO20SN6	YZ	LOM-BRN090	MYH6	7.10
BN20SN6	YZ	LOM-COR090	MYH6	13.71	BO20SN6	YZ	LOM-COR090	MYH6	11.14
BN20SN6	YZ	LOM-G03090	MYH6	10.32	BO20SN6	YZ	LOM-G03090	MYH6	10.80
BN20SN6	YZ	LOM-HCH180	MYH6	14.32	BO20SN6	YZ	LOM-HCH180	MYH6	13.14
BN20SN6	YZ	NAH-S1010	MYH6	12.41	BO20SN6	YZ	NAH-S1010	MYH6	7.69
BN20SN6	YZ	NAH-S1280	MYH6	11.22	BO20SN6	YZ	NAH-S1280	MYH6	6.41
BN20SN6	YZ	NOR-LOS270	MYH6	14.15	BO20SN6	YZ	NOR-LOS270	MYH6	9.76
BN20SN6	YZ	NOR-PAC175	MYH6	7.43	BO20SN6	YZ	NOR-PAC175	MYH6	6.77
BN20SN6	YZ	SUP-ELC000	MYH6	12.61	BO20SN6	YZ	SUP-ELC000	MYH6	12.51
BN20SN6	YZ	WES-WSM090	MYH6	10.97	BO20SN6	YZ	WES-WSM090	MYH6	9.80
BN20SN6	XZ	CHI-CHY002-N	MYH7	6.71	BO20SN6	XZ	CHI-CHY002-N	MYH7	3.14
BN20SN6	XZ	CHI-CHY024W	MYH7	10.93	BO20SN6	XZ	CHI-CHY024W	MYH7	8.94
BN20SN6	XZ	CHI-CHY104-E	MYH7	7.97	BO20SN6	XZ	CHI-CHY104-E	MYH7	4.93
BN20SN6	XZ	CHI-TCU029N	MYH7	7.78	BO20SN6	XZ	CHI-TCU029N	MYH7	3.95
BN20SN6	XZ	CHI-TCU036N	MYH7	7.69	BO20SN6	XZ	CHI-TCU036N	MYH7	3.81
BN20SN6	XZ	CHI-TCU039N	MYH7	7.25	BO20SN6	XZ	CHI-TCU039N	MYH7	4.18
BN20SN6	XZ	CHI-TCU039W	MYH7	9.51	BO20SN6	XZ	CHI-TCU039W	MYH7	7.90
BN20SN6	XZ	CHI-TCU040N	MYH7	6.97	BO20SN6	XZ	CHI-TCU040N	MYH7	3.10
BN20SN6	XZ	CHI-TCU040W	MYH7	6.20	BO20SN6	XZ	CHI-TCU040W	MYH7	3.04
BN20SN6	XZ	CHI-TCU055N	MYH7	8.99	BO20SN6	XZ	CHI-TCU055N	MYH7	4.91
BN20SN6	XZ	CHI-TCU064N	MYH7	7.67	BO20SN6	XZ	CHI-TCU064N	MYH7	2.49
BN20SN6	XZ	CHI-TCU70W	MYH7	10.08	BO20SN6	XZ	CHI-TCU70W	MYH7	6.96
BN20SN6	XZ	CHI-TCU109-N	MYH7	12.05	BO20SN6	XZ	CHI-TCU109-N	MYH7	5.39
BN20SN6	XZ	CHI-TCU109-W	MYH7	7.25	BO20SN6	XZ	CHI-TCU109-W	MYH7	5.37
BN20SN6	XZ	CHI-TCU115-W	MYH7	4.69	BO20SN6	XZ	CHI-TCU115-W	MYH7	2.25
BN20SN6	XZ	CHI-TCU117-N	MYH7	7.30	BO20SN6	XZ	CHI-TCU117-N	MYH7	3.27
BN20SN6	XZ	IMP-ELC8-140	MYH7	11.94	BO20SN6	XZ	IMP-ELC8-140	MYH7	8.44
BN20SN6	XZ	IMP-HVP315	MYH7	7.31	BO20SN6	XZ	IMP-HVP315	MYH7	3.67
BN20SN6	XZ	IRP-STU270	MYH7	12.21	BO20SN6	XZ	IRP-STU270	MYH7	8.96

Tablo C.1 (devam): Mevcut binalara ait yerdeğiştirme talepleri

Bina Adı	Analiz Yönü	İvme Kaydı	MYH Grup No	Δ_d (cm)	Bina Adı	Analiz Yönü	İvme Kaydı	MYH Grup No	Δ_d (cm)
BN20SN6	XZ	KOC-GBZ000	MYH7	8.02	BO20SN6	XZ	KOC-GBZ000	MYH7	4.18
BN20SN6	XZ	LAN-YER270	MYH7	10.40	BO20SN6	XZ	LAN-YER270	MYH7	10.12
BN20SN6	XZ	LOM-A02043	MYH7	19.80	BO20SN6	XZ	LOM-A02043	MYH7	17.06
BN20SN6	XZ	LOM-BRN000	MYH7	17.34	BO20SN6	XZ	LOM-BRN000	MYH7	14.36
BN20SN6	XZ	LOM-LGP090	MYH7	14.99	BO20SN6	XZ	LOM-LGP090	MYH7	8.08
BN20SN6	XZ	MOR-CYC195	MYH7	17.03	BO20SN6	XZ	MOR-CYC195	MYH7	12.10
BN20SN6	XZ	NOR-LDM334	MYH7	15.34	BO20SN6	XZ	NOR-LDM334	MYH7	10.71
BN20SN6	XZ	NOR-ORR090	MYH7	14.42	BO20SN6	XZ	NOR-ORR090	MYH7	12.55
BN20SN6	XZ	NOR-ORR360	MYH7	21.41	BO20SN6	XZ	NOR-ORR360	MYH7	20.77
BN20SN6	XZ	NOR-PKC360	MYH7	13.05	BO20SN6	XZ	NOR-PKC360	MYH7	8.27
BN20SN6	XZ	SFD-PCD254	MYH7	16.84	BO20SN6	XZ	SFD-PCD254	MYH7	10.34
BN20SN6	YZ	CHI-CHY002-N	MYH7	5.23	BO20SN6	YZ	CHI-CHY002-N	MYH7	5.54
BN20SN6	YZ	CHI-CHY024W	MYH7	7.91	BO20SN6	YZ	CHI-CHY024W	MYH7	10.42
BN20SN6	YZ	CHI-CHY104-E	MYH7	7.74	BO20SN6	YZ	CHI-CHY104-E	MYH7	6.00
BN20SN6	YZ	CHI-TCU029N	MYH7	7.14	BO20SN6	YZ	CHI-TCU029N	MYH7	4.10
BN20SN6	YZ	CHI-TCU036N	MYH7	6.15	BO20SN6	YZ	CHI-TCU036N	MYH7	4.40
BN20SN6	YZ	CHI-TCU039N	MYH7	6.90	BO20SN6	YZ	CHI-TCU039N	MYH7	4.73
BN20SN6	YZ	CHI-TCU039W	MYH7	5.59	BO20SN6	YZ	CHI-TCU039W	MYH7	6.56
BN20SN6	YZ	CHI-TCU040N	MYH7	5.11	BO20SN6	YZ	CHI-TCU040N	MYH7	4.60
BN20SN6	YZ	CHI-TCU040W	MYH7	6.01	BO20SN6	YZ	CHI-TCU040W	MYH7	4.59
BN20SN6	YZ	CHI-TCU055N	MYH7	8.01	BO20SN6	YZ	CHI-TCU055N	MYH7	6.64
BN20SN6	YZ	CHI-TCU064N	MYH7	6.45	BO20SN6	YZ	CHI-TCU064N	MYH7	4.68
BN20SN6	YZ	CHI-TCU70W	MYH7	9.10	BO20SN6	YZ	CHI-TCU70W	MYH7	6.91
BN20SN6	YZ	CHI-TCU109-N	MYH7	9.75	BO20SN6	YZ	CHI-TCU109-N	MYH7	7.60
BN20SN6	YZ	CHI-TCU109-W	MYH7	8.01	BO20SN6	YZ	CHI-TCU109-W	MYH7	7.05
BN20SN6	YZ	CHI-TCU115-W	MYH7	4.81	BO20SN6	YZ	CHI-TCU115-W	MYH7	2.97
BN20SN6	YZ	CHI-TCU117-N	MYH7	5.94	BO20SN6	YZ	CHI-TCU117-N	MYH7	3.99
BN20SN6	YZ	IMP-ELC8-140	MYH7	10.54	BO20SN6	YZ	IMP-ELC8-140	MYH7	9.23
BN20SN6	YZ	IMP-HVP315	MYH7	5.42	BO20SN6	YZ	IMP-HVP315	MYH7	4.61
BN20SN6	YZ	IRP-STU270	MYH7	10.89	BO20SN6	YZ	IRP-STU270	MYH7	13.93
BN20SN6	YZ	KOC-GBZ000	MYH7	8.29	BO20SN6	YZ	KOC-GBZ000	MYH7	4.95
BN20SN6	YZ	LAN-YER270	MYH7	8.51	BO20SN6	YZ	LAN-YER270	MYH7	10.98
BN20SN6	YZ	LOM-A02043	MYH7	19.63	BO20SN6	YZ	LOM-A02043	MYH7	15.75
BN20SN6	YZ	LOM-BRN000	MYH7	19.46	BO20SN6	YZ	LOM-BRN000	MYH7	15.57
BN20SN6	YZ	LOM-LGP090	MYH7	16.15	BO20SN6	YZ	LOM-LGP090	MYH7	9.11
BN20SN6	YZ	MOR-CYC195	MYH7	18.78	BO20SN6	YZ	MOR-CYC195	MYH7	9.92
BN20SN6	YZ	NOR-LDM334	MYH7	13.94	BO20SN6	YZ	NOR-LDM334	MYH7	11.69
BN20SN6	YZ	NOR-ORR090	MYH7	14.60	BO20SN6	YZ	NOR-ORR090	MYH7	13.70
BN20SN6	YZ	NOR-ORR360	MYH7	20.53	BO20SN6	YZ	NOR-ORR360	MYH7	18.74
BN20SN6	YZ	NOR-PKC360	MYH7	14.04	BO20SN6	YZ	NOR-PKC360	MYH7	9.79
BN20SN6	YZ	SFD-PCD254	MYH7	14.90	BO20SN6	YZ	SFD-PCD254	MYH7	11.71
BN20SN6	XZ	CAP-RIO270	MYH8	21.00	BO20SN6	XZ	CAP-RIO270	MYH8	14.47
BN20SN6	XZ	CAP-RIO360	MYH8	11.14	BO20SN6	XZ	CAP-RIO360	MYH8	10.77
BN20SN6	XZ	CHI-CHY006-E	MYH8	13.18	BO20SN6	XZ	CHI-CHY006-E	MYH8	11.77
BN20SN6	XZ	CHI-CHY092-E	MYH8	7.62	BO20SN6	XZ	CHI-CHY092-E	MYH8	2.99
BN20SN6	XZ	CHI-CHY104-N	MYH8	9.83	BO20SN6	XZ	CHI-CHY104-N	MYH8	7.38
BN20SN6	XZ	CHI-TCU054W	MYH8	9.12	BO20SN6	XZ	CHI-TCU054W	MYH8	3.21
BN20SN6	XZ	CHI-TCU059N	MYH8	12.31	BO20SN6	XZ	CHI-TCU059N	MYH8	5.22
BN20SN6	XZ	CHI-TCU059W	MYH8	9.49	BO20SN6	XZ	CHI-TCU059W	MYH8	5.02
BN20SN6	XZ	CHI-TCU063W	MYH8	10.96	BO20SN6	XZ	CHI-TCU063W	MYH8	6.61
BN20SN6	XZ	CHI-TCU072N	MYH8	14.61	BO20SN6	XZ	CHI-TCU072N	MYH8	19.16
BN20SN6	XZ	CHI-TCU82W	MYH8	9.37	BO20SN6	XZ	CHI-TCU82W	MYH8	4.75
BN20SN6	XZ	CHI-TCU110-N	MYH8	12.27	BO20SN6	XZ	CHI-TCU110-N	MYH8	8.43
BN20SN6	XZ	CHI-TCU111-W	MYH8	9.61	BO20SN6	XZ	CHI-TCU111-W	MYH8	4.28
BN20SN6	XZ	CHI-TCU117-W	MYH8	7.03	BO20SN6	XZ	CHI-TCU117-W	MYH8	4.14
BN20SN6	XZ	CHI-TCU136-E	MYH8	10.46	BO20SN6	XZ	CHI-TCU136-E	MYH8	5.35
BN20SN6	XZ	DZC-BOL000	MYH8	16.09	BO20SN6	XZ	DZC-BOL000	MYH8	12.44
BN20SN6	XZ	IMP-ELC3-140	MYH8	10.28	BO20SN6	XZ	IMP-ELC3-140	MYH8	10.56
BN20SN6	XZ	IMP-ELC3-230	MYH8	5.51	BO20SN6	XZ	IMP-ELC3-230	MYH8	5.59

Tablo C.1 (devam): Mevcut binalara ait yerdeğiştirme talepleri

Bina Adı	Analiz Yönü	İvme Kaydı	MYH Grup No	Δ_d (cm)	Bina Adı	Analiz Yönü	İvme Kaydı	MYH Grup No	Δ_d (cm)
BN20SN6	XZ	IRP-STU270	MYH8	13.79	BO20SN6	XZ	IRP-STU270	MYH8	11.52
BN20SN6	XZ	KOC-DZC180	MYH8	10.64	BO20SN6	XZ	KOC-DZC180	MYH8	6.13
BN20SN6	XZ	KOC-DZC270	MYH8	21.03	BO20SN6	XZ	KOC-DZC270	MYH8	15.97
BN20SN6	XZ	KOC-GBZ000	MYH8	9.14	BO20SN6	XZ	KOC-GBZ000	MYH8	4.98
BN20SN6	XZ	LAN-CLVTR	MYH8	17.13	BO20SN6	XZ	LAN-CLVTR	MYH8	19.08
BN20SN6	XZ	LAN-YER270	MYH8	11.02	BO20SN6	XZ	LAN-YER270	MYH8	12.01
BN20SN6	XZ	LOM-COR000	MYH8	12.12	BO20SN6	XZ	LOM-COR000	MYH8	11.37
BN20SN6	XZ	NOR-MUL009	MYH8	20.44	BO20SN6	XZ	NOR-MUL009	MYH8	12.84
BN20SN6	XZ	NOR-PUL104	MYH8	16.30	BO20SN6	XZ	NOR-PUL104	MYH8	13.89
BN20SN6	XZ	NPAL-MVH135	MYH8	15.71	BO20SN6	XZ	NPAL-MVH135	MYH8	14.44
BN20SN6	XZ	SUP-ELC000	MYH8	14.68	BO20SN6	XZ	SUP-ELC000	MYH8	14.06
BN20SN6	XZ	SUP-ELC090	MYH8	9.29	BO20SN6	XZ	SUP-ELC090	MYH8	6.81
BN20SN6	YZ	CAP-RIO270	MYH8	17.37	BO20SN6	YZ	CAP-RIO270	MYH8	16.46
BN20SN6	YZ	CAP-RIO360	MYH8	11.33	BO20SN6	YZ	CAP-RIO360	MYH8	10.80
BN20SN6	YZ	CHI-CHY006-E	MYH8	11.93	BO20SN6	YZ	CHI-CHY006-E	MYH8	12.13
BN20SN6	YZ	CHI-CHY092-E	MYH8	7.30	BO20SN6	YZ	CHI-CHY092-E	MYH8	4.11
BN20SN6	YZ	CHI-CHY104-N	MYH8	12.15	BO20SN6	YZ	CHI-CHY104-N	MYH8	7.76
BN20SN6	YZ	CHI-TCU054W	MYH8	7.22	BO20SN6	YZ	CHI-TCU054W	MYH8	4.71
BN20SN6	YZ	CHI-TCU059N	MYH8	7.78	BO20SN6	YZ	CHI-TCU059N	MYH8	6.33
BN20SN6	YZ	CHI-TCU059W	MYH8	7.45	BO20SN6	YZ	CHI-TCU059W	MYH8	5.58
BN20SN6	YZ	CHI-TCU063W	MYH8	10.95	BO20SN6	YZ	CHI-TCU063W	MYH8	6.41
BN20SN6	YZ	CHI-TCU072N	MYH8	18.48	BO20SN6	YZ	CHI-TCU072N	MYH8	19.16
BN20SN6	YZ	CHI-TCU82W	MYH8	7.05	BO20SN6	YZ	CHI-TCU82W	MYH8	6.76
BN20SN6	YZ	CHI-TCU110-N	MYH8	10.62	BO20SN6	YZ	CHI-TCU110-N	MYH8	9.44
BN20SN6	YZ	CHI-TCU111-W	MYH8	8.47	BO20SN6	YZ	CHI-TCU111-W	MYH8	6.64
BN20SN6	YZ	CHI-TCU117-W	MYH8	6.58	BO20SN6	YZ	CHI-TCU117-W	MYH8	5.38
BN20SN6	YZ	CHI-TCU136-E	MYH8	10.68	BO20SN6	YZ	CHI-TCU136-E	MYH8	5.83
BN20SN6	YZ	DZC-BOL000	MYH8	14.17	BO20SN6	YZ	DZC-BOL000	MYH8	13.53
BN20SN6	YZ	IMP-ELC3-140	MYH8	9.58	BO20SN6	YZ	IMP-ELC3-140	MYH8	12.79
BN20SN6	YZ	IMP-ELC3-230	MYH8	5.73	BO20SN6	YZ	IMP-ELC3-230	MYH8	6.38
BN20SN6	YZ	IRP-STU270	MYH8	12.31	BO20SN6	YZ	IRP-STU270	MYH8	16.06
BN20SN6	YZ	KOC-DZC180	MYH8	10.79	BO20SN6	YZ	KOC-DZC180	MYH8	6.18
BN20SN6	YZ	KOC-DZC270	MYH8	14.87	BO20SN6	YZ	KOC-DZC270	MYH8	21.23
BN20SN6	YZ	KOC-GBZ000	MYH8	9.56	BO20SN6	YZ	KOC-GBZ000	MYH8	6.16
BN20SN6	YZ	LAN-CLVTR	MYH8	16.65	BO20SN6	YZ	LAN-CLVTR	MYH8	19.33
BN20SN6	YZ	LAN-YER270	MYH8	9.43	BO20SN6	YZ	LAN-YER270	MYH8	13.01
BN20SN6	YZ	LOM-COR000	MYH8	12.38	BO20SN6	YZ	LOM-COR000	MYH8	12.33
BN20SN6	YZ	NOR-MUL009	MYH8	18.15	BO20SN6	YZ	NOR-MUL009	MYH8	16.97
BN20SN6	YZ	NOR-PUL104	MYH8	13.76	BO20SN6	YZ	NOR-PUL104	MYH8	11.76
BN20SN6	YZ	NPAL-MVH135	MYH8	11.45	BO20SN6	YZ	NPAL-MVH135	MYH8	19.33
BN20SN6	YZ	SUP-ELC000	MYH8	16.31	BO20SN6	YZ	SUP-ELC000	MYH8	16.14
BN20SN6	YZ	SUP-ELC090	MYH8	5.83	BO20SN6	YZ	SUP-ELC090	MYH8	7.80
BN20SN6	XZ	CHI-TCU036W	MYH9	6.41	BO20SN6	XZ	CHI-TCU036W	MYH9	3.98
BN20SN6	XZ	CHI-TCU49N	MYH9	8.63	BO20SN6	XZ	CHI-TCU49N	MYH9	7.17
BN20SN6	XZ	CHI-TCU70N	MYH9	9.68	BO20SN6	XZ	CHI-TCU70N	MYH9	5.67
BN20SN6	XZ	CHI-TCU76N	MYH9	16.54	BO20SN6	XZ	CHI-TCU76N	MYH9	17.34
BN20SN6	XZ	CHI-TCU76W	MYH9	11.51	BO20SN6	XZ	CHI-TCU76W	MYH9	4.91
BN20SN6	XZ	CHI-TCU079-W	MYH9	14.65	BO20SN6	XZ	CHI-TCU079-W	MYH9	13.11
BN20SN6	XZ	CHI-TCU95W	MYH9	10.26	BO20SN6	XZ	CHI-TCU95W	MYH9	5.90
BN20SN6	XZ	CHI-TCU103-W	MYH9	9.11	BO20SN6	XZ	CHI-TCU103-W	MYH9	3.02
BN20SN6	XZ	CHI-TCU120-W	MYH9	15.04	BO20SN6	XZ	CHI-TCU120-W	MYH9	8.69
BN20SN6	XZ	CHI-TCU129-W	MYH9	17.20	BO20SN6	XZ	CHI-TCU129-W	MYH9	13.33
BN20SN6	XZ	COA-PL045	MYH9	17.93	BO20SN6	XZ	COA-PL045	MYH9	14.32
BN20SN6	XZ	DZC-BOL000	MYH9	18.04	BO20SN6	XZ	DZC-BOL000	MYH9	14.18
BN20SN6	XZ	DZC-BOL090	MYH9	19.59	BO20SN6	XZ	DZC-BOL090	MYH9	17.70
BN20SN6	XZ	DZC-DZC180	MYH9	11.87	BO20SN6	XZ	DZC-DZC180	MYH9	8.06
BN20SN6	XZ	ERZ-ERZEW	MYH9	20.39	BO20SN6	XZ	ERZ-ERZEW	MYH9	17.77
BN20SN6	XZ	IMP-ELC3-140	MYH9	11.34	BO20SN6	XZ	IMP-ELC3-140	MYH9	11.98
BN20SN6	XZ	IMP-HVP315	MYH9	9.51	BO20SN6	XZ	IMP-HVP315	MYH9	5.09

Tablo C.1 (devam): Mevcut binalara ait yerdeğiştirme talepleri

Bina Adı	Analiz Yönü	İvme Kaydı	MYH Grup No	Δ_d (cm)	Bina Adı	Analiz Yönü	İvme Kaydı	MYH Grup No	Δ_d (cm)
BN20SN6	XZ	IRP-STU270	MYH9	15.62	BO20SN6	XZ	IRP-STU270	MYH9	14.05
BN20SN6	XZ	KOC-DZC180	MYH9	10.59	BO20SN6	XZ	KOC-DZC180	MYH9	6.15
BN20SN6	XZ	KOC-GBZ000	MYH9	9.87	BO20SN6	XZ	KOC-GBZ000	MYH9	5.65
BN20SN6	XZ	KOC-YAR330	MYH9	11.67	BO20SN6	XZ	KOC-YAR330	MYH9	8.42
BN20SN6	XZ	LAN-YER270	MYH9	11.61	BO20SN6	XZ	LAN-YER270	MYH9	13.69
BN20SN6	XZ	LOM-BRN000	MYH9	20.25	BO20SN6	XZ	LOM-BRN000	MYH9	18.00
BN20SN6	XZ	LOM-HSP000	MYH9	19.67	BO20SN6	XZ	LOM-HSP000	MYH9	15.18
BN20SN6	XZ	LOM-WVC270	MYH9	20.00	BO20SN6	XZ	LOM-WVC270	MYH9	10.08
BN20SN6	XZ	NOR-CNP196	MYH9	9.93	BO20SN6	XZ	NOR-CNP196	MYH9	9.63
BN20SN6	XZ	NOR-LDM064	MYH9	20.97	BO20SN6	XZ	NOR-LDM064	MYH9	14.08
BN20SN6	XZ	NOR-MUL279	MYH9	22.52	BO20SN6	XZ	NOR-MUL279	MYH9	22.69
BN20SN6	XZ	NOR-SAT180	MYH9	20.44	BO20SN6	XZ	NOR-SAT180	MYH9	17.95
BN20SN6	XZ	SUP-ELC000	MYH9	16.66	BO20SN6	XZ	SUP-ELC000	MYH9	15.23
BN20SN6	YZ	CHI-TCU036W	MYH9	8.36	BO20SN6	YZ	CHI-TCU036W	MYH9	5.53
BN20SN6	YZ	CHI-TCU49N	MYH9	8.89	BO20SN6	YZ	CHI-TCU49N	MYH9	7.97
BN20SN6	YZ	CHI-TCU70N	MYH9	8.20	BO20SN6	YZ	CHI-TCU70N	MYH9	7.08
BN20SN6	YZ	CHI-TCU76N	MYH9	19.25	BO20SN6	YZ	CHI-TCU76N	MYH9	19.33
BN20SN6	YZ	CHI-TCU76W	MYH9	9.30	BO20SN6	YZ	CHI-TCU76W	MYH9	8.28
BN20SN6	YZ	CHI-TCU079-W	MYH9	16.21	BO20SN6	YZ	CHI-TCU079-W	MYH9	14.23
BN20SN6	YZ	CHI-TCU95W	MYH9	10.78	BO20SN6	YZ	CHI-TCU95W	MYH9	7.64
BN20SN6	YZ	CHI-TCU103-W	MYH9	6.76	BO20SN6	YZ	CHI-TCU103-W	MYH9	4.17
BN20SN6	YZ	CHI-TCU120-W	MYH9	9.01	BO20SN6	YZ	CHI-TCU120-W	MYH9	11.76
BN20SN6	YZ	CHI-TCU129-W	MYH9	14.75	BO20SN6	YZ	CHI-TCU129-W	MYH9	16.61
BN20SN6	YZ	COA-PLE045	MYH9	13.50	BO20SN6	YZ	COA-PLE045	MYH9	15.31
BN20SN6	YZ	DZC-BOL000	MYH9	16.24	BO20SN6	YZ	DZC-BOL000	MYH9	14.92
BN20SN6	YZ	DZC-BOL090	MYH9	25.32	BO20SN6	YZ	DZC-BOL090	MYH9	15.93
BN20SN6	YZ	DZC-DZC180	MYH9	10.78	BO20SN6	YZ	DZC-DZC180	MYH9	8.63
BN20SN6	YZ	ERZ-ERZEW	MYH9	18.40	BO20SN6	YZ	ERZ-ERZEW	MYH9	18.13
BN20SN6	YZ	IMP-ELC3-140	MYH9	10.38	BO20SN6	YZ	IMP-ELC3-140	MYH9	13.80
BN20SN6	YZ	IMP-HVP315	MYH9	6.77	BO20SN6	YZ	IMP-HVP315	MYH9	6.53
BN20SN6	YZ	IRP-STU270	MYH9	13.96	BO20SN6	YZ	IRP-STU270	MYH9	18.32
BN20SN6	YZ	KOC-DZC180	MYH9	11.37	BO20SN6	YZ	KOC-DZC180	MYH9	6.99
BN20SN6	YZ	KOC-GBZ000	MYH9	10.42	BO20SN6	YZ	KOC-GBZ000	MYH9	7.10
BN20SN6	YZ	KOC-YAR330	MYH9	11.00	BO20SN6	YZ	KOC-YAR330	MYH9	9.45
BN20SN6	YZ	LAN-YER270	MYH9	10.35	BO20SN6	YZ	LAN-YER270	MYH9	14.70
BN20SN6	YZ	LOM-BRN000	MYH9	22.47	BO20SN6	YZ	LOM-BRN000	MYH9	19.05
BN20SN6	YZ	LOM-HSP000	MYH9	17.86	BO20SN6	YZ	LOM-HSP000	MYH9	18.71
BN20SN6	YZ	LOM-WVC270	MYH9	13.89	BO20SN6	YZ	LOM-WVC270	MYH9	15.43
BN20SN6	YZ	NOR-CNP196	MYH9	11.53	BO20SN6	YZ	NOR-CNP196	MYH9	8.62
BN20SN6	YZ	NOR-LDM064	MYH9	21.21	BO20SN6	YZ	NOR-LDM064	MYH9	13.59
BN20SN6	YZ	NOR-MUL279	MYH9	21.79	BO20SN6	YZ	NOR-MUL279	MYH9	23.55
BN20SN6	YZ	NOR-SAT180	MYH9	16.20	BO20SN6	YZ	NOR-SAT180	MYH9	20.81
BN20SN6	YZ	SUP-ELC000	MYH9	18.01	BO20SN6	YZ	SUP-ELC000	MYH9	17.63
BN20SN6	XZ	CHI-CHY28N	MYH10	18.44	BO20SN6	XZ	CHI-CHY28N	MYH10	13.06
BN20SN6	XZ	CHI-TCU067N	MYH10	15.41	BO20SN6	XZ	CHI-TCU067N	MYH10	10.98
BN20SN6	XZ	CHI-TCU071N	MYH10	17.05	BO20SN6	XZ	CHI-TCU071N	MYH10	9.59
BN20SN6	XZ	CHI-TCU101-W	MYH10	9.16	BO20SN6	XZ	CHI-TCU101-W	MYH10	5.72
BN20SN6	XZ	CHI-TCU110-W	MYH10	10.84	BO20SN6	XZ	CHI-TCU110-W	MYH10	6.73
BN20SN6	XZ	CHI-TCU128-N	MYH10	6.94	BO20SN6	XZ	CHI-TCU128-N	MYH10	3.92
BN20SN6	XZ	CHI-WGK-E	MYH10	9.66	BO20SN6	XZ	CHI-WGK-E	MYH10	7.64
BN20SN6	XZ	CHI-WNTE	MYH10	13.42	BO20SN6	XZ	CHI-WNTE	MYH10	8.40
BN20SN6	XZ	DZC-BOL000	MYH10	19.65	BO20SN6	XZ	DZC-BOL000	MYH10	15.52
BN20SN6	XZ	DZC-BOL090	MYH10	19.97	BO20SN6	XZ	DZC-BOL090	MYH10	18.70
BN20SN6	XZ	GAZ-KAR000	MYH10	16.27	BO20SN6	XZ	GAZ-KAR000	MYH10	10.09
BN20SN6	XZ	IMP-ECC092	MYH10	11.60	BO20SN6	XZ	IMP-ECC092	MYH10	8.74
BN20SN6	XZ	IMP-ELC3-140	MYH10	12.41	BO20SN6	XZ	IMP-ELC3-140	MYH10	13.38
BN20SN6	XZ	IMP-ELC6-140	MYH10	11.22	BO20SN6	XZ	IMP-ELC6-140	MYH10	8.35
BN20SN6	XZ	IRP-STU270	MYH10	17.58	BO20SN6	XZ	IRP-STU270	MYH10	16.34
BN20SN6	XZ	KOB-TAK000	MYH10	17.31	BO20SN6	XZ	KOB-TAK000	MYH10	14.73

Tablo C.1 (devam): Mevcut binalara ait yerdeđiřtirme talepleri

Bina Adı	Analiz Yönu	İvme Kaydı	MYH Grup No	Δ_d (cm)	Bina Adı	Analiz Yönu	İvme Kaydı	MYH Grup No	Δ_d (cm)
BN20SN6	XZ	KOC-DZC180	MYH10	11.17	BO20SN6	XZ	KOC-DZC180	MYH10	7.03
BN20SN6	XZ	KOC-GBZ000	MYH10	10.60	BO20SN6	XZ	KOC-GBZ000	MYH10	6.41
BN20SN6	XZ	KOC-YAR060	MYH10	11.09	BO20SN6	XZ	KOC-YAR060	MYH10	5.81
BN20SN6	XZ	LAN-YER270	MYH10	12.13	BO20SN6	XZ	LAN-YER270	MYH10	15.40
BN20SN6	XZ	LOM-BRN000	MYH10	21.66	BO20SN6	XZ	LOM-BRN000	MYH10	19.52
BN20SN6	XZ	LOM-G03090	MYH10	20.67	BO20SN6	XZ	LOM-G03090	MYH10	15.50
BN20SN6	XZ	LOM-HSP000	MYH10	21.31	BO20SN6	XZ	LOM-HSP000	MYH10	16.89
BN20SN6	XZ	NOR-CNP196	MYH10	10.74	BO20SN6	XZ	NOR-CNP196	MYH10	10.78
BN20SN6	XZ	NOR-MUL009	MYH10	23.62	BO20SN6	XZ	NOR-MUL009	MYH10	15.26
BN20SN6	XZ	NOR-MUL279	MYH10	24.72	BO20SN6	XZ	NOR-MUL279	MYH10	24.68
BN20SN6	XZ	NOR-ORR090	MYH10	18.56	BO20SN6	XZ	NOR-ORR090	MYH10	17.36
BN20SN6	XZ	NOR-ORR360	MYH10	25.55	BO20SN6	XZ	NOR-ORR360	MYH10	28.24
BN20SN6	XZ	NOR-SAT180	MYH10	23.13	BO20SN6	XZ	NOR-SAT180	MYH10	20.68
BN20SN6	XZ	NOR-WPI316	MYH10	17.84	BO20SN6	XZ	NOR-WPI316	MYH10	10.45
BN20SN6	YZ	CHI-CHY28N	MYH10	22.00	BO20SN6	YZ	CHI-CHY28N	MYH10	15.42
BN20SN6	YZ	CHI-TCU067N	MYH10	12.75	BO20SN6	YZ	CHI-TCU067N	MYH10	13.30
BN20SN6	YZ	CHI-TCU071N	MYH10	15.99	BO20SN6	YZ	CHI-TCU071N	MYH10	10.54
BN20SN6	YZ	CHI-TCU101-W	MYH10	8.00	BO20SN6	YZ	CHI-TCU101-W	MYH10	8.14
BN20SN6	YZ	CHI-TCU110-W	MYH10	9.46	BO20SN6	YZ	CHI-TCU110-W	MYH10	7.97
BN20SN6	YZ	CHI-TCU128-N	MYH10	7.20	BO20SN6	YZ	CHI-TCU128-N	MYH10	6.72
BN20SN6	YZ	CHI-WGK-E	MYH10	10.81	BO20SN6	YZ	CHI-WGK-E	MYH10	7.88
BN20SN6	YZ	CHI-WNTE	MYH10	11.35	BO20SN6	YZ	CHI-WNTE	MYH10	10.61
BN20SN6	YZ	DZC-BOL000	MYH10	17.96	BO20SN6	YZ	DZC-BOL000	MYH10	15.99
BN20SN6	YZ	DZC-BOL090	MYH10	26.35	BO20SN6	YZ	DZC-BOL090	MYH10	17.05
BN20SN6	YZ	GAZ-KAR000	MYH10	13.16	BO20SN6	YZ	GAZ-KAR000	MYH10	12.85
BN20SN6	YZ	IMP-ECC092	MYH10	9.52	BO20SN6	YZ	IMP-ECC092	MYH10	8.45
BN20SN6	YZ	IMP-ELC3-140	MYH10	11.24	BO20SN6	YZ	IMP-ELC3-140	MYH10	14.50
BN20SN6	YZ	IMP-ELC6-140	MYH10	12.81	BO20SN6	YZ	IMP-ELC6-140	MYH10	9.97
BN20SN6	YZ	IRP-STU270	MYH10	15.78	BO20SN6	YZ	IRP-STU270	MYH10	20.64
BN20SN6	YZ	KOB-TAK000	MYH10	18.06	BO20SN6	YZ	KOB-TAK000	MYH10	16.06
BN20SN6	YZ	KOC-DZC180	MYH10	12.08	BO20SN6	YZ	KOC-DZC180	MYH10	8.19
BN20SN6	YZ	KOC-GBZ000	MYH10	11.29	BO20SN6	YZ	KOC-GBZ000	MYH10	8.09
BN20SN6	YZ	KOC-YAR060	MYH10	10.74	BO20SN6	YZ	KOC-YAR060	MYH10	10.51
BN20SN6	YZ	LAN-YER270	MYH10	11.15	BO20SN6	YZ	LAN-YER270	MYH10	16.62
BN20SN6	YZ	LOM-BRN000	MYH10	23.75	BO20SN6	YZ	LOM-BRN000	MYH10	20.69
BN20SN6	YZ	LOM-G03090	MYH10	16.43	BO20SN6	YZ	LOM-G03090	MYH10	21.36
BN20SN6	YZ	LOM-HSP000	MYH10	19.07	BO20SN6	YZ	LOM-HSP000	MYH10	20.92
BN20SN6	YZ	NOR-CNP196	MYH10	12.18	BO20SN6	YZ	NOR-CNP196	MYH10	11.13
BN20SN6	YZ	NOR-MUL009	MYH10	20.50	BO20SN6	YZ	NOR-MUL009	MYH10	20.22
BN20SN6	YZ	NOR-MUL279	MYH10	23.58	BO20SN6	YZ	NOR-MUL279	MYH10	25.23
BN20SN6	YZ	NOR-ORR090	MYH10	18.16	BO20SN6	YZ	NOR-ORR090	MYH10	18.46
BN20SN6	YZ	NOR-ORR360	MYH10	25.98	BO20SN6	YZ	NOR-ORR360	MYH10	25.21
BN20SN6	YZ	NOR-SAT180	MYH10	18.82	BO20SN6	YZ	NOR-SAT180	MYH10	23.65
BN20SN6	YZ	NOR-WPI316	MYH10	13.97	BO20SN6	YZ	NOR-WPI316	MYH10	11.21
BN20SN6	XZ	CHI-CHY28W	MYH11	15.66	BO20SN6	XZ	CHI-CHY28W	MYH11	16.49
BN20SN6	XZ	CHI-CHY101W	MYH11	11.82	BO20SN6	XZ	CHI-CHY101W	MYH11	7.54
BN20SN6	XZ	CHI-TCU063N	MYH11	9.29	BO20SN6	XZ	CHI-TCU063N	MYH11	3.97
BN20SN6	XZ	CHI-TCU072W	MYH11	14.96	BO20SN6	XZ	CHI-TCU072W	MYH11	8.87
BN20SN6	XZ	CHI-TCU74W	MYH11	24.16	BO20SN6	XZ	CHI-TCU74W	MYH11	23.03
BN20SN6	XZ	CHI-TCU128-W	MYH11	7.90	BO20SN6	XZ	CHI-TCU128-W	MYH11	2.84
BN20SN6	XZ	CHI-WGK-N	MYH11	24.44	BO20SN6	XZ	CHI-WGK-N	MYH11	21.71
BN20SN6	XZ	COA-PLE045	MYH11	20.54	BO20SN6	XZ	COA-PLE045	MYH11	16.40
BN20SN6	XZ	DZC-BOL000	MYH11	21.28	BO20SN6	XZ	DZC-BOL000	MYH11	16.78
BN20SN6	XZ	DZC-BOL090	MYH11	20.45	BO20SN6	XZ	DZC-BOL090	MYH11	19.71
BN20SN6	XZ	DZC-DZC180	MYH11	13.07	BO20SN6	XZ	DZC-DZC180	MYH11	9.19
BN20SN6	XZ	GAZ-KAR000	MYH11	17.67	BO20SN6	XZ	GAZ-KAR000	MYH11	12.60
BN20SN6	XZ	GAZ-KAR090	MYH11	11.33	BO20SN6	XZ	GAZ-KAR090	MYH11	11.72
BN20SN6	XZ	IMP-ECC092	MYH11	12.10	BO20SN6	XZ	IMP-ECC092	MYH11	9.11
BN20SN6	XZ	IMP-ECM000	MYH11	13.17	BO20SN6	XZ	IMP-ECM000	MYH11	12.40

Tablo C.1 (devam): Mevcut binalara ait yerdeğiştirme talepleri

Bina Adı	Analiz Yönü	İvme Kaydı	MYH Grup No	Δ_d (cm)	Bina Adı	Analiz Yönü	İvme Kaydı	MYH Grup No	Δ_d (cm)
BN20SN6	XZ	IMP-ELCD-270	MYH11	7.89	BO20SN6	XZ	IMP-ELCD-270	MYH11	9.65
BN20SN6	XZ	IRP-STU270	MYH11	19.60	BO20SN6	XZ	IRP-STU270	MYH11	18.28
BN20SN6	XZ	KOB-KJM090	MYH11	20.60	BO20SN6	XZ	KOB-KJM090	MYH11	23.47
BN20SN6	XZ	KOC-DZC180	MYH11	12.28	BO20SN6	XZ	KOC-DZC180	MYH11	8.47
BN20SN6	XZ	KOC-GBZ000	MYH11	11.31	BO20SN6	XZ	KOC-GBZ000	MYH11	7.24
BN20SN6	XZ	KOC-YAR060	MYH11	12.10	BO20SN6	XZ	KOC-YAR060	MYH11	7.94
BN20SN6	XZ	LOM-HSP000	MYH11	22.99	BO20SN6	XZ	LOM-HSP000	MYH11	18.61
BN20SN6	XZ	LOM-WVC270	MYH11	23.86	BO20SN6	XZ	LOM-WVC270	MYH11	14.20
BN20SN6	XZ	NOR-CNP196	MYH11	12.50	BO20SN6	XZ	NOR-CNP196	MYH11	11.41
BN20SN6	XZ	NOR-MUL009	MYH11	25.39	BO20SN6	XZ	NOR-MUL009	MYH11	16.83
BN20SN6	XZ	NOR-MUL279	MYH11	27.02	BO20SN6	XZ	NOR-MUL279	MYH11	26.54
BN20SN6	XZ	NOR-ORR360	MYH11	26.55	BO20SN6	XZ	NOR-ORR360	MYH11	31.65
BN20SN6	XZ	NOR-RRS318	MYH11	20.35	BO20SN6	XZ	NOR-RRS318	MYH11	12.96
BN20SN6	XZ	NOR-SAT180	MYH11	25.37	BO20SN6	XZ	NOR-SAT180	MYH11	22.94
BN20SN6	XZ	NPAL-NPS210	MYH11	18.78	BO20SN6	XZ	NPAL-NPS210	MYH11	18.30
BN20SN6	YZ	CHI-CHY28W	MYH11	22.22	BO20SN6	YZ	CHI-CHY28W	MYH11	17.40
BN20SN6	YZ	CHI-CHY101W	MYH11	12.82	BO20SN6	YZ	CHI-CHY101W	MYH11	10.06
BN20SN6	YZ	CHI-TCU063N	MYH11	9.30	BO20SN6	YZ	CHI-TCU063N	MYH11	6.19
BN20SN6	YZ	CHI-TCU072W	MYH11	16.98	BO20SN6	YZ	CHI-TCU072W	MYH11	12.50
BN20SN6	YZ	CHI-TCU74W	MYH11	19.43	BO20SN6	YZ	CHI-TCU74W	MYH11	19.69
BN20SN6	YZ	CHI-TCU128-W	MYH11	4.86	BO20SN6	YZ	CHI-TCU128-W	MYH11	5.22
BN20SN6	YZ	CHI-WGK-N	MYH11	22.18	BO20SN6	YZ	CHI-WGK-N	MYH11	22.87
BN20SN6	YZ	COA-PLD045	MYH11	19.47	BO20SN6	YZ	COA-PLD045	MYH11	17.85
BN20SN6	YZ	DZC-BOL000	MYH11	19.64	BO20SN6	YZ	DZC-BOL000	MYH11	17.06
BN20SN6	YZ	DZC-BOL090	MYH11	27.24	BO20SN6	YZ	DZC-BOL090	MYH11	18.21
BN20SN6	YZ	DZC-DZC180	MYH11	11.53	BO20SN6	YZ	DZC-DZC180	MYH11	10.83
BN20SN6	YZ	GAZ-KAR000	MYH11	13.47	BO20SN6	YZ	GAZ-KAR000	MYH11	15.13
BN20SN6	YZ	GAZ-KAR090	MYH11	12.16	BO20SN6	YZ	GAZ-KAR090	MYH11	11.84
BN20SN6	YZ	IMP-ECC092	MYH11	9.94	BO20SN6	YZ	IMP-ECC092	MYH11	9.32
BN20SN6	YZ	IMP-ECM000	MYH11	13.10	BO20SN6	YZ	IMP-ECM000	MYH11	12.97
BN20SN6	YZ	IMP-ELCD-270	MYH11	8.57	BO20SN6	YZ	IMP-ELCD-270	MYH11	12.27
BN20SN6	YZ	IRP-STU270	MYH11	17.69	BO20SN6	YZ	IRP-STU270	MYH11	23.05
BN20SN6	YZ	KOB-KJM090	MYH11	22.27	BO20SN6	YZ	KOB-KJM090	MYH11	22.37
BN20SN6	YZ	KOC-DZC180	MYH11	12.82	BO20SN6	YZ	KOC-DZC180	MYH11	9.45
BN20SN6	YZ	KOC-GBZ000	MYH11	12.18	BO20SN6	YZ	KOC-GBZ000	MYH11	9.14
BN20SN6	YZ	KOC-YAR060	MYH11	12.06	BO20SN6	YZ	KOC-YAR060	MYH11	12.97
BN20SN6	YZ	LOM-HSP000	MYH11	20.37	BO20SN6	YZ	LOM-HSP000	MYH11	23.14
BN20SN6	YZ	LOM-WVC270	MYH11	15.59	BO20SN6	YZ	LOM-WVC270	MYH11	21.17
BN20SN6	YZ	NOR-CNP196	MYH11	12.69	BO20SN6	YZ	NOR-CNP196	MYH11	13.23
BN20SN6	YZ	NOR-MUL009	MYH11	21.93	BO20SN6	YZ	NOR-MUL009	MYH11	22.18
BN20SN6	YZ	NOR-MUL279	MYH11	25.48	BO20SN6	YZ	NOR-MUL279	MYH11	26.94
BN20SN6	YZ	NOR-ORR360	MYH11	27.95	BO20SN6	YZ	NOR-ORR360	MYH11	27.29
BN20SN6	YZ	NOR-RRS318	MYH11	19.60	BO20SN6	YZ	NOR-RRS318	MYH11	17.85
BN20SN6	YZ	NOR-SAT180	MYH11	21.07	BO20SN6	YZ	NOR-SAT180	MYH11	25.91
BN20SN6	YZ	NPAL-NPS210	MYH11	16.15	BO20SN6	YZ	NPAL-NPS210	MYH11	19.84
BN20SN6	XZ	CHI-TCU065N	MYH12	25.64	BO20SN6	XZ	CHI-TCU065N	MYH12	29.63
BN20SN6	XZ	CHI-TCU067W	MYH12	16.72	BO20SN6	XZ	CHI-TCU067W	MYH12	16.78
BN20SN6	XZ	CHI-TCU102-N	MYH12	12.73	BO20SN6	XZ	CHI-TCU102-N	MYH12	7.31
BN20SN6	XZ	DZC-BOL000	MYH12	22.93	BO20SN6	XZ	DZC-BOL000	MYH12	17.99
BN20SN6	XZ	DZC-BOL090	MYH12	21.05	BO20SN6	XZ	DZC-BOL090	MYH12	20.83
BN20SN6	XZ	DZC-DZC180	MYH12	13.61	BO20SN6	XZ	DZC-DZC180	MYH12	9.72
BN20SN6	XZ	GAZ-KAR090	MYH12	12.05	BO20SN6	XZ	GAZ-KAR090	MYH12	12.79
BN20SN6	XZ	IMP-ECC092	MYH12	12.81	BO20SN6	XZ	IMP-ECC092	MYH12	9.51
BN20SN6	XZ	IMP-ELC4-230	MYH12	15.26	BO20SN6	XZ	IMP-ELC4-230	MYH12	13.29
BN20SN6	XZ	IMP-ELCD-270	MYH12	8.68	BO20SN6	XZ	IMP-ELCD-270	MYH12	11.22
BN20SN6	XZ	IRP-STU270	MYH12	21.71	BO20SN6	XZ	IRP-STU270	MYH12	20.08
BN20SN6	XZ	KOC-DZC180	MYH12	13.47	BO20SN6	XZ	KOC-DZC180	MYH12	10.04
BN20SN6	XZ	KOC-GBZ000	MYH12	12.01	BO20SN6	XZ	KOC-GBZ000	MYH12	8.14
BN20SN6	XZ	KOC-SKR090	MYH12	10.40	BO20SN6	XZ	KOC-SKR090	MYH12	4.11

Tablo C.1 (devam): Mevcut binalara ait yerdeğiştirme talepleri

Bina Adı	Analiz Yönü	İvme Kaydı	MYH Grup No	Δ_d (cm)	Bina Adı	Analiz Yönü	İvme Kaydı	MYH Grup No	Δ_d (cm)
BN20SN6	XZ	LAN-YER270	MYH12	13.78	BO20SN6	XZ	LAN-YER270	MYH12	19.05
BN20SN6	XZ	LOM-BRN000	MYH12	24.63	BO20SN6	XZ	LOM-BRN000	MYH12	22.51
BN20SN6	XZ	LOM-WVC270	MYH12	25.50	BO20SN6	XZ	LOM-WVC270	MYH12	15.95
BN20SN6	XZ	NOR-CNP196	MYH12	14.54	BO20SN6	XZ	NOR-CNP196	MYH12	12.20
BN20SN6	XZ	NOR-MUL009	MYH12	27.23	BO20SN6	XZ	NOR-MUL009	MYH12	18.39
BN20SN6	XZ	NOR-MUL279	MYH12	29.35	BO20SN6	XZ	NOR-MUL279	MYH12	28.26
BN20SN6	XZ	NOR-NEW090	MYH12	13.53	BO20SN6	XZ	NOR-NEW090	MYH12	9.64
BN20SN6	XZ	NOR-PAR-L	MYH12	26.65	BO20SN6	XZ	NOR-PAR-L	MYH12	27.99
BN20SN6	XZ	NOR-RRS318	MYH12	21.42	BO20SN6	XZ	NOR-RRS318	MYH12	15.20
BN20SN6	XZ	NOR-SAT180	MYH12	27.63	BO20SN6	XZ	NOR-SAT180	MYH12	25.22
BN20SN6	XZ	NOR-SCE288	MYH12	28.76	BO20SN6	XZ	NOR-SCE288	MYH12	20.65
BN20SN6	XZ	NOR-SEP360	MYH12	15.99	BO20SN6	XZ	NOR-SEP360	MYH12	8.53
BN20SN6	XZ	NOR-SYL090	MYH12	21.70	BO20SN6	XZ	NOR-SYL090	MYH12	17.00
BN20SN6	XZ	NOR-TAR360	MYH12	15.34	BO20SN6	XZ	NOR-TAR360	MYH12	20.63
BN20SN6	XZ	NOR-WPI316	MYH12	20.44	BO20SN6	XZ	NOR-WPI316	MYH12	11.81
BN20SN6	XZ	PRK-C02065	MYH12	16.31	BO20SN6	XZ	PRK-C02065	MYH12	21.52
BN20SN6	YZ	CHI-TCU065N	MYH12	27.76	BO20SN6	YZ	CHI-TCU065N	MYH12	33.26
BN20SN6	YZ	CHI-TCU067W	MYH12	16.86	BO20SN6	YZ	CHI-TCU067W	MYH12	21.41
BN20SN6	YZ	CHI-TCU102-N	MYH12	10.67	BO20SN6	YZ	CHI-TCU102-N	MYH12	8.60
BN20SN6	YZ	DZC-BOL000	MYH12	21.35	BO20SN6	YZ	DZC-BOL000	MYH12	18.00
BN20SN6	YZ	DZC-BOL090	MYH12	28.01	BO20SN6	YZ	DZC-BOL090	MYH12	19.48
BN20SN6	YZ	DZC-DZC180	MYH12	12.14	BO20SN6	YZ	DZC-DZC180	MYH12	11.72
BN20SN6	YZ	GAZ-KAR090	MYH12	13.41	BO20SN6	YZ	GAZ-KAR090	MYH12	13.07
BN20SN6	YZ	IMP-ECC092	MYH12	10.69	BO20SN6	YZ	IMP-ECC092	MYH12	10.71
BN20SN6	YZ	IMP-ELC4-230	MYH12	11.07	BO20SN6	YZ	IMP-ELC4-230	MYH12	21.29
BN20SN6	YZ	IMP-ELCD-270	MYH12	9.41	BO20SN6	YZ	IMP-ELCD-270	MYH12	13.69
BN20SN6	YZ	IRP-STU270	MYH12	19.61	BO20SN6	YZ	IRP-STU270	MYH12	25.56
BN20SN6	YZ	KOC-DZC180	MYH12	13.45	BO20SN6	YZ	KOC-DZC180	MYH12	10.95
BN20SN6	YZ	KOC-GBZ000	MYH12	13.04	BO20SN6	YZ	KOC-GBZ000	MYH12	10.22
BN20SN6	YZ	KOC-SKR090	MYH12	8.74	BO20SN6	YZ	KOC-SKR090	MYH12	5.71
BN20SN6	YZ	LAN-YER270	MYH12	12.61	BO20SN6	YZ	LAN-YER270	MYH12	21.23
BN20SN6	YZ	LOM-BRN000	MYH12	26.85	BO20SN6	YZ	LOM-BRN000	MYH12	23.54
BN20SN6	YZ	LOM-WVC270	MYH12	17.18	BO20SN6	YZ	LOM-WVC270	MYH12	23.67
BN20SN6	YZ	NOR-CNP196	MYH12	13.24	BO20SN6	YZ	NOR-CNP196	MYH12	15.41
BN20SN6	YZ	NOR-MUL009	MYH12	23.41	BO20SN6	YZ	NOR-MUL009	MYH12	24.13
BN20SN6	YZ	NOR-MUL279	MYH12	27.39	BO20SN6	YZ	NOR-MUL279	MYH12	28.59
BN20SN6	YZ	NOR-NEW090	MYH12	18.17	BO20SN6	YZ	NOR-NEW090	MYH12	9.11
BN20SN6	YZ	NOR-PAR-L	MYH12	24.74	BO20SN6	YZ	NOR-PAR-L	MYH12	31.36
BN20SN6	YZ	NOR-RRS318	MYH12	20.44	BO20SN6	YZ	NOR-RRS318	MYH12	19.11
BN20SN6	YZ	NOR-SAT180	MYH12	23.36	BO20SN6	YZ	NOR-SAT180	MYH12	28.10
BN20SN6	YZ	NOR-SCE288	MYH12	21.16	BO20SN6	YZ	NOR-SCE288	MYH12	21.39
BN20SN6	YZ	NOR-SEP360	MYH12	15.69	BO20SN6	YZ	NOR-SEP360	MYH12	8.95
BN20SN6	YZ	NOR-SYL090	MYH12	20.36	BO20SN6	YZ	NOR-SYL090	MYH12	18.22
BN20SN6	YZ	NOR-TAR360	MYH12	13.13	BO20SN6	YZ	NOR-TAR360	MYH12	22.68
BN20SN6	YZ	NOR-WPI316	MYH12	15.56	BO20SN6	YZ	NOR-WPI316	MYH12	13.57
BN20SN6	YZ	PRK-C02065	MYH12	15.28	BO20SN6	YZ	PRK-C02065	MYH12	21.23